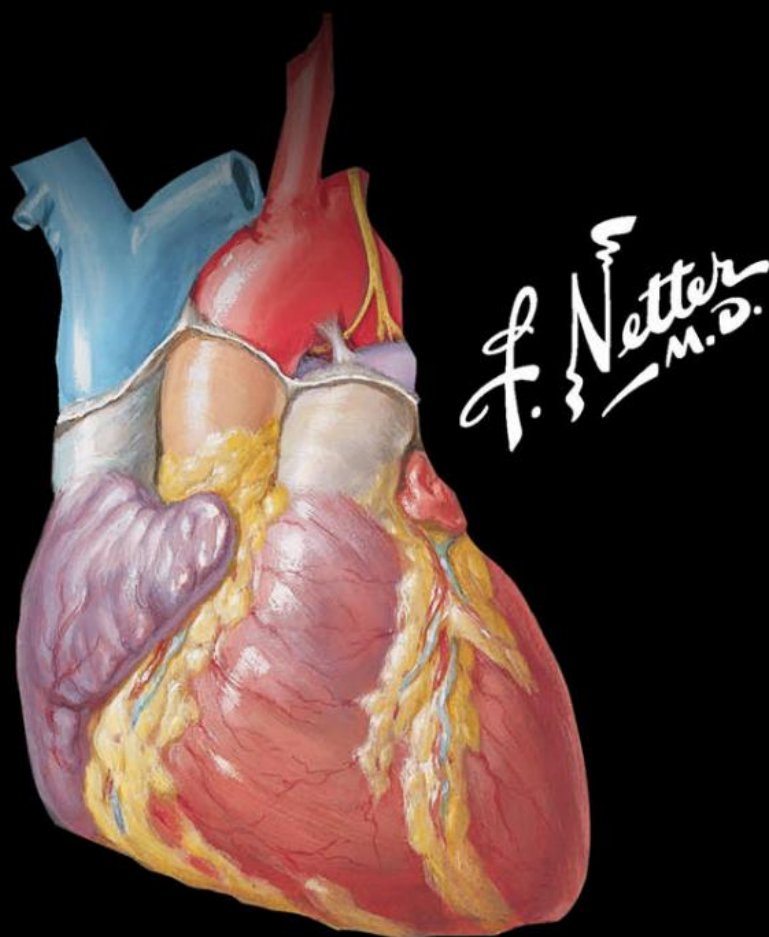


FRANK H. NETTER, MD

ATLAS D' ANATOMIE HUMAINE

Traduit de la 7^e édition originale par Pierre Kamina et Jean-Pierre Richer



NETTER

7^e

EDITION

Elsevier Masson

Atlas d'anatomie humaine

7^e édition

Frank H. Netter, MD

Elsevier Masson

ATLAS OF HUMAN ANATOMY, SEVENTH EDITION

Copyright © 2019 by Elsevier Inc.

Previous editions copyrighted 2014, 2011, 2006, 2003, 1997, 1989

ISBN : 978-0-323-39322-5

This translation of *Atlas of human anatomy*, 7th edition, by Frank H. Netter, was undertaken by Elsevier Masson SAS and is published by arrangement with Elsevier Inc.

Cette traduction de *Atlas of human anatomy*, 7th édition, de Frank H. Netter, a été réalisée par Elsevier Masson SAS et est publiée avec l'accord d'Elsevier Inc.

Atlas d'anatomie humaine, 7^e édition, de Frank H. Netter.

© 2019 Elsevier Masson SAS, 2019.

ISBN : 978-2-294-75629-0

e-ISBN : 978-2-294-75712-9

Tous droits réservés.

La traduction a été réalisée par Elsevier Masson SAS sous sa seule responsabilité.

Les praticiens et chercheurs doivent toujours se baser sur leur propre expérience et connaissances pour évaluer et utiliser toute information, méthodes, composés ou expériences décrits ici. Du fait de l'avancement rapide des sciences médicales, en particulier, une vérification indépendante des diagnostics et dosages des médicaments doit être effectuée. Dans toute la mesure permise par la loi, Elsevier, les auteurs, collaborateurs ou autres contributeurs déclinent toute responsabilité pour ce qui concerne la traduction ou pour tout préjudice et/ou dommages aux personnes ou aux biens, que cela résulte de la responsabilité du fait des produits, d'une négligence ou autre, ou de l'utilisation ou de l'application de toutes les méthodes, les produits, les instructions ou les idées contenus dans la présente publication.

Tous droits de traduction, d'adaptation et de reproduction par tous procédés, réservés pour tous pays. Toute reproduction ou représentation intégrale ou partielle, par quelque procédé que ce soit, des pages publiées dans le présent ouvrage, faite sans l'autorisation de l'éditeur est illicite et constitue une contrefaçon. Seules sont autorisées, d'une part, les reproductions strictement réservées à l'usage privé du copiste et non destinées à une utilisation collective et, d'autre part, les courtes citations justifiées par le caractère scientifique ou d'information de l'œuvre dans laquelle elles sont incorporées (art. L. 122-4, L. 122-5 et L. 335-2 du Code de la propriété intellectuelle).



Ce logo a pour objet d'alerter le lecteur sur la menace que représente pour l'avenir de l'écrit, tout particulièrement dans le domaine universitaire, le développement massif du « photo-copillage ». Cette pratique qui s'est généralisée, notamment dans les établissements d'enseignement, provoque une baisse brutale des achats de livres, au point que la possibilité même pour les auteurs de créer des œuvres nouvelles et de les faire éditer correctement est aujourd'hui menacée. Nous rappelons donc que la reproduction et la vente sans autorisation, ainsi que le recel, sont passibles de poursuites. Les demandes d'autorisation de photocopier doivent être adressées à l'éditeur ou au Centre français d'exploitation du droit de copie : 20, rue des Grands-Augustins, 75006 Paris. Tél. 01 44 07 47 70.

Traduction des précédentes éditions : Pierre Kamina – Professeur émérite d'anatomie – Université de Poitiers

Traduction et adaptation en langue française de la 6^e édition, 2015 et de la 7^e édition, 2019 : Jean-Pierre Richer – Professeur des universités – Chirurgien des hôpitaux (anatomie-chirurgie générale) – Université et CHU de Poitiers

RÉDACTEURS EN CHEF

Carlos A. G. Machado, MD

Responsable de l'illustration médicale

John T. Hansen, PhD

Rédacteur en chef

Professeur en neurosciences

Ancien titulaire de la chaire de neurobiologie

et d'anatomie et vice-doyen

Université de Rochester, Centre médical, Rochester,
New York, États-Unis

Brion Benninger, MD, MSc

Professeur en innovation médicale, technologie

et recherche ; professeur d'anatomie clinique ;

directeur exécutif du centre d'anatomie médicale

Département des sciences anatomiques médicales ;
École dentaire

Université Ouest des sciences de la santé, Lebanon,
Oregon

Responsable de la formation des internes en médecine
du sport, orthopédie et chirurgie générale

Hôpital Samaritan Corvallis, Oregon

Chirurgie, orthopédie, rééducation et chirurgie
maxillo-faciale

Université des sciences de la santé d'Oregon
Portland, Oregon, États-Unis

Jennifer Brueckner-Collins, PhD

Professeur et assesseur du doyen pour la pédagogie

Département des sciences anatomiques

et neurobiologiques

Université de Louisville, École de médecine

Louisville, Kentucky, États-Unis

Todd M. Hoagland, PhD

Professeur

Département de biologie cellulaire, de neurobiologie

et d'anatomie

Université médicale du Wisconsin

Milwaukee, Wisconsin, États-Unis

R. Shane Tubbs, MS, PA-C, PhD

Directeur scientifique et vice-président de la Fondation
scientifique de Seattle

Seattle, Washington

Professeur d'anatomie

Département des sciences anatomiques

Université Saint-George

Grenade, Antilles anglaises, Caraïbes

Centre d'anatomie et d'identification humaine

Université Dundee, Royaume-Uni

RÉDACTEURS DES PRÉCÉDENTES ÉDITIONS

Première édition

Sharon Colacino, PhD

Deuxième édition

Arthur F. Dalley II, PhD

Troisième édition

John T. Hansen, PhD

Quatrième édition

John T. Hansen, PhD

Jennifer K. Brueckner, PhD

Stephen W. Carmichael, PhD, DSc

Thomas R. Gest, PhD

Noelle A. Granger, PhD

Anil H. Waljii, MD, PhD

Cinquième édition

John T. Hansen, PhD

Brion Benninger, MD, MS

Jennifer K. Brueckner, PhD

Stephen W. Carmichael, PhD, DSc

Noelle A. Granger, PhD

R. Shane Tubbs, MS, PA-C, PhD

Sixième édition

John T. Hansen, PhD

Brion Benninger, MD, MS

Jennifer Brueckner-Collins, PhD

Todd M. Hoagland, PhD

R. Shane Tubbs, MS, PA-C, PhD

COMITÉ CONSULTATIF INTERNATIONAL

Hassan Amiralli, MBBS, MS (Surg)

Professeur et titulaire de chaire
Département d'anatomie
Université américaine d'Antigua
Faculté de Médecine d'Antigua,
Caraïbes

Nihal Apaydin, MD, PhD

Professeur, département d'anatomie
Faculté de médecine
Directeur adjoint, Centre de
recherche sur le cerveau
Université d'Ankara
Ankara, Turquie

Keith E. Baynes, MD

Responsable d'unité, radiologie
musculo-squelettique et générale
Professeur associé de radiologie
École de médecine du Wisconsin
Milwaukee, Wisconsin, États-Unis

Francisco J. Caycedo, MD

Spécialiste de la chirurgie du pied
et de la cheville
Médecine du sport et échographie
musculo-squelettique, Association
OrthoSport-St. Vincent Birmingham
Birmingham, Alabama, États-Unis

William E. Cullinan, PhD

Professeur, département
des sciences biomédicales
Directeur, centre de recherche
sur les neurosciences intégrées
Doyen, Université des sciences
de la santé
Université de Marquette
Milwaukee, Wisconsin, États-Unis

Joe Iwanaga, DDS, PhD

Professeur adjoint
Unité d'anatomie macroscopique
et clinique
Département d'anatomie
École de médecine de l'Université
de Kurume
Kurume, Japon

Christopher R. Kelly, MD

Chef de clinique
Service de cardiologie
Centre médical de l'Université
de Columbia
New York, New York, États-Unis

Robert Louis, MD

Directeur du programme de
recherche sur la base du crâne
et les tumeurs hypophysaires
Chirurgie mini-invasive du cerveau
et du rachis

Institut des neurosciences Hoag
Newport Beach, Californie, États-Unis

Virginia T. Lyons, PhD

Professeur associée en pédagogie
médicale
Vice-doyen responsable de
la première année des études
École de médecine de Geisel
à Dartmouth
Hanover, New Hampshire,
États-Unis

Thazhumpal Chacko Mathew, PhD

Professeur et vice-doyen pour
la recherche, la formation
et les consultations
Faculté des sciences paramédicales
Centre des sciences de la santé
Université du Koweït,
ville de Koweït, Koweït

Paul E. Neumann, MD

Professeur, département d'anatomie
et de neurobiologie
Faculté de médecine
Université de Dalhousie
Halifax, Nouvelle-Écosse, Canada

Eduardo Cotecchia Ribeiro, PhD

Professeur associé d'anatomie
descriptive et topographique
Département de morphologie
et de génétique
École de médecine
Université fédérale de Sao Paulo
Sao Paulo, Brésil

Jean-Pierre Richer

Professeur des universités
Chirurgien des hôpitaux
Université de Poitiers

Danielle F. Royer, PhD

Professeur associé
Biologie cellulaire
et du développement
Université du Colorado, Anschutz
Campus médical
Aurora, Colorado, États-Unis

Jonathan Spratt, MB, BChir

Directeur de la Clinique de radiologie
Hôpitaux de la ville de Sunderland
Sunderland, Royaume-Uni
Ancien assistant d'anatomie
Collège royal des radiologues
et Collège royal des chirurgiens
d'Angleterre
Professeur invité en anatomie
Université Saint-Georges
Grenade, Antilles anglaises, Caraïbes

Susan Standring, MBE, PhD, DSc

Professeur émérite en anatomie
Département d'anatomie
King's College de Londres
Londres, Royaume-Uni

Mark E. Sturgill, DO

Pédiatre et neuroradiologue
Entreprise Radiology Partners
Hopkinsville, Kentucky, États-Unis

William J. Swartz, PhD

Professeur de biologie cellulaire
et d'anatomie
Université de l'État de Louisiane
Centre des sciences de la santé
La Nouvelle-Orléans, Louisiane,
États-Unis

Kimberly Topp, PT, PhD

Professeur et titulaire de chaire
Département de thérapie physique
et de rééducation
Département d'anatomie, Université
de Californie, San Francisco
San Francisco, Californie, États-Unis

Ivan Varga, PhD

Professeur d'anatomie, d'histologie
et d'embryologie
Faculté de médecine
Université Comenius
Bratislava, Slovaquie

Peter J. Ward, PhD

Professeur associé en anatomie
École de Virginie-Occidentale
de médecine ostéopathique
Lewisburg, Virginie-Occidentale,
États-Unis

Robert J. Ward, MD

Responsable de l'unité d'imagerie et
d'intervention musculo-squelettique
Directeur, densitométrie osseuse
Département de radiologie
Centre médical Tufts
Directeur de la formation continue
en radiologie
Professeur assistant en radiologie
et orthopédie
École de médecine de l'Université
de Tufts
Boston, Massachusetts, États-Unis

Kristy A. Weir, PhD

École des sciences biomédicales
Université de Queensland
Sainte-Lucie, Queensland, Australie

LES NOUVEAUTÉS DE CETTE ÉDITION

Avec votre exemplaire de l'*Atlas d'anatomie humaine*, de Frank H. Netter, vous possédez une collection de la plupart des représentations les plus connues de l'anatomie humaine en médecine et en science de la santé. En plus du fabuleux travail du Dr Netter, avec votre exemplaire de cette 7^e édition, vous avez également accès à environ 100 peintures du Dr Carlos A.G. Machado, l'un des plus grands illustrateurs encore en activité actuellement. Les contributions du Dr Machado à cet *Atlas* soulignent l'orientation clinique que prend l'enseignement de l'anatomie ces dernières années – vues anatomiques résultant de l'amélioration des techniques de dissection et de l'imagerie moderne. De plus, vous pouvez accéder à plus de 50 images radiologiques sélectionnées qui aident à faire le lien entre les illustrations anatomiques idéalisées et la réalité anatomique telle qu'on peut la voir en clinique.

Bien que de nombreuses mises à jour aient été réalisées dans les planches anatomiques ou les tableaux pour les rendre plus faciles à apprendre, les évolutions les plus significatives dans cette édition comportent les éléments suivants.

Le chapitre d'introduction

Afin de répondre à la demande de nombreux étudiants et des fans de l'*Atlas* de Netter, nous avons rajouté un nouveau chapitre inaugural contenant de nombreuses planches de présentation. Ces planches constituent les toutes premières vues de la « tête aux pieds » de l'*Atlas d'anatomie humaine* !

Les tableaux cliniques

L'*Atlas d'anatomie humaine* est le seul atlas d'anatomie illustré par des médecins. Le Dr Netter était chirurgien et le Dr Machado est cardiologue. Les vues de l'anatomie dans cet atlas ont toujours répondu à une perspective clinique. Adaptés à l'objectif clinique, et en cohérence avec le curriculum des études en médecine et en santé, les tableaux à la fin de chaque chapitre sur les régions anatomiques soulignent les structures les plus souvent exposées au traumatisme, aussi bien que les autres éléments anatomiques, avec leur importance clinique, rencontrés classiquement dans les cours d'anatomie. Les tableaux fournissent aux étudiants des résumés rapides, organisés selon les systèmes du corps humain et précisent dans quelles illustrations ces structures sont les mieux visibles.

Les nouvelles planches artistiques du Dr Machado

Depuis la première édition, environ 25 nouvelles illustrations ont été réalisées par le Dr Machado. Les suggestions de

nouvelles planches représentant des vues anatomiques originales ou de nouveaux concepts proviennent des étudiants, de la Faculté, des anatomistes, des médecins et d'autres. Parfois, les sollicitations sont exprimées lors de grandes conférences en anatomie, avec des boîtes à idées telle que : « Que devrait maintenant peindre Carlos ? ». Les décisions concernant les planches à prioriser et à intégrer dans une nouvelle édition sont issues des discussions entre les éditeurs consultants. Les nouvelles planches anatomiques de cette édition sont principalement celles qui représentent les structures anatomiques ayant une implication clinique (les gaines fasciales du cou, les veines profondes de la jambe, les bourses de la hanche et la vascularisation de la prostate) – et, bien sûr, les nouvelles créations du chapitre d'introduction.

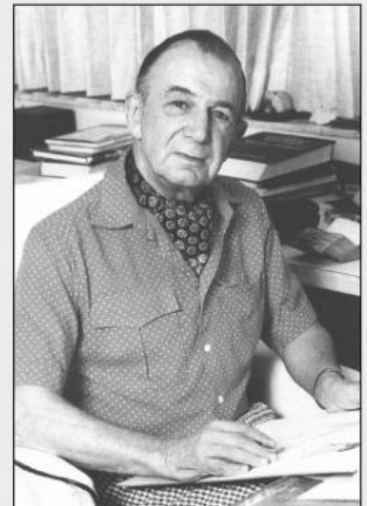
La mise à jour de la terminologie

L'*Atlas d'anatomie humaine* utilise la terminologie reconnue (à Göttingen, Allemagne, 24 septembre 2016) par le Federative International Programme on Anatomical Terminologies (FIPAT ; Programme international fédératif de terminologie anatomique des associations d'anatomistes [IFAA]) et dont la mise à jour sous la forme du livre *Terminologia Anatomica* a été publiée en 1998. De nombreuses mises à jour de la terminologie ont été réalisées, de sorte que, dans des cas précis, l'ancienne terminologie a été intégrée entre parenthèses pour faciliter la compréhension.

Les nouvelles images radiologiques

Environ 50 nouvelles images radiologiques ont été intégrées dans cette édition – parfois des images complètement nouvelles et ailleurs d'autres remplaçant les images préexistantes en utilisant les nouveaux outils d'imagerie médicale. Ces clichés ont été sélectionnés sur le critère d'utilité pour les étudiants apprenant l'anatomie.

Le contenu de votre *Atlas d'anatomie humaine* a été mis à jour, créé et supervisé par une équipe d'éditeurs consultants dévoués et passionnés, d'un comité consultatif international d'experts et guidé par le retour de nombreux étudiants, d'enseignants, d'anatomistes et de cliniciens qui aiment l'*Atlas* de Netter. Merci de ne pas hésiter à commenter sur la page Facebook des images de Netter ou sur twitter, ou adressez-nous un email directement pour exprimer votre opinion, vos suggestions ou questions à l'adresse : NetterAppFeedback@Elsevier.com. Pour connaître les dernières informations concernant l'ouvrage consultez la page : <https://www.elsevier.com/fr-fr/connect/anatomie/netter>



AVANT-PROPOS À LA PREMIÈRE ÉDITION

J'ai souvent dit que ma carrière d'artiste médical, depuis presque 50 ans, a été une sorte « d'œuvre sur commande » en ce sens qu'elle a évolué en fonction des souhaits et des demandes de la profession médicale. Durant toutes ces années, j'ai réalisé environ 4 000 illustrations, la plupart pour « The Ciba (maintenant Netter) Collection of Medical Illustrations », mais aussi pour « Clinical Symposia ». Ces dessins concernaient de nombreuses branches de la science médicale comme l'anatomie, l'histologie, l'embryologie, la physiologie, la pathologie, les explorations fonctionnelles, les techniques chirurgicales et thérapeutiques, et les manifestations cliniques d'un grand nombre de maladies. Avec l'âge, cependant, j'eus de plus en plus de demandes des médecins et des étudiants pour que je fasse un atlas exclusivement d'anatomie. C'est ainsi que cet atlas vit le jour, non pas sur un désir personnel, mais plutôt, comme la plupart de mes œuvres précédentes, pour répondre aux souhaits de la profession médicale. J'étais cependant si absorbé par d'autres engagements qu'il m'a fallu du temps pour parvenir à l'achever. Et quand enfin il fut terminé, je me suis rendu compte qu'il avait demandé beaucoup plus de travail et de temps que je l'avais prévu. Il fallait que je reprenne toutes les illustrations que j'avais faites depuis de si nombreuses années, en choisissant celles qui concernaient l'anatomie, en les classant, en les regroupant par systèmes et par régions, en les adaptant au format et à l'espace d'une page, et en les disposant selon un ordre logique. C'est vrai que l'anatomie ne change pas, mais en revanche, notre compréhension de l'anatomie et de son intérêt clinique change, tout comme sa terminologie et

sa nomenclature. Cela a donc demandé une mise à jour importante de nombreuses illustrations anciennes, et même une refonte de beaucoup d'entre elles de façon à les adapter à la pratique médicale et chirurgicale moderne, toujours en évolution. En outre, j'ai découvert que mes illustrations précédentes n'embrassaient pas toute la connaissance médicale, et il m'a fallu réaliser un grand nombre de dessins nouveaux qui sont inclus dans ce volume.

En créant un atlas comme celui-ci, il est important de trouver un juste milieu entre la complexité et la simplification. Si les figures sont trop complexes, leur étude sera difficile et confuse. Si elles sont trop simplifiées, elles peuvent être insuffisamment précises, voire inexactes. J'ai donc opté pour le moyen terme, le réalisme sans la confusion des détails. J'espère que les étudiants et les membres des professions médicales et paramédicales trouveront les illustrations intelligibles et utiles à la fois.

D'un commun accord, M. Flagler, l'éditeur, et moi-même avons pensé qu'il serait bon d'inclure la préface d'un anatomiste éminent et renommé, mais il y en a tant dans cette spécialité, dont un grand nombre a collaboré avec moi dans le passé, et qui sont cités plus loin dans ce volume, que nous n'avons pas pu faire un choix. Nous avons bien sûr pensé à des hommes comme Vésale, Léonard de Vinci, William Hunter et Henry Gray, qui évidemment et malheureusement sont indisponibles, et je me demande vraiment quels commentaires leur aurait inspiré cet atlas.

**Frank H. Netter, MD
(1906-1991)**

FRANK H. NETTER, MD

Frank H. Netter est né en 1906 à New York. Il a d'abord fait des études d'art à l'Art Student's League et à la National Academy of Design avant de suivre ses études médicales à l'université de New York où il passe son doctorat en 1931. Pendant ses années d'étude, les croquis dans les cahiers de Frank H. Netter ont attiré l'attention des membres de la Faculté et des autres médecins. Ceci lui a permis d'augmenter ses revenus en illustrant des articles ou des livres. Il continua de réaliser des illustrations tout en commençant une carrière de chirurgien en 1933 ; toutefois, il finit par abandonner sa pratique clinique pour se consacrer entièrement à l'art. Après son passage dans les forces armées américaines durant la deuxième guerre mondiale, il débuta une longue collaboration avec le groupe pharmaceutique CIBA (devenu maintenant le groupe Novartis). Durant ces 45 ans de collaboration, il produisit une impressionnante collection d'illustrations médicales qui est devenue très populaire pour tous les médecins et professionnels de la

santé dans l'ensemble du monde. Icon Learning Systems a acheté les droits de la collection de Netter en juillet 2000 et continue de mettre à jour les illustrations originales de Netter et de leur adjoindre de nouvelles illustrations réalisées par des artistes travaillant selon le style originel de Netter. En 2005, Elsevier Inc. a racheté la collection et toutes les publications de Netter à Icon Learning Systems. Il y a maintenant plus de 50 publications qui diffusent l'œuvre artistique du Dr Netter.

Les travaux de Netter représentent un des meilleurs exemples de l'utilisation de l'iconographie dans l'apprentissage des concepts médicaux. Les 13 livres de la Collection Netter d'Illustrations Médicales, qui incluent la plus grande partie des 20 000 dessins originaux de Netter, comptent parmi les œuvres médicales les plus renommées jamais publiées. L'*Atlas d'anatomie humaine* de Netter, initialement publié en 1989, regroupe les dessins anatomiques de la collection Netter. Il est désormais traduit en

16 langues. C'est l'atlas anatomique de référence des étudiants en médecine et paramédicaux dans le monde entier.

Les illustrations de Netter sont appréciées tant pour leur qualité esthétique que pour leur contenu pédagogique, ce qui est même plus important. Comme le disait Frank H. Netter en 1949 : « ...le but d'une illustration est de clarifier un sujet. L'importance de l'illustration médicale

ne réside pas dans la beauté du dessin ou le rendu délicat et subtil d'un sujet mais dans sa possibilité de rendre plus clair un point ». Les plans, conceptions, points de vue et approches de Frank H. Netter ont permis de rendre ses illustrations très utiles sur le plan didactique et conceptuel.

Frank H. Netter, médecin et artiste, est mort en 1991.

PRÉFACE À LA SEPTIÈME ÉDITION

L'Anatomie est la mère de toutes les disciplines médicales et chirurgicales. Dans notre monde moderne où les connaissances sont exponentielles et en perpétuelle évolution, comment atteindre sa destination ou son objectif clinique sans itinéraire pédagogique clairement affiché et sans assistant de navigation anatomique personnel. Après avoir été oubliée ces dernières années dans nos cursus, la connaissance anatomique est actuellement revalorisée et particulièrement exigée en médecine interventionnelle et en chirurgie. Elle reste indispensable à la compréhension clinique et à la pratique de tous les professionnels de santé. Artiste, médecin et chirurgien, puis illustrateur médical, Frank H. Netter (1906-1991) regroupe en 1989 un certain nombre de ses dessins d'anatomie humaine sous la forme d'un atlas destiné à révéler le labyrinthe humain, à aider les plus jeunes à comprendre les bases anatomophysiologiques des pathologies et aux aînés à actualiser rapidement leurs connaissances. Intitulé *Atlas of Human Anatomy*, cet atlas connaît un succès international renouvelé à chaque génération et à chaque édition. Le « Netter » représente toujours aujourd'hui une référence pour l'étudiant, et reste également le compagnon de professionnels plus expérimentés : un véritable dictionnaire pour les chirurgiens. La remarquable qualité artistique de ses illustrations s'accompagne d'une justesse pédagogique et d'une rigueur scientifique qui ont fait le succès de cet ouvrage.

Dans cette nouvelle édition, de nombreuses nouvelles peintures du Dr Machado, cardiologue, répondent par leurs caractéristiques didactiques et pédagogiques aux attentes actuelles des étudiants et des professionnels de santé concernant l'implication de l'anatomie dans la résolution de problématiques cliniques, à l'évolution diagnostique et thérapeutique de la médecine moderne. Dans cet esprit, les illustrations d'imagerie ont été renouvelées, en utilisant les nouveaux outils de l'ingénierie et de l'informatique

médicale. L'équipe de Carlos A. G. Machado et John T. Hansen a ainsi respecté la volonté de Netter qui souhaitait que son atlas évolue, pour chaque édition, au rythme des progrès technologiques, des nouveautés en imagerie médicale et des connaissances médicales. La septième édition de *l'Atlas of Human Anatomy* et sa version électronique s'est donc enrichie de nouvelles illustrations et iconographies, de tableaux didactiques concernant les implications cliniques des structures anatomiques principales de chaque région, en suivant les conseils et les remarques d'un comité international sur l'intérêt clinique de l'anatomie. La mise à jour de cet atlas est un formidable travail d'équipe mené par des illustrateurs, des enseignants non seulement anatomistes mais aussi cliniciens qui sont restés fidèles aux principes de ce visionnaire, principes exprimés dans sa première édition : « ... cela a donc demandé une mise à jour importante de nombreuses illustrations anciennes, et même une refonte de beaucoup d'entre elles de façon à les adapter à la pratique médicale et chirurgicale moderne, toujours en évolution... ».

Grâce aux éditions Elsevier Masson, j'ai eu l'honneur de succéder, pour la traduction française des sixième et septième éditions fortement augmentées et enrichies, à notre maître français Pierre Kamina qui avait réalisé la première adaptation française selon la *Terminologia Anatomica* francisée de ce remarquable ouvrage de Frank H. Netter.

Je vous souhaite un bon et agréable travail !

Jean-Pierre Richer
Membre du Collège Médical Français
des Professeurs d'Anatomie
Membre titulaire de l'Académie Nationale de Chirurgie
Responsable du Centre d'Anatomie,
Biomécanique et Simulation de l'Université de Poitiers

PRÉFACE À LA CINQUIÈME ÉDITION

C'est avec enthousiasme que j'ai accepté d'effectuer la traduction et l'adaptation française de l'atlas du Dr Frank Netter, que j'admire pour l'ensemble de son œuvre.

Le Dr Netter s'inscrit dans la lignée des prestigieux artistes-anatomistes, tels Léonard de Vinci, Jacques Gautier d'Agoty, Nicolas Henry Jacob et d'autres, qui ont conçu et réalisé eux-mêmes des dessins de grande valeur scientifique et artistique.

Il a su vulgariser l'illustration médicale, tout en conservant la rigueur scientifique, grâce à la collaboration d'éminents spécialistes.

En 1989, le plus célèbre artiste médical nord-américain décide de regrouper une sélection de dessins anatomiques sous forme d'un atlas destiné aux jeunes étudiants, intitulé *Atlas of Human Anatomy*. Cet atlas connaîtra un succès international.

La finalité pédagogique est toujours sous-jacente. Il souligne à dessein, grossièrement, les structures qu'il veut mettre en évidence, tels les nerfs. Il fait aussi appel à des couleurs franches, parfois brillantes, pour rehausser les structures trop discrètes. D'un coup d'œil, le lecteur embrasse une région, comprend les rapports, et saisit l'élément qu'il recherche. Ces images nous parlent aussi

grâce à des légendes précises, riches et accompagnées parfois de commentaires brefs et pertinents qui les éclairent.

Pour cette cinquième édition, j'ai adopté, pour garder à l'ouvrage son actualité et son universalité, la Terminologia Anatomica (TA) francisée par le Collège médical français des professeurs d'anatomie.

Cette terminologie internationale facilite non seulement la compréhension et la mémorisation des termes anatomiques, mais aussi les échanges interlinguistiques.

La richesse de l'imagerie conventionnelle ou numérique du corps humain de l'ouvrage répond à une quête constante du médecin : connaître l'intérieur de notre corps afin de mieux le soigner.

Grâce aux éditions Elsevier Masson, ce remarquable atlas vient enrichir l'édition médicale francophone.

Le « Netter » est un livre qui mérite vraiment une place de choix dans toute bibliothèque médicale.

Pierre Kamina
Professeur émérite d'anatomie
Ancien gynécologue-accoucheur des Hôpitaux
Université de Poitiers

REMERCIEMENTS

Carlos A. G. Machado, MD

J'ai eu de la chance en rejoignant cette équipe en or d'éditeurs consultants extrêmement compétents dans le domaine de l'anatomie clinique et de la formation médicale. Ce fut un grand honneur de travailler avec et sous leur conseil, de même que sous la coordination, avec une grande compétence, d'Elyse O'Grady et de Marybeth Thiel, respectivement en charge à Elsevier de la responsabilité de la gestion du contenu (*executive content strategist*) et spécialiste principal du développement du contenu (*senior content development specialist*).

Ce livre unique ne pourrait pas exister sans le génie de son créateur, le Dr Frank Netter, auquel je dois de chaleureux remerciements ainsi qu'au nom de générations d'étudiants et de professionnels de santé qui, tout comme moi, ont appris tellement de cette incommensurable œuvre majeure.

Je dédicace mon travail et exprime mes plus sincères remerciements à mes parents bien-aimés, Carlos et Neide, qui ont construit les bases de mon éducation ; à ma femme patiente, Adriana, et à ma talentueuse fille, Beatriz, pour leur amour et leur soutien ; aux étudiants, enseignants et professionnels de santé qui ont utilisé mon travail pour apprendre et enseigner ; aux donateurs de corps à la science et à mes amis bien en vie qui ont respectivement été le sujet de mes études et le modèle de la plupart des illustrations que j'ai créées pour cet *Atlas* ; et à mes maîtres Eugênio Cavalcante, Mário Fortes et Paulo Carneiro qui ont su pousser encore plus loin mon intérêt pour l'anatomie clinique humaine.

John T. Hansen, PhD

À Elsevier, je voudrais remercier Marybeth Thiel, *senior content development specialist*, Elyse O'Grady, *executive content strategist*, John Casey, *senior project manager*, Patricia Tannian, *publishing services manager*, Julia Dummitt, *design manager*, Karen Giacomucci, *illustration buyer*, et Madelene Hyde, *publishing director*, pour leur soutien permanent et leur méticuleuse attention du détail pendant la réalisation de cette septième édition de l'*Atlas d'anatomie humaine*. J'ai été ravi de travailler avec eux et de les connaître, tout comme les équipes d'Elsevier de l'édition, de la production, du design et du marketing. Je souhaite également remercier mes éditeurs consultants pour leurs suggestions perspicaces et constructives que nous nous évertuons de prendre en compte afin d'améliorer chaque nouvelle édition de l'*Atlas* de Netter. Je suis également redevable à Carlos Machado de sa magnifique habileté artistique à produire ou mettre à jour de nombreuses planches anatomiques qui apparaissent dans cette dernière édition de l'*Atlas*. Son rendu de l'anatomie humaine est parfaitement complémentaire des illustrations de Netter. En plus de mes compagnons d'édition, je souhaite exprimer mes remerciements à mes collègues de la Faculté de Rochester et à tous mes étudiants, anciens et actuels, pour leur retour d'informations généreuses et constructives et pour avoir enrichi ma vie. Je suis reconnaissant envers toute ma famille pour son soutien sans faille et particulièrement

à ma femme, Paula. Leur amour et leurs encouragements m'ont soutenu et ils sont la source de mon bonheur et de ma joie.

Brion Benninger, MD, MSc

Chaque jour je suis reconnaissant envers ma femme, Alison, et mon fils, Jack, pour les fous rires que nous avons en famille, résultant souvent de mes folies, ce qui est très stimulant. Je remercie Elsevier, spécialement Marybeth Thiel, Elyse O'Grady et Madelene Hyde pour leur professionnalisme et leurs conseils, permettant à John Hansen, Carlos Machado et à mes collègues co-éditeurs de travailler dans un environnement unique et dynamique. Je remercie ces cliniciens qui m'ont formé, en particulier mes premiers maîtres talentueux chirurgiens/anatomistes/enseignants, les Drs Gerald Tressidor et Harold Ellis CBE (Cambridge & Guy's Hospital) ; le Dr S. Standring, qui incarne le professionnalisme et est un exemple de détermination ; les Drs P. Crone et J. Heatherington, et le Conseil universitaire pour leur remarquable soutien ; mes anciens et futurs étudiants et patients ; et mes collègues cliniciens des quatre coins du monde qui gardent l'anatomie dynamique, fraîche et qui en redemandent. Un remerciement tout particulier à Jim Diegel et Erik Szeto, amis, mentors et collègues visionnaires qui peuvent voir « au-delà des sentiers battus », remettant en cause le statu quo. Je tiens à rendre un hommage appuyé à mes derniers mentors, amis et à ma sœur, Jim McDaniel, Bill Bryan et Gail Hendricks, qui tous représentent ce qui est bon pour enseigner, soigner et guérir. Ils contribuent à rendre ce monde meilleur. Enfin, je remercie ma mère pour son amour de l'éducation et de l'égalité des chances et mon père pour son esprit curieux et créatif.

Jennifer Brueckner-Collins, PhD

De nombreux remerciements à l'équipe d'Elsevier, particulièrement à Marybeth Thiel et Elyse O'Grady, pour leurs conseils avisés et leur expertise pendant la préparation de la septième édition. C'est toujours un honneur de travailler avec Carlos Machado, dont la passion et la maîtrise artistique de l'anatomie clinique et de la médecine ne cessent de m'étonner. Je suis pour toujours redevable à l'égard de Brian MacPherson qui a été un enseignant, un maître et un ami depuis plus de 20 ans... vous m'avez montré ce que signifie être un véritable éducateur et j'ai eu la chance d'avoir l'opportunité de construire ma carrière sur ces principes. À Kurt et Lincoln, vous êtes mon inspiration, mon monde, ma vie et je vous aime à l'infini et au-delà.

Todd M. Hoagland, PhD

C'est un privilège d'enseigner l'anatomie clinique humaine et je serai éternellement reconnaissant à tous les donateurs de leur corps à la science et à leurs familles de permettre aux professionnels de santé de se former dans les laboratoires de dissection. J'ai l'honneur de travailler avec de remarquables étudiants en médecine et collègues à la Faculté de médecine du Wisconsin. Je suis reconnaissant à John Hansen et aux professionnels de l'équipe d'Elsevier

de m'avoir donné l'opportunité d'être le coordonnateur de l'incomparable *Atlas* de Netter. Marybeth Thiel et Elyse O'Grady ont été particulièrement d'une grande aide et c'est un véritable plaisir de travailler avec elles. Cela a été un honneur de collaborer avec le fabuleux Carlos Machado et tous les éditeurs consultants. Je remercie Bill Swartz et Mark Moss d'avoir été des mentors exceptionnels et tous les étudiants diplômés. J'ai travaillé plus particulièrement avec Rebecca Lufner. Je suis profondément reconnaissant à Stan Hillman et Jack O'Malley de m'avoir inspiré avec leur enseignement magistral et leurs attentes rigoureuses. Je suis redevable envers Gary Kolesari et Richard Hoyt Jr. de m'avoir aidé à devenir compétent en anatomie clinique, et envers Rob Bouchie pour sa camaraderie. Je suis très reconnaissant envers mon frère Bill pour son optimisme indéfectible et sa nature docile. Je remercie ma mère,

Liz, pour son dévouement et son amour et pour m'avoir insufflé une forte éthique de travail. Je suis ému par mes deux formidables enfants, Ella et Caleb, de m'avoir aidé à redéfinir l'amour, l'émerveillement et la joie.

R. Shane Tubbs, MS, PA-C, PhD

Encore une fois, cela a été un plaisir de travailler avec Elsevier et l'équipe Netter. Je remercie Elyse O'Grady, Marybeth Thiel et John Casey pour leur prodigieux travail dans cette édition. En outre, Carlos Machado a de nouveau ajouté son expertise pour donner vie à ses images anatomiques. Comme toujours, mon travail est inspiré par ma magnifique épouse, Susan, et mon fils, Isaiah. Enfin, je suis redevable à mes parents, Richard et Karon Tubbs, qui m'ont soutenu tout au long de ma carrière destinée à mieux comprendre le corps humain.

SOMMAIRE

SECTION 1 INTRODUCTION • Planches 1-7

Introduction • Planches 1-7

- 1 Plans du corps humain et termes de rapport
- 2 Anatomie de surface : régions (vue antérieure d'une femme)
- 3 Anatomie de surface : régions (vue postérieure d'un homme)
- 4 Principales artères et zones de palpation des pouls
- 5 Principales veines systémiques du système cardio-vasculaire
- 6 Organisation générale du système nerveux
- 7 Aperçu du système lymphatique

SECTION 2 TÊTE ET COU • Planches 8-160

Anatomie de surface • Planche 8

- 8 Tête et cou : anatomie de surface

Régions superficielles de la tête et du cou • Planches 9-10

- 9 Nerfs cutanés de la tête et du cou
- 10 Artères et veines superficielles de la face et du cuir chevelu

Os et ligaments • Planches 11-30

- 11 Tête osseuse : vue antérieure
- 12 Tête osseuse : radiographie de face (antéro-postérieure)
- 13 Tête osseuse : vue latérale
- 14 Tête osseuse : radiographie de profil (latérale)
- 15 Crâne : coupe sagittale médiane
- 16 Calvaria
- 17 Base externe du crâne
- 18 Base interne du crâne
- 19 Foramens et canaux de la base du crâne : vue inférieure
- 20 Foramens et canaux de la base du crâne : vue supérieure
- 21 Crâne du nouveau-né
- 22 Squelette osseux de la tête et du cou
- 23 Fosse ptérygoïdienne
- 24 Mandibule
- 25 Articulation temporo-mandibulaire
- 26 Vertèbres cervicales : atlas et axis
- 27 Vertèbres cervicales (suite)
- 28 Vertèbres cervicales : articulations uncovertébrales

- 29 Ligaments cranio-vertébraux externes
- 30 Ligaments cranio-vertébraux internes

Cou • Planches 31-41

- 31 Muscles de la mimique : vue latérale
- 32 Muscles du cou : vue antérieure
- 33 Fascias du cou
- 34 Fascias cervicaux
- 35 Muscles infra-hyoïdiens et supra-hyoïdiens
- 36 Muscles du cou : vue latérale
- 37 Muscles cervicaux antérieurs et latéraux du rachis
- 38 Veines superficielles et nerfs cutanés du cou
- 39 Nerfs et vaisseaux du cou
- 40 Nerfs et vaisseaux du cou (suite)
- 41 Artères carotides

Région du nez • Planches 42-64

- 42 Nez
- 43 Paroi latérale de la cavité nasale
- 44 Paroi latérale de la cavité nasale (suite)
- 45 Paroi médiale de la cavité nasale (septum nasal)
- 46 Nerfs de la cavité nasale
- 47 Artères de la cavité nasale : septum nasal relevé
- 48 Nerfs de la cavité nasale : septum nasal relevé
- 49 Nez et sinus maxillaire : coupe transversale
- 50 Sinus paranasaux : coupes coronale et transversale
- 51 Sinus paranasaux : vues parasagittales
- 52 Sinus paranasaux : variations avec l'âge
- 53 Glandes salivaires
- 54 Branches du nerf facial et glande parotide
- 55 Muscles de la mastication (suite)
- 56 Muscles de la mastication
- 57 Artère maxillaire
- 58 Partie proximale des artères maxillaire et temporale superficielle
- 59 Nerf mandibulaire (V_3)
- 60 Vue supérieure de la fosse infra-temporale
- 61 Nerf ophtalmique (V_1) et maxillaire (V_2)
- 62 Innervation autonome de la cavité nasale
- 63 Nerfs et artères de la région profonde de la face
- 64 Trajet des nerfs et des vaisseaux de la base du crâne

Région de la bouche • Planches 65-74

- 65 Examen de la cavité orale
- 66 Innervation afférente de la cavité orale et de la langue
- 67 Voûte de la cavité orale
- 68 Langue et glandes salivaires : coupes
- 69 Plancher de la cavité orale

70	Langue
71	Langue (suite)
72	Gosier
73	Dents
74	Dents (suite)

Pharynx • Planches 75-86

75	Muscles du pharynx ouvert partiellement : vue postérieure
76	Vue postérieure du pharynx : nerfs et vaisseaux
77	Pharynx : vue médiale
78	Muscles du pharynx : vue médiale
79	Pharynx ouvert : vue postérieure
80	Jonction pharyngo-œsophagienne
81	Muscles du pharynx : vue latérale
82	Nerfs des régions orale, de la tête et du cou
83	Artères des régions orale et pharyngienne
84	Veines des régions orale et pharyngienne
85	Vaisseaux et nœuds lymphatiques de la tête et du cou
86	Vaisseaux et nœuds lymphatiques du pharynx et de la langue

Glande thyroïde et larynx • Planches 87-93

87	Glande thyroïde : vue antérieure
88	Glande thyroïde et pharynx : vue postérieure
89	Glandes parathyroïdes
90	Cartilages du larynx
91	Muscles intrinsèques du larynx
92	Nerfs et coupe frontale du larynx
93	Action des muscles intrinsèques du larynx

Orbite et son contenu • Planches 94-104

94	Paupières
95	Appareil lacrymal
96	Muscles extrinsèques de l'œil
97	Nerfs de l'orbite
98	Vue supérieure et antérieure de l'orbite
99	Artères et veines de l'orbite et des paupières
100	Bulbe oculaire : coupe transversale
101	Chambres antérieure et postérieure du bulbe de l'œil
102	Cristallin et structures de maintien
103	Artères et veines intrinsèques de l'œil
104	Vascularisation de l'œil

Oreille • Planches 105-110

105	Trajet des sons perçus dans la cochlée
106	Oreille externe et cavité tympanique
107	Cavité tympanique
108	Labyrinthe osseux et labyrinthe membraneux

- 109 Labyrinthe osseux et labyrinthe membraneux (suite)
- 110 Orientation du labyrinthe dans le crâne

Méninges et cerveau • Planches 111-126

- 111 Méninges et veines diploïques
- 112 Artères méningées
- 113 Méninges et veines cérébrales superficielles
- 114 Sinus veineux de la dure-mère : coupe sagittale
- 115 Sinus veineux de la dure-mère (suite)
- 116 Cerveau : vues latérales
- 117 Cerveau : vues médiales
- 118 Encéphale : vue inférieure
- 119 Ventricules de l'encéphale
- 120 Circulation du liquide cérébro-spinal
- 121 Noyaux basaux du cerveau (ganglions)
- 122 Thalamus et ses rapports
- 123 Hippocampe et fornix
- 124 Tronc cérébral
- 125 Ventricules et cervelet
- 126 Cervelet

Nerfs crâniens et cervicaux • Planches 127-146

- 127 Noyaux des nerfs crâniens dans le tronc cérébral
- 128 Noyaux des nerfs crâniens dans le tronc cérébral (suite)
- 129 Nerfs crâniens (distribution motrice et sensitive) : schéma
- 130 Nerfs olfactifs (NC I) : schéma
- 131 Nerf optique (NC II) (voie visuelle) : schéma
- 132 Nerfs oculo-moteur (NC III), trochléaire (NC IV) et abducens (NC VI) : schéma
- 133 Nerf trijumeau (NC V) : schéma
- 134 Nerf facial (NC VII) : schéma
- 135 Nerf vestibulo-cochléaire (NC VIII) : schéma
- 136 Nerf glosso-pharyngien (NC IX) : schéma
- 137 Nerf vague (NC X) : schéma
- 138 Nerf accessoire (NC XI) : schéma
- 139 Nerf hypoglosse (NC XII) : schéma
- 140 Plexus cervical : schéma
- 141 Nerfs autonomes du cou
- 142 Nerfs autonomes de la tête
- 143 Ganglion ciliaire : schéma
- 144 Ganglions ptérygo-palatin et submandibulaire : schéma
- 145 Ganglion otique : schéma
- 146 Voies gustatives : schéma

Vascularisation cérébrale • Planches 147-158

- 147 Artères destinées au cerveau et aux méninges
- 148 Artère carotide interne dans la partie pétreuse de l'os temporal

149	Artères destinées au cerveau : schéma
150	Artères de l'encéphale : vues inférieure
151	Cercle artériel du cerveau (de Willis)
152	Artères de l'encéphale : vue antérieure et coupe frontale
153	Artères du cerveau : vues latérale et médiale
154	Artères de la fosse crânienne postérieure
155	Veines de la fosse crânienne postérieure
156	Veines profondes du cerveau
157	Veines sous-épendymaires de l'encéphale
158	Hypothalamus et hypophyse

Imagerie de l'encéphale • Planches 159-160

159	Imagerie crânienne (ARM et VRM)
160	Imagerie crânienne (IRM)

Structures de grande importance clinique • Tableaux 2.1-2.3

Muscles • Tableaux 2.4-2.9

SECTION 3 DOS ET MOELLE SPINALE • Planches 161-186

Anatomie de surface • Planche 161

161	Dos : anatomie de surface
-----	---------------------------

Os et ligaments • Planches 162-168

162	Colonne vertébrale
163	Vertèbres thoraciques
164	Vertèbres lombales
165	Vertèbres : radiographie et IRM
166	Sacrum et coccyx
167	Ligaments vertébraux : région lombo-sacrée
168	Ligaments vertébraux : région lombale

Moelle spinale • Planches 169-179

169	Moelle spinale et rameaux antérieurs
170	Rapports vertébraux des racines des nerfs spinaux
171	Dermatomes
172	Système nerveux sympathique : schéma
173	Système nerveux parasympathique : schéma
174	Méninges et racines nerveuses spinales
175	Origine du nerf spinal : coupes transversales
176	Artères de la moelle spinale : schéma
177	Artères de la moelle spinale : distribution intrinsèque
178	Veines de la moelle spinale et de la colonne vertébrale
179	Veines de la colonne vertébrale : veines vertébrales

Muscles et nerfs • Planches 180-184

180	Muscles du dos : couches superficielles
181	Muscles du dos : couches intermédiaires
182	Muscles du dos : couches profondes
183	Nerfs du dos
184	Triangle suboccipital

Coupes transversales • Planches 185-186

185	Région lombale postérieure : coupe transversale
186	Nerf spinal thoracique type : coupe transversale

Structures de grande importance clinique • Tableau 3.1

Muscles • Tableaux 3.2-3.3

SECTION 4 THORAX • Planches 187-248

Anatomie de surface • Planche 187

187	Thorax : anatomie de surface
-----	------------------------------

Glande mammaire • Planches 188-191

188	Glande mammaire
189	Artères de la glande mammaire
190	Vaisseaux et nœuds lymphatiques de la glande mammaire
191	Drainage lymphatique de la glande mammaire

Paroi du corps • Planches 192-201

192	Os de la cage thoracique
193	Les côtes et leurs articulations
194	Paroi thoracique antérieure
195	Paroi thoracique antérieure (suite)
196	Paroi thoracique antérieure : vue interne
197	Nerfs et artères intercostaux
198	Veines de la paroi thoracique interne
199	Nerf phrénique
200	Diaphragme : face thoracique
201	Diaphragme : face abdominale

Poumons • Planches 202-214

202	Topographie des poumons : vue antérieure
203	Topographie des poumons : vue postérieure
204	Poumons in situ : vue antérieure
205	Poumons : vues médiales
206	Segments broncho-pulmonaires

207	Segments broncho-pulmonaires (suite)
208	Trachée et bronches principales
209	Bronches et voies aérifères intra-pulmonaires
210	Gros vaisseaux du médiastin supérieur
211	Artères et veines bronchiques
212	Vaisseaux et nœuds lymphatiques du poumon
213	Nerfs autonomes du thorax
214	Innervation de l'arbre trachéo-bronchique : schéma

Cœur • Planches 215-233

215	Cœur in situ
216	Cœur : vue antérieure
217	Imagerie du cœur et auscultation cardiaque
218	Cœur : base et face diaphragmatique
219	Sac péricardique
220	Médiastin : coupe transversale (vue inférieure)
221	Thorax : section coronale du cœur et de l'aorte ascendante
222	Artères coronaires et veines cardiaques
223	Artères coronaires : imagerie
224	Atrium et ventricule droits
225	Atrium et ventricule gauches
226	Valves du squelette fibreux du cœur
227	Valves du squelette fibreux du cœur (suite)
228	Atriums, ventricules et septum interventriculaire
229	Système de conduction du cœur
230	Nerfs du thorax
231	Innervation du cœur : schéma
232	Innervation des vaisseaux sanguins : schéma
233	Circulation sanguine pré- et post-natale

Médiastin • Planches 234-243

234	Médiastin : vue latérale droite
235	Médiastin : vue latérale gauche
236	Œsophage in situ
237	Topographie et rétrécissements de l'œsophage
238	Muscles de l'œsophage
239	Jonction œso-gastrique
240	Artères de l'œsophage
241	Veines de l'œsophage
242	Vaisseaux et nœuds lymphatiques de l'œsophage
243	Nerfs de l'œsophage

Coupes tomодensitométriques • Planche 244

244	Coupe du thorax : clichés axiaux TDM
-----	--------------------------------------

Coupes transversales • Planches 245-248

245	Coupe transversale du thorax au niveau T3
246	Coupe transversale du thorax au niveau T3-T4
247	Coupe transversale du thorax au niveau T4-T5
248	Coupe transversale du thorax au niveau T7

Structures de grande importance clinique • Tableaux 4.1-4.2

Muscles • Tableau 4.3

SECTION 5 ABDOMEN • Planches 249-332

Anatomie de surface • Planche 249

249	Abdomen : anatomie de surface
-----	-------------------------------

Paroi du corps • Planches 250-269

250	Squelette de l'abdomen
251	Régions et plans de l'abdomen
252	Paroi abdominale antérieure : dissection superficielle
253	Paroi abdominale antérieure : dissection intermédiaire
254	Paroi abdominale antérieure : dissection profonde
255	Gaine rectusienne : coupes transversales
256	Paroi abdominale antérieure : vue interne
257	Paroi abdominale postéro-latérale
258	Artères de la paroi abdominale antérieure
259	Veines de la paroi abdominale antérieure
260	Nerfs de la paroi abdominale antérieure
261	Nerfs thoraco-abdominaux
262	Région inguinale : dissections
263	Canal inguinal et cordon spermatique
264	Région inguino-fémorale : gaine fémorale et lacune vasculaire
265	Muscles de la paroi abdominale postérieure
266	Artères de la paroi abdominale postérieure
267	Veines de la paroi abdominale postérieure
268	Vaisseaux et nœuds lymphatiques de la paroi abdominale postérieure
269	Nerfs de la paroi abdominale postérieure

Cavité péritonéale • Planches 270-275

270	Grand omentum et viscères abdominaux
271	Rapports mésentériques des intestins
272	Rapports mésentériques des intestins (suite)
273	Bourse omentale : estomac récliné
274	Bourse omentale : coupe transversale
275	Péritoine de la paroi abdominale postérieure

Viscères (intestin) • Planches 276-283

276	Estomac in situ
277	Muqueuse de l'estomac
278	Duodénum in situ
279	Muqueuse et musculature de l'intestin grêle
280	Région iléo-cæcale
281	Région iléo-cæcale (suite)
282	Appendice vermiforme
283	Muqueuse et musculature du gros intestin

Viscères (organes accessoires) • Planches 284-289

284	Faces et loge du foie
285	Foie in situ : systèmes vasculaire et de conduits
286	Structure du foie : schéma
287	Vésicule biliaire, conduits biliaires extra-hépatiques et conduit pancréatique
288	Pancréas in situ
289	Rate

Vascularisation viscérale • Planches 290-299

290	Artères de l'estomac, du foie et de la rate
291	Artères du foie, du pancréas, du duodénum et de la rate
292	Artériographie du tronc cœliaque et angioscanner
293	Artères du duodénum et de la tête du pancréas
294	Artères de l'intestin grêle
295	Artères du gros intestin
296	Veines de l'estomac, du duodénum, du pancréas et de la rate
297	Veines de l'intestin grêle
298	Veines du gros intestin
299	Affluents de la veine porte hépatique : anastomoses porto-caves

Innervation • Planches 300-310

300	Nerfs et ganglions autonomes
301	Innervation autonome de l'estomac et du duodénum
302	Innervation autonome de l'estomac et du duodénum (suite)
303	Innervation autonome de l'œsophage, de l'estomac et du duodénum : schéma
304	Innervation autonome de l'intestin grêle
305	Innervation autonome du gros intestin
306	Innervation autonome des intestins : schéma
307	Voies réflexes autonomes : schéma
308	Plexus entériques de l'intestin
309	Innervation autonome du foie : schéma
310	Innervation autonome du pancréas : schéma

Reins et glandes surrénales • Planches 311-324

- 311 Reins in situ : vues antérieures
- 312 Reins in situ : vues postérieures
- 313 Artère et veine rénales in situ
- 314 Structure macroscopique du rein
- 315 Artères intra-rénales et segments rénaux
- 316 Uretères dans l'abdomen et le pelvis
- 317 Artères des uretères et de la vessie
- 318 Fascias rénaux
- 319 Vaisseaux et nœuds lymphatiques des reins et de la vessie
- 320 Nerfs autonomes des reins, des uretères et de la vessie
- 321 Innervation autonome des reins et de la partie supérieure des uretères : schéma
- 322 Nerfs autonomes des glandes surrénales : dissection et schéma
- 323 Artères et veines des glandes surrénales in situ
- 324 Paroi et viscères de l'abdomen : coupe sagittale paramédiane

Coupes et imagerie • Planche 325

- 325 Lymphatiques abdominaux et pelviens : schéma

Coupes et imagerie • Planches 326-327

- 326 Coupes de l'abdomen : clichés axiaux TDM
- 327 Coupe de l'abdomen : clichés axiaux TDM (suite)

Coupes et imagerie • Planches 328-332

- 328 Coupe transversale : niveau T10, jonction œso-gastrique
- 329 Coupe transversale : niveau de T12, inférieur au processus xiphoïde
- 330 Coupe transversale : niveau du disque intervertébral T12-L1
- 331 Coupe transversale : niveau du disque intervertébral L1-L2
- 332 Coupe transversale : niveau du disque intervertébral L3-L4

Structures de grande importance clinique • Tableaux 5.1-5.2

Muscles • Tableau 5.3

SECTION 6 PELVIS ET PÉRINÉE • Planches 333-401

Anatomie de surface • Planche 333

- 333 Pelvis et périnée : anatomie de surface

Os et ligaments • Planches 334-338

- 334 Ossature du pelvis

335	Radiographies des pelvis féminin et masculin
336	Différences sexuelles du pelvis : mesures
337	Os et ligaments du pelvis
338	Os et ligaments du pelvis (suite)

Plancher et contenu pelviens • Planches 339-349

339	Diaphragme pelvien féminin
340	Diaphragme pelvien féminin (suite)
341	Diaphragme pelvien féminin (suite)
342	Diaphragme pelvien masculin
343	Diaphragme pelvien masculin (suite)
344	Contenu du pelvis féminin
345	Viscères pelviens et périnée féminin
346	Viscères pelviens chez la femme
347	Fascia endopelvien et espaces potentiels
348	Contenu du pelvis masculin
349	Viscères pelviens et périnée masculin

Vessie • Planches 350-352

350	Vessie : orientation et soutènement
351	Sphincters urinaires féminins
352	Vessie : chez la femme et chez l'homme

Utérus, vagin et structures de soutien • Planches 353-357

353	Utérus, vagin et structures de soutien
354	Utérus : fascia et ligaments
355	Utérus et annexes
356	Rapports dans le pelvis féminin
357	Ligaments pelviens

Périnée, organes génitaux chez la femme • Planches 358-361

358	Périnée et organes génitaux externes féminins (vulve)
359	Périnée féminin (dissection superficielle)
360	Périnée féminin et diaphragme uro-génital
361	Espaces périnéaux chez la femme

Périnée, organes génitaux chez l'homme • Planches 362-369

362	Périnée et organes génitaux externes chez l'homme (dissection superficielle)
363	Périnée et organes génitaux externes chez l'homme (dissection profonde)
364	Pénis
365	Espaces périnéaux chez l'homme
366	Prostate et vésicules séminales
367	Urètre
368	Descente des testicules
369	Scrotum et son contenu

Homologies des organes génitaux • Planches 370-371

- 370 Homologies des organes génitaux externes
- 371 Homologies des organes génitaux internes

Testicule, épididyme et conduit déférent • Planche 372

- 372 Testicule, épididyme et conduit déférent

Rectum • Planches 373-378

- 373 Rectum in situ : homme et femme
- 374 Fosse ischio-rectale
- 375 Rectum et canal anal
- 376 Musculeuse ano-rectale
- 377 Muscle sphincter externe de l'anوس : vues périnéales
- 378 Espaces périnéo-pelviens réels et potentiels

Coupes tomodensitométriques • Planche 379

- 379 Coupes pelviennes : IRM sagittale pondérée en T2

Vascularisation • Planches 380-390

- 380 Artères du rectum et du canal anal chez l'homme : vue postérieure
- 381 Veines du rectum et du canal anal chez la femme : vue antérieure
- 382 Artères et veines des organes pelviens chez la femme : vue antérieure
- 383 Artères et veines des testicules : vue antérieure
- 384 Artères et veines pelviennes (femme)
- 385 Artères et veines pelviennes (homme)
- 386 Artères et veines du périnée et de l'utérus
- 387 Artères et veines du périnée (homme)
- 388 Vaisseaux et nœuds lymphatiques pelviens et des organes génitaux (femme)
- 389 Vaisseaux et nœuds lymphatiques du périnée (femme)
- 390 Vaisseaux et nœuds lymphatiques pelviens et des organes génitaux (homme)

Innervation • Planches 391-399

- 391 Nerfs des organes génitaux externes (homme)
- 392 Nerfs des viscères pelviens (homme)
- 393 Nerfs du périnée (homme)
- 394 Nerfs des viscères pelviens (femme)
- 395 Nerfs du périnée et des organes génitaux externes (femme)
- 396 Voies nerveuses durant l'accouchement
- 397 Innervation des organes de la reproduction chez la femme : schéma

- 398 Innervation des organes de la reproduction chez l'homme : schéma
399 Innervation de la vessie et de l'uretère inférieur : schéma

Coupes transversales anatomiques • Planches 400-401

- 400 Pelvis masculin : coupe transversale de la jonction vésico-prostatique
401 Pelvis féminin : coupe transversale du vagin-urètre

Structures de grande importance clinique • Tableaux 6.1-6.2

Muscles • Tableaux 6.3-6.4

SECTION 7 MEMBRE SUPÉRIEUR • Planches 402-470

Anatomie de surface • Planche 402

- 402 Membre supérieur : anatomie de surface

Anatomie cutanée • Planches 403-407

- 403 Dermatomes du membre supérieur et fonction nerveuse segmentaire
404 Innervation cutanée du membre supérieur
405 Nerfs cutanés et veines superficielles de la partie proximale du membre supérieur
406 Nerfs cutanés et veines superficielles de l'avant-bras et de la main
407 Vaisseaux et noeuds lymphatiques du membre supérieur

Épaule et aisselle • Planche 408-420

- 408 Clavicule et articulation sterno-claviculaire
409 Humérus et scapula : vues antérieures
410 Humérus et scapula : vues postérieures
411 Épaule : Radiographie de face (antéro-postérieure)
412 Épaule avec des détails sur l'articulation gléno-humérale
413 Muscles de l'épaule
414 Aisselles : paroi postérieure et nerfs
415 Muscles de la coiffe des rotateurs (compresseurs)
416 Fascias pectoral, clavi-pectoral et axillaire
417 Dissection de l'épaule et de la région scapulo-thoracique
418 Artère axillaire et anastomoses péri-scapulaires
419 Fosse axillaire : vue antérieure
420 Plexus brachial : schéma

Bras • Planches 421-425

- 421 Muscles du bras : vues antérieures
- 422 Muscles du bras : vues postérieures
- 423 Artère brachiale in situ
- 424 Artères du bras et de la partie proximale de l'avant-bras
- 425 Bras : coupes transversales sériées

Coude et avant-bras • Planches 426-441

- 426 Os du coude
- 427 Coude : radiographies
- 428 Ligaments du coude
- 429 Os de l'avant-bras
- 430 Muscles propres de l'avant-bras : rotateurs du radius
- 431 Muscles propres de l'avant-bras : extenseurs du poignet et des doigts
- 432 Muscles propres de l'avant-bras : fléchisseurs du poignet
- 433 Muscles propres de l'avant-bras : fléchisseurs des doigts
- 434 Muscles de l'avant-bras (couche superficielle) : vue postérieure
- 435 Muscles de l'avant-bras (couche profonde) : vue postérieure
- 436 Muscles de l'avant-bras (couche superficielle) : vue antérieure
- 437 Muscles de l'avant-bras (couche intermédiaire) : vue antérieure
- 438 Muscles de l'avant-bras (couche profonde) : vue antérieure
- 439 Insertions des muscles de l'avant-bras : vue antérieure
- 440 Insertions des muscles de l'avant-bras : vue postérieure
- 441 Avant-bras : coupes transversales sériées

Poignet et main • Planches 442-461

- 442 Os du carpe
- 443 Mouvements du poignet
- 444 Ligaments du poignet
- 445 Ligaments du poignet (suite)
- 446 Os du poignet et de la main
- 447 Poignet et main : radiographies
- 448 Ligaments métacarpo-phalangiens et interphalangiens
- 449 Poignet et main : dissections palmaires superficielles
- 450 Poignet et main : dissections palmaires profondes
- 451 Muscles lombricaux, bourses, gaines et espaces : schéma
- 452 Tendons fléchisseurs, artères et nerfs du poignet
- 453 Bourses, espaces et gaines des tendons de la main
- 454 Tendons fléchisseurs et extenseurs des doigts
- 455 Muscles intrinsèques de la main
- 456 Artères et nerfs de la main : vues palmaires
- 457 Poignet et main : dissection superficielle
- 458 Poignet et main : dissection dorsale superficielle
- 459 Artères et nerfs de la région dorsale du poignet et de la main
- 460 Tendons extenseurs au poignet
- 461 Doigts

Innervation et vascularisation • Planches 462-469

- 462 Innervation cutanée du poignet et de la main
- 463 Artères et nerfs du membre supérieur : vue antérieure
- 464 Nerfs du membre supérieur
- 465 Nerf musculo-cutané : vue antérieure
- 466 Nerf médian
- 467 Nerf ulnaire
- 468 Nerf radial au bras et nerfs de la région postérieure de l'épaule : vue postérieure
- 469 Nerf radial à l'avant-bras et à la main

Imagerie de l'épaule • Planche 470

- 470 Épaule : IRM et TDM (tomodensitométrie)

Structures de grande importance clinique • Tableaux 7.1-7.2

Muscles • Tableaux 7.3-7.6

SECTION 8 MEMBRE INFÉRIEUR • Planches 471-535

Anatomie de surface • Planche 471

- 471 Membre inférieur : anatomie de surface

Anatomie cutanée • Planches 472-475

- 472 Dermatomes du membre inférieur et fonction nerveuse segmentaire
- 473 Nerfs et veines superficiels du membre inférieur : vue antérieure
- 474 Nerfs et veines superficiels du membre inférieur : vue postérieure
- 475 Vaisseaux et nœuds lymphatiques du membre inférieur

Hanche et cuisse • Planches 476-496

- 476 Os coxal
- 477 Articulation de la hanche
- 478 Articulation de la hanche : radiographie antéro-postérieure
- 479 Fémur
- 480 Insertions des muscles de la hanche et de la cuisse : vue antérieure
- 481 Insertions des muscles de la hanche et de la cuisse : vue postérieure
- 482 Muscles de la cuisse : vues antérieures
- 483 Muscles de la cuisse : vues antérieures (suite)
- 484 Muscles de la hanche et de la cuisse : vue latérale

485	Muscles de la hanche et de la cuisse : vues postérieures
486	Muscles psoas et iliaque
487	Plexus lombo-sacral et coccygien
488	Plexus lombal
489	Plexus sacral et coccygien
490	Artères et nerfs de la cuisse : vues antérieures
491	Artères et nerfs de la cuisse : vues antérieures (suite)
492	Artères et nerfs de la cuisse : vue postérieure
493	Nerfs de la hanche et de la fesse
494	Bourses de la hanche : vues postérieure et antéro-latérale
495	Artères de la tête et du col du fémur
496	Cuisse : coupes transversales sériées

Genou • Planches 497-503

497	Genou : vues latérale et médiale
498	Genou : vues antérieures
499	Genou : vues intérieures
500	Genou : ligaments croisés et collatéraux
501	Genou : radiographie de face et vue postérieure
502	Genou : vues postérieure et sagittale
503	Artères du membre inférieur : schéma

Jambe • Planches 504-514

504	Tibia et fibula
505	Tibia et fibula (suite)
506	Insertions des muscles de la jambe
507	Muscles de la jambe (dissection superficielle) : vue postérieure
508	Muscles de la jambe (dissection intermédiaire) : vue postérieure
509	Muscles de la jambe (dissection profonde) : vue postérieure
510	Muscles de la jambe : vue latérale
511	Muscles de la jambe (dissection superficielle) : vue antérieure
512	Muscles de la jambe (dissection profonde) : vue antérieure
513	Drainage veineux de la jambe
514	Jambe : coupes transversales et loges fasciales

Cheville et pied • Planches 515-528

515	Os du pied
516	Os du pied (suite)
517	Calcanéus
518	Ligaments et tendons de la cheville
519	Ligaments et tendons du pied : vue plantaire
520	Gaines tendineuses de la cheville
521	Muscles du dos du pied : dissection superficielle
522	Dos du pied : dissection profonde
523	Plante du pied : dissection superficielle

524	Muscles de la plante du pied : première couche
525	Muscles de la plante du pied : deuxième couche
526	Muscles de la plante du pied : troisième couche
527	Muscles interosseux et artères profondes du pied
528	Muscles interosseux du pied

Innervation et vascularisation • Planches 529-533

529	Nerfs fémoral et cutané latéral de la cuisse
530	Nerf obturateur
531	Nerfs sciatique (ischiatique) et cutané postérieur de la cuisse
532	Nerf tibial
533	Nerf fibulaire commun

Imagerie hanche et cheville • Planches 534-535

534	Hanches : radiographie, arthrographie et IRM
535	Cheville : radiographies

Structures de grande importance clinique • Tableaux 8.1-8.2

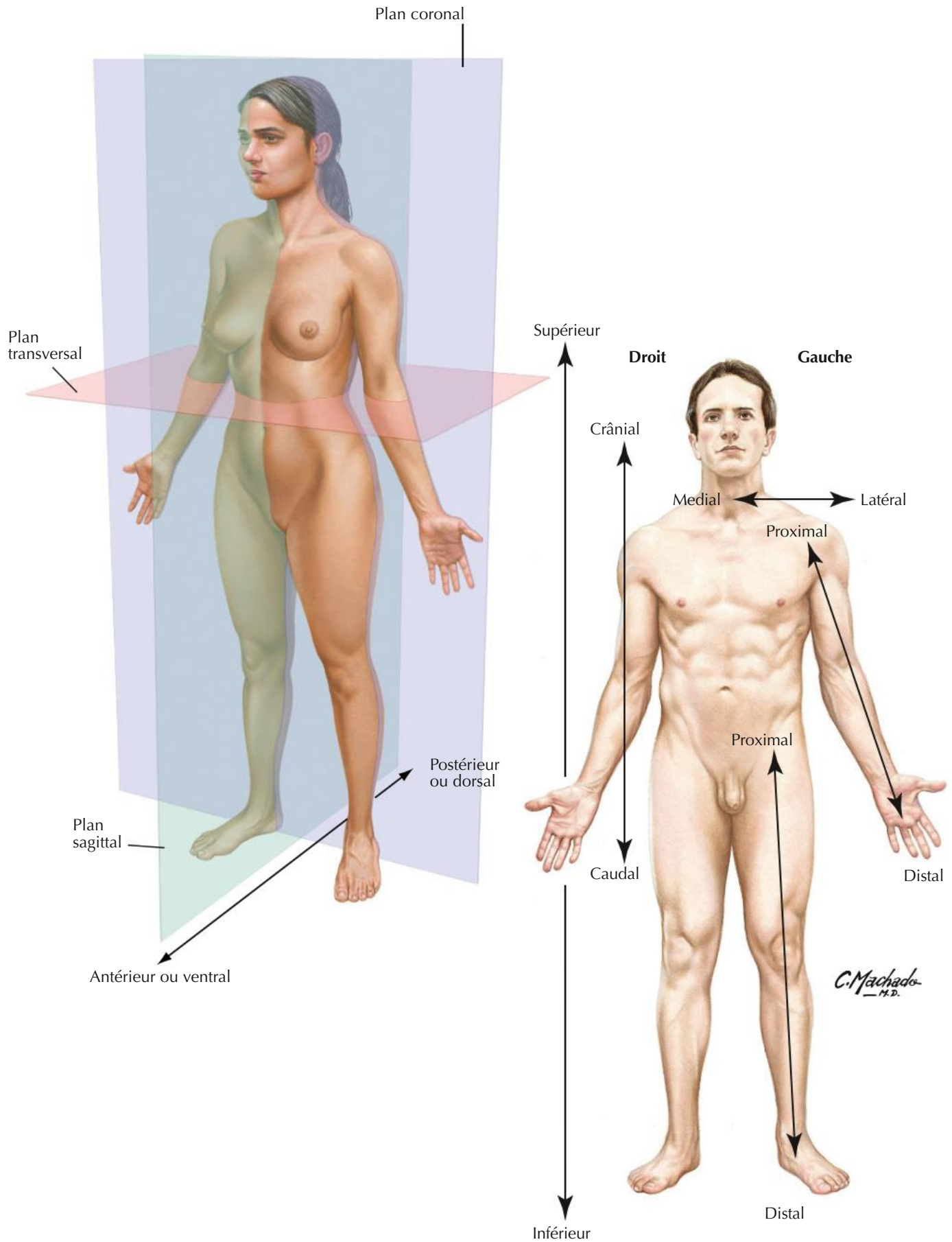
Muscles • Tableaux 8.3-8.6

INTRODUCTION

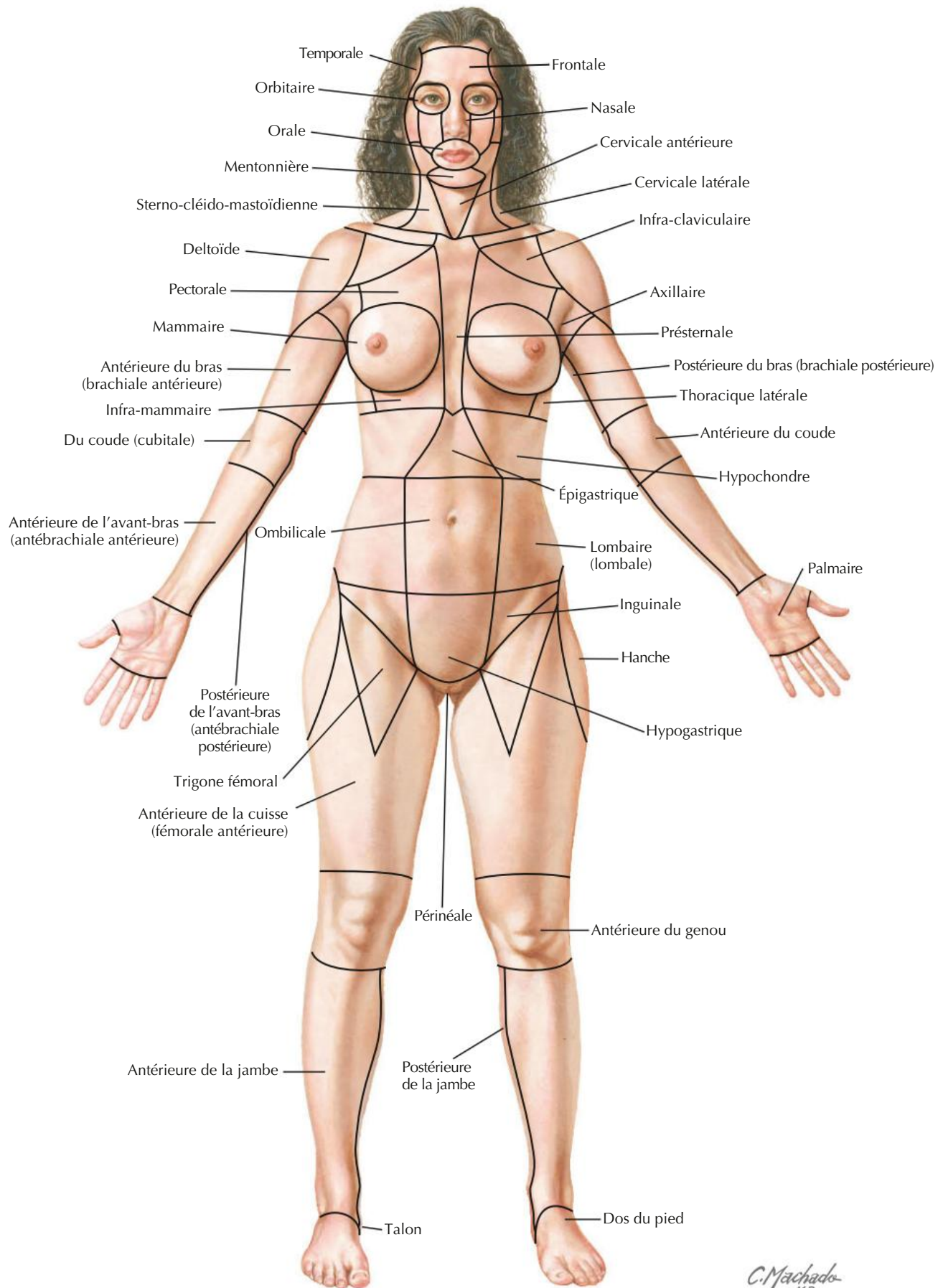
1

Introduction

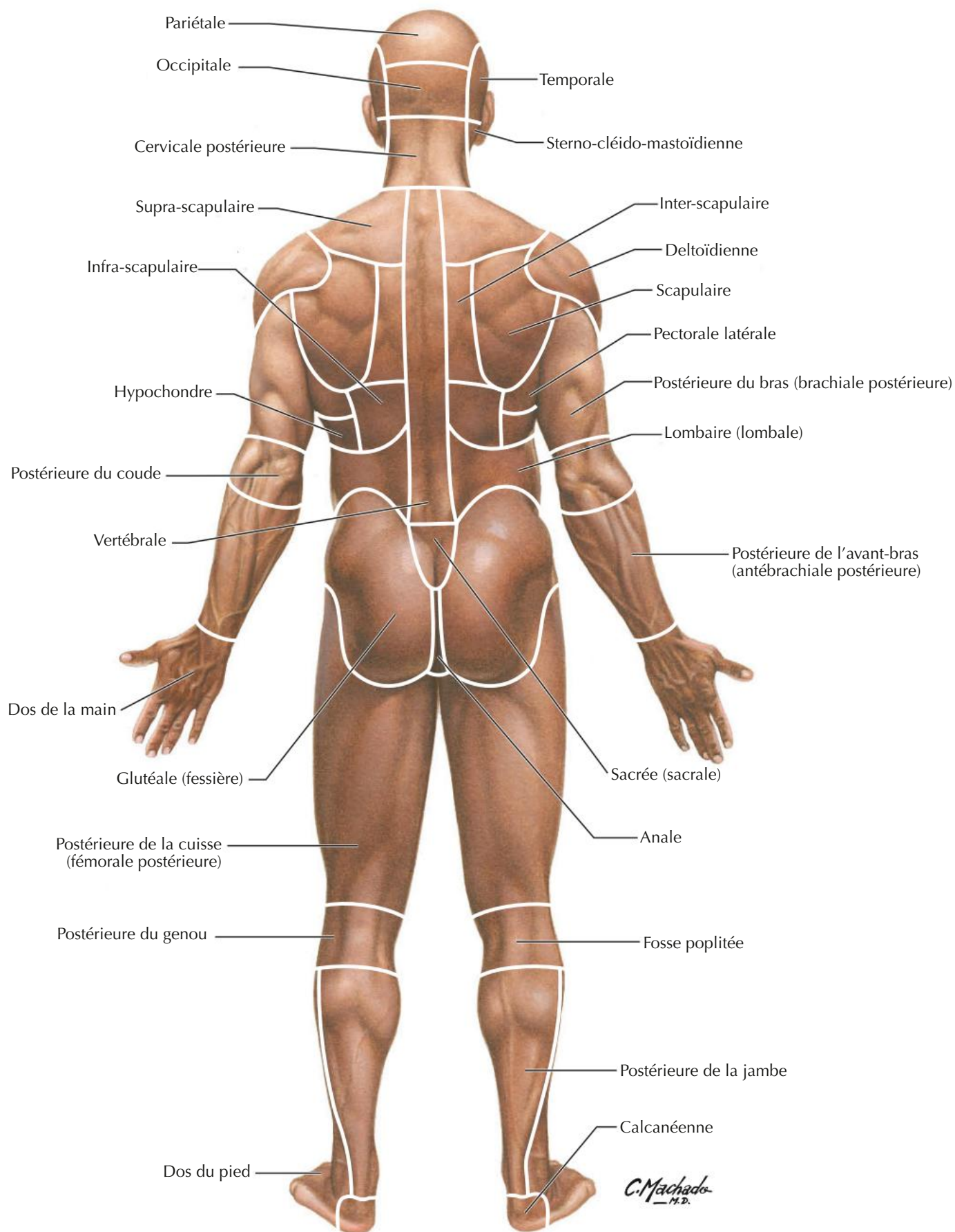
1-7



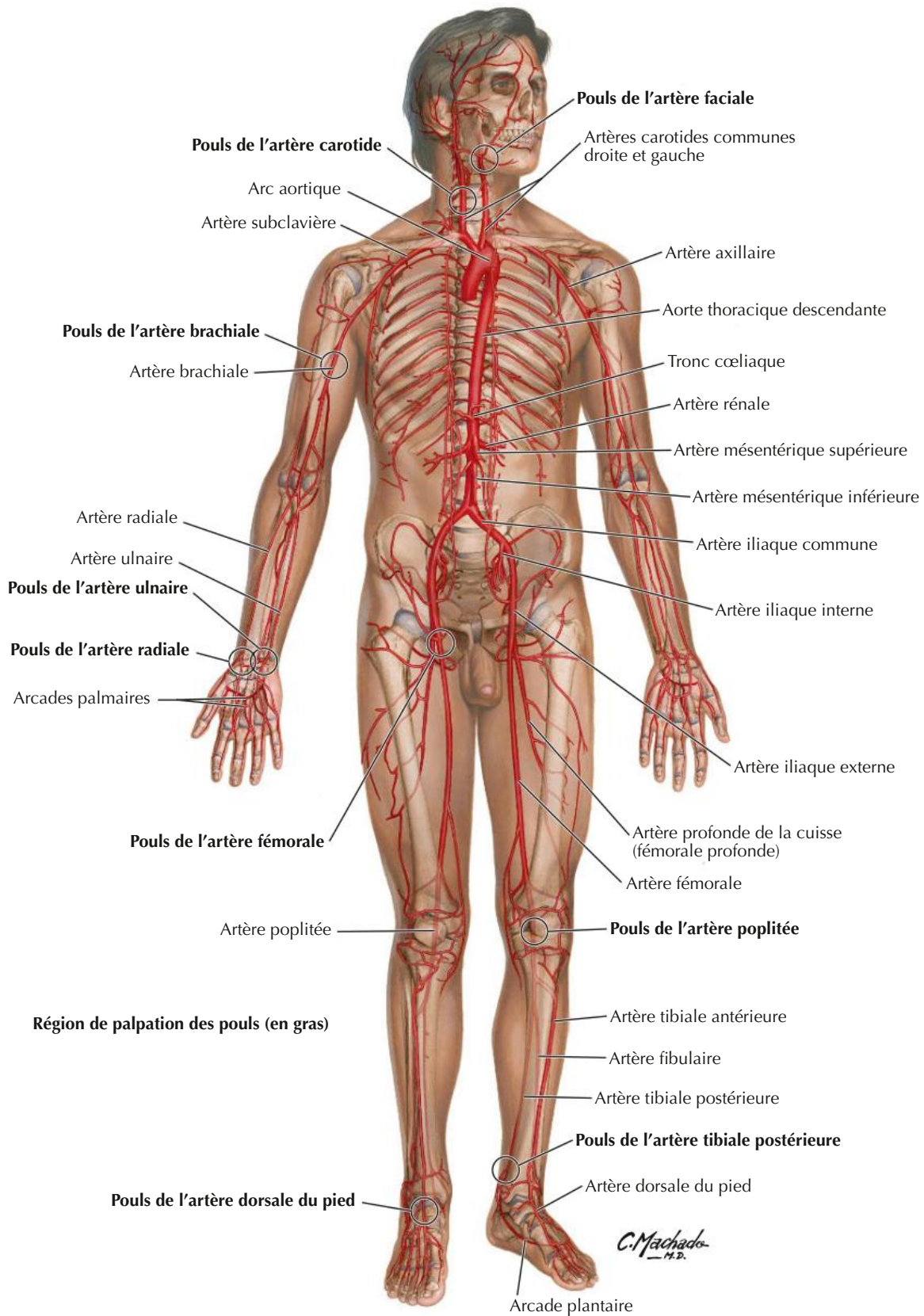
Anatomie de surface : régions (vue antérieure d'une femme)

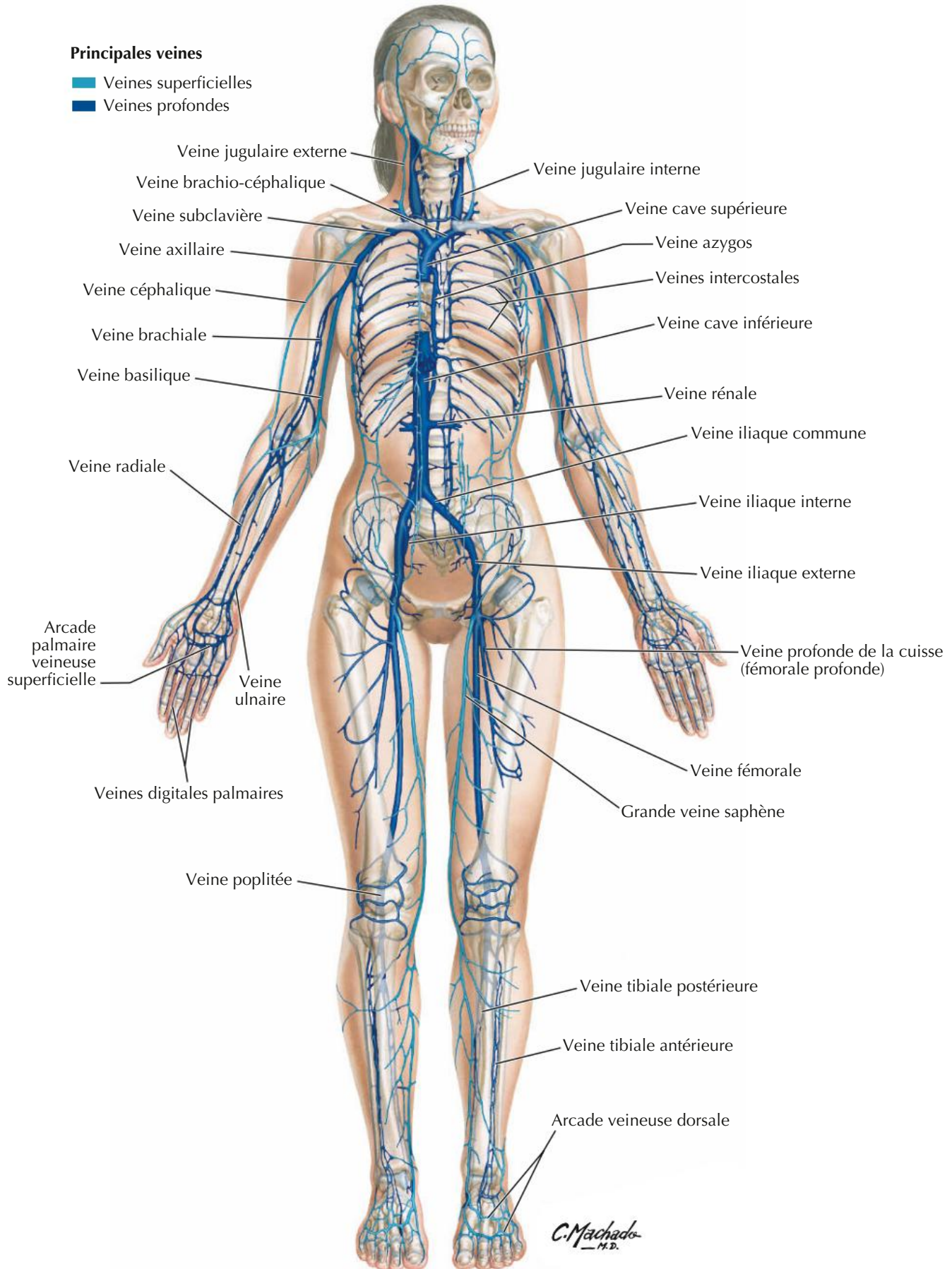


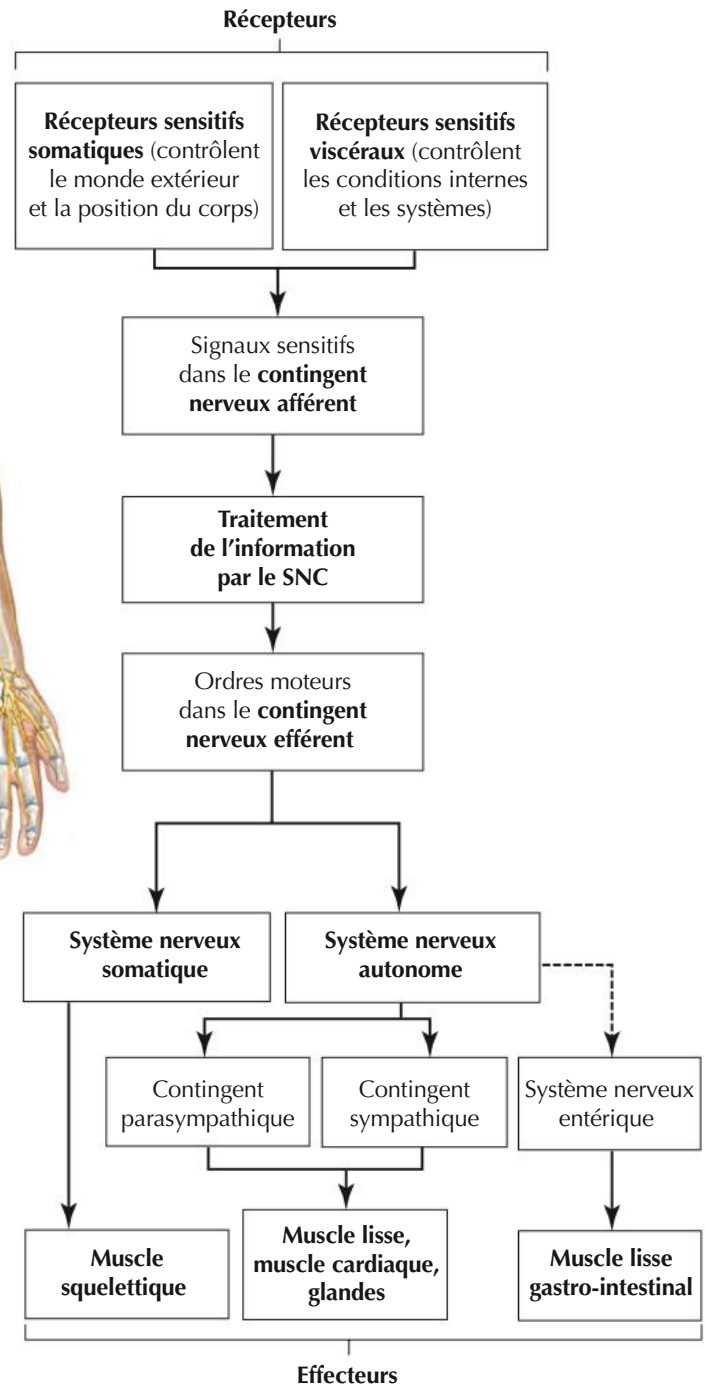
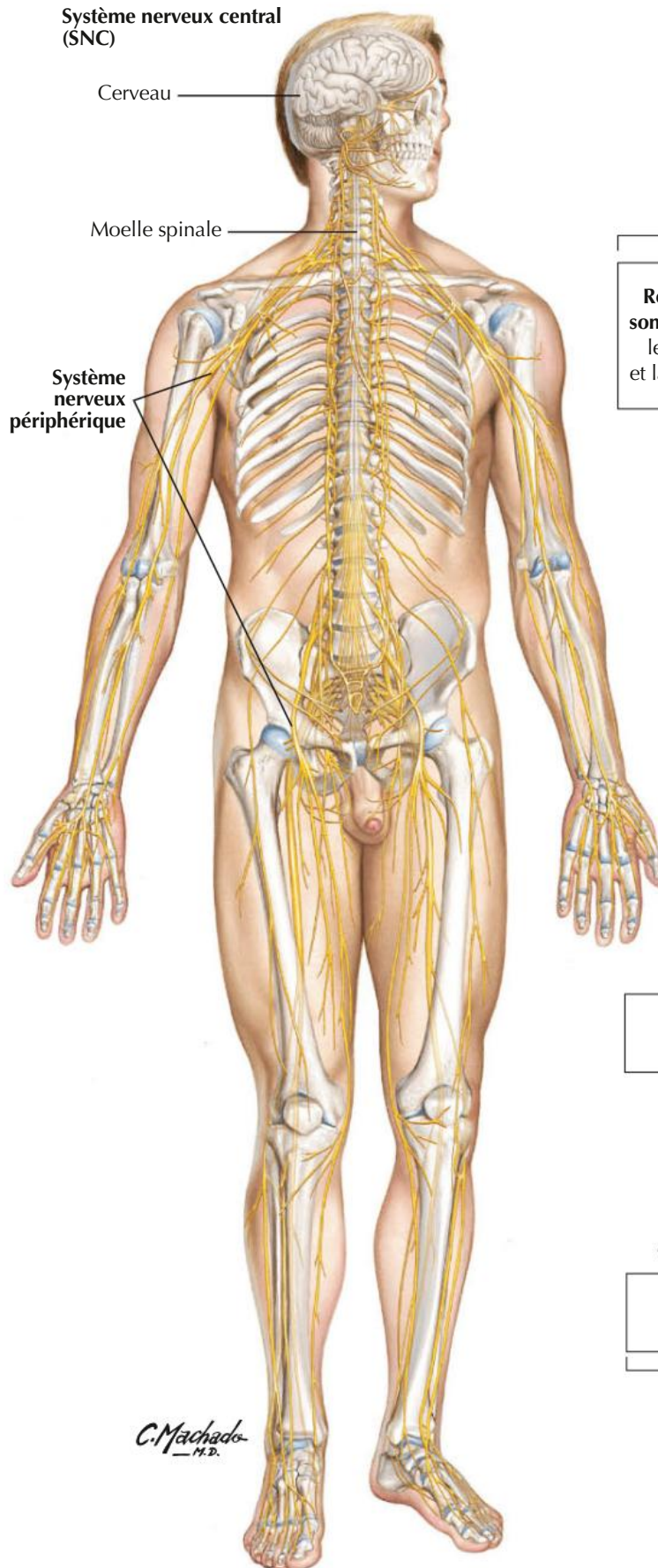
C. Machado
M.D.

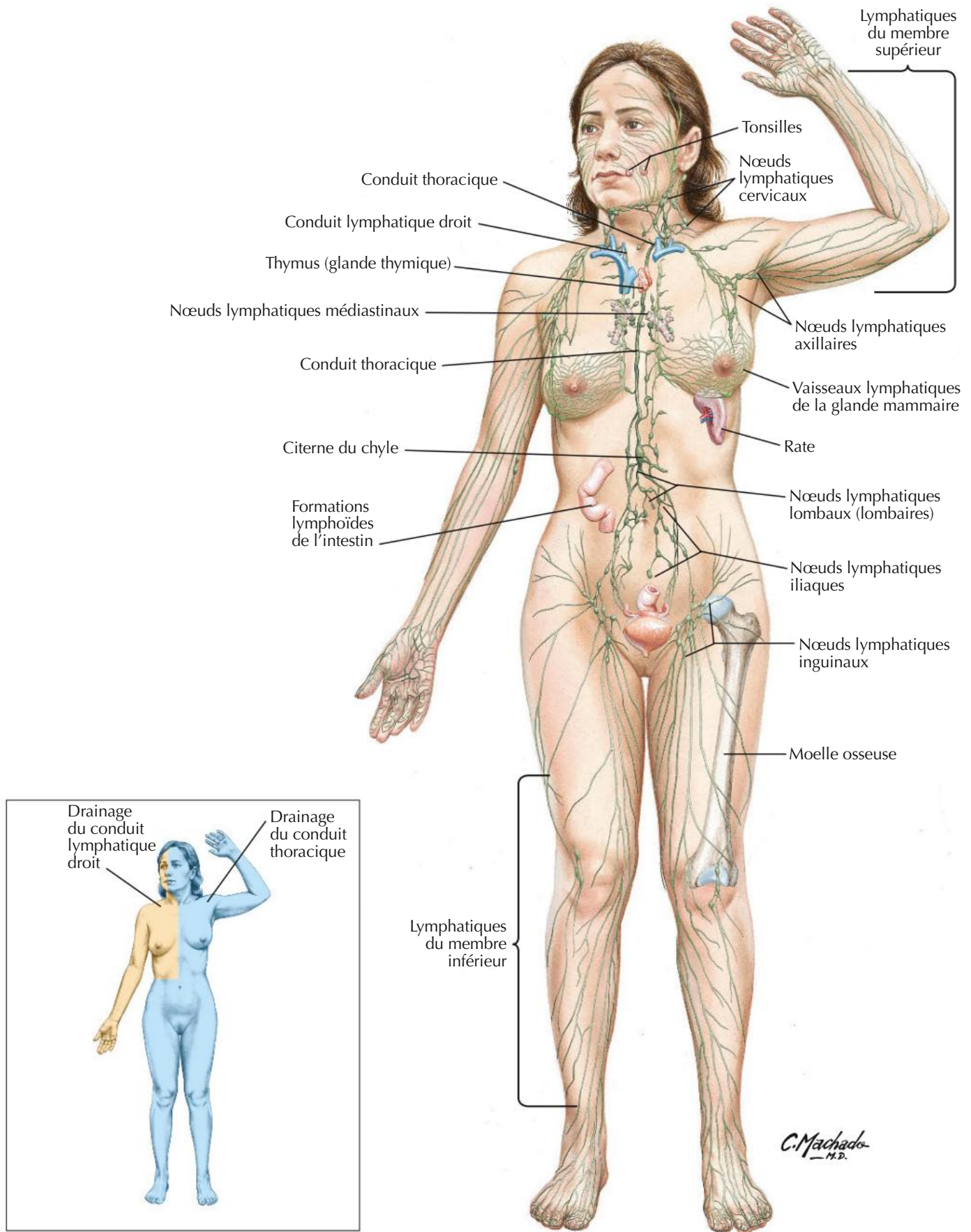


Principales artères et zones de palpation des pouls



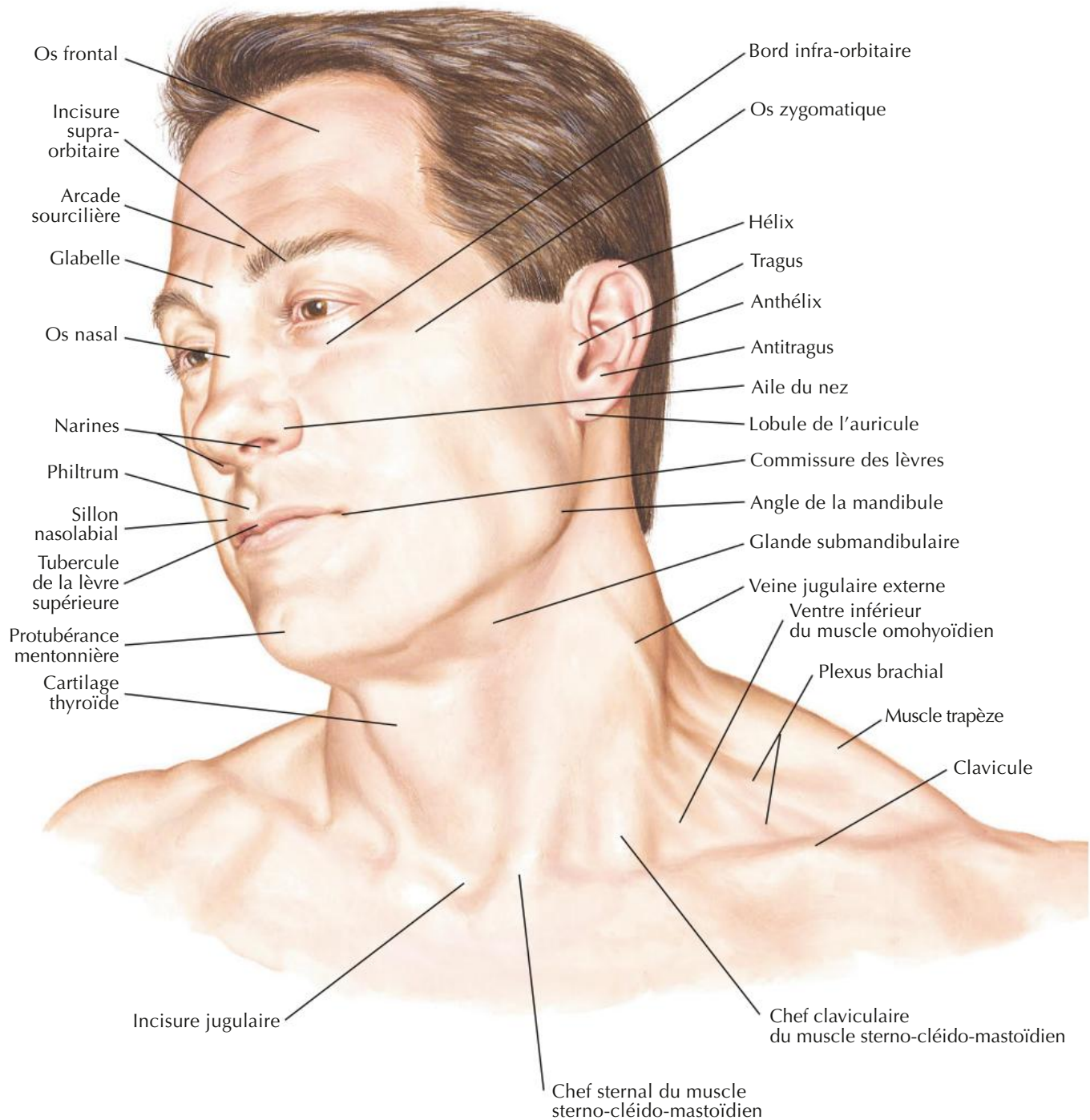




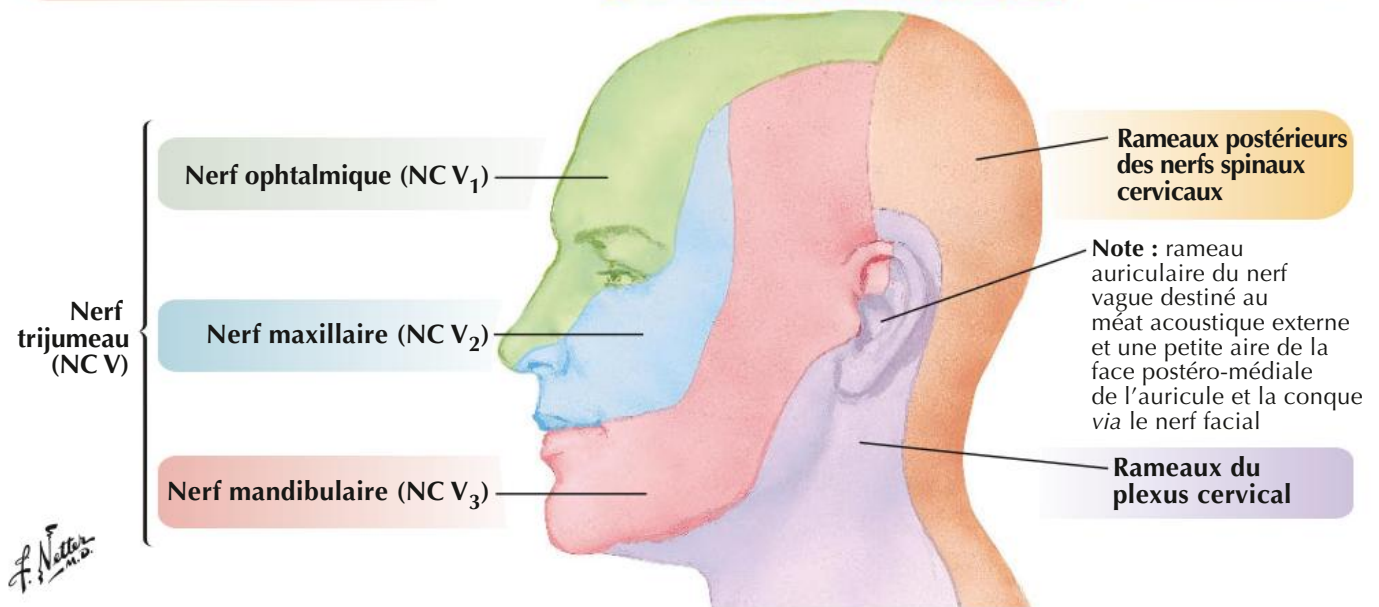
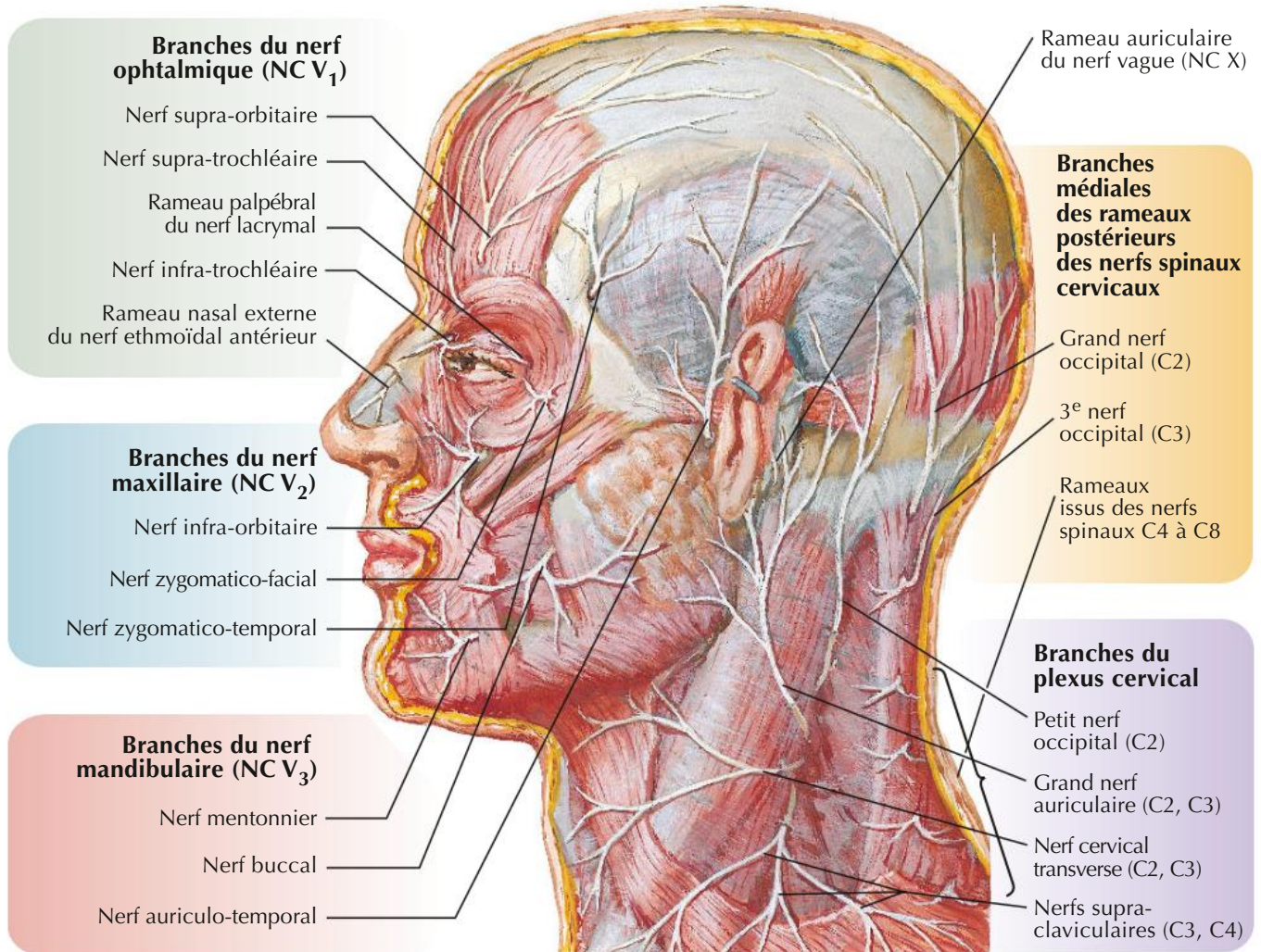


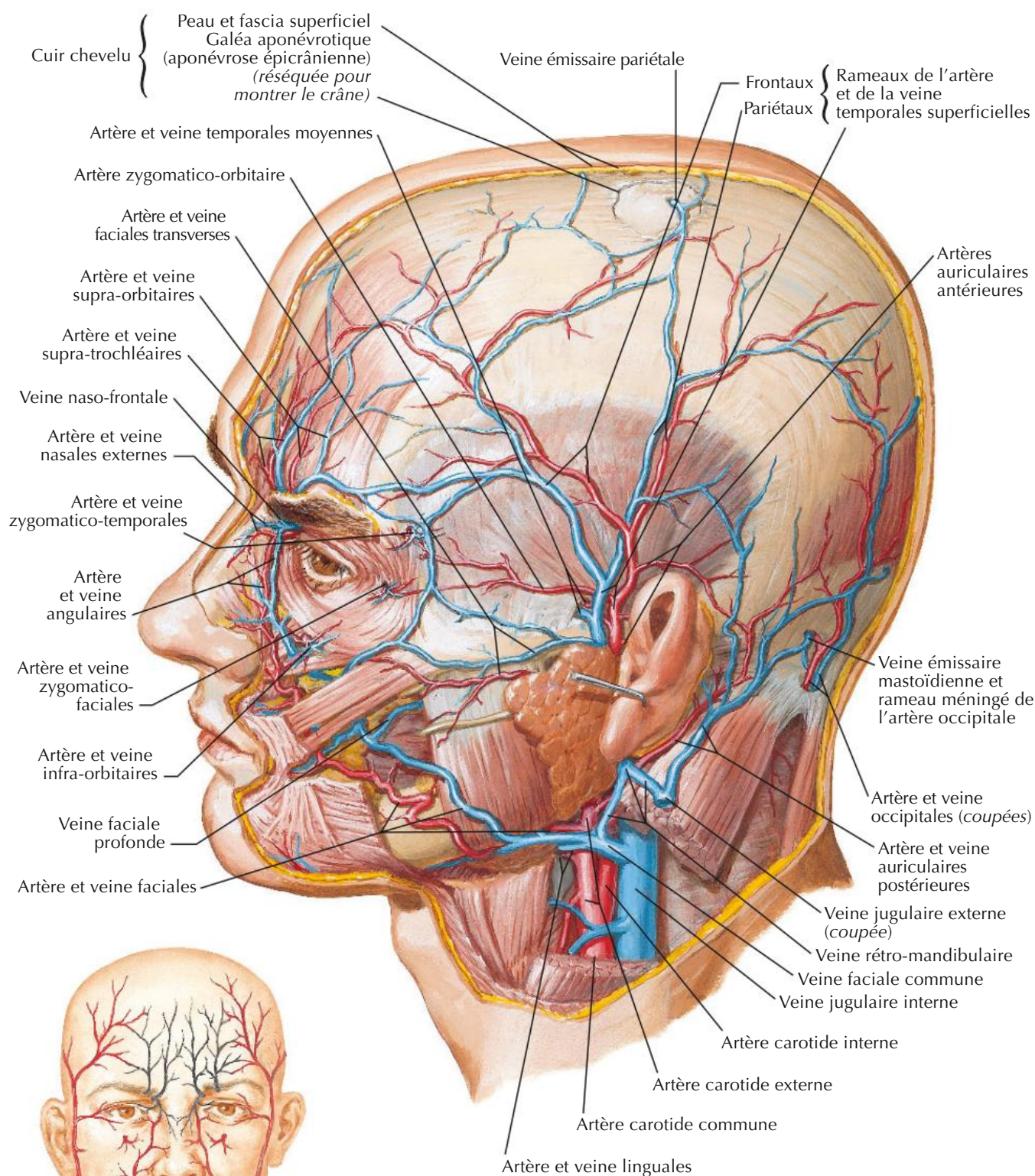
TÊTE ET COU 2

Anatomie de surface	8	Orbite et son contenu	94-104
Régions superficielles de la tête et du cou	9-10	Oreille	105-110
Os et ligaments	11-30	Méninges et cerveau	111-126
Cou	31-41	Nerfs crâniens et cervicaux	127-146
Région du nez	42-64	Vascularisation cérébrale	147-158
Région de la bouche	65-74	Imagerie de l'encéphale	159-160
Pharynx	75-86	Structures de grande* importance clinique	Tableau 2.1-2.3
Glande thyroïde et larynx	87-93	Muscles	Tableau 2.4-2.10



C. Machado
— M.D. —

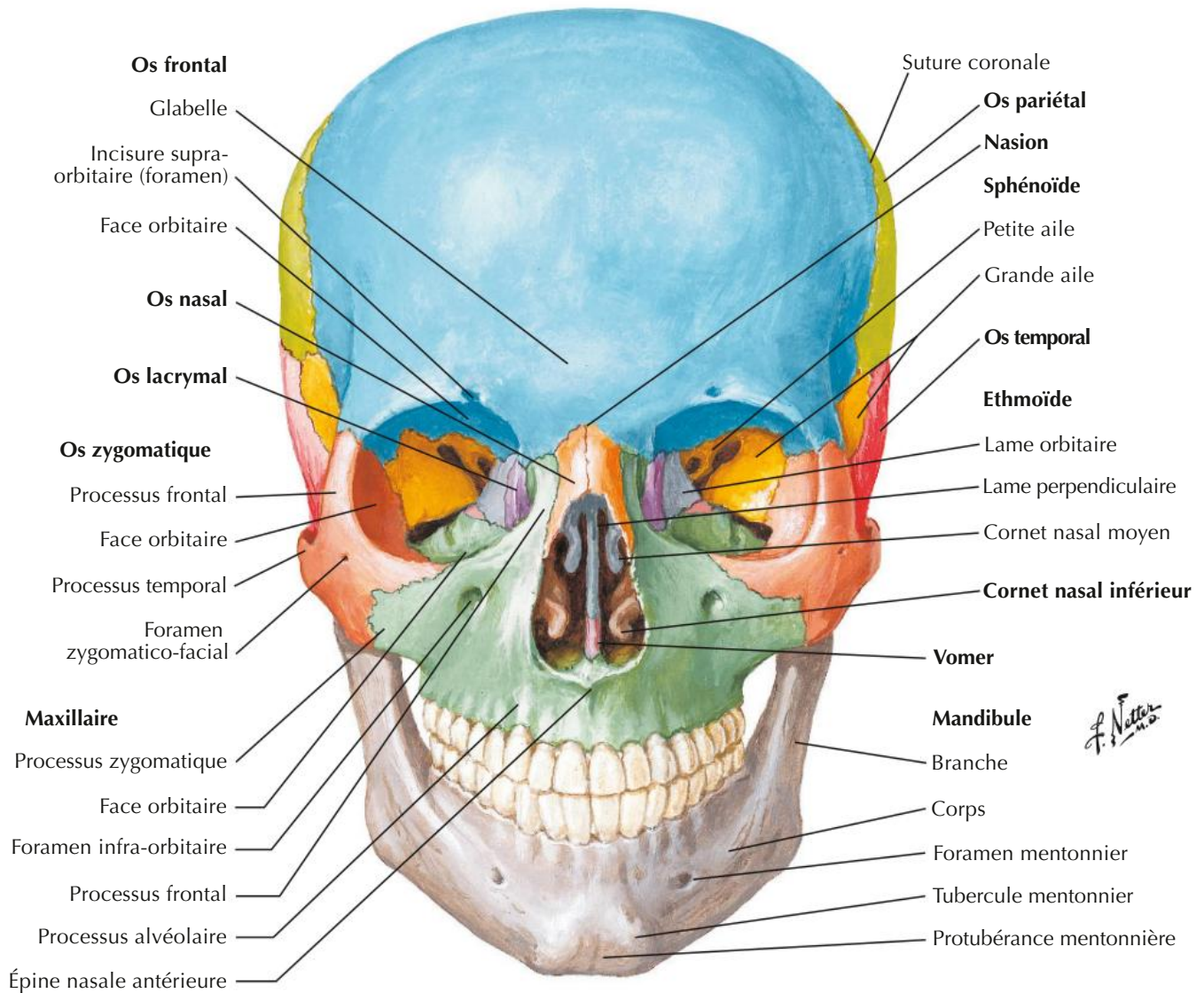




Origines de la vascularisation artérielle de la face

En noir : origine carotidienne interne (par l'intermédiaire de l'artère ophtalmique)
En rouge : origine carotidienne externe

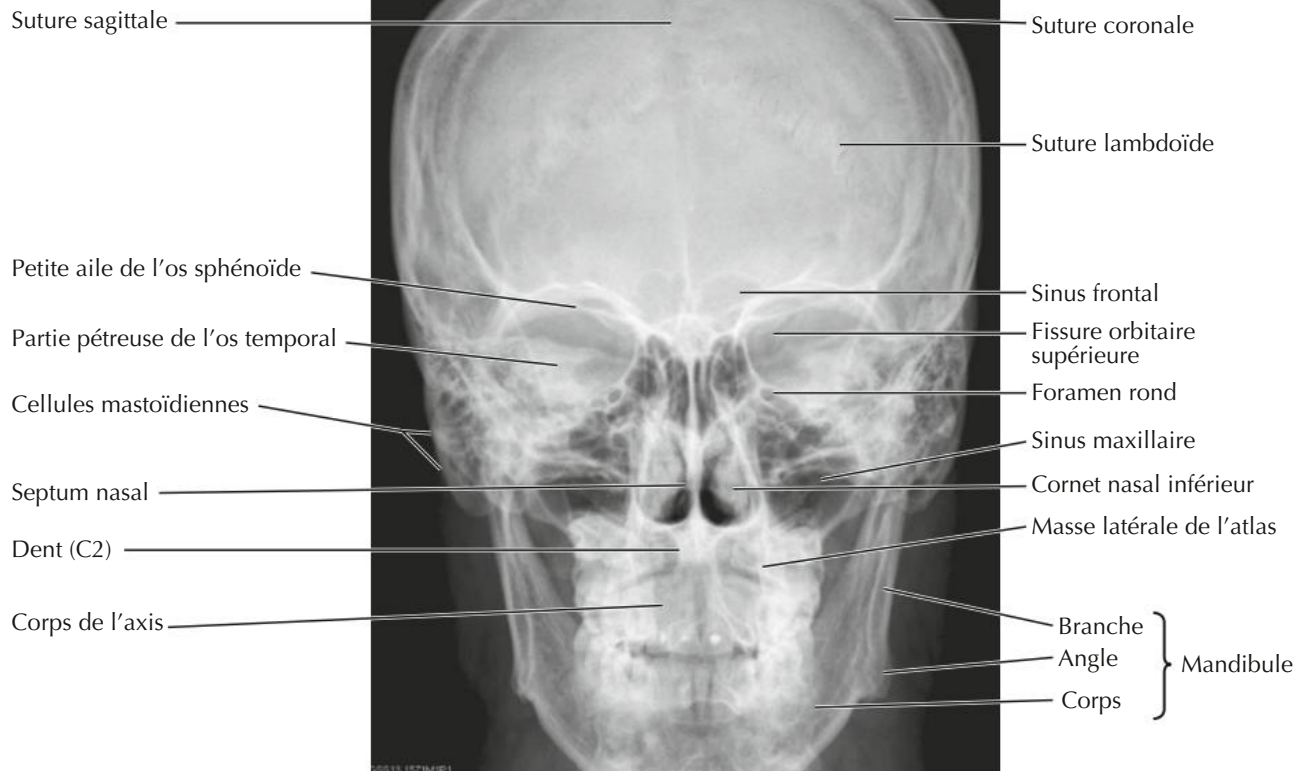
F. Netter M.D.



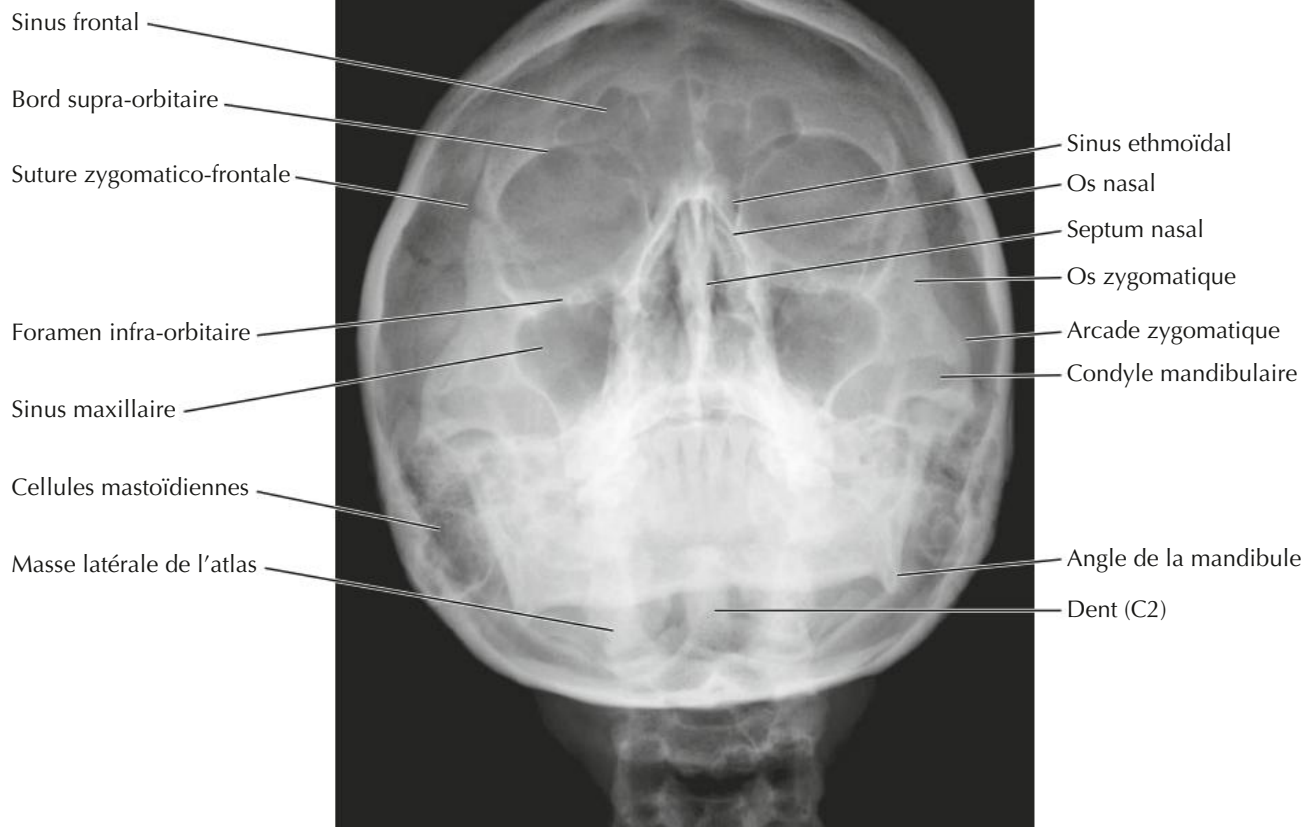
Orbite droite : vue frontale

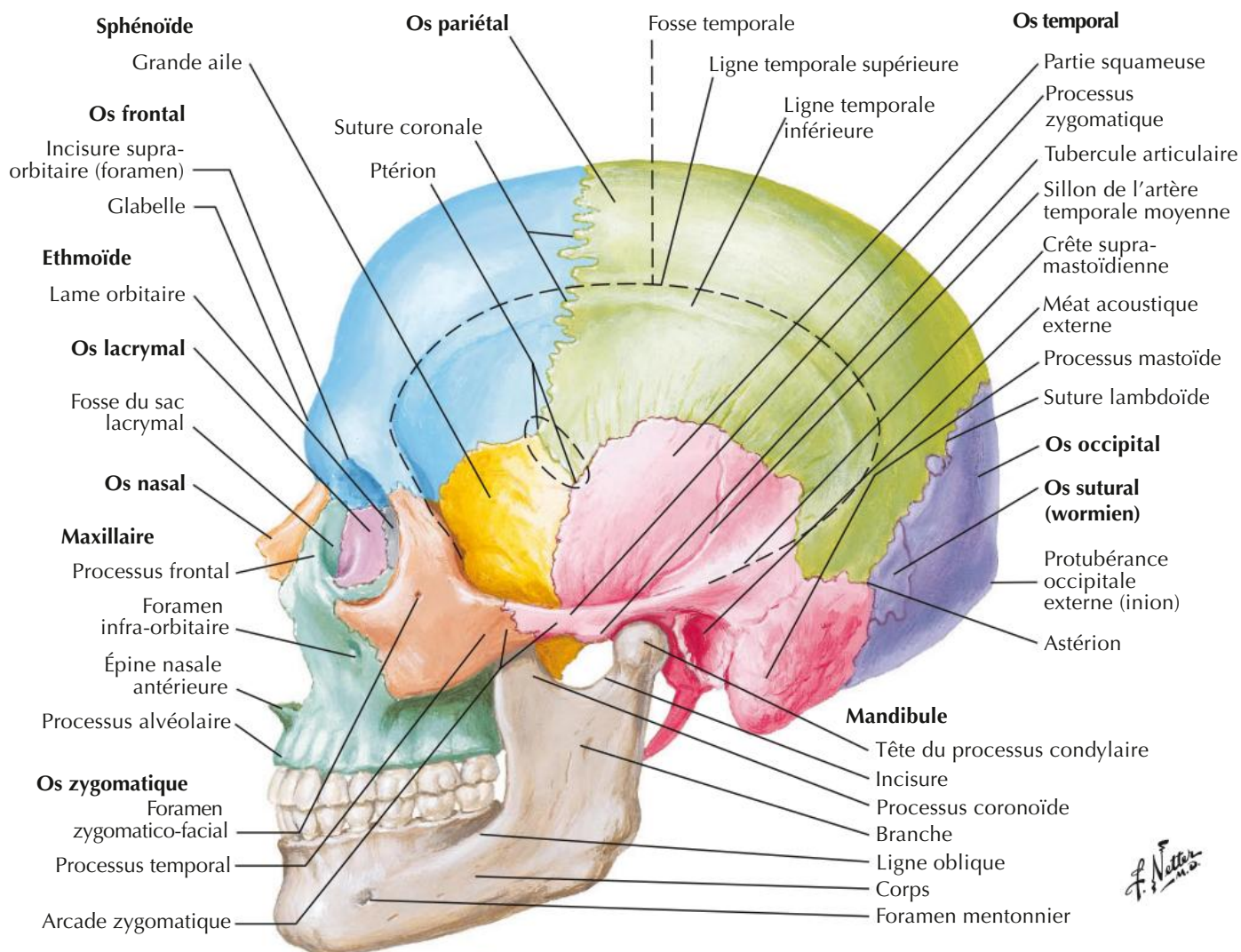


Vue ou incidence antéro-postérieure

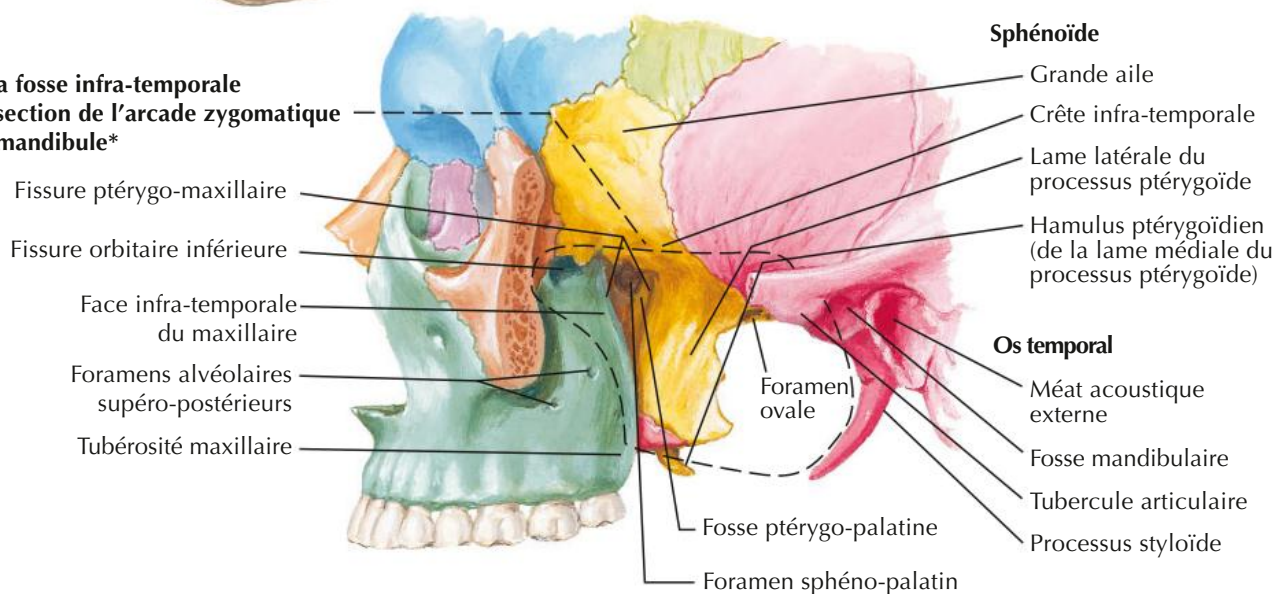


Vue ou incidence de Water

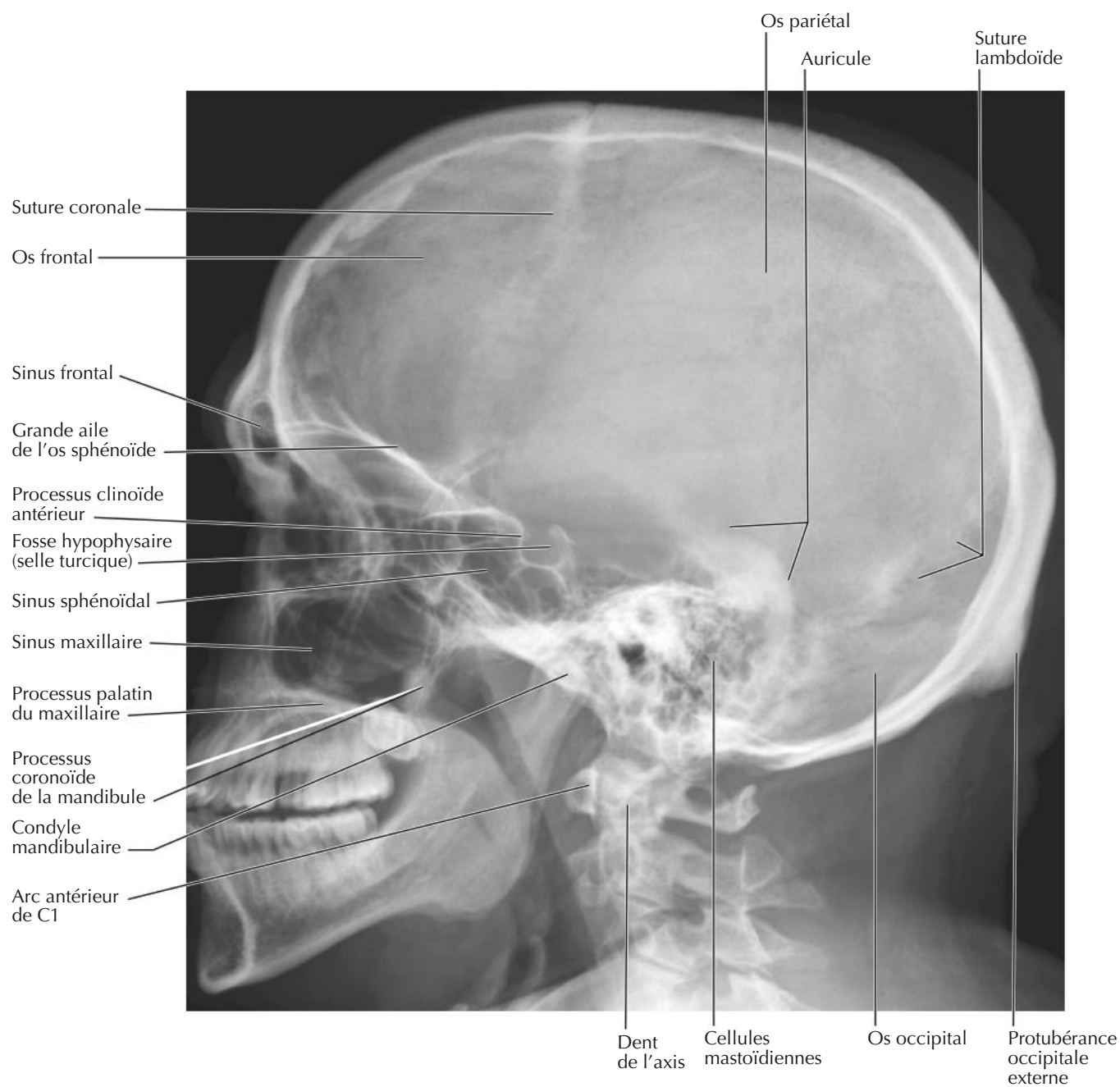




Vue de la fosse infra-temporale après résection de l'arcade zygomatique et de la mandibule*

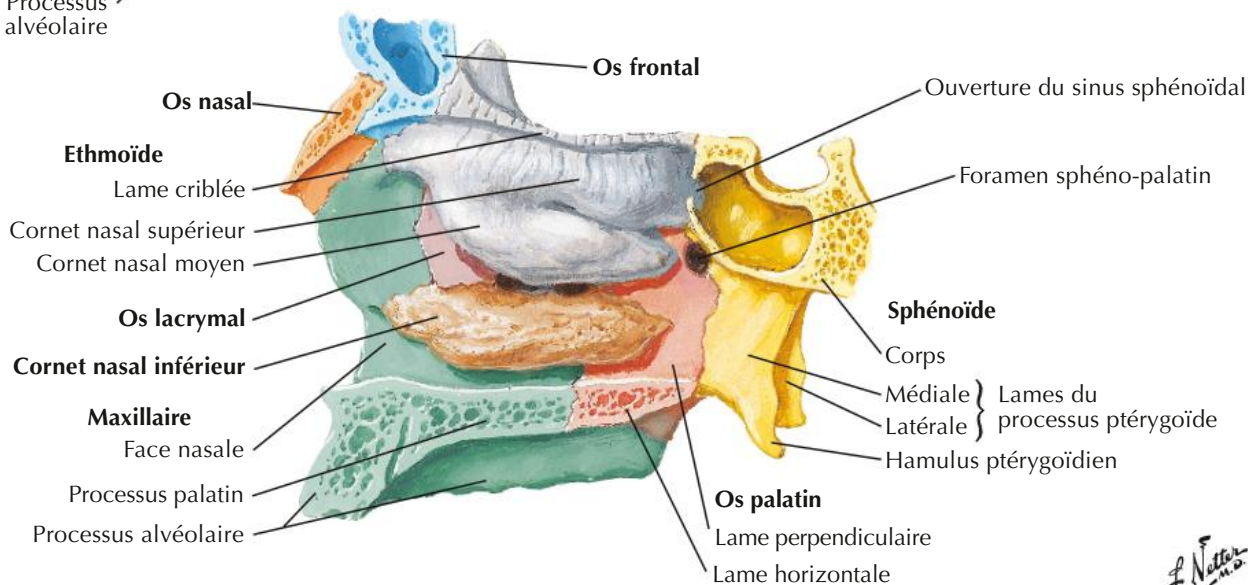
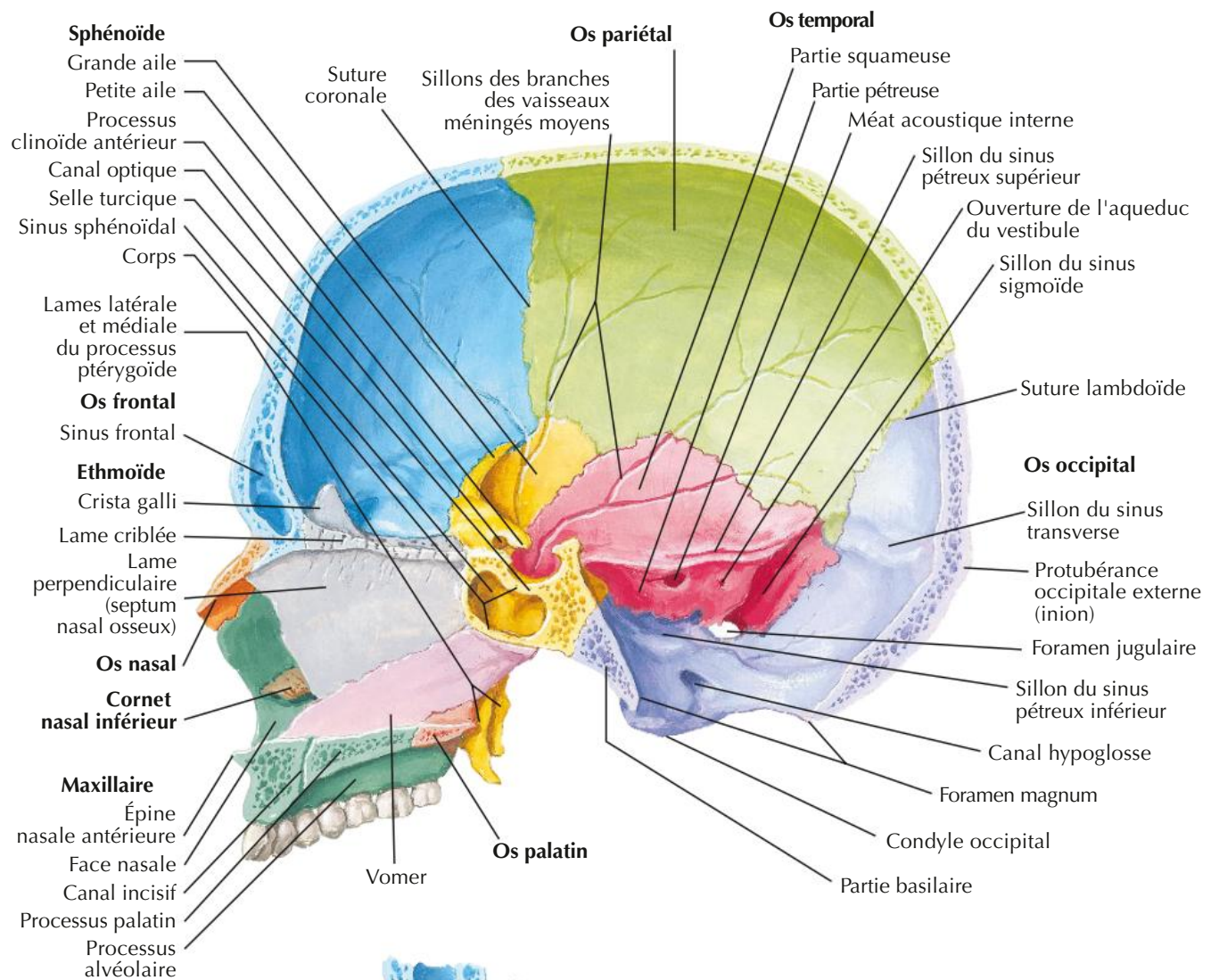


* Superficiellement, le processus mastoïde forme la limite postérieure

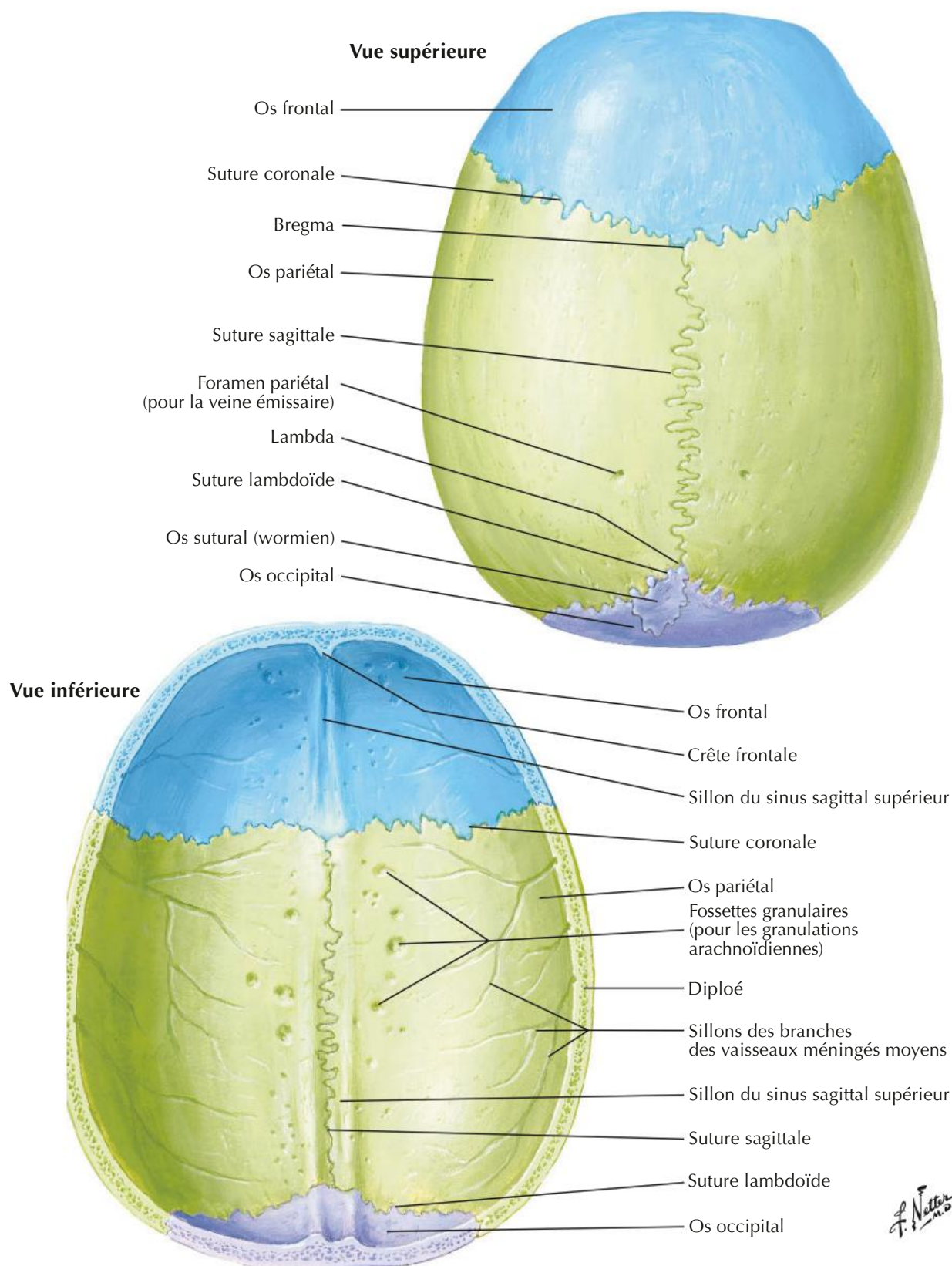


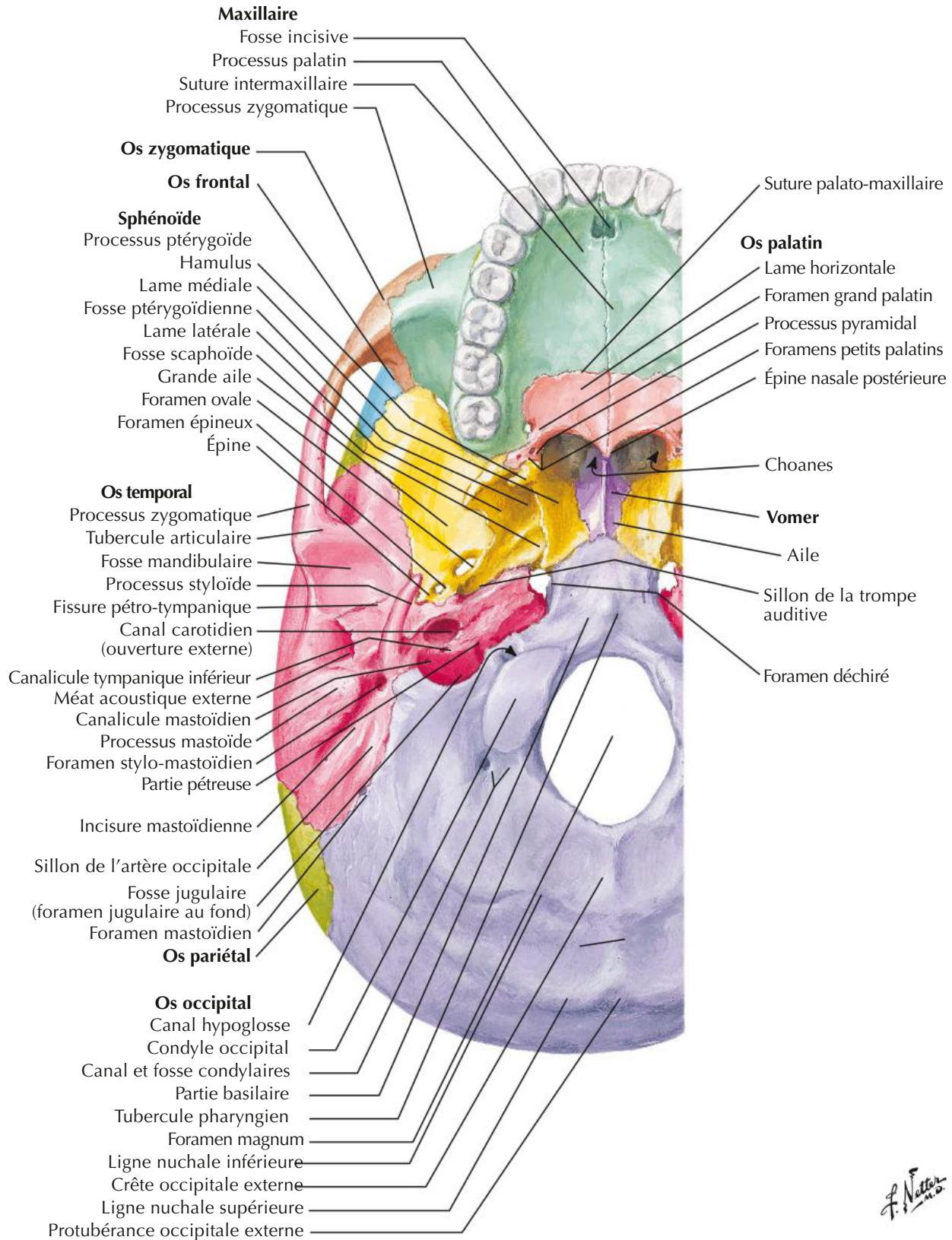
Crâne : coupe sagittale médiane

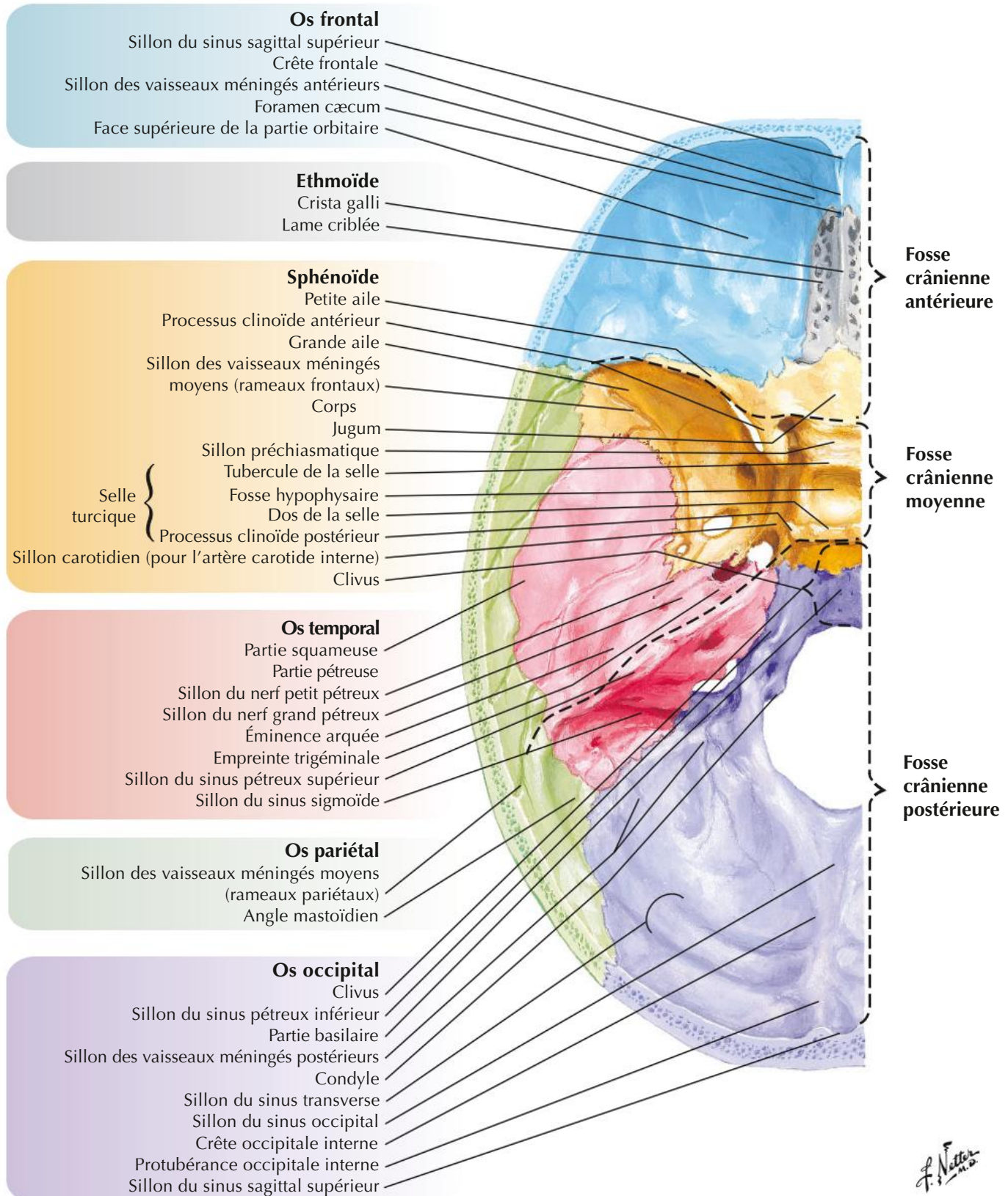
Voir aussi Planches 44, 46

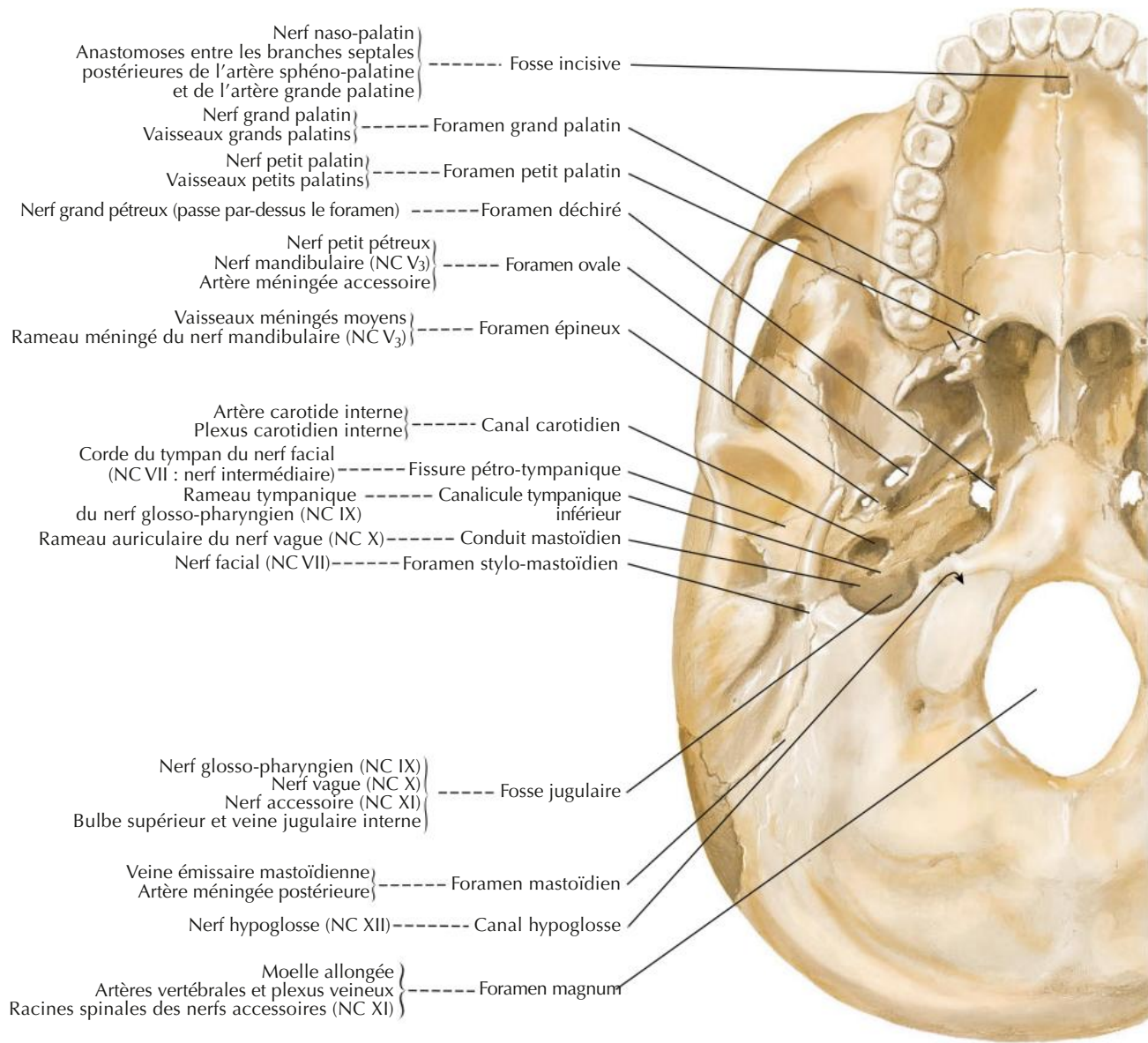


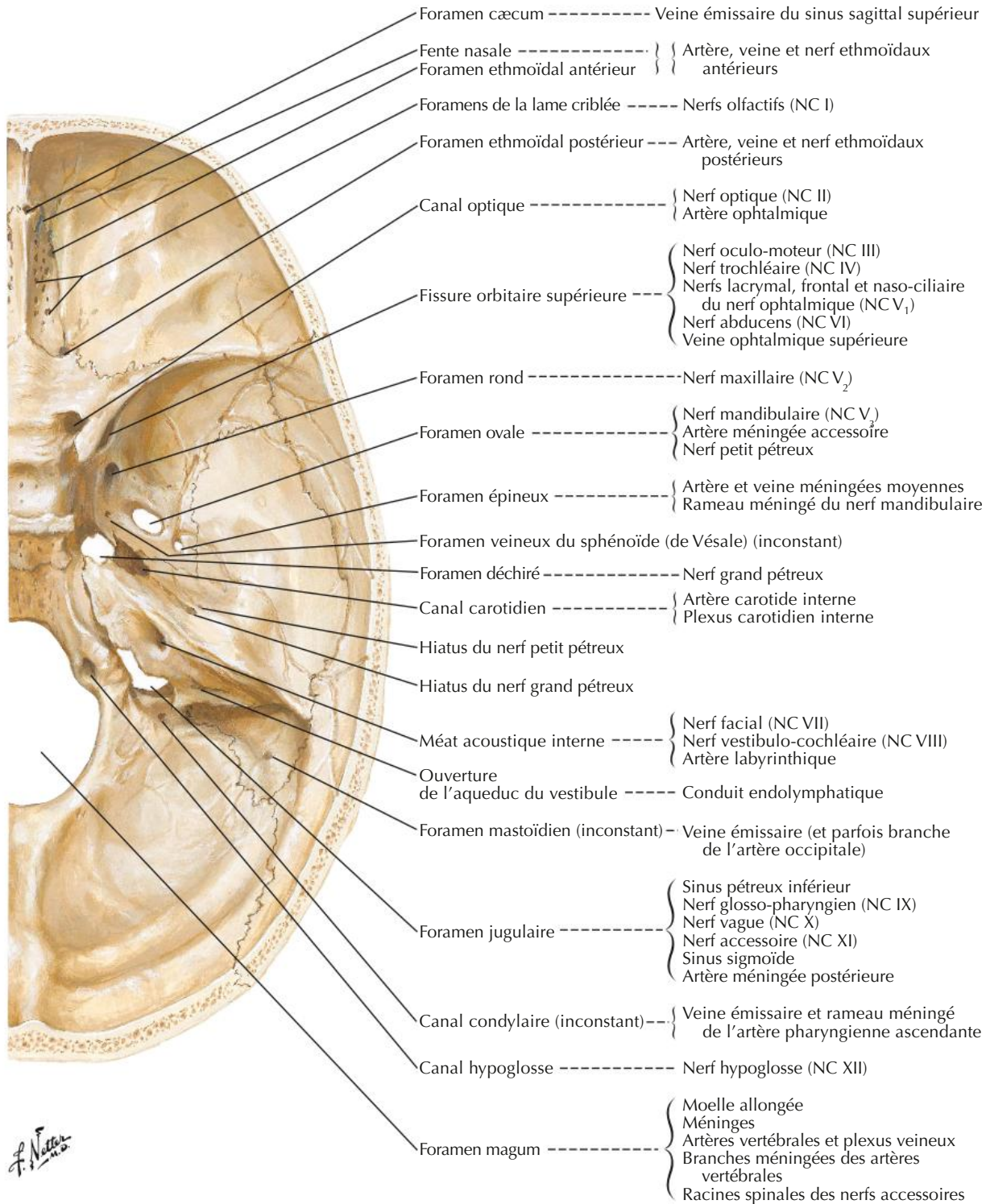
Vue de la paroi latérale du nez avec le septum nasal enlevé

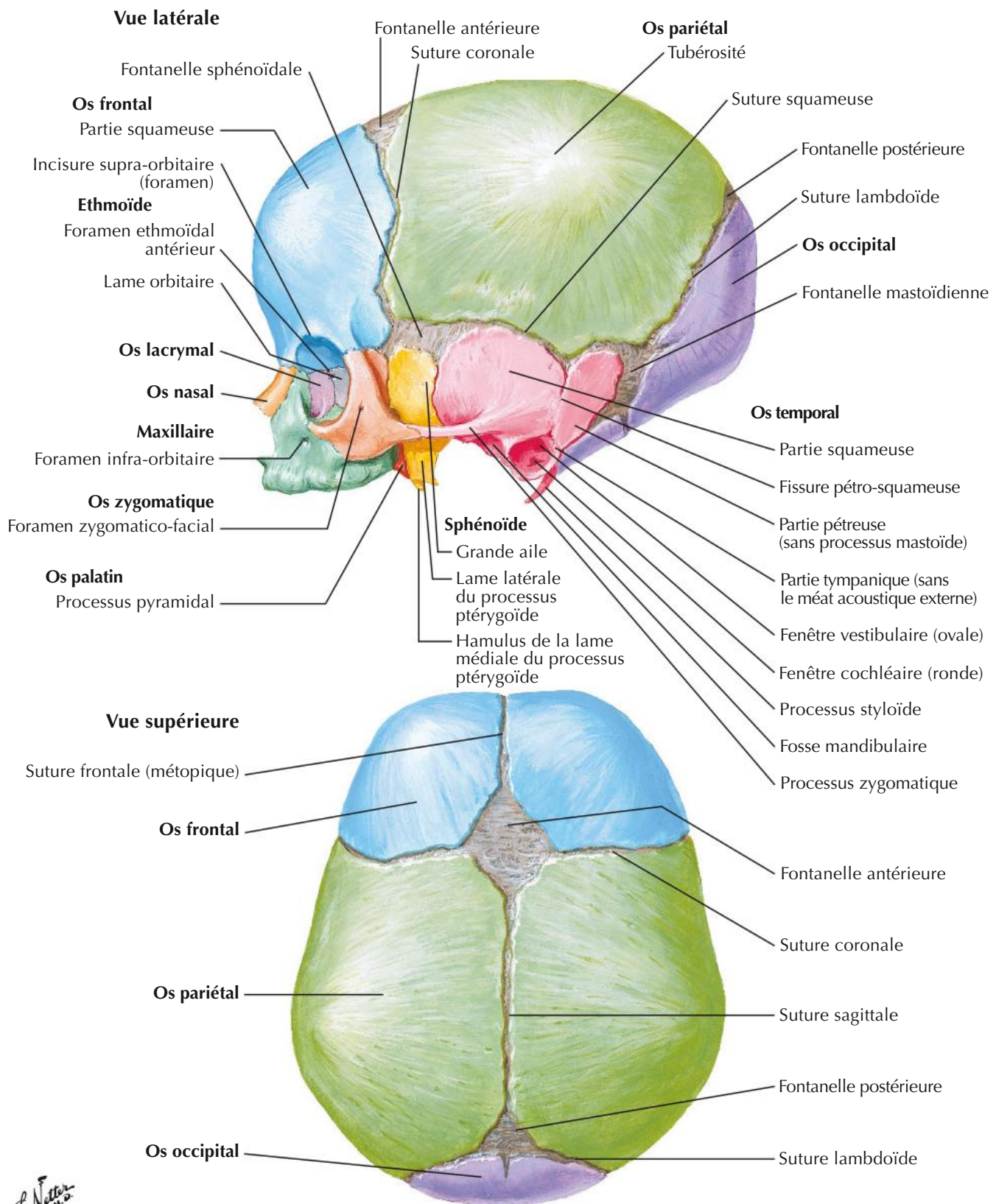


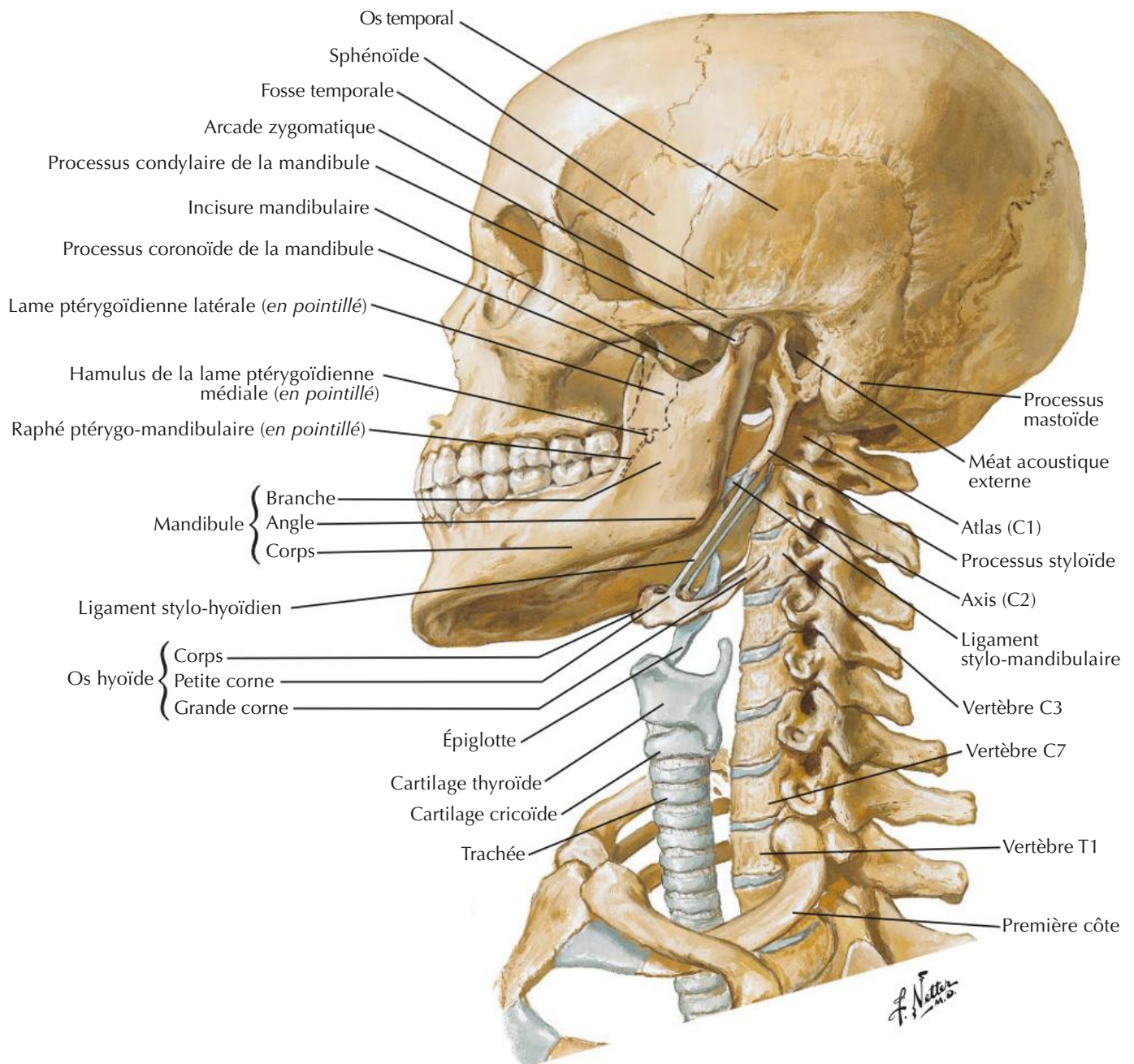




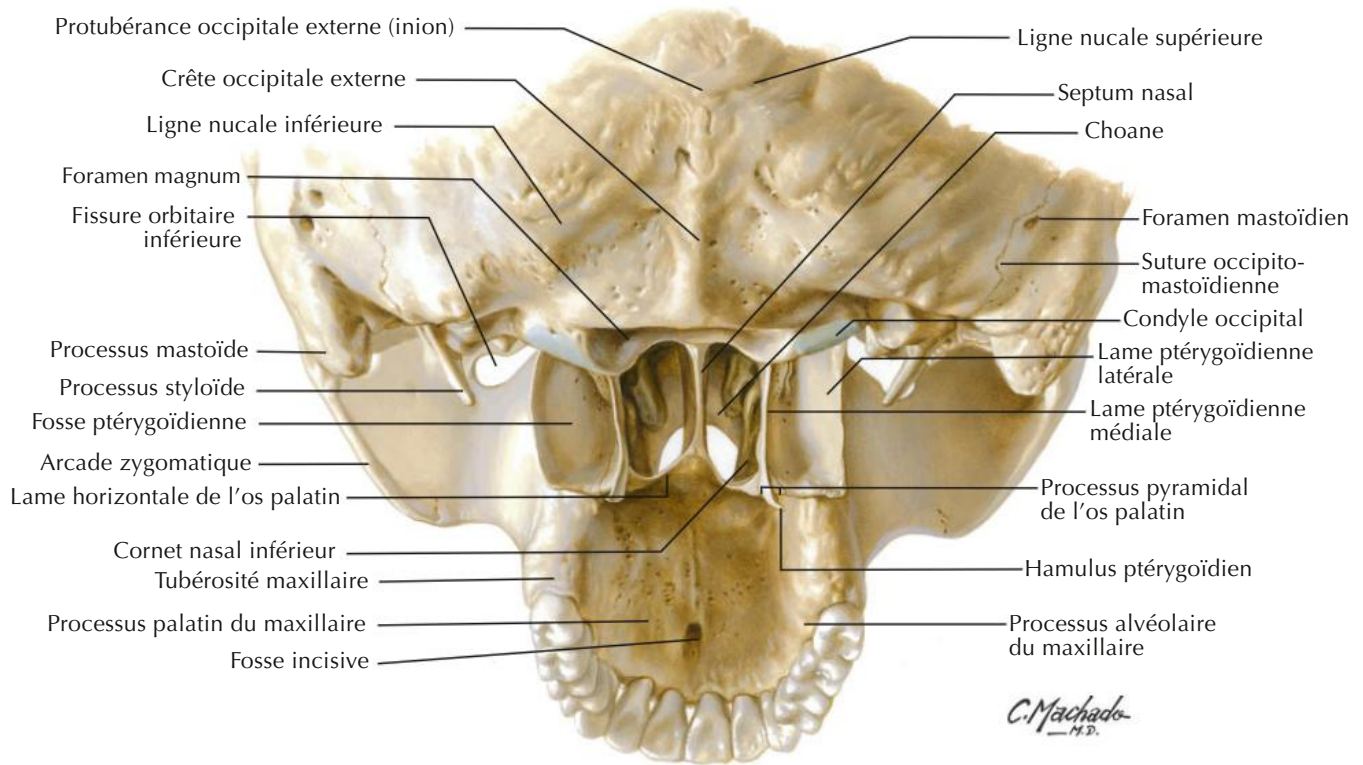




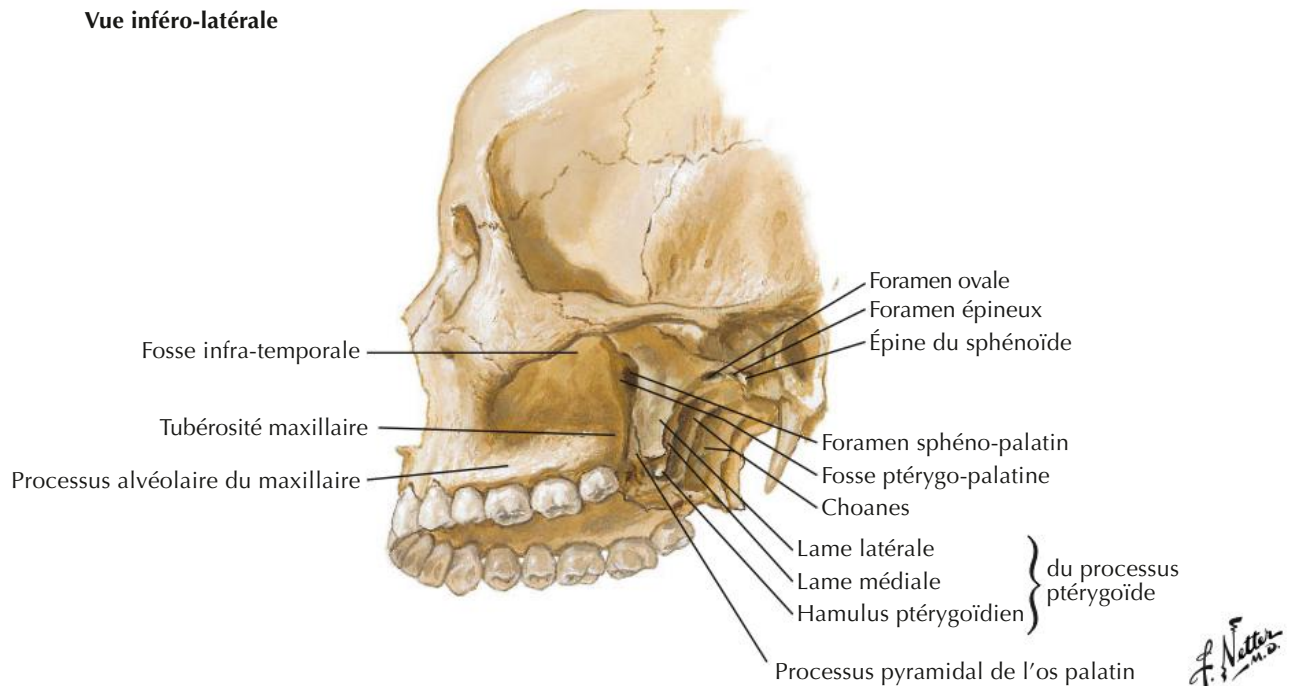


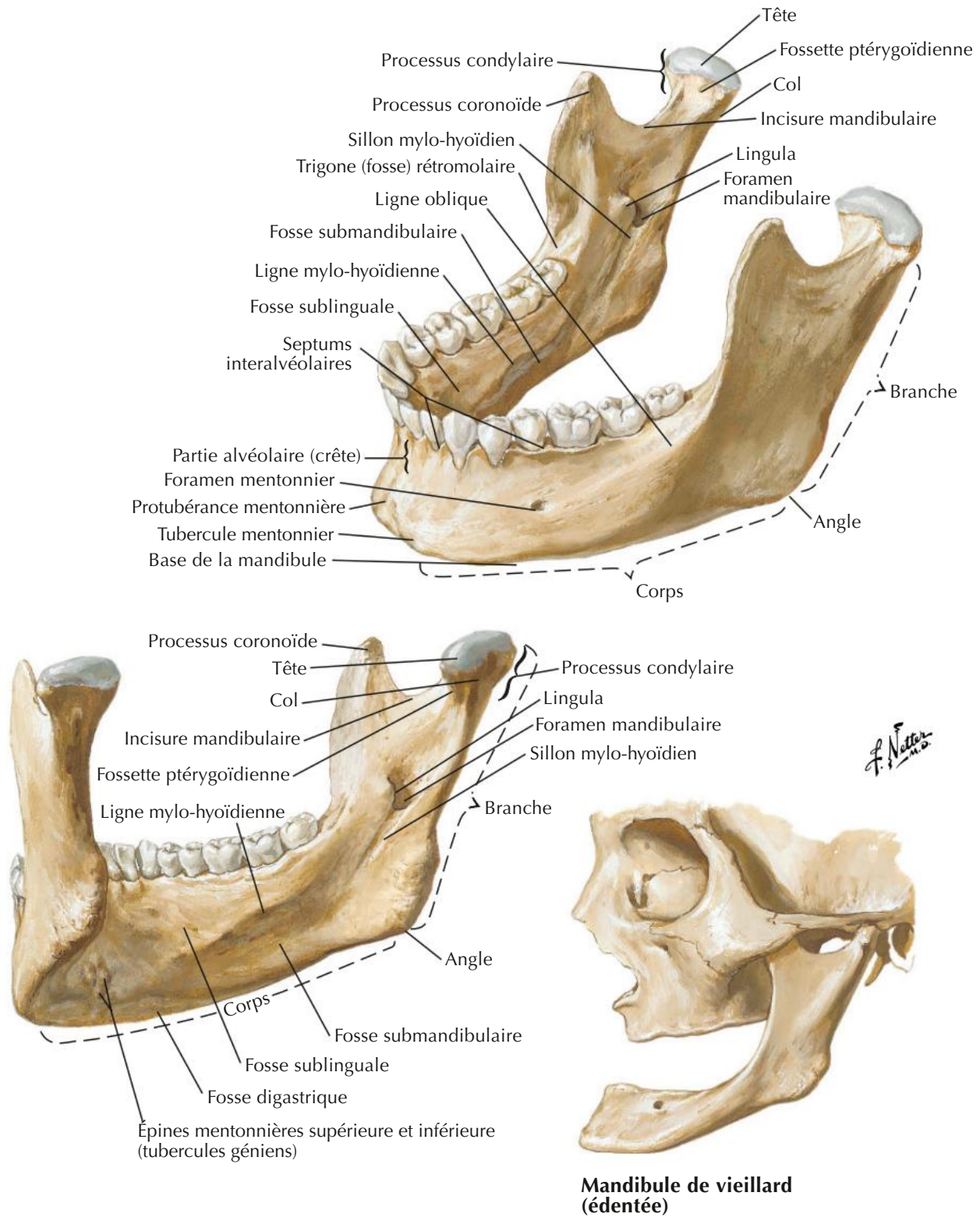


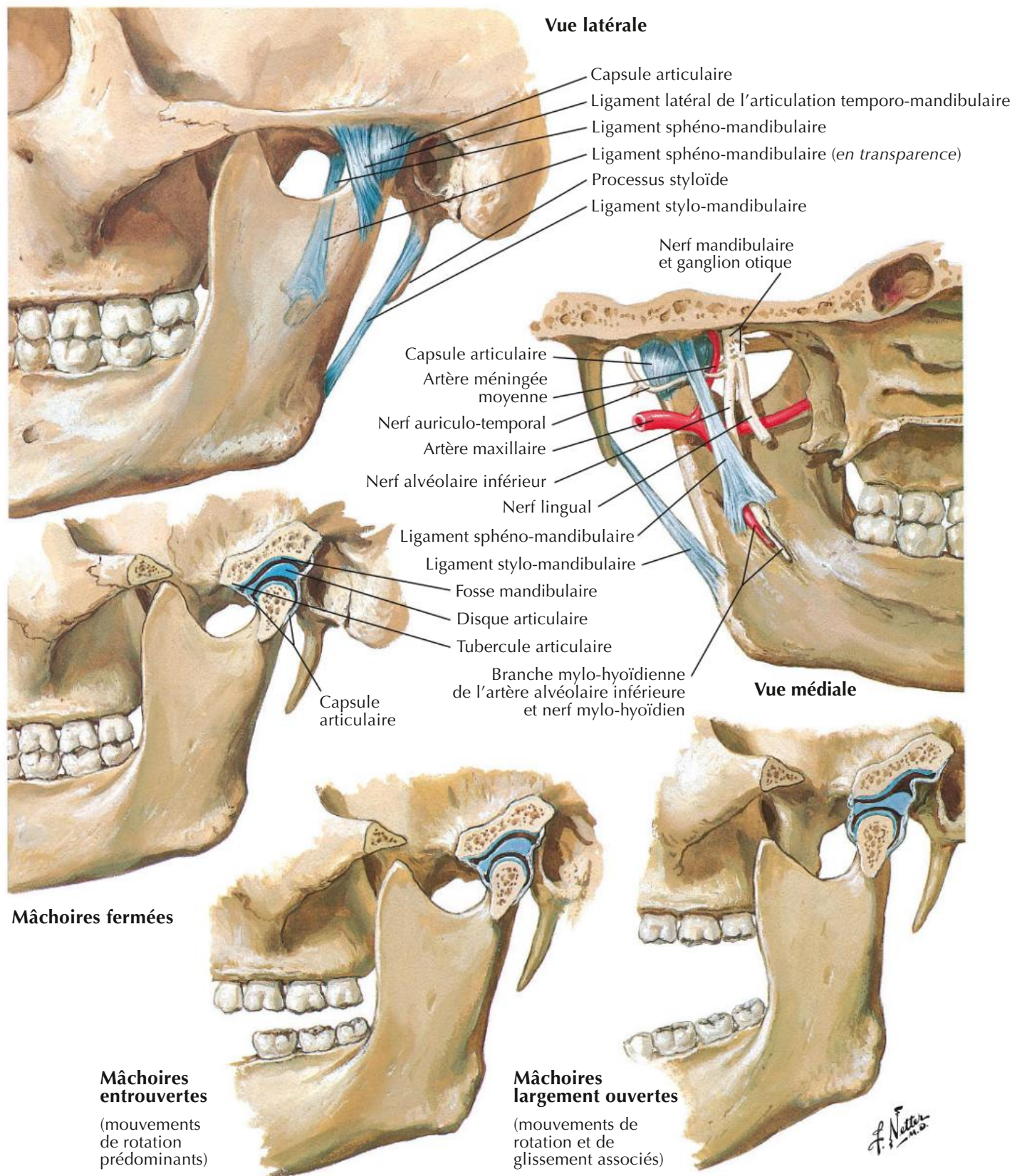
Vue postérieure

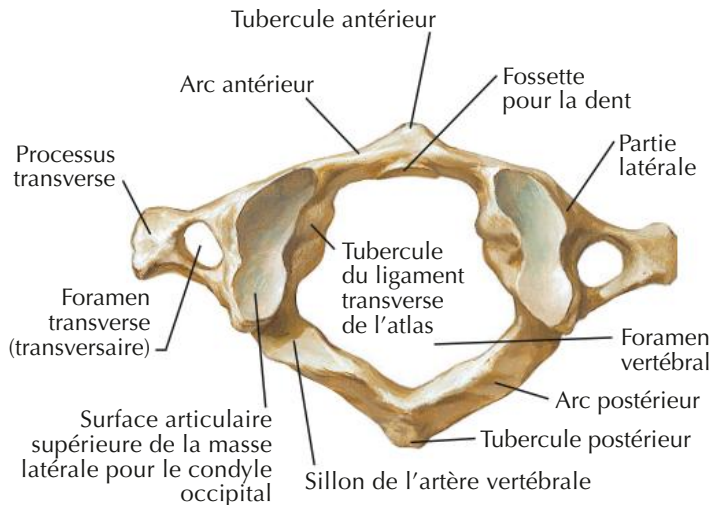


Vue inféro-latérale

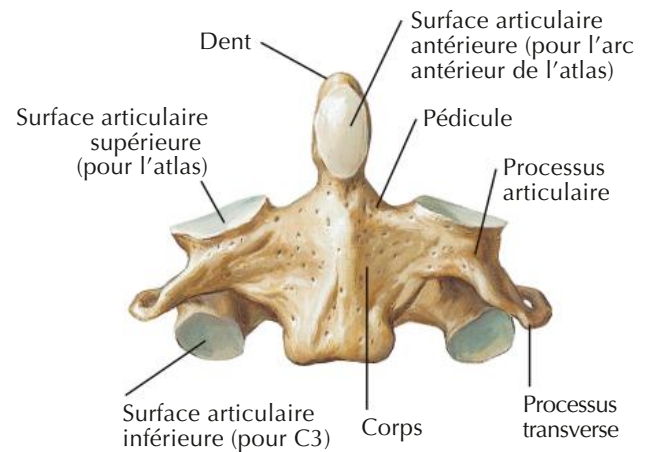




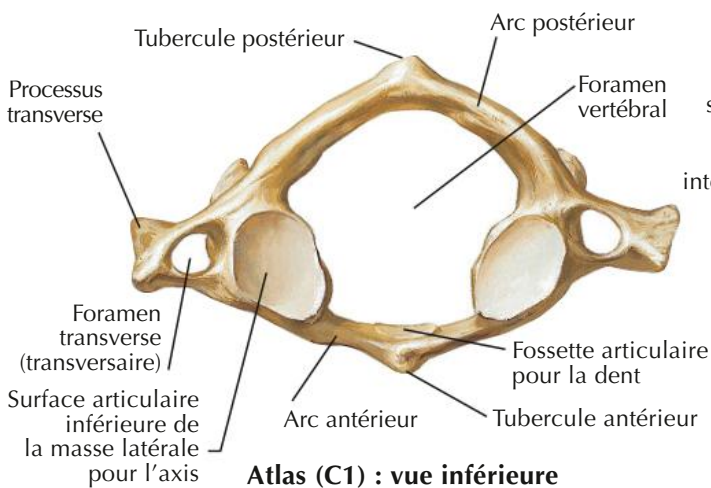




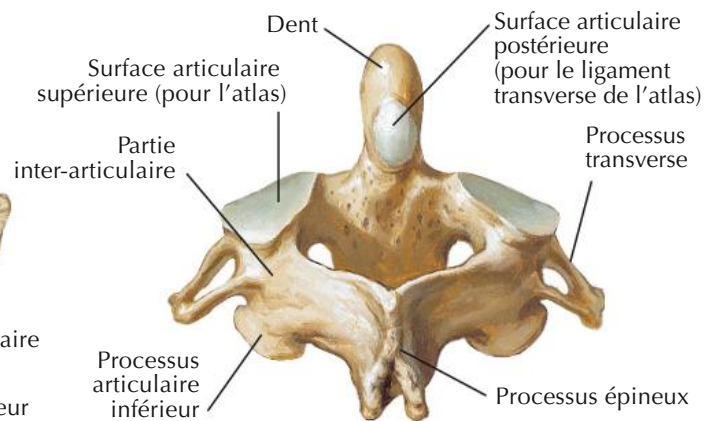
Atlas (C1) : vue supérieure



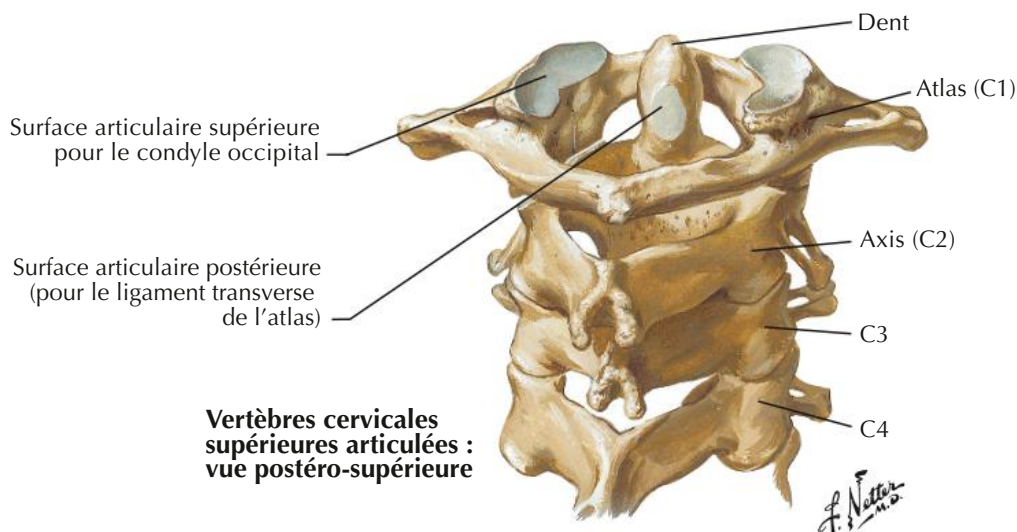
Axis (C2) : vue antérieure



Atlas (C1) : vue inférieure

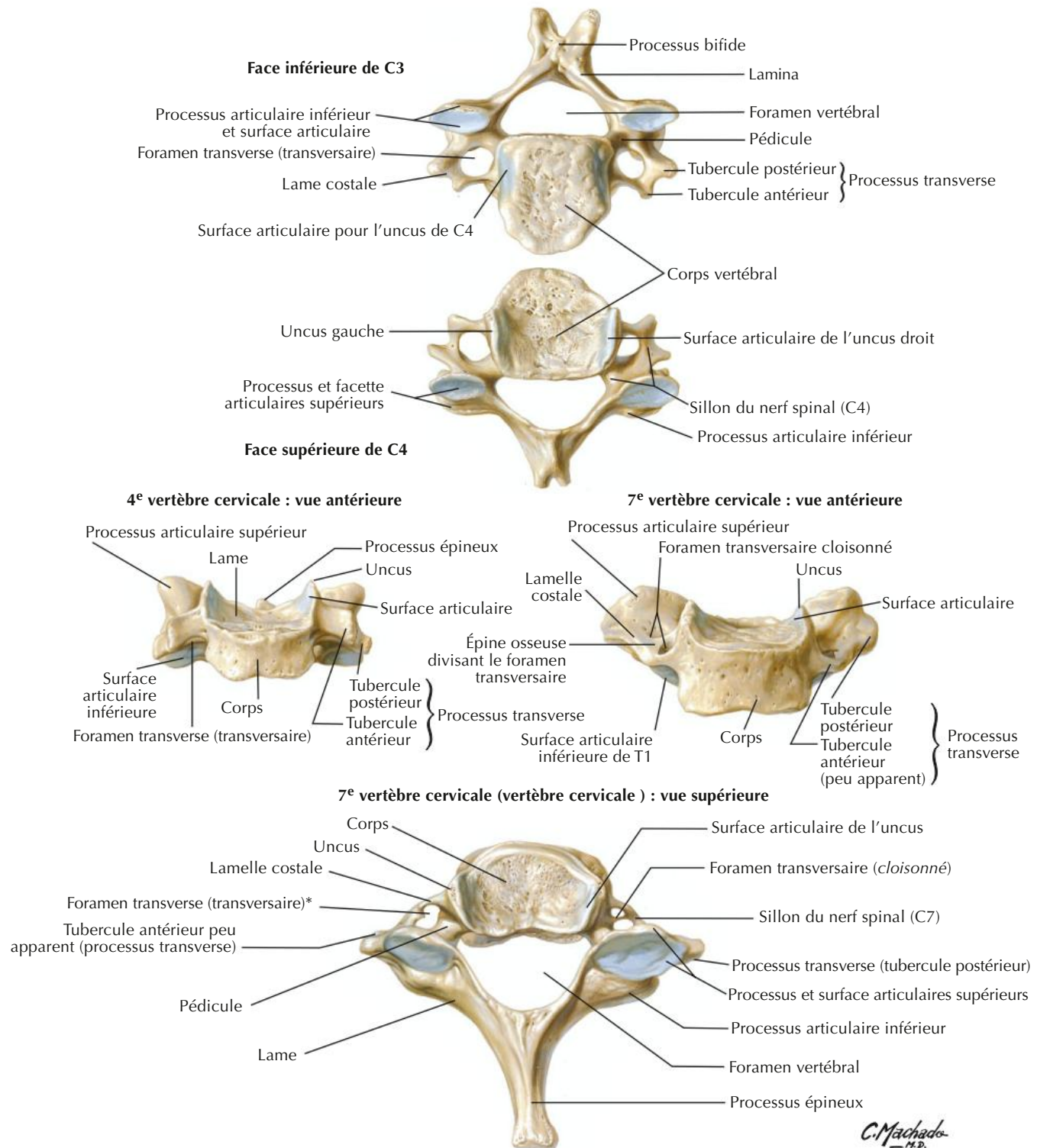


Axis (C2) : vue postéro-supérieure



Vertèbres cervicales supérieures articulées : vue postéro-supérieure

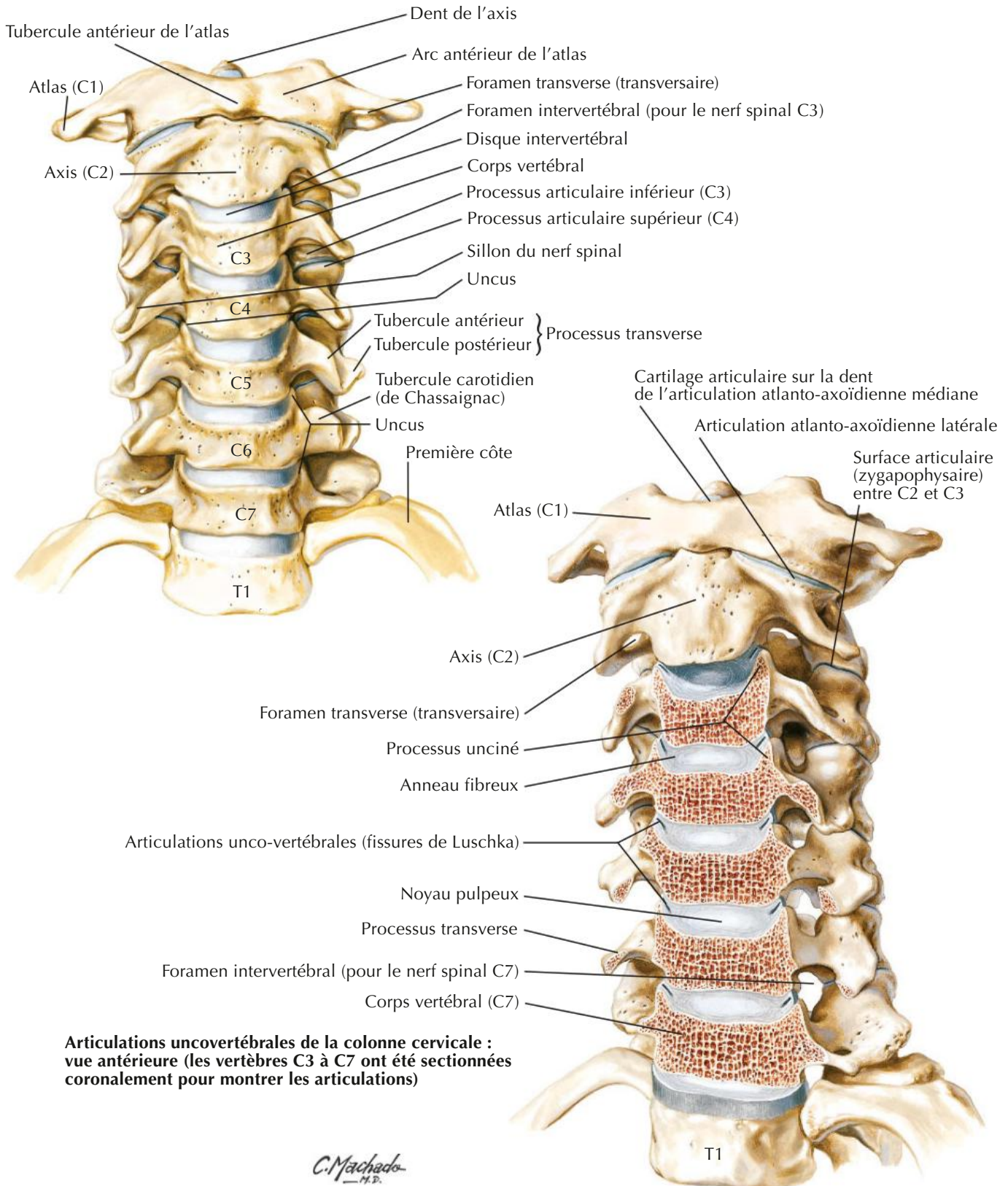
Vue inférieure de C3 et vue supérieure de C4 montrant l'emplacement de la surface articulaire et les articulations uncovertébrales

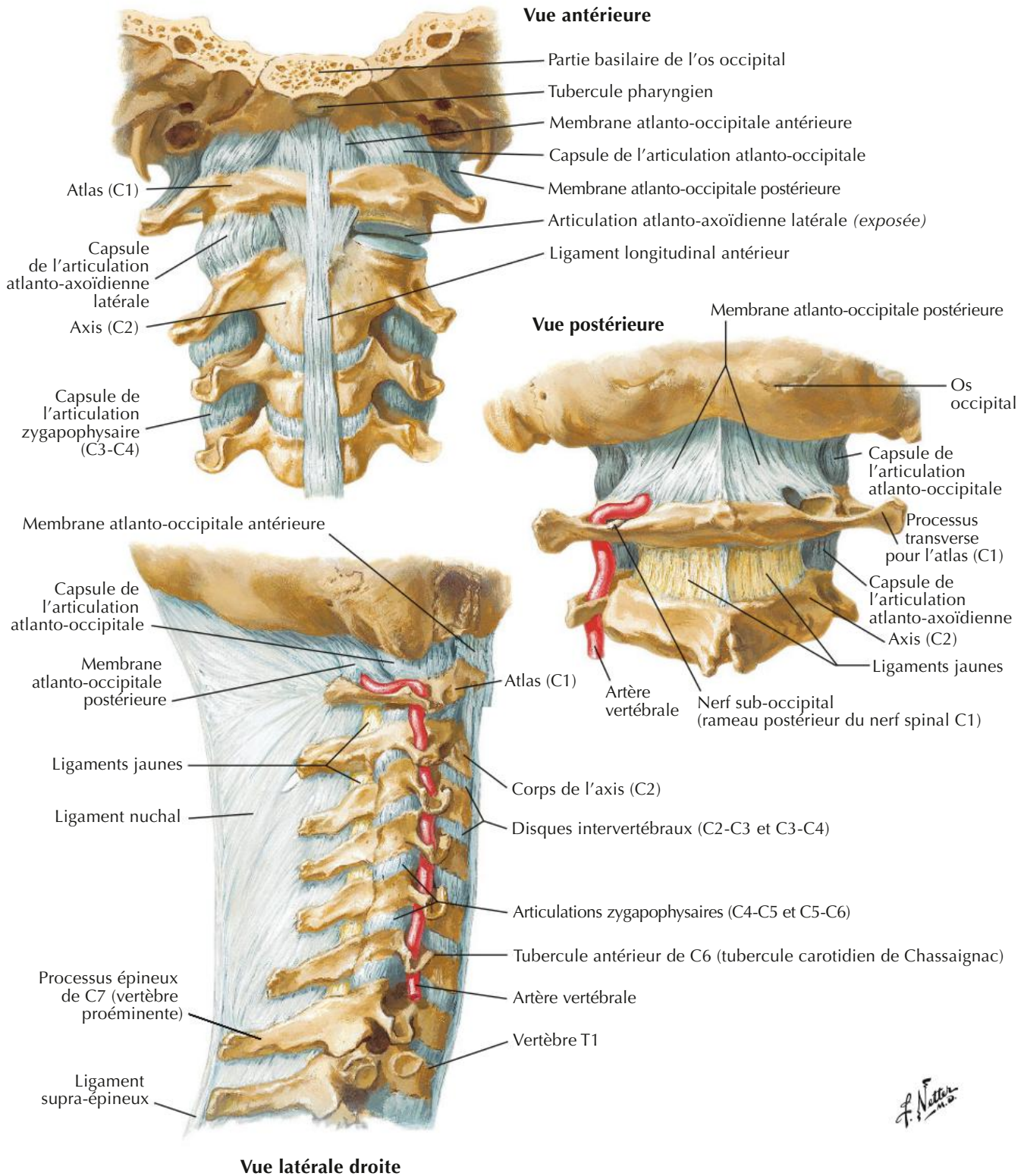


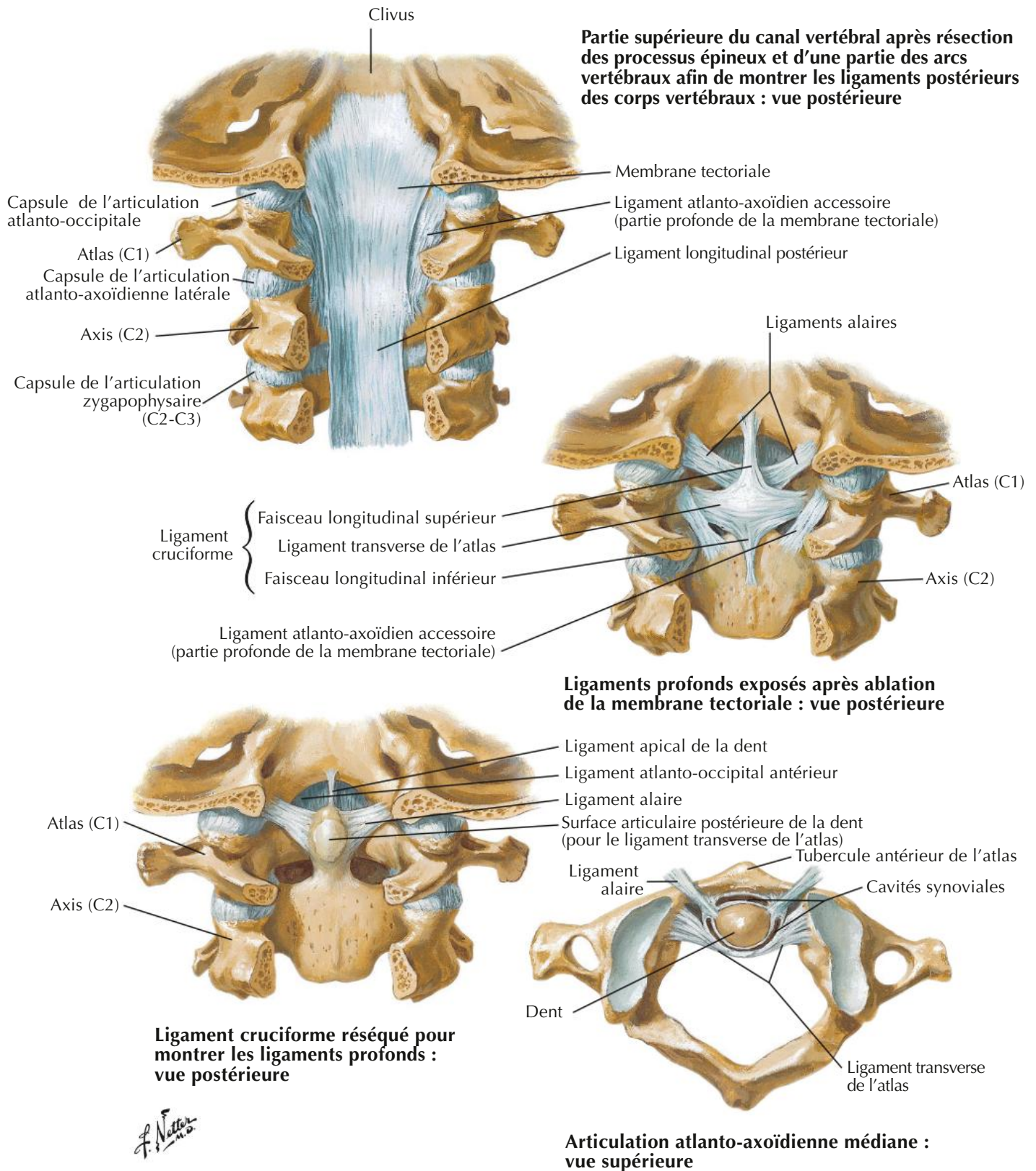
*Les foramens transversaires de C7 livrent passage aux veines vertébrales, mais non habituellement à l'artère vertébrale, et sont asymétriques sur ce spécimen

C. Machado
F.R.D.

Vertèbres cervicales : vue antérieure

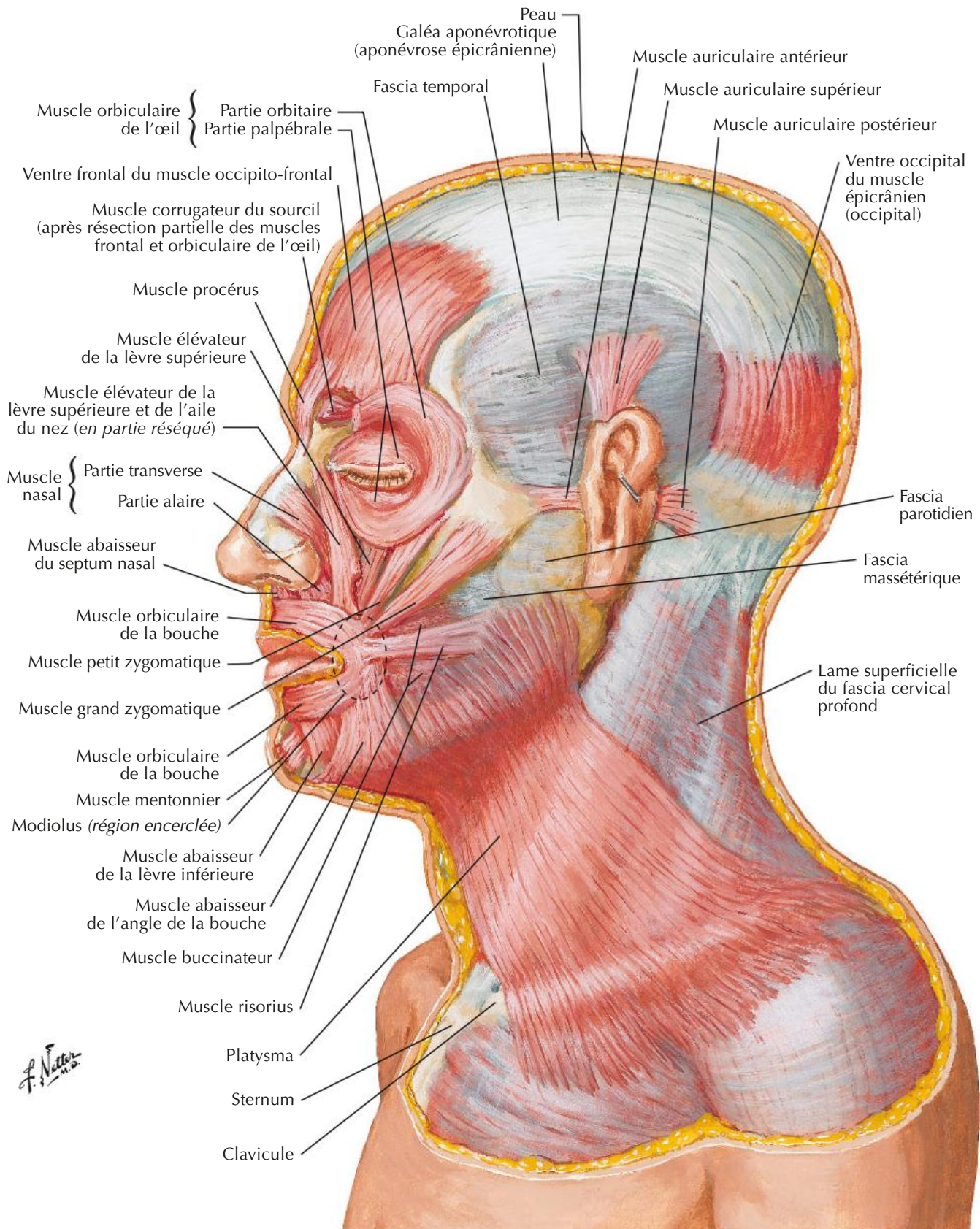






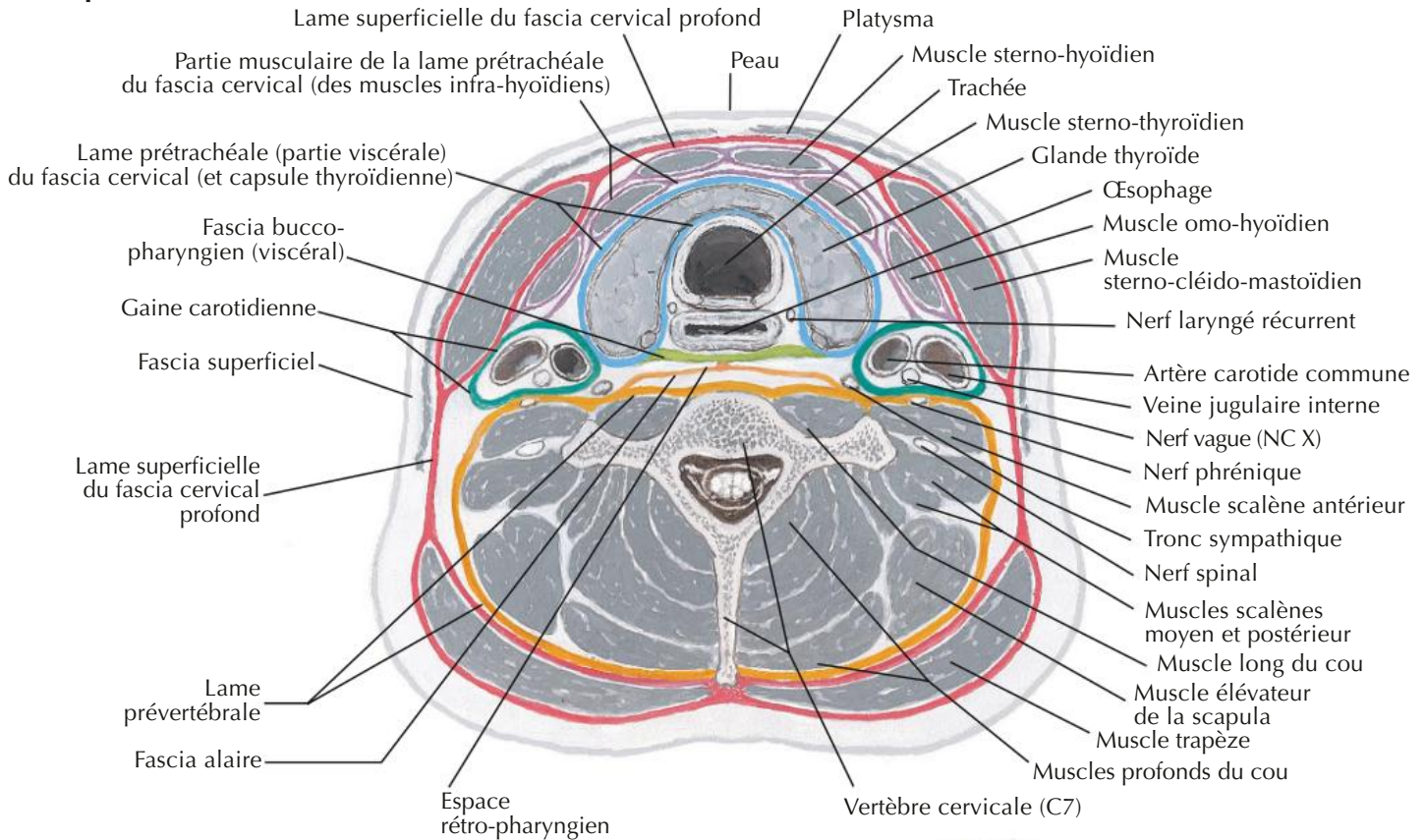
Muscles de la mimique : vue latérale

Voir aussi Planches 34, 55, 56

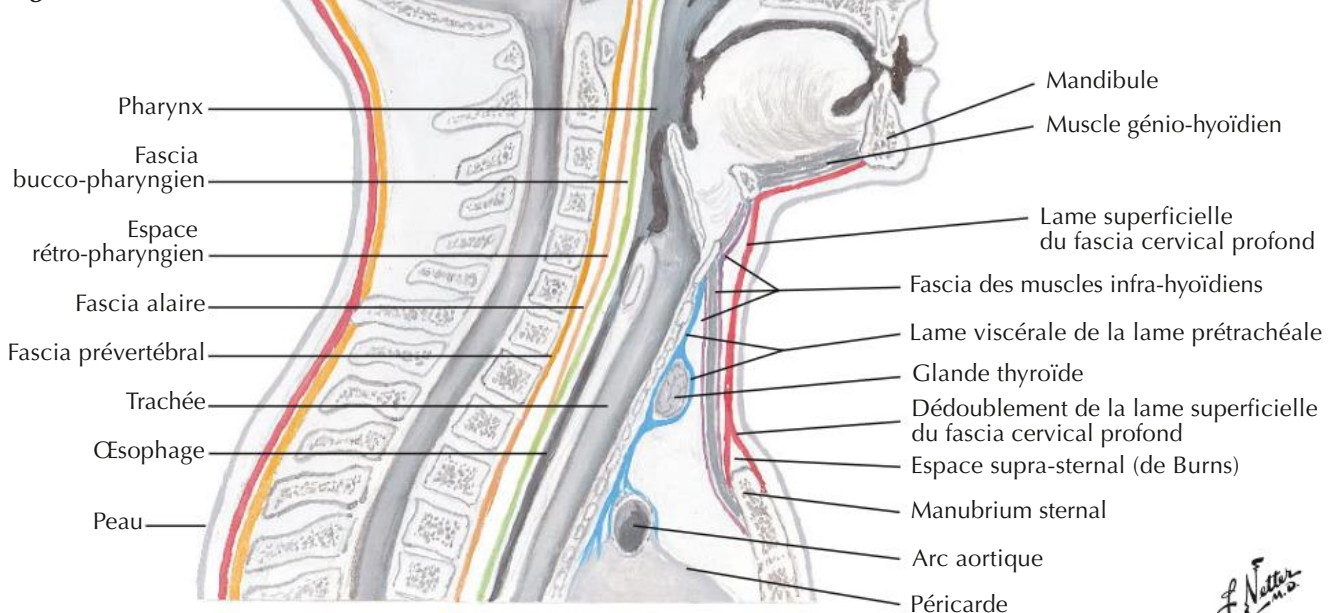




Coupe transversale

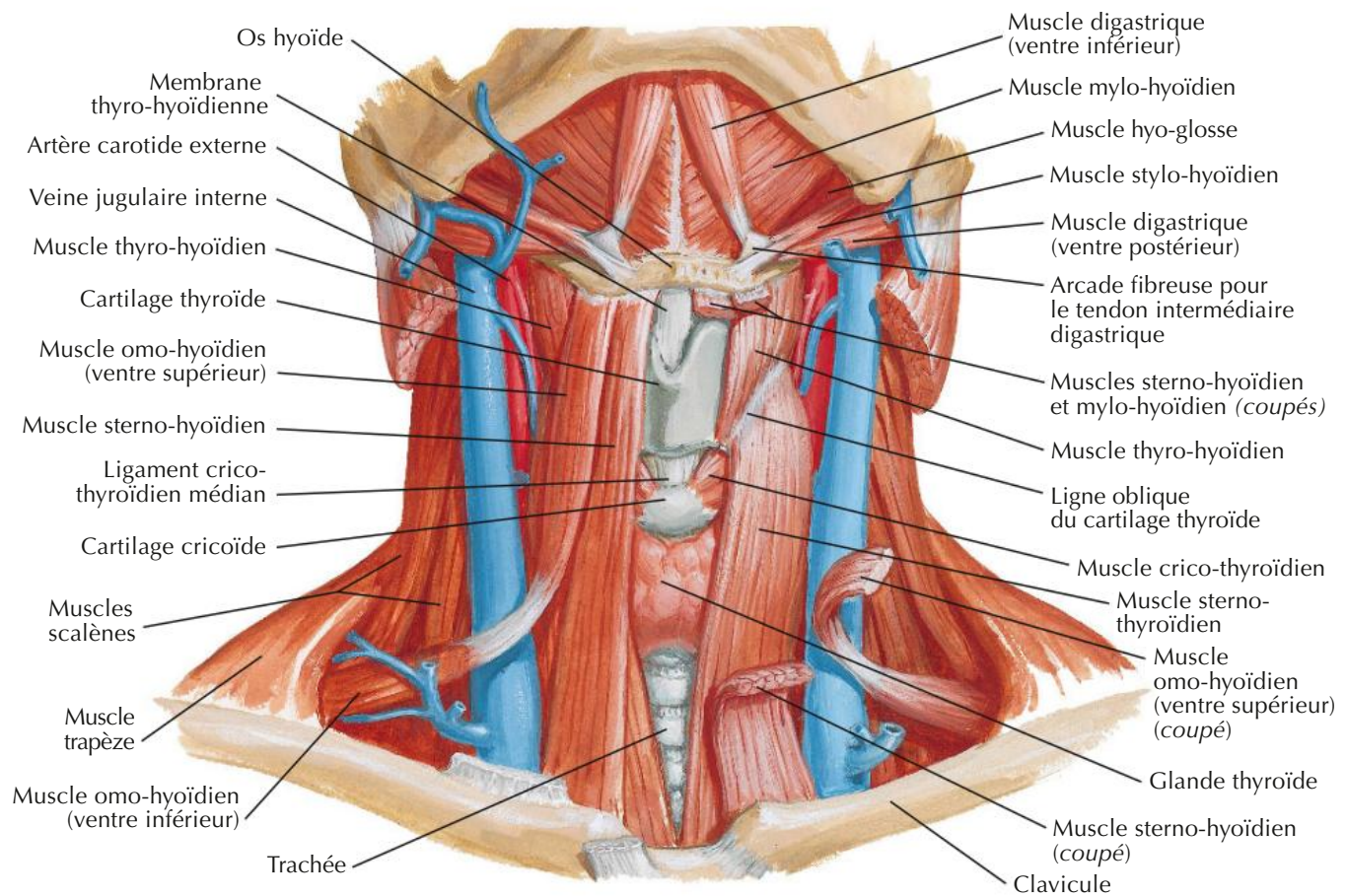


Coupe sagittale médiane

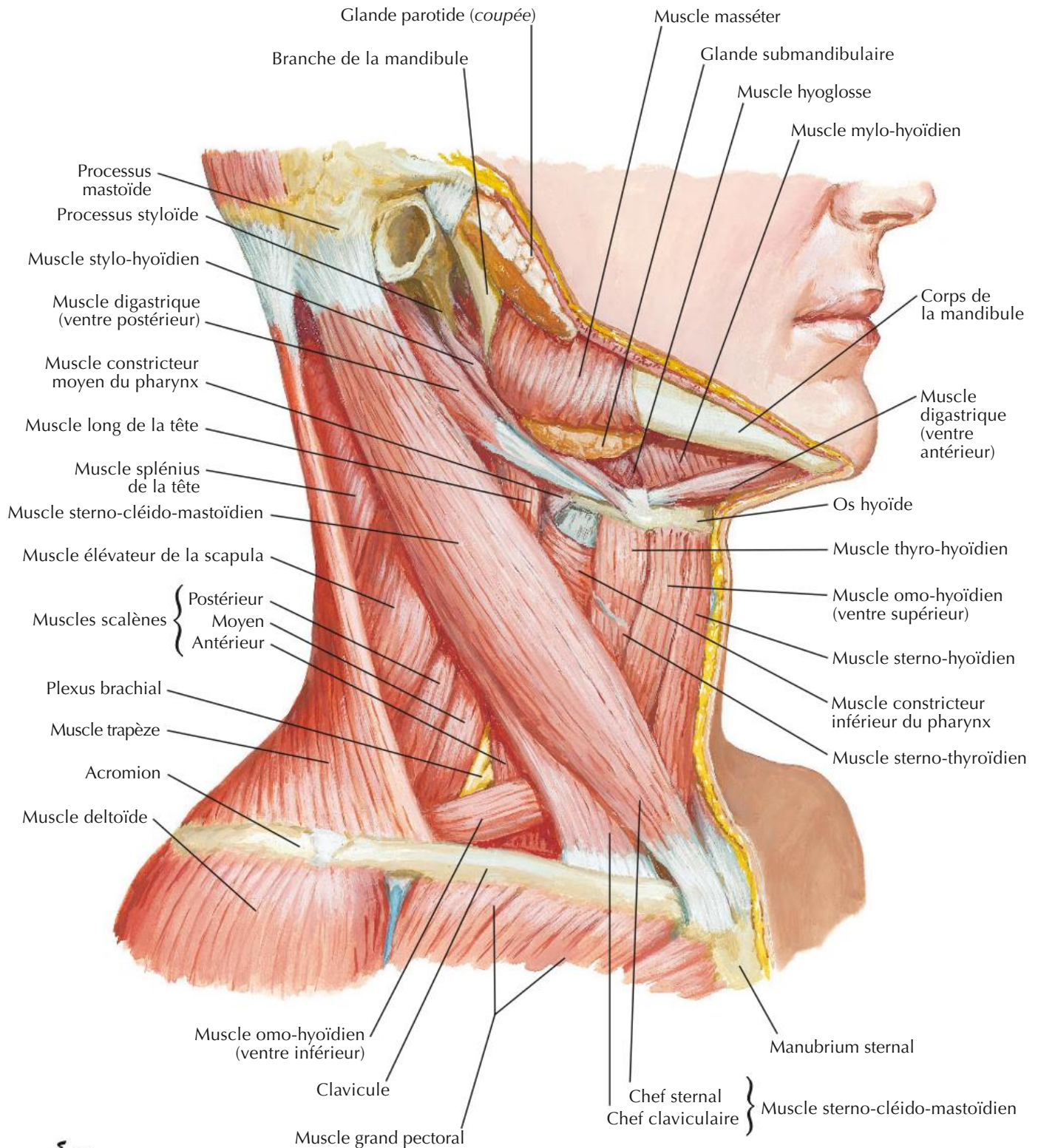


Muscles infra-hyoïdiens et supra-hyoïdiens

Voir aussi Planches 32, 36, 69

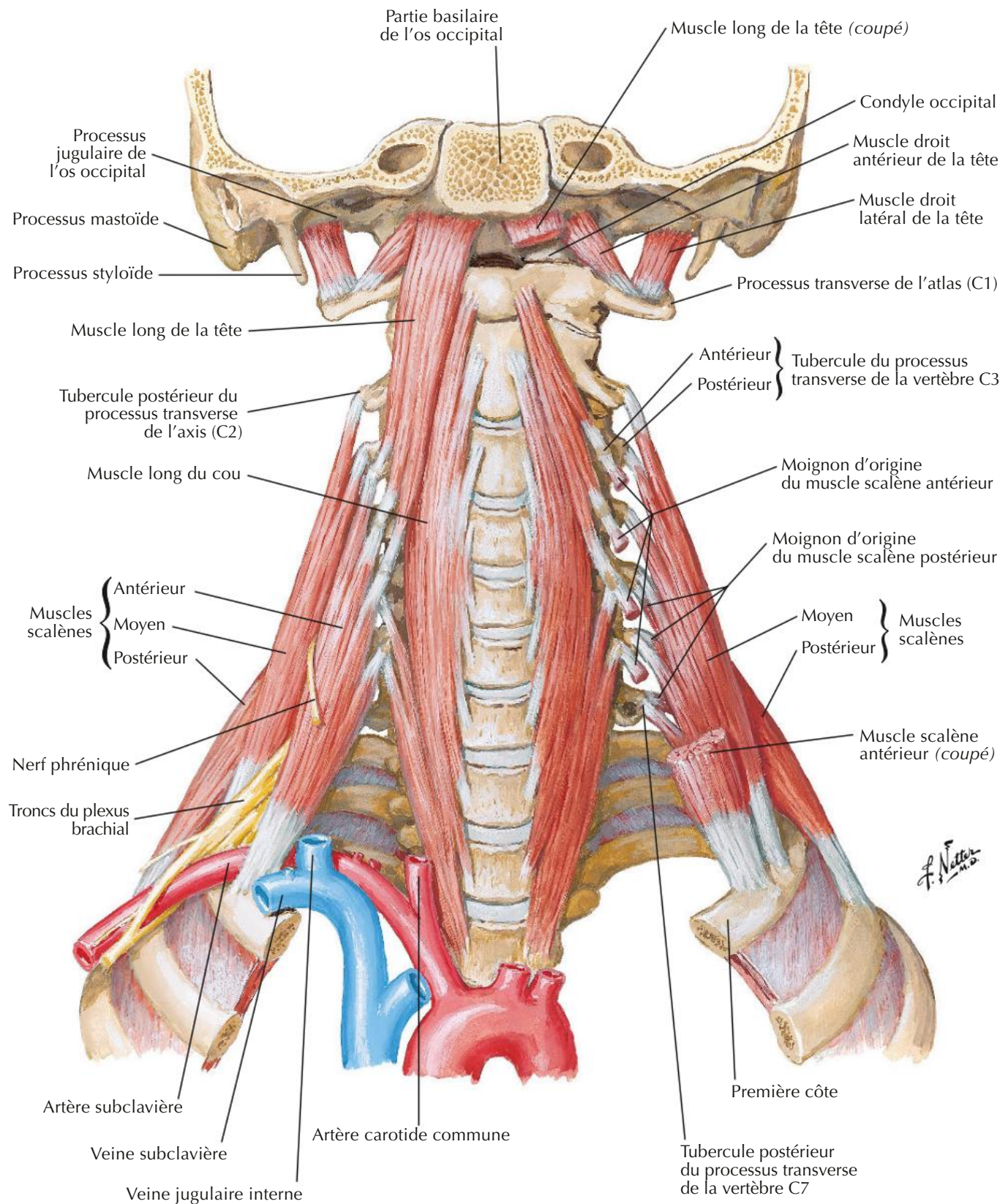


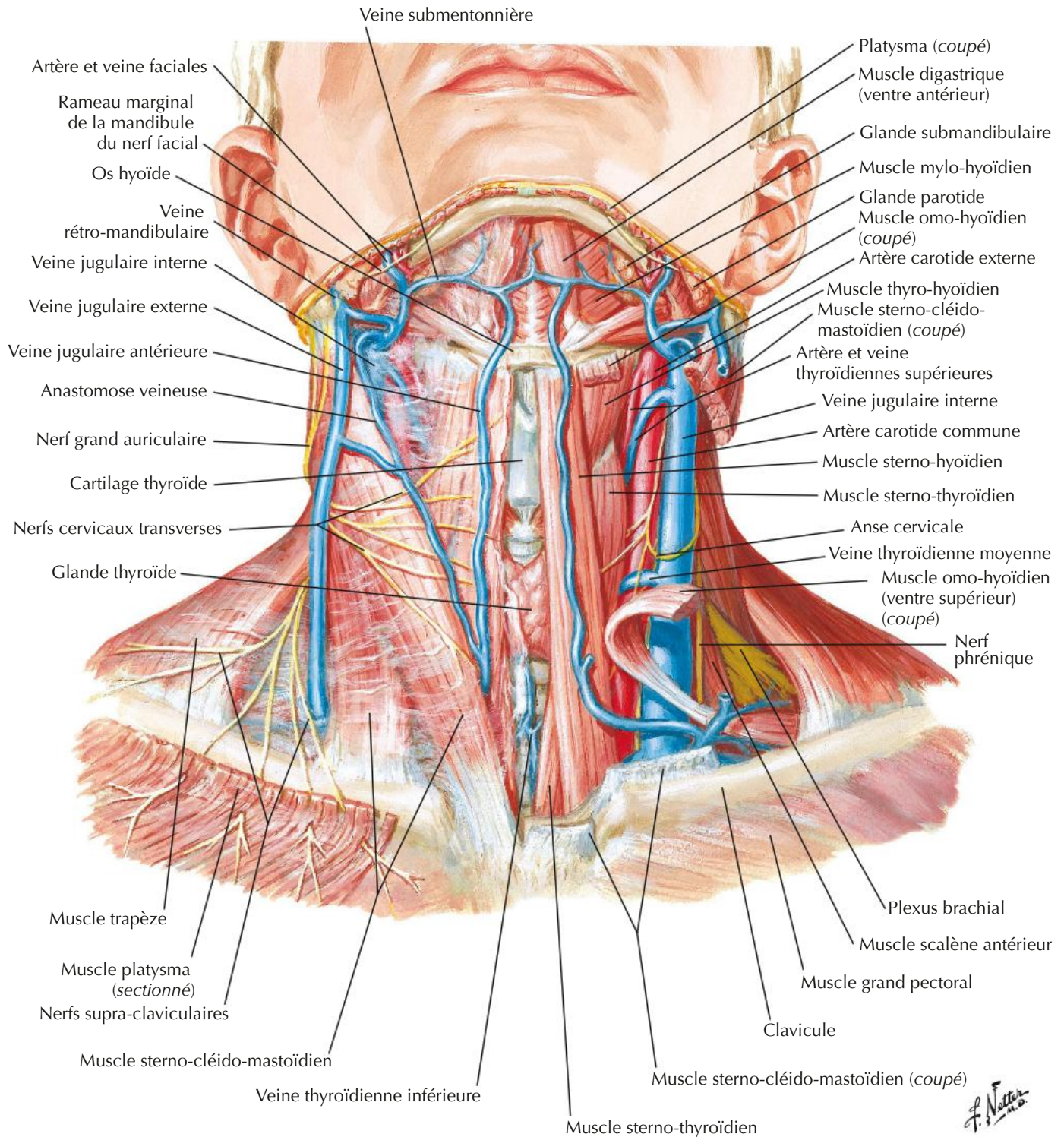
F. Netter M.D.

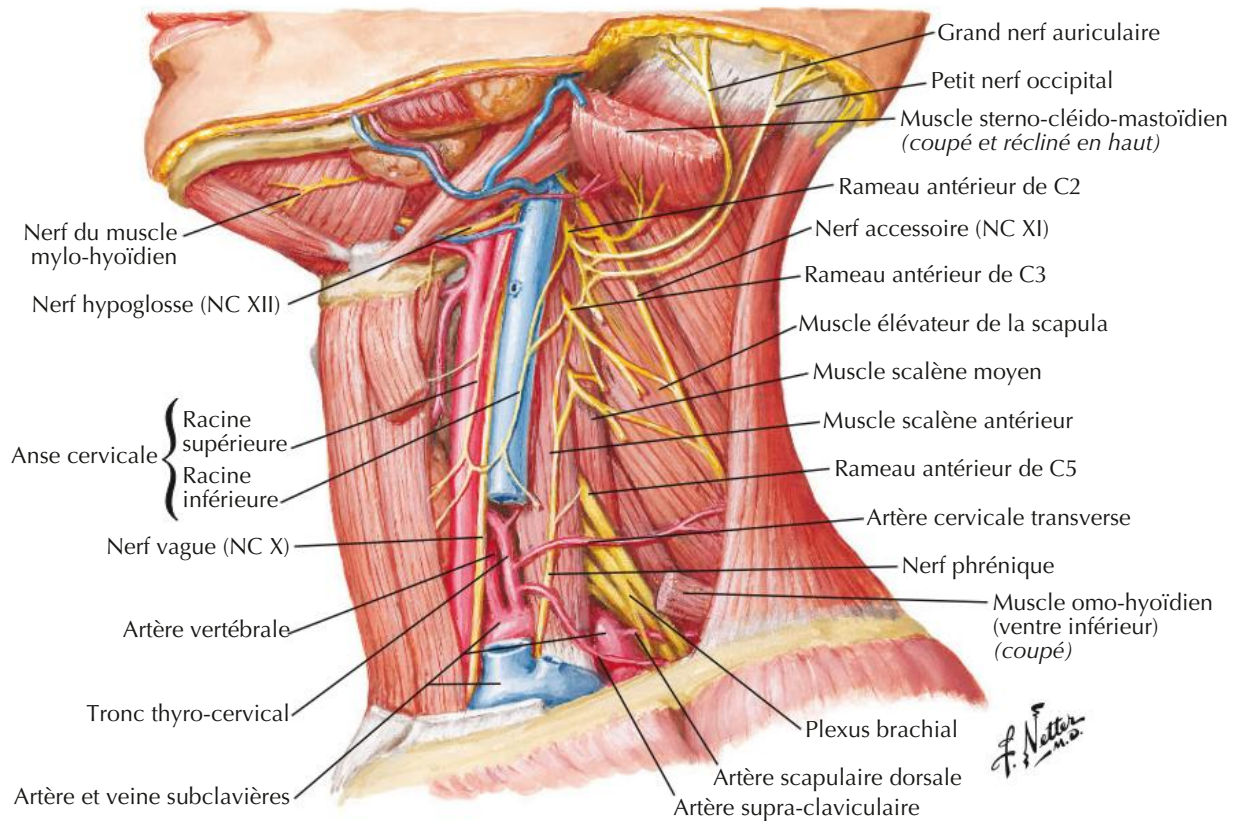
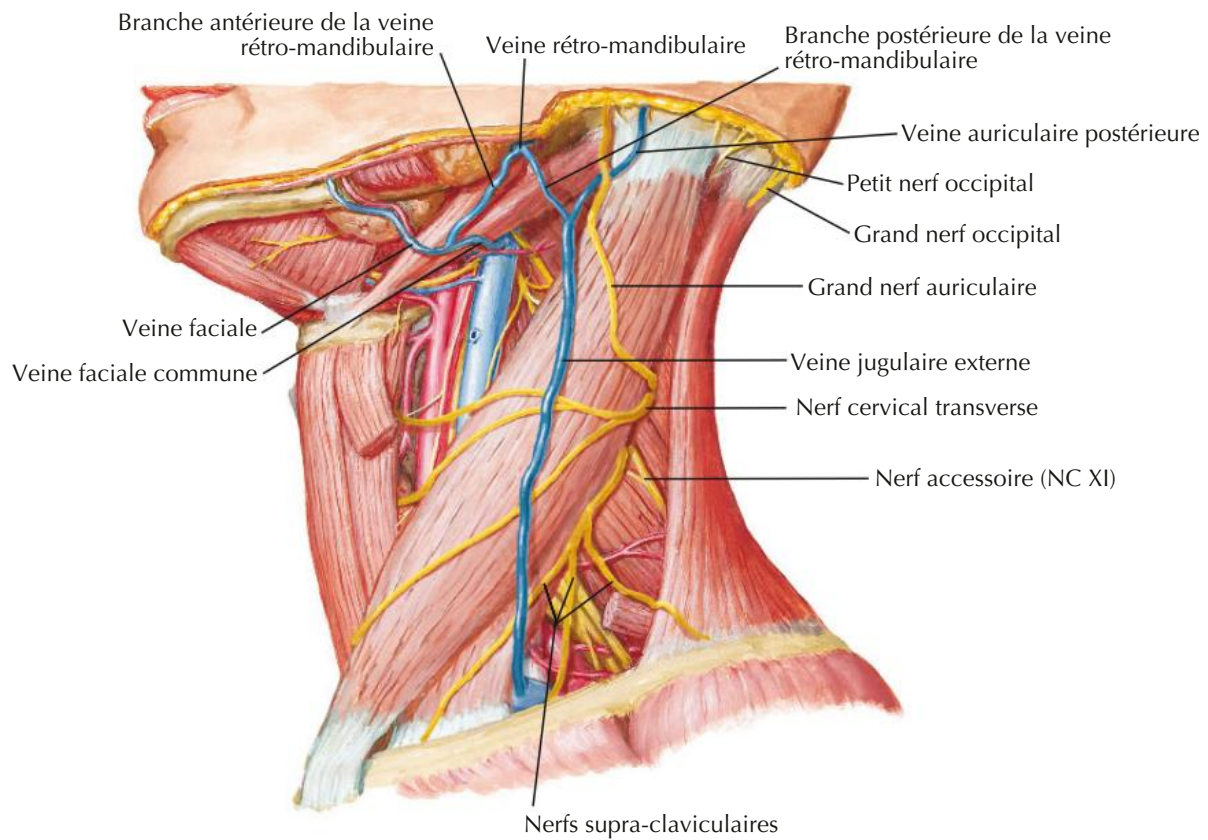


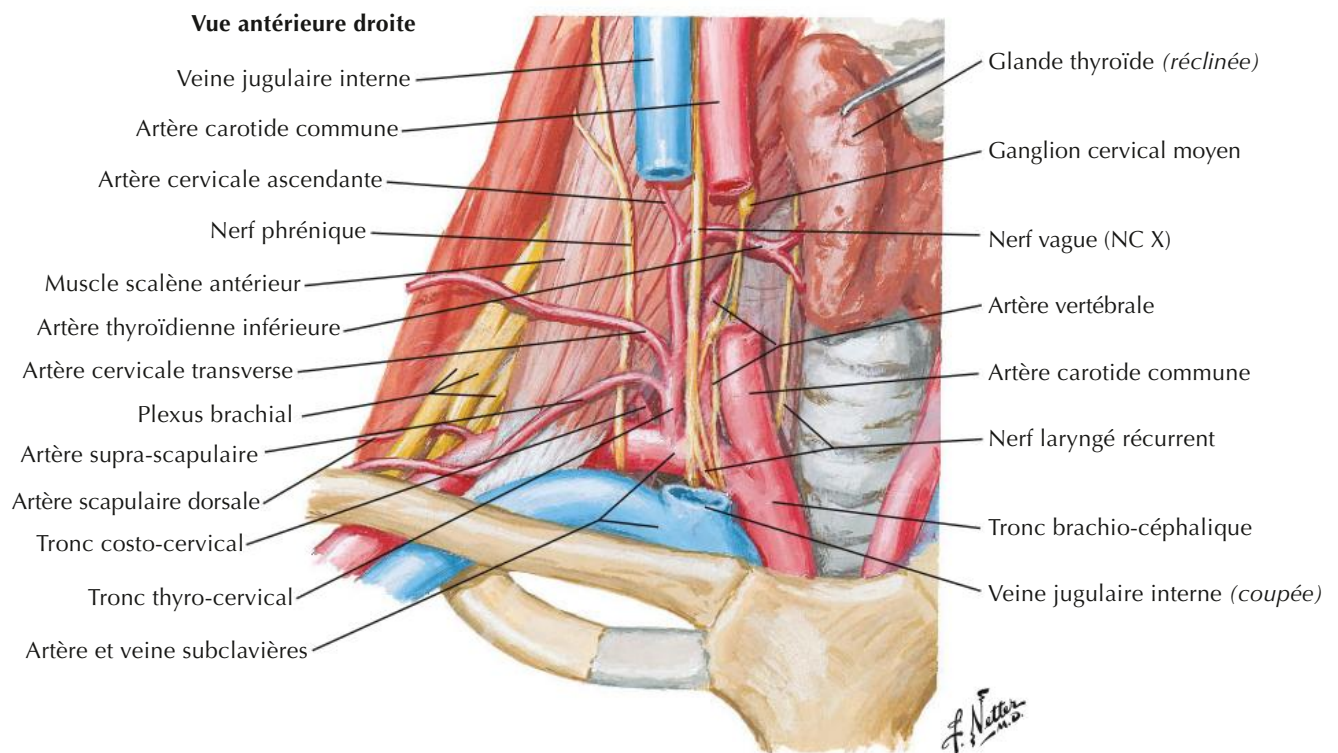
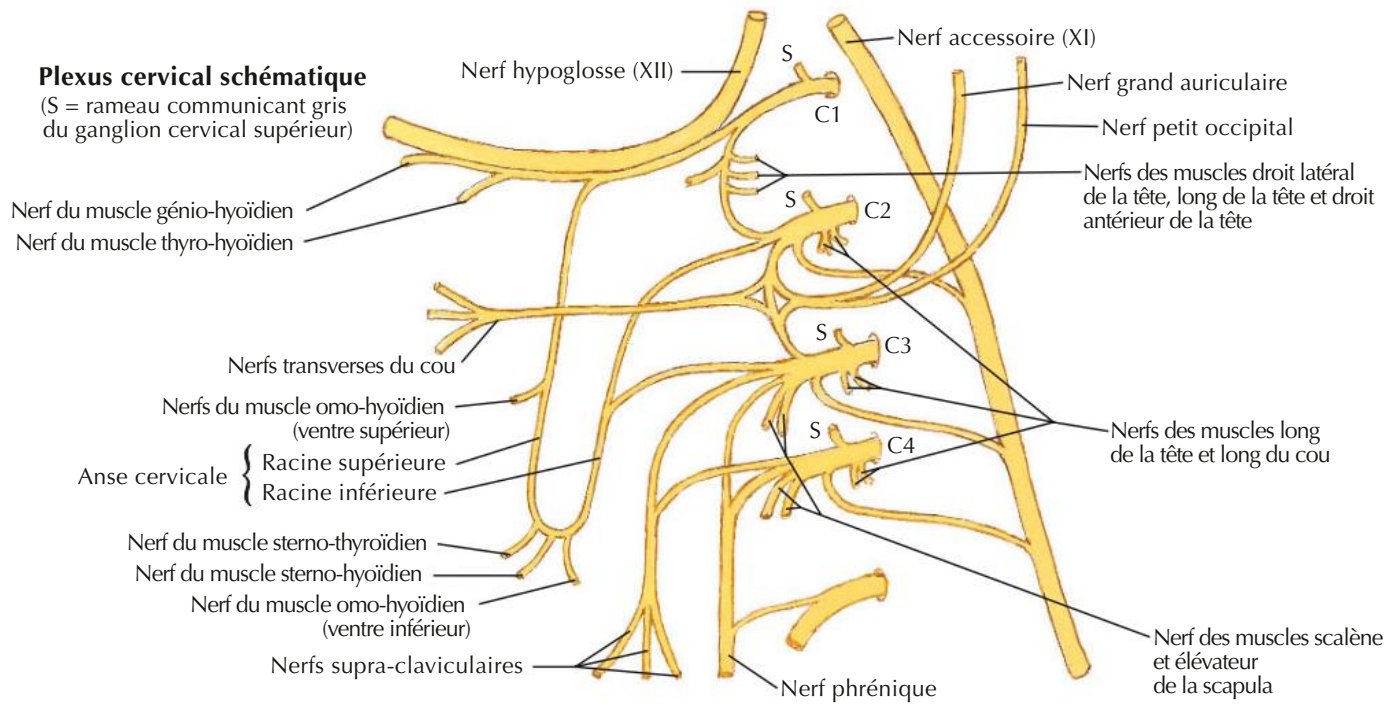
F. Netter M.D.

Muscles cervicaux antérieurs et latéraux du rachis

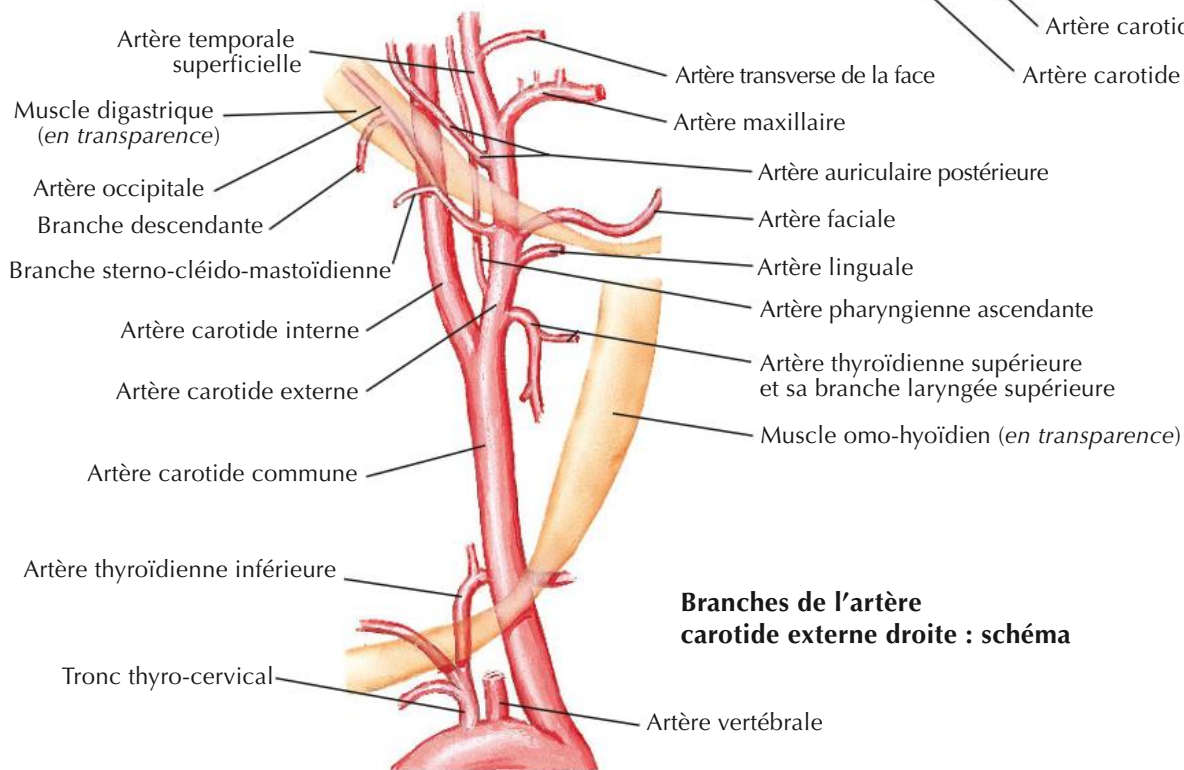
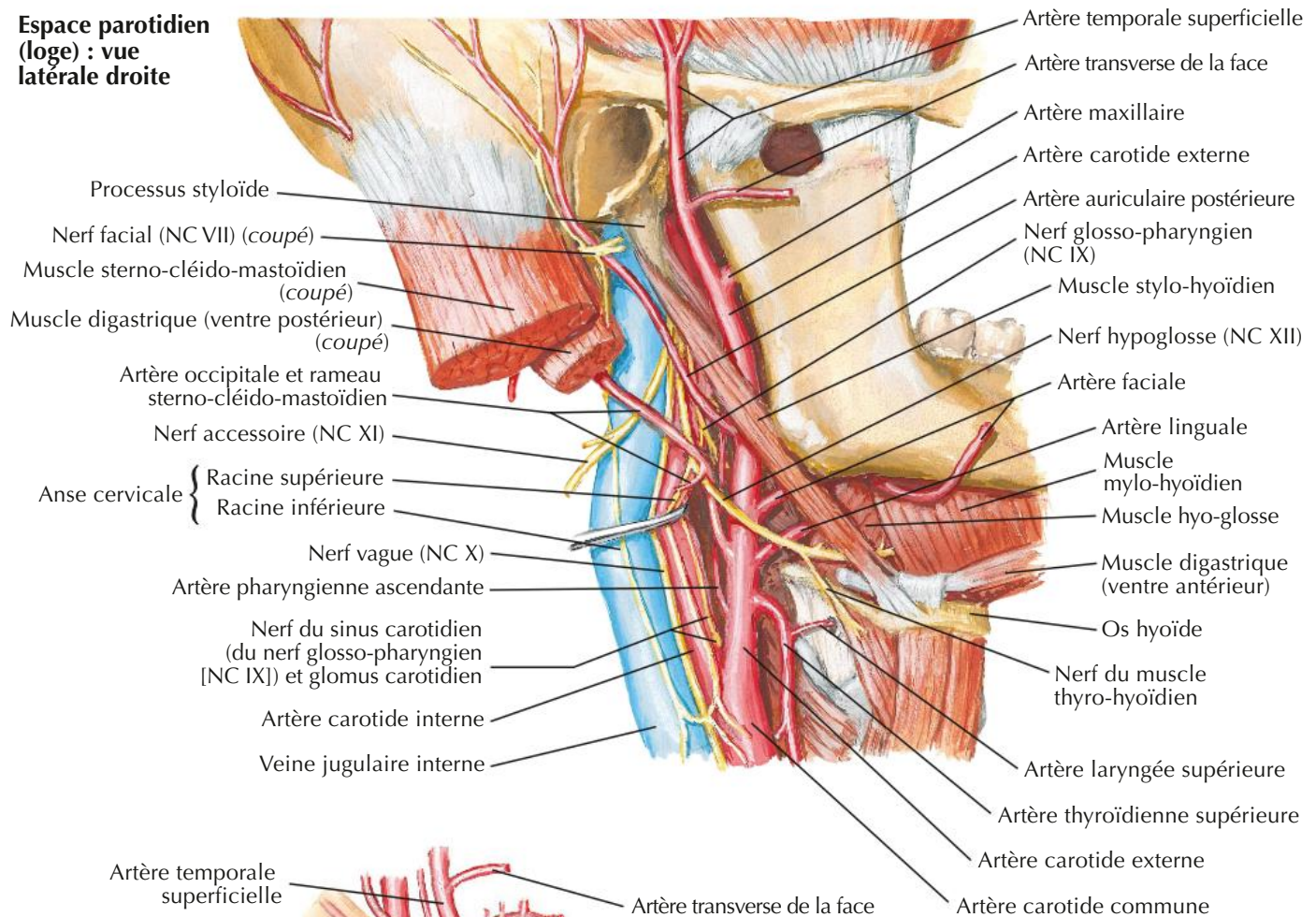






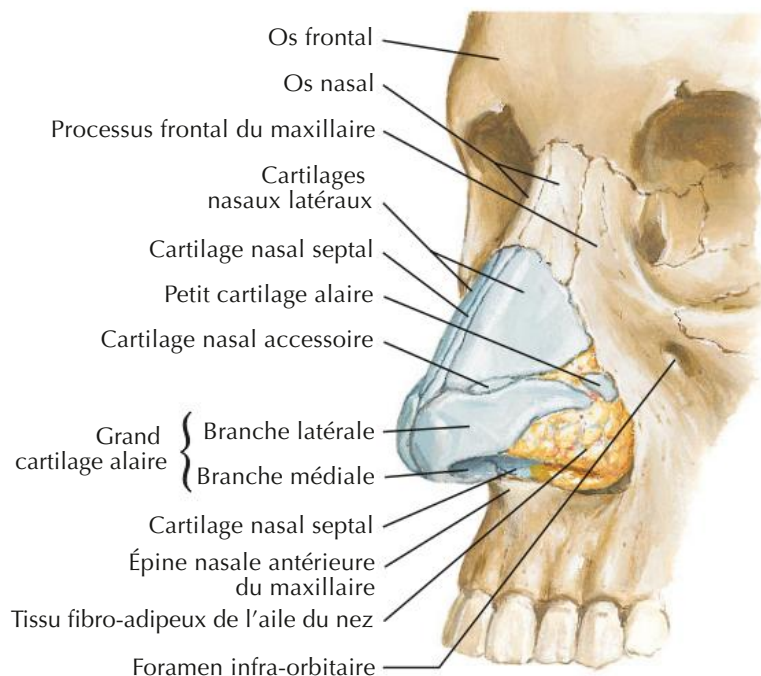


Espace parotidien (loge) : vue latérale droite

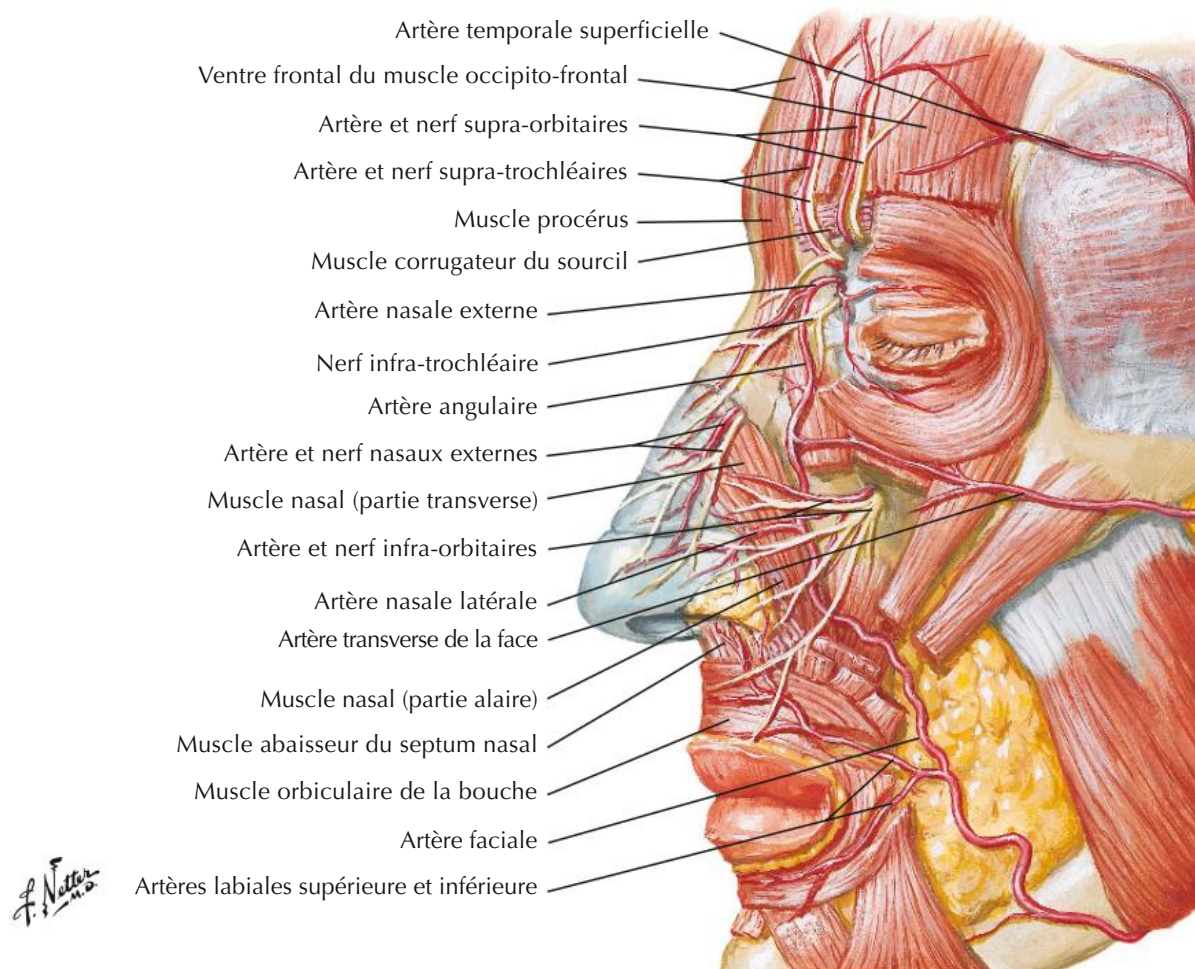
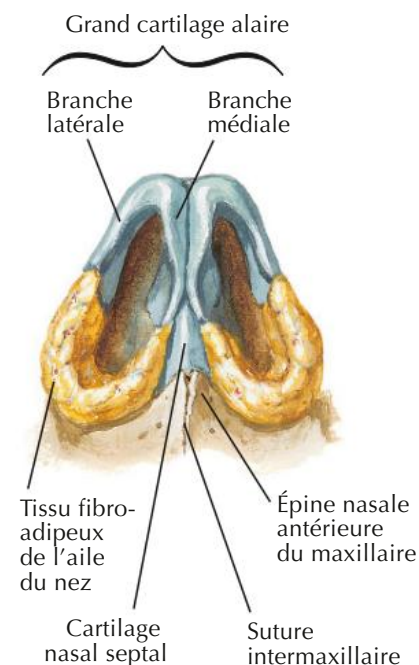


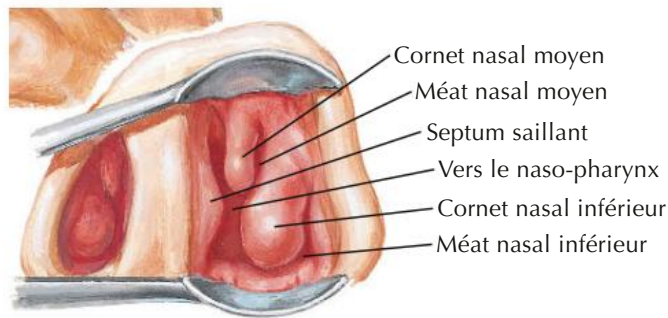
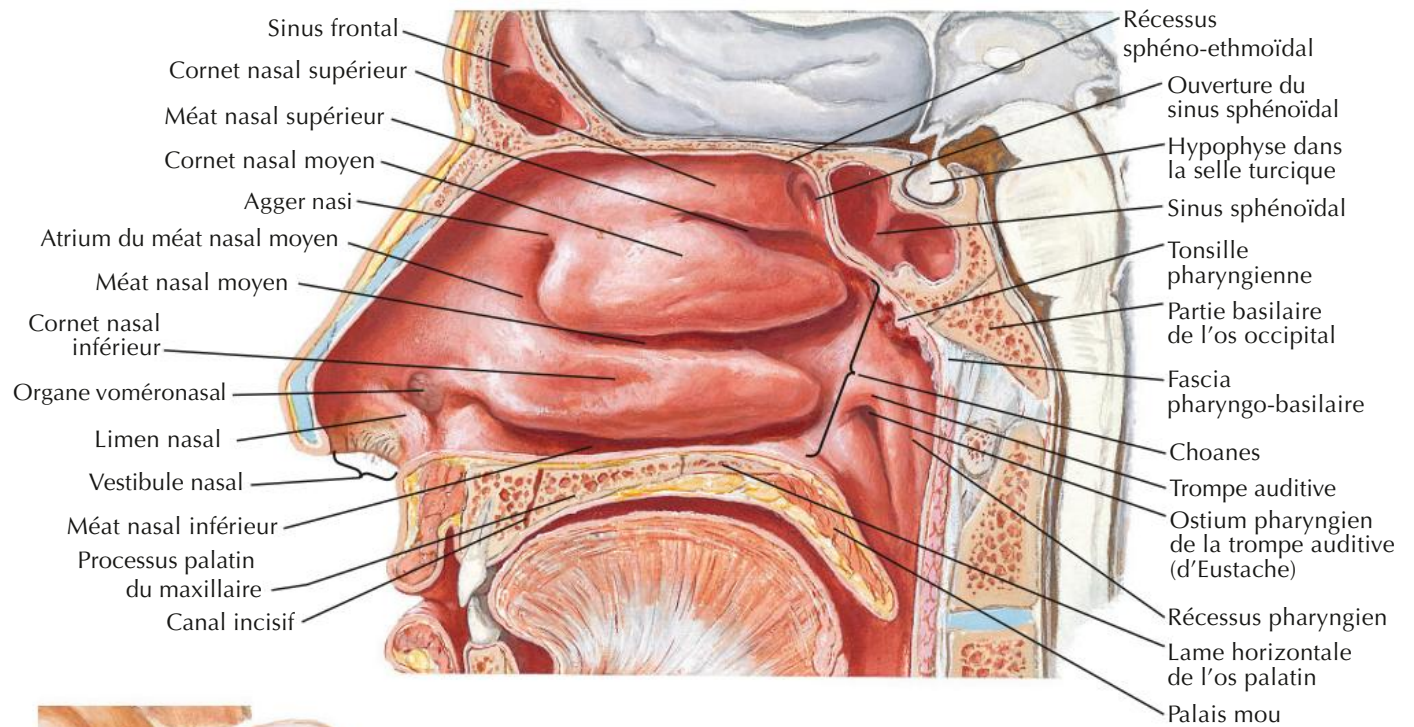
Branches de l'artère carotide externe droite : schéma

Vue antéro-latérale

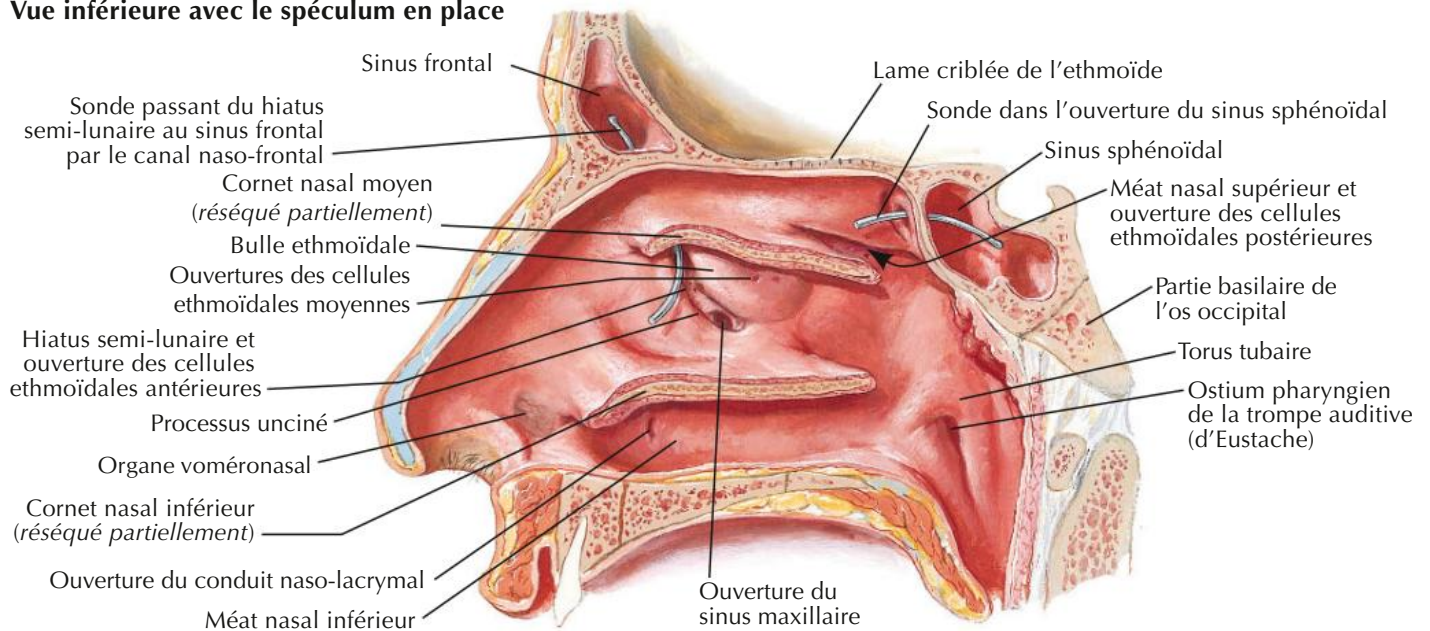


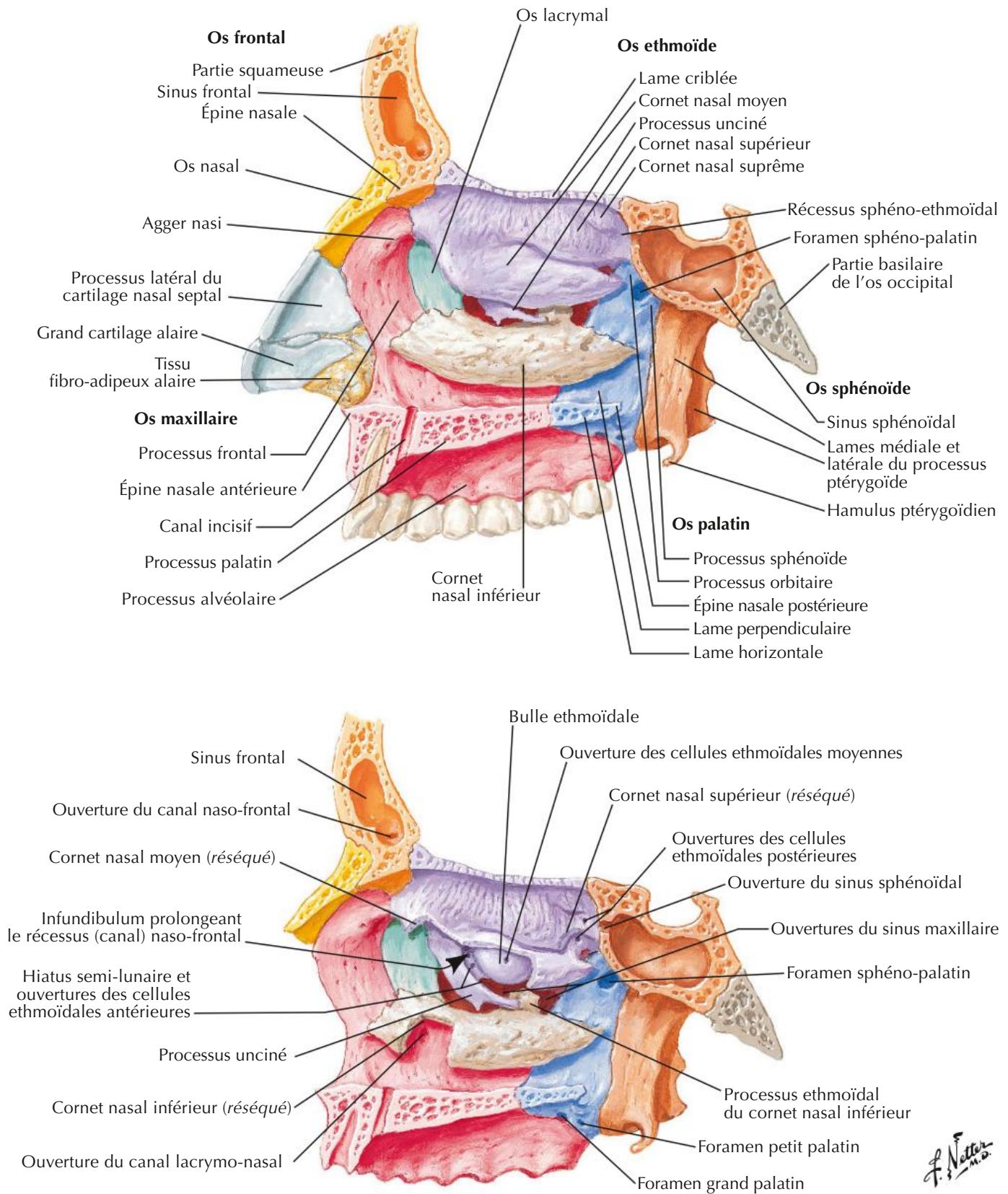
Vue inférieure





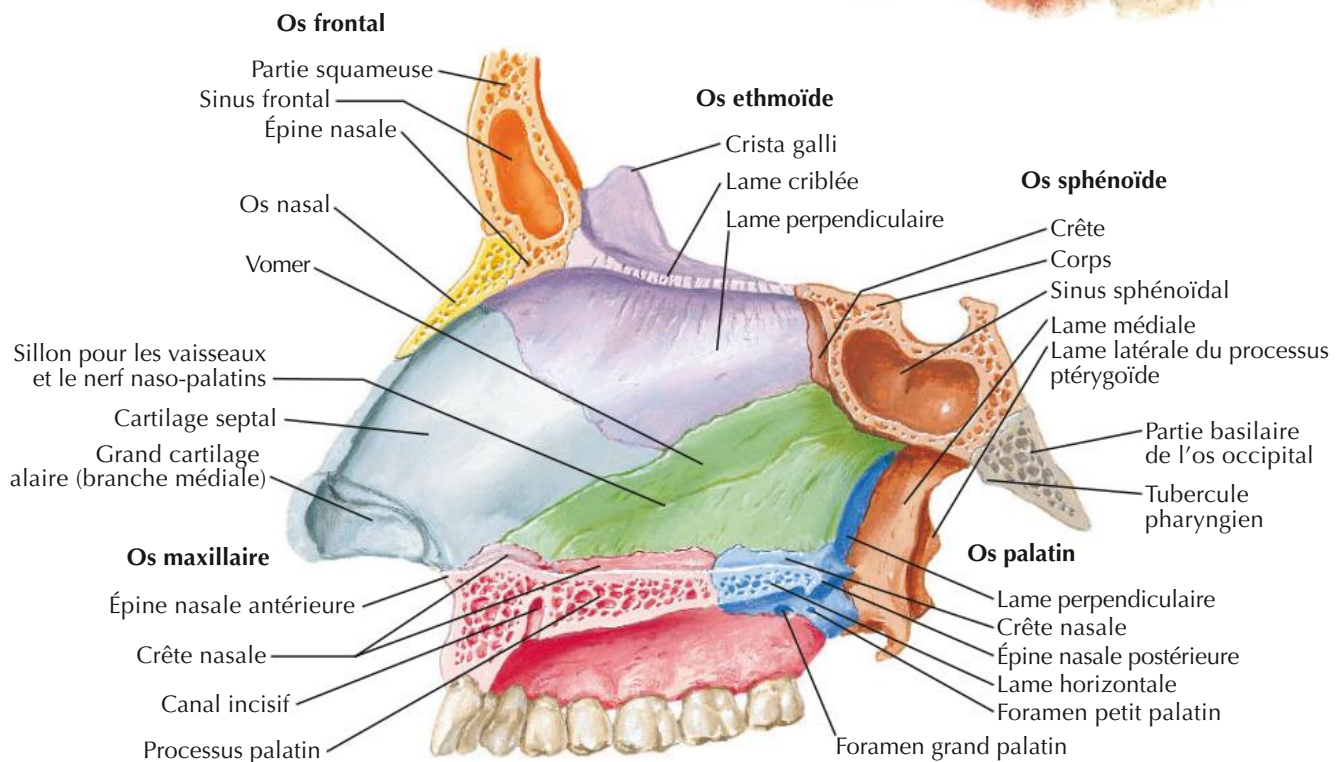
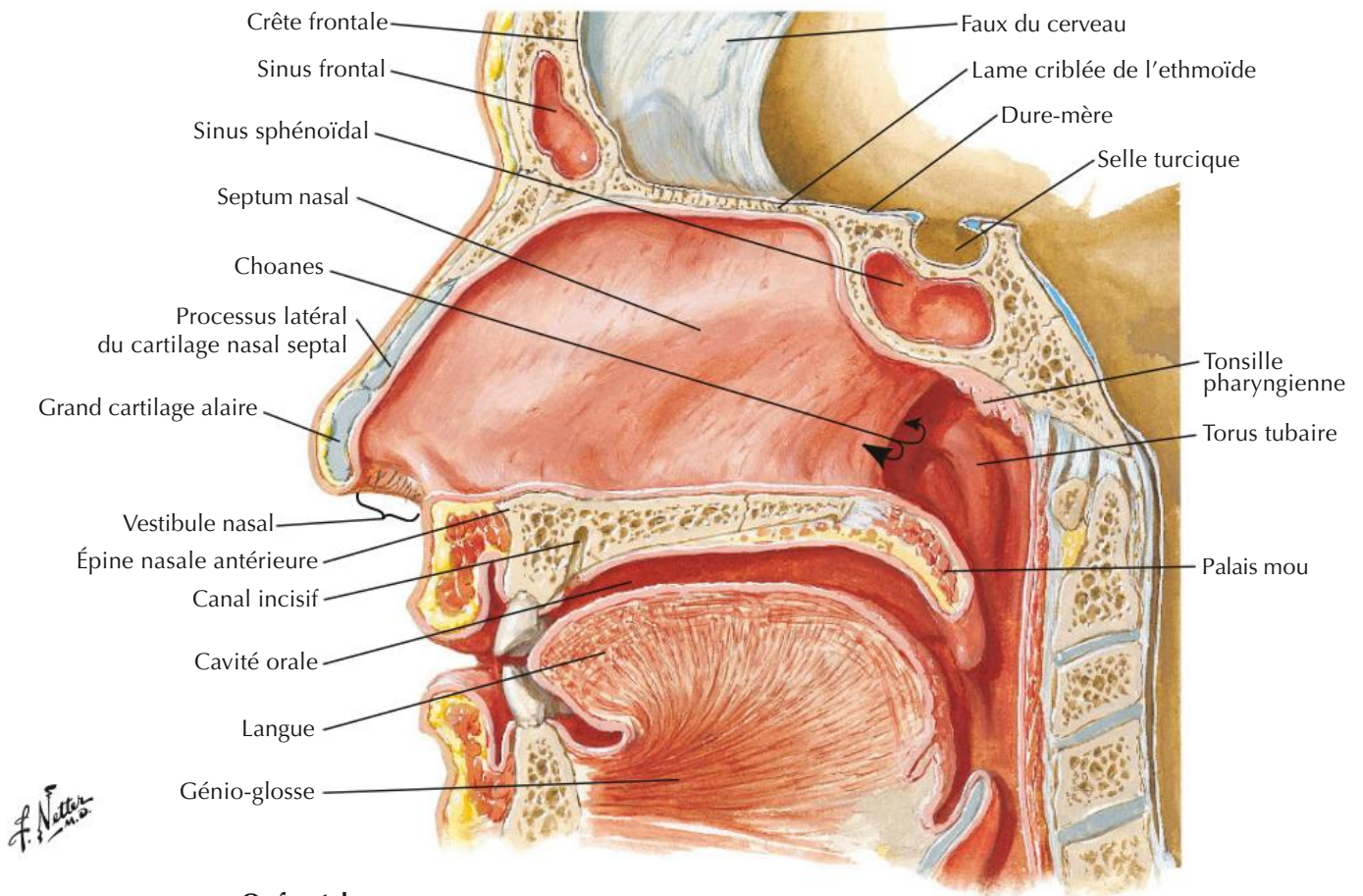
Vue inférieure avec le spéculum en place





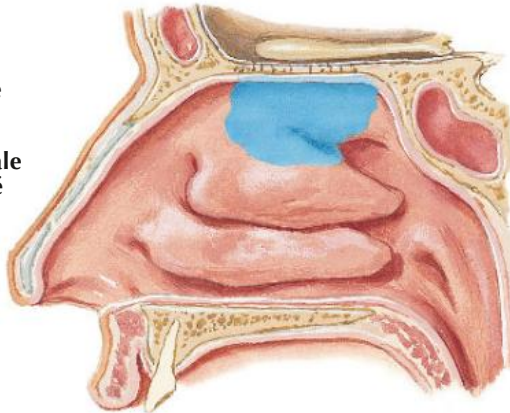
Paroi médiale de la cavité nasale (septum nasal)

Voir aussi **Planche 15**

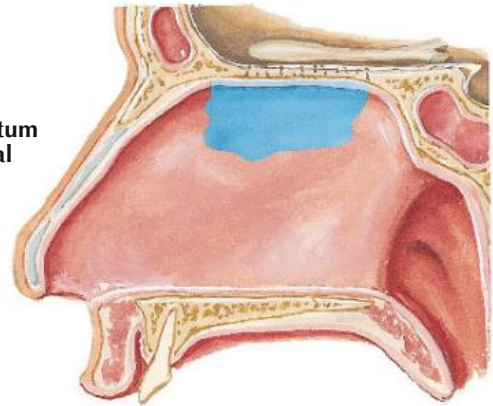


Topographie de la muqueuse olfactive (en bleu)

Paroi latérale de la cavité nasale



Septum nasal



Rameau nasal externe du nerf ethmoïdal antérieur (NC V₁)

Rameau nasal latéral interne du nerf ethmoïdal antérieur (NC V₁)

Bulbe olfactif

Lame criblée de l'ethmoïde

Tractus olfactif

Rameaux nasaux latéraux postéro-supérieurs du ganglion ptérygo-palatin

Nerf maxillaire (NC V₂) (foramen sphéno-palatin réséqué)

Ganglion ptérygo-palatin

Nerf grand pétreux

Nerf pétreux profond

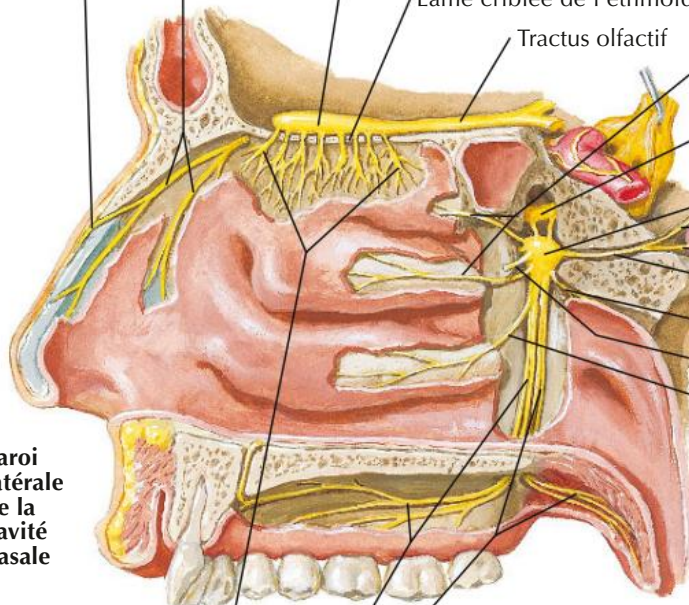
Nerf du canal ptérygoïdien (vidien)

Rameau pharyngien du ganglion ptérygo-palatin

Nerf naso-palatin (NC V₂) destiné au septum (coupé)

Rameaux nasaux latéraux postéro-inférieurs du nerf grand palatin (NC V₂)

Paroi latérale de la cavité nasale



Nerfs olfactifs (NC I)

Nerf palatin (NC V₂) } Grand
Petit

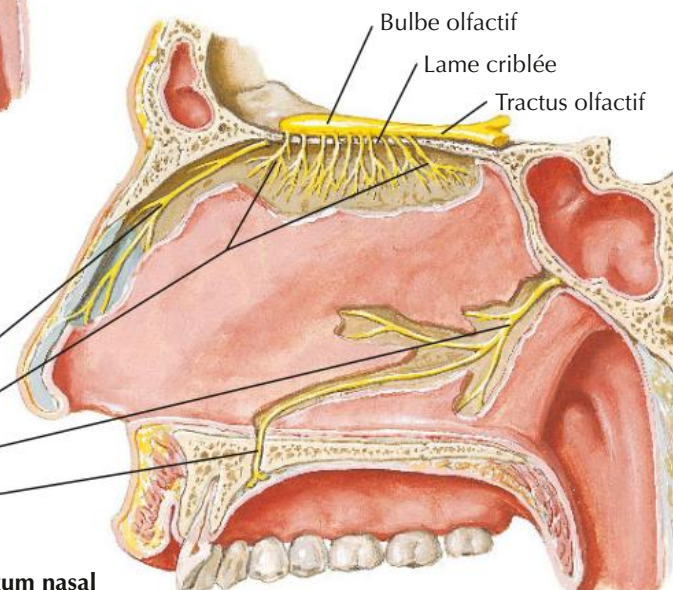
Rameaux nasaux interne et médial du nerf ethmoïdal antérieur (NC V₁)

Nerfs olfactifs (NC I)

Nerf naso-palatin (NC V₂)

Canal incisif

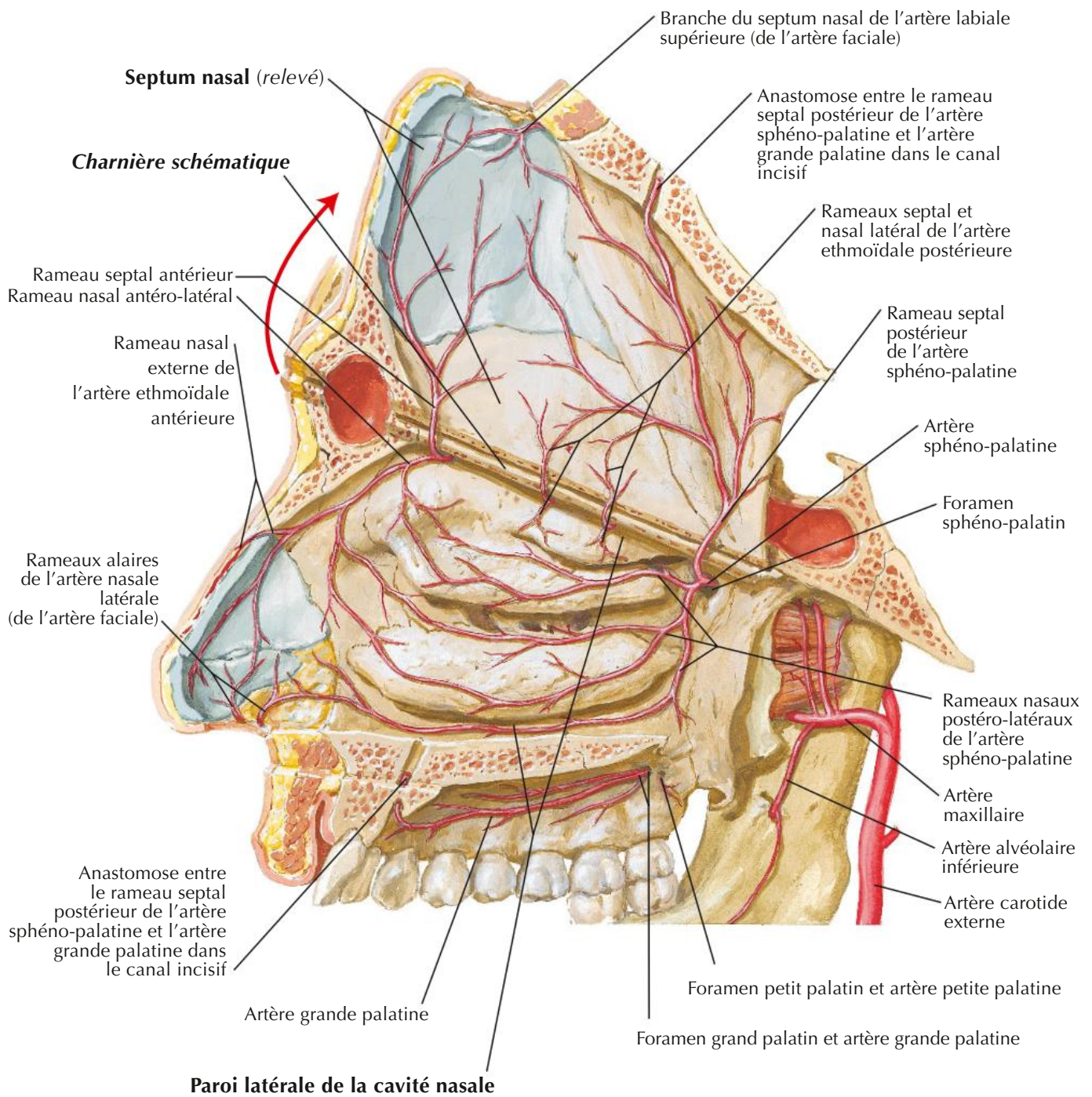
Septum nasal

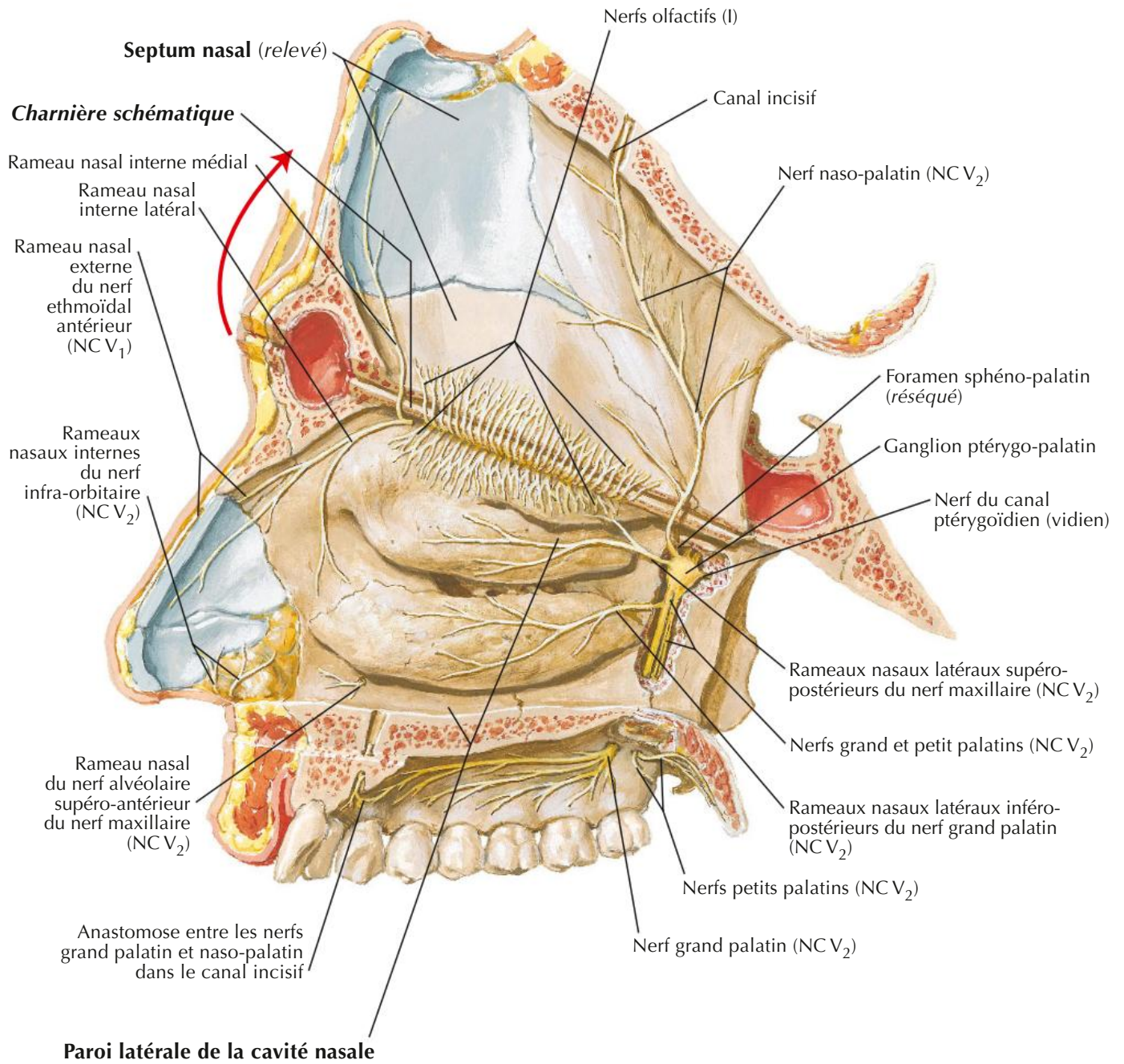


F. Netter M.D.

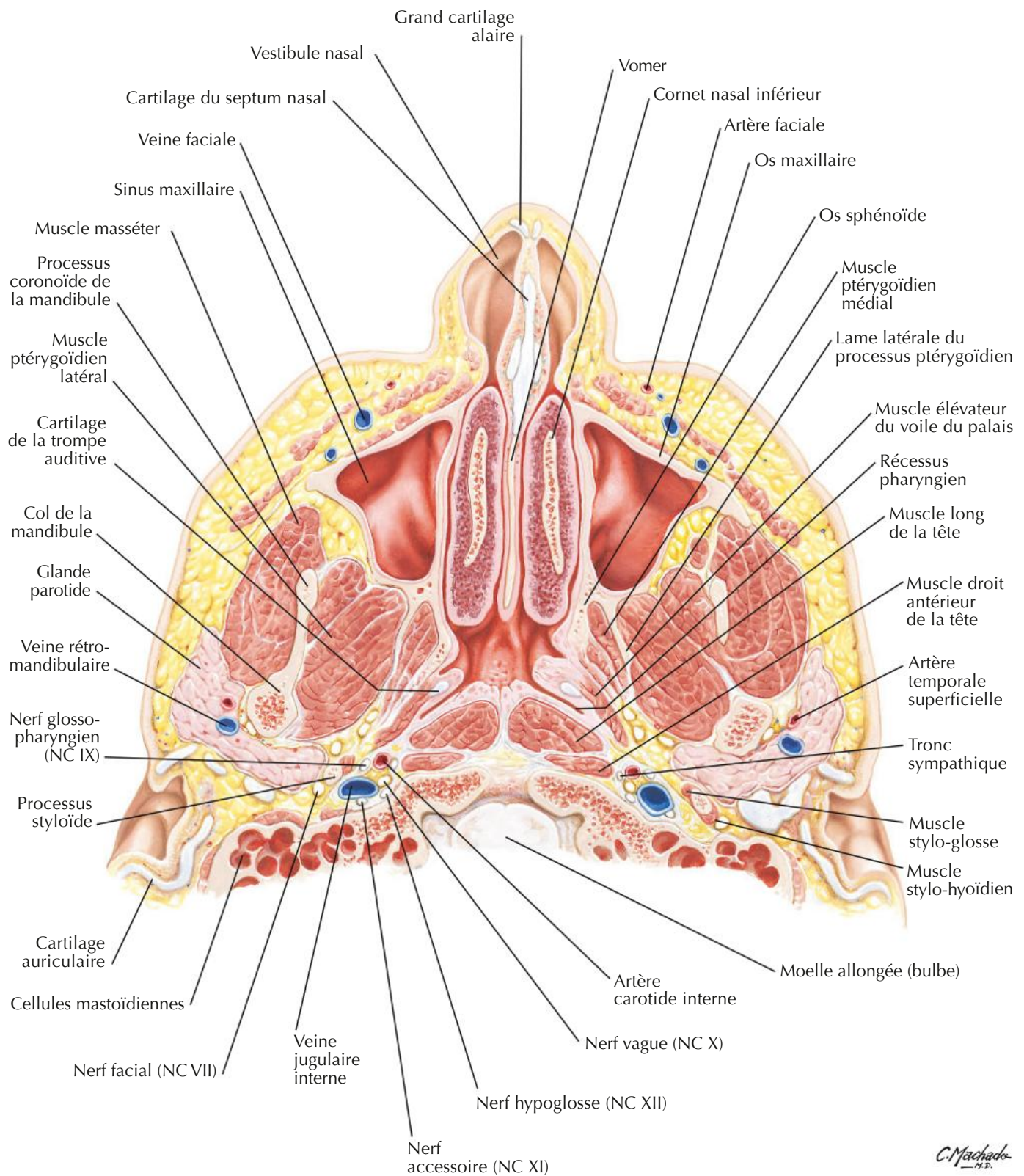
Artères de la cavité nasale : septum nasal relevé

Voir aussi Planches 57, 63

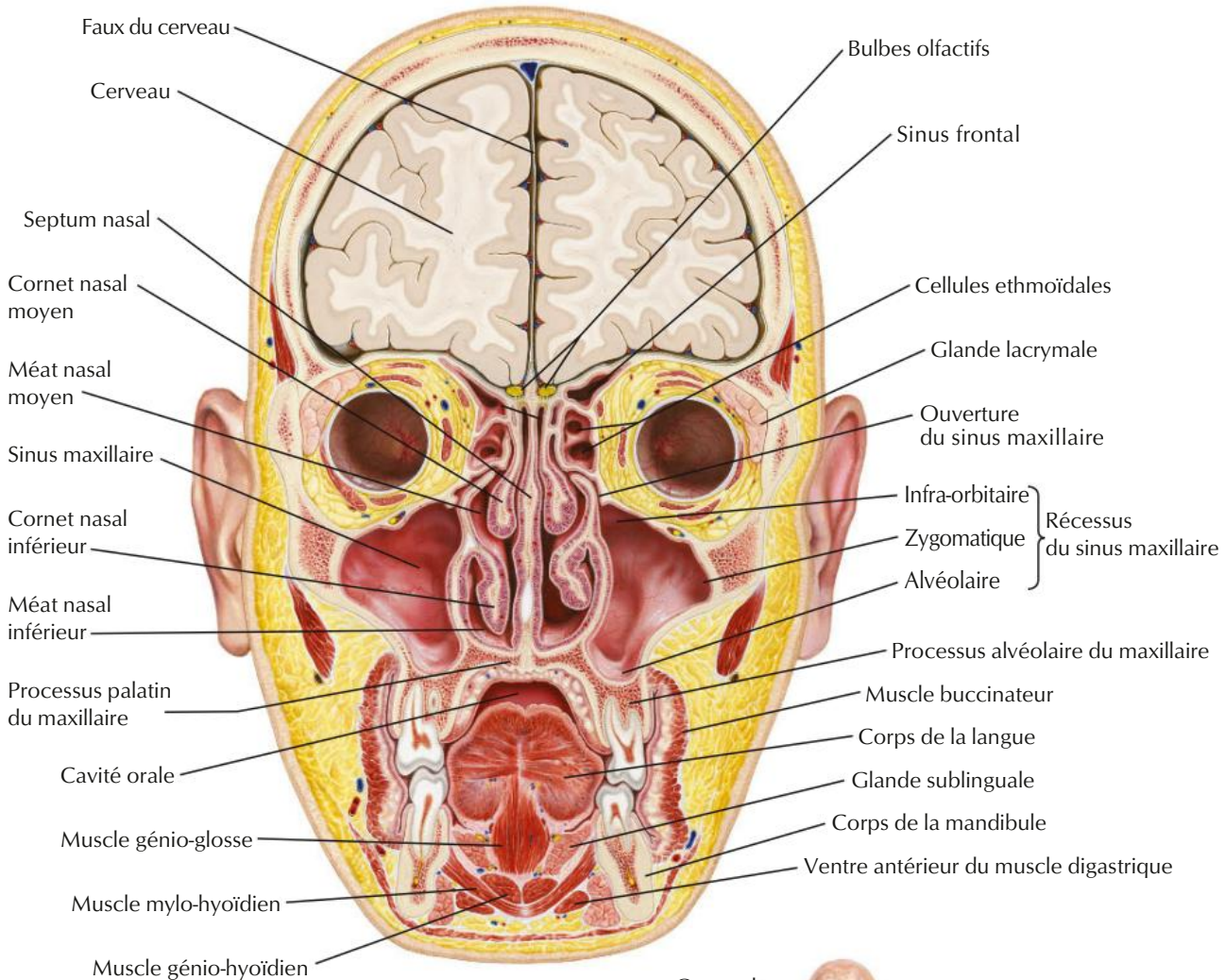
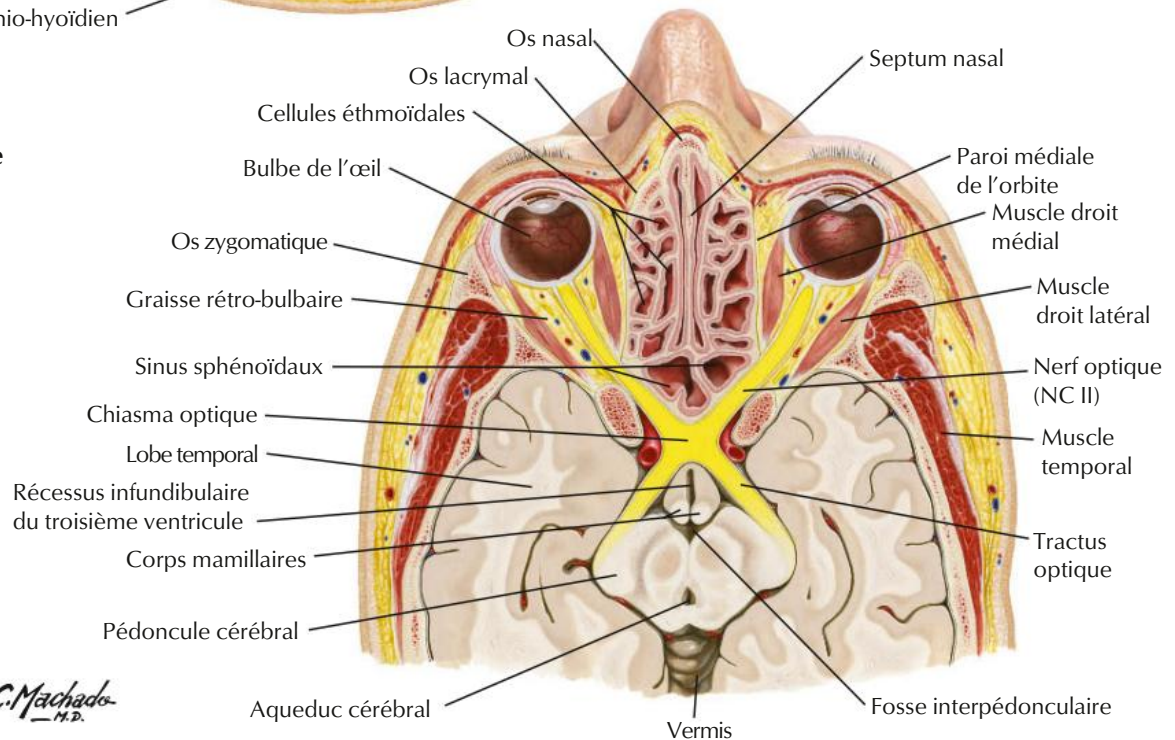


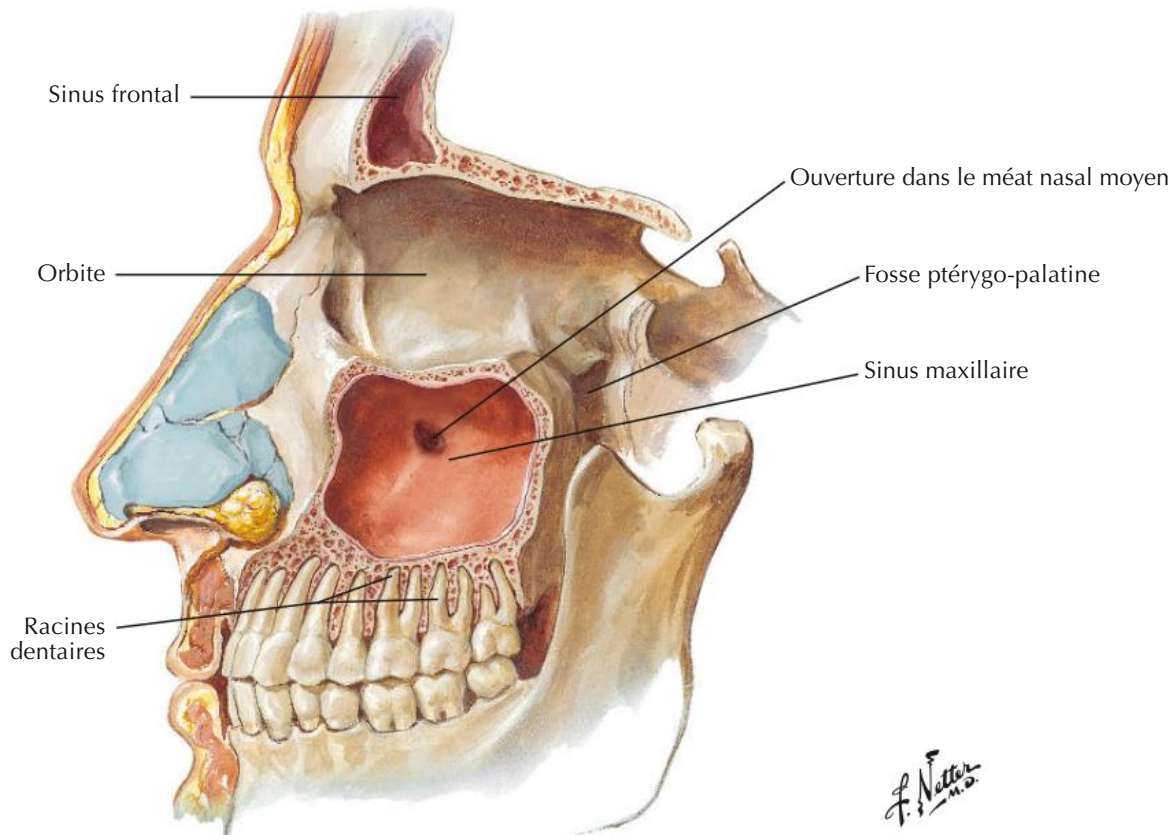
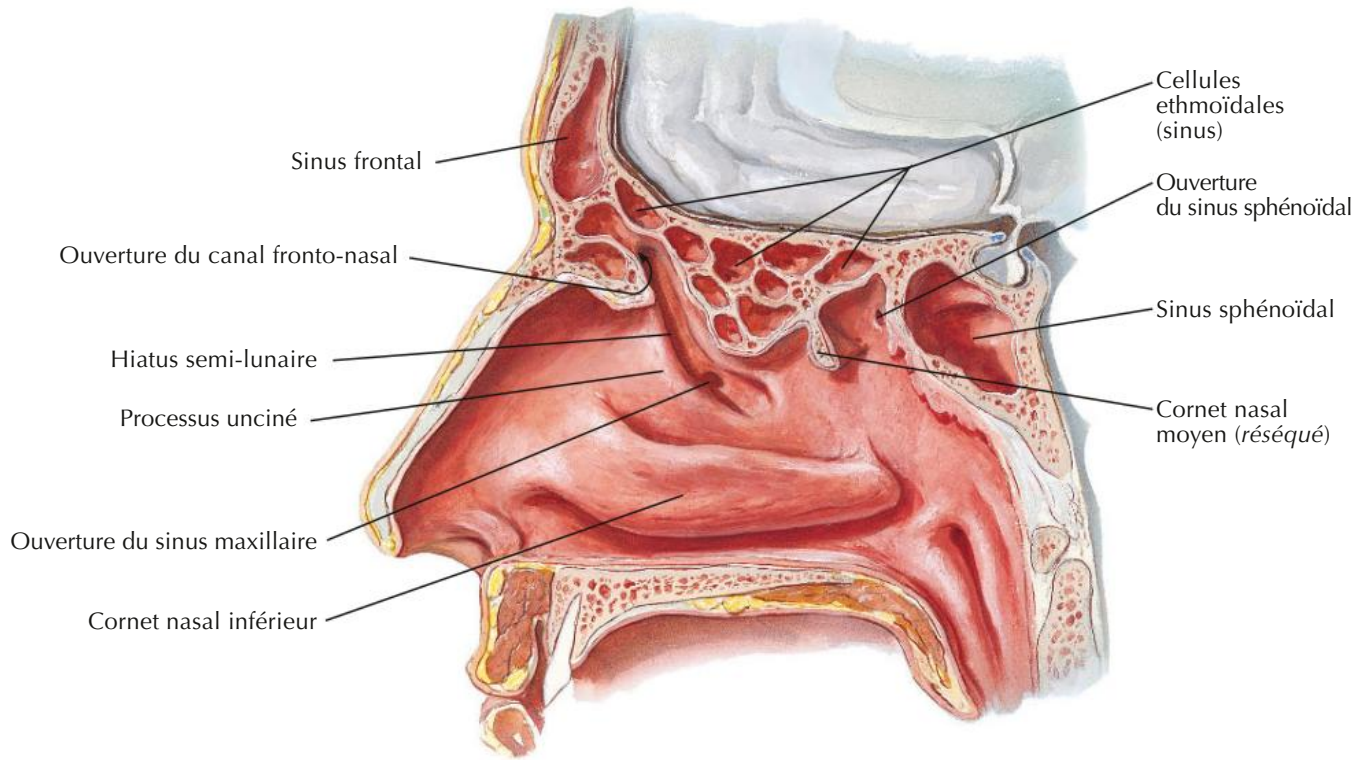


F. Netter

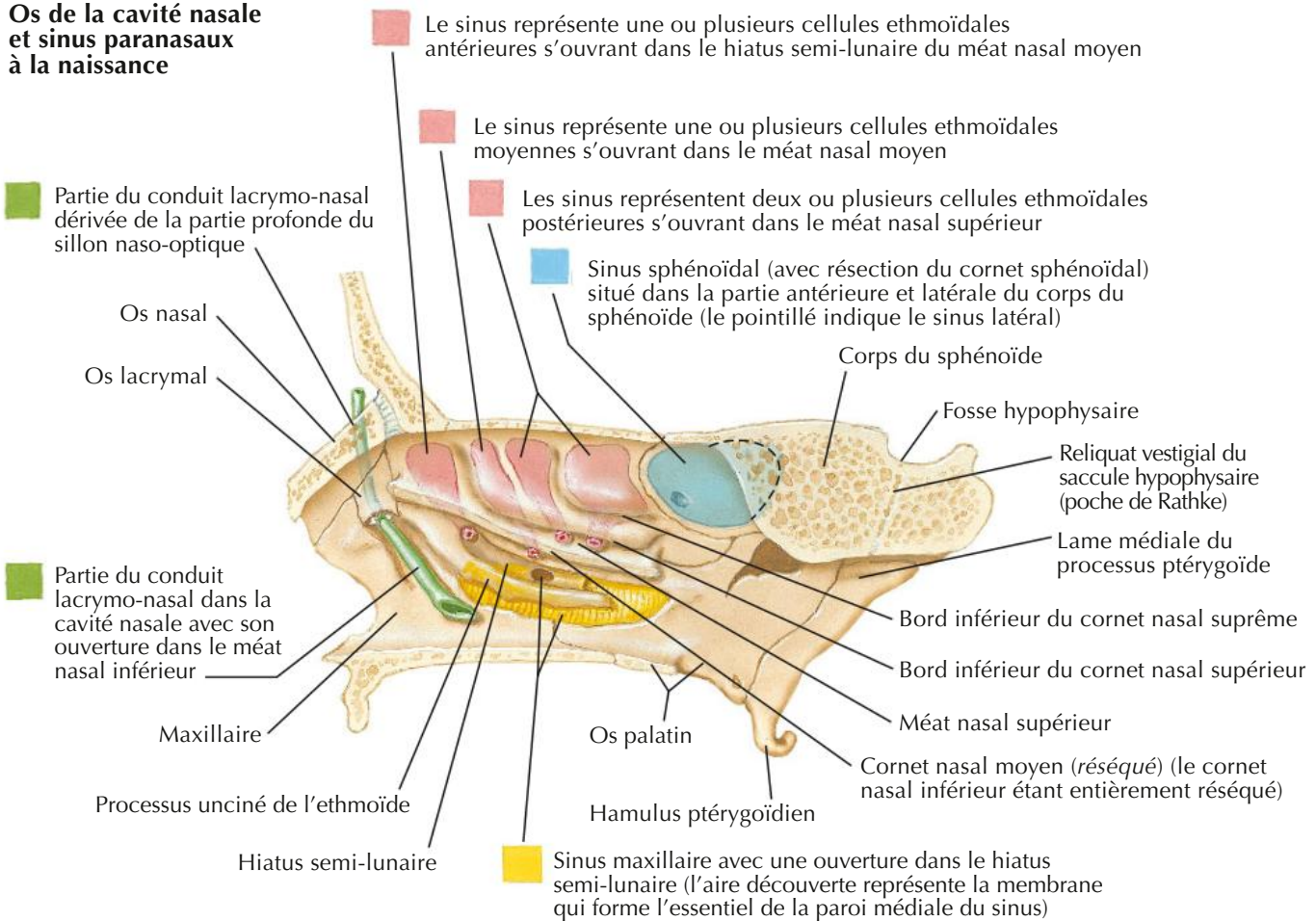


C. Machado M.D.

Coupe coronale**Coupe transversale**

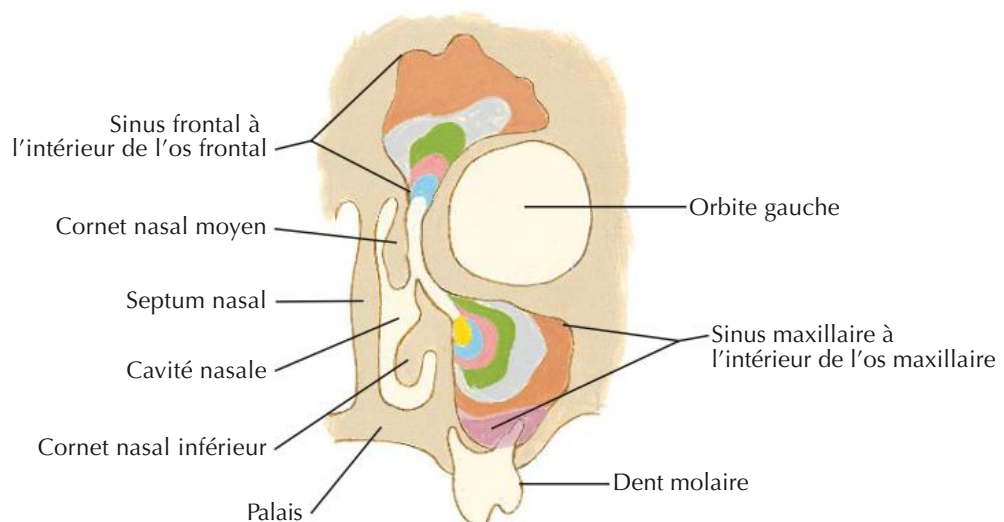


Os de la cavité nasale et sinus paranasaux à la naissance

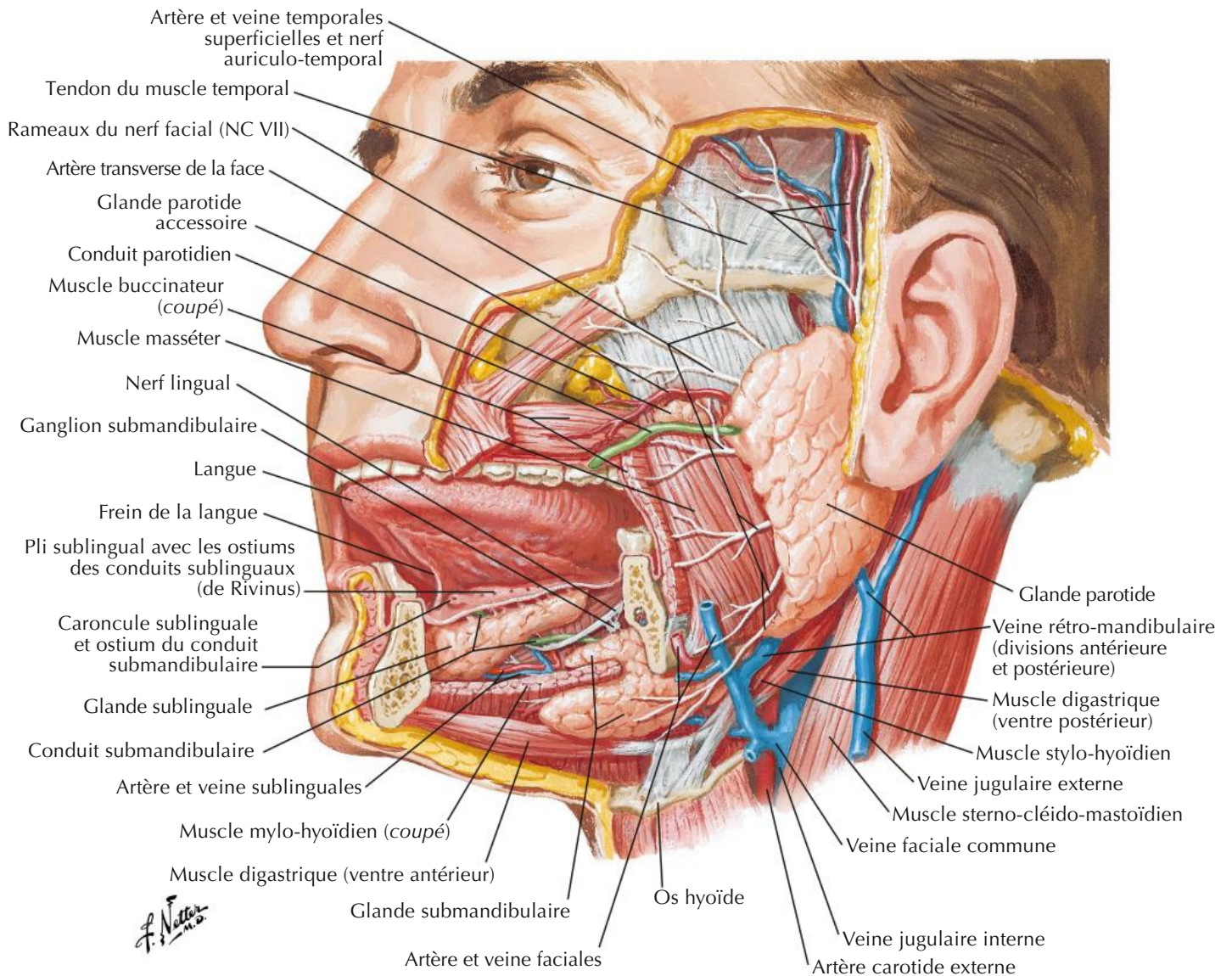


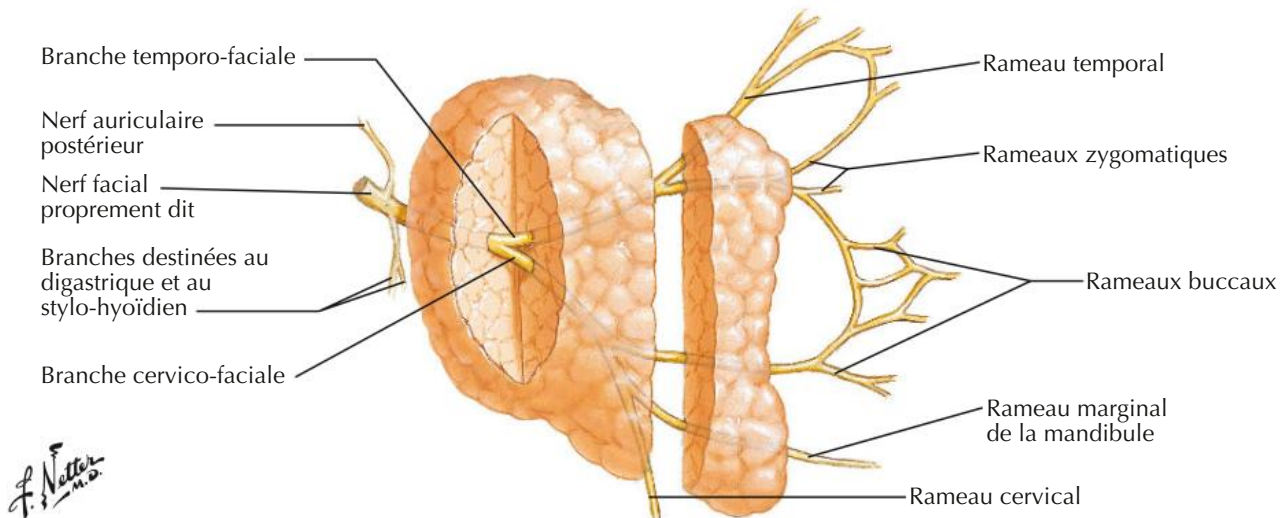
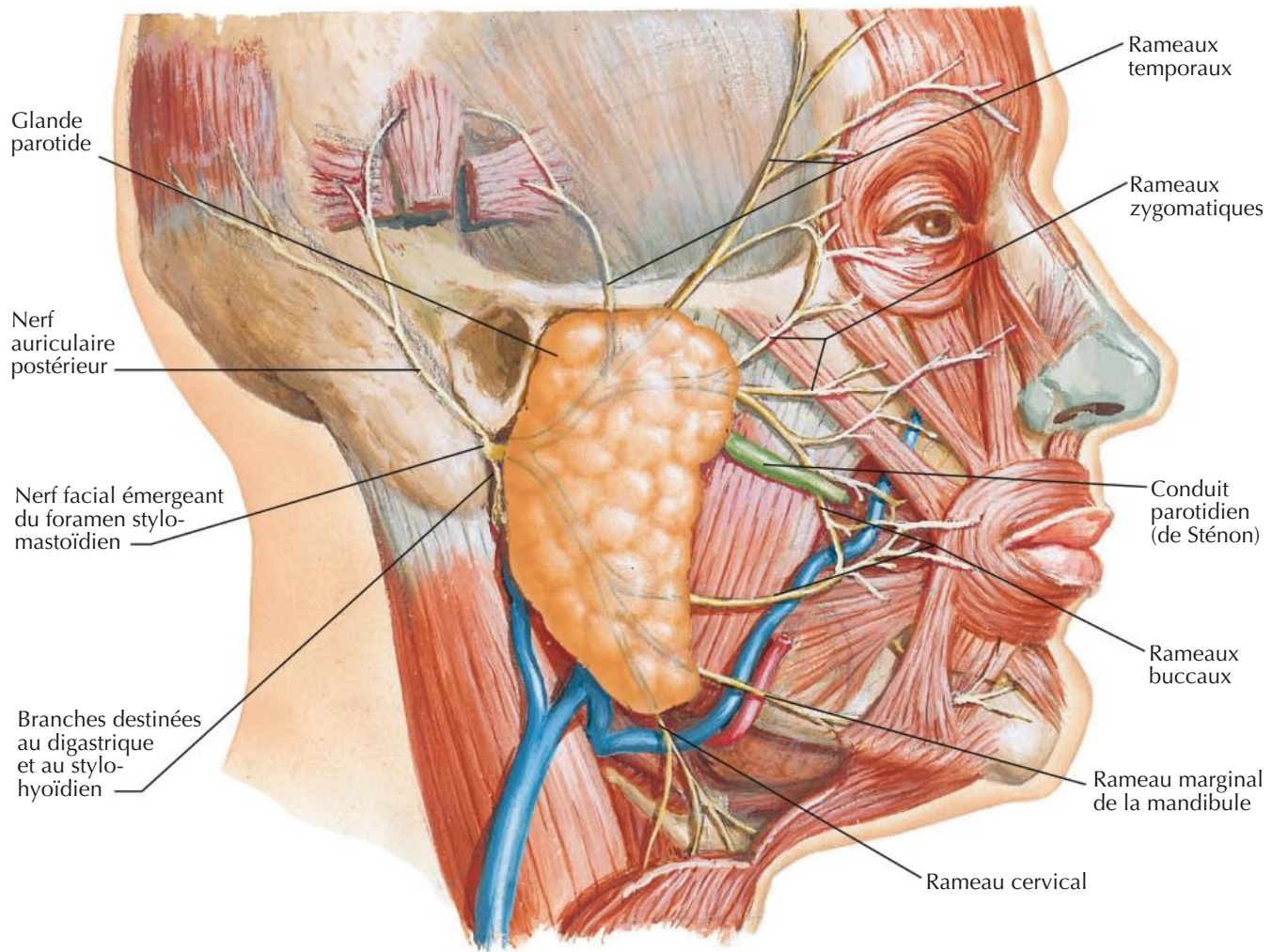
Développement des sinus frontaux et maxillaires durant la vie

- Naissance
- 1 an
- 4 ans
- 7 ans
- 12 ans
- Adulte
- Homme âgé



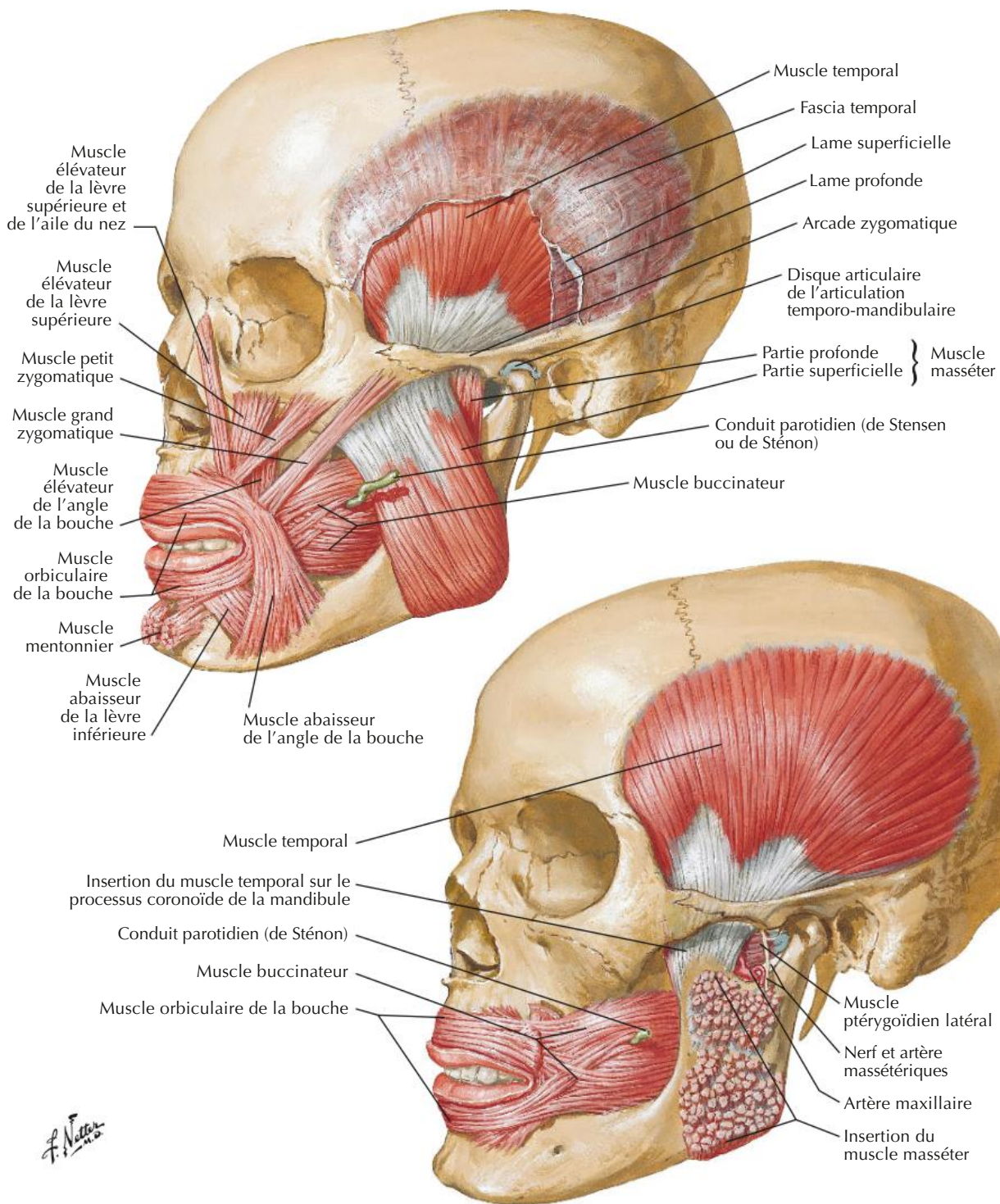
F. Netter



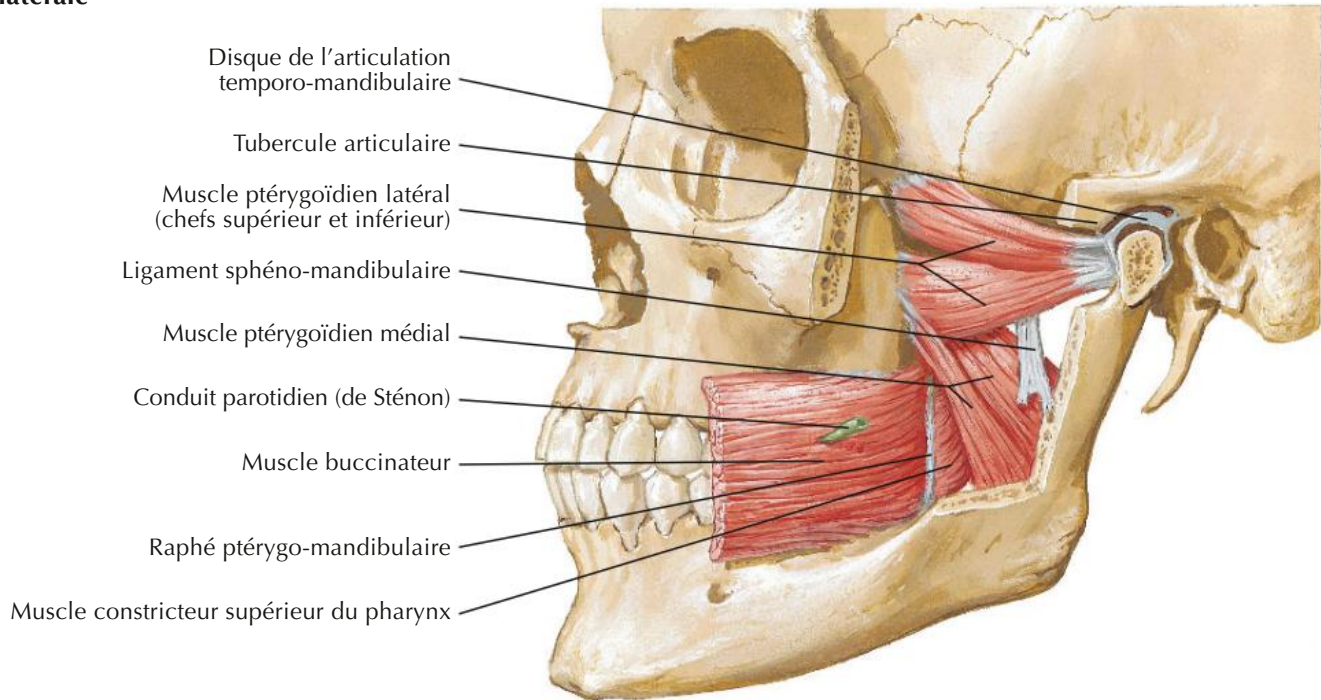


Muscles de la mastication

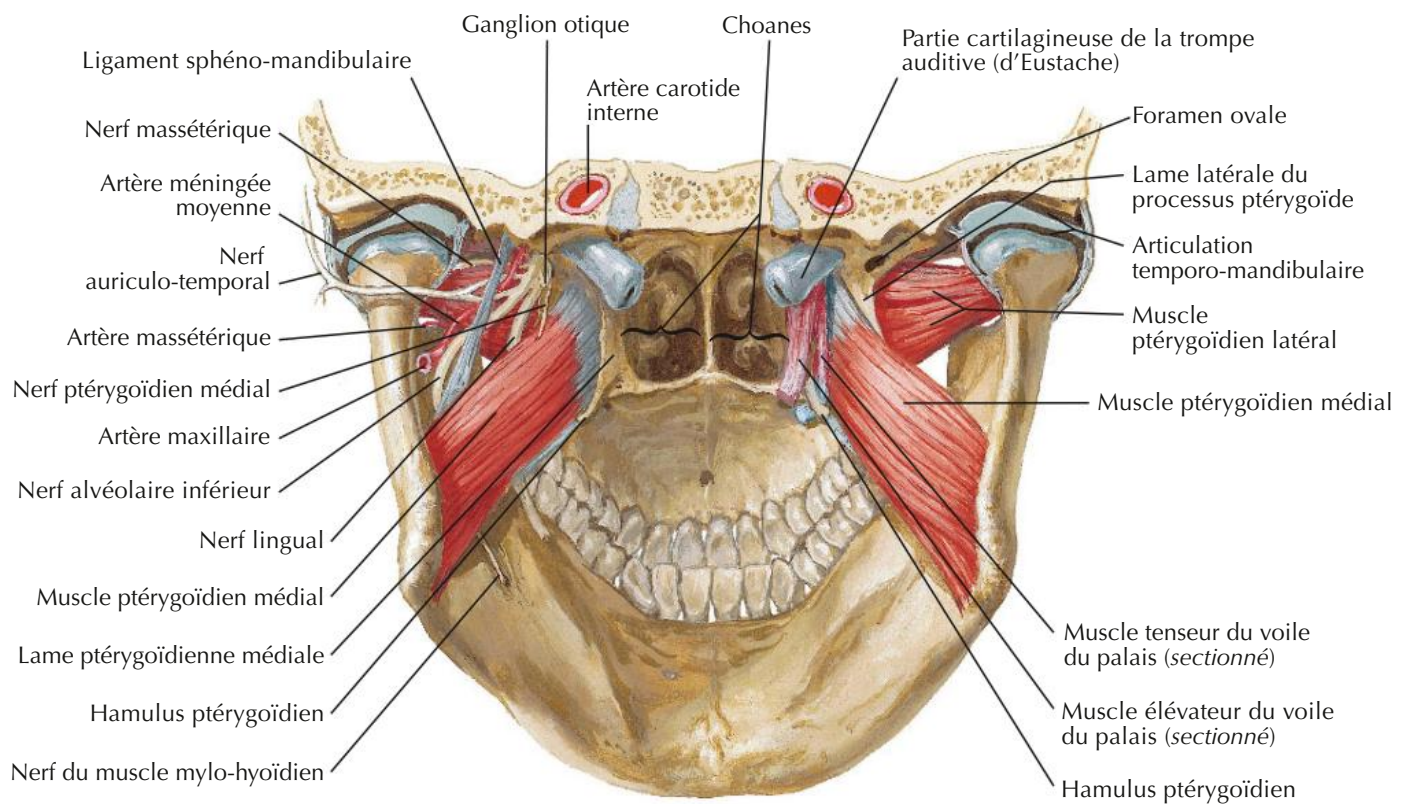
Pour les muscles de la face, voir **Planche 31**



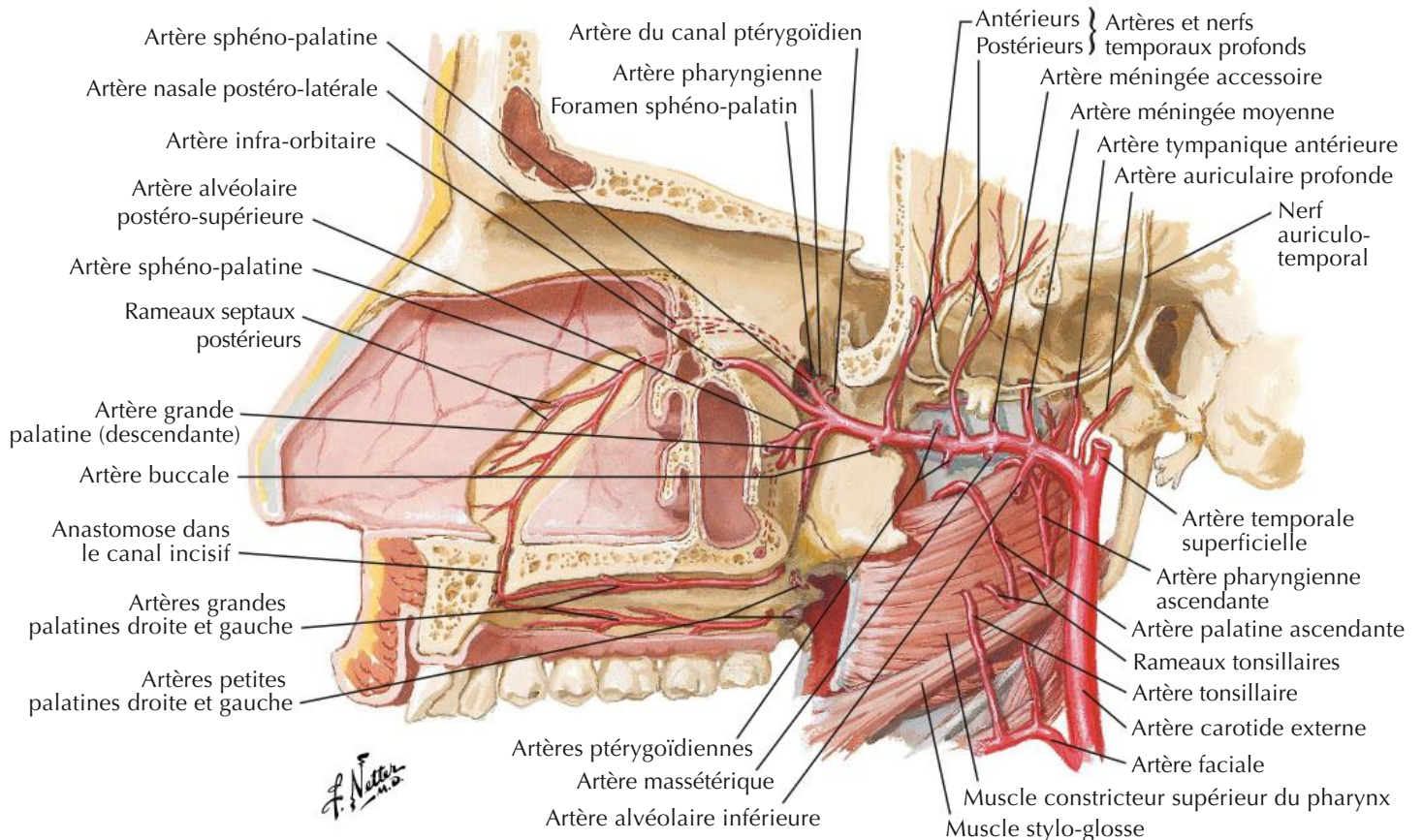
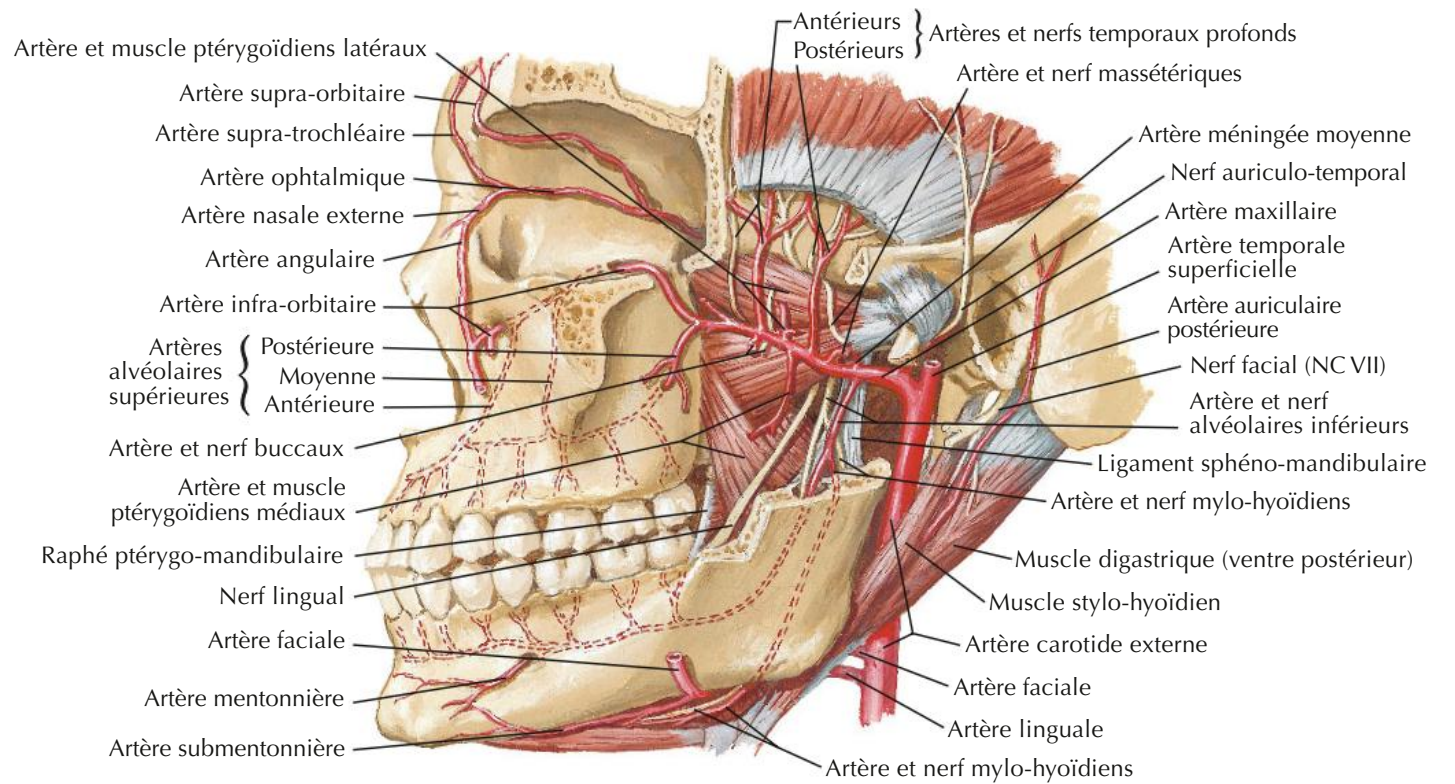
Vue latérale



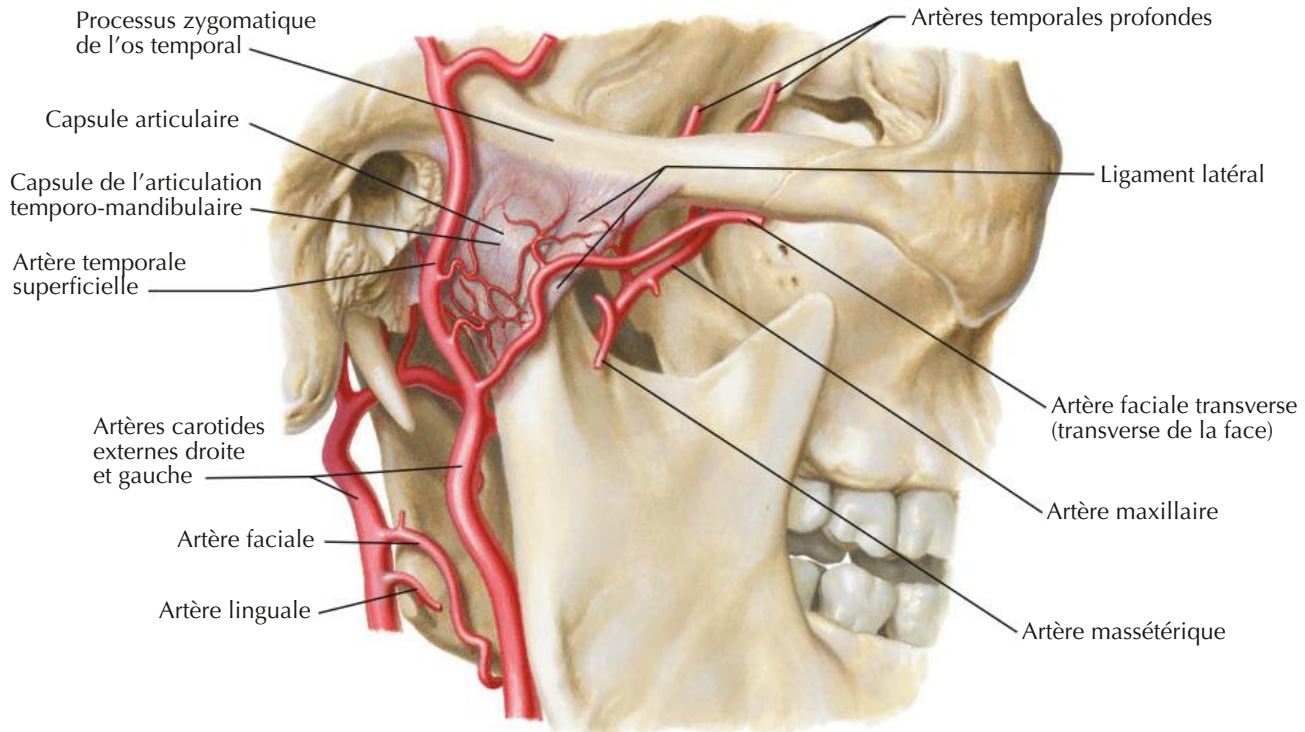
Vue postérieure



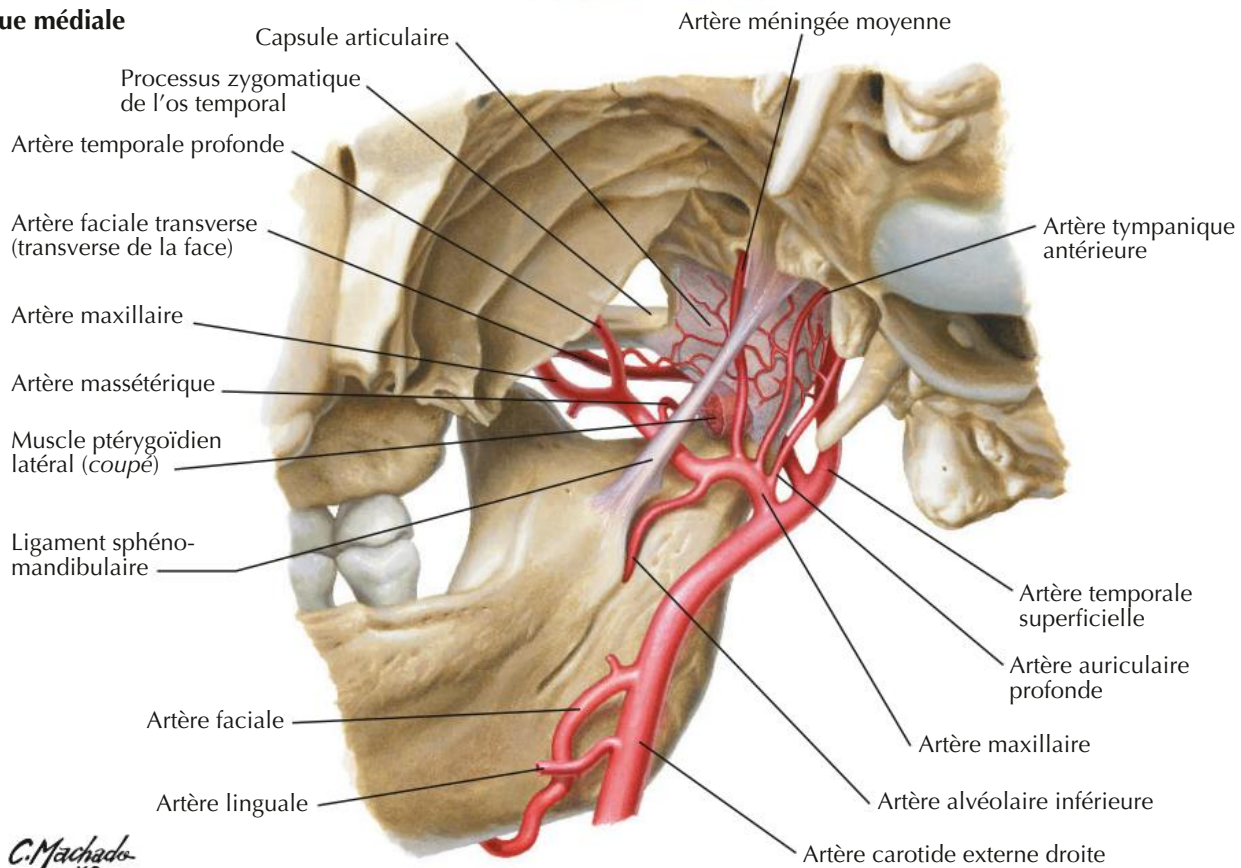
F. Netter M.D.



Vue latérale



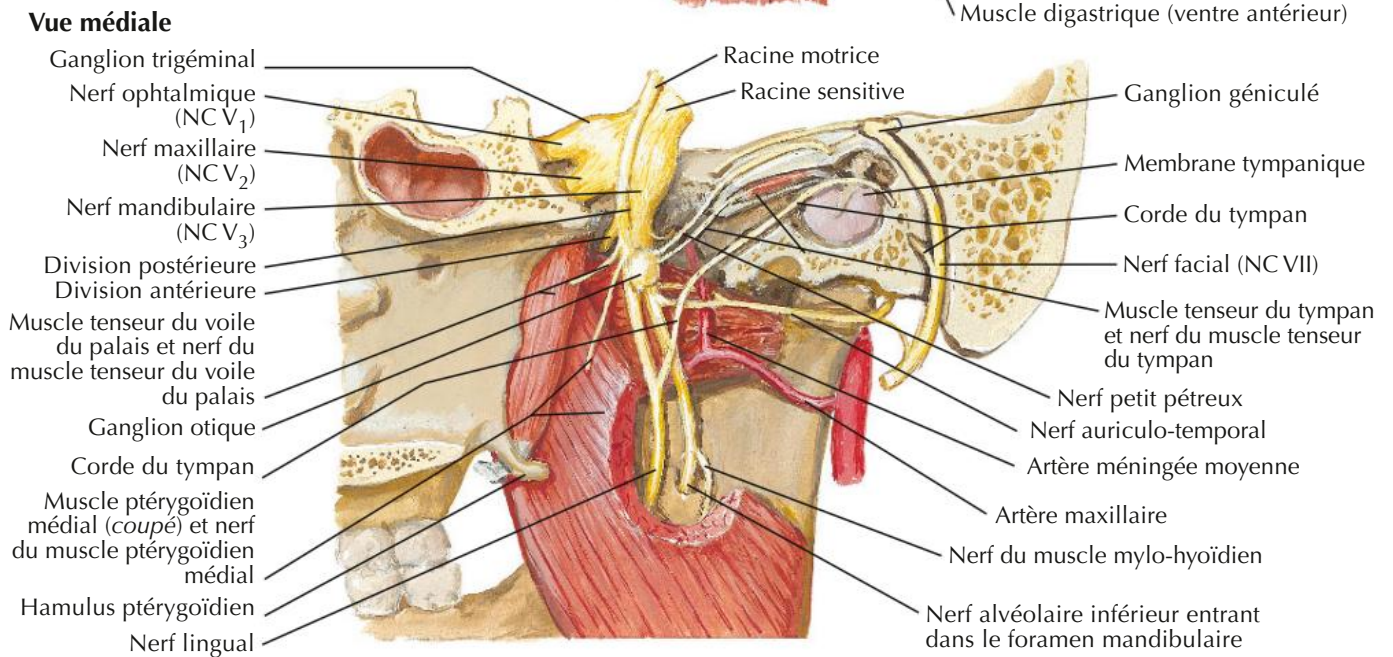
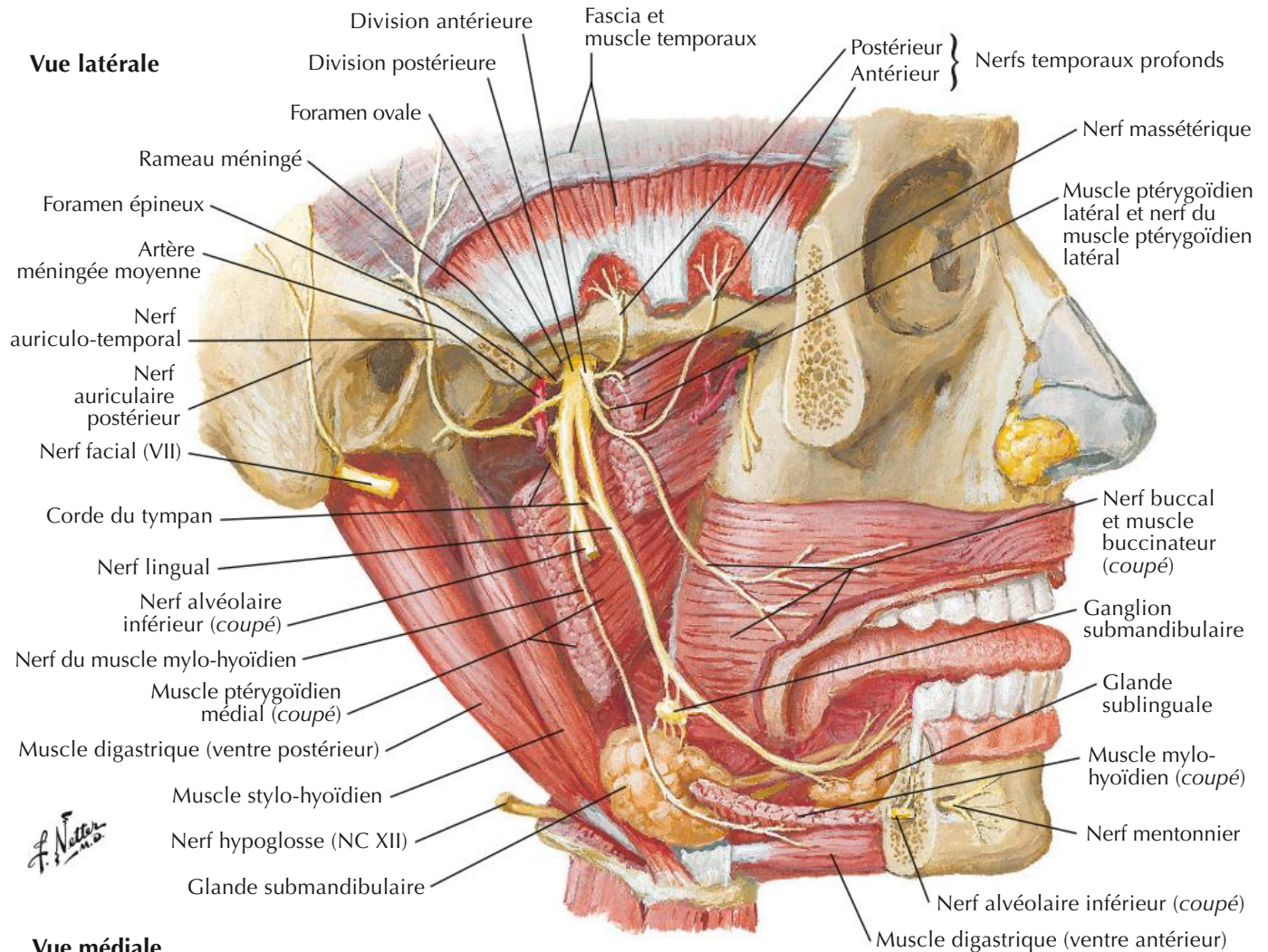
Vue médiale



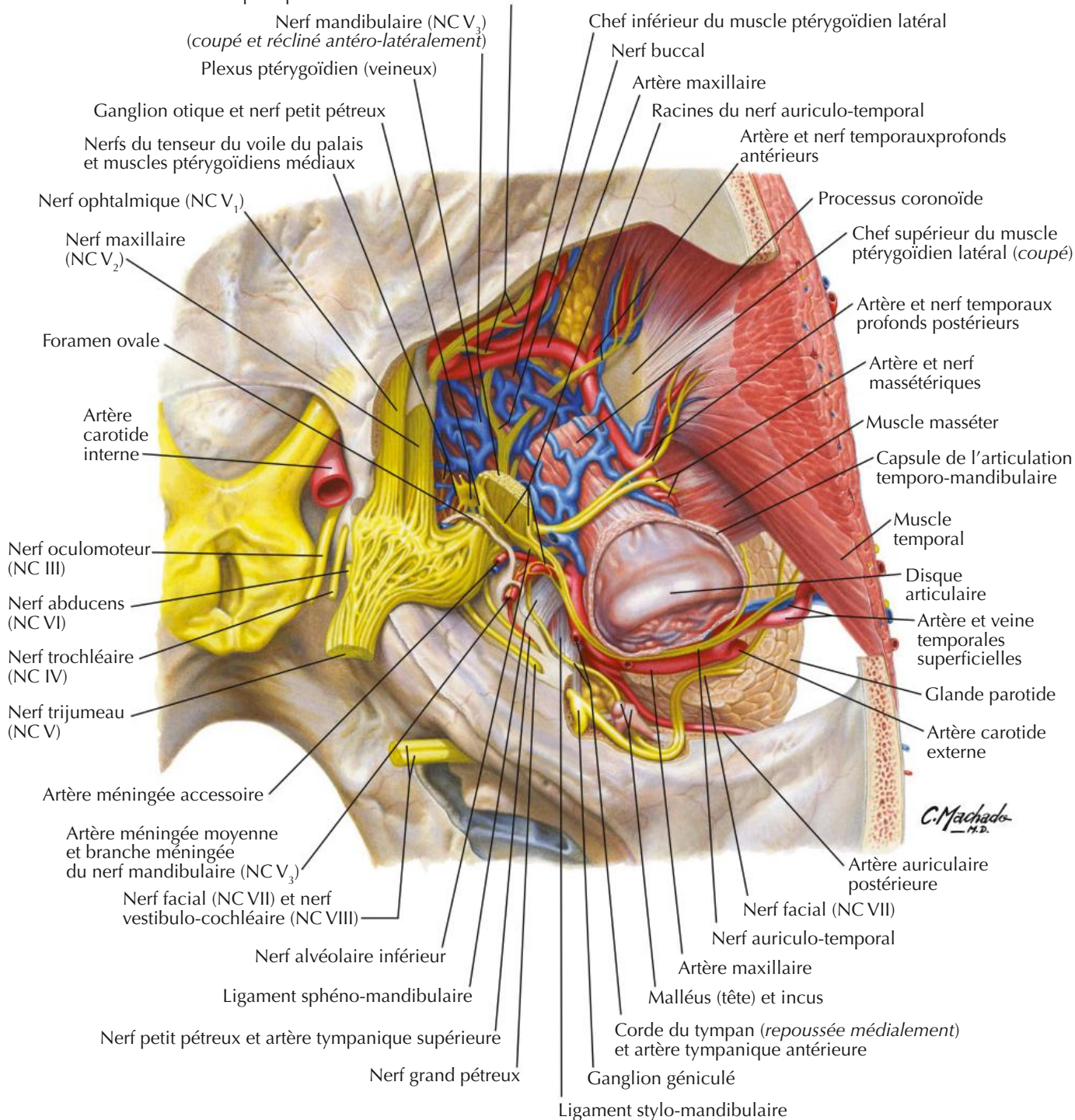
C. Machado
— 1920 —

Nerf mandibulaire (V₃)

Voir aussi Planches 82, 133

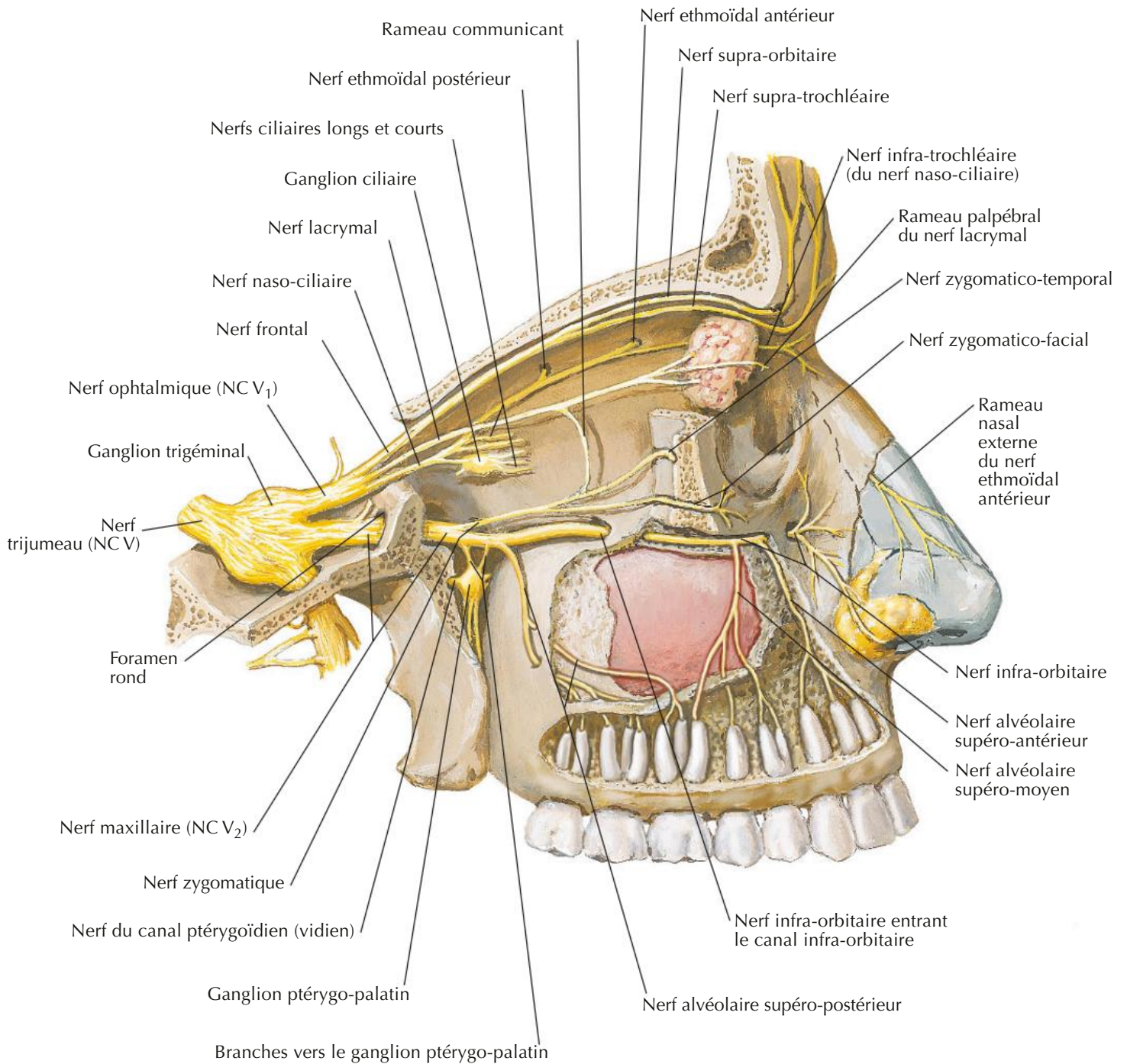


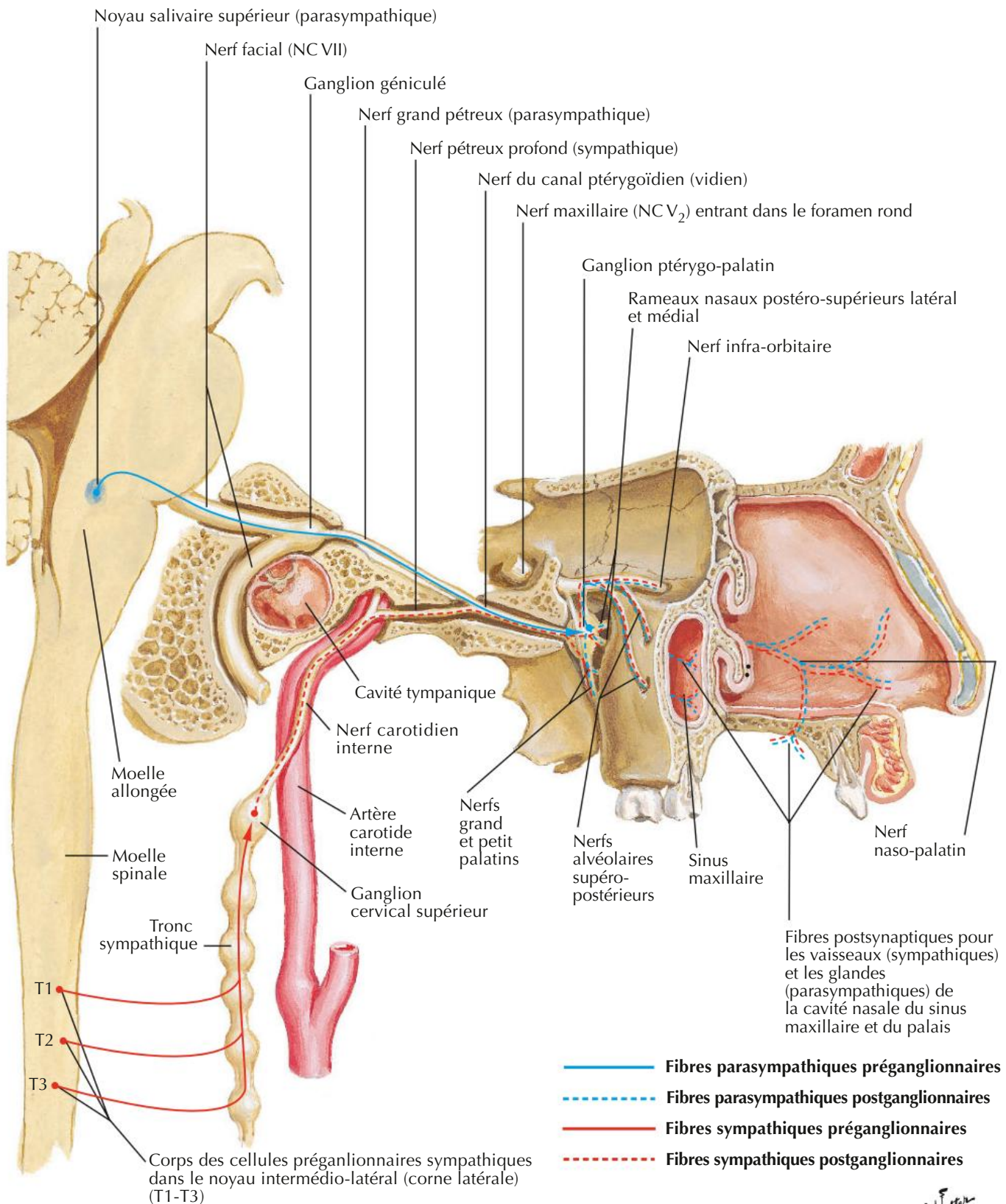
Artères et nerfs alvéolaires supéro-postérieurs et infra-orbitaires



Nerf ophtalmique (V₁) et maxillaire (V₂)

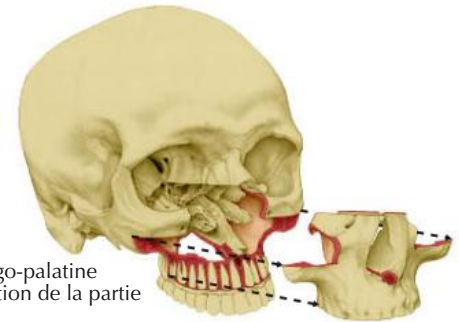
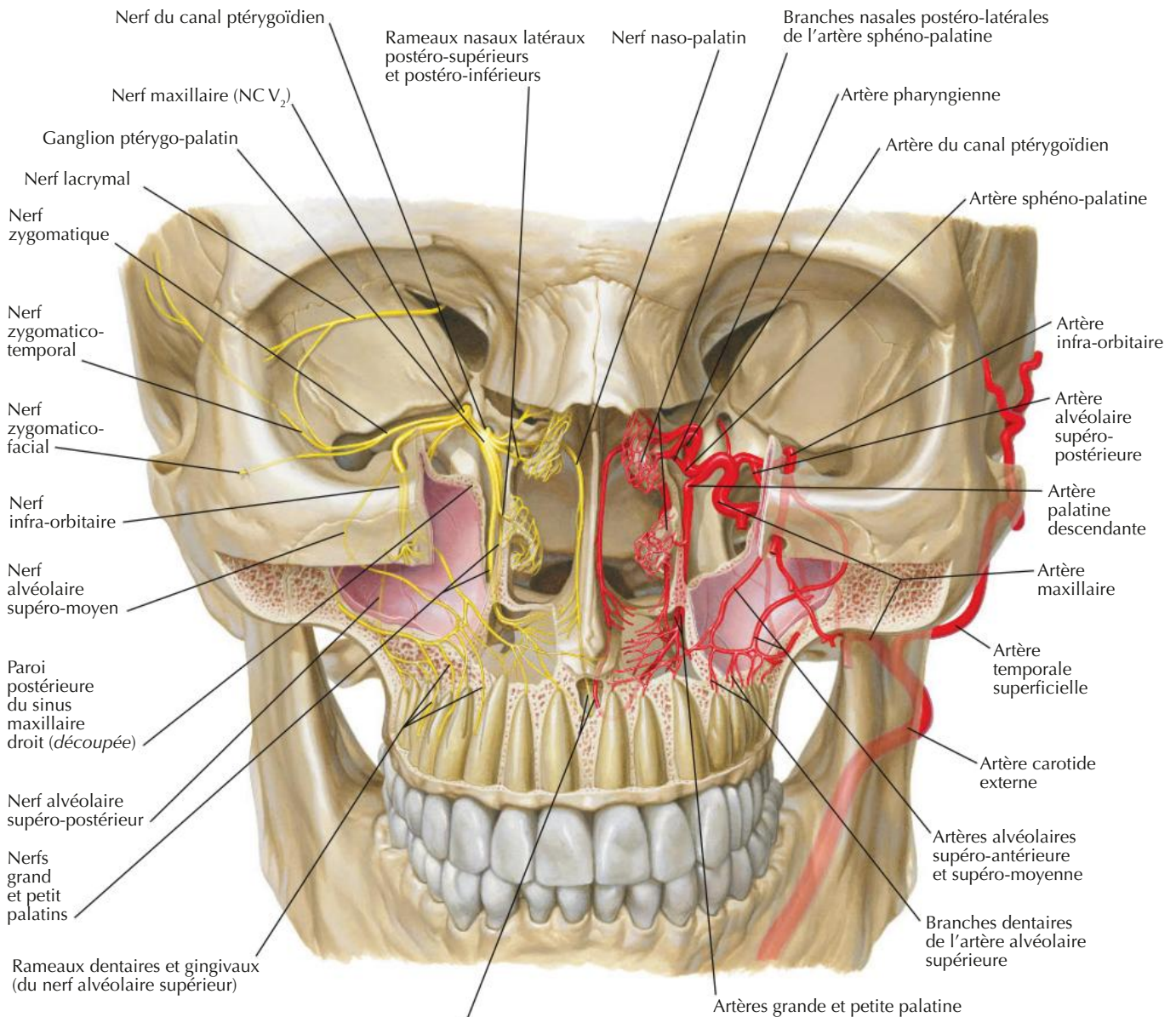
Voir aussi Planches 63, 66




J. Natter

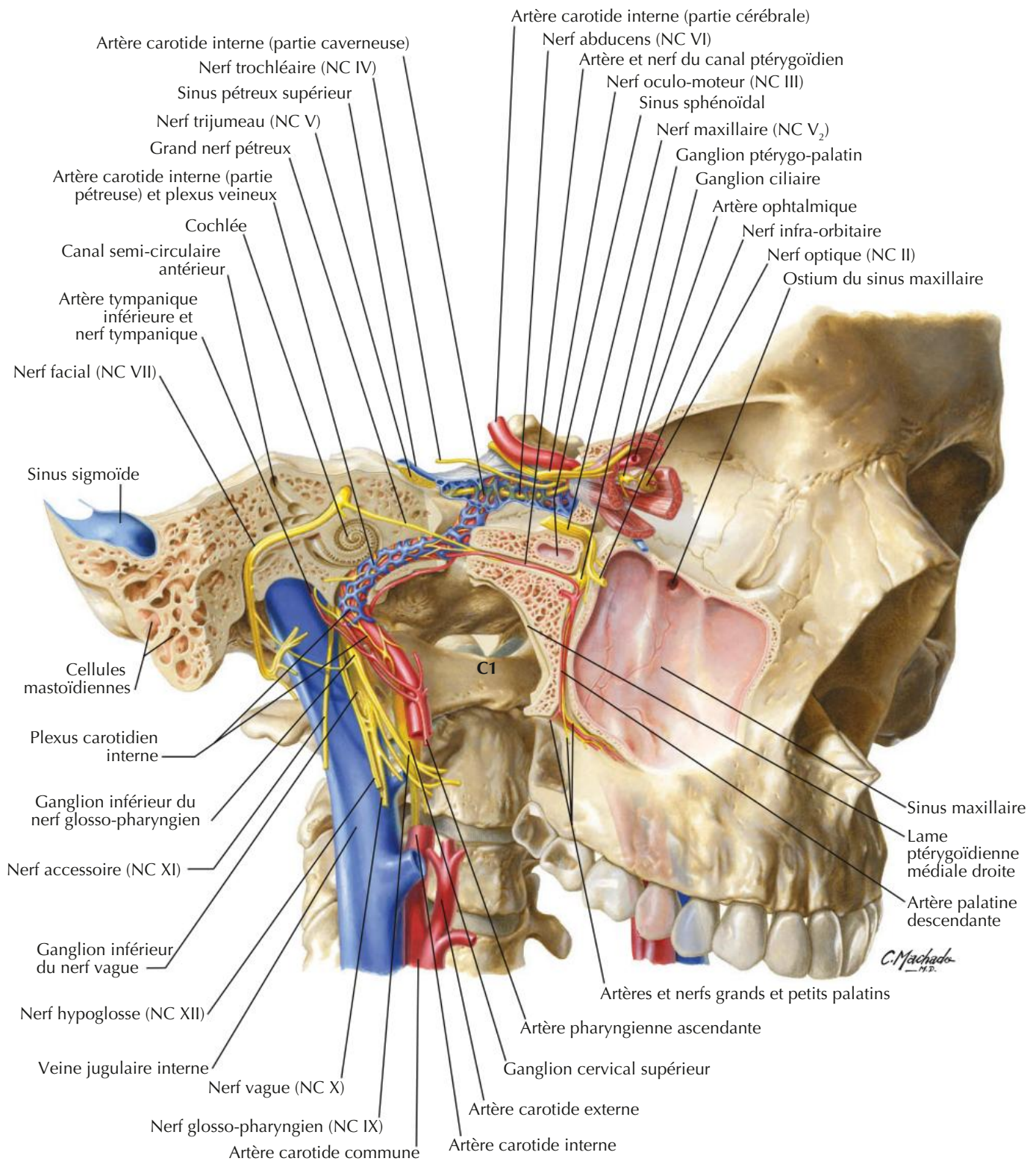
Nerfs et artères de la région profonde de la face

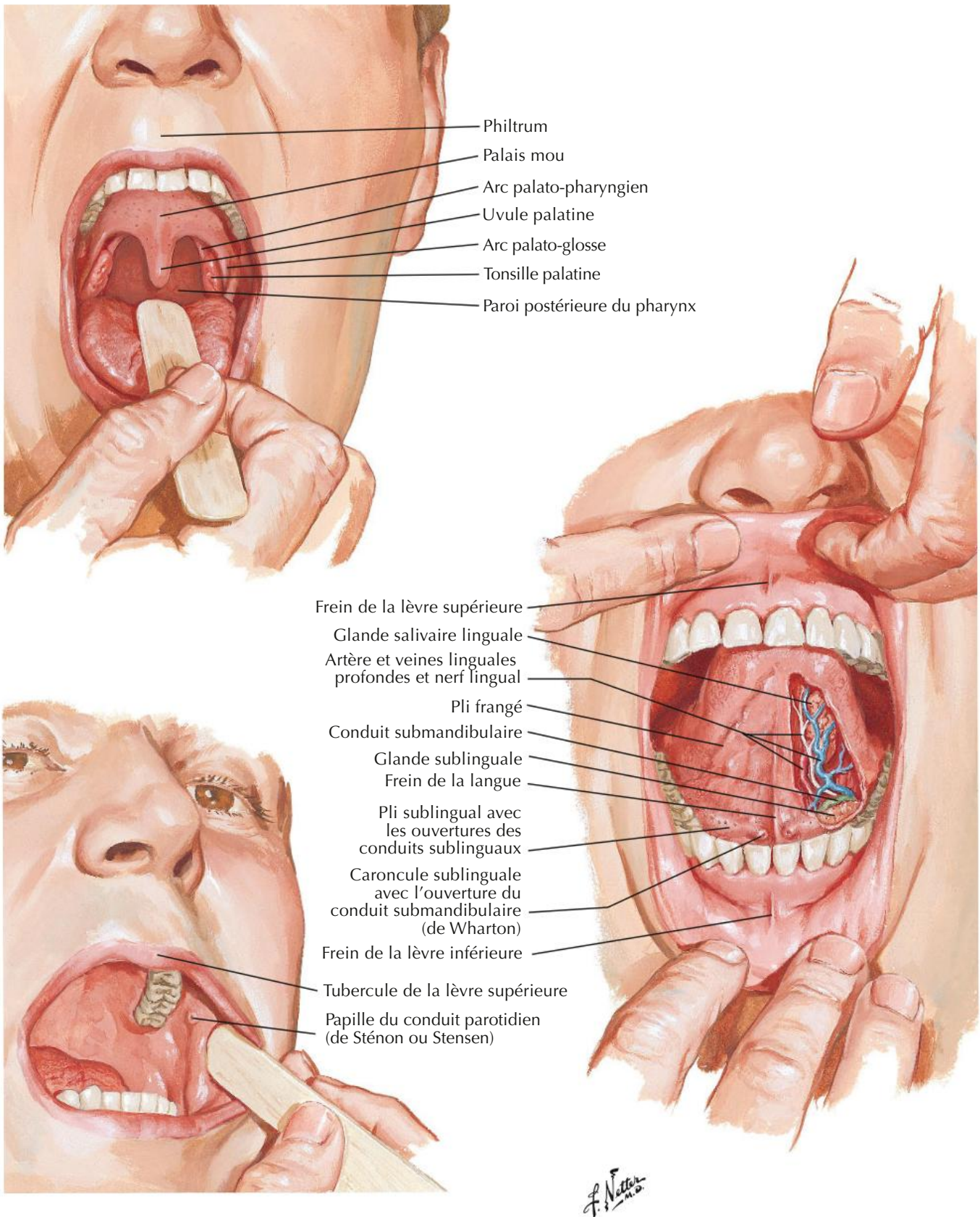
Voir aussi Planches 46, 48, 61

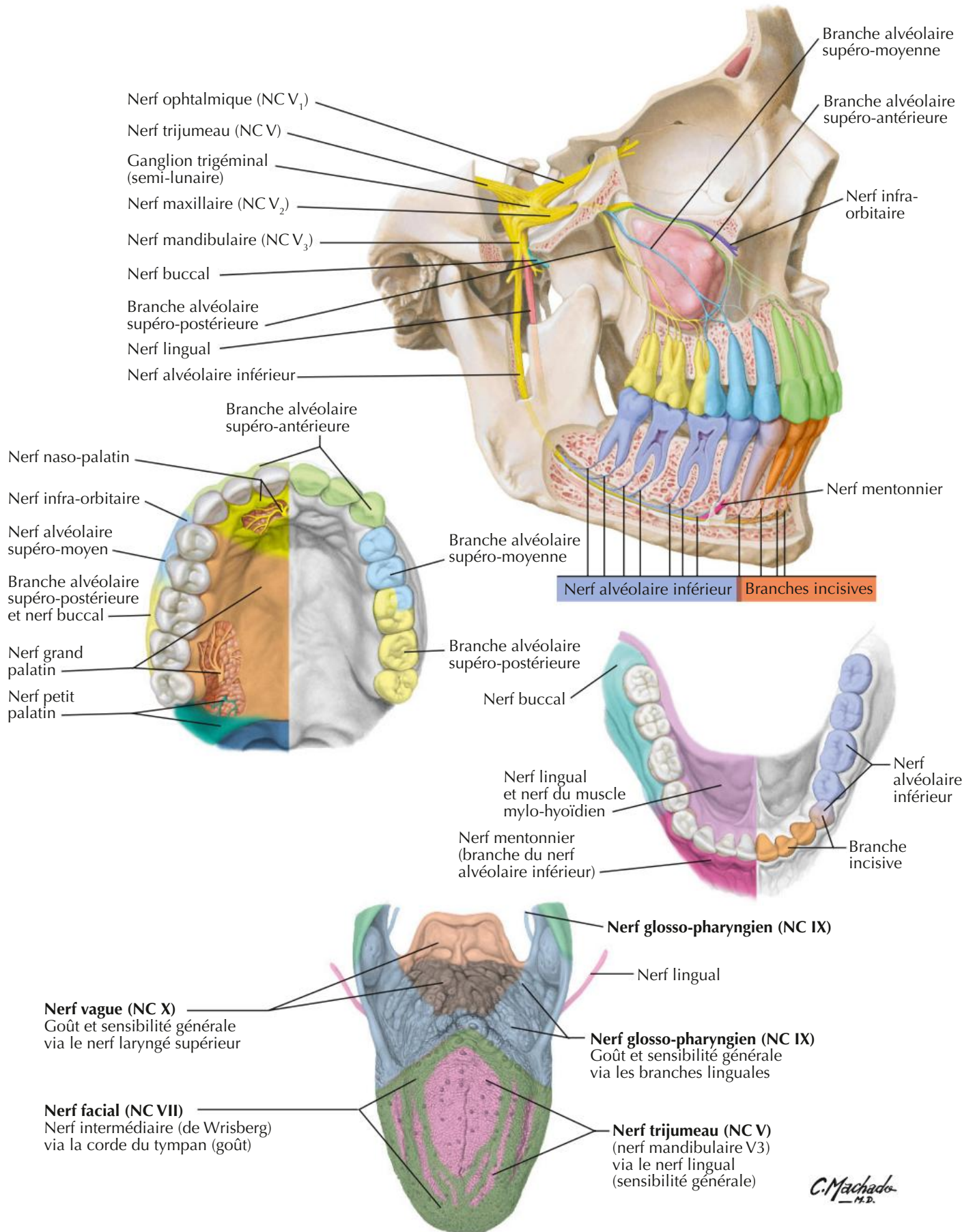


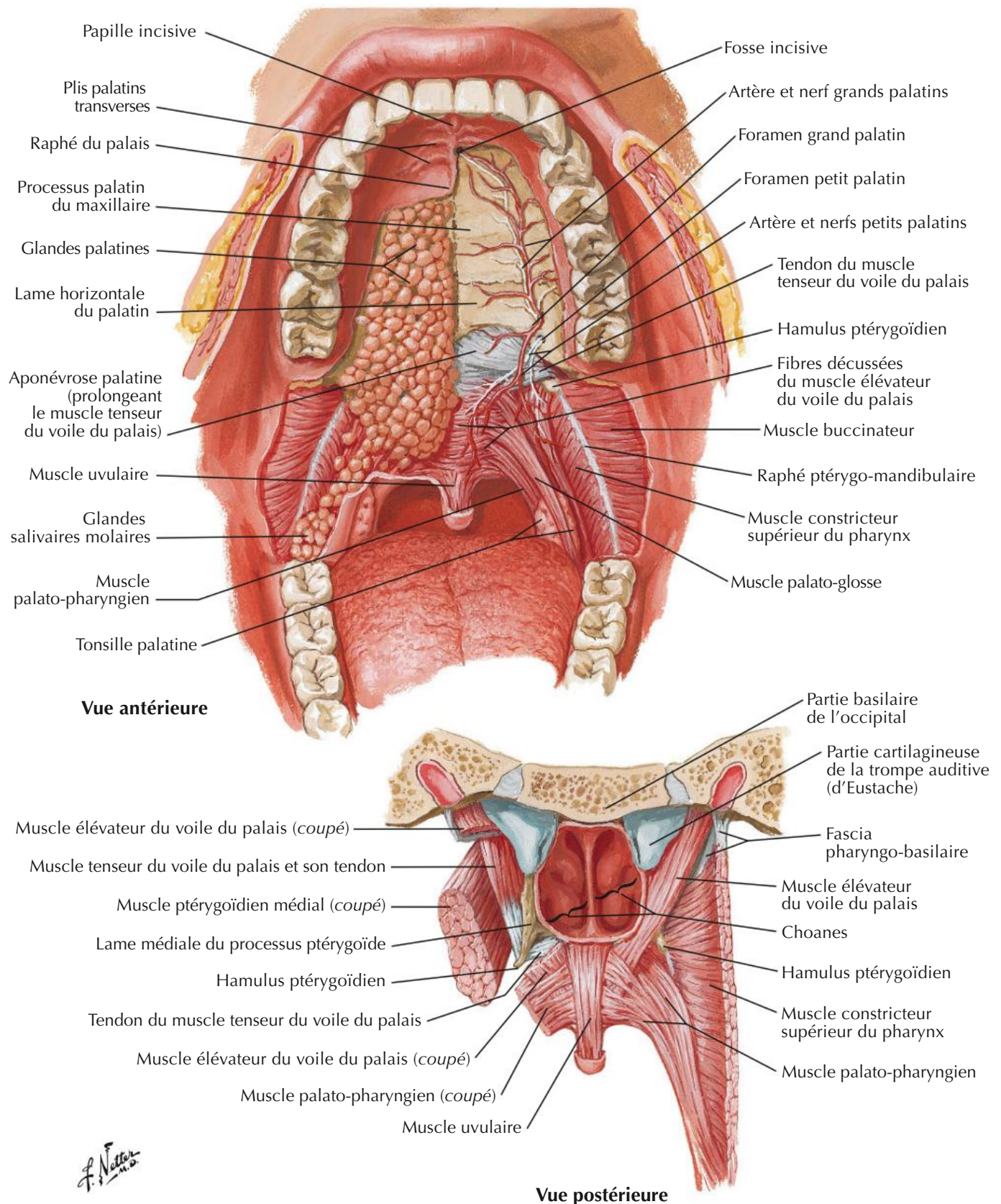
Vue antérieure de la fosse ptérygo-palatine et de la cavité nasale après ablation de la partie maxillaire du squelette facial

C. Machado M.D.

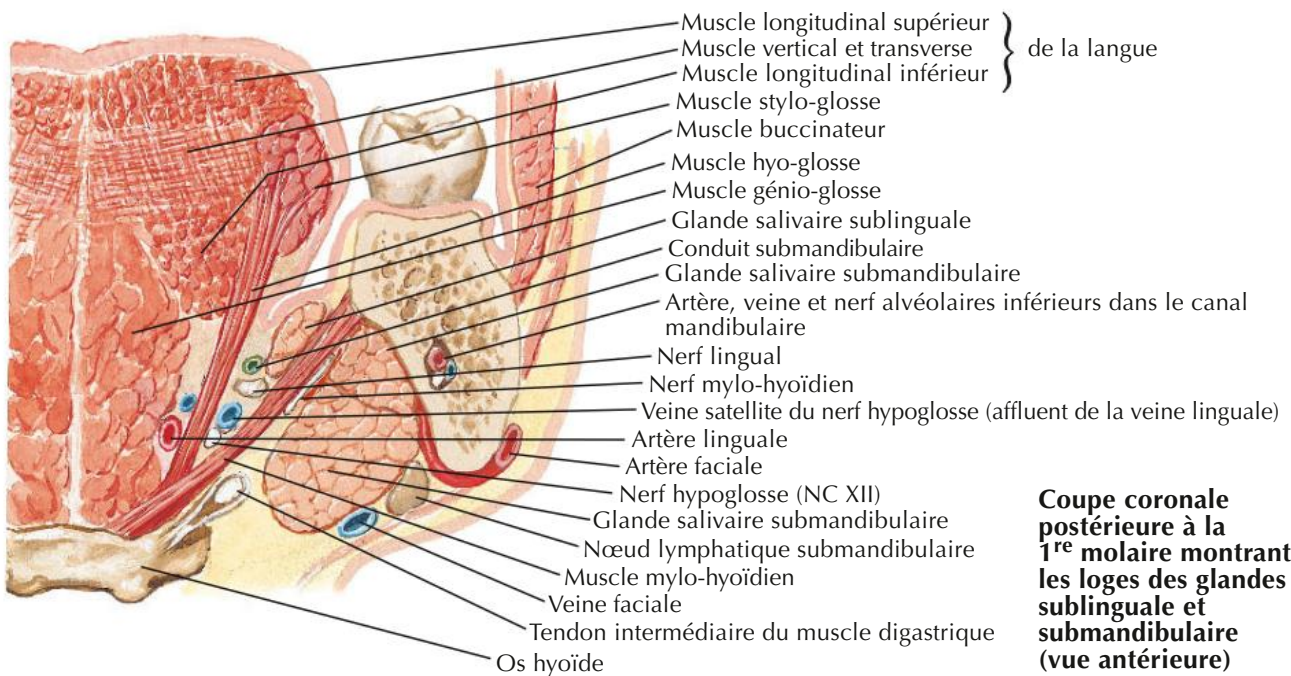
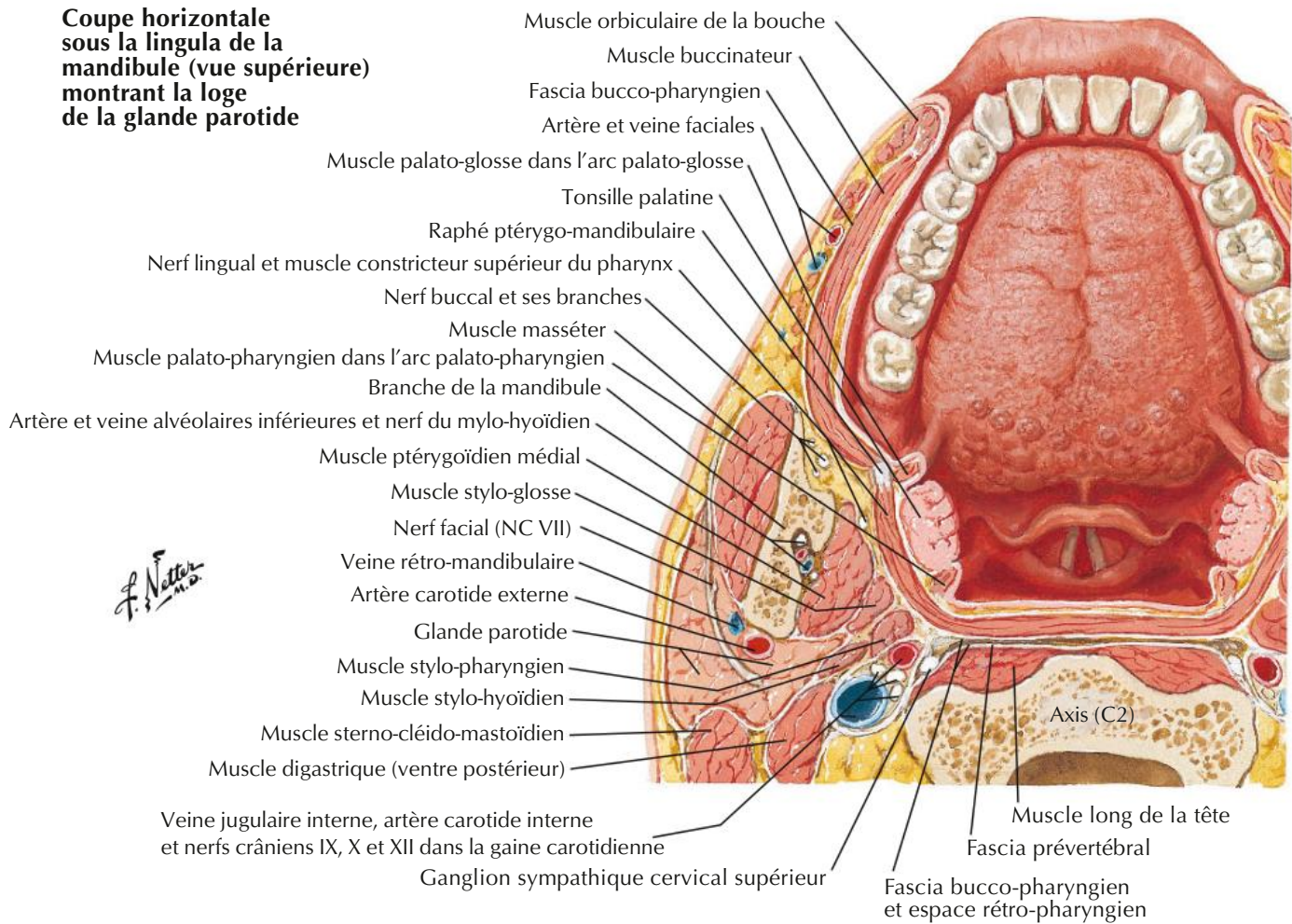








**Coupe horizontale
sous la lingula de la
mandibule (vue supérieure)
montrant la loge
de la glande parotide**

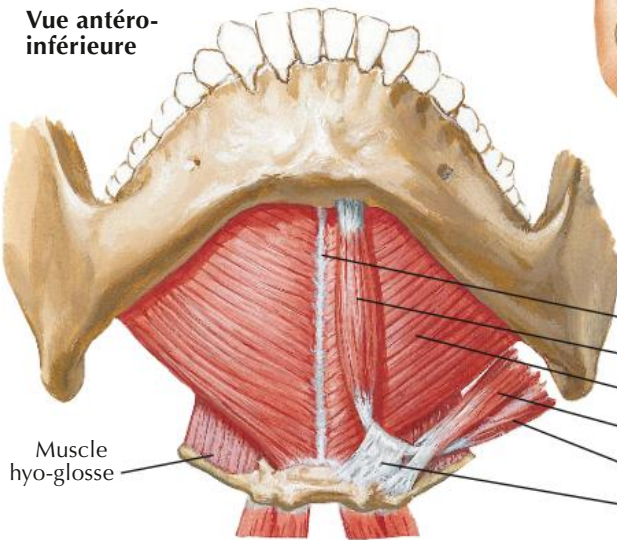


**Coupe coronale
postérieure à la
1^{re} molaire montrant
les loges des glandes
sublinguale et
submandibulaire
(vue antérieure)**

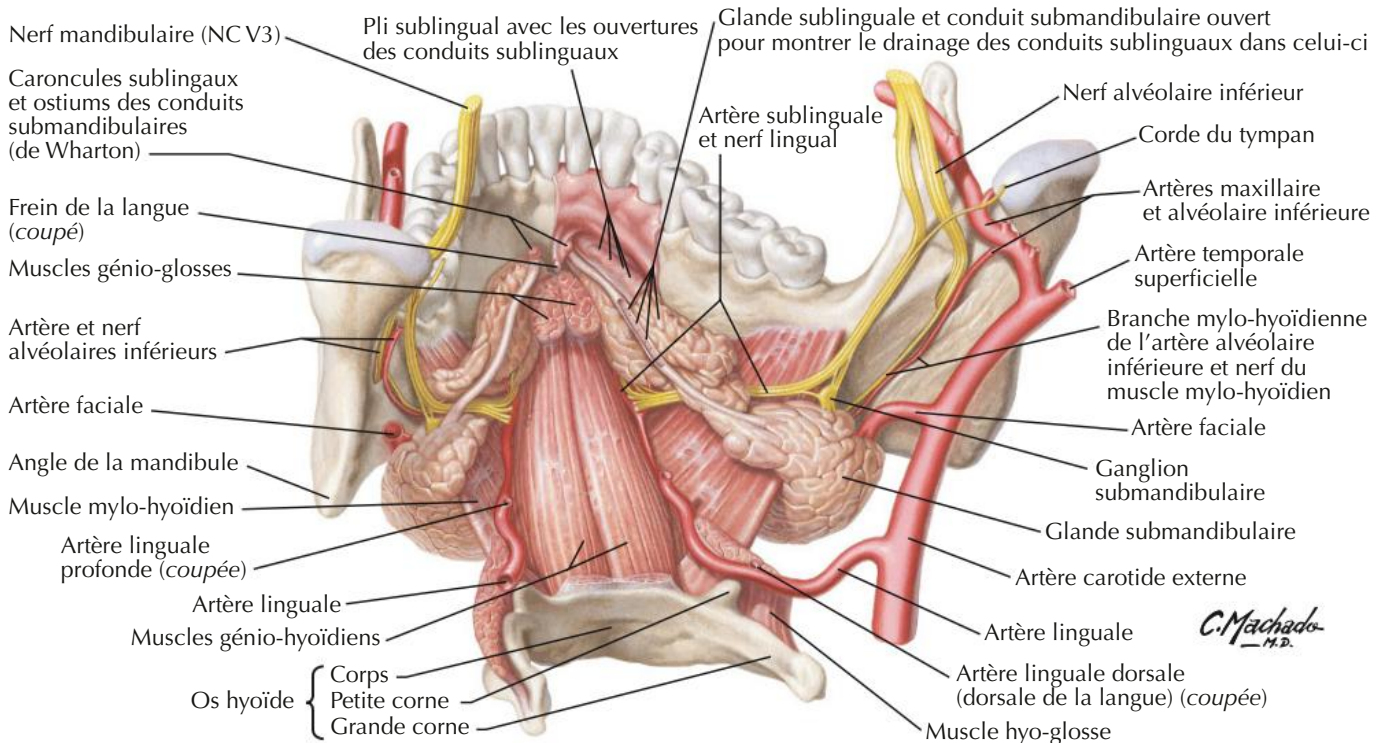
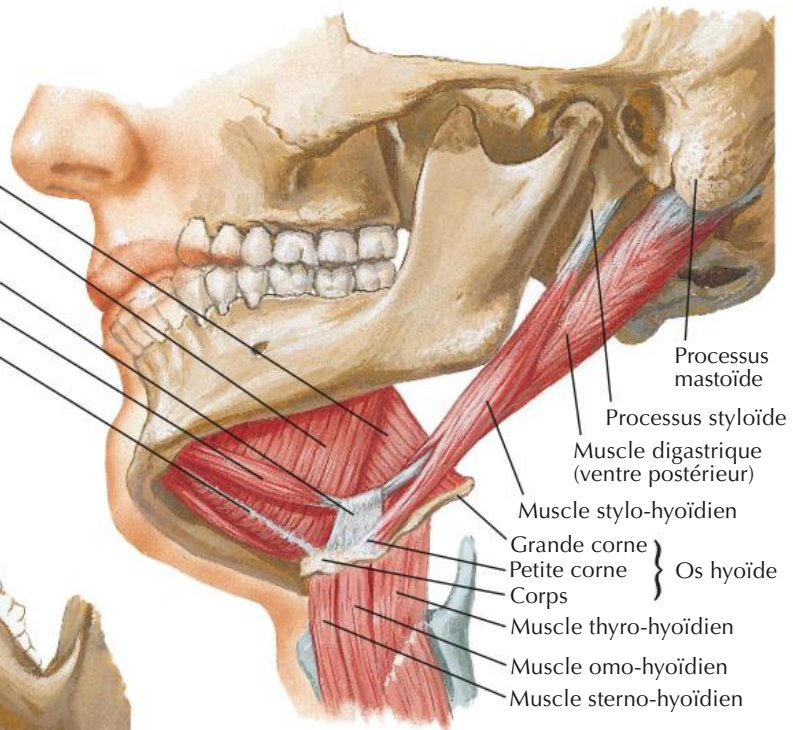
Vue latérale et légèrement inférieure

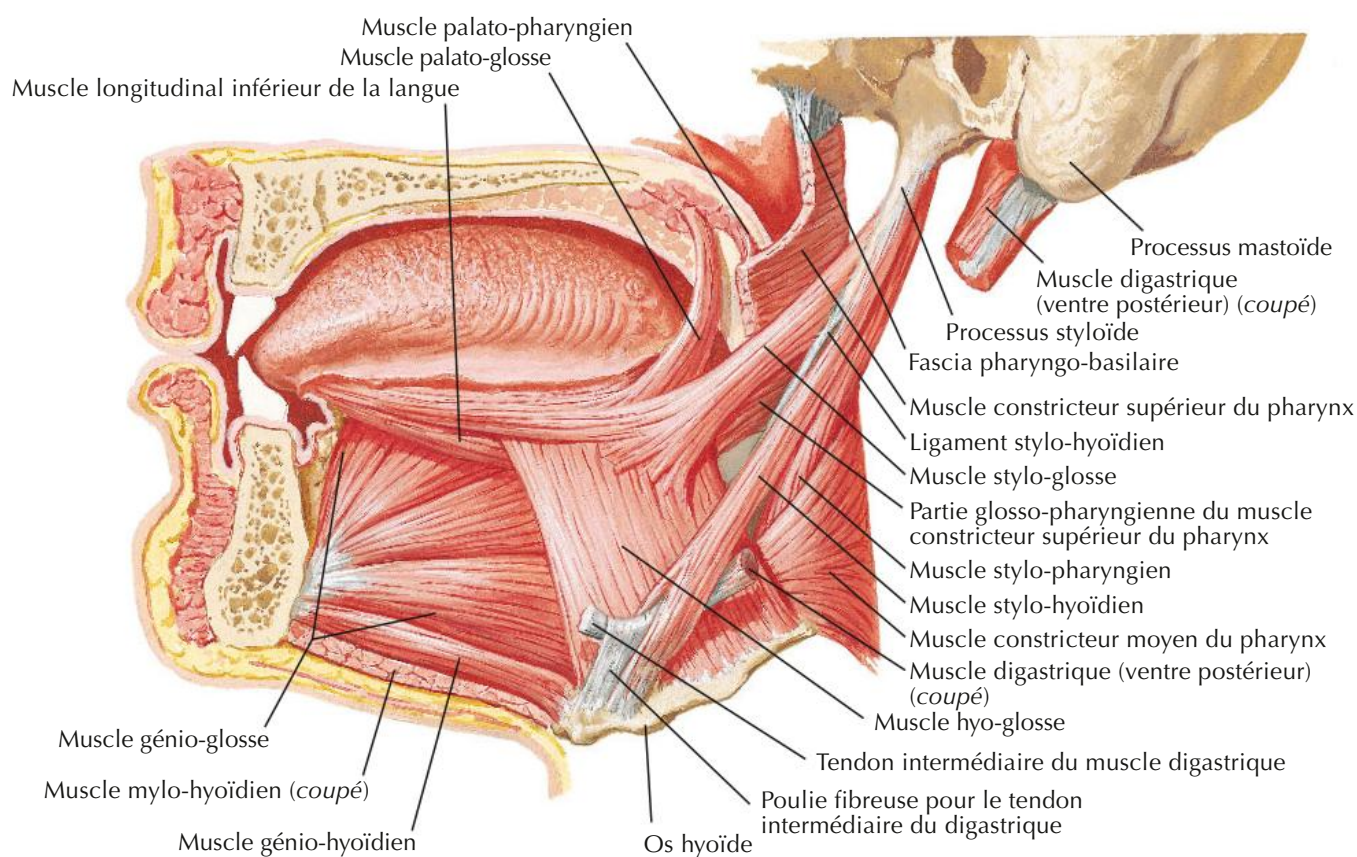
Muscle hyo-glosse
Muscle mylo-hyoïdien
Poulie fibreuse pour le tendon intermédiaire
du muscle digastrique
Muscle digastrique (ventre antérieur)
Raphé médian des muscles mylo-hyoïdiens

Vue antéro- inférieure

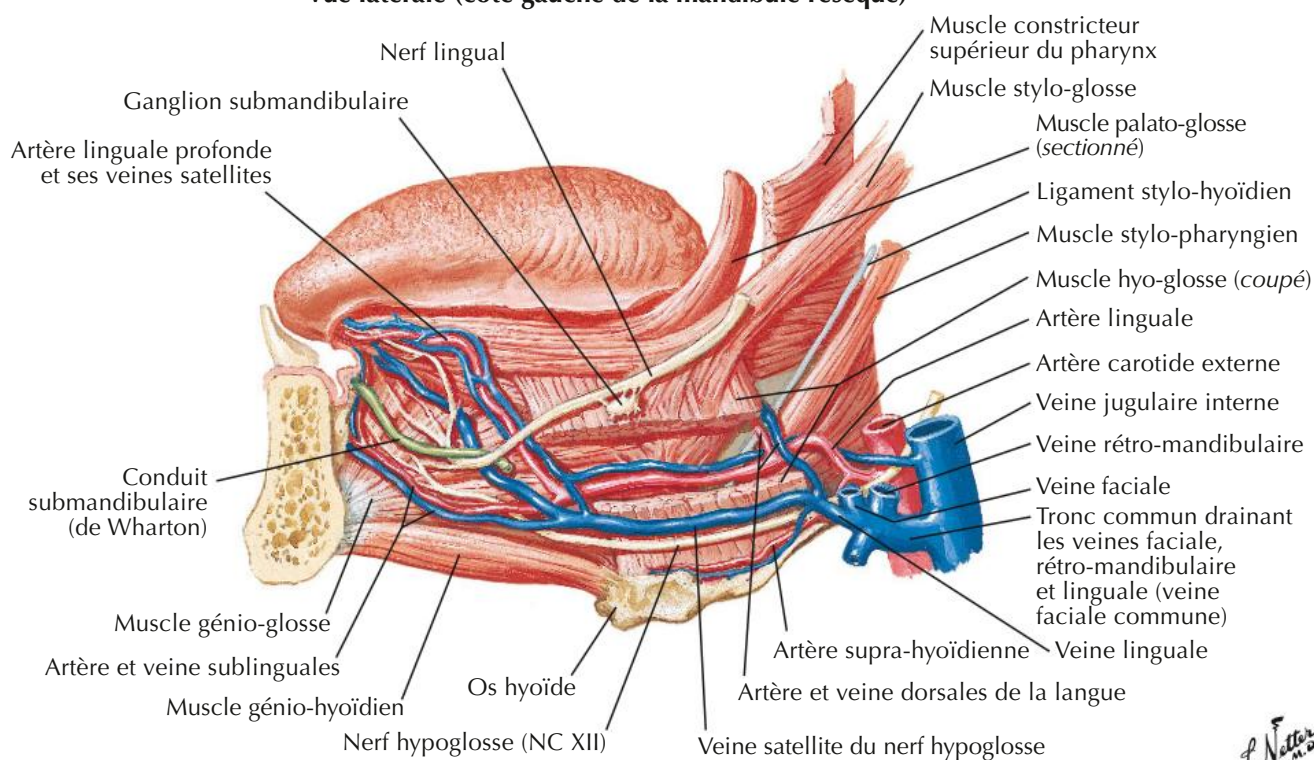


Raphé médian entre les muscles mylo-hyoïdiens
Muscle digastrique (ventre antérieur)
Muscle mylo-hyoïdien
Muscle stylo-hyoïdien
Muscle digastrique (ventre postérieur)
Poulie fibreuse pour le tendon intermédiaire du muscle digastrique

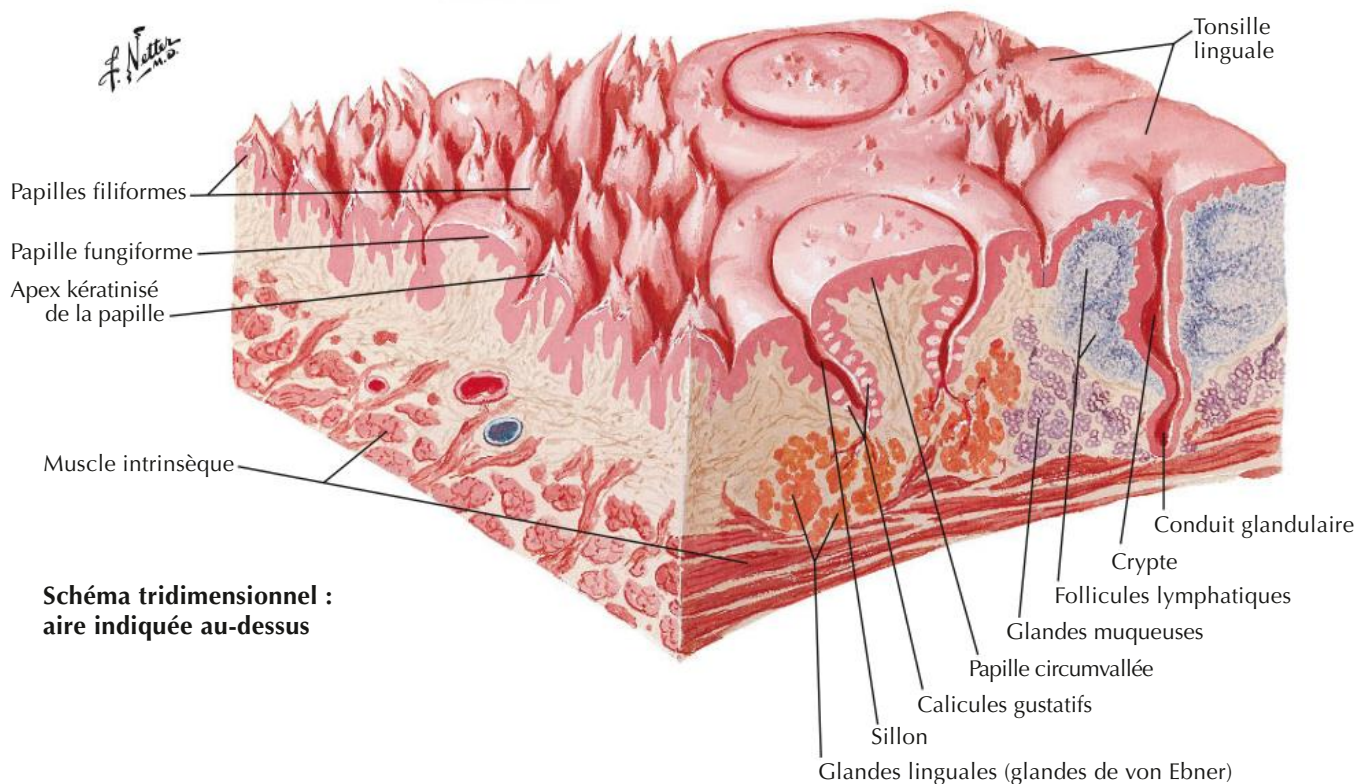
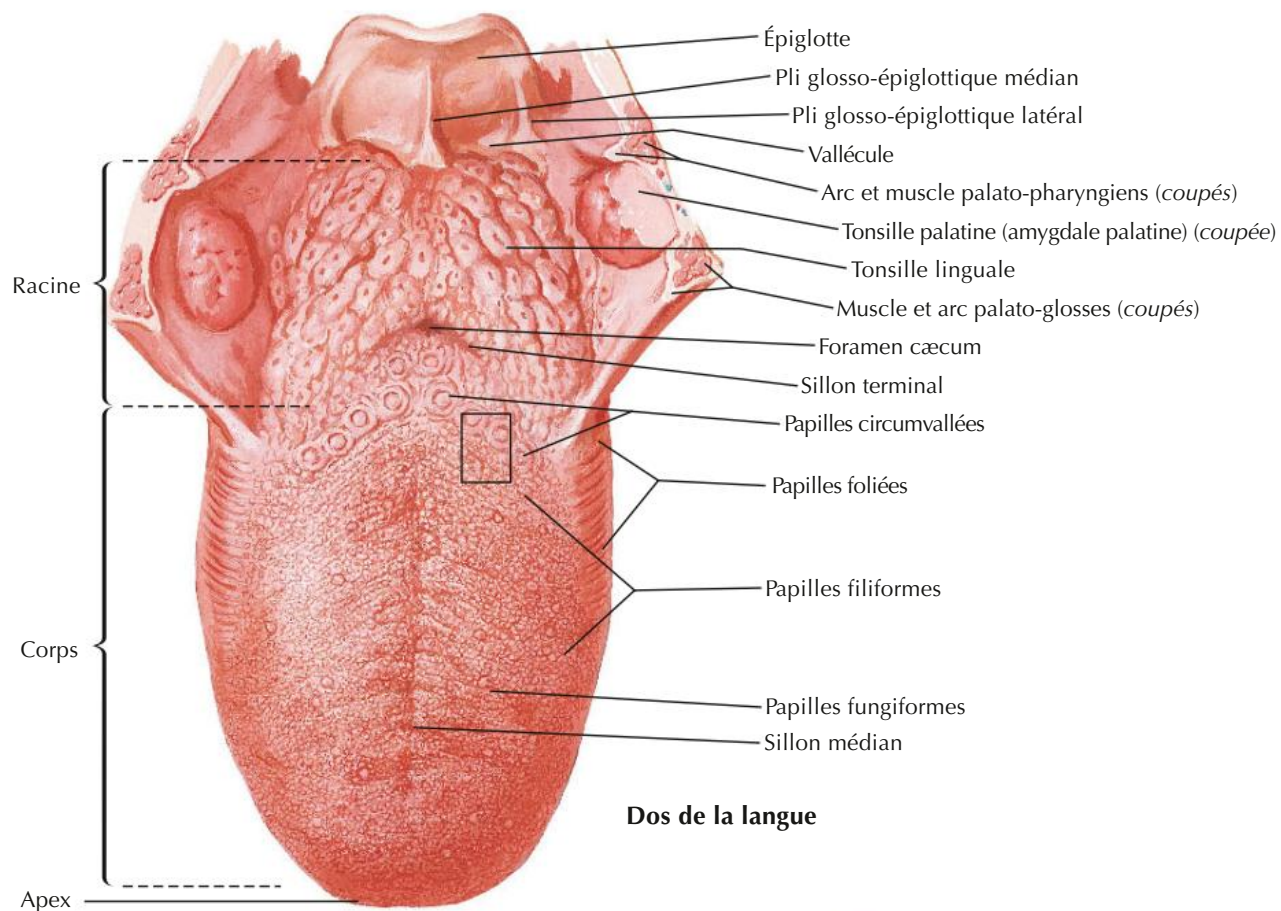




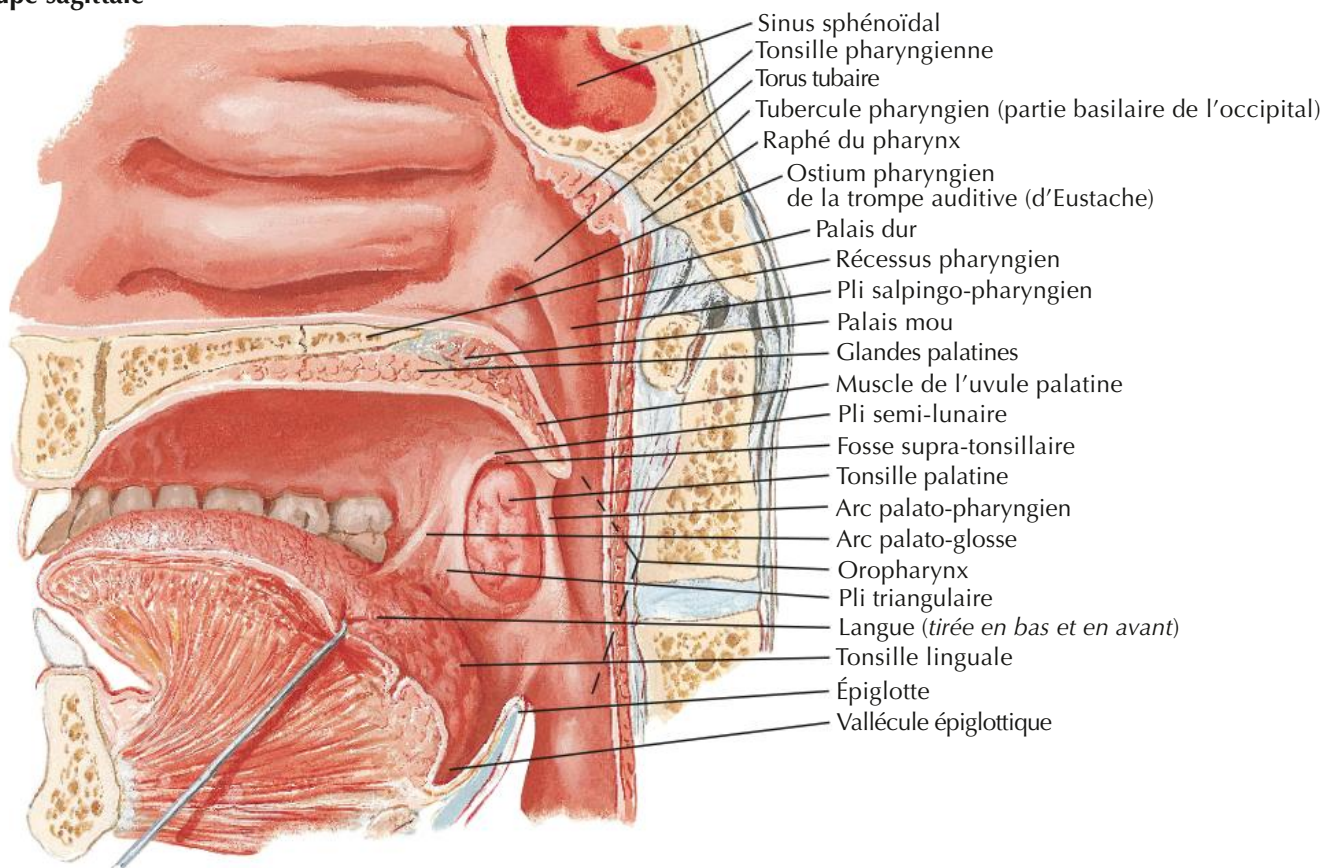
Vue latérale (côté gauche de la mandibule réséquée)



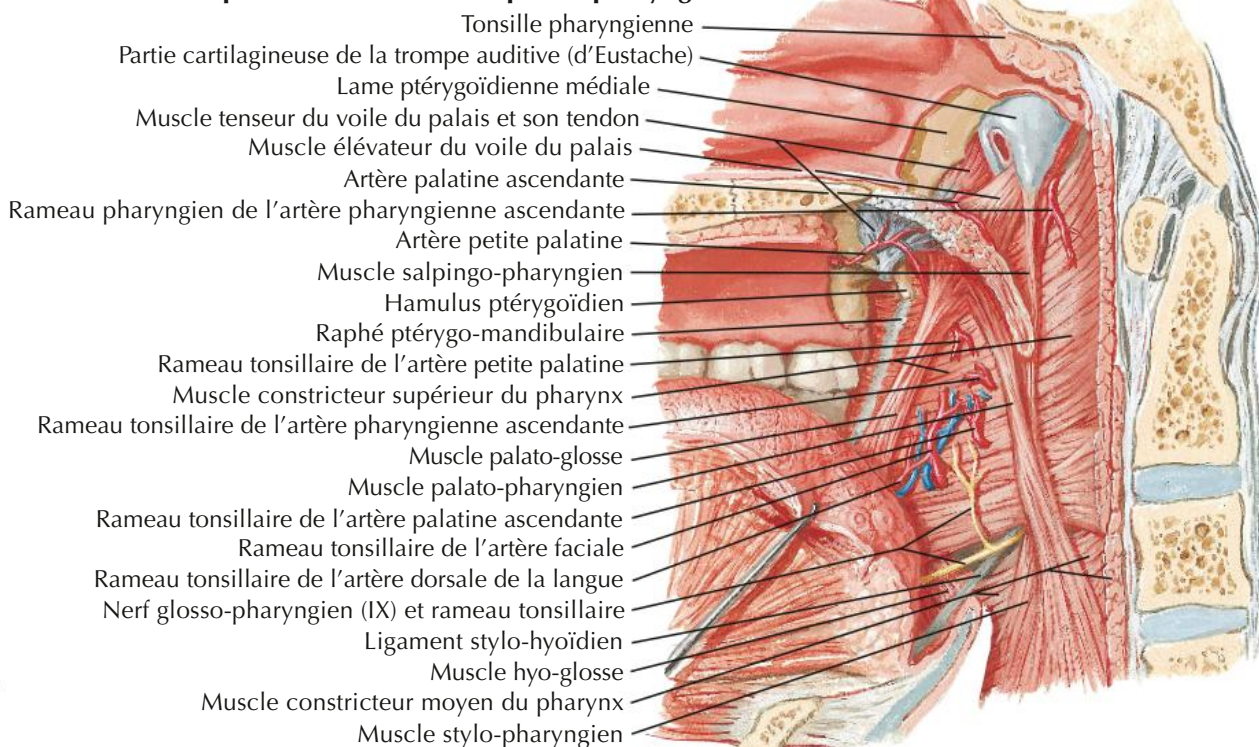
F. Netter
M.D.



**Vue médiale
Coupe sagittale**



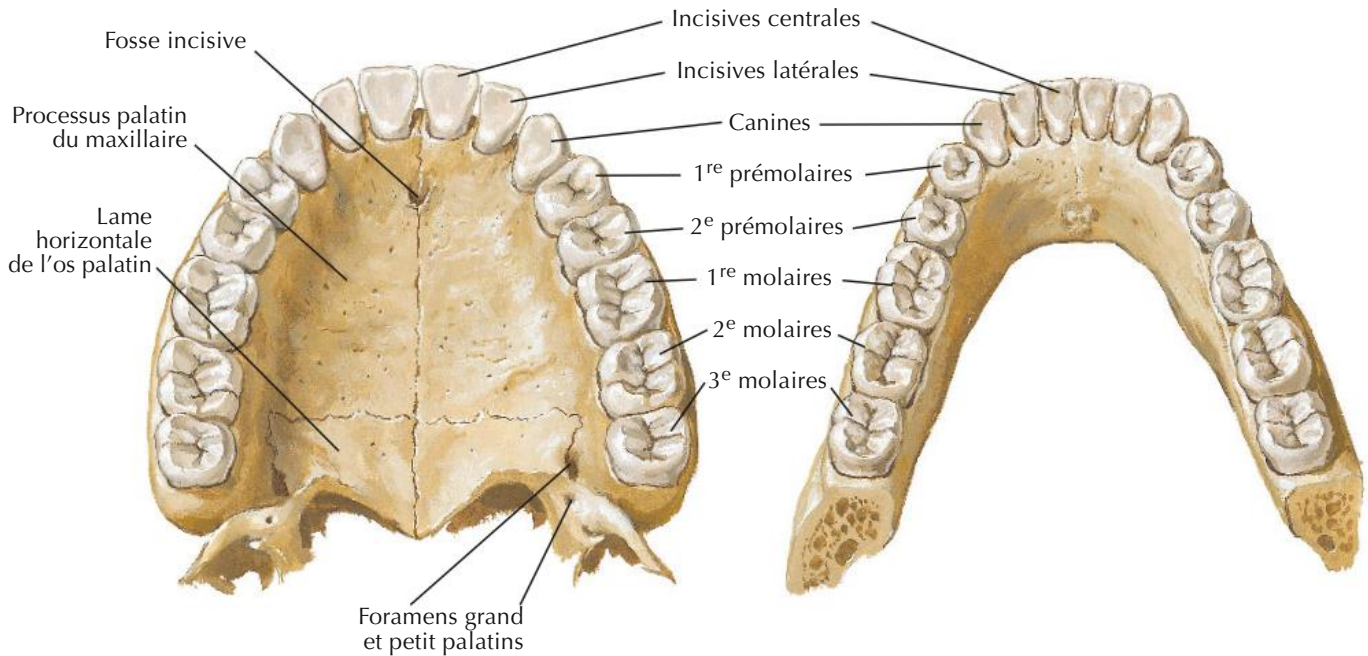
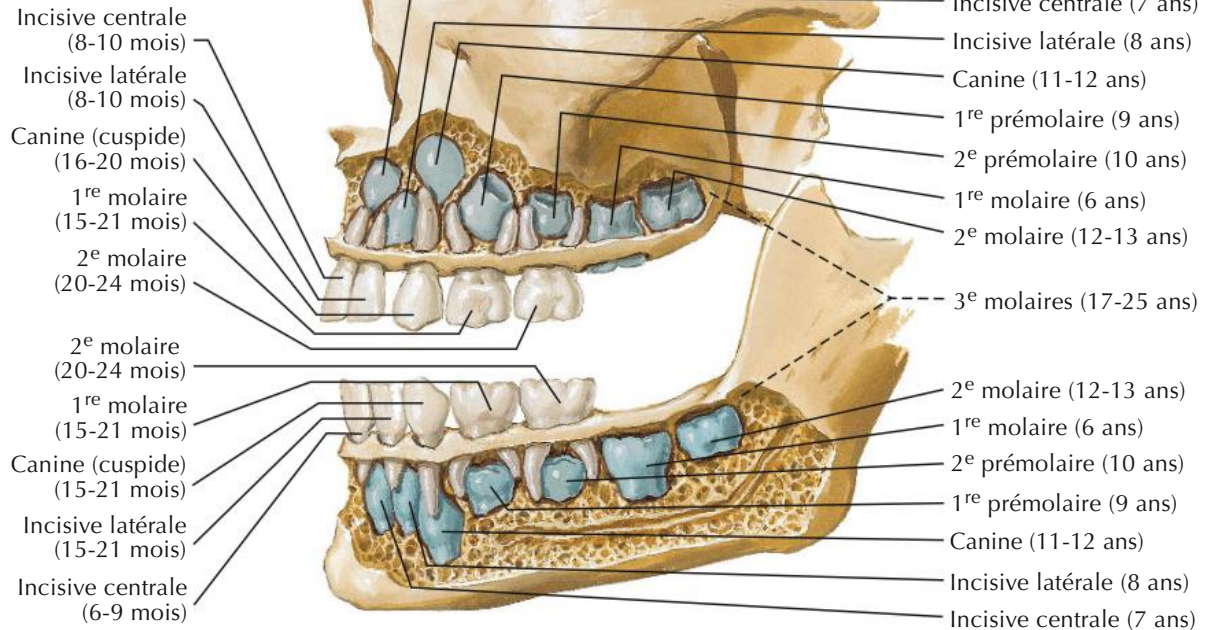
Après ablation de la muqueuse pharyngienne



F. Netter M.D.

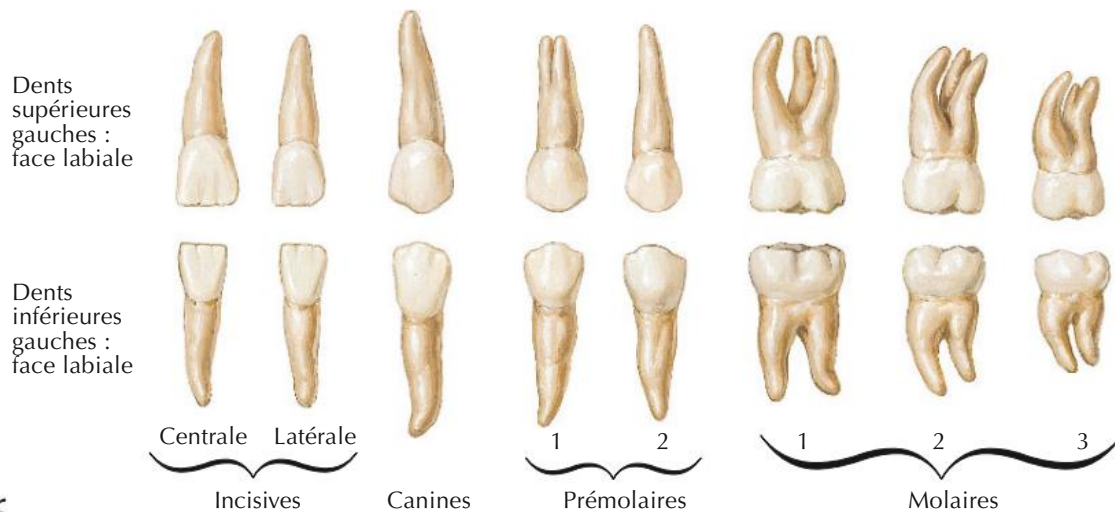
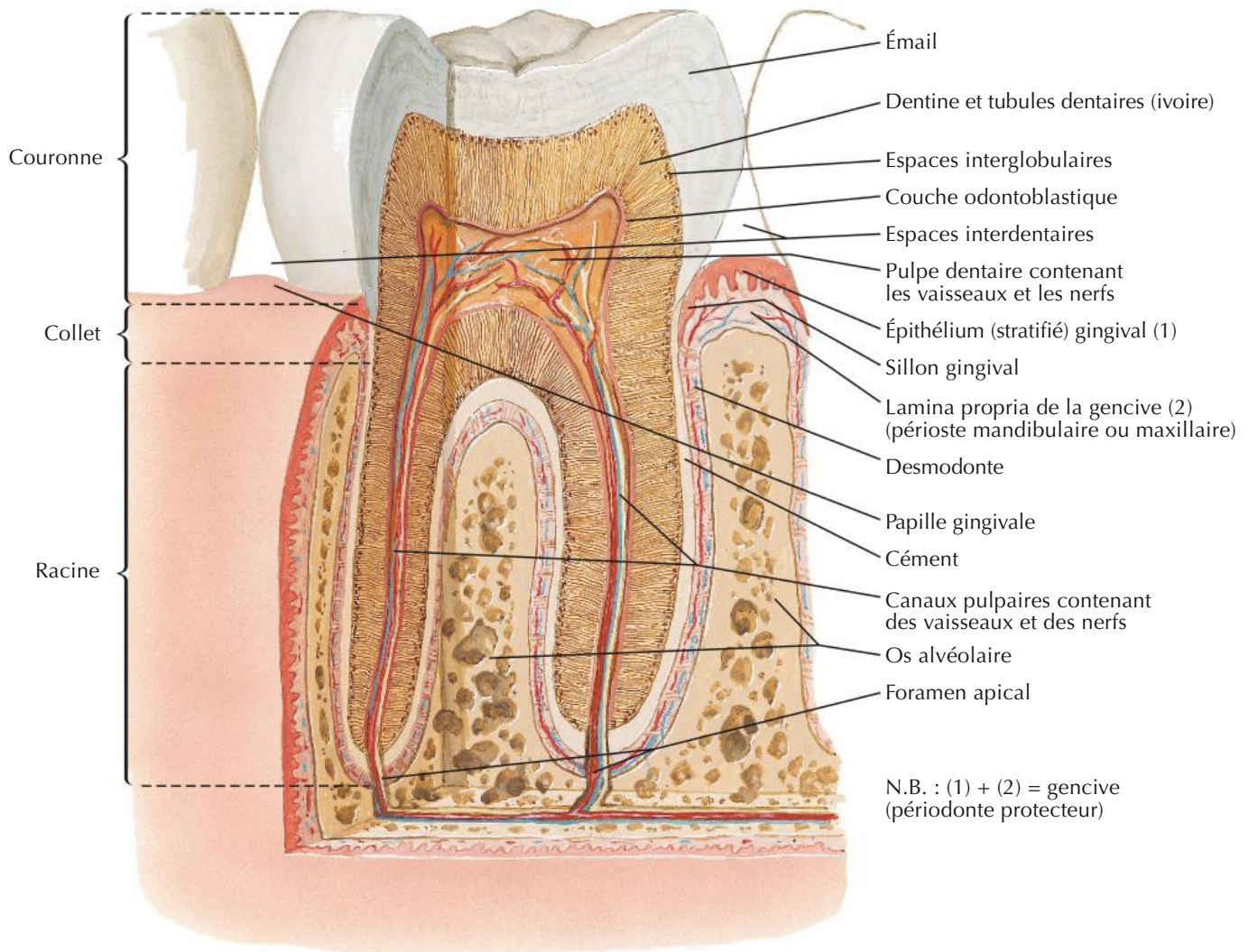
**Dents
déciduales :**
âge moyen
d'apparition

**Dents
permanentes
(en bleu) :**
âge moyen
d'apparition



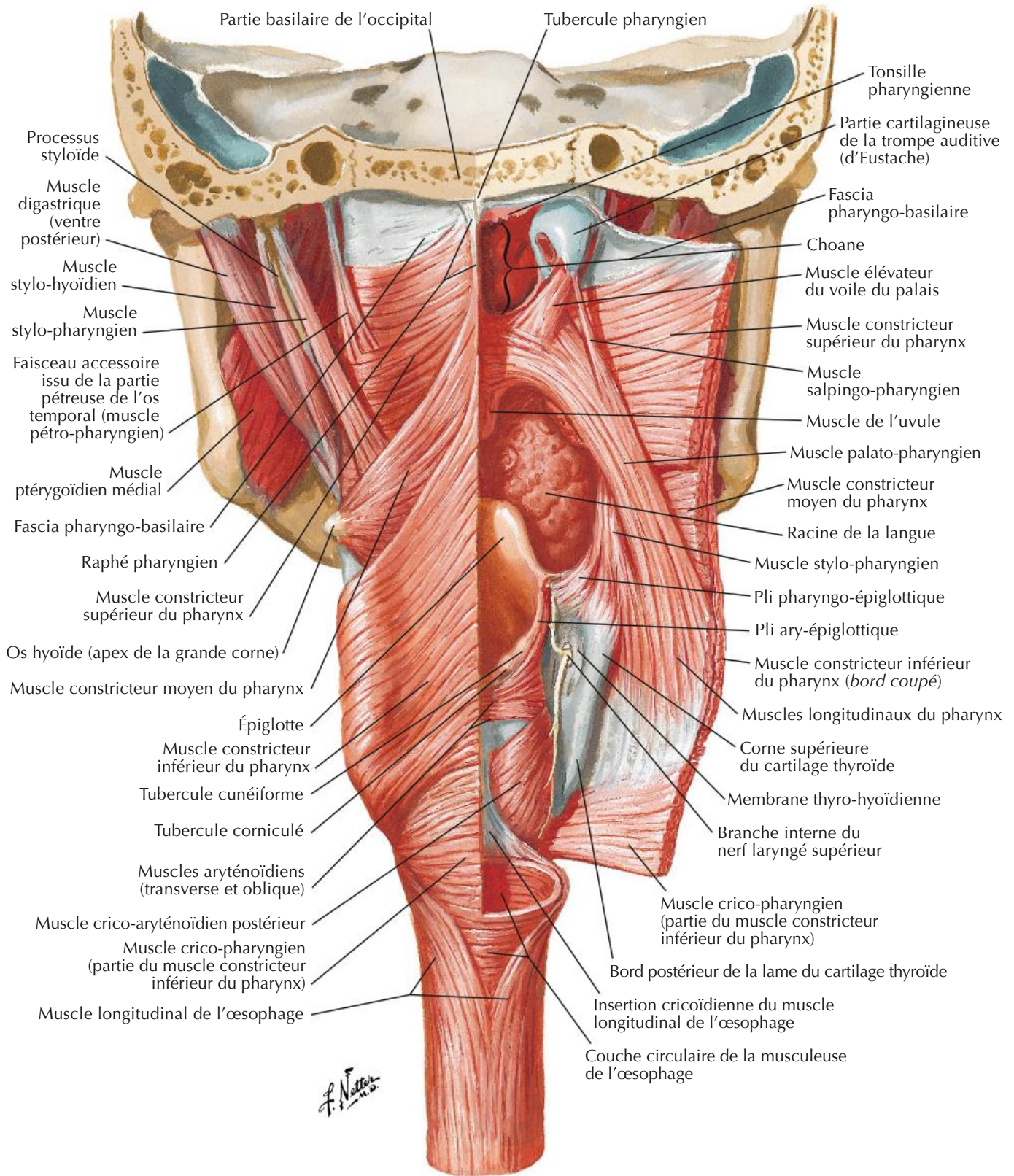
Dents permanentes supérieures

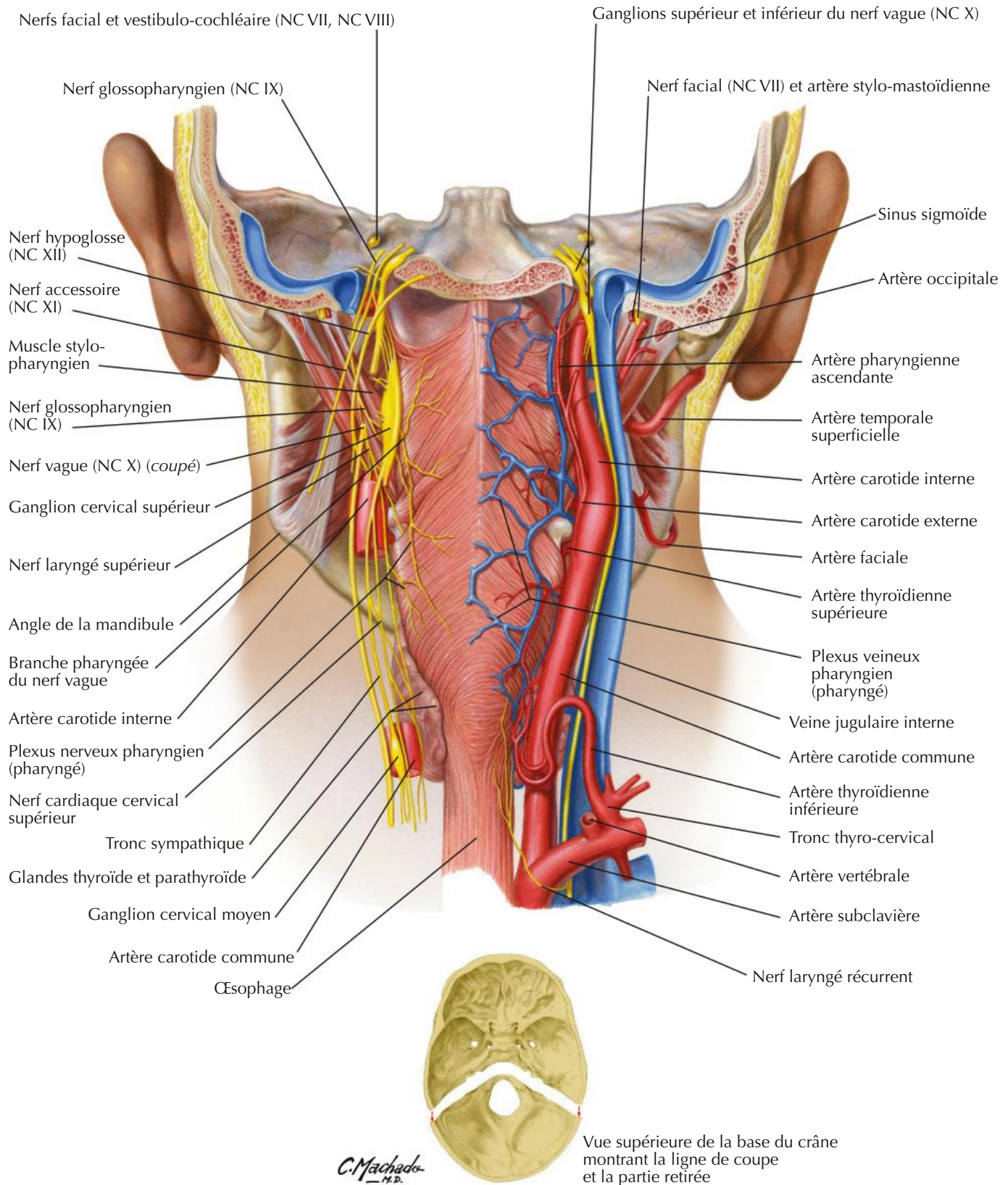
Dents permanentes inférieures



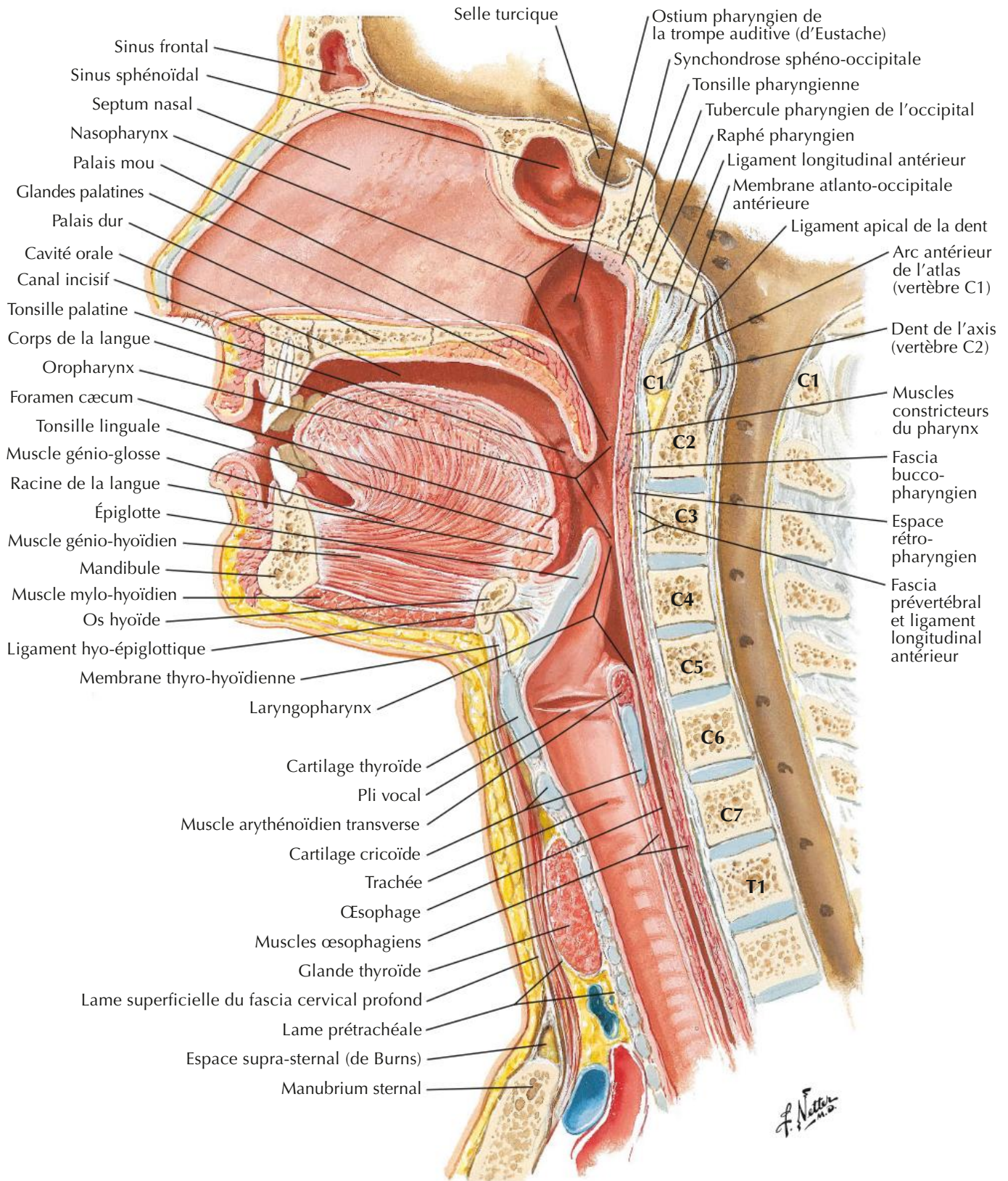
Muscles du pharynx ouvert partiellement : vue postérieure

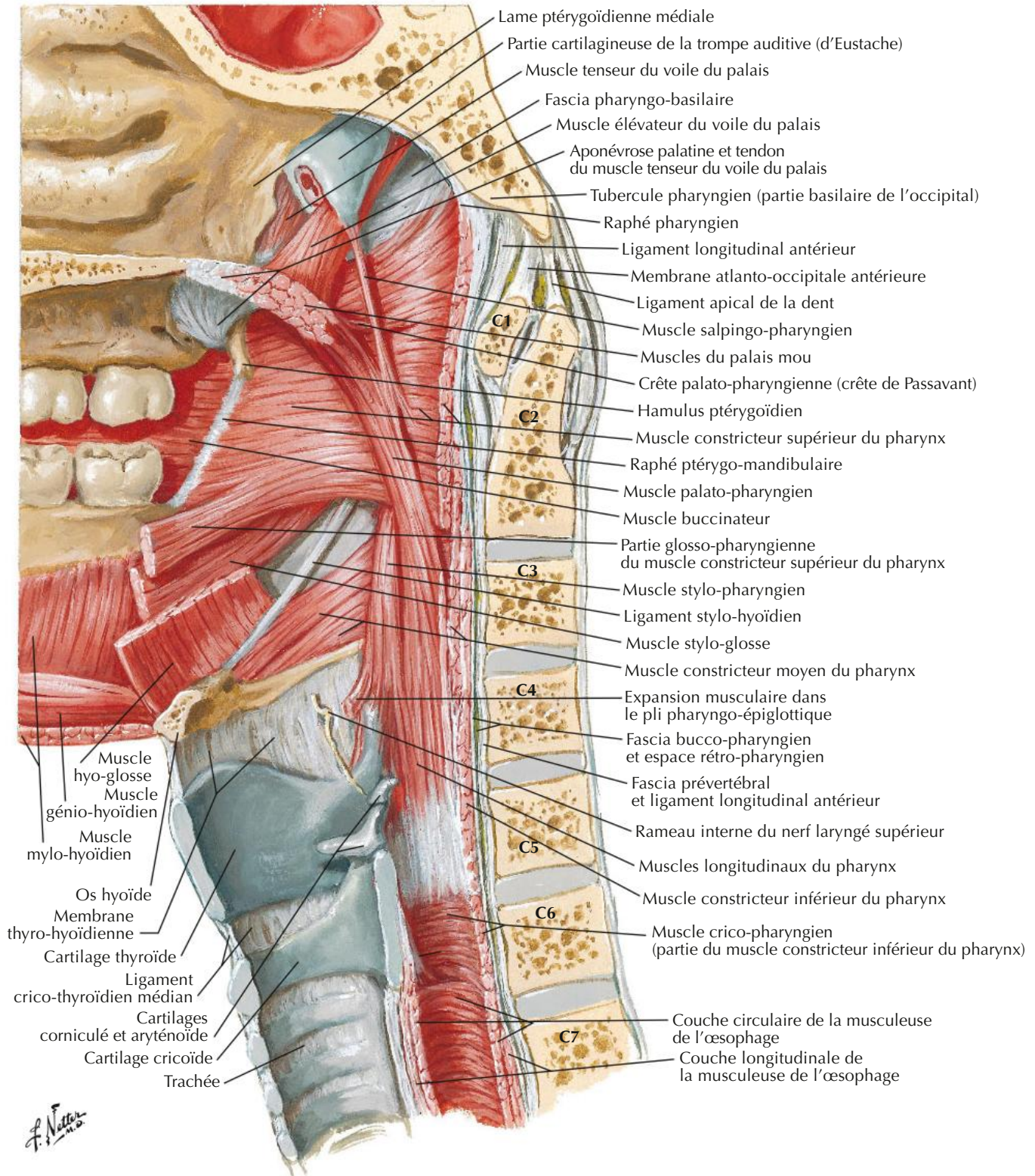
Voir aussi Planches 76, 81

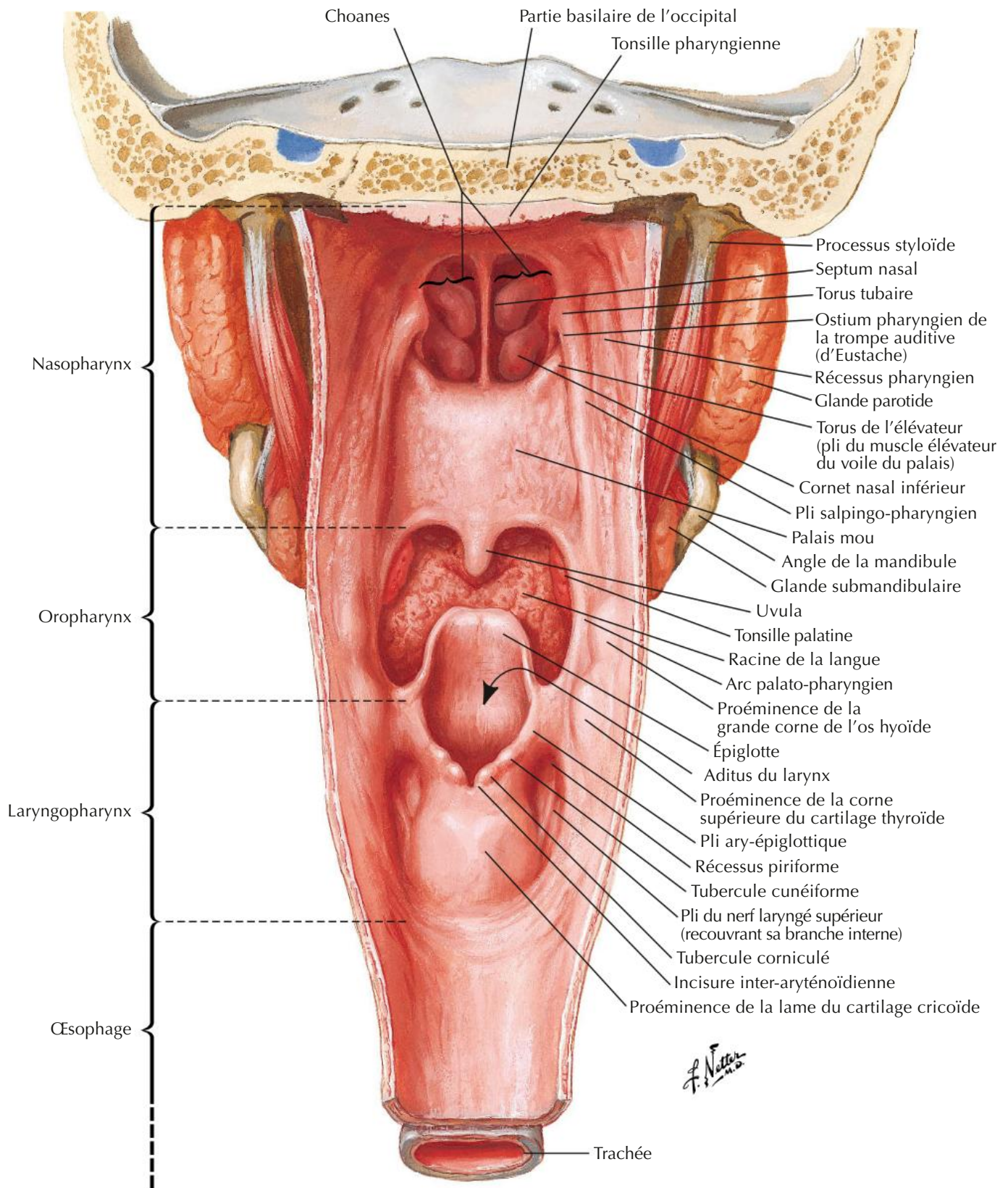


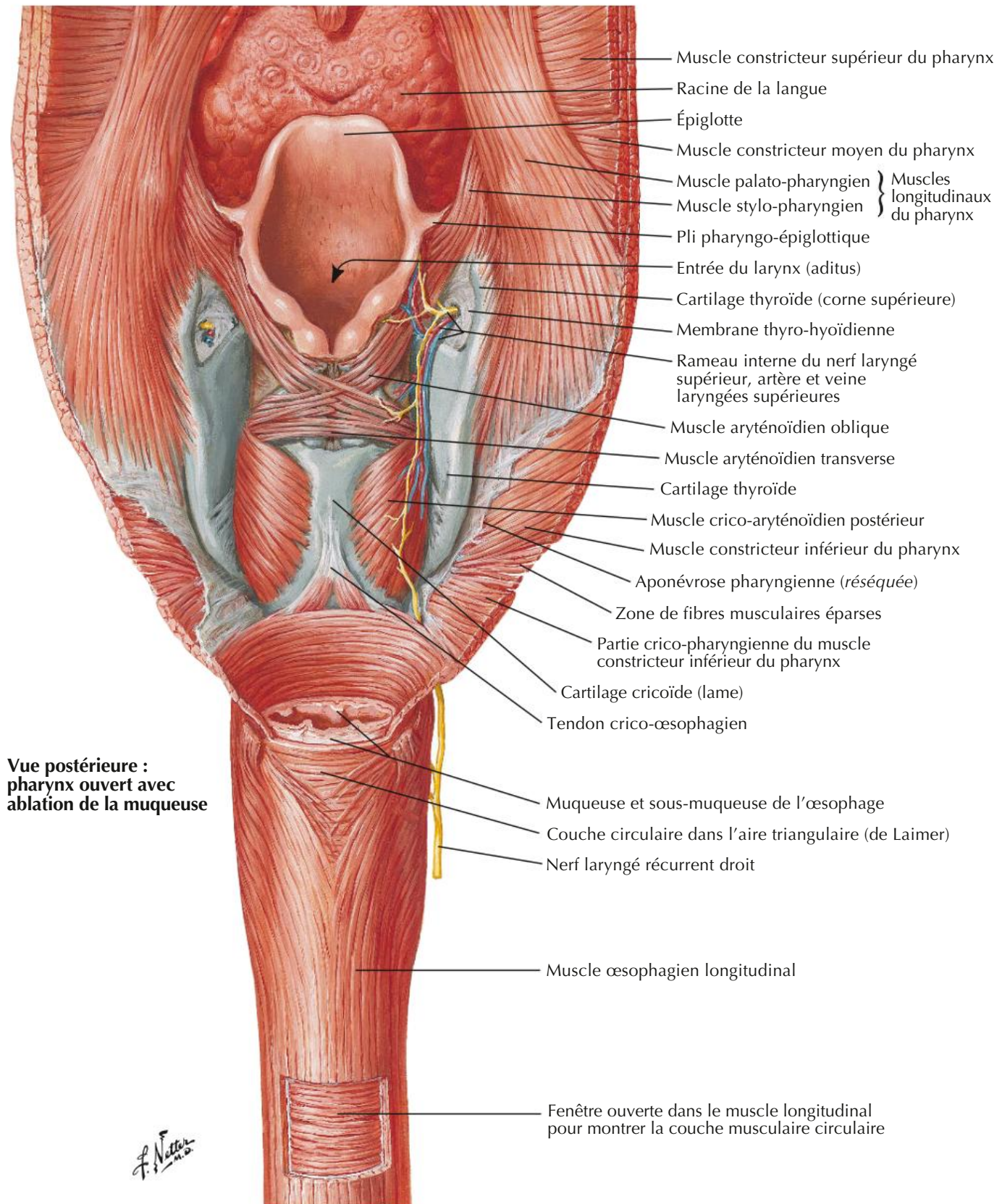


Pharynx : vue médiale



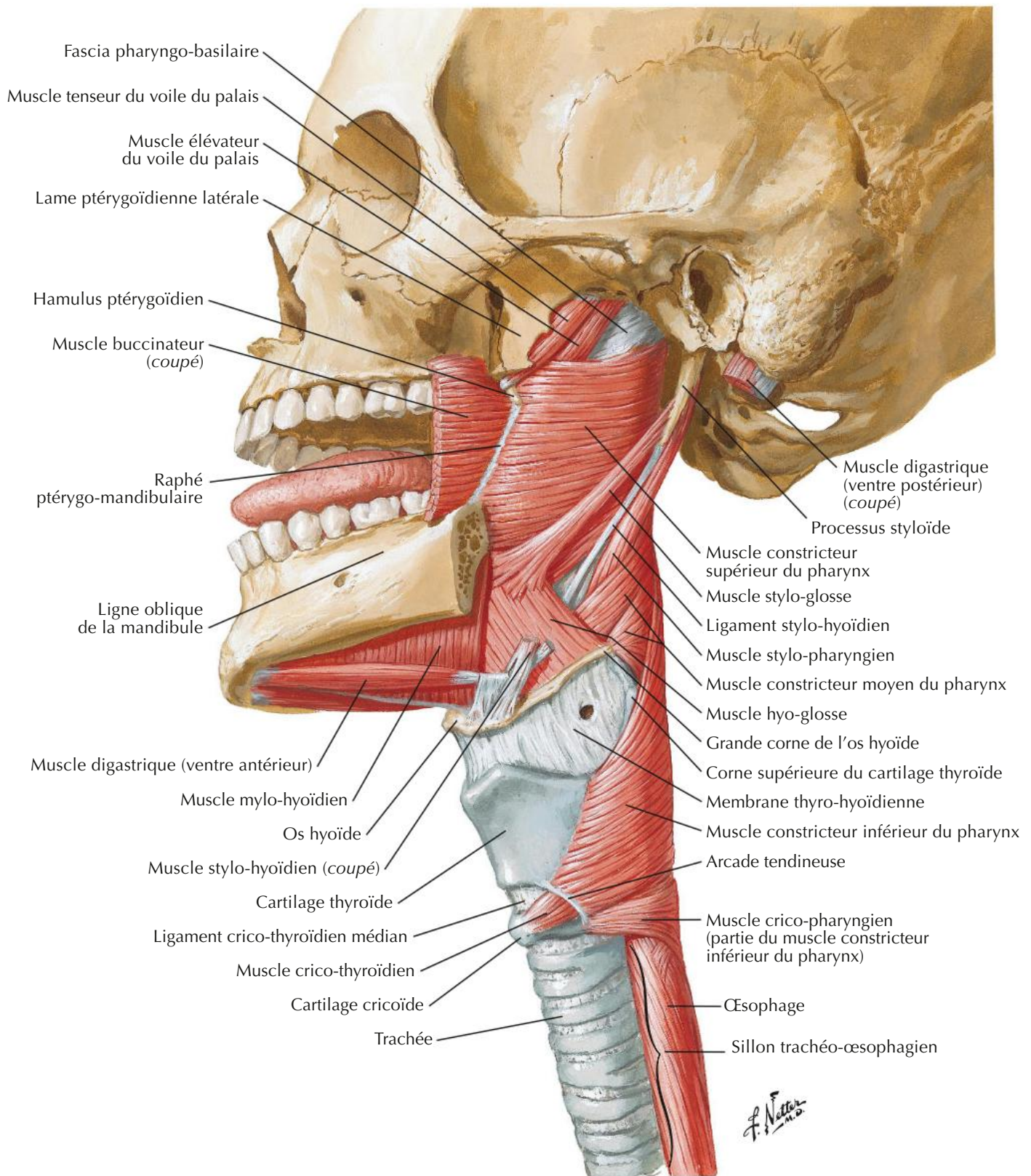


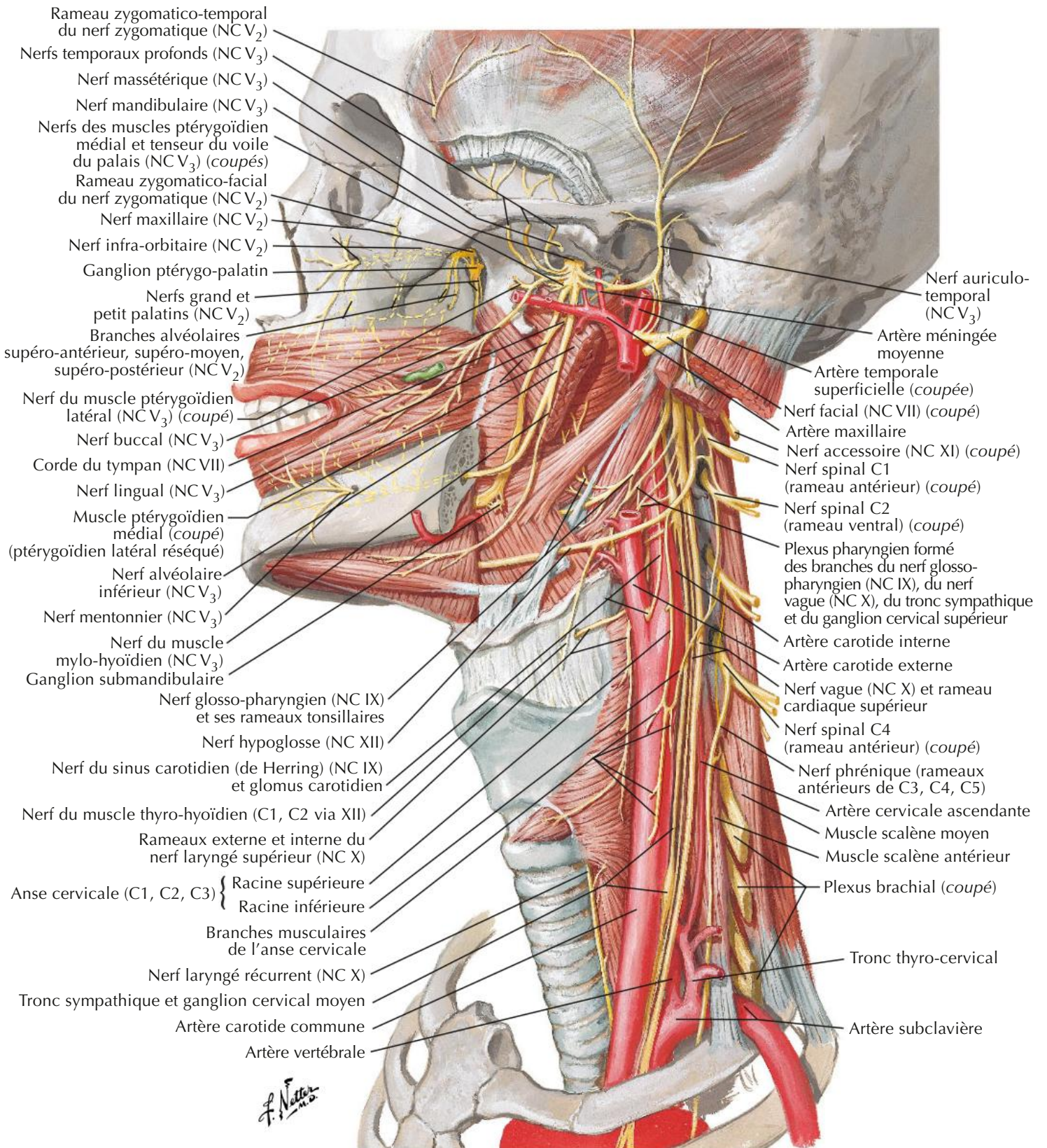


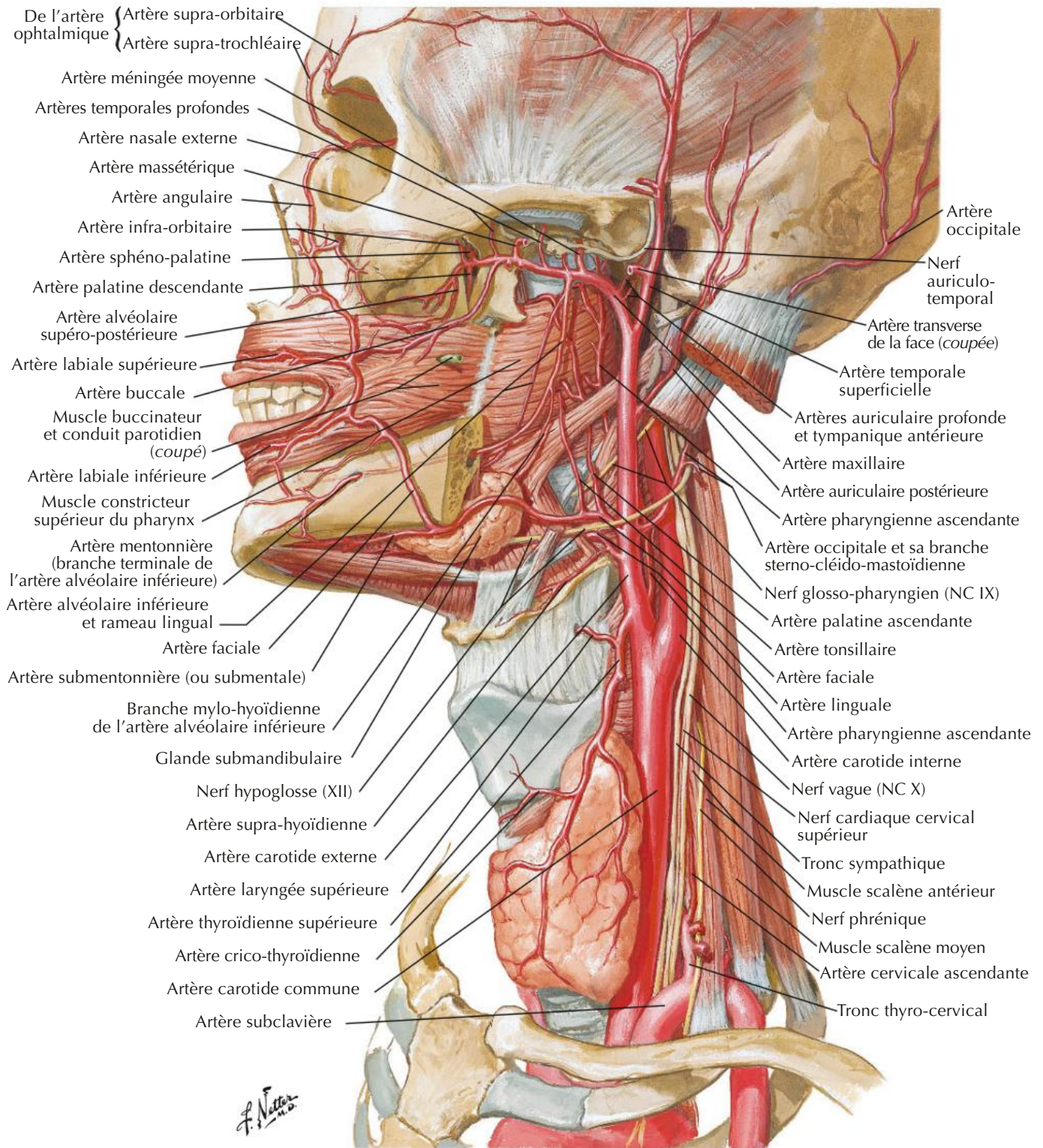


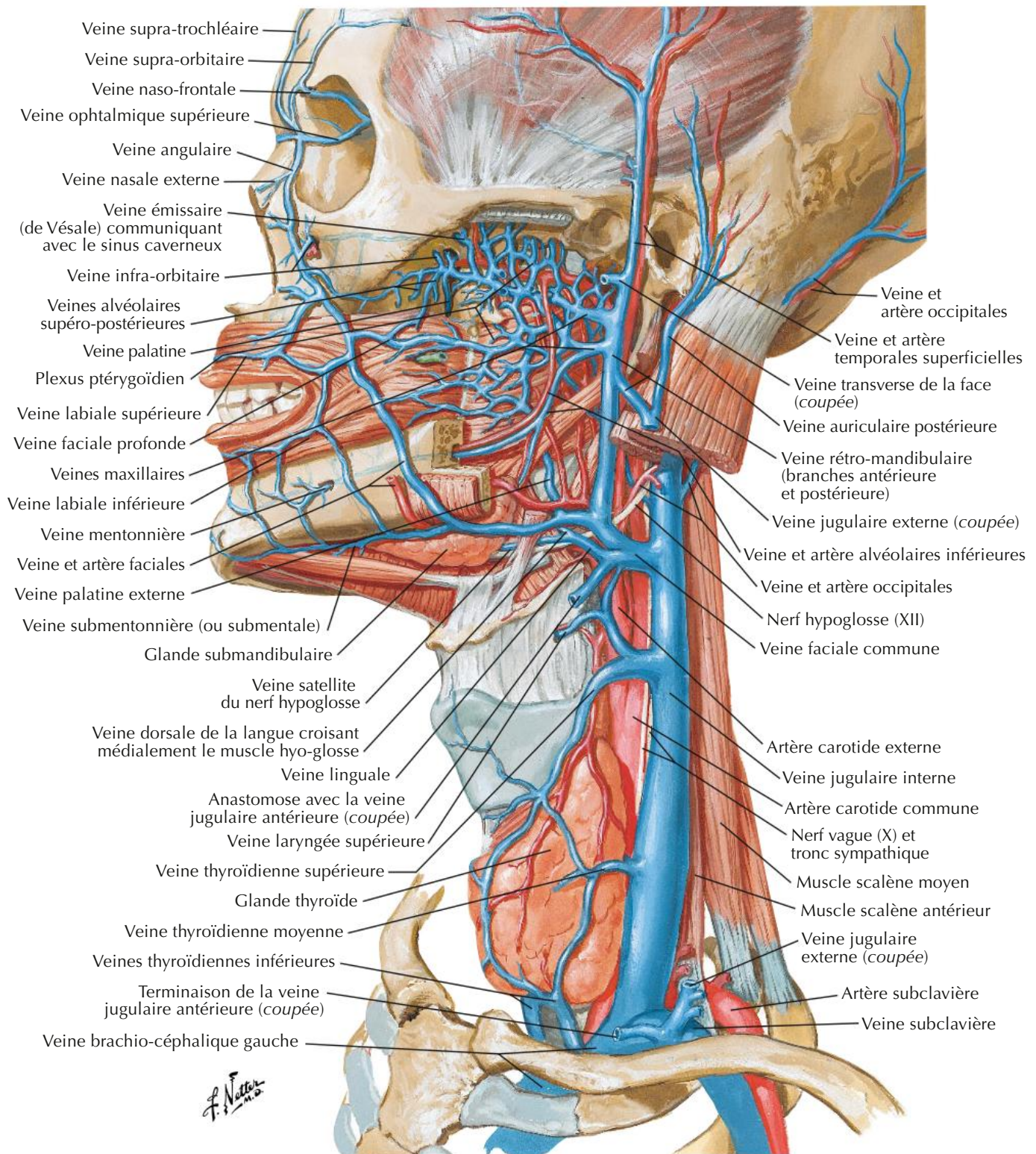
Muscles du pharynx : vue latérale

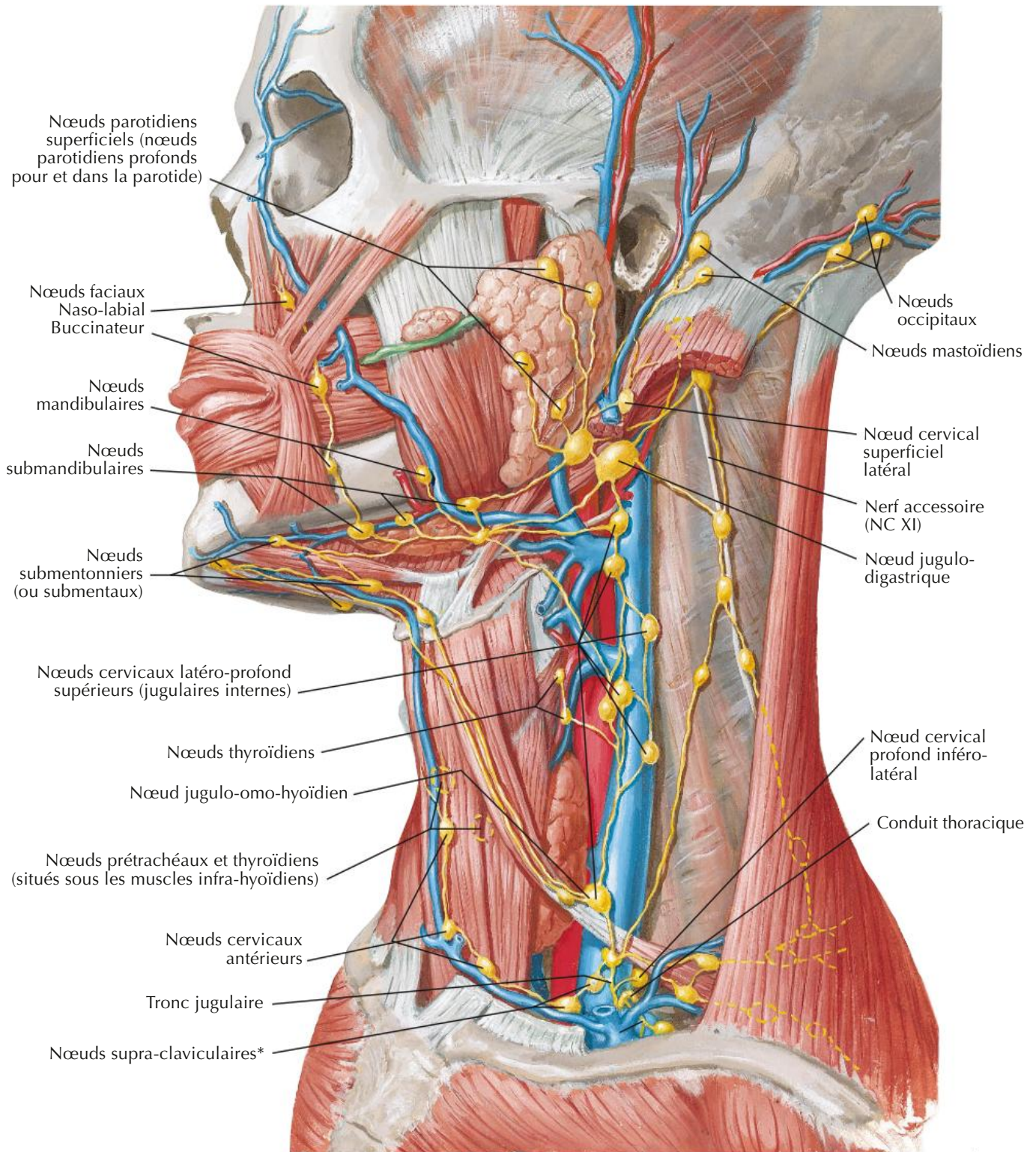
Voir aussi **Planche 75**



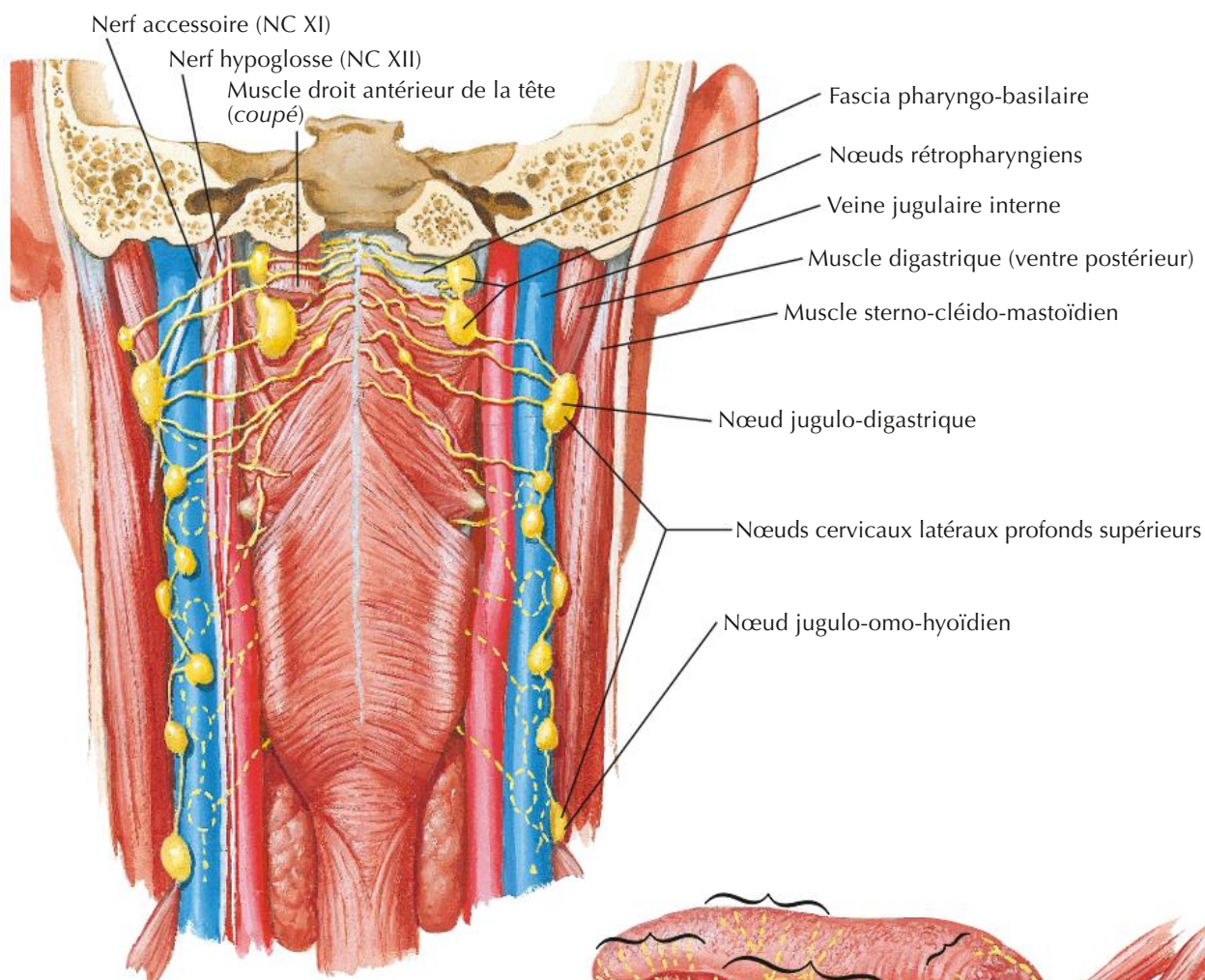




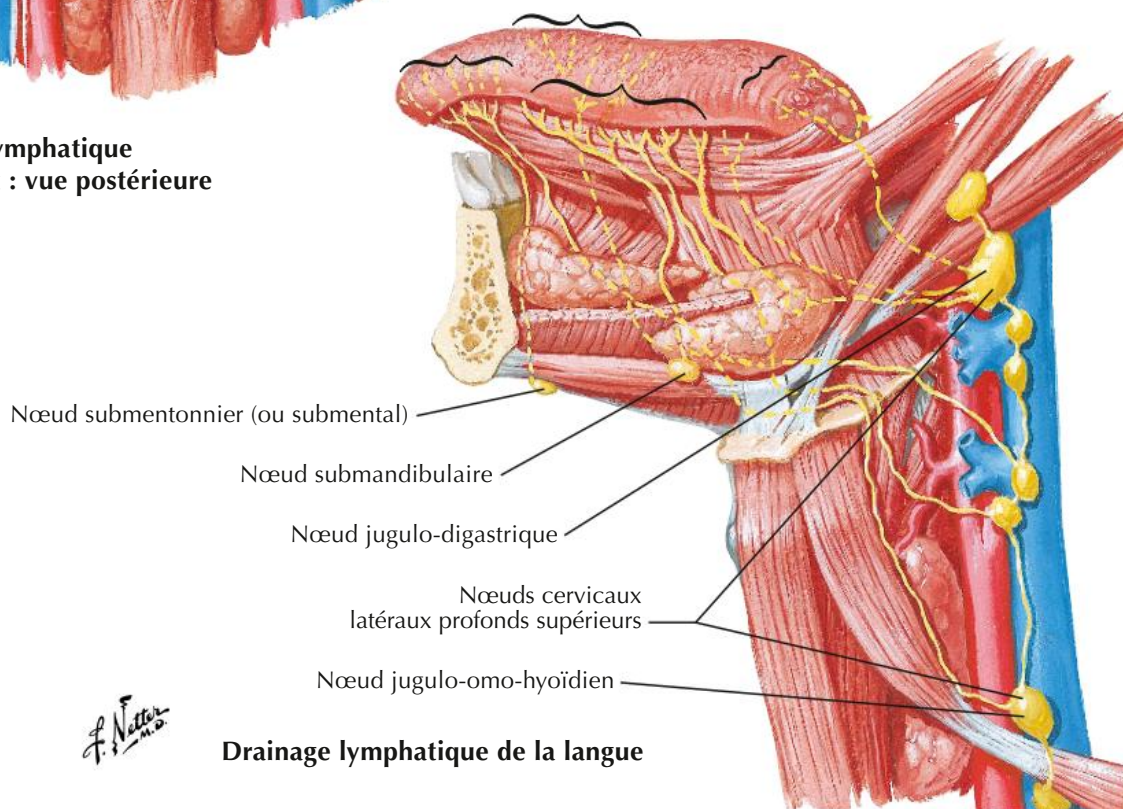




*Le groupe des nœuds lymphatiques supra-claviculaires (également nommé groupe cervical profond inférieur), surtout à gauche, sont aussi parfois nommés lymphonœuds signal ou sentinelle de Virchow ou de Troisier, surtout quand ils sont gros et palpables. Ces nœuds (ou un seul nœud) sont ainsi appelés car ils peuvent être le premier signe révélateur d'une maladie maligne des viscères.

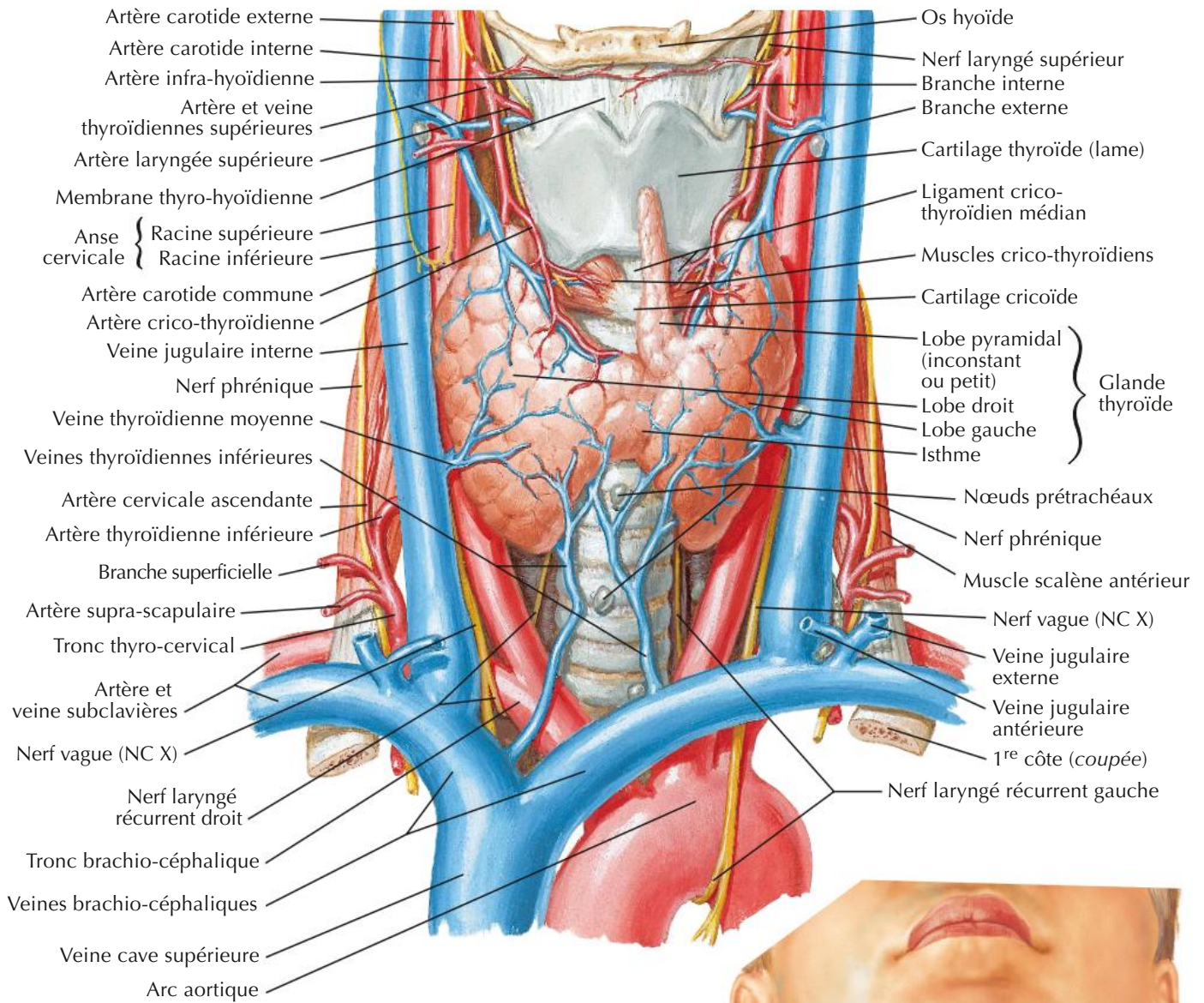


Drainage lymphatique
du pharynx : vue postérieure



Drainage lymphatique de la langue

Glande thyroïde : vue antérieure



Cartilage thyroïde
Ligament crico-thyroïdien médian
Artère carotide commune

Muscle crico-thyroïdien

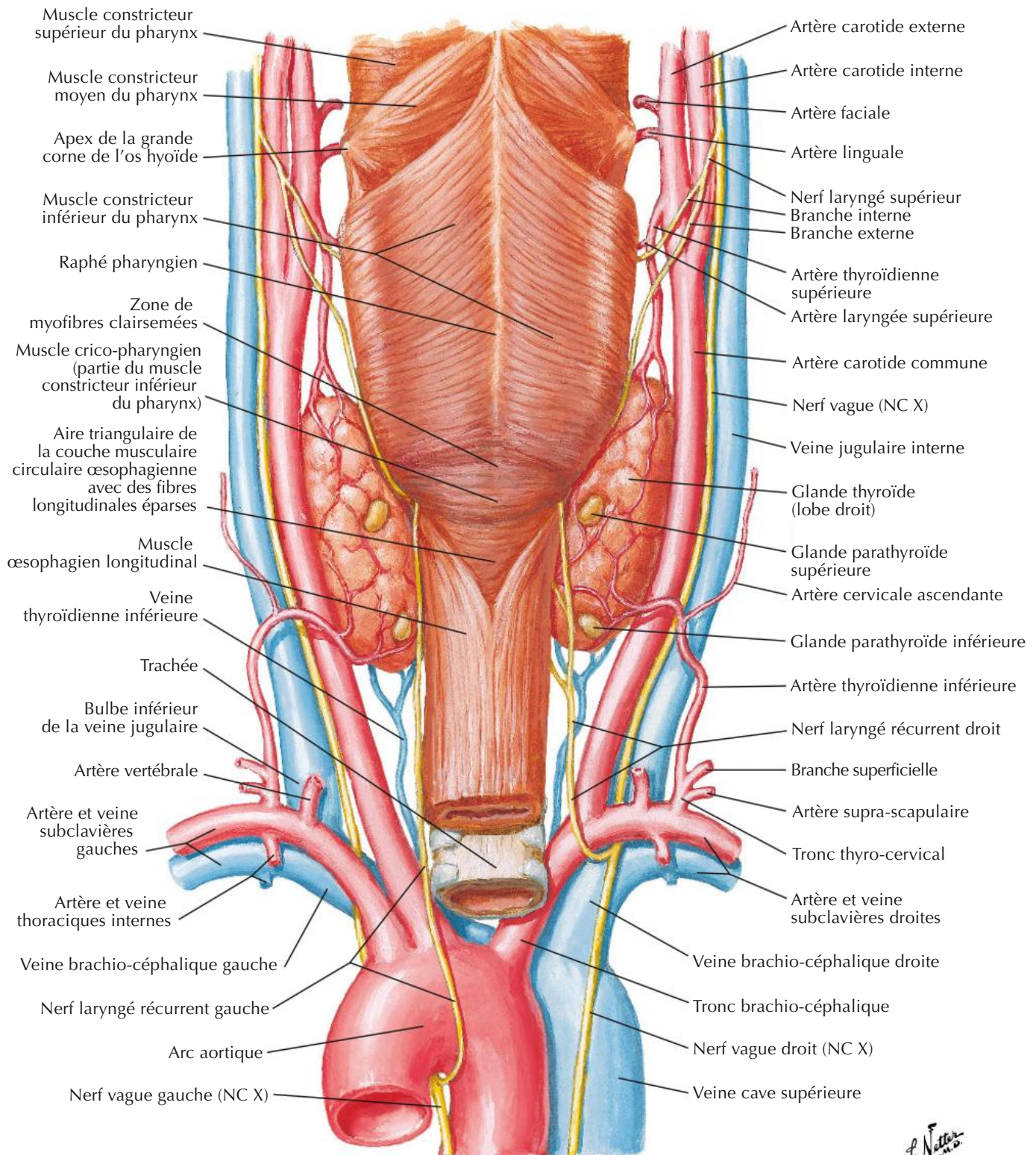
Cartilage cricoïde

Glande thyroïde

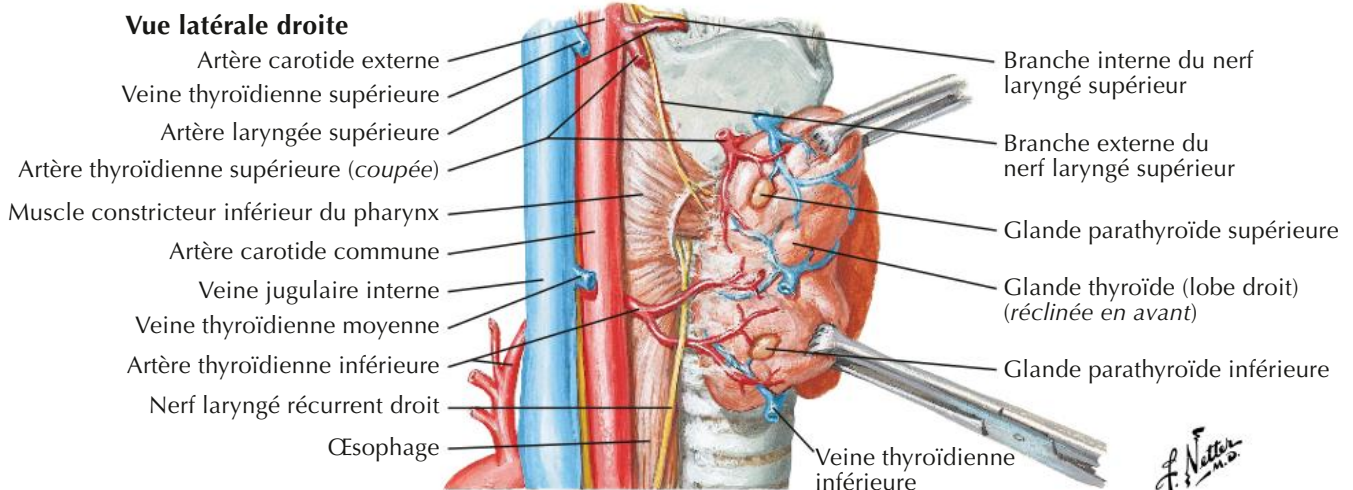
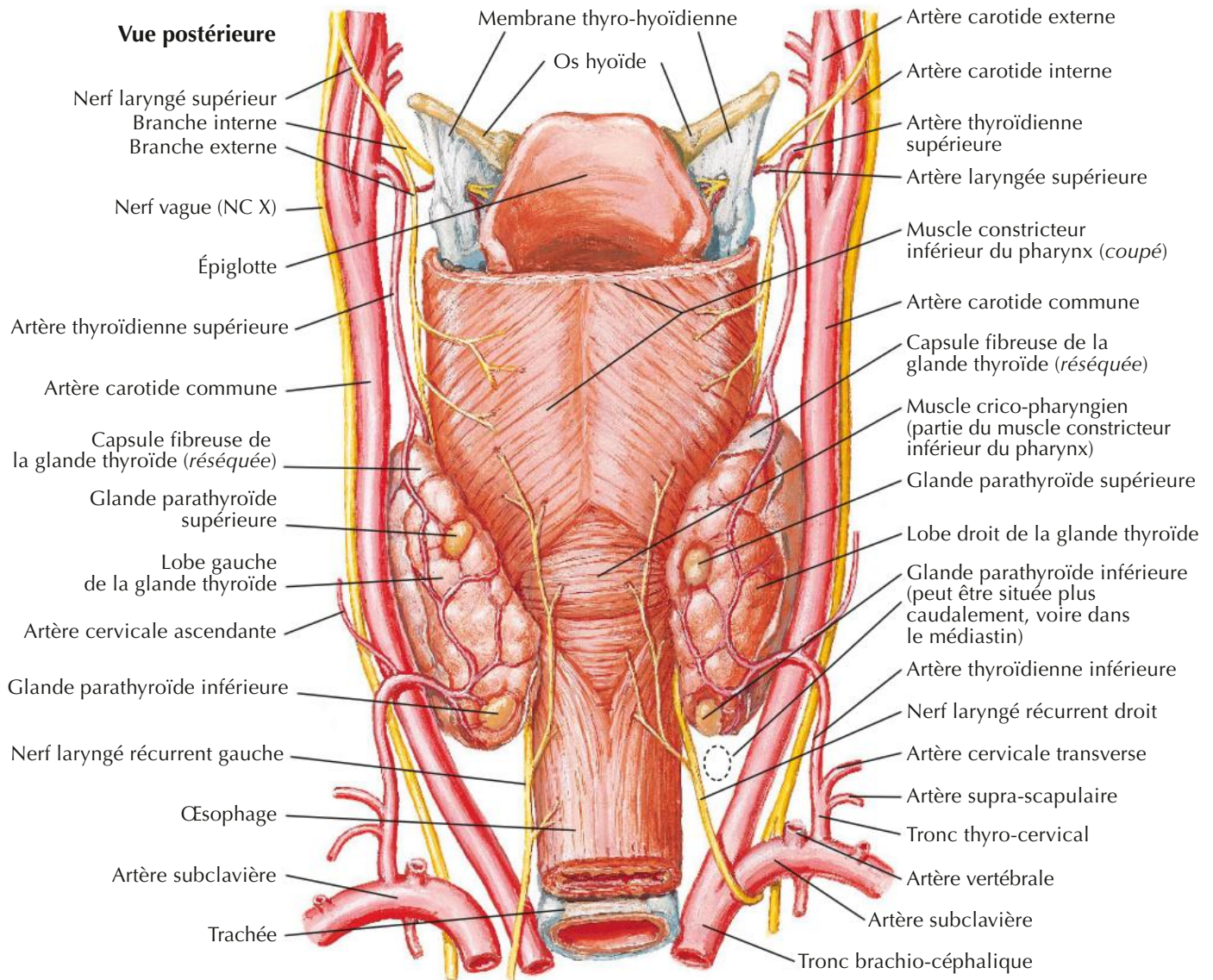
Plèvre cervicale

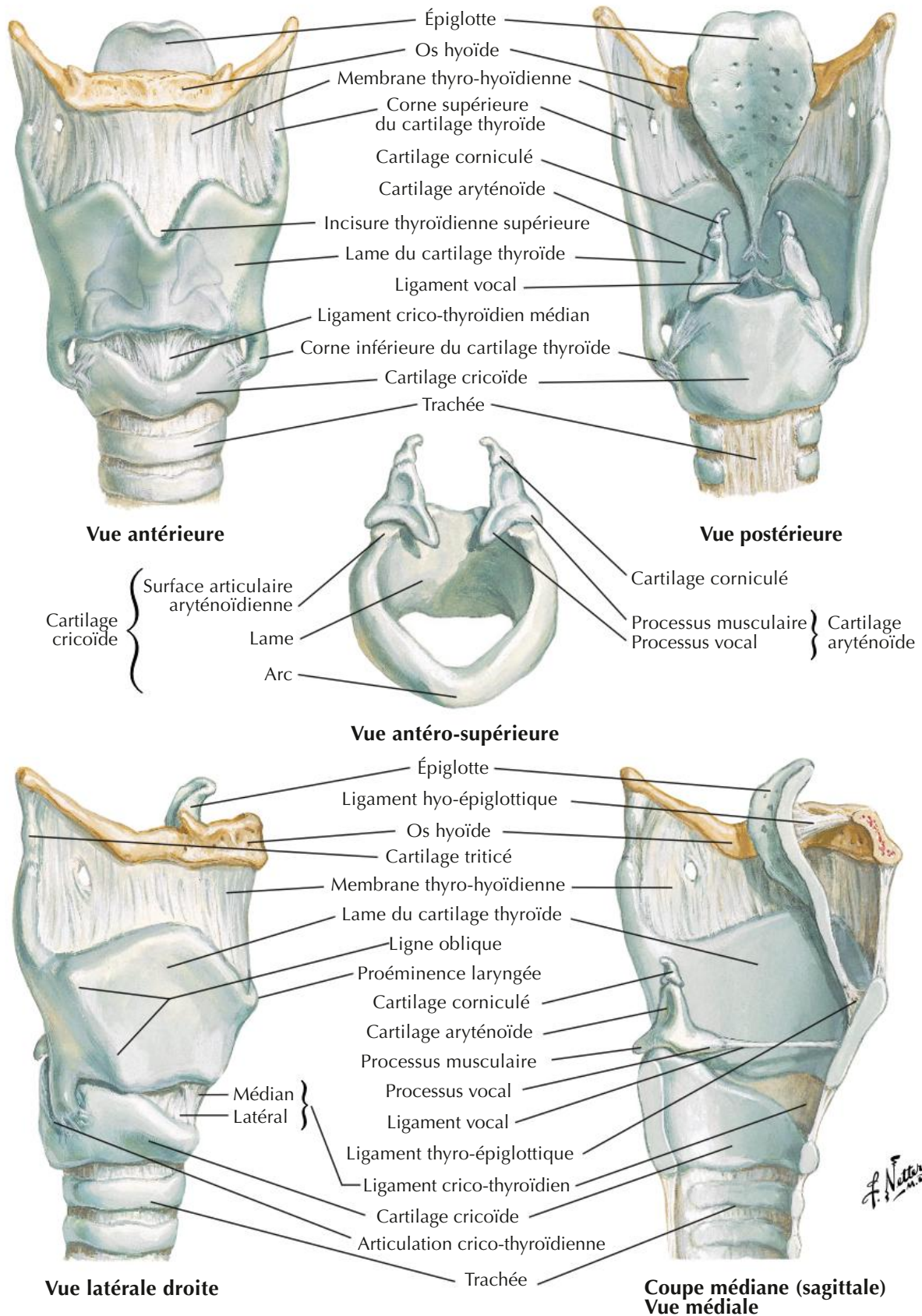
Trachée

F. Netter M.D.



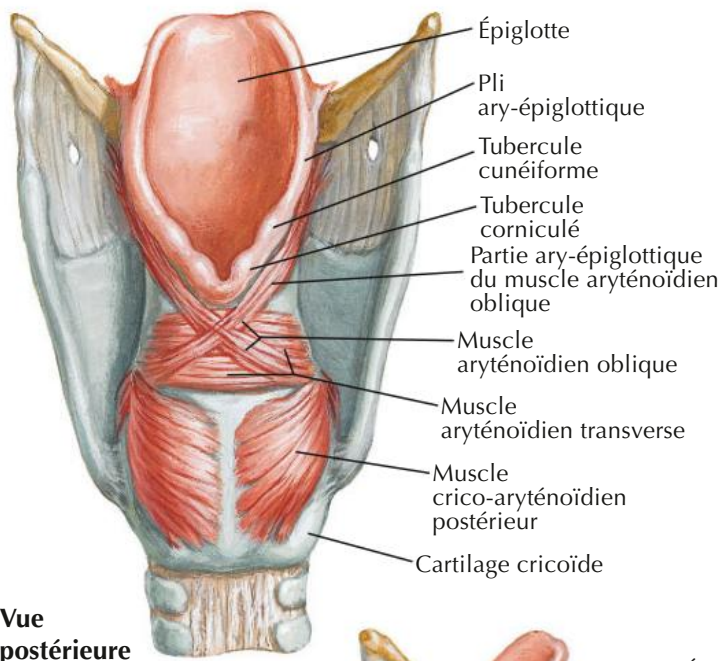
F. Netter M.D.



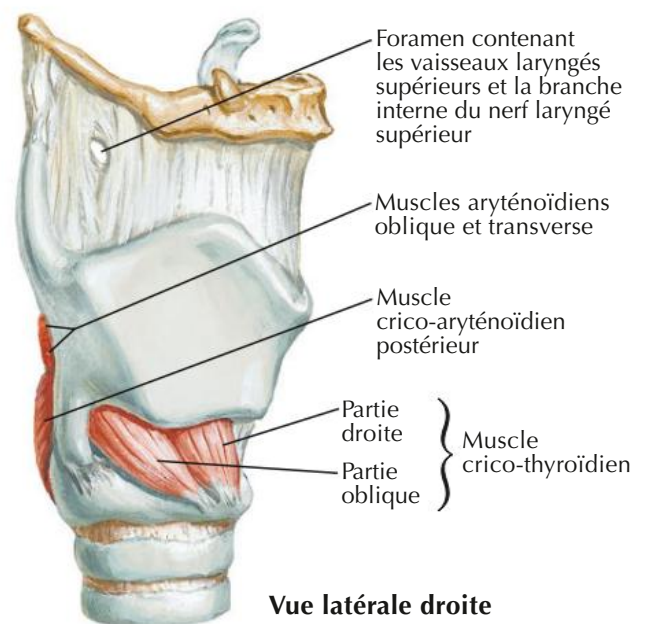


Muscles intrinsèques du larynx

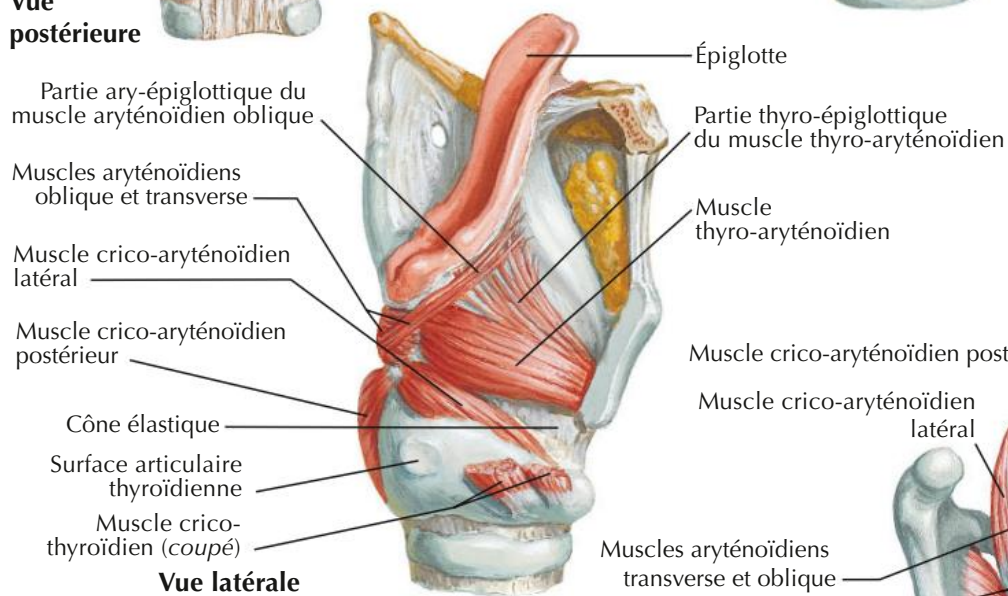
Voir aussi Planches 90, 92, 93



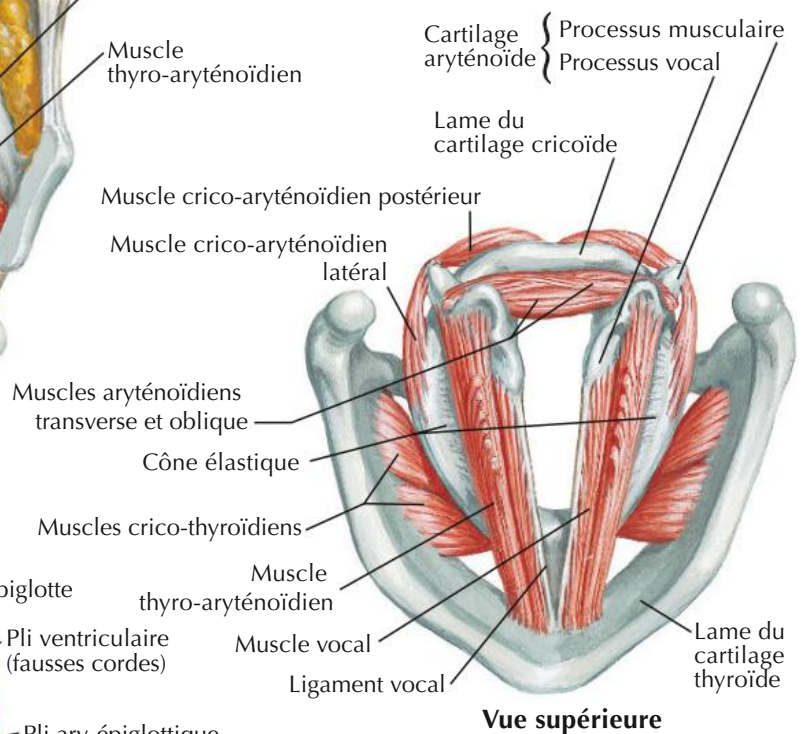
Vue postérieure



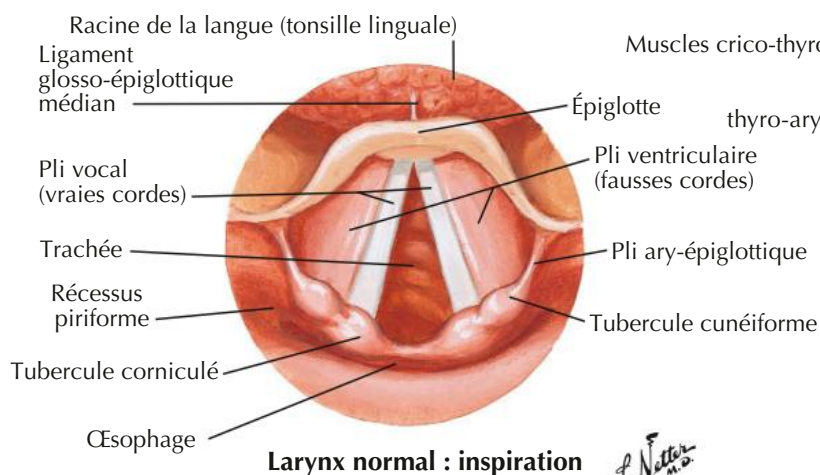
Vue latérale droite



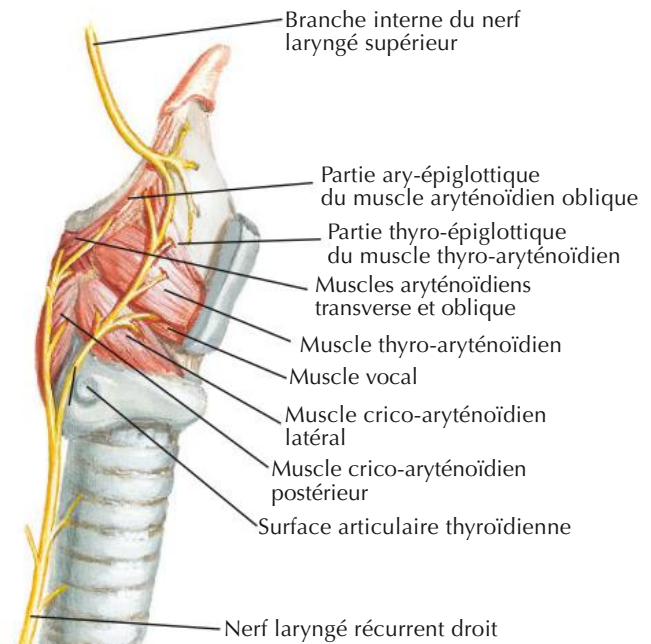
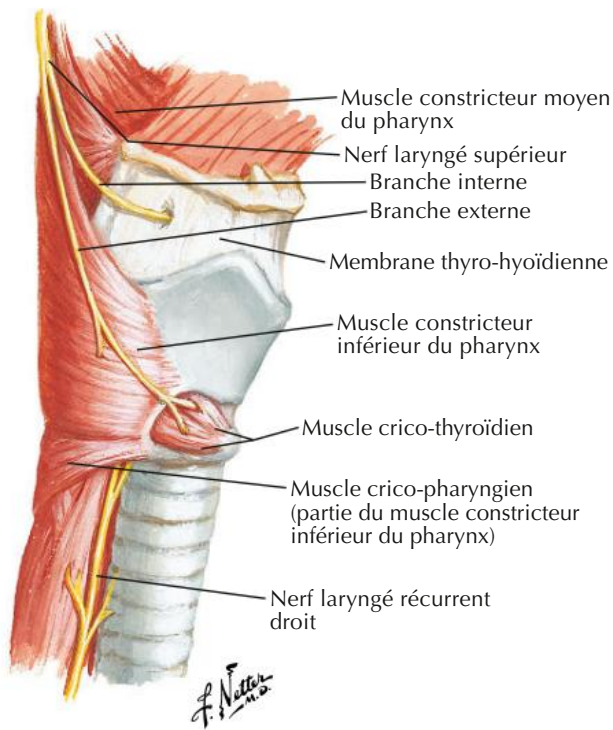
Vue latérale



Vue supérieure

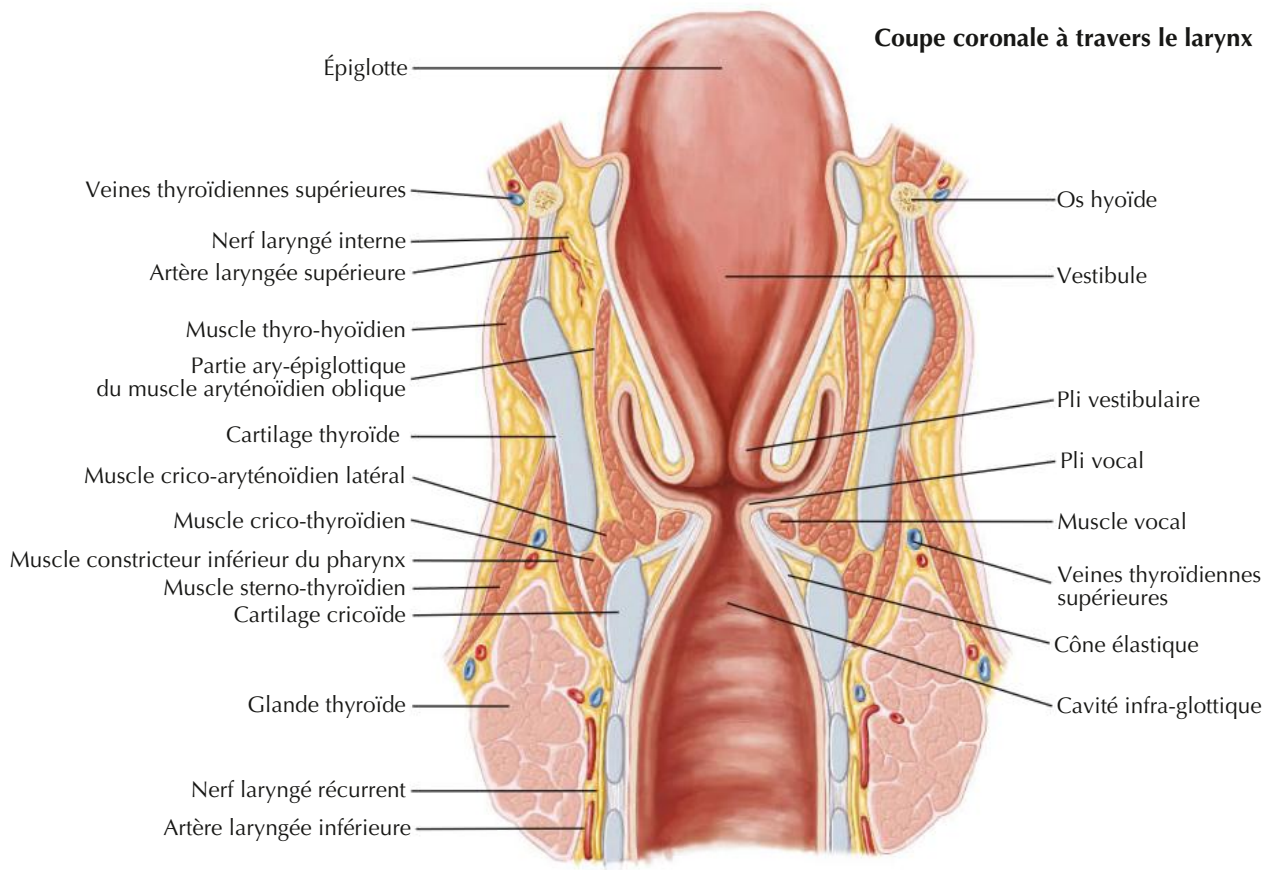


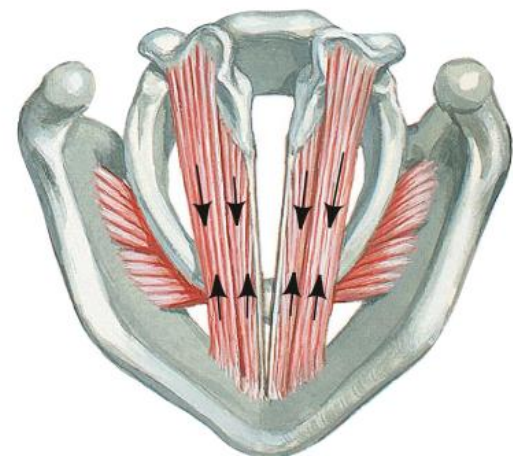
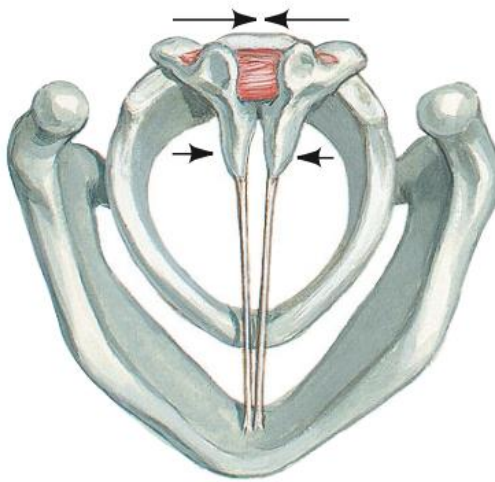
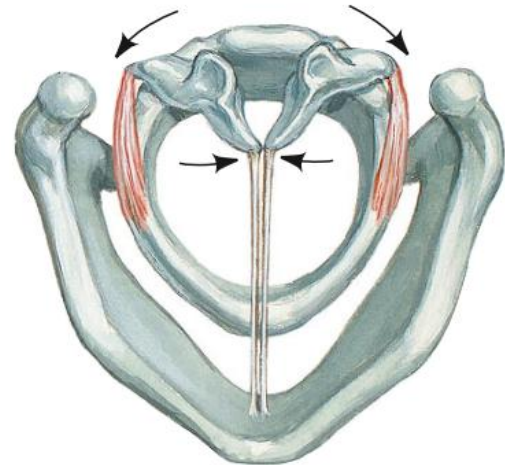
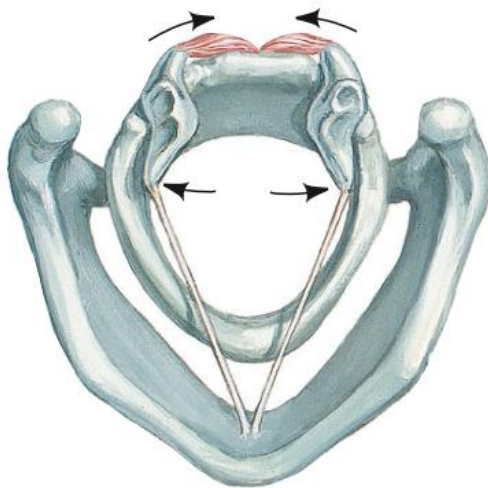
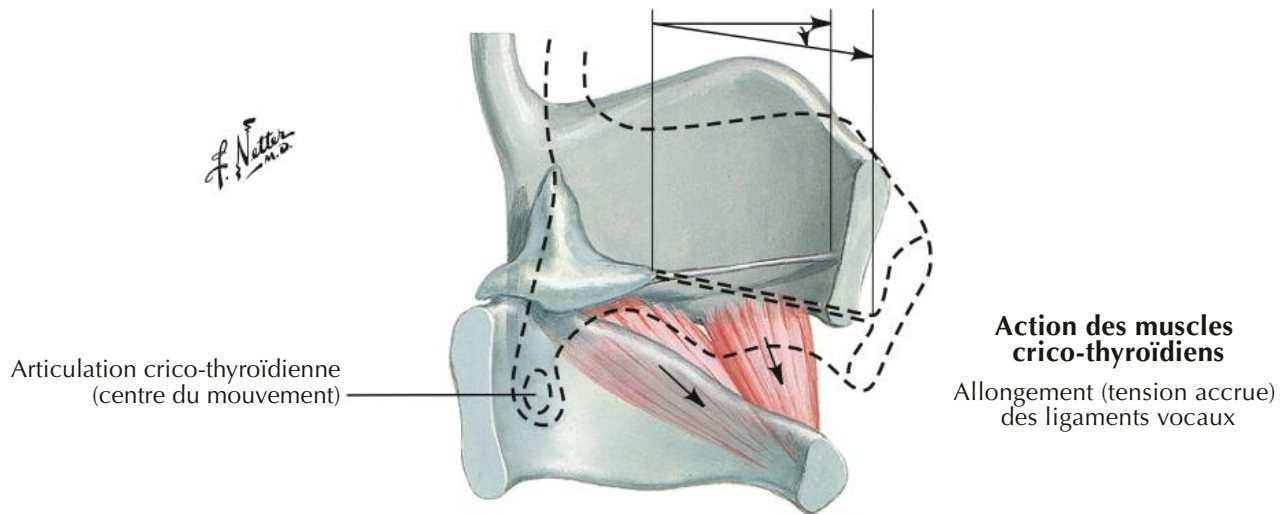
Larynx normal : inspiration

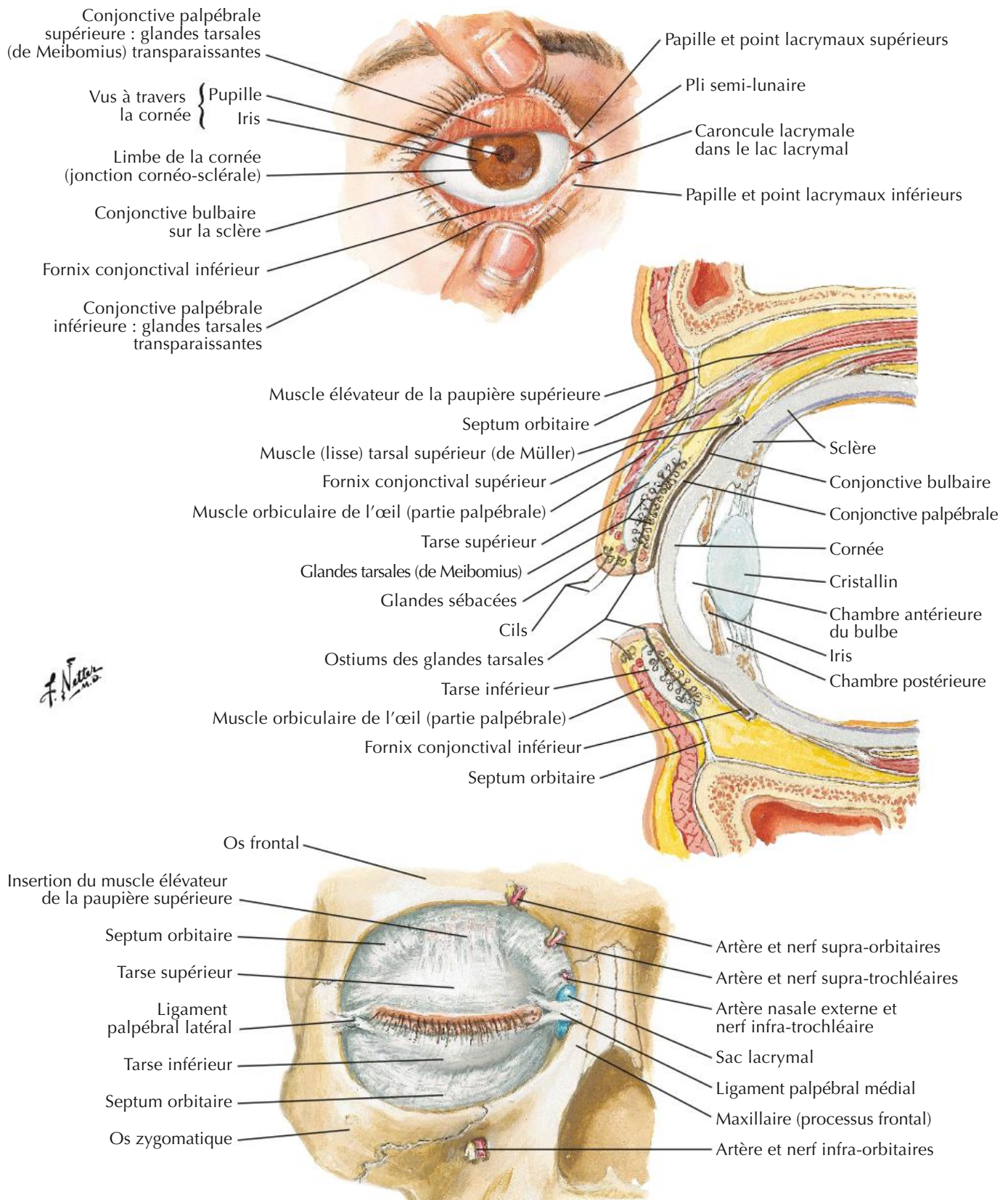


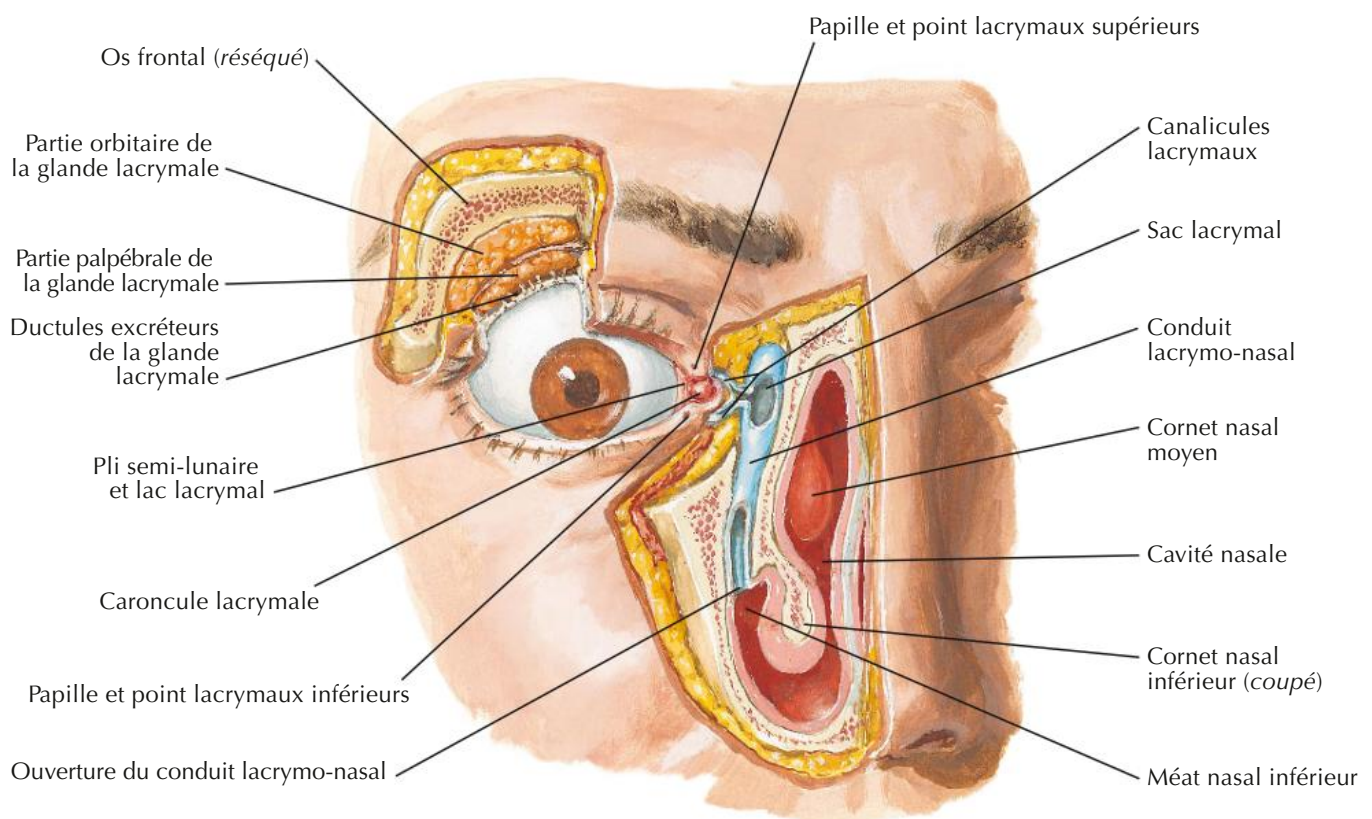
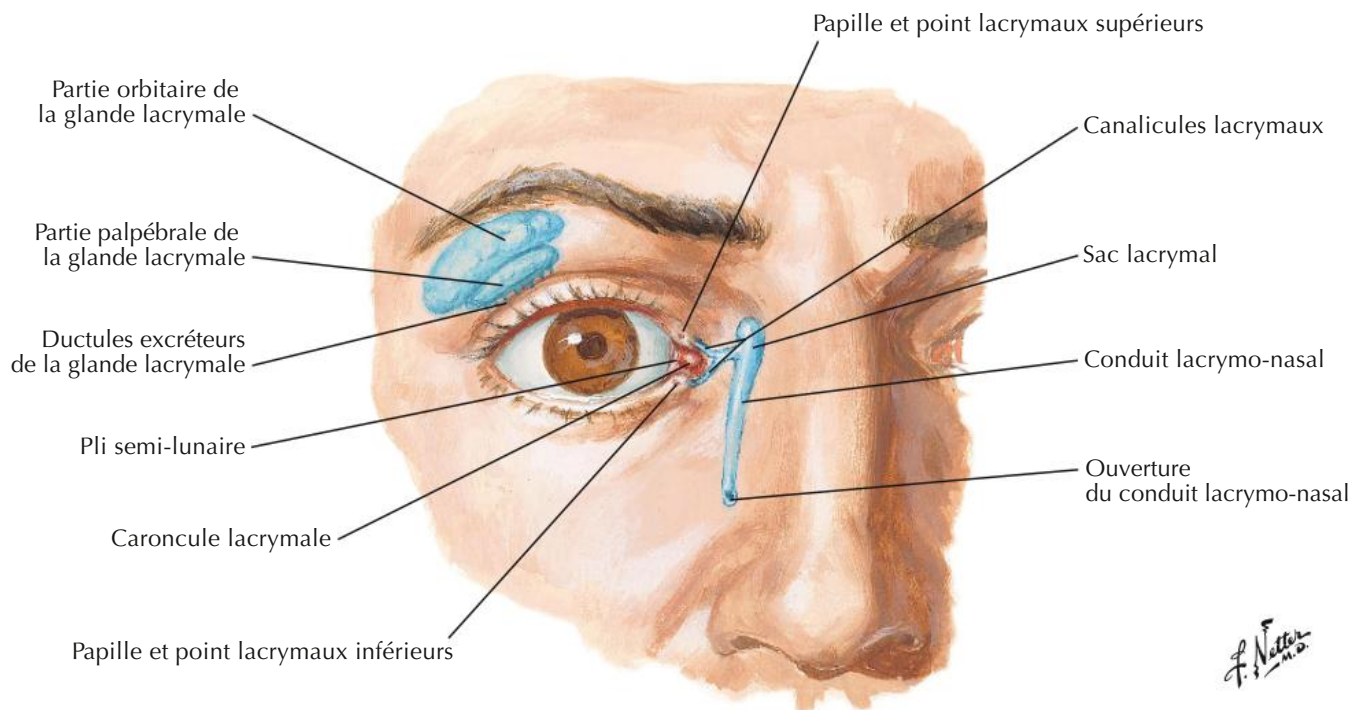
**Vue latérale droite
(avec résection de la lame
du cartilage thyroïde)**

Coupe coronale à travers le larynx

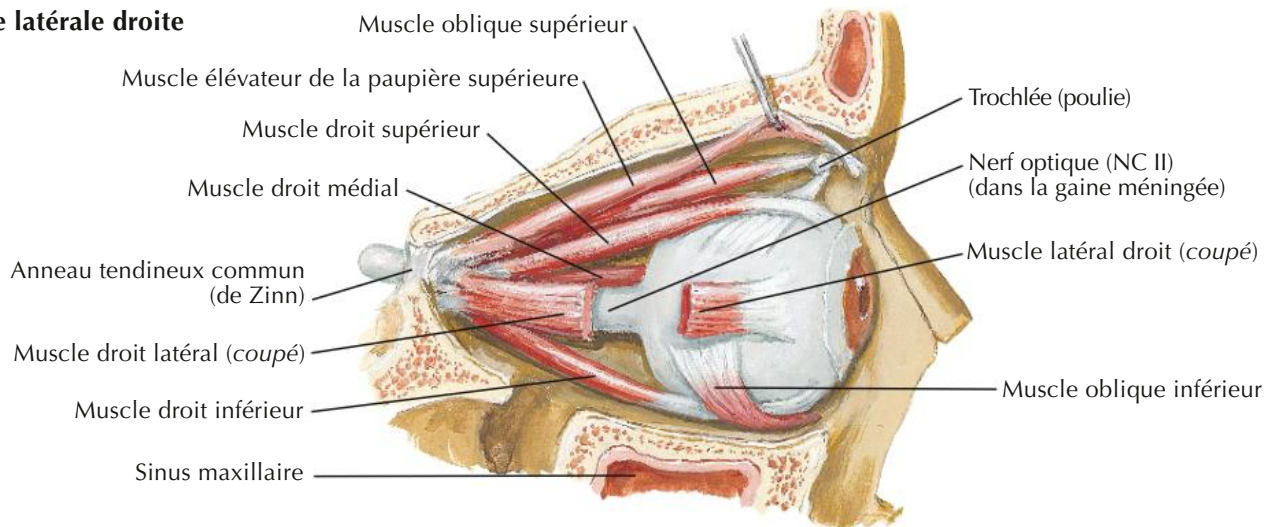




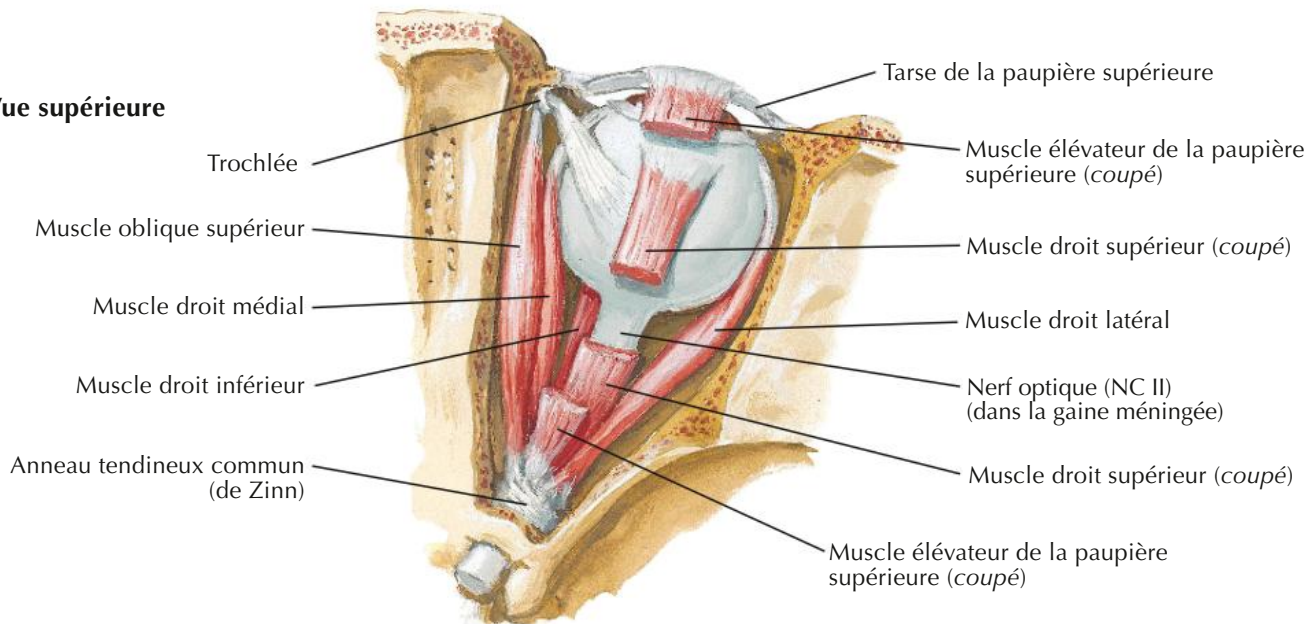




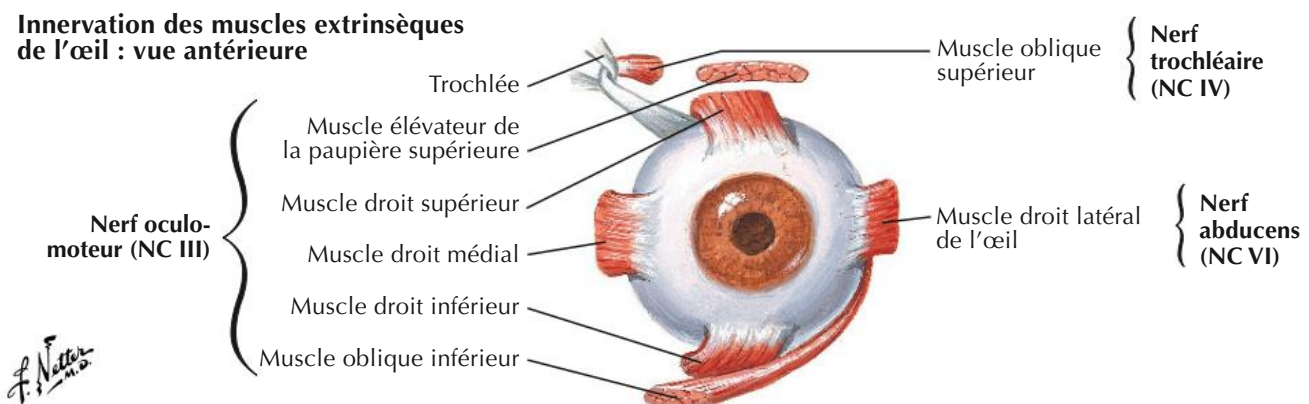
Vue latérale droite



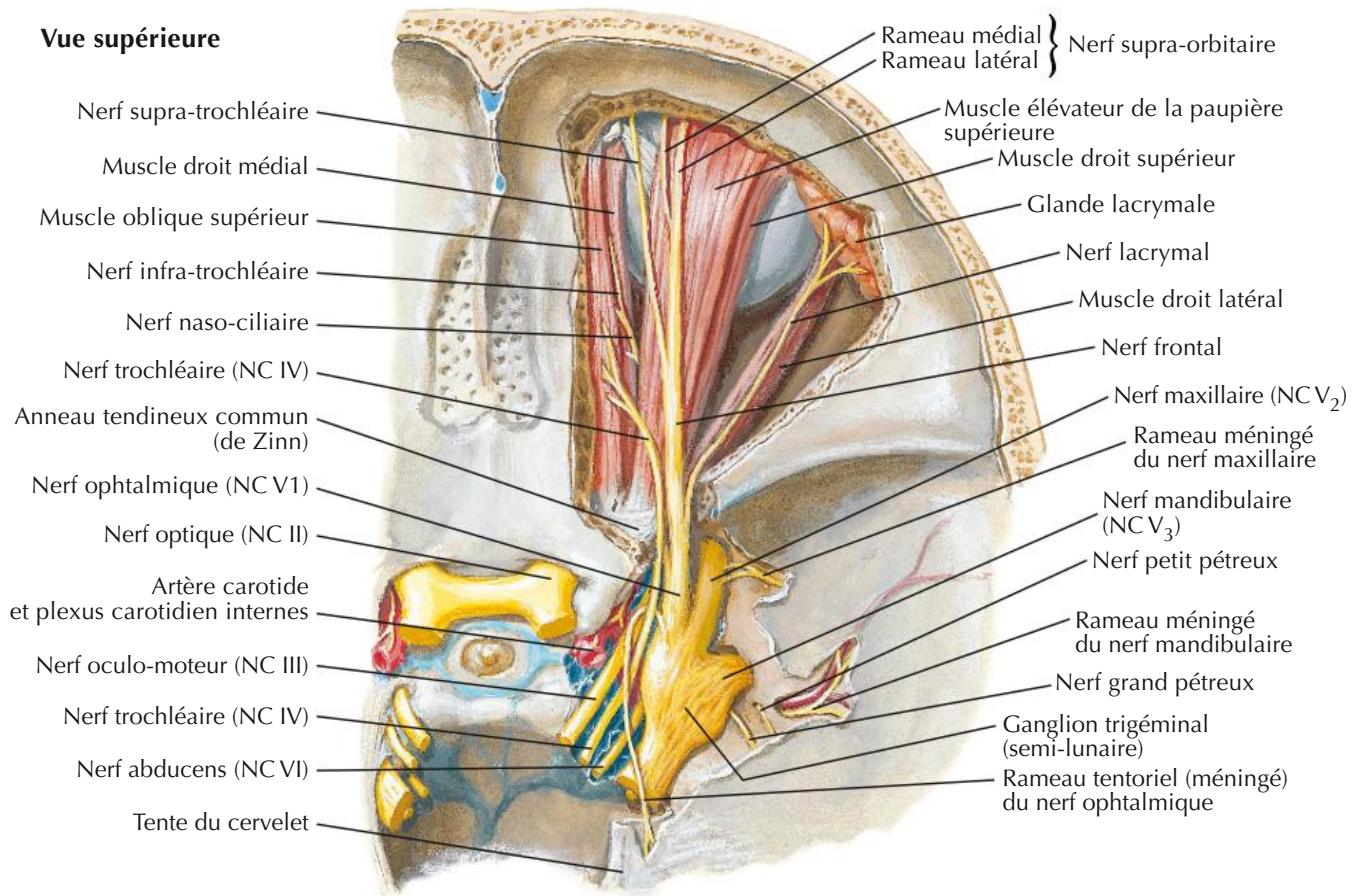
Vue supérieure



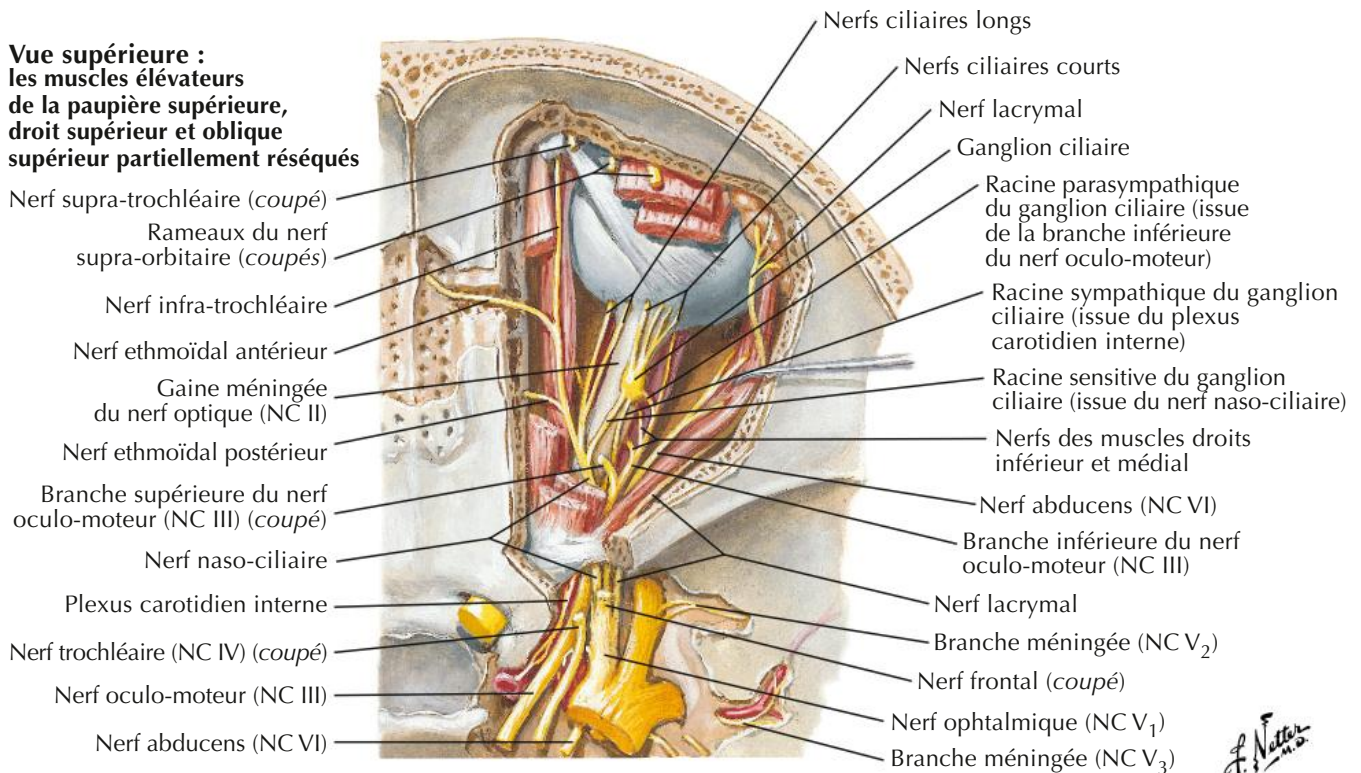
Innervation des muscles extrinsèques de l'œil : vue antérieure



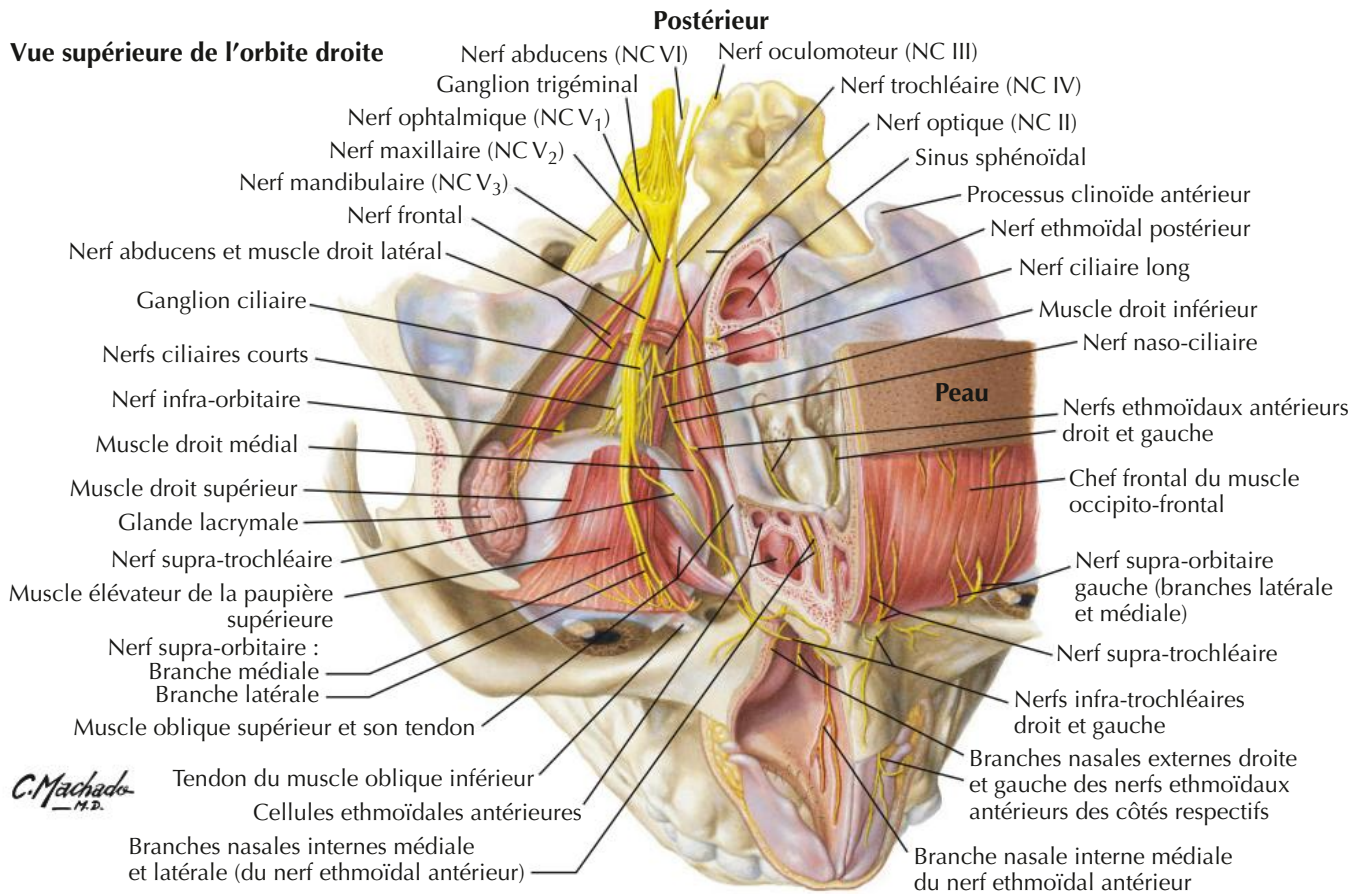
Vue supérieure



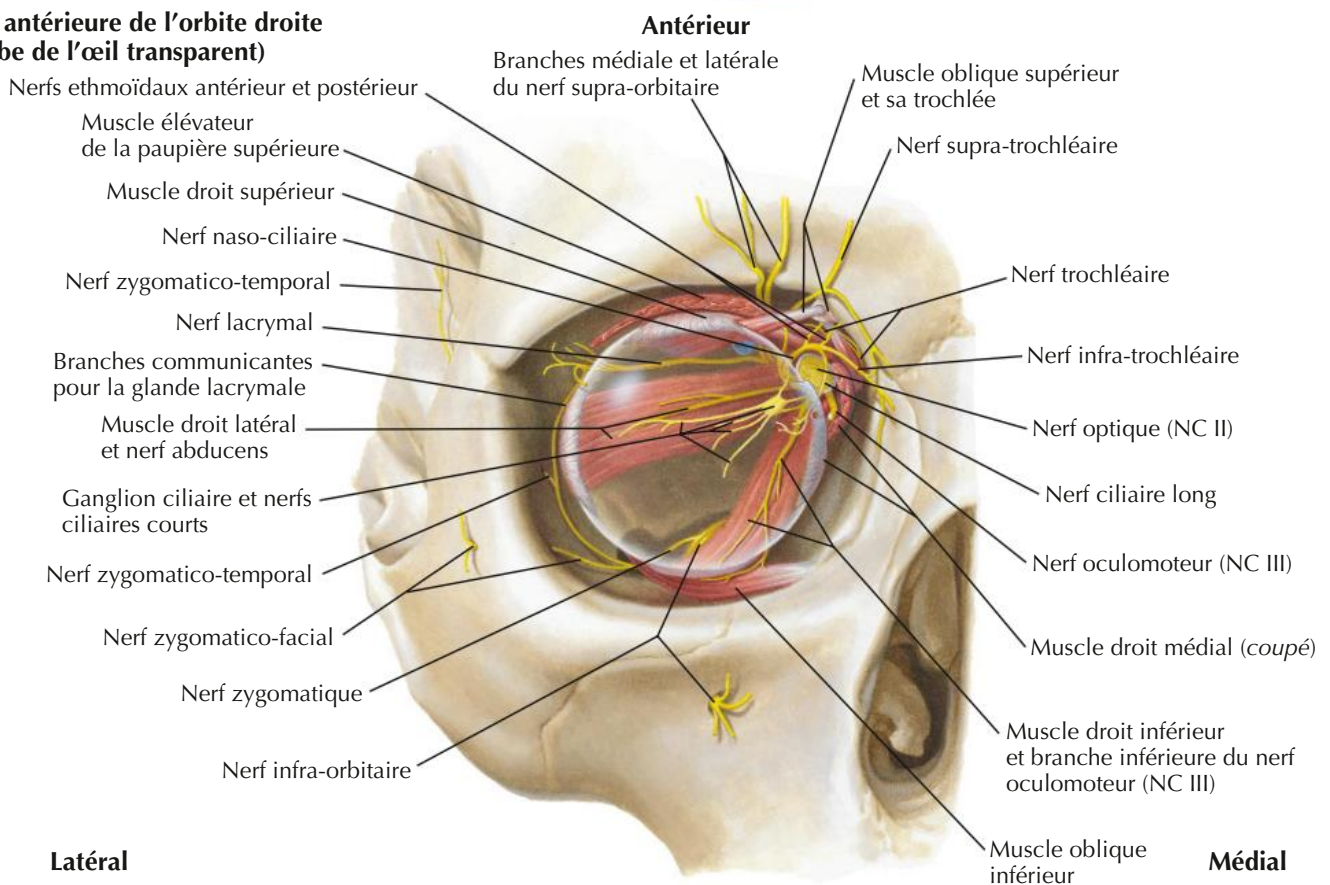
Vue supérieure : les muscles élévateurs de la paupière supérieure, droit supérieur et oblique supérieur partiellement réséqués



Vue supérieure de l'orbite droite



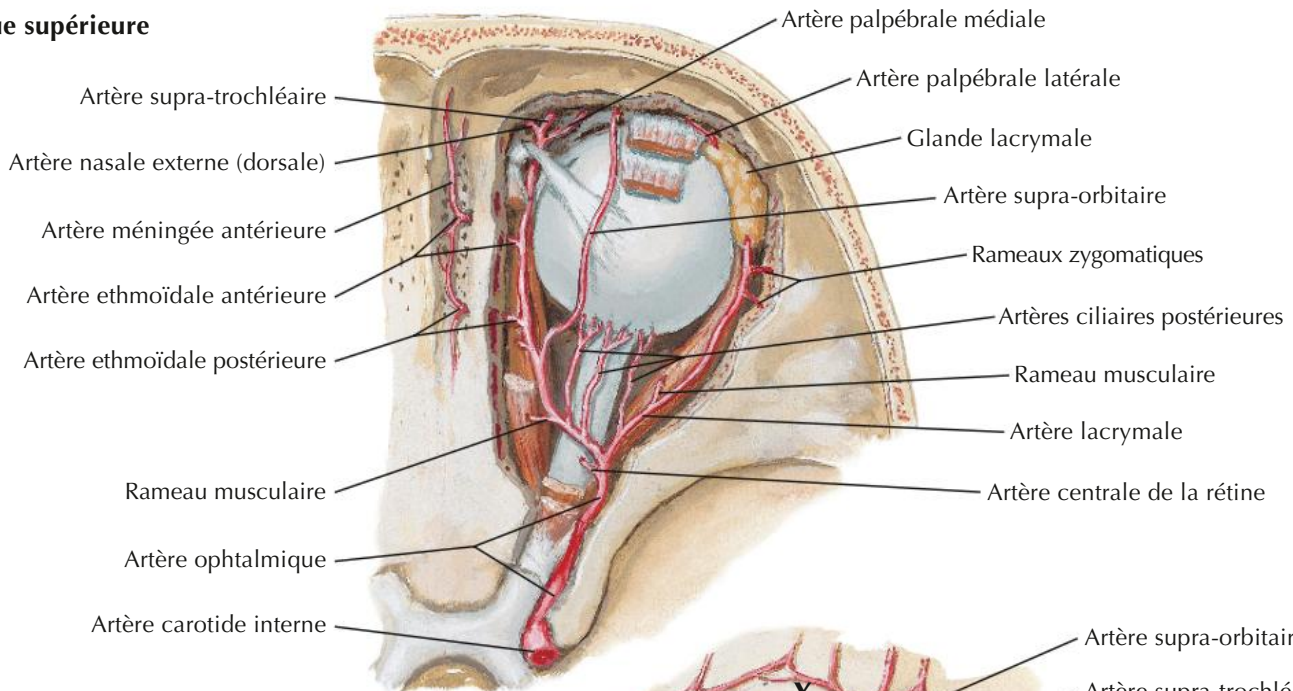
Vue antérieure de l'orbite droite (bulbe de l'œil transparent)



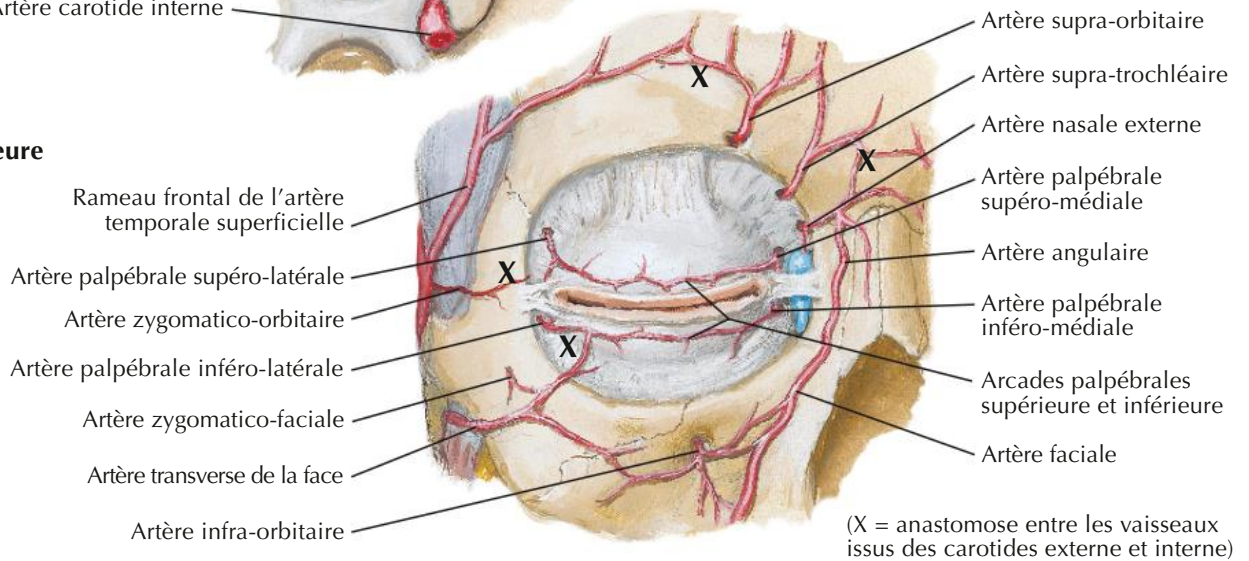
Artères et veines de l'orbite et des paupières

Voir aussi Planches 10, 84

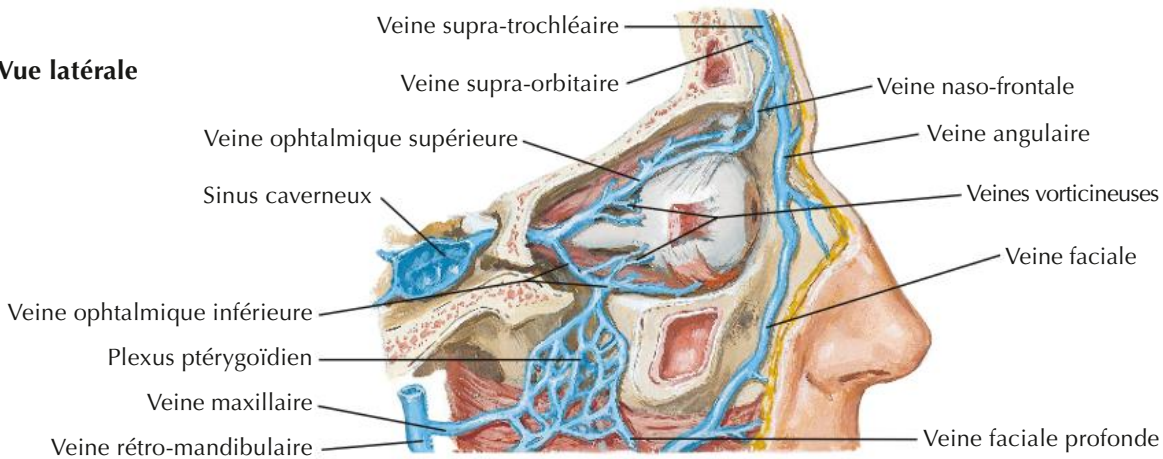
Vue supérieure

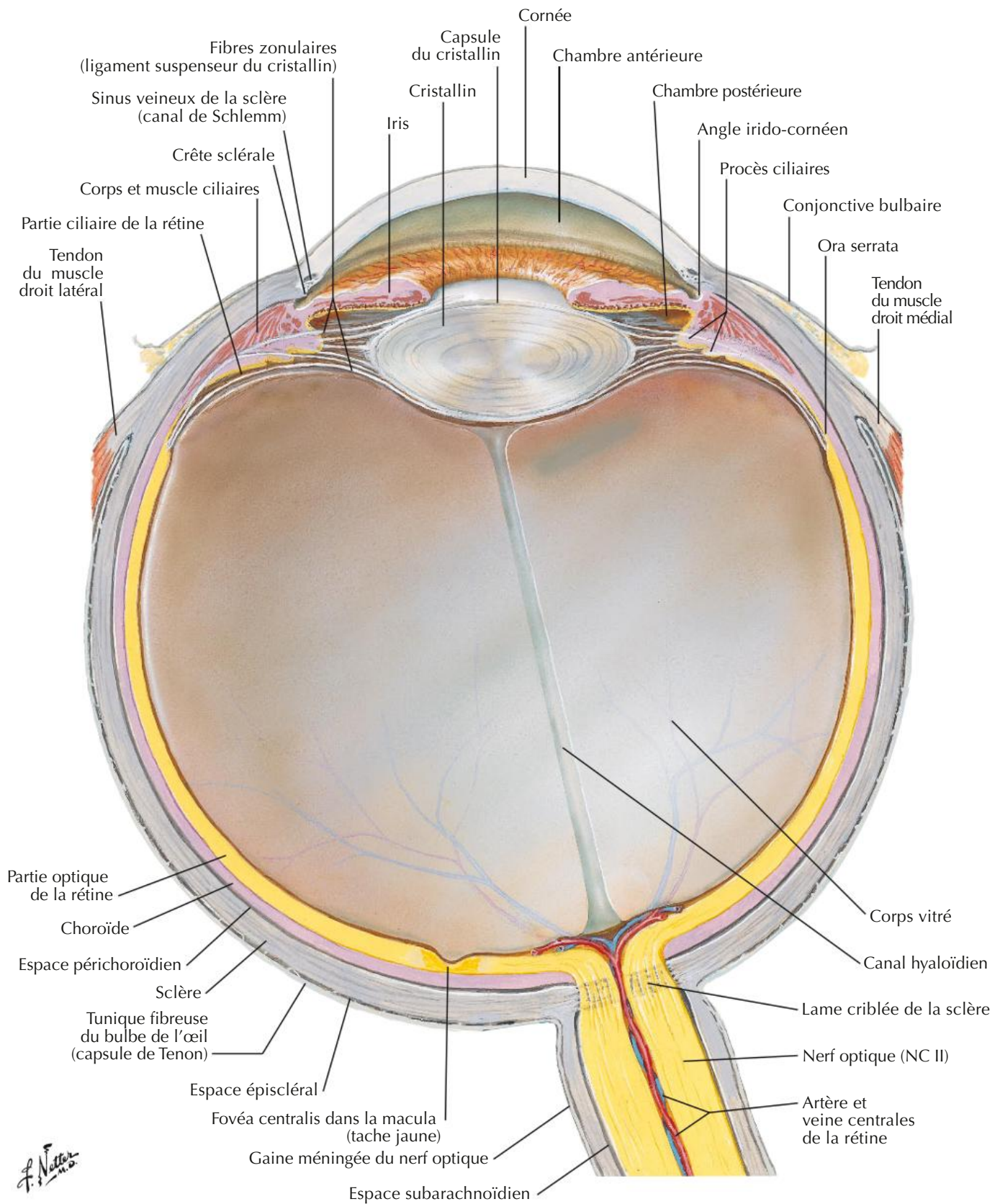


Vue antérieure

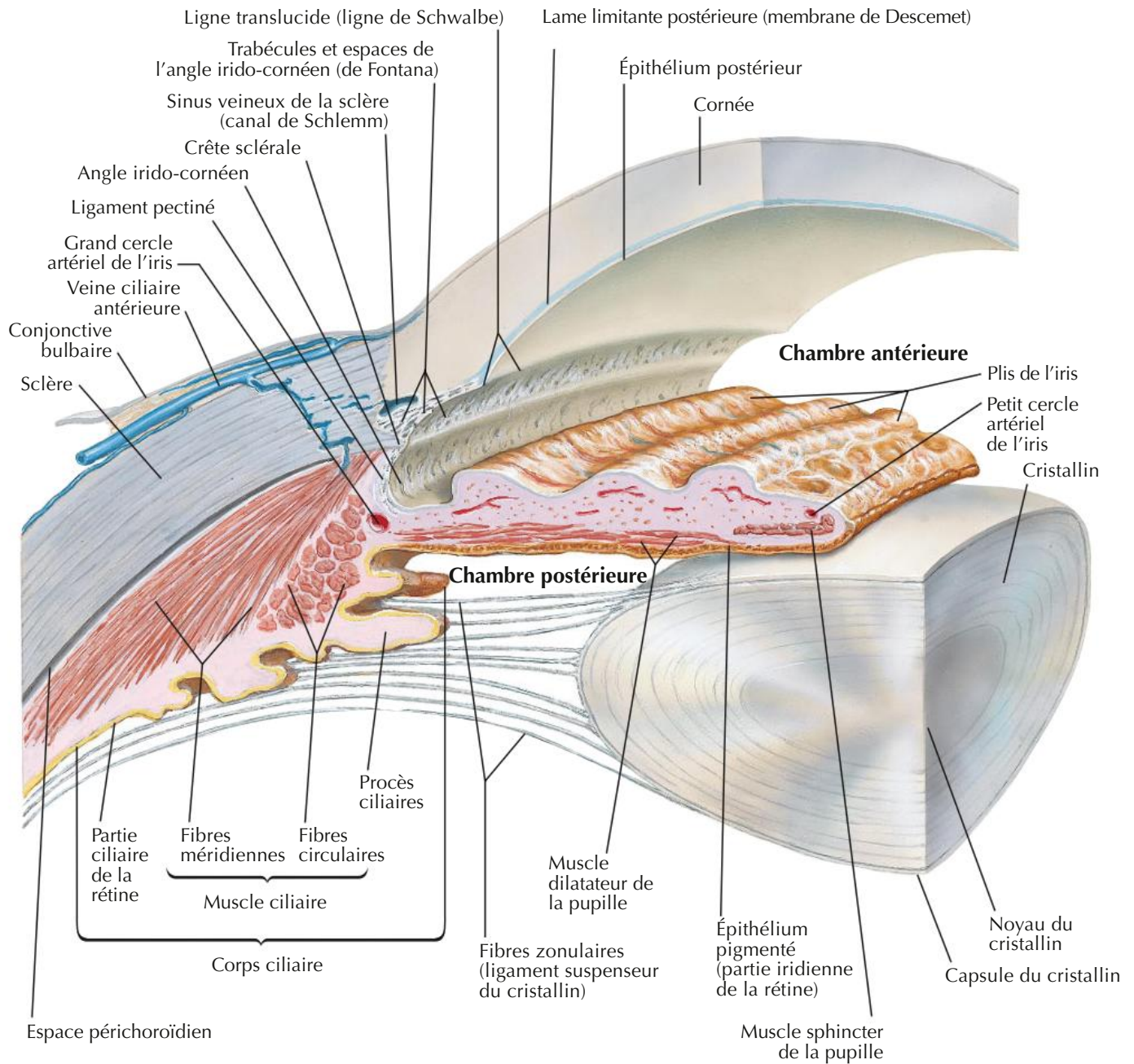


Vue latérale



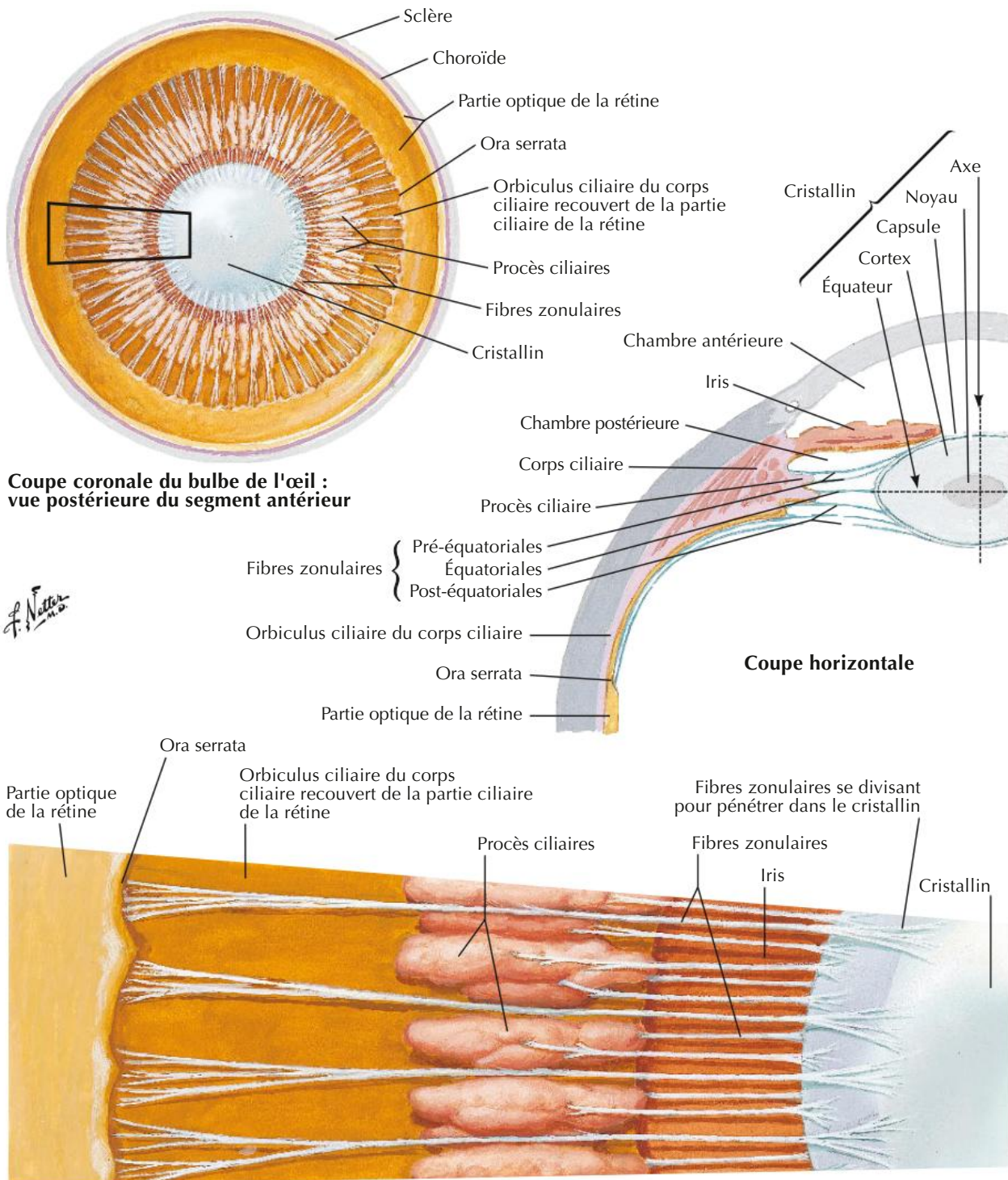


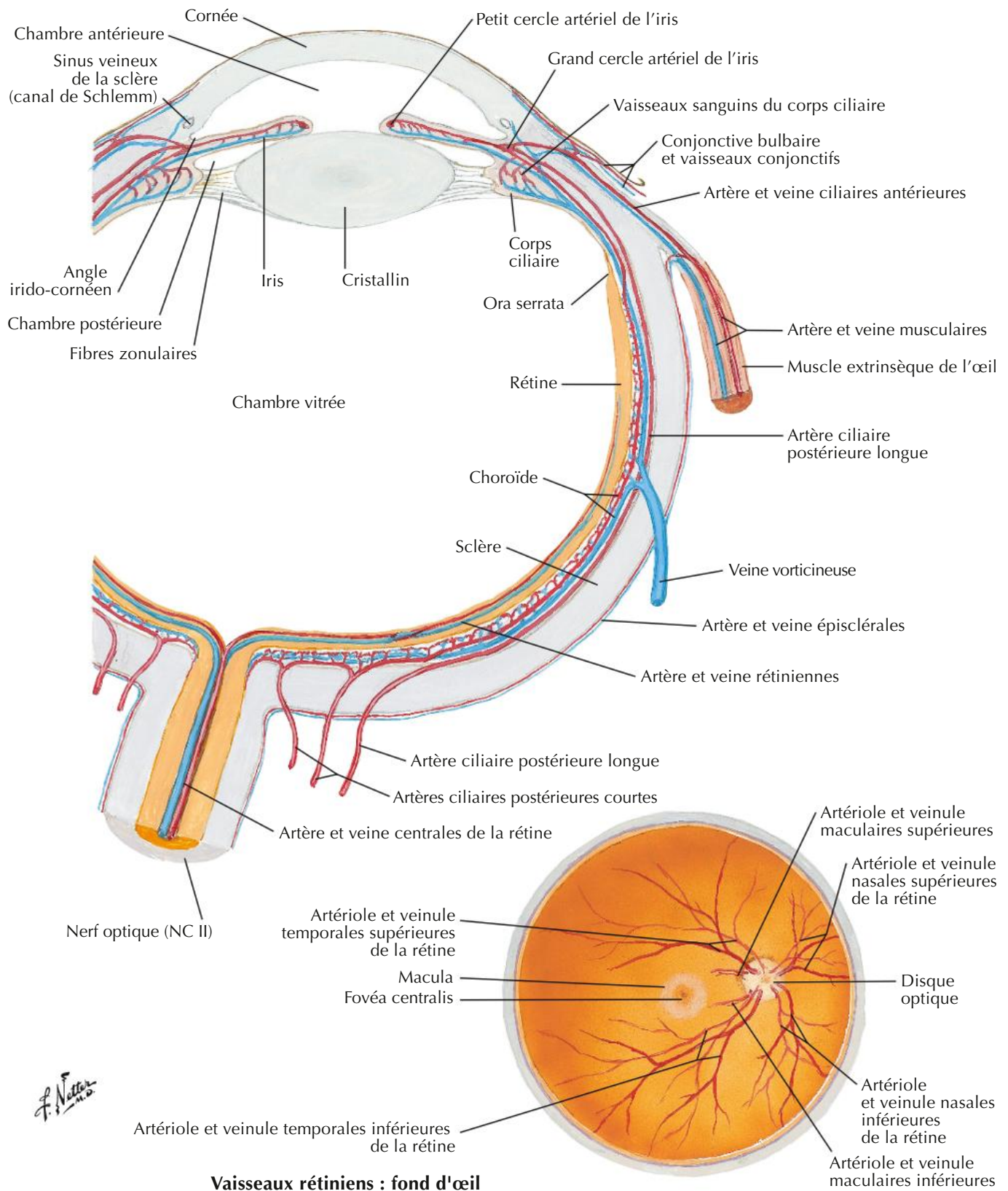
Chambres antérieure et postérieure du bulbe de l'œil



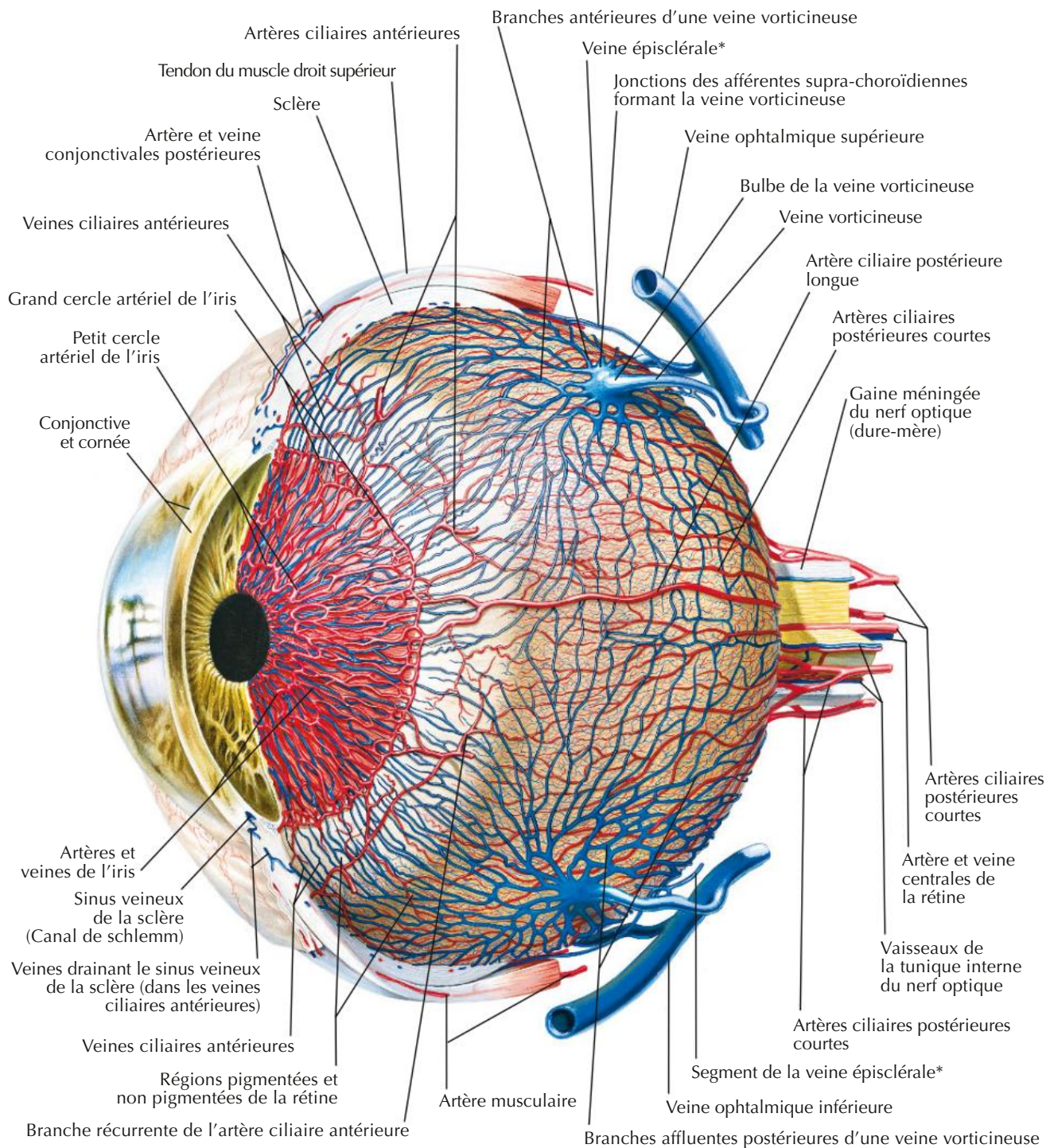
Note : par souci de clarté, il est représenté un seul plan de fibres zonulaires ; en fait, ces fibres entourent complètement l'équateur du cristallin

F. Netter M.D.





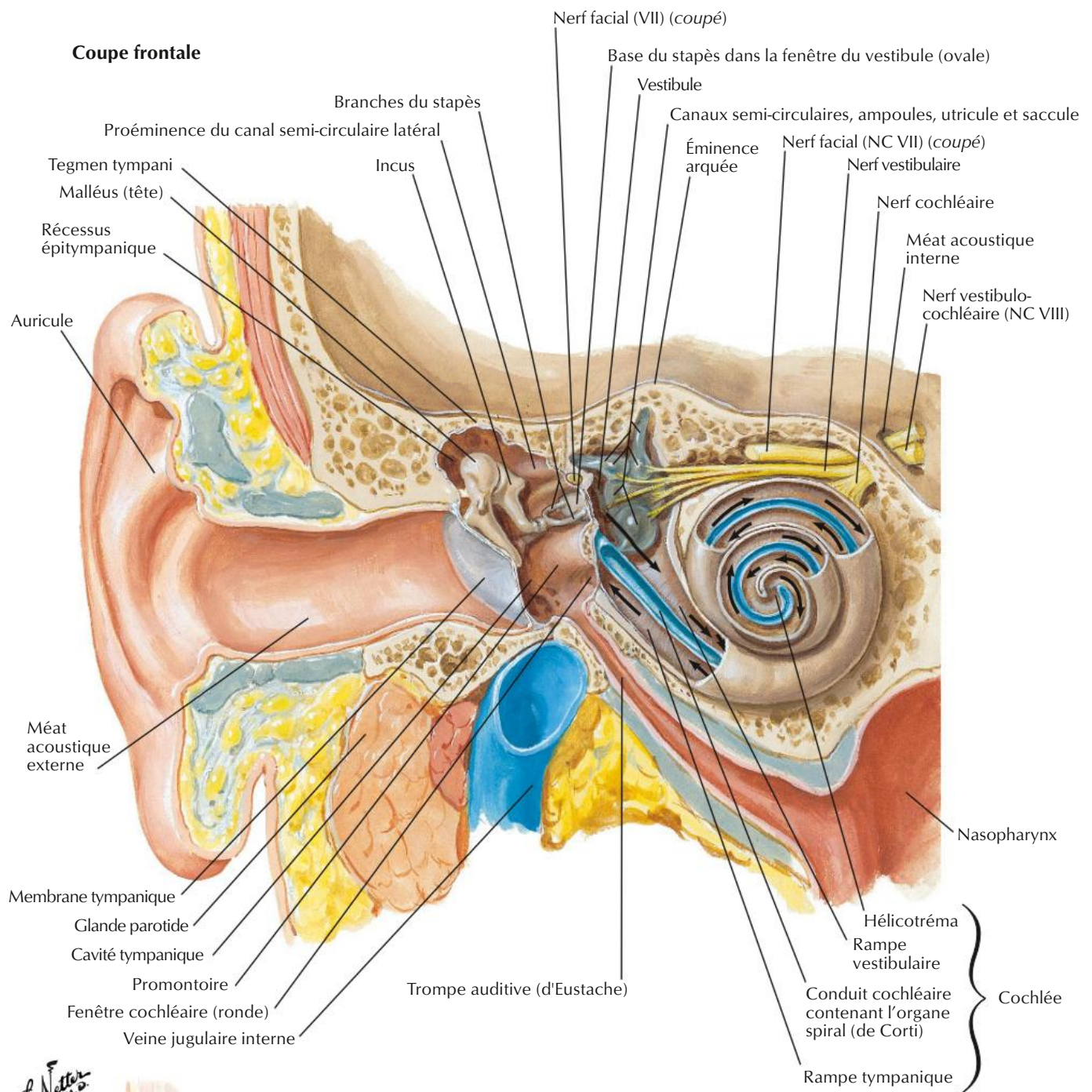
Organisation des vaisseaux à l'intérieur de la choroïde (tunique vasculaire) de l'œil



*Les veines épisclérales sont montrées ici s'anastomosant avec les veines vorticiueuses de façon normale; cependant, elles se drainent aussi dans les veines ciliaires antérieures.

C. Machado
M.D.

Trajet des sons perçus dans la cochlée



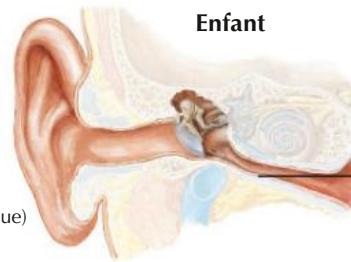
F. Netter M.D.

Adulte

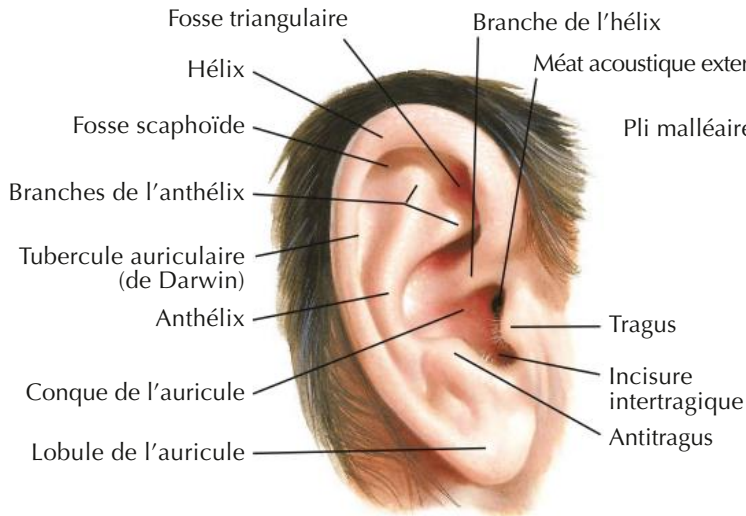
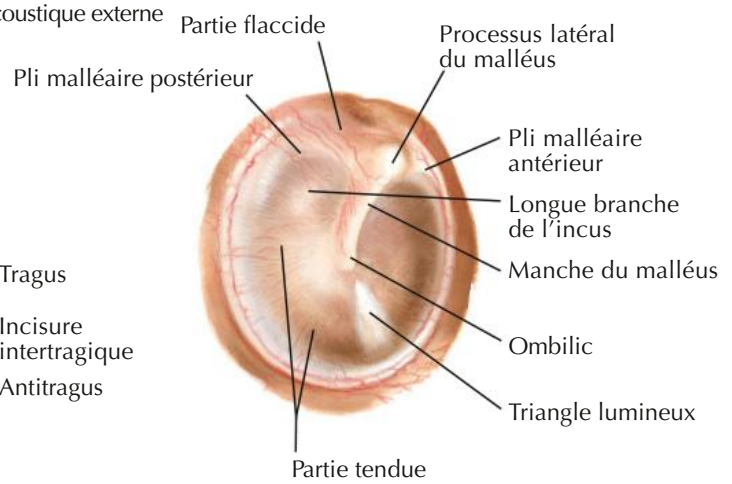
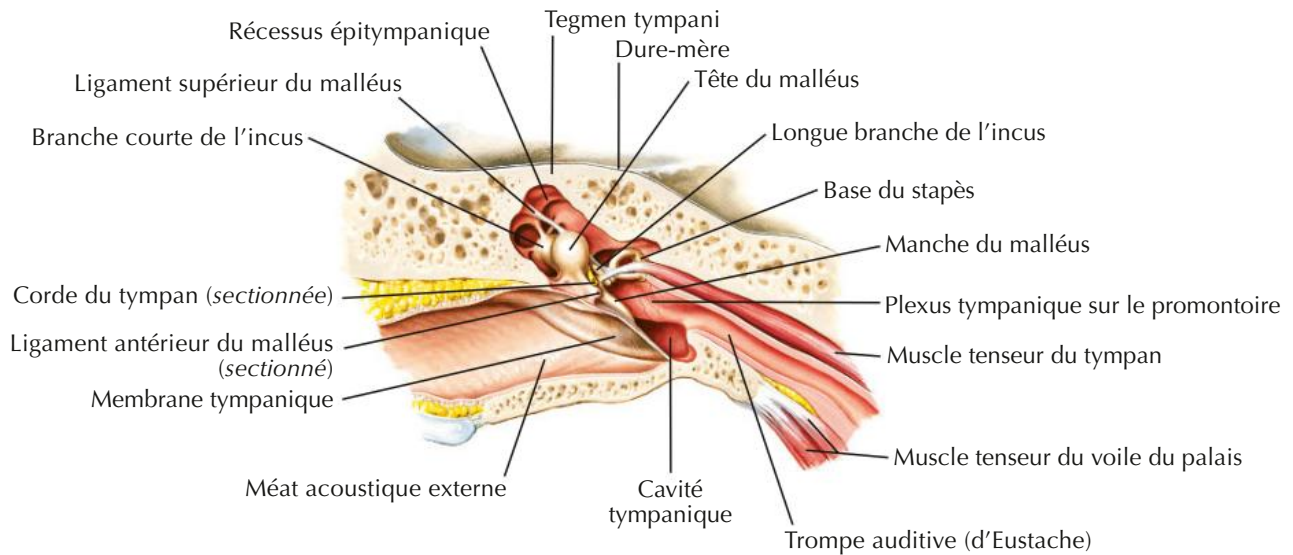
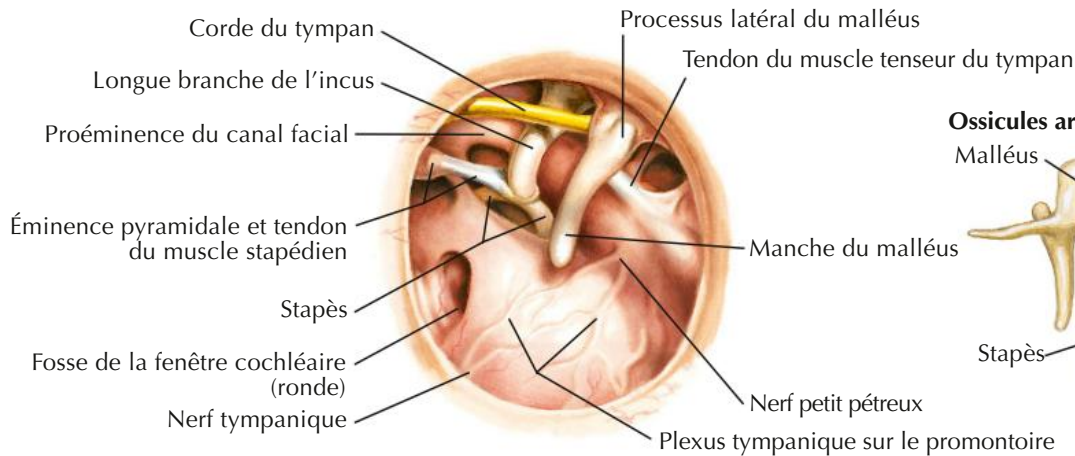
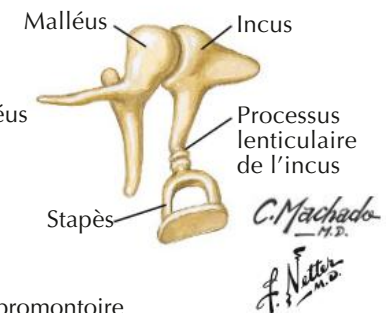


Trompe auditive (pharyngo-tympanique)

Enfant

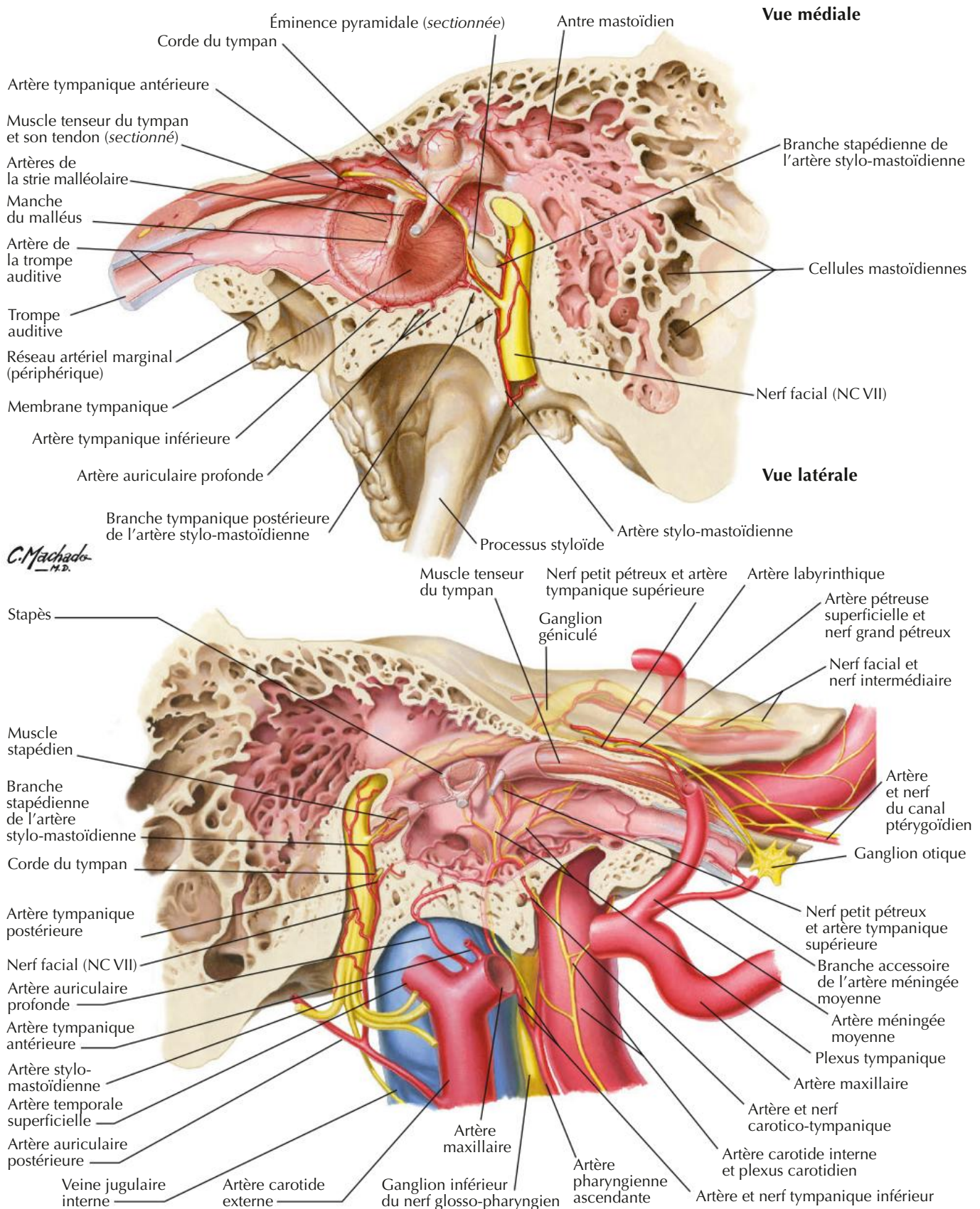


La trompe auditive (pharyngo-tympanique) est plus courte et plus horizontale

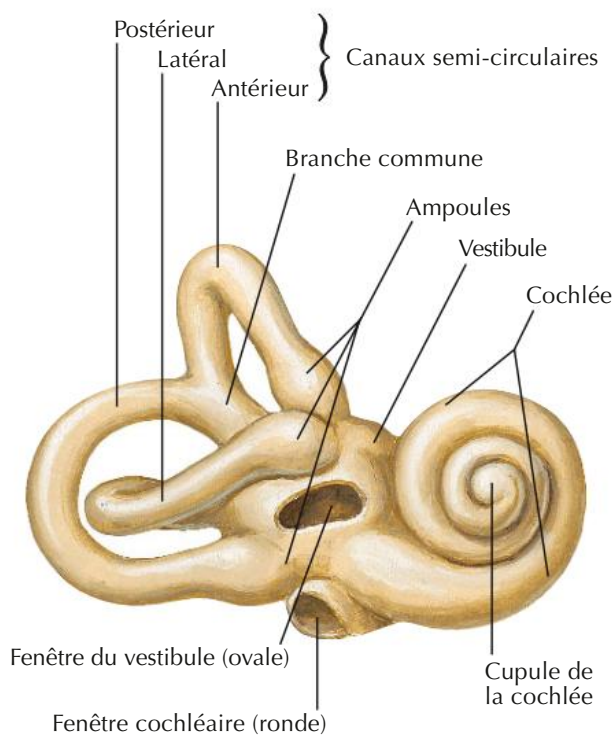
Auricule droit (pavillon)

Vue otoscopique de la membrane tympanique droite

Coupe coronale oblique du méat acoustique externe et de l'oreille moyenne (cavité tympanique)

Cavité tympanique droite après ablation de la membrane tympanique (vue latérale)

Ossicules articulés : vue médiale


Cavité tympanique

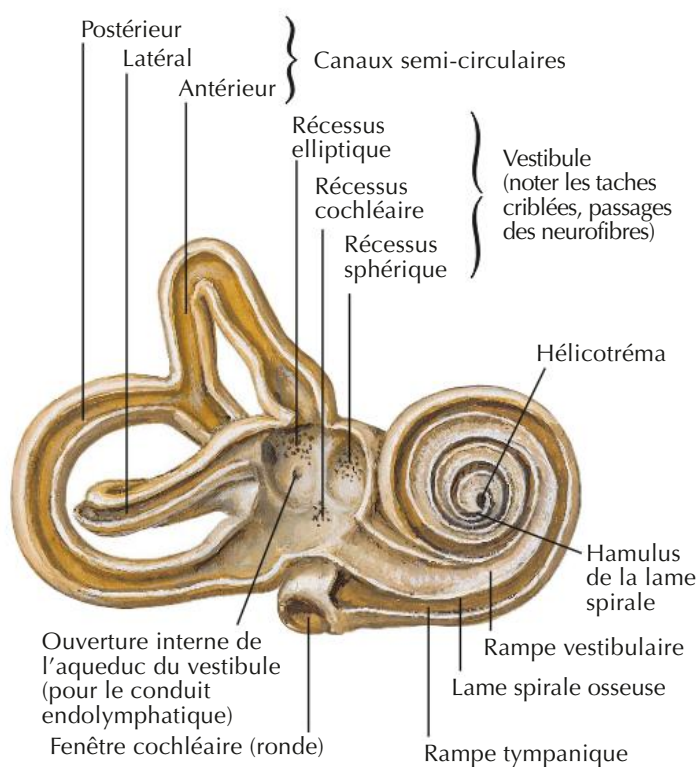
Voir aussi Planches 59, 146



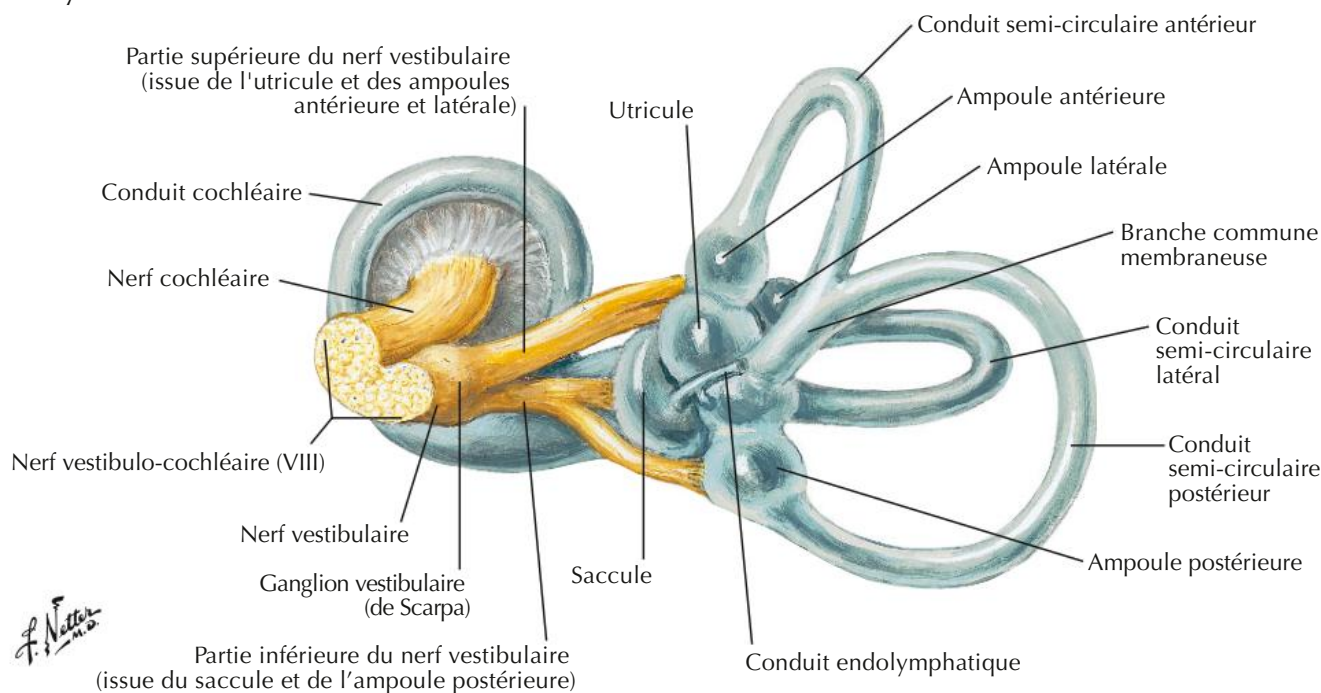
**Labyrinthe osseux droit (capsule otique),
vue antéro-latérale : après ablation de l'os environnant**



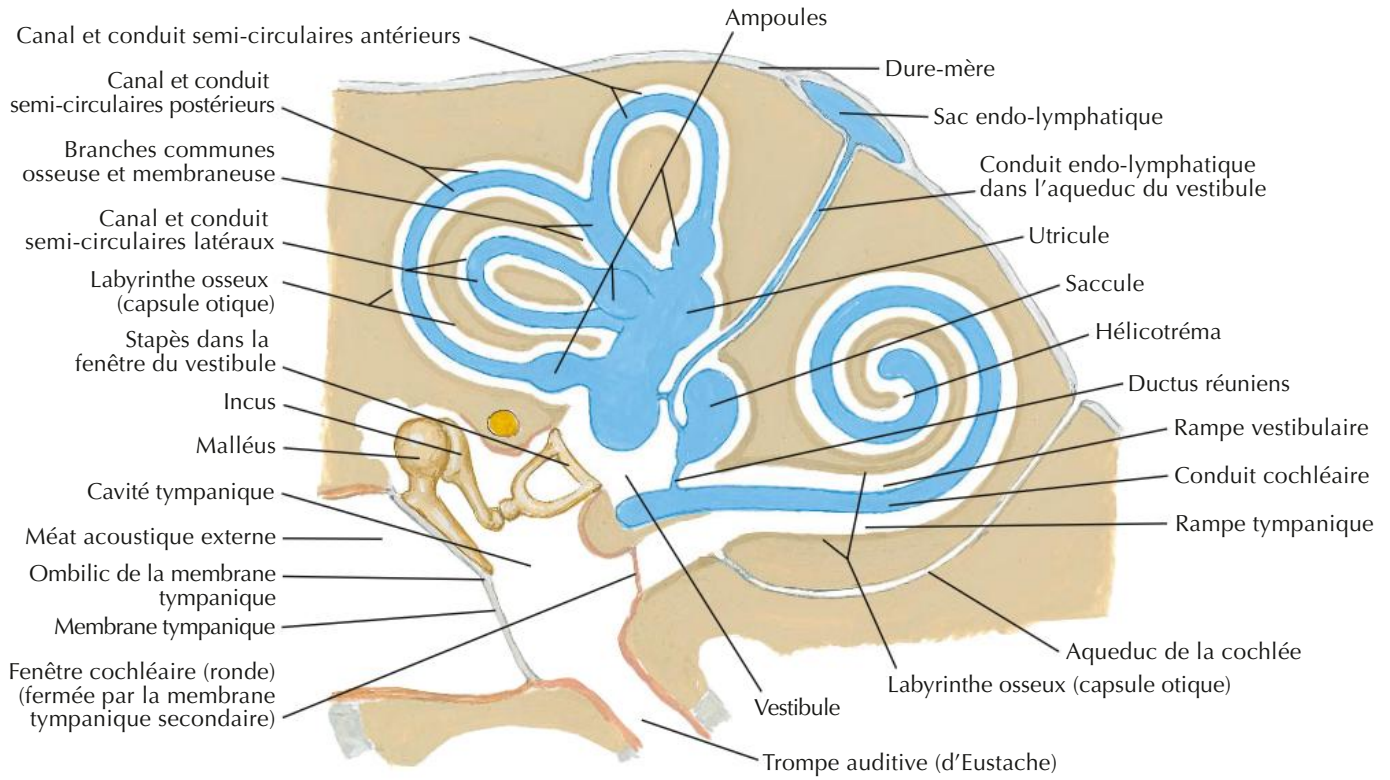
**Labyrinthe osseux droit (capsule otique) disséqué :
labyrinthe membraneux ôté**



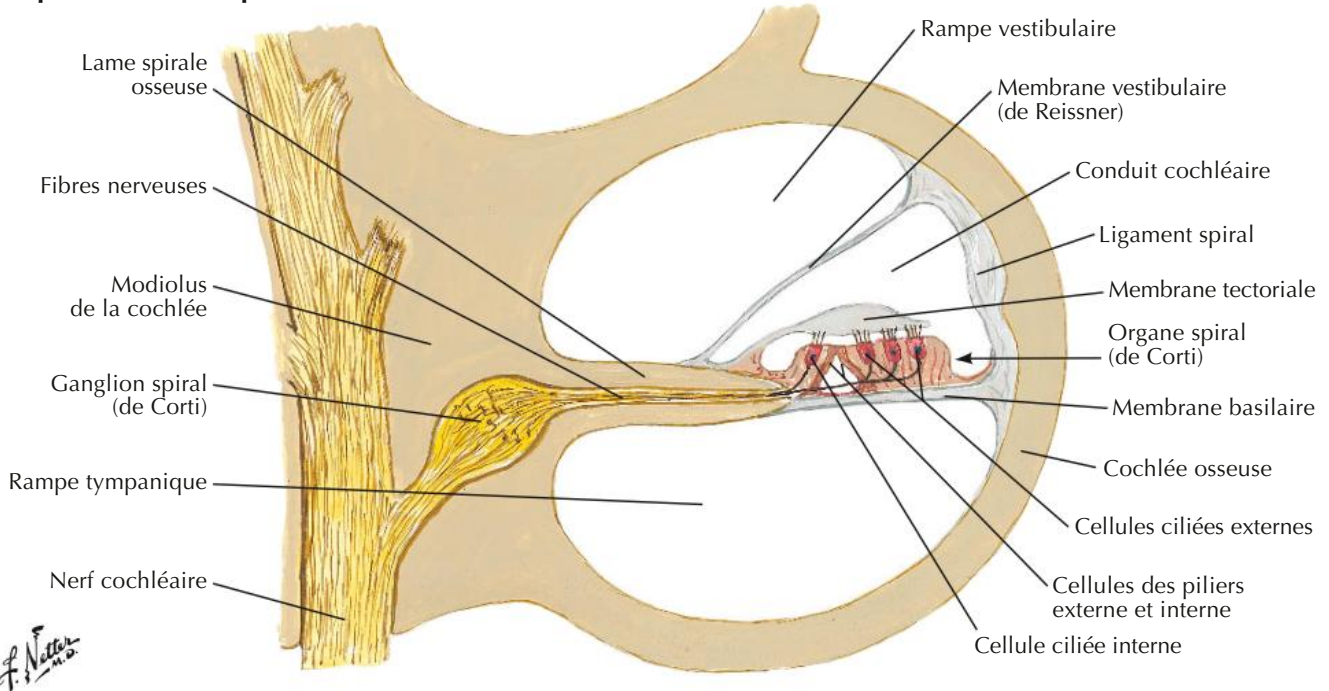
Labyrinthe membraneux droit avec ses nerfs : vue médiale



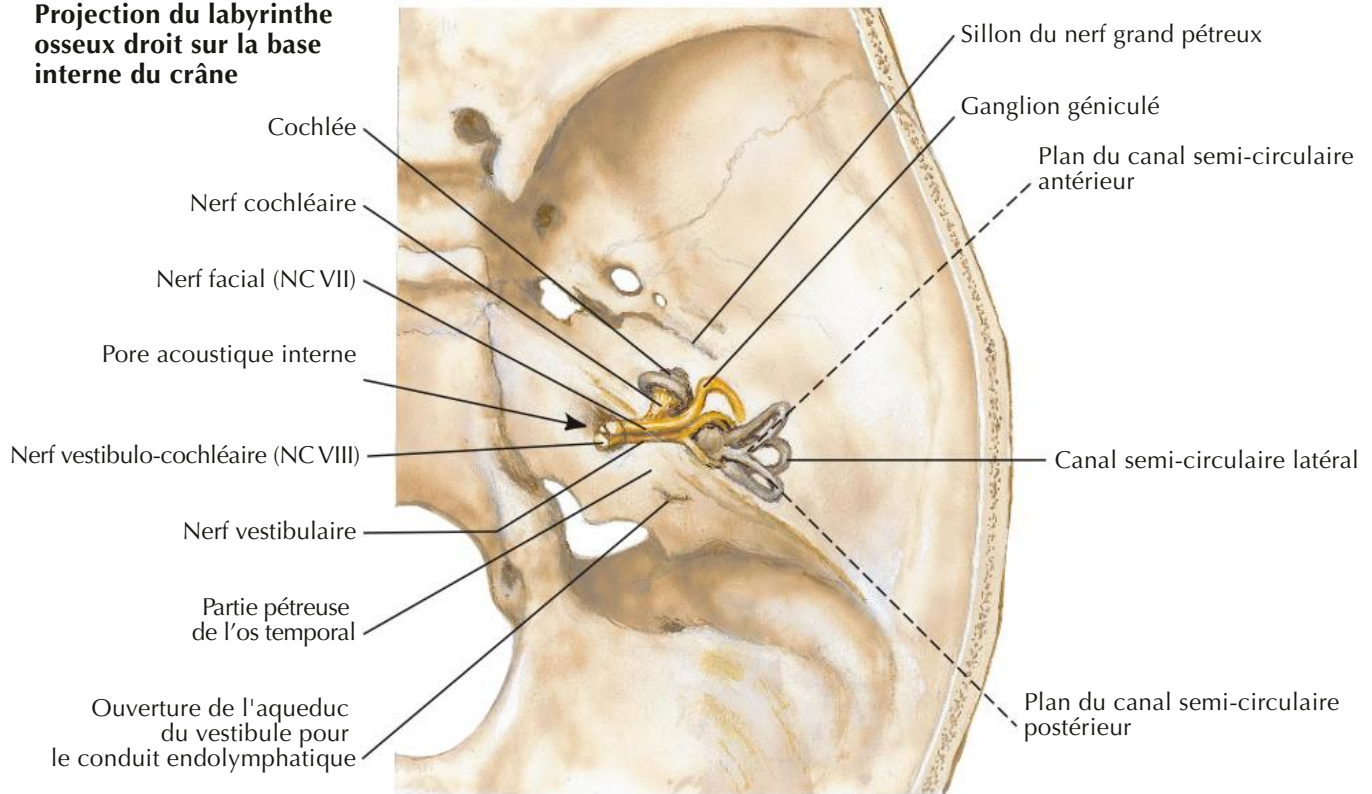
Labyrinthes osseux et membraneux : schéma



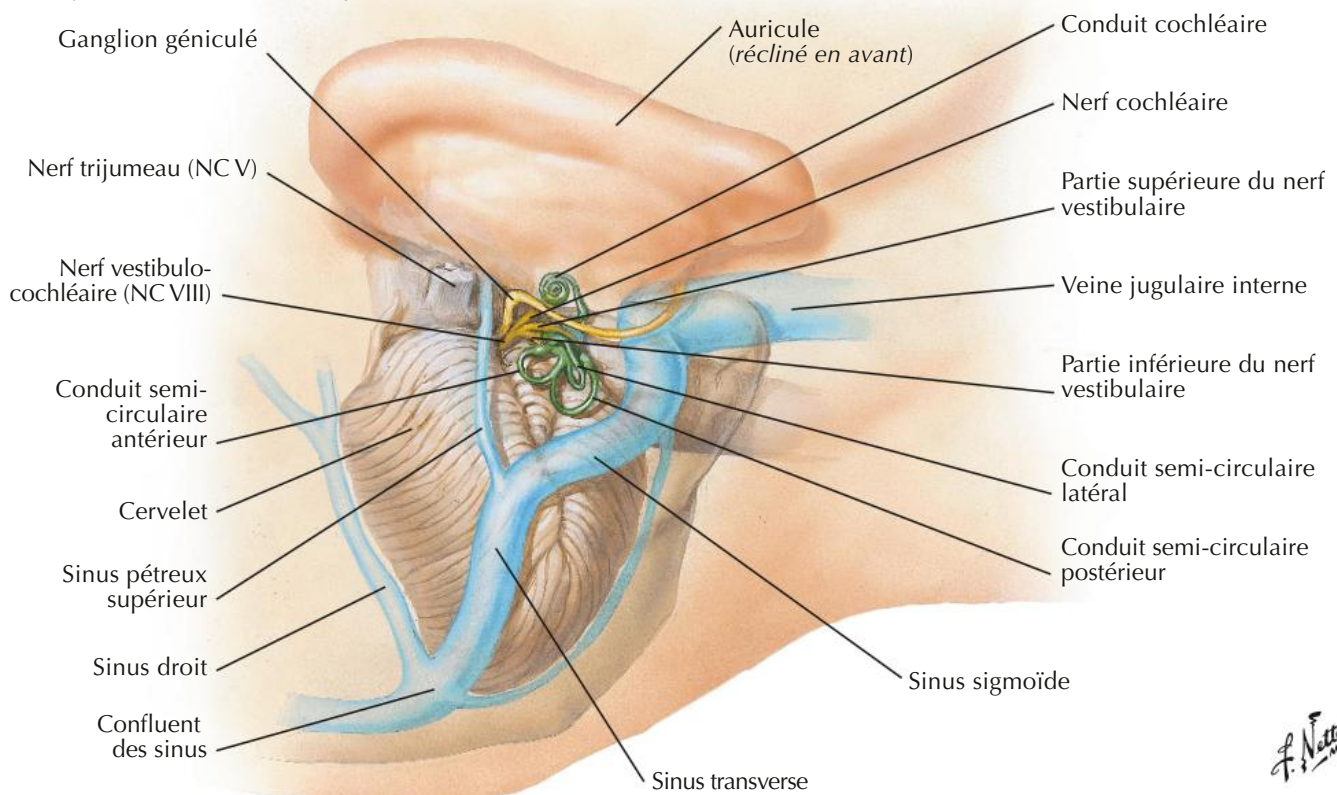
Coupe à travers une spire de la cochlée



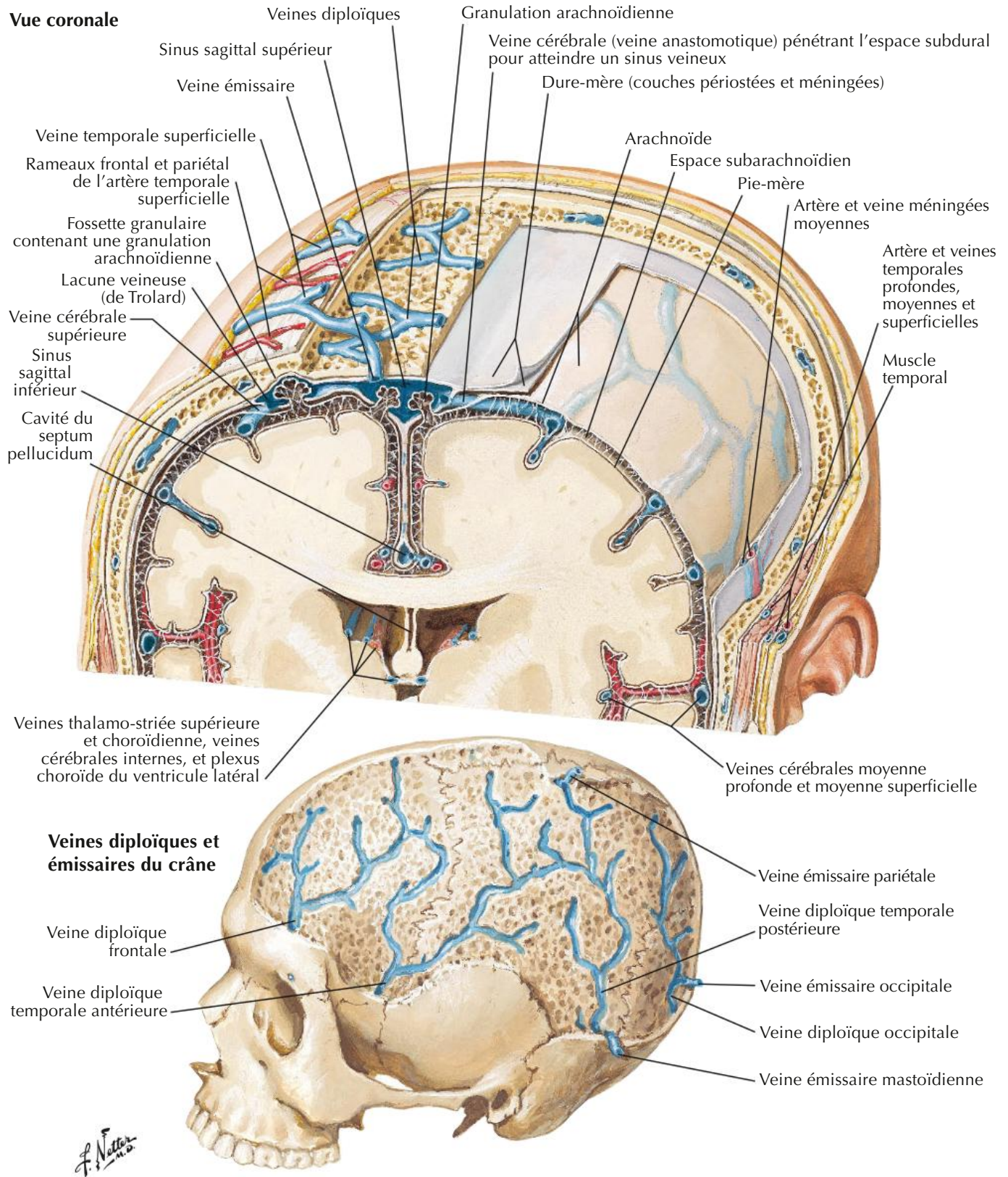
Projection du labyrinthe osseux droit sur la base interne du crâne

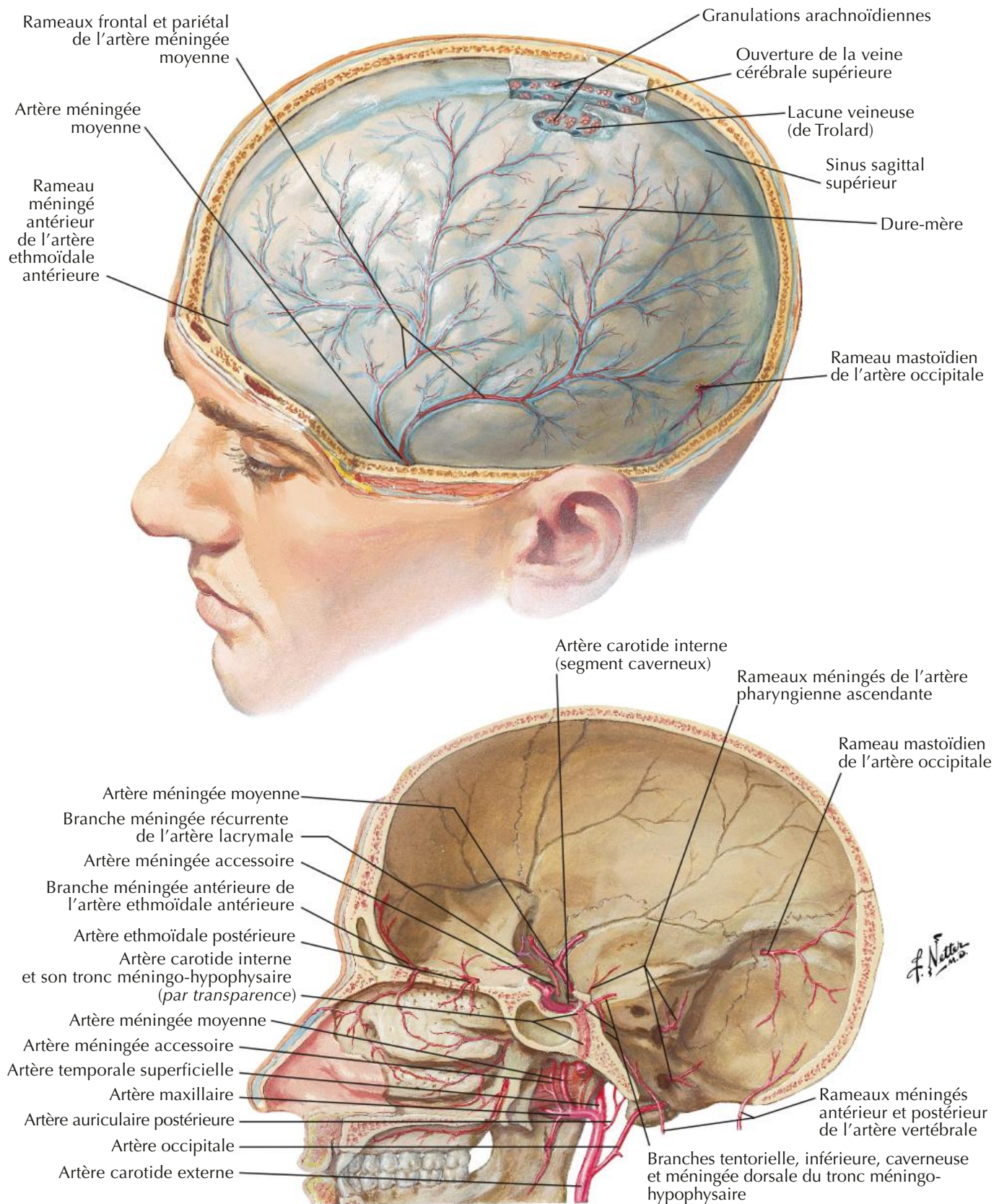


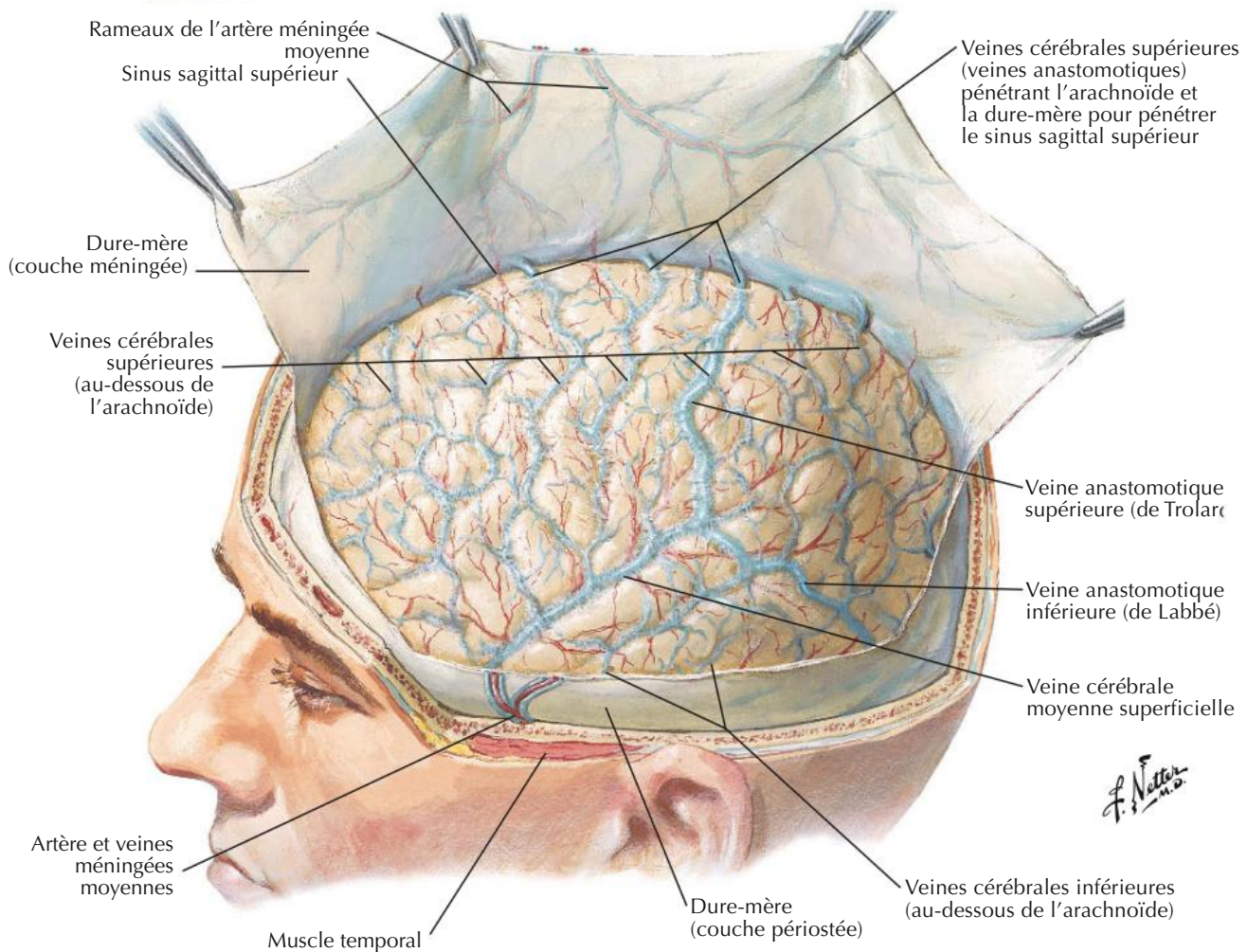
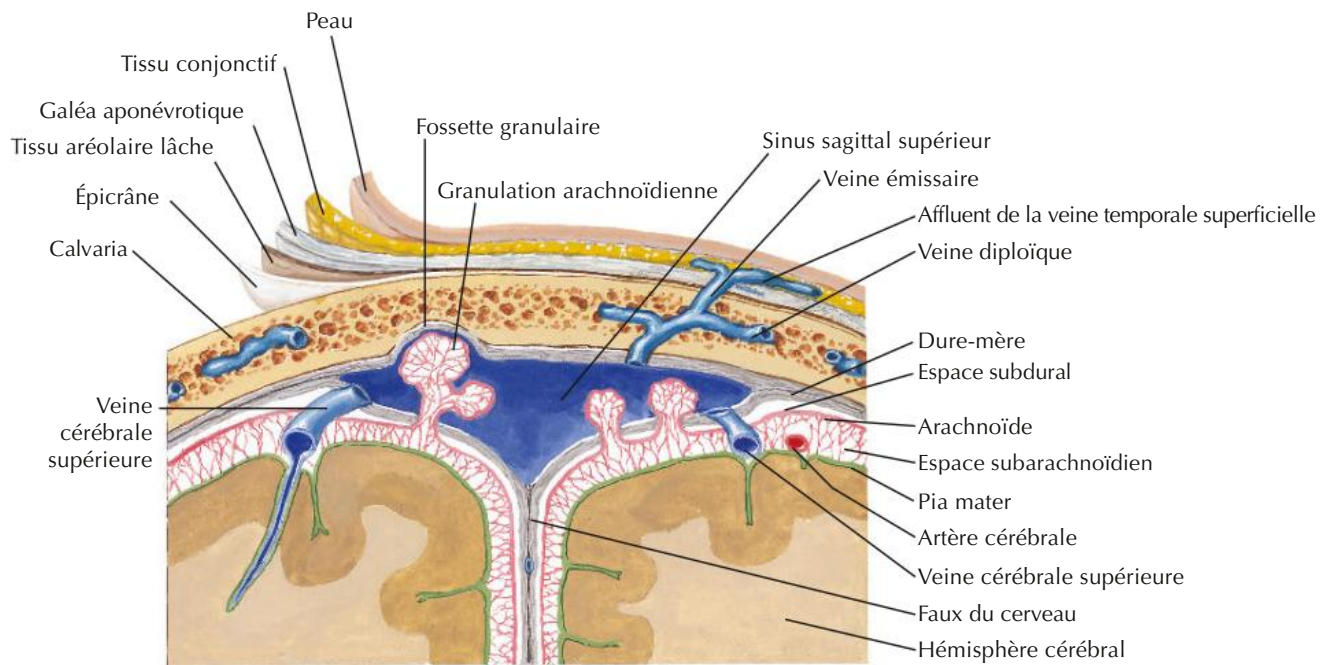
Projection latérale du labyrinthe membraneux droit

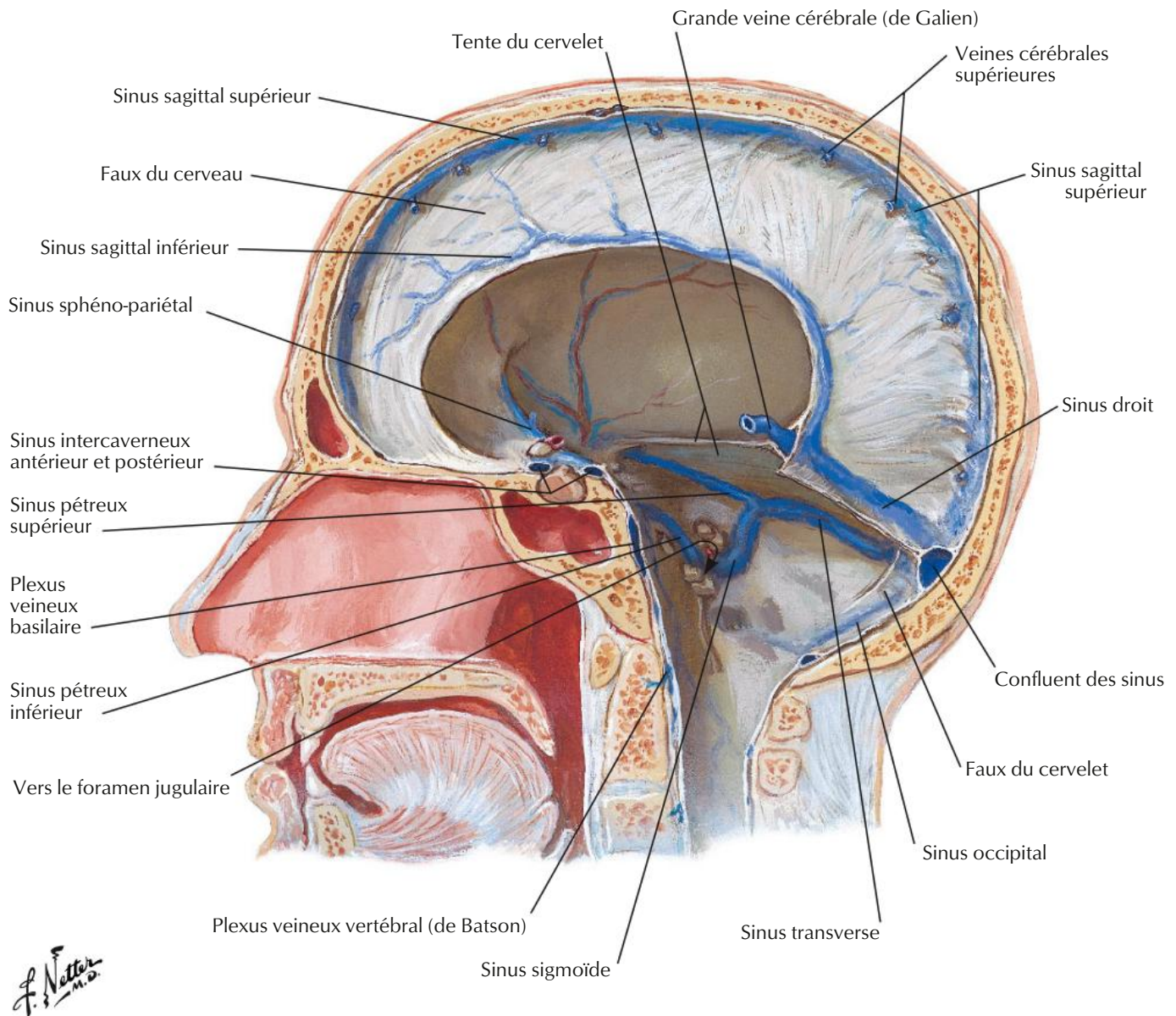


F. Netter M.D.

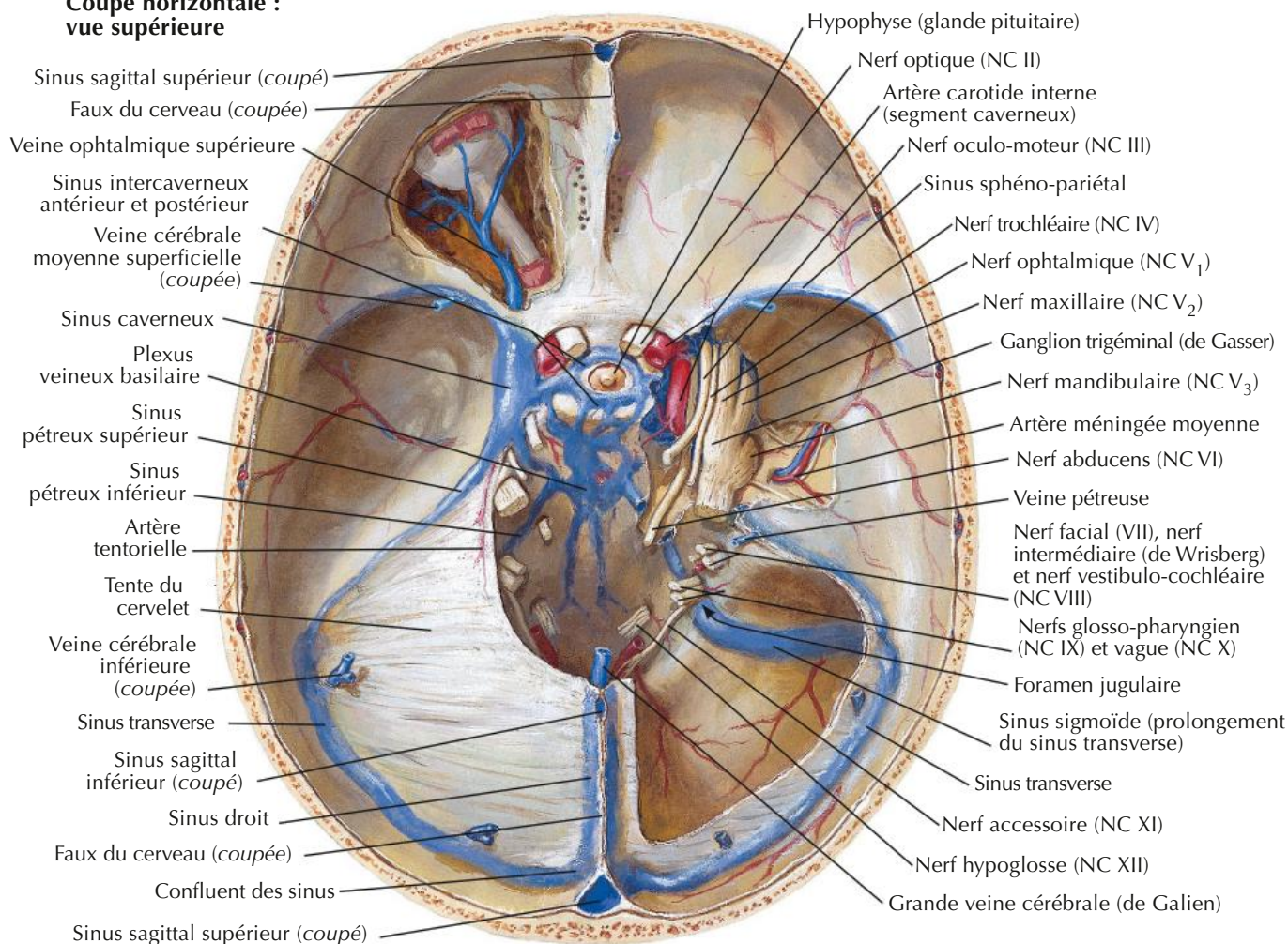




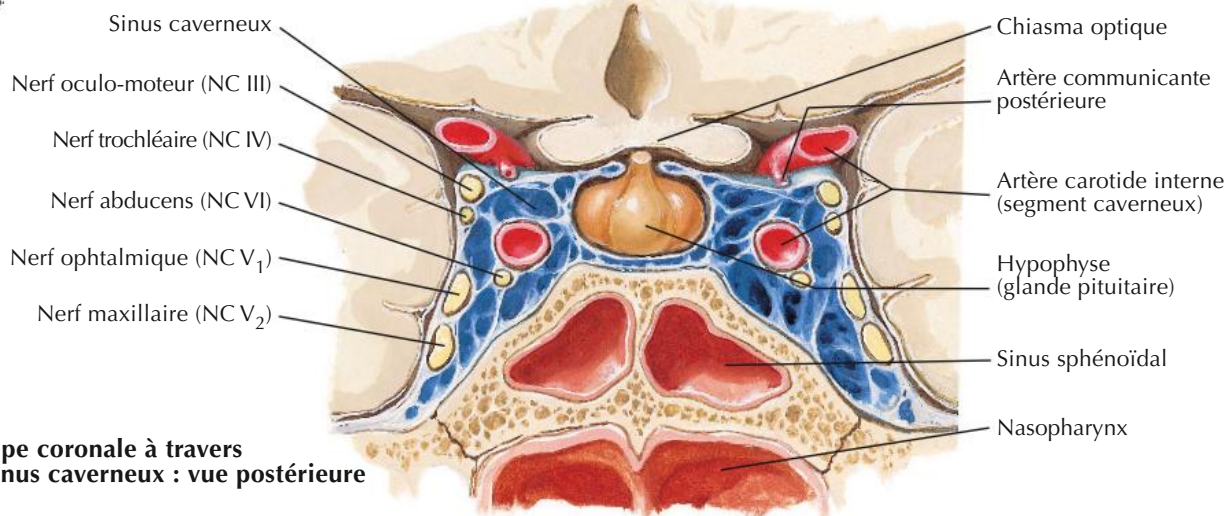




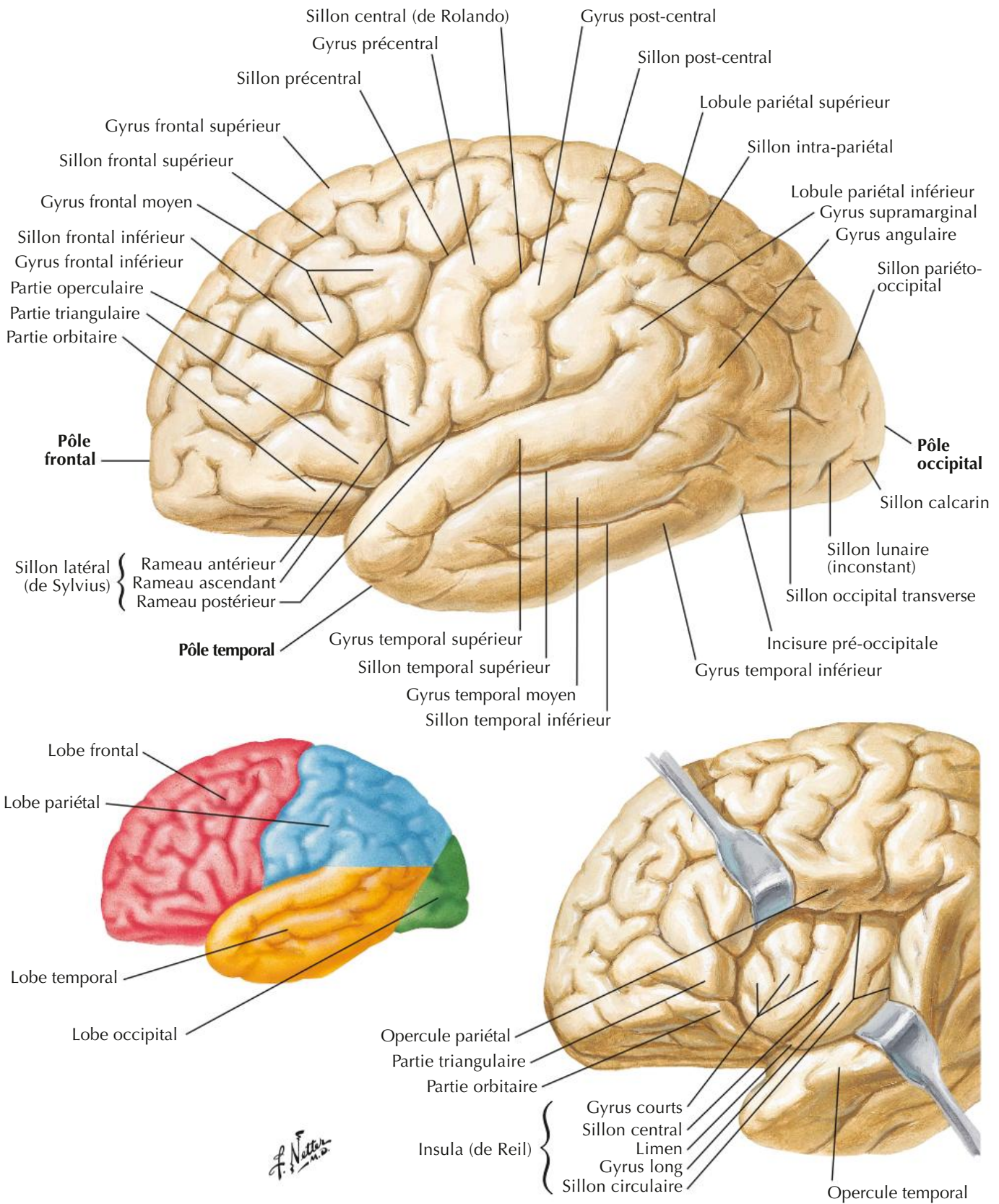
Coupe horizontale : vue supérieure

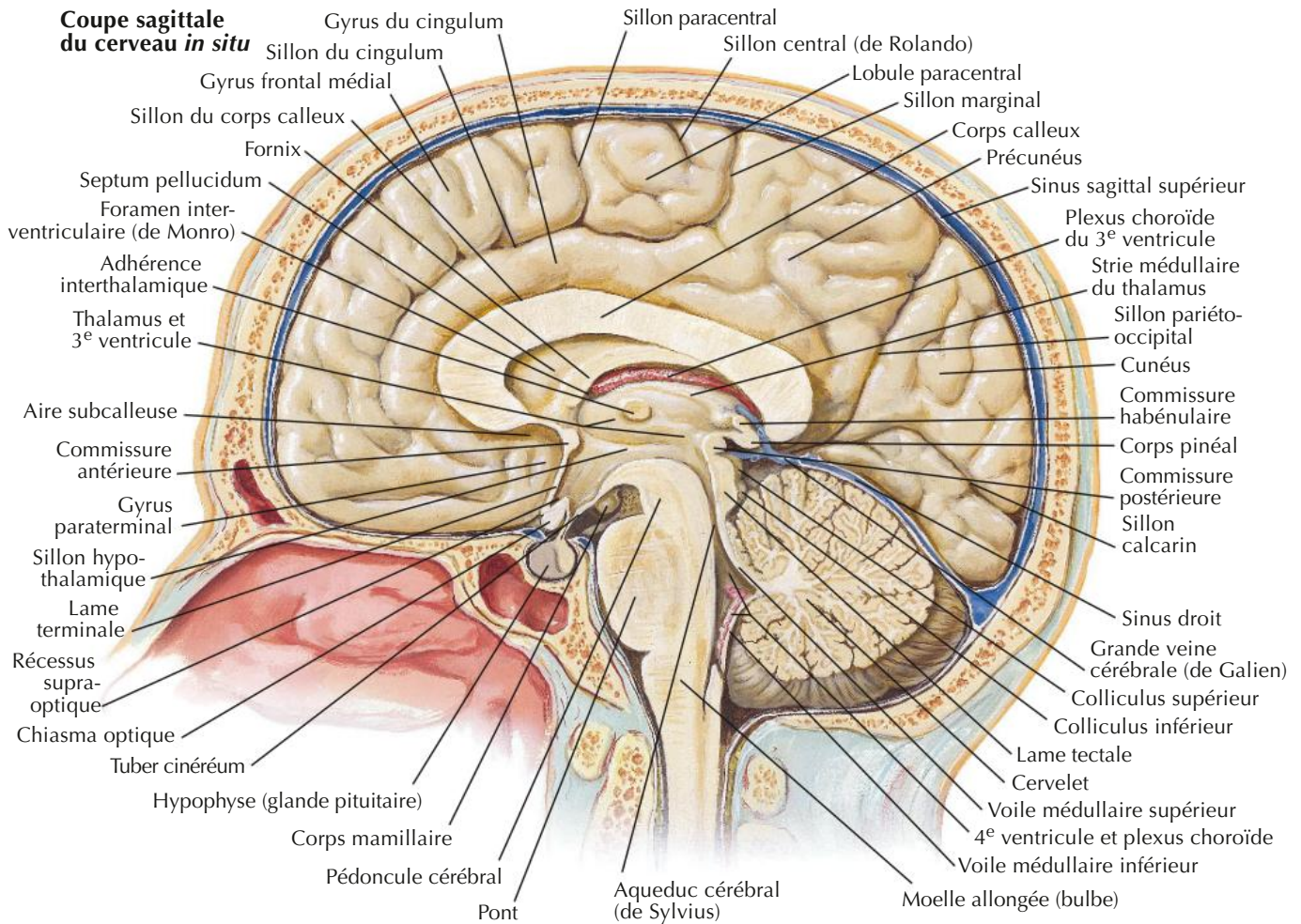


F. Netter M.D.

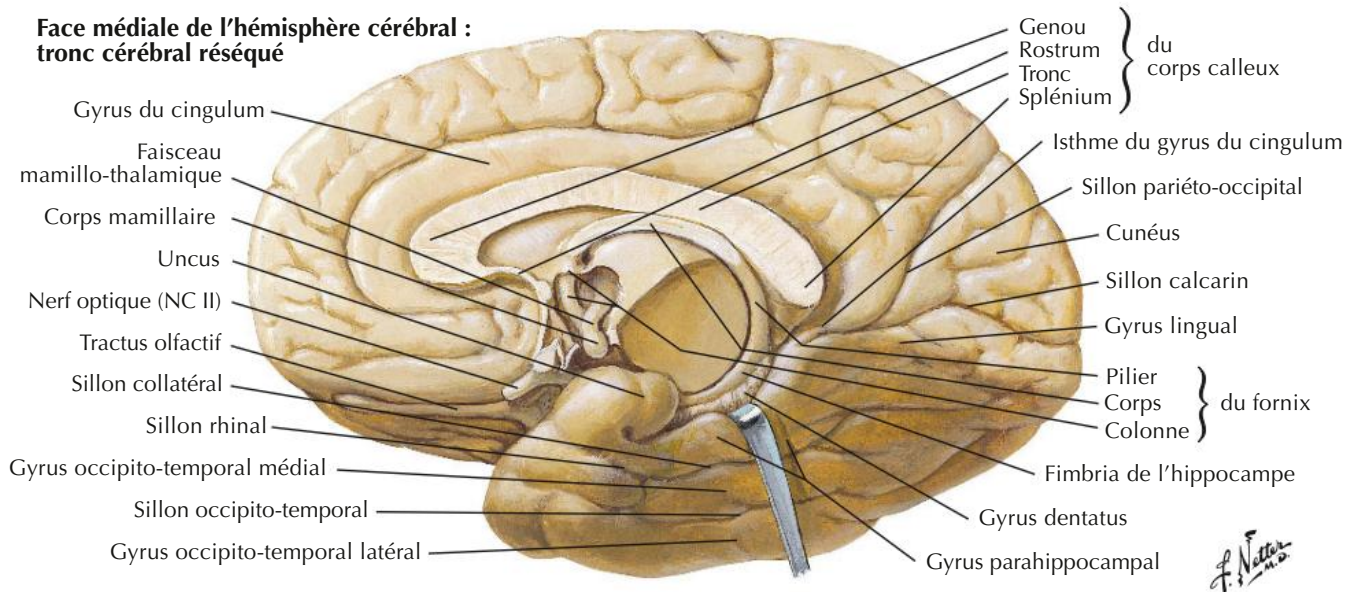


Coupe coronale à travers le sinus caverneux : vue postérieure



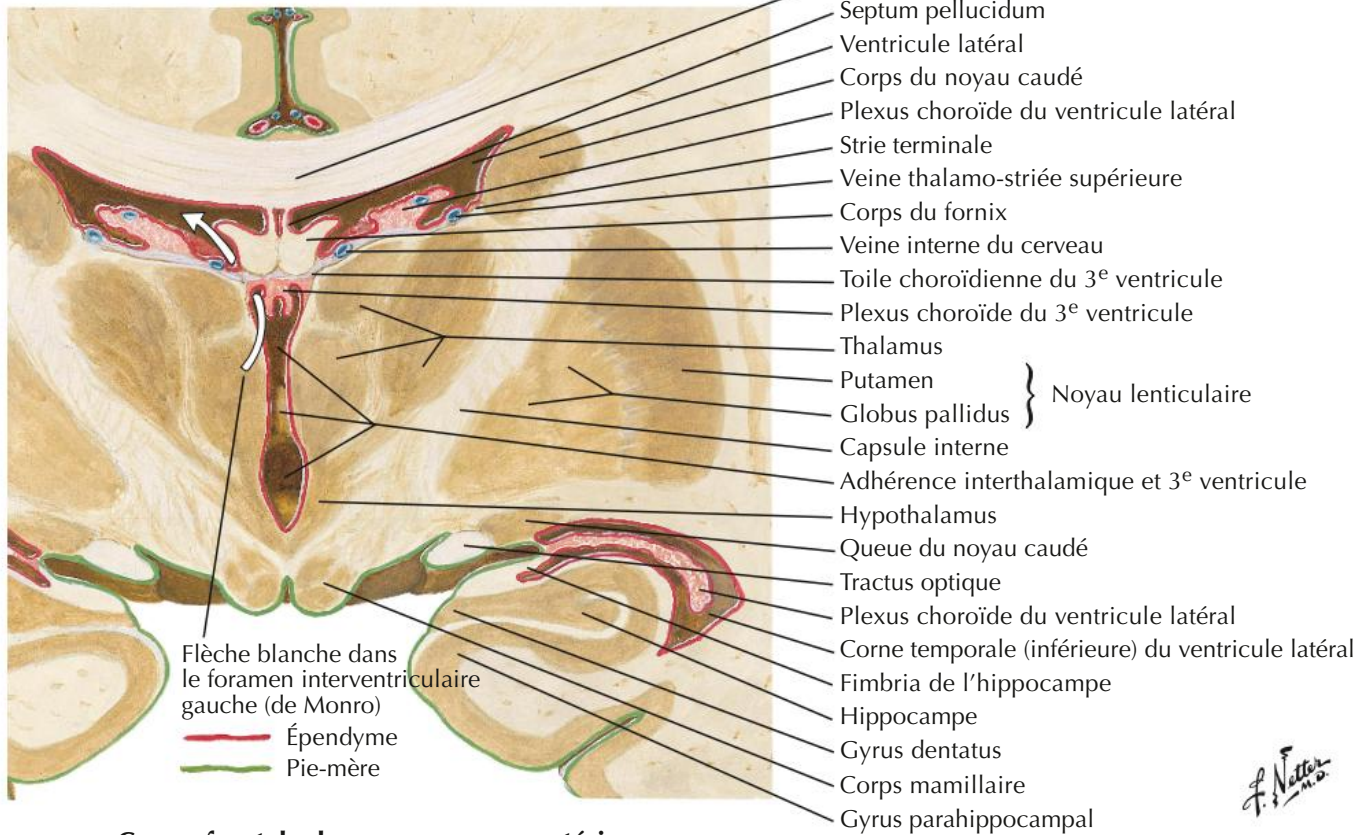
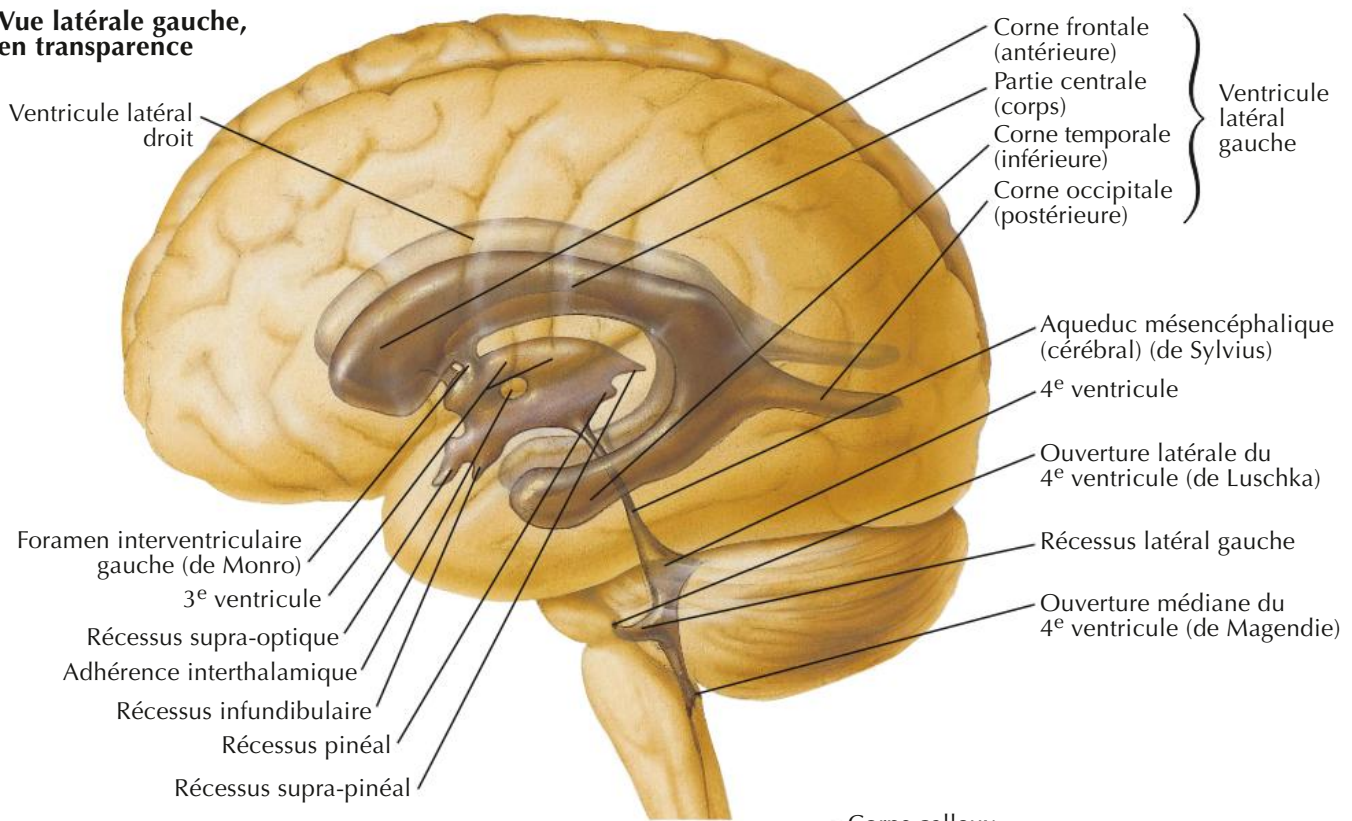


Face médiale de l'hémisphère cérébral : tronc cérébral réséqué

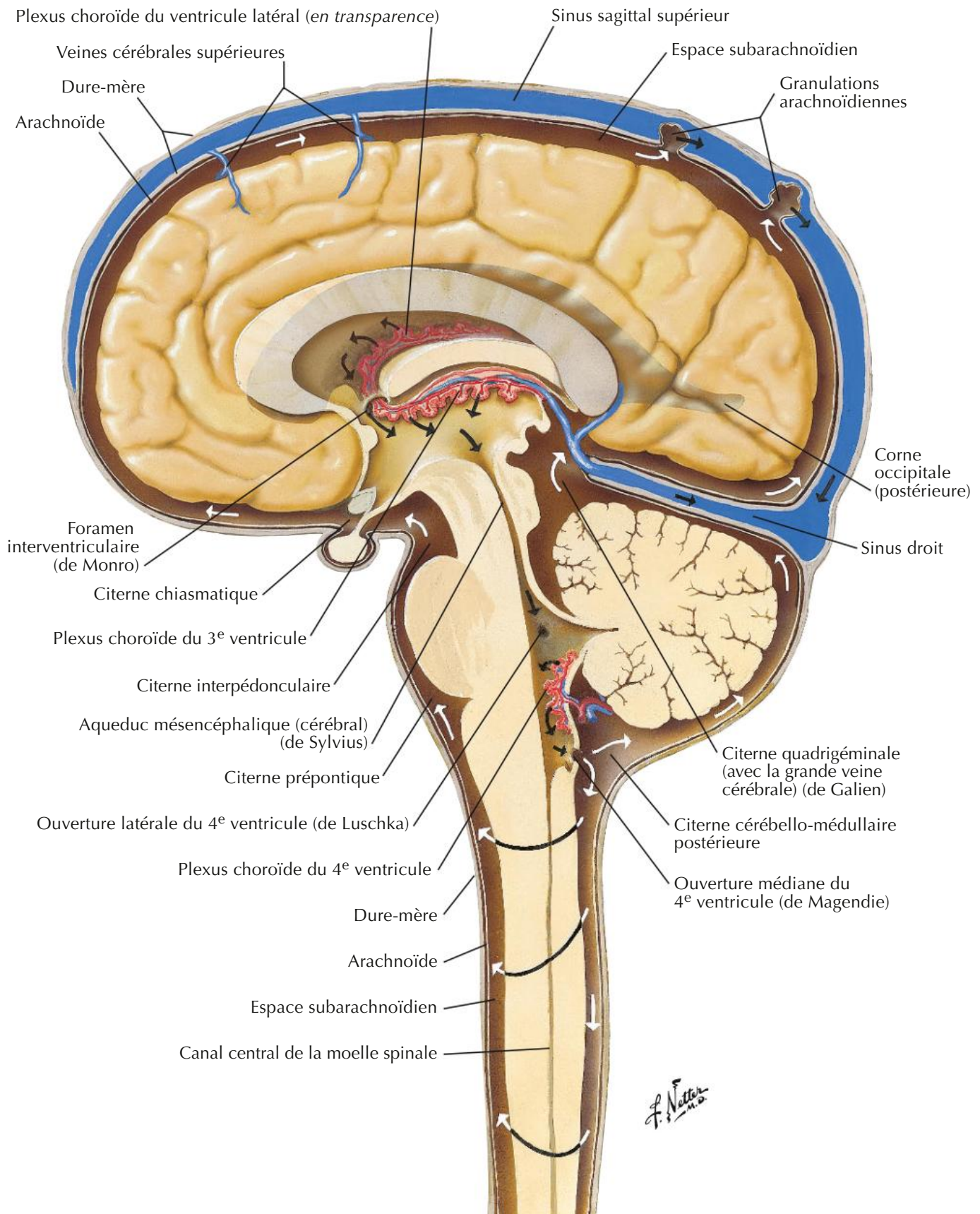


Ventricules de l'encéphale

Vue latérale gauche, en transparence

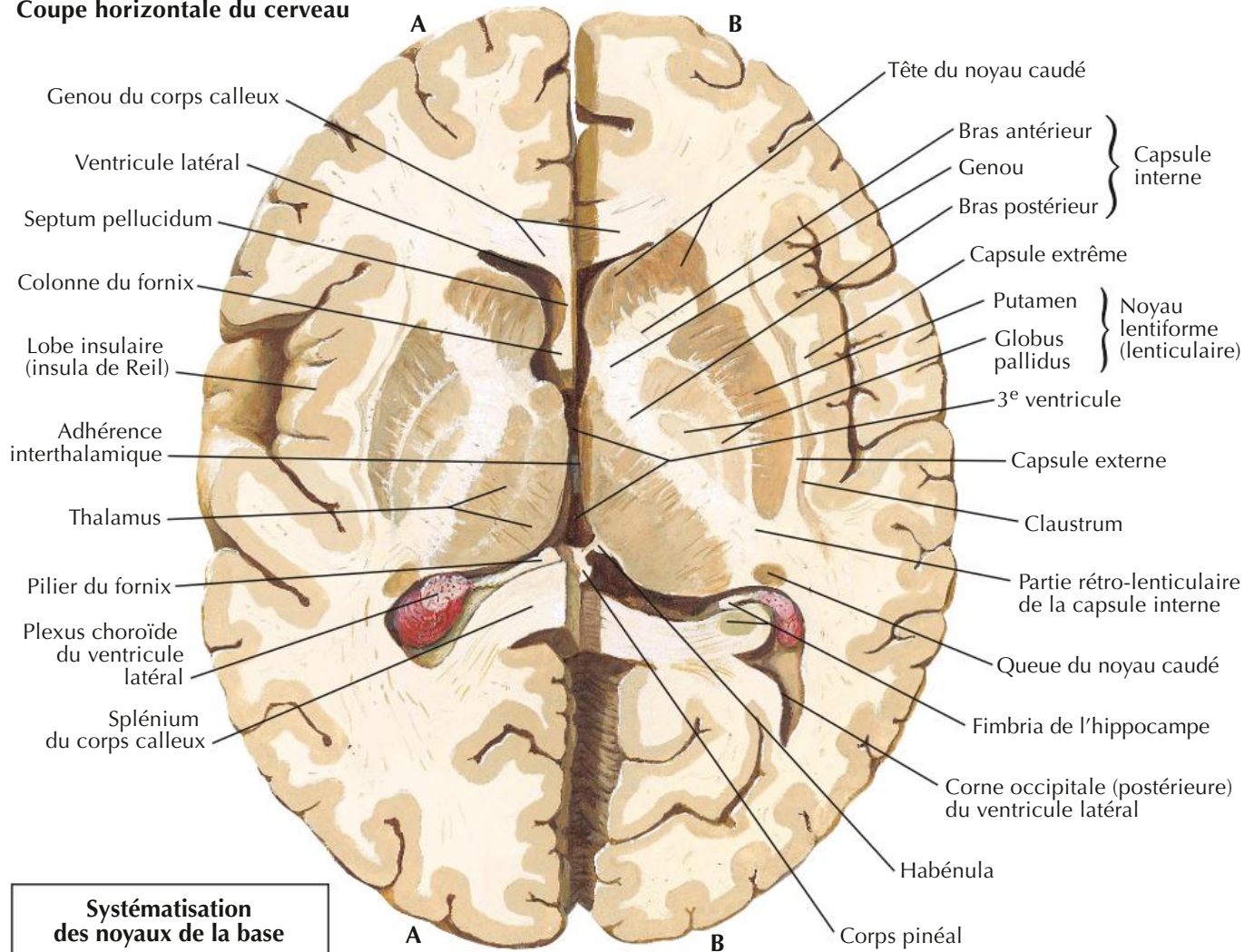


Coupe frontale du cerveau : vue postérieure

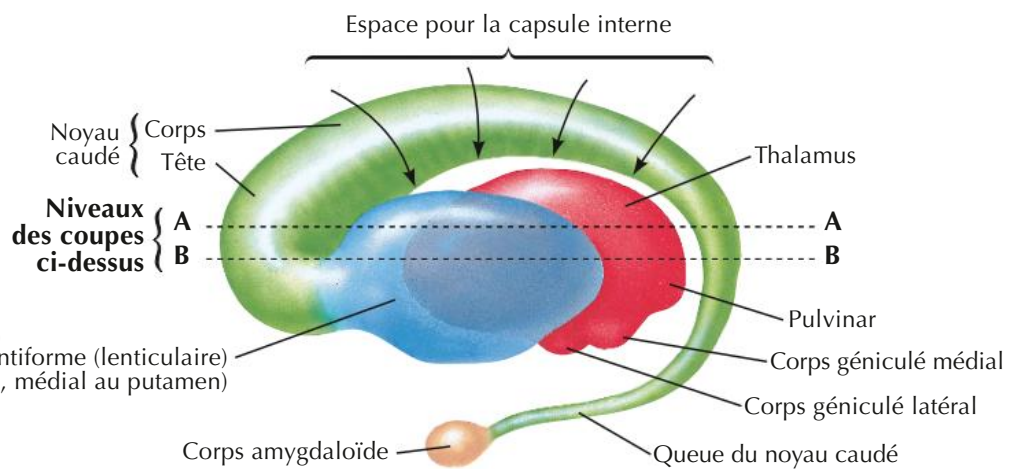
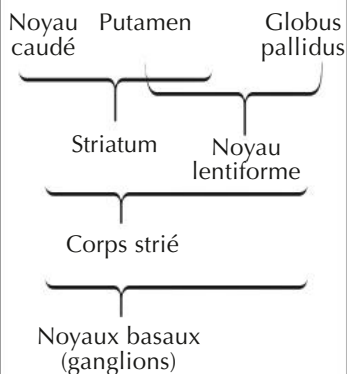


Noyaux basaux du cerveau (ganglions)

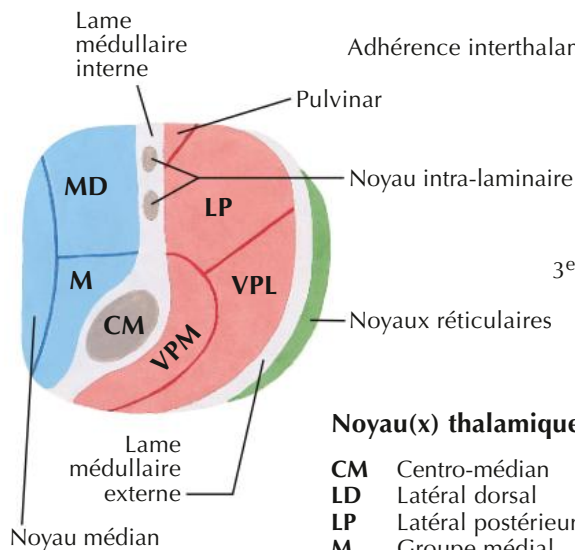
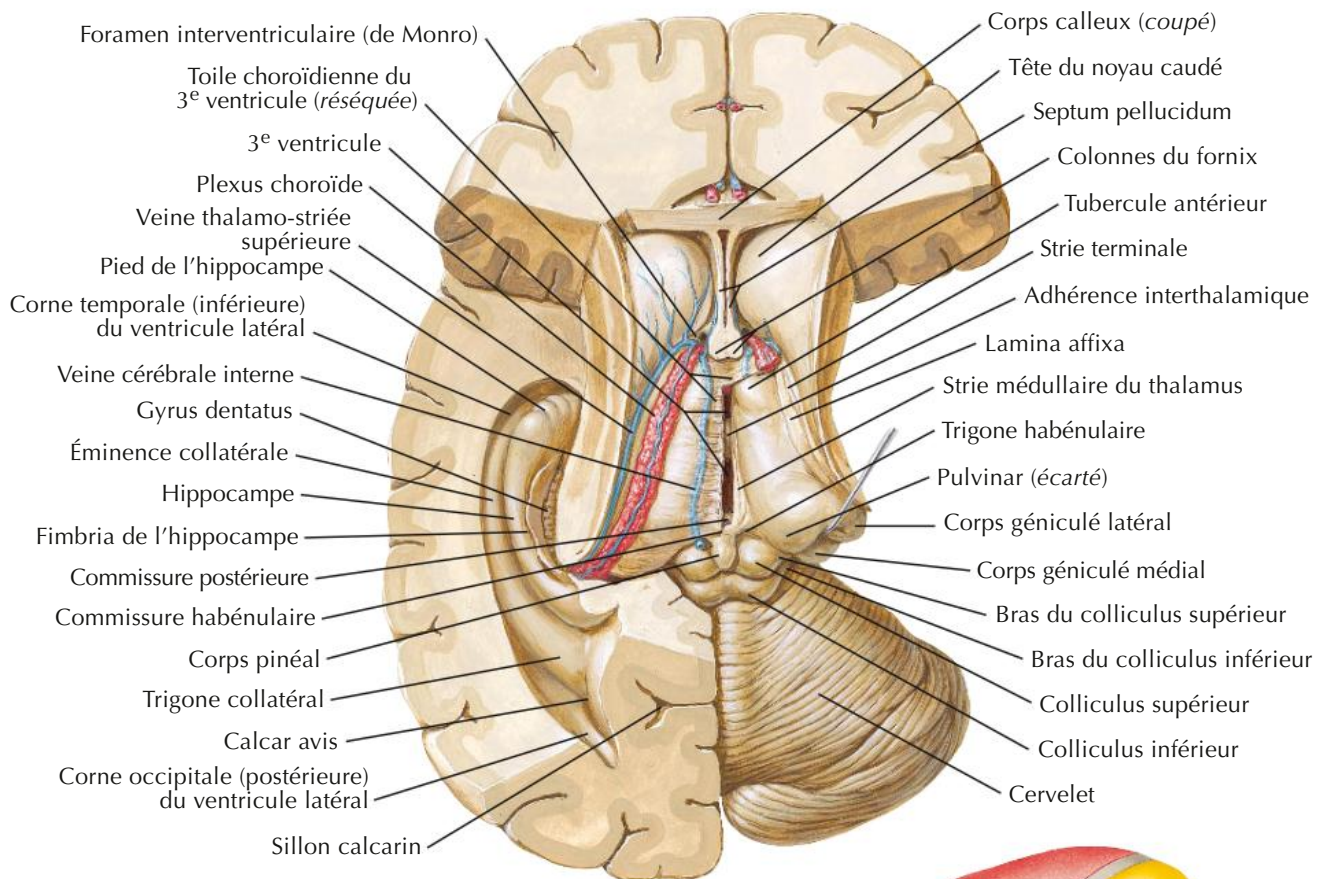
Coupe horizontale du cerveau



Syst matisation des noyaux de la base



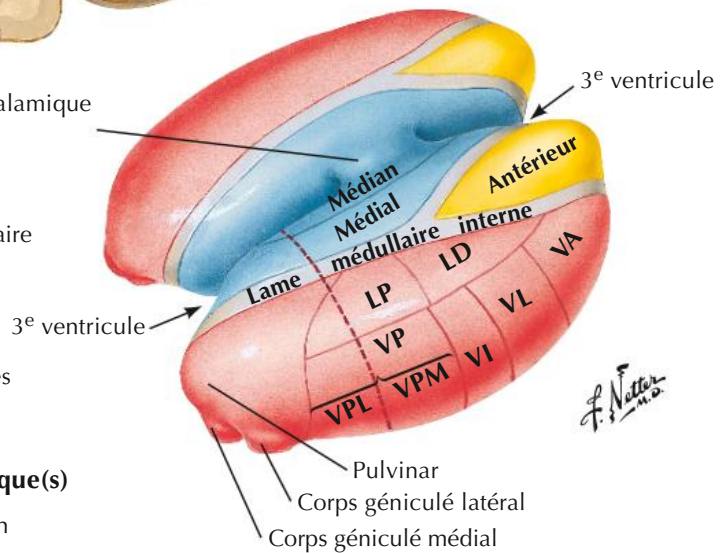
Rapports du thalamus, du noyau lentiforme, du noyau caud  et du corps amygdalo de (sch ma) : vue lat rale gauche



Coupe schématique à travers le thalamus
(au niveau du pointillé de la figure de droite)

Noyau(x) thalamique(s)

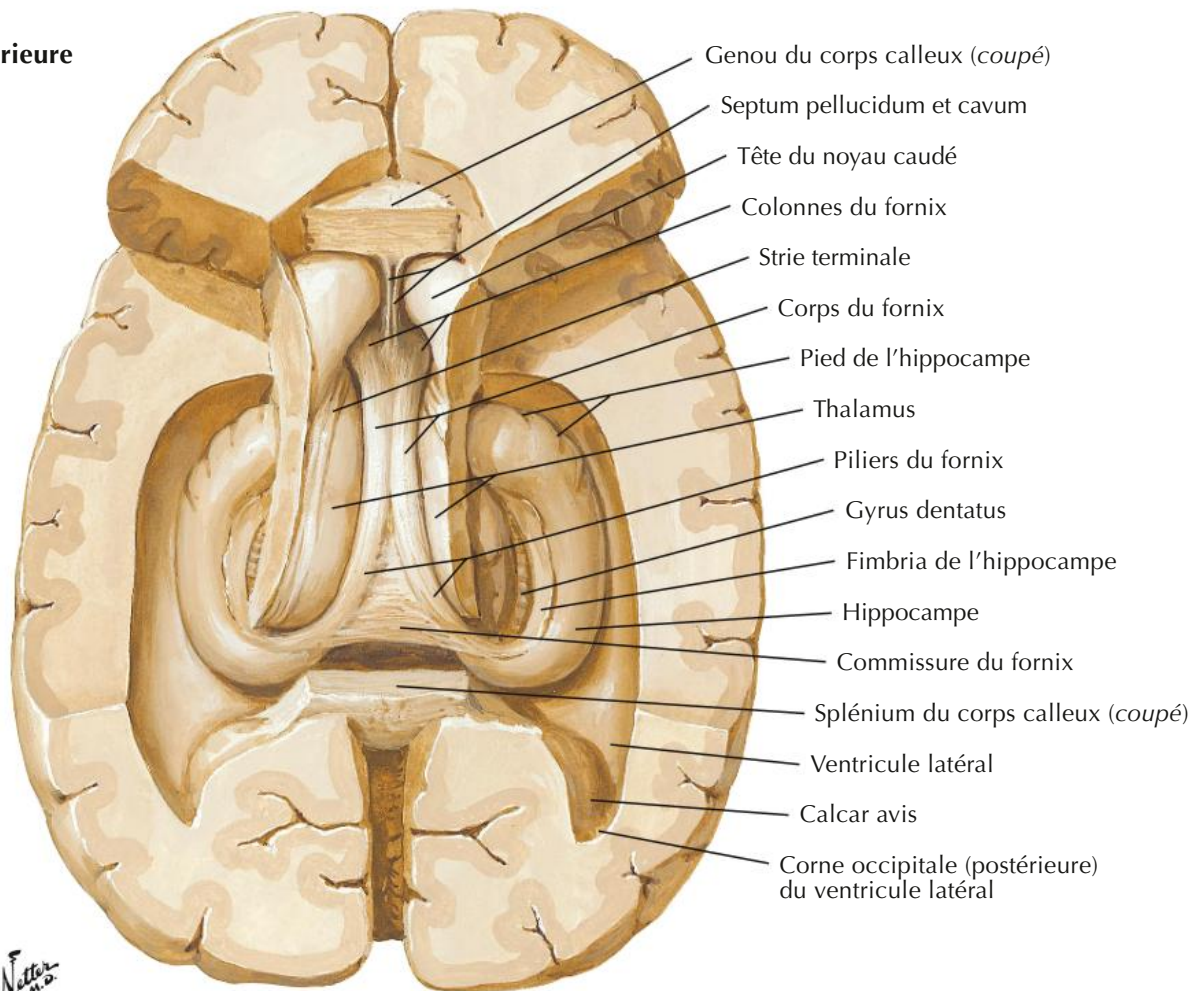
CM	Centro-médian
LD	Latéral dorsal
LP	Latéral postérieur
M	Groupe médial
MD	Médial dorsal
VA	Ventral antérieur
VI	Ventral intermédiaire
VL	Ventral latéral
VP	Ventral postérieur
VPL	Ventral postéro-latéral
VPM	Ventral postéro-médial



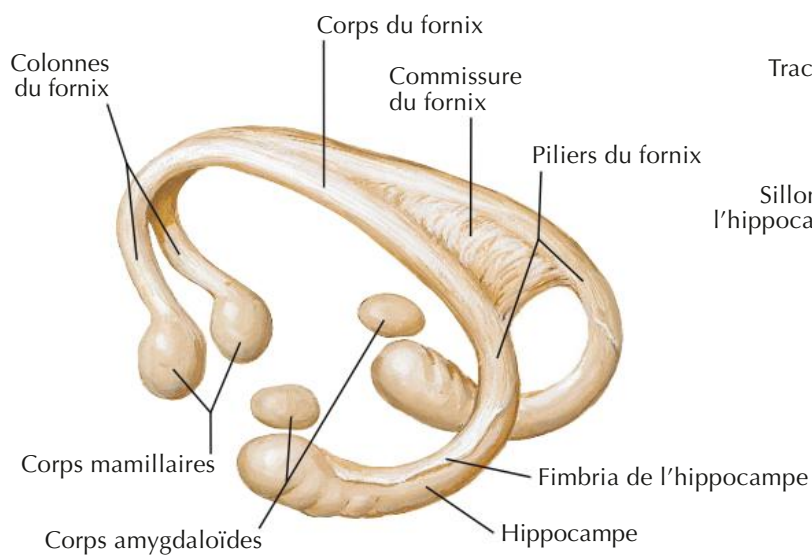
Représentation schématique du thalamus
(après résection de la lame médullaire externe et des noyaux réticulaires)

Masses cellulaires latérales
Masses cellulaires médiales
Masses cellulaires antérieures

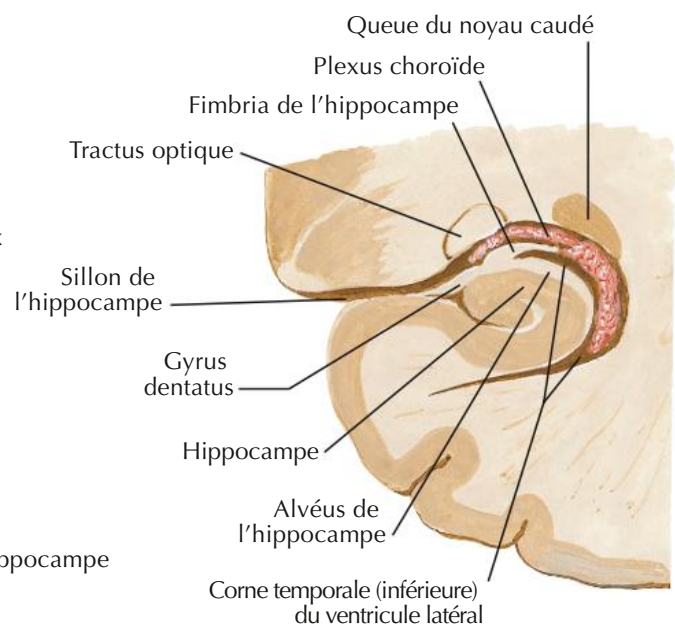
Vue supérieure



F. Netter M.D.

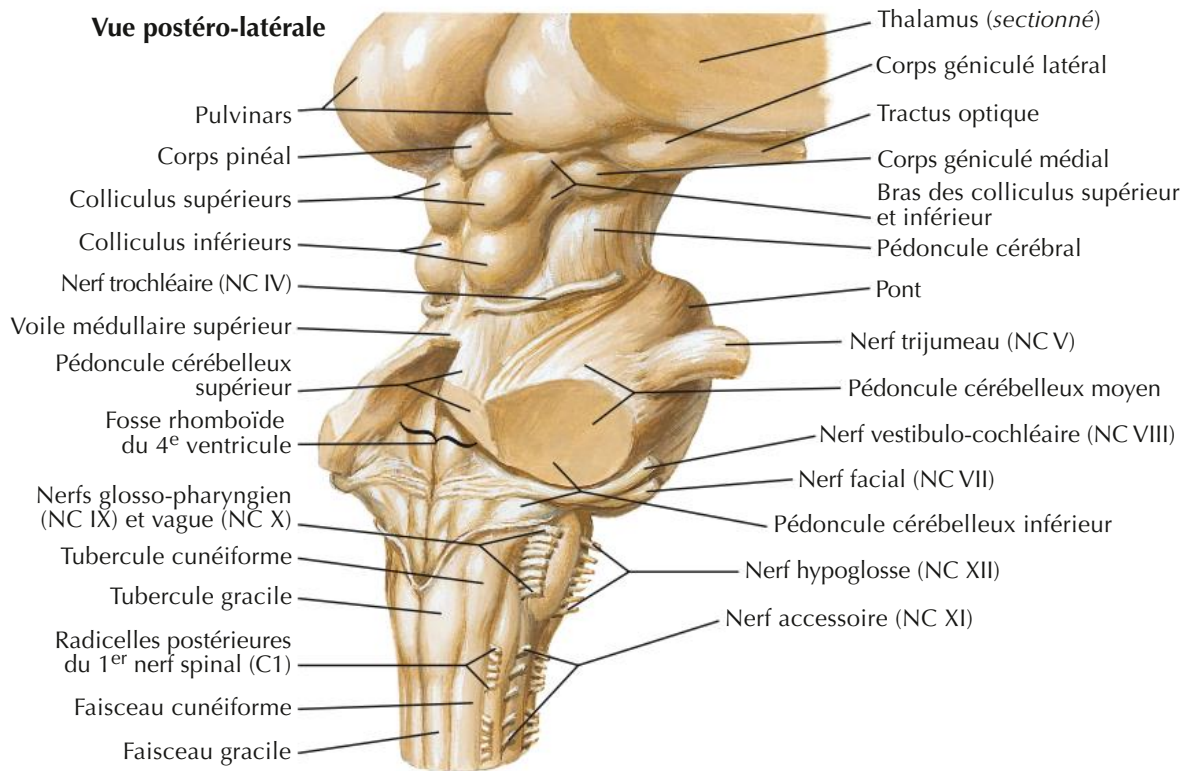


Fornix : schéma

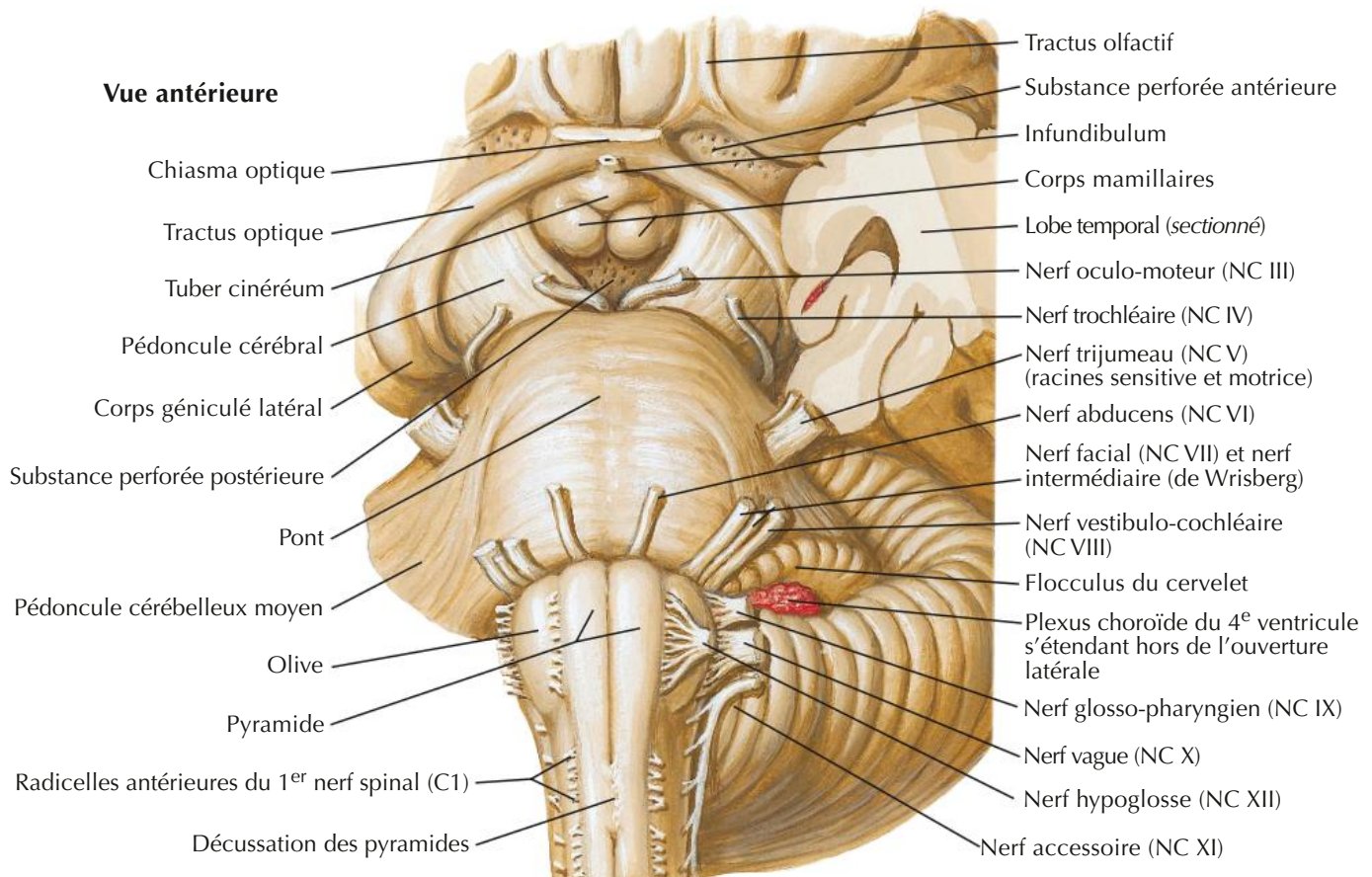


Coupe frontale : vue postérieure

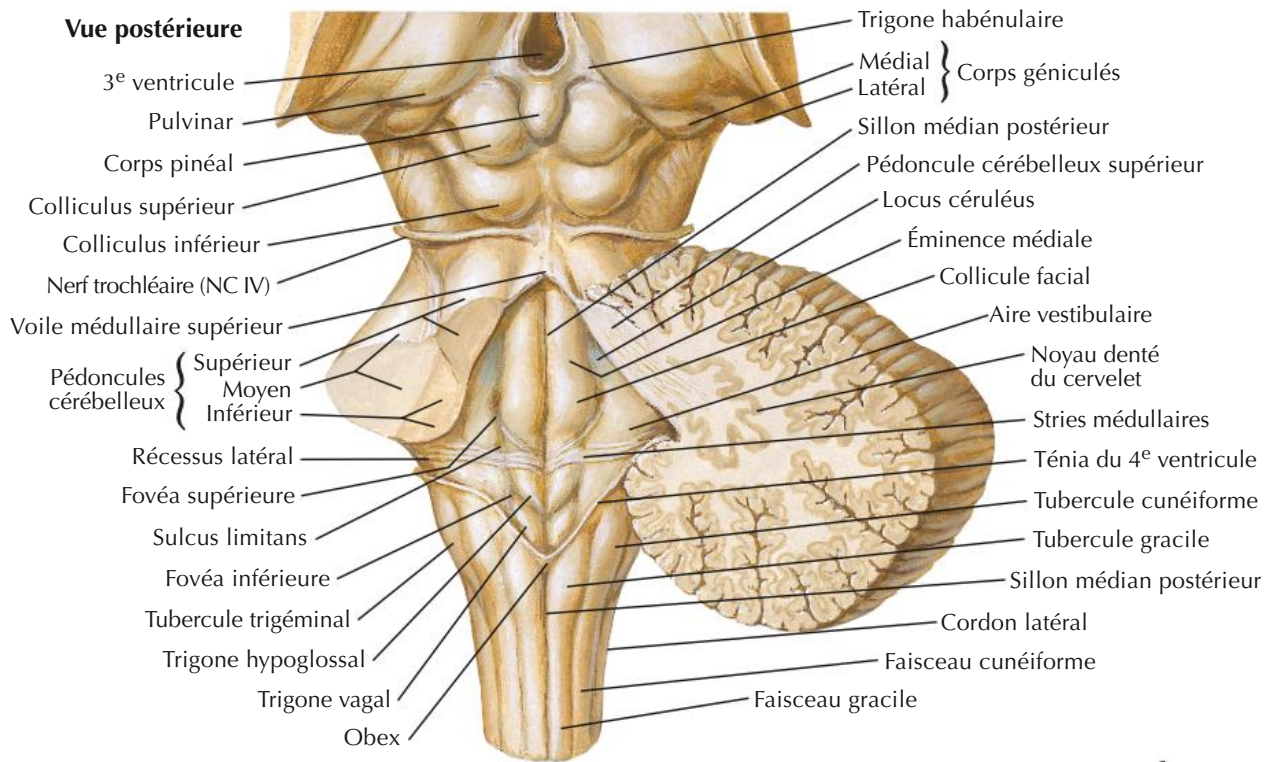
Vue postéro-latérale



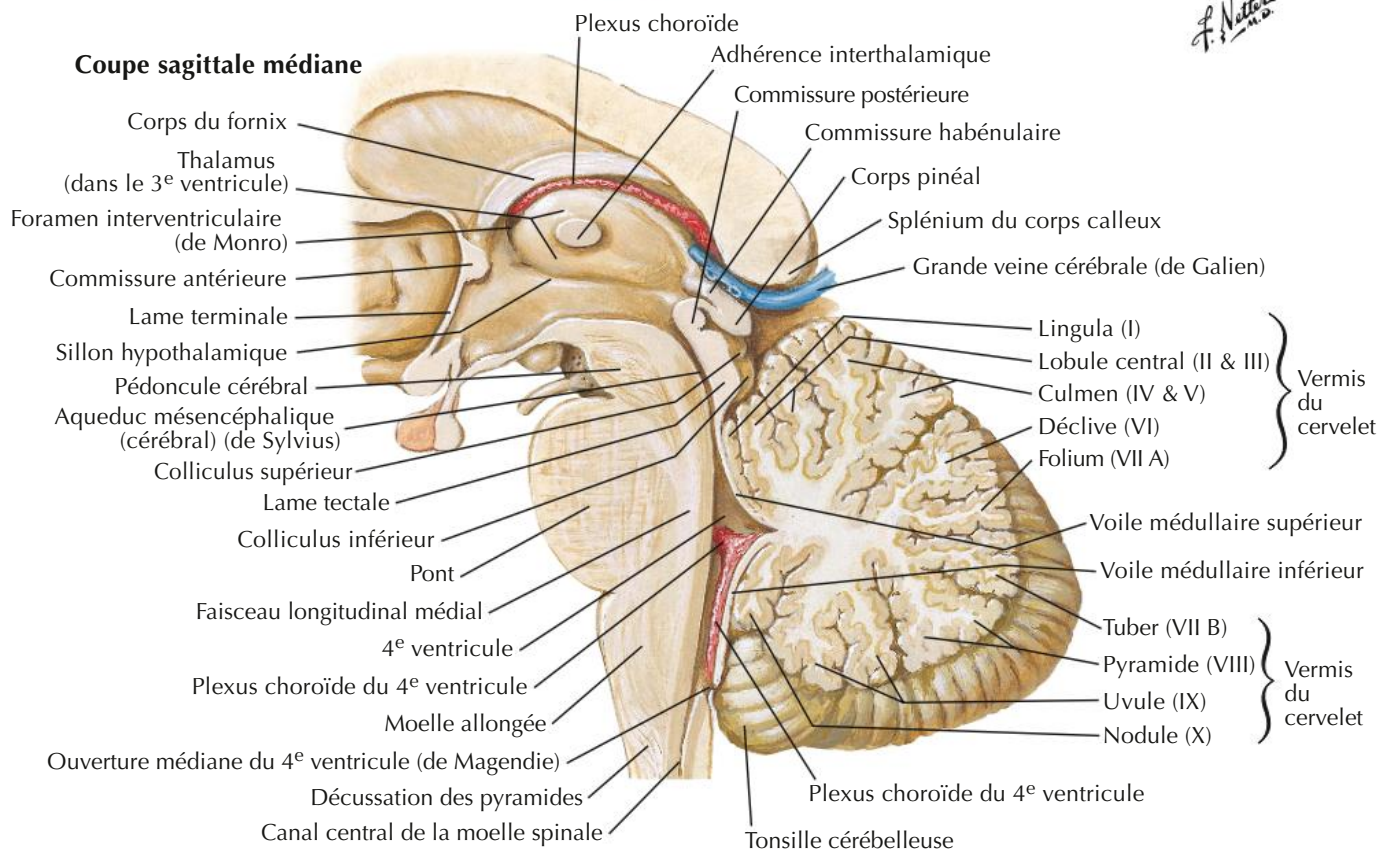
Vue antérieure

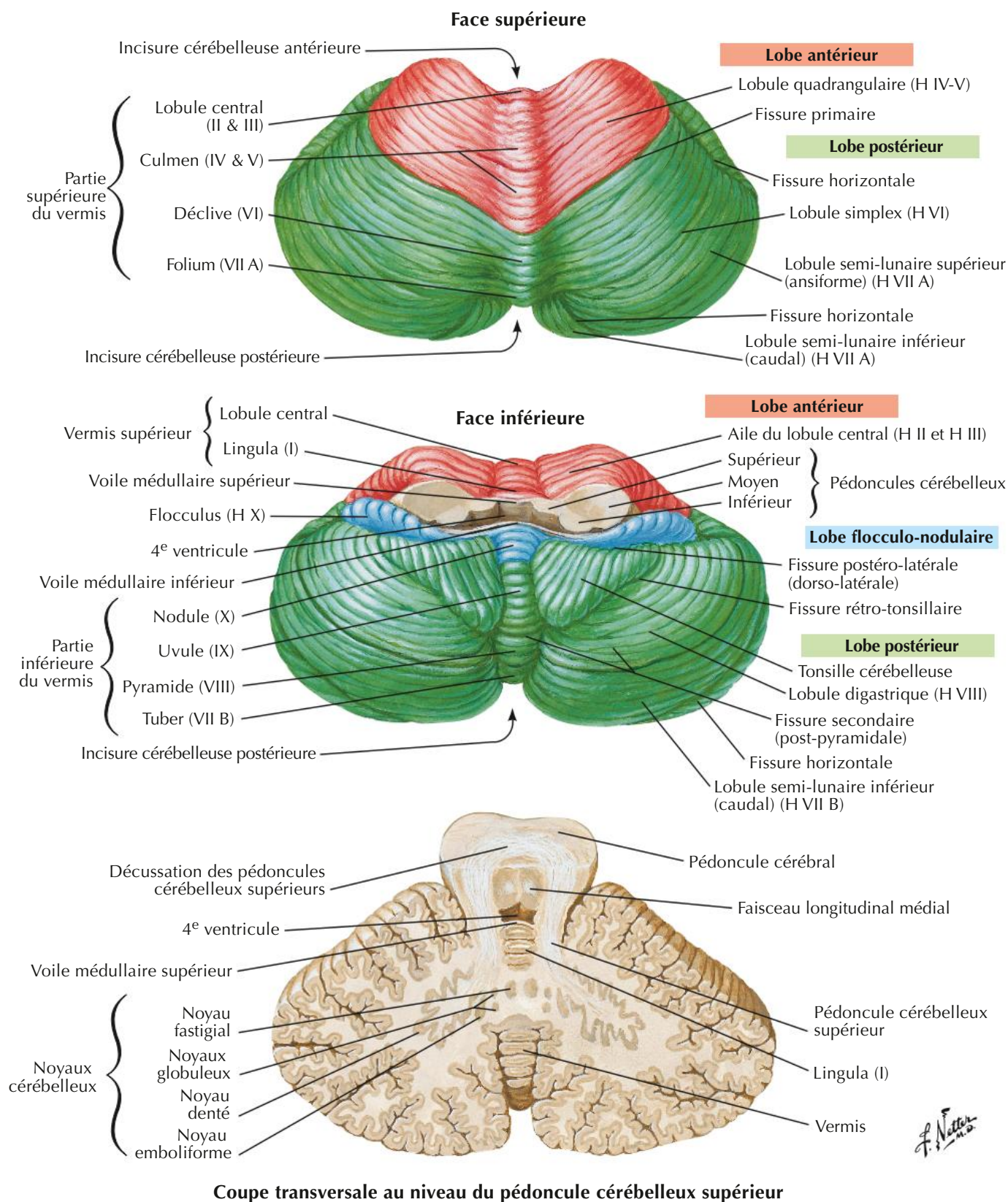


Vue postérieure

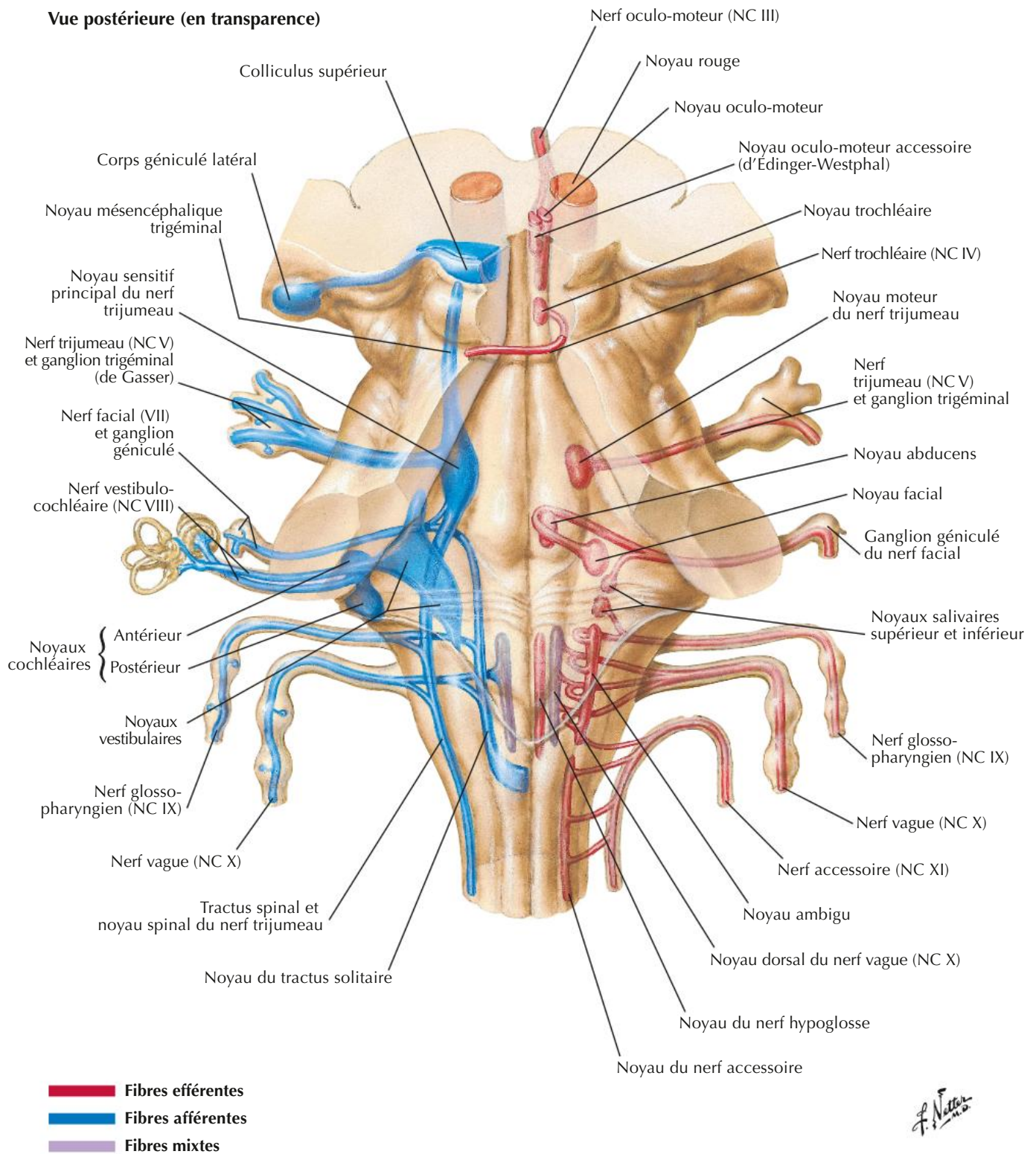


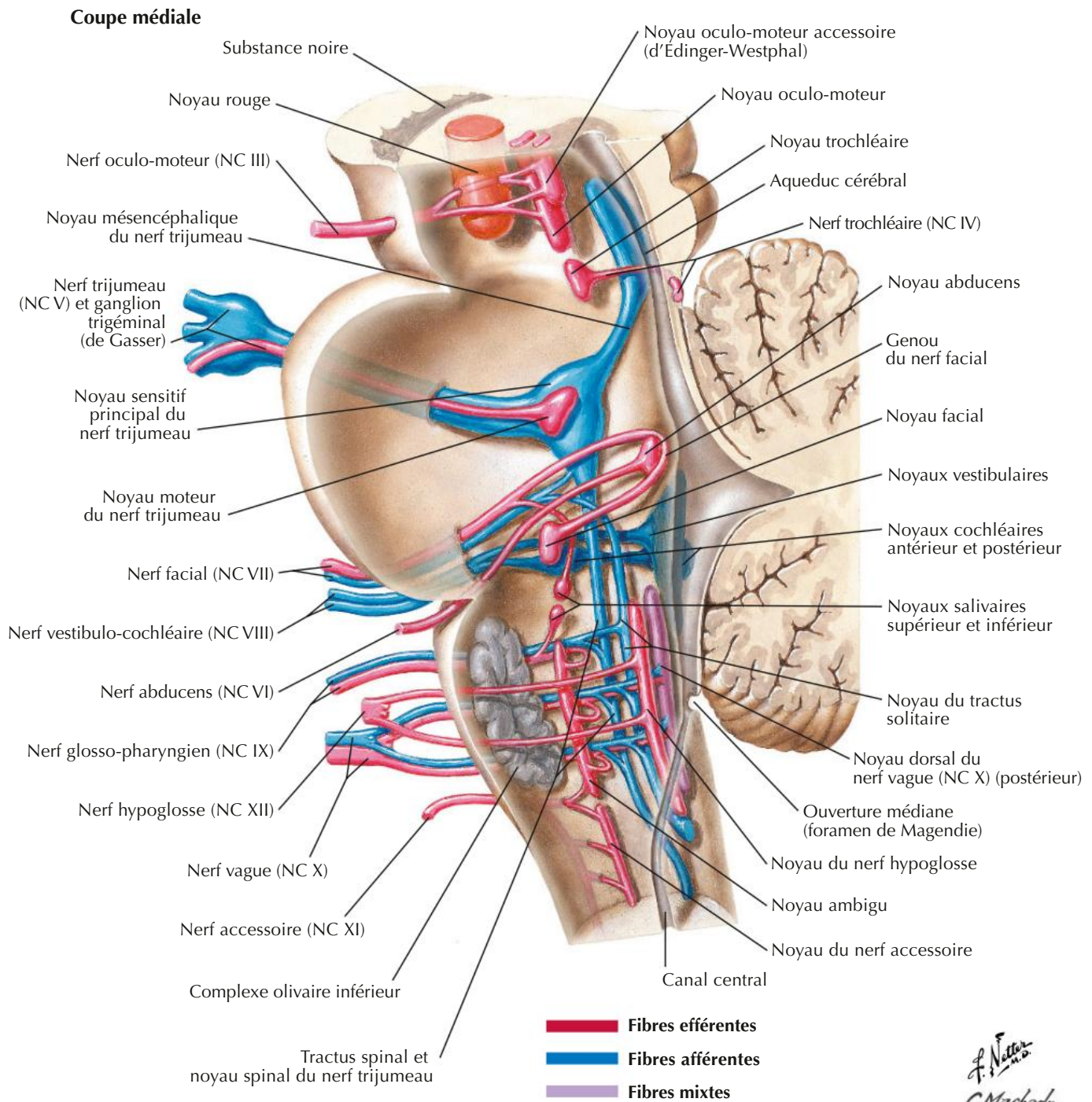
Coupe sagittale médiane



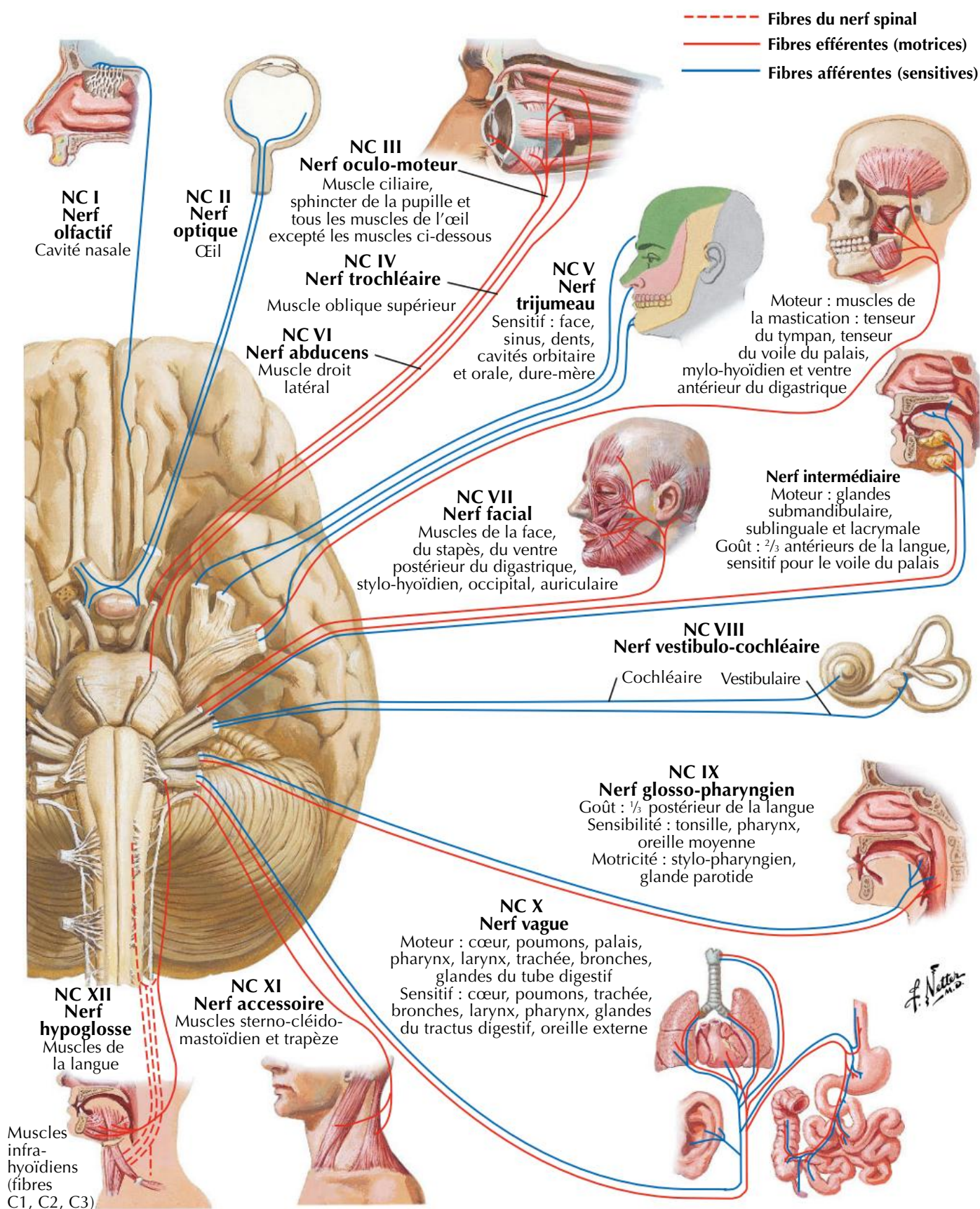


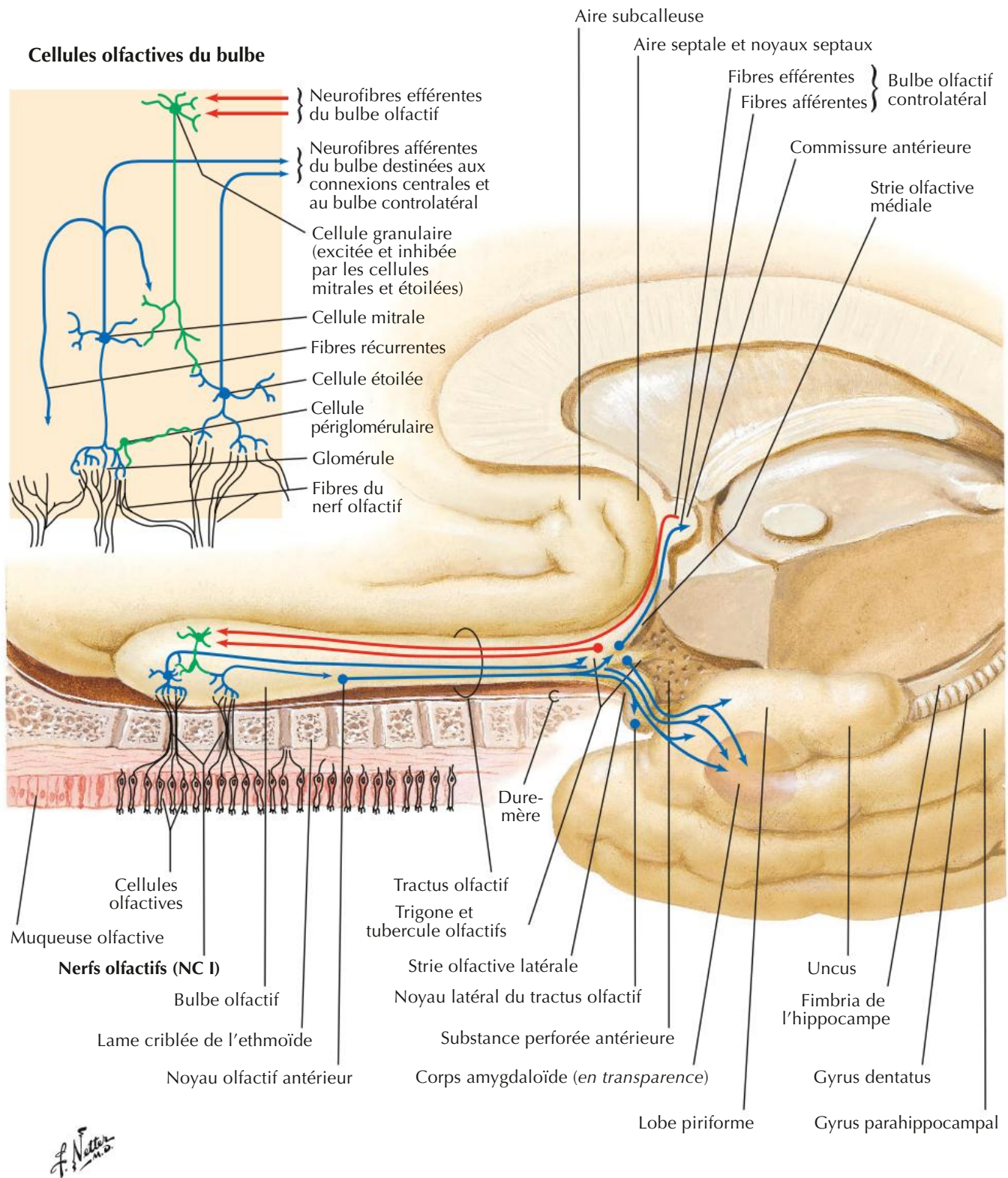
Noyaux des nerfs crâniens dans le tronc cérébral



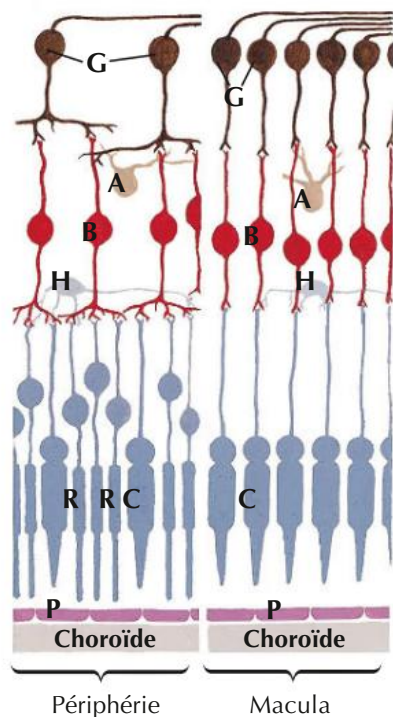


Nerfs crâniens (distribution motrice et sensitive) : schéma



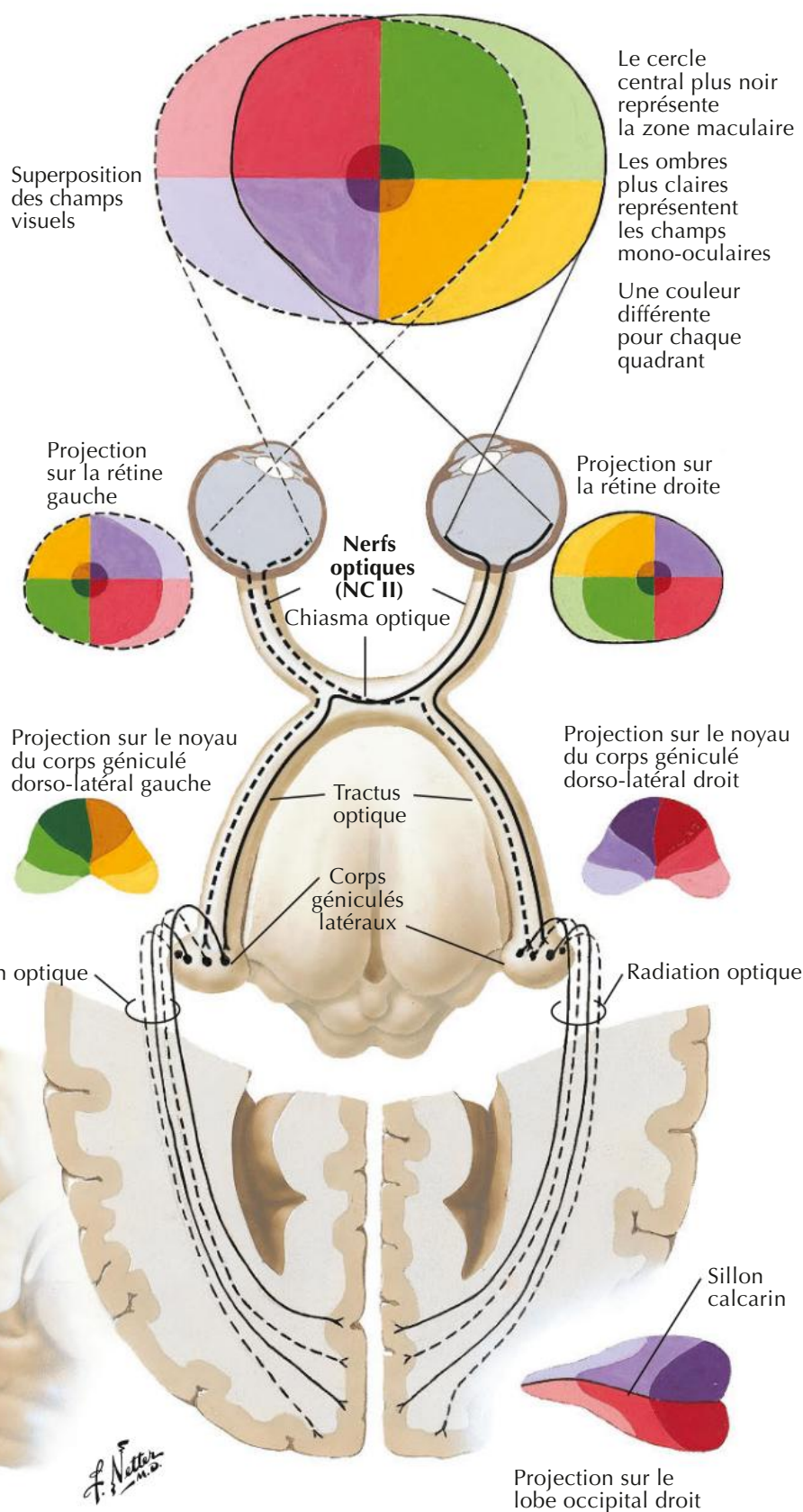


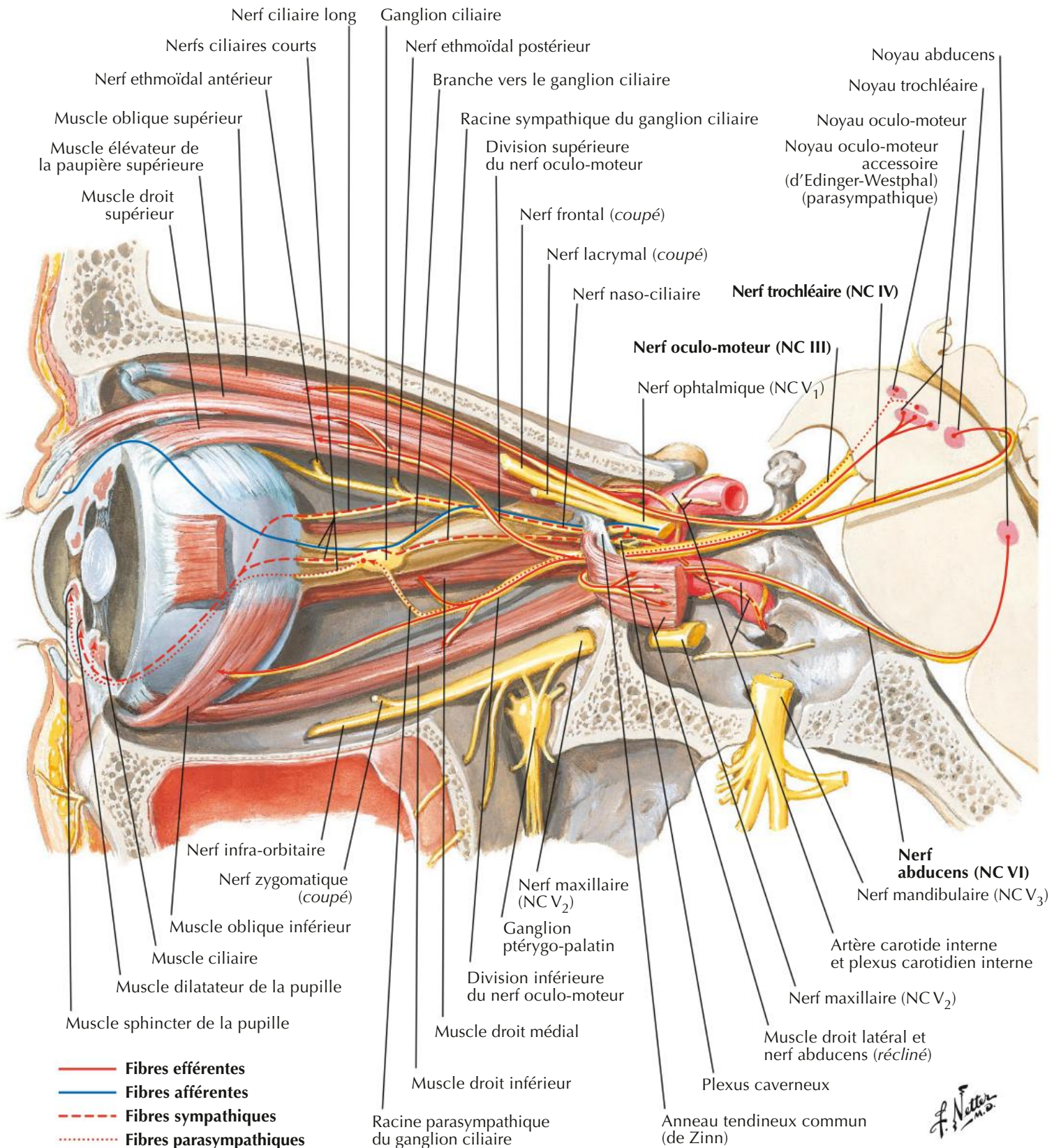
Nerf optique (NC II) (voie visuelle) : schéma



Structure de la rétine : schéma

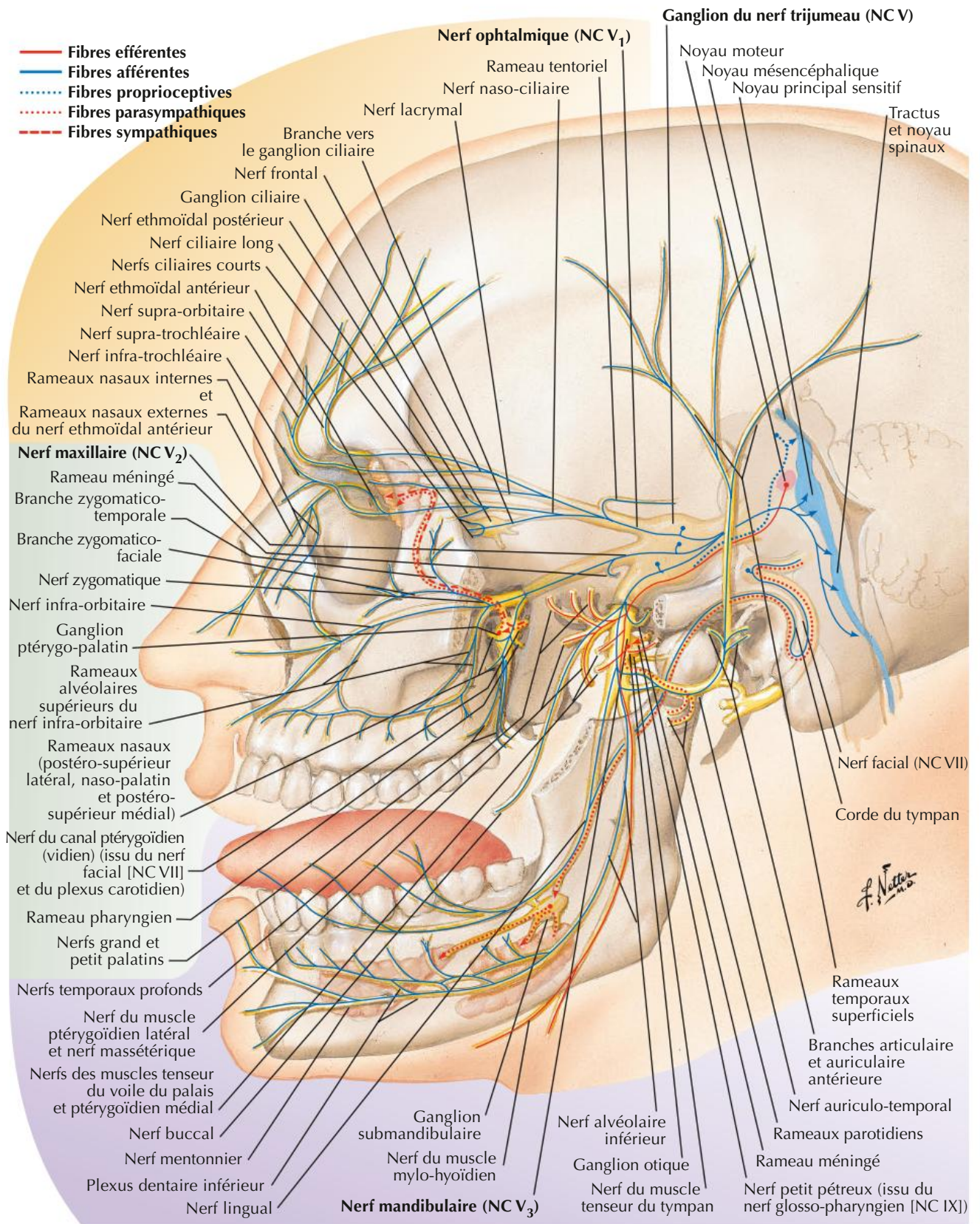
- A Cellules amacrines
- B Cellules bi-polaires
- C Cônes
- G Cellules ganglionnaires
- H Cellules horizontales
- P Cellules pigmentaires
- R Bâtonnets

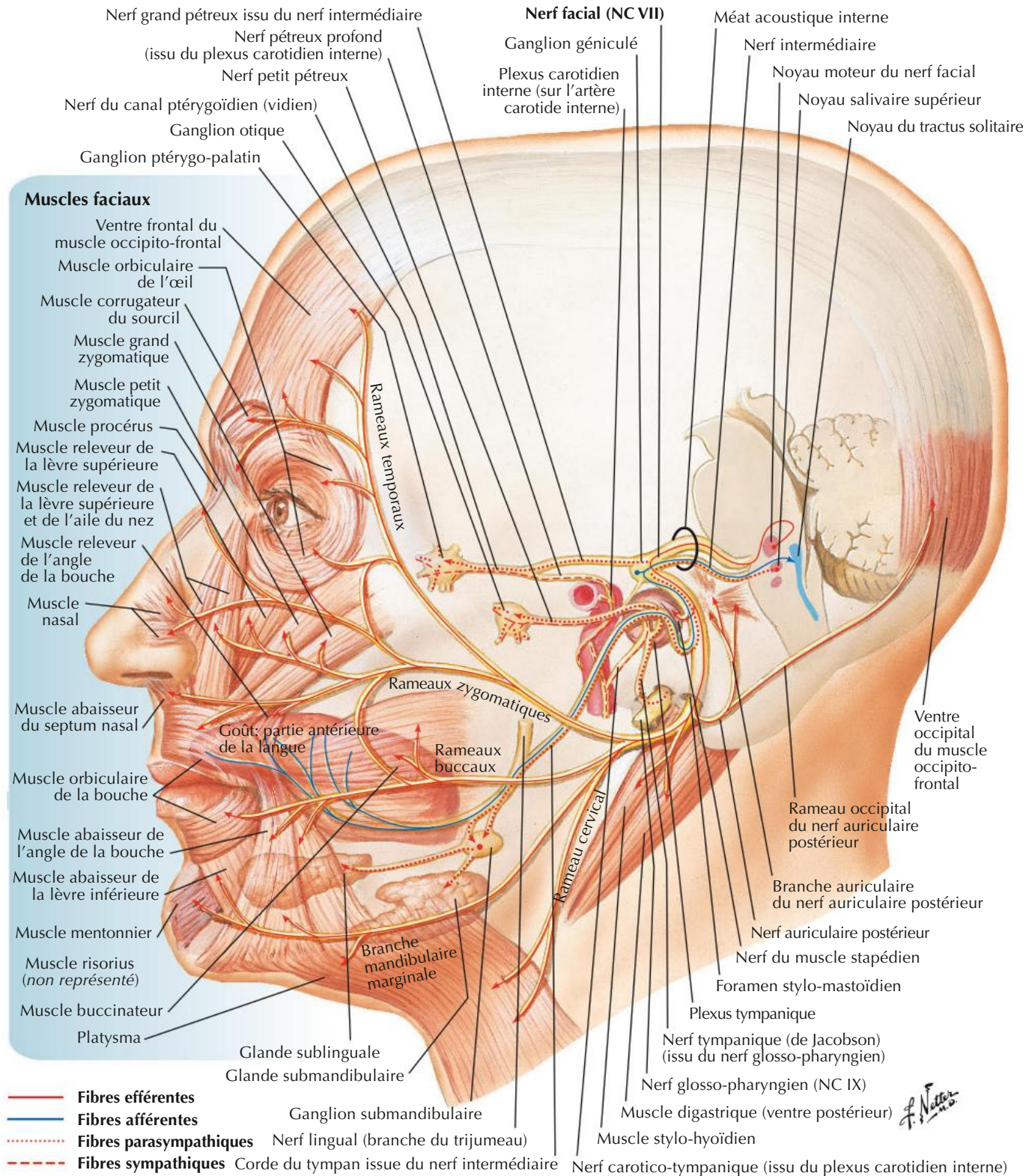




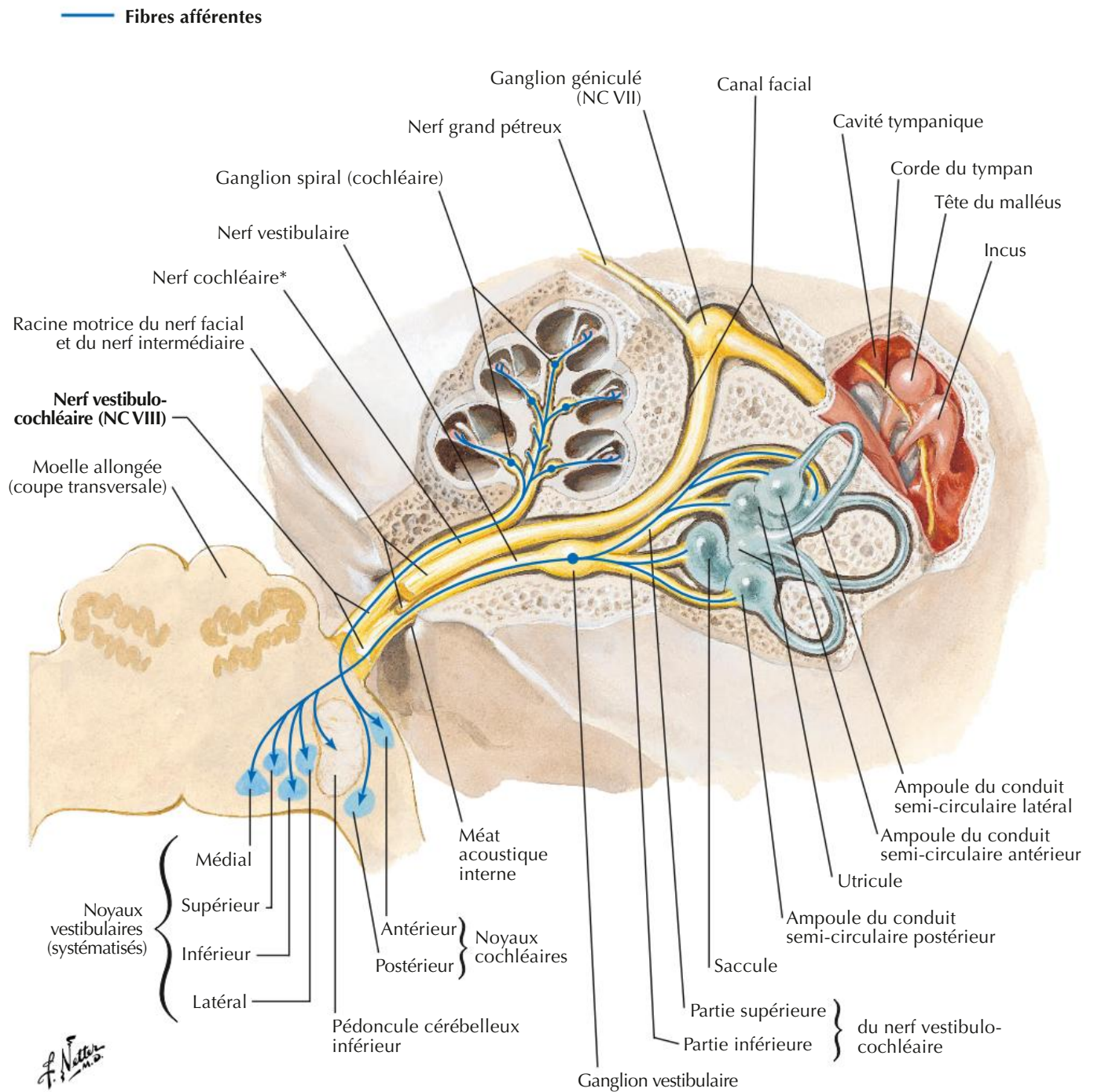
Nerf trijumeau (NC V) : schéma

Voir aussi Planches 9, 59, 61

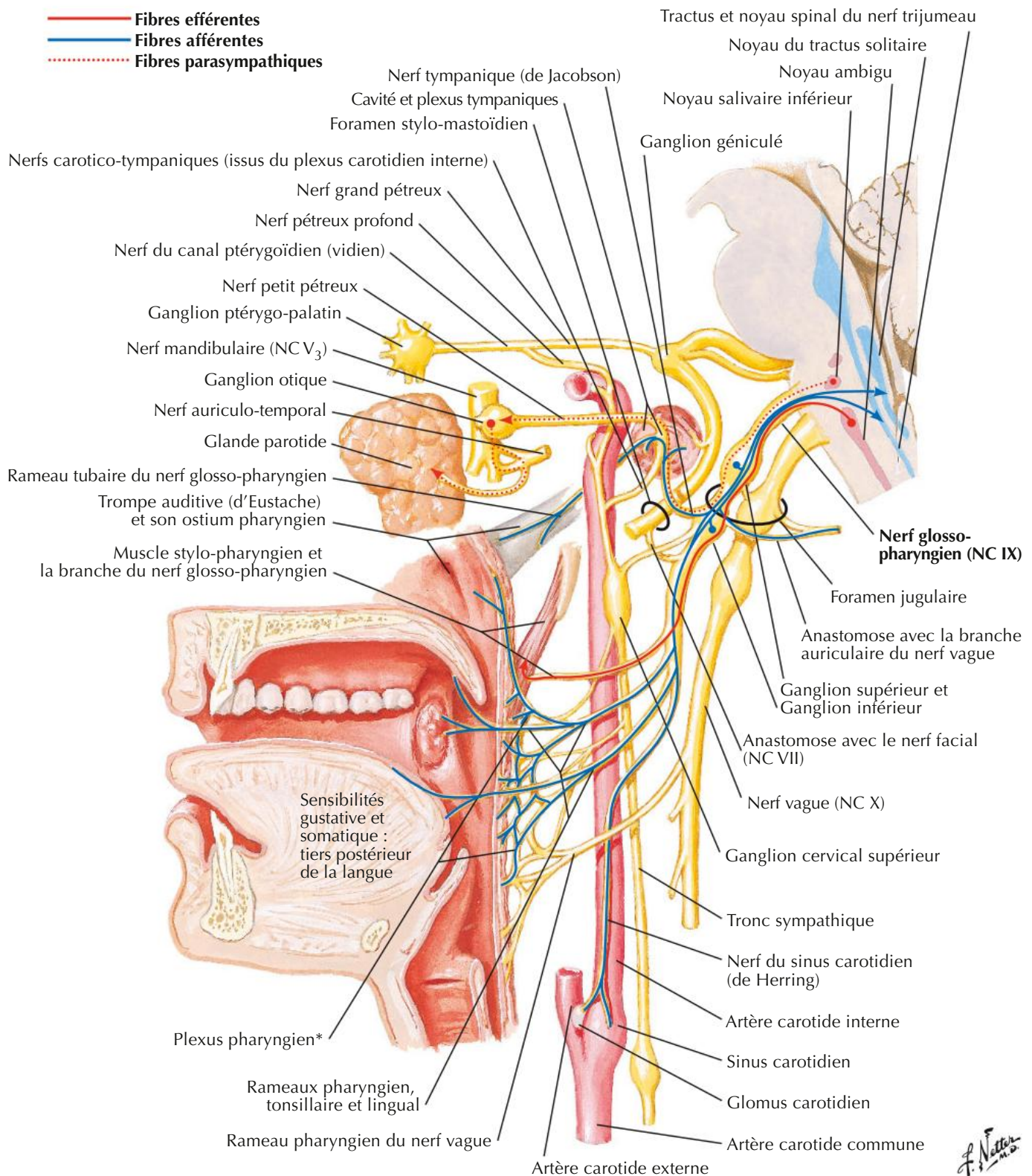




Nerf vestibulo-cochléaire (NC VIII) : schéma

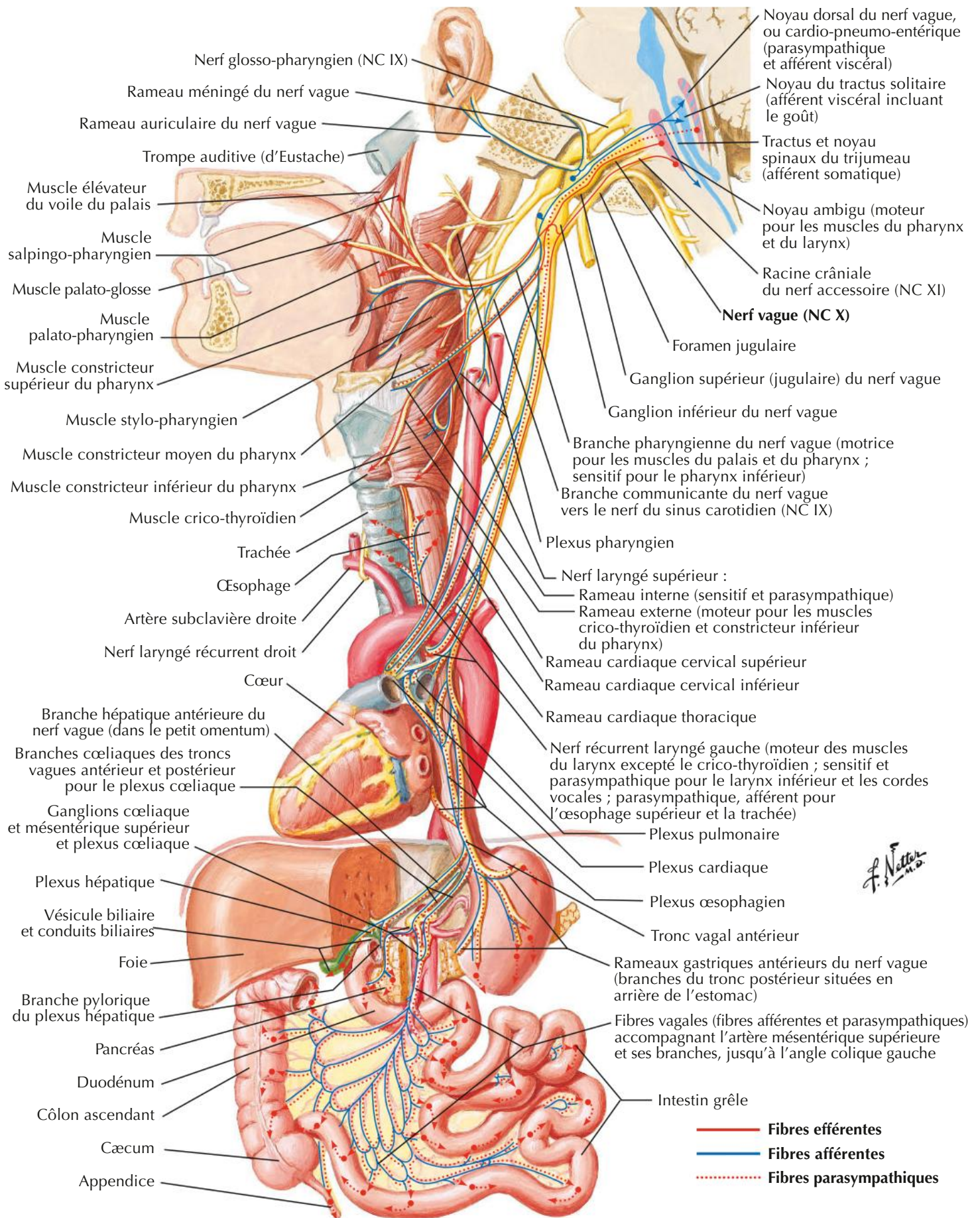


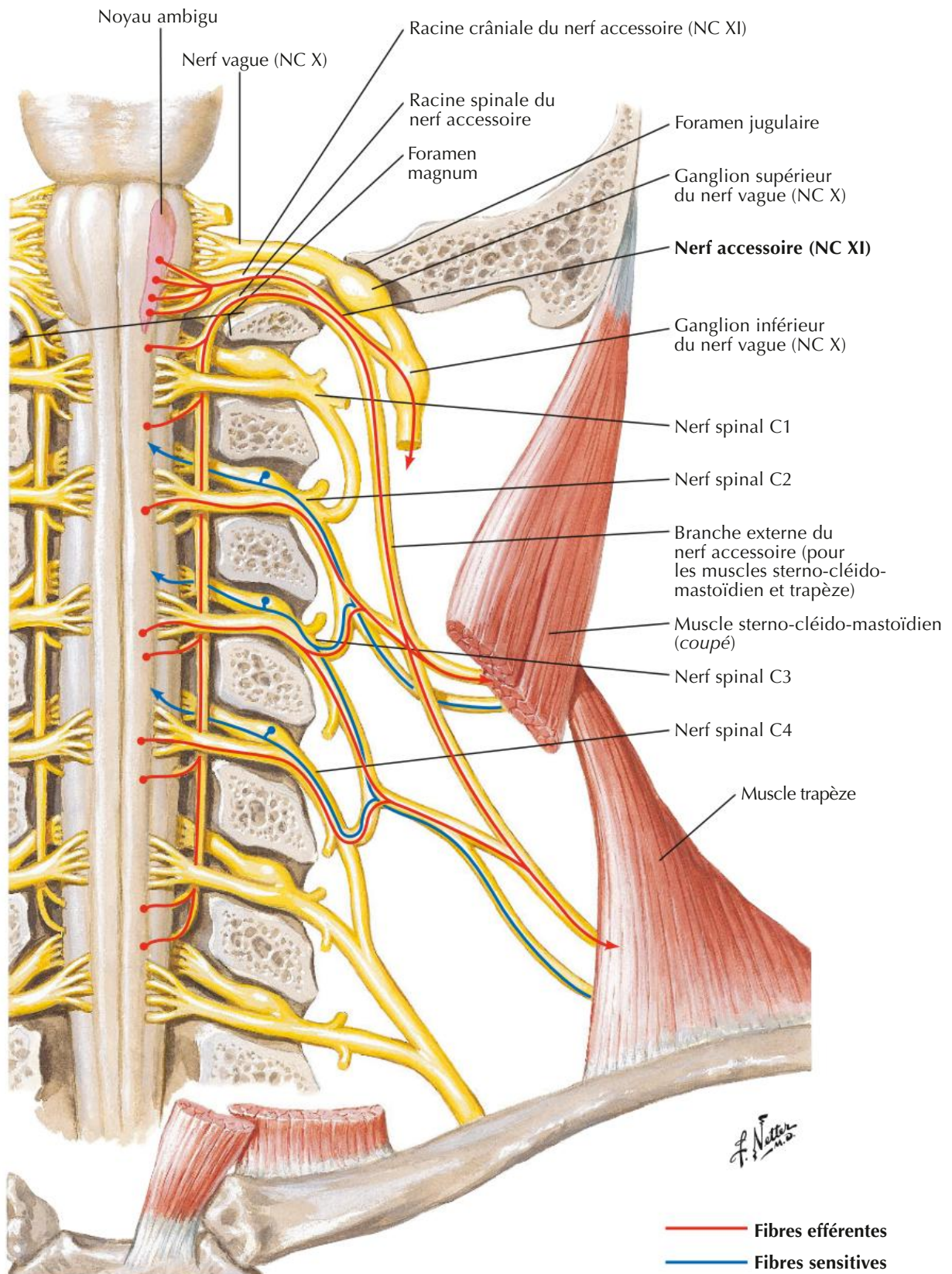
* Le nerf cochléaire contient aussi des fibres efférentes de l'épithélium sensoriel. Ces fibres dérivent du nerf vestibulaire lorsqu'il est dans le méat acoustique interne.



* Le plexus pharyngien est constitué de fibres afférentes (NC IX), de fibres efférentes (NC X) et de fibres sympathiques

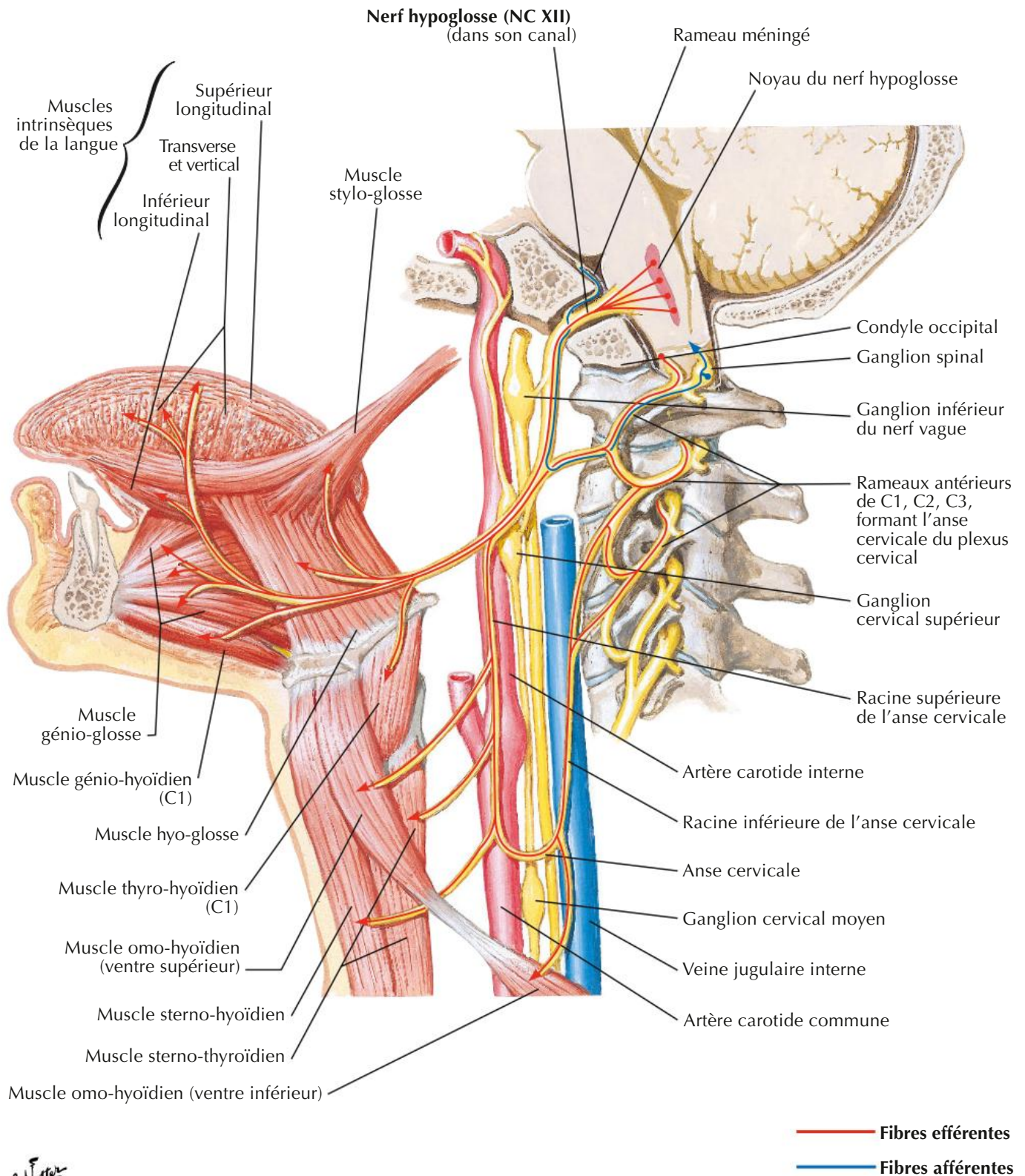
Nerf vague (NC X) : schéma

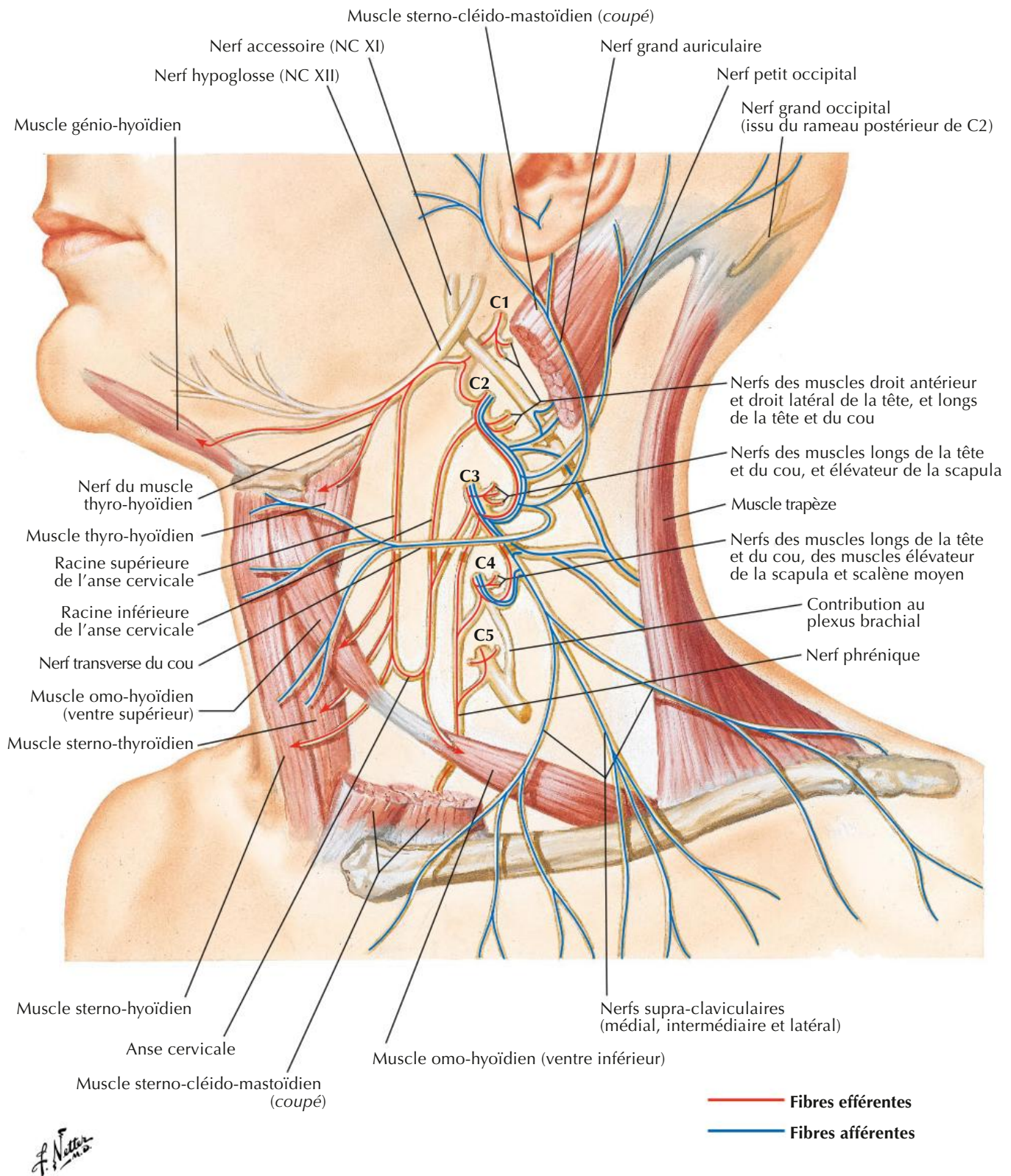


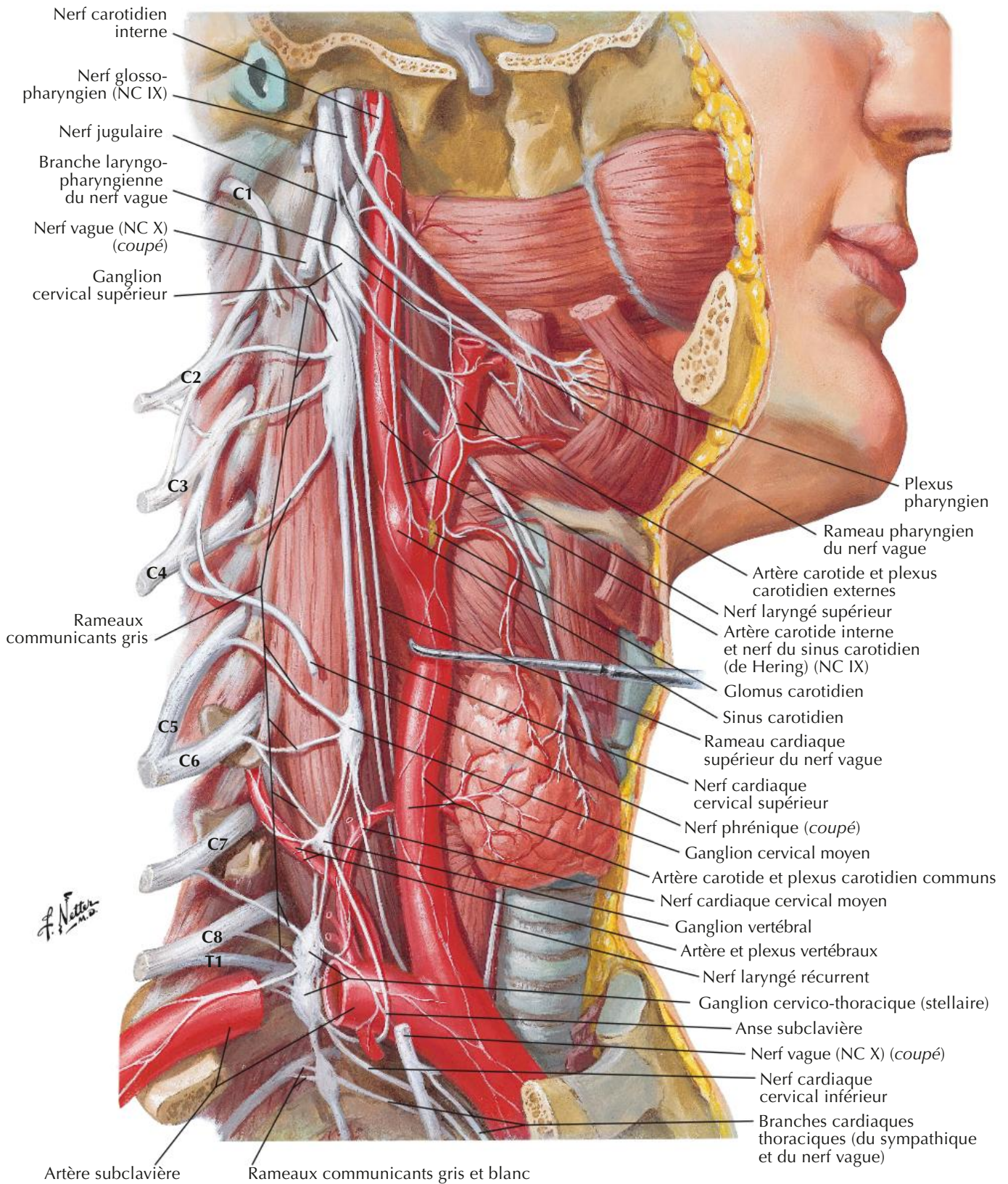


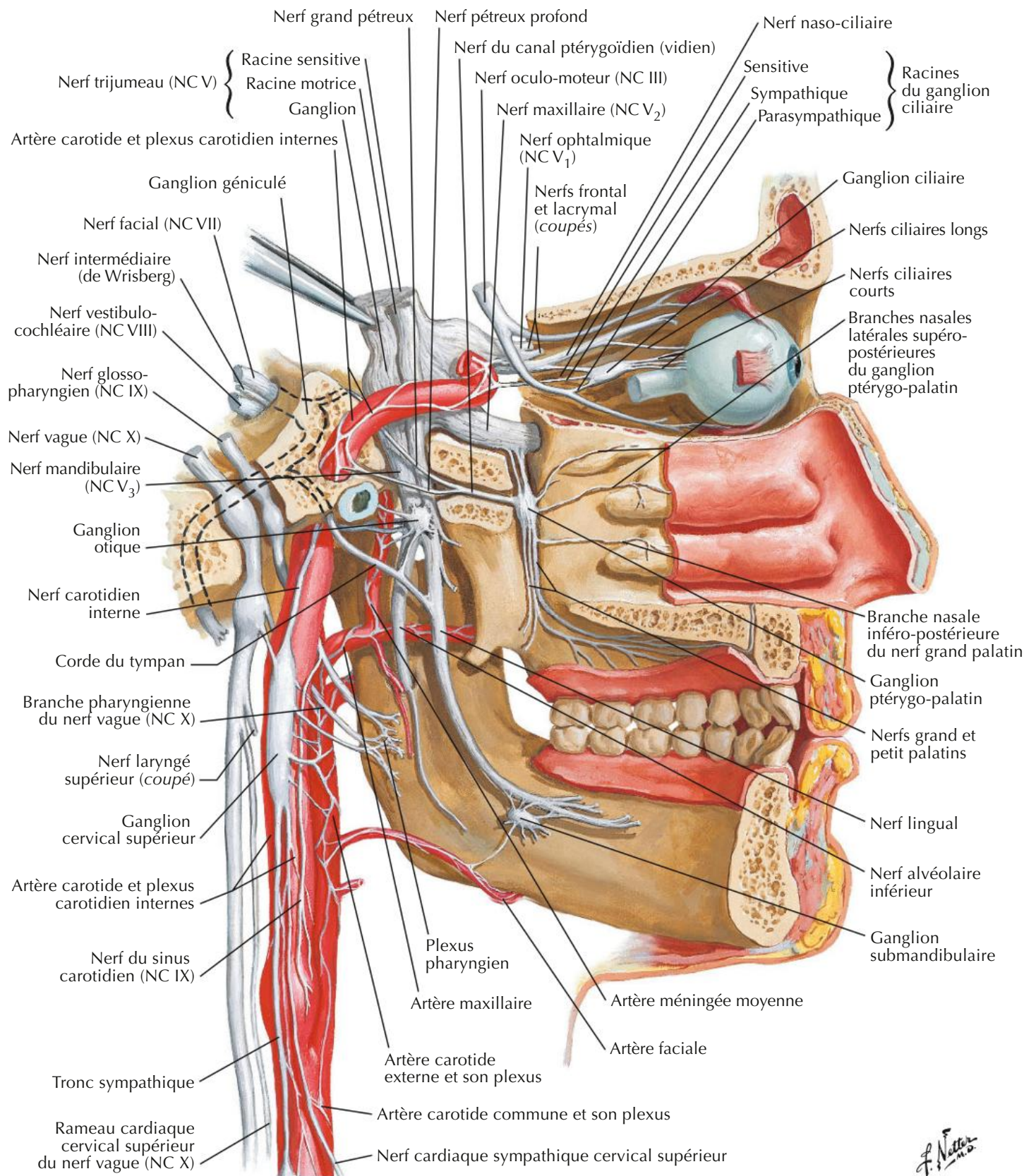
Nerf hypoglosse (NC XII) : schéma

Voir aussi Planche 39



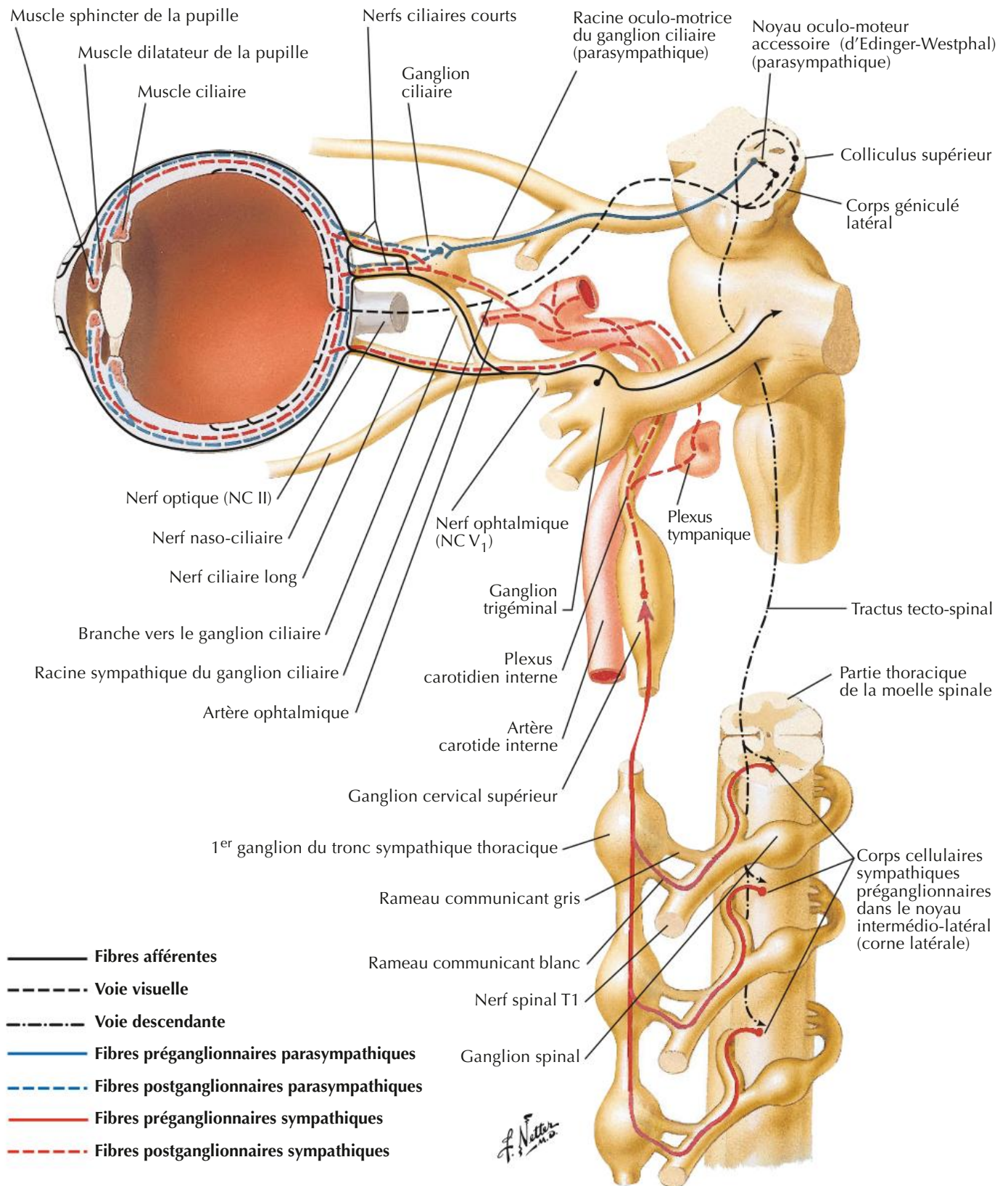


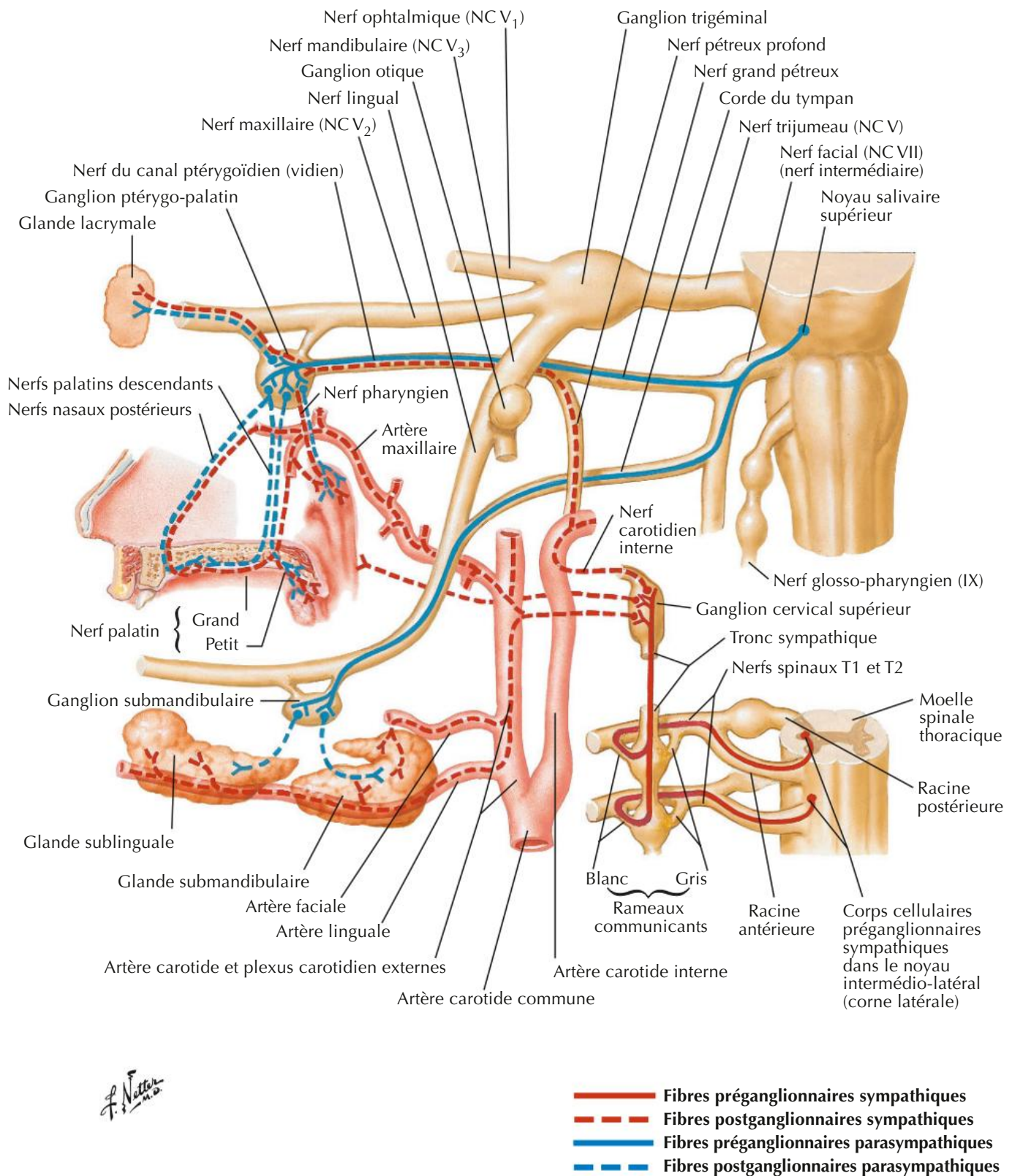




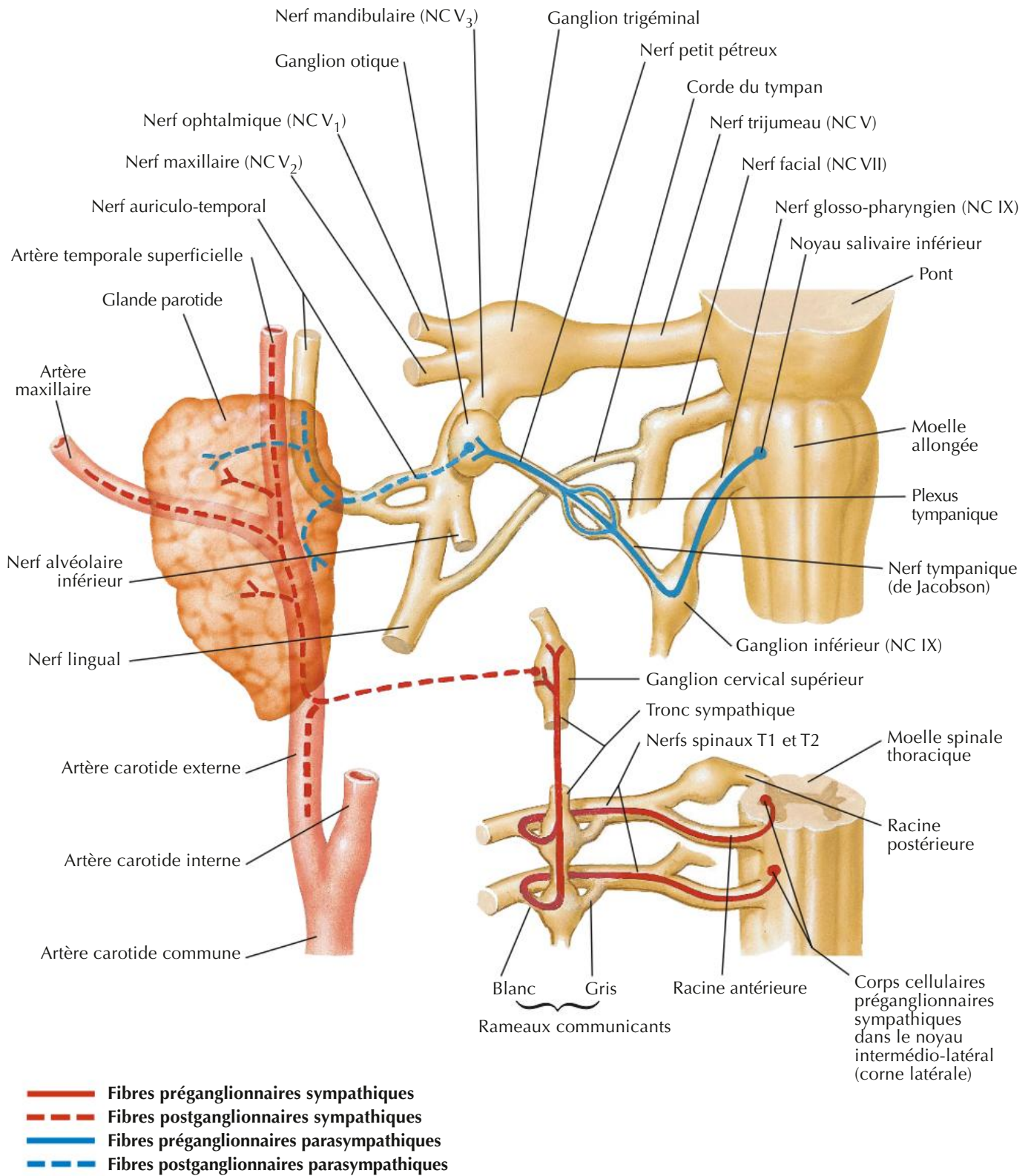
Ganglion ciliaire : schéma

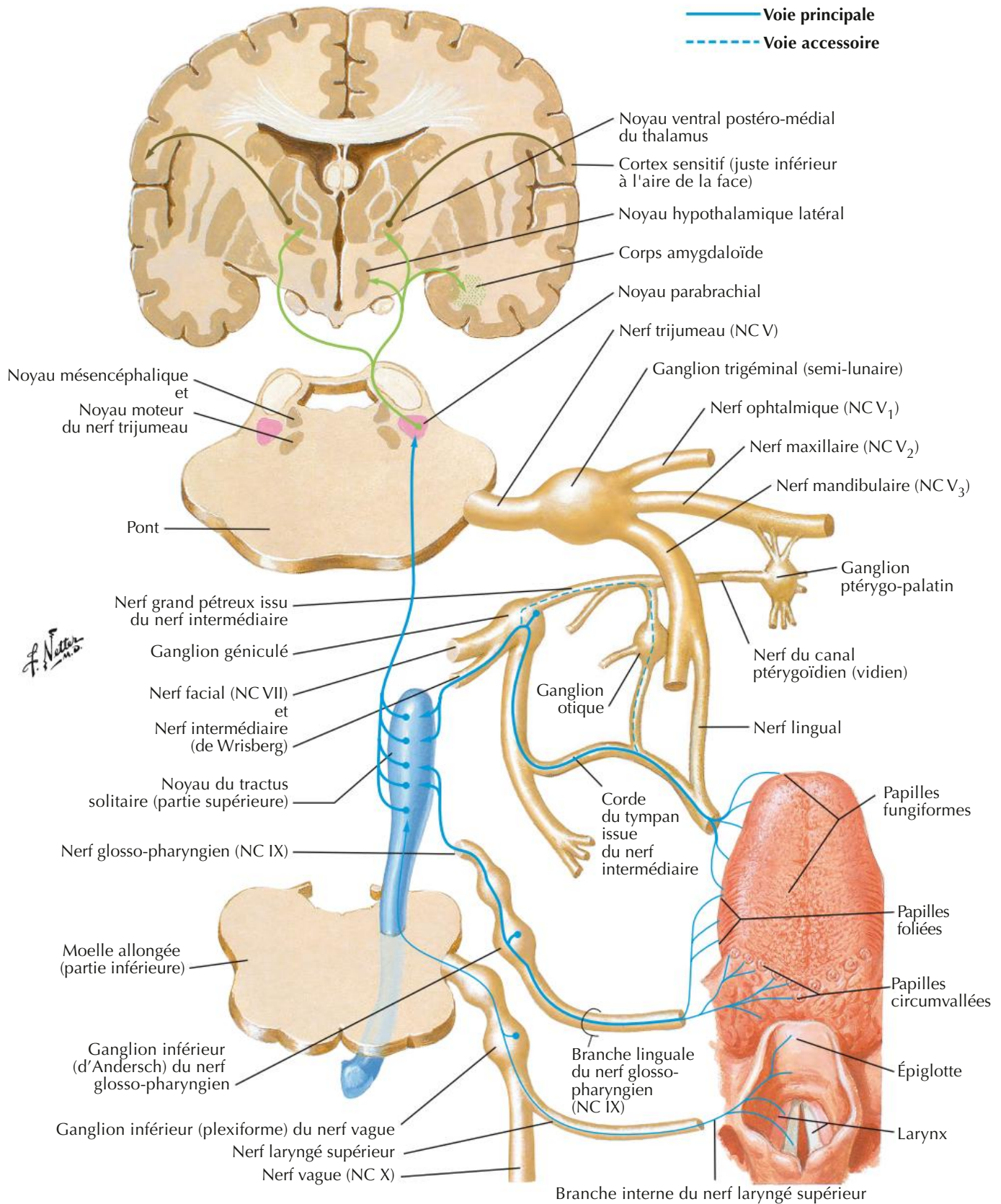
Voir aussi Planche 62





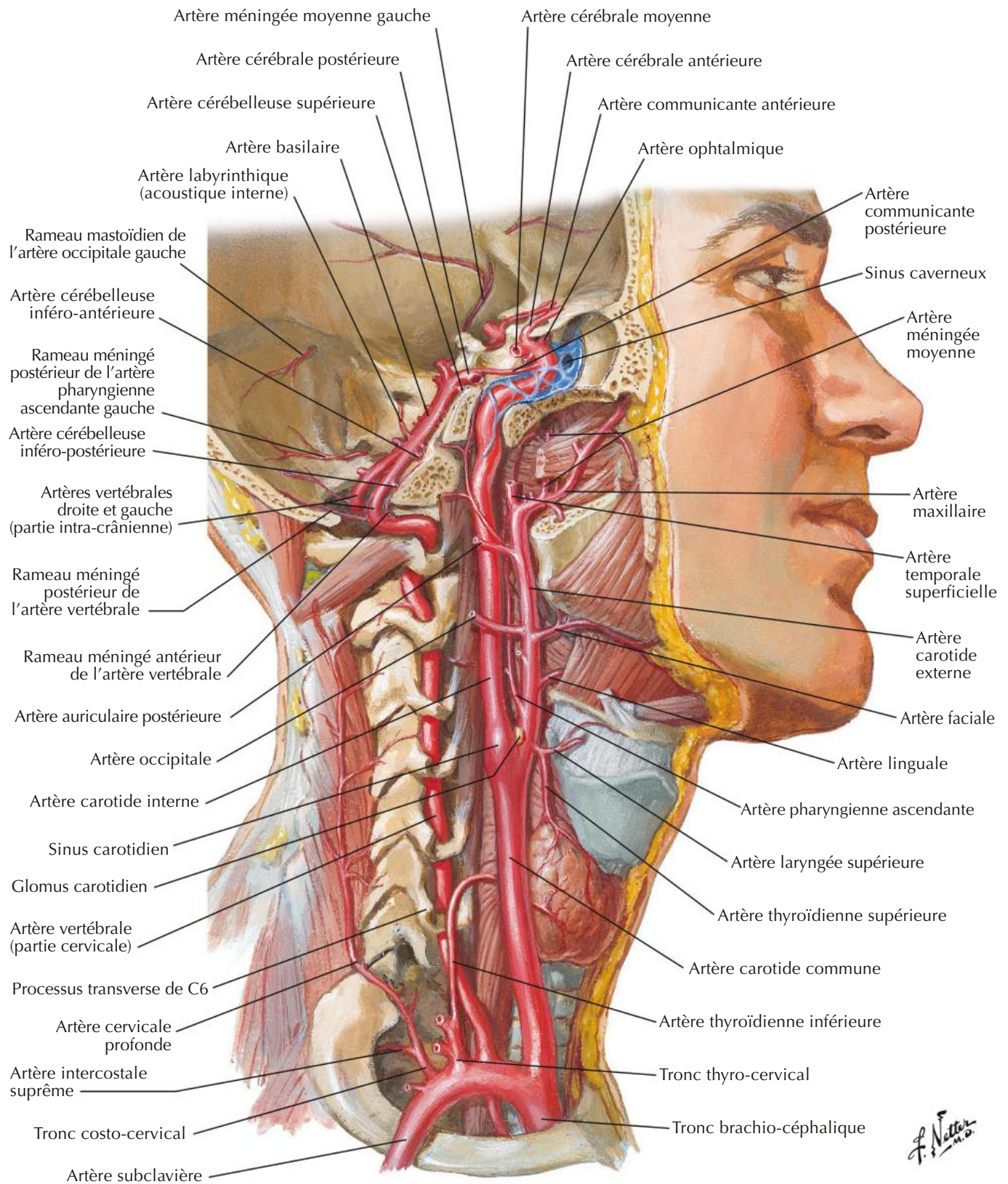
Ganglion otique : schéma

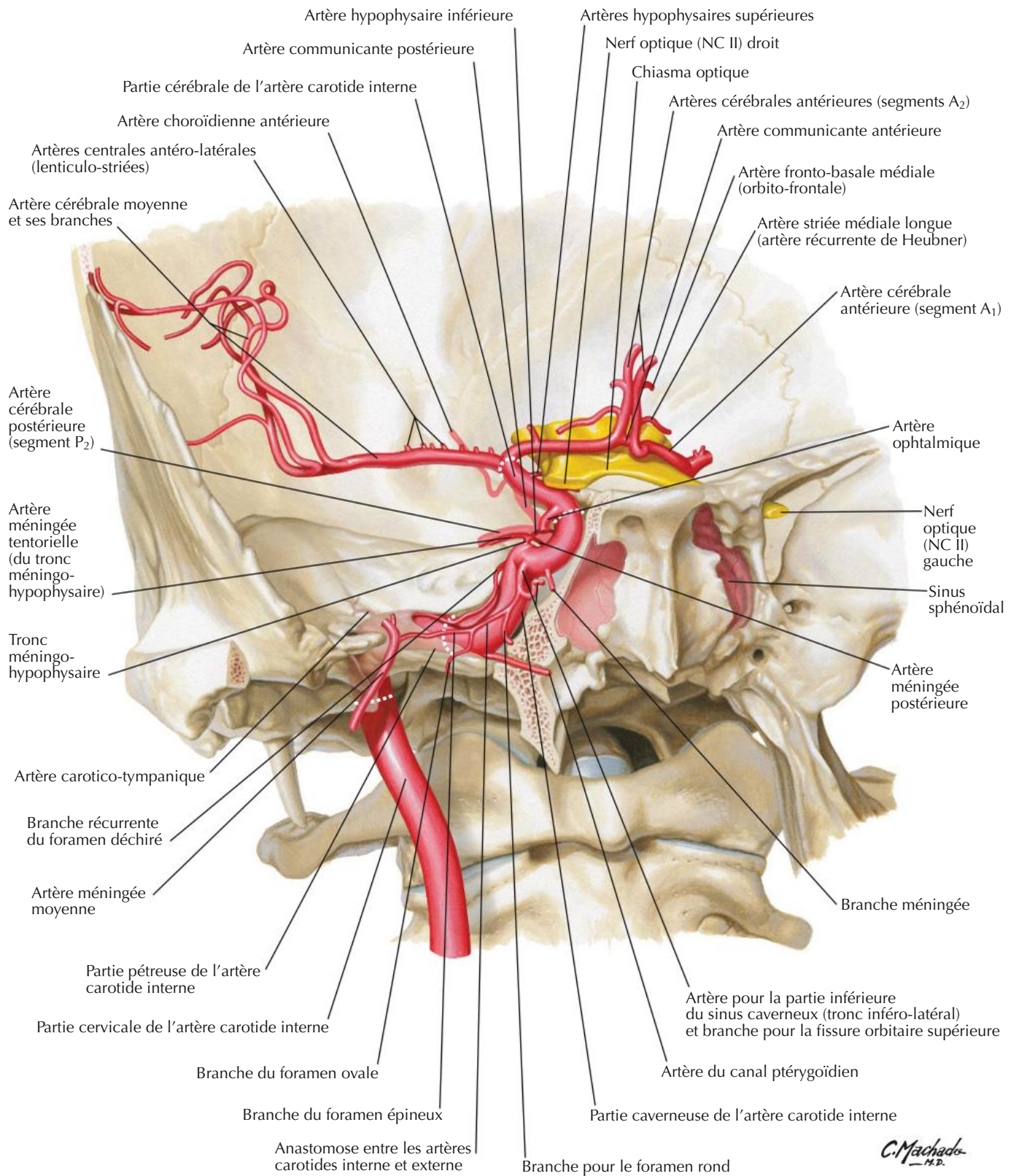




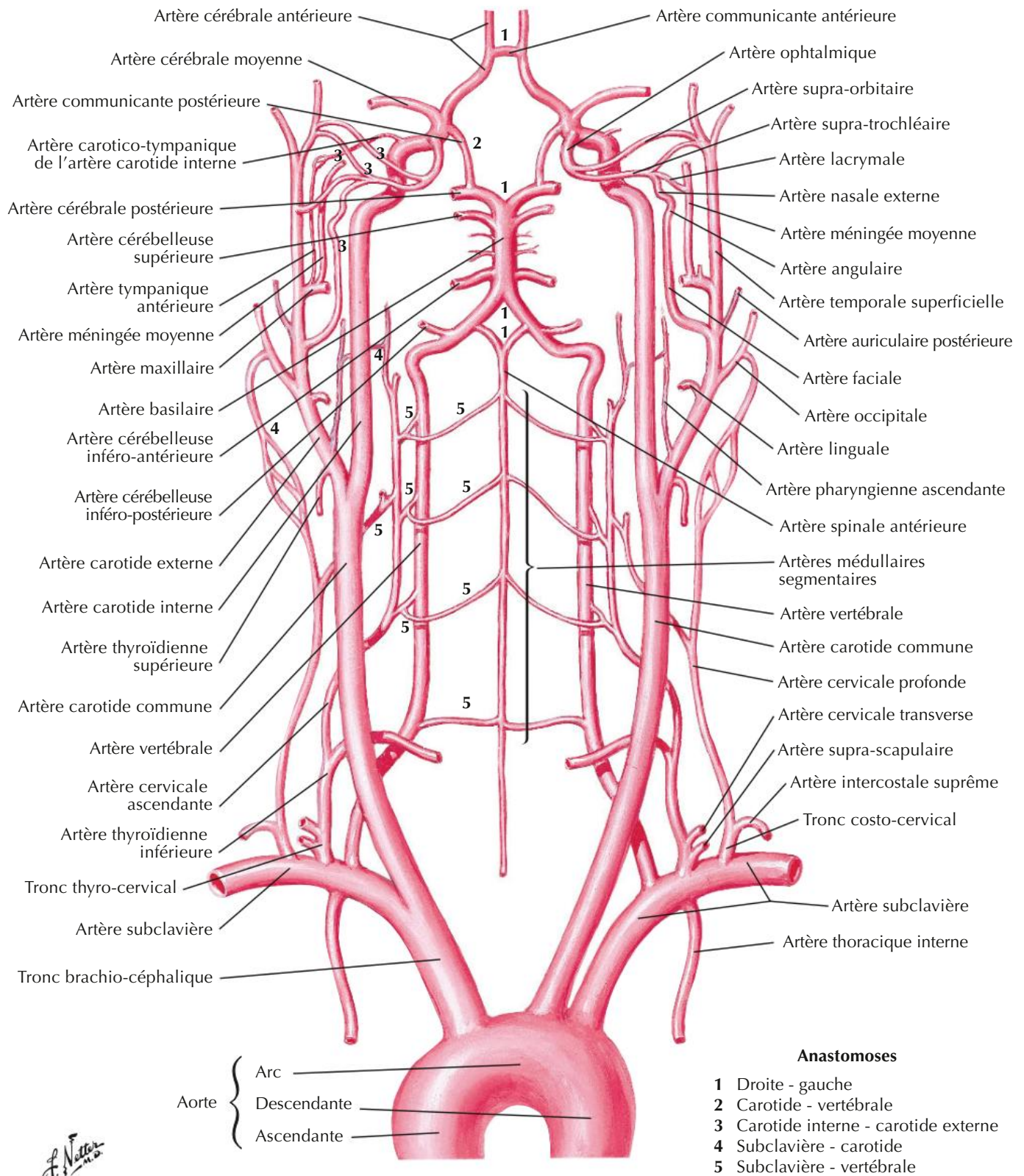
Artères destinées au cerveau et aux méninges

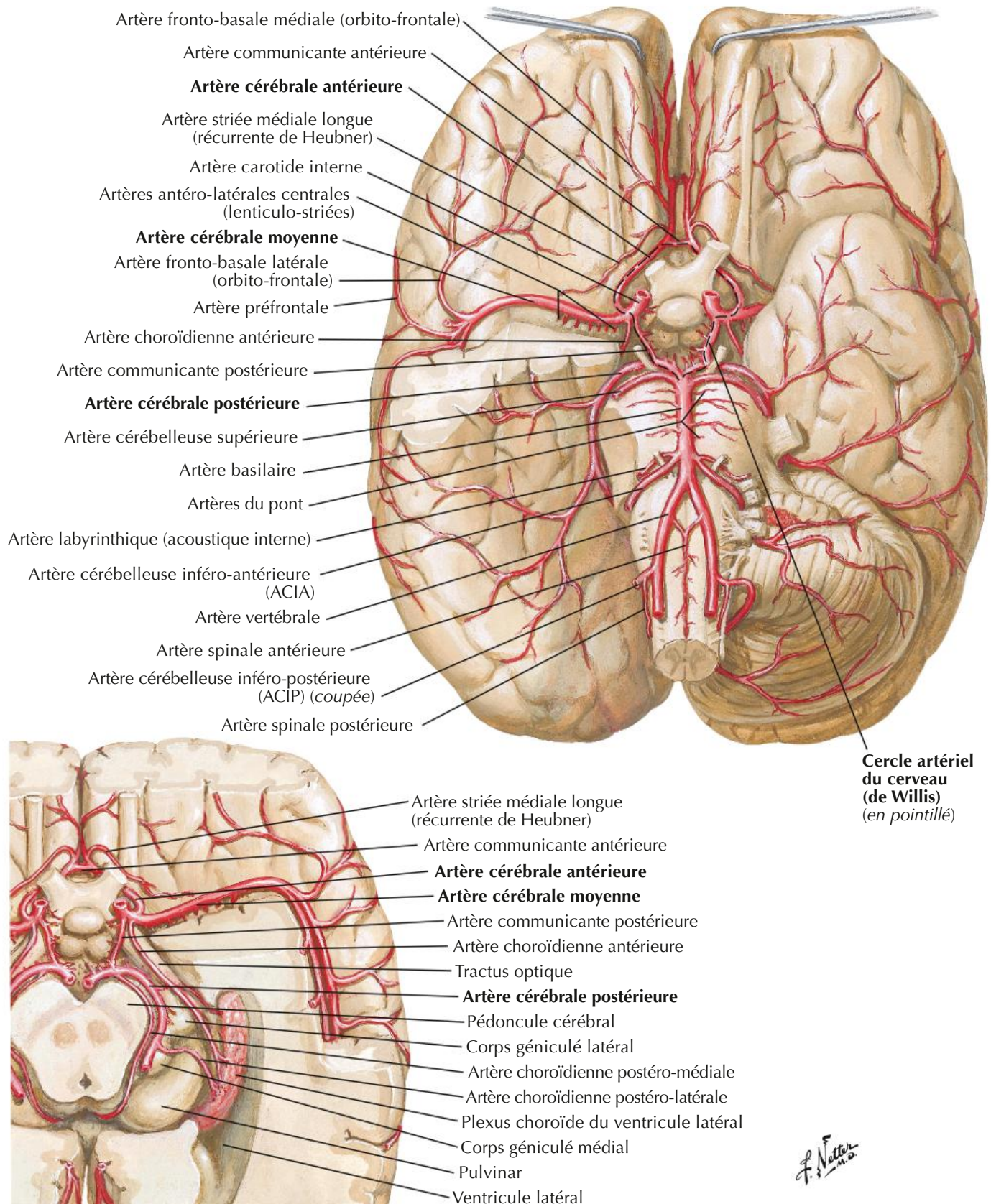
Voir aussi Planches 41, 64, 148



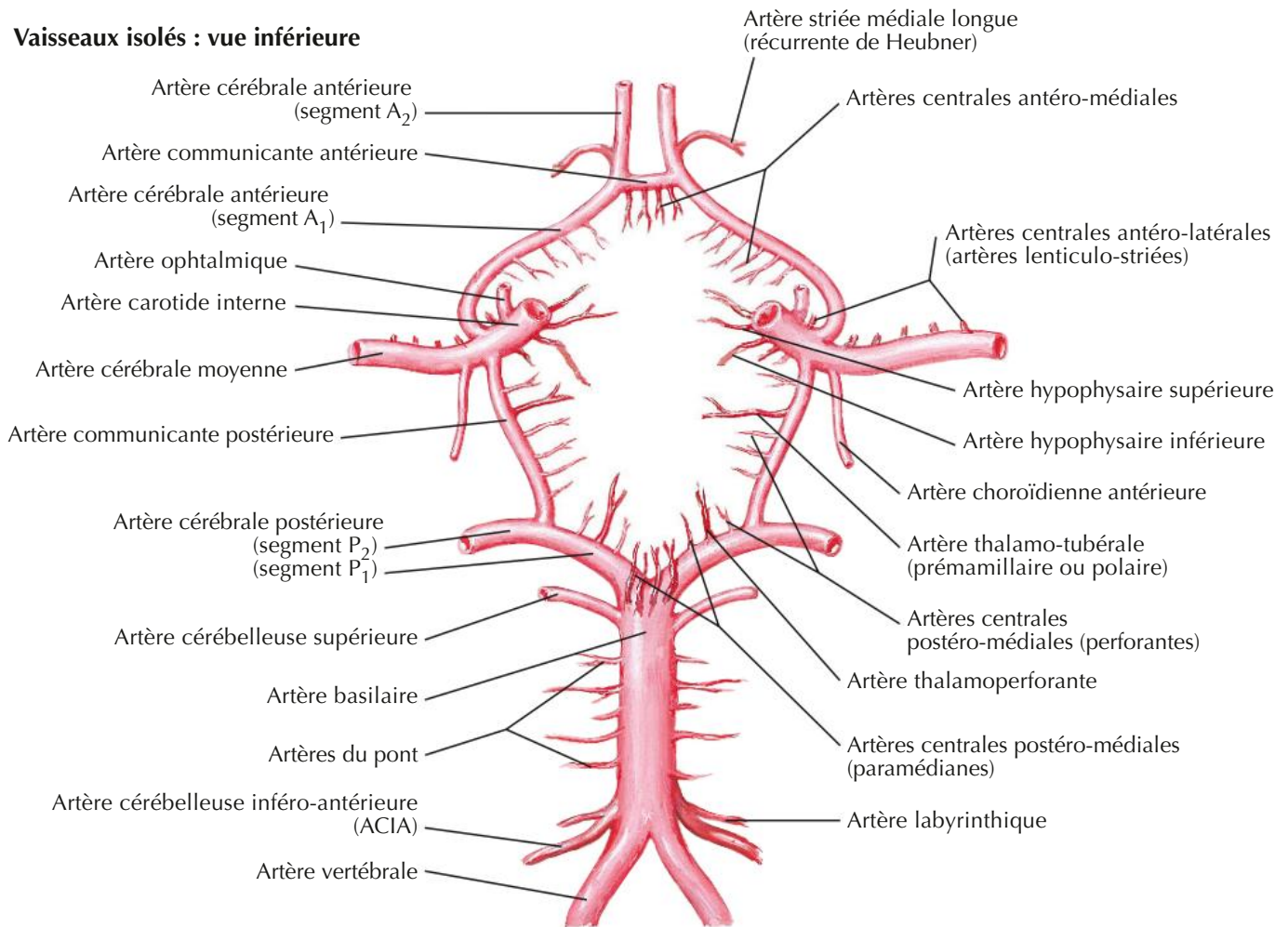


Artères destinées au cerveau : schéma

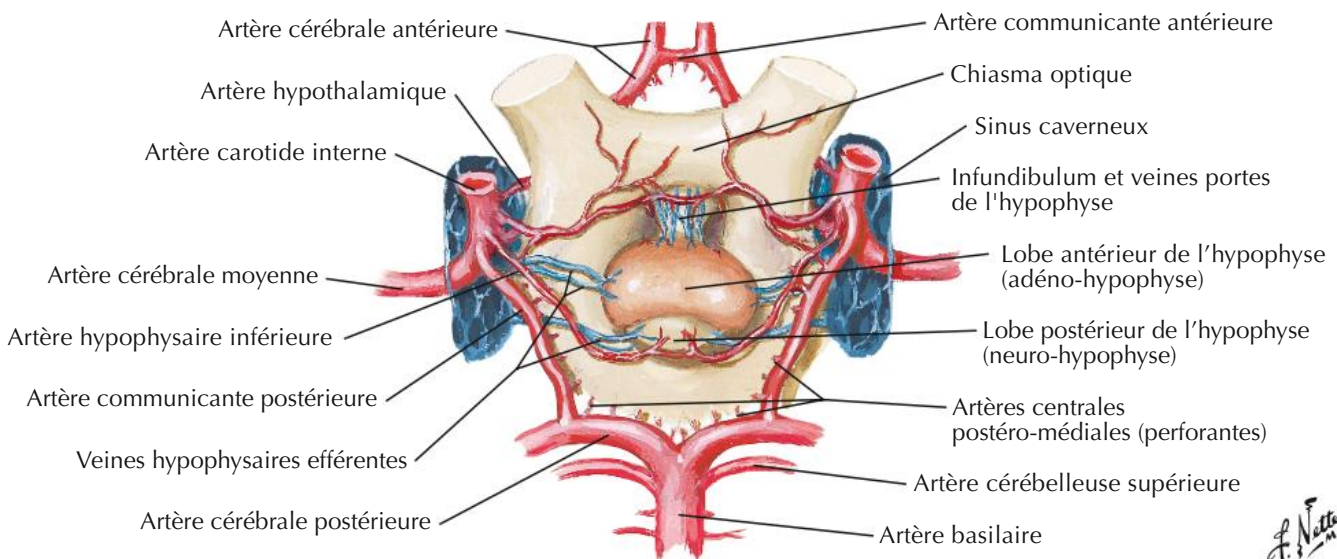


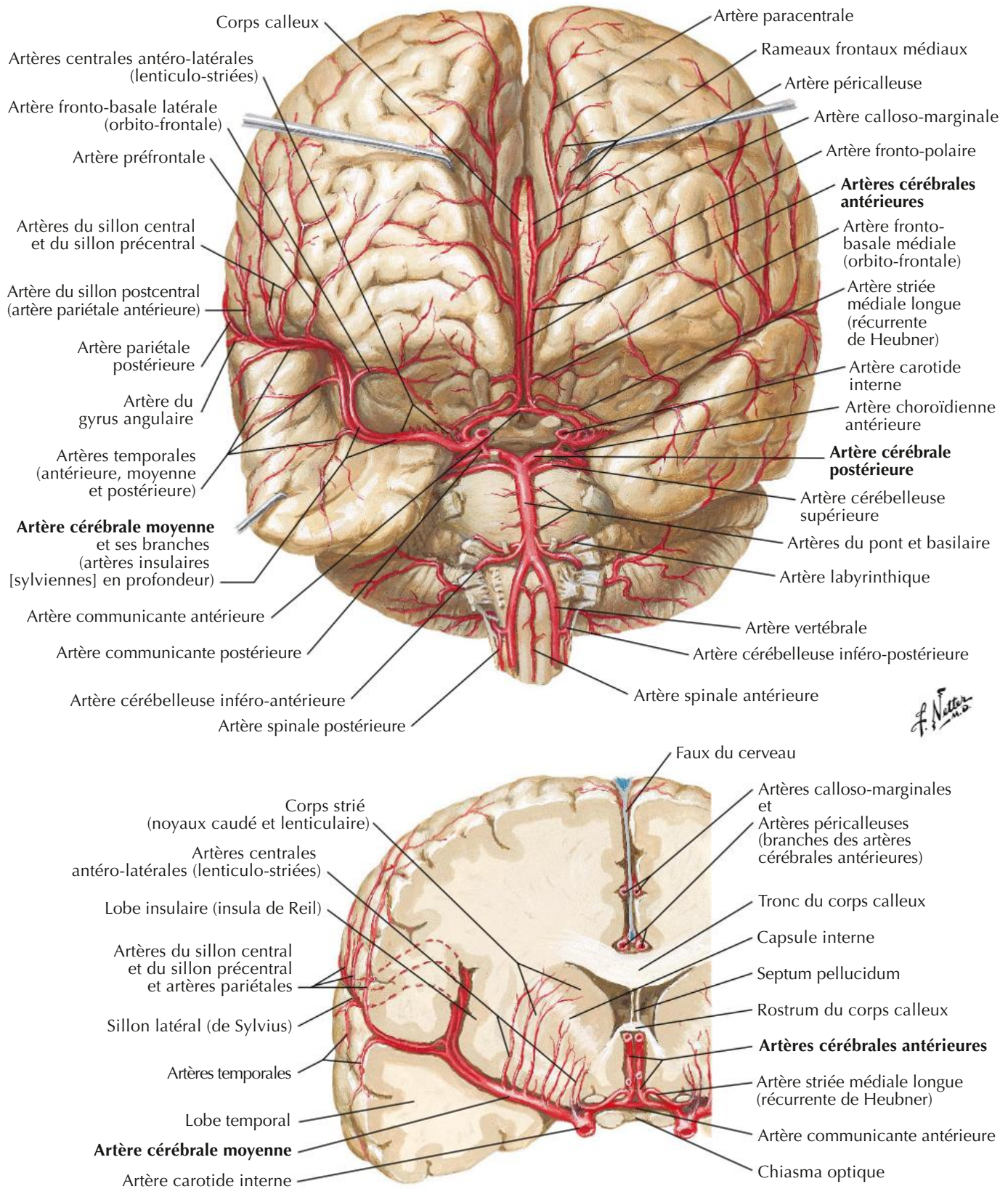


Vaisseaux isolés : vue inférieure

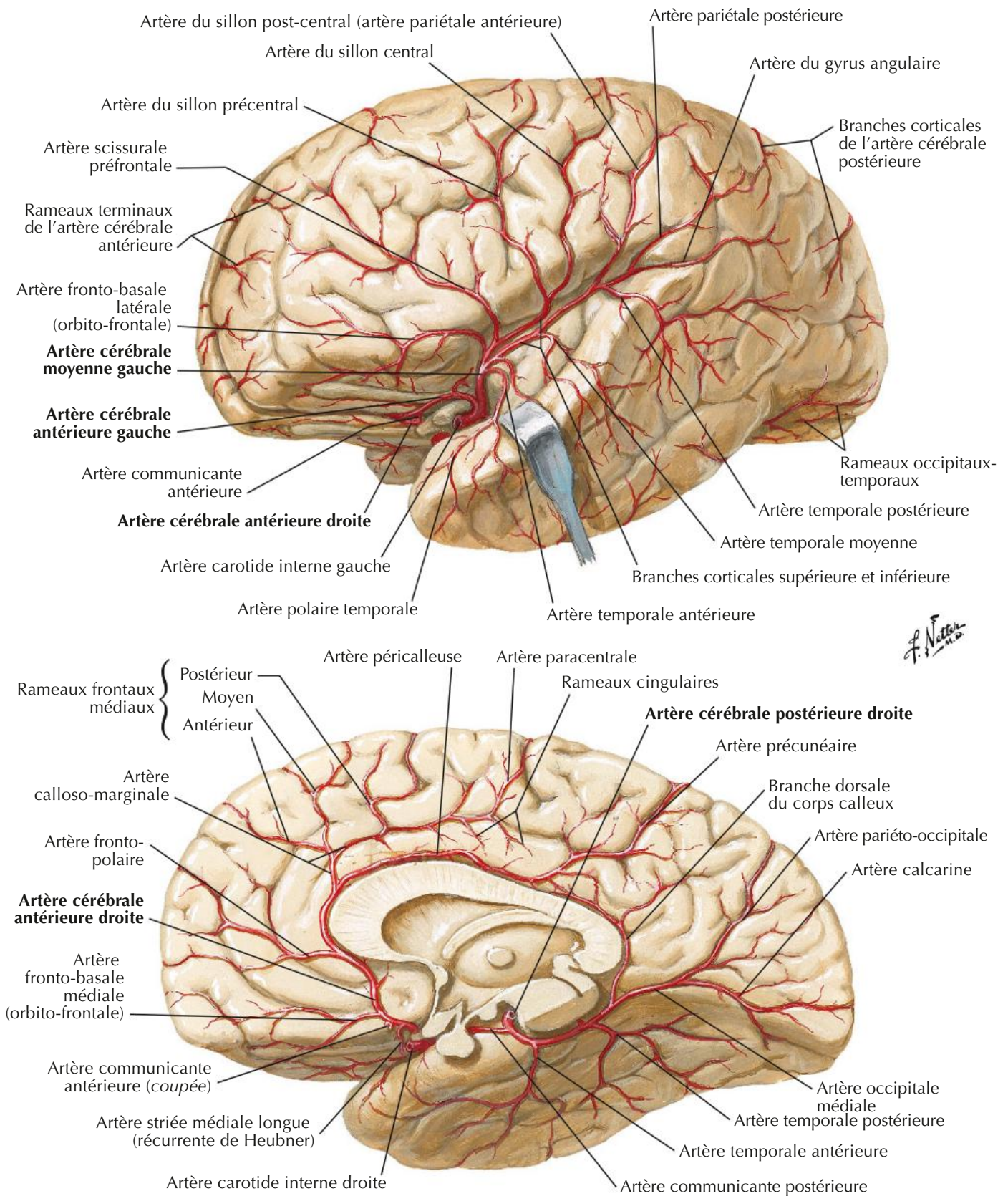


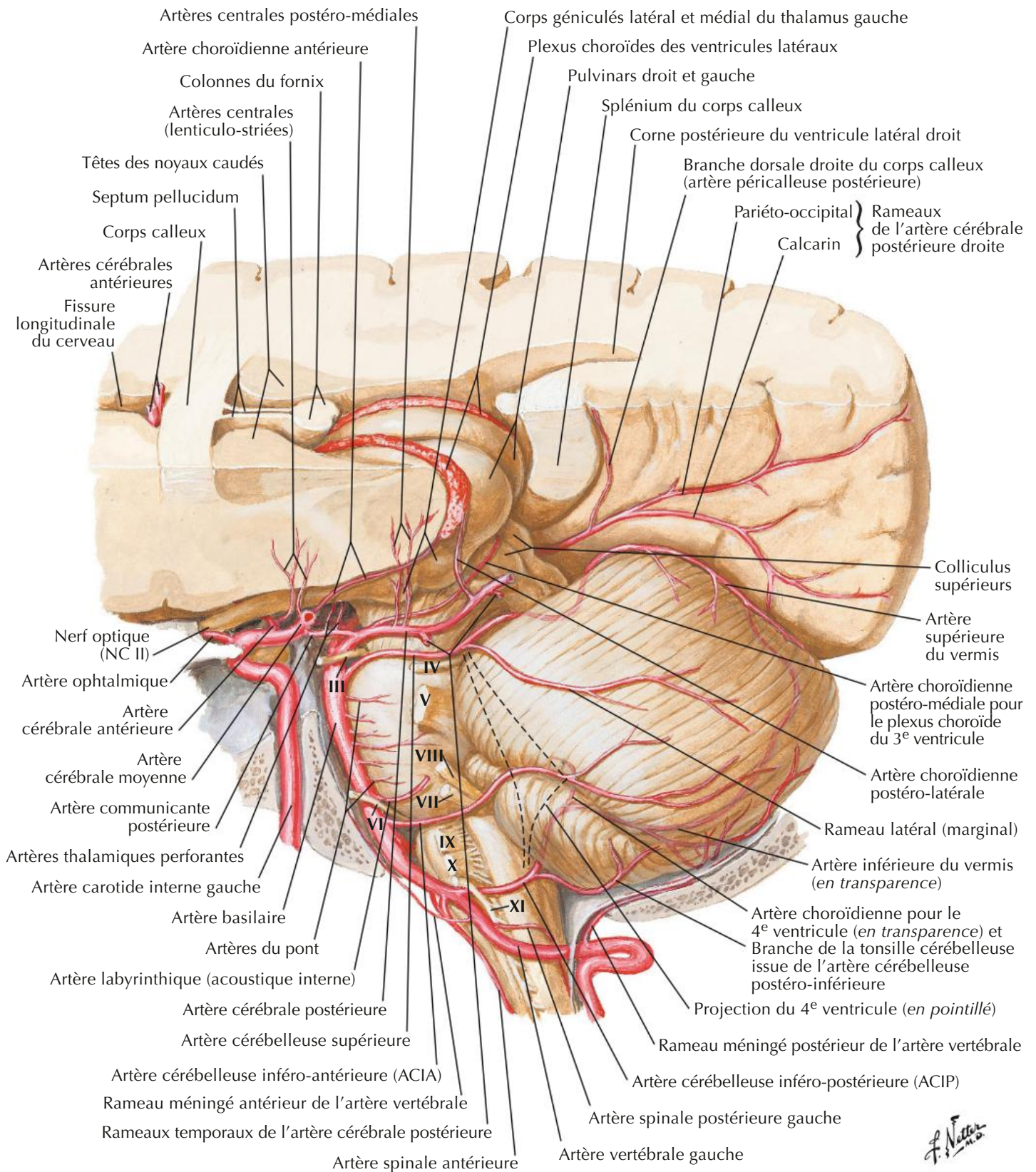
Vaisseaux *in situ* : vue inférieure



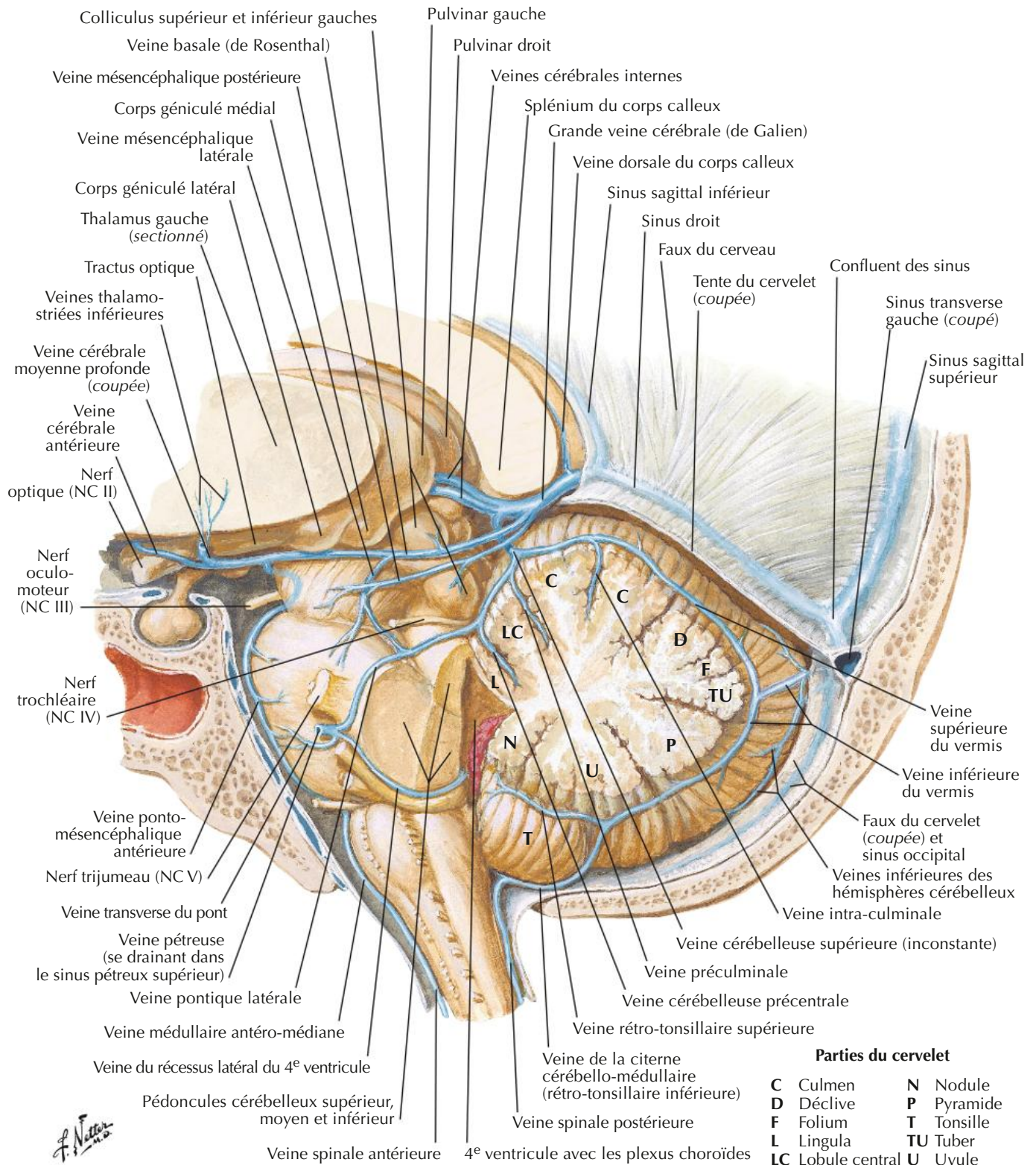


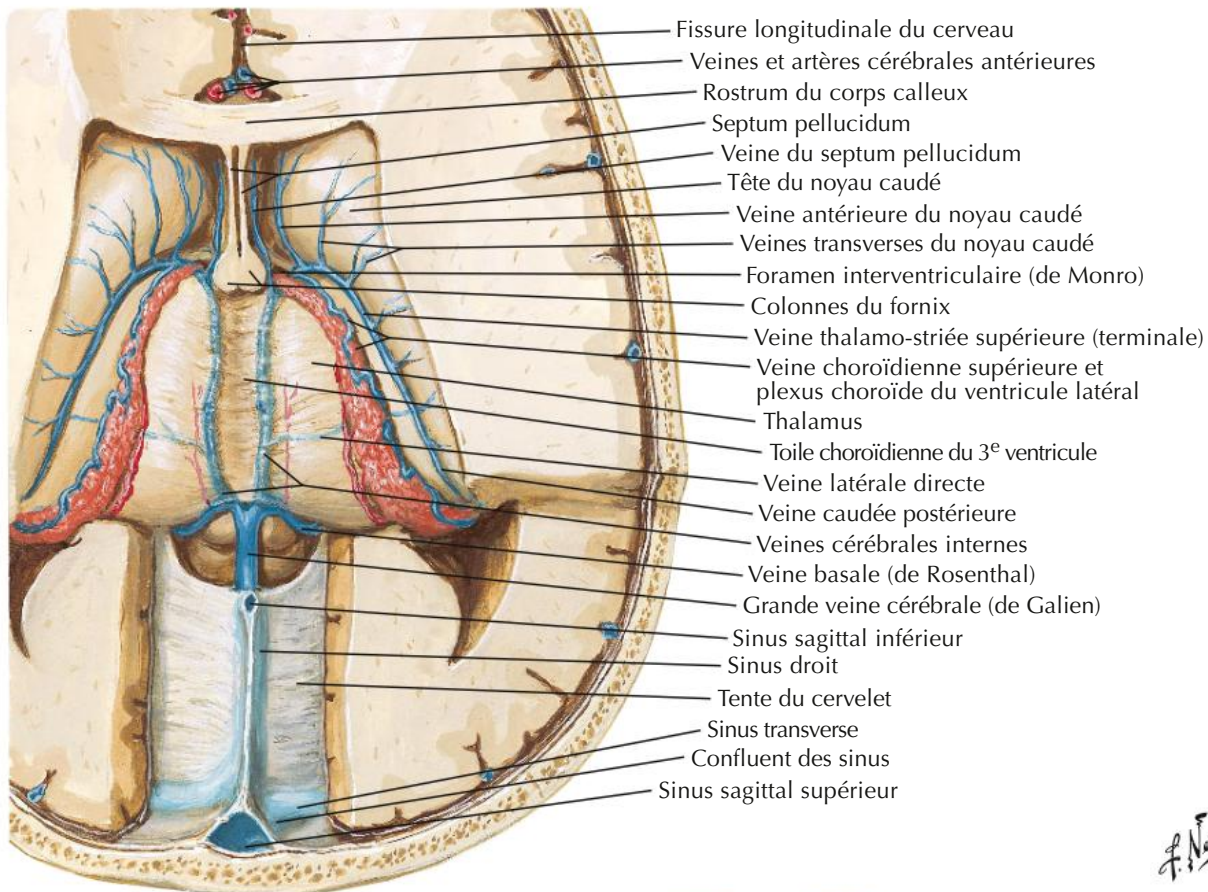
Artères du cerveau : vues latérale et médiale



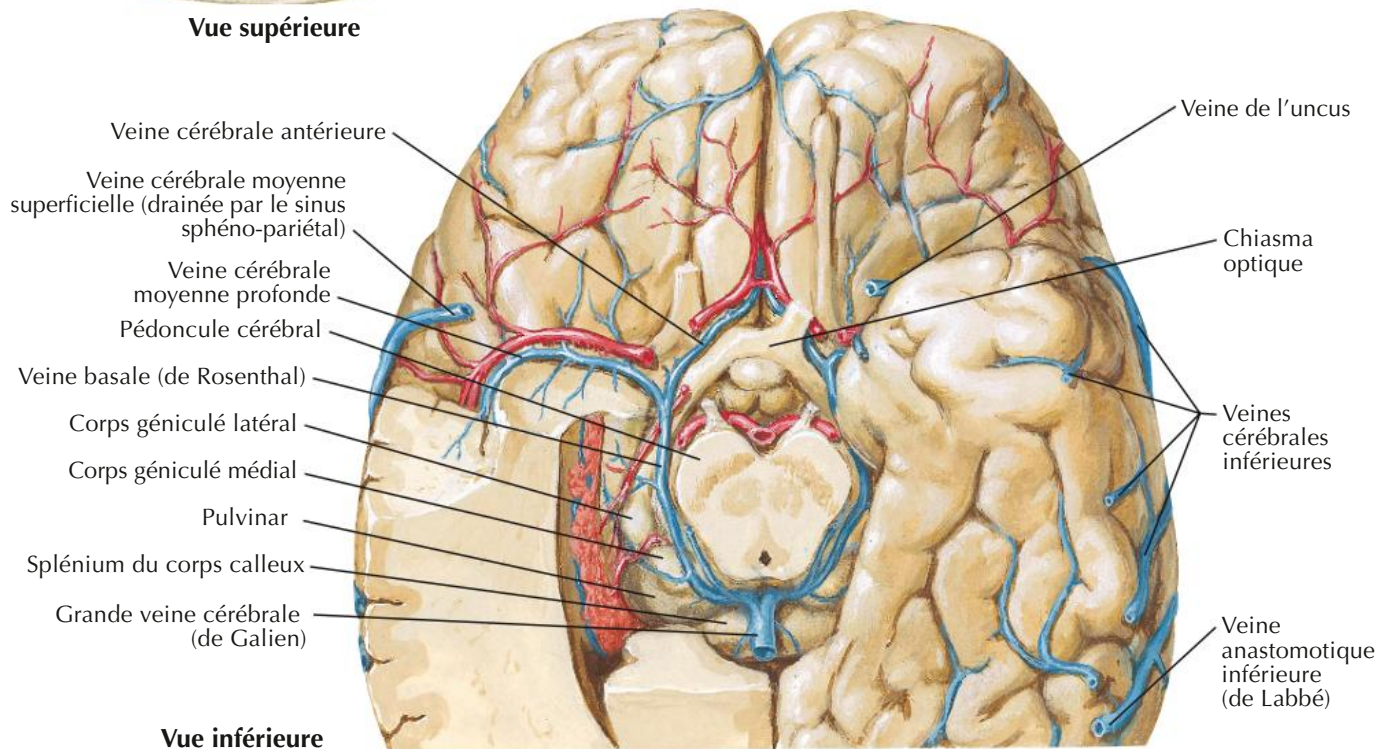


Veines de la fosse crânienne postérieure



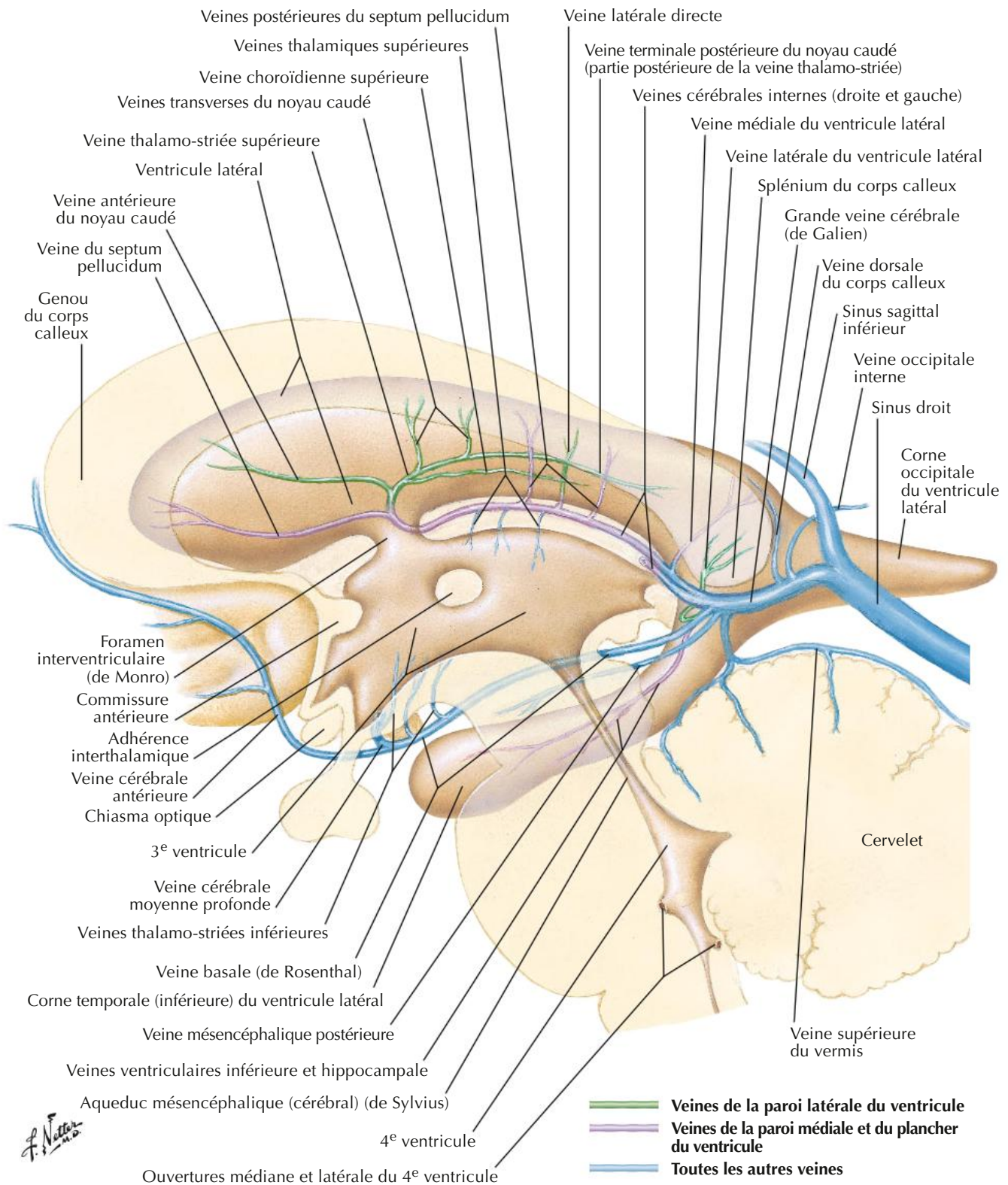


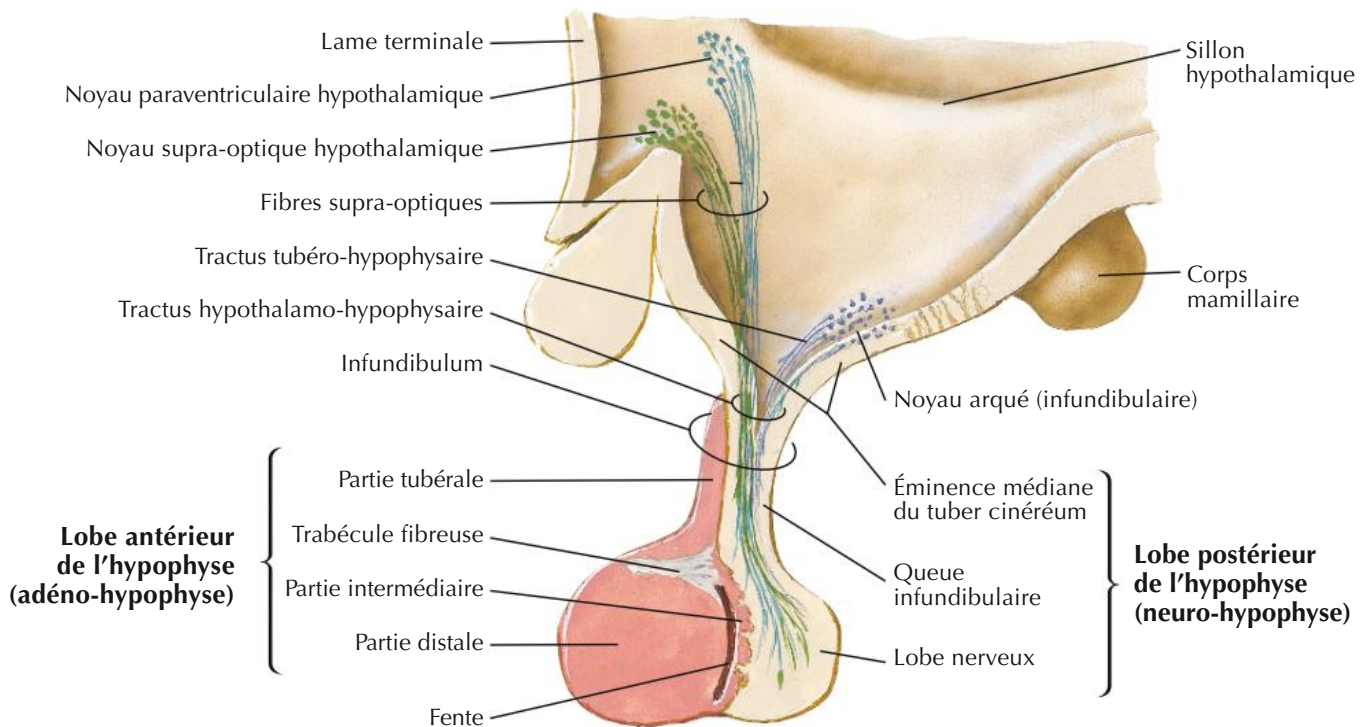
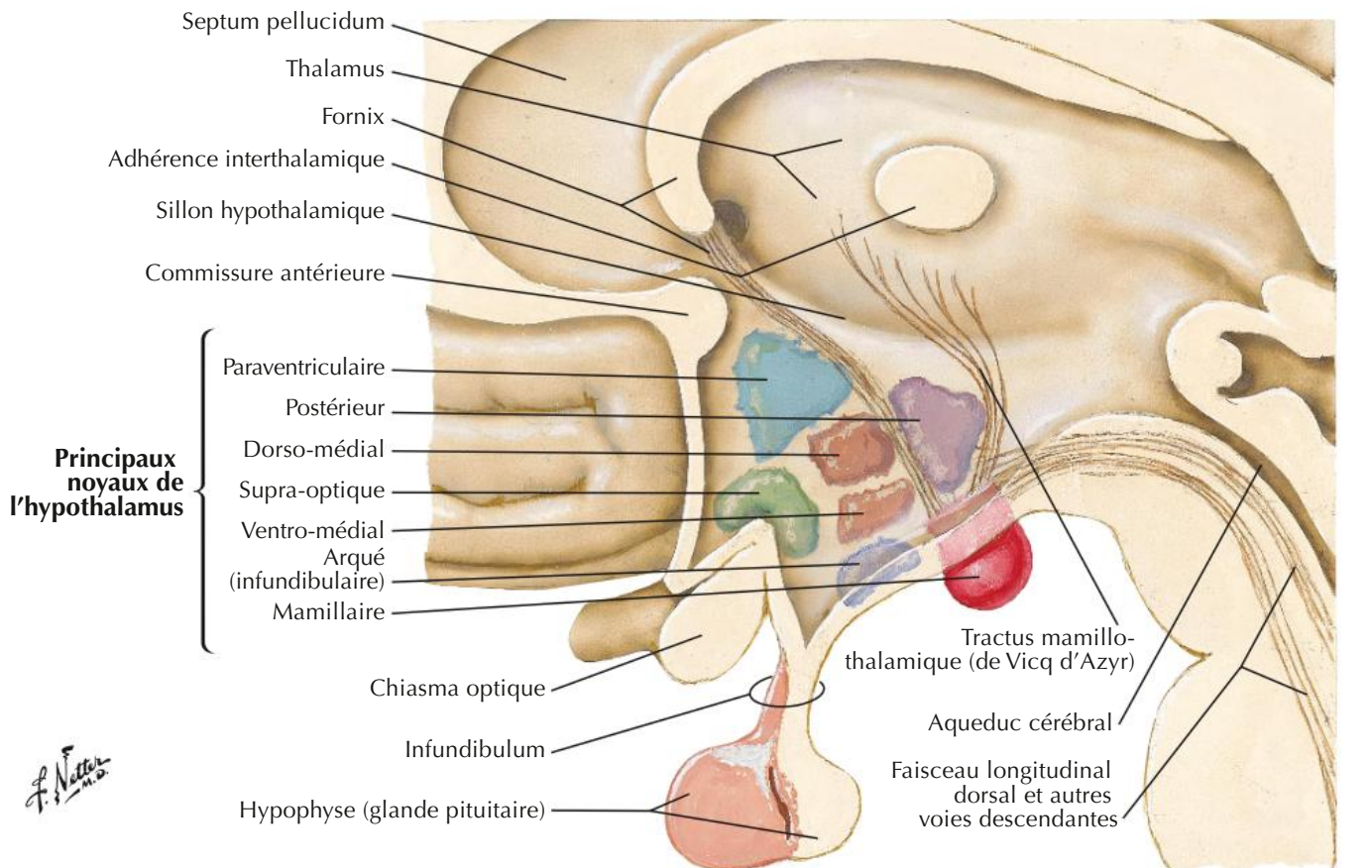
Vue supérieure



Vue inférieure

Veines sous-épendymaires de l'encéphale





Imagerie crânienne (ARM et VRM)

Angiographie par résonance magnétique (ARM) au niveau du cercle de Willis (image 3D par « temps de vol » [TOF] sans contraste)

Artère cérébrale antérieure (segment A2)

Artère cérébrale moyenne (segment M2)

Artère communicante antérieure

Artère carotide interne

Artère cérébelleuse supérieure

Artère basilaire

Artère cérébrale antérieure (segment A1)

Artère cérébrale moyenne (segment M1)

Artère communicante postérieure

Artère cérébrale postérieure

Artère cérébelleuse inféro-antérieure



Veinographie par résonance magnétique (VRM) (image 2D par « temps de vol » [TOF] sans contraste)

Veine cérébrale supérieure

Sinus sagittal supérieur

Veine cérébrale interne

Grande veine cérébrale (de Galien)

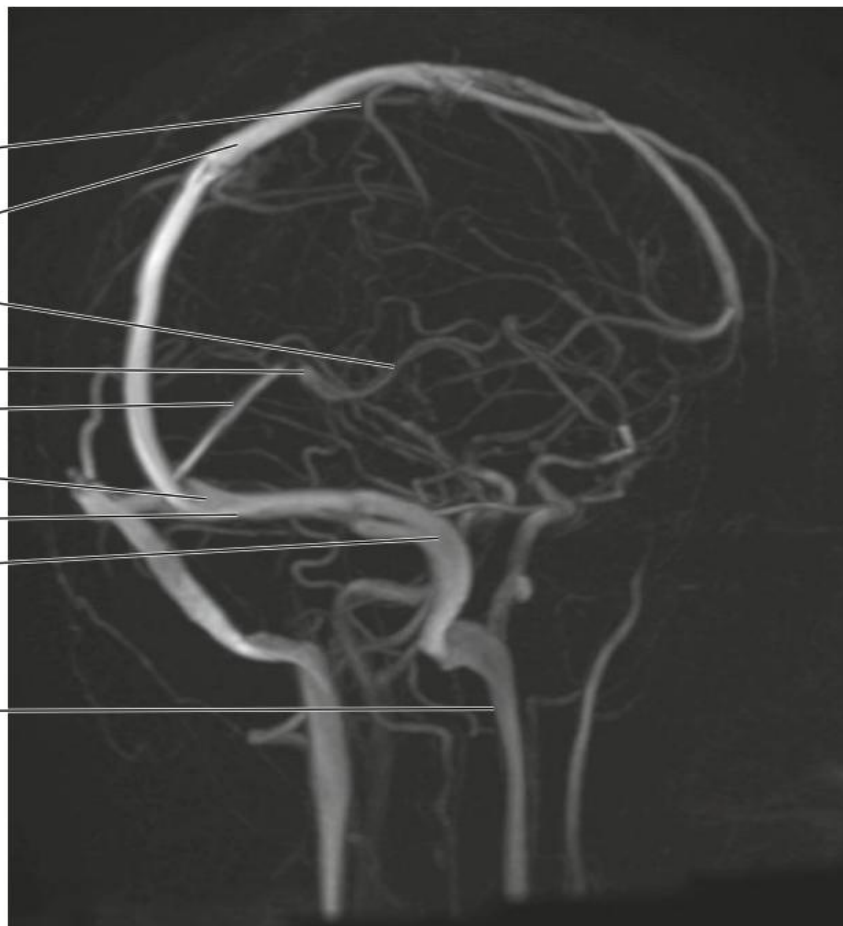
Sinus droit

Confluence des sinus

Sinus transverse

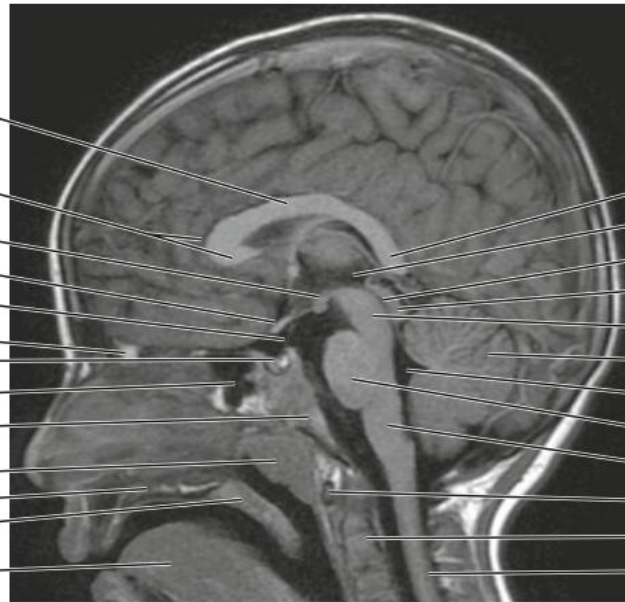
Sinus sigmoïde

Veine jugulaire interne



IRM en pondération T1, vue sagittale

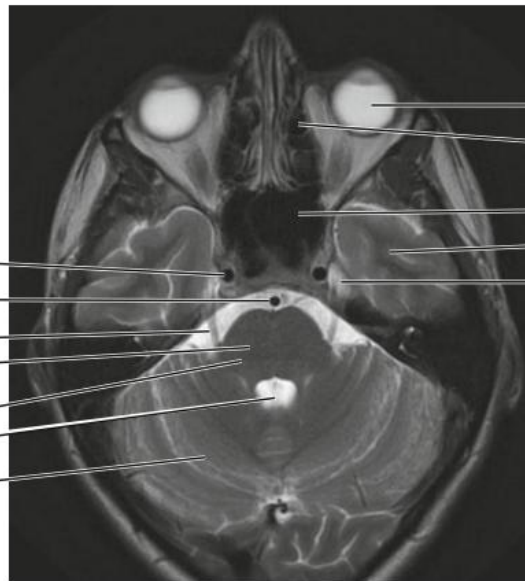
Corps (tronc) du corps calleux
Genou et rostrum du corps calleux
Corps mamillaire
Chiasma optique
Infundibulum
Crista galli
Hypophyse
Sinus sphénoïdal
Clivus
Tonsille pharyngienne
Palais dur
Palais mou
Langue



Splénium du corps calleux
3^e ventricule
Aqueduc cérébral
Toit (tectum)
Mésencéphale
Cervelet
4^e ventricule
Pont
Moelle allongée
Arc antérieur de l'atlas (C1)
Corps vertébral de l'axis (C2)
Moelle spinale cervicale

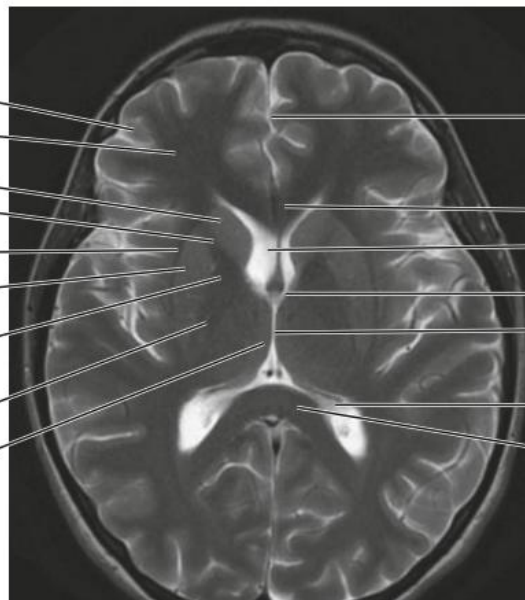
IRM en pondération T2, vue axiale sans contraste

Artère carotide interne
Artère basilaire
Nerf trijumeau (NC V)
Pont
Pédicule cérébelleux moyen
4^e ventricule
Cervelet



Bulbe de l'œil
Cellules ethmoïdales
Sinus ethmoïdal
Lobe temporal
Empreinte trigéminal



Substance grise (cortex)
Substance blanche
Tête du noyau caudé
Bras antérieur de la capsule interne
Capsule externe
Putamen du noyau lentiforme (lenticulaire)
Genou de la capsule interne
Bras postérieur de la capsule interne
Thalamus



Fissure longitudinale du cerveau
Genou du corps calleux
Corne frontale du ventricule latéral
Foramen interventriculaire (de Monro)
3^e ventricule
Corne occipitale du ventricule latéral
Splénium du corps calleux

STRUCTURE ANATOMIQUE	IMPORTANCE CLINIQUE	NUMÉROS DES PLANCHES
SYSTÈME SQUELETTIQUE		
Orbite	Un traumatisme direct de l'œil peut entraîner une « fracture de l'orbite » ; les bords sont intacts, mais la paroi médiale et/ou la paroi inférieure sont fracturées	11, 50
Ptérion	Point faible du crâne qui est le site fréquent d'une fracture	13
Articulation temporo-mandibulaire	Les pathologies temporo-mandibulaires sont à l'origine classique de douleur et de dysfonction	25
Vertèbres cervicales	Les lésions dégénératives entraînent un rétrécissement des foramens intervertébraux responsables de radiculopathie cervicale	26-28
Vertèbres cervicales	La fracture bilatérale de la partie inter-articulaire de C2 (spondylolyse) résulte d'une hyperextension de la tête et du cou et entraîne un spondylolisthésis de C2 (fracture « du pendu ») ; ces fractures (fréquentes) sont dues à des accidents de véhicule à moteur, motoneige et véhicule tout terrain	26
Cartilage thyroïde, cartilage cricoïde	Repères palpables utilisés dans la cricothyrotomie et la trachéostomie	87, 90
Osselets de l'ouïe	Toute pathologie affectant les osselets (par ex. otospongiose) peut entraîner une surdité de transmission	105, 106
SYSTÈME MUSCULAIRE		
Muscle de l'expression du visage (mimique)	Explorés pour vérifier l'intégrité du NC VII lors de l'examen des nerfs crâniens ; une parésie ou une paralysie de ces muscles apparaît lors d'une atteinte de NC VII (par ex. paralysie de Bell)	31, 134
Muscle sterno-cléido-mastoïdien	Palpé pour identifier les « repères nerveux du cou » pour réaliser une anesthésie loco-régionale	39
Muscles sterno-cléido-mastoïdien et trapèze	Explorés pour vérifier l'intégrité du NC XI lors de l'examen des nerfs crâniens	39, 138
Muscles de la mastication	Explorés pour vérifier l'intégrité du NC V (V3) lors de l'examen des nerfs crâniens	55, 56
Muscle élévateur du voile du palais, muscle uvulaire	Explorés pour vérifier l'intégrité du NC X lors de l'examen des nerfs crâniens ; une déviation de l'uvule palatine pendant l'élévation du voile indique une atteinte du NC X	67
Muscle génio-glosse	Exploré pour vérifier l'intégrité du NC XII lors de l'examen des nerfs crâniens ; la déviation de la langue lors de sa protraction signe une lésion du NC XII	70, 139
Muscles élévateur de la paupière supérieure et tarsal supérieur	Muscles responsables de l'élévation de la paupière supérieure ; le ptosis indique une atteinte du NC III ou du sympathique (muscle tarsal supérieur)	94, 96
Muscles du bulbe de l'œil	Explorés pour vérifier l'intégrité des NC III, NC IV et NC VI lors de l'examen des nerfs crâniens	96, 98
Muscle dilatateur de la pupille	Important pour vérifier l'intégrité de la fonction sympathique au niveau céphalique ; la perte des capacités de mydriase indique une atteinte des fibres sympathiques sur leur trajet (par ex. syndrome de Claude Bernard-Horner)	101, 132
Muscle sphincter de la pupille	Impliqué dans le réflexe pupillaire à la lumière (myosis) et le réflexe d'accommodation	101, 132
SYSTÈME RESPIRATOIRE		
Sinus para-nasaux	Cavités dans l'os ; enclins à l'inflammation muqueuse en rapport avec une infection bactérienne ou virale	49, 50

STRUCTURE ANATOMIQUE IMPORTANCE CLINIQUE		NUMÉROS DES PLANCHES
 SYSTÈME DIGESTIF		
Glande parotide	La tuméfaction de la glande en rapport avec une infection (par ex. oreillons) peut comprimer les branches du nerf facial, et être responsable de parésie faciale	53, 54
 SYSTÈME ENDOCRINIEN		
Glande thyroïde	Siège fréquent de cancer dont l'exérèse conduit à une thyroïdectomie	87
 SYSTÈME NERVEUX		
Nerf accessoire (NC XI)	La biopsie ganglionnaire au niveau du trigone cervical postérieur peut être responsable de lésion iatrogène du NC XI	39
Plexus cervical	Des anesthésies loco-régionales (blocs) du plexus cervical sont réalisées pour des procédures cervicales (par ex. endartériectomie carotidienne)	39, 40
Nerf trijumeau (NC V)	Les branches du NC V sont anesthésiées pour des interventions sur la face ou le cuir chevelu	42, 133
Nerf olfactif (NC I)	L'un des nerfs crâniens le plus fréquemment lésé ; il peut subir une avulsion au niveau de la lame criblée suite à une chute traumatique	46, 130
Nerf facial (NC VII)	La paralysie faciale idiopathique (paralysie de Bell) peut conduire à l'impossibilité de fermer l'œil et à une cornée desséchée	54
Nerf laryngé récurrent	Il peut être comprimé ou lésé par des interventions cervicales (par ex. thyroïdectomie), un anévrisme de l'arc aortique, un cancer du poumon, et engendrer un enrouement de la voix	88, 89
Nerf oculomoteur (NC III), nerf trochléaire (NC IV) et nerf abducens (NC VI)	Une thrombose du sinus caverneux peut engendrer un dysfonctionnement des muscles extra-oculaires en rapport avec la compression d'un, de deux ou des trois nerfs	115
Colliculus supérieur et aqueduc cérébral	Les tumeurs du cerveau intermédiaire peuvent engendrer une compression de l'aqueduc cérébral et être responsable d'une hydrocéphalie	120
Nerf optique (NC II)	Un des premiers signes des tumeurs de l'hypophyse est une hémianopsie bitemporale	131, 151
Nerf optique (NC II)	Un des premiers signes d'un anévrisme de l'artère ophtalmique est une perte visuelle en rapport avec une compression du nerf optique sous-jacent	148
 SYSTÈME CARDIO-VASCULAIRE		
Veines jugulaires interne et externe droites	Explorées pour affirmer un pouls jugulaire ; la veine jugulaire interne est préférée car en ligne directe avec la veine cave supérieure ; la veine jugulaire externe peut cependant être utilisée, notamment si la veine jugulaire interne est difficile à visualiser	38
Veine jugulaire interne, veine subclavière	Utilisées comme abords veineux pour l'insertion d'un cathéter veineux central	38, 84
Artère thyroïdienne inférieure	Exposée lors de la thyroïdectomie ; elle doit être préservée pour conserver la vascularisation des glandes parathyroïdes	40, 88
Artère carotide commune	Palpée au cou pour confirmer la présence d'un pouls carotidien ; encline à l'athérosclérose qui épaissit la paroi du vaisseau	41
Artères ethmoïdale antérieure, sphéno palatine et faciale	Les anastomoses de ces vaisseaux dans le vestibule nasal sont le siège habituel du saignement de nez (épistaxis)	47
Plexus veineux ptérygoïdien	Trajet habituel de propagation des infections en raison des connexions entre la face, l'orbite et leurs sinus veineux	84, 99

STRUCTURE ANATOMIQUE	IMPORTANCE CLINIQUE	NUMÉROS DES PLANCHES
 SYSTÈME CARDIO-VASCULAIRE–Suite		
Artère ophtalmique	Source principale de la vascularisation de la rétine ; une cécité peut survenir en cas d'occlusion de l'artère	99, 103
Artères du cuir chevelu (scalp)	Les lacérations saignent abondamment en raison de la riche vascularisation ; les vaisseaux ne se rétractent pas dans les couches de tissu conjonctif dense du cuir chevelu	111
Veines cérébrales supérieures	Elles peuvent se déchirer à leur abouchement dans le sinus sagittal supérieur, entraînant un hématome sous-dural	112, 113, 114, 120
Artère méningée moyenne	Un traumatisme crânien peut déchirer l'artère méningée moyenne, entraînant un hématome épidural (extra-dural)	112
Sinus veineux durs	Les infections au niveau de la tête peuvent se propager aux sinus, causant la thrombose du sinus dural ; le sinus caverneux est le plus exposé	114, 115
Sinus caverneux	Une fistule (communication) entre l'artère carotide interne et le sinus caverneux peut se produire, particulièrement après un traumatisme	115, 151
Sinus carotidien	Il doit être comprimé pendant le massage sino-carotidien	141
Cercle artériel du cerveau (de Willis)	Siège habituel des anévrismes ; sa rupture est responsable d'hémorragie sous-arachnoïdienne	150
 SYSTÈME LYMPHATIQUE		
Conduit thoracique	Peut être lésé dans le cou à la jonction entre les veines jugulaire interne et subclavière	85
Nœuds lymphatiques profonds supérieurs et inférieurs	Palpés lors de l'examen cervical pour déterminer leur taille	85, 86

* Les sélections ont été fondées en grande partie sur des données cliniques et les corrélations anatomo-cliniques fréquemment discutées dans les cours d'anatomie macroscopique.

MUSCLE	GROUPE MUSCULAIRE	INSERTION PROXIMALE (ORIGINE)	INSERTION DISTALE (TERMINAISON)	INNERVATION	ACTIONS PRINCIPALES	VASCULARISATION ARTÉRIELLE
Abaisseur de l'angle de la bouche	Muscle de la mimique (expression faciale)	En continuité avec le platysma sur la ligne oblique de la mandibule	Commissure labiale (angle de la bouche), confondu avec le muscle orbiculaire de la bouche et la peau	Branches marginale de la mandibule et buccale du nerf facial	Abaisse la commissure labiale	Branche labiale inférieure de l'artère faciale
Abaisseur de la lèvre inférieure	Muscle de la mimique (expression faciale)	Face latérale de la mandibule entre symphyse et foramen mentonnier, en profondeur du muscle abaisseur de l'angle de la bouche	Peau de la lèvre inférieure, se mélangeant avec le muscle orbiculaire de la bouche, ses fibres médianes rejoignant celles du côté opposé	Branches marginale de la mandibule et buccale du nerf facial	Abaisse la lèvre inférieure et l'éverse en l'attirant latéralement	Branche labiale inférieure de l'artère faciale
Abaisseur du septum nasal	Muscle de la mimique (expression faciale)	Fosse incisive du maxillaire	Septum et partie postérieure de l'aile du nez	Branches zygomatique et buccale du nerf facial	Rétrécit l'orifice nasal et abaisse le septum nasal	Branche labiale supérieure de l'artère faciale
Aryténoïdiens transverse et oblique	Muscle du larynx	Cartilage aryténoïde	Cartilage aryténoïde opposé	Nerf laryngé récurrent	Ferme la partie intercartilagineuse de la fente glottique	Artères thyroïdiennes supérieure et inférieure
Auriculaire antérieur	Muscle de l'oreille externe	Fascia temporal, aponévrose épicroténienne	Partie antérieure de la face médiale de l'hélix de l'auricule	Branches auriculaire postérieure et temporale du nerf facial	Èlève et protracte (attire vers l'avant) l'auricule	Branche auriculaire de l'artère auriculaire postérieure, branche pariétale de l'artère temporale superficielle
Auriculaire postérieur	Muscle de l'oreille externe	Base du processus mastoïde	Partie inférieure de la face crâniale de l'auricule	Branches auriculaire postérieure et temporale du nerf facial	Rétracte (attire vers l'arrière) et èlève l'auricule	Branche auriculaire de l'artère auriculaire postérieure, branche pariétale de l'artère temporale superficielle
Auriculaire supérieur	Muscle de l'oreille externe	Fascia temporal, aponévrose épicroténienne	Partie supérieure de la face médiale de l'auricule	Branches auriculaire postérieure et temporale du nerf facial	Rétracte (attire vers l'arrière) et èlève l'auricule	Branche auriculaire de l'artère auriculaire postérieure, branche pariétale de l'artère temporale superficielle
Buccinateur	Muscle de la mimique (expression faciale)	Partie postérieure du processus alvéolaire du maxillaire, ligne oblique de la mandibule à la face externe de l'alvéole dentaire des molaires, bord antérieur du raphé ptérygo-mandibulaire	Angle de la bouche	Branches buccales du nerf facial	Comprime les joues, expire l'air entre les lèvres (action de souffler), participe à la mastication	Branches musculaires de l'artère faciale, branche buccale de l'artère maxillaire
Ciliaire	Muscle intrinsèque de l'œil	Jonction cornéo-sclérale (limbe)	Corps ciliaire	Fibres parasympathiques via les nerfs ciliaires courts (nerf crânien III)	Contracte le corps ciliaire entraînant le bombement du cristallin (accommodation)	Artère ophtalmique
Constricteur inférieur du pharynx	Muscle circulaire du pharynx	Ligne oblique du cartilage thyroïde et cartilage cricoïde	Raphé médian du pharynx	Nerf vague (nerf crânien X) par le biais du plexus pharyngien	Constriction de la paroi pharyngienne avec rétrécissement de la cavité pharyngienne pendant la déglutition	Artère pharyngienne ascendante, et branches de l'artère thyroïdienne supérieure
Constricteur moyen du pharynx	Muscle circulaire du pharynx	Ligament stylo-hyoïdien et cornes de l'os hyoïde	Raphé médian du pharynx	Nerf vague (nerf crânien X) par le biais du plexus pharyngien	Constriction de la paroi pharyngienne avec rétrécissement de la cavité pharyngienne pendant la déglutition	Artère pharyngienne ascendante, branches palatine ascendante et tonsillaire de l'artère faciale, branches dorsales de la langue de l'artère linguale

Des variations dans les contributions des nerfs spinaux dans l'innervation des muscles, dans la vascularisation artérielle des muscles, dans leurs insertions et leurs actions sont des événements fréquents dans l'anatomie humaine. Ainsi, il peut exister des différences entre les textes de différents ouvrages : considérez que les variations anatomiques sont normales.

MUSCLE	GROUPE MUSCULAIRE	INSERTION PROXIMALE (ORIGINE)	INSERTION DISTALE (TERMINAISON)	INNERVATION	ACTIONS PRINCIPALES	VASCULARISATION ARTÉRIELLE
Constricteur supérieur du pharynx	Muscle circulaire du pharynx	Hamulus ptérygoïdien, raphé ptérygo-mandibulaire, ligne mylo-hyoïdienne de la mandibule	Raphé médian du pharynx	Nerf vague (nerf crânien X) par le biais du plexus pharyngien	Constriction de la paroi pharyngienne avec rétrécissement de la cavité pharyngienne pendant la déglutition	Artère pharyngienne ascendante, branches palatine ascendante et tonsillaire de l'artère faciale, branches dorsales de l'artère linguale
Corrugateur du sourcil	Muscle de la mimique (expression faciale)	Partie médiale du bord supra-orbitaire	Peau de la moitié médiale du sourcil	Branche zygomatique et temporale du nerf facial	Attire les sourcils en bas et en dedans, produit des rides en fronçant les sourcils	Branches zygomato-orbitaire et antérieure de l'artère temporale superficielle
Crico-aryténoïdien latéral	Muscle du larynx	Arc du cartilage cricoïde	Processus musculaire du cartilage aryténoïde	Nerf laryngé récurrent	Adducteur du pli vocal	Artères thyroïdiennes supérieure et inférieure
Crico-aryténoïdien postérieur	Muscle du larynx	Face postérieure de la lame du cartilage cricoïde	Processus musculaire du cartilage aryténoïde	Nerf laryngé récurrent	Abducteur des plis vocaux	Artères thyroïdiennes supérieure et inférieure
Crico-thyroïdien	Muscle du larynx	Partie antérieure du cartilage cricoïde	Bord inférieur du cartilage thyroïde et ses cornes inférieures	Branche externe du nerf laryngé supérieur	Allonge et tend les ligaments vocaux	Artères thyroïdiennes supérieure et inférieure
Digastrique	Muscle supra-hyoïdien	Ventre antérieur : fosse digastrique de la mandibule Ventre postérieur : incisure mastoïdienne de l'os temporal	Tendon intermédiaire attaché au corps de l'os hyoïde	Ventre antérieur : nerf du mylo-hyoïdien (V) Ventre postérieur : nerf facial (VII)	Soulève l'os hyoïde et la base de langue, stabilise l'os hyoïde, ouvre la bouche en abaissant la mandibule	Ventre antérieur : branches de l'artère submentonnière Ventre postérieur : branches musculaires de l'artère auriculaire postérieure, branches musculaires de l'artère occipitale
Dilatateur pupillaire	Muscle intrinsèque de l'œil	Fibres radiales de l'iris	Mélange avec les fibres du muscle sphincter pupillaire	Fibres sympathiques du ganglion cervical supérieur	Dilate la pupille	Artère ophtalmique
Droit antérieur de la tête	Muscle pré-vertébral	Masse latérale de l'atlas	Base de l'os occipital devant le foramen magnum	Rameau ventral des nerfs spinaux cervicaux (C1-C2)	Fléchit la tête	Branches musculaires de l'artère vertébrale, artère pharyngienne ascendante
Droit inférieur de l'œil	Muscle du bulbe de l'œil (extrinsèque)	Anneau tendineux commun (Zinn)	Partie inférieure du bulbe de l'œil, en arrière de la jonction scléro-cornéenne (limbe)	Nerf oculomoteur (nerf crânien III), division inférieure	Abaisse et entraîne une adduction et une rotation latérale de l'œil	Artère ophtalmique
Droit latéral de la tête	Muscle pré-vertébral	Face supérieure du processus transverse de l'atlas	Face inférieure du processus jugulaire de l'os occipital	Rameau ventral des nerfs spinaux cervicaux (C1-C2)	Incline latéralement la tête du même côté que le muscle	Branches musculaires de l'artère vertébrale, artère occipitale, artère pharyngienne ascendante
Droit latéral de l'œil	Muscle du bulbe de l'œil (extrinsèque)	Anneau tendineux commun (Zinn)	Partie latérale du bulbe de l'œil, en arrière de la jonction scléro-cornéenne (limbe)	Nerf abducens (nerf crânien VI)	Abducteur de l'œil	Artère ophtalmique
Droit médial de l'œil	Muscle du bulbe de l'œil (extrinsèque)	Anneau tendineux commun (Zinn)	Partie médiale du bulbe de l'œil, en arrière de la jonction scléro-cornéenne (limbe)	Nerf oculomoteur (nerf crânien III), division inférieure	Adducteur de l'œil	Artère ophtalmique
Droit supérieur de l'œil	Muscle du bulbe de l'œil (extrinsèque)	Anneau tendineux commun (Zinn)	Partie supérieure du bulbe de l'œil, en arrière de la jonction scléro-cornéenne (limbe)	Nerf oculomoteur (nerf crânien III), division supérieure	Élève et entraîne une adduction et une rotation médiale de l'œil	Artère ophtalmique
Élévateur de l'angle de la bouche	Muscle de la mimique (expression faciale)	Fosse canine du maxillaire en dessous du foramen infra-orbitaire, recouvert du chef zygomatique du muscle élévateur de la lèvre supérieure	Angle de la bouche ; fibres entremêlées avec celles des muscles orbiculaire de la bouche, abaisseur de l'angle de la bouche, zygomatiques	Branches zygomatique et buccale du nerf facial (nerf crânien VII)	Élève l'angle de la bouche	Branche labiale supérieure de l'artère faciale
Élévateur de la lèvre supérieure	Muscle de la mimique (expression faciale)	Maxillaire, au-dessus du foramen infra-orbitaire	Peau de la lèvre supérieure	Branches zygomatique et buccale du nerf facial (nerf crânien VII)	Élève la lèvre supérieure, dilate les narines	Branche labiale supérieure et branches musculaires angulaires de l'artère faciale

Tableau 2.5

MUSCLE	GROUPE MUSCULAIRE	INSERTION PROXIMALE (ORIGINE)	INSERTION DISTALE (TERMINAISON)	INNERVATION	ACTIONS PRINCIPALES	VASCULARISATION ARTÉRIELLE
Élévateur de la lèvre supérieure et de l'aile du nez	Muscle de la mimique (expression faciale)	Partie supérieure du processus frontal de l'os maxillaire	Dans le grand cartilage alaire et la peau du nez et de la région latérale de la lèvre supérieure	Branches zygomatique et buccale du nerf facial (nerf crânien VII)	Élève la lèvre supérieure et dilate les narines	Branche labiale supérieure et branches musculaires angulaires de l'artère faciale
Élévateur de la paupière supérieure	Muscle extrinsèque de l'œil, muscle de la paupière	Petite aile du sphénoïde, en avant du canal optique	Tarse supérieur	Nerf oculomoteur (nerf crânien III), division supérieure	Élève la paupière supérieure	Artère ophtalmique
Élévateur du voile du palais	Muscle du palais	Os temporal (partie pétreuse et trompe auditive)	Aponévrose palatine	Nerf vague (nerf crânien X) <i>via</i> le plexus pharyngien	Élévateur du palais mou pendant la déglutition	Artère palatine ascendante branche de l'artère faciale, artère palatine descendante branche de l'artère maxillaire
Génio-glosse	Muscle extrinsèque de la langue	Épine mentonnière supérieure de la mandibule	Dos de la langue, os hyoïde	Nerf hypoglosse (nerf crânien XII)	Abaisse et protracte la langue	Artères sublinguale (de l'artère linguale) et submentonnière (de l'artère faciale)
Génio-hyoïdien	Muscle supra-hyoïdien	Épine mentonnière inférieure à la face dorsale de la symphyse de la mandibule	Face antérieure du corps de l'os hyoïde	Branche de C1 par l'intermédiaire du nerf hypoglosse (nerf crânien XII)	Élève l'os hyoïde et abaisse la mandibule	Branche sublinguale de l'artère linguale
Grand zygomatique	Muscle de la mimique (expression faciale)	Arcade zygomatique	Angle de la bouche	Branches zygomatique et buccale du nerf facial (nerf crânien VII)	Attire l'angle de la bouche vers l'arrière et vers le haut (sourire)	Branche labiale supérieure de l'artère faciale
Hyoglosse	Muscle extrinsèque de la langue	Corps et grande corne de l'os hyoïde	Partie latérale et inférieure de la langue	Nerf hypoglosse (nerf crânien XII)	Abaisse et rétracte la langue	Artères sublinguale (de l'artère linguale) et submentonnière (de l'artère faciale)
Long de la tête	Muscle pré-vertébral	Tubercules antérieurs des processus transverses des vertèbres cervicales C3-C6	Face inférieure de la partie basilaire de l'os occipital	Rameaux antérieurs des nerfs spinaux cervicaux (C1-C3)	Fléchit et contribue à la rotation des vertèbres cervicales et de la tête	Branche cervicale ascendante de l'artère thyroïdienne inférieure, artère pharyngienne ascendante, branches musculaires de l'artère vertébrale
Long du cou	Muscle pré-vertébral	Partie verticale : corps des vertèbres C5-T3 Partie oblique inférieure : corps des vertèbres T1-T3 Partie oblique supérieure : tubercules antérieurs des processus transverses des vertèbres C3-C5	Partie verticale : corps des vertèbres C2-C4 Partie oblique inférieure : tubercules antérieurs des processus transverses des vertèbres C3-C6 Partie oblique supérieure : tubercule de l'arc antérieur de l'atlas	Rameau ventral des nerfs spinaux cervicaux (C2-C8)	Contraction bilatérale : flexion de la colonne cervicale et de la tête Contraction unilatérale : inclinaison latérale et rotation de la colonne cervicale et de la tête	Branches pré-vertébrales de l'artère pharyngienne ascendante, branches musculaires des artères cervicale ascendante et vertébrale
Longitudinal inférieur de la langue	Muscle intrinsèque de la langue	Sous la muqueuse de la langue entre les muscles génio-glosse et hyo-glosse	Apex de la langue confondu avec le muscle stylo-glosse	Nerf hypoglosse (nerf crânien XII)	Raccourcit la langue, abaisse et rétracte l'apex et les côtés de la langue	Artère profonde de la langue branche de l'artère linguale, et des branches de l'artère faciale
Longitudinal supérieur de la langue	Muscle intrinsèque de la langue	Fibres sous-muqueuses à la partie postérieure de la langue	Apex de la langue, uni avec le muscle controlatéral	Nerf hypoglosse (nerf crânien XII)	Raccourcit la langue, retourne le sommet et le côté de la langue vers le haut	Artère profonde de la langue de l'artère linguale, branches de l'artère faciales
Masséter	Muscle de la mastication	Arcade zygomatique	Branche et angle de la mandibule, base du processus coronoïde	Nerf mandibulaire (nerf crânien V3) <i>via</i> le nerf massétérique	Élève et propulse la mandibule, cependant ses fibres profondes entraînent une rétropulsion	Artère transverse de la face, branches massétériques des artères maxillaire et faciale
Mentonnier	Muscle de la mimique (expression faciale)	Fosse incisive de la mandibule	Peau du menton	Branche marginale de la mandibule du nerf facial (nerf crânien VII)	Élève les parties molles du menton et éverse la lèvre inférieure	Branche labiale inférieure de l'artère faciale

MUSCLE	GROUPE MUSCULAIRE	INSERTION PROXIMALE (ORIGINE)	INSERTION DISTALE (TERMINAISON)	INNERVATION	ACTIONS PRINCIPALES	VASCULARISATION ARTÉRIELLE
Mylo-hyoïdien	Muscle supra-hyoïdien	Ligne mylo-hyoïdienne de la mandibule	Raphé médian unissant les deux muscles et corps de l'os hyoïde	Nerf du mylo-hyoïdien (branche du nerf trijumeau, nerf crânien V)	Élève l'os hyoïde, la base de langue et le plancher de la bouche ; abaisse la mandibule	Branche sublinguale de l'artère linguale, branche submentonnière de l'artère faciale
Nasal	Muscle de la mimique (expression faciale)	Jugum (éminence) de la canine au-dessus et en dehors de la fosse incisive du maxillaire	Aponévrose recouvrant les cartilages nasaux (partie transverse : dos du nez ; partie alaire : grand cartilage alaire)	Branches zygomatique et buccale du nerf facial (nerf crânien VII)	Attire l'aile du nez vers le septum nasal, comprime les narines (partie transverse) ; dilate les narines (partie alaire)	Branches labiale supérieure, nasale septale et latérale de l'artère faciale
Oblique inférieur de l'œil	Muscle du bulbe de l'œil (extrinsèque)	Partie antérieure du plancher de l'orbite (maxillaire), latéralement au canal lacrymal	Partie latérale de la sclère en arrière de son équateur sous le muscle droit latéral	Division inférieure du nerf oculomoteur (nerf crânien III)	Abducte, élève et entraîne une rotation latérale de l'œil	Artère ophtalmique
Oblique supérieur de l'œil	Muscle du bulbe de l'œil (extrinsèque)	Corps du sphénoïde (au-dessus du foramen optique), médial à l'insertion du muscle droit supérieur	Passé à travers la trochlée et s'insère sur la partie supérieure de la sclère en arrière de son équateur entre les muscles droits supérieur et latéral	Nerf trochléaire (nerf crânien IV)	Abducte, abaisse et entraîne une rotation médiale de l'œil	Artère ophtalmique
Omo-hyoïdien	Muscle infra-hyoïdien	Ventre inférieur : bord supérieur de la scapula et ligament supra-scapulaire, se terminant dans le tendon intermédiaire sous le muscle sterno-cléido-mastoïdien Ventre supérieur : de ce tendon	Ventre inférieur : dans le tendon intermédiaire Ventre supérieur : sur le corps de l'os hyoïde	Anse cervicale	Stabilise l'os hyoïde, et abaisse l'os hyoïde	Branche supra-hyoïdienne de l'artère linguale, branche sterno-cléido-mastoïdienne de l'artère thyroïdienne supérieure
Orbiculaire de l'œil	Muscle de la mimique (expression faciale)	Rebord médial de l'orbite, ligament palpébral médial, os lacrymal	Peau autour de l'orbite, ligaments palpébraux, paupières supérieure et inférieure	Nerf facial (nerf crânien VII)	Occlusion palpébrale	Artères faciale et temporale superficielle
Orbiculaire de la bouche	Muscle de la mimique (expression faciale)	Maxillaire au-dessus de la dent incisive	Peau autour des lèvres	Branches zygomatique buccale et marginale de la mandibule du nerf facial (nerf crânien VII)	Comprime, contracte et projette en avant les lèvres	Branches labiales inférieure et supérieure de l'artère faciale
Palato-glosse	Muscle du palais	Aponévrose palatine du palais mou	Partie latérale de langue	Nerf vague (nerf crânien X) par le biais du plexus pharyngien	Élève la partie postérieure de la langue, abaisse le palais	Artères pharyngiennes ascendantes, branches palatines des artères faciale et maxillaire
Palato-pharyngien	Muscle longitudinal du pharynx	Palais dur, face supérieure de l'aponévrose palatine	Paroi pharyngienne latérale	Nerf vague (nerf crânien X) par le biais du plexus pharyngien	Tend le palais mou, attire les parois du pharynx vers le haut (élévateur) vers l'avant et médialement (rétrécit l'isthme naso-pharyngien) pendant la déglutition	Artère palatine ascendante branche de l'artère faciale, artère palatine descendante branche de l'artère maxillaire
Petit zygomatique	Muscle de la mimique (expression faciale)	Arcade zygomatique	Angle de la bouche, lèvre supérieure	Branches zygomatique et buccale du nerf facial (nerf crânien VII)	Élève la lèvre supérieure	Branche labiale supérieure de l'artère faciale
Platysma	Muscle de la mimique (expression faciale)	Peau au-dessous de la clavicule et de la partie supérieure du thorax	Mandibule et muscles de la bouche	Nerf facial (nerf crânien VII)	Tend la peau du cou	Artères submentonnière et supra-scapulaire

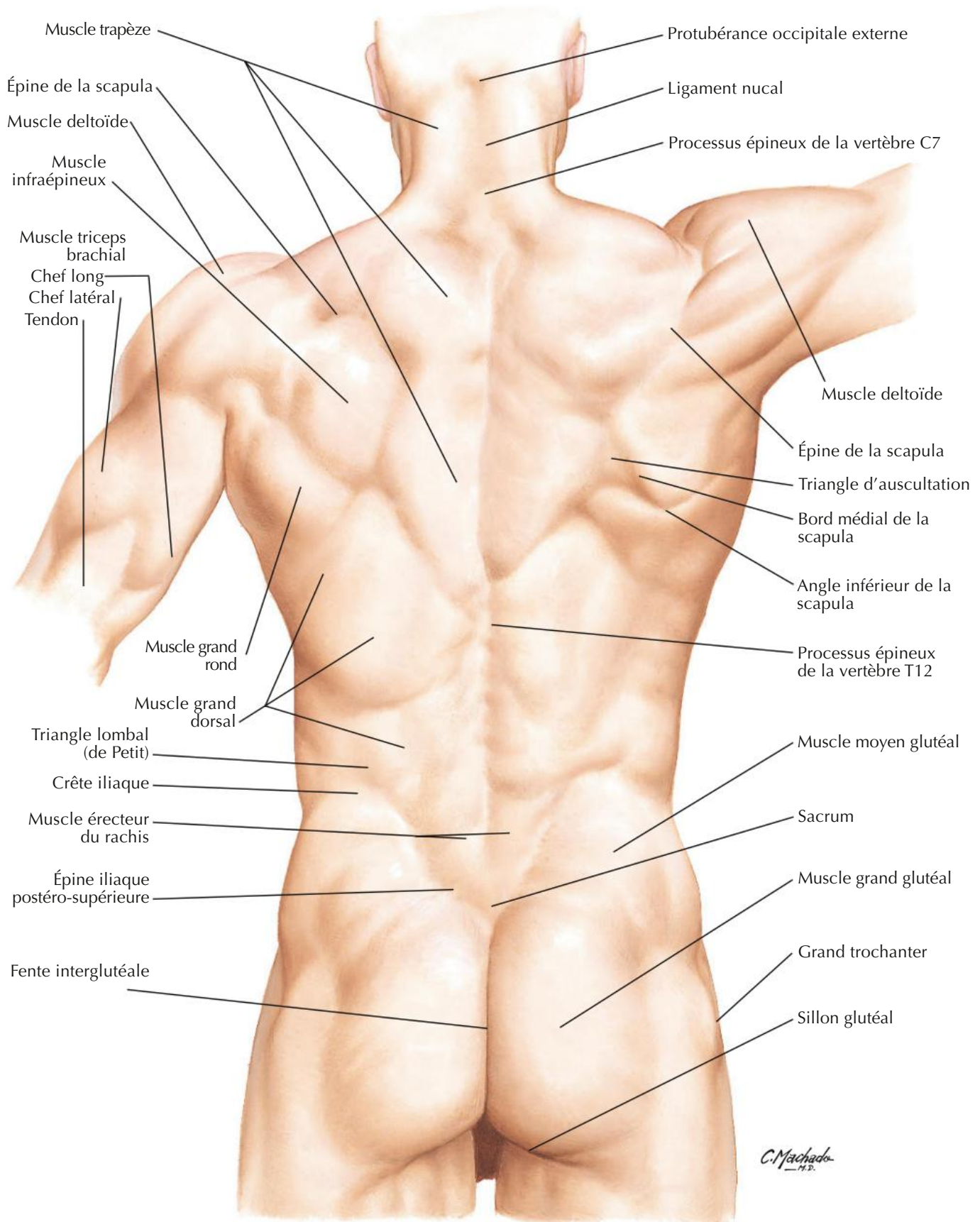
MUSCLE	GROUPE MUSCULAIRE	INSERTION PROXIMALE (ORIGINE)	INSERTION DISTALE (TERMINAISON)	INNERVATION	ACTIONS PRINCIPALES	VASCULARISATION ARTÉRIELLE
Procérus	Muscle de la mimique (expression faciale)	Fascia recouvrant la partie inférieure de l'os nasal et la partie supérieure du cartilage nasal latéral	Peau entre et au-dessus des sourcils (région intersourcillaire)	Branches temporale et zygomatique du nerf facial (nerf crânien VII)	Abaisse et rapproche la partie médiale des sourcils, provoque des rides transversales au-dessus de la racine du nez	Branches angulaire et nasale latérale de l'artère faciale
Ptérygoïdien médial	Muscle de la mastication	Face médiale de la lame latérale et face latérale de la lame médiale du processus ptérygoïde du sphénoïde, processus pyramidal de l'os palatin, tubérosité du maxillaire	Face médiale de l'angle et de la partie adjacente de la branche de la mandibule sous le foramen mandibulaire	Nerf mandibulaire (nerf crânien V ₃), nerf du ptérygoïdien médial	Contraction bilatérale : propulsion et élévation de la mandibule Contraction unilatérale et alternative : diduction	Artères faciale et maxillaire
Ptérygoïdien latéral	Muscle de la mastication	Chef supérieur : face infra-temporale de la grande aile du sphénoïde Chef inférieur : lame latérale du processus ptérygoïde	Fossette ptérygoïdienne du condyle de la mandibule, capsule de l'articulation temporo-mandibulaire, disque articulaire	Nerf mandibulaire (nerf crânien V ₃), branches musculaires de sa division antérieure	Contraction bilatérale : propulsion de la mandibule Contraction unilatérale et alternative : diduction	Branches musculaires de l'artère maxillaire
Risorius	Muscle de la mimique (expression faciale)	Fascia massétérique, superficiel au platysma	Peau de l'angle de la bouche	Branches zygomatique et buccale du nerf facial (nerf crânien VII)	Rétracte l'angle de la bouche	Branche labiale supérieure de l'artère faciale
Salpingo-pharyngien	Muscle longitudinal du pharynx	Trompe auditive	Paroi pharyngienne latérale du même côté	Nerf vague (nerf crânien X) par le biais du plexus pharyngien	Élève le pharynx et le larynx pendant la déglutition et l'élocution	Branche pharyngienne de l'artère pharyngienne ascendante
Scalène (antérieur)	Muscle latéro-vertébral	Tubercules antérieurs des processus transverses des vertèbres C3-C6	Tubercule du muscle scalène antérieur de la première côte	Rameaux antérieurs des nerfs spinaux cervicaux (C5-C8)	Élève la première côte, entraîne une inclinaison ipsilatérale du cou	Branche cervicale ascendante de l'artère thyroïdienne inférieure
Scalène (moyen)	Muscle latéro-vertébral	Tubercules postérieurs des processus transverses des vertèbres C2-C7	Face supérieure de la première côte (en arrière du sillon de l'artère subclavière)	Rameaux antérieurs des nerfs spinaux cervicaux (C3-C7)	Élève la première côte, entraîne une inclinaison ipsilatérale du cou	Branches musculaires de l'artère cervicale ascendante
Scalène (postérieur)	Muscle latéro-vertébral	Tubercules postérieurs des processus transverses des vertèbres C4-C6	Face externe de la deuxième côte (derrière l'insertion du muscle dentelé antérieur)	Rameaux antérieurs des quatre derniers nerfs spinaux cervicaux	Élève la première côte, entraîne une inclinaison ipsilatérale du cou	Branches musculaires de l'artère cervicale ascendante division de l'artère thyroïdienne inférieure, branche superficielle de l'artère cervicale transverse (transverse du cou)
Sphincter pupillaire	Muscle intrinsèque de l'œil	Muscle lisse circulaire de l'iris qui circonscrit la pupille	Confondu en périphérie de l'iris avec le muscle dilatateur pupillaire	Fibres parasympathiques via le nerf oculomoteur (nerf crânien III)	Contracte la pupille (myosis)	Artère ophtalmique
Stapédien	Muscle de l'oreille moyenne	Éminence pyramidale de l'os temporal	Stapès	Nerf facial (nerf crânien VII)	Attire le stapès en arrière pour limiter les vibrations de la membrane tympanique	Artères auriculaire postérieure, tympanique antérieure et méningée moyenne

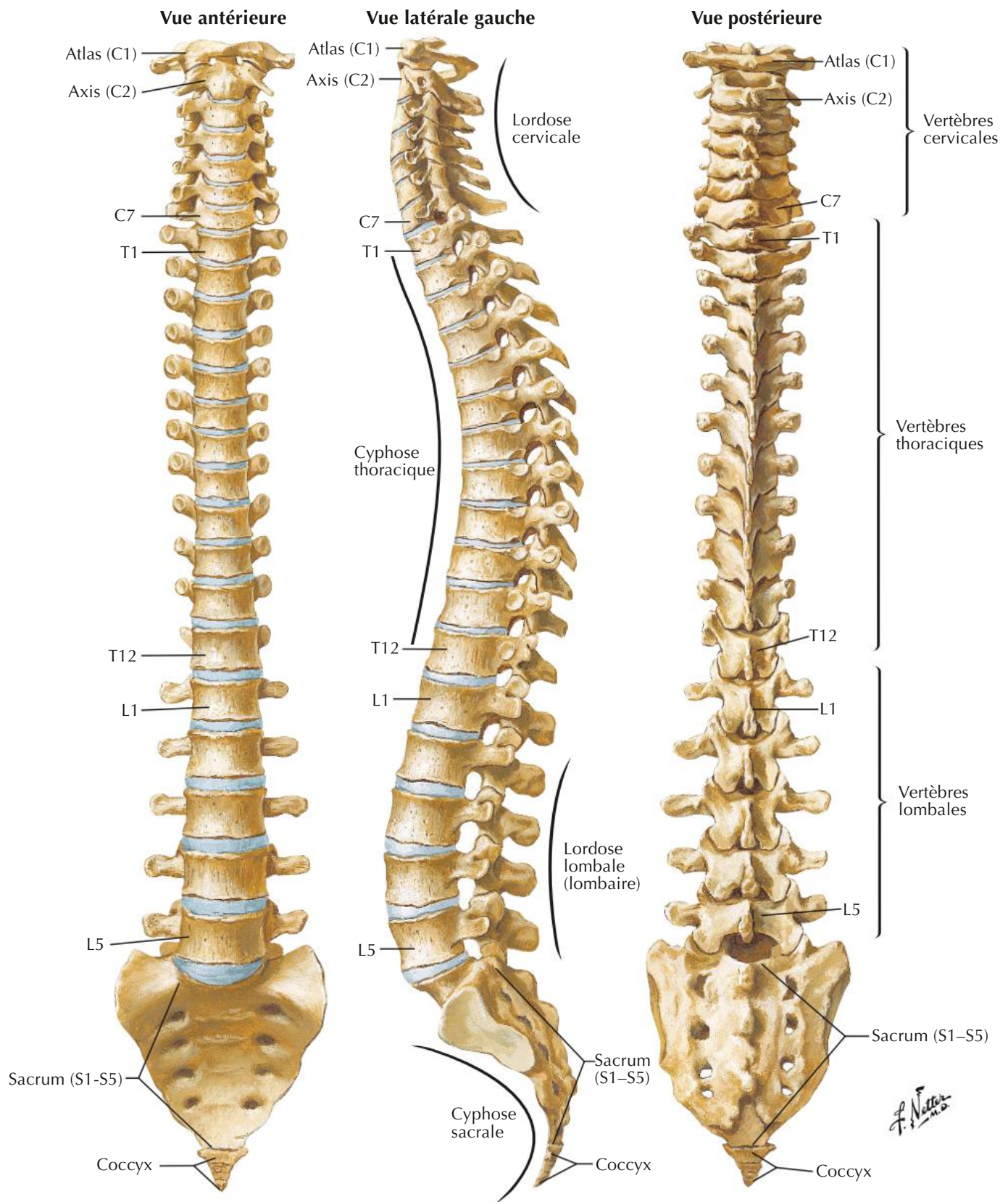
MUSCLE	GROUPE MUSCULAIRE	INSERTION PROXIMALE (ORIGINE)	INSERTION DISTALE (TERMINAISON)	INNERVATION	ACTIONS PRINCIPALES	VASCULARISATION ARTÉRIELLE
Sterno-cléido-mastoïdien	Muscle du cou	Chef sternal : face antérieure du manubrium Chef claviculaire : tiers médial de la face supérieure de la clavicule	Face latérale du processus mastoïde de l'os temporal ; moitié latérale de la ligne nuchale supérieure de l'os occipital	Nerf accessoire (nerf crânien XI)	Contraction bilatérale : fléchissent la tête, élèvent le thorax Contraction unilatérale : tourne la face du côté opposé	Branche sterno-cléido-mastoïdienne des artères thyroïdienne supérieure et occipitale, branche musculaire de l'artère supra-scapulaire, branche occipitale de l'artère auriculaire postérieure
Sterno-hyoïdien	Muscle infra-hyoïdien	Face postérieure du manubrium sternal, ligament sterno-claviculaire postérieur, extrémité médiale de la clavicule	Partie médiale du bord inférieur du corps de l'os hyoïde	Anse cervicale	Abaisse le larynx et l'os hyoïde, stabilise l'os hyoïde	Branches sterno-cléido-mastoïdienne et infra-hyoïdienne de l'artère thyroïdienne supérieure, branche supra-hyoïdienne de l'artère linguale
Sterno-thyroïdien	Muscle infra-hyoïdien	Face postérieure du manubrium sternal sous et profondément à l'origine du muscle sterno-hyoïdien, partie attenante du premier cartilage costal	Ligne oblique du cartilage thyroïde	Anse cervicale	Abaisse le larynx et le cartilage thyroïde	Branche crico-thyroïdienne de l'artère thyroïdienne supérieure
Stylo-glosse	Muscle extrinsèque de la langue	Processus styloïde et ligament stylo-mandibulaire	Partie latérale et inférieure de la langue	Nerf hypoglosse (nerf crânien XII)	Rétracte la langue et la porte en haut et en arrière lors de la déglutition	Artère sublinguale
Stylo-hyoïdien	Muscle supra-hyoïdien	Bord postérieur du processus styloïde	Corps de l'os hyoïde à la naissance de sa grande corne	Nerf facial (nerf crânien VII)	Élève l'os hyoïde et la base de la langue	Branches musculaires de l'artère faciale, branches musculaires de l'artère occipitale
Stylo-pharyngien	Muscle longitudinal du pharynx	Versant médial du processus styloïde	Paroi pharyngienne	Nerf glosso-pharyngien (nerf crânien IX)	Élève le pharynx et le larynx pendant la déglutition et l'élocution	Artère pharyngienne ascendante, branches palatine ascendante et tonsillaire de l'artère faciale, branches dorsales de la langue de l'artère linguale
Subclavier	Muscle de l'épaule	Bord supérieur de la première côte et de son cartilage	Sillon de la face inférieure du tiers moyen de la clavicule	Nerf du subclavier	Attire la clavicule vers le bas et l'avant	Branche claviculaire de l'artère thoraco-acromiale
Temporal	Muscle de la mastication	Fond de la fosse temporale, face profonde du fascia temporal	Processus coronoïde et branche de la mandibule	Nerf mandibulaire (nerf crânien V ₃), nerfs temporaux profonds	Élève la mandibule, entraîne une rétropulsion par ses fibres postérieures	Artères temporale superficielle et maxillaire, artères temporales profondes antérieure, moyenne et postérieure
Tenseur du tympan	Muscle de l'oreille moyenne	Cartilage de la trompe auditive	Manche du malleus	Branche mandibulaire du nerf trijumeau (nerf crânien V ₃)	Tend la membrane tympanique et réduit sa vibration en attirant médialement le manche du marteau	Branche tympanique supérieure de la collatérale méningée moyenne de l'artère maxillaire
Tenseur du voile du palais	Muscle du palais	Fosse scaphoïde de la lame médiale du processus ptérygoïde, épine du sphénoïde, trompe auditive	Aponévrose palatine	Nerf mandibulaire (nerf crânien V ₃)	Tend le palais mou, ouvre la trompe auditive pendant la déglutition et le bâillement	Artère palatine ascendante branche de l'artère faciale, artère palatine descendante branche de l'artère maxillaire
Thyro-aryténoïdien	Muscle du larynx	Face postérieure (interne) du cartilage thyroïde	Processus musculaire du cartilage aryténoïde	Nerf laryngé récurrent	Raccourcit et relâche les cordes vocales, ferme le vestibule	Artères thyroïdiennes supérieure et inférieure
Thyro-hyoïdien	Muscle infra-hyoïdien	Ligne oblique des lames du cartilage thyroïde	Bord inférieur du corps et de la grande corne de l'os hyoïde	Branche thyro-hyoïdienne issu de C1 via le nerf hypoglosse (nerf crânien XII)	Abaisse l'os hyoïde, élève le cartilage thyroïde et mobilise le larynx	Branche hyoïdienne de l'artère thyroïdienne supérieure

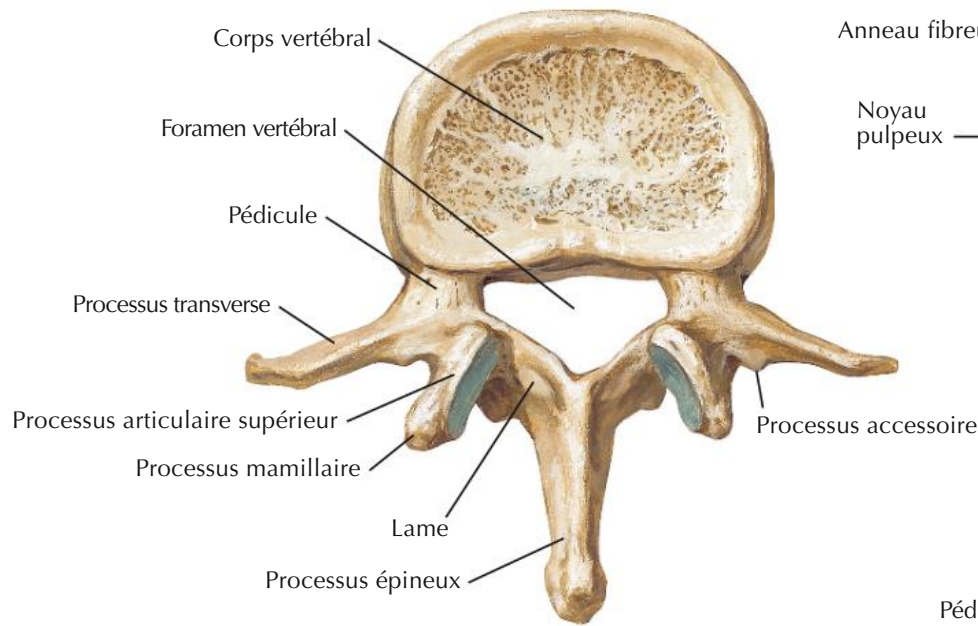
MUSCLE	GROUPE MUSCULAIRE	INSERTION PROXIMALE (ORIGINE)	INSERTION DISTALE (TERMINAISON)	INNERVATION	ACTIONS PRINCIPALES	VASCULARISATION ARTÉRIELLE
Transverse (de la langue)	Muscle intrinsèque de la langue	Septum fibreux médian de la langue	Dos et bords de langue	Nerf hypoglosse (nerf crânien XII)	Rétrécit et allonge la langue	Branche profonde de la langue de l'artère linguale, branches de l'artère faciale
Uvulaire	Muscle du palais	Épine nasale, aponévrose palatine	Muqueuse de l'uvule palatine	Nerf vague via le plexus pharyngien	Raccourcit, élève et rétracte l'uvule palatine	Artère palatine ascendante branche de l'artère faciale, artère palatine descendante branche de l'artère maxillaire
Ventre frontal du muscle occipito-frontal (muscle épicroânien)	Muscle de la mimique (expression faciale)	Aponévrose épicroânienne au niveau de la suture coronale	Peau de la région frontale, aponévrose épicroânienne (galéa)	Branches temporales du nerf facial	Plisse et ride la peau du front, élève les sourcils	Branche frontale de l'artère temporale superficielle
Ventre occipital du muscle occipital-frontal (muscle épicroânien)	Muscle de la mimique (expression faciale)	Deux tiers latéraux de la ligne nucale supérieure et processus mastoïde	Peau de la région occipitale, aponévrose épicroânienne (galéa)	Branche auriculaire postérieure du nerf facial (nerf crânien VII)	Mobilise le cuir chevelu vers le bas et l'arrière	Branche occipitale de l'artère auriculaire postérieure, branche descendante de l'artère occipitale
Vertical (de la langue)	Muscle intrinsèque de la langue	Membrane muqueuse du dos de la partie antérieure de la langue	Fibres verticales étendues du dos à la base de la langue	Nerf hypoglosse (nerf crânien XII)	Aplatit et élargit la langue	Branche profonde de la langue de l'artère linguale, branches de l'artère faciale
Vocal	Muscle du larynx	Processus vocal du cartilage aryénoïde	Angle rentrant du cartilage thyroïde et ligament vocal	Nerf laryngé récurrent	Tend la partie antérieure du ligament vocal détend la partie postérieure du ligament vocal	Artères thyroïdiennes supérieure et inférieure

DOS ET MOELLE SPINALE 3

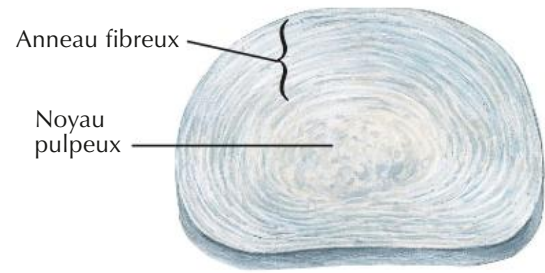
Anatomie de surface	161	Coupes transversales	185-186
Os et ligaments	162-168	Structures de grande*	
Moelle spinale	169-179	importance clinique	Tableau 3.1
Muscles et nerfs	180-184	Muscles	Tableaux 3.2-3.3



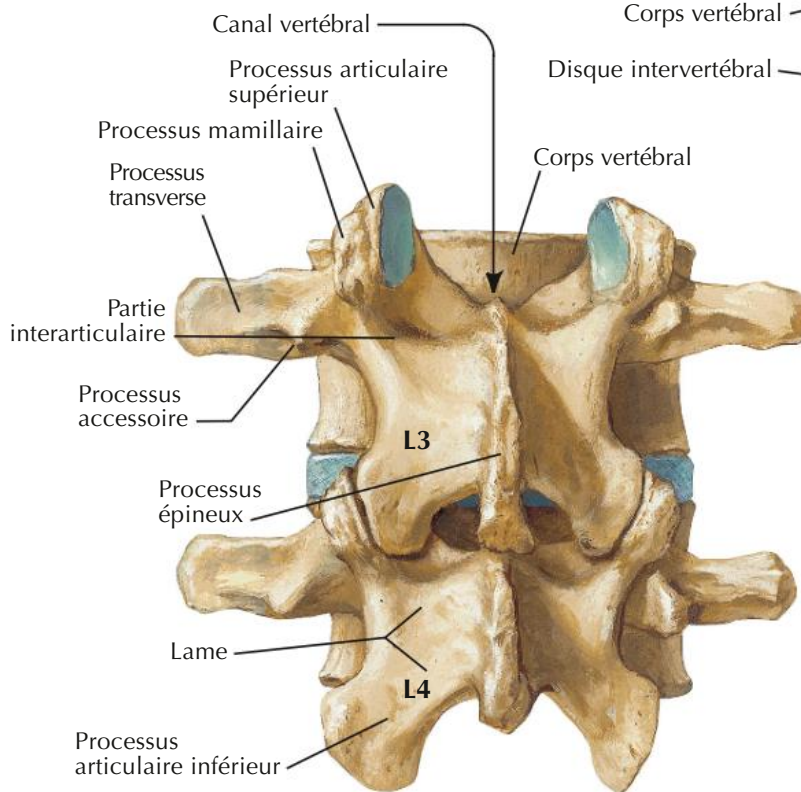




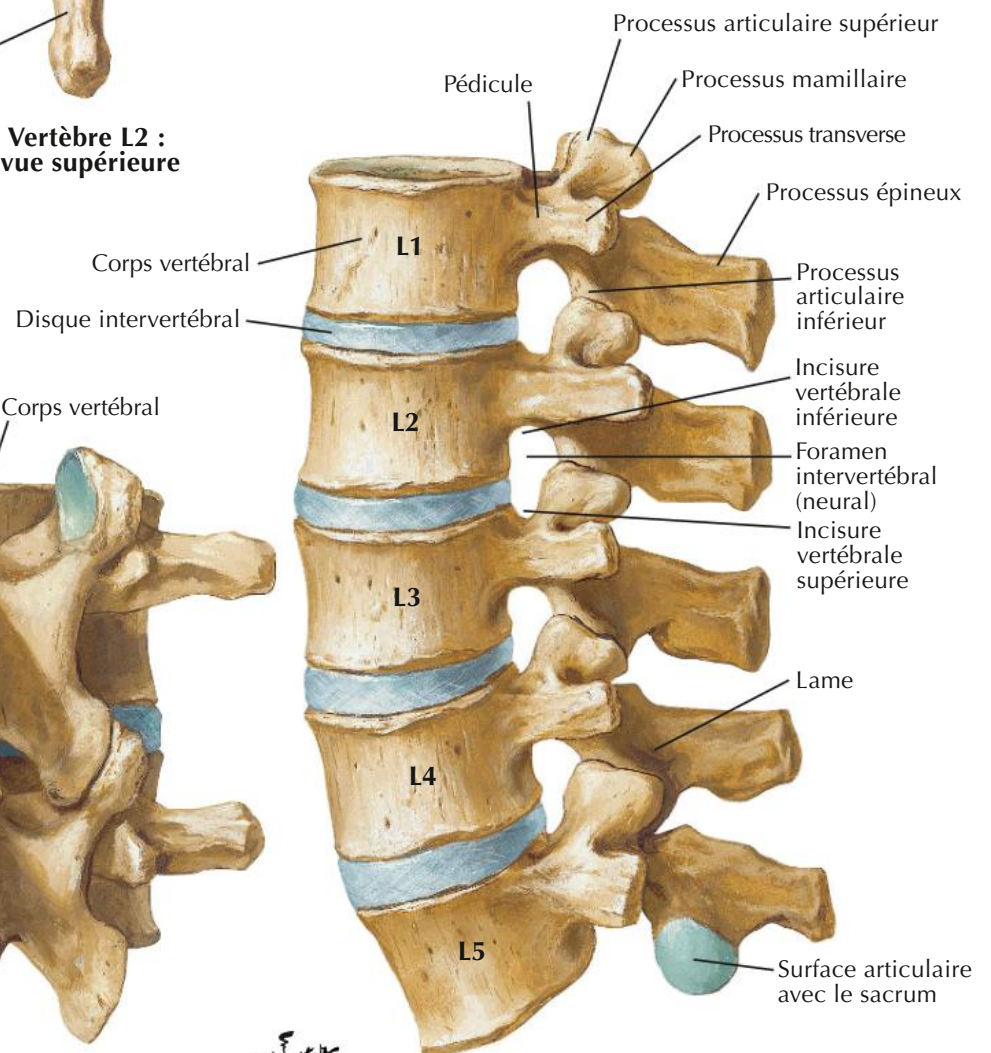
**Vertèbre L2 :
vue supérieure**



Disque intervertébral

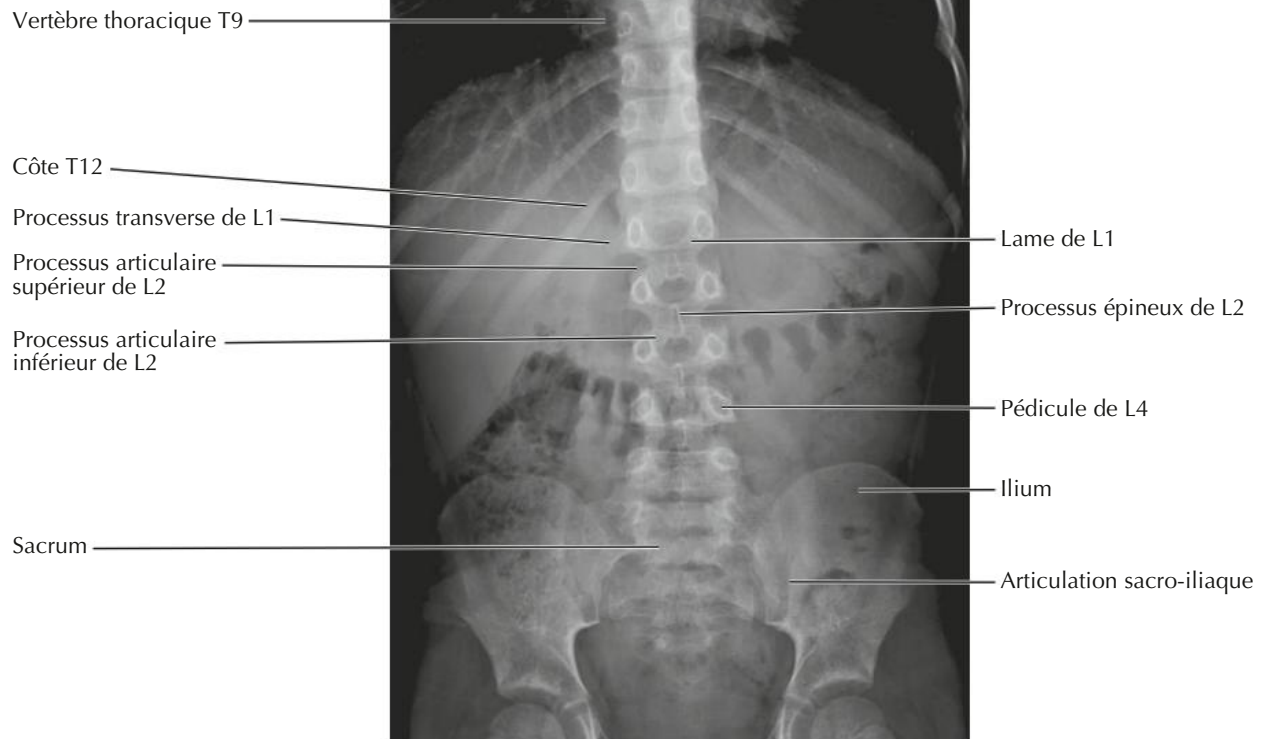


**Vertèbres L3 et L4 :
vue postérieure**

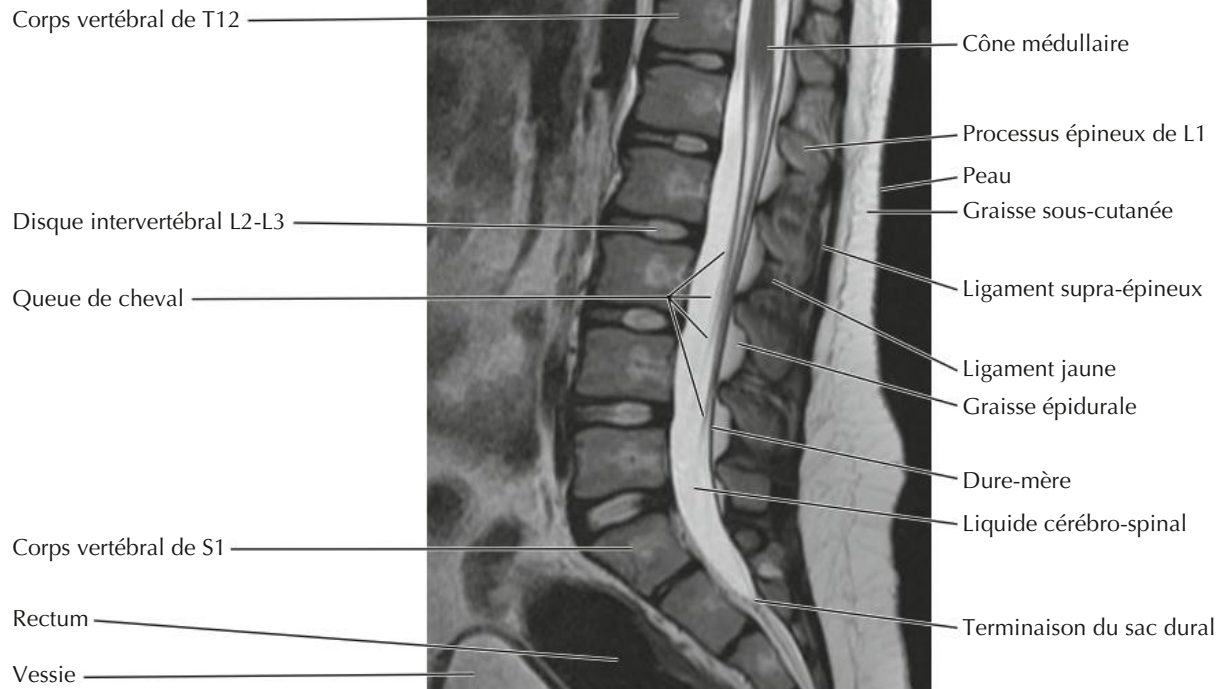


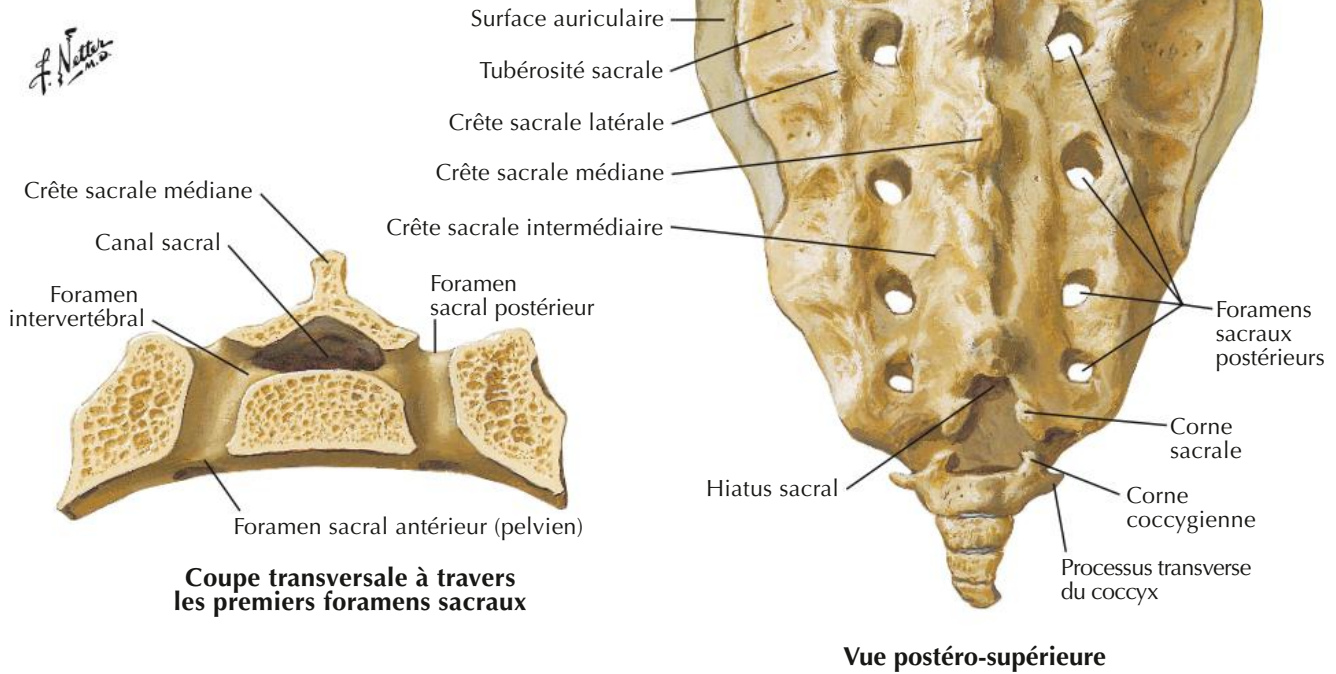
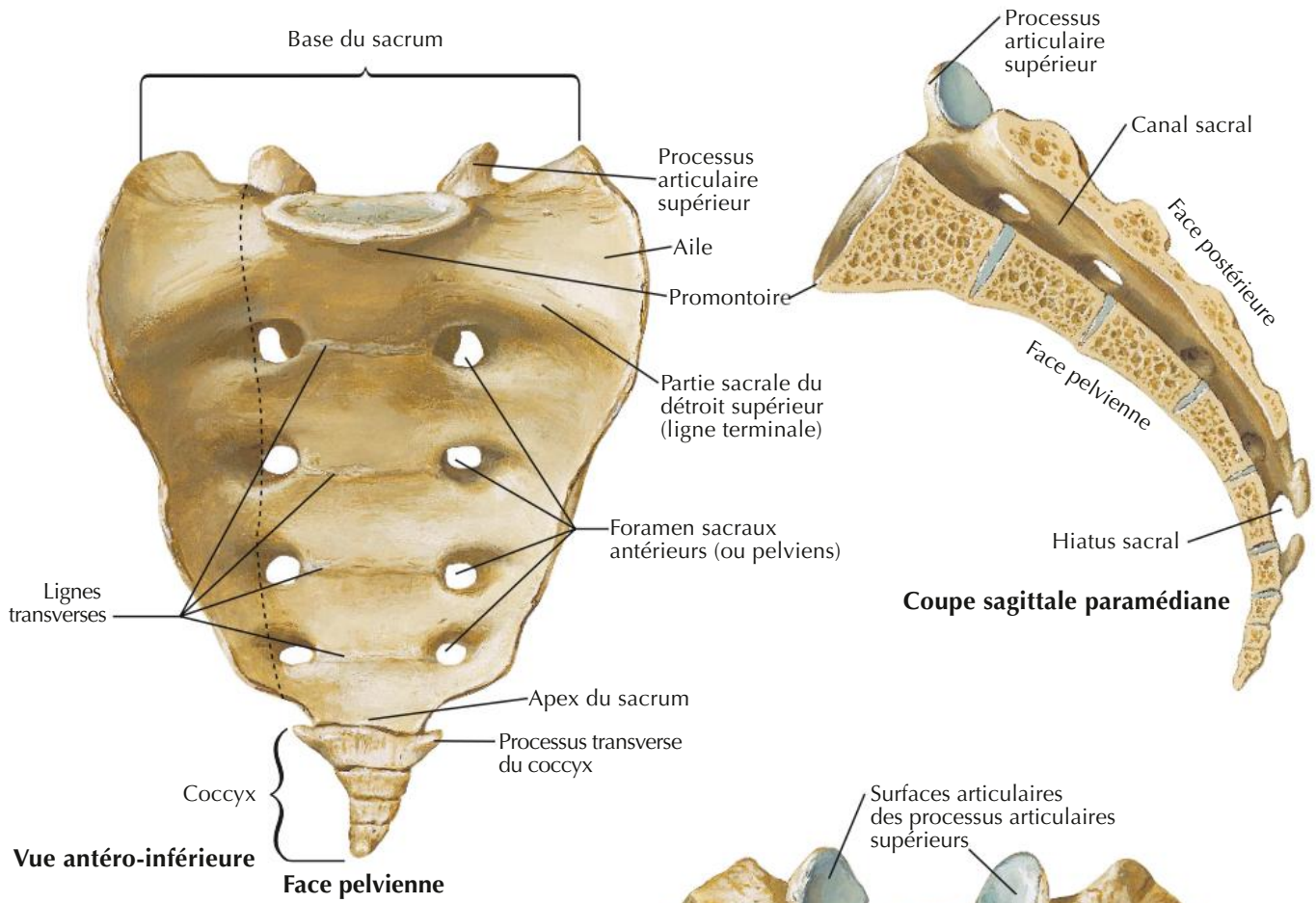
**Vertèbres lombales :
vue latérale gauche**

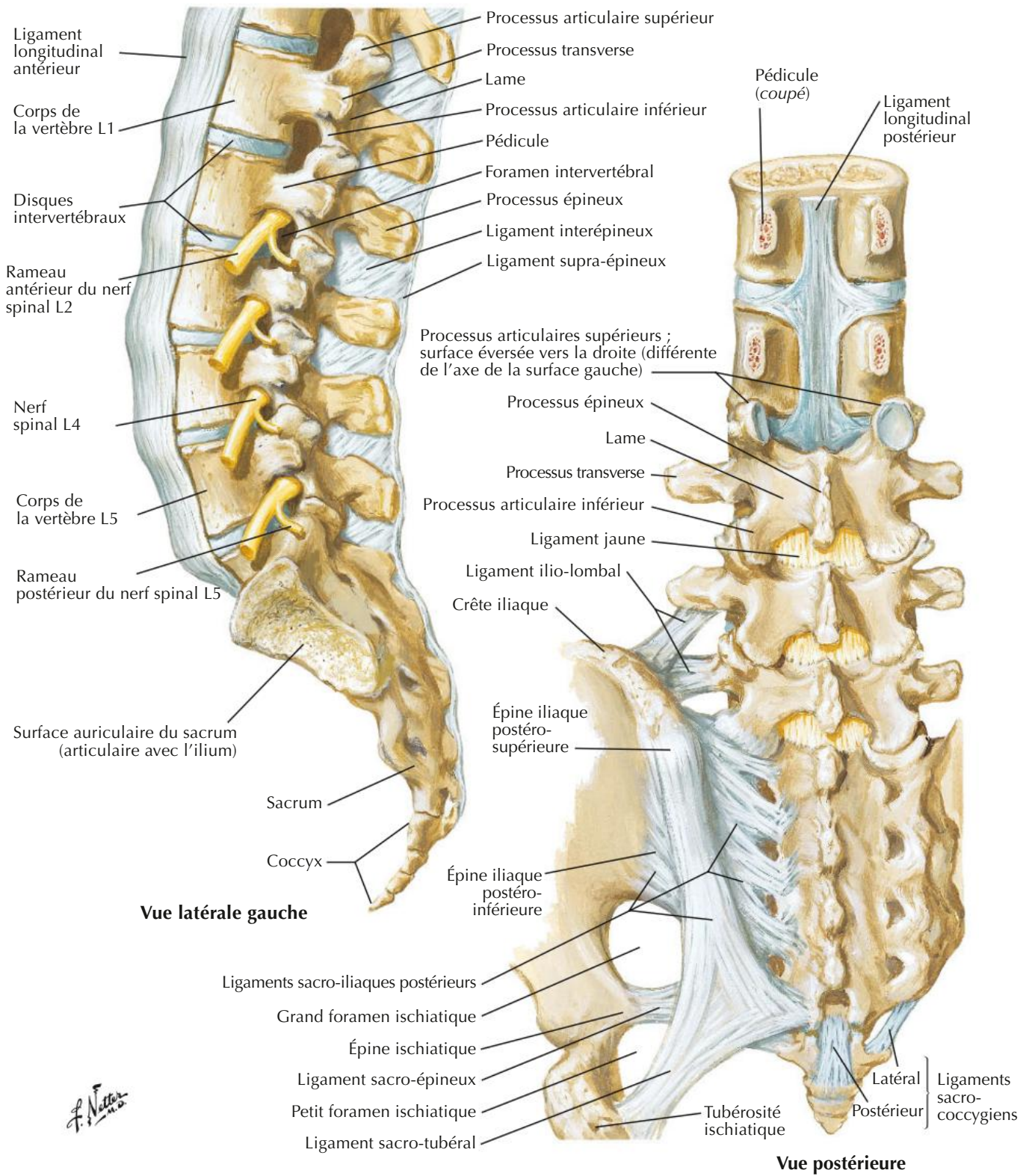
Radiographie antéro-postérieure du rachis thoraco-lombaire



IRM sagittale en pondération T2 du rachis lombaire







Ligaments vertébraux : région lombale

**Vue latérale gauche
(résection partielle
dans le plan médian)**

Ligament
longitudinal antérieur

Corps vertébral

Disque intervertébral

Ligament
longitudinal antérieur

Ligament
longitudinal postérieur

Processus articulaire inférieur

Capsule de l'articulation
zygapophysaire
(partiellement ouverte)

Processus articulaire supérieur

Processus transverse

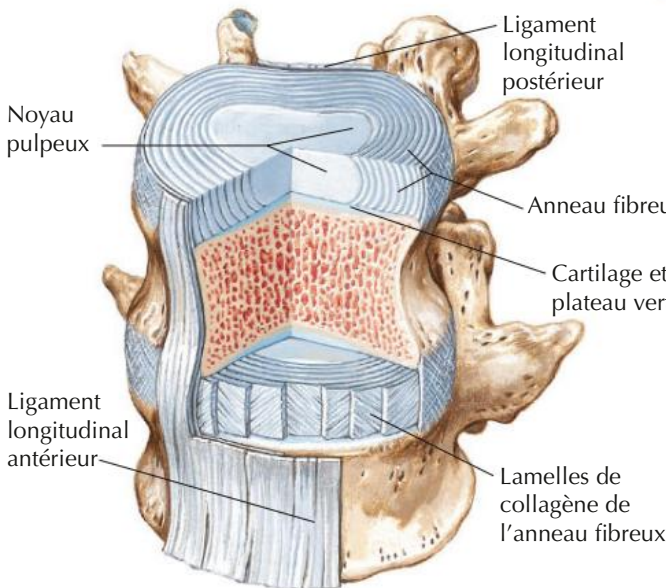
Processus épineux

Ligament jaune

Ligament interépineux

Ligament supra-épineux

Foramen intervertébral



**Disque intervertébral constitué d'un noyau central
composé de collagène et de protéoglycanes hydratés
entouré de lamelles concentriques de fibres de collagène**

F. Netter M.D. C. Machado M.D.

**Arc vertébral postérieur :
vue antérieure**

Pédicule
(surface de coupe)

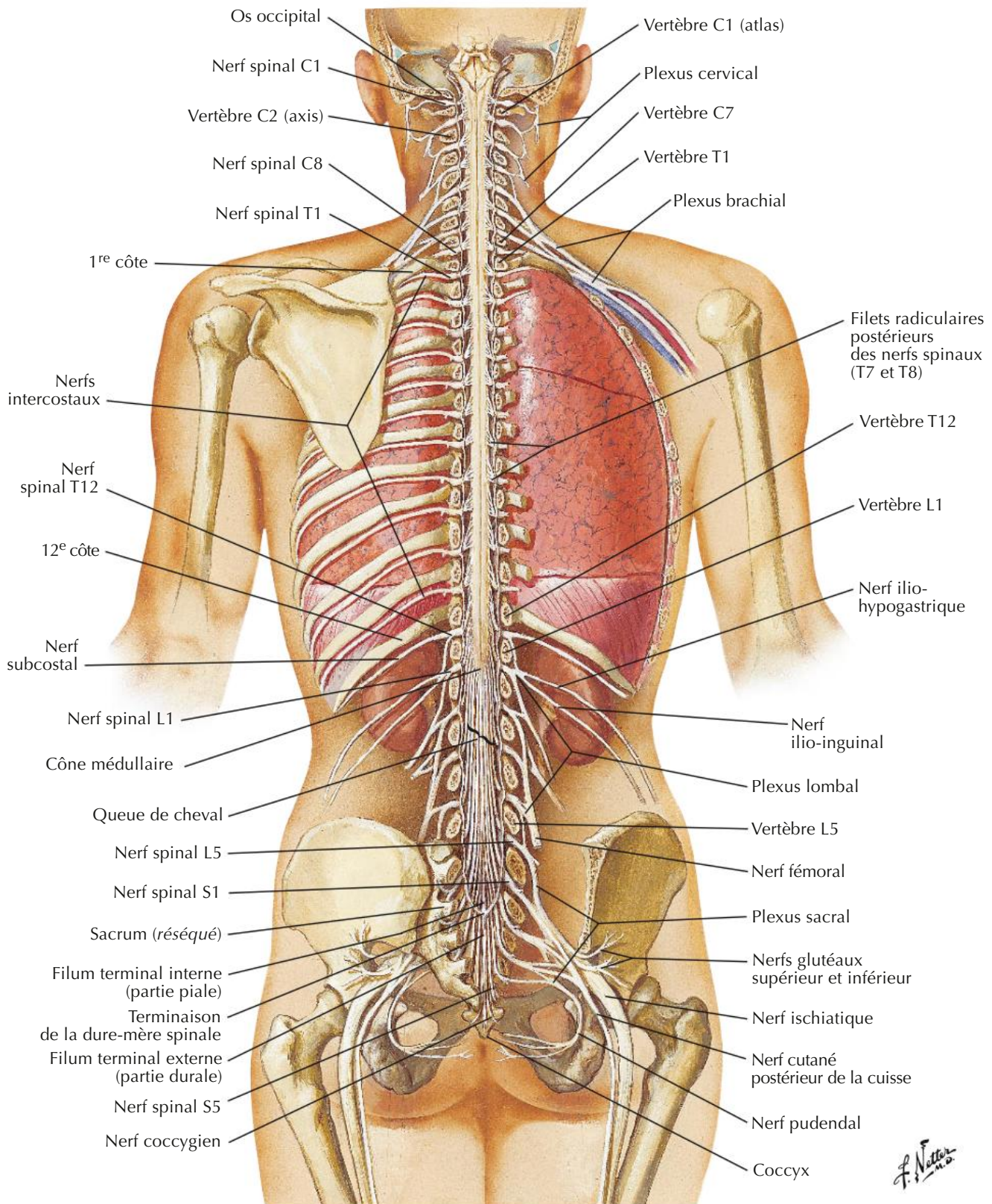
Ligament jaune

Lame

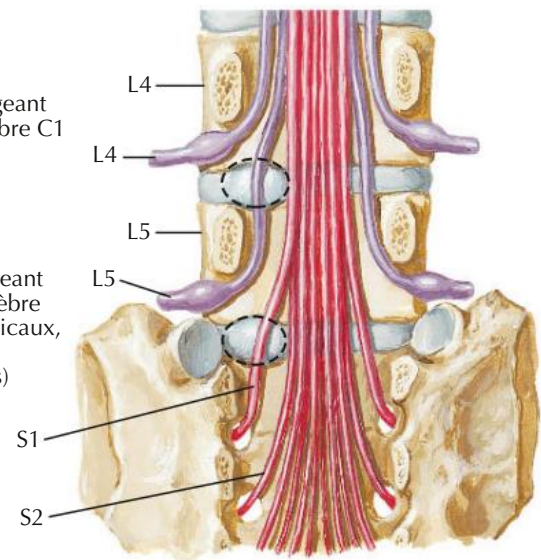
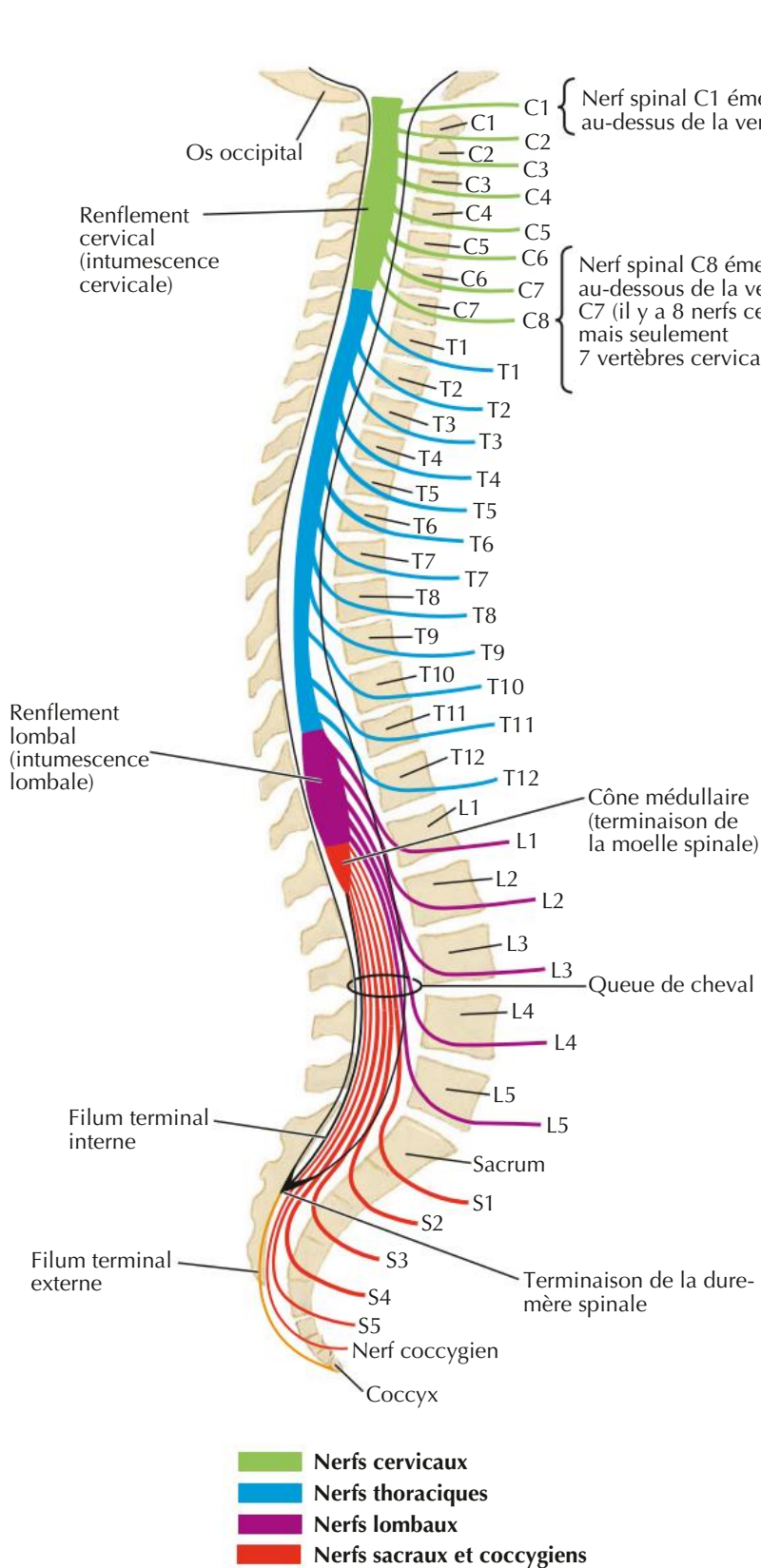
Processus articulaire
supérieur

Processus transverse

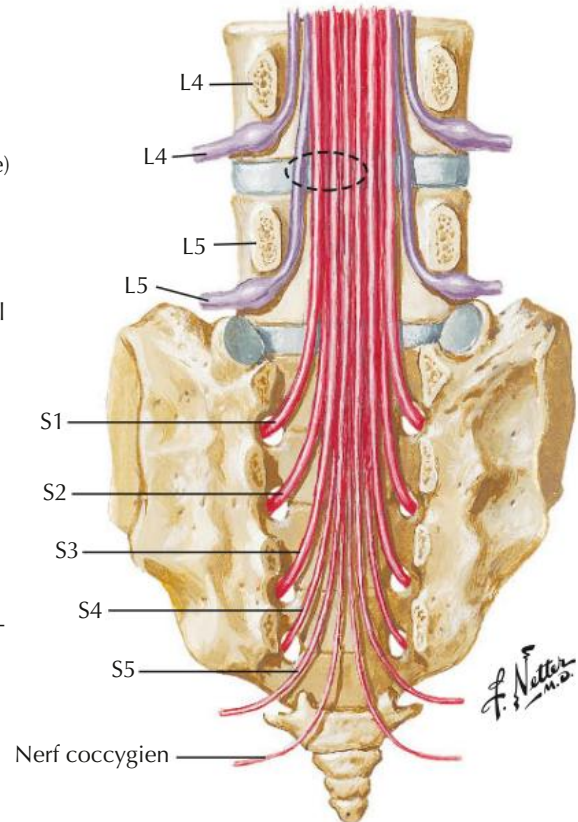
Facette articulaire inférieure



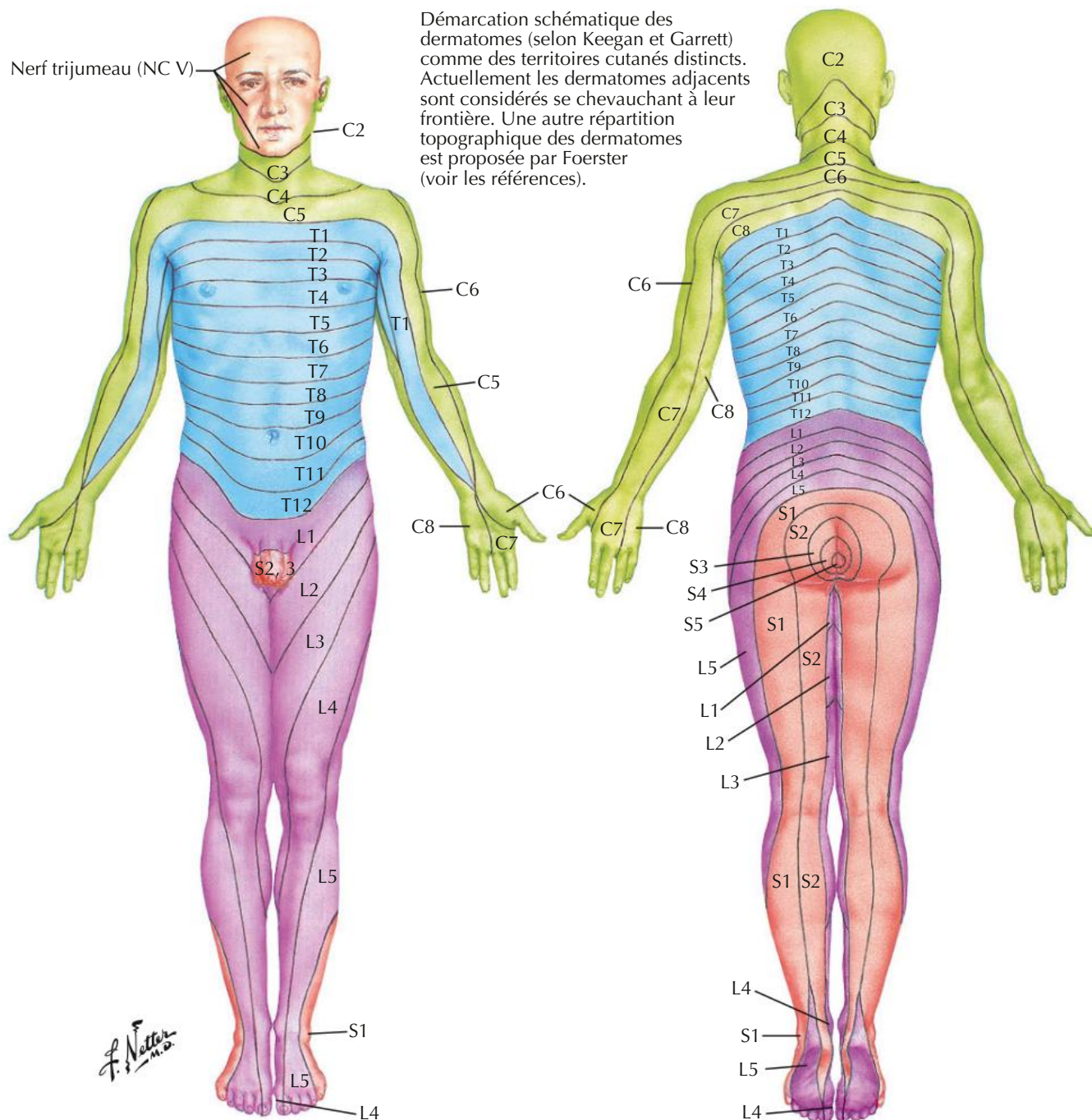
Rapports vertébraux des racines des nerfs spinaux



La protrusion du disque lombal (cercle en pointillés) n'affecte pas habituellement le nerf sus-jacent. Une protrusion latérale au niveau du disque de L4-L5 affecte le nerf spinal L5, et non le nerf spinal L4. Une protrusion au niveau du disque de L5-S1 affecte le nerf spinal S1, et non le nerf spinal L5.



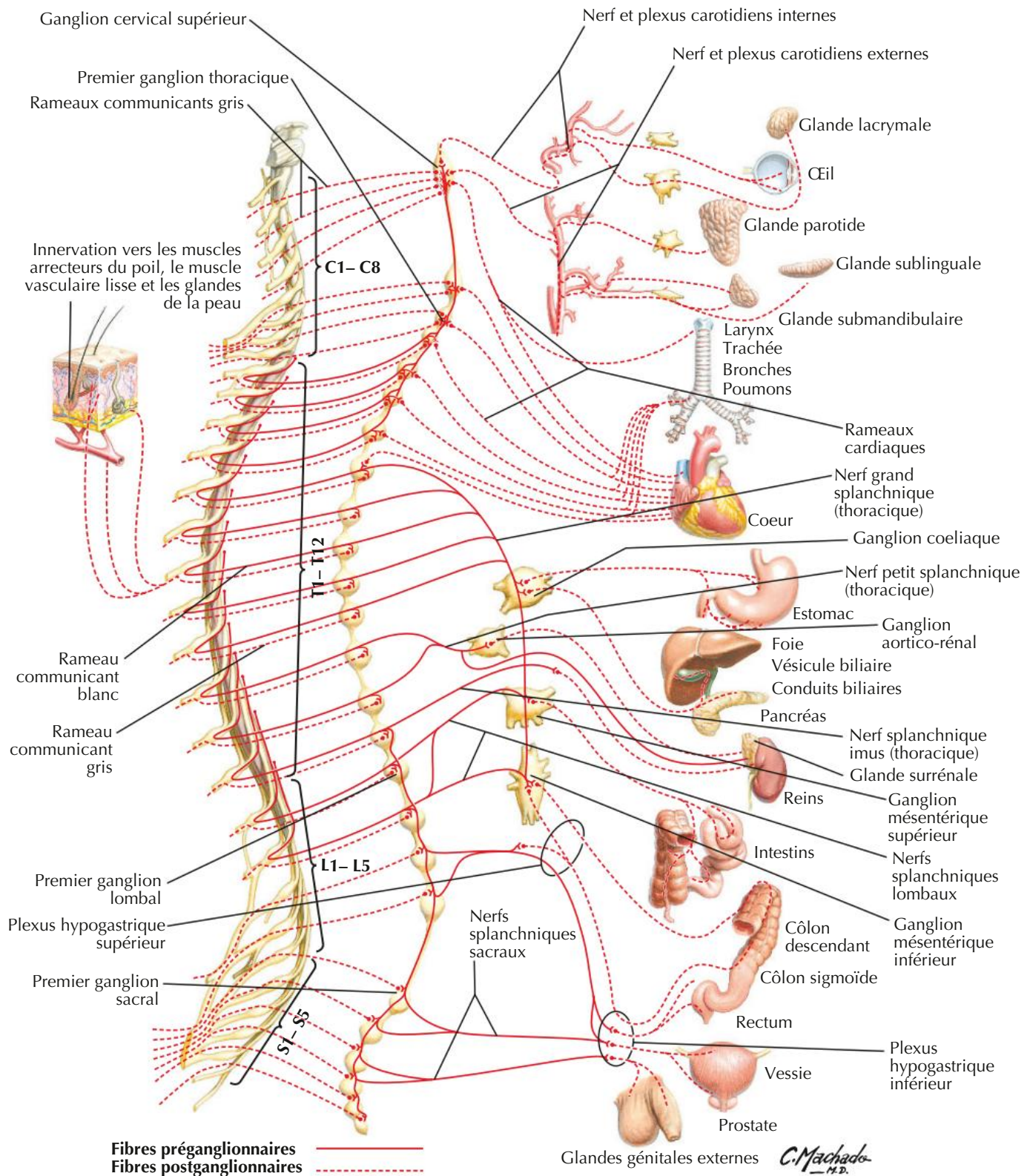
La protrusion médiale au niveau du disque de L4-L5 (cercle en pointillés) affecte rarement le nerf spinal L4, mais peut affecter le nerf spinal L5 et, parfois, les nerfs spinaux S1 à S4.

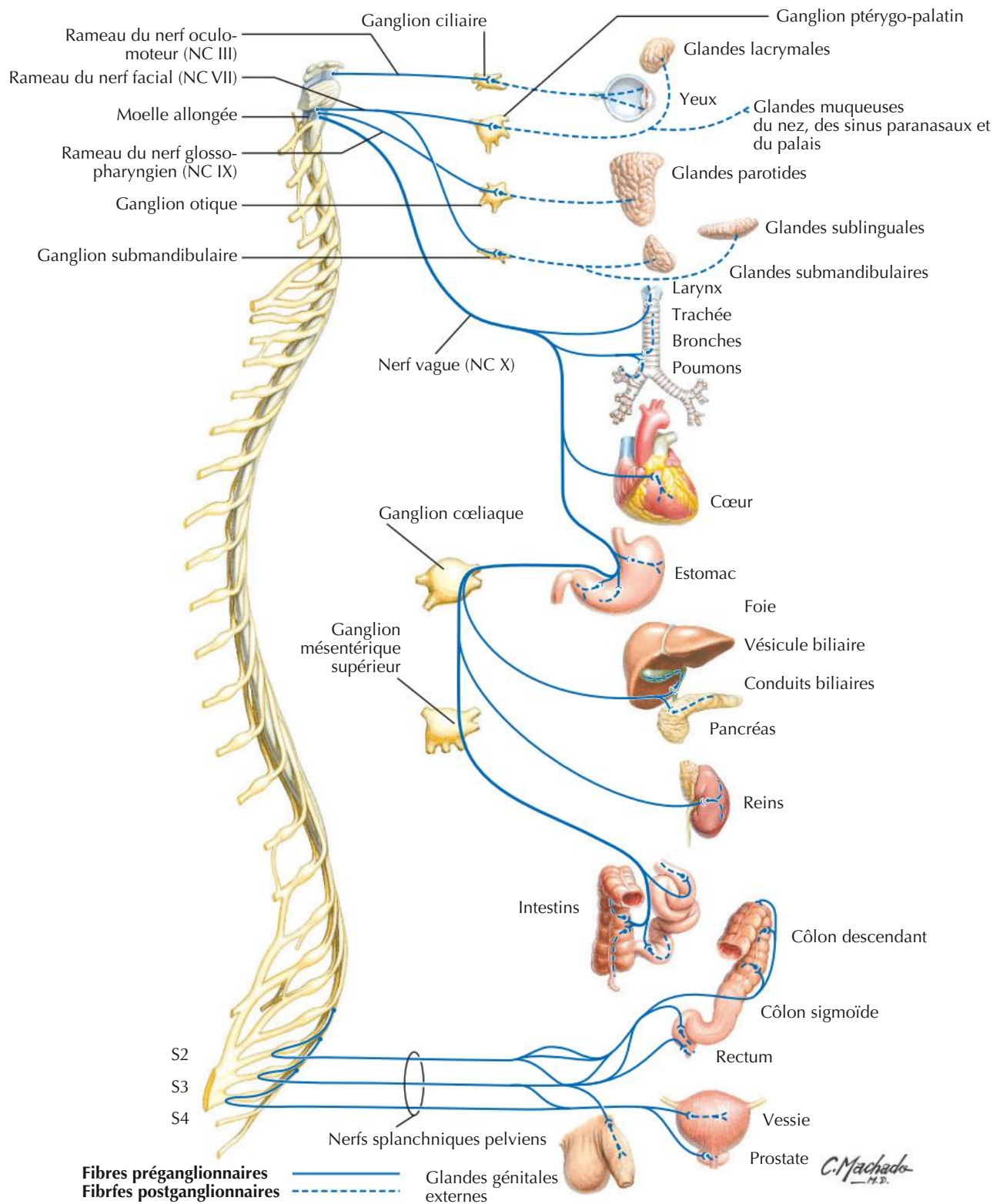


Territoires des principaux dermatomes

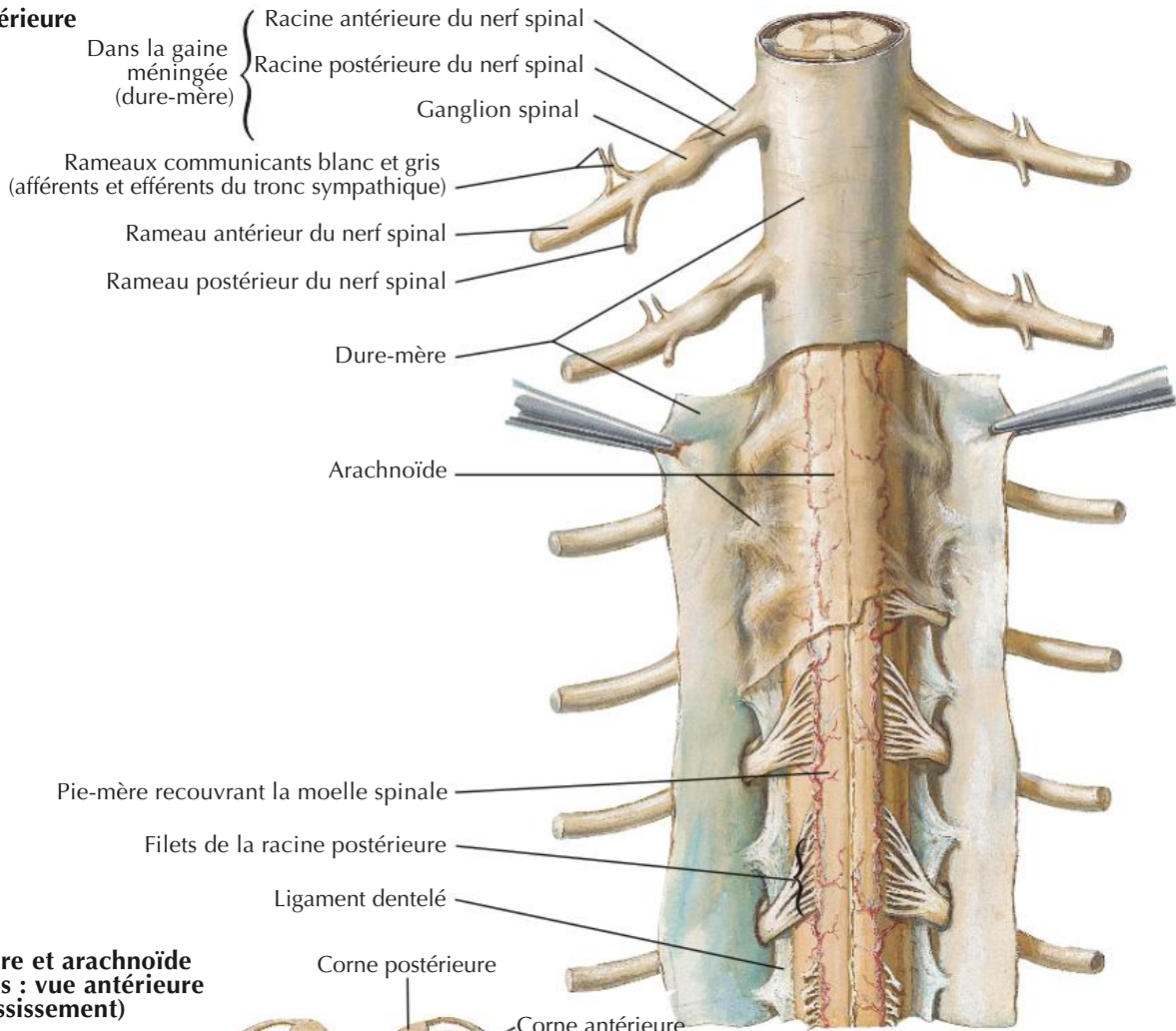
C5	Niveau des clavicules
C5, 6	Côtés latéraux des membres supérieurs
C8, T1	Côtés médiaux des membres supérieurs
C6	Doigt I (pouce)
C6, 7, 8	Main
C8	Doigts IV et V
T4	Niveau des mamelons

T10	Niveau de l'ombilic
L1	Région inguinale
L1, 2, 3, 4	Faces antérieures et médiales des membres inférieurs
L4, 5, S1	Pieds
L4	Côté médial de l'orteil I (gros orteil)
L5, S1, 2	Faces postérieures et latérales des membres inférieurs
S1	Bord latéral du pied et de l'orteil V (petit orteil)
S2, 3, 4	Périnée

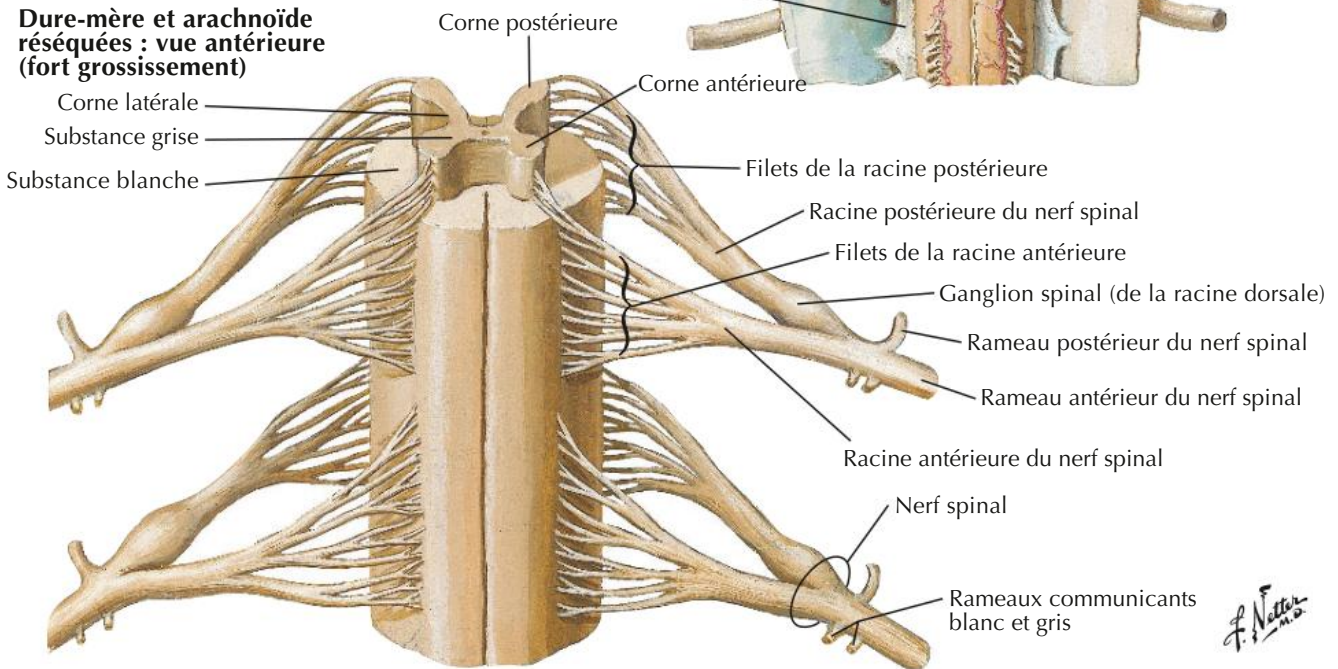




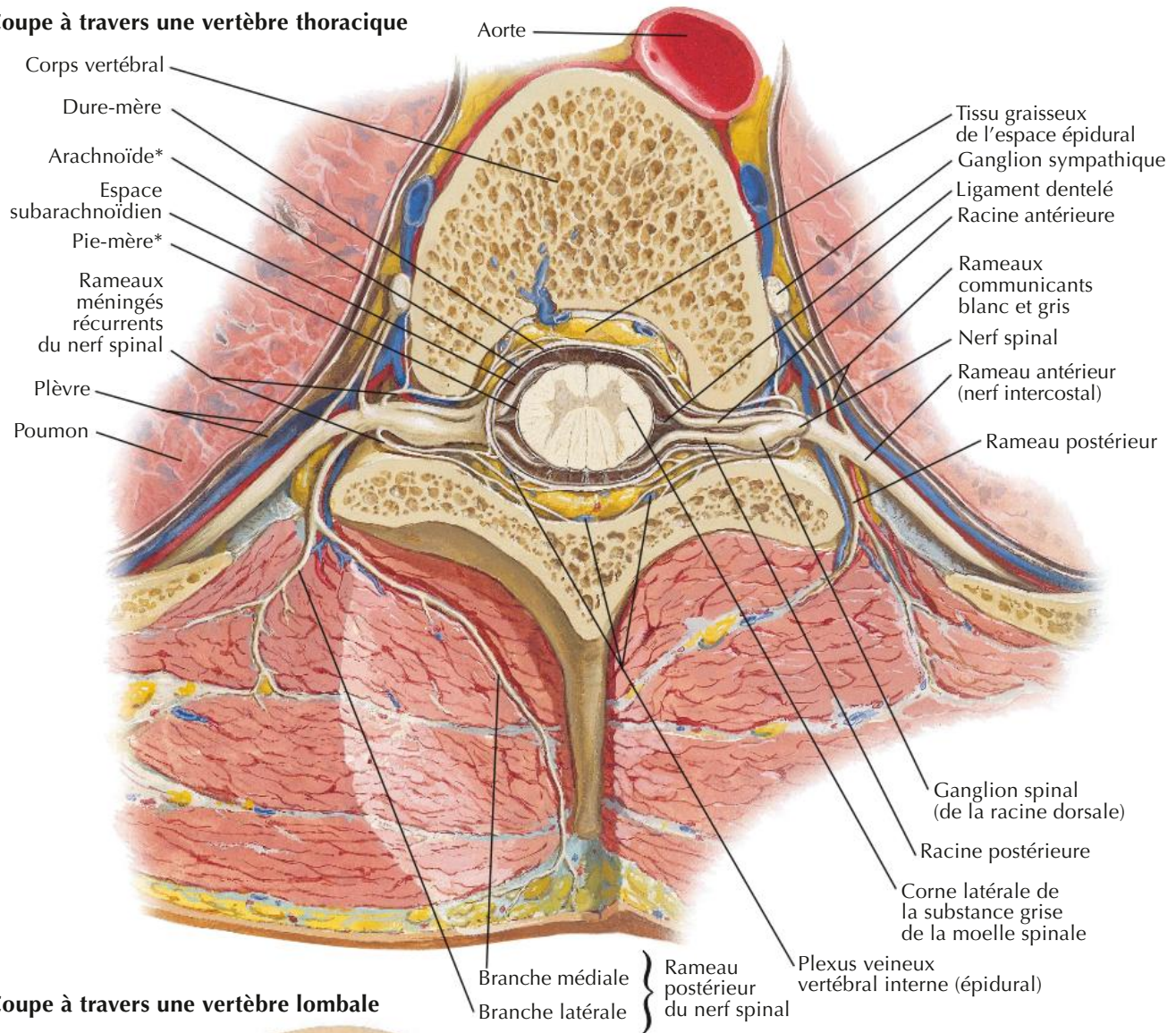
Vue postérieure



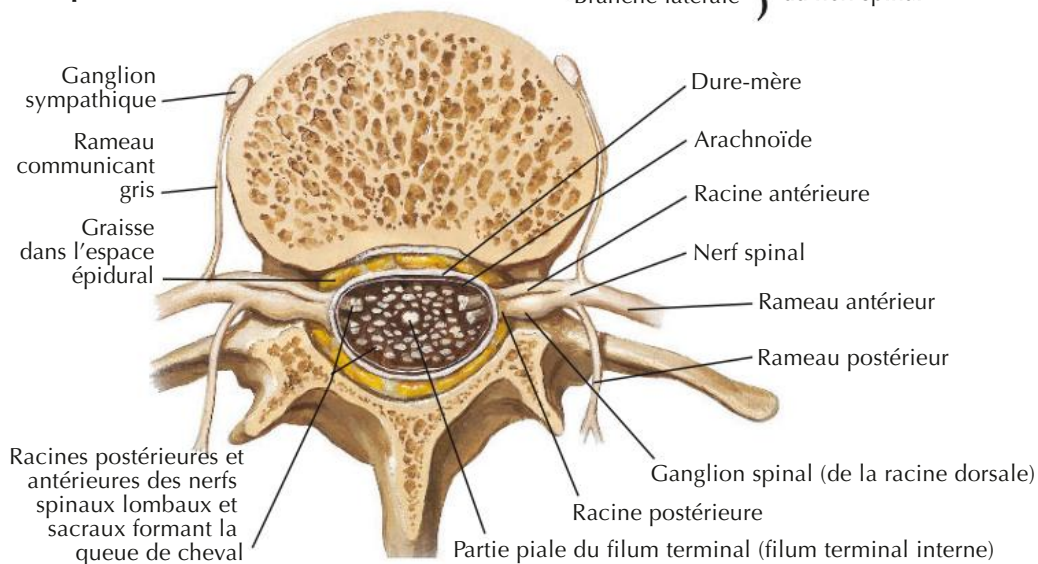
Dure-mère et arachnoïde réséquées : vue antérieure (fort grossissement)



Coupe à travers une vertèbre thoracique



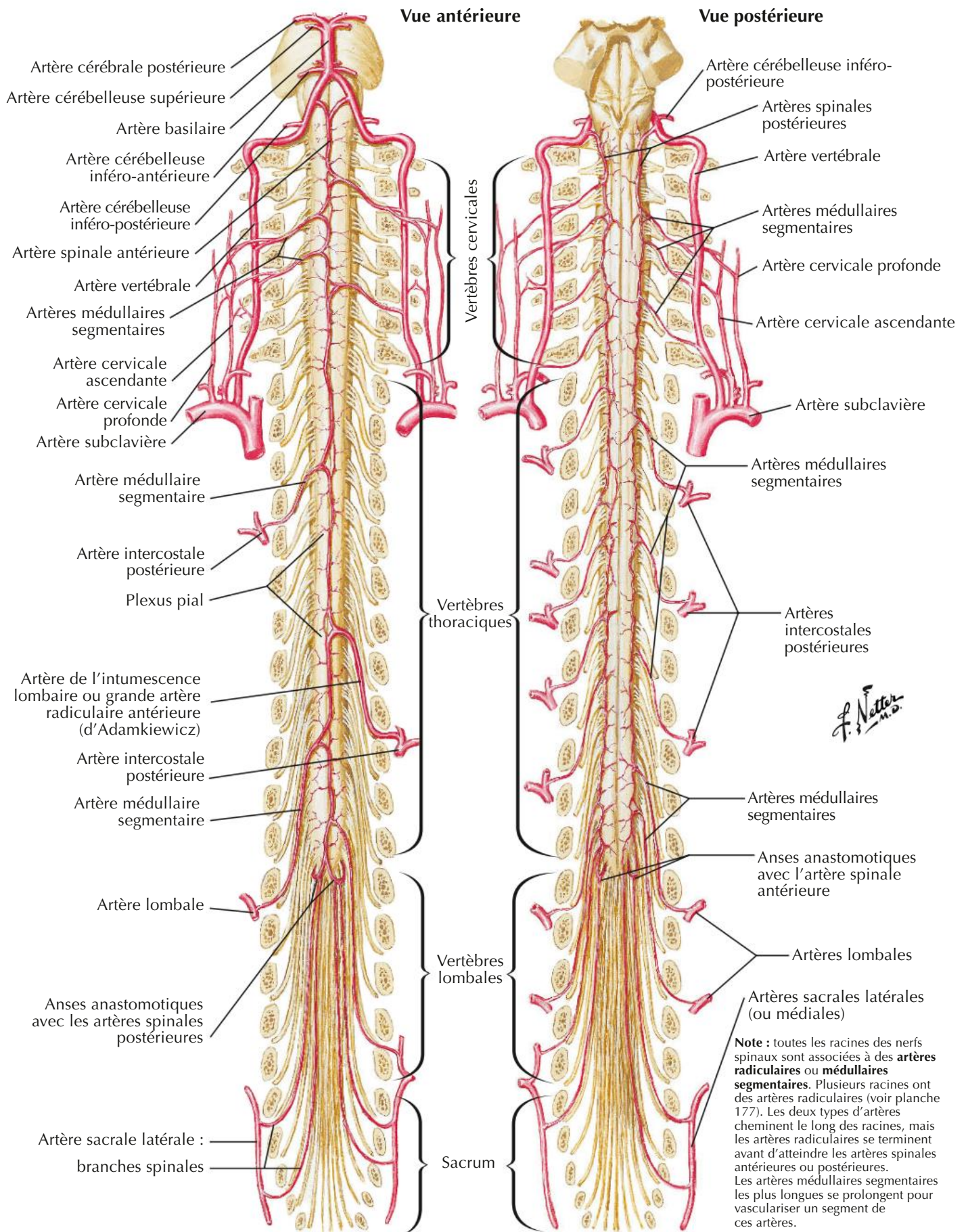
Coupe à travers une vertèbre lombale

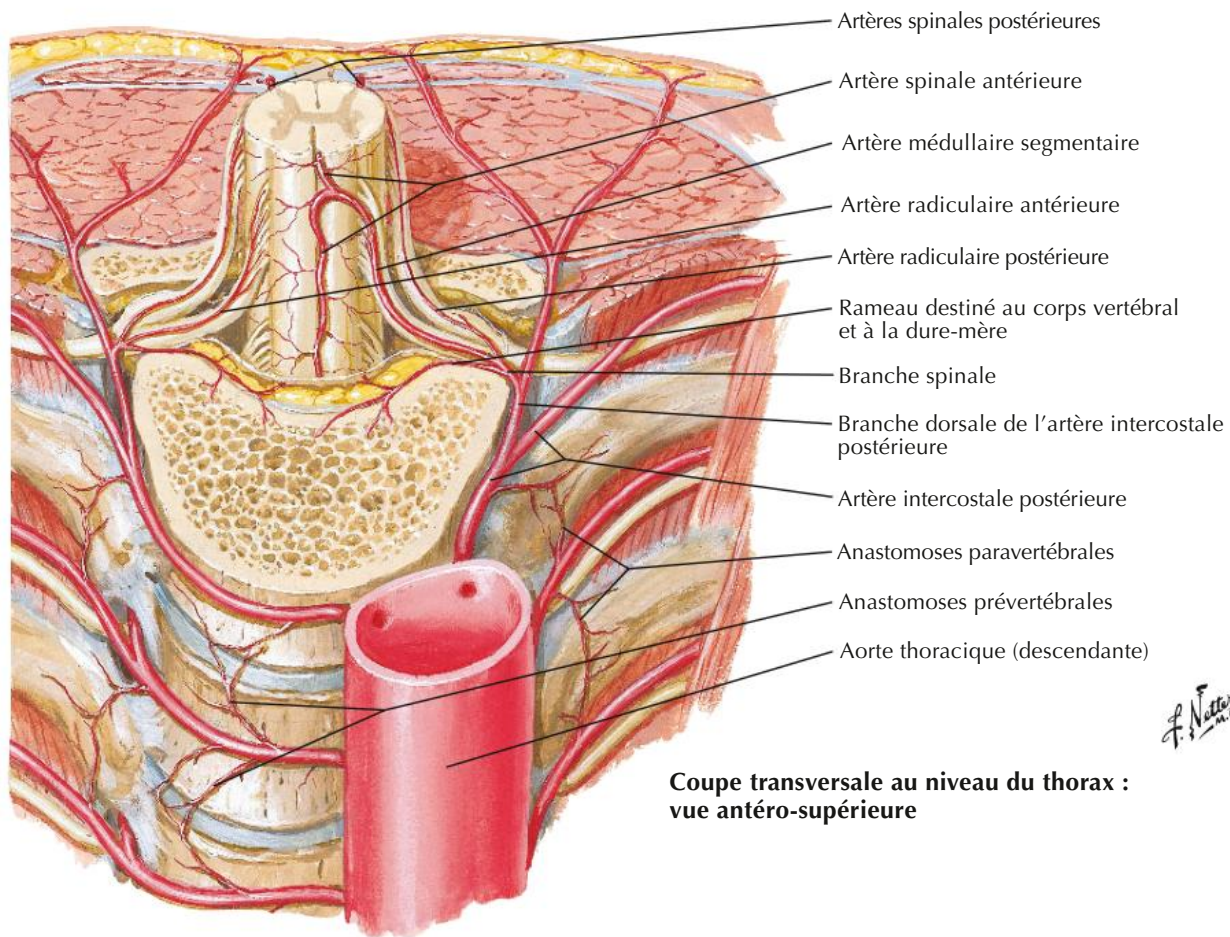


F. Netter M.D.

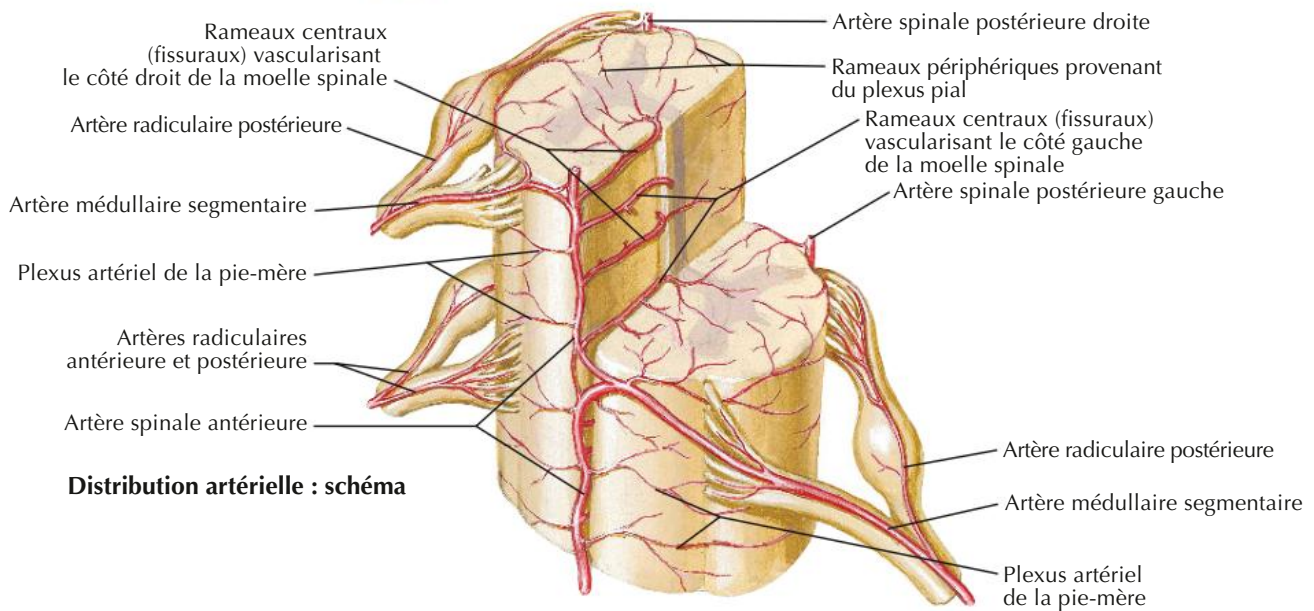
*Leptoméniges

Artères de la moelle spinale : schéma



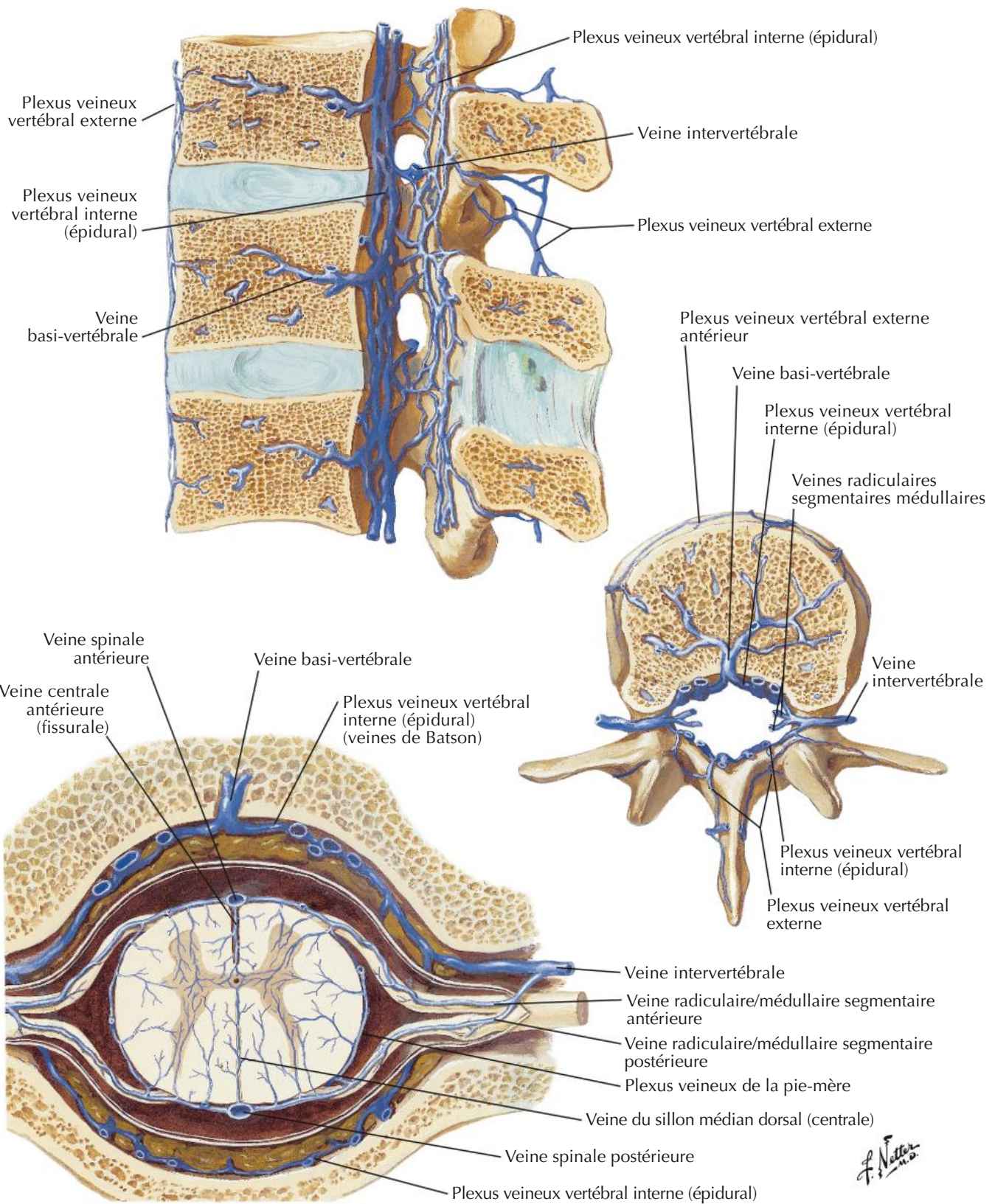


**Coupe transversale au niveau du thorax :
vue antéro-supérieure**

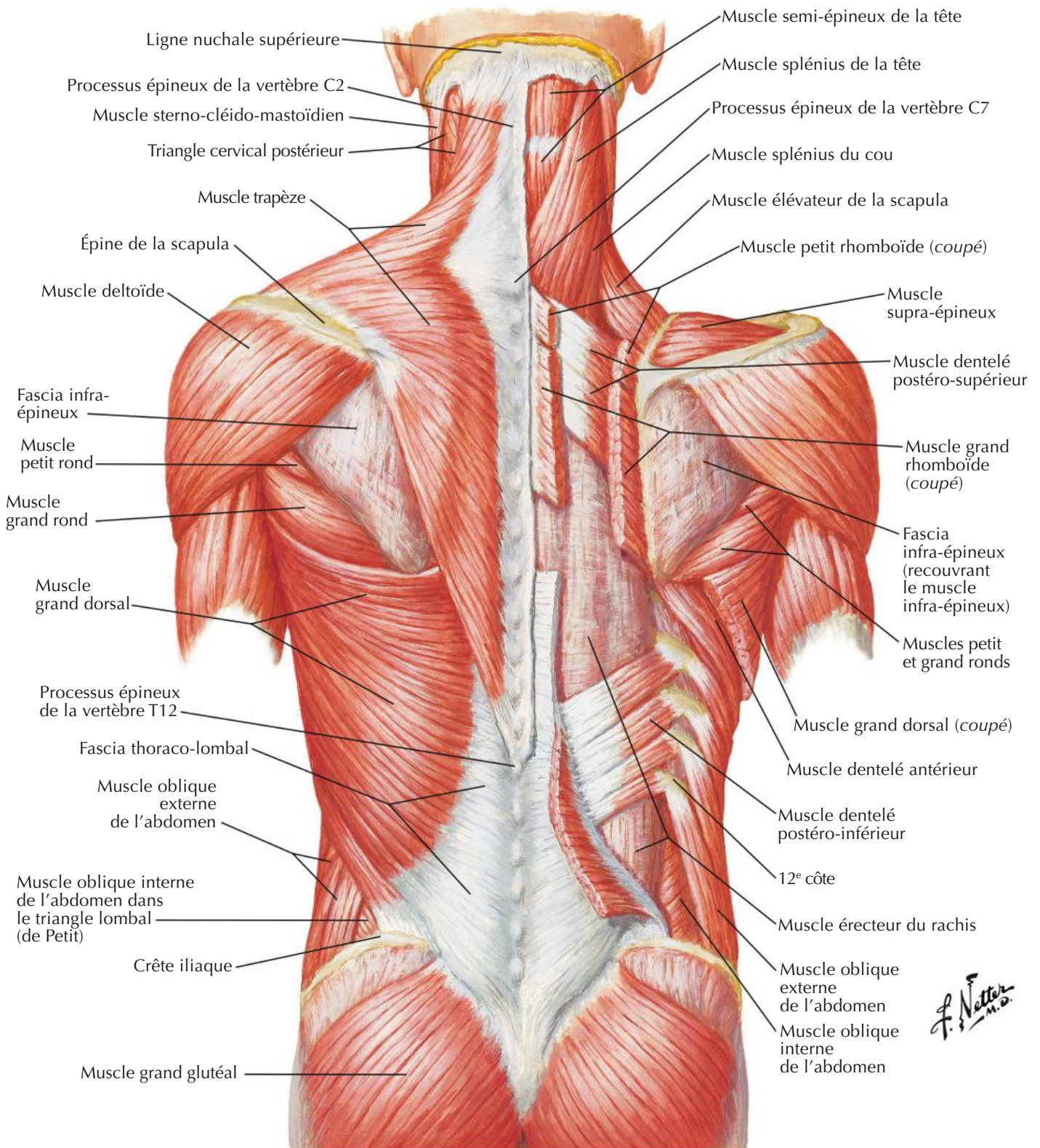


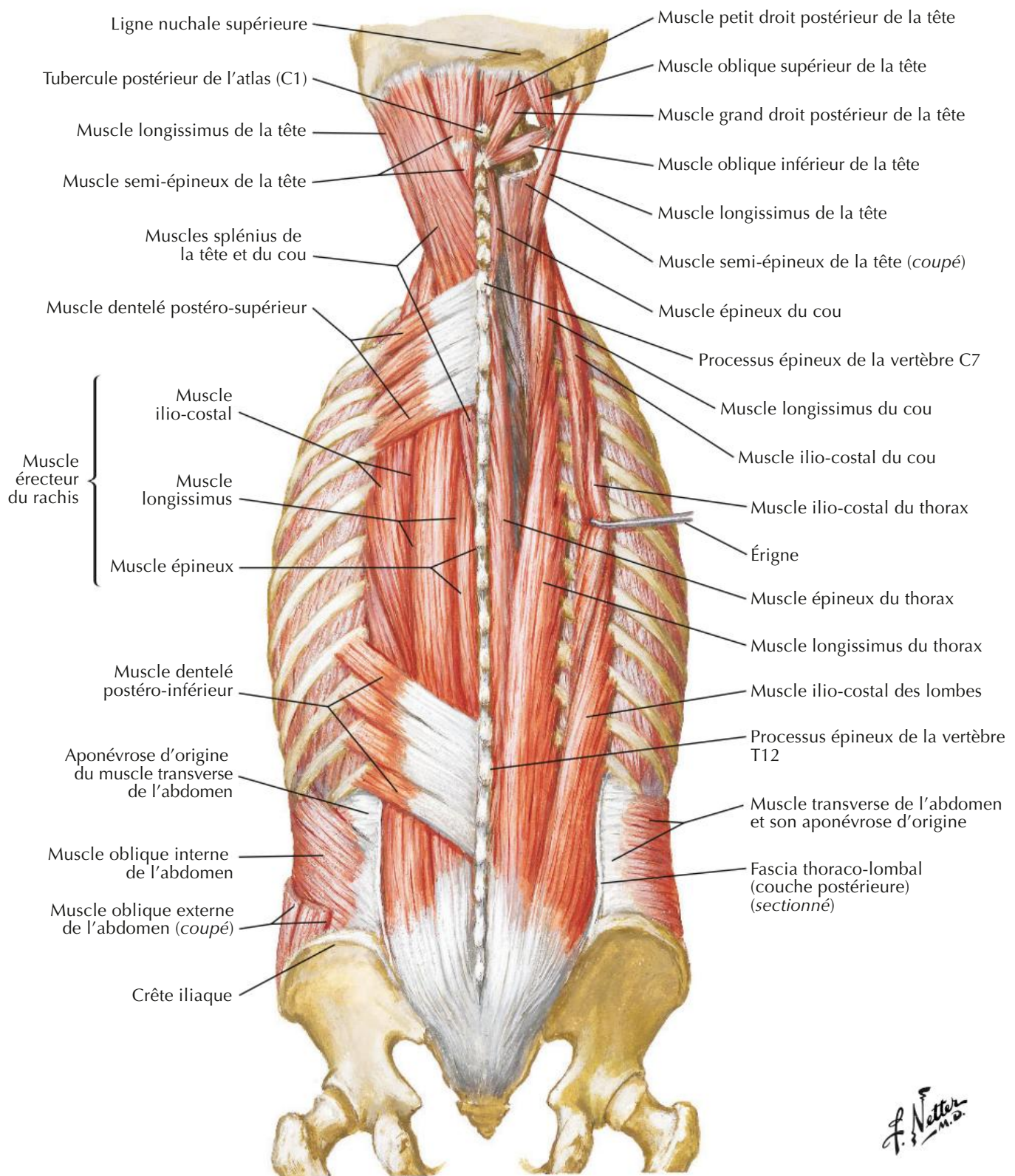
Distribution artérielle : schéma

Veines de la moelle spinale et de la colonne vertébrale

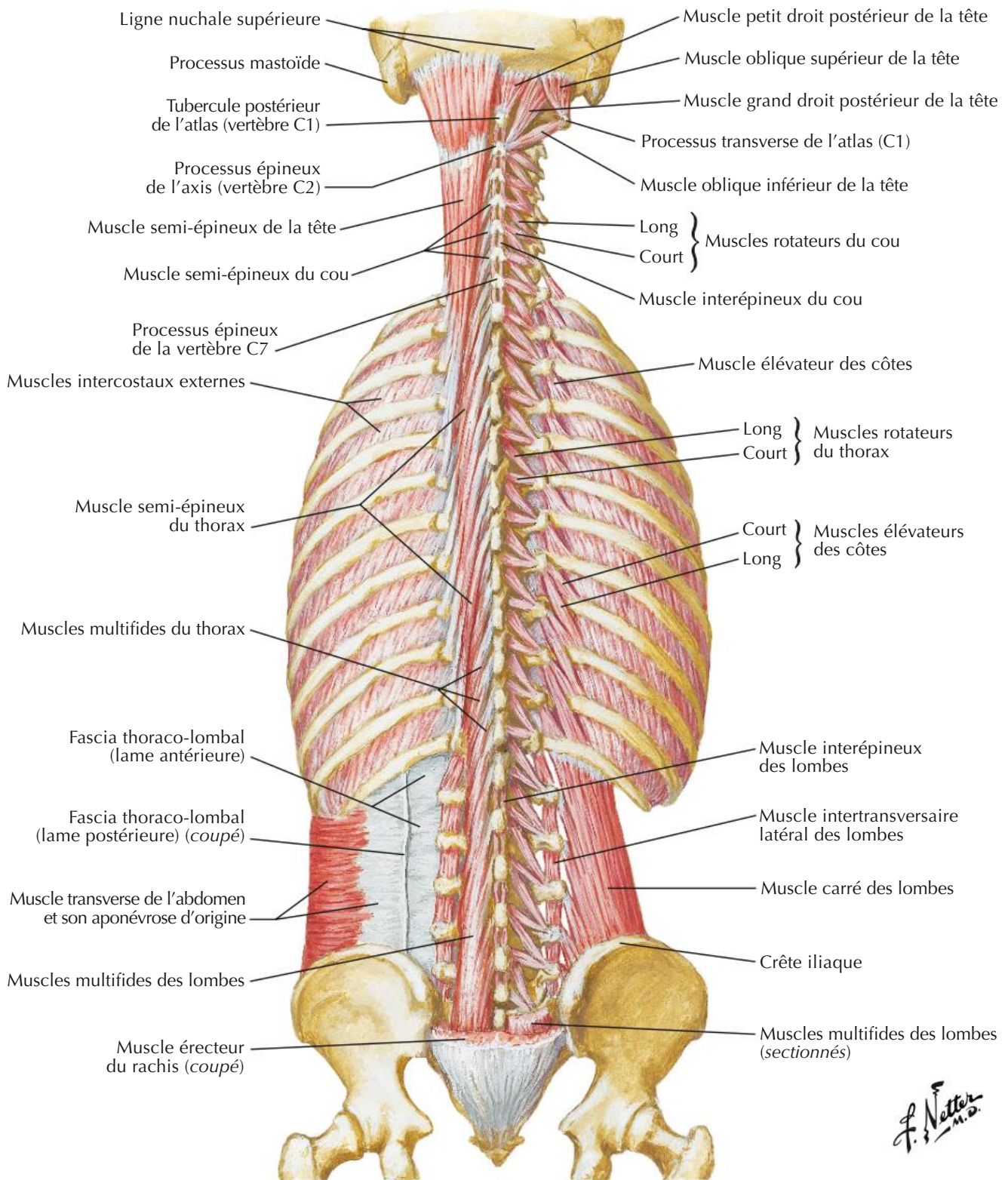


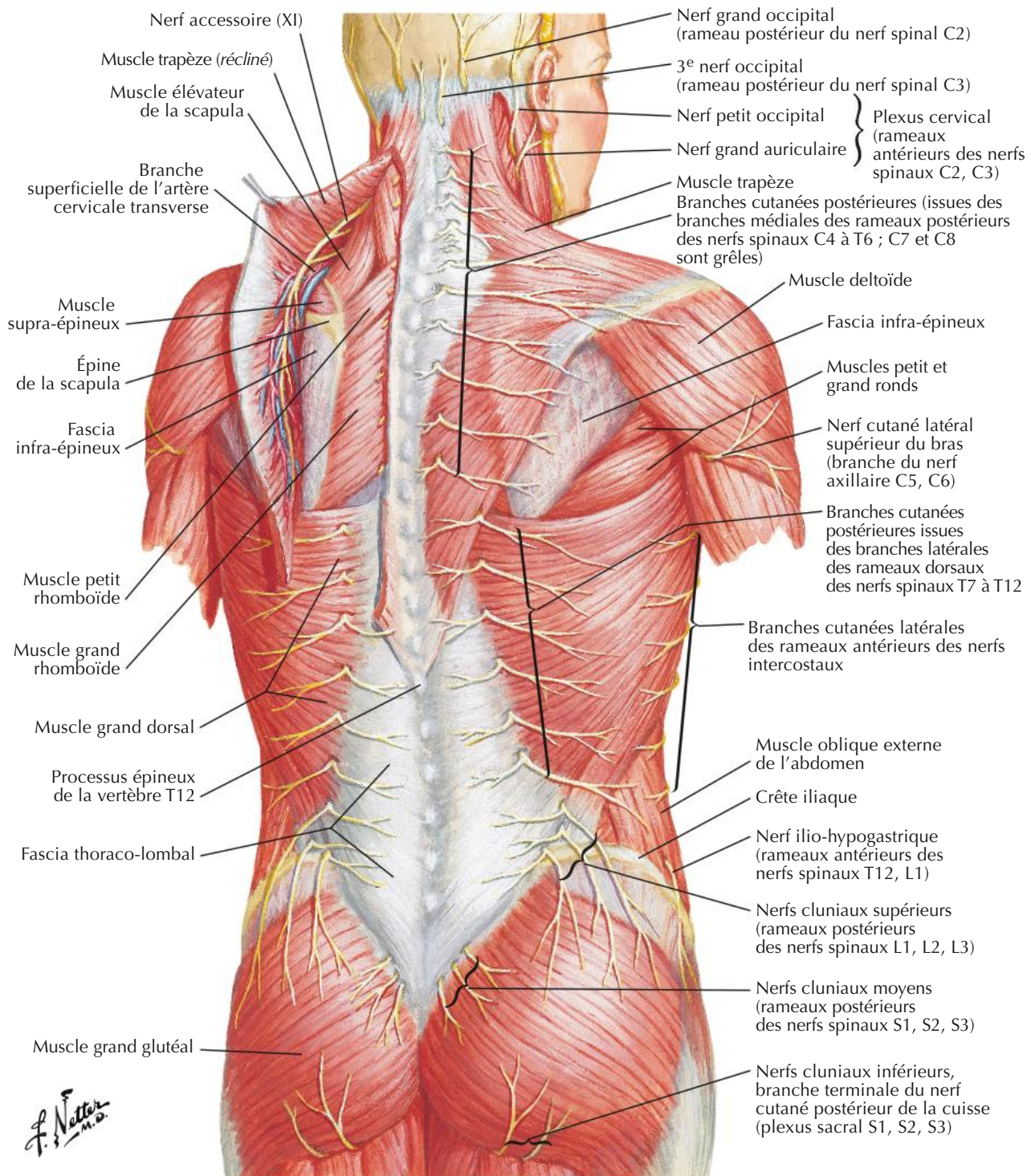






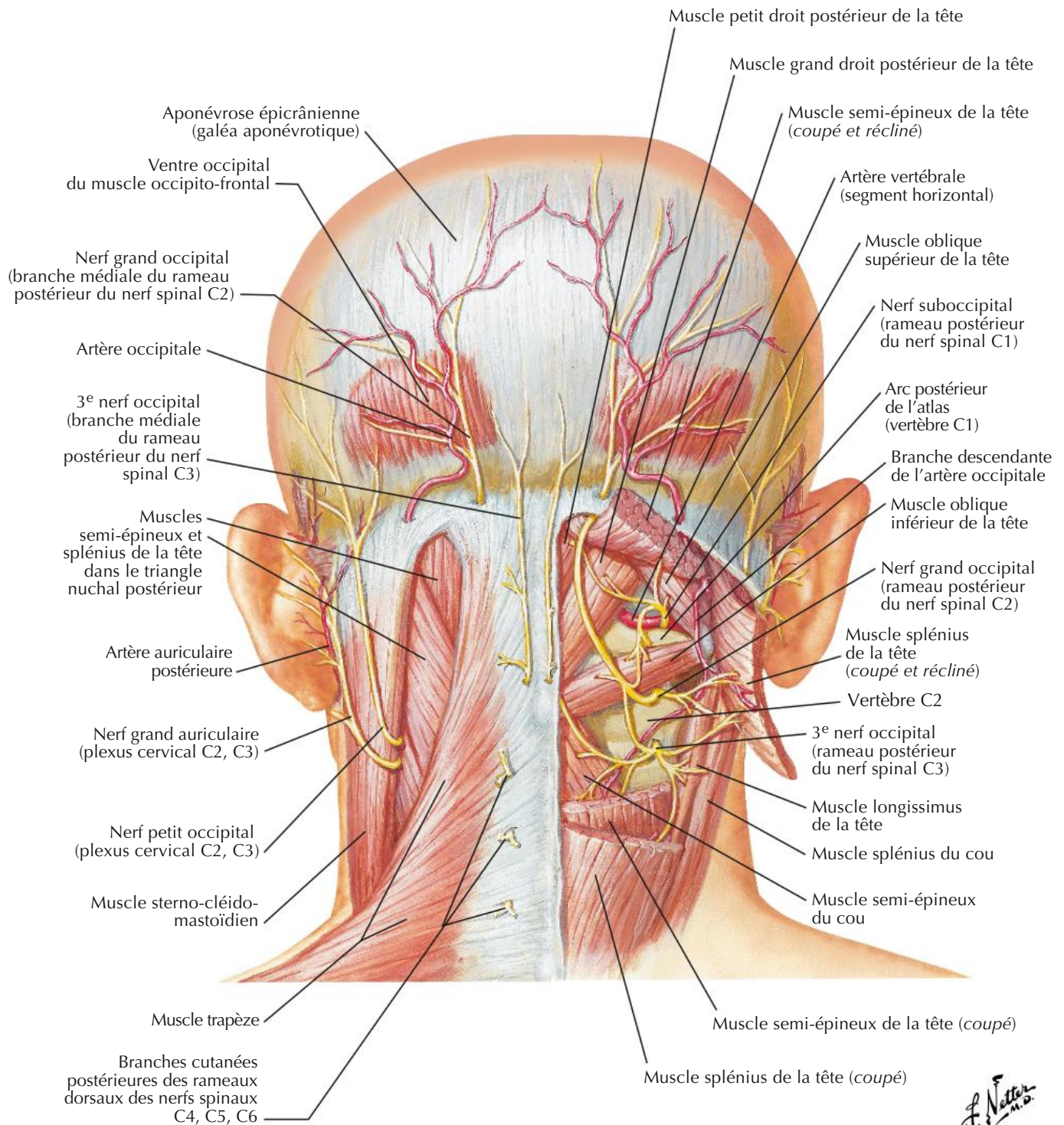
Muscles du dos : couches profondes



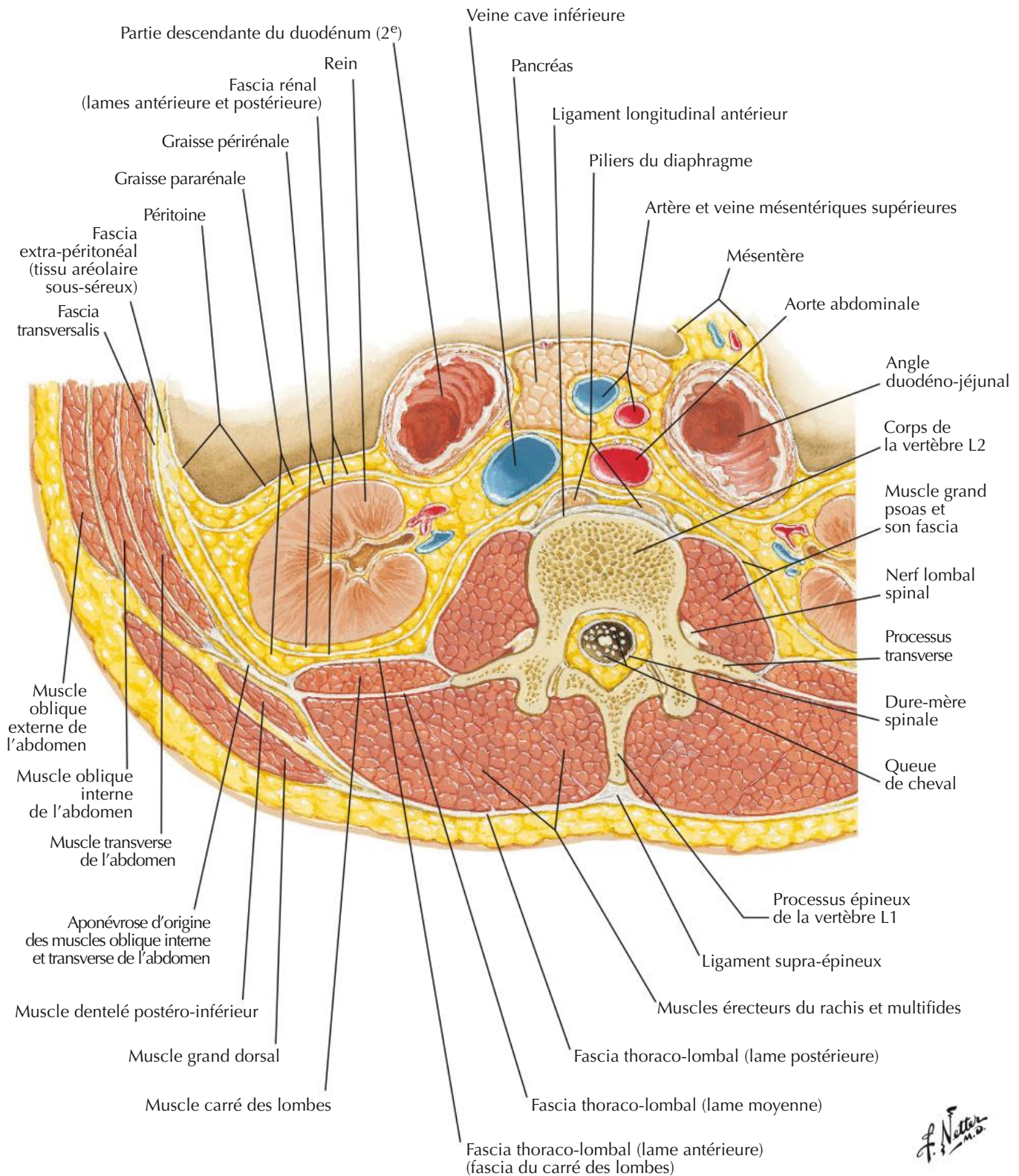


Triangle suboccipital

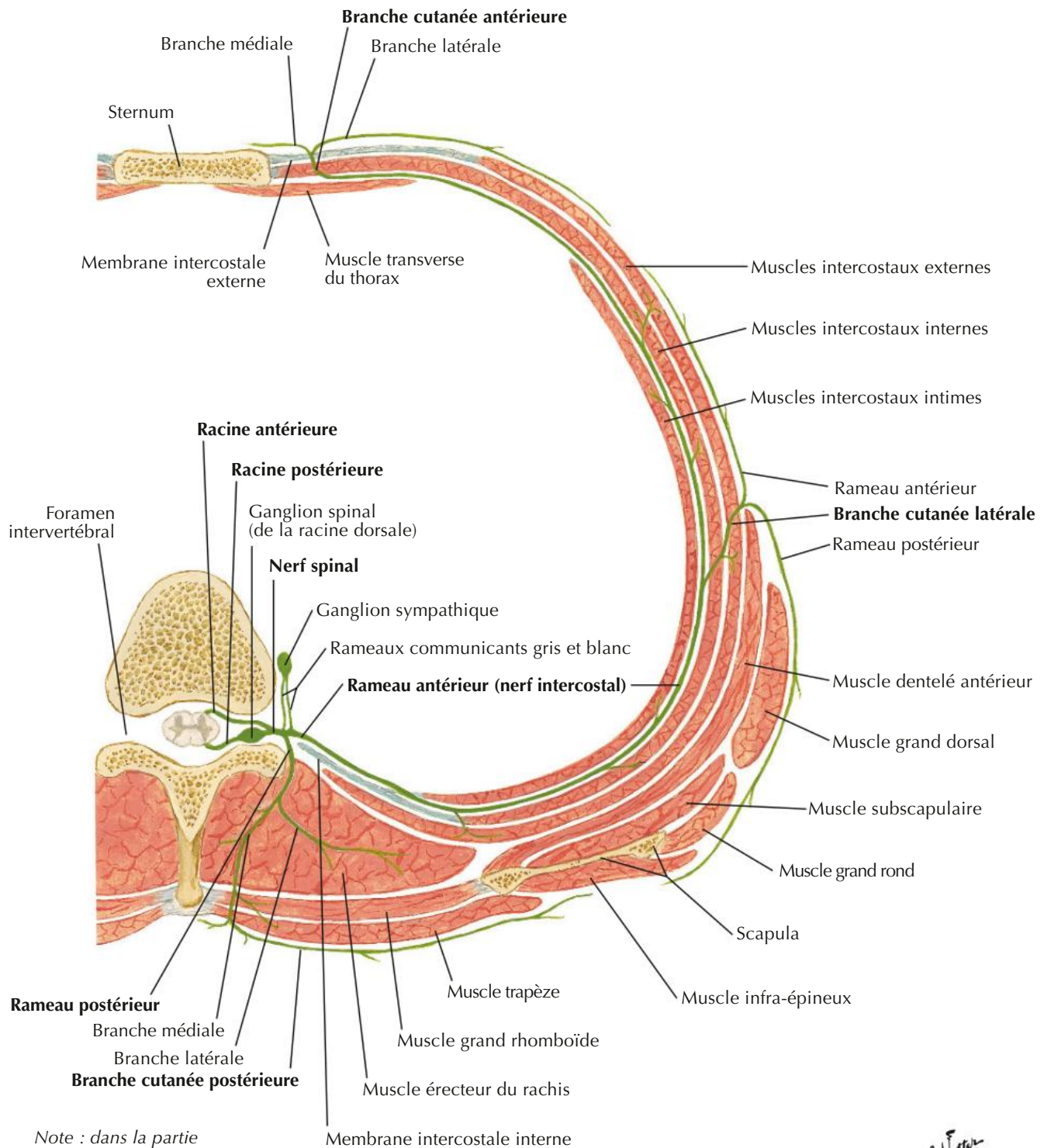
Voir aussi Planches 36, 39







F. Netter M.D.



F. Netter M.D.



Note : dans la partie inférieure du thorax la branche latérale du rameau postérieur est plus longue, motrice et cutanée ; la branche médiale est plus courte et uniquement motrice.

STRUCTURES ANATOMIQUES	IMPORTANCE CLINIQUE	NUMÉROS DES PLANCHES
 SYSTÈME SQUELETTIQUE		
Processus épineux	Repères palpables pour évaluer les courbures rachidiennes et déterminer la localisation de la moelle spinale dans certaines procédures comme la ponction lombaire et l'anesthésie rachidienne (rachianesthésie)	161, 180
Processus épineux de C7	Le plus proéminent des processus épineux (vertèbre proéminente) ; souvent utilisé pour commencer à compter les vertèbres	161, 163
Disques intervertébraux	Des modifications liées à l'âge peuvent engendrer une hernie du nucléus pulposus, responsable de mal de dos ; cela survient plus classiquement dans la région lombaire basse de la colonne vertébrale	164, 170
Lames	Réséquées chirurgicalement lors de la laminectomie pour accéder au canal vertébral et à la moelle spinale	164
Foramen intervertébral	Peut se rétrécir avec les altérations liées à l'âge (par ex. formation d'ostéophytes) ou des modifications dans la hauteur du disque, entraînant une compression de son contenu	164, 167, 168
Hiatus sacral	Permet d'accéder à l'espace épidural pour réaliser une anesthésie épidurale caudale	166
5 ^e vertèbre lombale (lombaire)	La spondylolyse est une pathologie dans laquelle le corps vertébral se sépare de la partie de son arc vertébral portant le processus articulaire inférieur ; si cela se produit bilatéralement, le corps de L5 et ses processus transverses peuvent glisser vers l'avant du sacrum, donnant lieu à un spondylolisthesis	167
Vertèbres L5/S1	Niveau le plus habituel de la hernie discale	167, 170
Foramen vertébral	Peut devenir étroit par des lésions arthritiques au niveau des vertèbres lombales, entraînant une sténose rachidienne (canal lombaire étroit) responsable de mal de dos, de sciatique, d'engourdissements ou de paresthésies et d'une faiblesse des membres inférieurs	163, 164
 SYSTÈME MUSCULAIRE		
Muscle trapèze	Responsable de l'accolement de la scapula contre la paroi thoracique malgré la gravité ; une chute de l'épaule indique une faiblesse du muscle ou une lésion du nerf accessoire	180
Muscles intrinsèques du dos	L'étirement microscopique ou la déchirure des fibres musculaires entraînent souvent une fatigue du dos, une cause fréquente de la douleur du bas du dos	181, 182
 SYSTÈME NERVEUX		
Cône médullaire	Indique la limite inférieure de la moelle spinale ; il est nécessaire de localiser ce niveau dans des procédures telles que la ponction lombaire	169
Queue de cheval	Les racines nerveuses lombales et sacrales peuvent être anesthésiées avec l'anesthésique injecté dans l'espace subarachnoïdien (bloc spinal)	169, 170
Méninges spinales	L'accès aux espaces épidural et subarachnoïdien est nécessaire pour les procédures cliniques telles que l'anesthésie péridurale et la ponction lombaire	165, 175
 SYSTÈME CARDIO-VASCULAIRE		
Artères médullaires segmentaires	La sténose ou la lésion de ces artères par l'athérosclérose, les fractures vertébrales ou les luxations vertébrales peuvent provoquer une ischémie de la moelle spinale	176
Plexus veineux vertébraux	Modalité veineuse de propagation des cellules cancéreuses pour donner des métastases rachidiennes, pulmonaires et cérébrales	178

* Les sélections ont été fondées en grande partie sur des données cliniques aussi bien que sur les corrélations anatomo-cliniques fréquemment discutées dans les cours d'anatomie macroscopique.

MUSCLE	GROUPE MUSCULAIRE	INSERTION PROXIMALE (ORIGINE)	INSERTION DISTALE (TERMINAISON)	INNERVATION	ACTIONS PRINCIPALES	VASCULARISATION ARTÉRIELLE
Dentelé postéro-inférieur	Muscle intermédiaire du dos	Processus épineux des vertèbres T11-L2	Bord inférieur des côtes 9 à 12	Branche ventrale (ou nerfs intercostaux) des derniers nerfs thoraciques	Abaisse les côtes	Artères intercostales postérieures
Dentelé postéro-supérieur	Muscle intermédiaire du dos	Ligament nuchal, processus épineux des vertèbres C7-T3	Bord supérieur des côtes 2 à 4	Branche ventrale (ou nerfs intercostaux) des premiers nerfs thoraciques	Èlèvent les côtes	Artères intercostales postérieures
Élévateur de la scapula	Muscle superficiel du dos	Tubercules postérieurs des processus transverses des vertèbres C1-C4	Bord médial de la scapula au-dessus de l'épine de la scapula, angle supérieur de la scapula	Rameaux ventraux des nerfs spinaux C3-C4 et nerf dorsal de la scapula	Èlève la scapula médialement, entraîne une rotation inférieure de la cavité glénoïdale	Artère scapulaire dorsale, artère cervicale transverse, artère cervicale ascendante
Érecteur du rachis	Sacro-épineux (muscle profond du dos)	Face dorsale du sacrum, crête iliaque, ligament sacro-épineux, ligament supra-épineux, processus épineux des dernières vertèbres lombales et des vertèbres sacrales	<p>Iliocostal : angles des côtes inférieures, processus transverses des vertèbres cervicales</p> <p>Longissimus : entre tubercules et angles des côtes, processus transverses des vertèbres thoraciques et cervicales, processus mastoïde</p> <p>Épineux : processus épineux des premières vertèbres thoraciques et des vertèbres moyennes du rachis cervical</p>	Rameaux dorsaux des nerfs spinaux de chaque région	Étendent et inclinent latéralement la colonne vertébrale et la tête	<p>Partie cervicale : artères occipitale, cervicale profonde et vertébrale</p> <p>Partie thoracique : branches dorsales des artères intercostales postérieures, subcostales et lombales</p> <p>Partie sacrale : branches dorsales des artères sacrales latérales</p>
Grand dorsal	Muscle superficiel du dos	Processus épineux des vertèbres T7 à L5, fascia thoraco-lombaire, crête iliaque, et trois dernières côtes	Humérus (sillon intertuberculaire et crête du tubercule mineur)	Nerf thoraco-dorsal	Extenseur, adducteur et rotateur médial de l'humérus	Artère thoraco-dorsale, branches perforantes dorsales des 9e, 10e, 11e artères intercostales postérieures et de l'artère subcostale et des trois premières artères lombales
Grand droit postérieur de la tête	Muscle suboccipital	Processus épineux de l'axis	Ligne nucale inférieure	Nerf suboccipital	Extenseur et rotateur homolatéral de la tête	Artère vertébrale, branche descendante de l'artère occipitale
Grand rhomboïde	Muscle superficiel du dos	Processus épineux des vertèbres T2-T5	Bord médial de la scapula au-dessous de la base de l'épine de la scapula	Nerf dorsal de la scapula	Fixe la scapula contre la paroi thoracique, rétracte (adduction) et entraîne la rotation de la scapula de sorte à abaisser la cavité glénoïdale	Artère scapulaire dorsale ou branche profonde de l'artère cervicale transverse, branches perforantes des cinq à six premières artères intercostales postérieures
Interépineux (du cou, du thorax, des lombes)	Segmentaires (muscles profonds du dos)	Processus épineux	Processus épineux adjacent	Rameaux dorsaux des nerfs spinaux	Contribuent à l'extension de la colonne vertébrale	<p>Partie cervicale : artères occipitale, cervicale profonde et vertébrale</p> <p>Partie thoracique : branches dorsales des artères intercostales postérieures</p> <p>Partie lombale : branches dorsales des artères lombales</p>

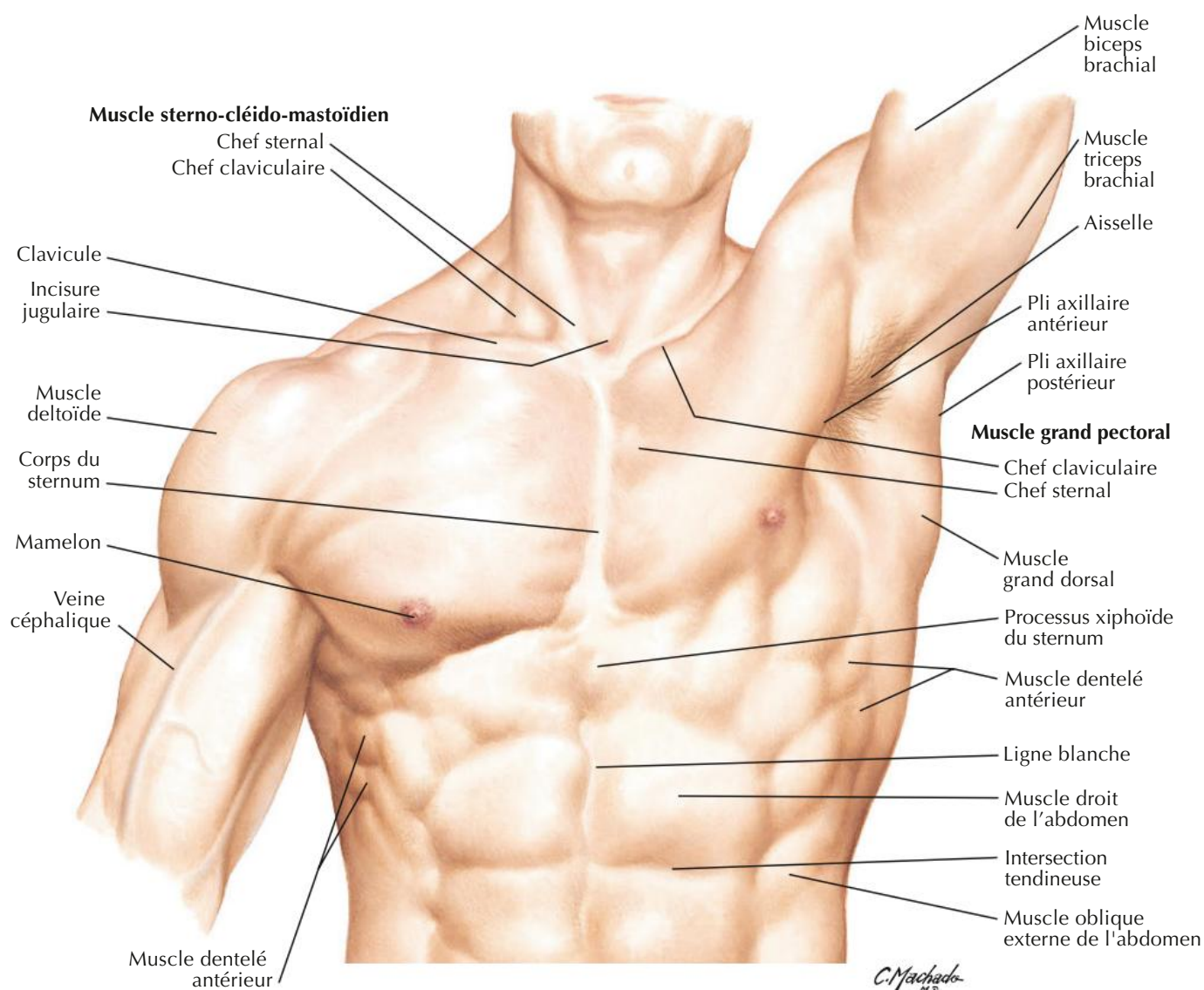
Des variations dans les contributions des nerfs spinaux dans l'innervation des muscles, dans la vascularisation artérielle des muscles, dans leurs insertions et leurs actions sont des événements fréquents dans l'anatomie humaine. Ainsi, il peut exister des différences entre les textes de différents ouvrages : considérez que les variations anatomiques sont normales.

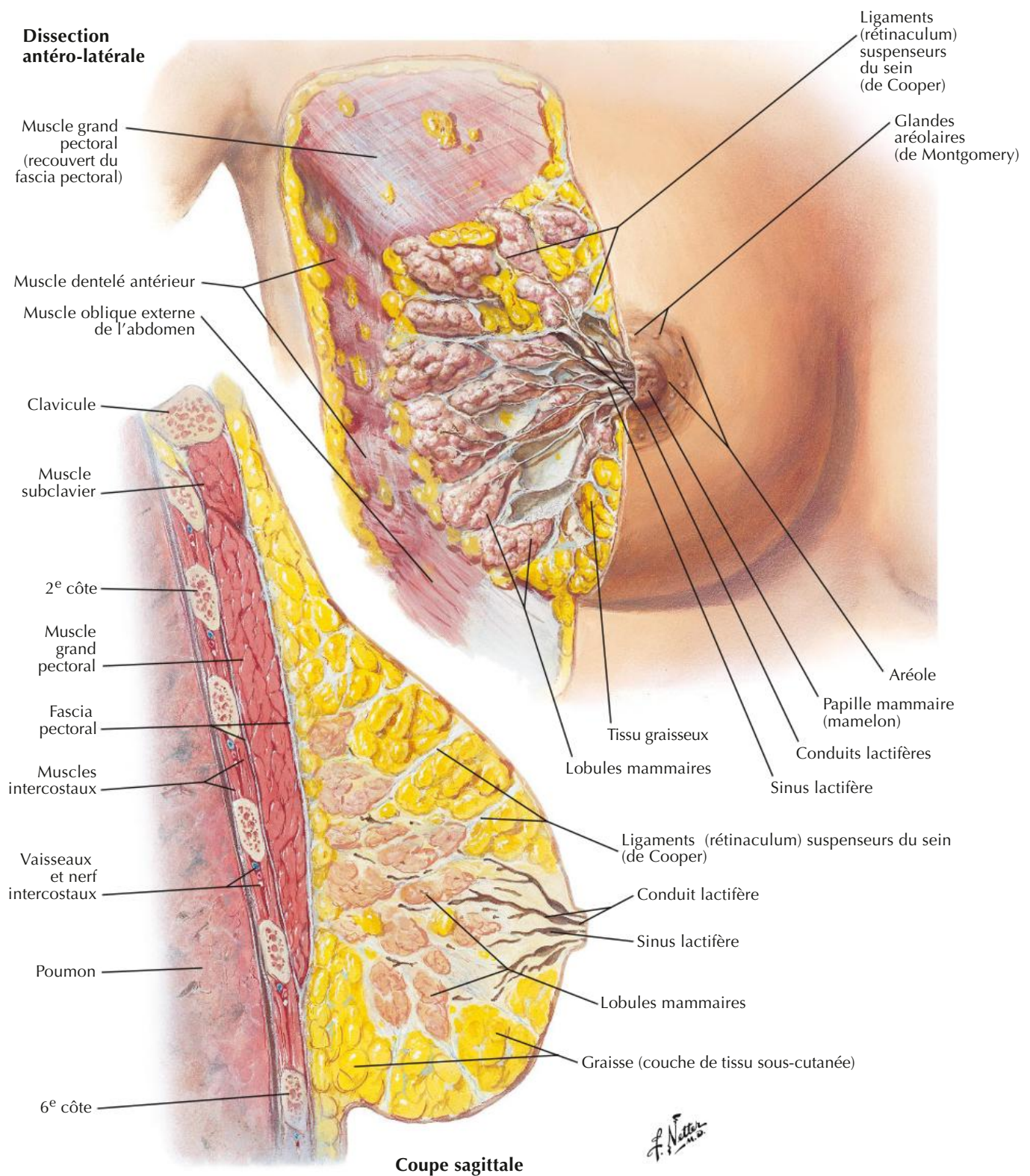
MUSCLE	GROUPE MUSCULAIRE	INSERTION PROXIMALE (ORIGINE)	INSERTION DISTALE (TERMINAISON)	INNERVATION	ACTIONS PRINCIPALES	VASCULARISATION ARTÉRIELLE
Intertransversaires (du cou, du thorax, des lombes)	Segmentaires (muscles profonds du dos)	Étendus entre les processus transverses de deux vertèbres adjacentes	Étendus entre les processus transverses de deux vertèbres adjacentes	Rameaux dorsaux des nerfs spinaux	Contribuent à l'inclinaison latérale de la colonne vertébrale	Partie cervicale : artères occipitale, cervicale profonde et vertébrale Partie thoracique : branches dorsales des artères intercostales postérieures, subcostales et lombales Partie lombale : branches dorsales des artères lombales
Multifides	Muscles transverso-épineux (muscles profonds du dos)	Sacrum, ilium, processus mamillaires des vertèbres lombales, processus transverses de T1-T12, et processus articulaires de C4-C7	Processus épineux d'une vertèbre sus-jacente en enjambant deux à quatre segments vertébraux	Rameaux dorsaux des nerfs spinaux de chaque région	Stabilisent le rachis	Partie cervicale : artères occipitale, cervicale profonde et vertébrale Partie thoracique : branches dorsales des artères intercostales postérieures, subcostales et lombales Partie sacrale : branches dorsales des artères sacrales latérales
Oblique inférieur de la tête	Muscle suboccipital	Processus épineux de l'axis	Processus transverse de l'atlas	Nerf suboccipital	Rotateur homolatéral de l'atlas afin de tourner la face du même côté que le muscle	Artère vertébrale, branche descendante de l'artère occipitale
Oblique supérieur de la tête	Muscle suboccipital	Processus transverse de l'atlas	Os occipital	Nerf suboccipital	Étend et incline latéralement la tête	Artère vertébrale, branche descendante de l'artère occipitale
Petit droit postérieur de la tête	Muscle suboccipital	Tubercule de l'arc postérieur de l'atlas	Partie médiane de la ligne nucale inférieure	Nerf suboccipital	Extenseur de la tête	Artère vertébrale, branche descendante de l'artère occipitale
Petit rhomboïde	Muscle superficiel du dos	Ligament nuchal, processus épineux des vertèbres C7 et T1	Bord médial de la scapula au niveau de l'épine de la scapula	Nerf dorsal de la scapula	Fixe la scapula contre la paroi thoracique, rétracte (adduction) et entraîne la rotation de la scapula de sorte à abaisser la cavité glénoïdale	Artère scapulaire dorsale ou branche profonde de l'artère cervicale transverse, branches perforantes des cinq à six premières artères intercostales postérieures
Rotateurs du rachis	Muscles transverso-épineux (muscles profonds du dos)	Processus transverses des vertèbres des régions cervicale, thoracique et lombaire	Lame et processus transverse d'une vertèbre sus-jacente en enjambant un ou deux segments vertébraux	Rameaux dorsaux des nerfs spinaux	Stabilisent, étendent et entraînent une rotation du rachis	Branches dorsales des artères segmentaires
Semi-épineux	Muscles transverso-épineux (muscles profonds du dos)	Processus transverses des vertèbres C4-T12	Processus épineux des vertèbres des régions cervicale et thoracique	Rameaux dorsaux des nerfs spinaux	Étendent la tête, le cou et le thorax et entraînent leur rotation vers le côté opposé	Partie cervicale : artères occipitale, cervicale profonde et vertébrale Partie thoracique : branches dorsales des artères intercostales postérieures
Splénius de la tête	Muscle spino-transversaire (muscle profond du dos)	Ligament nuchal, processus épineux des vertèbres C7-T3	Processus mastoïde de l'os temporal, tiers latéral de la ligne nucale supérieure	Rameaux dorsaux des nerfs spinaux cervicaux moyens	Contraction bilatérale : extenseurs de la tête Contraction unilatérale : inclinaison latérale et rotation homolatérale de la tête	Branche descendante de l'artère occipitale, artère cervicale profonde

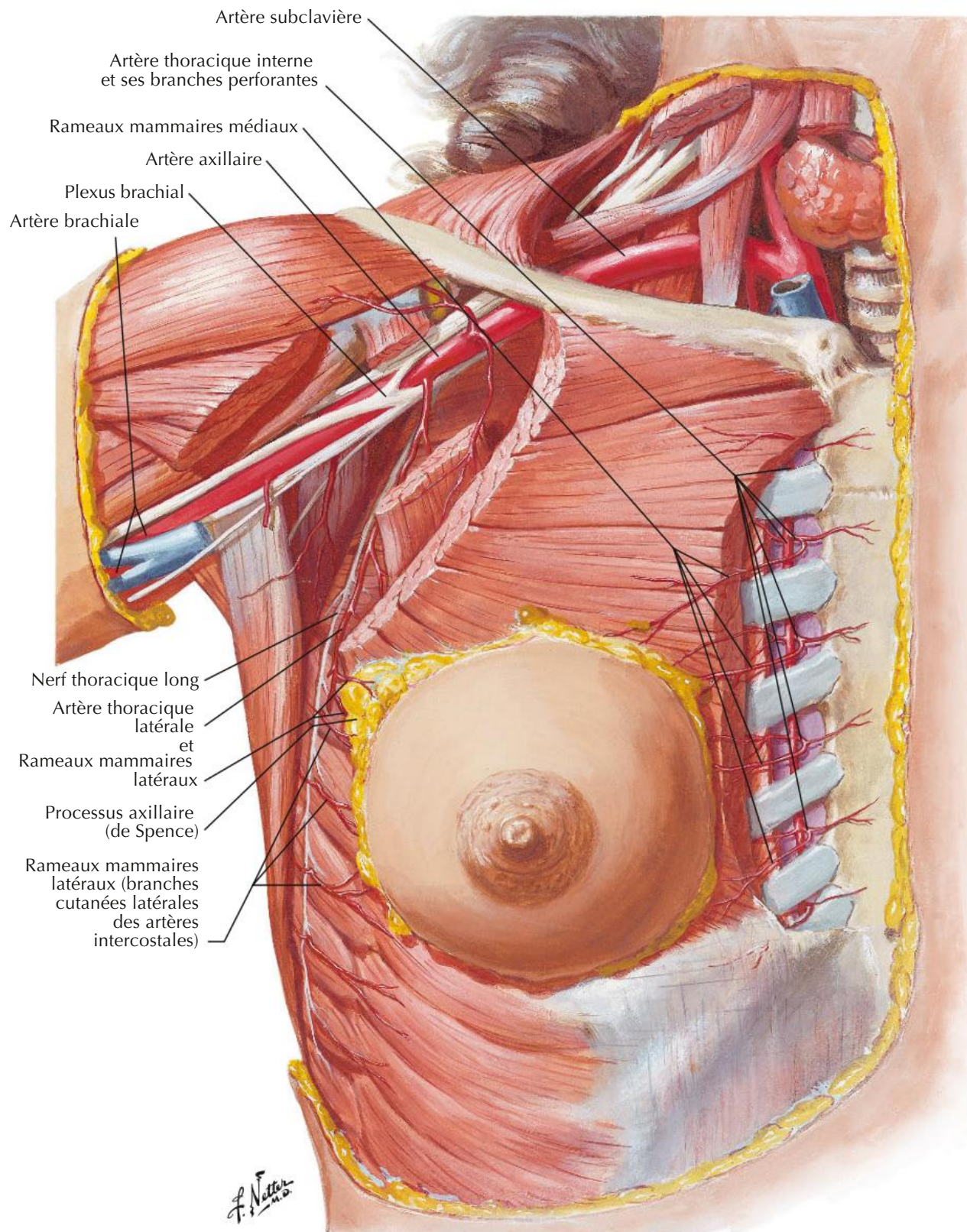
MUSCLE	GROUPE MUSCULAIRE	INSERTION PROXIMALE (ORIGINE)	INSERTION DISTALE (TERMINAISON)	INNERVATION	ACTIONS PRINCIPALES	VASCULARISATION ARTÉRIELLE
Splénius du cou	Muscle spino-transversaire (muscle profond du dos)	Processus épineux des vertèbres T3-T6	Processus transverse des vertèbres C1-C3	Rameaux dorsaux des nerfs spinaux cervicaux inférieurs	Contraction bilatérale : extenseurs du cou Contraction unilatérale : inclinaison latérale et rotation homolatérale du cou	Branche descendante de l'artère occipitale, artère cervicale profonde
Trapèze	Muscle superficiel du dos	Ligne nucale supérieure, protubérance occipitale externe, ligament nuchal et processus épineux des vertèbres C7-T12	Tiers latéral de la clavicule, acromion, épine de la scapula	Nerf accessoire (nerf crânien XI)	Élève, rétracte (adduction) et entraîne une rotation de la scapula ; les fibres les plus inférieures abaissent cependant la scapula	Artère cervicale transverse, branches perforantes dorsales des artères intercostales postérieures

THORAX 4

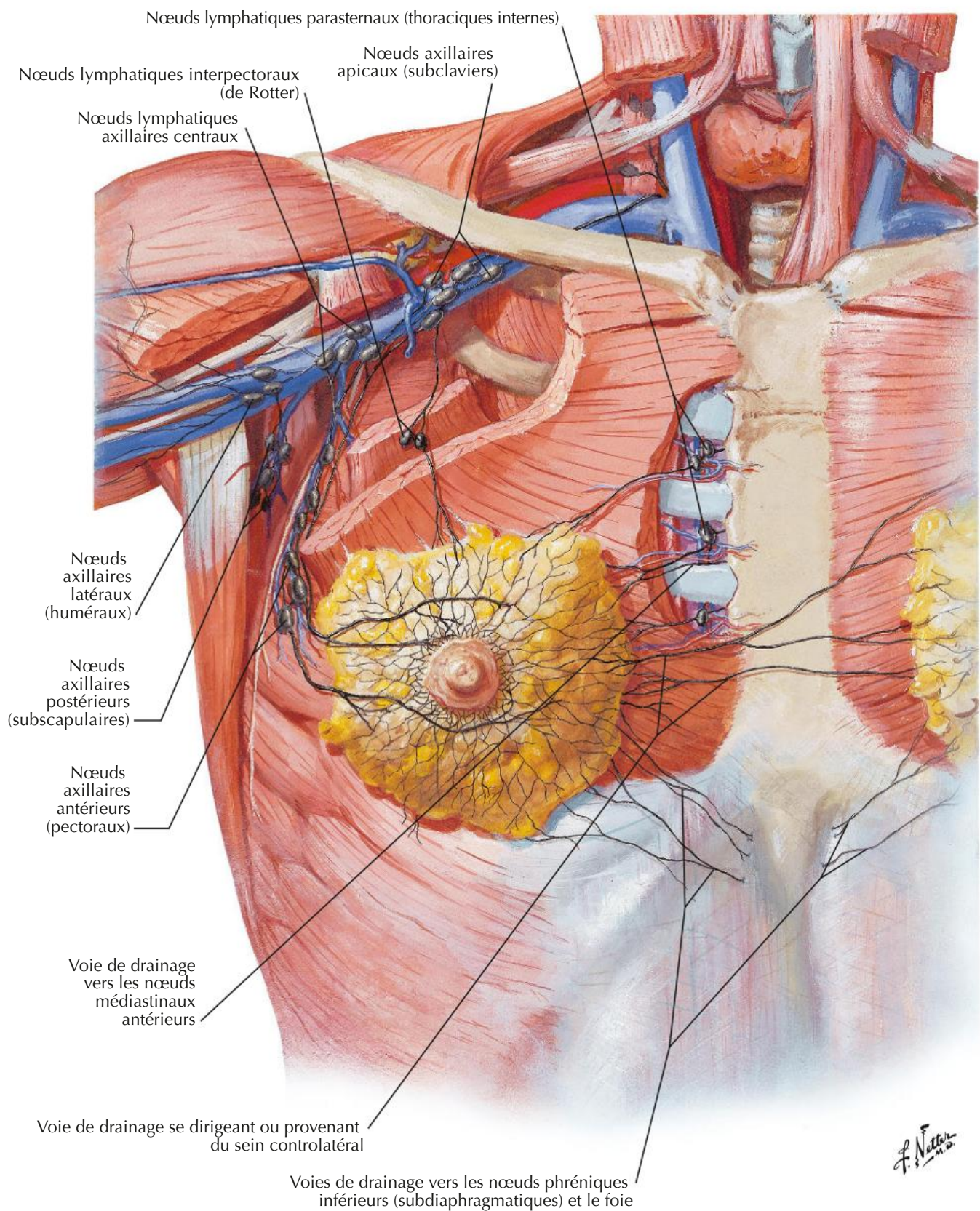
Anatomie de surface	187	Coupes tomodensitométriques	244
Glande mammaire	188-191	Coupes transversales	245-248
Paroi du corps	192-201	Structures de grande*	Tableaux 4.1-4.2
Poumons	202-214	importance clinique	
Cœur	215-233	Muscles	Tableau 4.3
Médiastin	234-243		

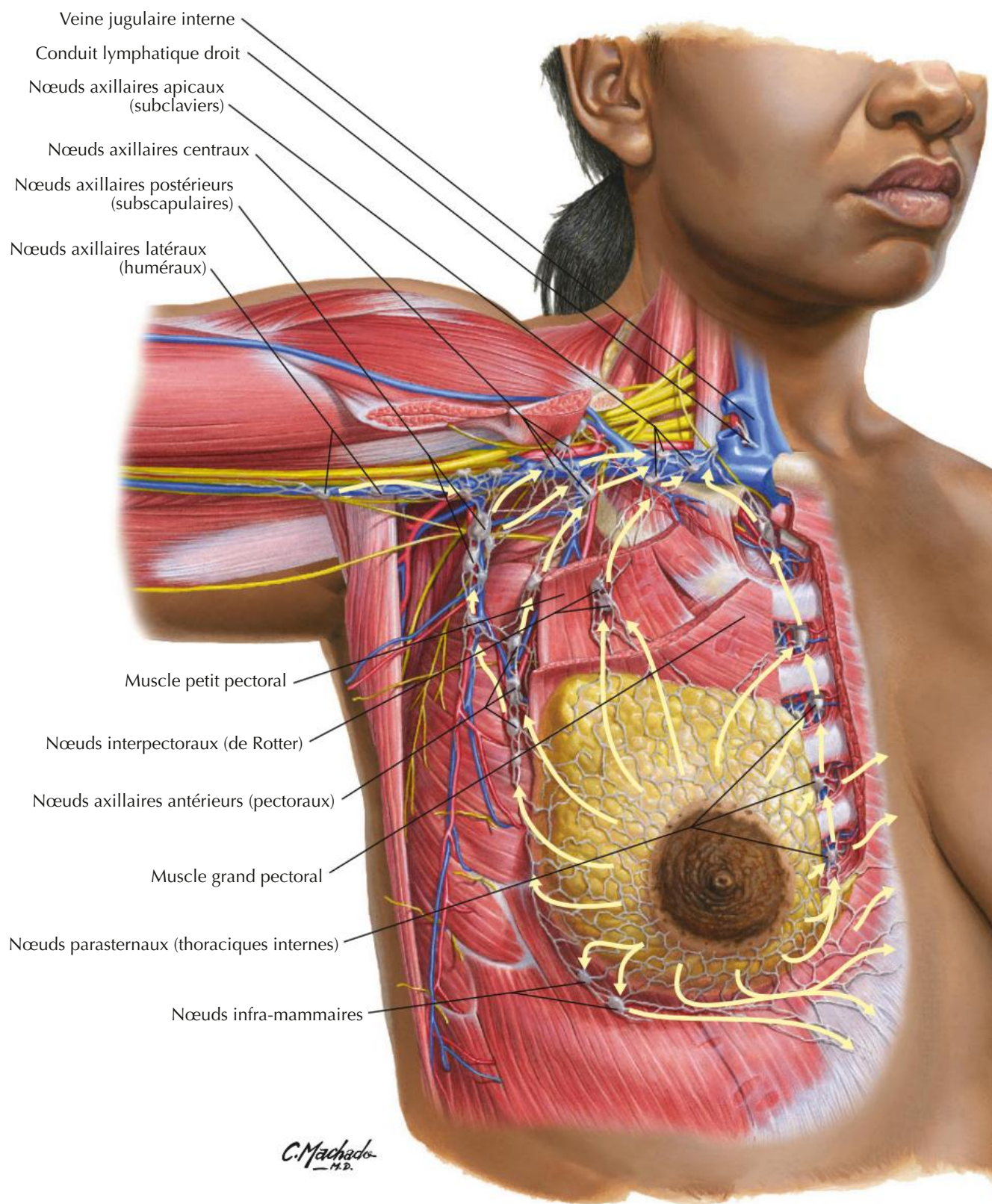




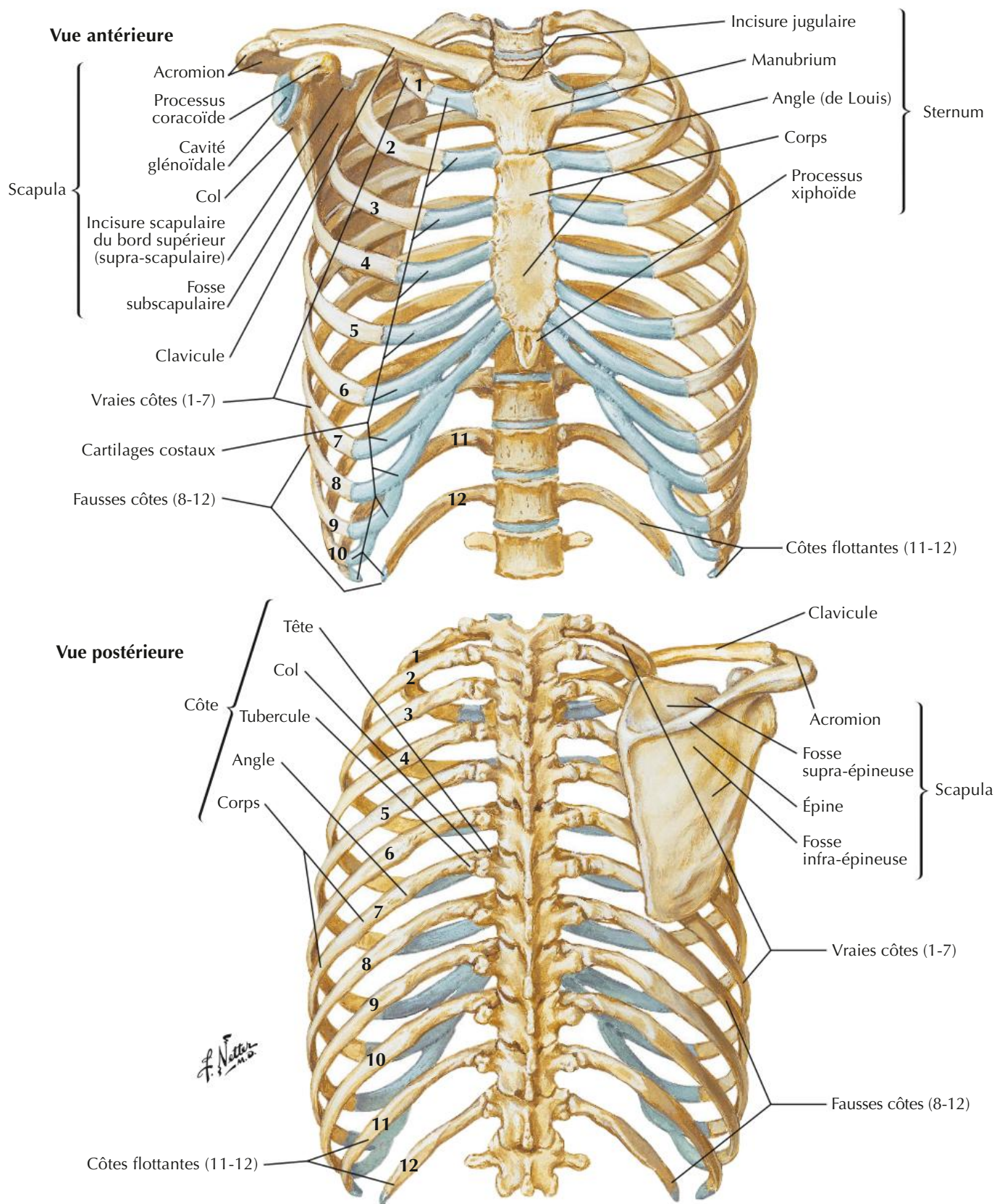


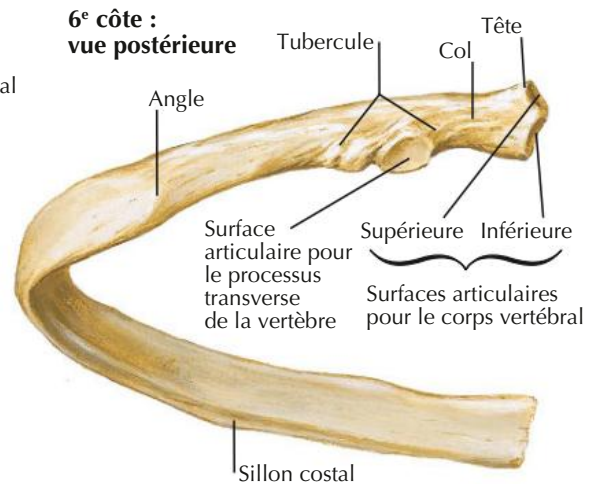
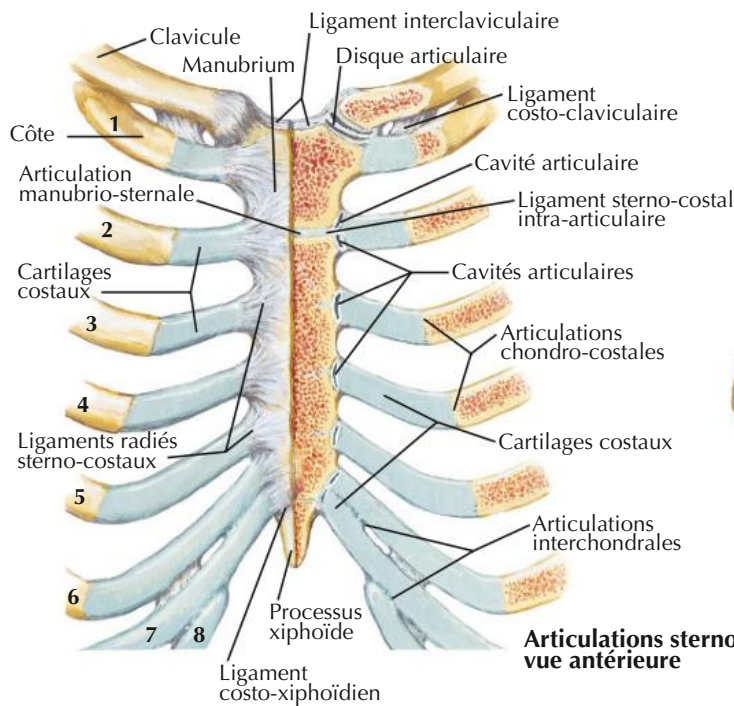
Vaisseaux et nœuds lymphatiques de la glande mammaire



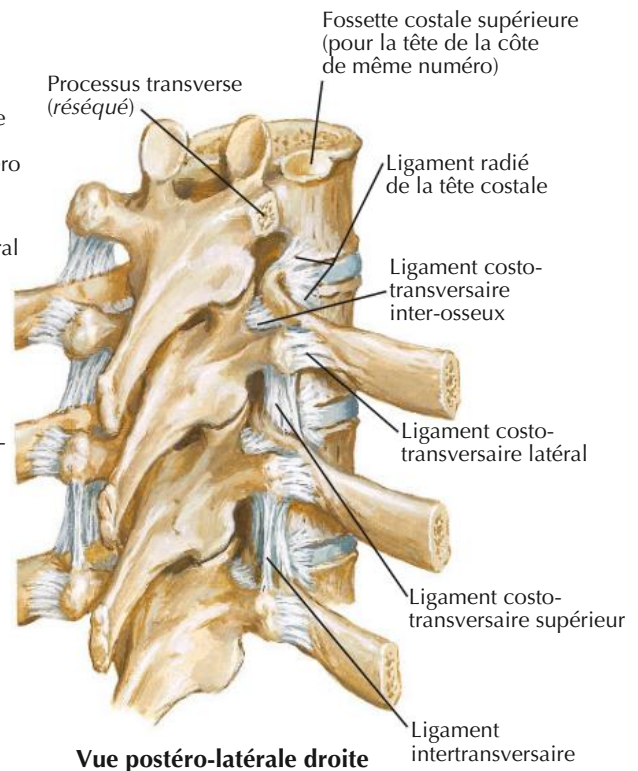
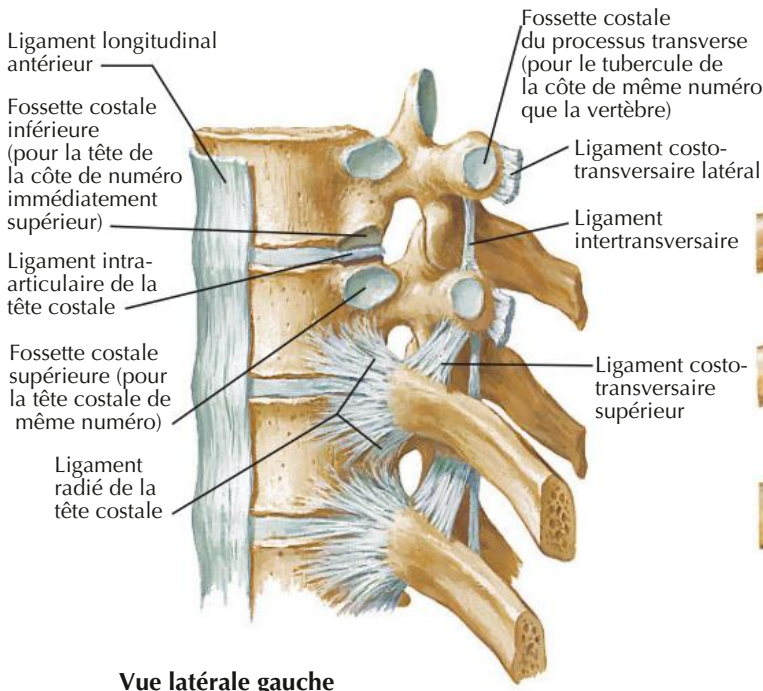


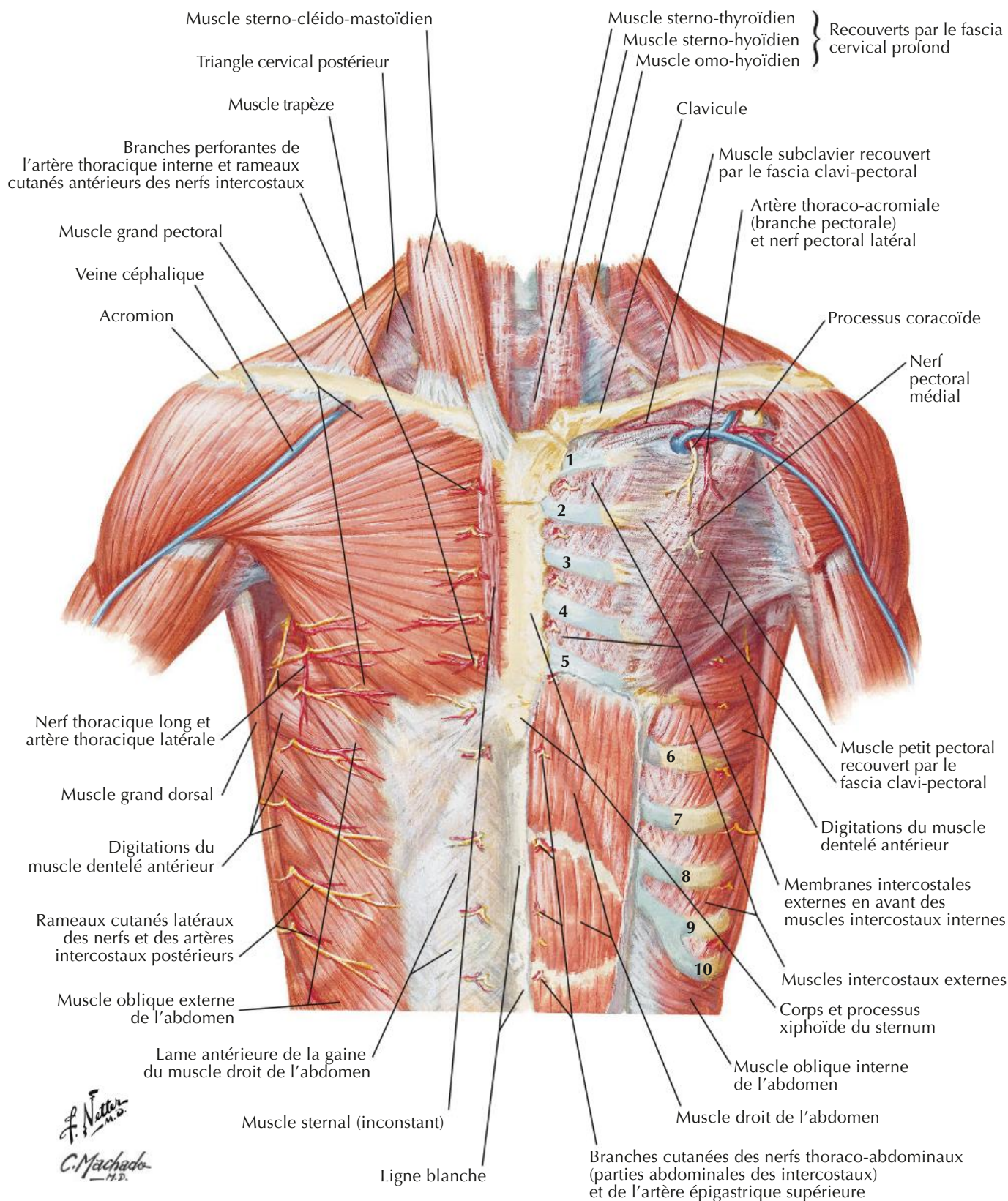
Os de la cage thoracique

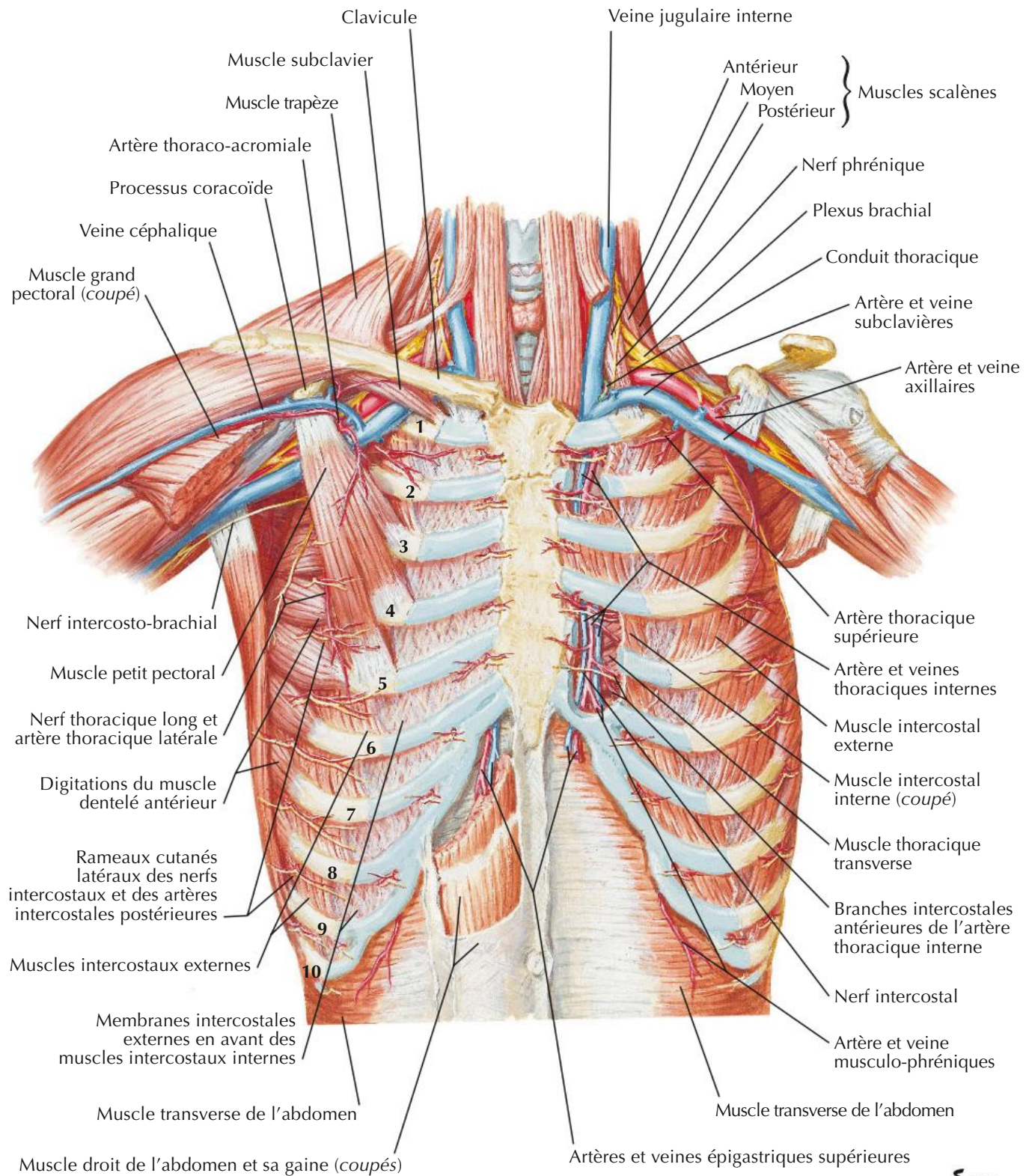




Note : la tête d'une côte type s'articule avec la fossette costale supérieure de la vertèbre thoracique de même numéro (par sa surface articulaire inférieure), avec la fossette costale inférieure de la vertèbre sus-jacente (par sa surface articulaire supérieure) et avec le disque intervertébral séparant les deux vertèbres. Le tubercule costal s'articule avec le processus transverse de la vertèbre de même numéro.

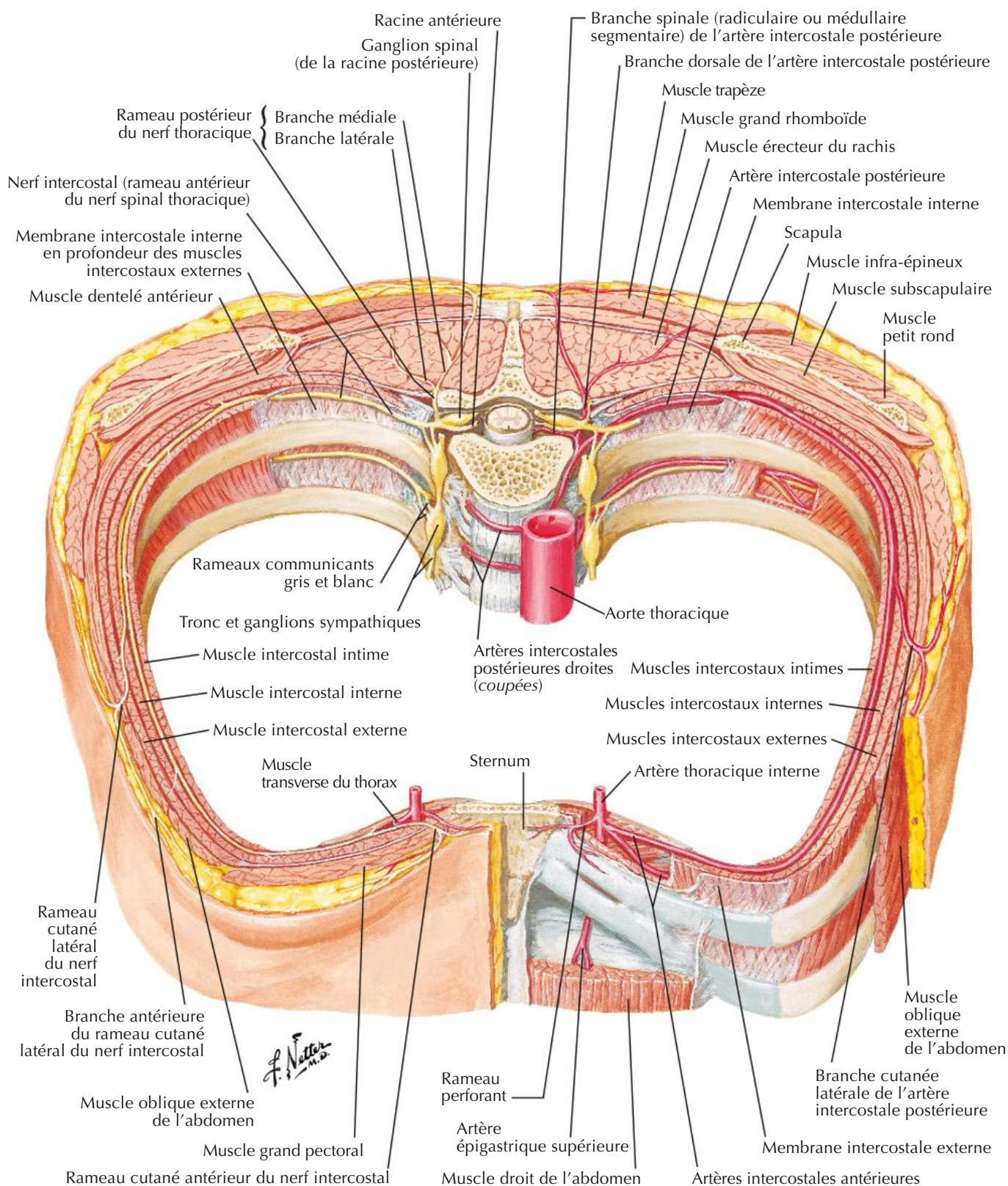






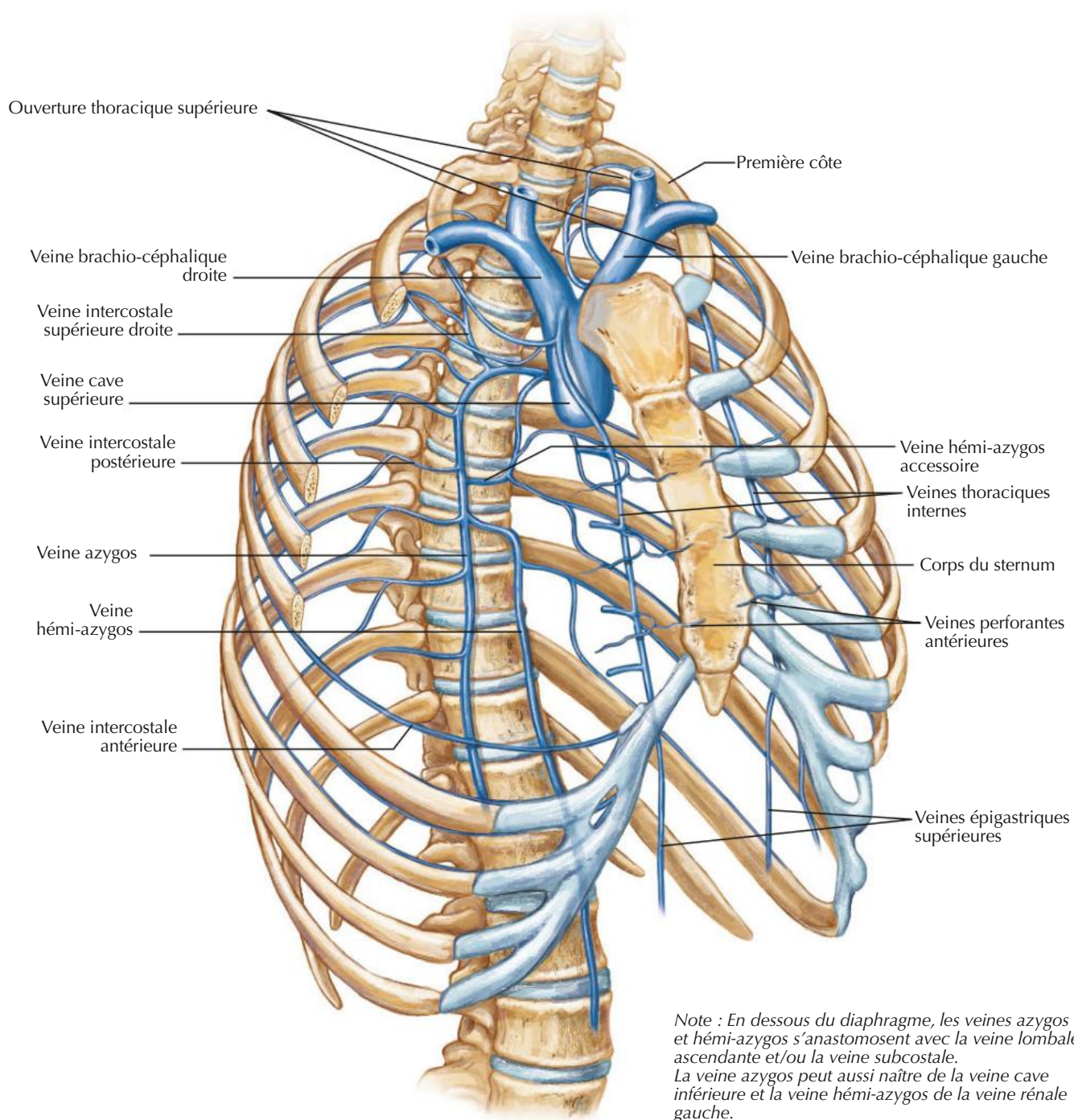
F. Netter
M.D.

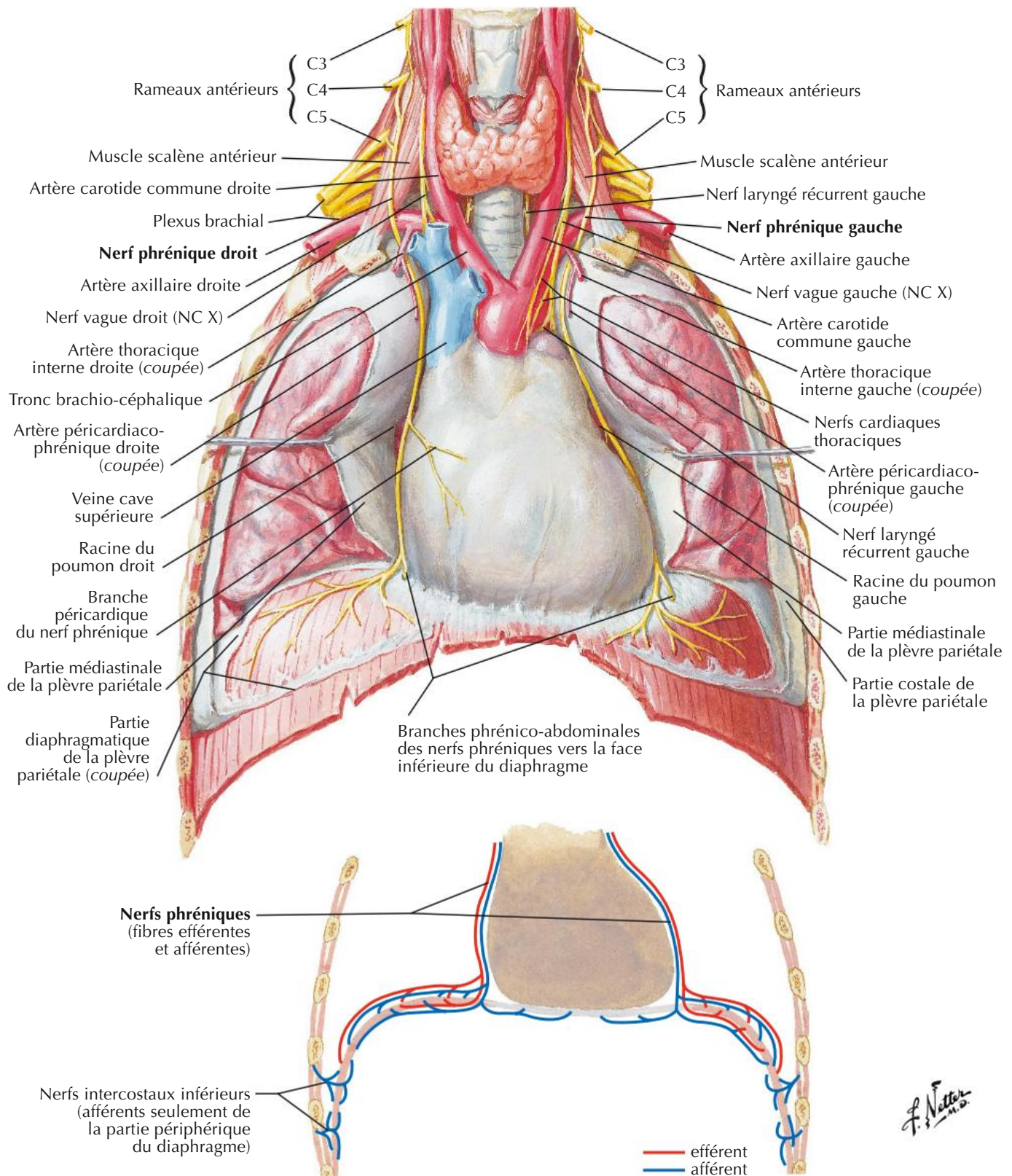


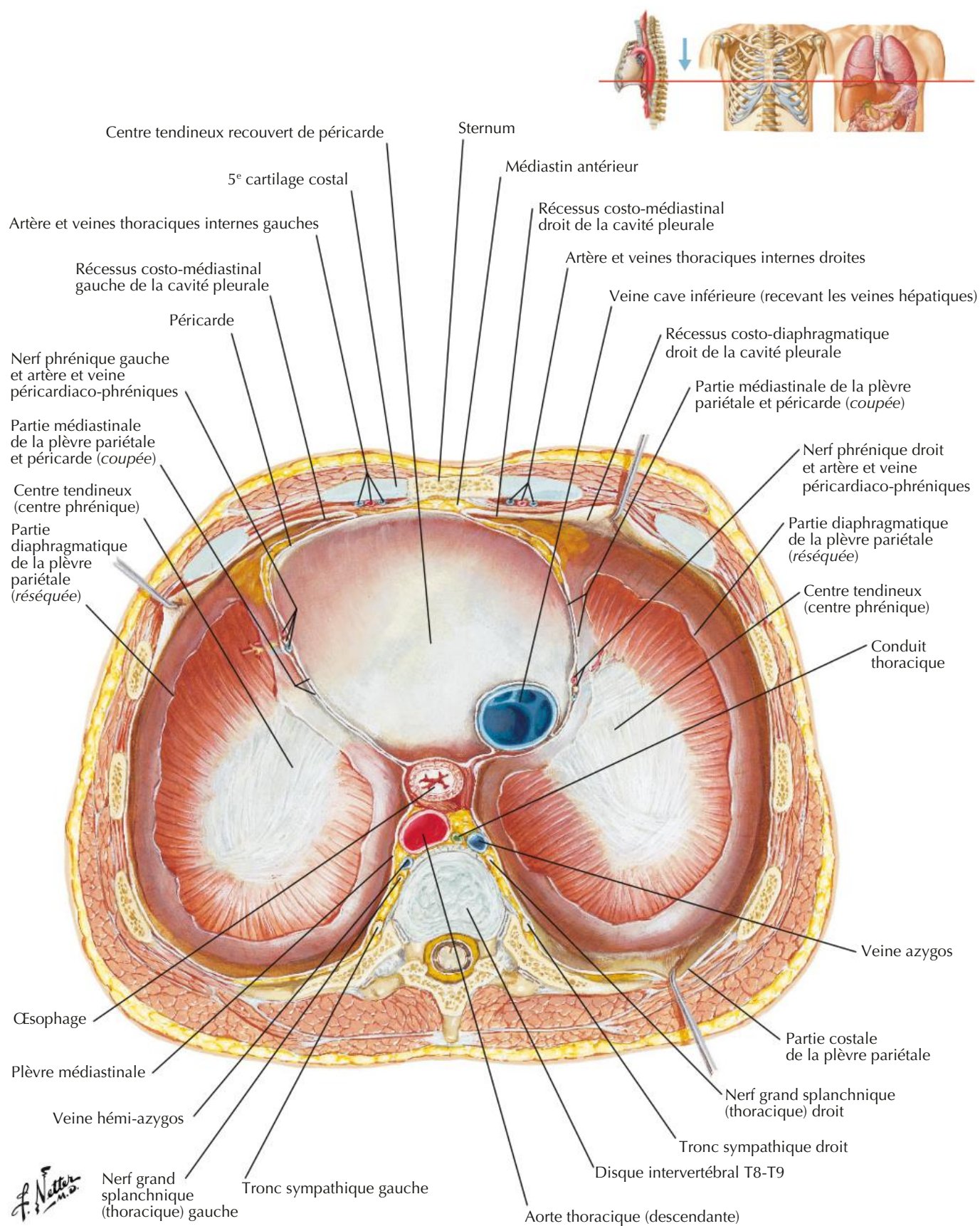


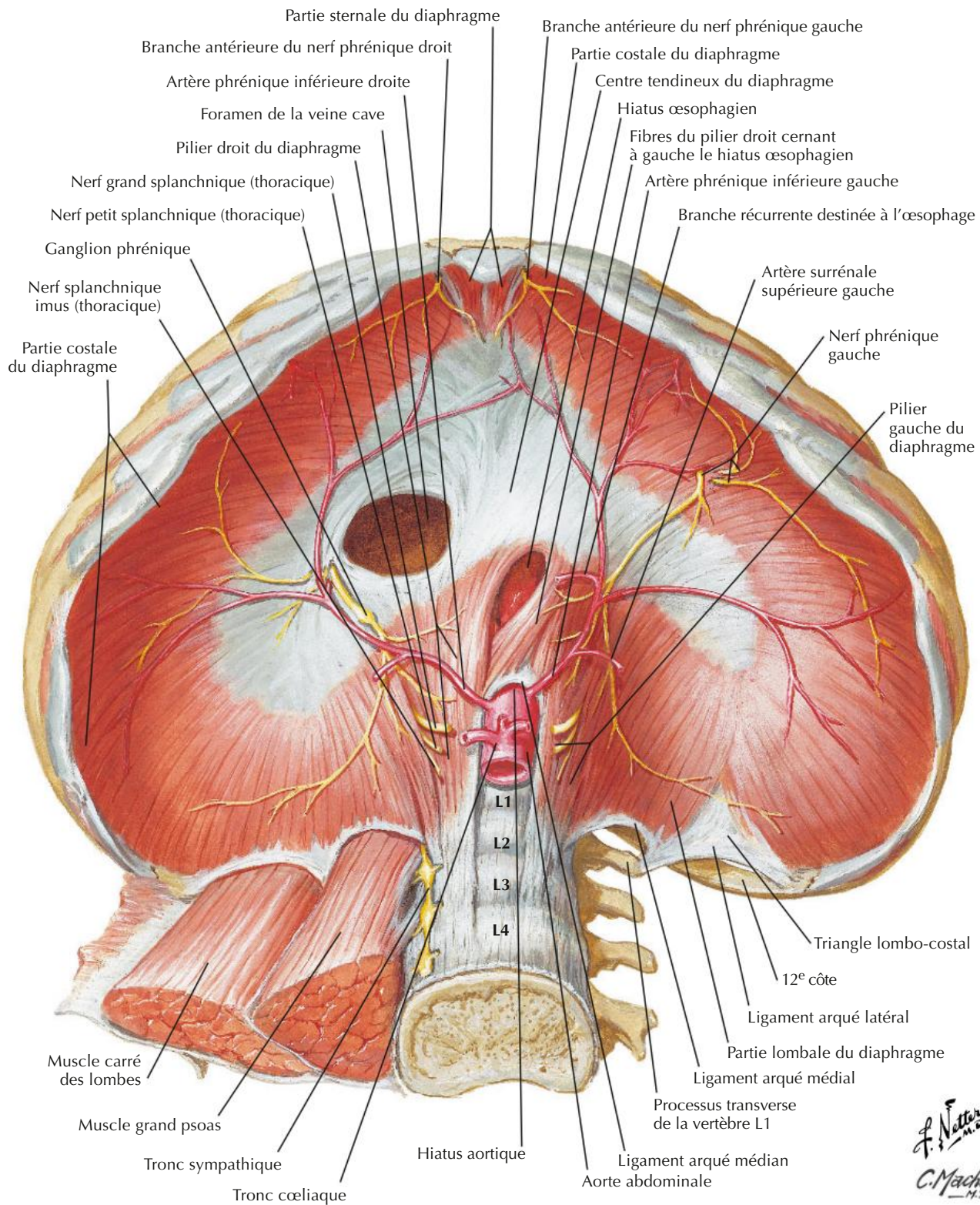
Veines de la paroi thoracique interne

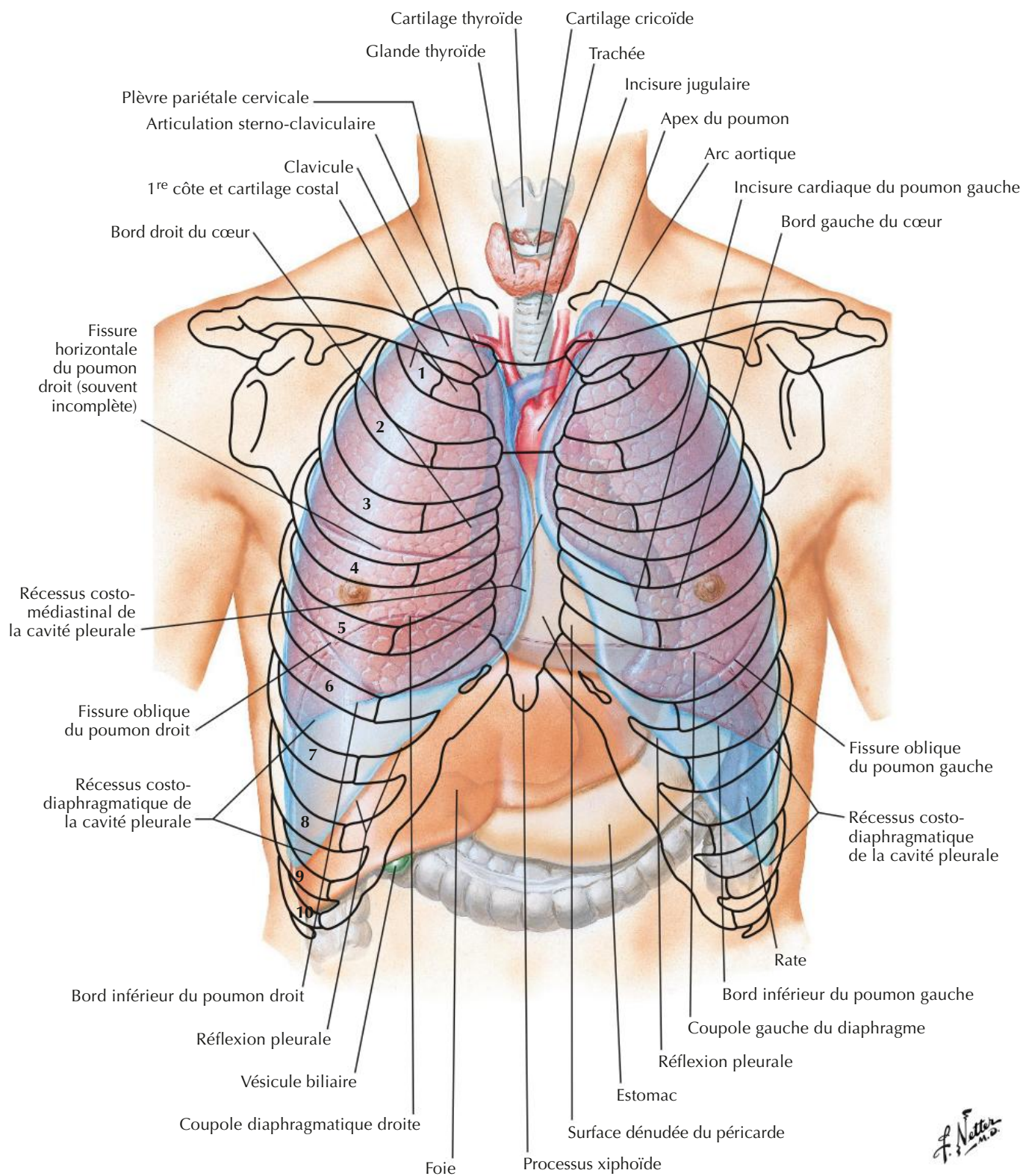
Voir aussi Planches 234, 241, 259

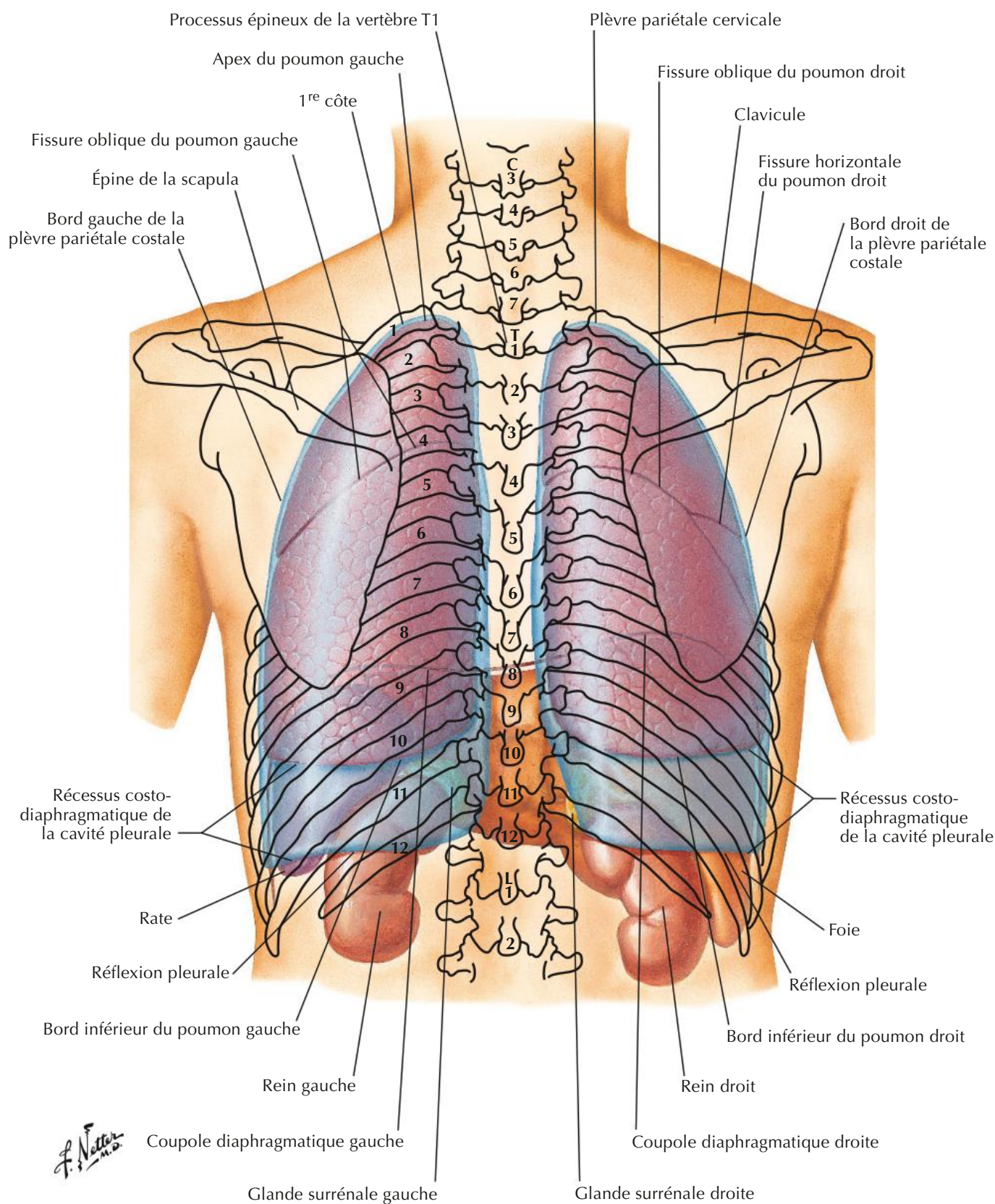


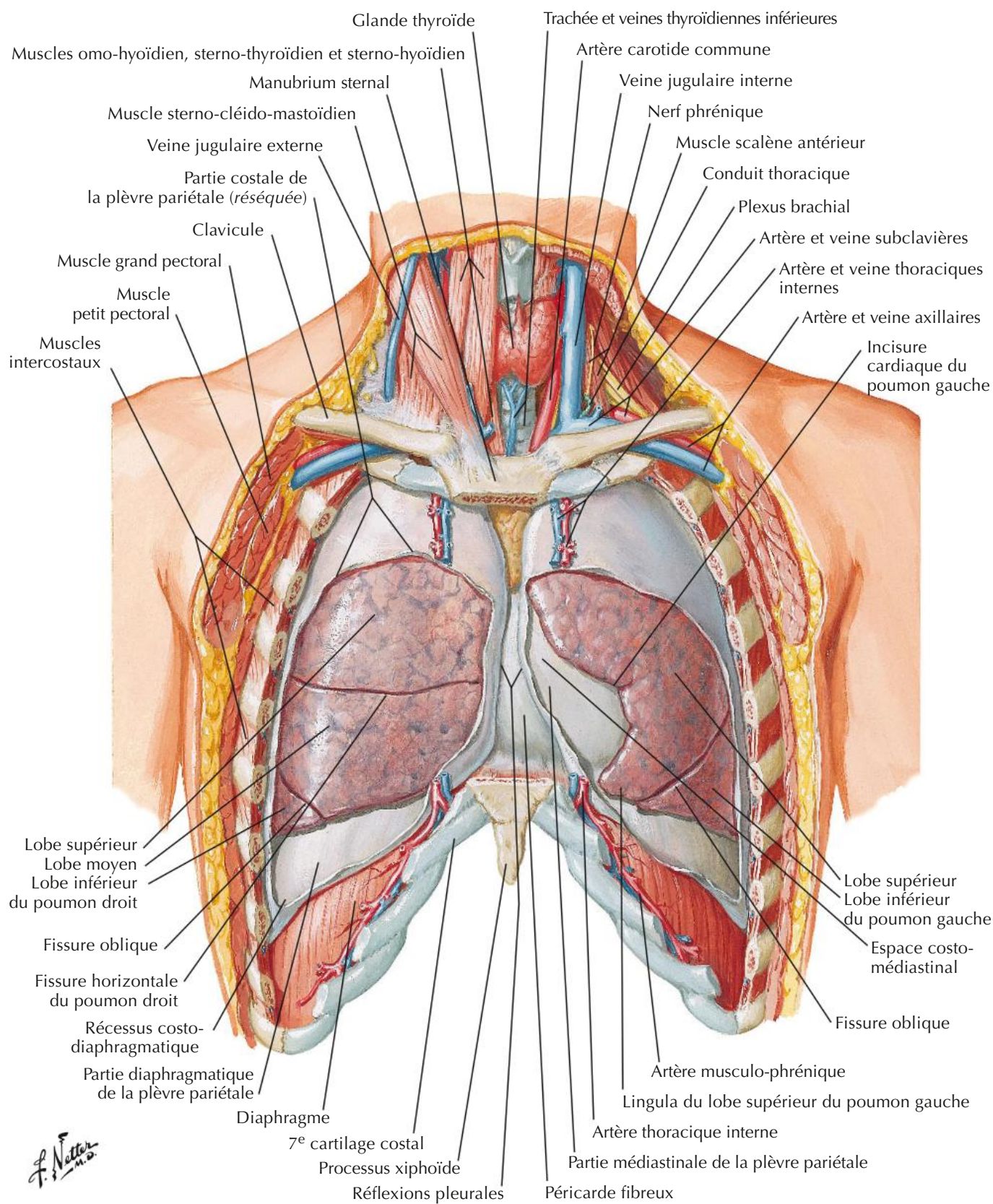


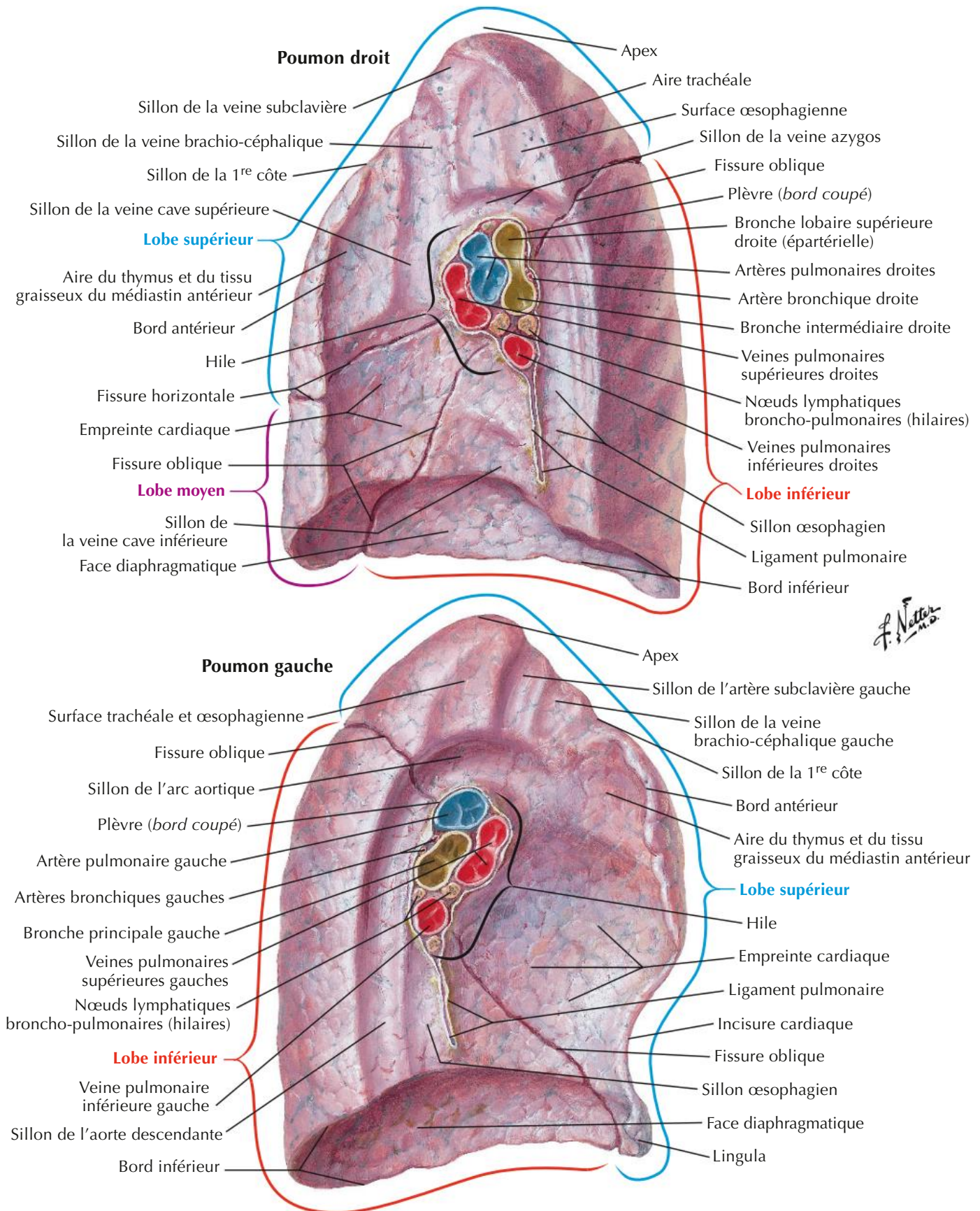




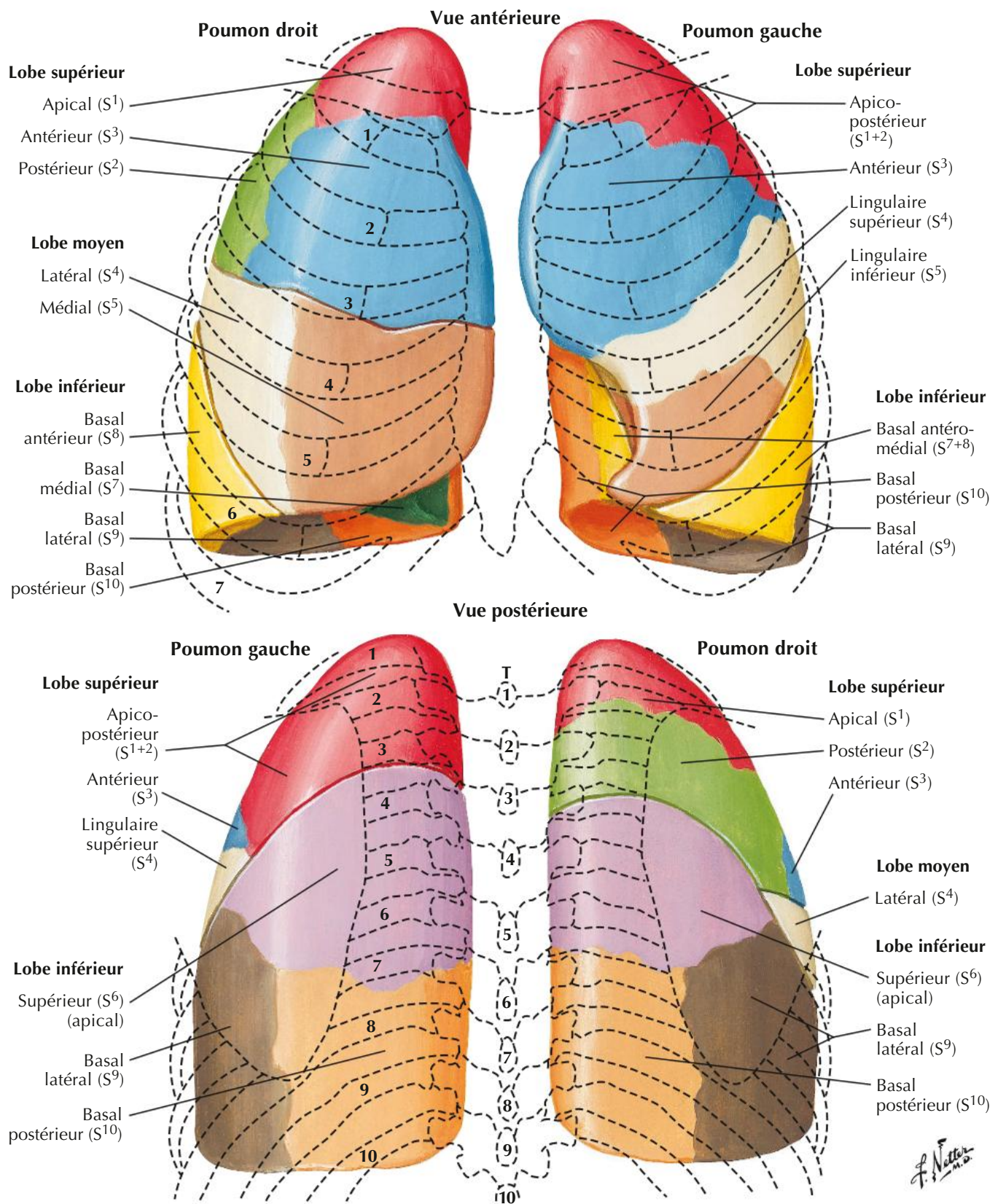




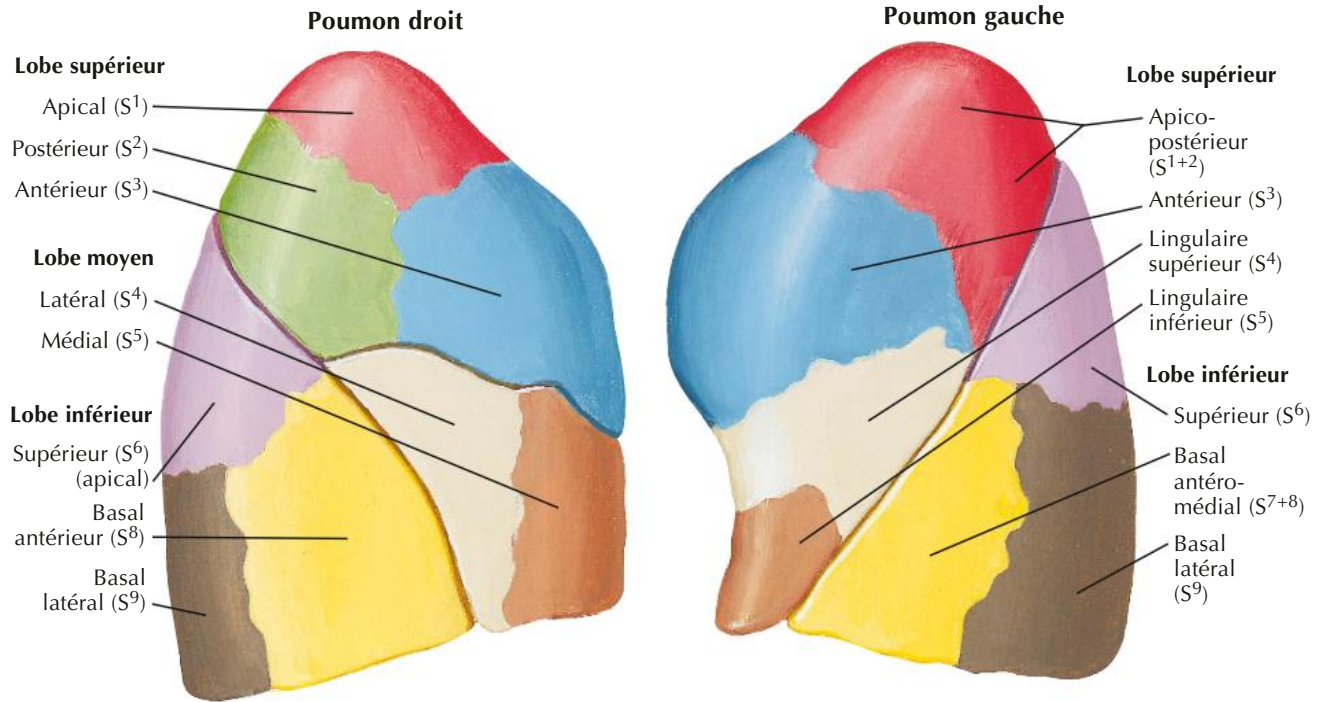




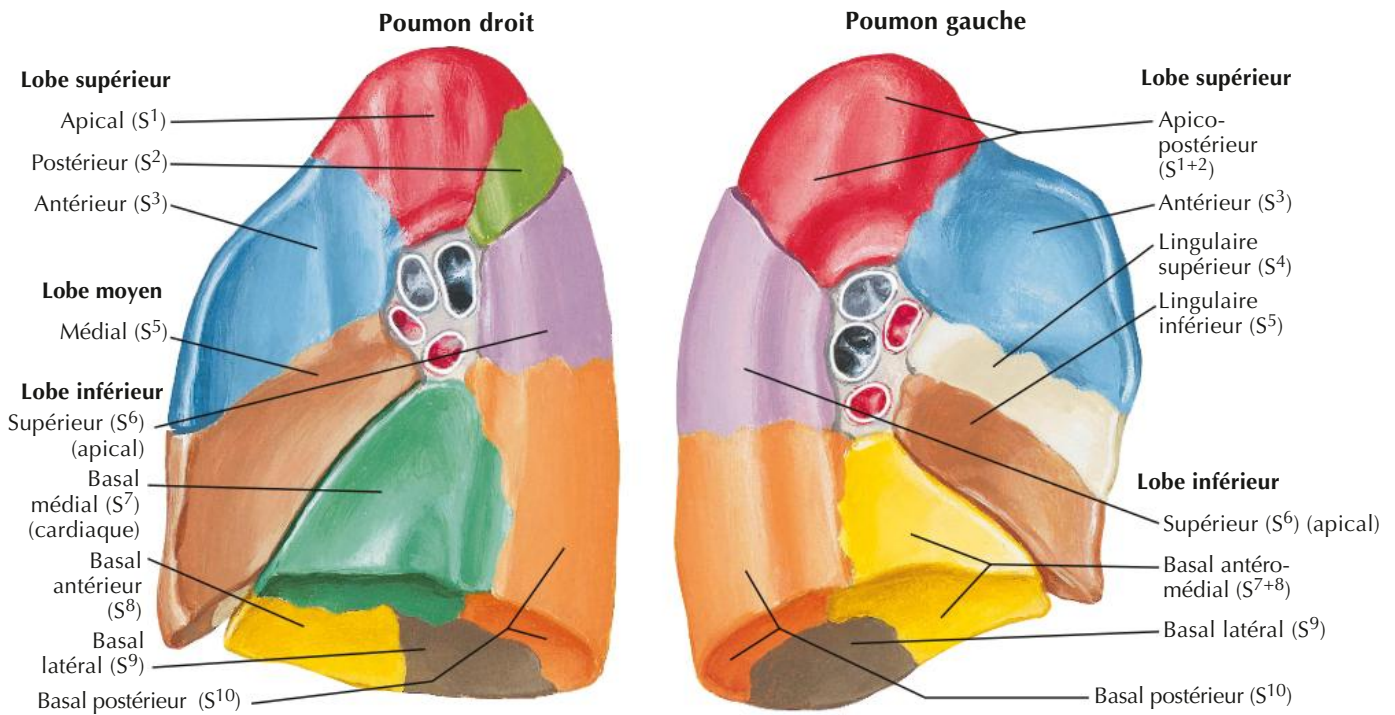
Segments broncho-pulmonaires



Vues latérales

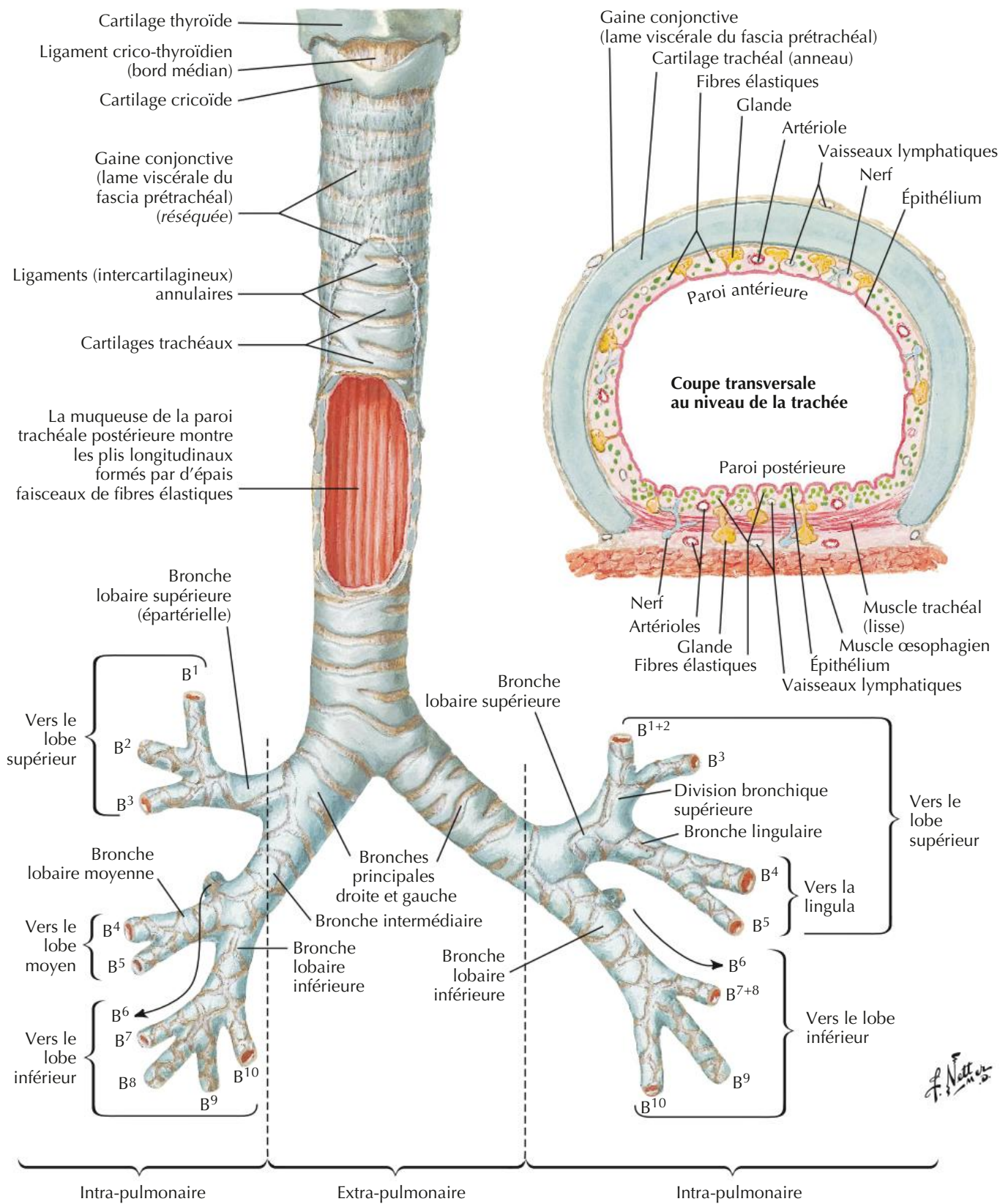


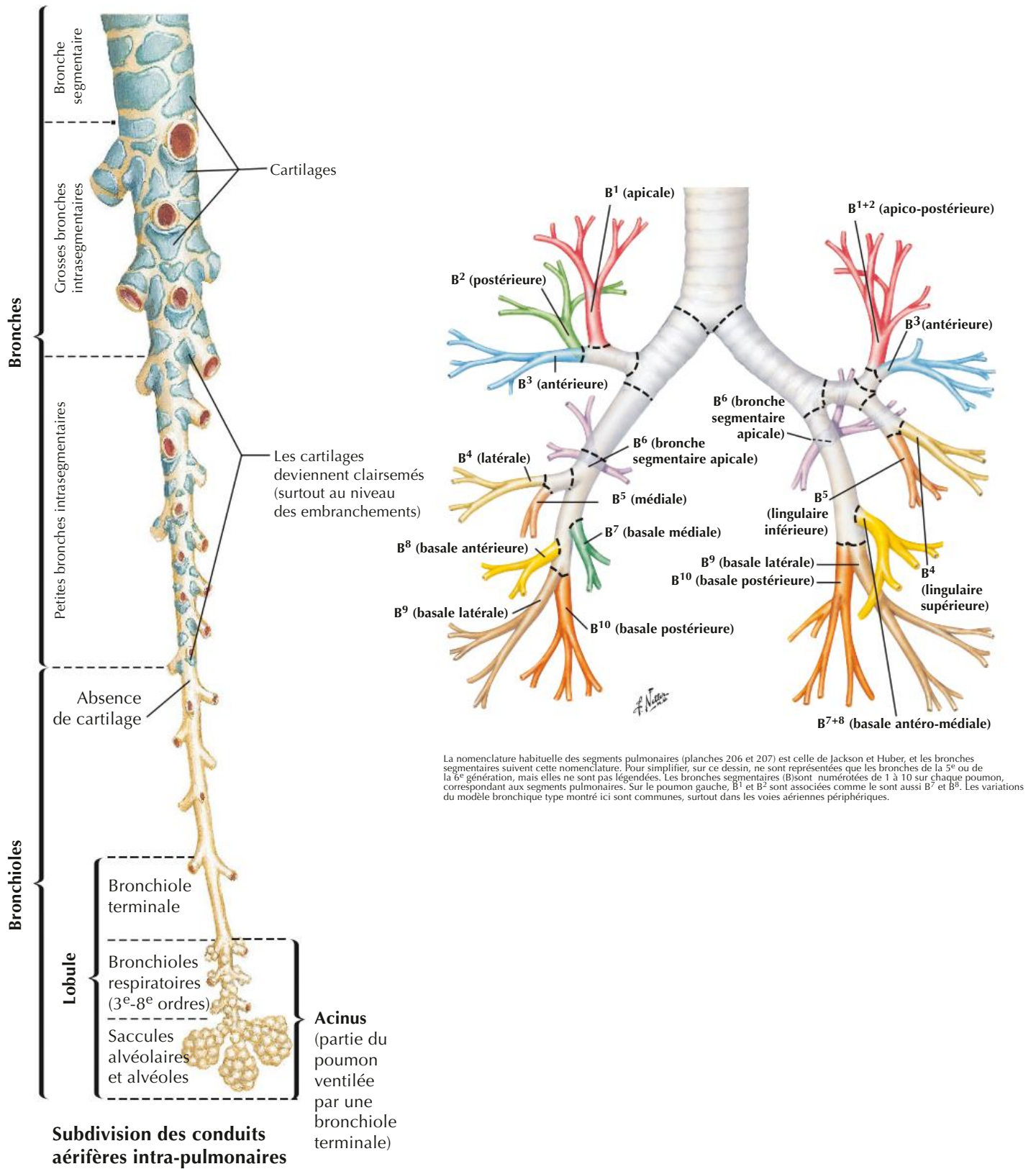
Vues médiales



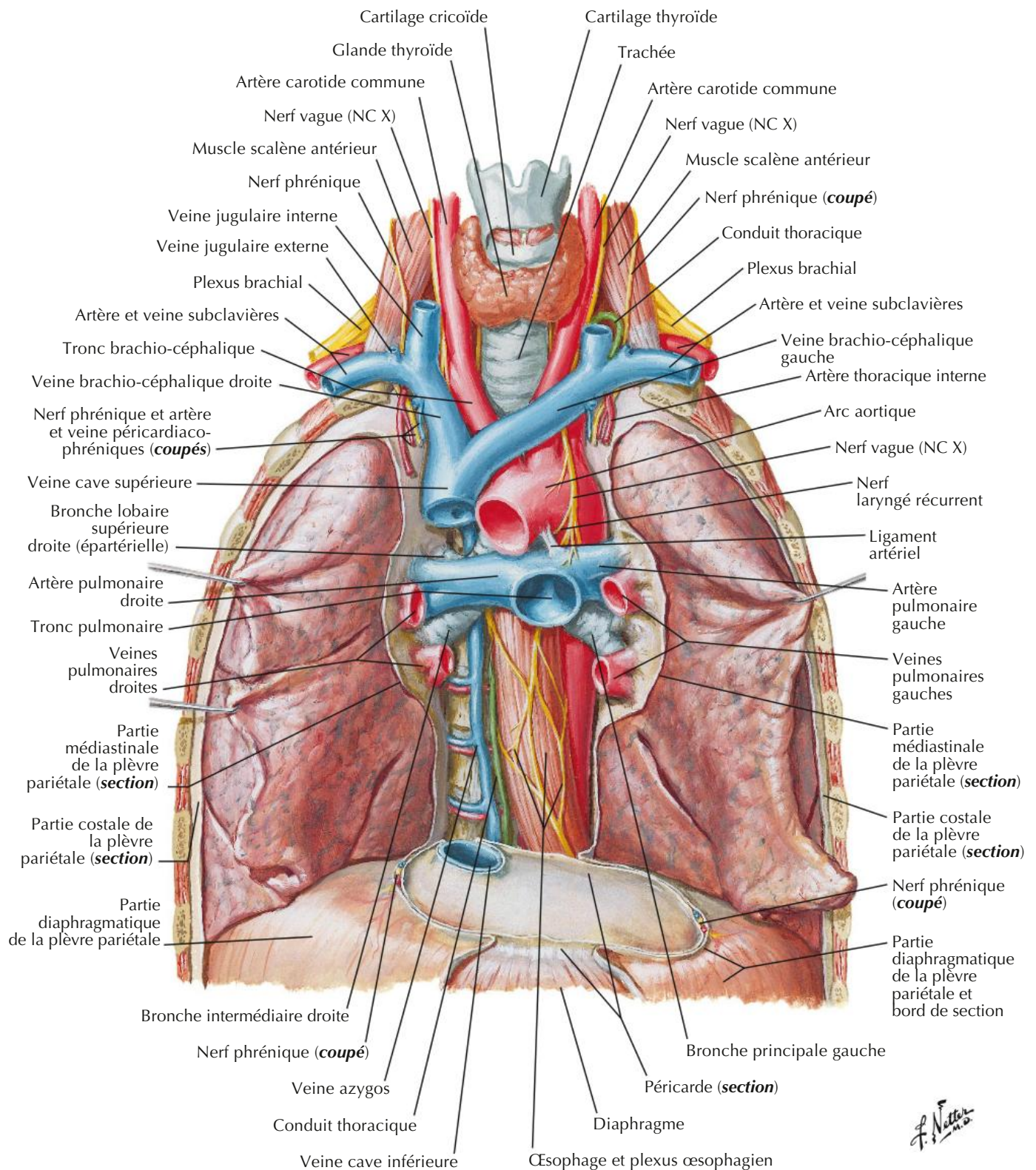
Trachée et bronches principales

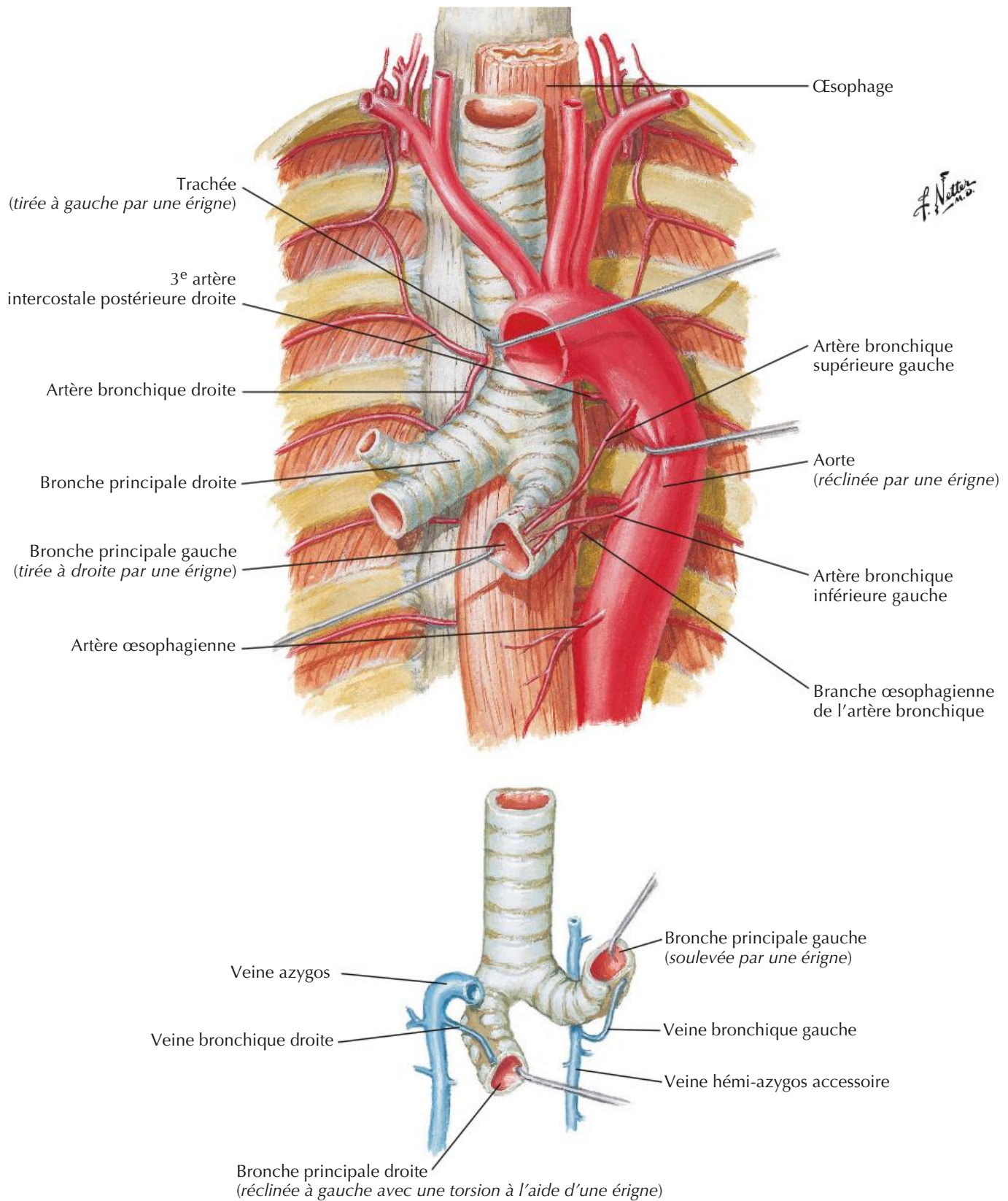
Voir aussi Planches 81, 211, 214

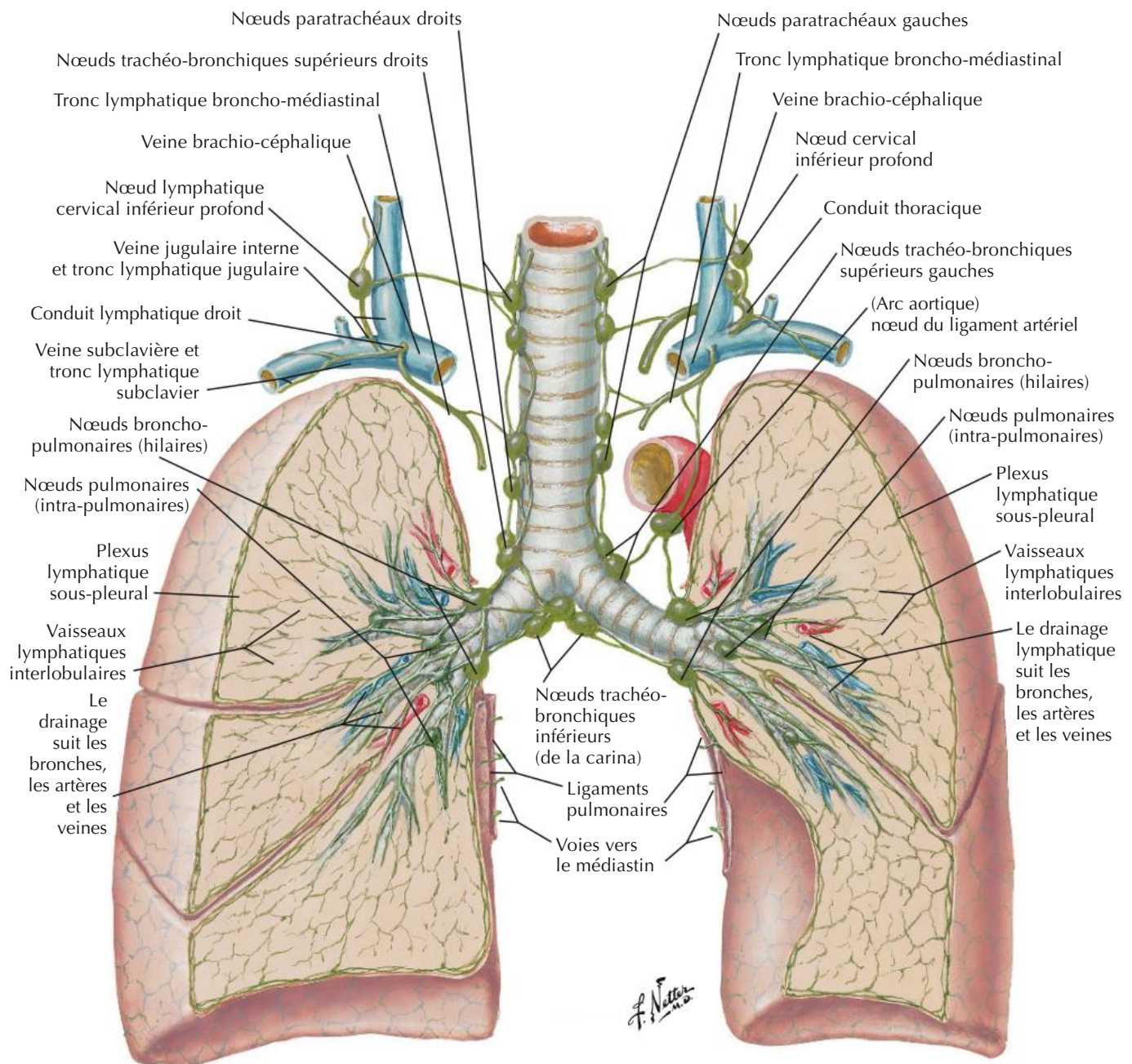




Gros vaisseaux du médiastin supérieur



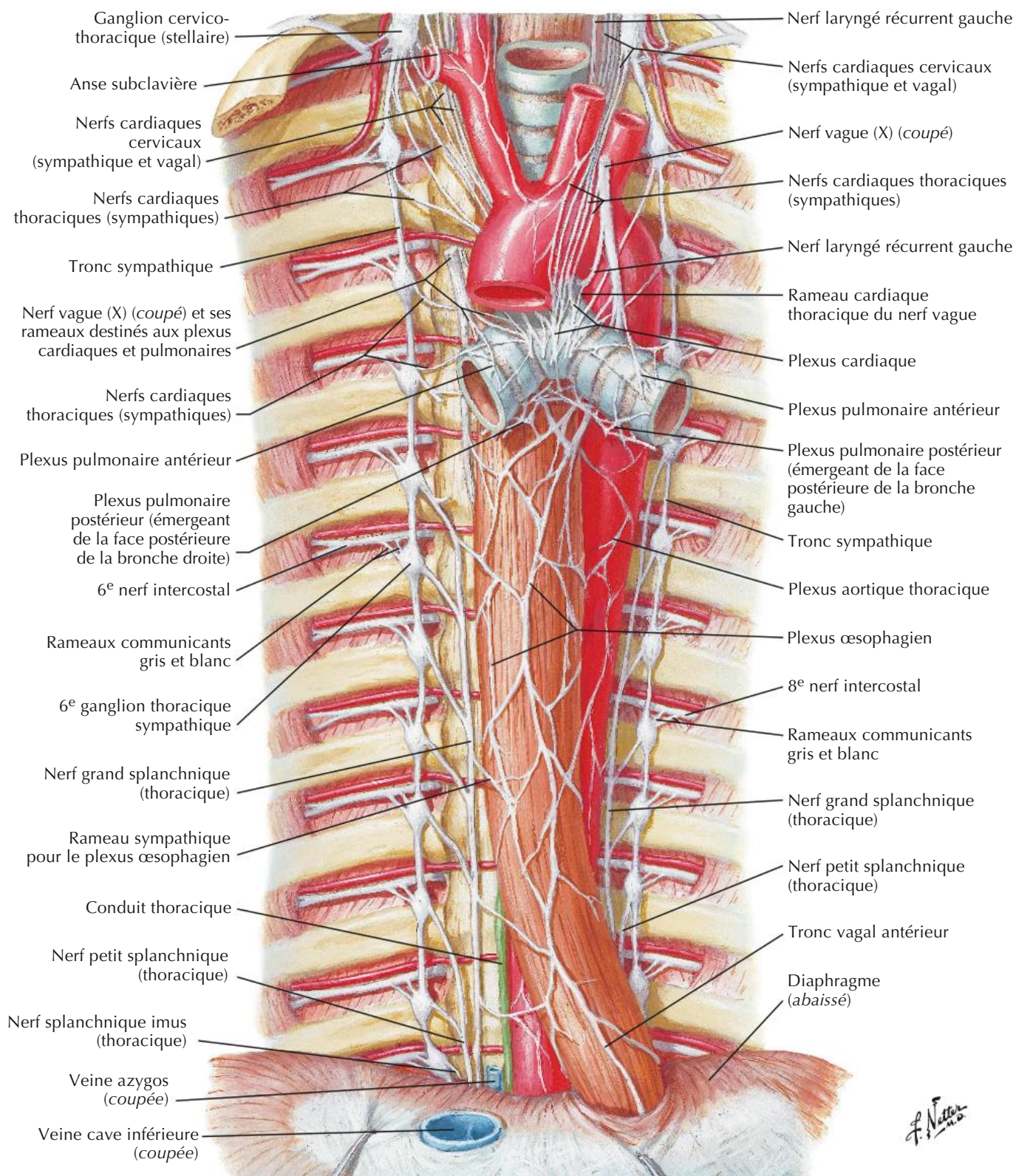




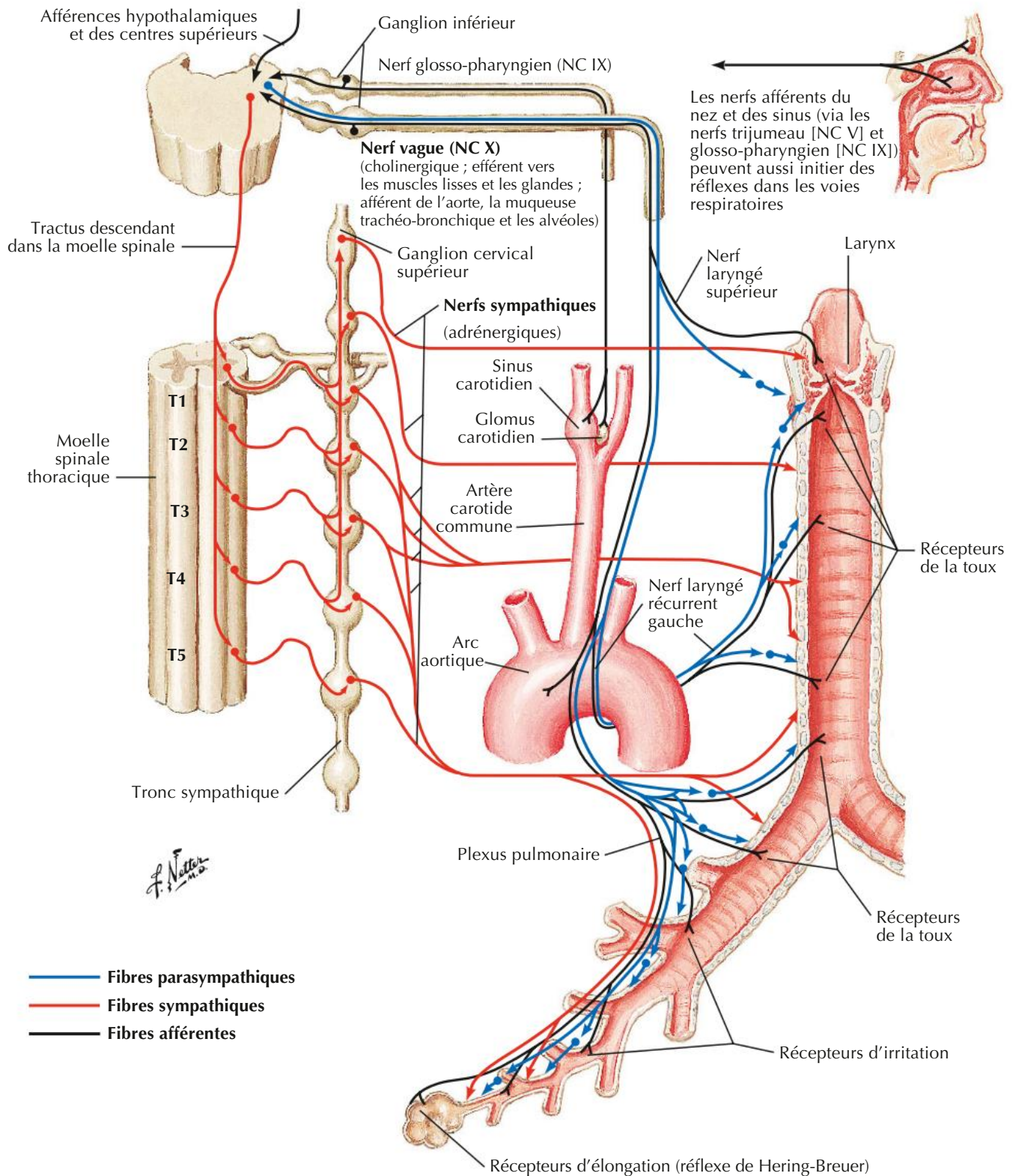
Voies de drainage lymphatique

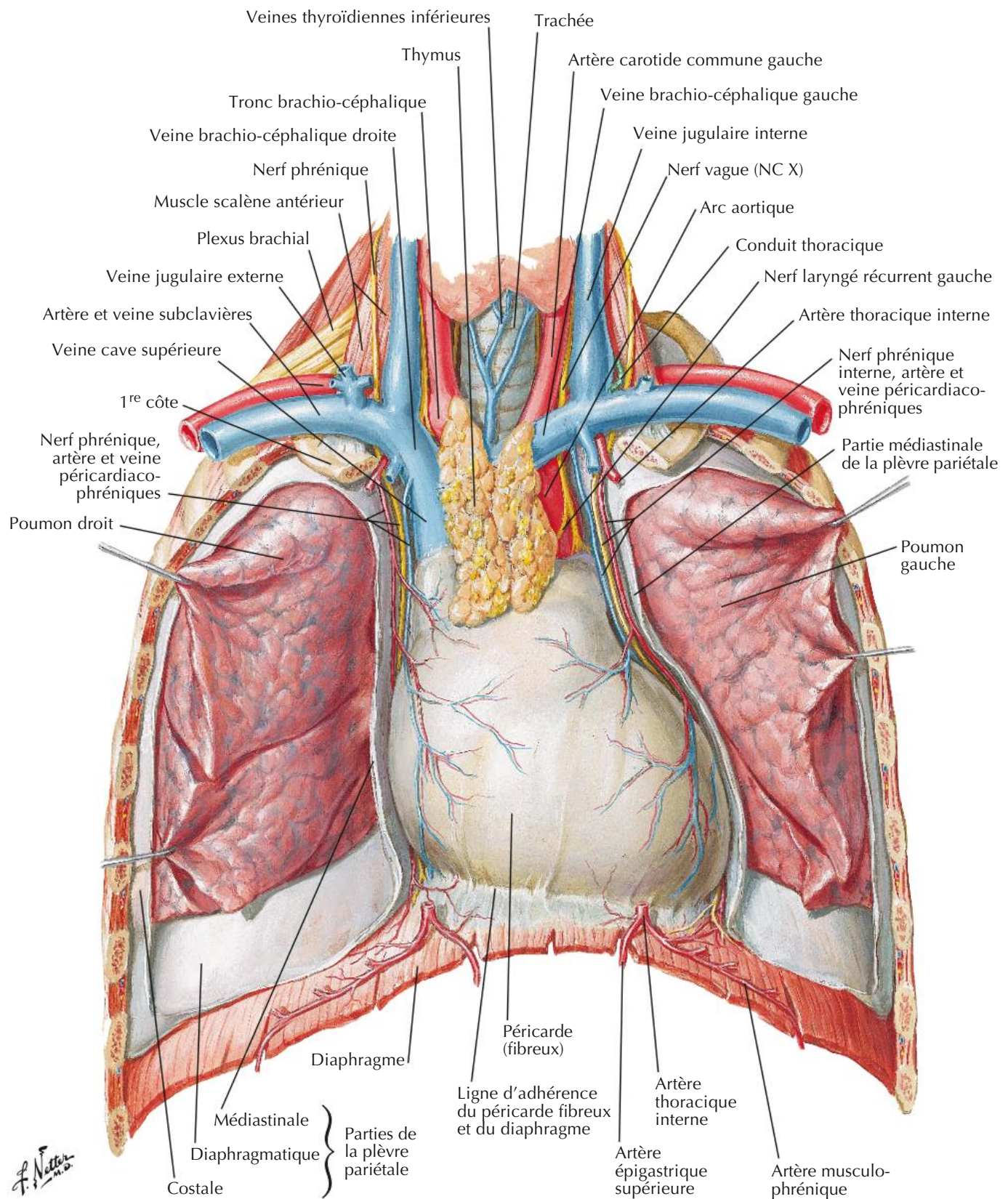
Poumon droit : tous les lobes se drainent dans les nœuds intra-pulmonaires et broncho-pulmonaires (hilaires), puis dans les nœuds trachéo-bronchiques inférieurs (de la carina), les nœuds trachéo-bronchiques supérieurs droits et les nœuds paratrachéaux droits, sur le trajet de la veine brachio-céphalique via le tronc lymphatique broncho-médiastinal et/ou le nœud cervical profond inférieur (scalène).

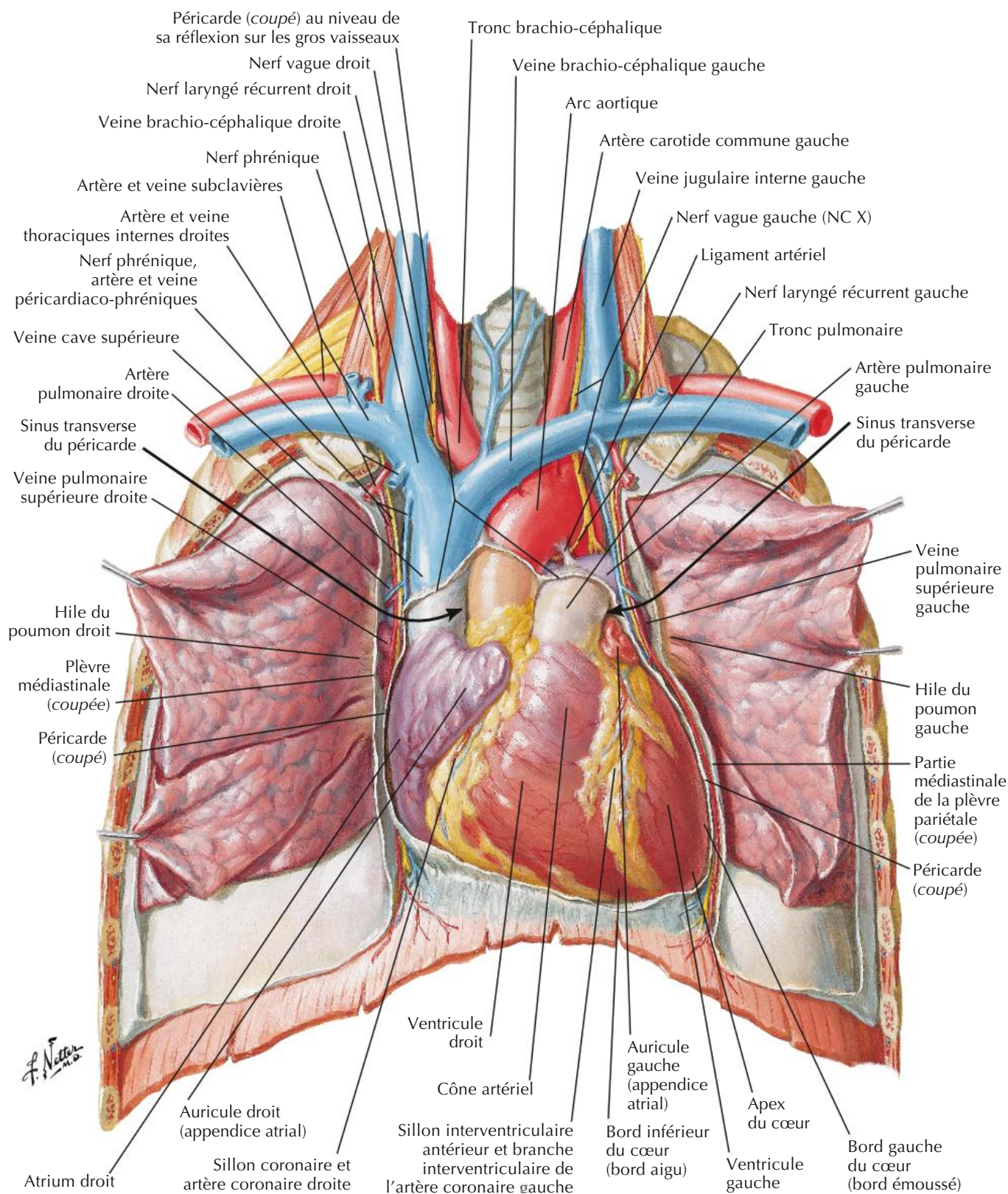
Poumon gauche : Le lobe supérieur se draine dans les nœuds pulmonaires et broncho-pulmonaires (hilaires), les nœuds trachéo-bronchiques inférieurs de la carina, les nœuds trachéo-bronchiques supérieurs gauches, les nœuds paratrachéaux gauches et/ou (arc aortique) le nœud du ligament artériel, puis dans la veine brachio-céphalique via le tronc broncho-médiastinal gauche et le conduit thoracique. Le lobe inférieur gauche se draine aussi dans les nœuds pulmonaires et broncho-pulmonaires (hilaires) et vers les nœuds trachéo-bronchiques inférieurs (de la carina), mais ensuite, souvent dans les nœuds trachéo-bronchiques supérieurs droits, où il suit la même voie que la lymphe issue du poumon droit.



Innervation de l'arbre trachéo-bronchique : schéma







**Radiographie :
vue antéro-postérieure**

Trachée

Veine cave supérieure

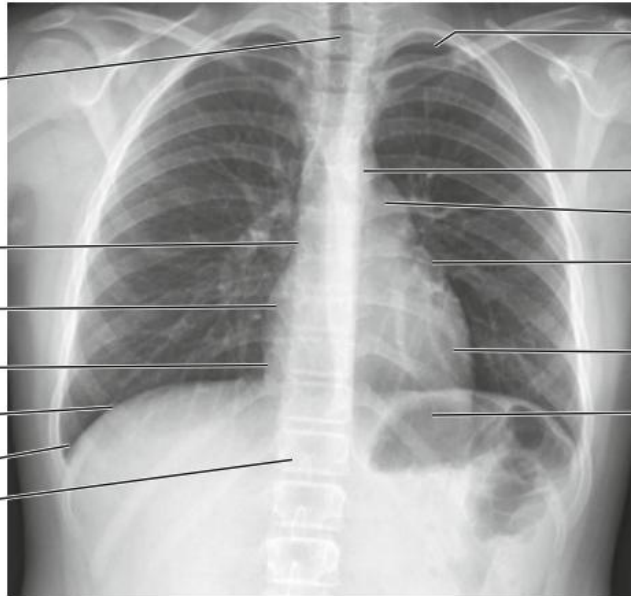
Atrium droit

Veine cave inférieure

Coupole diaphragmatique droite

Récessus costo-
diaphragmatique droit

Vertèbre T12



Apex du poumon

Arc aortique

Tronc pulmonaire

Atrium gauche

Ventricule gauche

Poche à air gastrique

**Radiographie :
vue latérale**

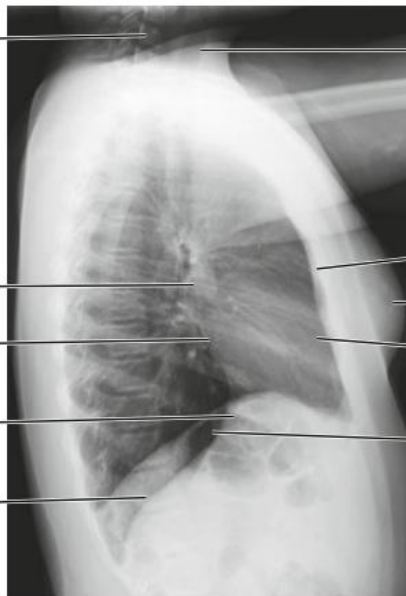
Vertèbre cervicale

Artère pulmonaire droite

Atrium gauche

Veine cave inférieure

Diaphragme



Trachée

Sternum

Sein

Ventricule droit

Poche à air gastrique

**Angiographie
tomodensitométrique :
vue coronale**

Veine axillaire droite

Artère (tronc artériel)
brachio-céphalique

Veine brachio-céphalique
droite

Veine cave supérieure

Veine pulmonaire

Veine cave inférieure

Aorte abdominale

Foie



Tête de l'humérus gauche

Clavicule

Artère carotide
commune gauche

Artère axillaire gauche

Arc aortique

Artère pulmonaire gauche

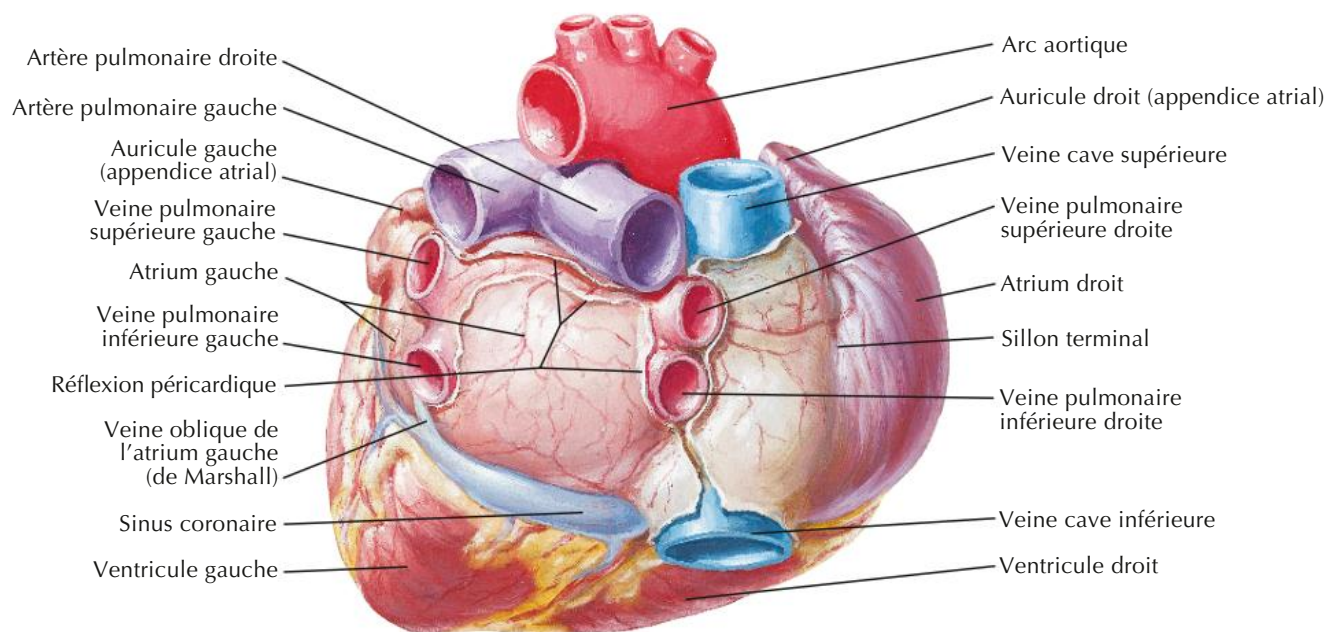
Tronc artériel pulmonaire

Atrium gauche

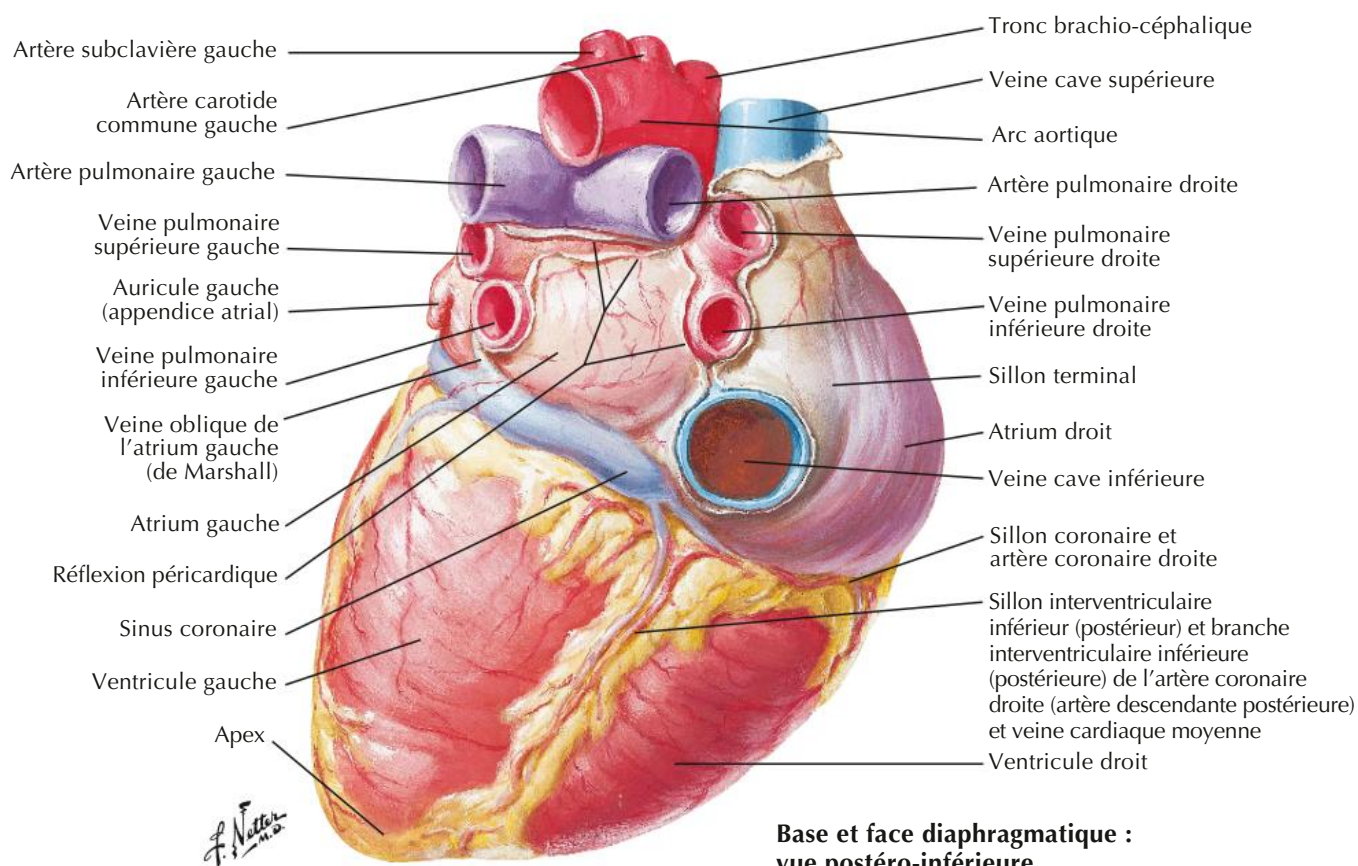
Rate

Artère splénique

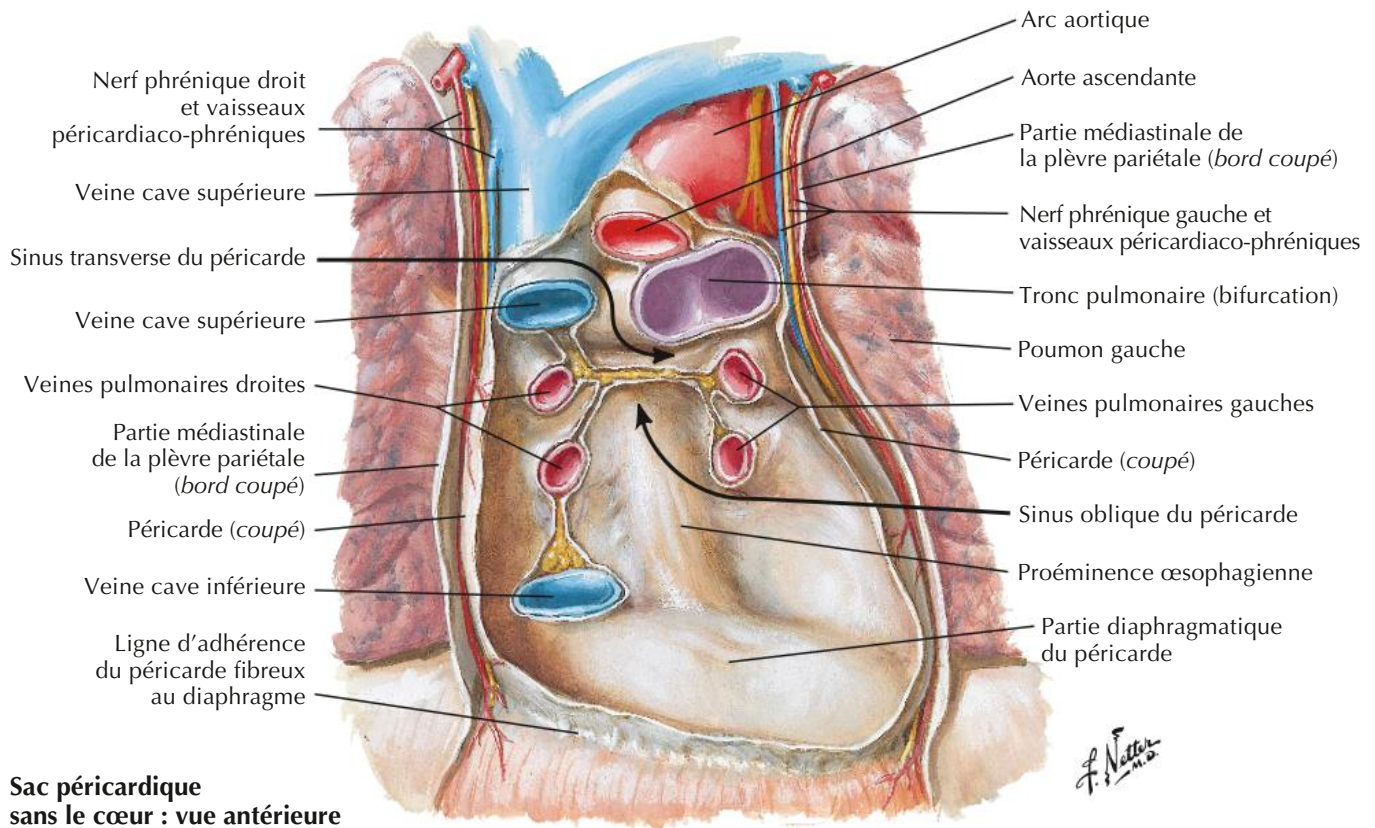
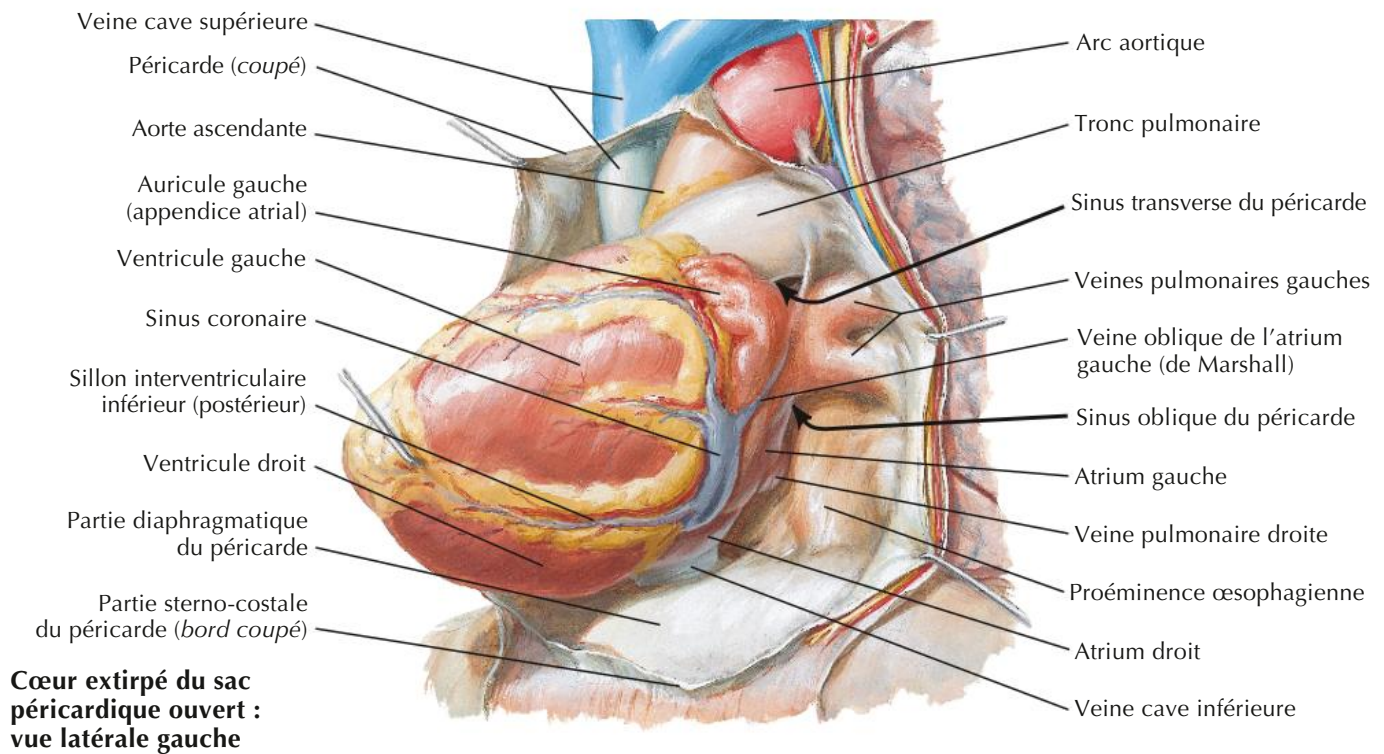
Cœur : base et face diaphragmatique



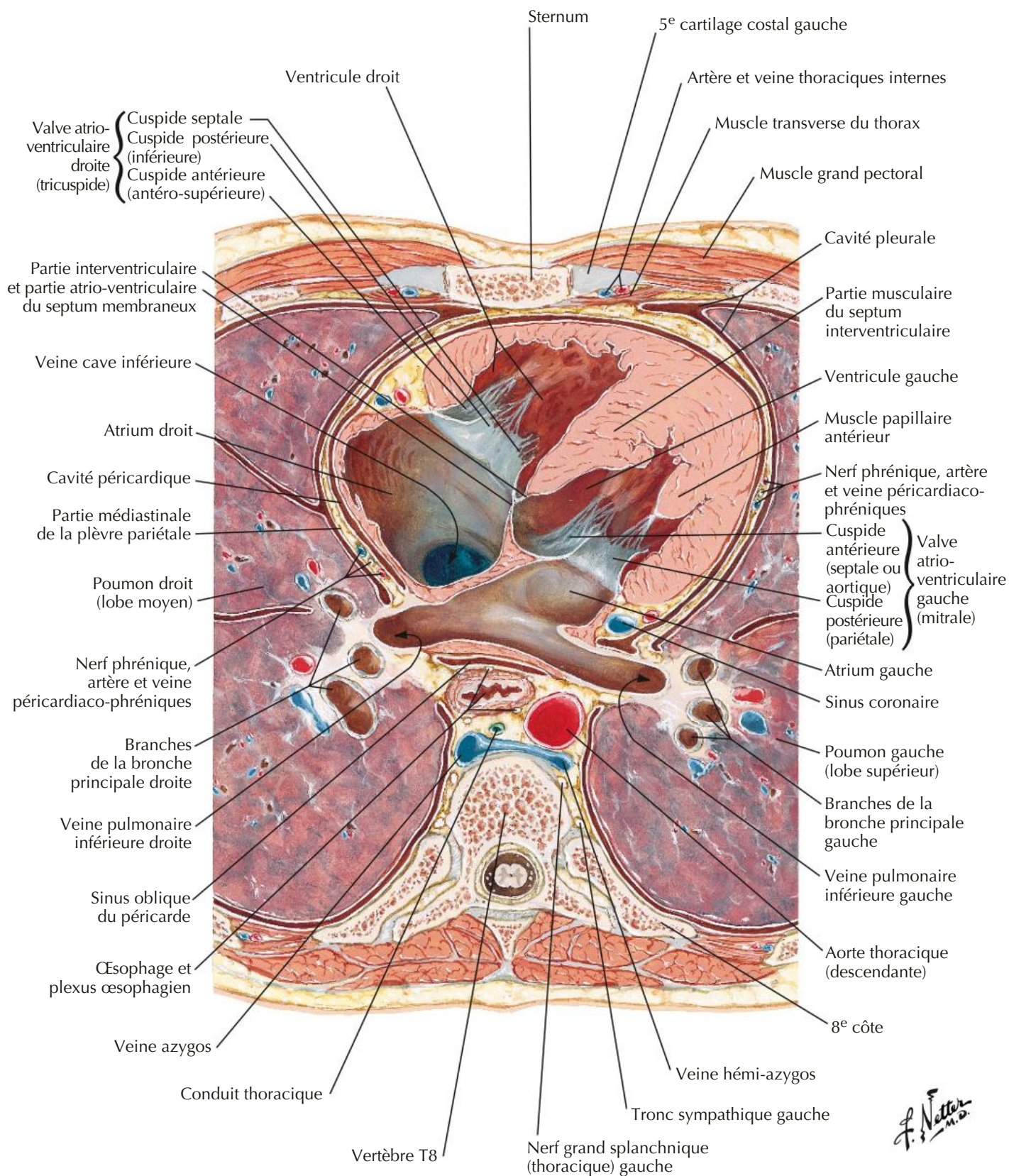
Base du cœur : vue postérieure

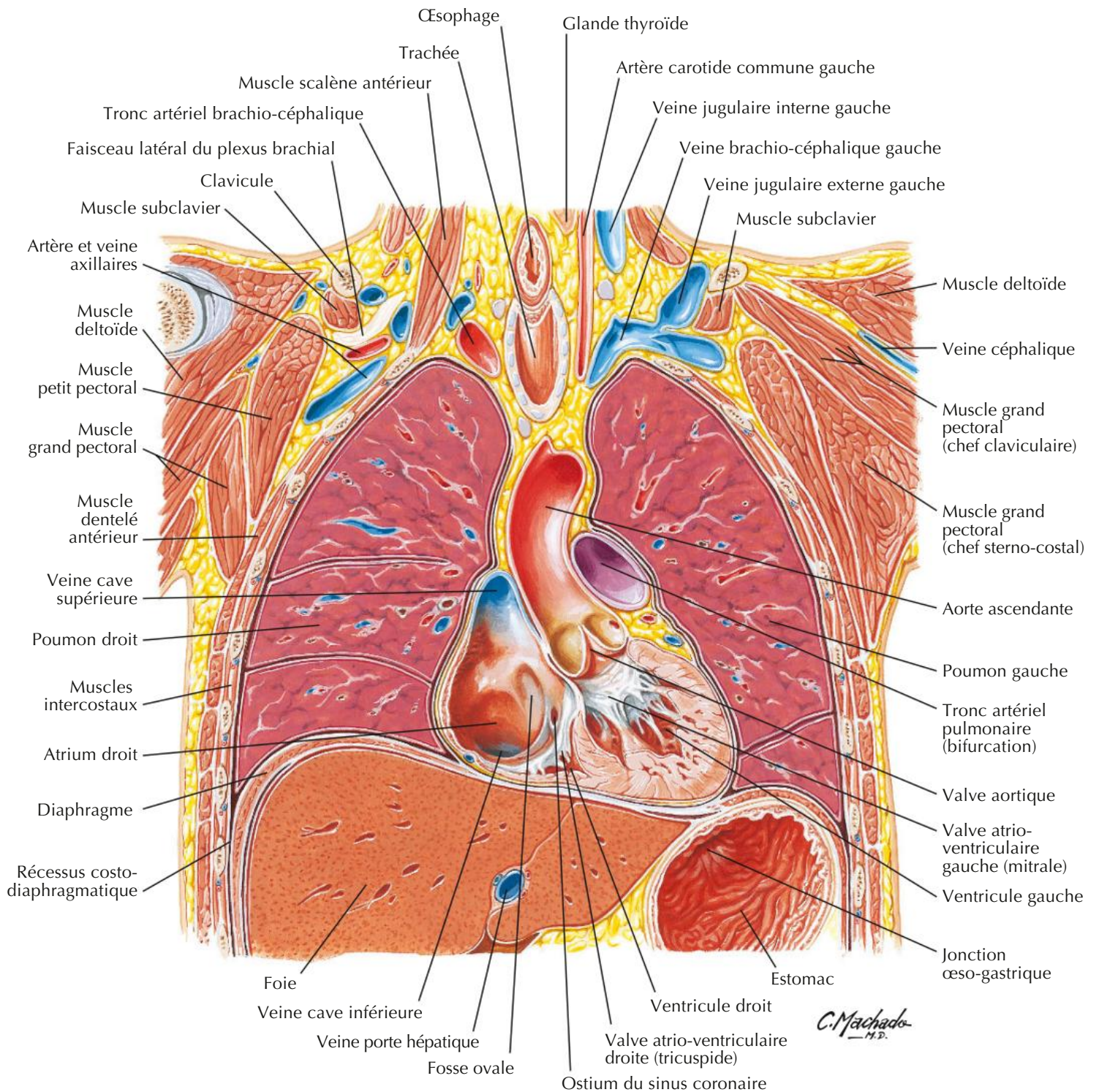


Base et face diaphragmatique :
vue postéro-inférieure

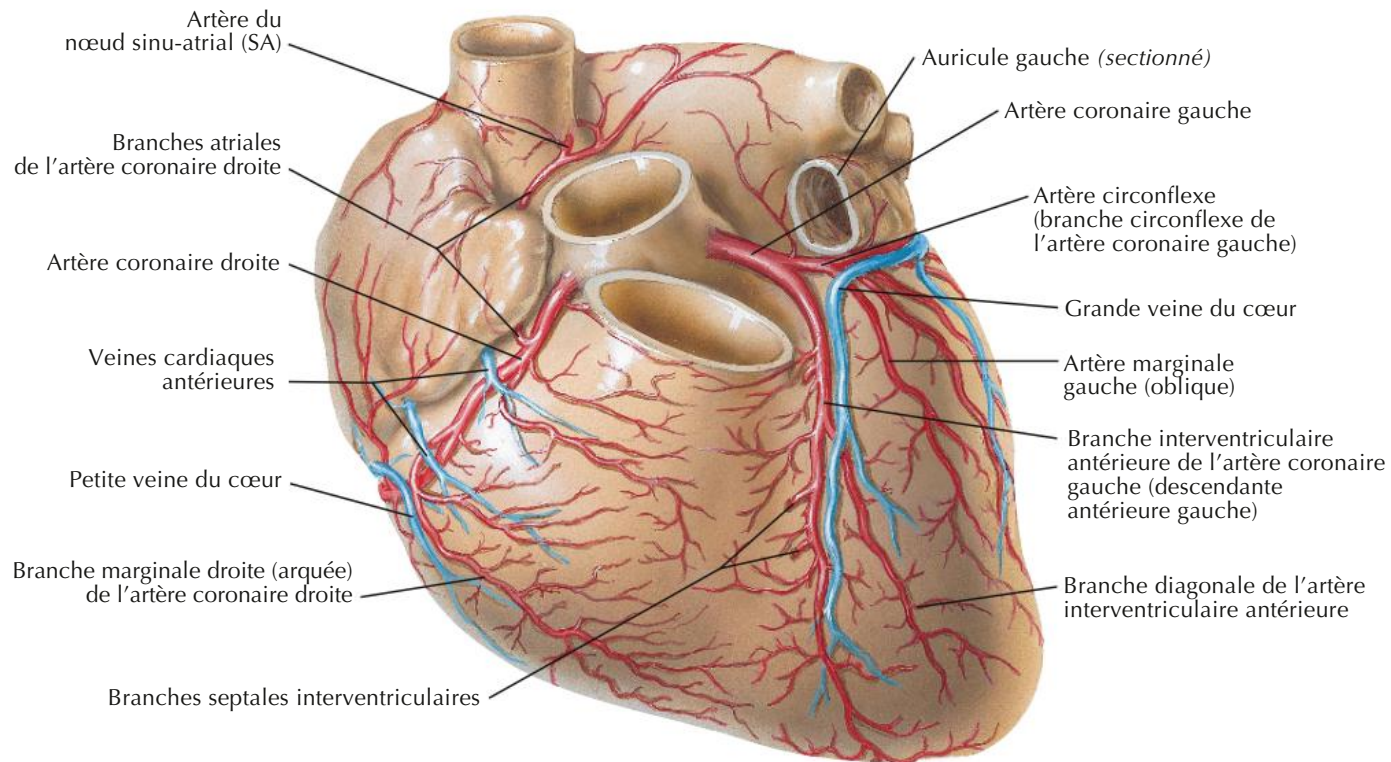


Médiastin : coupe transversale (vue inférieure)

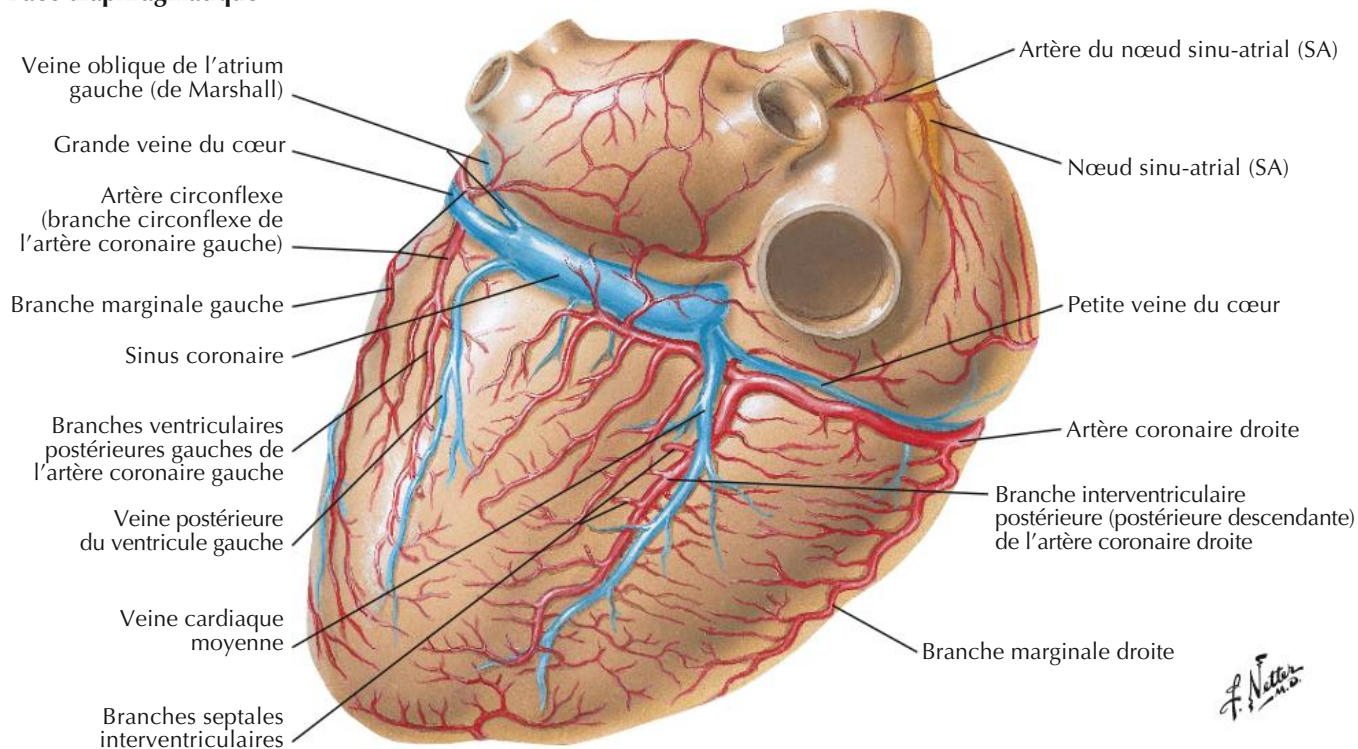


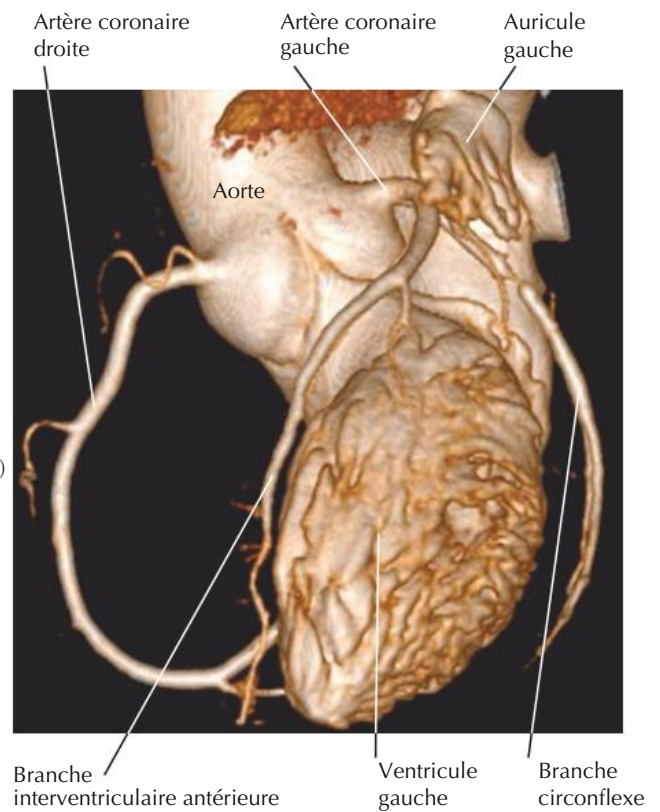
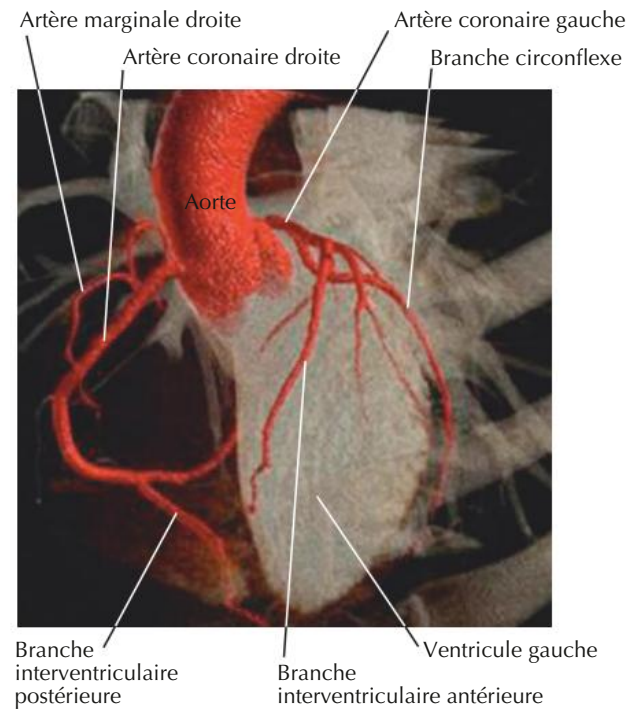
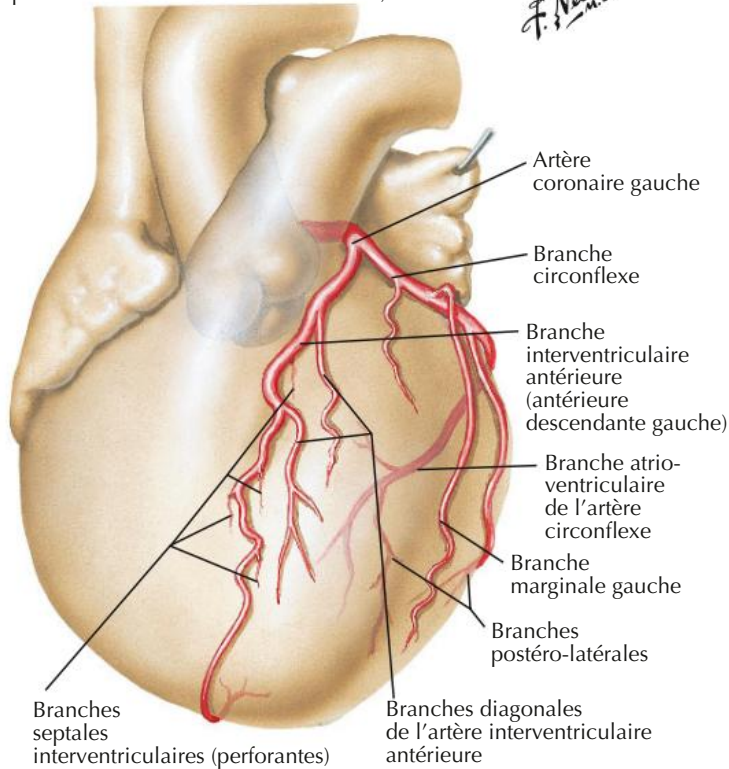
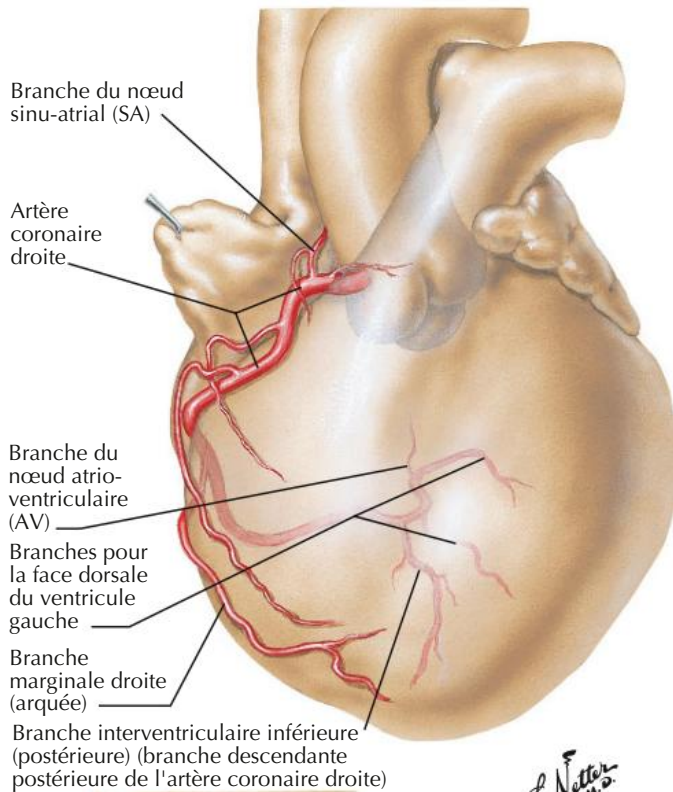


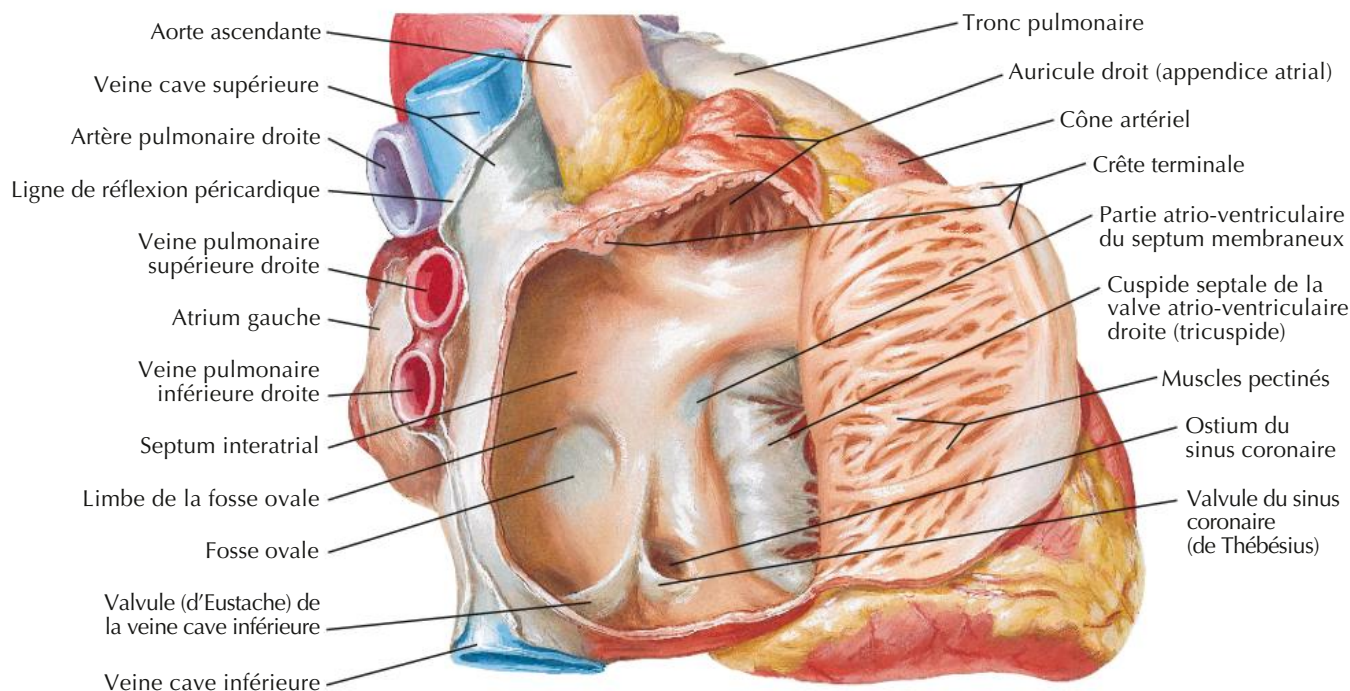
Face sterno-costale



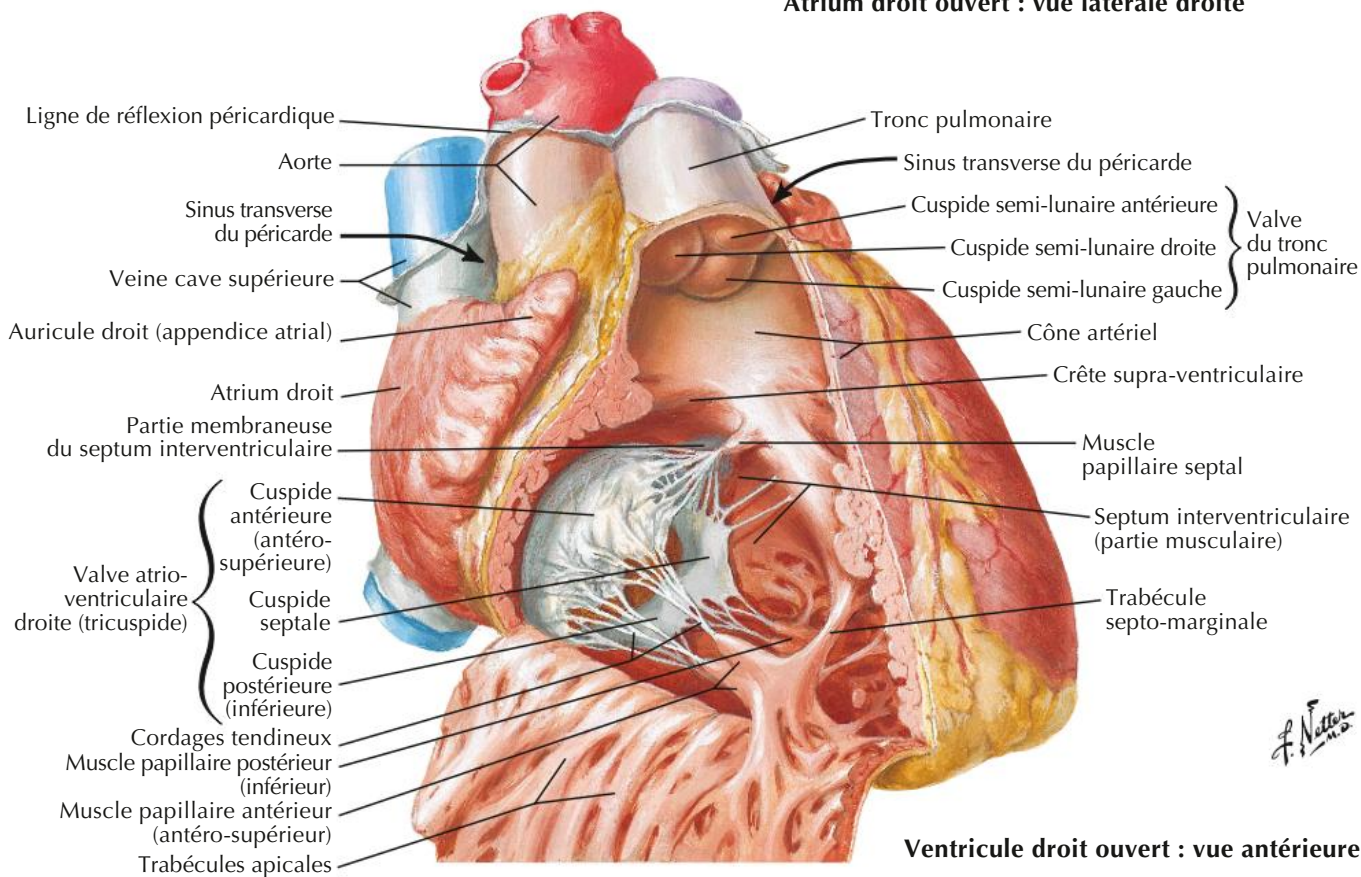
Face diaphragmatique



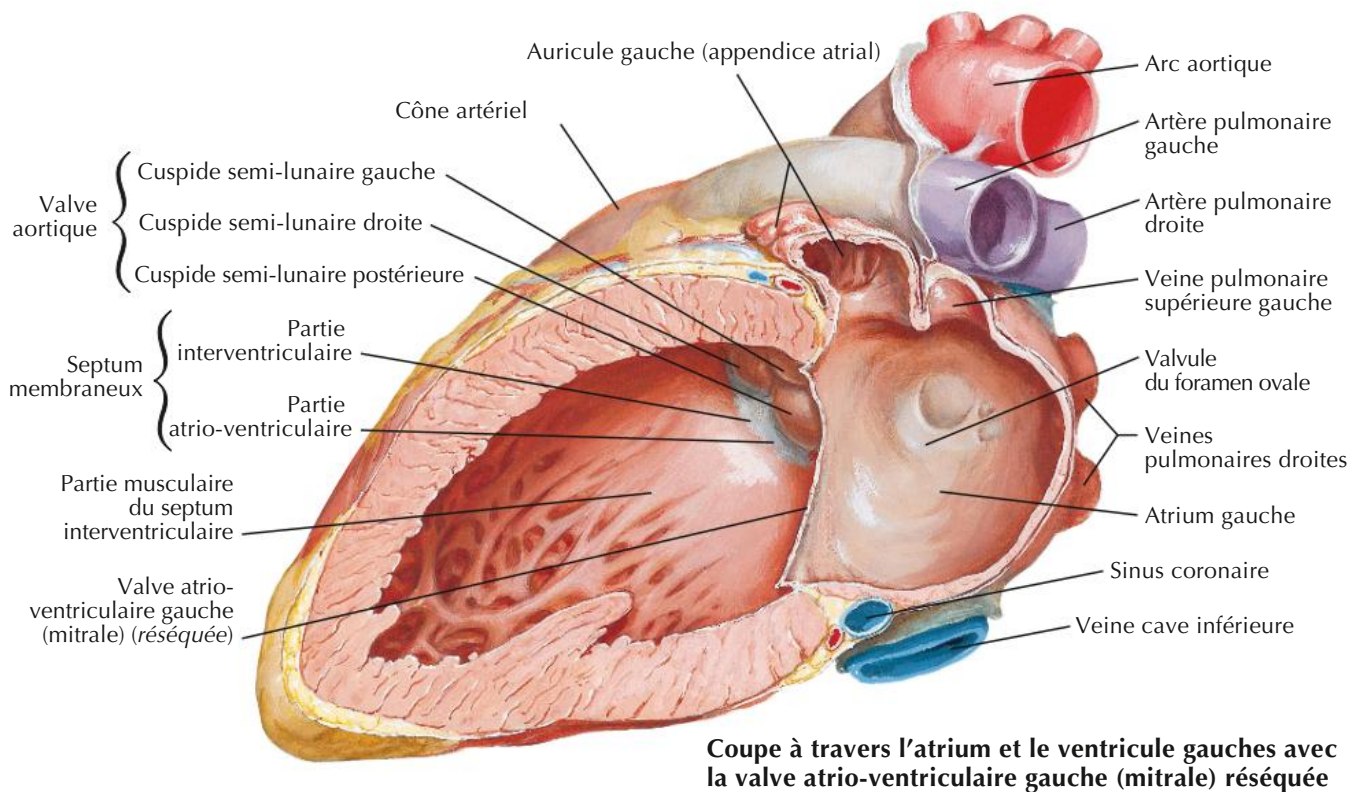
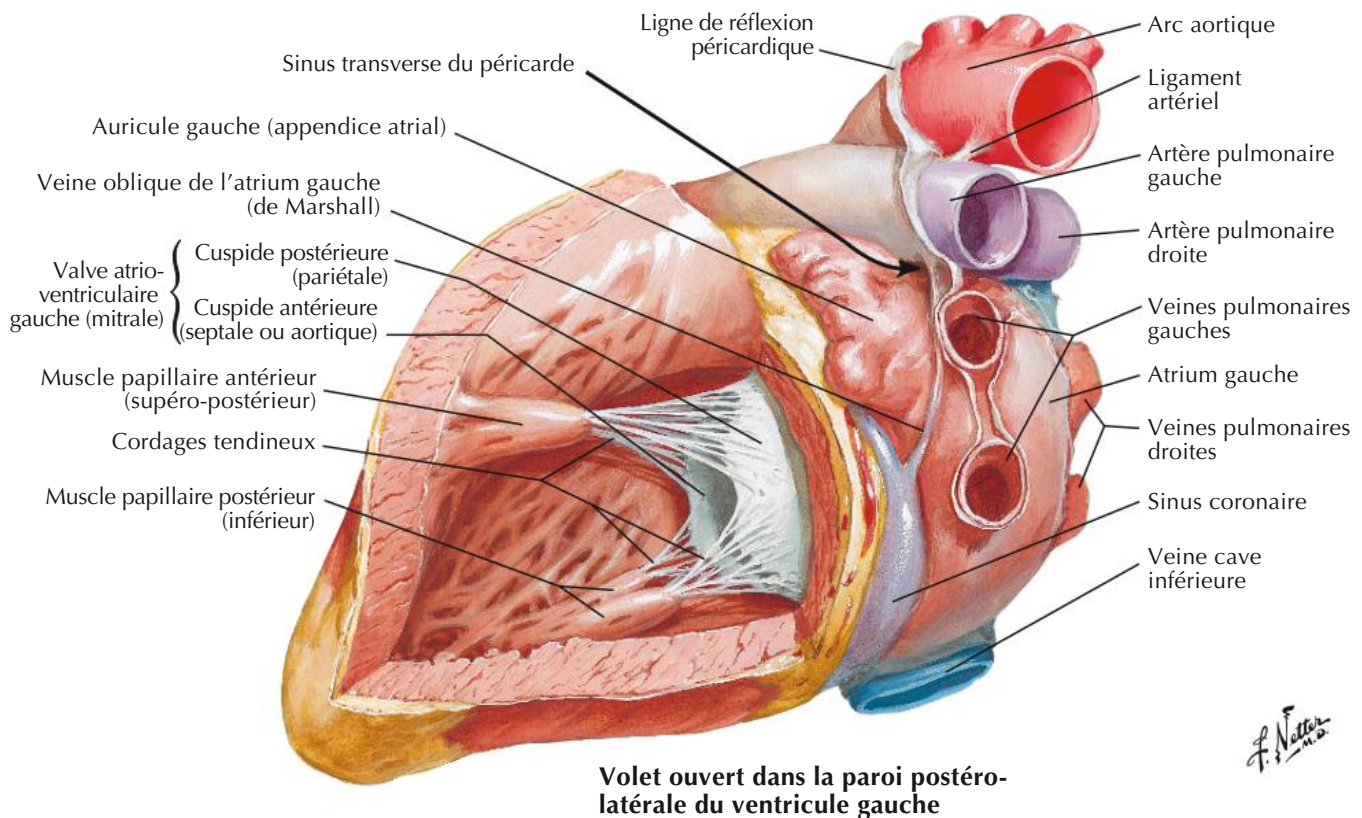


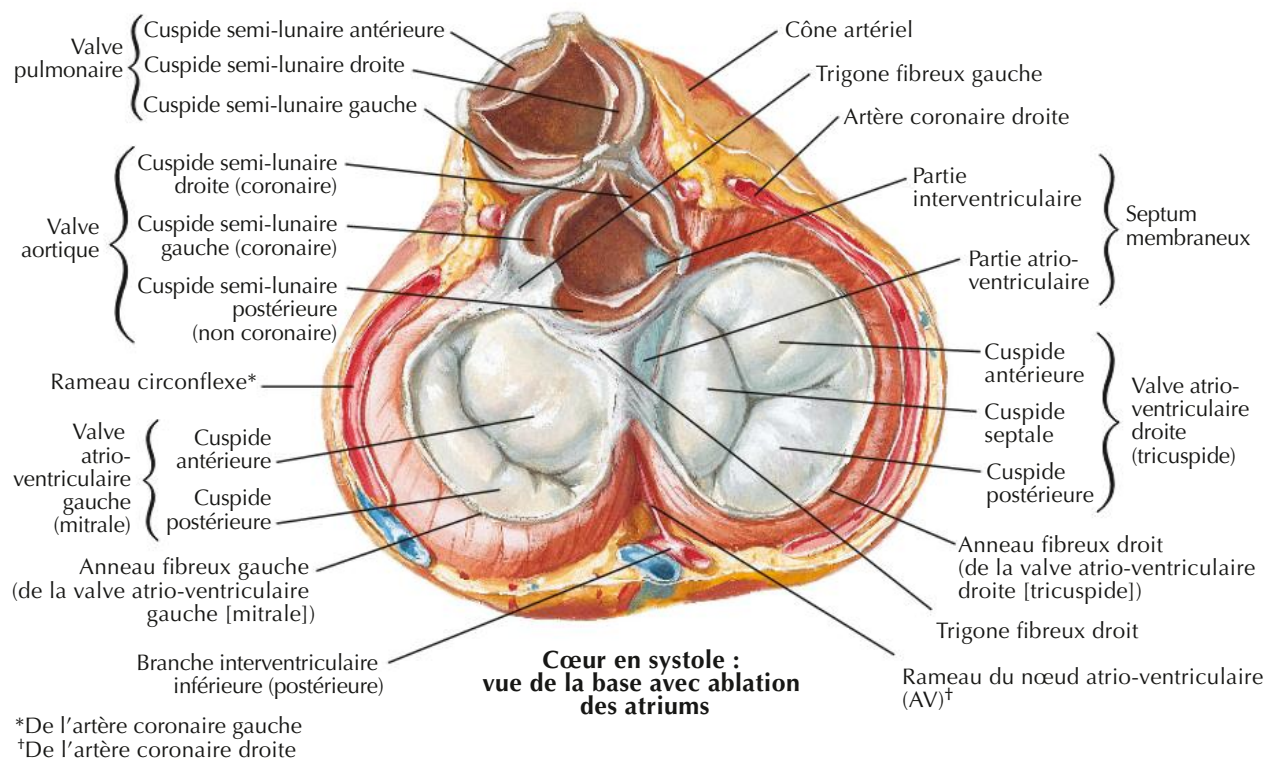
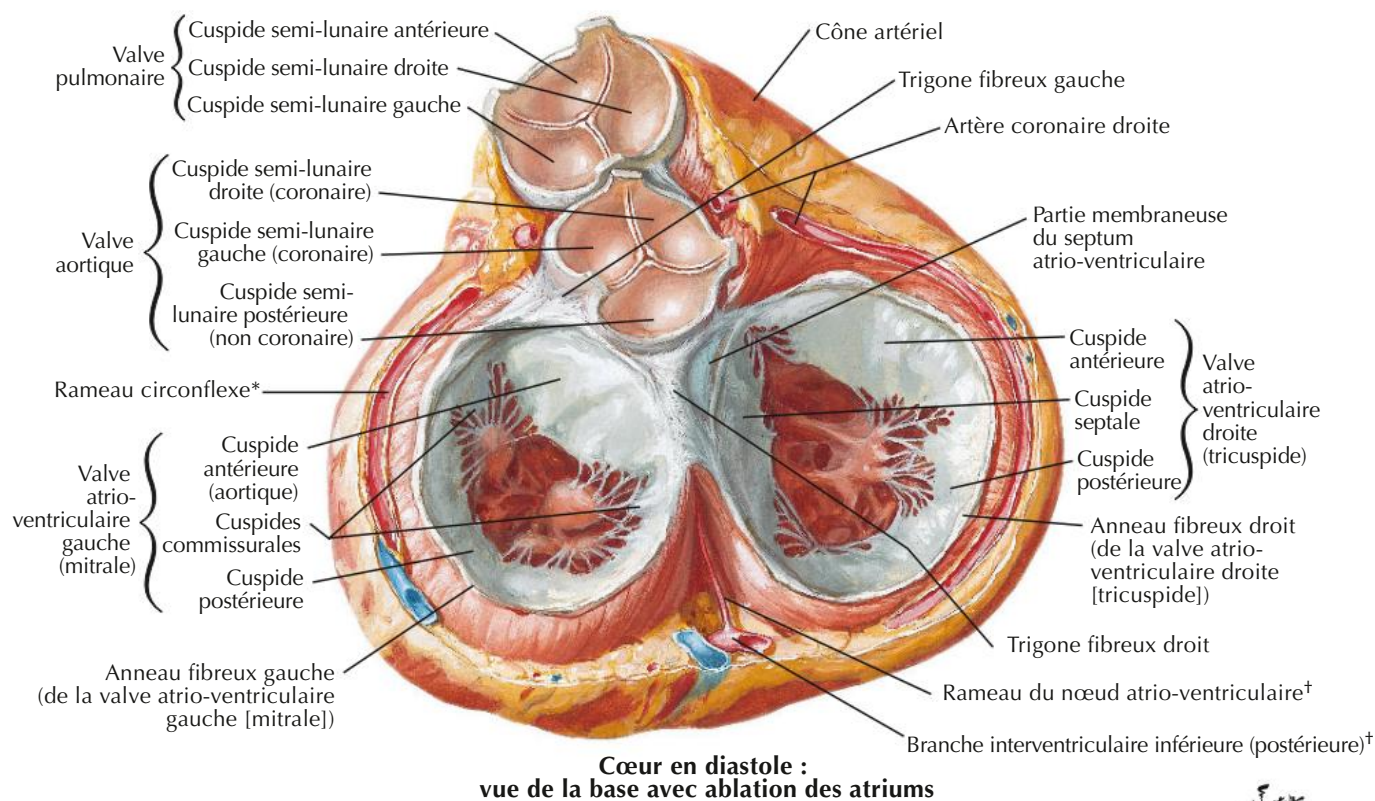


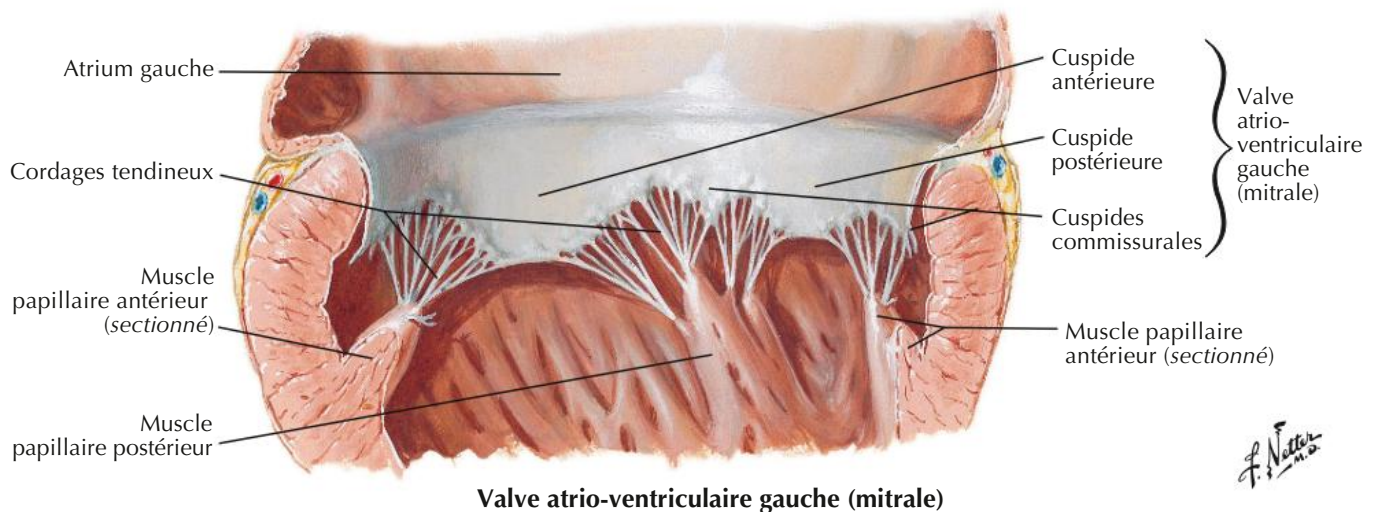
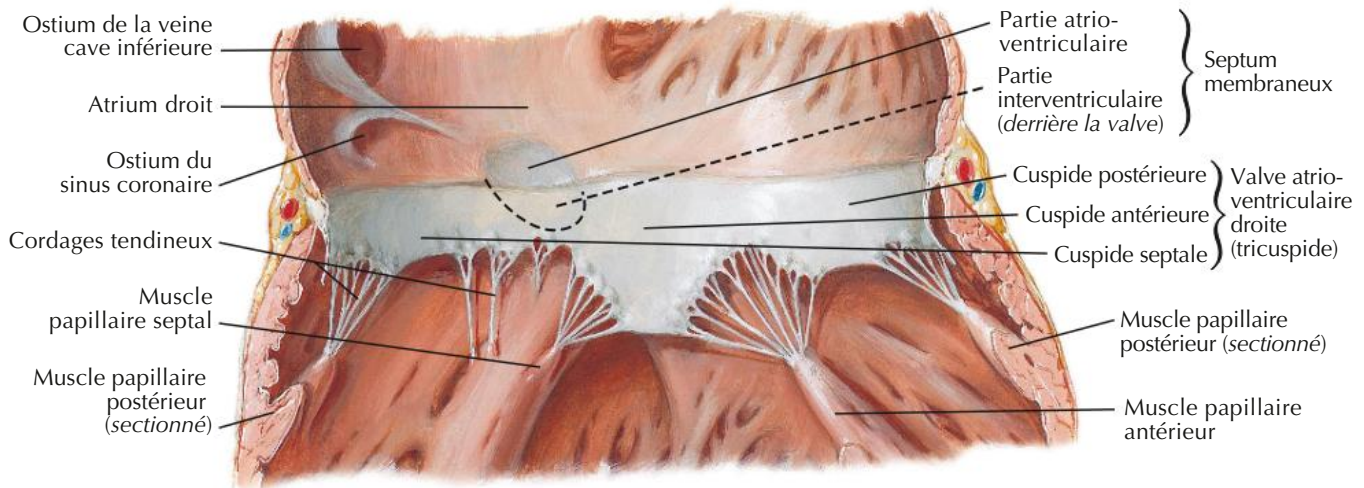
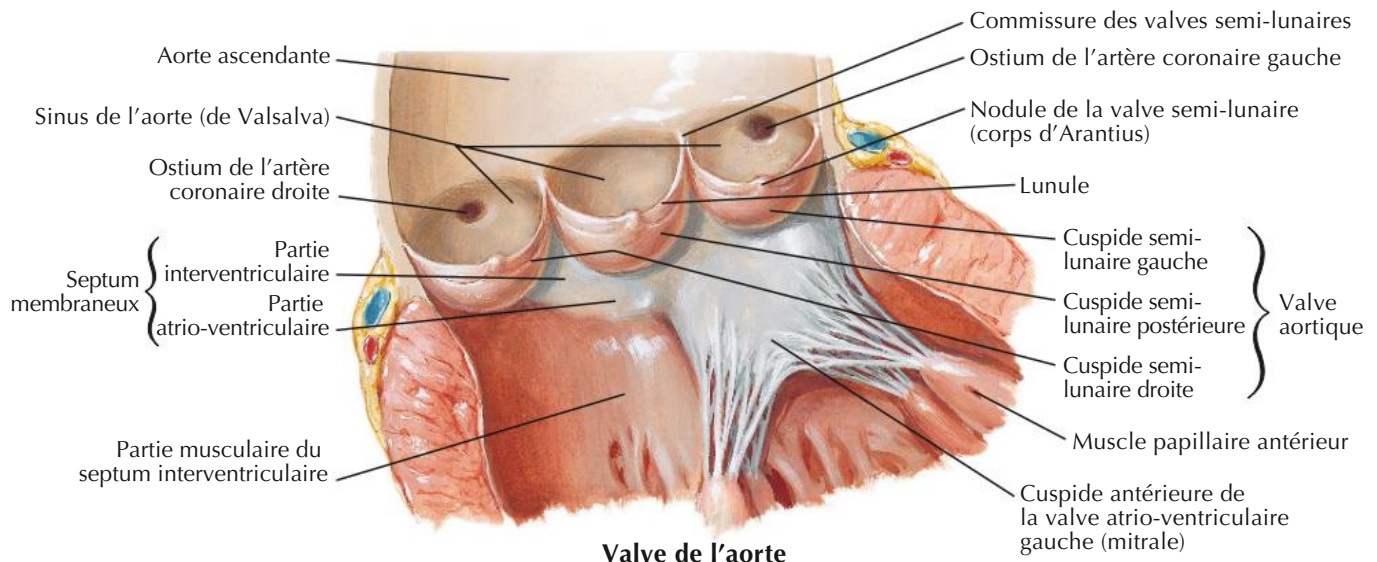
Atrium droit ouvert : vue latérale droite

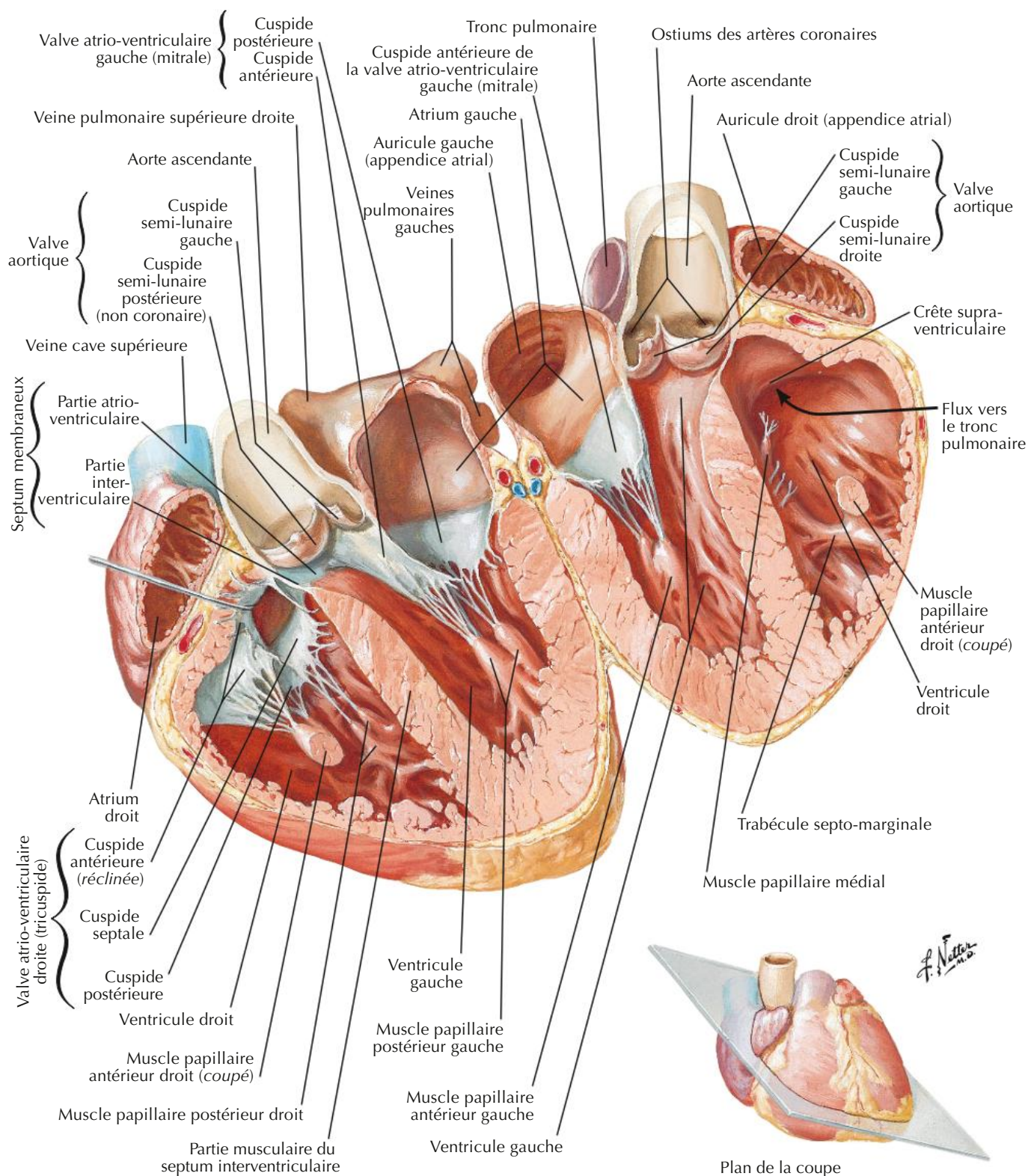


Ventricule droit ouvert : vue antérieure

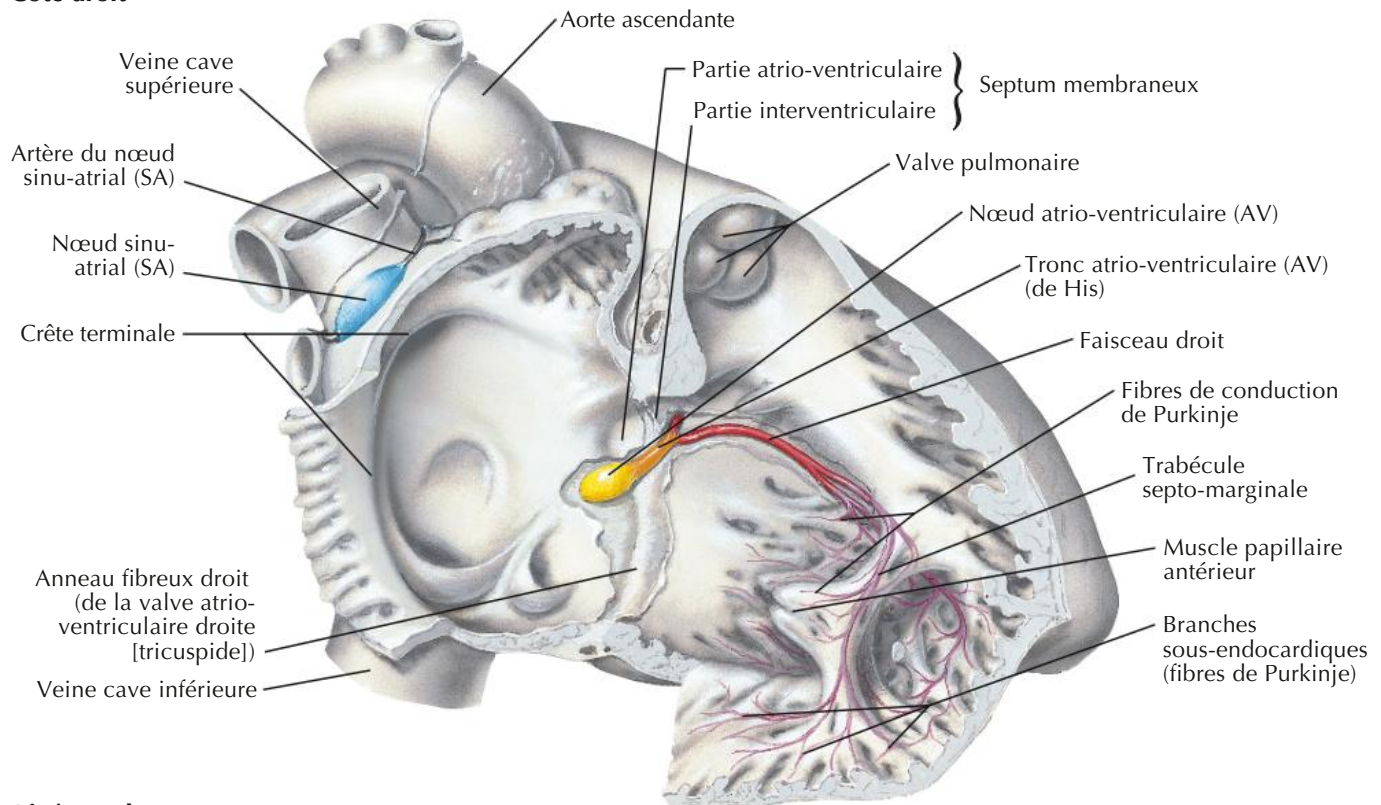




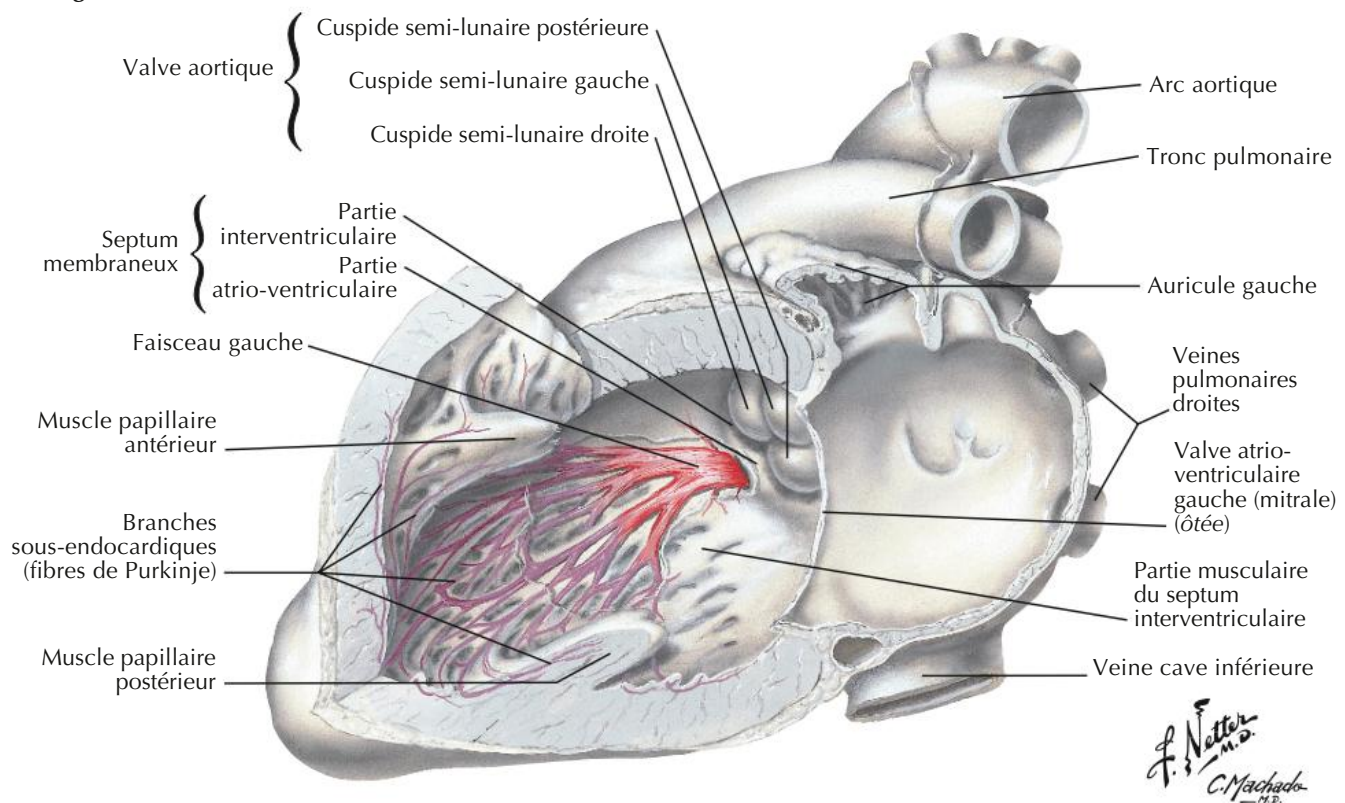




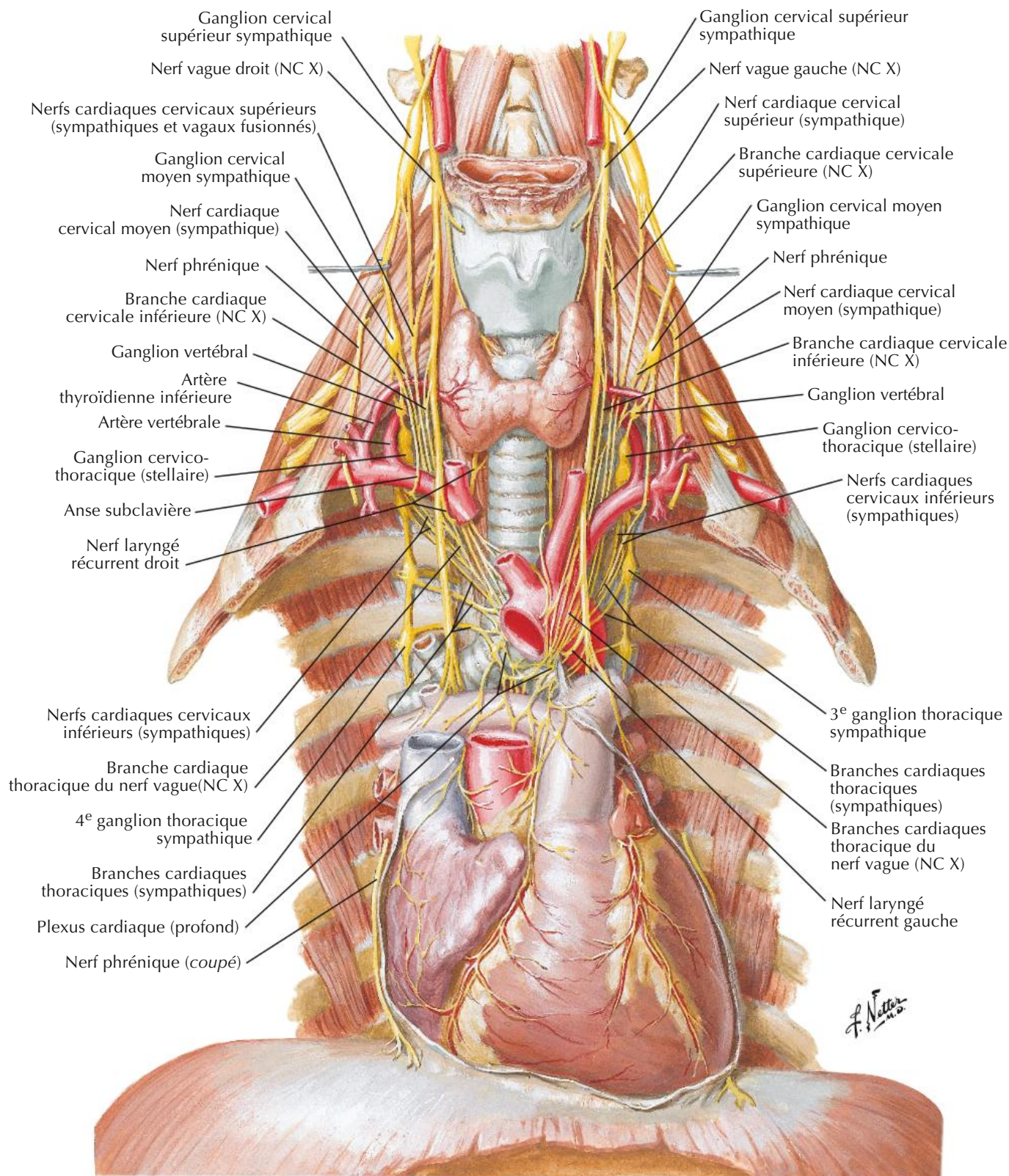
Côté droit



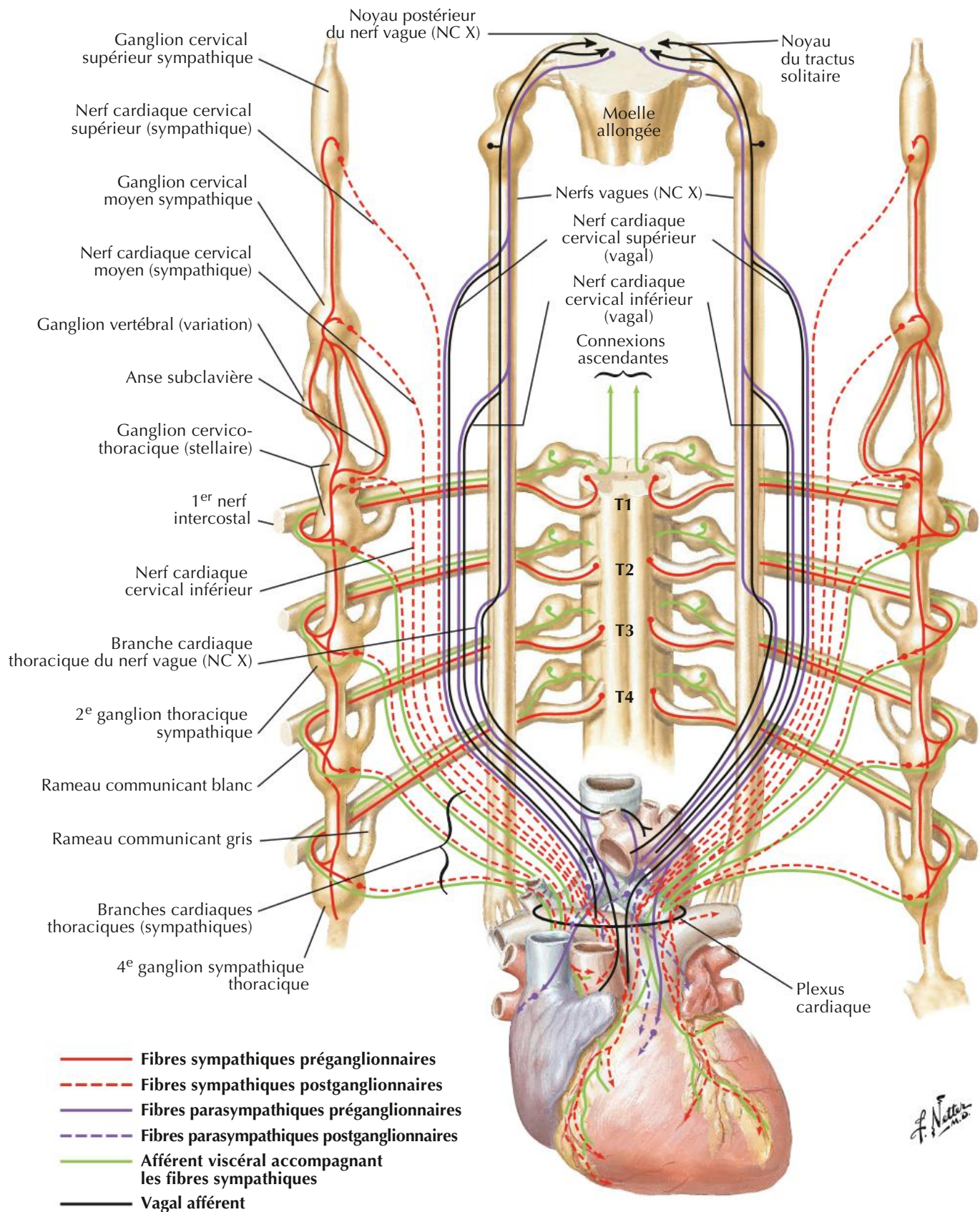
Côté gauche



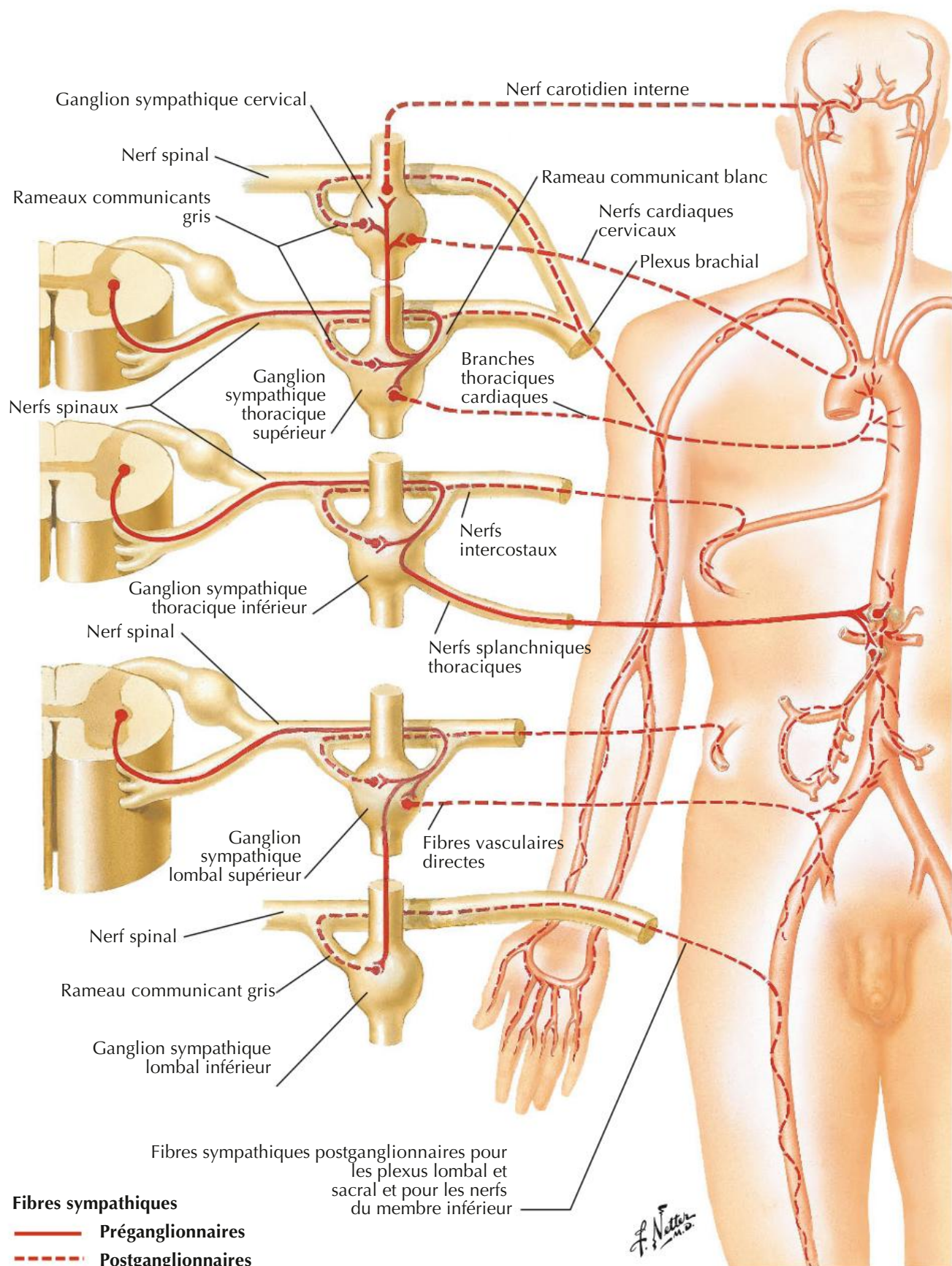
F. Netter M.D.
C. Machado



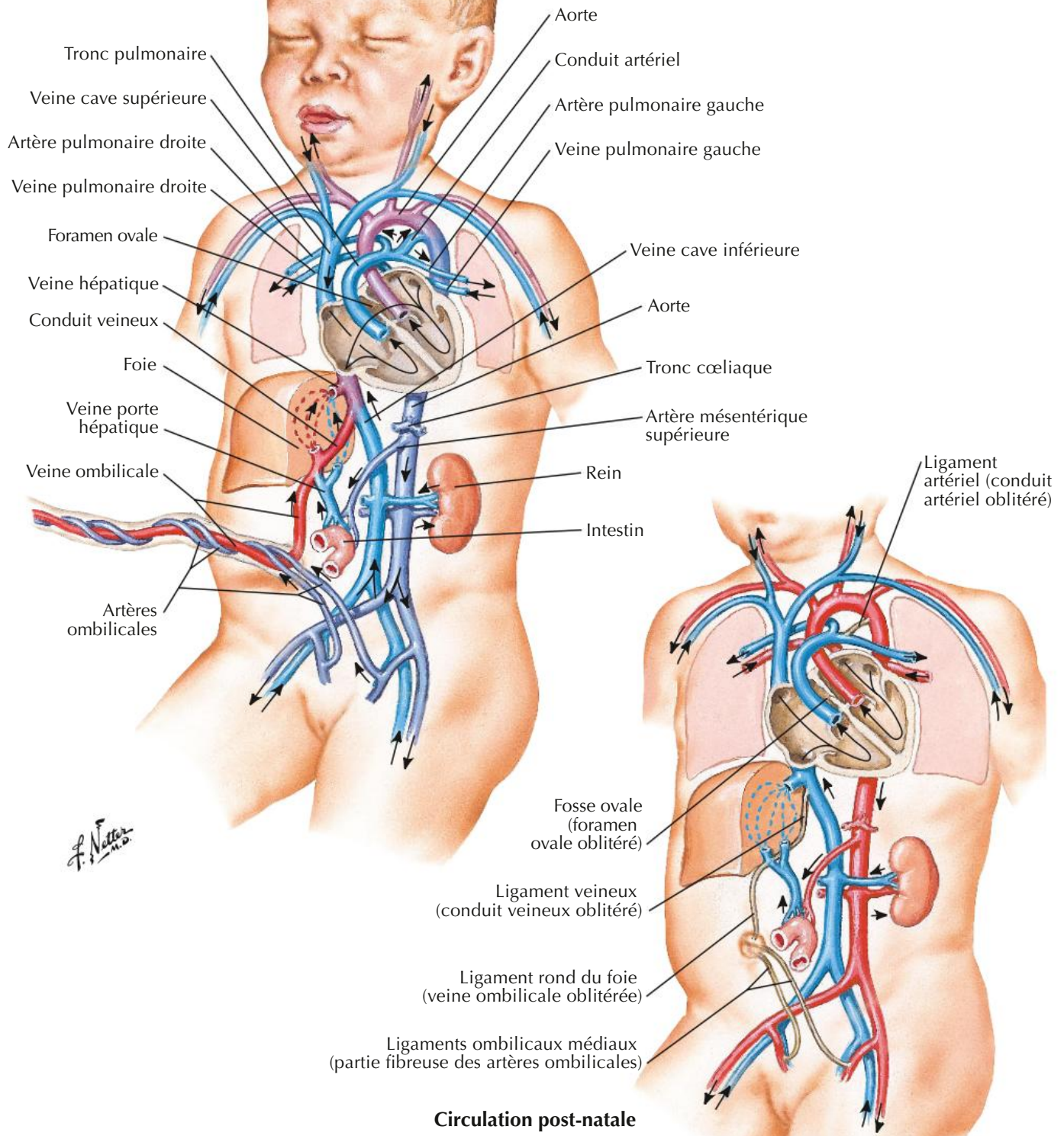
F. Netter M.D.



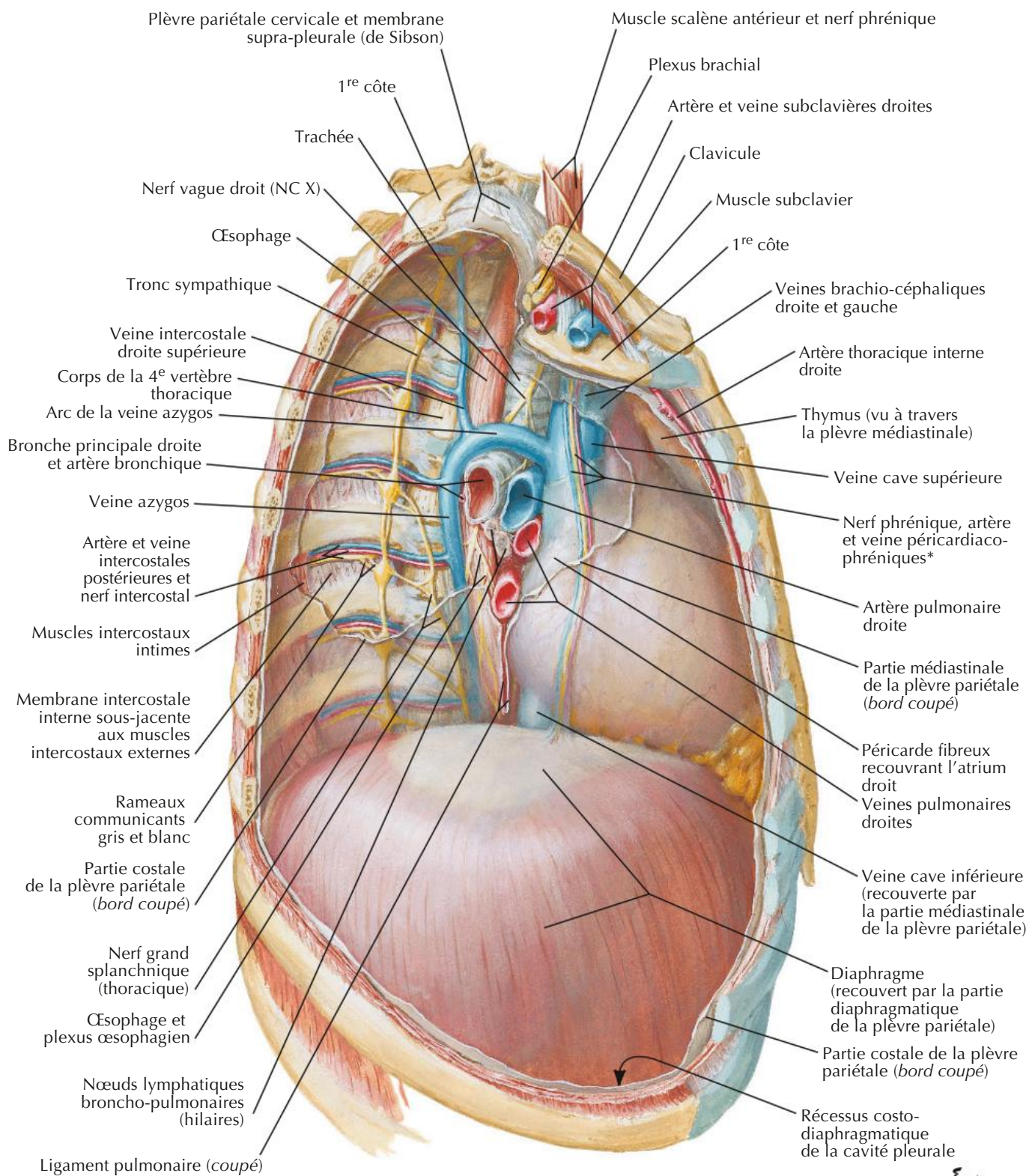
Innervation des vaisseaux sanguins : schéma



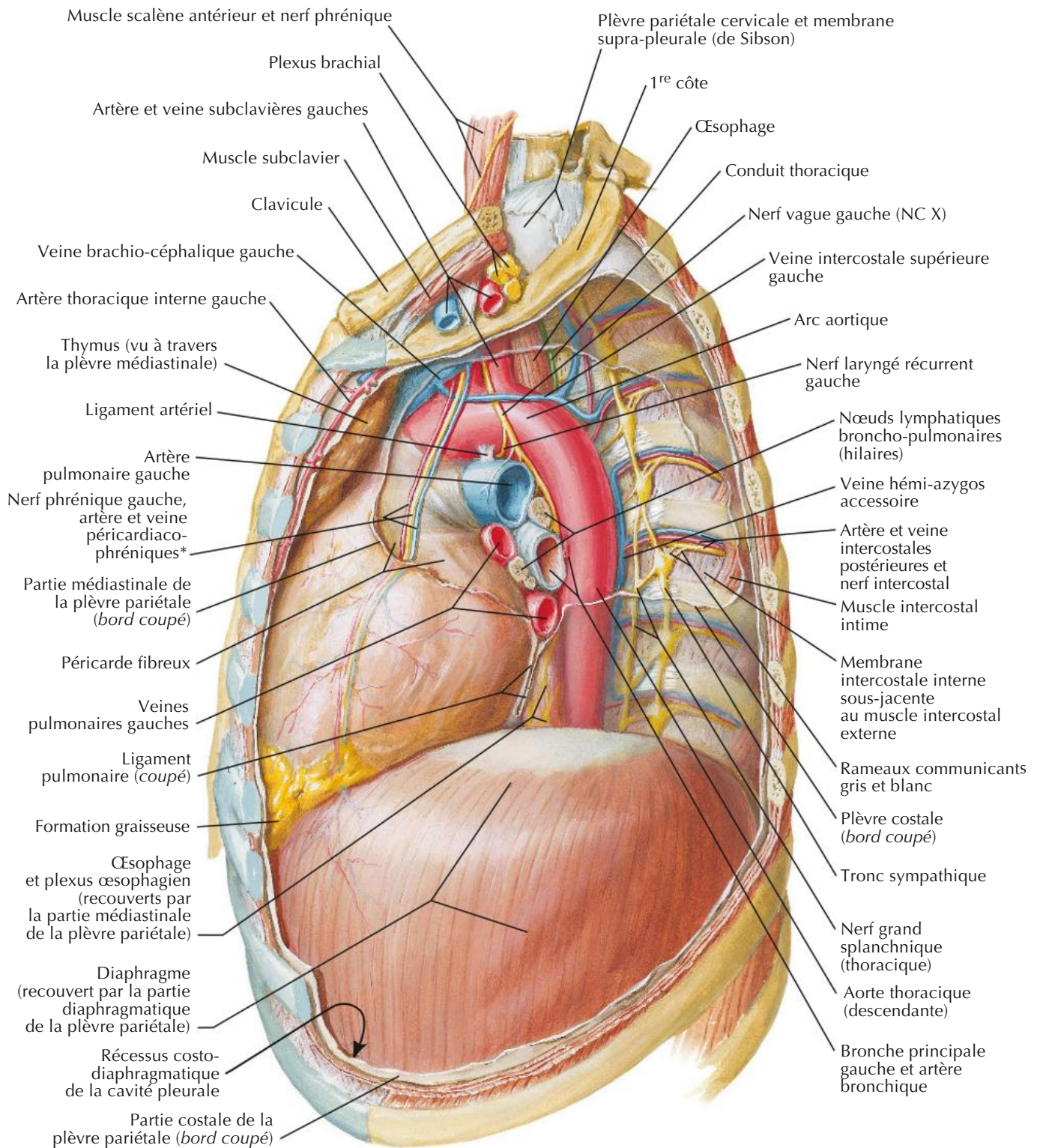
Circulation prénatale



Circulation post-natale



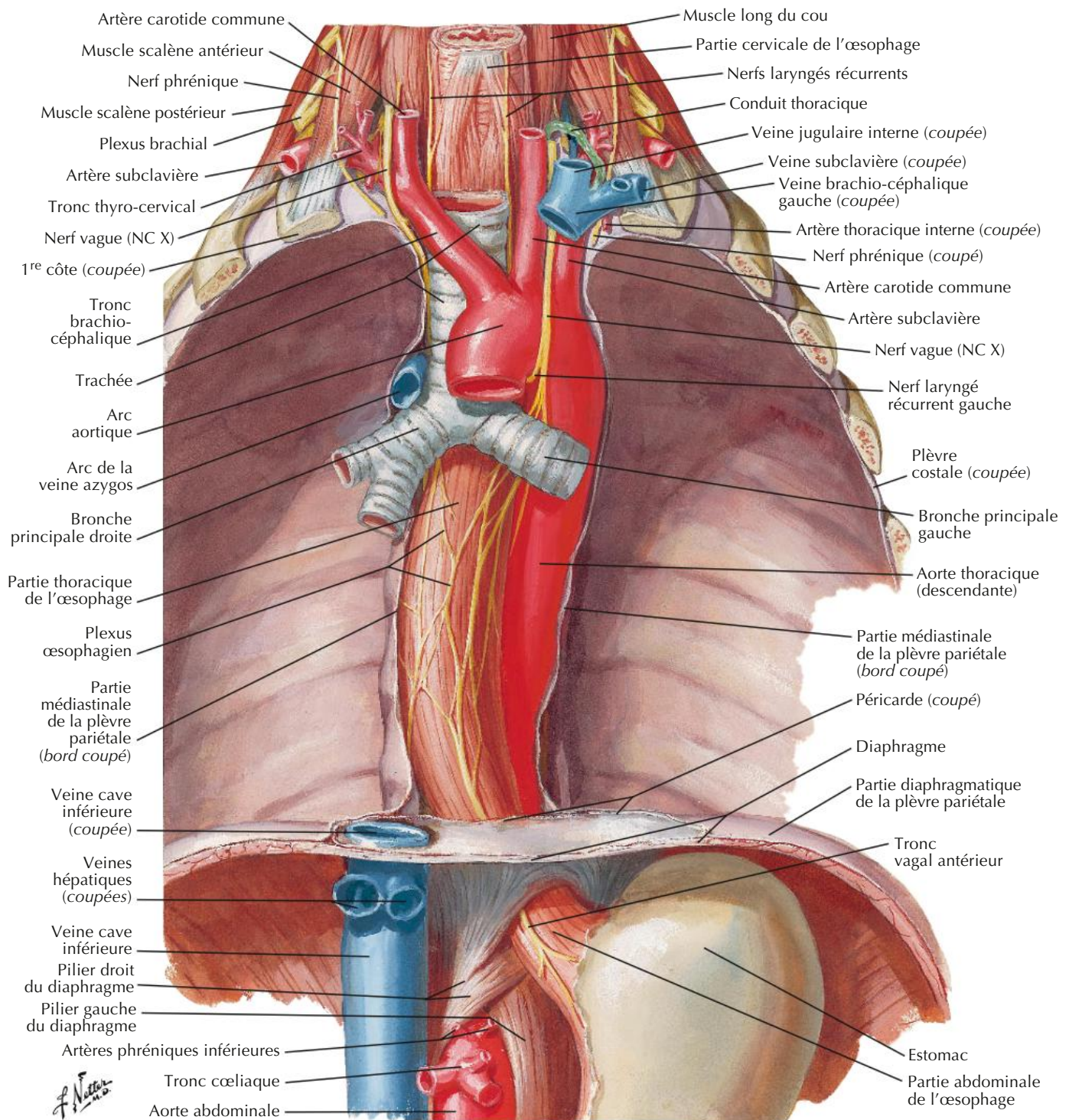
* Les vaisseaux et les nerfs cheminent habituellement séparément

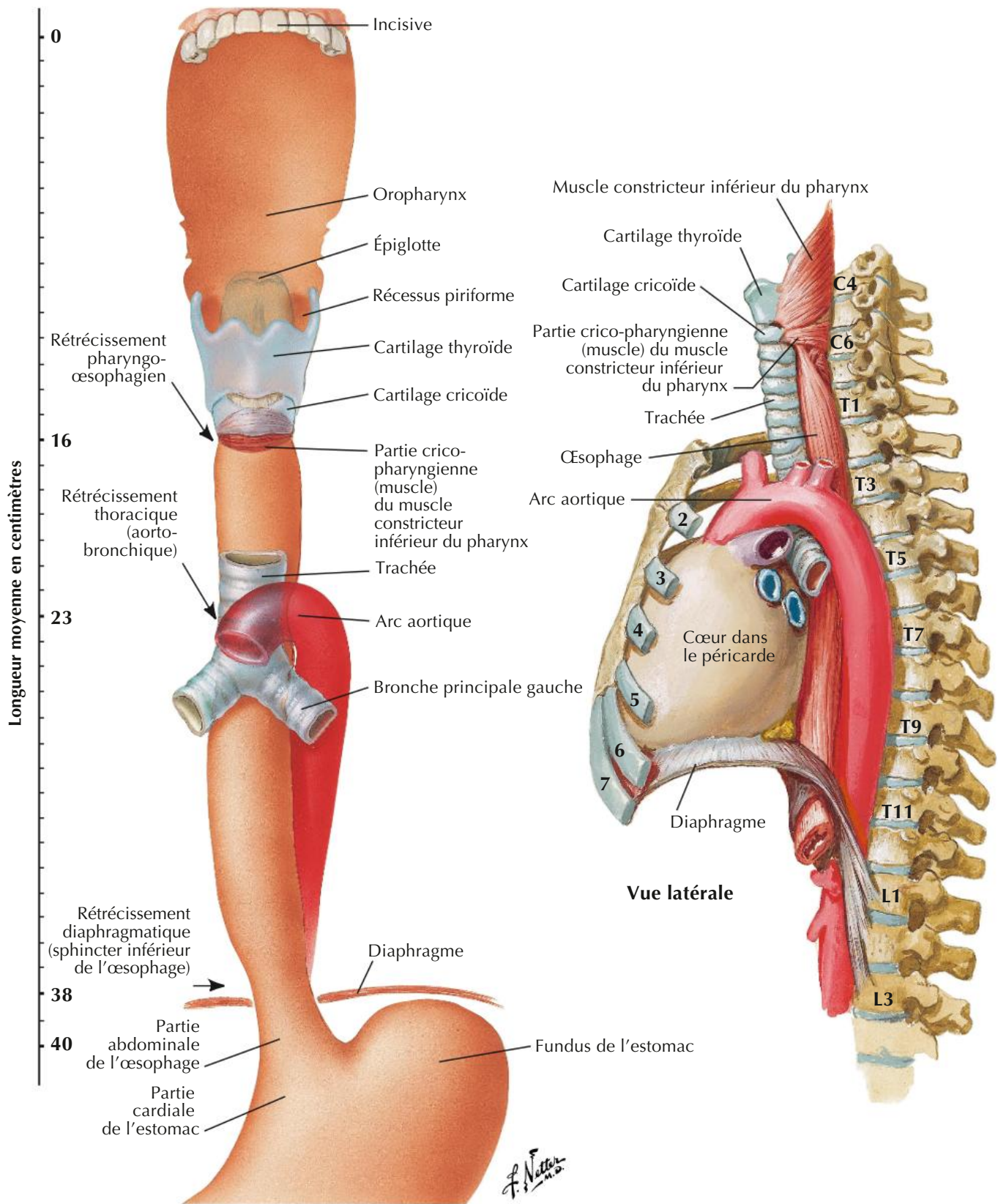


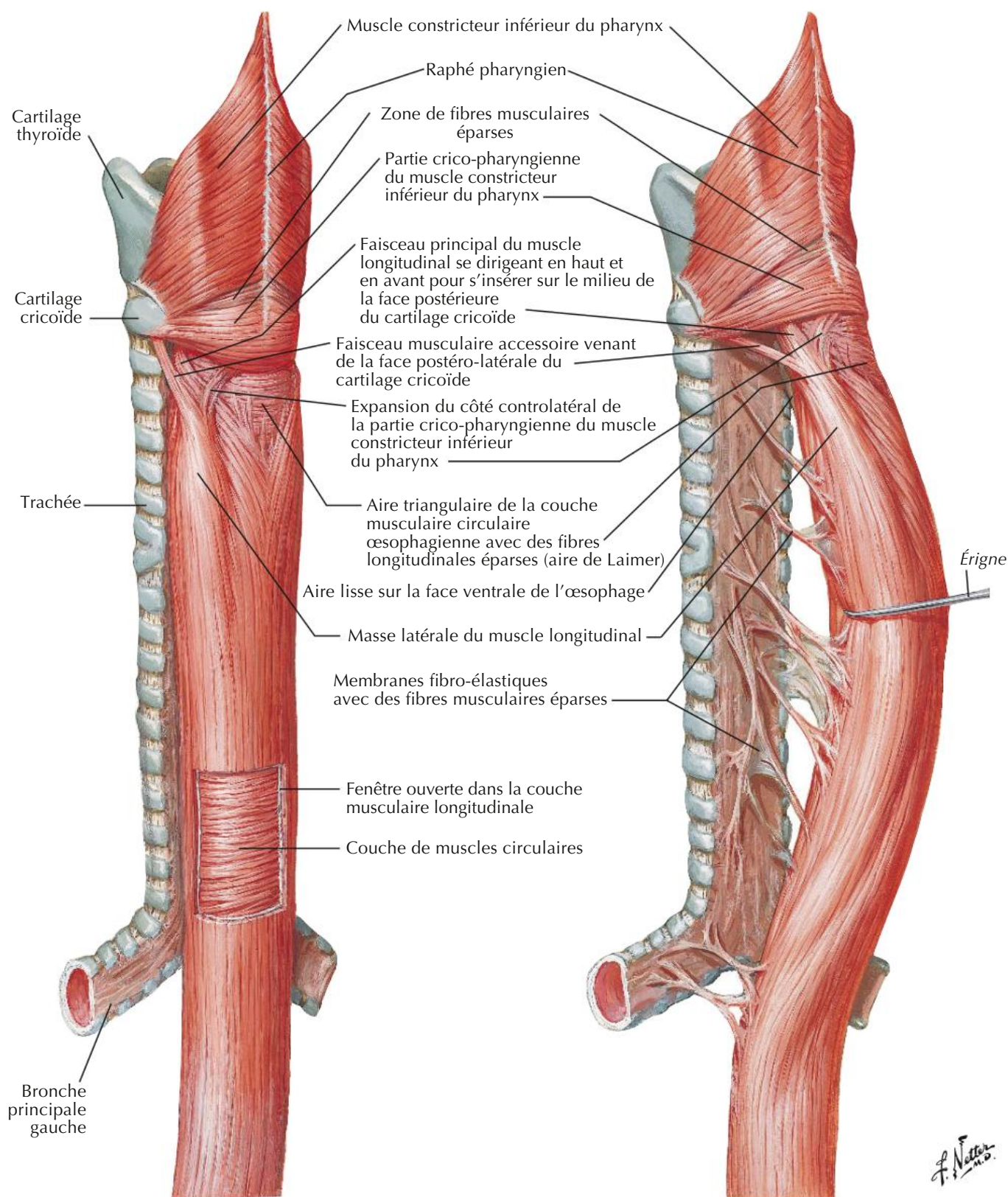
* Les vaisseaux et les nerfs cheminent habituellement séparément

F. Netter M.D.

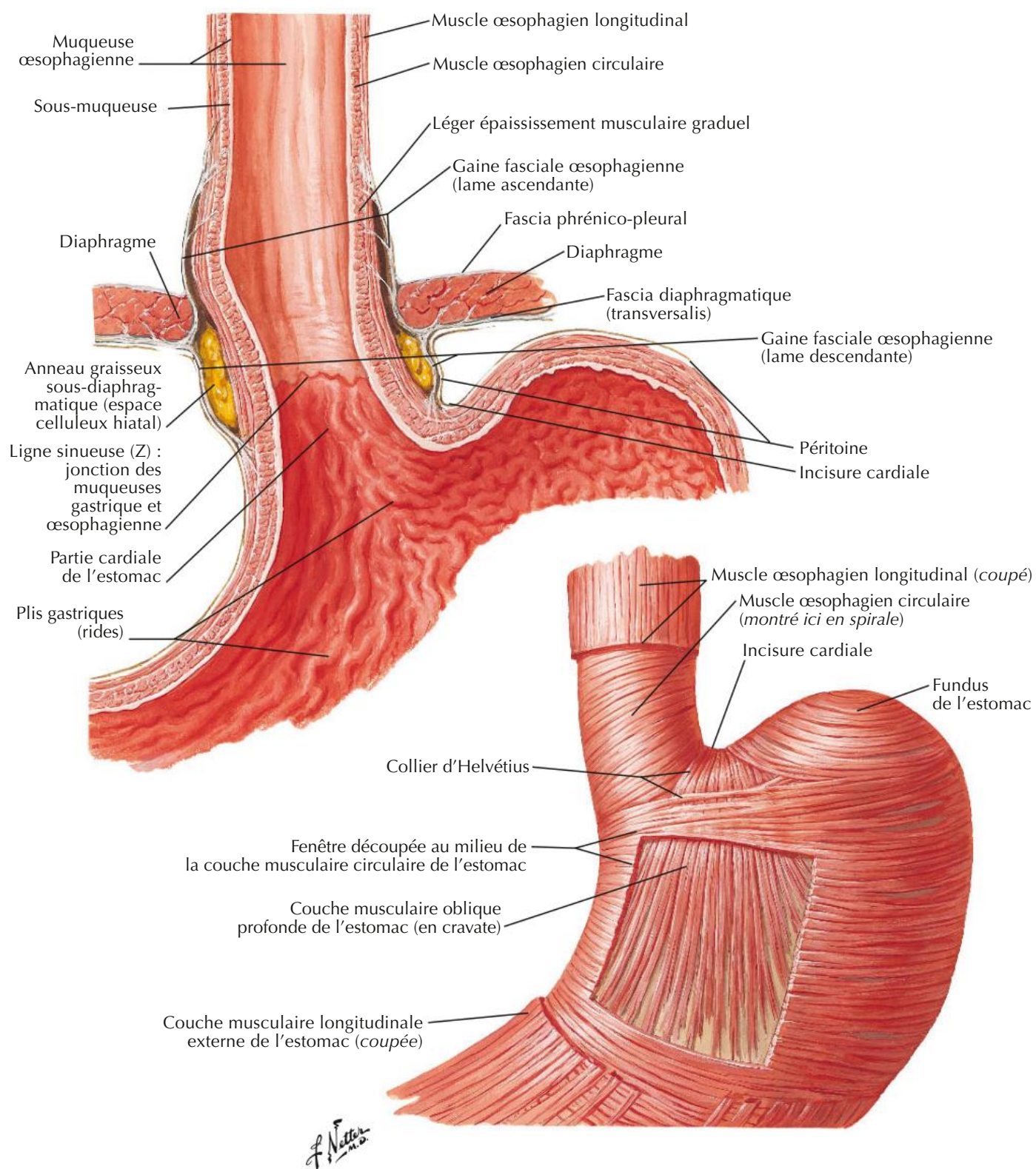
Œsophage *in situ*

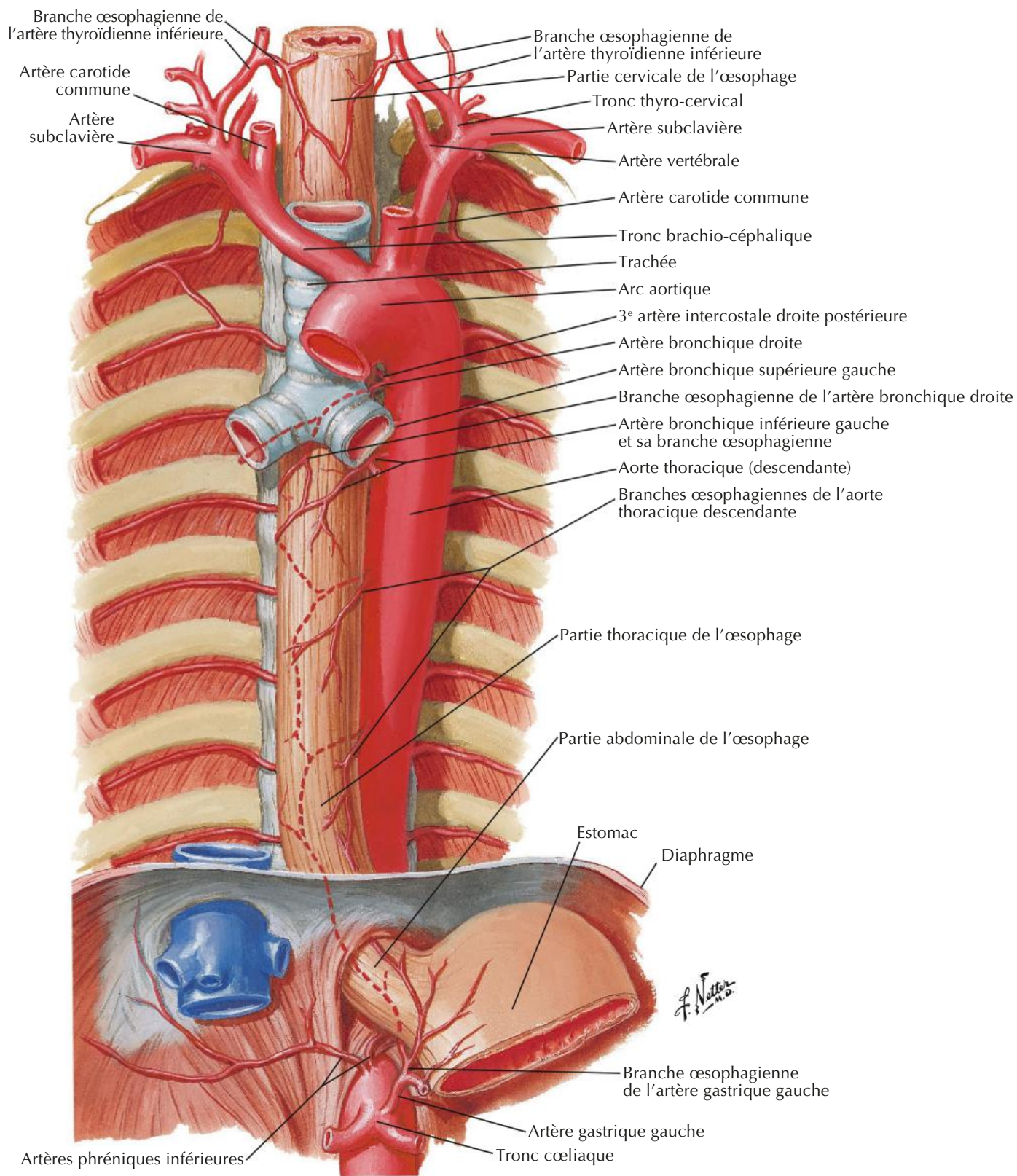


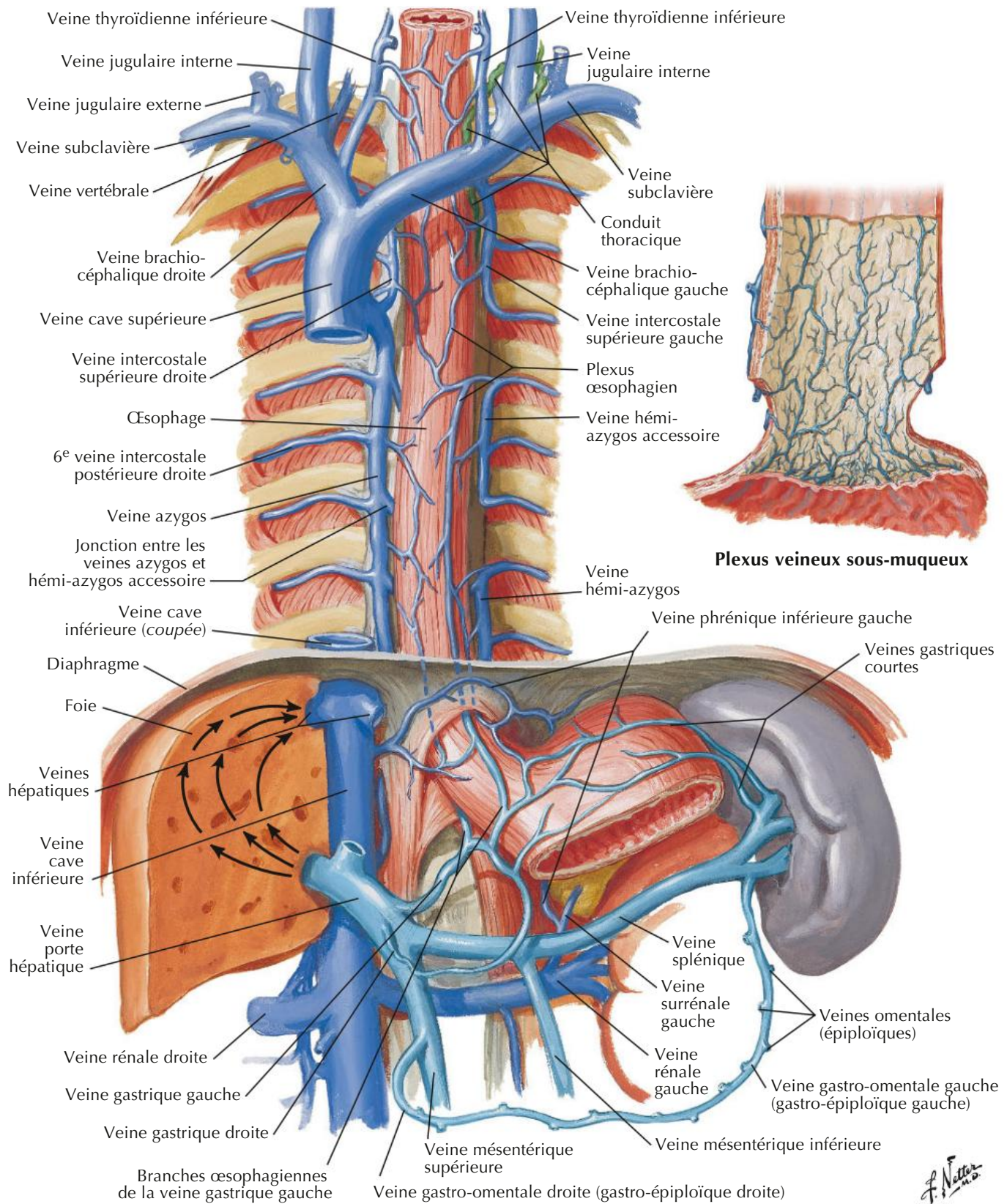


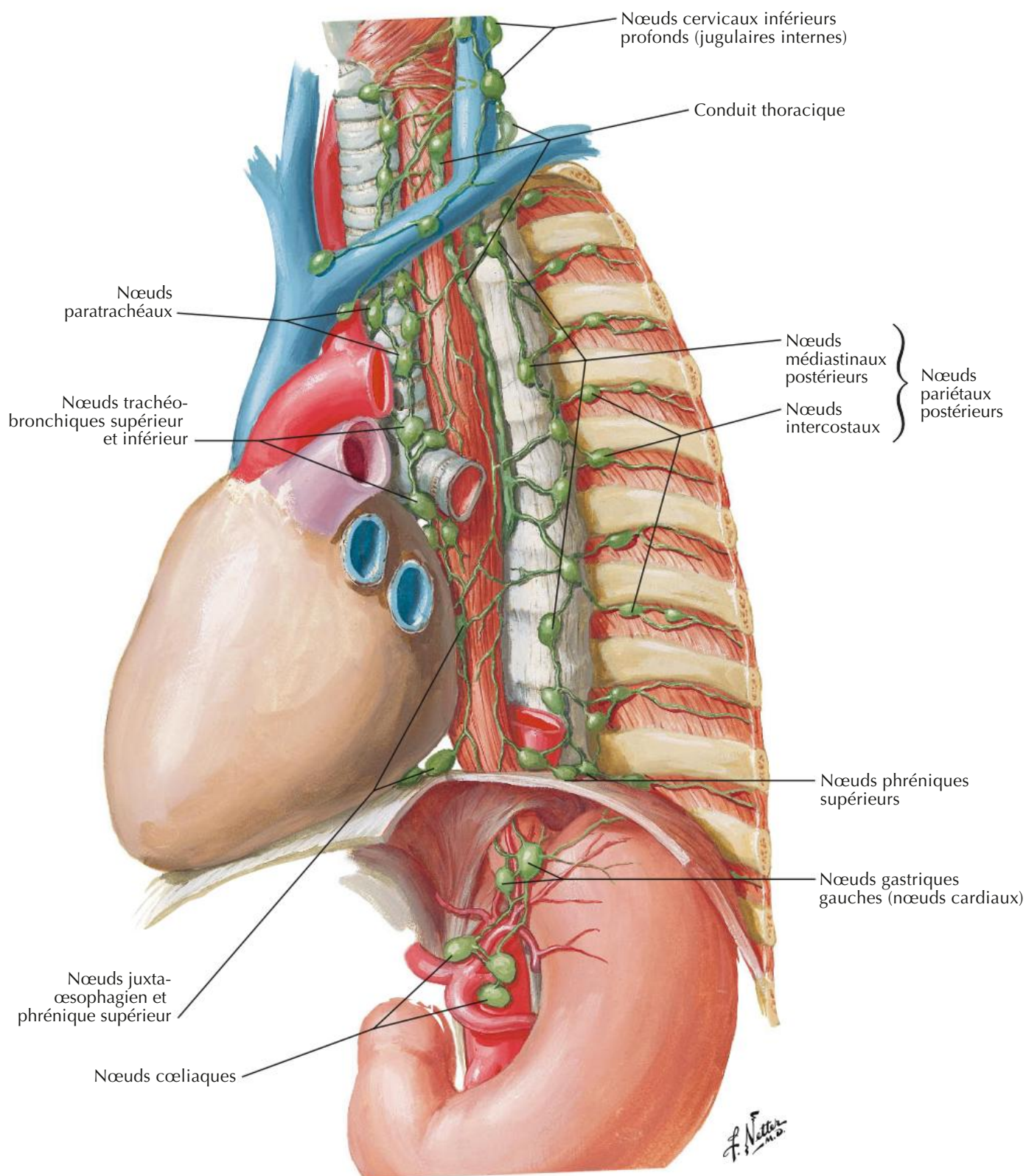


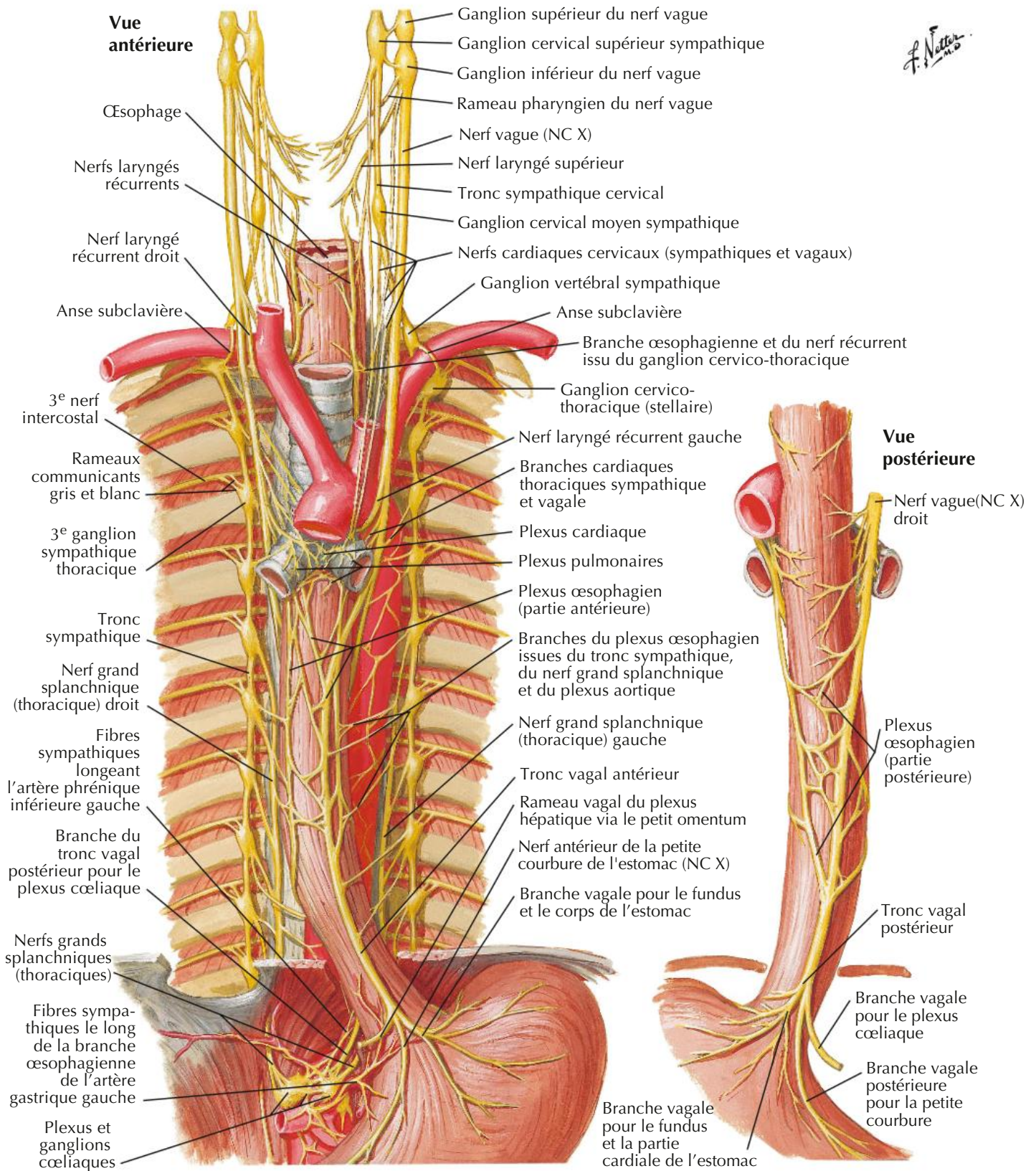
Vue postéro-latérale



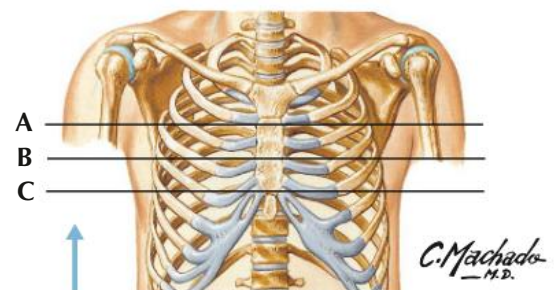
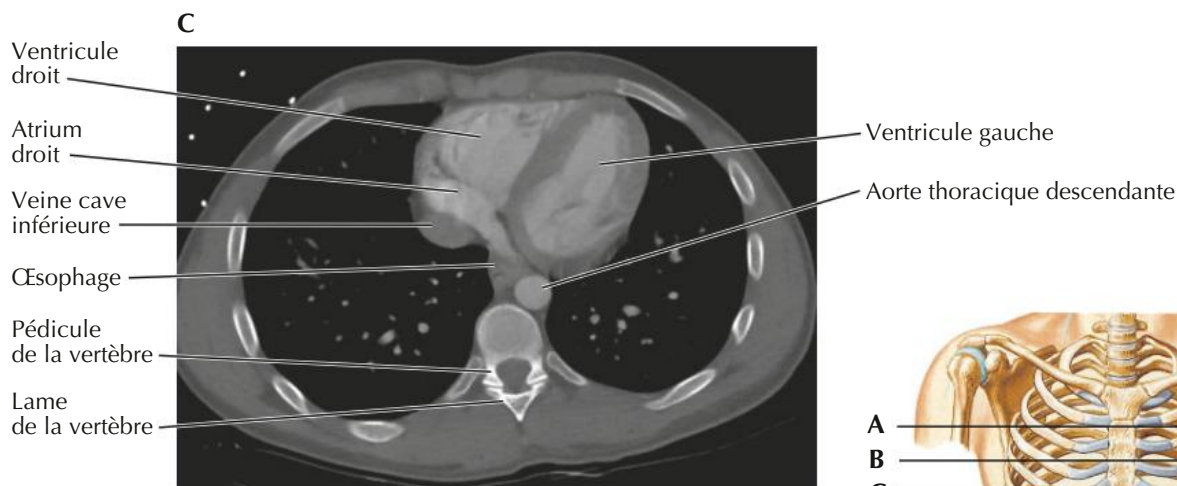
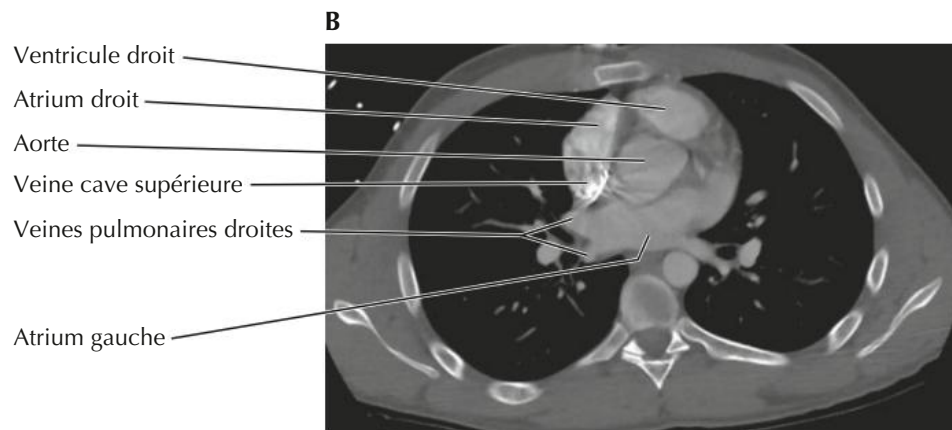
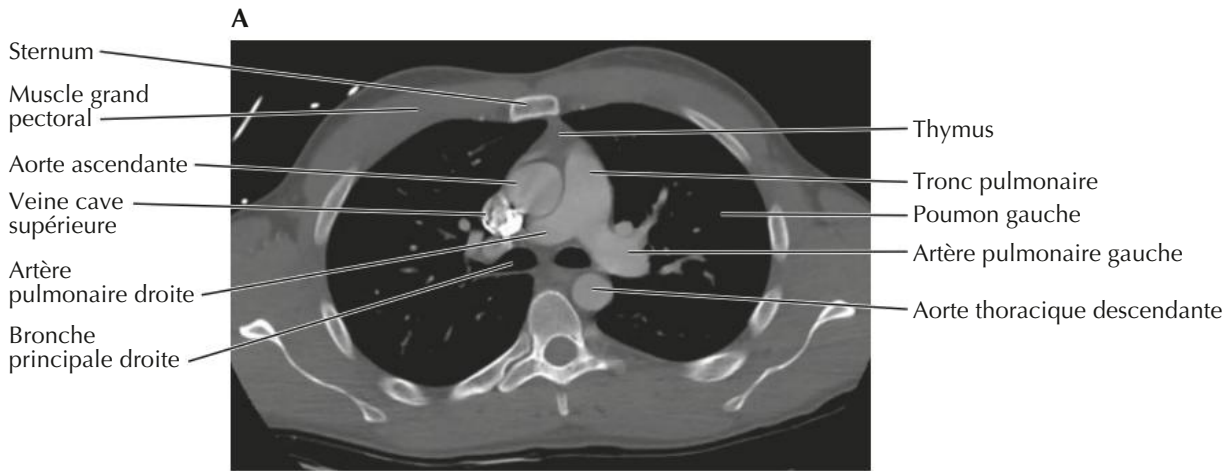


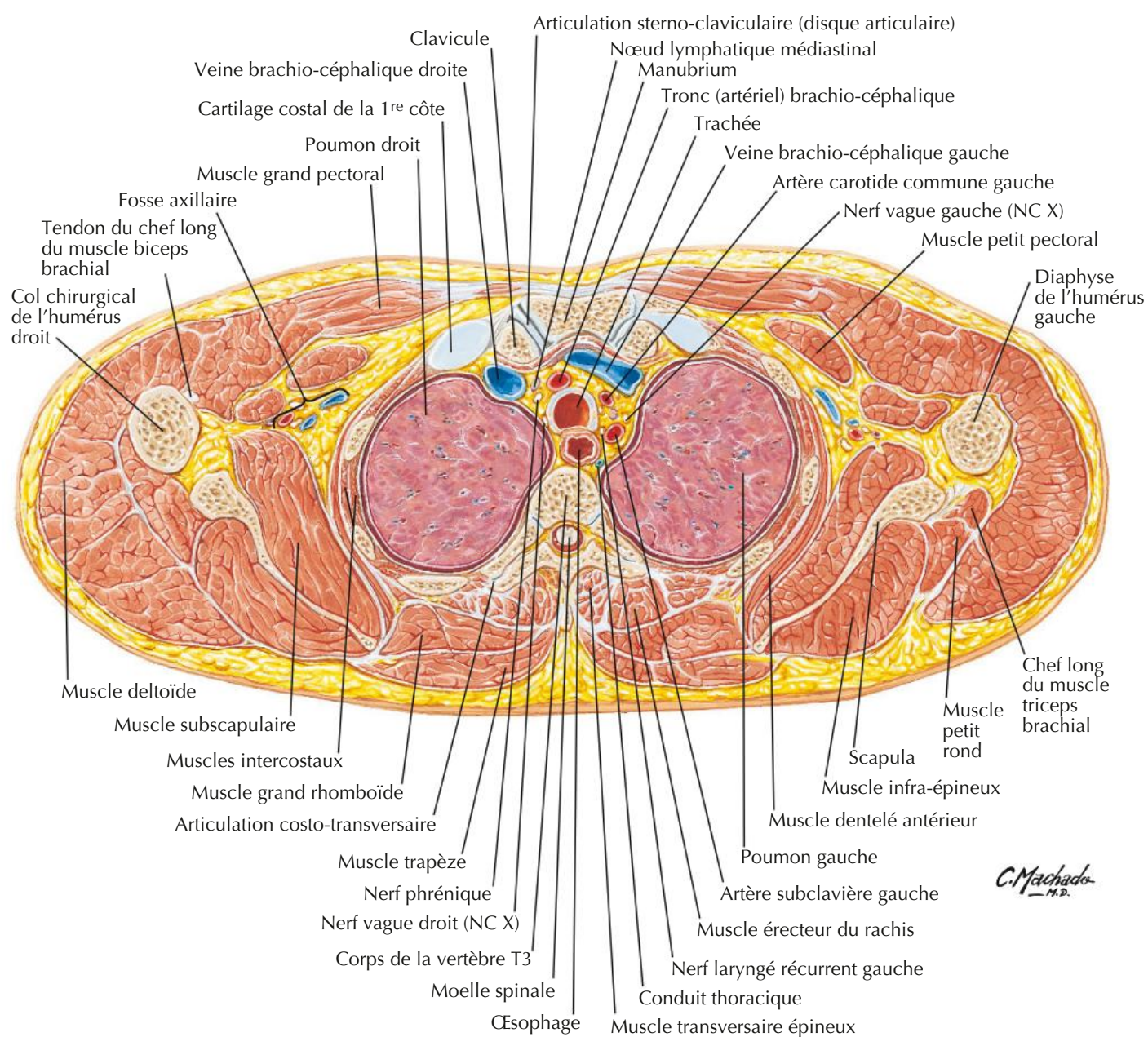
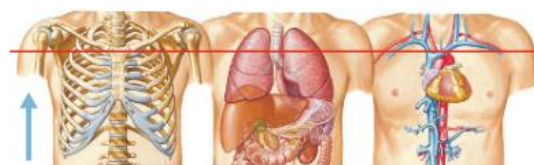




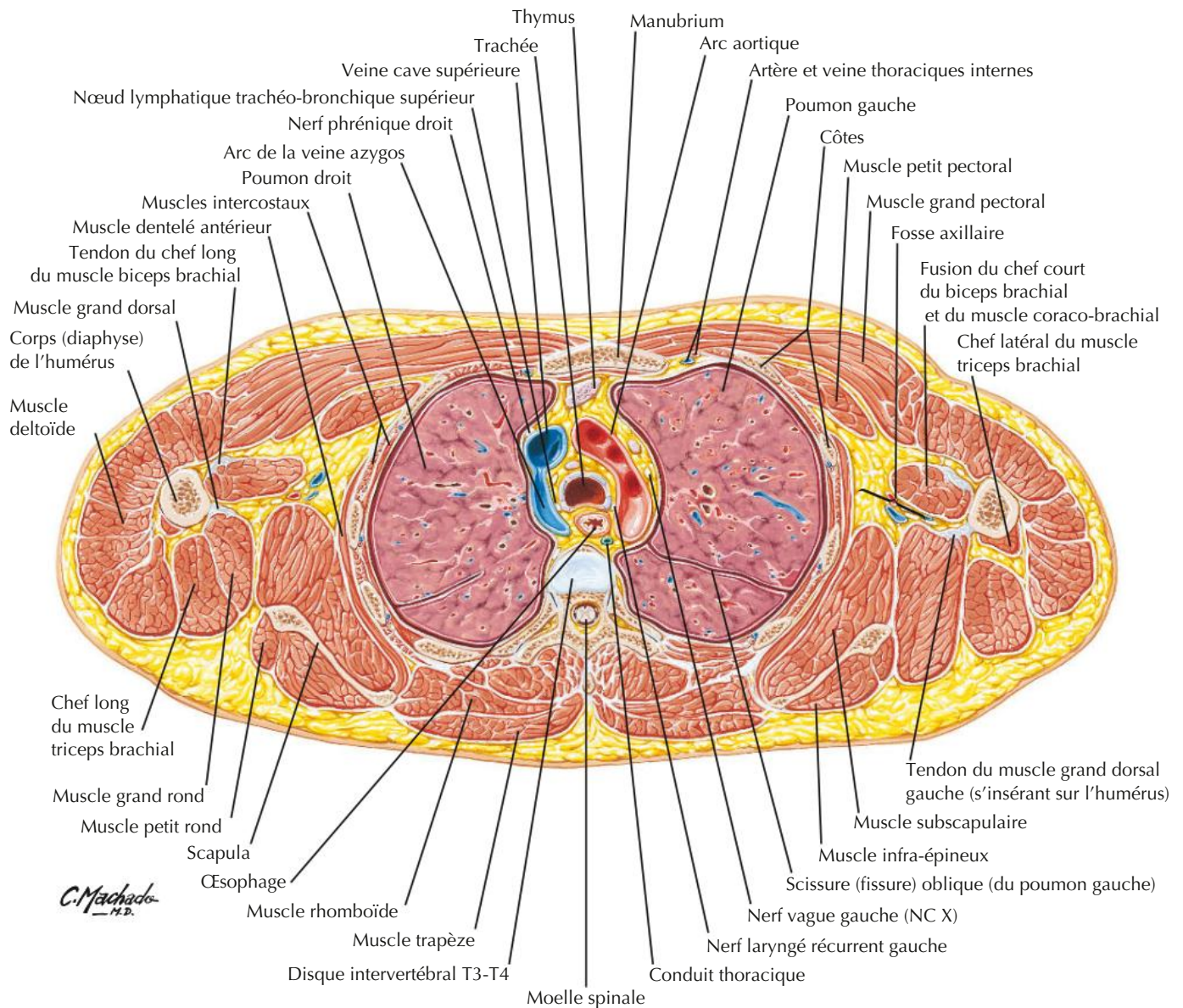
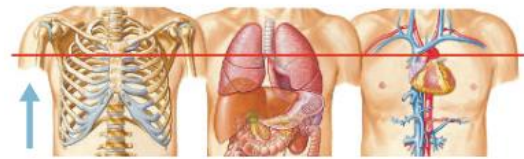


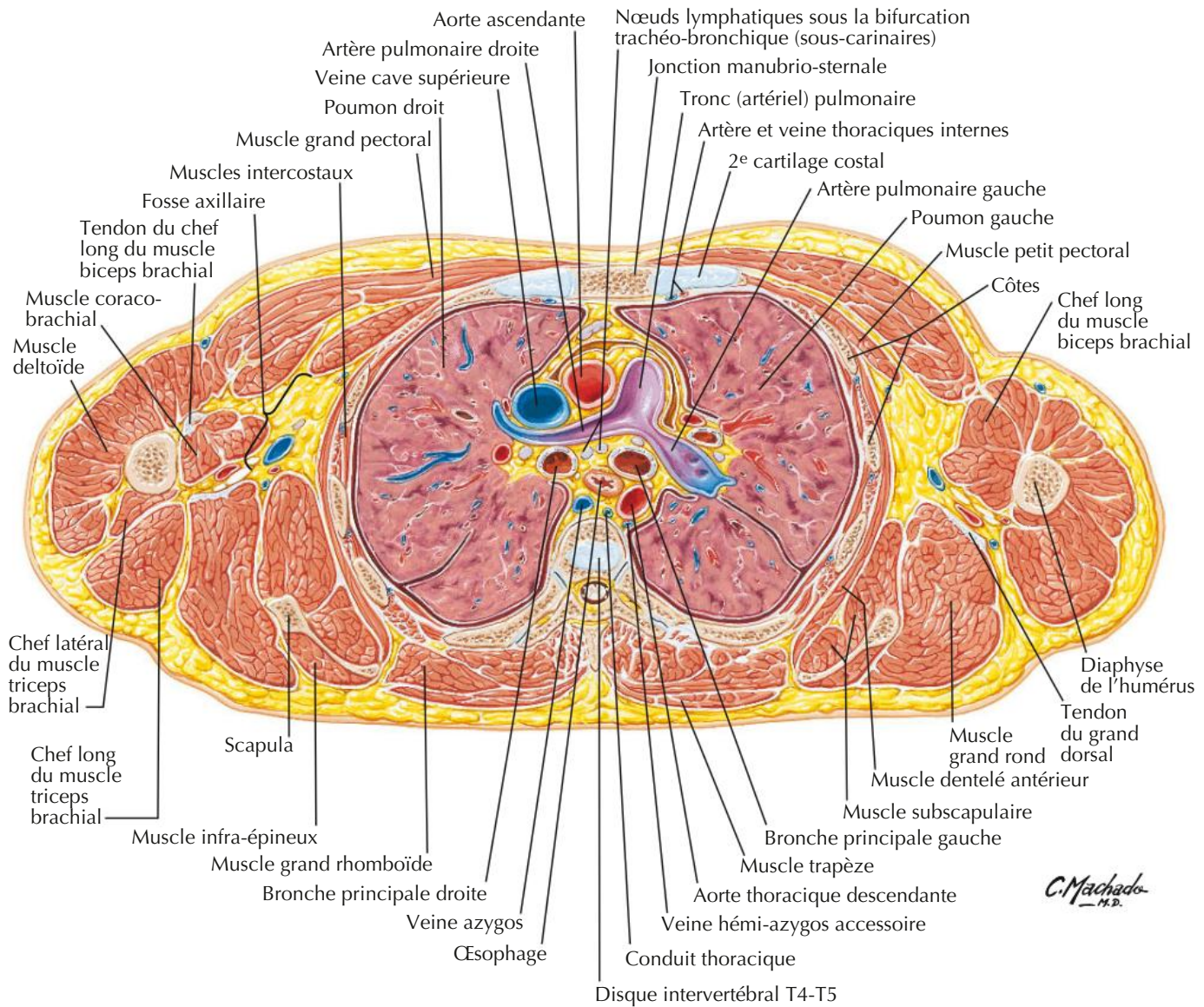
Images tomodensitométriques axiales du thorax
de la partie supérieure (A) à l'inférieure (C)



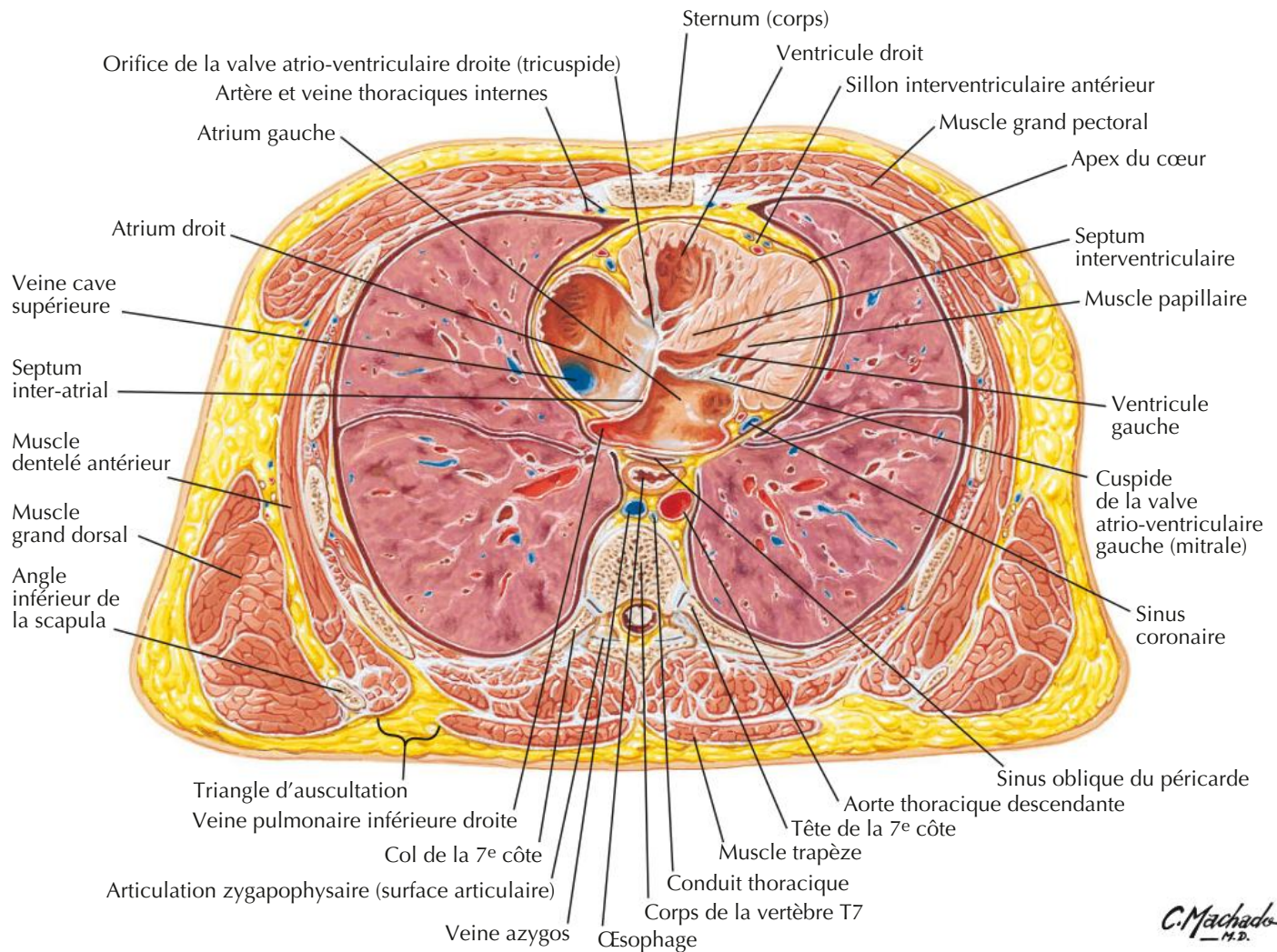


Coupe transversale du thorax au niveau T3-T4





Coupe transversale du thorax au niveau T7



STRUCTURES ANATOMIQUES	IMPORTANCE CLINIQUE	NUMÉROS DES PLANCHES
 SYSTÈME TÉGUMENTAIRE		
Glande mammaire	Le cancer du sein est le cancer le plus fréquent chez la femme ; le déplacement du sein avec la contraction des muscles pectoraux indique l'invasion de l'espace rétromammaire	188
 SYSTÈME SQUELETTIQUE		
Côtes	Les fractures des côtes peuvent perforer la cavité pleurale et provoquer un pneumothorax ; un volet costal survient lorsque de multiples fractures de côtes engendrent une instabilité de la cage thoracique	192
Angle sternal (de Louis)	Repère superficiel pour compter les côtes (la 2 ^e paire de côte s'articule à ce niveau) et les espaces intercostaux ; il divise le médiastin en supérieur et inférieur	192
Paroi thoracique (côtes et espaces intercostaux)	La connaissance des rapports entre la paroi thoracique et les organes sous-jacents est nécessaire pour la thoracotomie	194, 202, 204
Côtes gauches (côtes 9, 10, 11)	Leur fracture peut s'accompagner de lésion de la rate sous-jacente	202
Ouverture supérieure du thorax	La compression des structures neurovasculaires traversant l'ouverture supérieure du thorax peut provoquer un syndrome de traversée thoraco-cervico-brachiale	198
 SYSTÈME MUSCULAIRE		
Espaces intercostaux	Important rapport entre le pédicule neurovasculaire intercostal et les côtes à prendre en compte lors de la mise en place d'un drain thoracique pour traiter un pneumothorax ou un hémithorax	195, 221
Diaphragme	La distension acquise ou une anomalie congénitale du hiatus œsophagien autorise l'ascension de l'estomac dans le thorax (hernie hiatale)	201, 239
 SYSTÈME RESPIRATOIRE		
Lignes de réflexion pleurale	La connaissance de la projection du poumon et de la plèvre sur la paroi thoracique est nécessaire à la réalisation du drainage thoracique	202, 203
Plèvre	L'air ou le gaz (de façon spontanée ou traumatique) peuvent pénétrer dans l'espace pleural entre la plèvre viscérale et la plèvre pariétale et comprimer le poumon	202, 204
Plèvre cervicale	Remontant dans le cou au-dessus de la 1 ^{re} côte, elle peut donc être perforée lors de toute procédure cervicale, engendrant un pneumothorax	202
Bifurcation trachéale	La bronche principale droite est plus courte, plus verticale et plus large ; les objets aspirés sont donc souvent dans le poumon droit	208
Apex du poumon	Le syndrome de Pancoast (carcinome bronchiogénique) de l'apex du poumon envahit le tronc sympathique, entraînant le syndrome de Claude Bernard-Horner (myosis ipsilatéral, ptosis, anhidrose et rougeur du visage)	202, 234
 SYSTÈME NERVEUX		
Nerf thoracique long	Peut être endommagé lors de la pose d'un drain thoracique ou d'une mastectomie entraînant une scapula alata (scapula en aile, dénervation du muscle dentelé antérieur)	189, 194
Nerf intercostal	Concerné par le bloc nerveux anesthésique local pour des interventions comme la thoracostomie (drainage thoracique) ou pour soulager la douleur du zona	196, 197
Ganglion (spinal) de la racine postérieure	Peut héberger le virus dormant de la varicelle-zona, qui, une fois activé, peut donner le zona	197
Nerf phrénique et diaphragme	Une lésion unilatérale du nerf phrénique entraîne une paralysie ipsilatérale de l'hémi-diaphragme	199, 201

STRUCTURES ANATOMIQUES	IMPORTANCE CLINIQUE	NUMÉROS DES PLANCHES
------------------------	---------------------	----------------------



SYSTÈME NERVEUX–Suite

	L'irritation diaphragmatique entraîne une douleur projetée à l'épaule en référence au même niveau médullaire d'innervation C3-C5	199, 216
Branche laryngée récurrente du nerf vague (NC X)	Les pathologies de la fenêtre aortico-pulmonaire peuvent comprimer ce nerf et produire un enrouement de la voix	235, 236
Douleur viscérale d'origine cardiaque	La douleur de l'ischémie myocardique, se rapportant aux dermatomes thoraciques supérieurs, peut être perçue comme une douleur somatique de la poitrine et de la partie médiale du membre supérieur	231



SYSTÈME CARDIO-VASCULAIRE

Artère thoracique interne	Classiquement utilisée pour les pontages aorto-coronariens	196, 197
Artères pulmonaires	La maladie thrombo-embolique peut obstruer le système vasculaire pulmonaire, conduisant à un infarctus pulmonaire	205, 210
Péricarde	Un épanchement péricardique (accumulation de liquide ou de sang) peut compromettre la fonction cardiaque (tamponnade cardiaque)	215, 219
Artères coronaires	Leur occlusion par l'athérosclérose peut provoquer une ischémie et/ou un infarctus du myocarde ; l'artère interventriculaire antérieure (descendante antérieure gauche) est la plus souvent atteinte	222
Septum interventriculaire du cœur	La communication interventriculaire est l'anomalie cardiaque congénitale la plus fréquente ; elle implique le plus souvent la partie membraneuse du septum interventriculaire	225, 228
Valves du cœur	Les variations congénitales de l'anatomie valvulaire ou des maladies valvulaires (par ex. cardiopathie rhumatismale) peuvent entraîner une sténose valvulaire	226
Nœud sino-atrial (sino-auriculaire)	Le vieillissement, des antécédents de chirurgie cardiaque et certains médicaments peuvent engendrer des arythmies cardiaques	229
Ligament artériel	Une anomalie de fermeture du conduit artériel peut entraîner une coarctation aortique ; l'absence de fermeture est dénommée persistance du canal artériel et peut provoquer une dyspnée d'effort, une maladie vasculaire pulmonaire ou une insuffisance cardiaque	233
Aorte thoracique	La coarctation congénitale de l'aorte peut compromettre le flux sanguin systémique ; les anastomoses vasculaires collatérales peuvent compenser cette anomalie	240
Système veineux azygos	Il draine la partie postérieure du thorax et constitue une importante anastomose entre les veines caves inférieure et supérieure	241



SYSTÈME LYMPHATIQUE

Lymphatiques de la glande mammaire	Propagation métastatique des cellules cancéreuses vers la fosse axillaire et au thorax due au drainage lymphatique du sein	191
Nœuds lymphatiques axillaires	Premiers relais du drainage lymphatique du membre supérieur, de la paroi thoracique et du sein ; généralement hypertrophiés par envahissement chez les patientes atteintes de cancer du sein	190, 191

* Les sélections ont été fondées en grande partie sur des données cliniques aussi bien que sur les corrélations anatomo-cliniques fréquemment discutées dans les cours d'anatomie macroscopique.

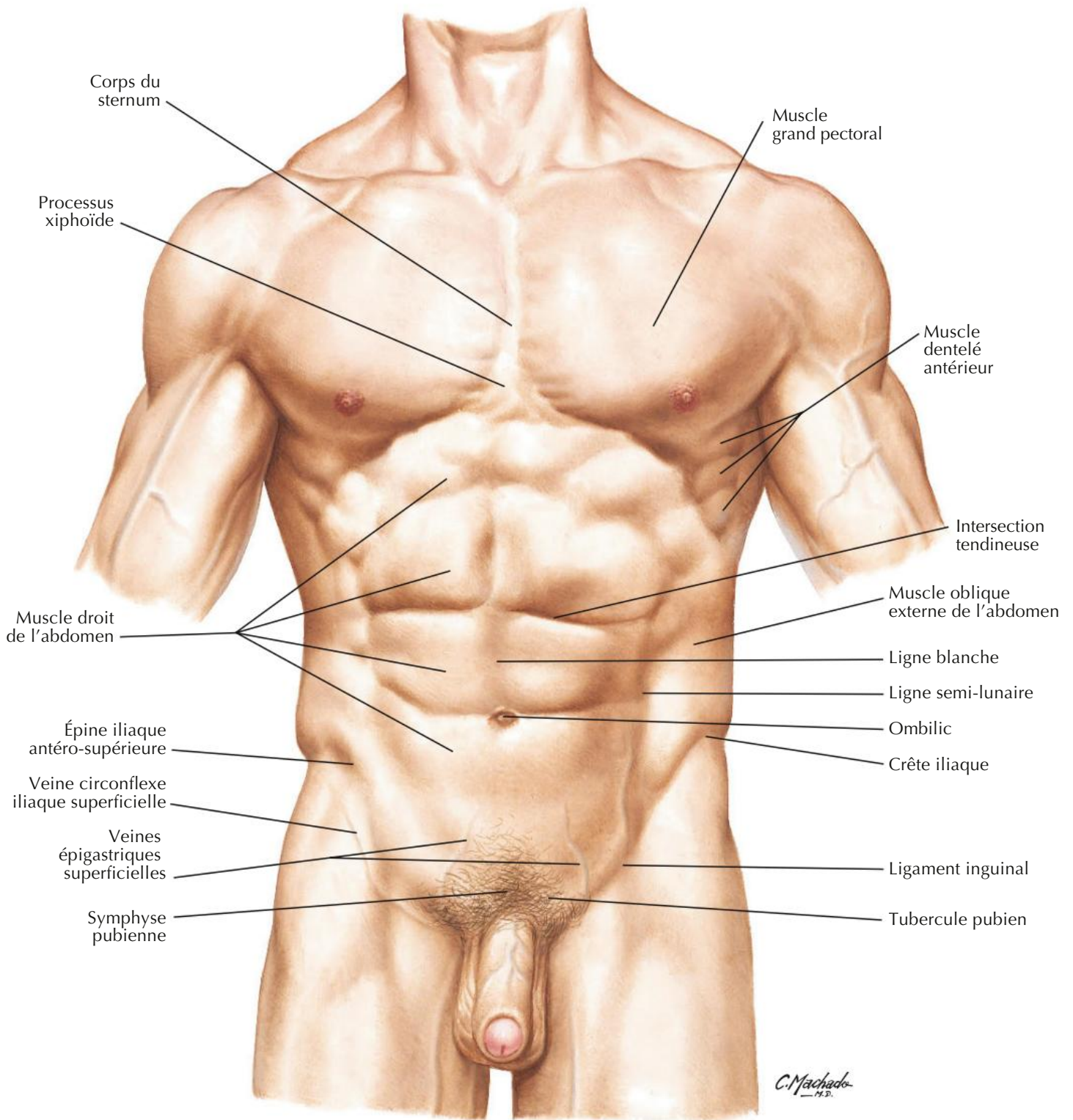
MUSCLE	GROUPE MUSCULAIRE	INSERTION PROXIMALE (ORIGINE)	INSERTION DISTALE (TERMINAISON)	INNERVATION	ACTIONS PRINCIPALES	VASCULARISATION ARTÉRIELLE
Diaphragme	Muscle de la paroi abdominale postérieure	Processus xiphoïde, six derniers cartilages costaux, vertèbres L1-L3, ligaments arqués	Convergence vers le centre tendineux	Nerf phrénique	Attire le centre tendineux vers le bas et l'avant pendant l'inspiration	Artères péricardiaco-phréniques, musculo-phréniques et phréniques supérieures et inférieures
Dentelé antérieur	Muscle de l'épaule	Face externe des 8 à 9 premières côtes	Face costale du bord médial (vertébral) de la scapula	Nerf thoracique long	Entraîne une protraction la scapula et la fixe contre la paroi thoracique	Artère thoracique latérale
Dentelé postéro-inférieur	Muscle intermédiaire du dos	Processus épineux des vertèbres T11-L2	Bord inférieur des côtes 9 à 12	Branche ventrale (ou nerfs intercostaux) des derniers nerfs thoraciques	Abaisse les côtes	Artères intercostales postérieures
Dentelé postéro-supérieur	Muscle intermédiaire du dos	Ligament nuel, processus épineux des vertèbres C7-T3	Bord supérieur des côtes 2 à 5	Branche ventrale (ou nerfs intercostaux) des derniers nerfs thoraciques	Élèvent les côtes	Artères intercostales postérieures
Élévateurs des côtes	Muscle de la paroi thoracique	Processus transverses des vertèbres C7 et T1-T11	Côte sous-jacente à l'insertion d'origine, entre tubercule et angle	Rameaux dorsaux des derniers nerfs thoraciques	Élèvent les côtes	Artères intercostales postérieures
Grand pectoral	Muscles pectoraux/ région axillaire	Moitié sternale de la clavicule, sternum jusqu'en regard du 7 ^e cartilage costal, cartilages costaux des vraies côtes, aponévrose du muscle oblique externe	Lèvre latérale (crête du tubercule majeur) du sillon intertuberculaire de l'humérus	Nerfs pectoraux médial et latéral	Adducteur et fléchisseur du bras, rotateur médial du bras	Branche pectorale de l'artère thoraco-acromiale, branches perforantes de l'artère thoracique interne
Intercostal externe	Muscle de la paroi thoracique	Bord inférieur des côtes	Bord supérieur de la côte sous-jacente à la côte d'origine	Nerfs intercostaux	Solidarise les côtes et maintient et stabilise les espaces intercostaux lors de l'inspiration et de l'expiration, élève les côtes lors de l'inspiration	Artères intercostales postérieures, branches collatérales des artères intercostales postérieures, tronc costo-cervical, branches intercostales antérieures de l'artère thoracique interne, artère musculo-phrénique
Intercostal intime	Muscle de la paroi thoracique	Bord inférieur des côtes	Bord supérieur de la côte sous-jacente à la côte d'origine	Nerfs intercostaux	Élève les côtes	Branches musculaires des artères intercostales antérieures, branches musculaires des artères intercostales postérieures, branches intercostales des artères thoracique interne et musculo-phrénique, branches du tronc costo-cervical
Intercostal interne	Muscle de la paroi thoracique	Bord supérieur des côtes	Cartilage costal et extrémité du sillon costal de la côte sous-jacente à la côte d'origine	Nerfs intercostaux	S'oppose aux déplacements vers l'intérieur ou vers l'extérieur des espaces intercostaux pendant l'inspiration et l'expiration, abaisse les côtes à l'expiration forcée	Branches musculaires des artères intercostales antérieures, branches musculaires des artères intercostales postérieures, branches intercostales des artères thoracique interne et musculo-phrénique, branches du tronc costo-cervical
Petit pectoral	Muscles pectoraux/ région axillaire	Face externe des bords supérieurs des côtes 3 à 5	Processus coracoïde de la scapula	Nerf pectoral médial	Abaisse l'angle latéral de la scapula, attire l'épaule vers l'avant (protraction)	Branche pectorale de l'artère thoraco-acromiale, branches intercostales de l'artère thoracique latérale
Subcostaux	Muscle de la paroi thoracique	Face interne des dernières côtes proches de leur angle	Bord supérieur de la deuxième ou troisième côte sous-jacente	Nerfs intercostaux du 2 ^e au 5 ^e	Abaissent les côtes	Artères intercostales postérieures, artère musculo-phrénique
Transverse du thorax	Muscle de la paroi thoracique	Face interne des cartilages costaux 2-6	Face postérieure de la partie inférieure du sternum	Nerfs intercostaux	Abaisse les côtes et les cartilages costaux	Artères intercostales antérieures, artère thoracique interne

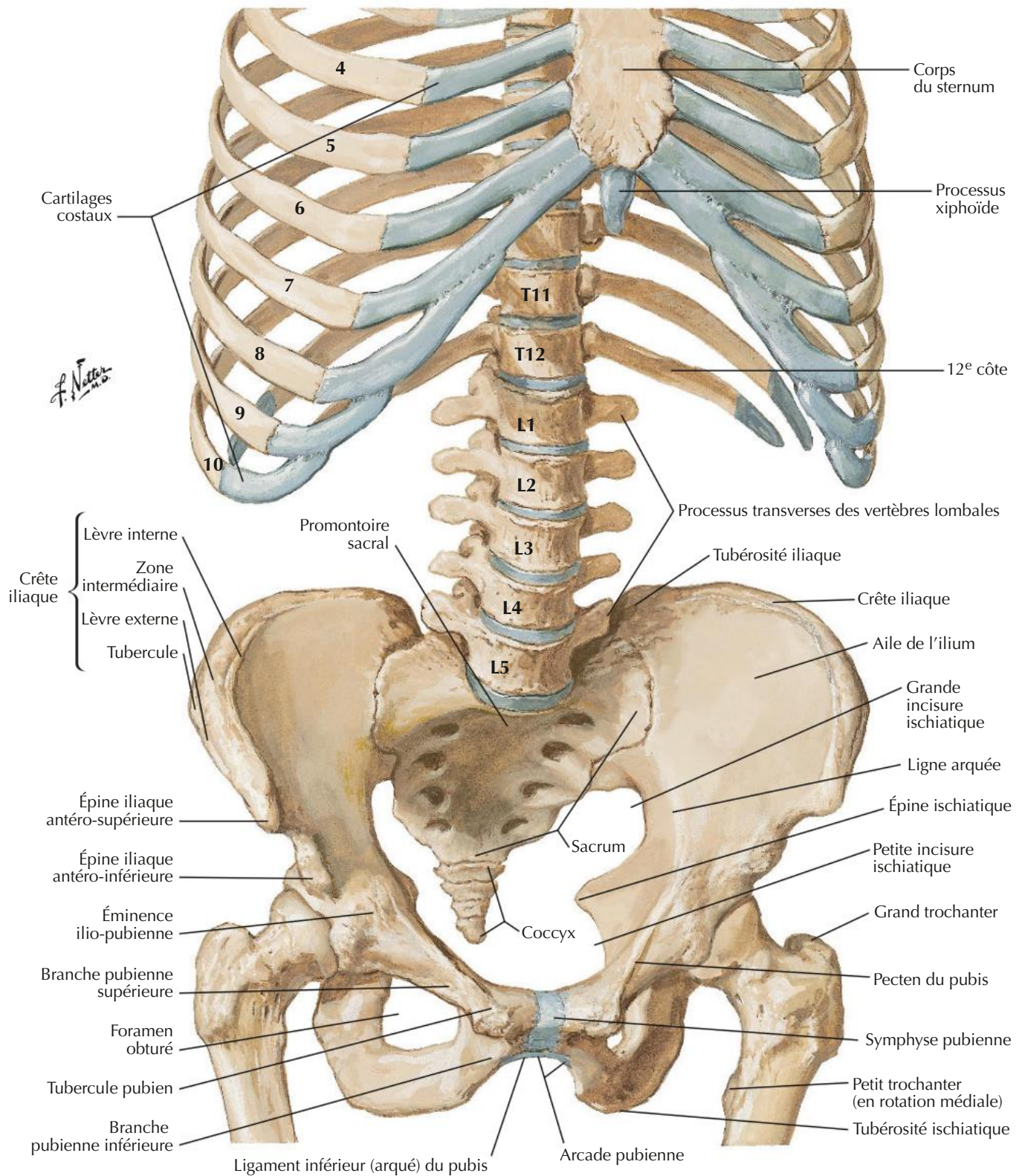
Des variations dans les contributions des nerfs spinaux dans l'innervation des muscles, dans la vascularisation artérielle des muscles, dans leurs insertions et leurs actions sont des événements fréquents dans l'anatomie humaine. Ainsi, il peut exister des différences entre les textes de différents ouvrages : considérez que les variations anatomiques sont normales.

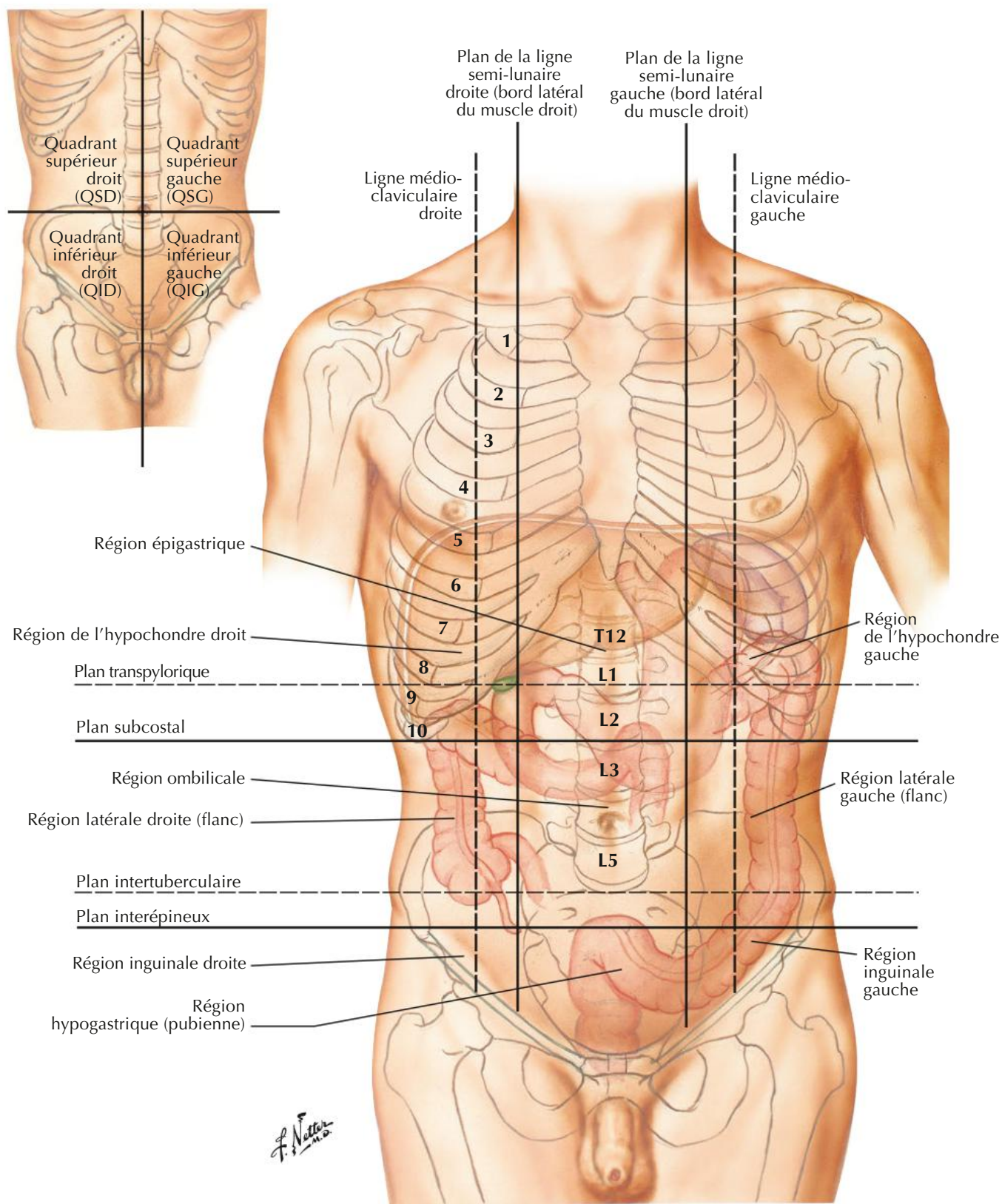
ABDOMEN

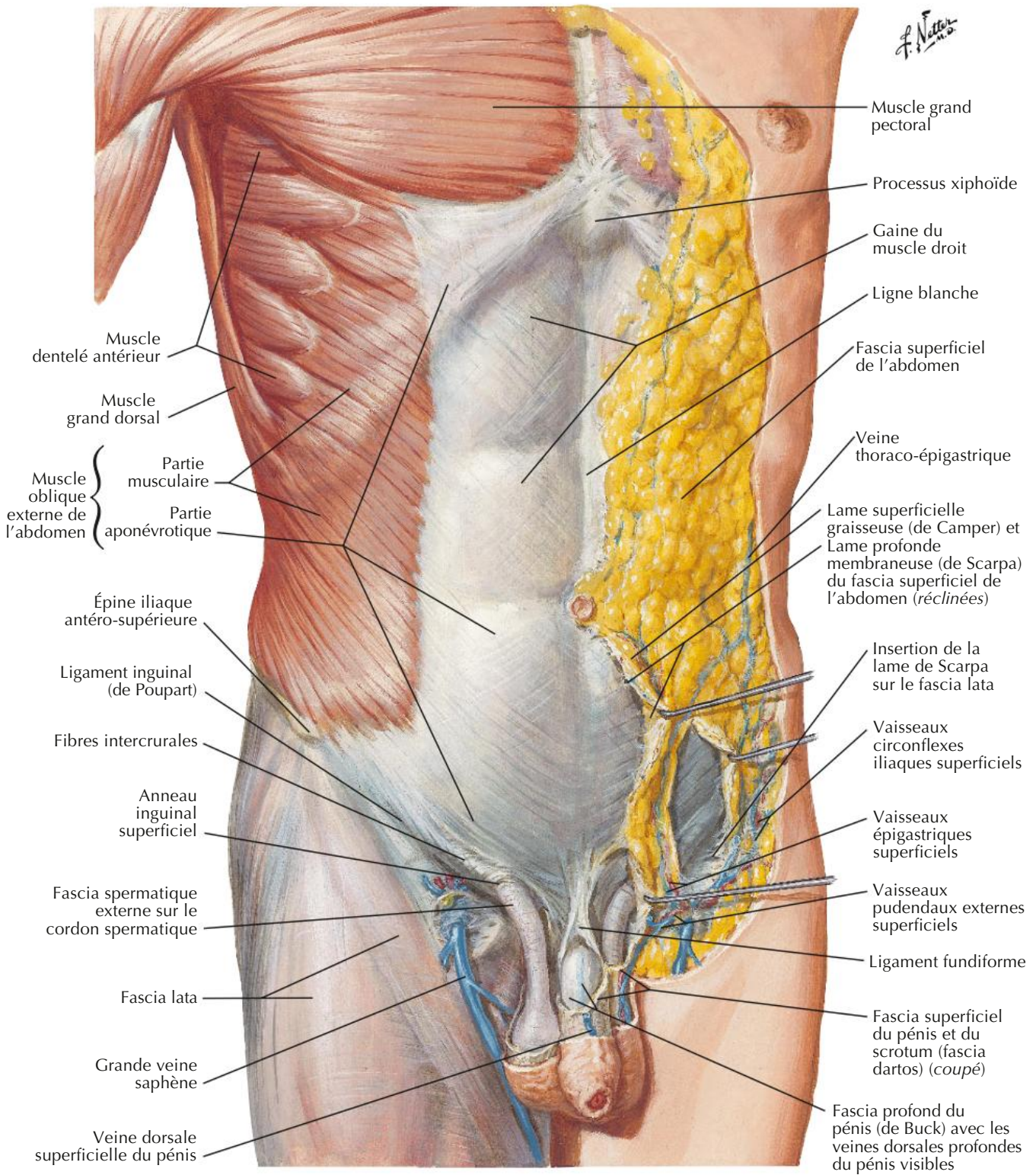
5

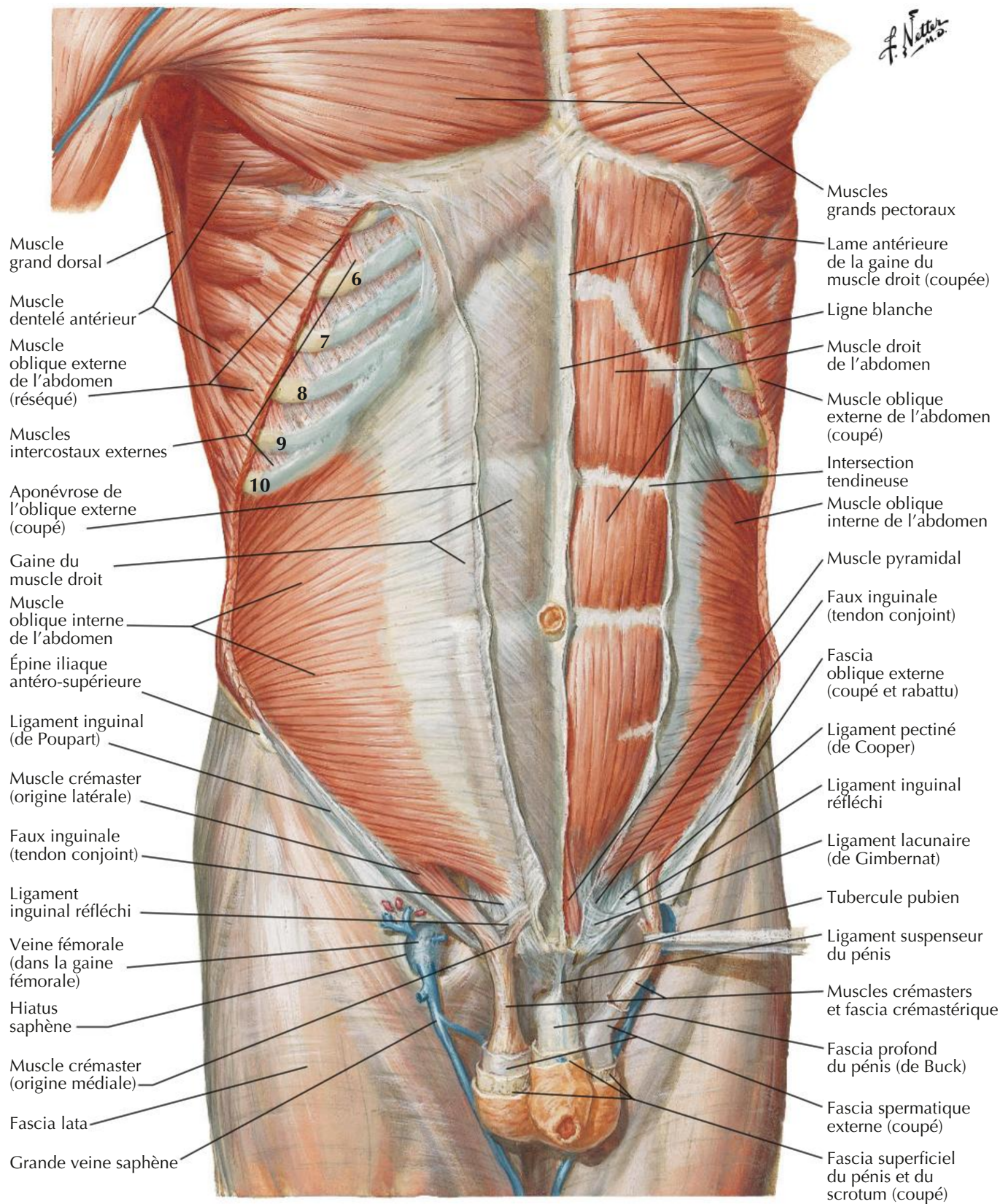
Anatomie de surface	249	Reins et glandes surrénales	311-324
Paroi du corps	250-269	Lymphatiques	325
Cavité péritonéale	270-275	Coupes et imagerie	326-332
Viscères (intestin)	276-283	Structures de grande*	
Viscères (organes accessoires)	284-289	importance clinique	Tableaux 5.1-5.2
Vascularisation viscérale	290-299	Muscles	Tableau 5.3
Innervation	300-310		

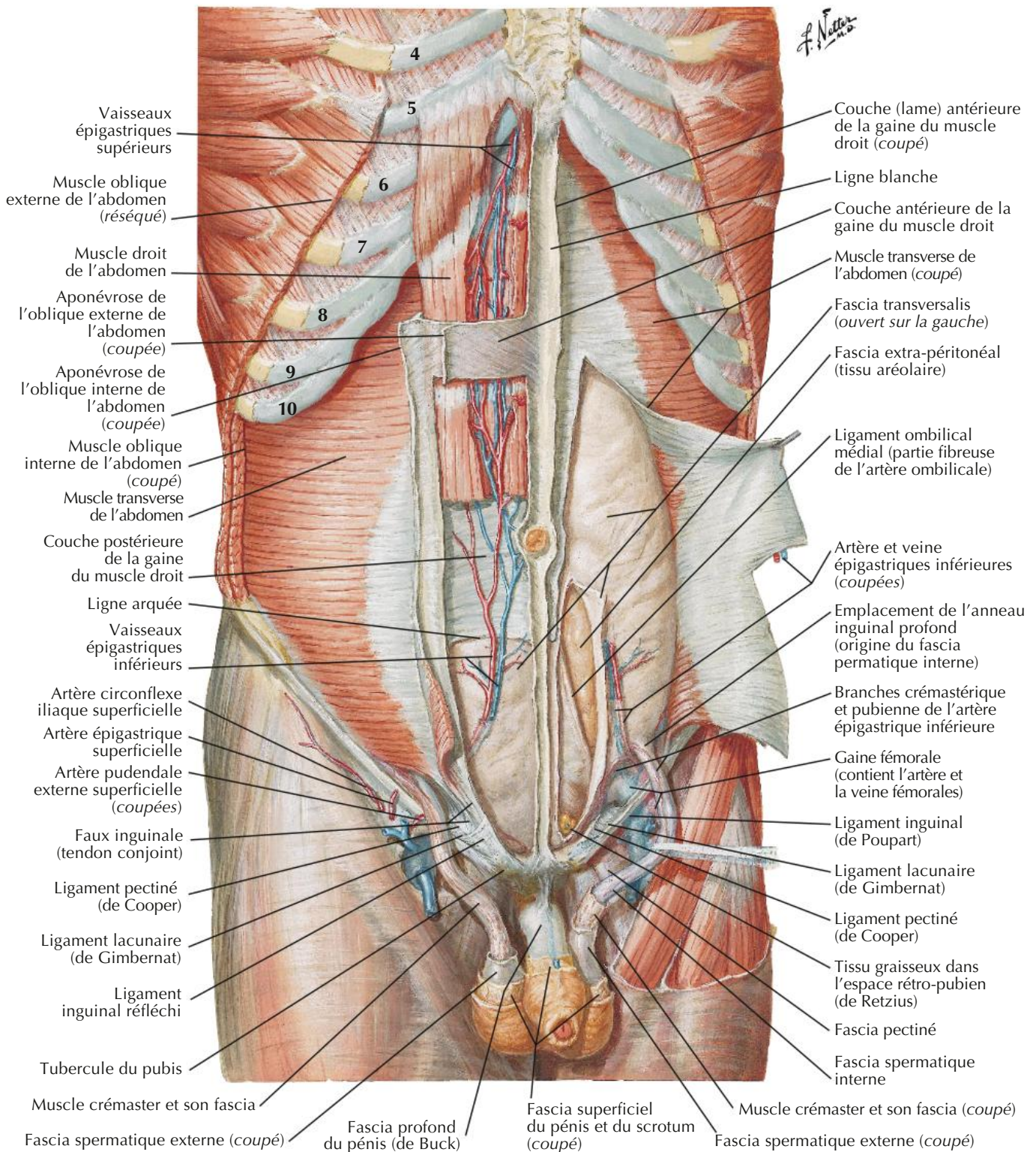




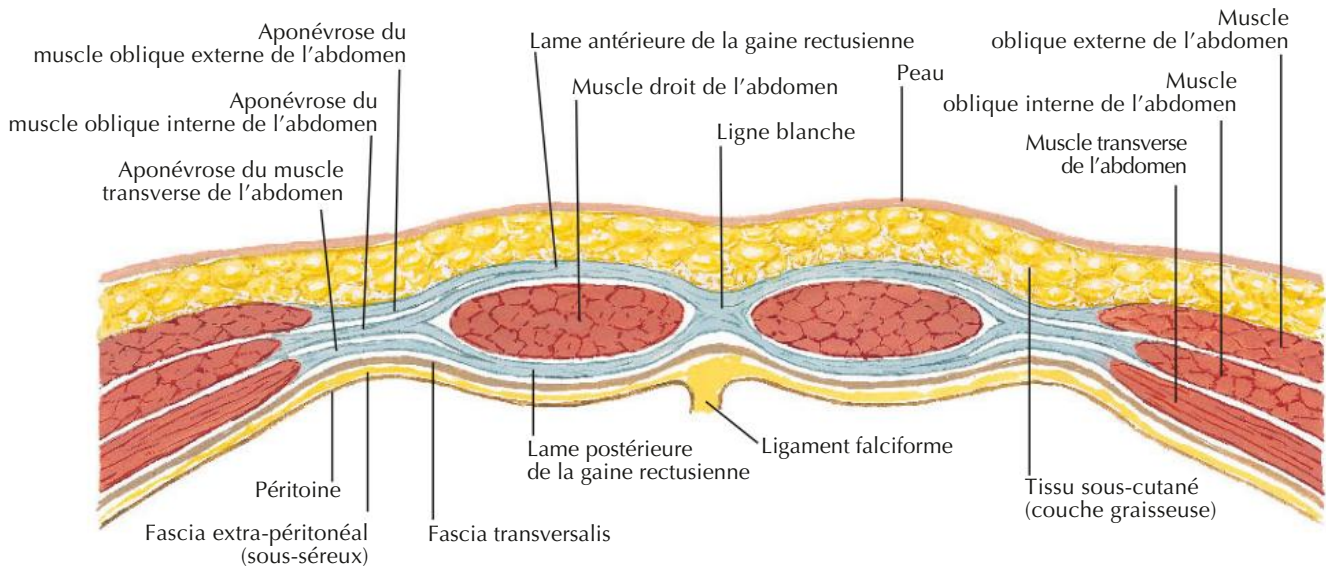






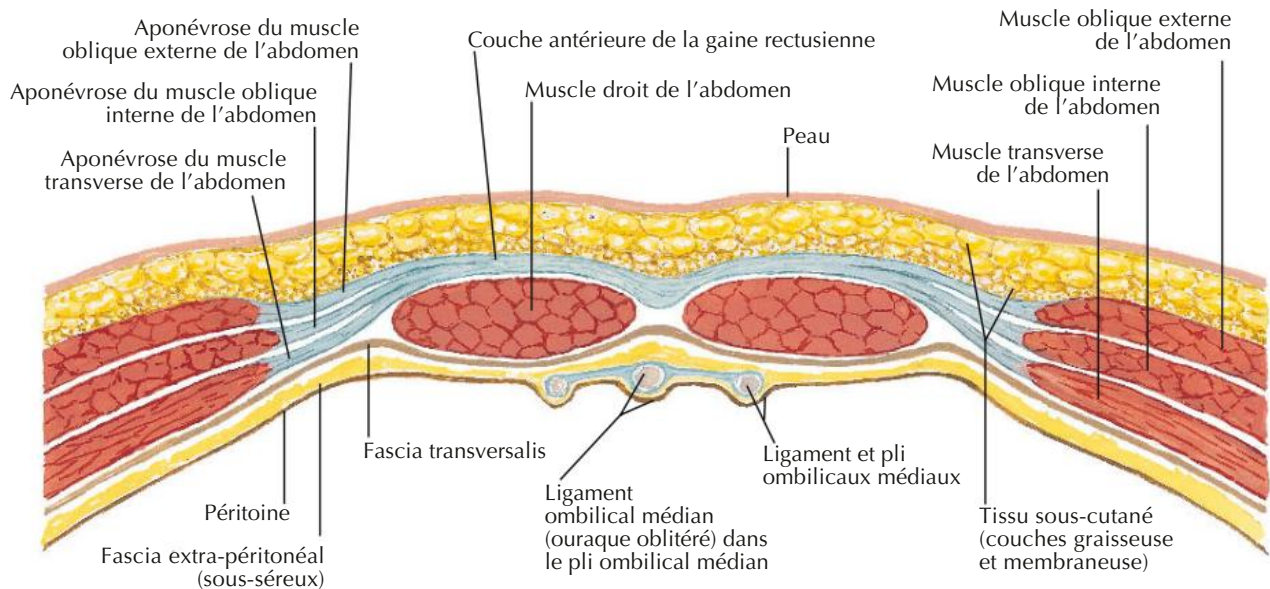


Coupe au-dessus de la ligne arquée



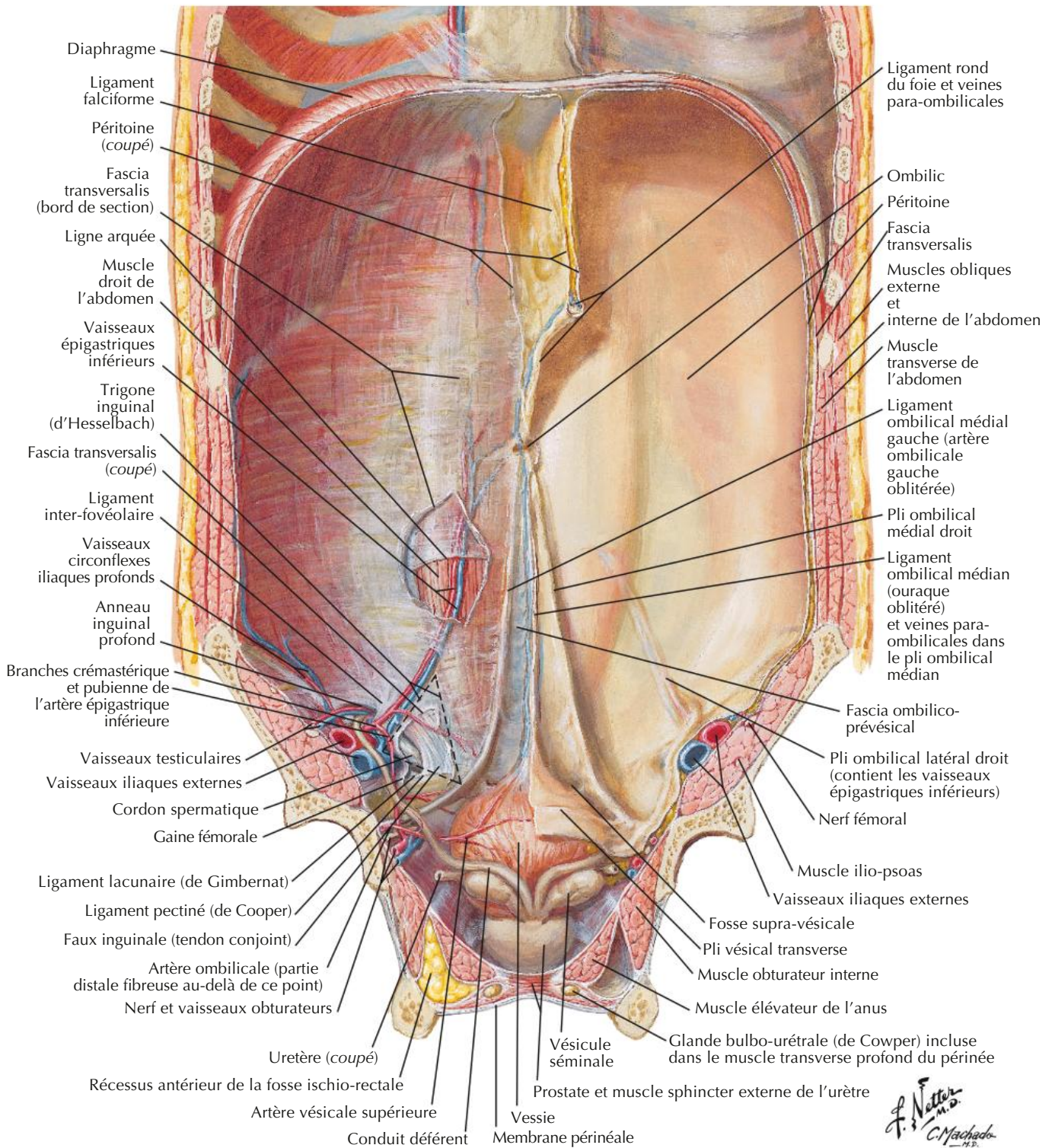
L'aponévrose du muscle oblique interne de l'abdomen se dédouble pour former les lames antérieure et postérieure de la gaine rectusienne. L'aponévrose du muscle oblique externe de l'abdomen adhère à la lame antérieure de la gaine rectusienne ; l'aponévrose du muscle transverse de l'abdomen adhère à la lame postérieure des lames antérieure et postérieure de la gaine rectusienne qui s'unissent médialement pour former la ligne blanche.

Coupe sous la ligne arquée

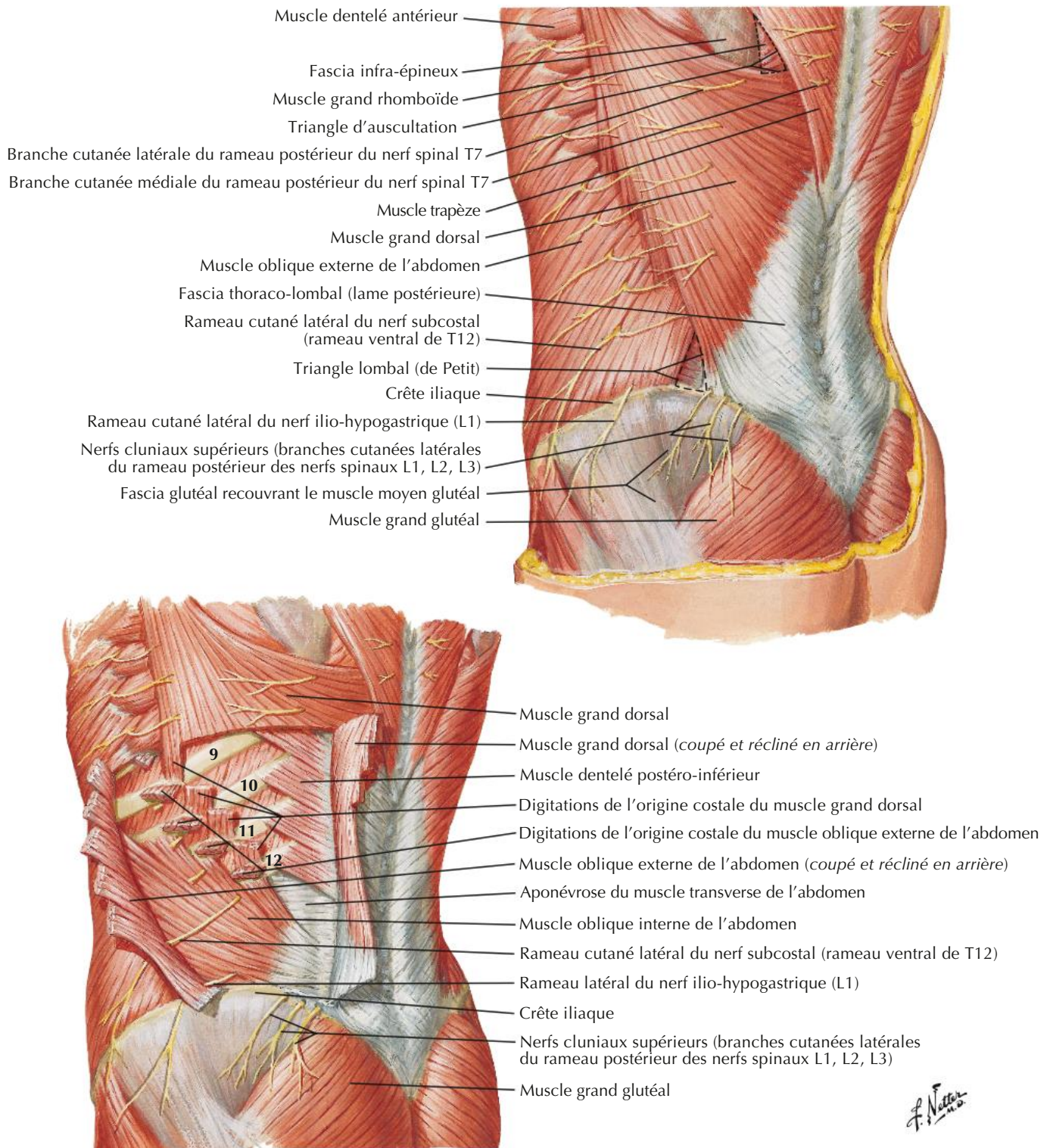


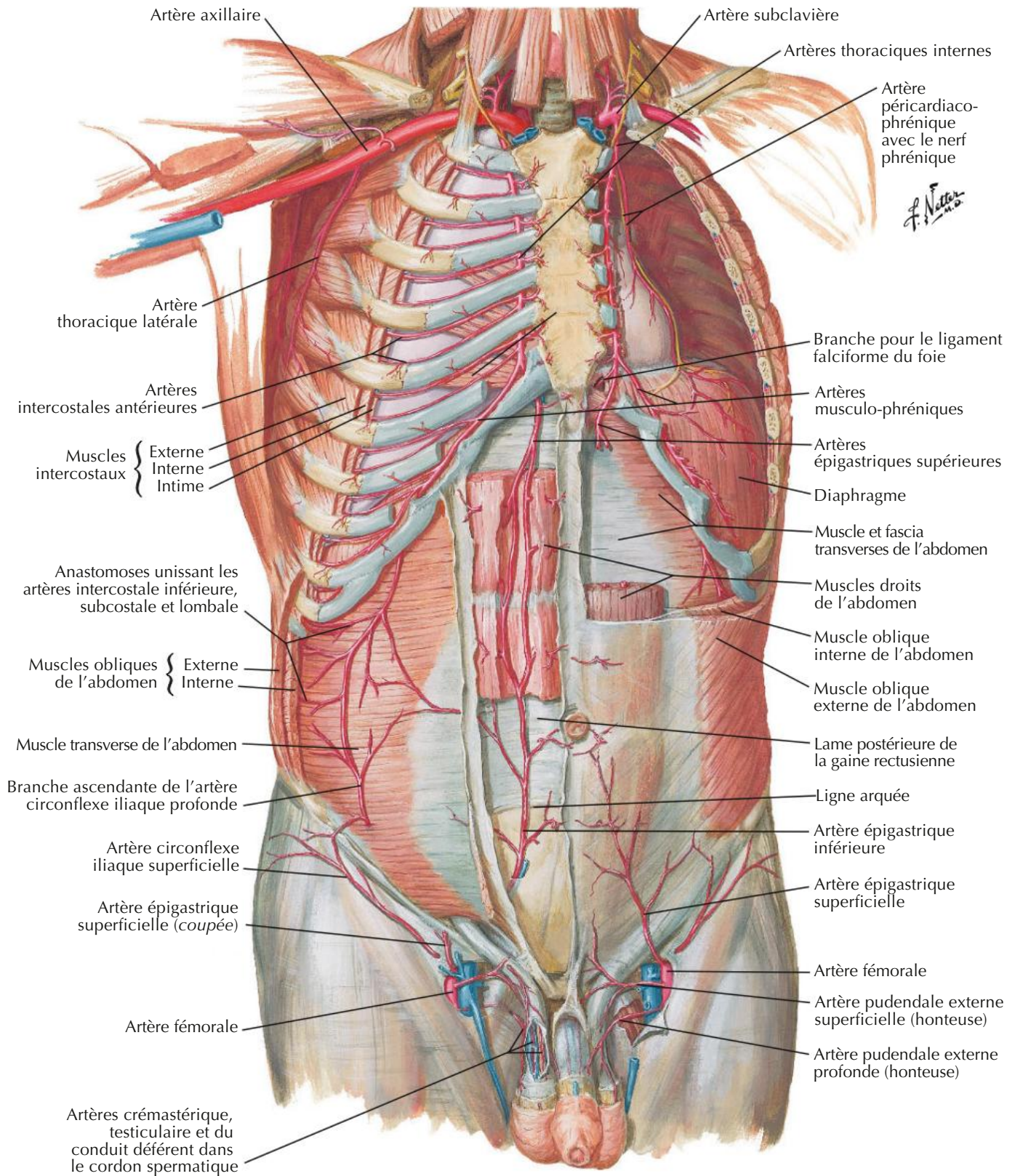
L'aponévrose du muscle oblique interne de l'abdomen ne se dédouble pas à ce niveau, mais passe complètement en avant du muscle droit de l'abdomen et s'accôle ici aux aponévroses des muscles oblique externe de l'abdomen et transverse de l'abdomen ; ainsi, la lame postérieure de la gaine rectusienne est absente sous la ligne arquée et le muscle droit de l'abdomen est recouvert du fascia transversalis.

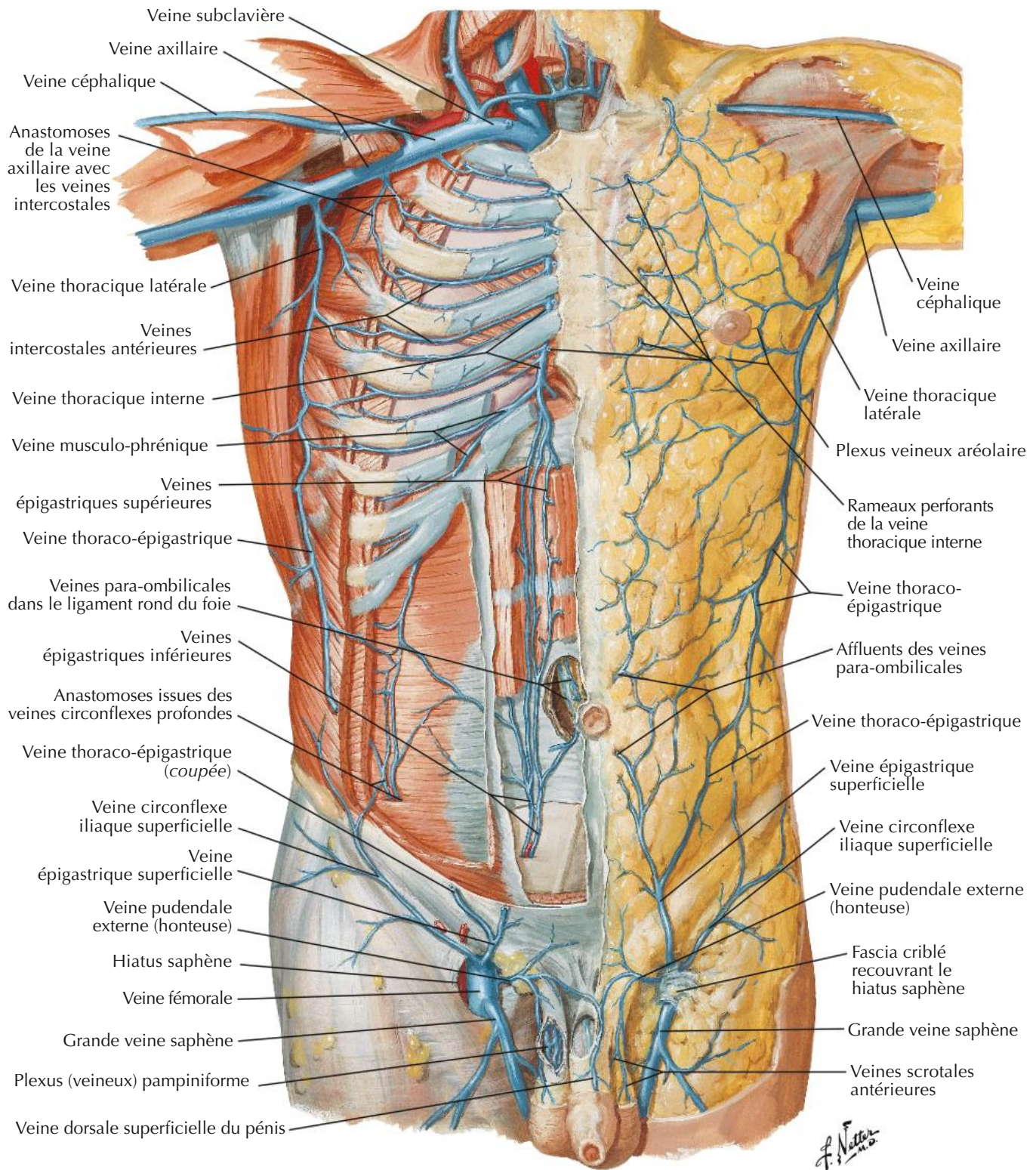
F. Netter M.D.



F. Netter M.D.
C. Machado

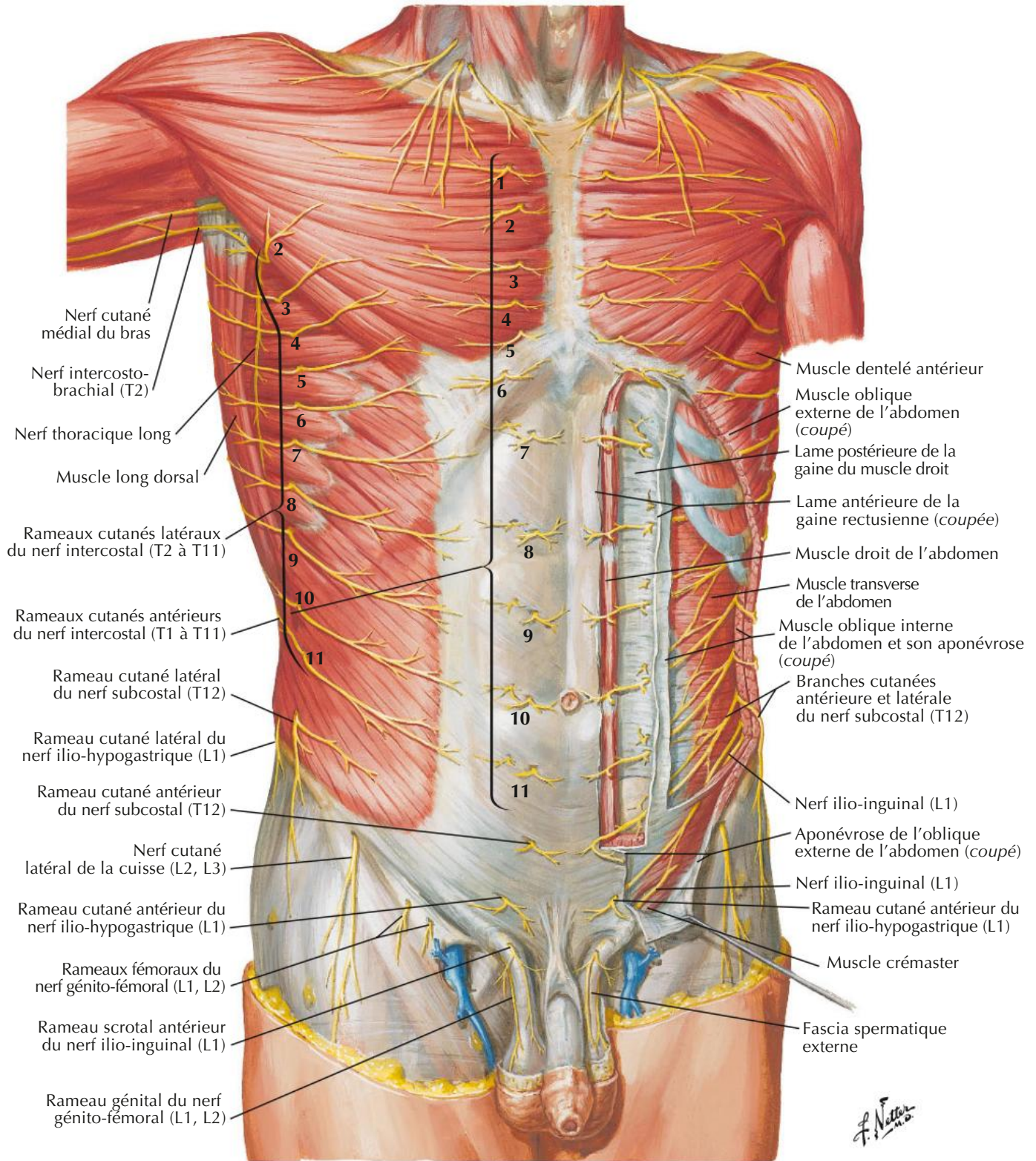


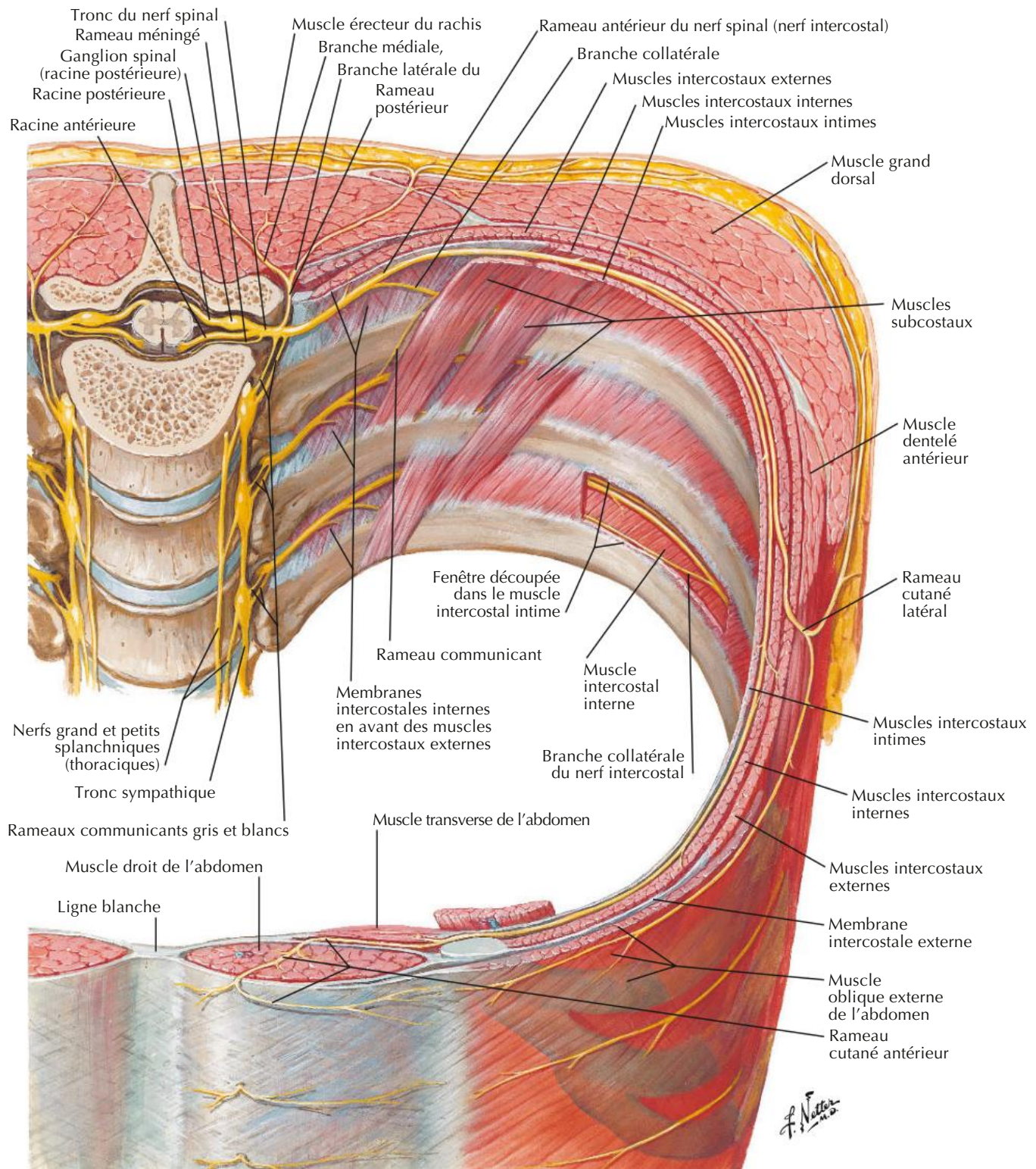




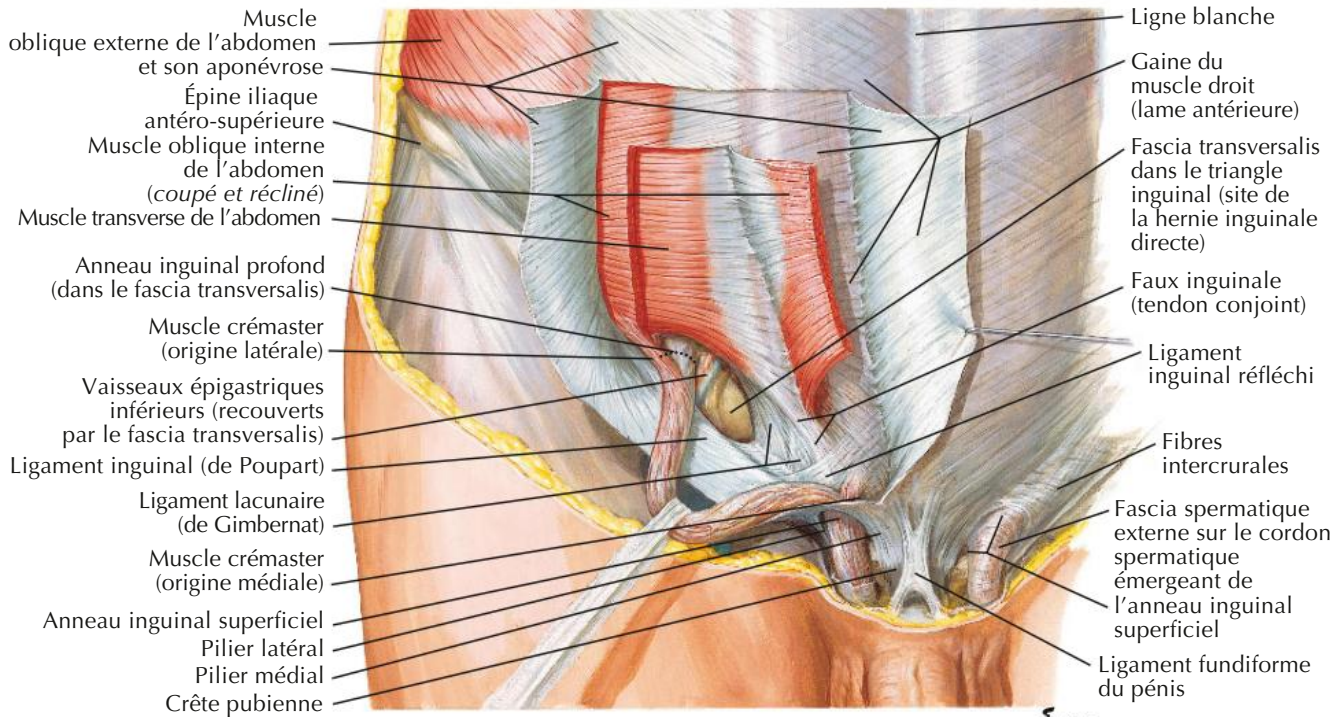
Nerfs de la paroi abdominale antérieure

Voir aussi Planches 186, 194, 261

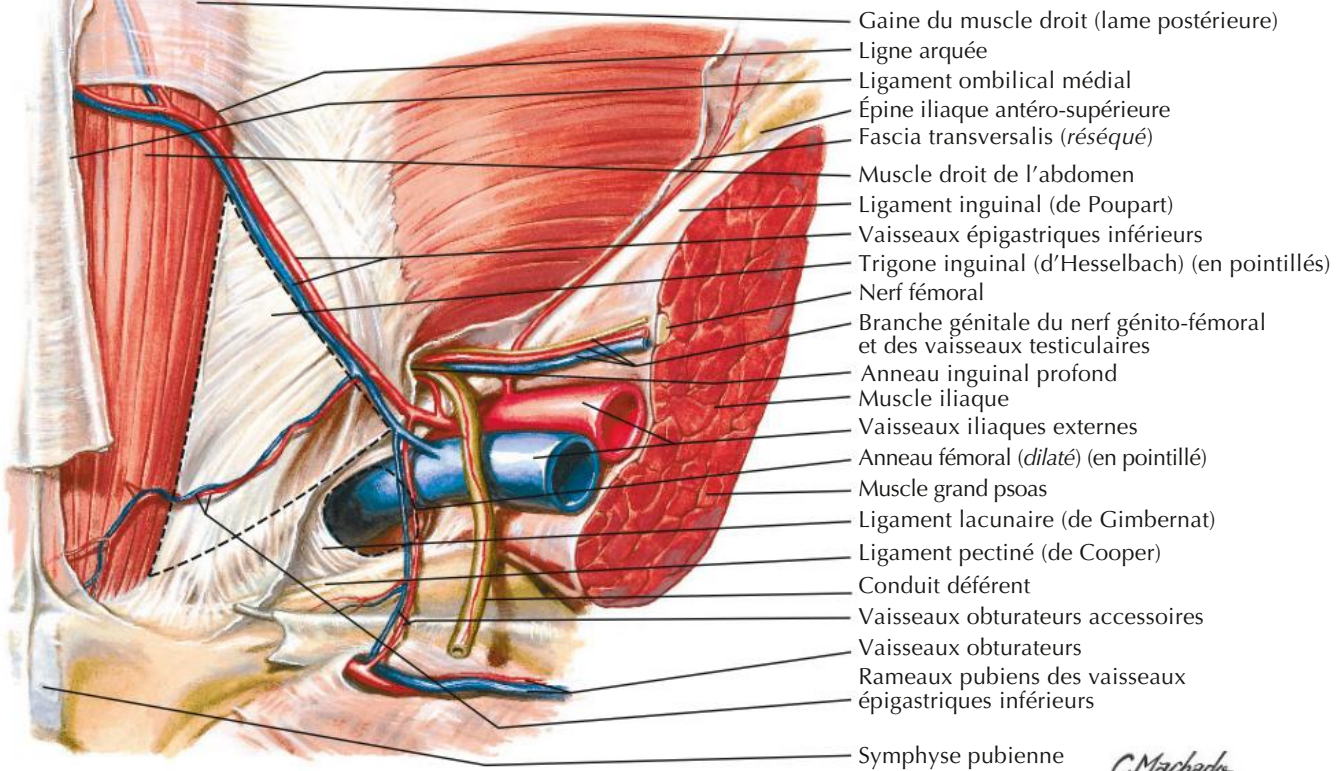




Vue antérieure

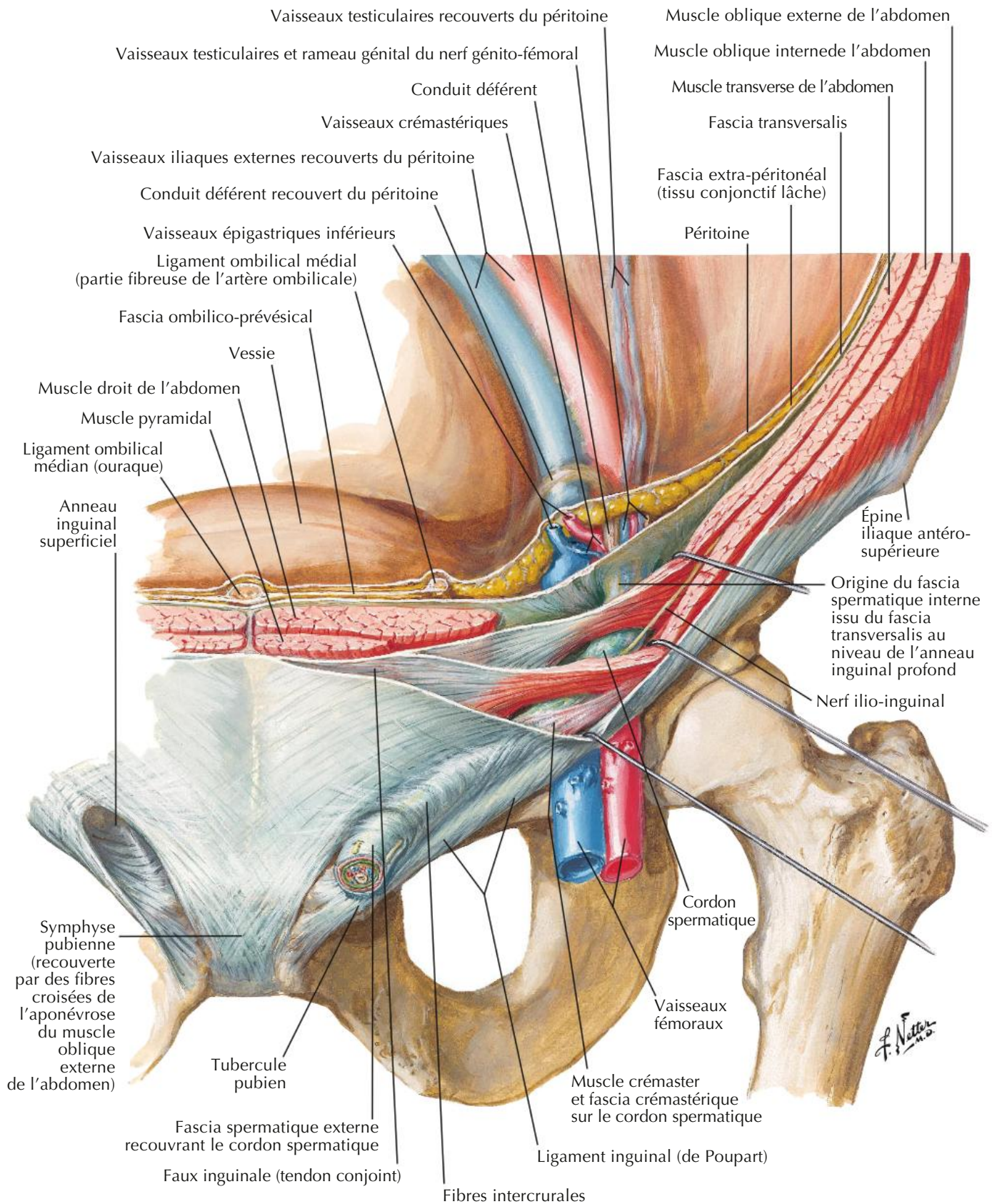


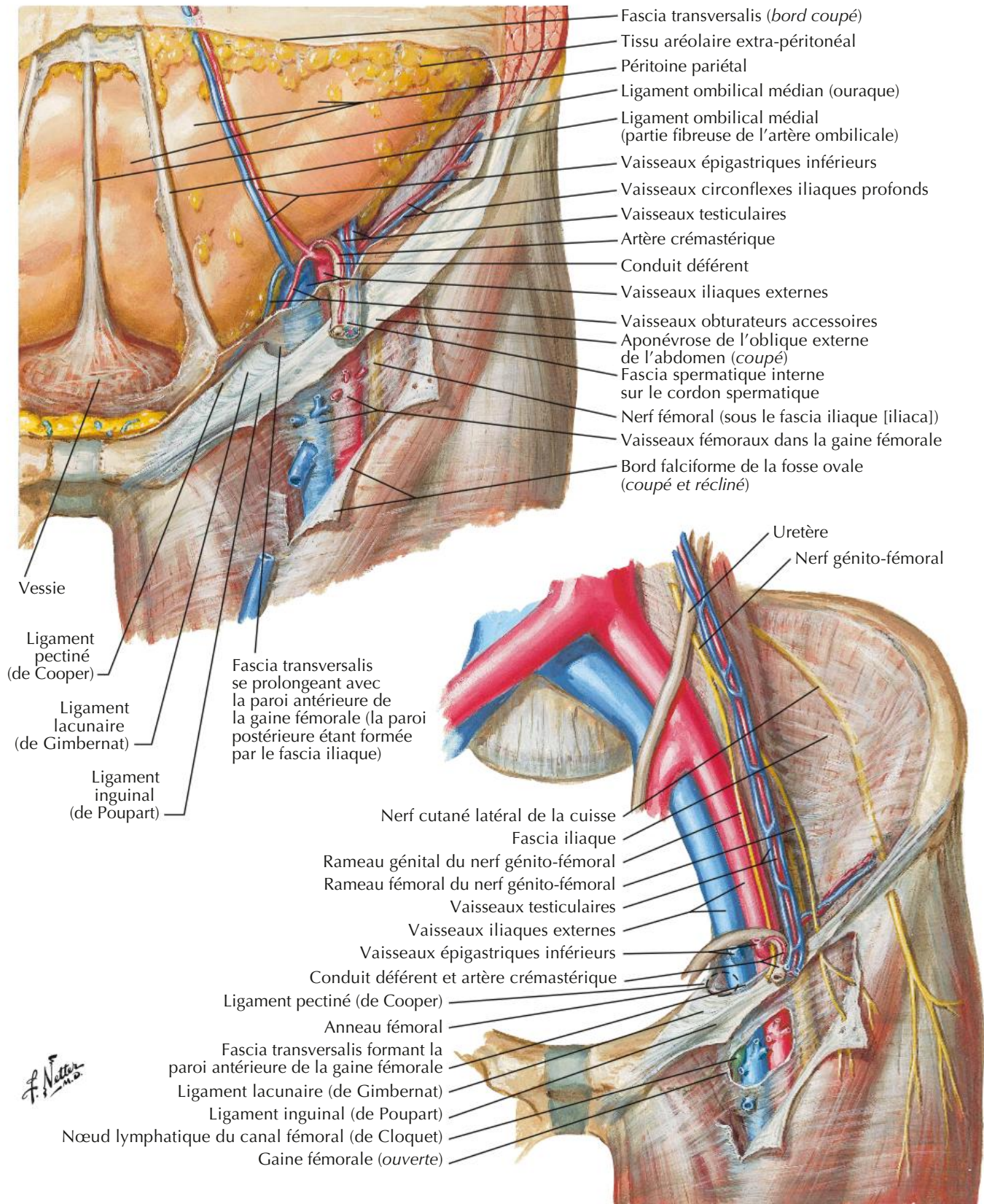
Vue postérieure (face interne)

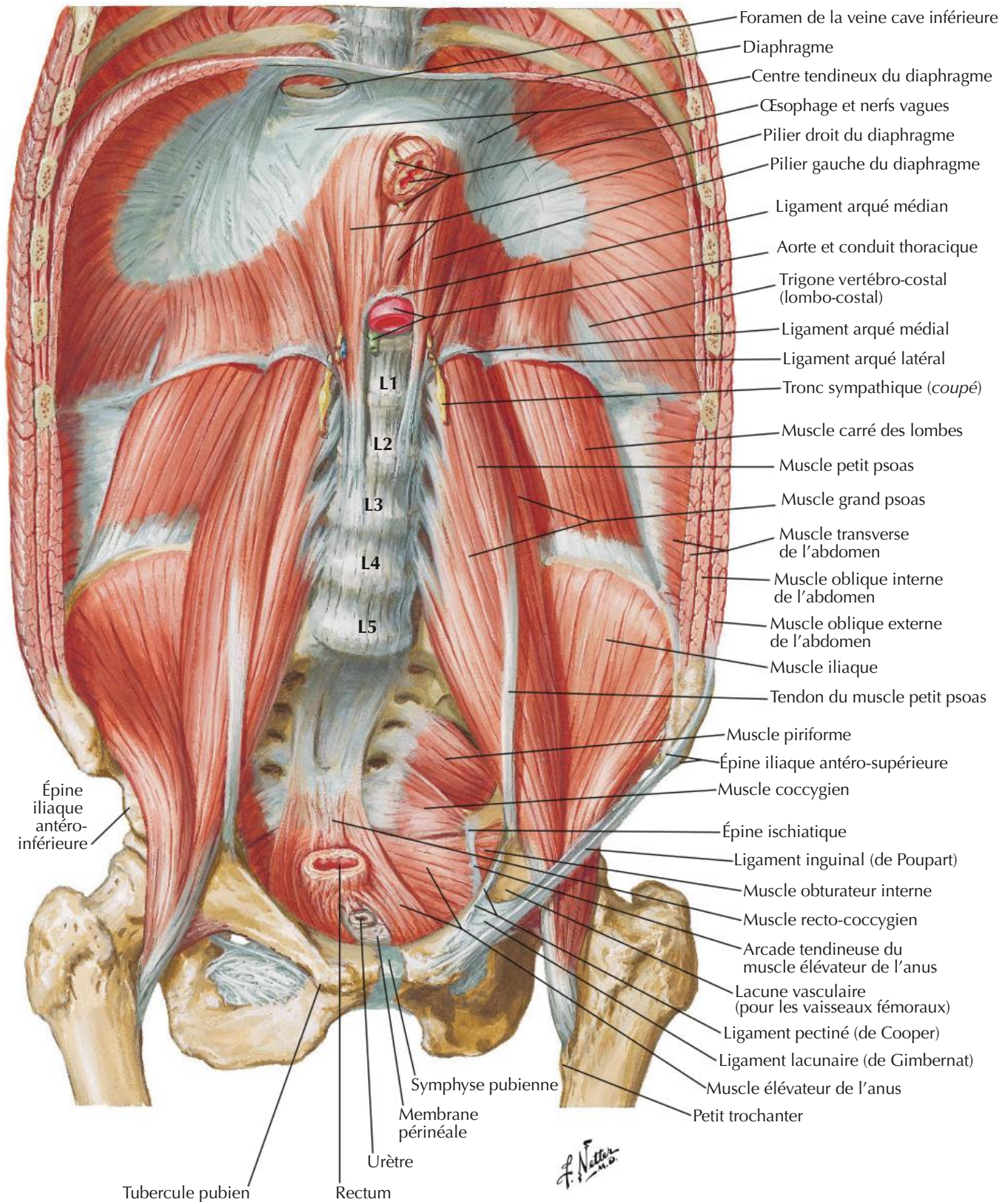


Triangle d'Hesselbach par Carlos Machado d'après Frank Netter

C. Machado M.D.

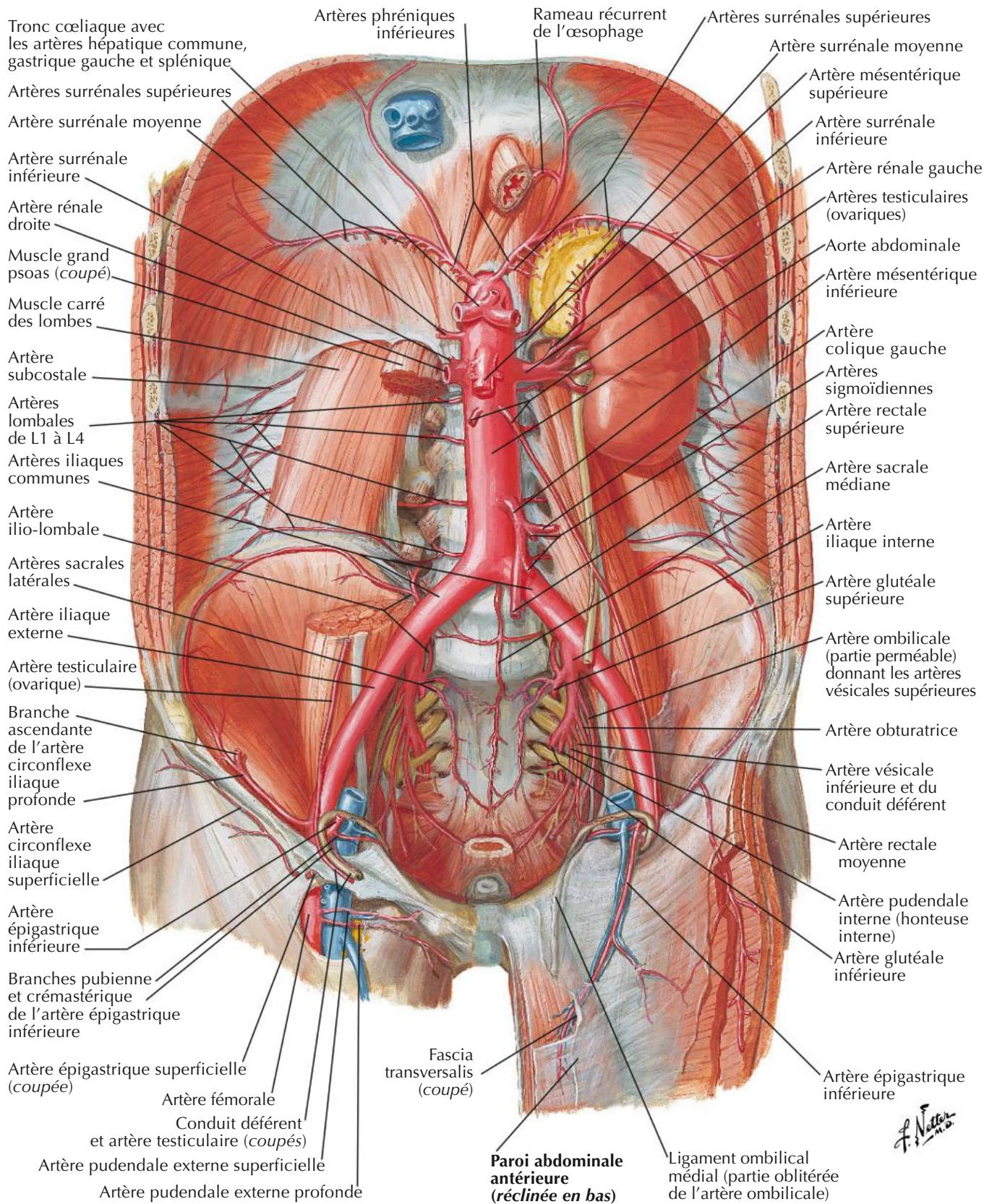


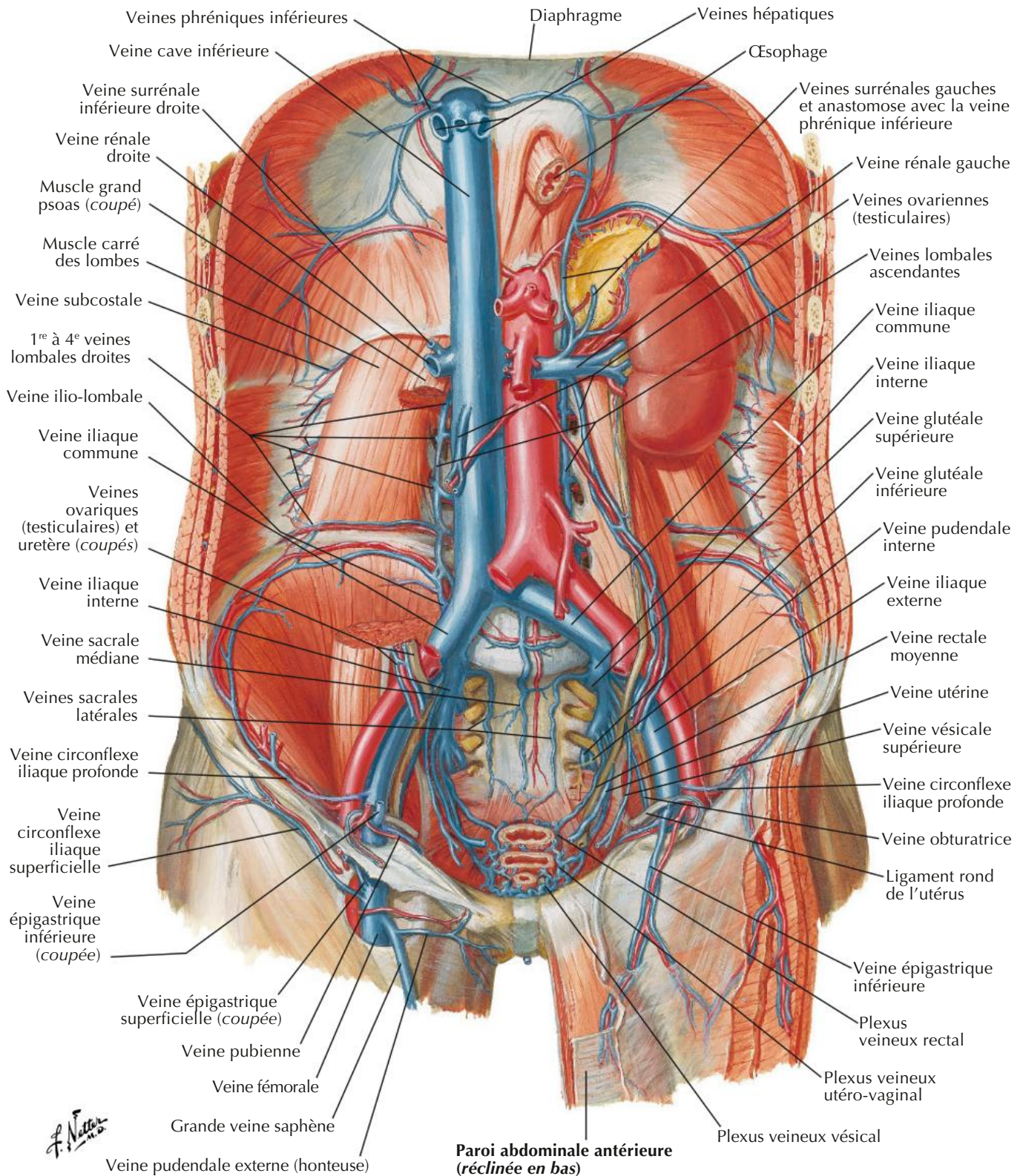


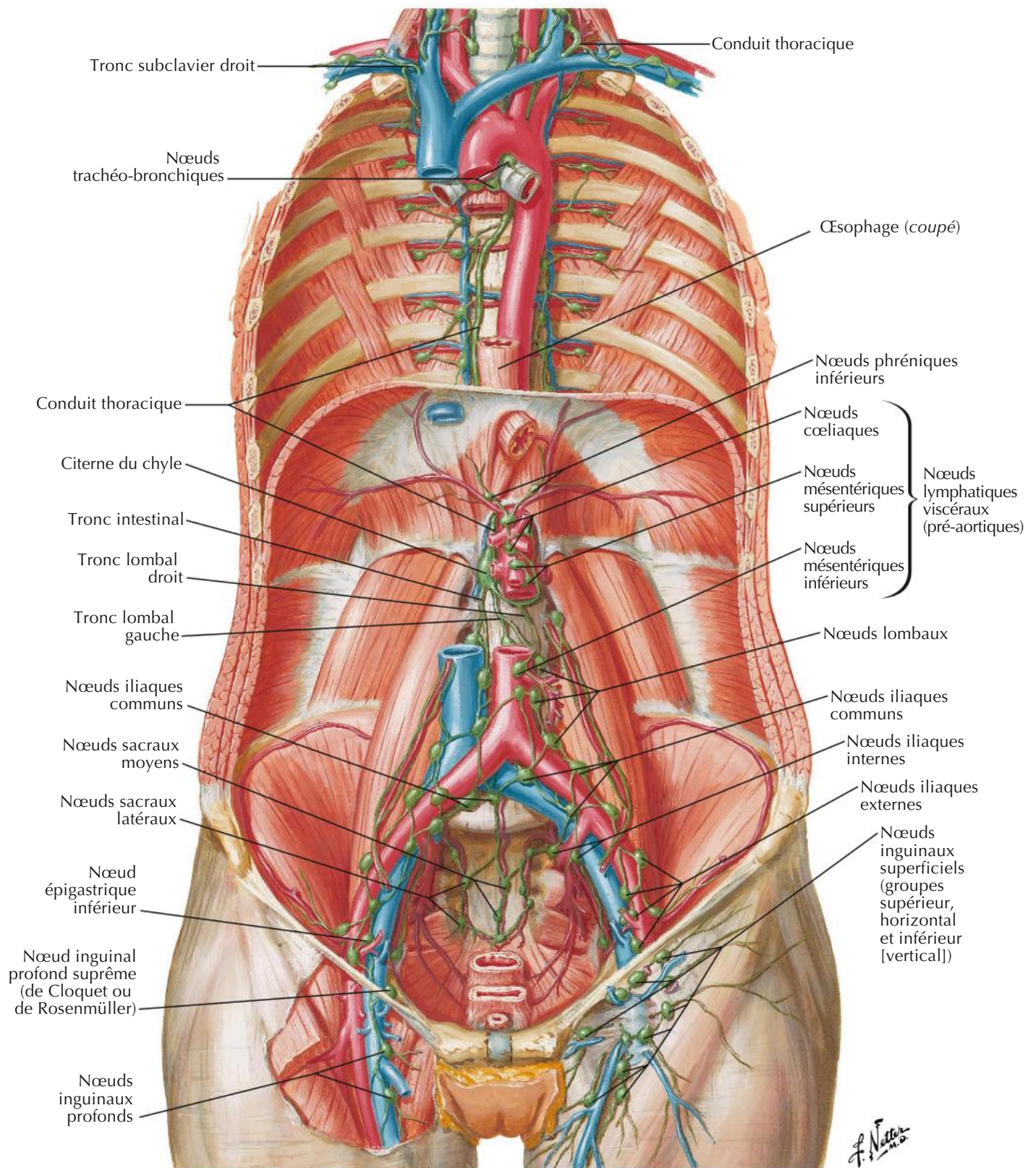


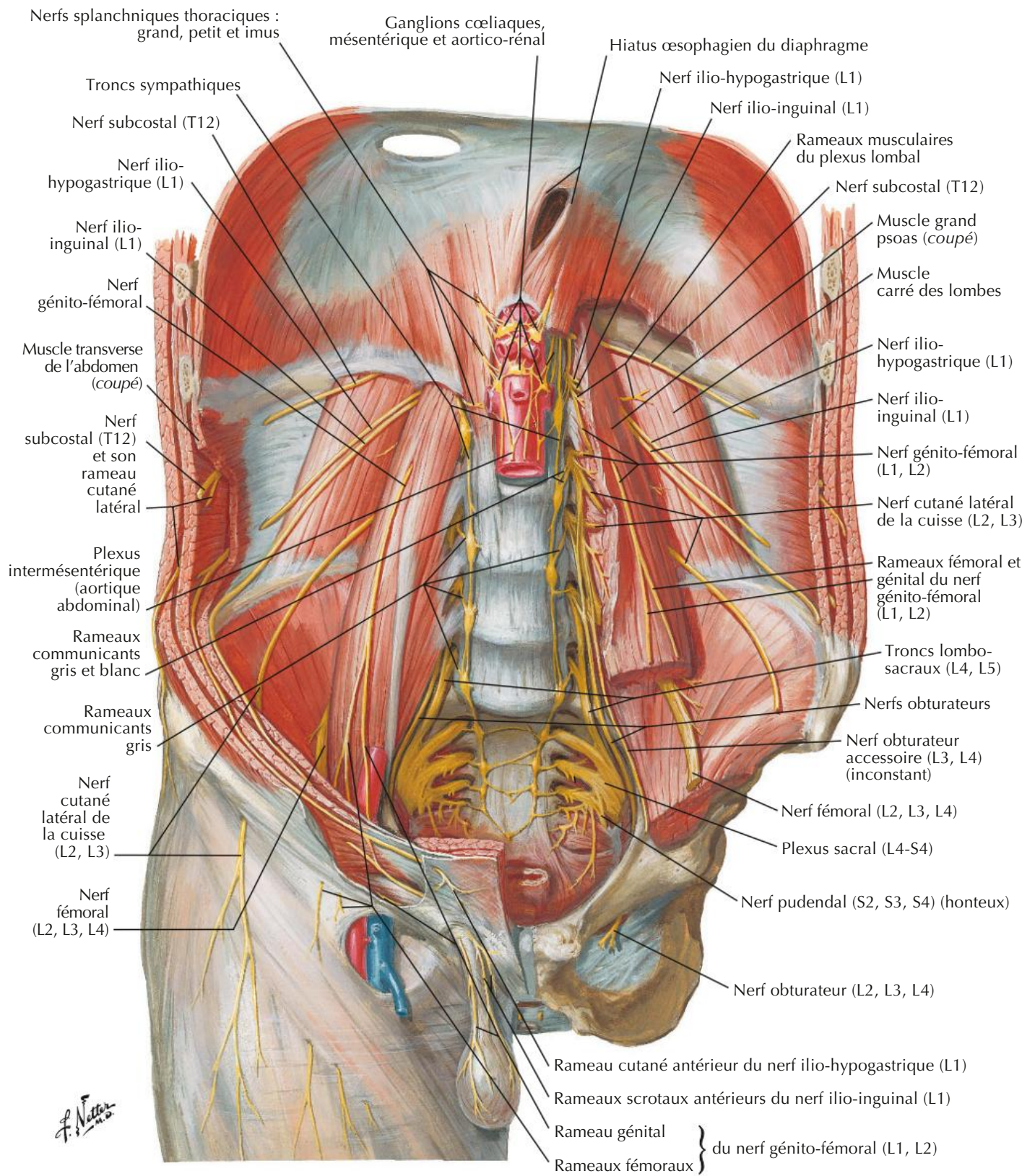
Arteres de la paroi abdominale postérieure

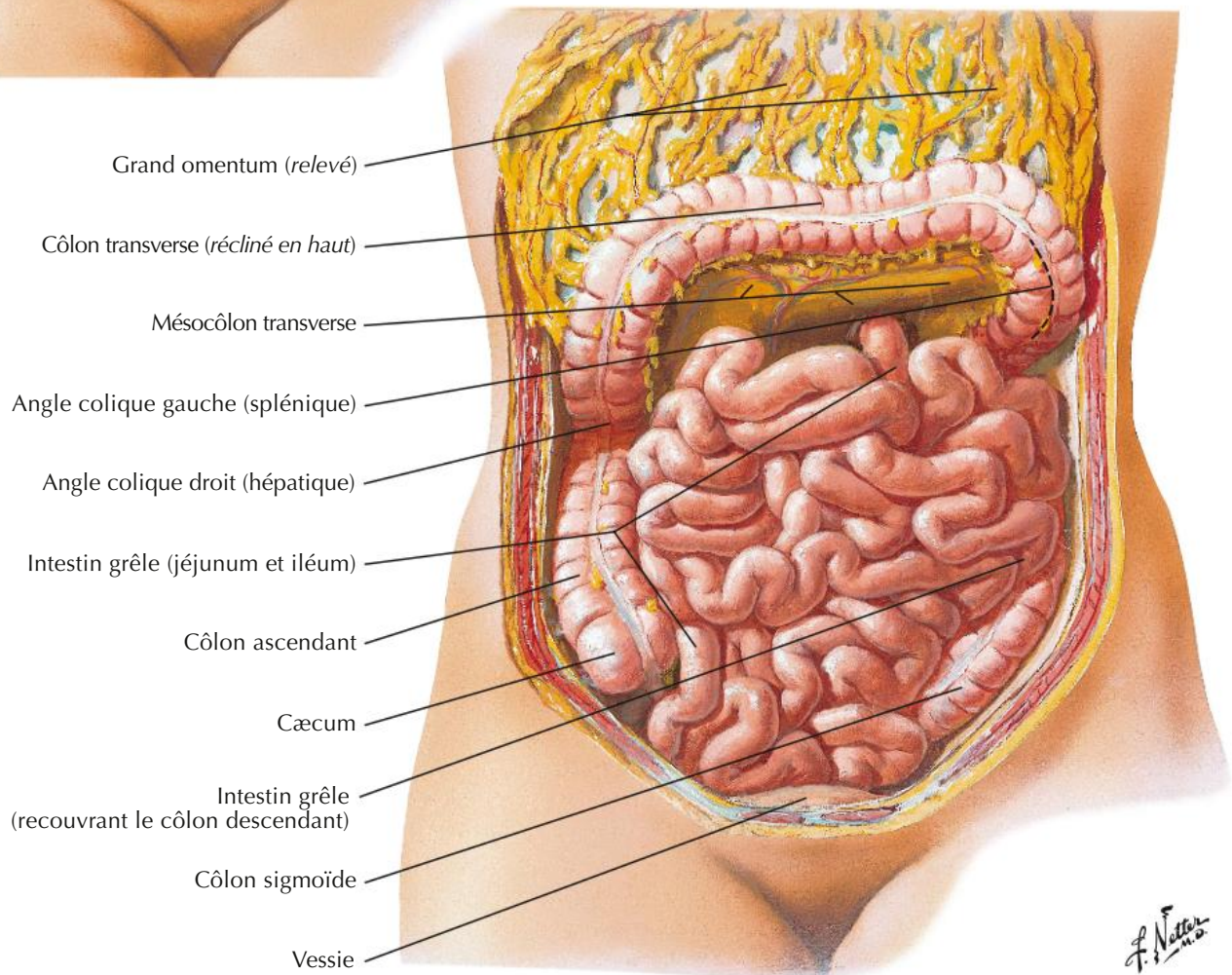
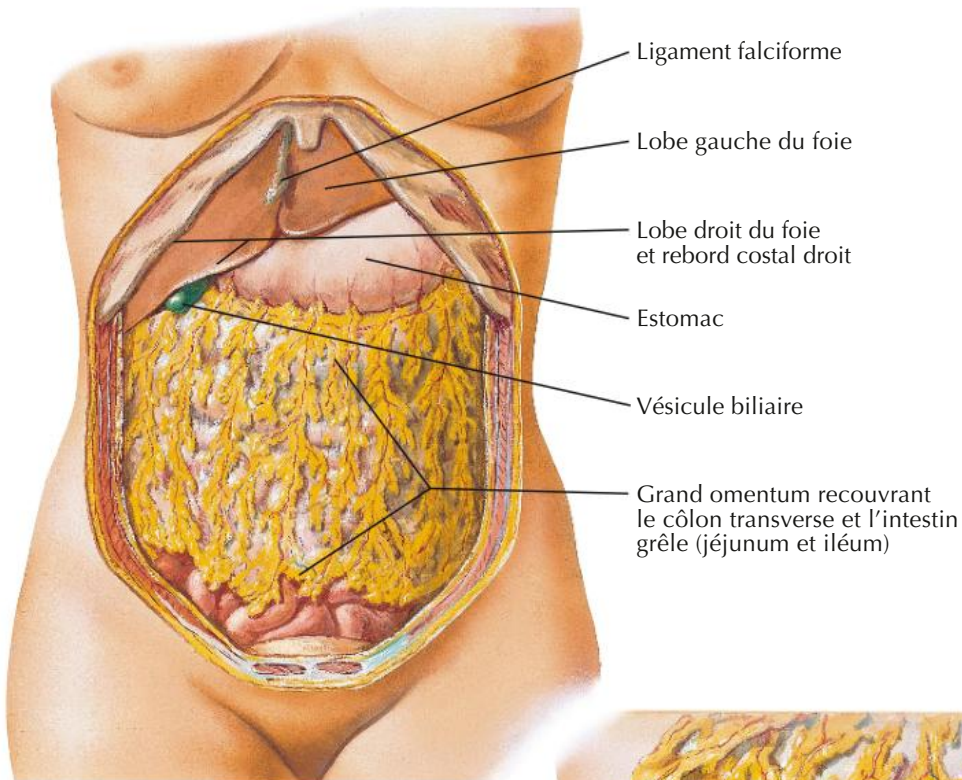
Voir aussi Planches 201, 383, 384

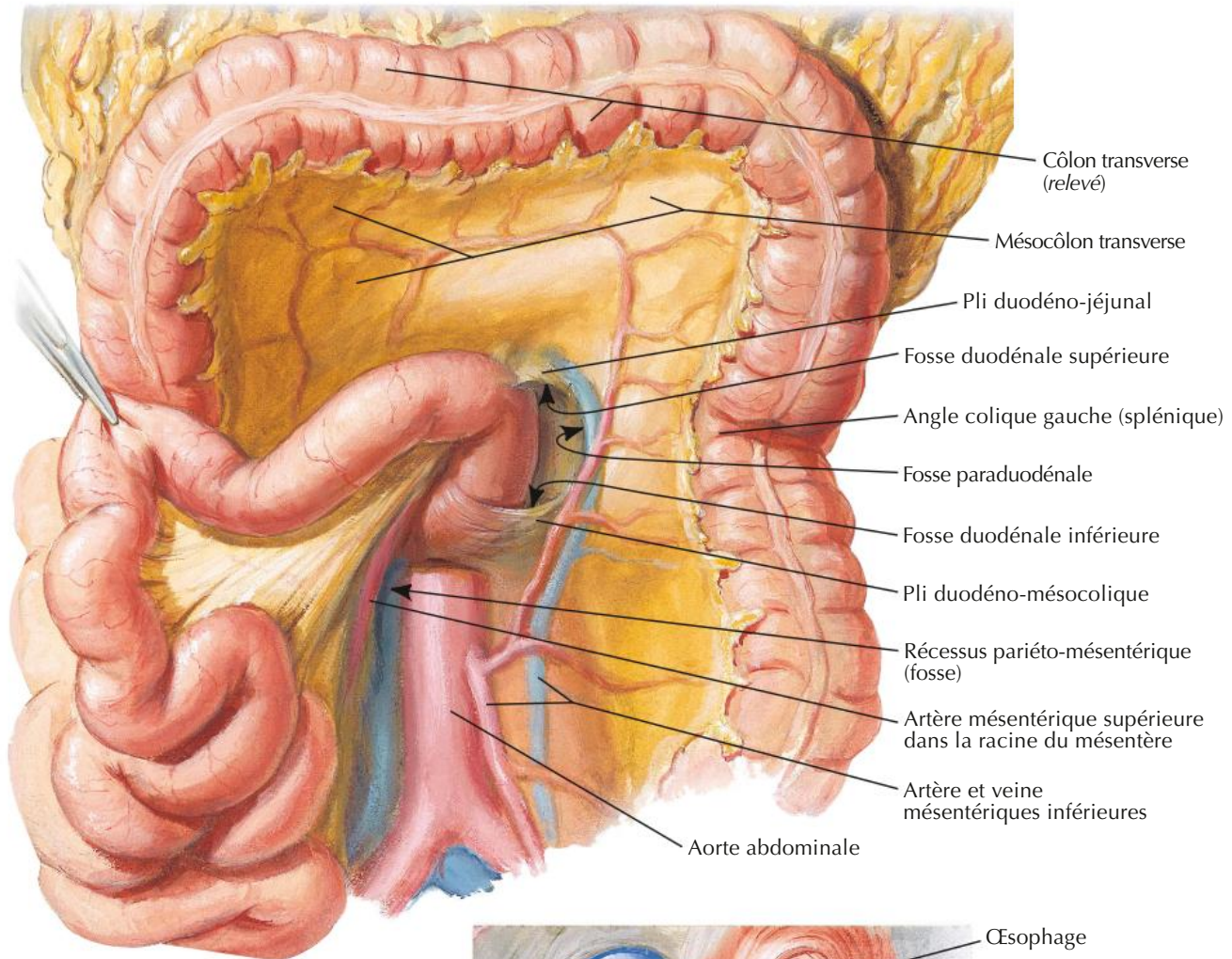




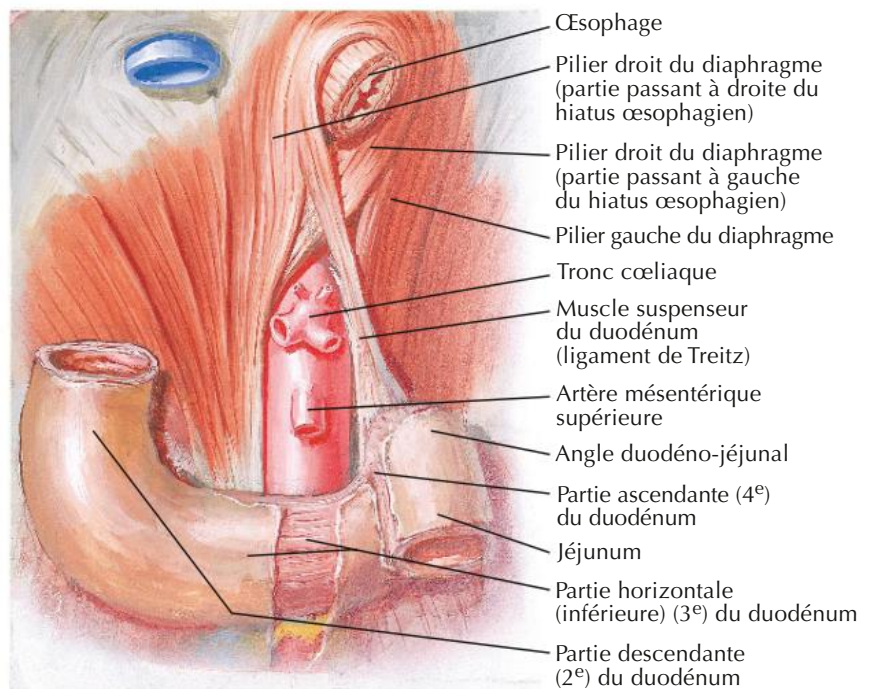


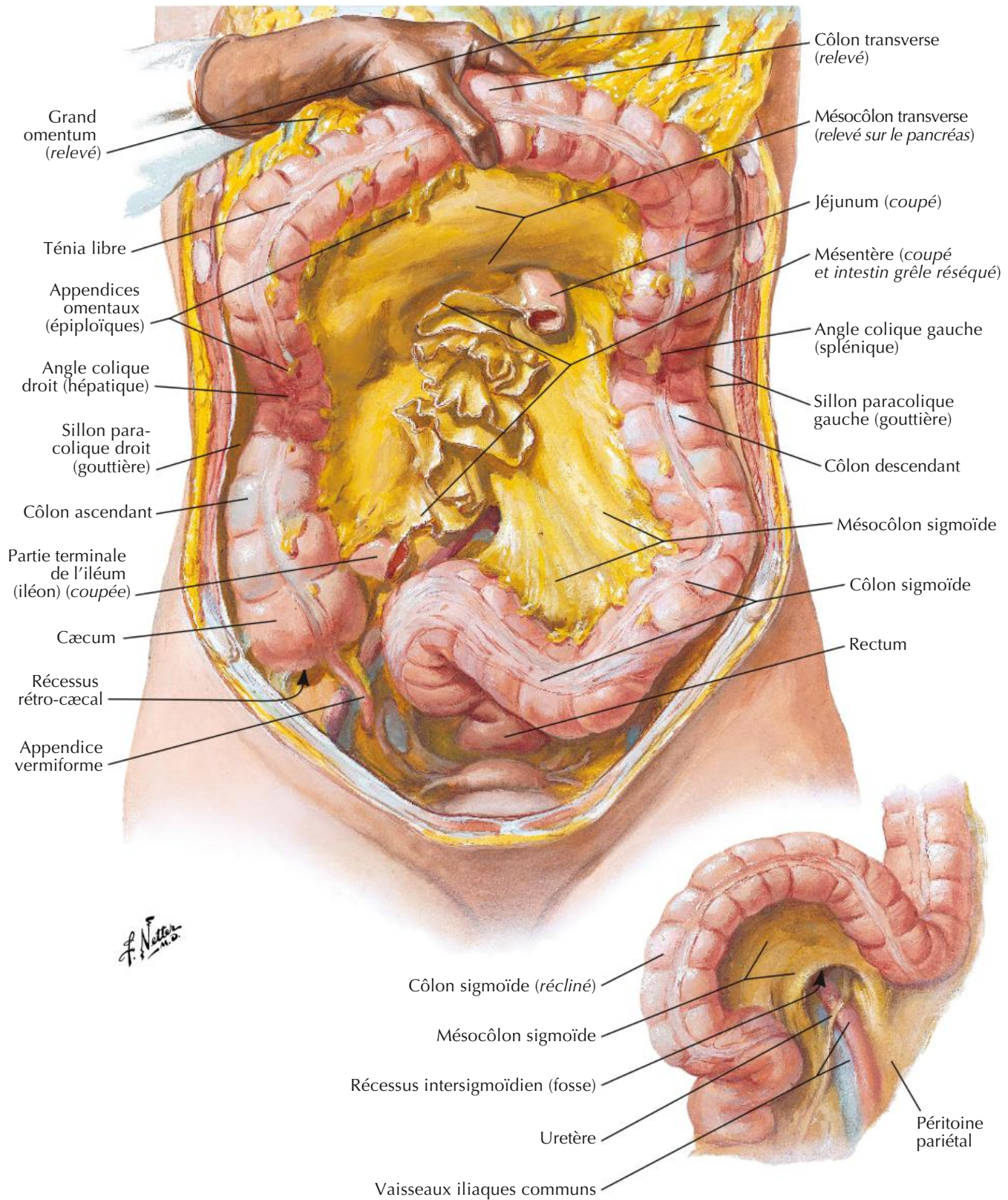


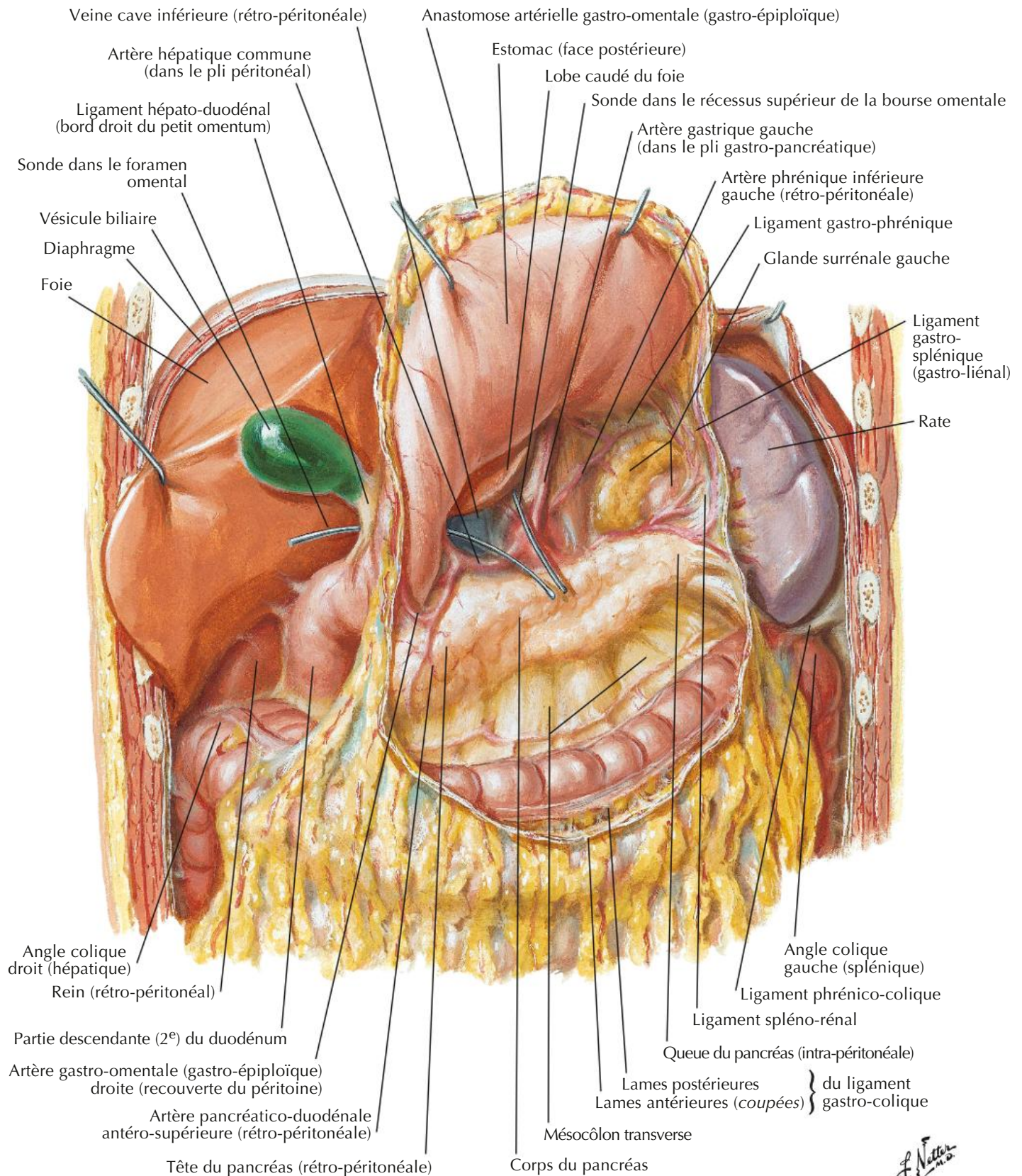




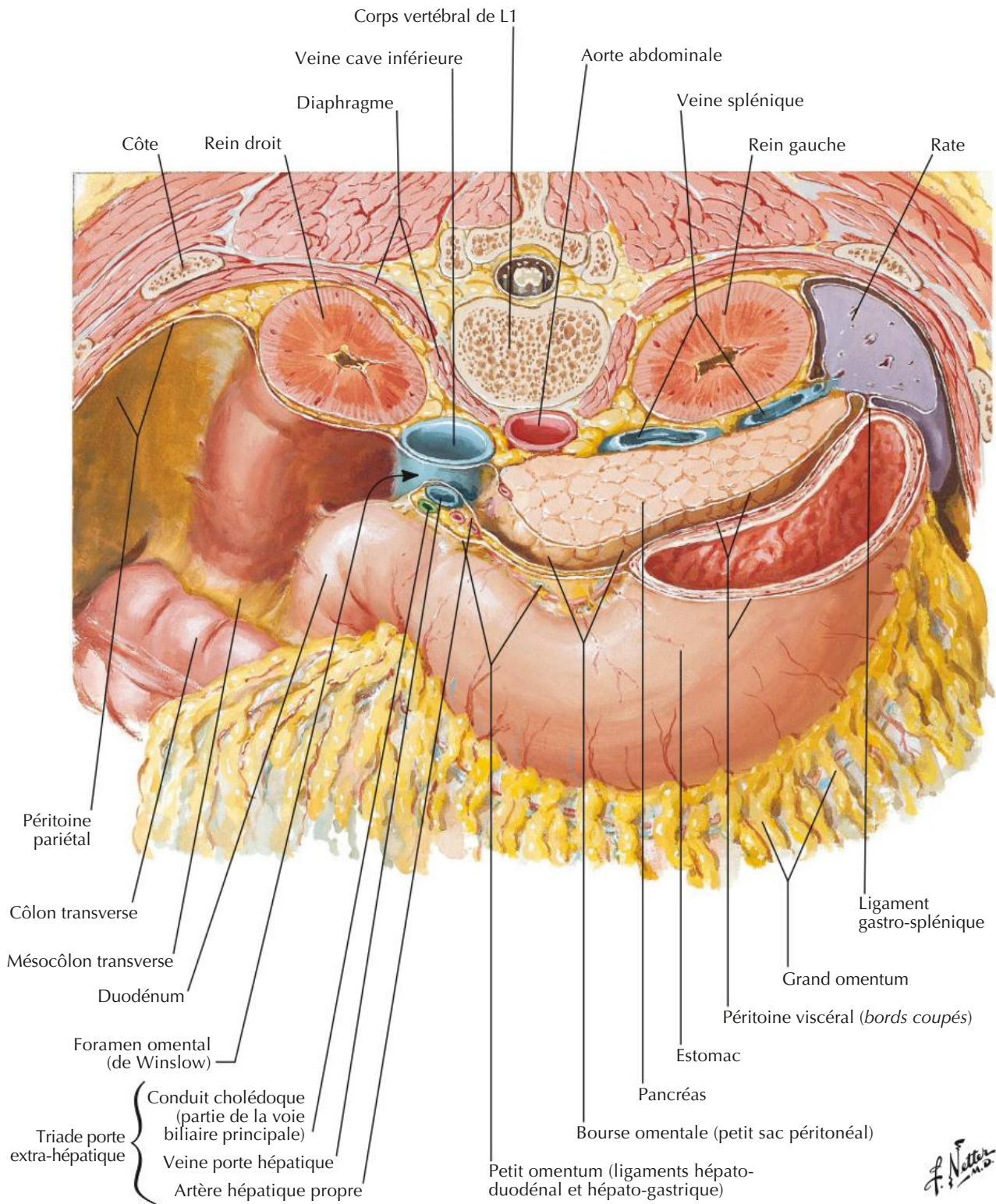
Muscle suspenseur du duodénum (ligament de Treitz)

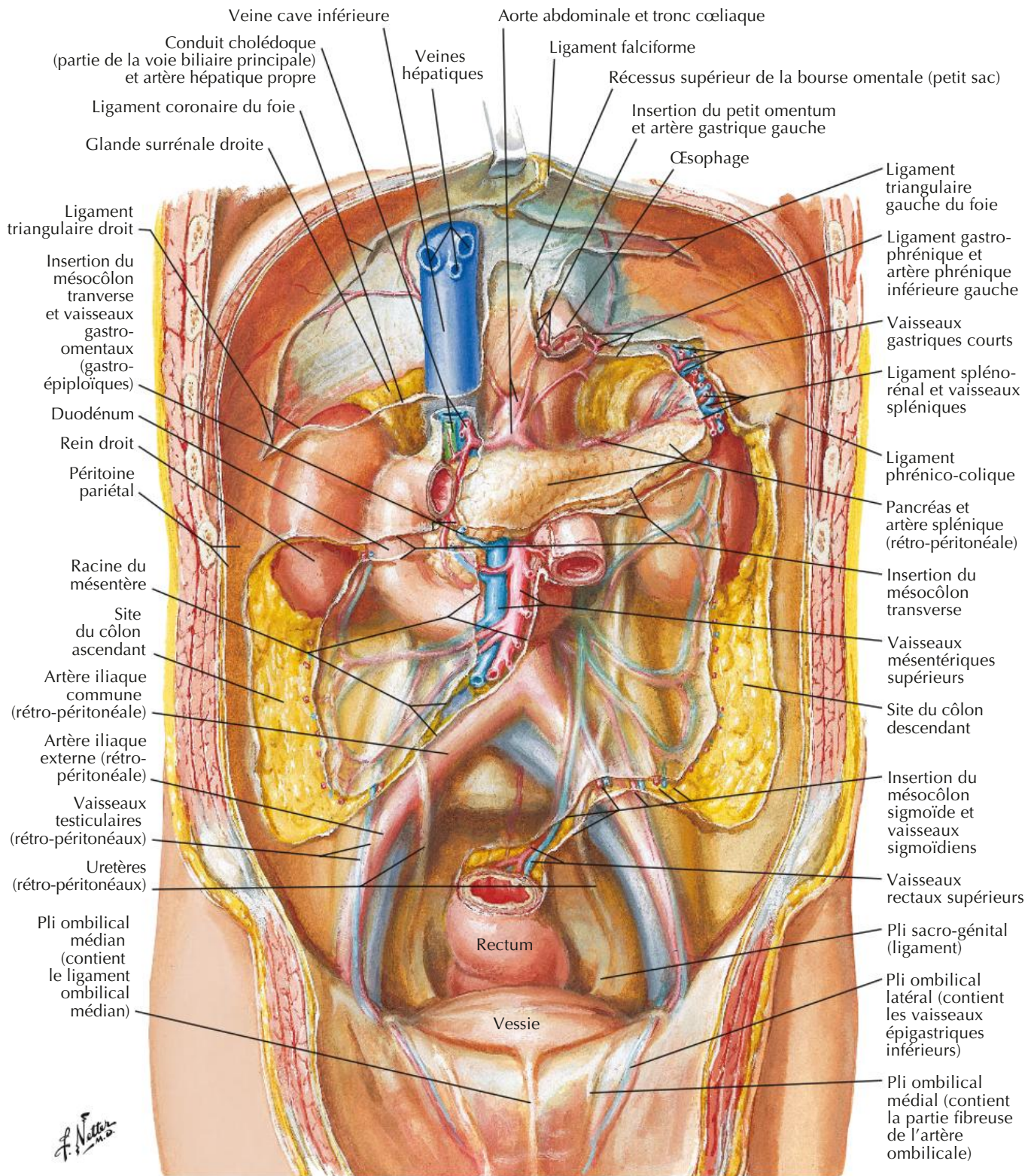






F. Netter M.D.





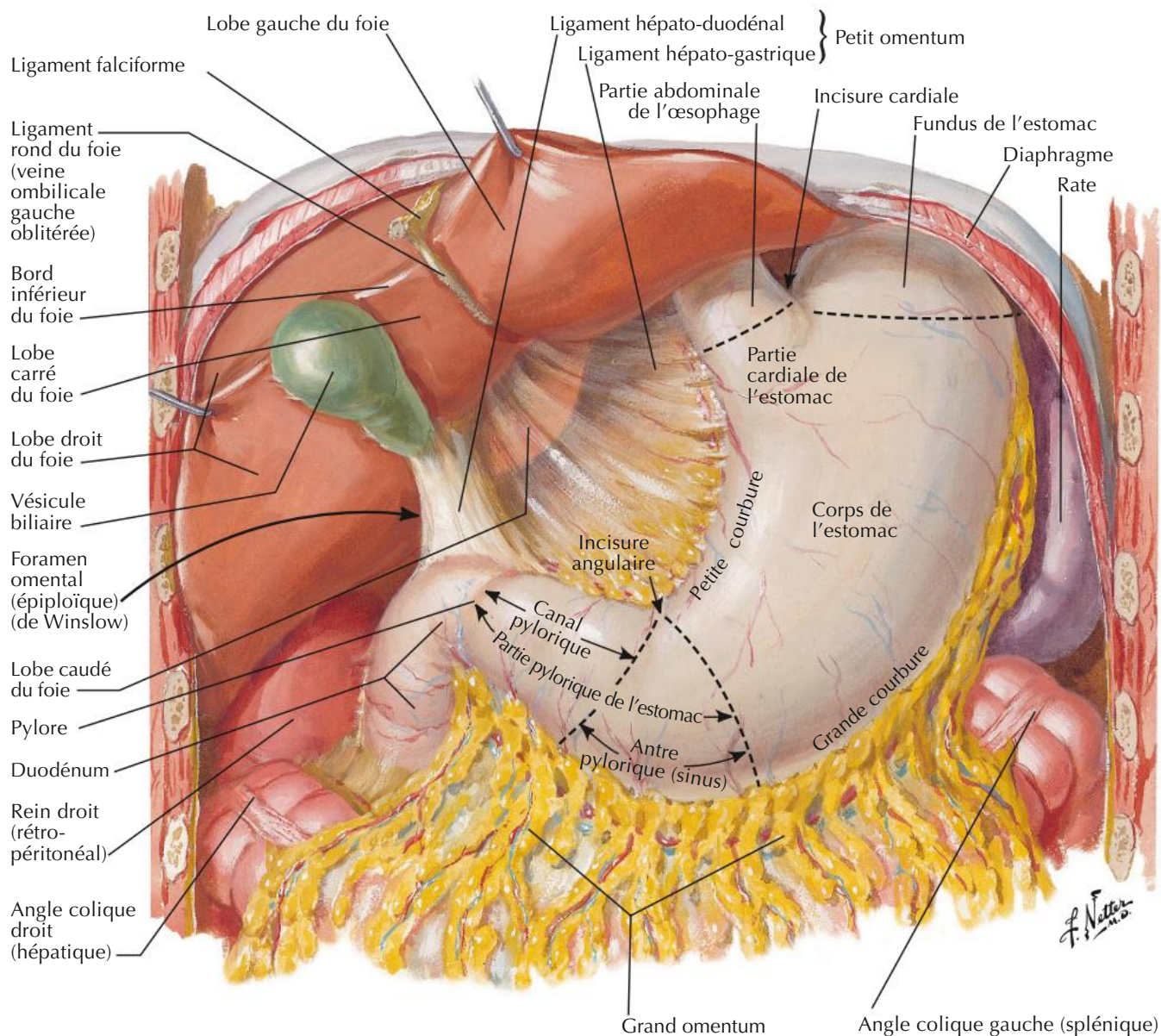
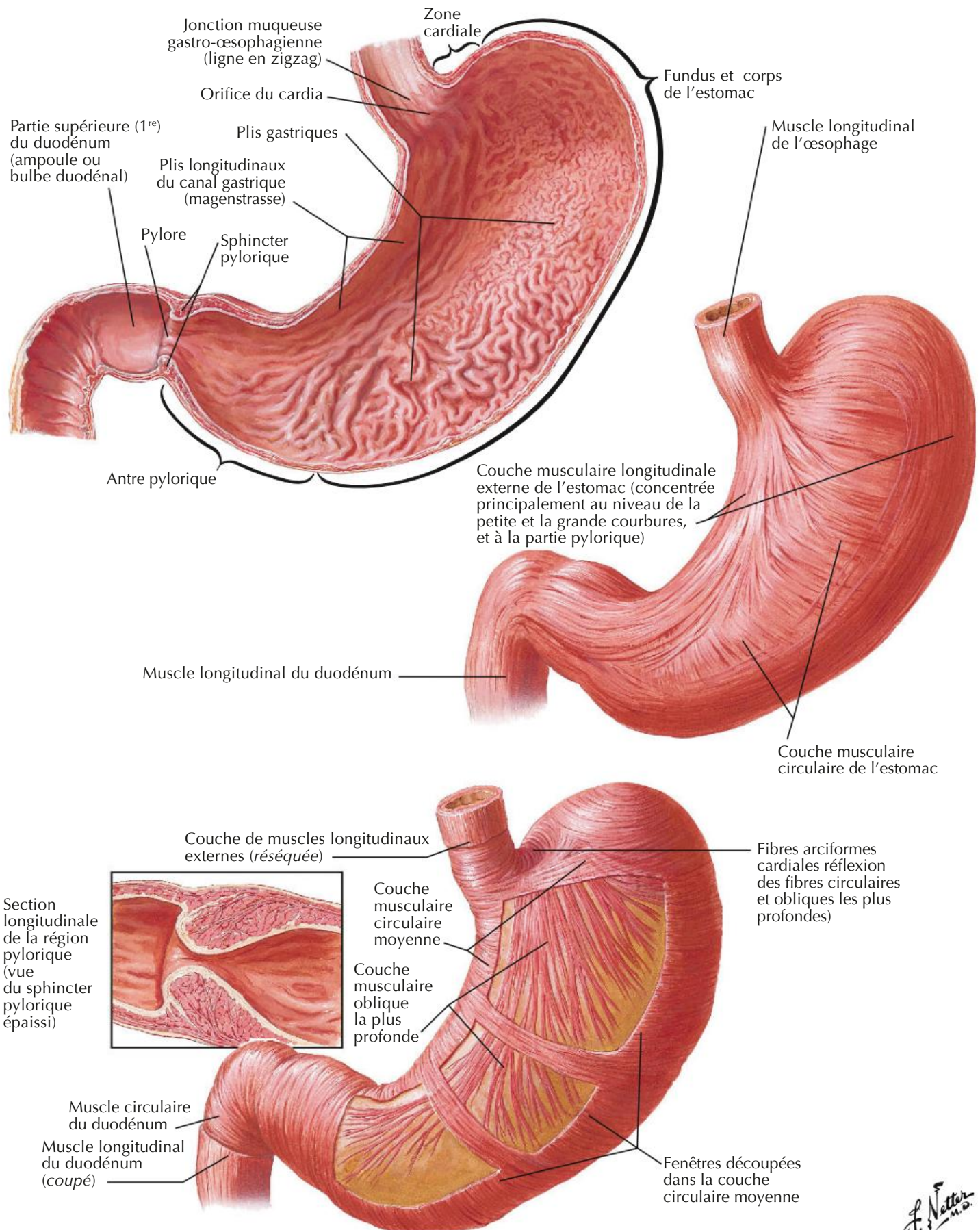


Image échographique en niveaux de gris en coupe transversale du milieu de l'abdomen





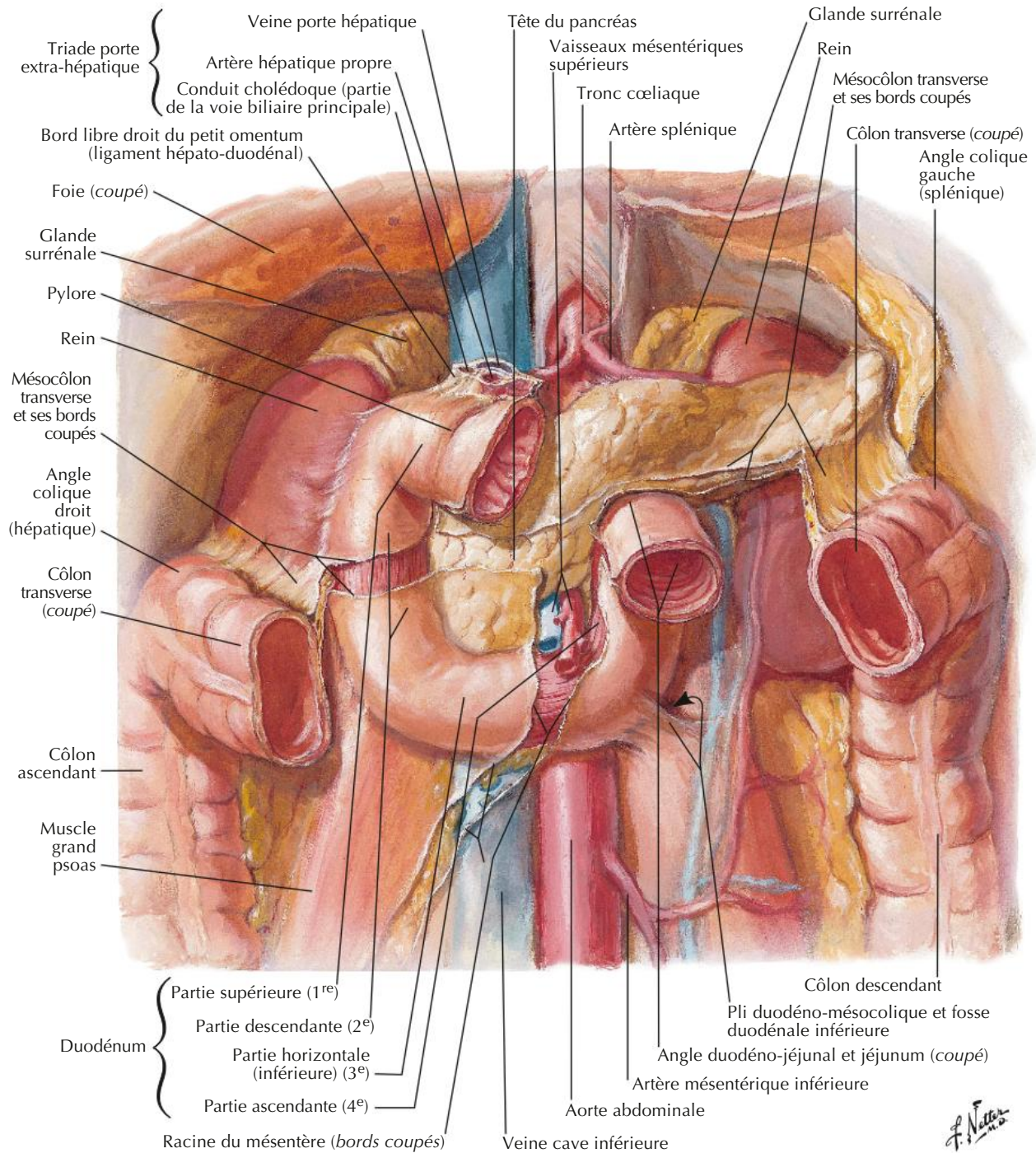
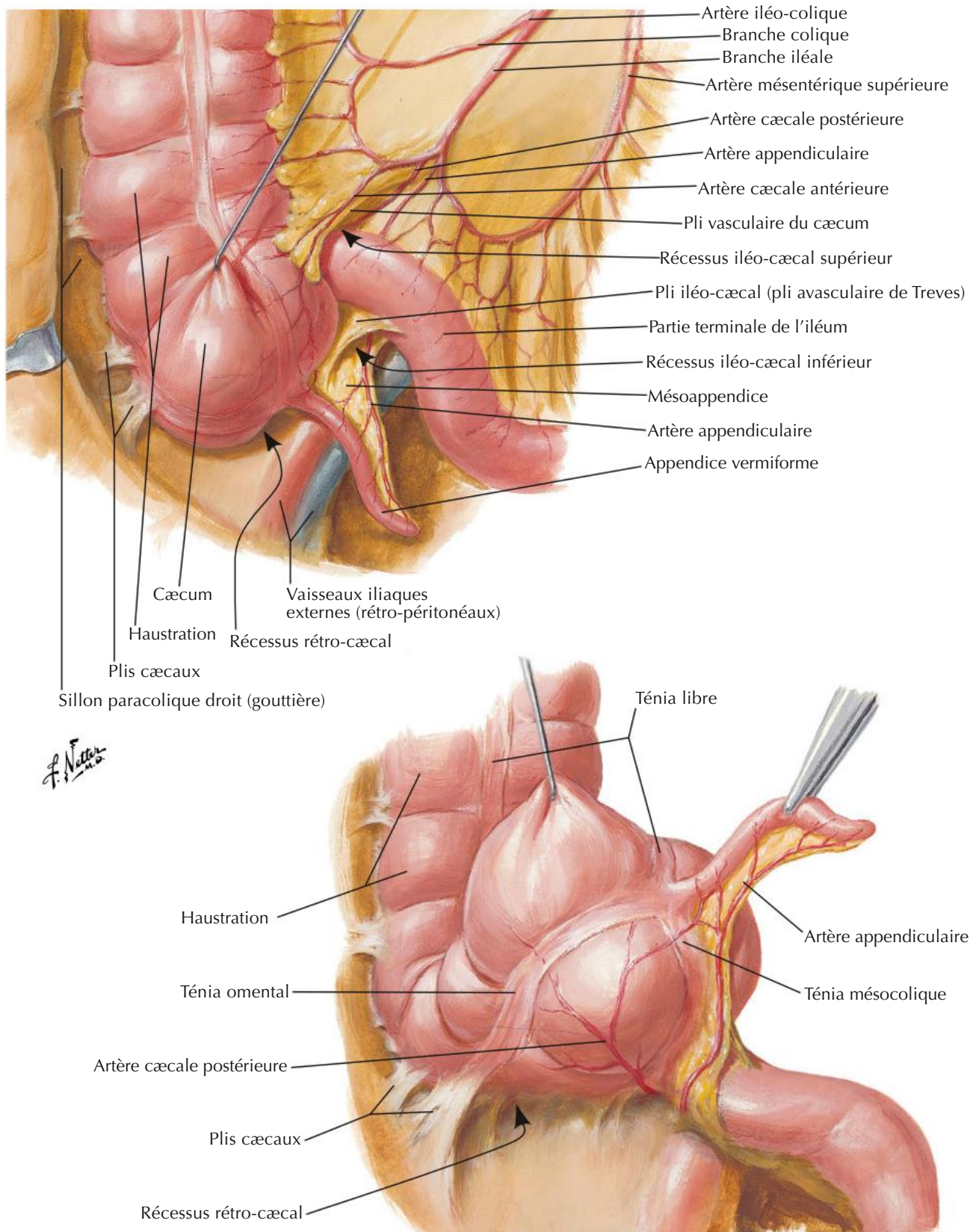


Image échographique en niveau de gris du rein droit, vue sagittale





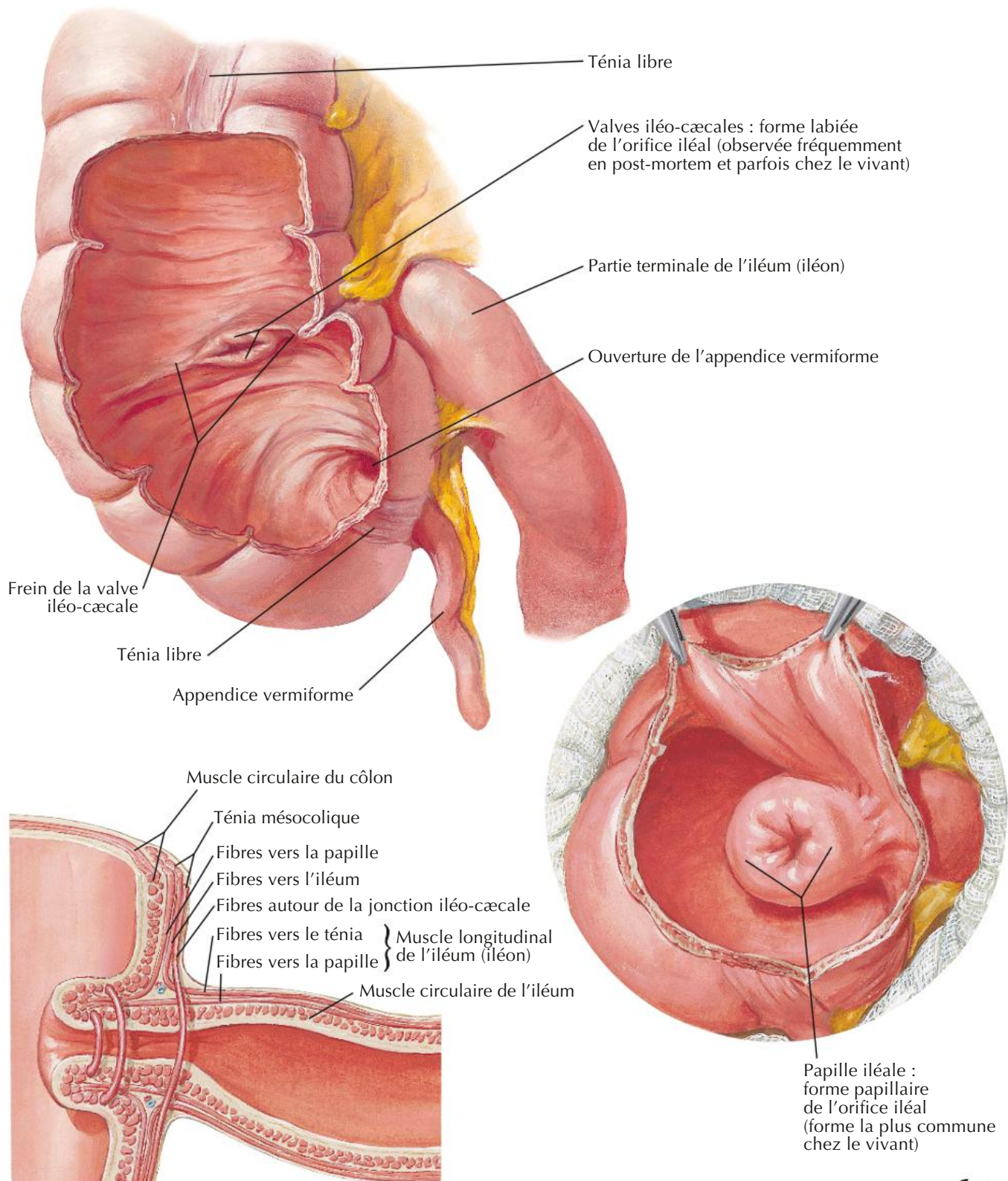
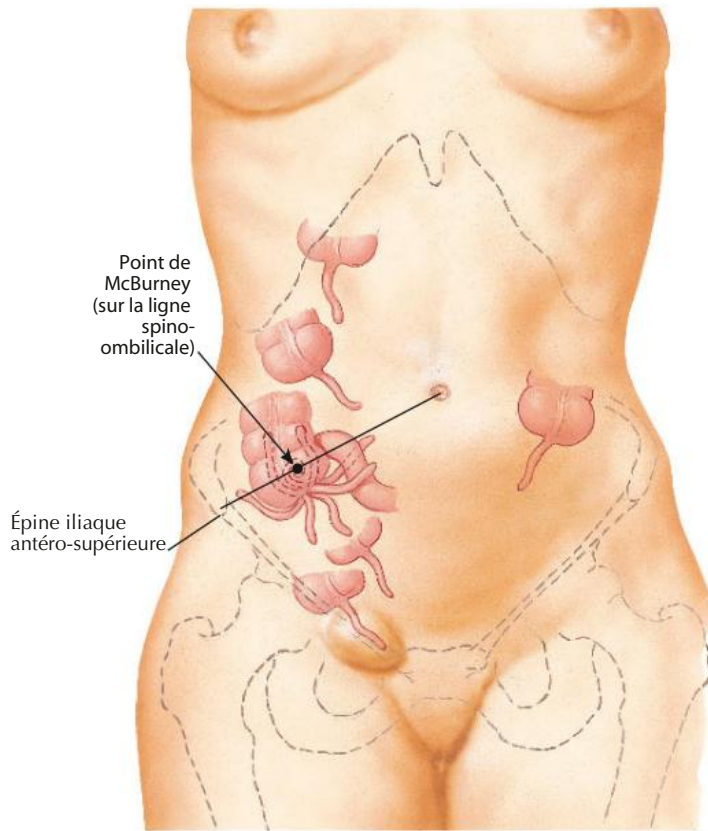


Schéma des fibres musculaires au niveau de l'orifice iléal

F. Netter M.D.



Variations de situation de l'appendice vermiforme

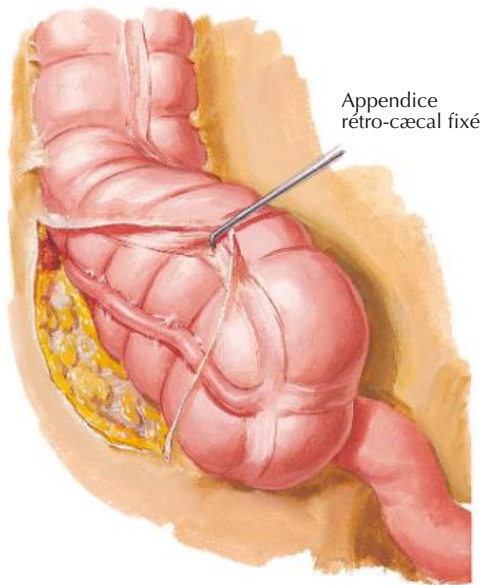
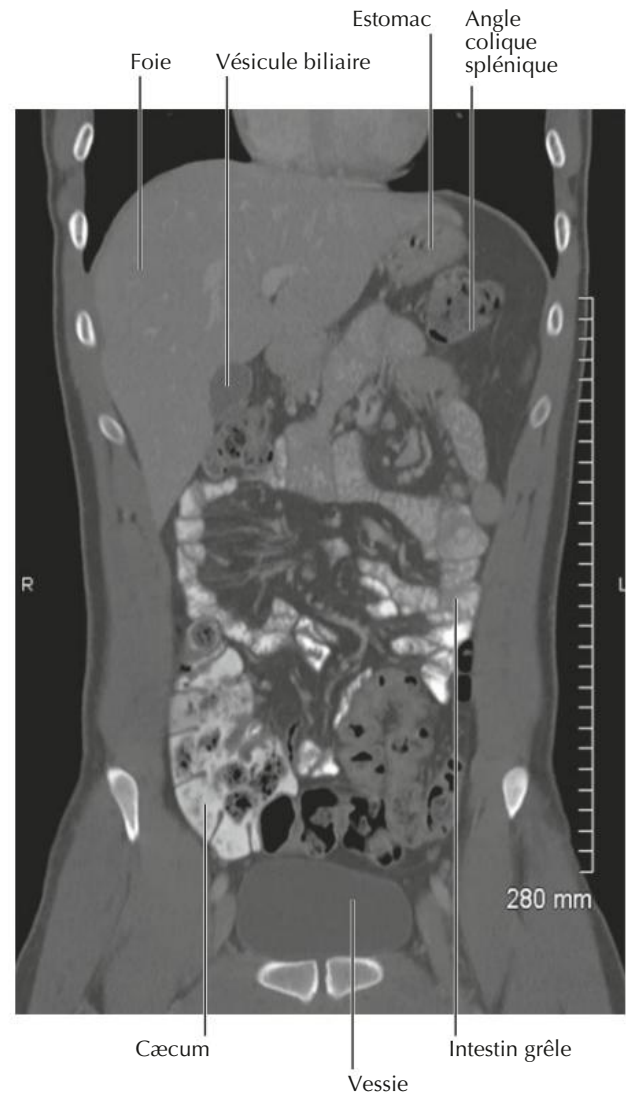
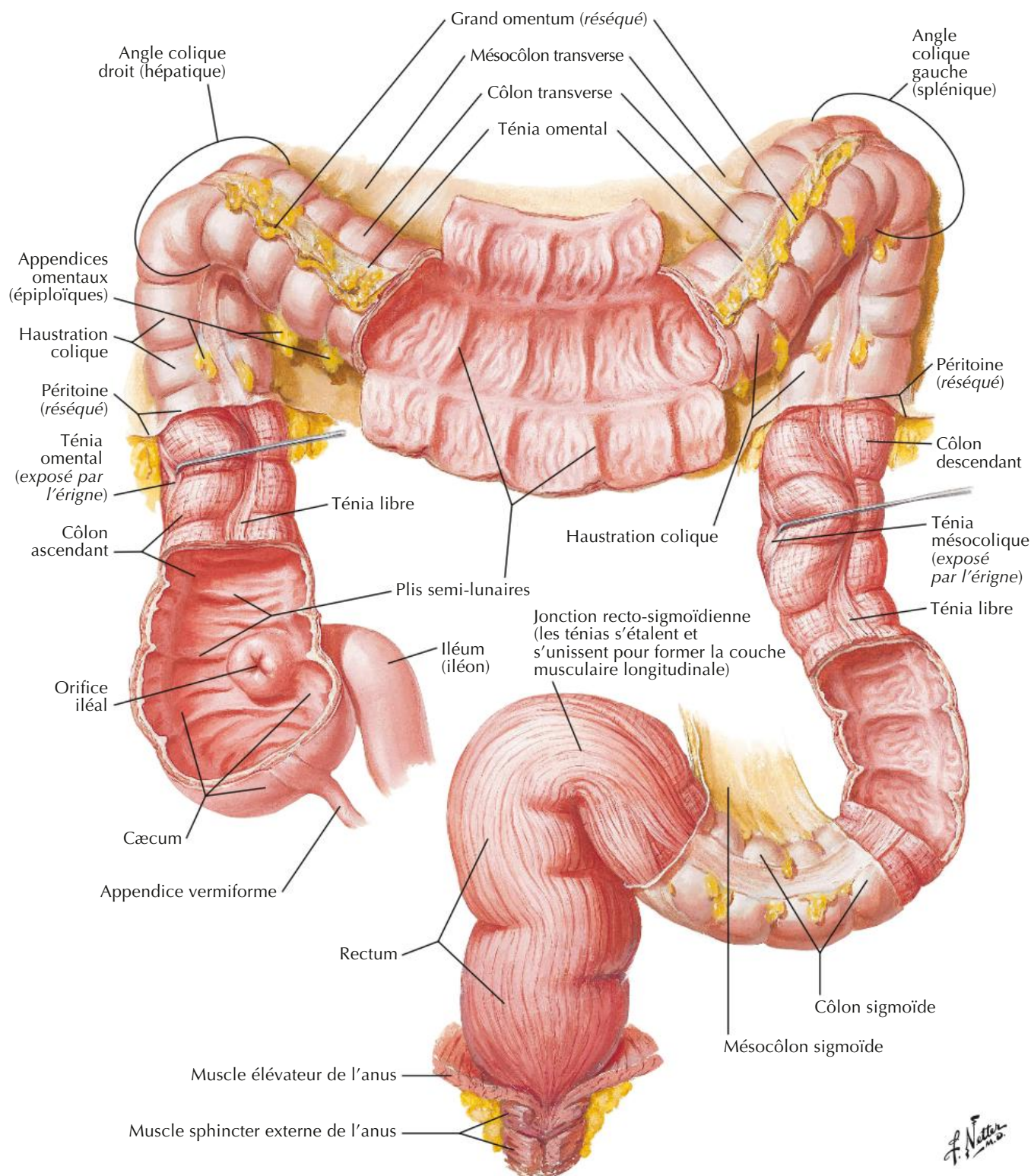
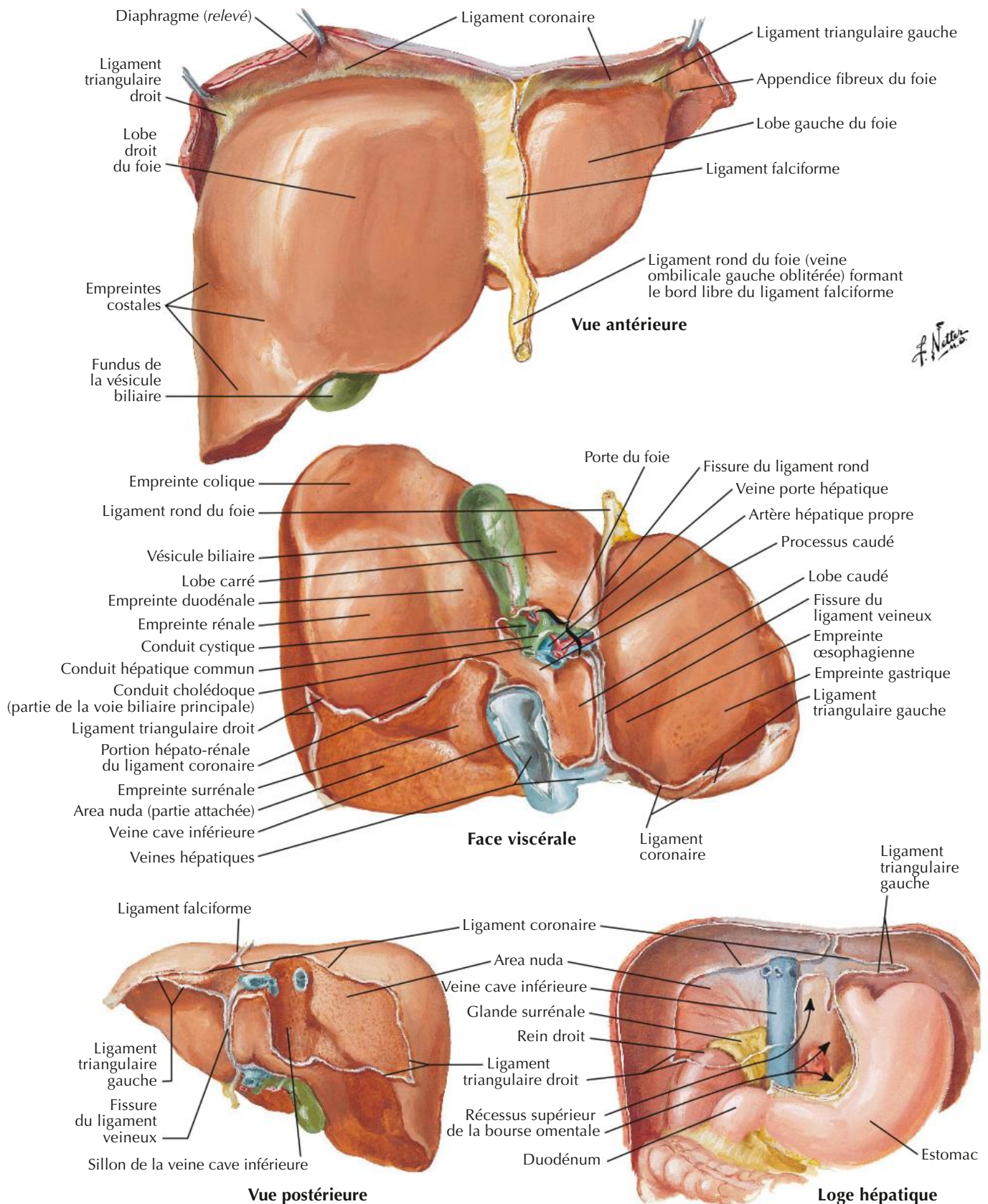
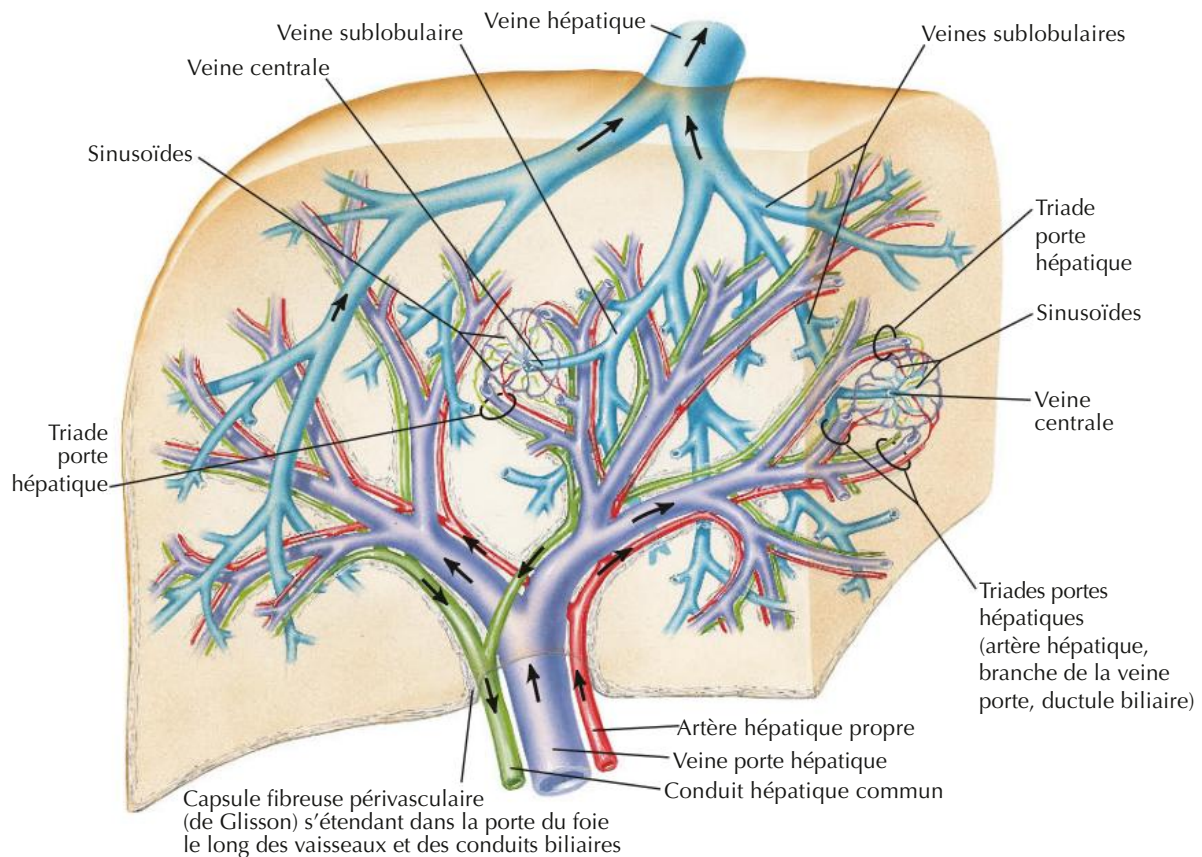
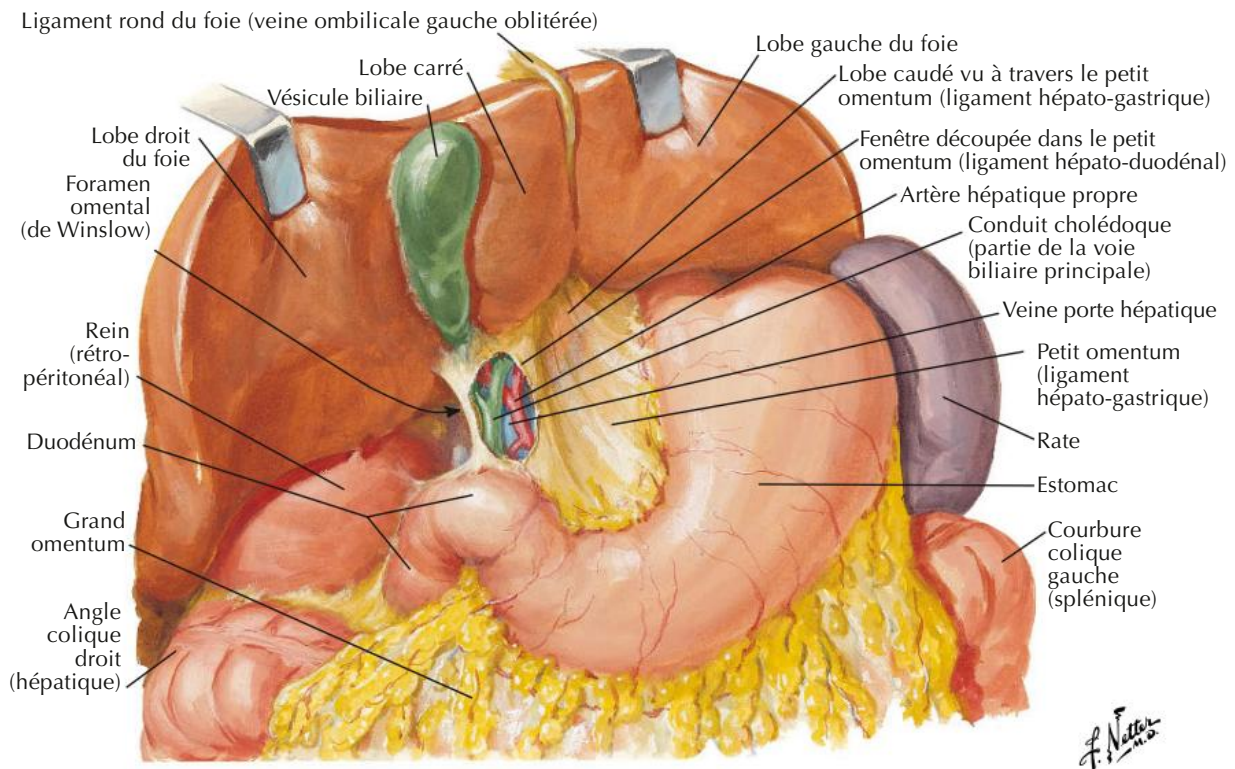


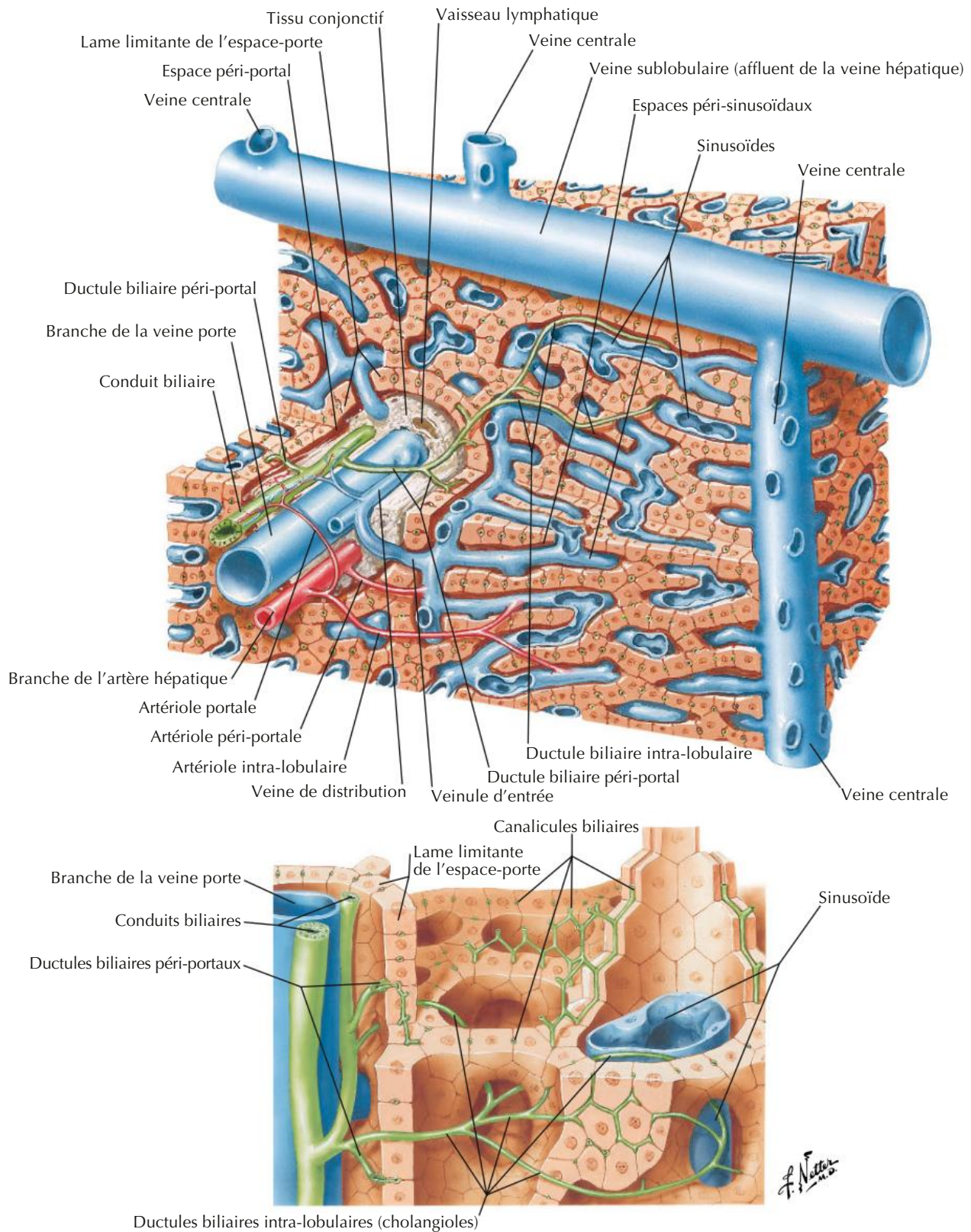
Image TDM en coupe coronale avec ingestion de contraste et injection de produit de contraste vasculaire

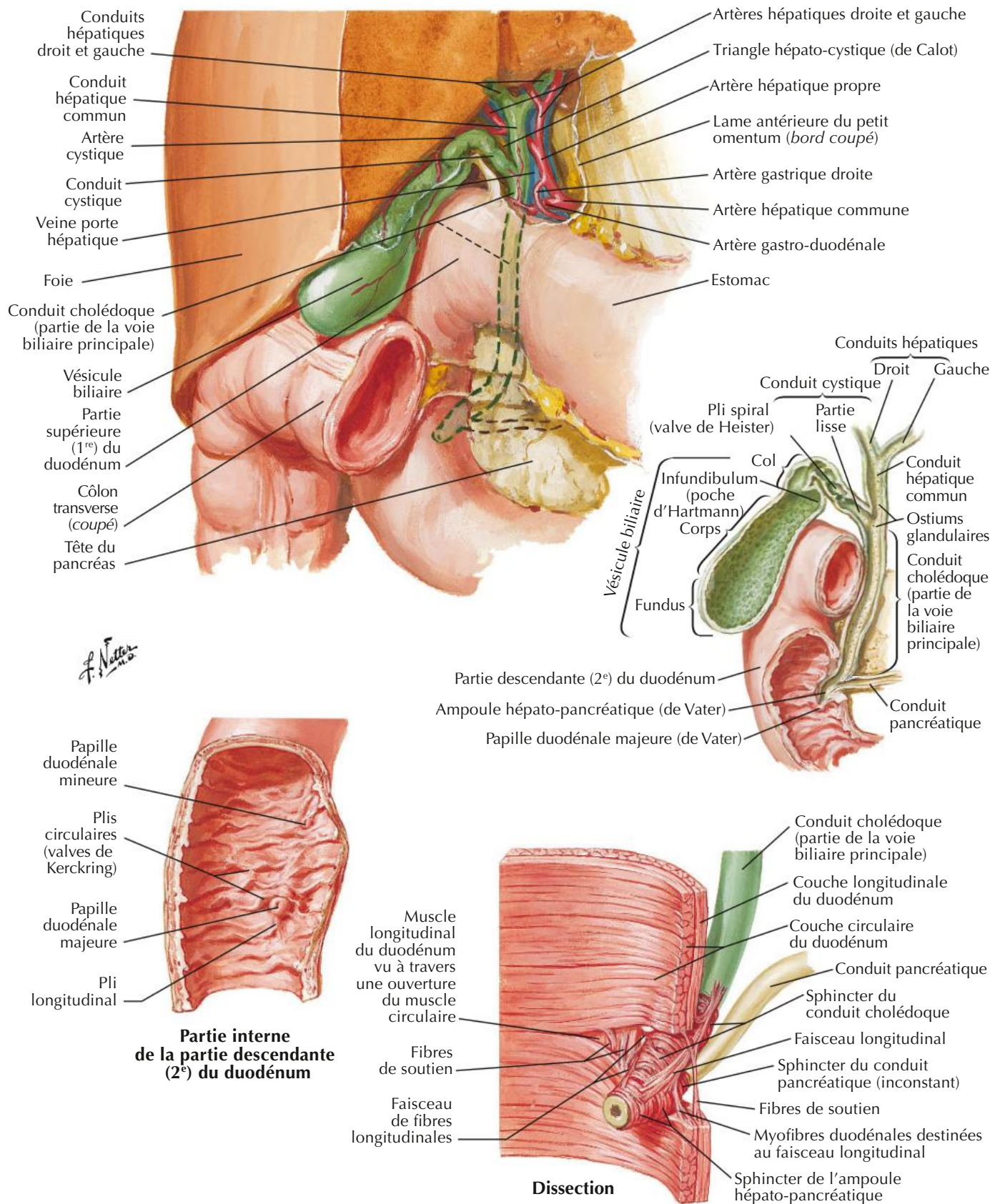


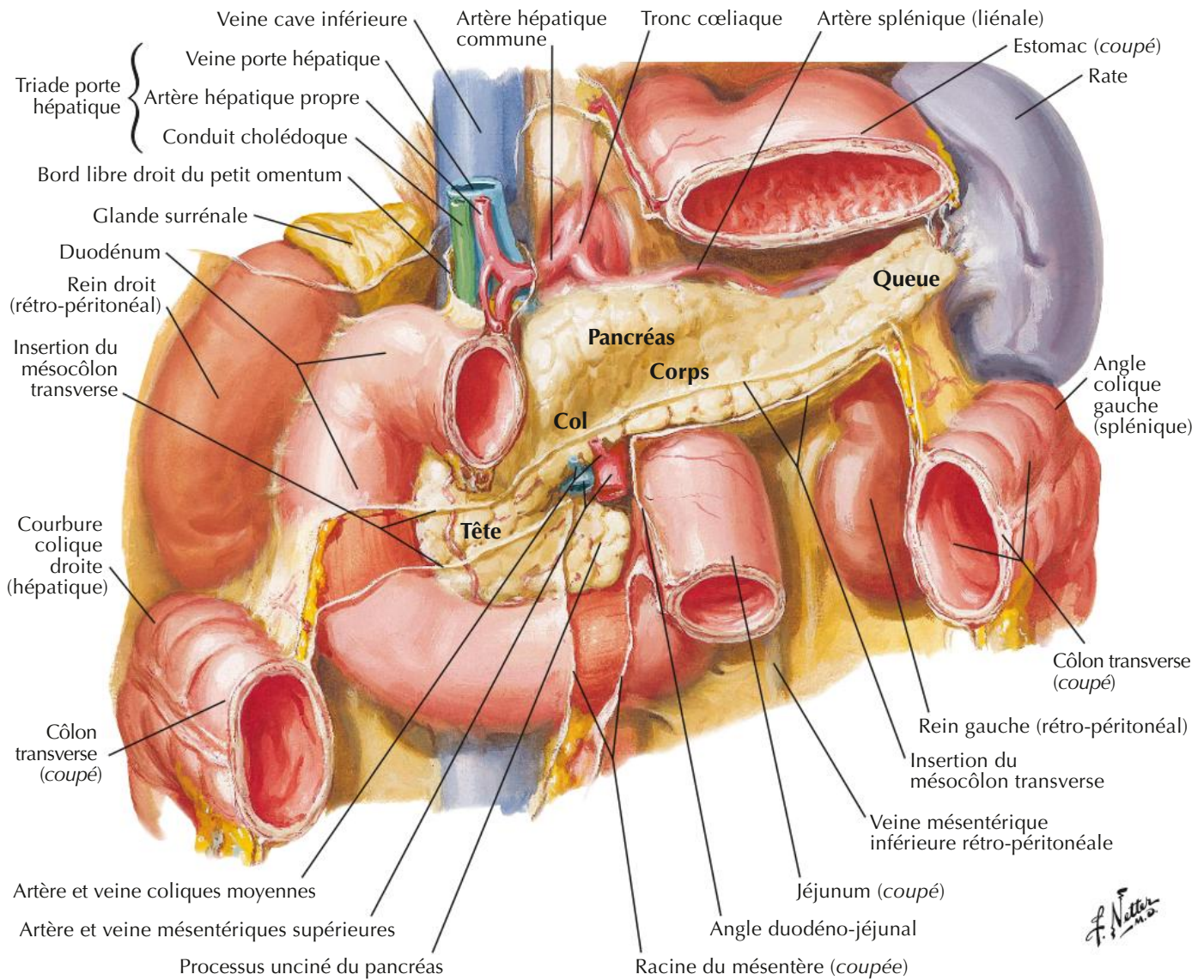




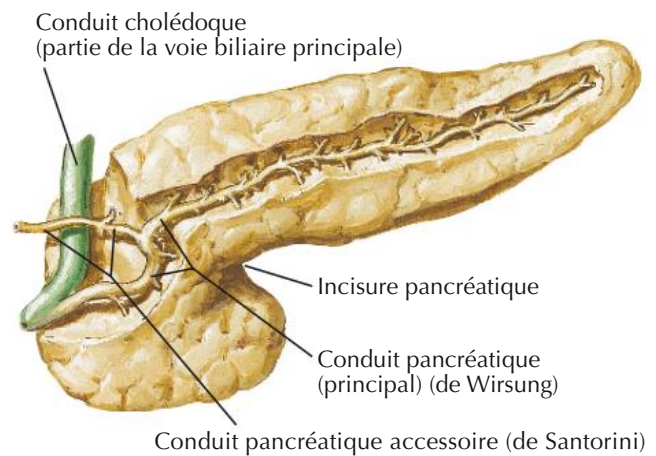
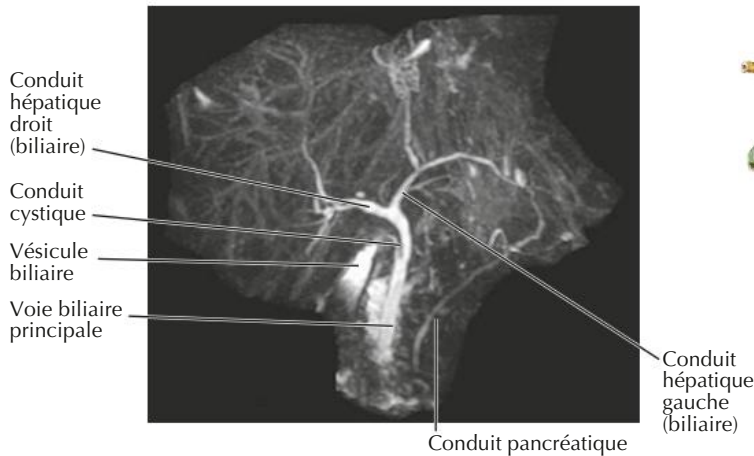


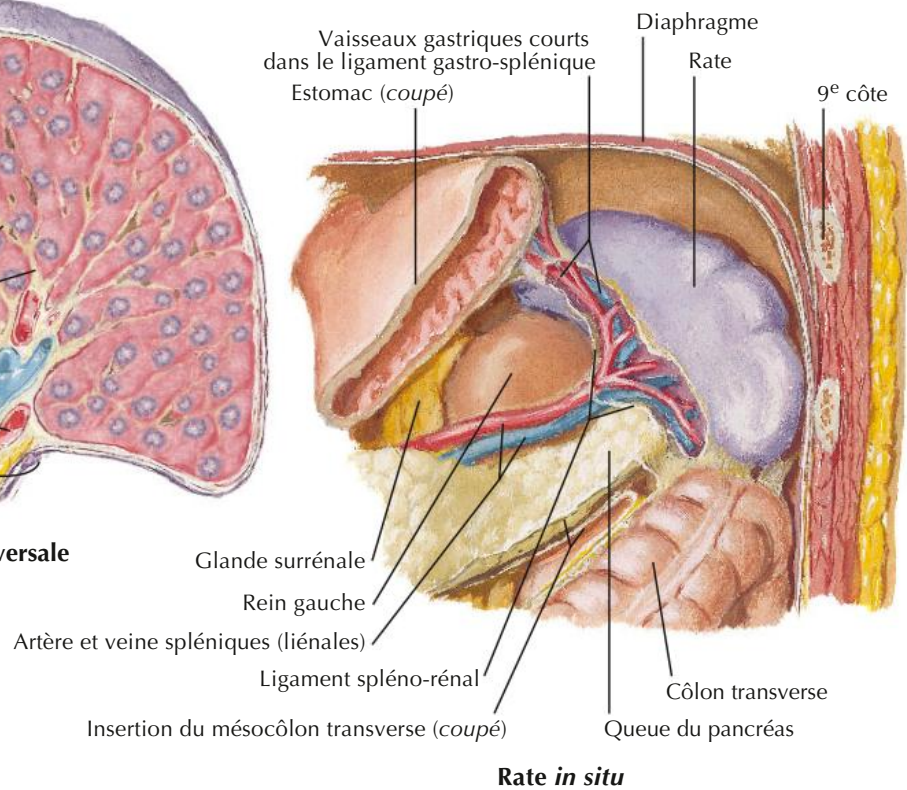
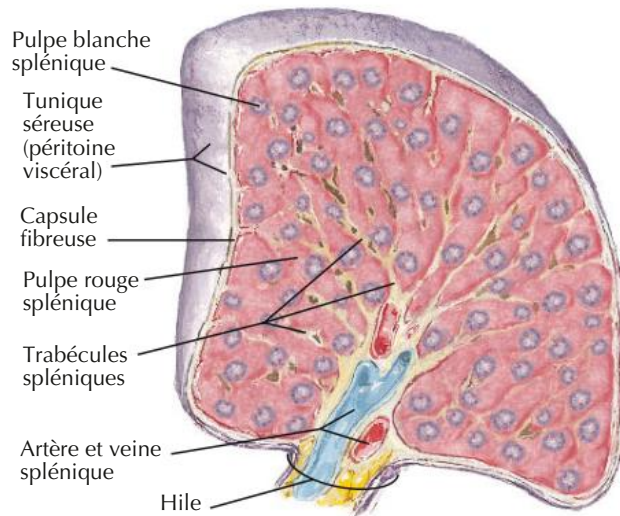
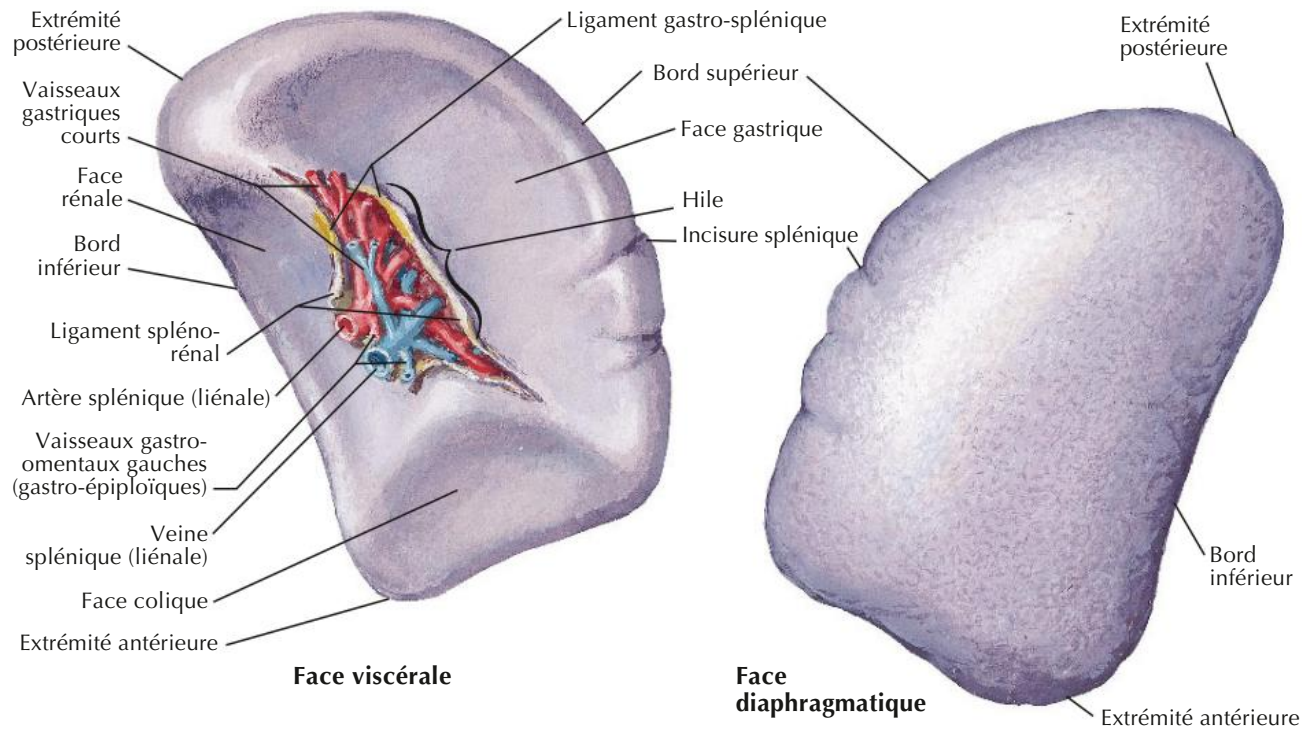




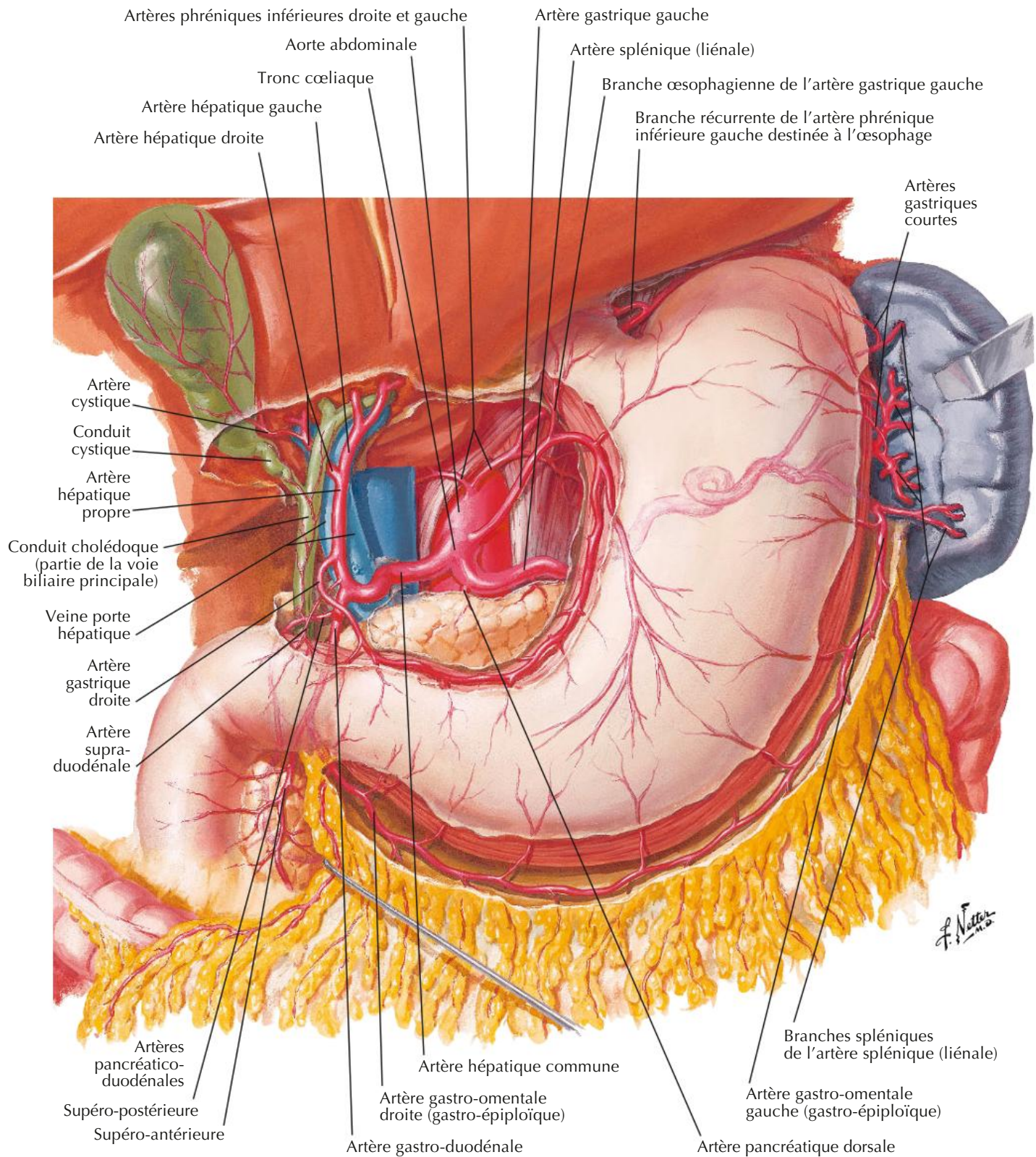


Cholangiopancréatographie par imagerie de résonance magnétique nucléaire (CP-IRM)





Artères de l'estomac, du foie et de la rate



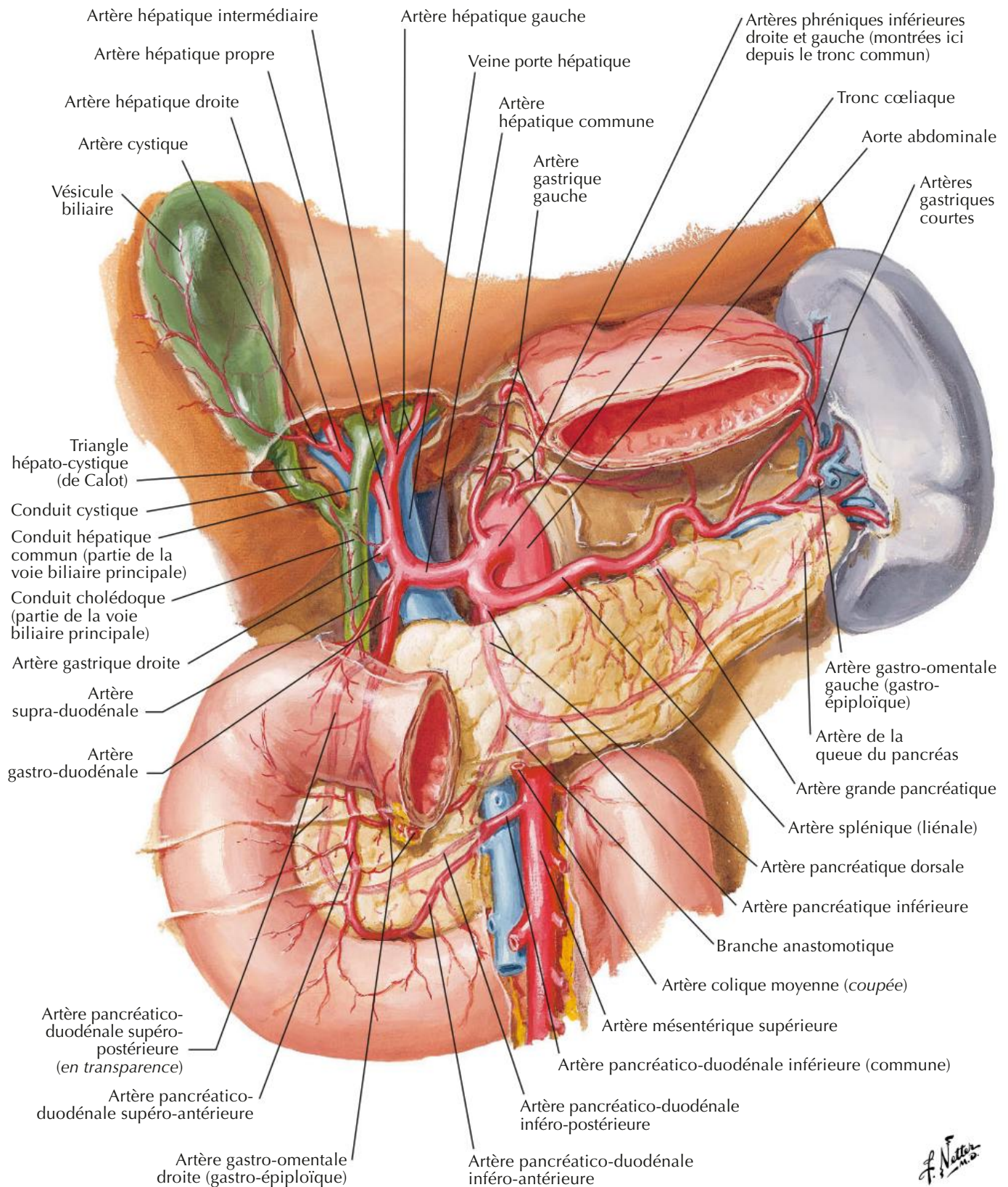
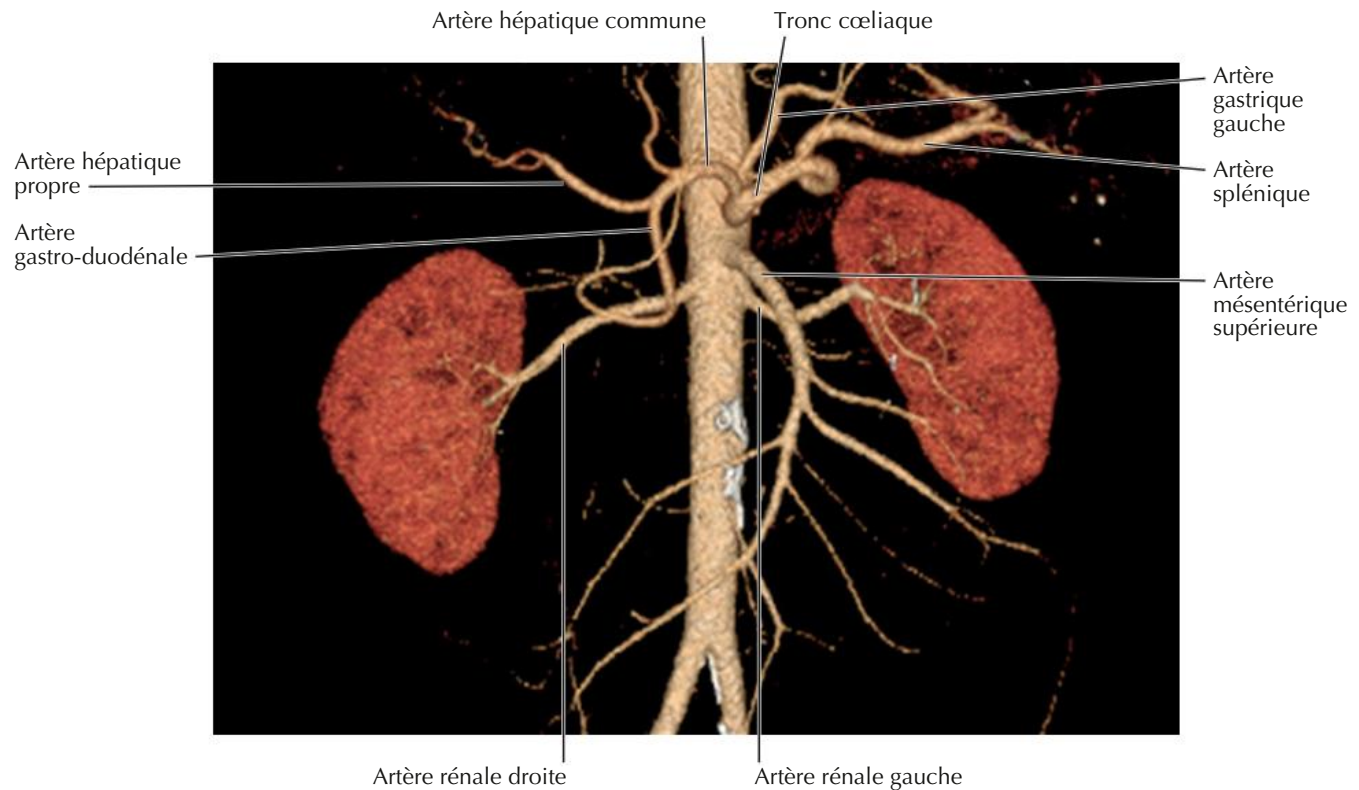
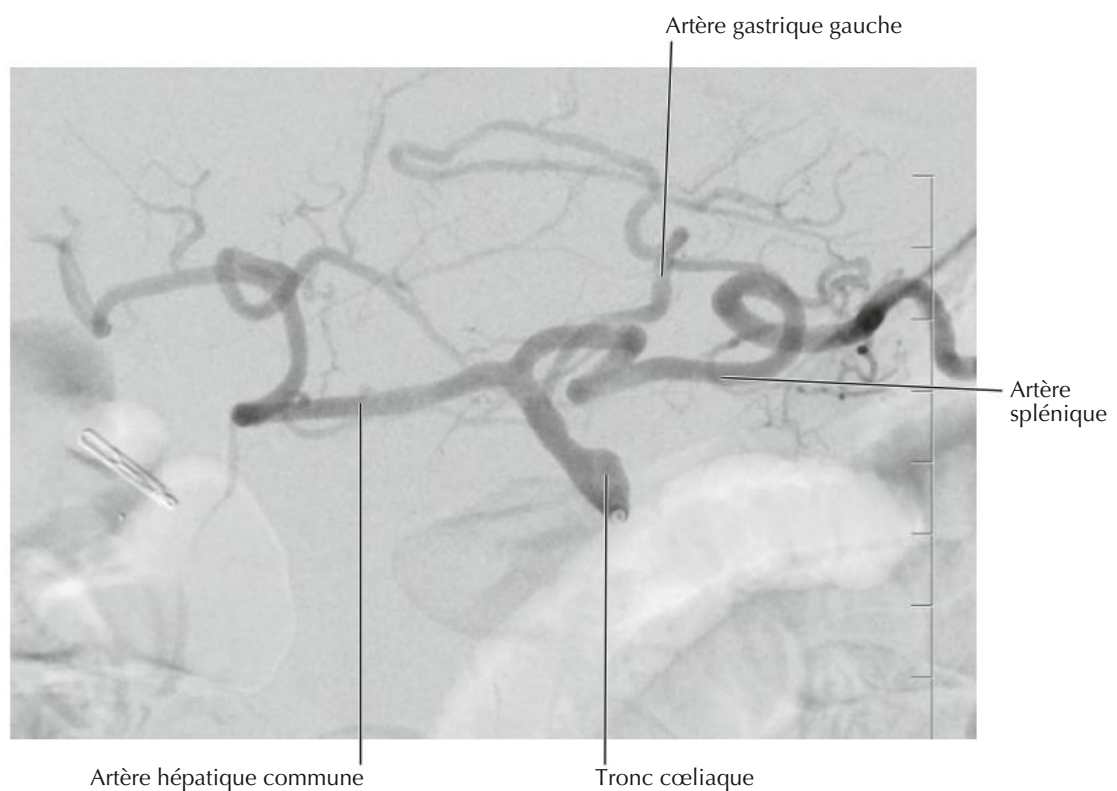


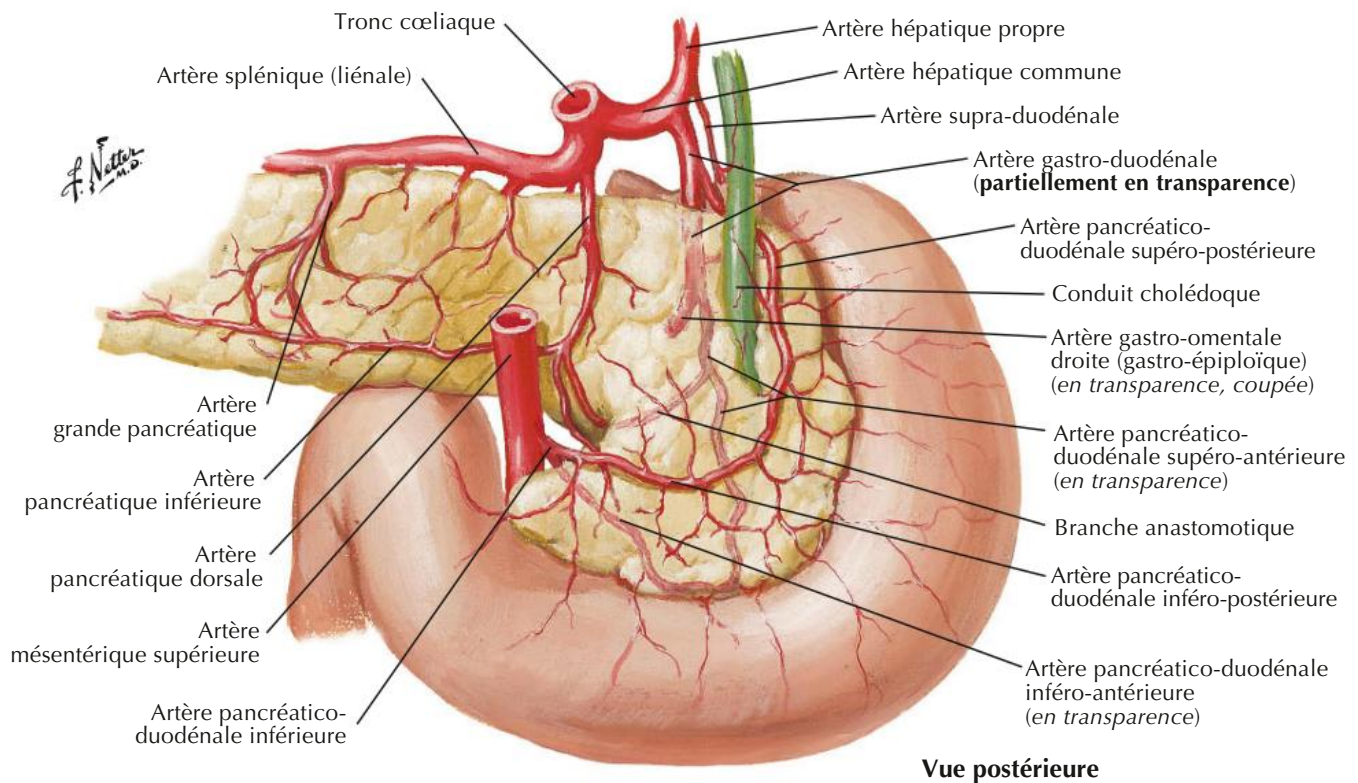
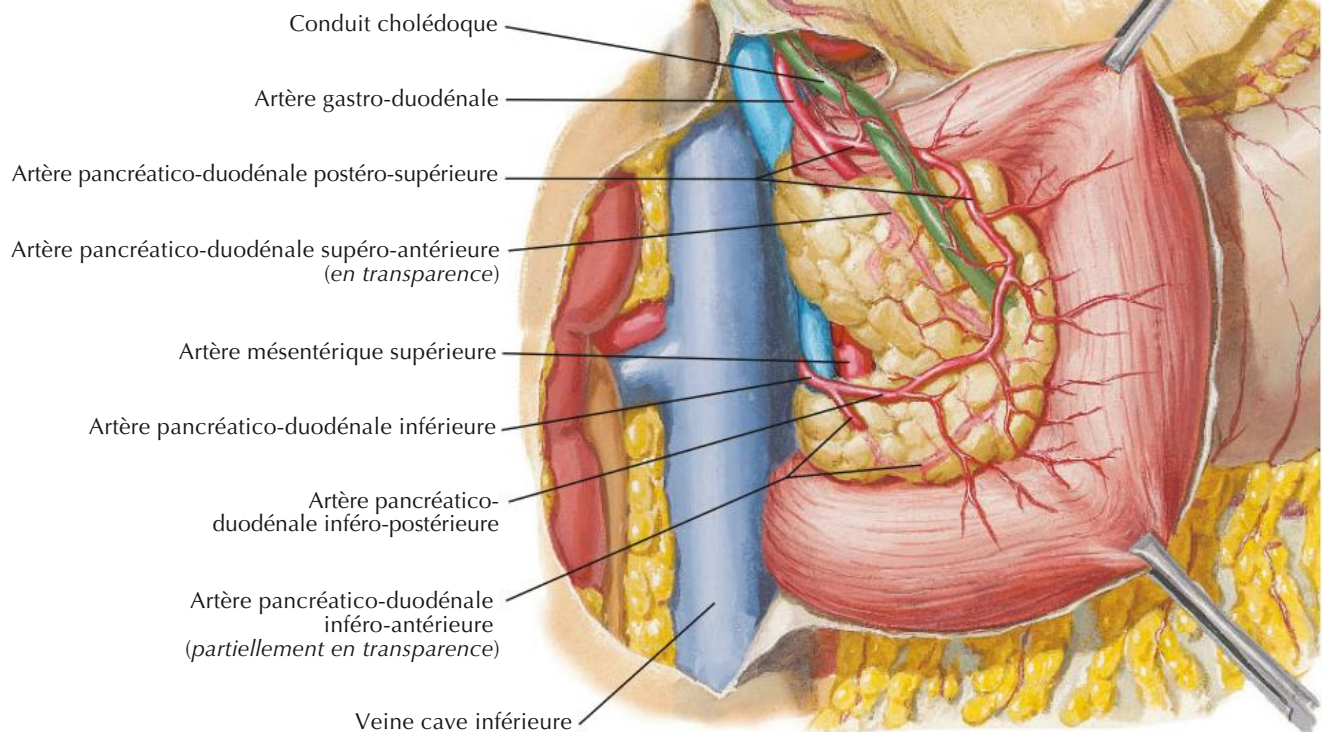
Image tomodensitométrique en reconstruction 3D en rendu volumique avec renforcement de contraste



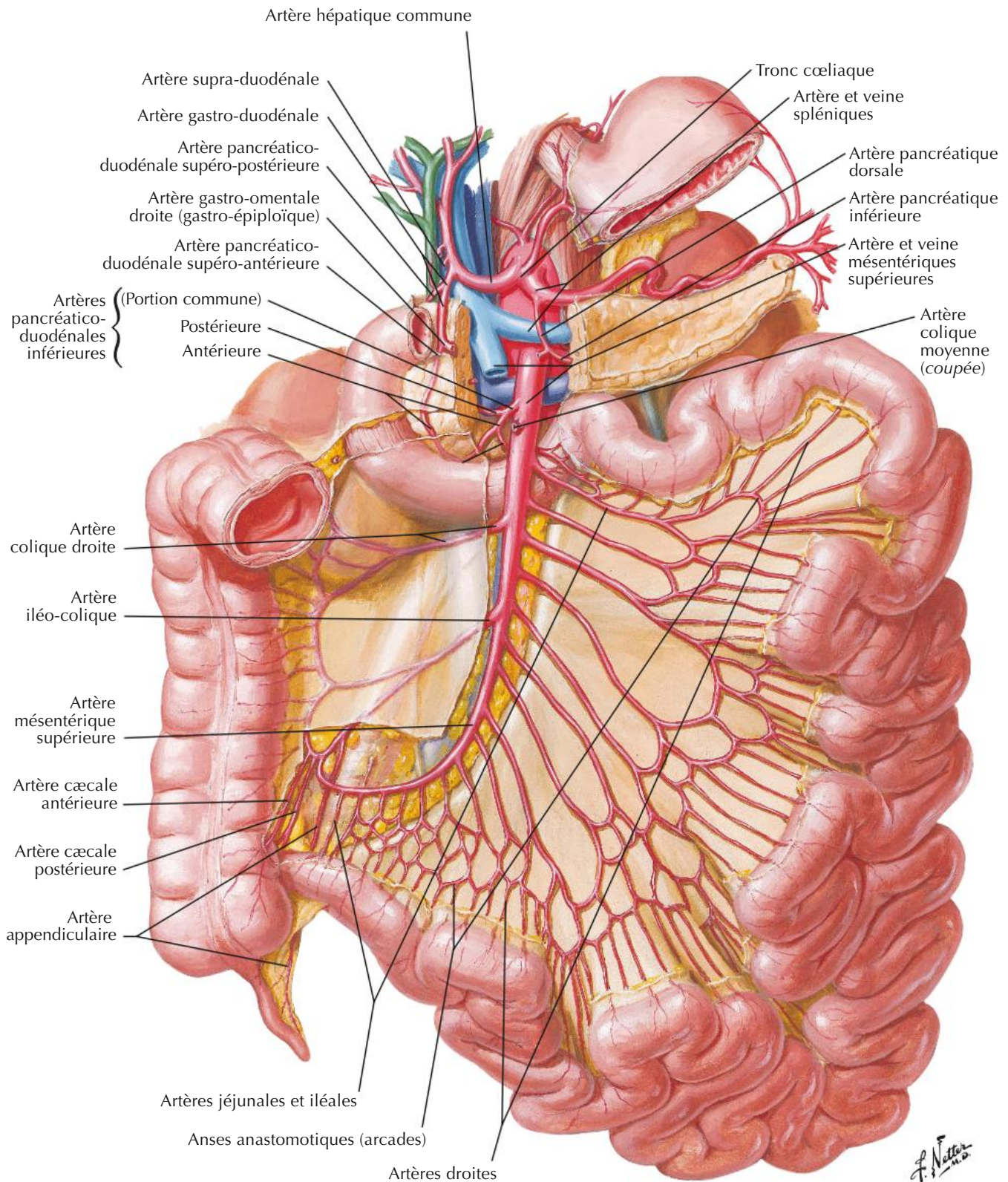
Angiographie de soustraction digitale sélective, tronc cœliaque

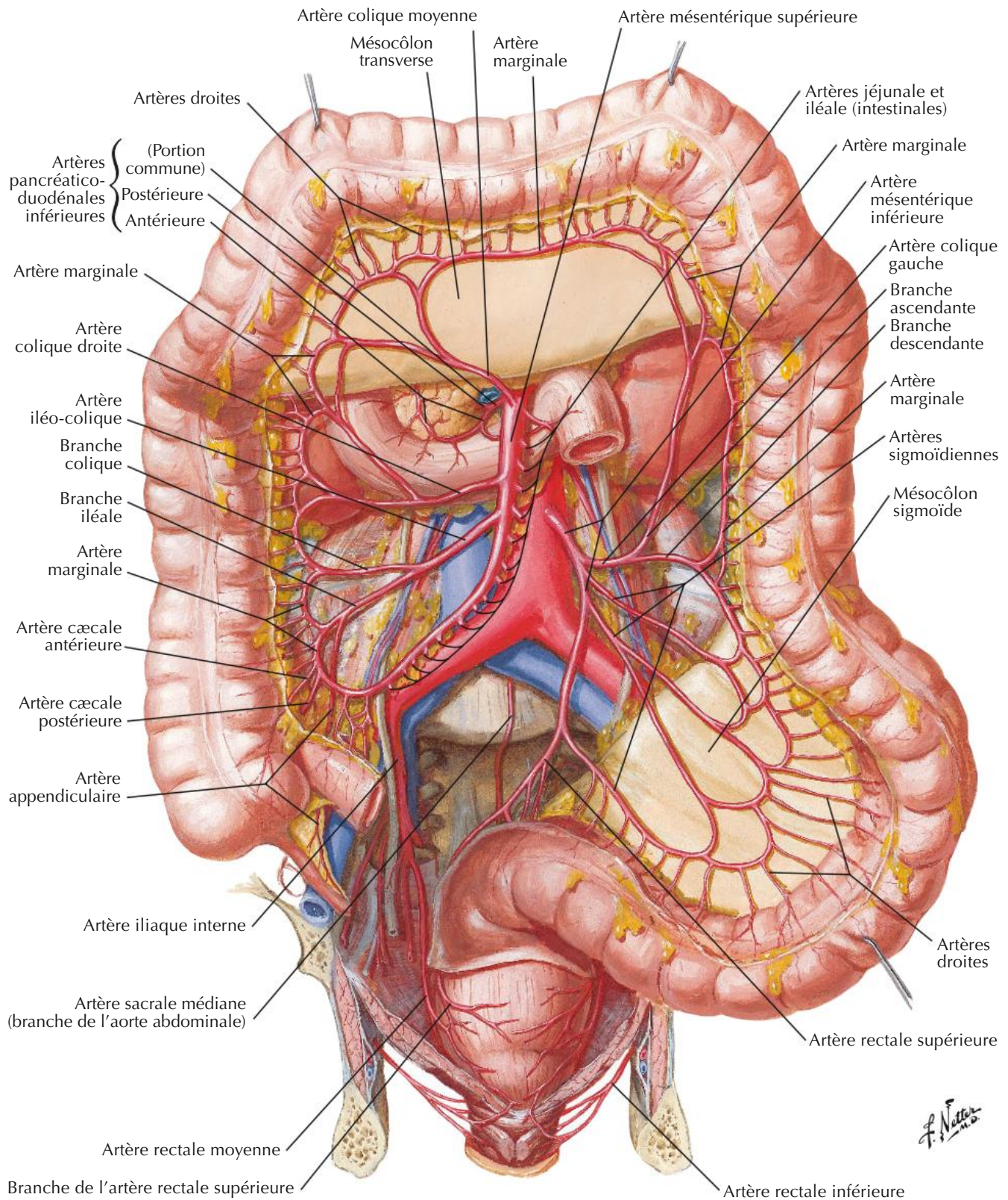


Duodénum et tête du pancréas réclinés sur la gauche

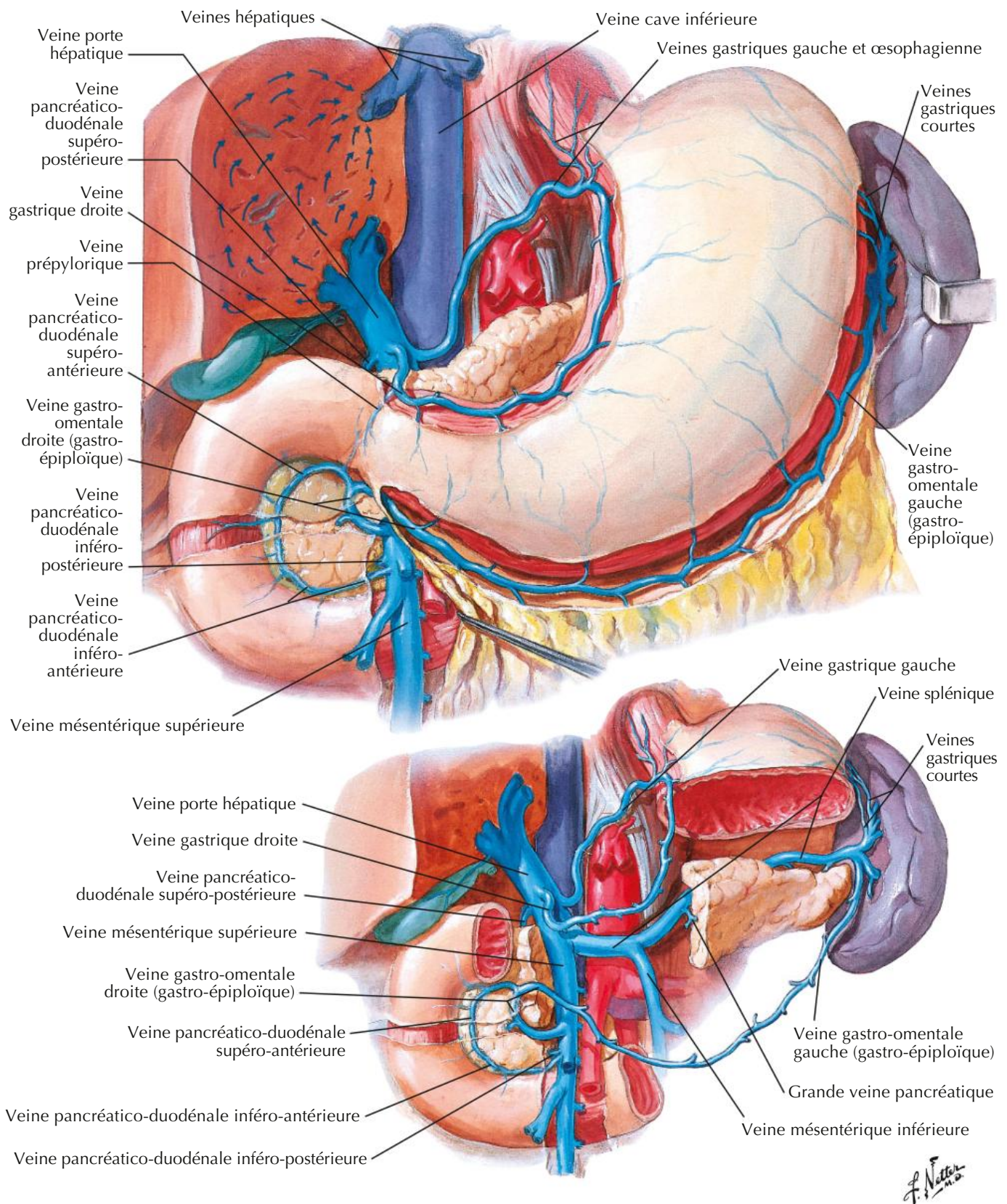


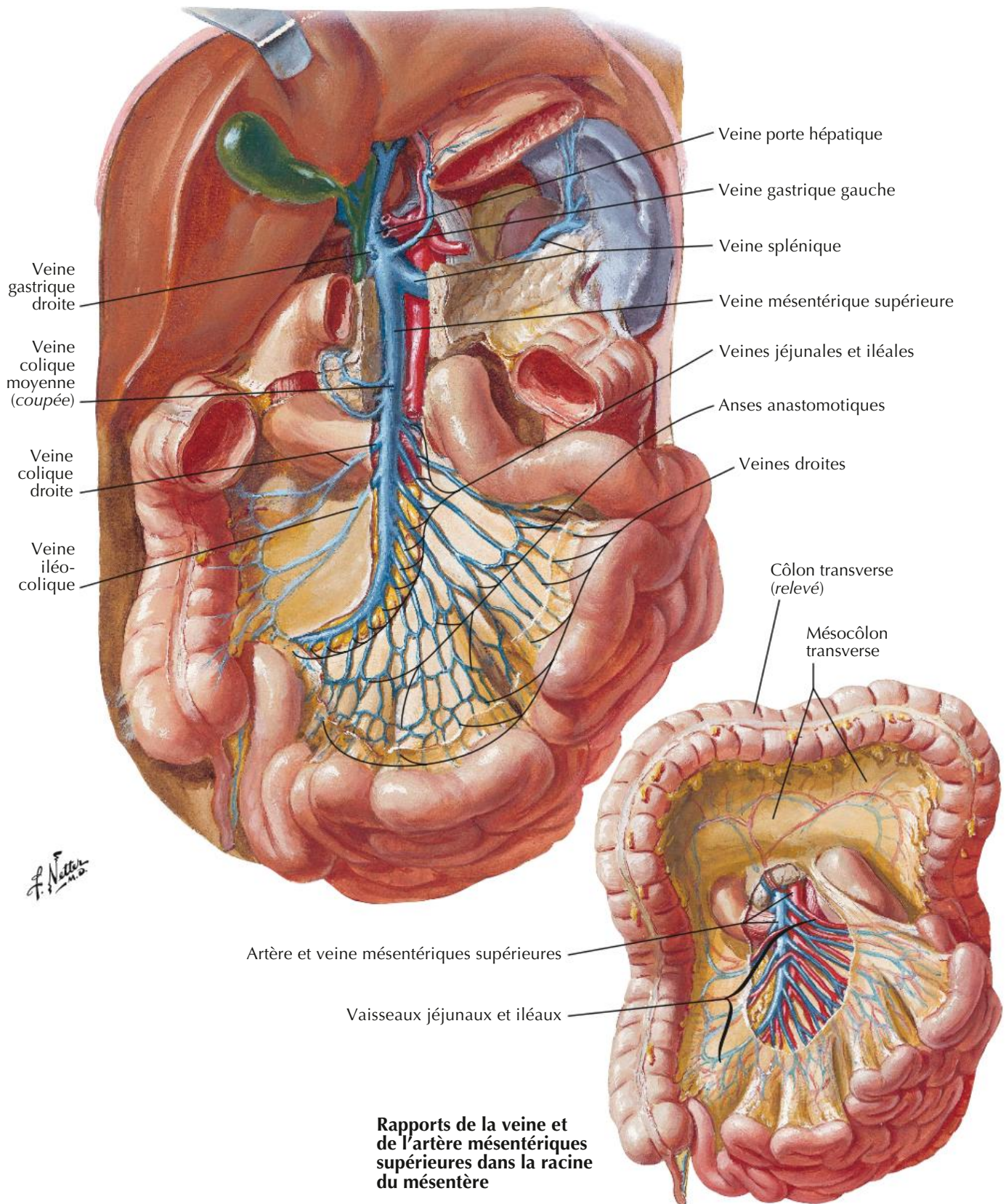
Artères de l'intestin grêle

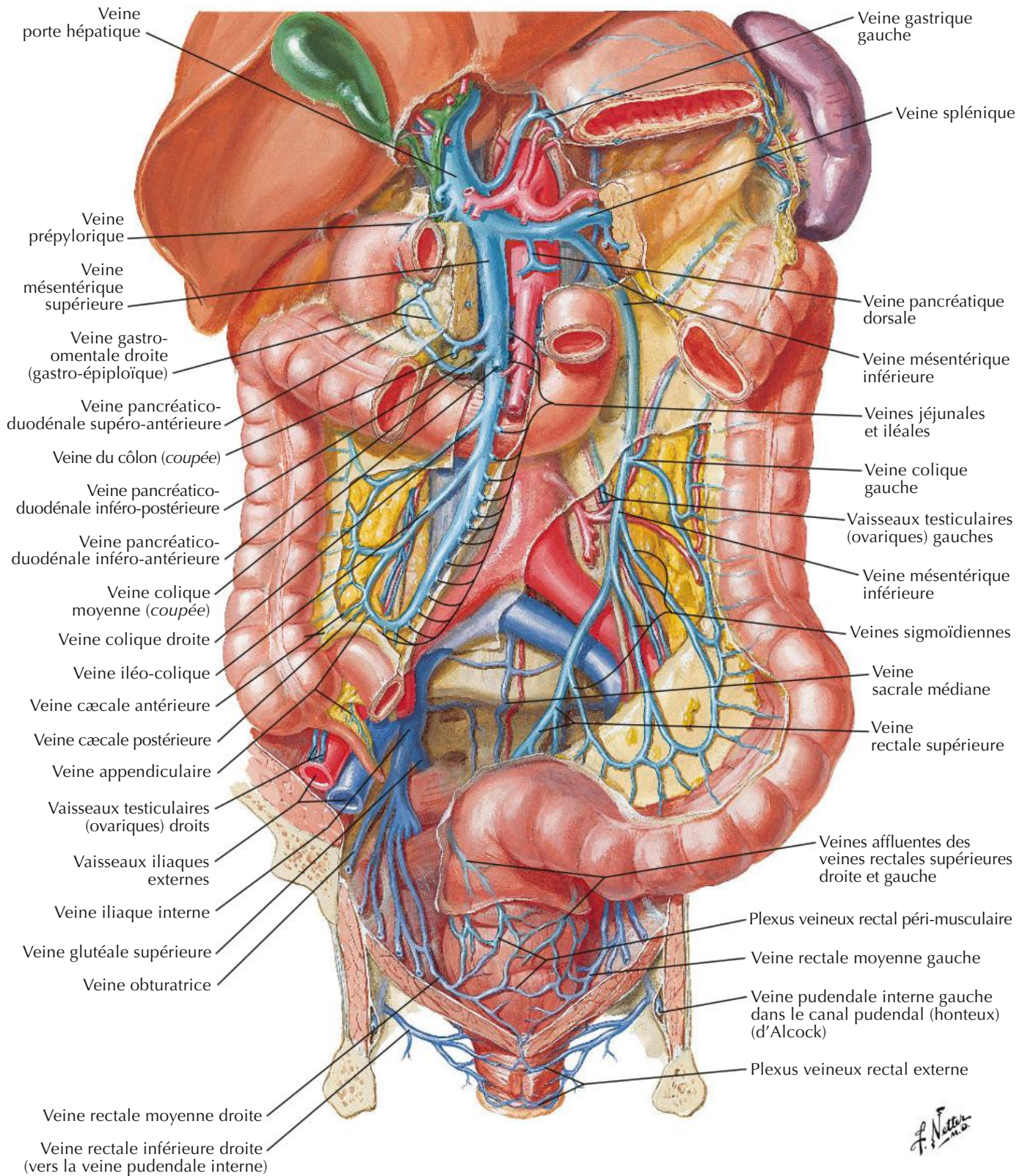




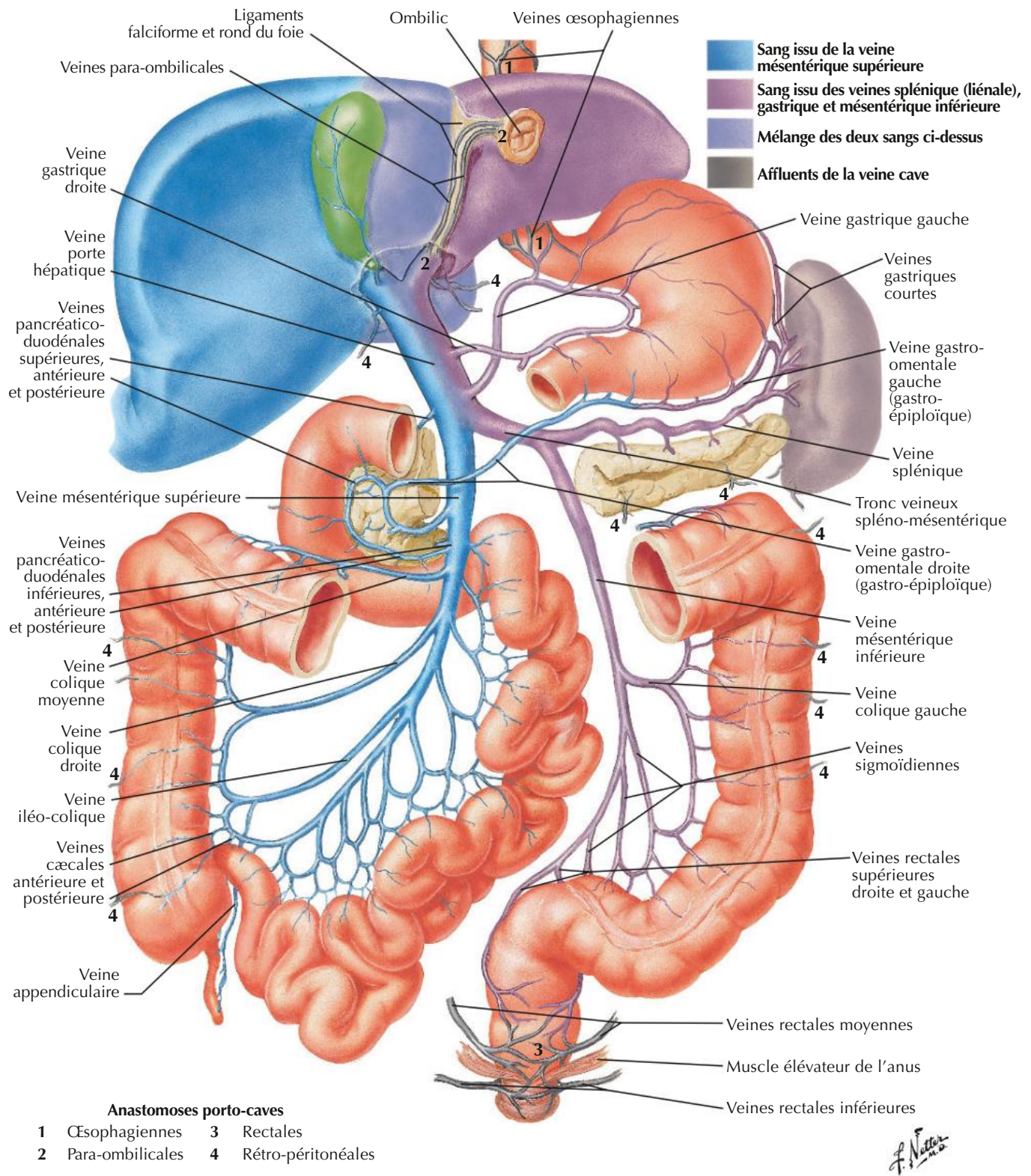
Veines de l'estomac, du duodénum, du pancréas et de la rate



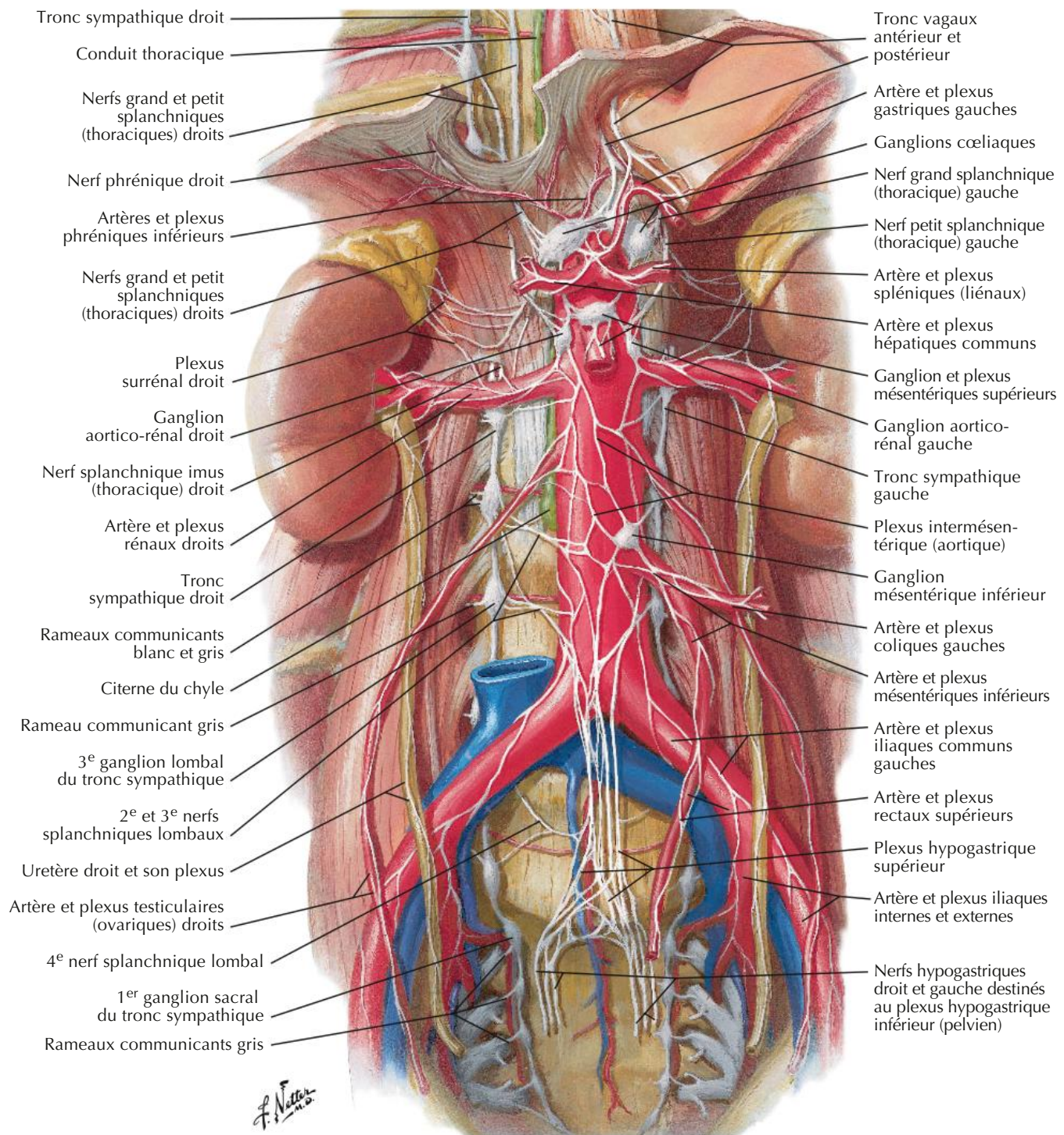


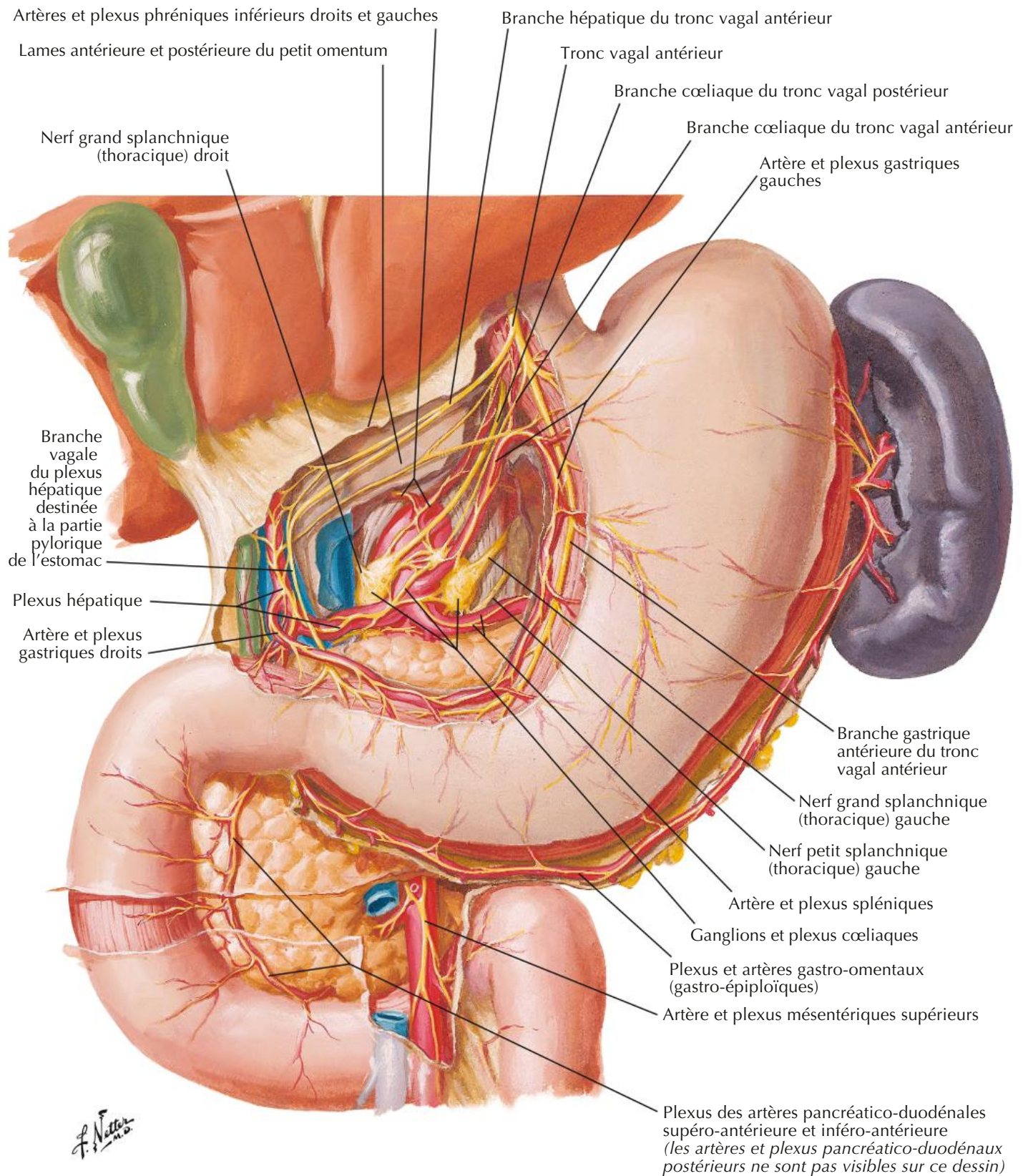


F. Netter M.D.

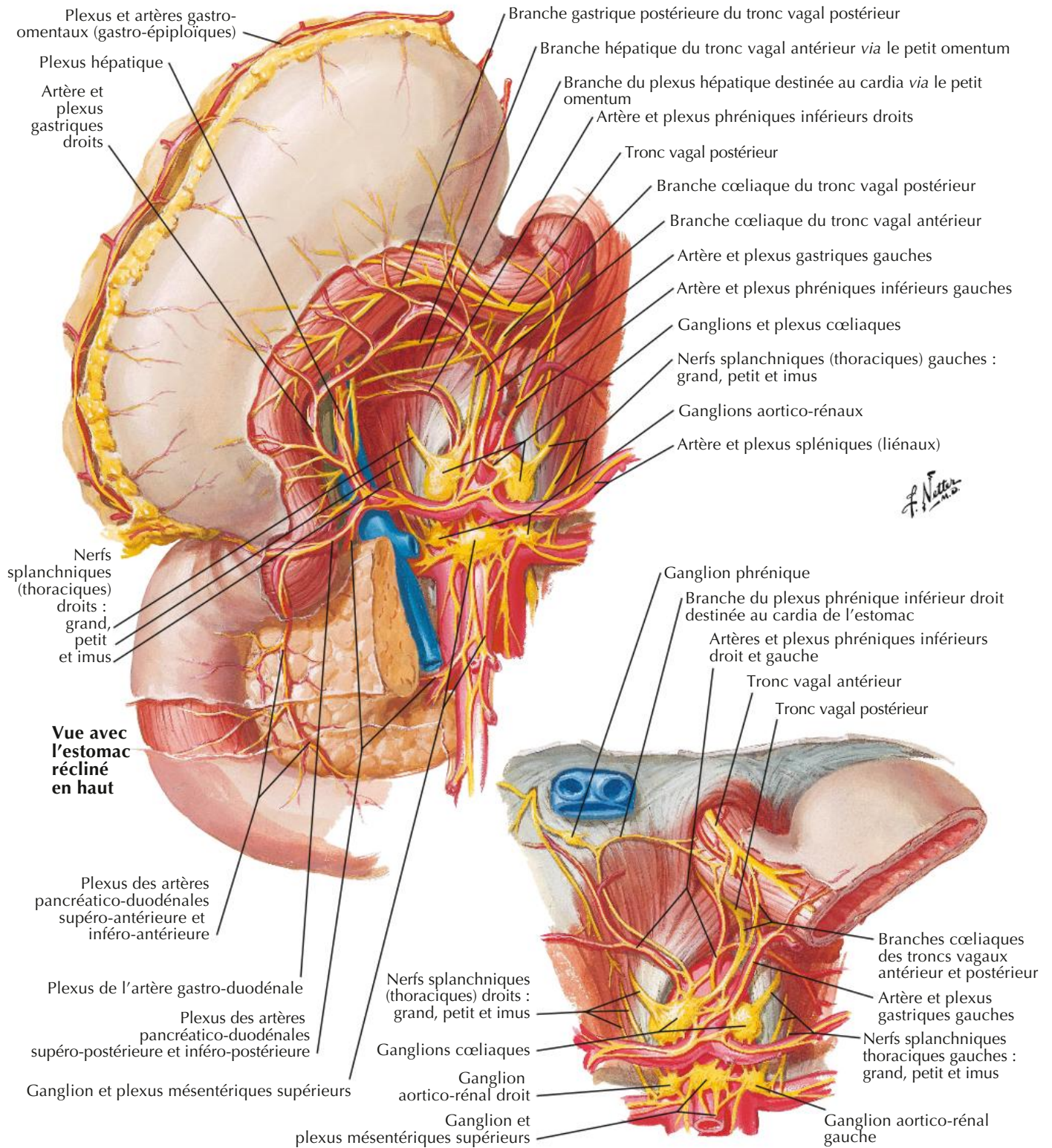


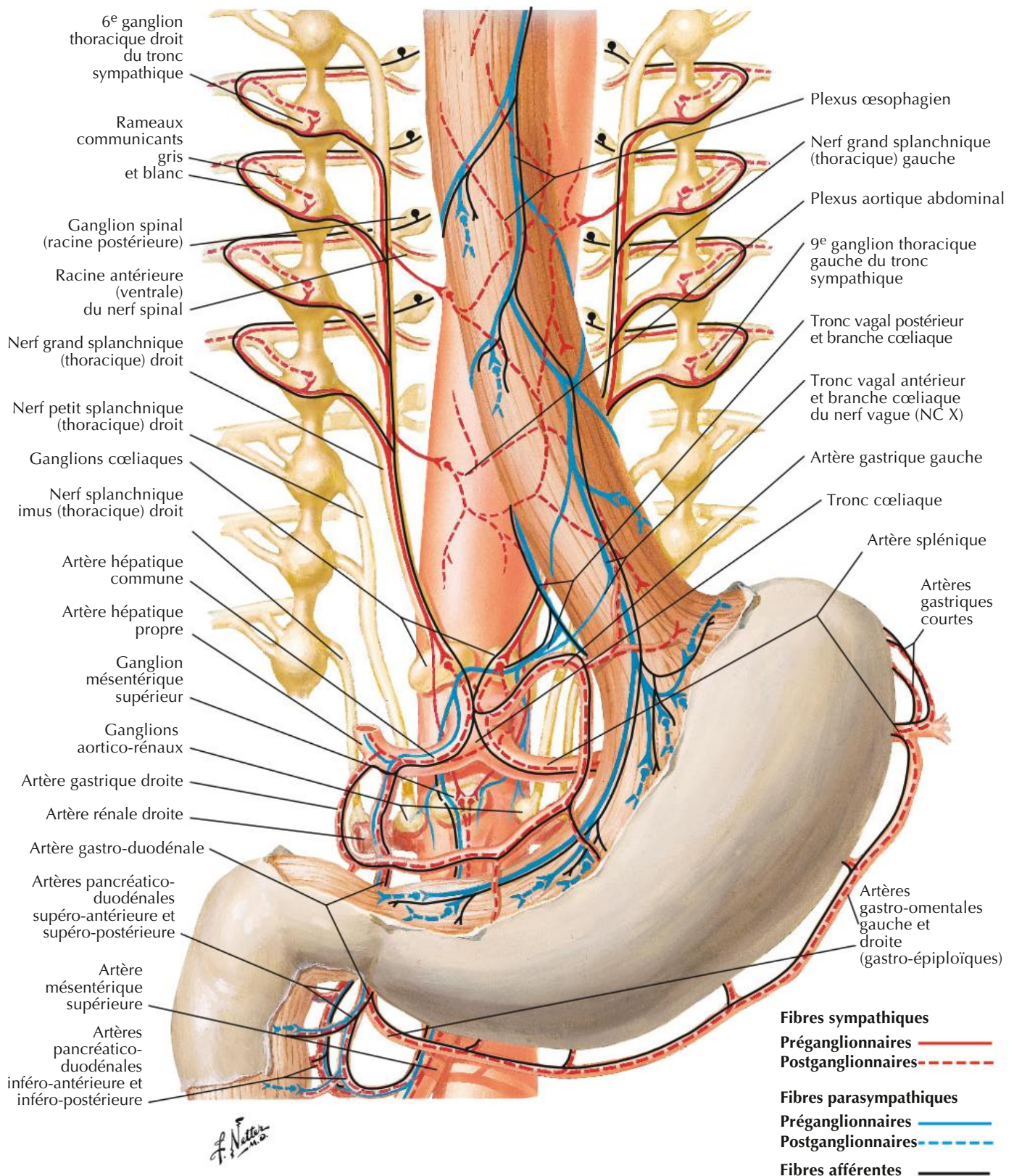
F. Netter

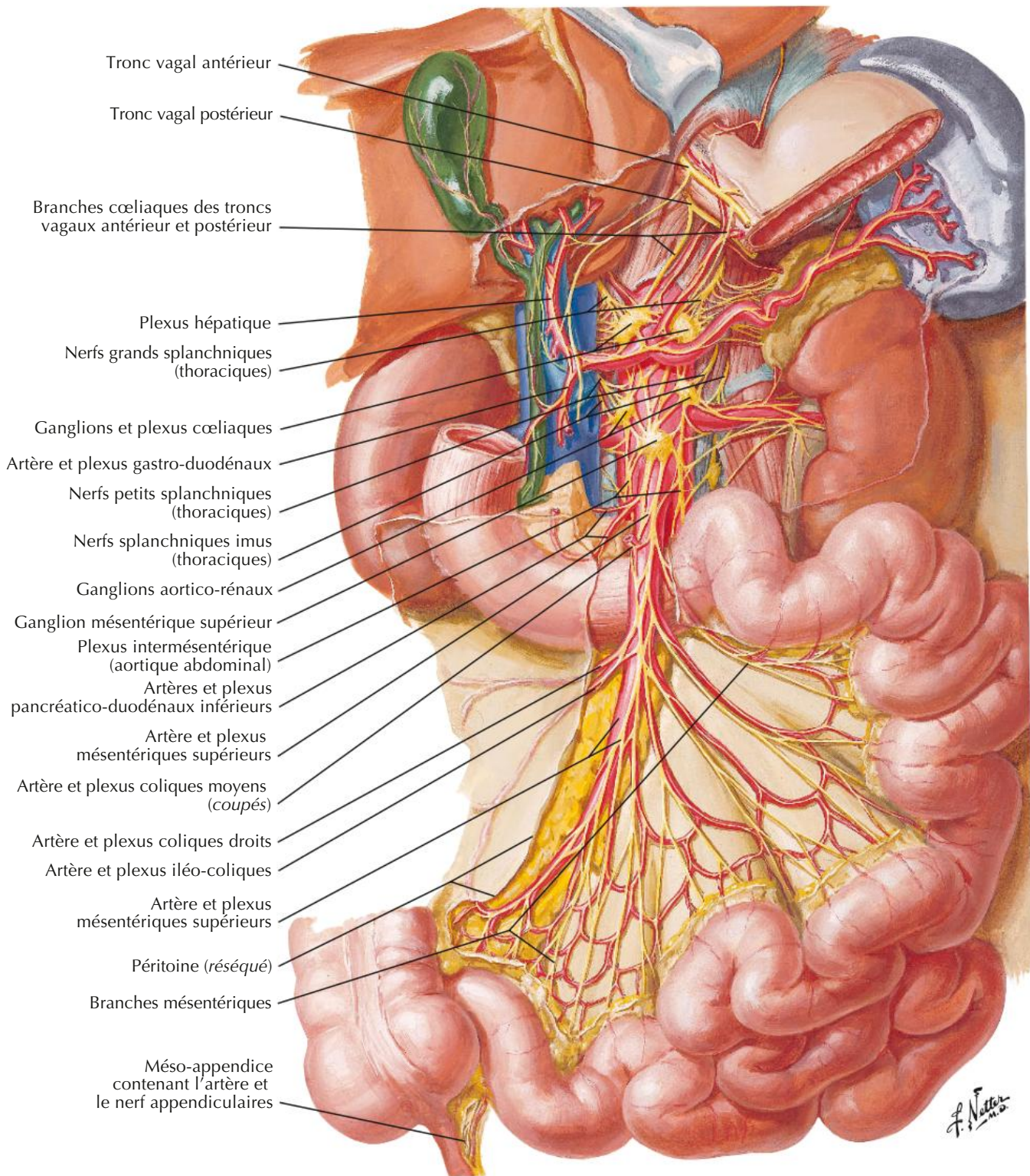


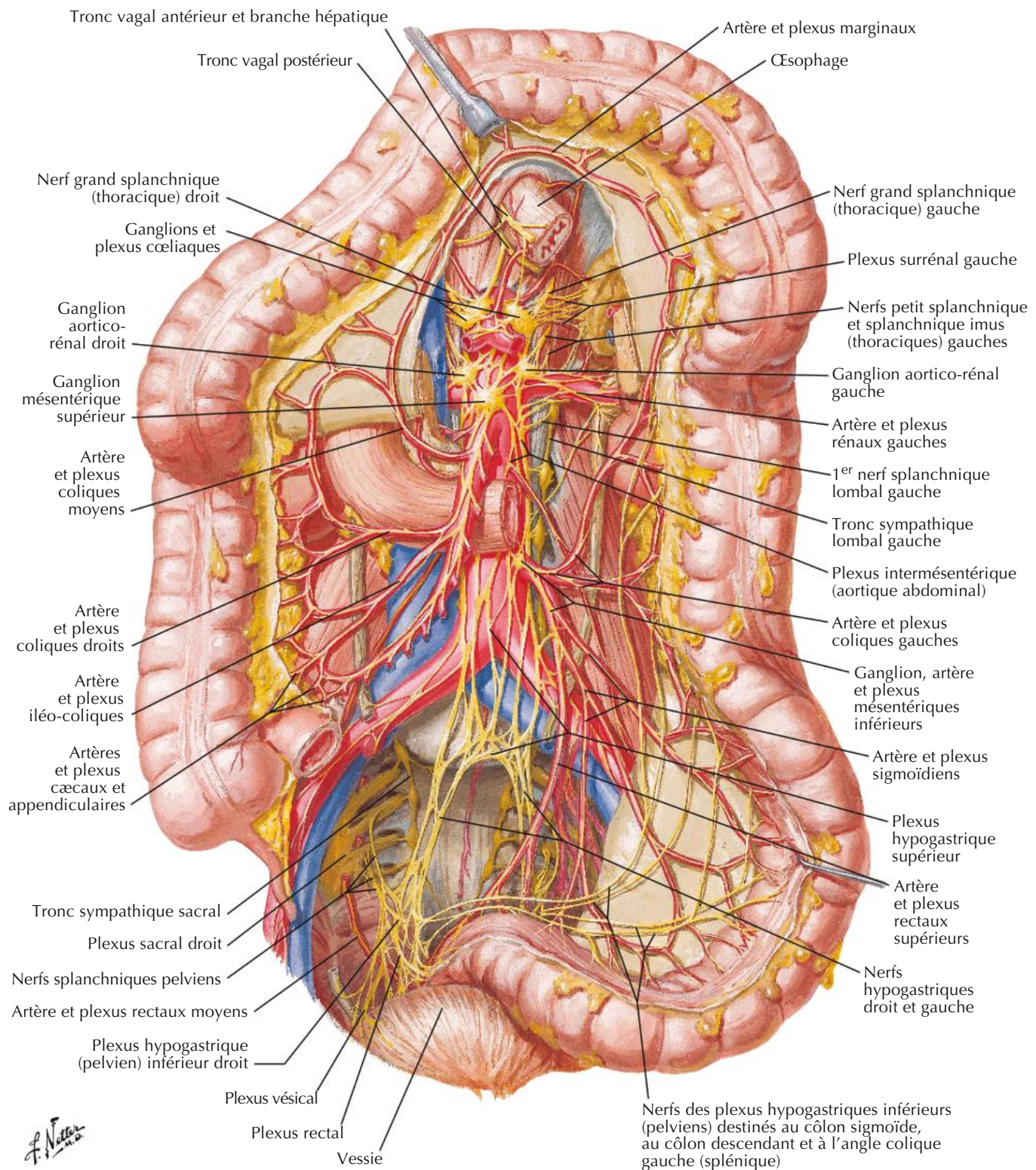


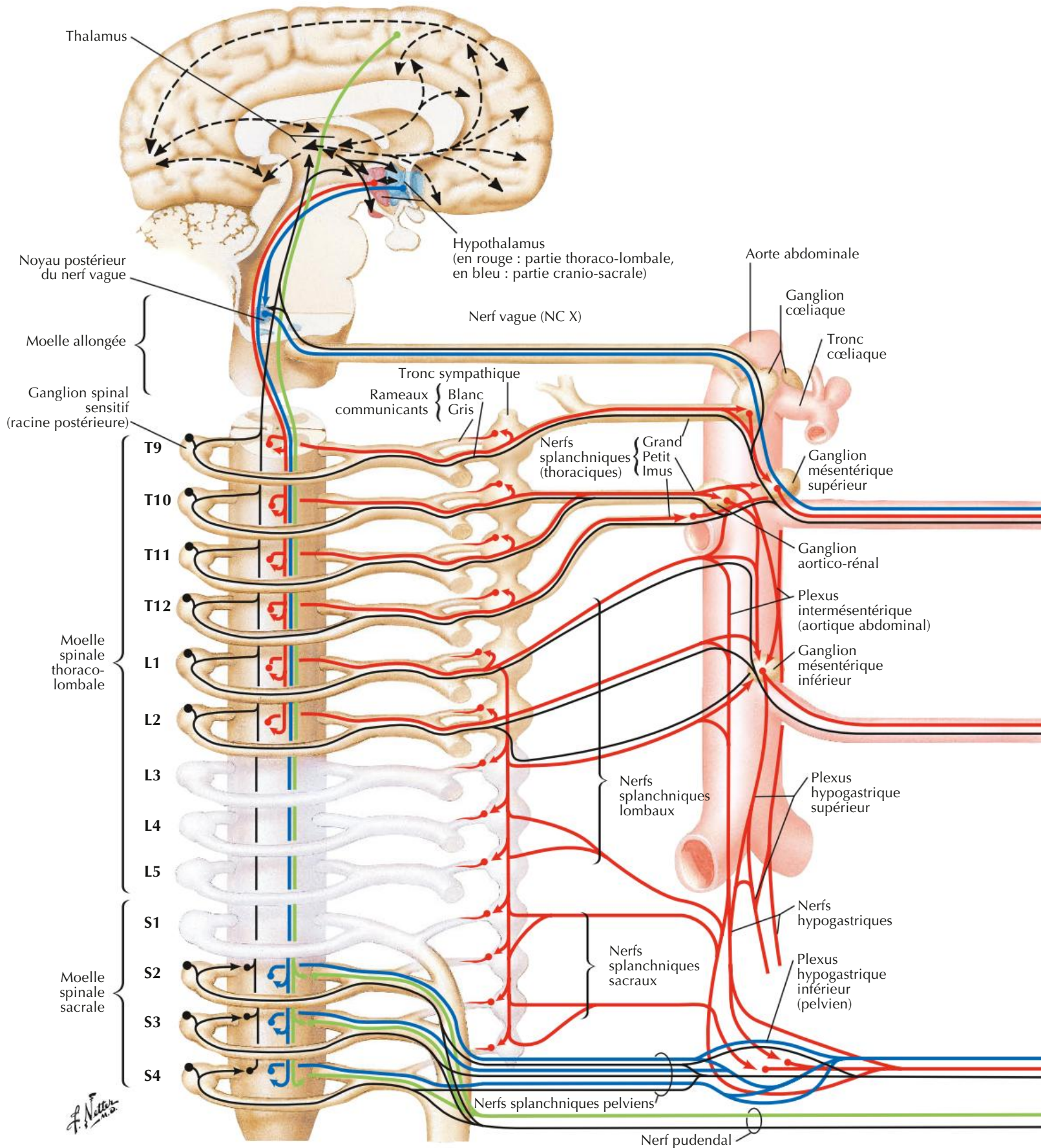
Innervation autonome de l'estomac et du duodénum (suite)



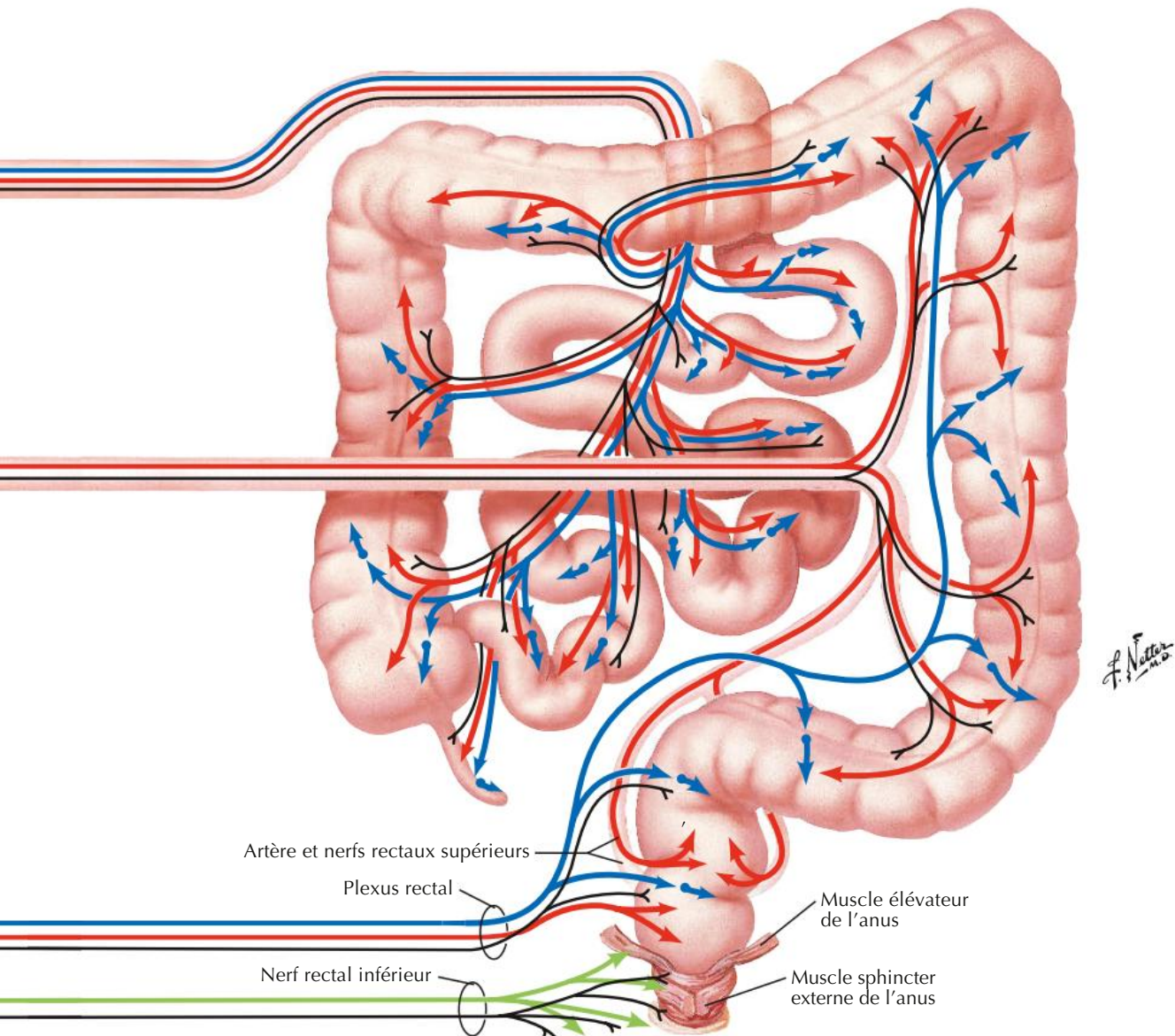


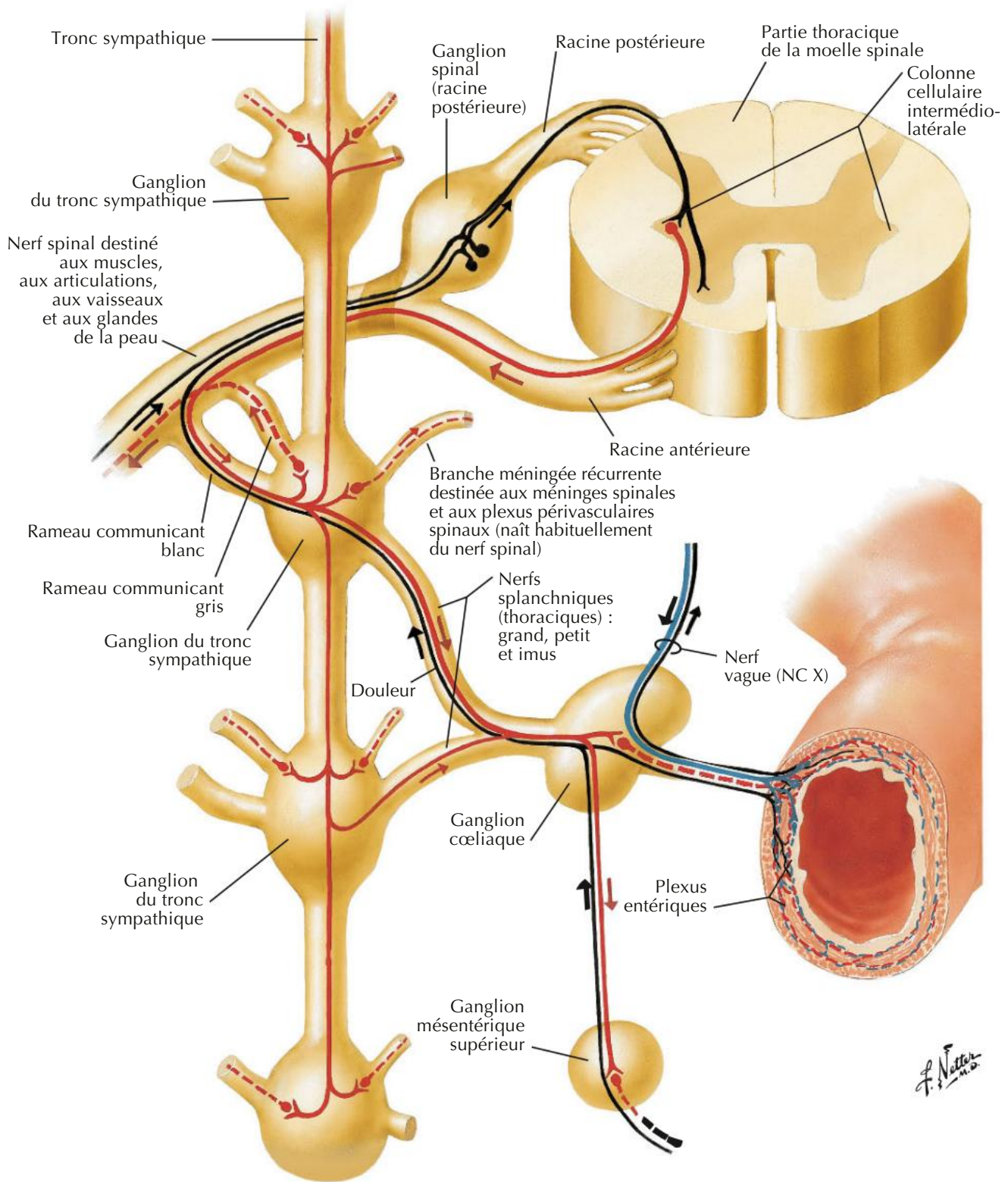




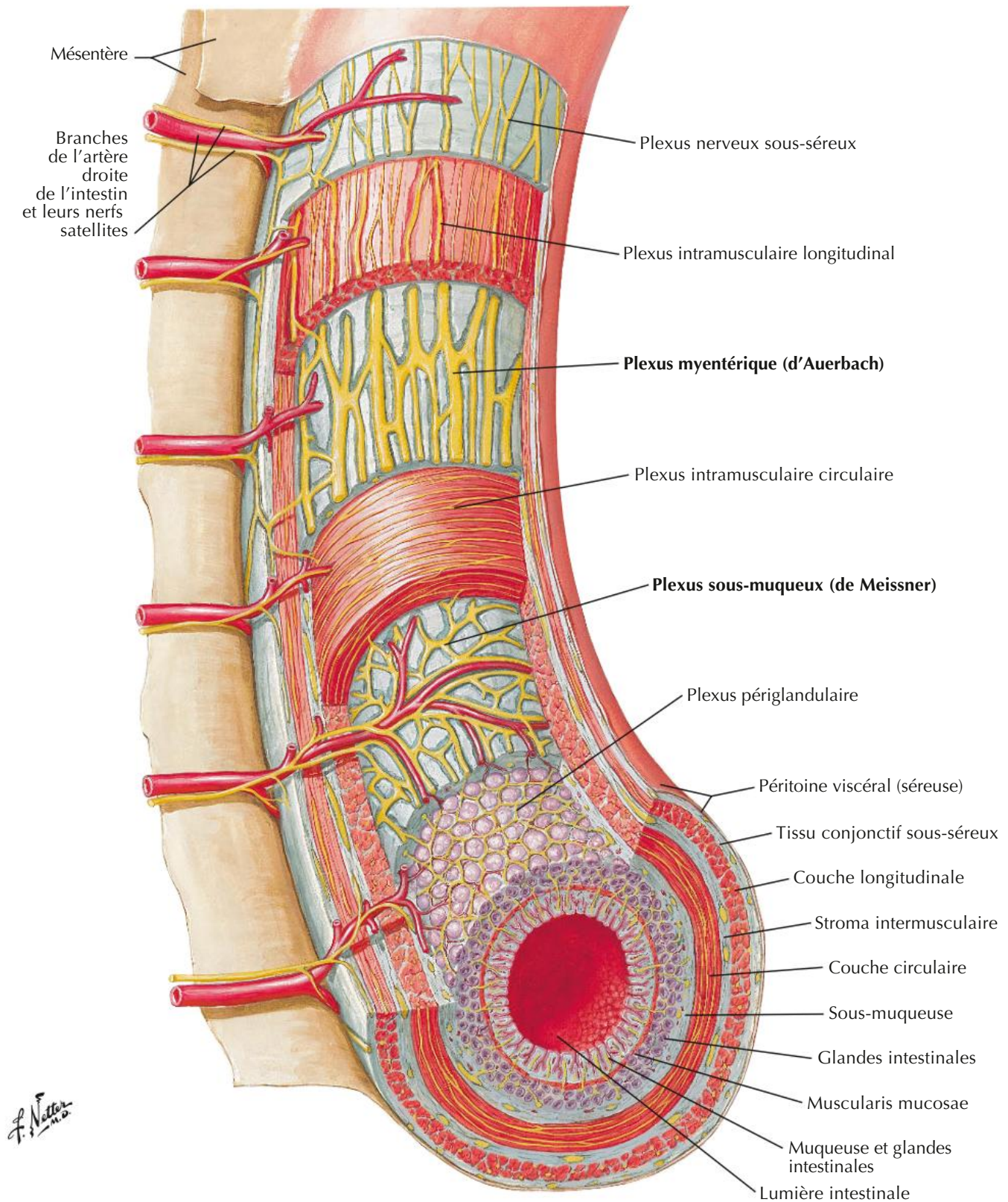


- Efférents sympathiques ———
- Efférents parasympathiques ———
- Efférents somatiques ———
- Afférents et connexions du SNC ———
- Voies indéterminées - - - - -





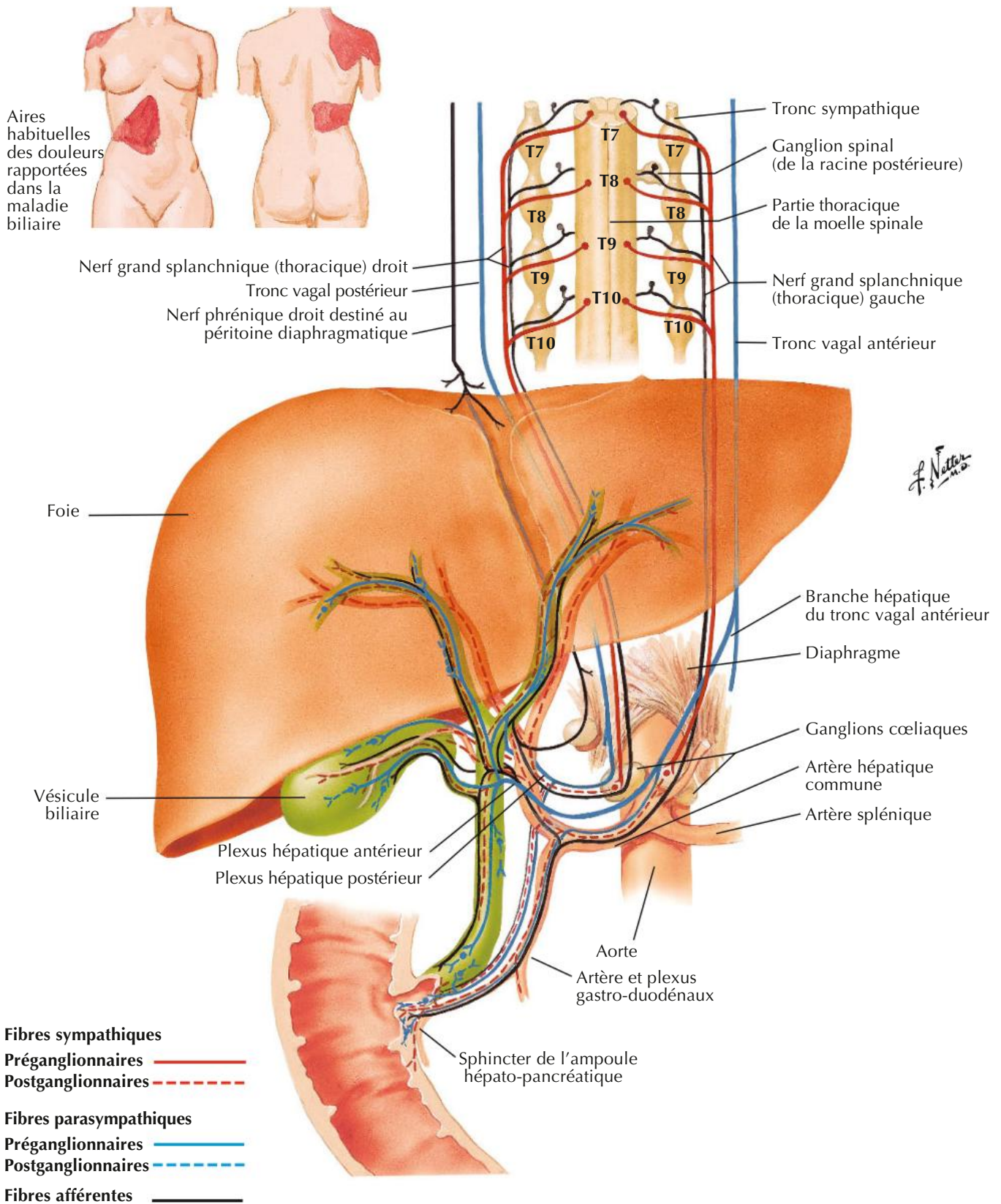
Fibres sympathiques	{	Préganglionnaires	—	Fibres parasympathiques	{	Préganglionnaires	—	Fibres afférentes	—
		Postganglionnaires	- - -			Postganglionnaires	- - -		



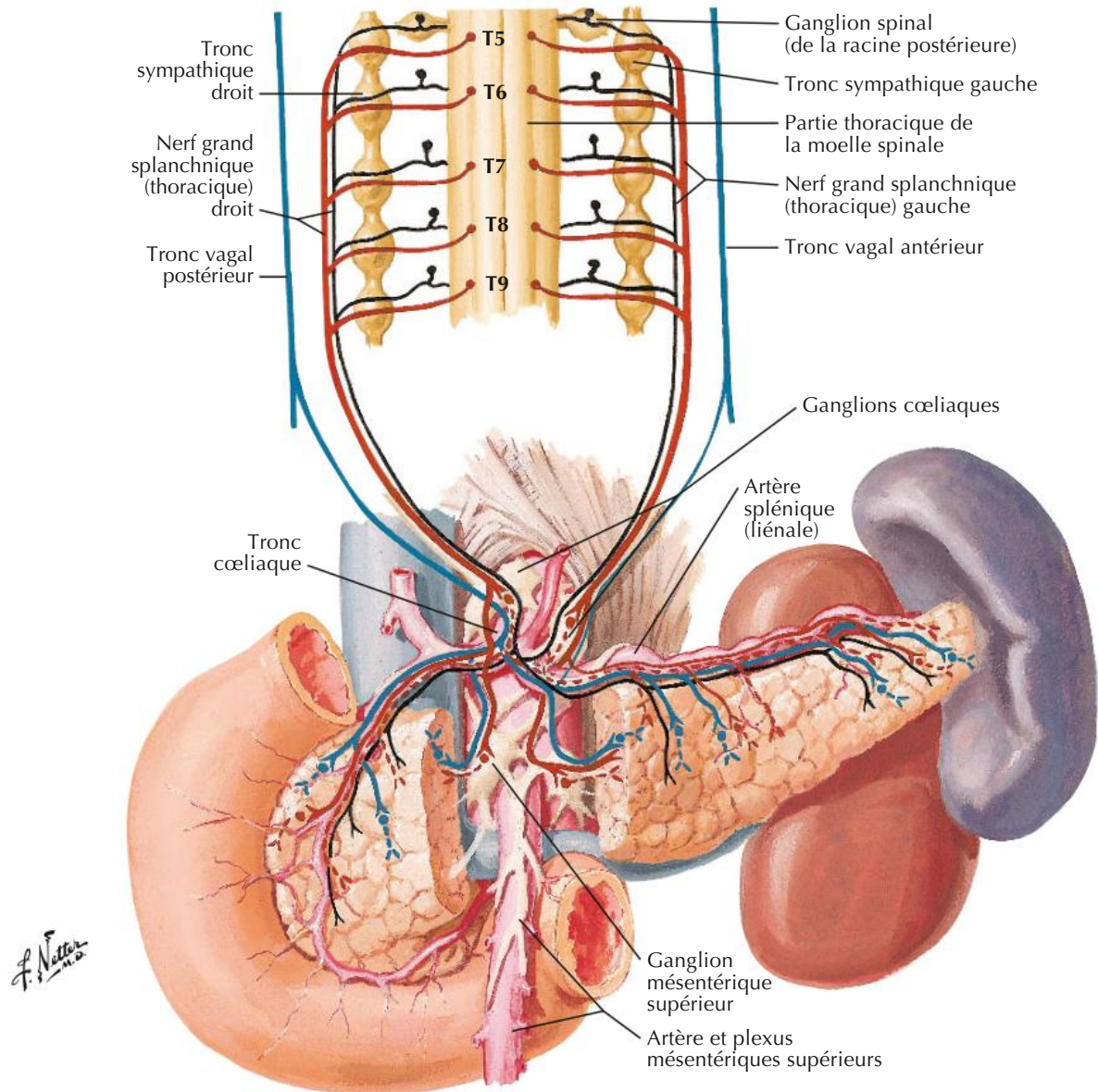
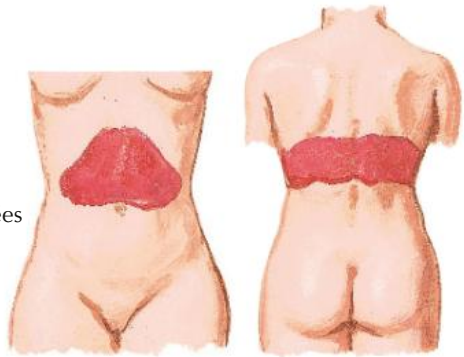
Note : la paroi intestinale est montrée beaucoup plus épaisse que dans la réalité.

Innervation autonome du foie : schéma

Voir aussi Planches 172,173



Aires habituelles
des douleurs
pancréatiques rapportées



Fibres sympathiques

Préganglionnaires ———

Postganglionnaires - - - - -

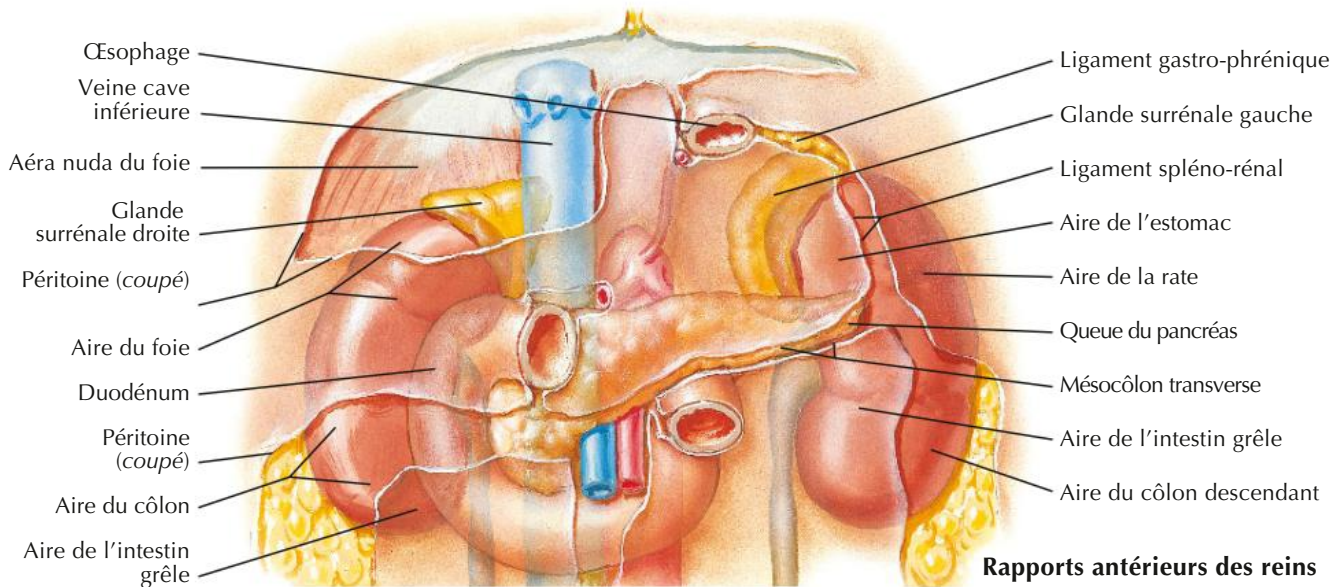
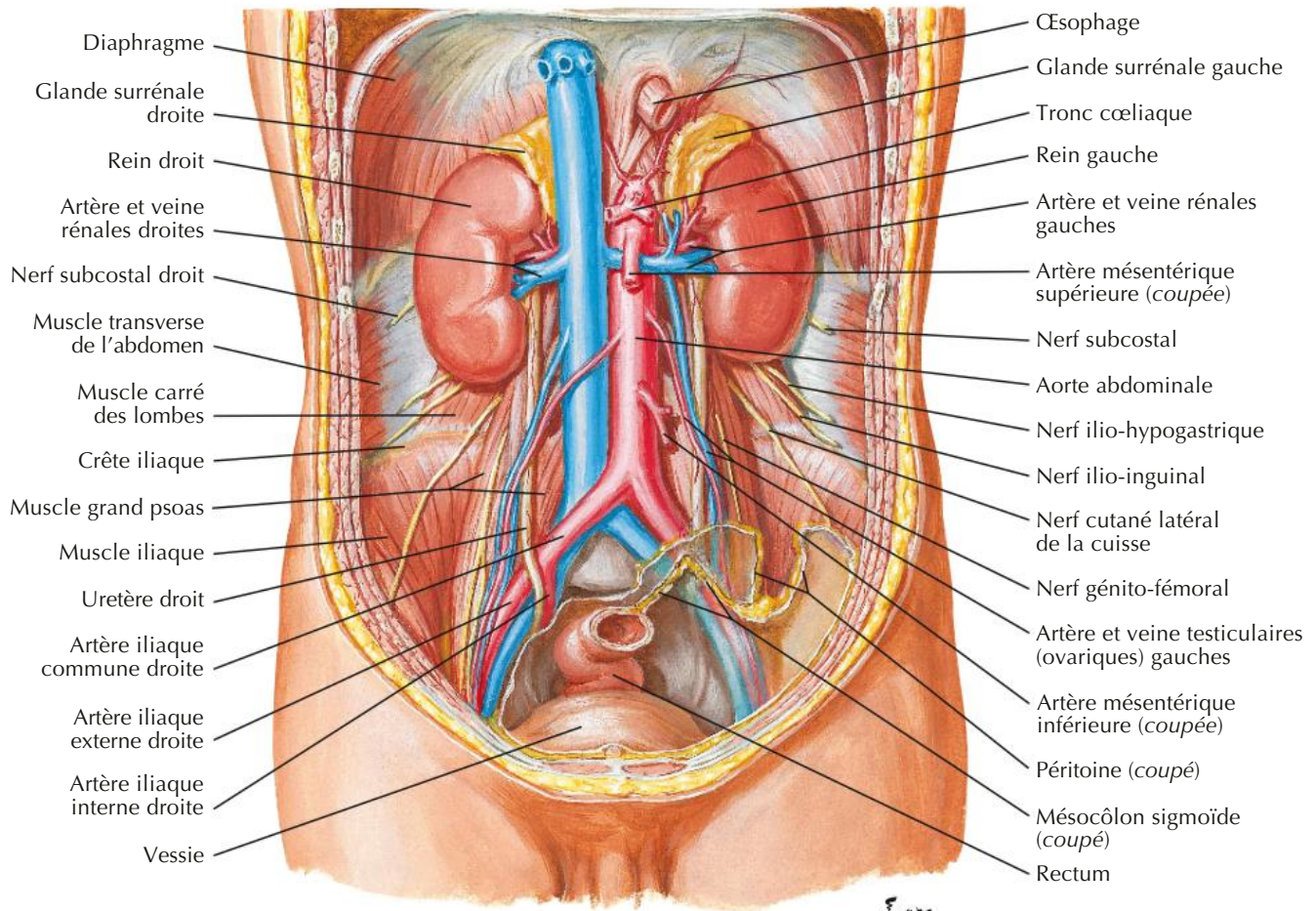
Fibres parasympathiques

Préganglionnaires ———

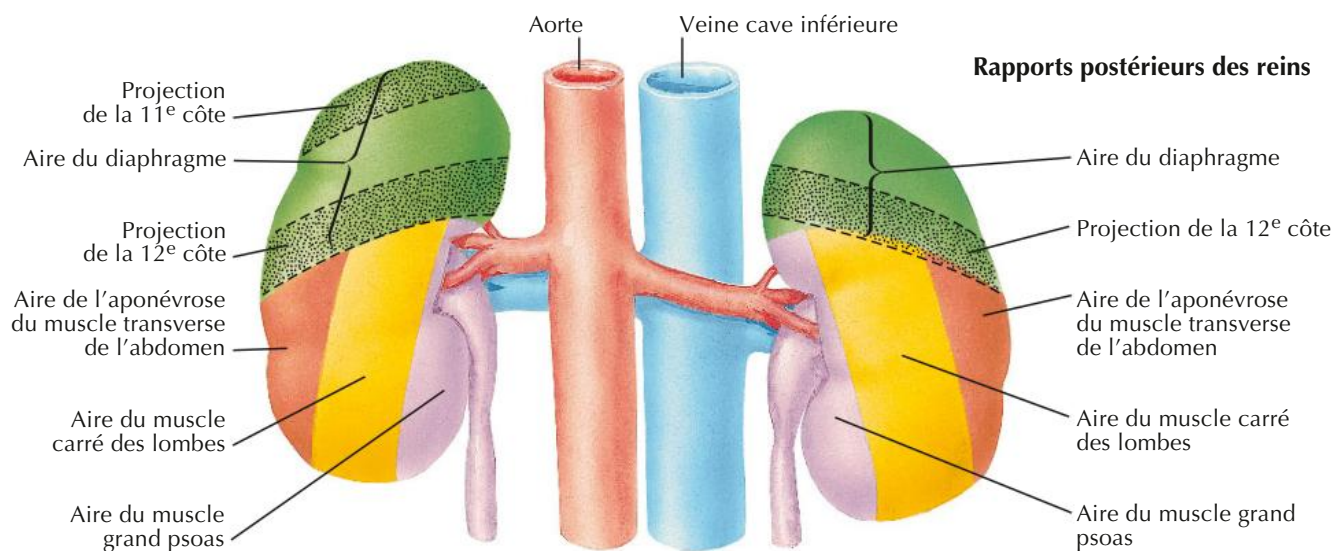
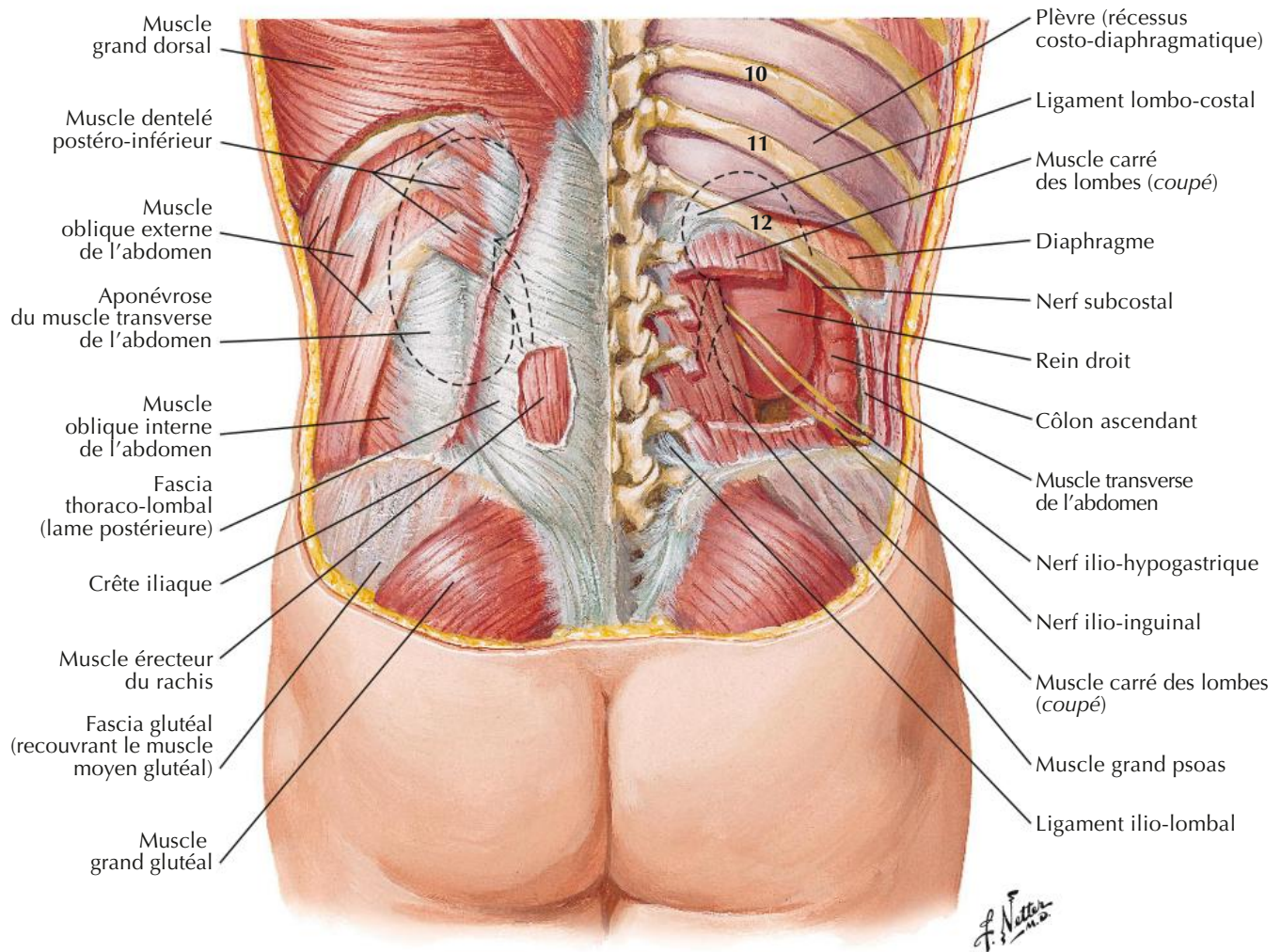
Postganglionnaires - - - - -

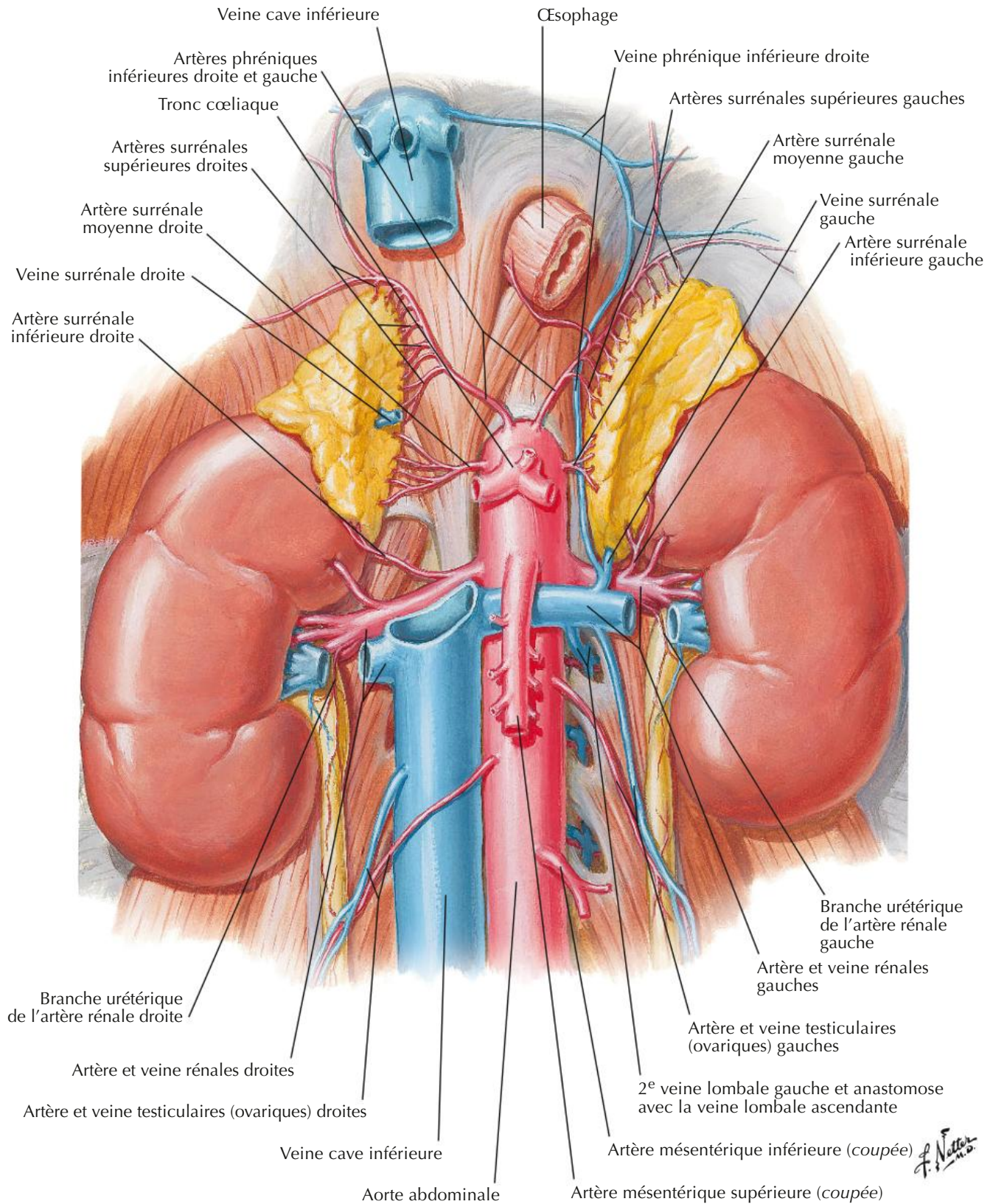
Fibres afférentes ———

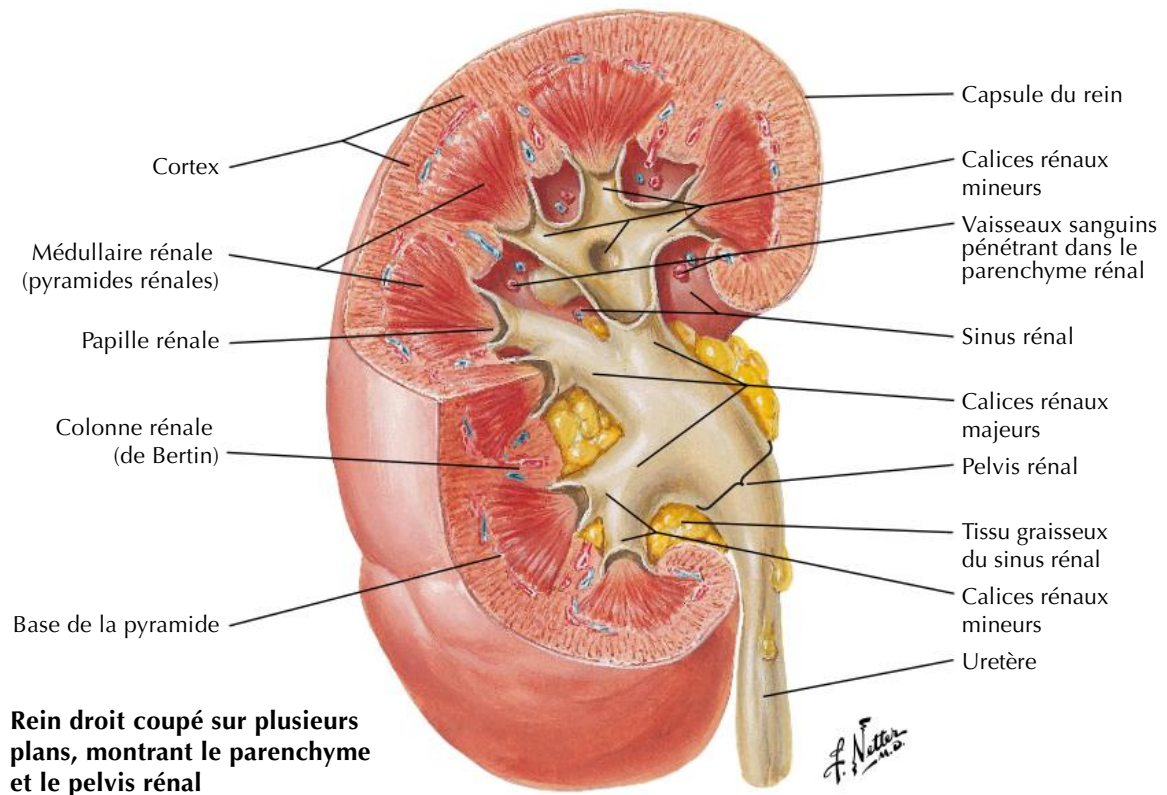
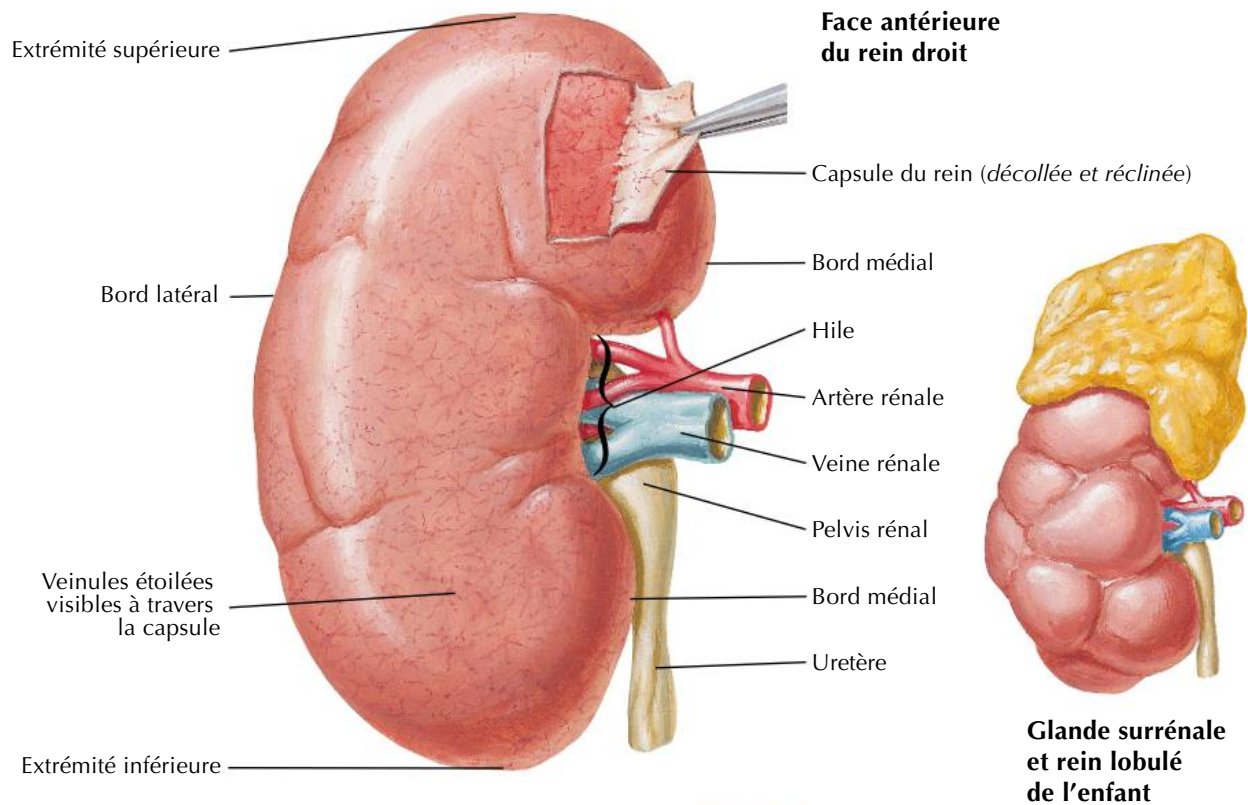
Reins *in situ* : vues antérieures



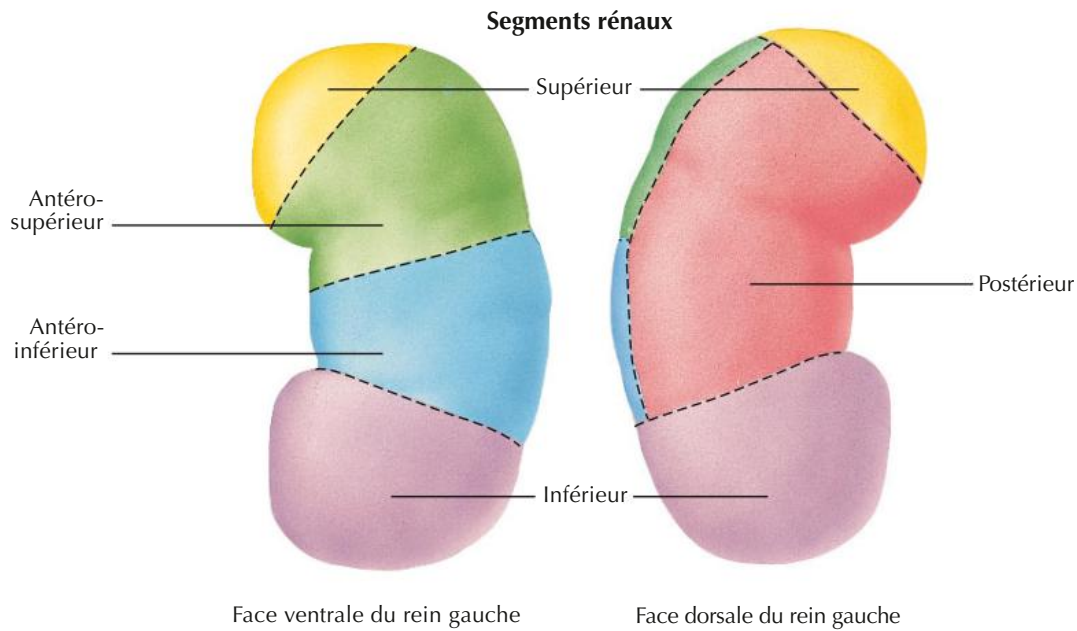
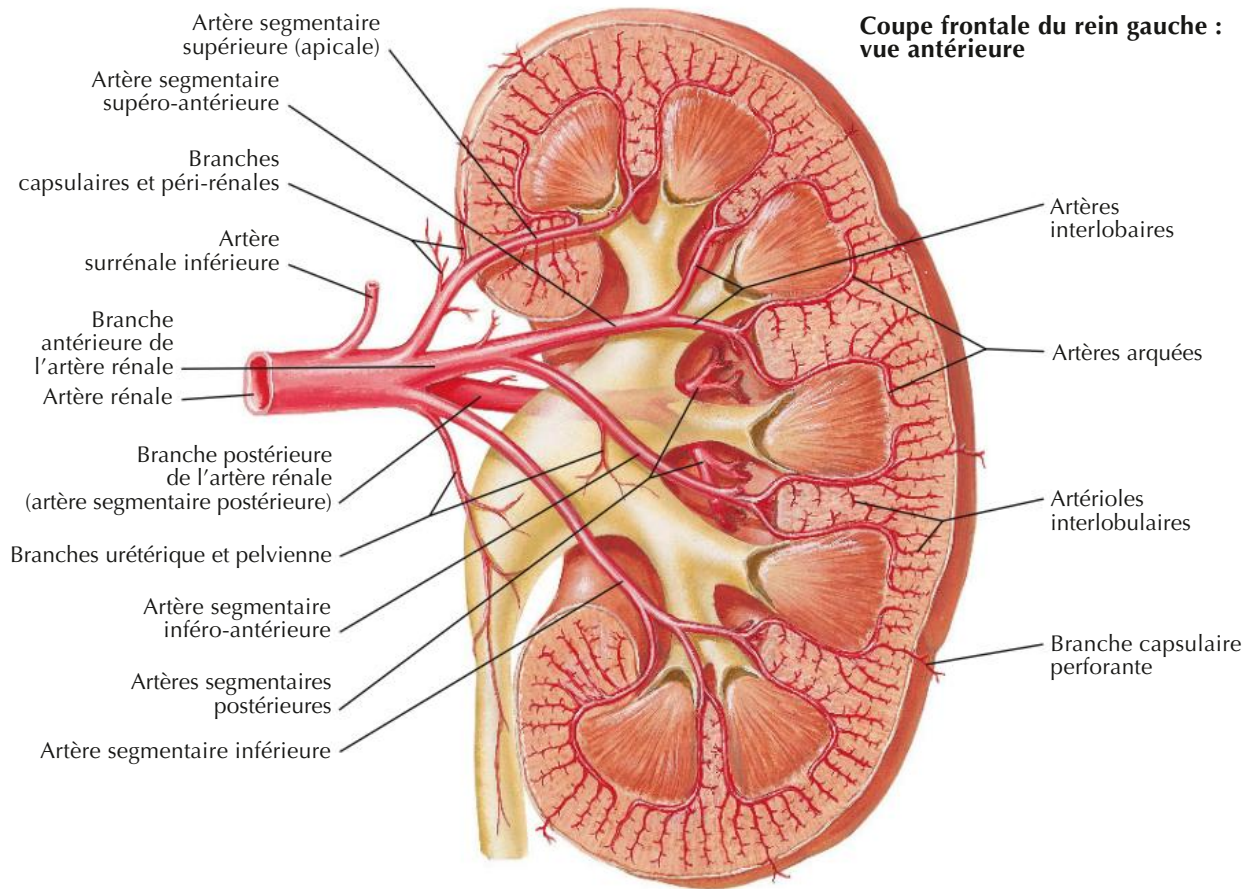
Rapports antérieurs des reins



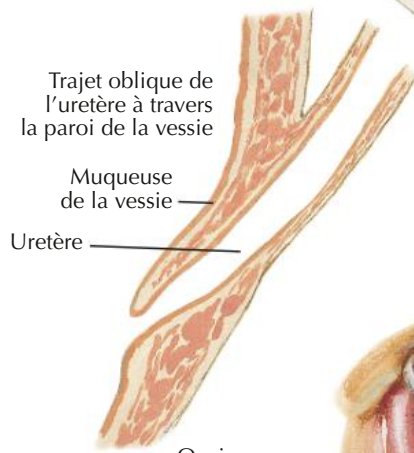
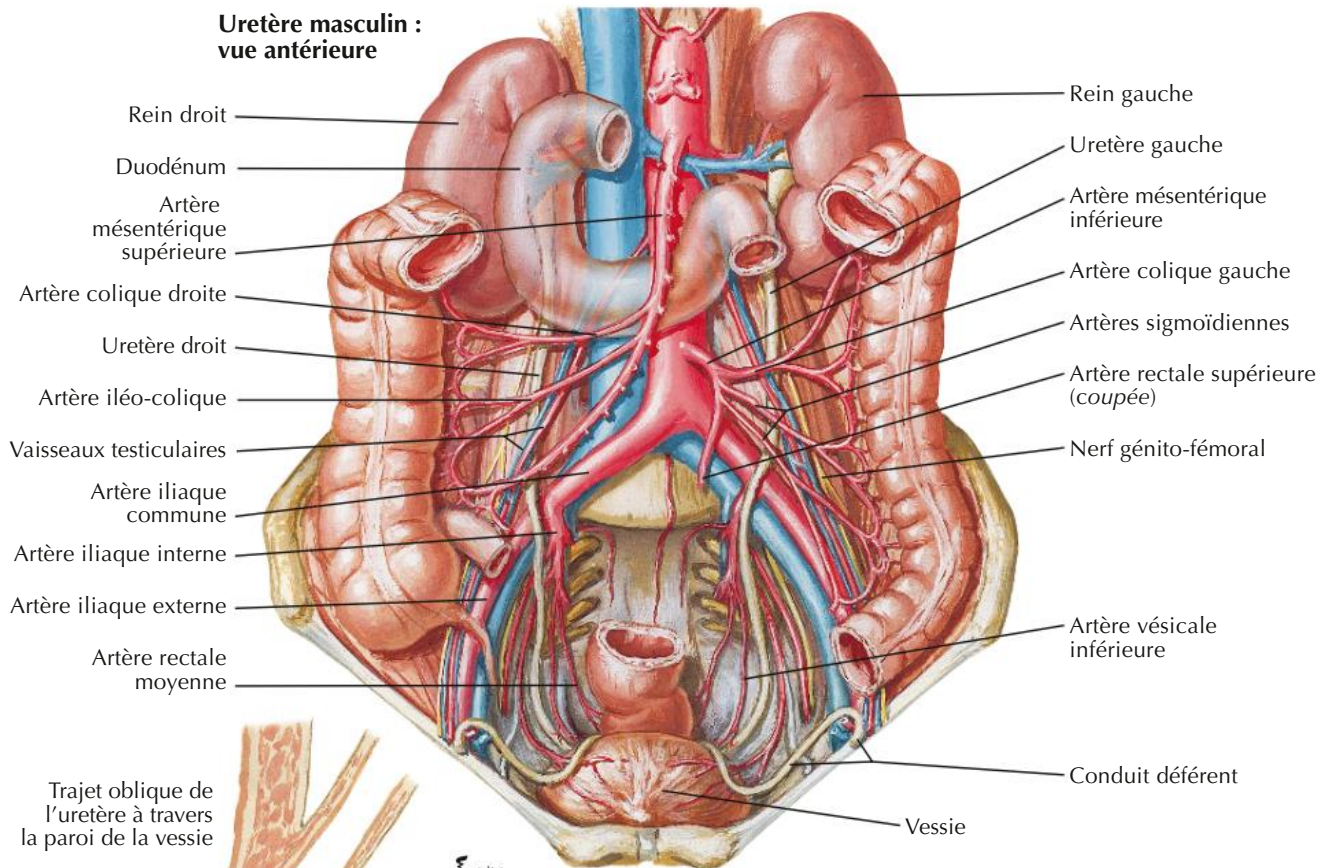




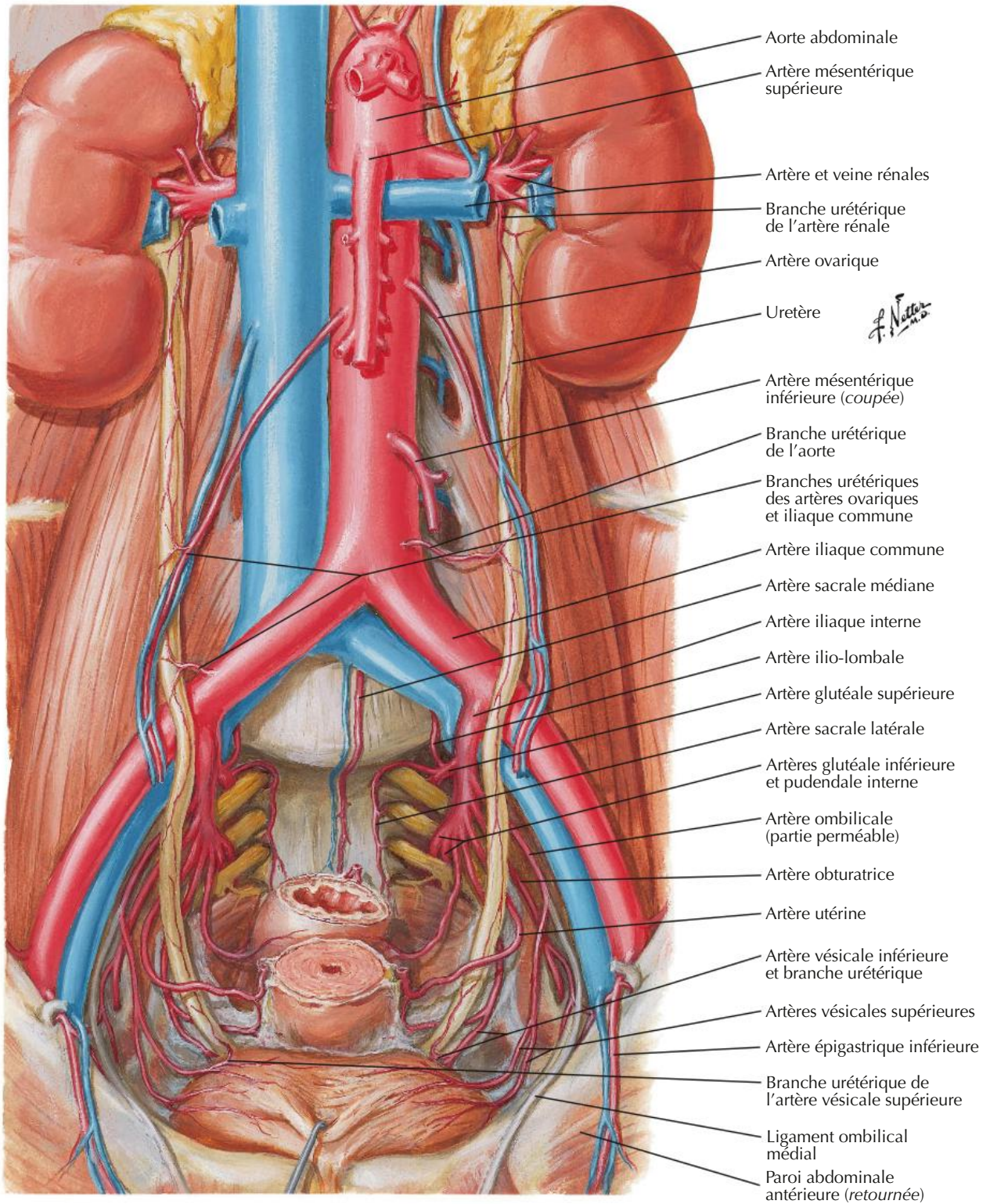
Artères intra-rénales et segments rénaux

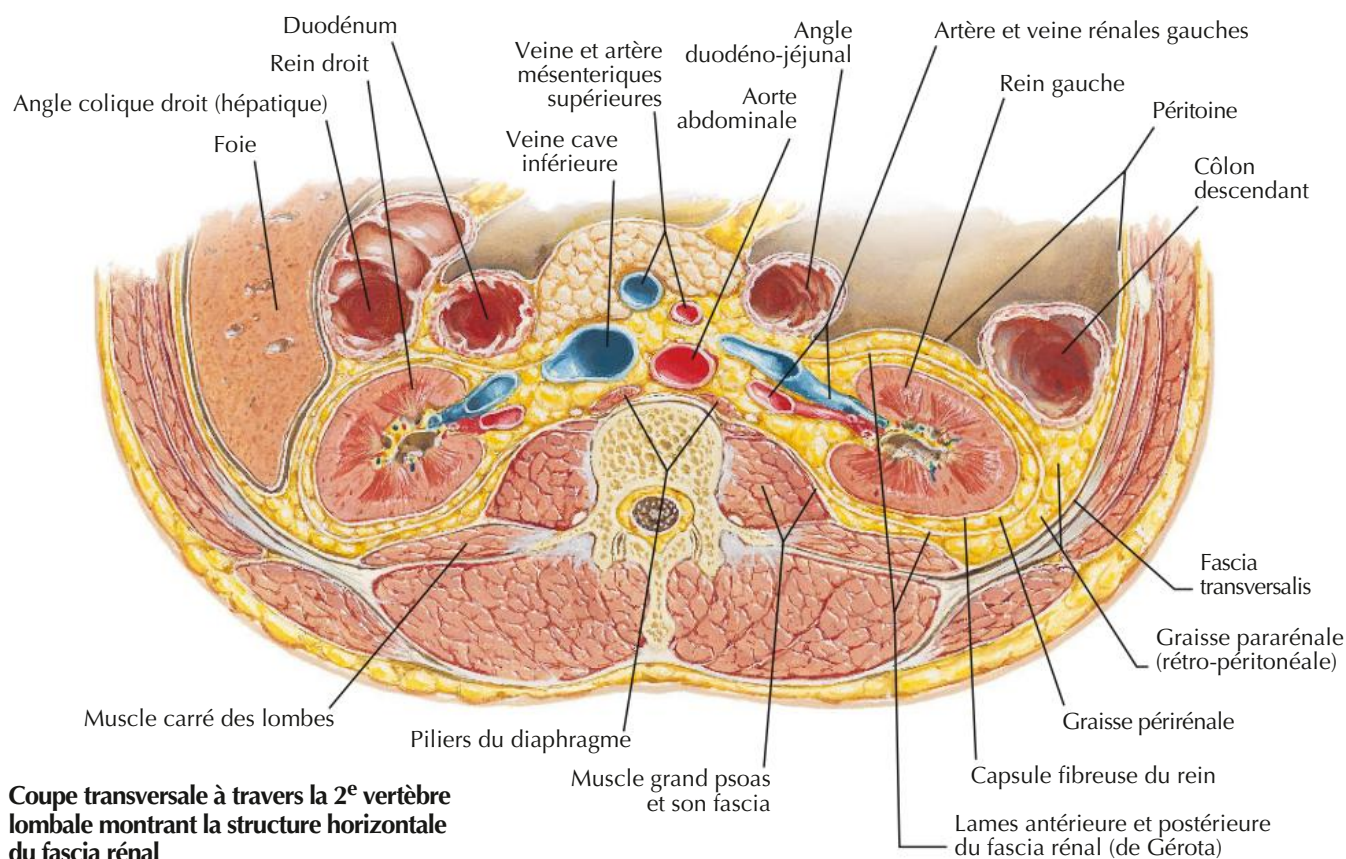


Uretère masculin : vue antérieure

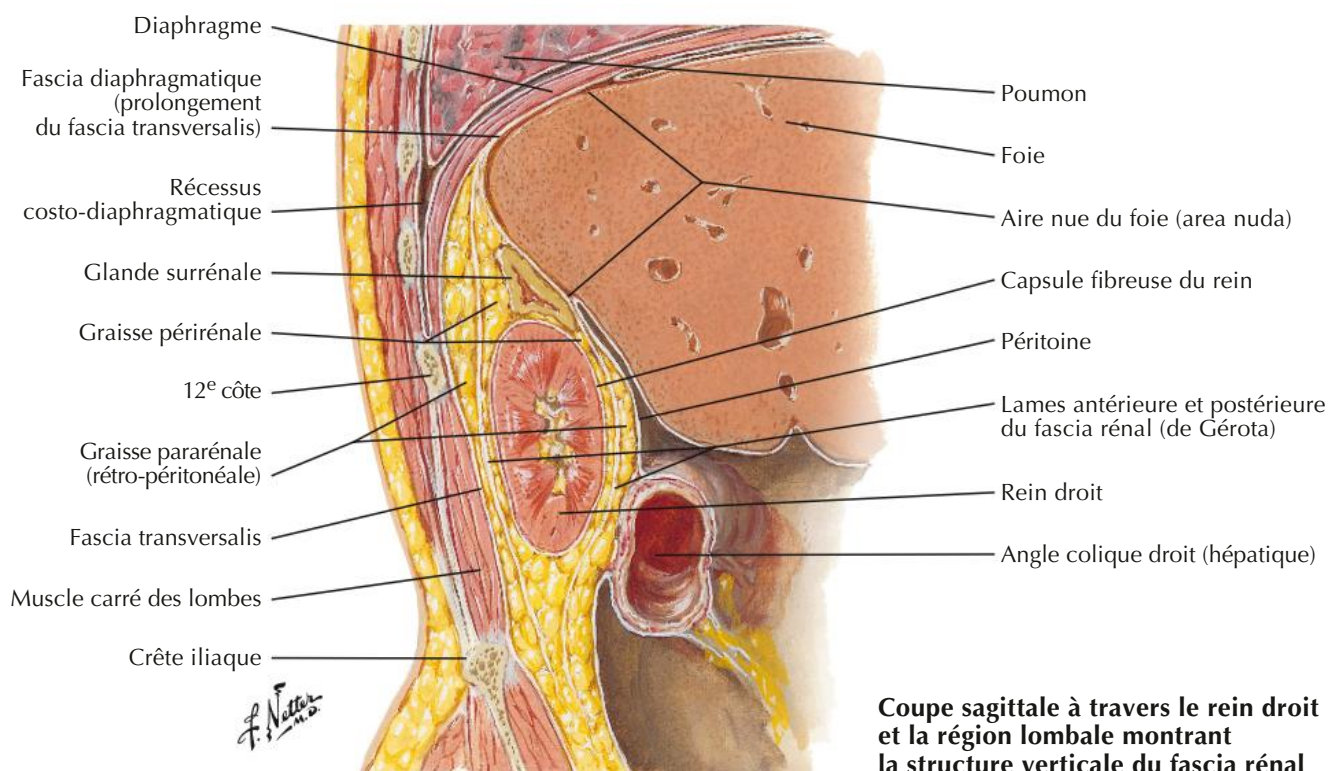


Uretère féminin : vue supérieure

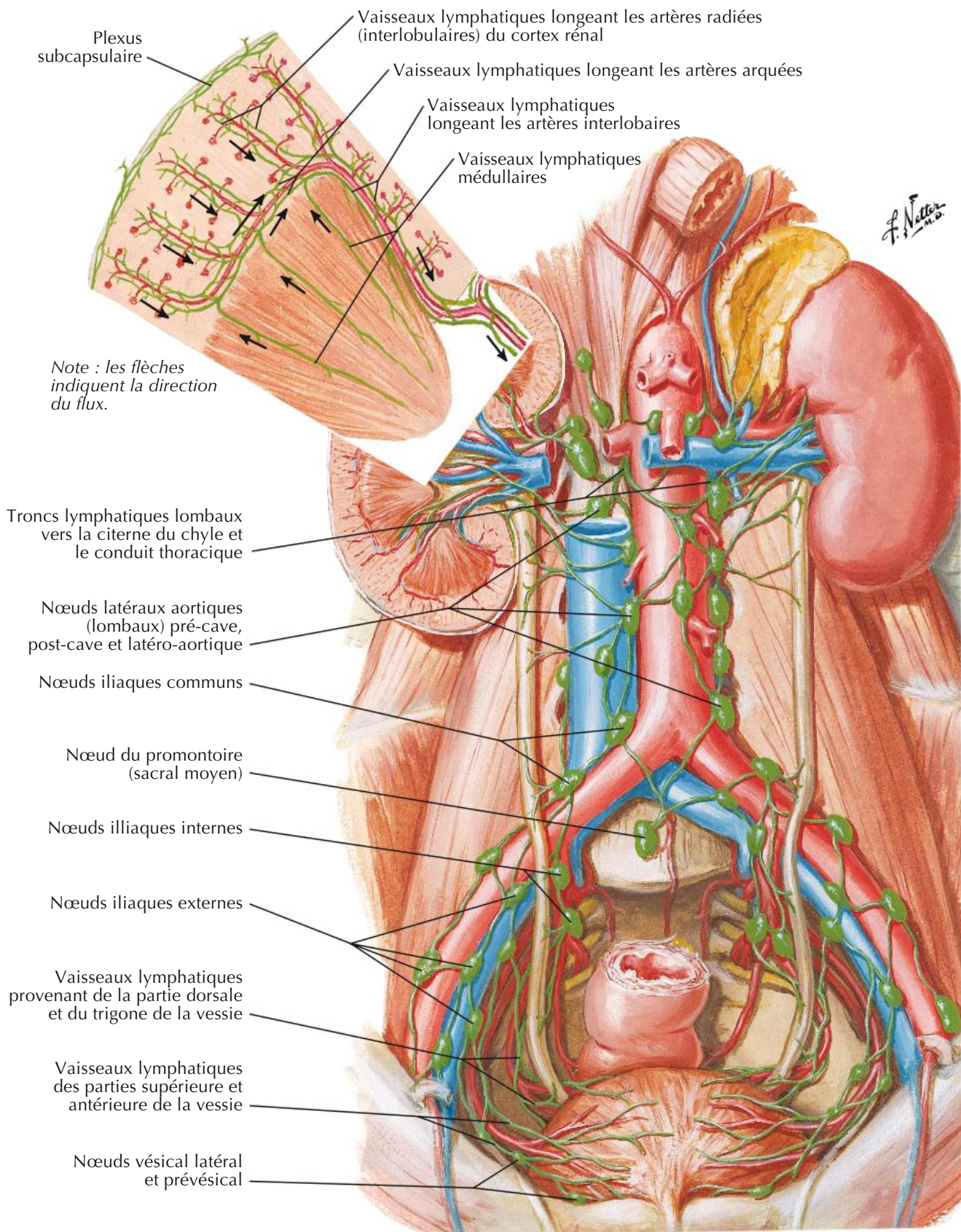


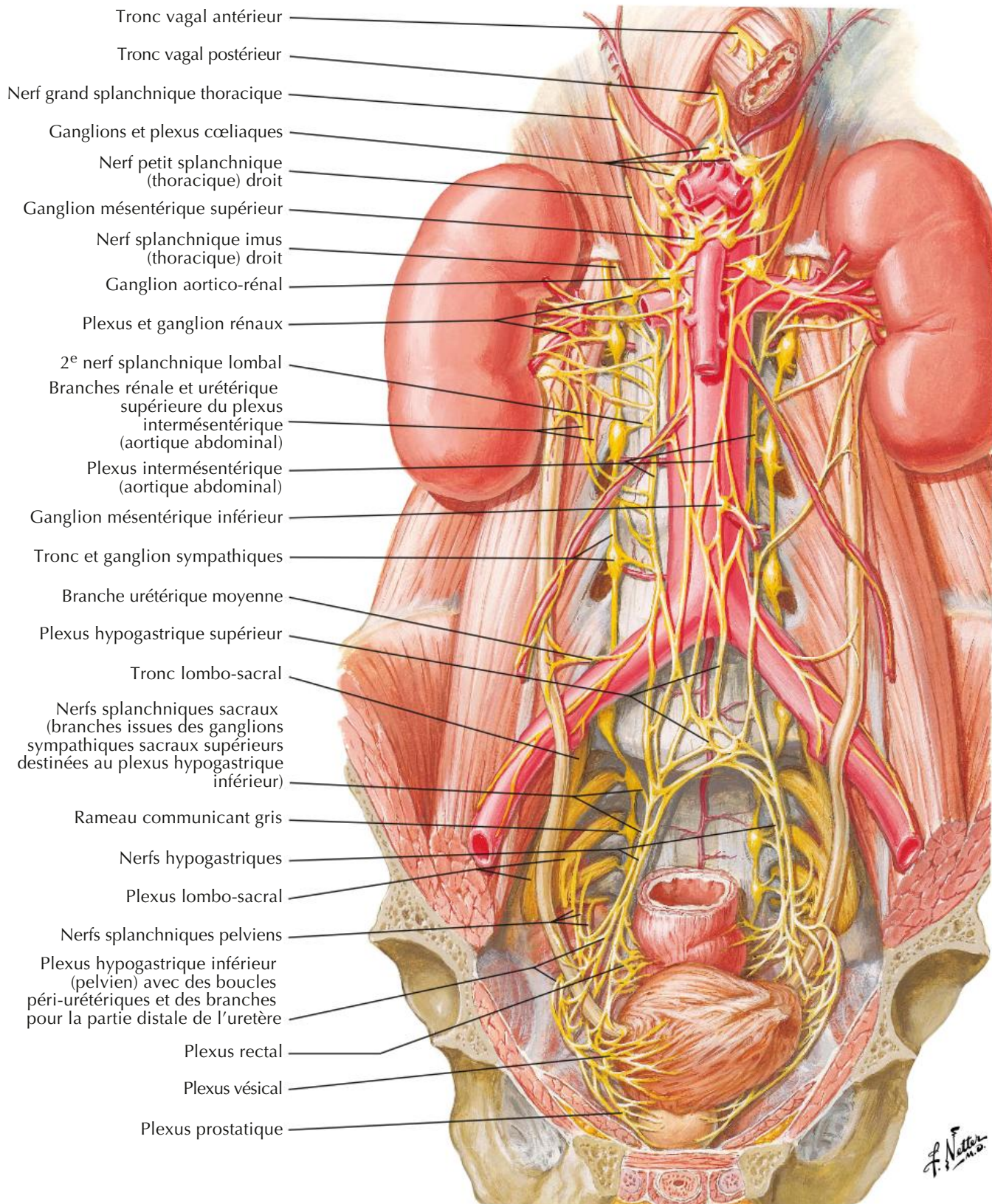


Coupe transversale à travers la 2^e vertèbre lombale montrant la structure horizontale du fascia rénal



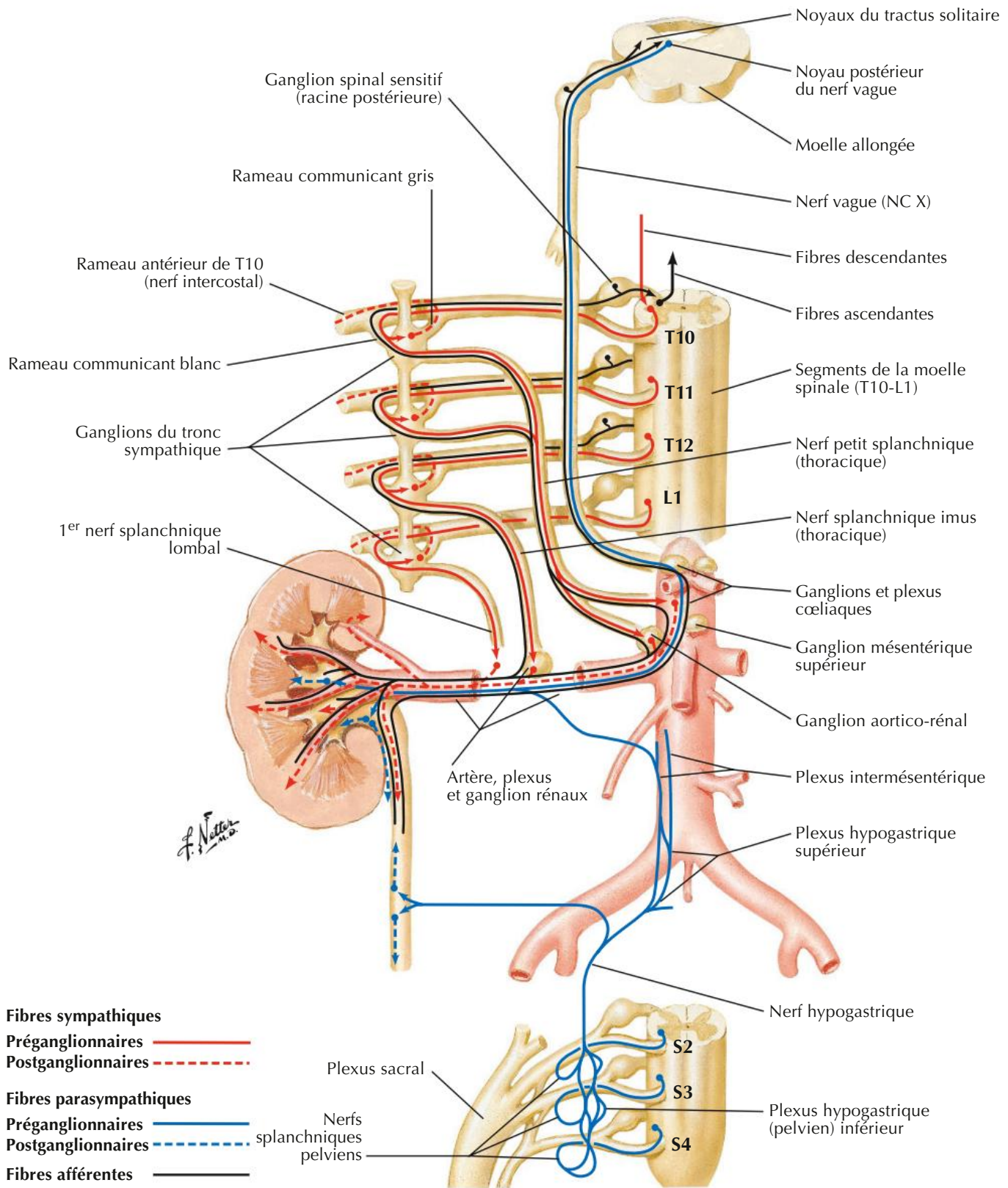
Coupe sagittale à travers le rein droit et la région lombale montrant la structure verticale du fascia rénal

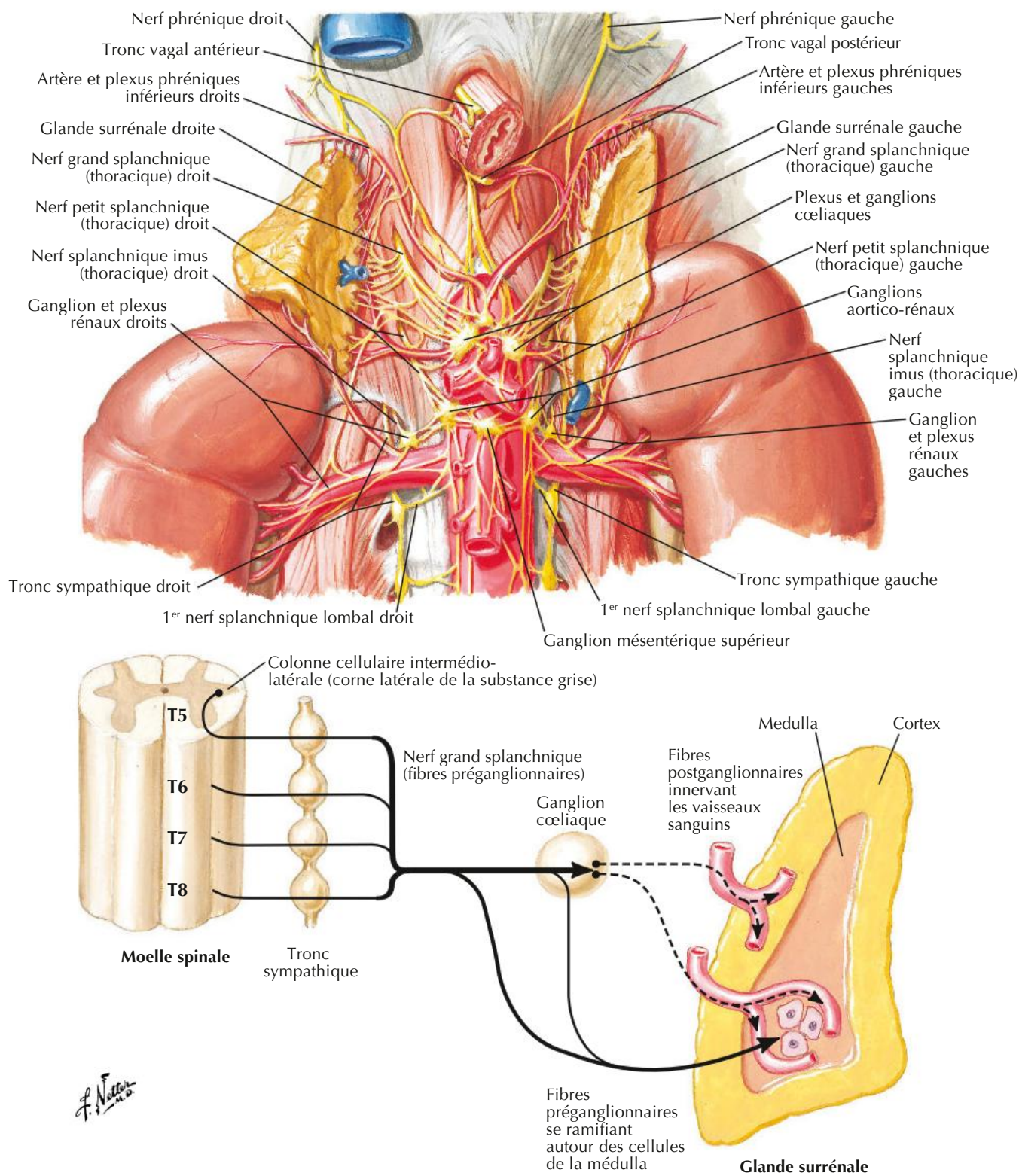




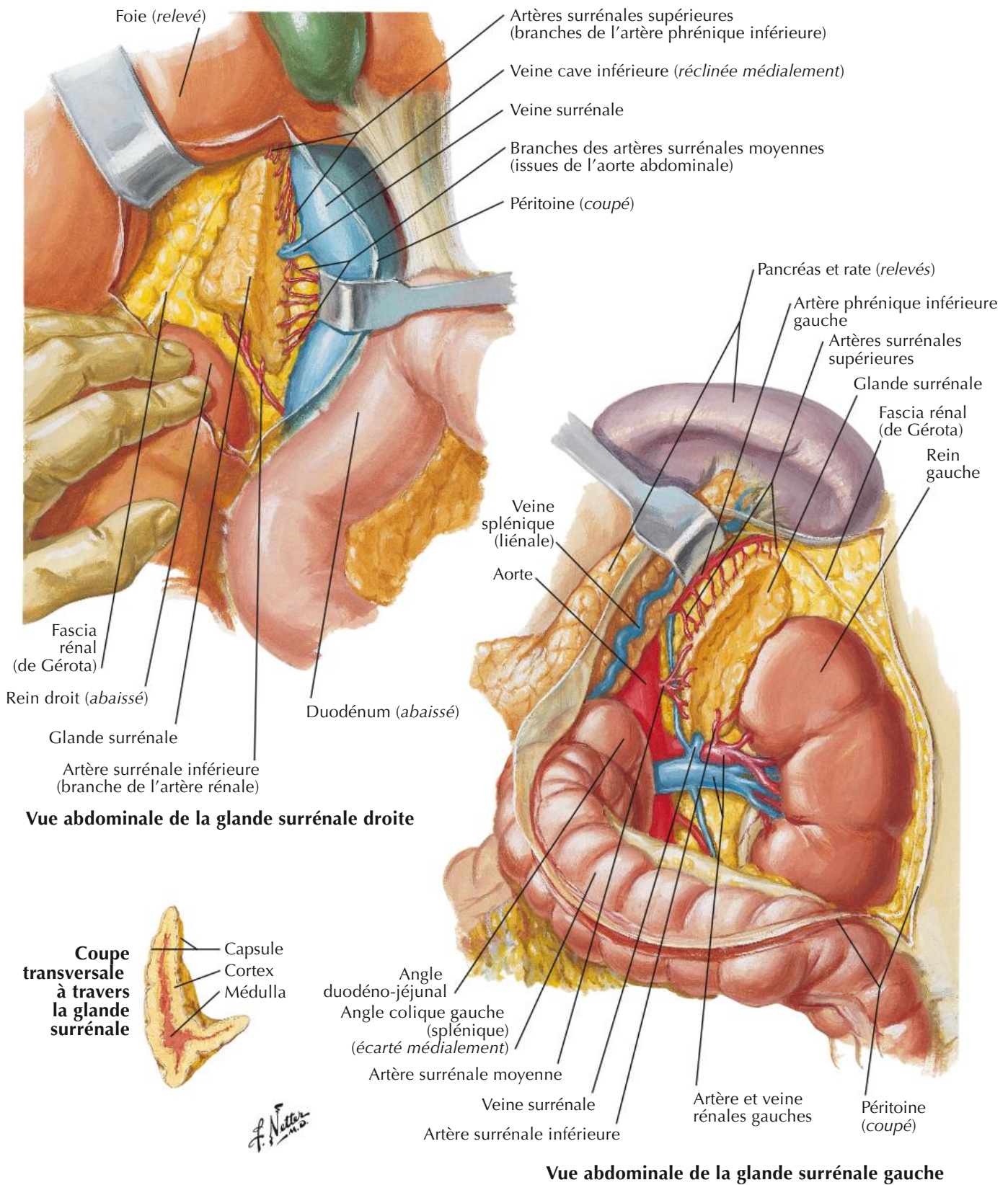
Innervation autonome des reins et de la partie supérieure des uretères : schéma

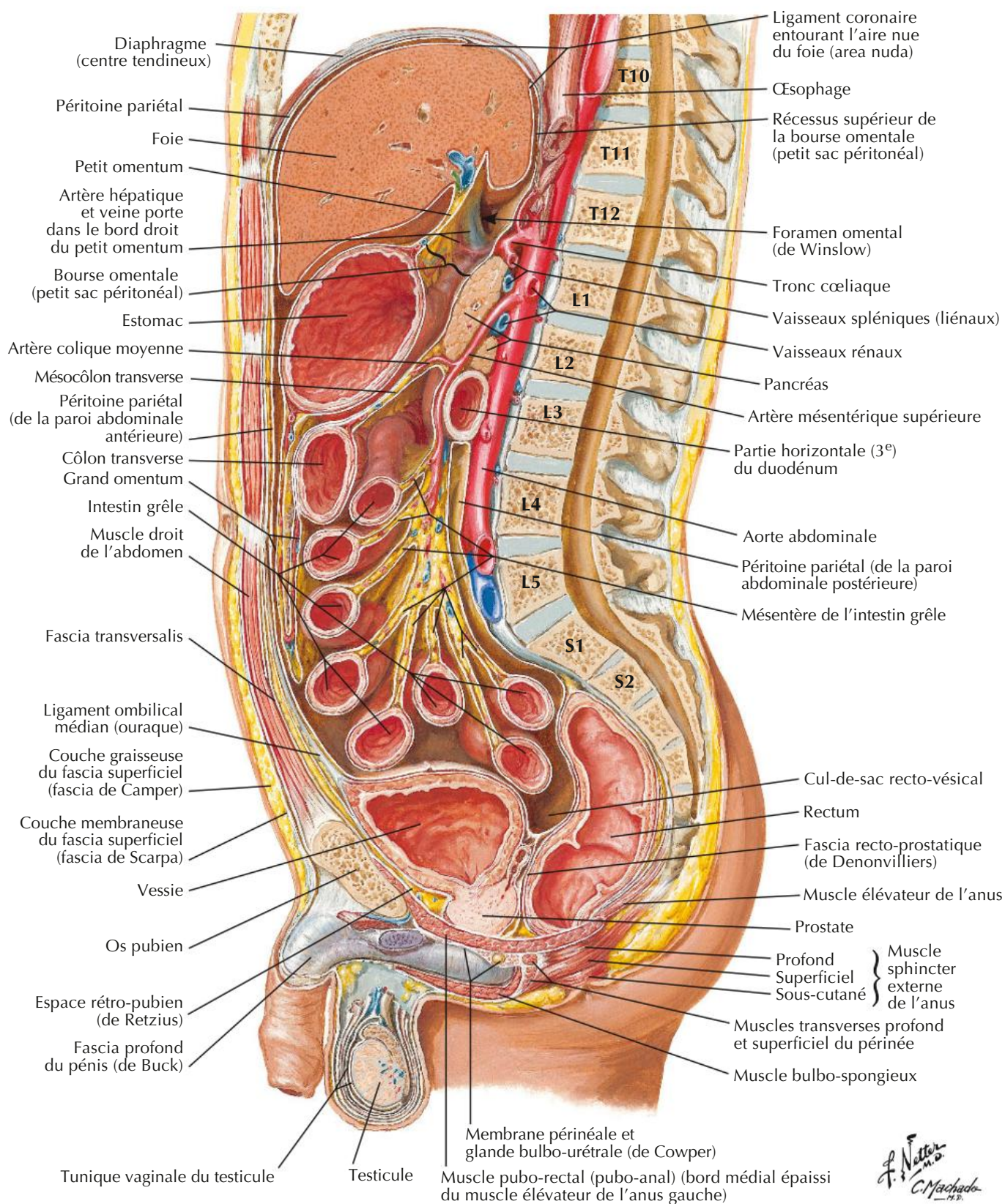
Voir aussi Planches 172, 173, 399

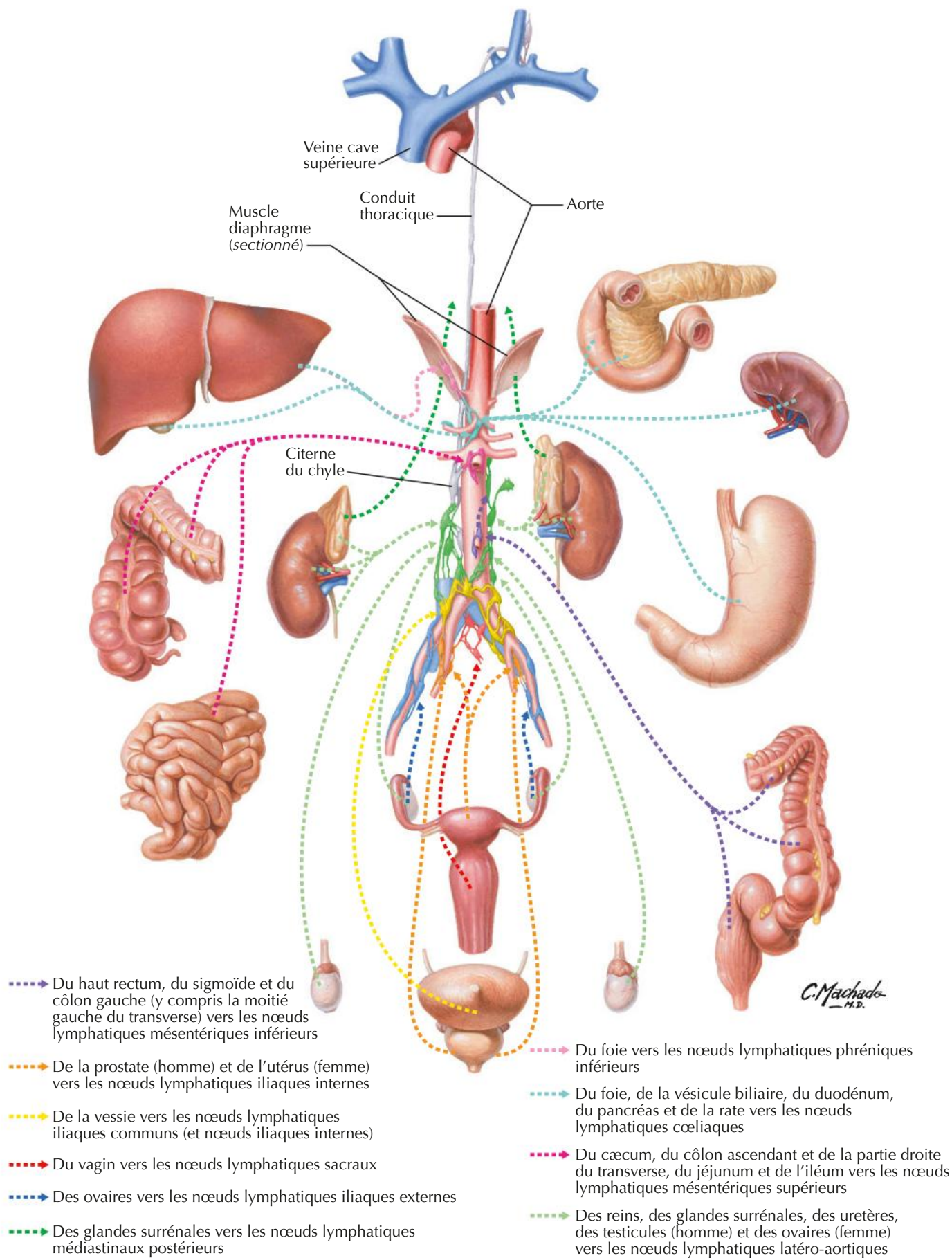




Artères et veines des glandes surrénales *in situ*

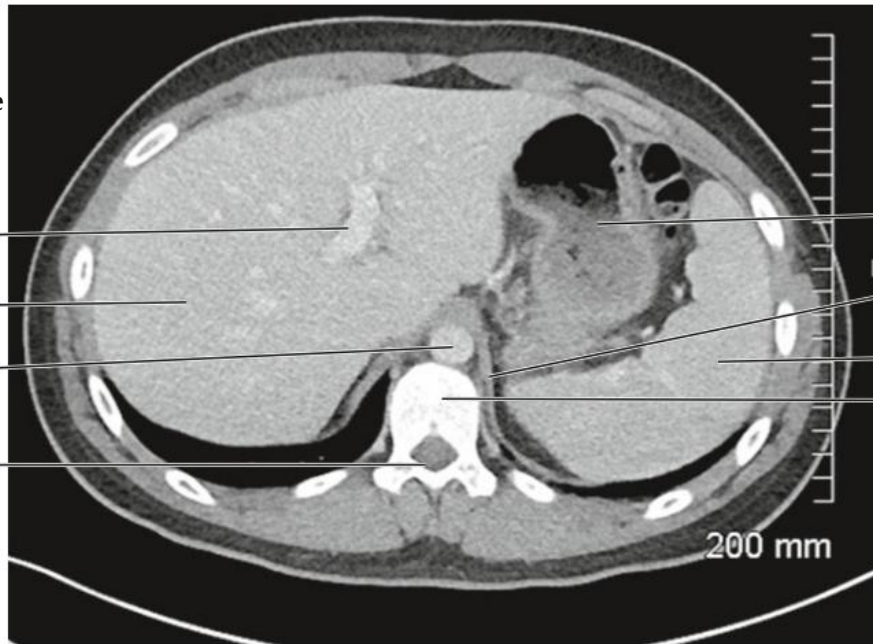






Coupe TDM axiale de l'abdomen avec injection intraveineuse de produit de contraste

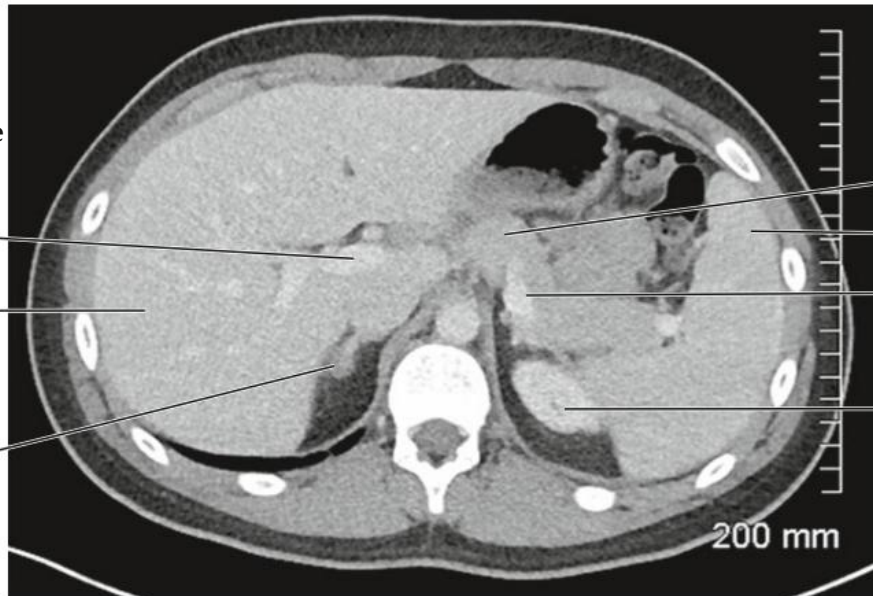
Veine porte hépatique
Foie
Aorte
Canal vertébral



Estomac
Pilier gauche du diaphragme
Rate
Corps vertébral

Coupe TDM axiale de la partie supérieure de l'abdomen avec injection intraveineuse de produit de contraste

Veine porte hépatique
Foie
Glande surrénale droite



Corps du pancréas
Rate
Veine splénique
Pôle supérieur du rein gauche

Coupe TDM axiale de la partie moyenne de l'abdomen avec injection intraveineuse de produit de contraste

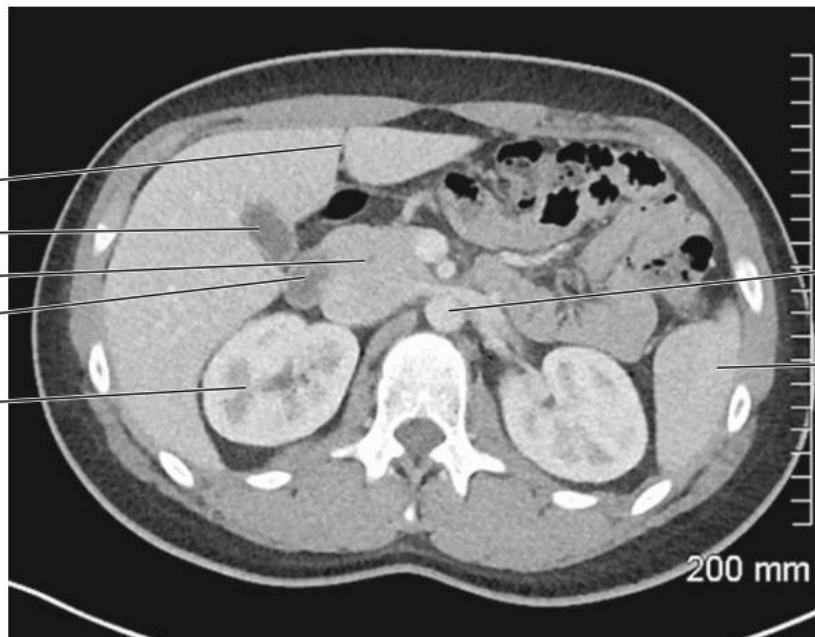
Duodénum
Veine cave inférieure
Rein droit



Côlon, angle splénique (gauche)
Aorte
Glande surrénale gauche
Rate
Rein gauche

Coupe TDM axiale de la partie moyenne de l'abdomen avec injection intraveineuse de produit de contraste

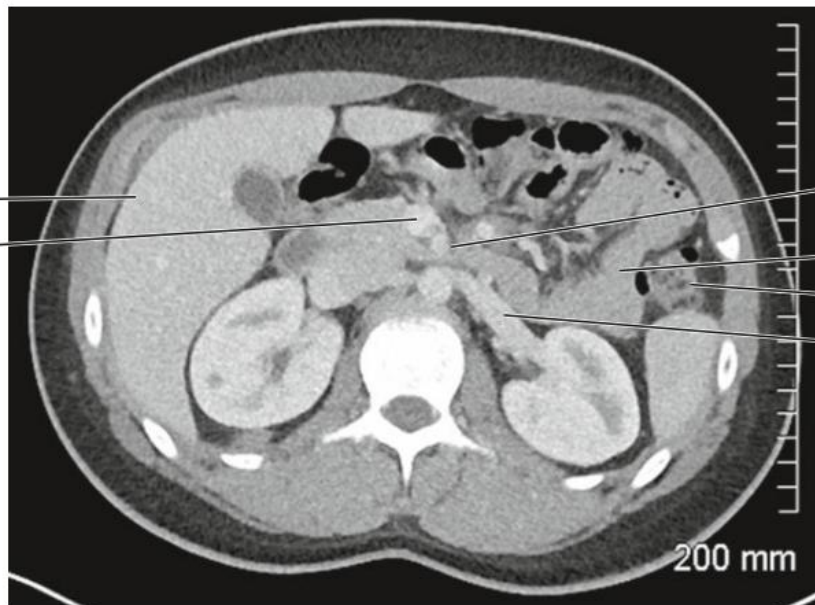
Ligament falciforme
Vésicule biliaire
Tête du pancréas
Duodénum
Rein droit



Aorte
Rate

Coupe TDM axiale de l'abdomen avec injection intraveineuse de produit de contraste

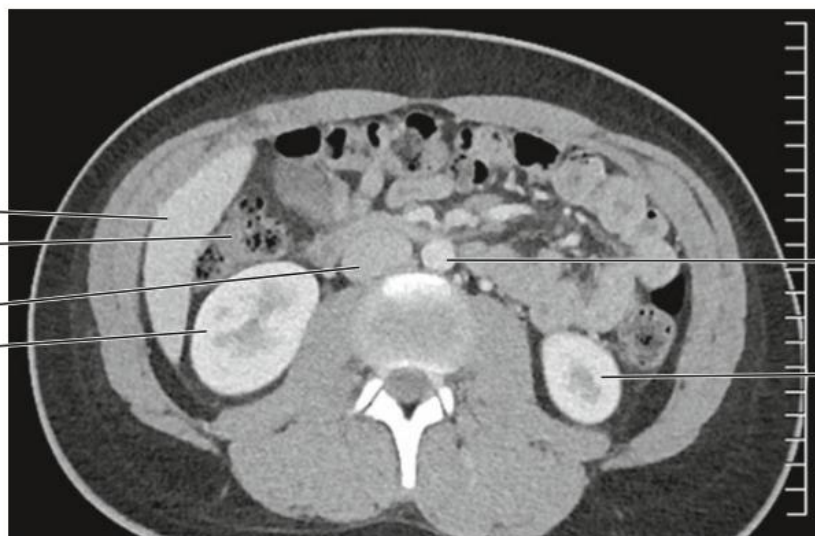
Foie
Veine mésentérique supérieure



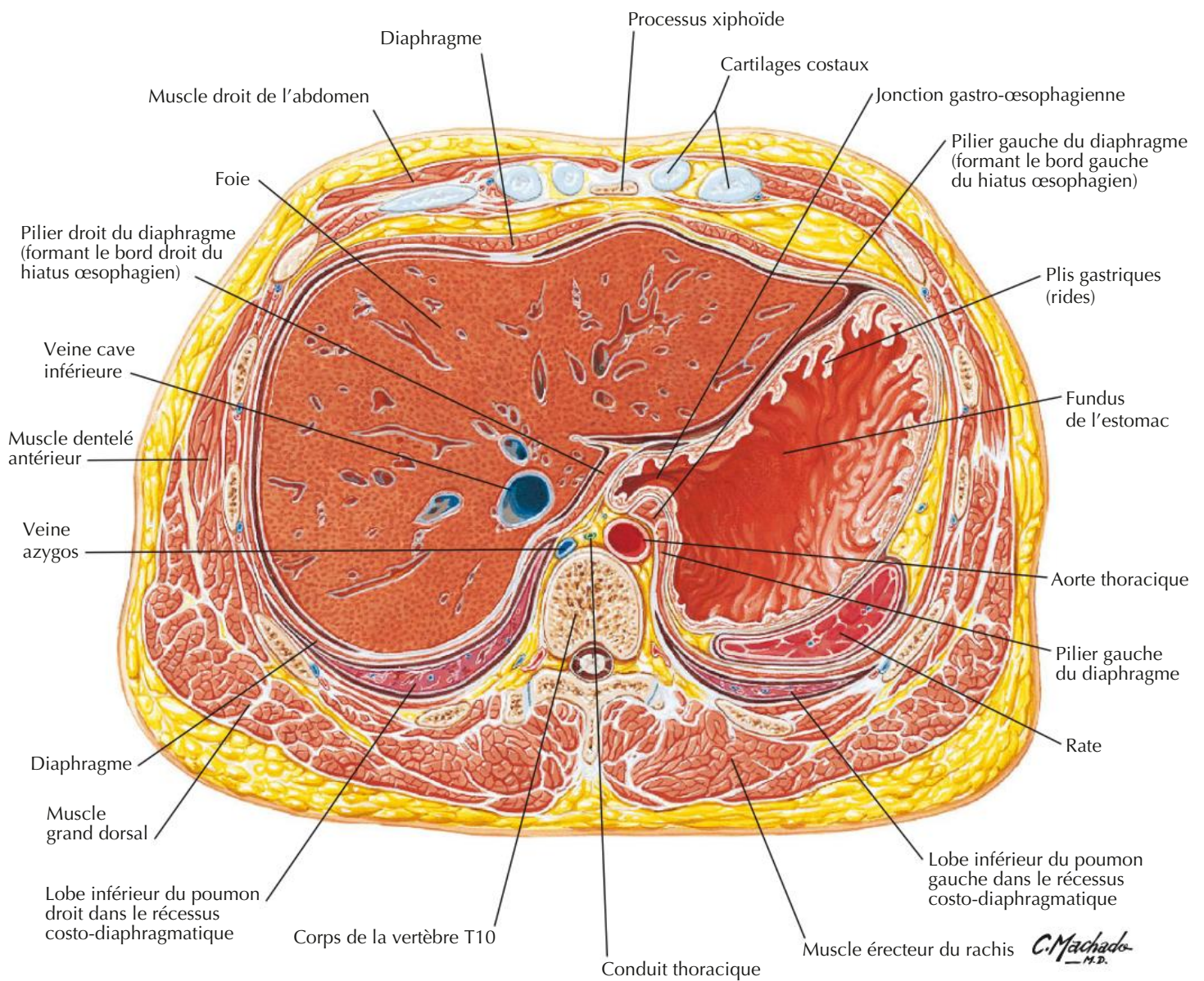
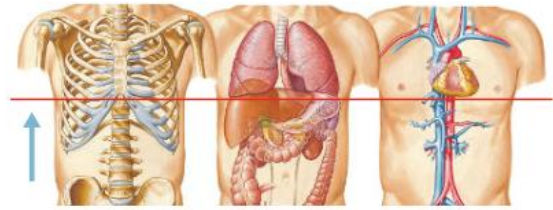
Artère mésentérique supérieure
Jéjunum
Côlon descendant
Veine rénale gauche

Coupe TDM axiale de l'abdomen avec injection intraveineuse de produit de contraste

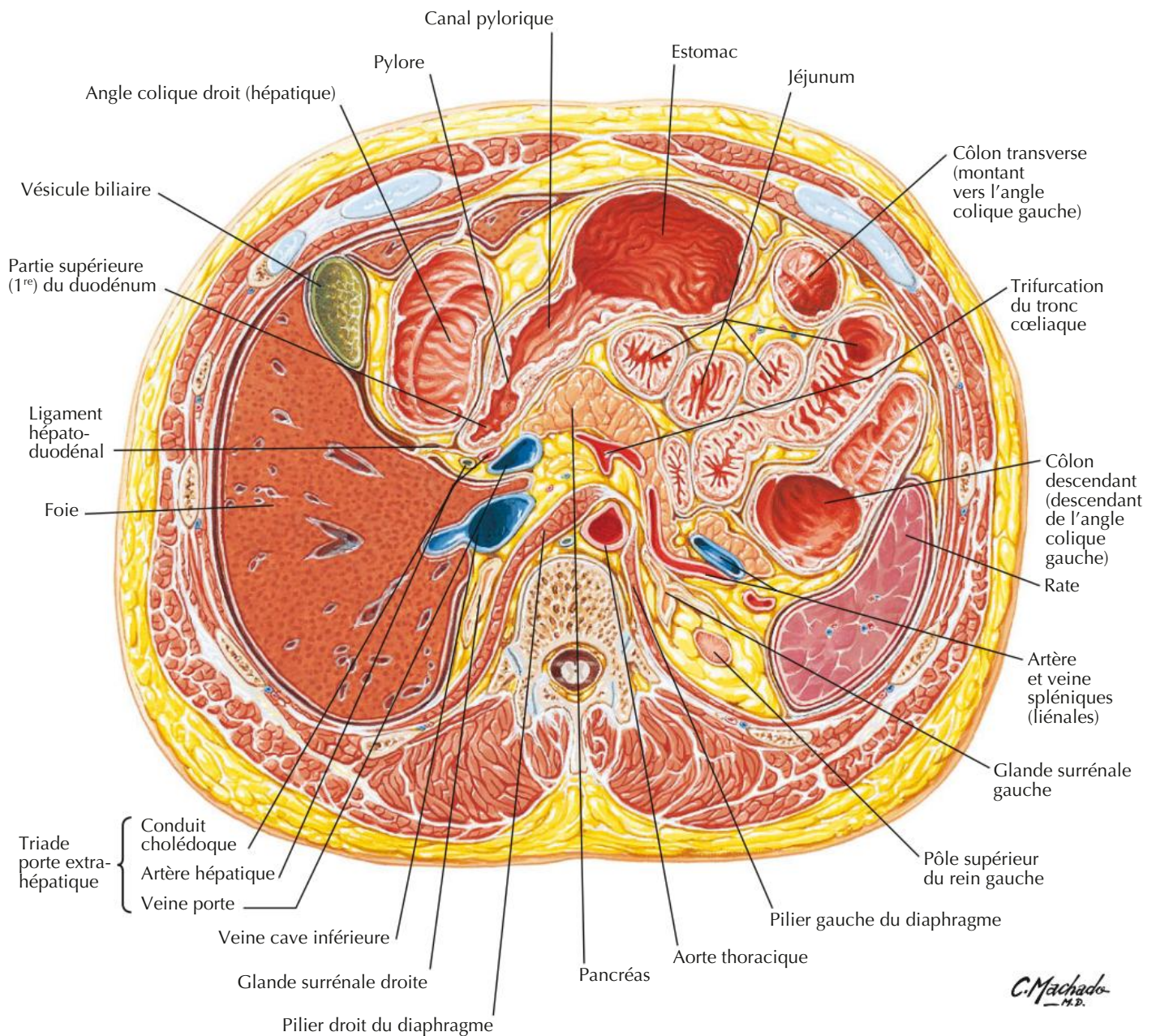
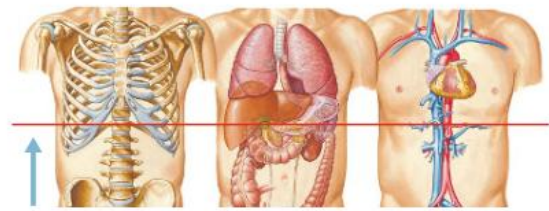
Lobe droit du foie
Côlon, angle hépatique (droit)
Veine cave inférieure
Rein droit



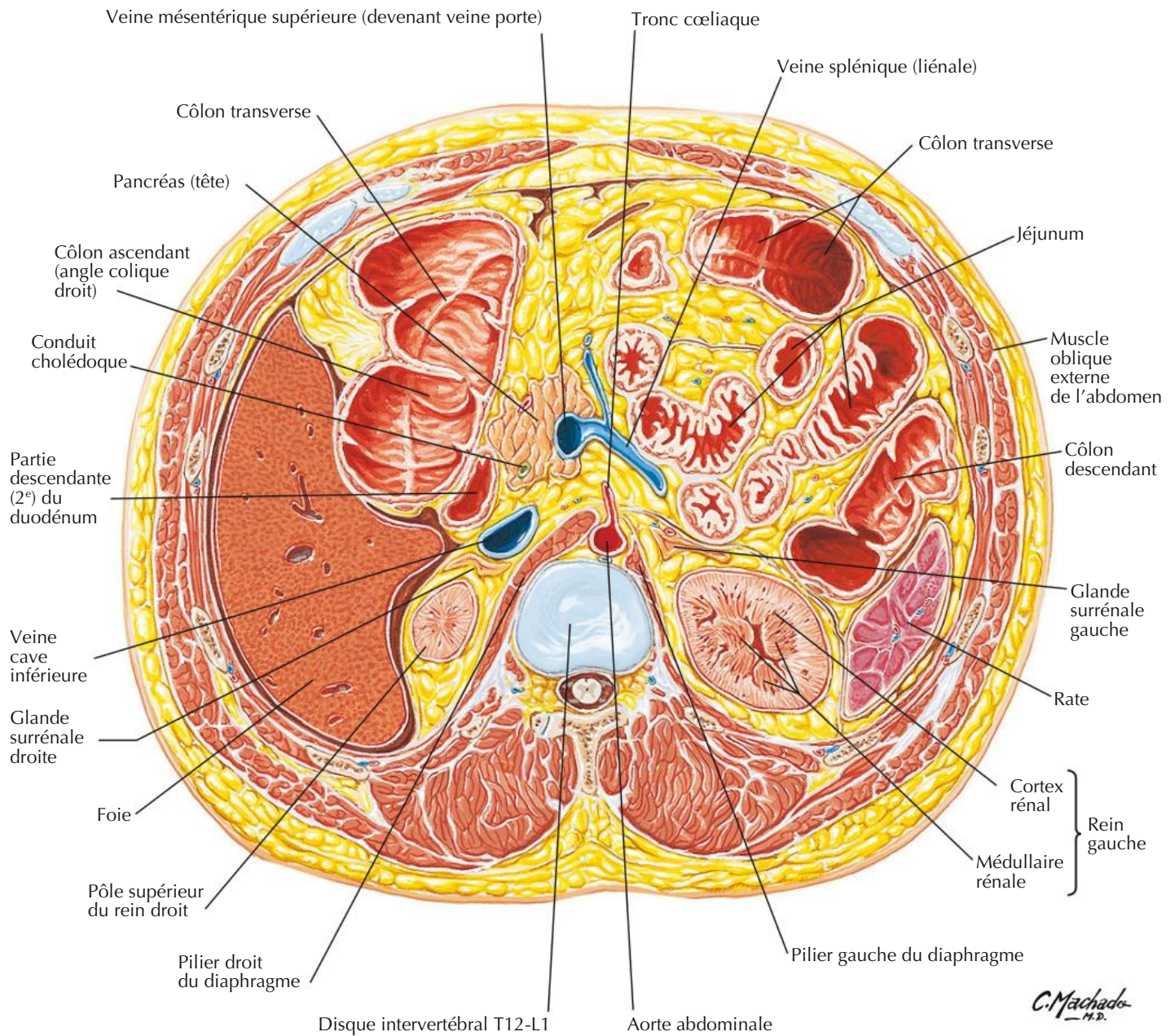
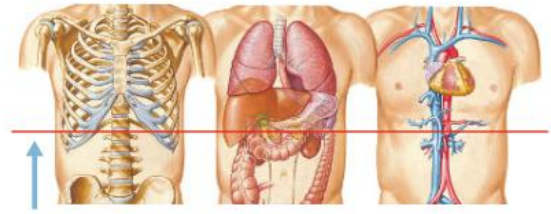
Aorte
Rein gauche



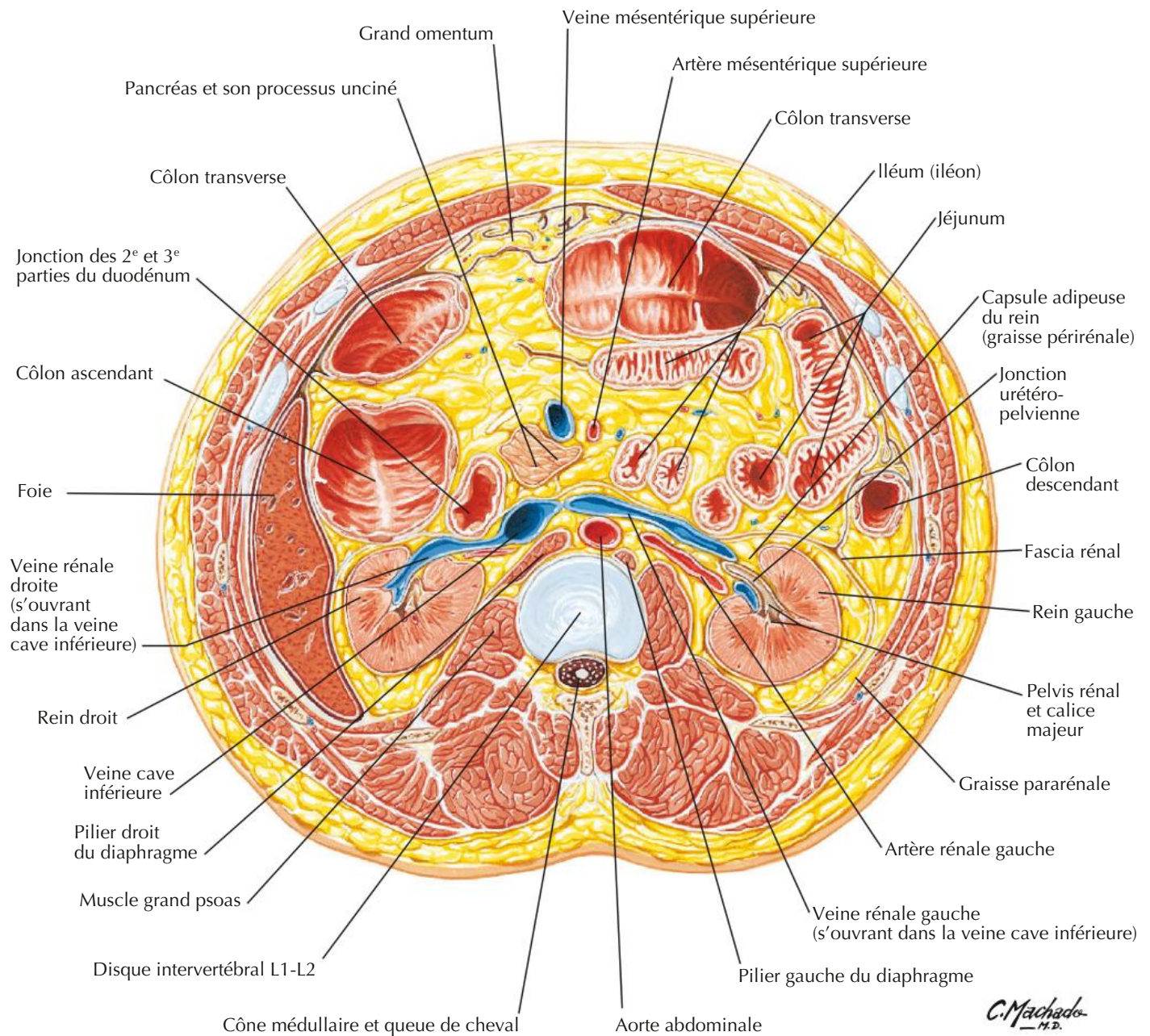
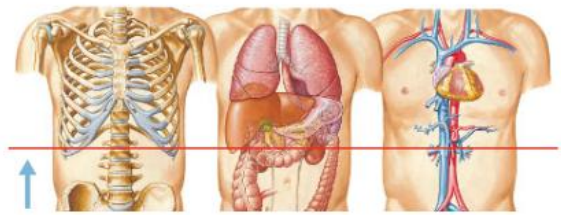
Coupe transversale : niveau de T12, inférieur au processus xiphoïde

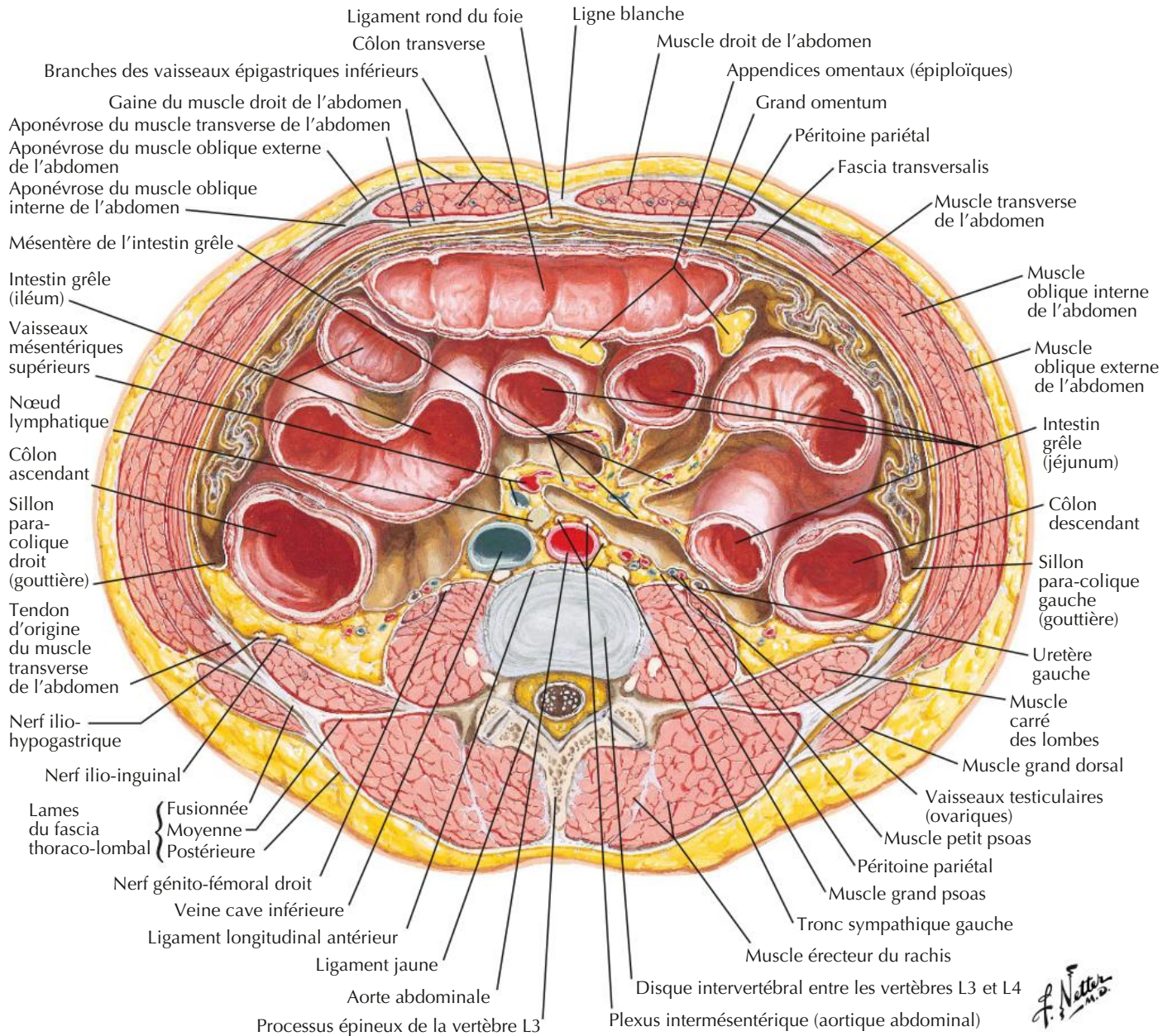








C. Machado
— M.D. —





Coupe transversale : niveau du disque intervertébral L1-L2





STRUCTURES ANATOMIQUES	IMPORTANCE CLINIQUE	NUMÉROS DES PLANCHES
 SYSTÈME TÉGUMENTAIRE		
Ombilic	Repère pour localiser le plan trans-ombilical qui est utilisé pour diviser l'abdomen en quadrants ; il marque la position du dermatome T10 ; il est utile pour définir le point de McBurney ; localisation fréquente des hernies de la paroi abdominale	249, 251
 SYSTÈME SQUELETTIQUE		
Processus xiphoïde, symphyse pubienne	Repères palpables pour définir le plan médian qui est utilisé pour diviser l'abdomen en quadrants	249
Épine iliaque antéro-supérieure (EIAS)	Repère palpable utilisé pour localiser le point de McBurney ; la douleur au point de McBurney signe classiquement l'appendicite	250, 282
 SYSTÈME MUSCULAIRE		
Ligne blanche	Site préférentiel des incisions de la paroi abdominale car cette région est dépourvue de branches neuro-vasculaires importantes	249, 254
Ligament inguinal	Repère de surface qui marque la séparation de la paroi abdominale et de la cuisse	249, 253
Trigone inguinal (d'Hesselbach)	Zone de faiblesse de la paroi abdominale antérieure au niveau duquel le contenu abdominal peut faire hernie, réalisant une hernie inguinale directe	256, 262
Anneau inguinal profond (interne)	Orifice de la paroi abdominale antérieure par lequel le contenu abdominal peut faire hernie, réalisant une hernie indirecte	262, 263
Anneau fémoral ou lacune vasculaire	Orifice. En dedans des vaisseaux iliaques externes, le contenu abdominal peut faire hernie, réalisant une hernie fémorale (anciennement crurale)	264
Hiatus œsophagien du diaphragme	L'élargissement de cet orifice permet à l'estomac de remonter dans le médiastin provoquant un reflux gastro-œsophagien	269, 271
 SYSTÈME DIGESTIF		
Foie	Palpable sous le rebord costal droit	270, 276
Jonction œso-gastrique	Les relaxations transitoires ou la diminution du tonus du sphincter inférieur de l'œsophage peuvent provoquer un reflux gastro-œsophagien (RGO)	277, 328
Estomac, duodénum	Sièges des ulcères gastroduodénaux	276, 277
Appendice	Sujet à l'inflammation et à la perforation	280, 282
Côlon	Site habituel des diverticules ; la coloscopie est effectuée pour dépister le cancer du côlon	283
Vésicule biliaire	Palpable au croisement du rebord costal droit et de la ligne médio-claviculaire ; elle peut être le siège d'inflammation (cholécystite) et engendrer de la douleur ; les calculs biliaires peuvent se bloquer dans les conduits biliaires	284, 309
 SYSTÈME URINAIRE		
Rein	Maintient l'équilibre des liquides et des électrolytes ; des calculs rénaux peuvent se former (« pierres » rénales)	314
 SYSTÈME ENDOCRINIEN		
Pancréas	En raison de sa situation rétro-péritonéale, la douleur pancréatique se projette typiquement dans le dos ; le cancer de la tête du pancréas peut comprimer la voie biliaire principale	288, 310

STRUCTURES ANATOMIQUES	IMPORTANCE CLINIQUE	NUMÉROS DES PLANCHES
 SYSTÈME NERVEUX		
Nerfs ilio-inguinal et génito-fémoral	Mis en jeu dans le réflexe crémastérien qui teste l'intégrité du nerf spinal L1	269
Nerfs intercostaux, subcostal et ilio-hypogastrique	Transmettent des sensations douloureuses bien localisées de la paroi abdominale et du péritoine pariétal ; la douleur dans la région topographique des dermatomes indique une atteinte des nerfs spinaux correspondants (par ex. une infection par le zona)	260
Fibres sympathiques autour de l'artère rénale	L'hypertension résistante au traitement médical peut être traitée chez certains patients en dénervant les fibres sympathiques qui voyagent le long des artères rénales	300, 321
Ganglion cœliaque	Certains patients porteurs d'une douleur médicalement intraitable due à une pancréatite chronique peuvent subir un bloc du plexus (ganglion) cœliaque	301, 310
Nerfs splanchniques sympathiques	Transmettent les sensations douloureuses des viscères abdominaux, souvent ressenties à distance dans d'autres sites ; le quadrant de l'abdomen dans lequel la douleur est localisée et la connaissance du site de projection fournissent des indices sur l'étiologie de la douleur	303, 306
Nerf ilio-hypogastrique	La néphrectomie au travers du carré des lombes peut léser le nerf ilio-hypogastrique avec pour conséquence une anesthésie au-dessus du pubis	312
 SYSTÈME CARDIO-VASCULAIRE		
Anastomoses artérielles de la paroi abdominale antérieure	Anastomoses entre les artères épigastriques et les artères thoraciques internes, et entre les artères circonflexes et les artères intercostales et thoraciques latérales	258
Anastomoses veineuses de la paroi abdominale antérieure	Anastomoses entre les veines épigastriques et les veines thoraciques internes, et entre les veines circonflexes et les veines thoraco-épigastriques et thoraciques latérales	259
Veines para-ombilicales	Peuvent se dilater chez les patients présentant une hypertension portale donnant l'aspect d'un réseau en « tête de méduse »	259, 299
Artère cystique	Liée pendant la cholécystectomie	291
Artère mésentérique supérieure	Peut comprimer la 3 ^e partie du duodénum chez un patient mince ou qui a récemment perdu beaucoup de poids	291, 294
Artères intestinales	Région sans circulation collatérale importante entre les principaux vaisseaux (entre les territoires vasculaires) et à risque d'ischémie	294, 295
Anastomoses de l'artère marginale	L'artère marginale met en communication les artères du côlon droit, transverse et gauche, assurant des anastomoses coliques importantes pour la circulation collatérale	295
Veines œsophagiennes	Peuvent se dilater en cas d'hypertension portale, conduisant à des varices œsophagiennes	296, 299
Veine porte du foie	Une diminution du flux sanguin dans le foie (par ex. due à une cirrhose) peut entraîner une hypertension portale d'amont et une dilatation des affluents de la veine porte ; le sang peut retourner au cœur grâce aux anastomoses porto-systémiques	298, 299
Veine rectale supérieure	Possède des anastomoses avec les veines rectales systémiques et peuvent se dilater lors d'hypertension portale	298, 299
Aorte abdominale	Siège classique d'un anévrisme dans l'abdomen	317
 SYSTÈME LYMPHATIQUE		
Rate	Peut se rompre en cas de fracture des côtes gauches 9 à 11 ; une splénomégalie est accessible à la palpation	273, 289

* Les sélections ont été fondées en grande partie sur des données cliniques aussi bien que sur les corrélations anatomo-cliniques fréquemment discutées dans les cours d'anatomie macroscopique.

MUSCLE	GROUPE MUSCULAIRE	INSERTION PROXIMALE (ORIGINE)	INSERTION DISTALE (TERMINAISON)	INNERVATION	ACTIONS PRINCIPALES	VASCULARISATION ARTÉRIELLE
Carré des lombes	Paroi abdominale postérieure	Moitié médiale du bord inférieur de la 12e côte, sommet des processus transverses des vertèbres lombales	Ligament ilio-lombal, lèvre interne de la crête iliaque	Rameaux ventraux du nerf thoracique T12 et des quatre premiers nerfs lombaux	Étend et fléchit latéralement la colonne vertébrale, fixe la 12e côte lors de l'inspiration	Artère ilio-lombale
Diaphragme	Paroi abdominale postérieure	Processus xiphoïde, six derniers cartilages costaux, vertèbres L1-L3, ligaments arqués	Convergence vers le centre tendineux	Nerf phrénique	Attire le centre tendineux vers le bas et l'avant pendant l'inspiration	Artères péricardiaco-phréniques, musculo-phréniques et phréniques supérieures et inférieures
Droit de l'abdomen	Paroi abdominale antérieure	Symphise pubienne, crête pubienne	Processus xiphoïde, cartilages costaux 5-7	Rameaux ventraux des six derniers nerfs thoraciques (nerfs intercostaux 6-11 et nerf subcostal)	Fléchit le tronc et comprime les viscères abdominaux	Artères épigastriques supérieure et inférieure
Grand psoas	Paroi abdominale postérieure	Processus transverses des vertèbres lombales, côtés des corps des vertèbres T12-L5 et sur les disques intervertébraux correspondants	Petit trochanter du fémur	Rameaux ventraux des quatre premiers nerfs lombaux	Point fixe supérieur et en synergie avec le muscle iliaque, fléchisseur de la hanche ; point fixe inférieur, incline latéralement la colonne vertébrale ; contribue à s'asseoir en fléchissant la colonne lombale sur le bassin ; point fixe inférieur et en synergie avec le muscle iliaque, fléchisseur du tronc	Branche lombale de l'artère ilio-lombale
Iliaque	Paroi abdominale postérieure	Deux tiers supérieurs de la fosse iliaque, aile du sacrum et ligaments sacro-iliaques antérieurs	Petit trochanter du fémur et diaphyse sous-jacente, tendon du muscle grand psoas	Nerf fémoral	Fléchisseur (et rotateur latéral) de la cuisse au niveau de la hanche, stabilisateur de la hanche, agit avec le grand psoas	Branches iliaques de l'artère ilio-lombale
Oblique externe	Paroi abdominale antérieure	Face externe des côtes 5-12	Ligne blanche, tubercule pubien, moitié antérieure de la crête iliaque	Rameaux ventraux des six derniers nerfs thoraciques (nerfs intercostaux 6-11 et nerf subcostal)	Comprime et soutient les viscères abdominaux, fléchisseur et rotateur du tronc	Artères épigastriques supérieure et inférieure
Oblique interne	Paroi abdominale antérieure	Fascia thoraco-lombaire, deux tiers antérieurs de la crête iliaque, moitié latérale du ligament inguinal	Bords inférieurs des côtes 10-12, ligne blanche, pubis via le tendon conjoint	Rameaux ventraux des six derniers nerfs thoraciques (nerfs intercostaux 6-11 et nerf subcostal) et du premier nerf lombal	Comprime et soutient les viscères abdominaux, fléchisseur et rotateur du tronc	Artères épigastriques supérieure et inférieure et artère circonflexe iliaque profonde
Petit psoas	Paroi abdominale postérieure	Rebords vertébraux des vertèbres T12-L1 et disque intervertébral correspondant	Ligne pectinée et éminence ilio-pectinée	Rameau ventral du premier nerf lombal	Fléchisseur du pelvis sur la colonne vertébrale	Branche lombale de l'artère ilio-lombale
Pyramidal	Paroi abdominale antérieure	Corps du pubis en avant du muscle droit de l'abdomen	Ligne blanche	Nerf ilio-hypogastrique (ou le nerf subcostal)	Tenseur de la ligne blanche	Artère épigastrique inférieure
Transverse de l'abdomen	Paroi abdominale antérieure	Faces internes des cartilages costaux 7-12, fascia thoraco-lombal, crête iliaque, tiers latéral du ligament inguinal	Ligne blanche avec l'aponévrose du muscle oblique interne, crête pubienne et pecten du pubis via le tendon conjoint	Rameaux ventraux des six derniers nerfs thoraciques (nerfs intercostaux 6-11 et nerf subcostal) et du premier nerf lombal	Comprime et soutient les viscères abdominaux	Artères circonflexe iliaque profonde et épigastrique inférieure

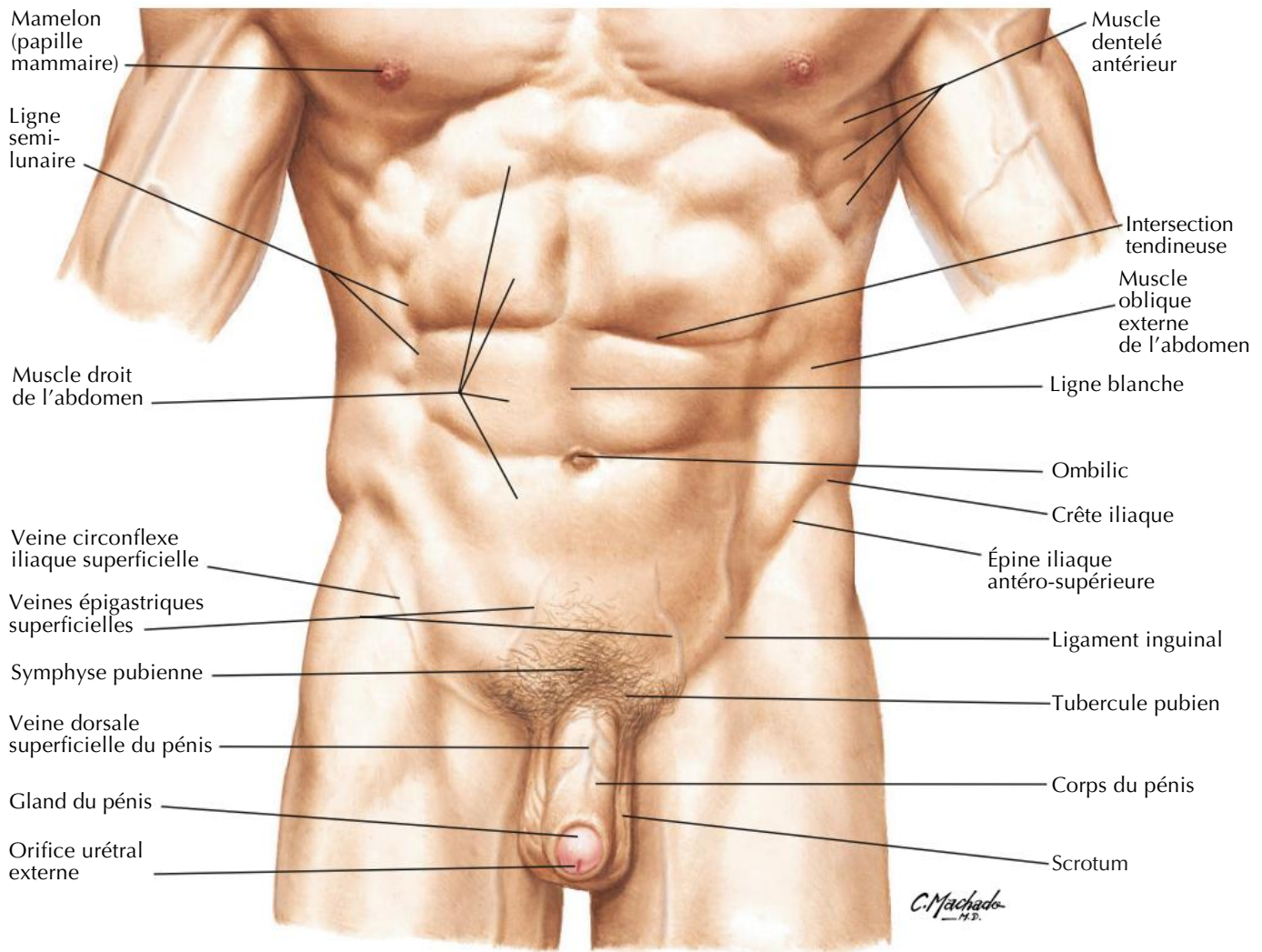
Des variations dans les contributions des nerfs spinaux dans l'innervation des muscles, dans la vascularisation artérielle des muscles, dans leurs insertions et leurs actions sont des événements fréquents dans l'anatomie humaine. Ainsi, il peut exister des différences entre les textes de différents ouvrages : considérez que les variations anatomiques sont normales.

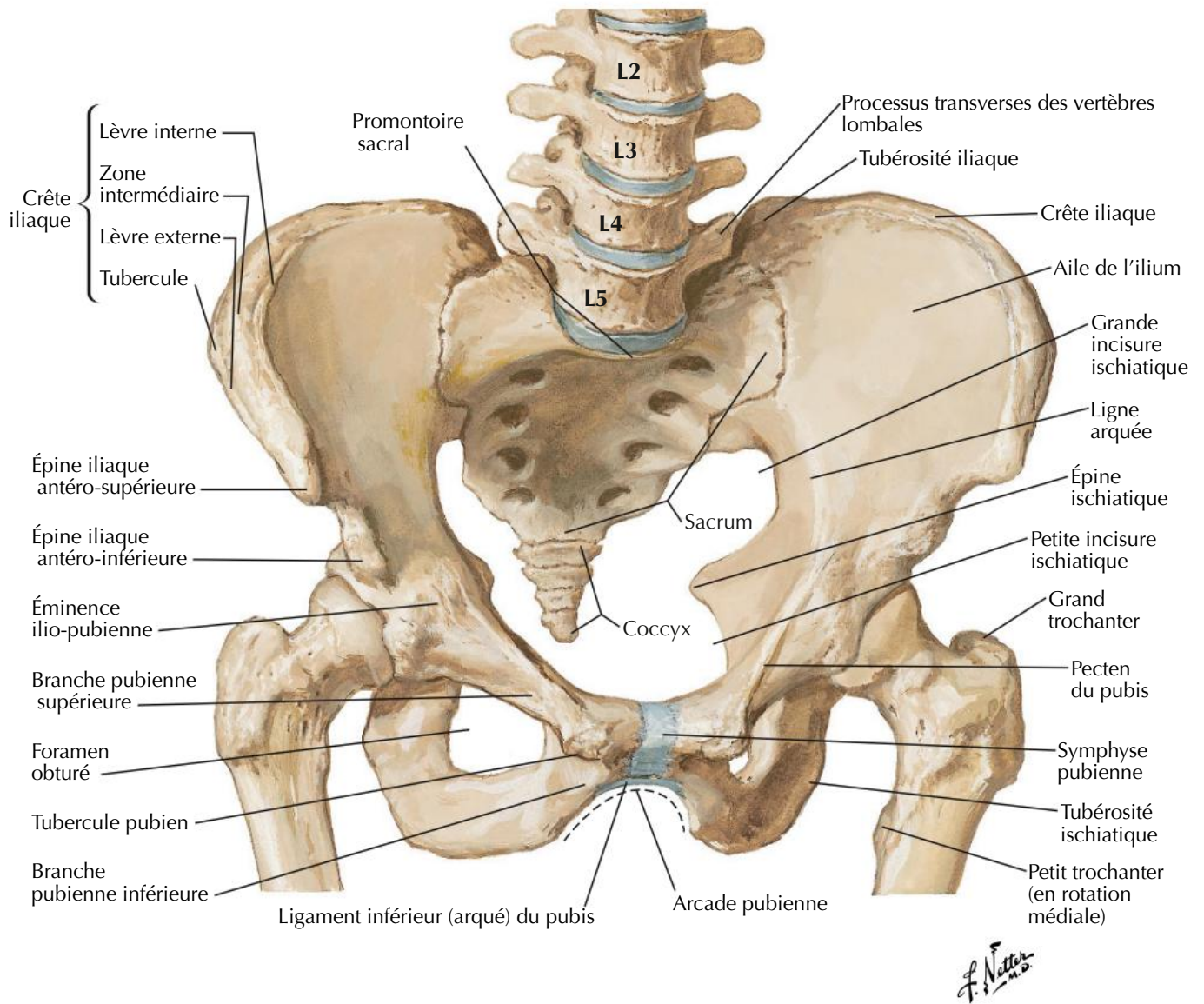
PELVIS ET PÉRINÉE

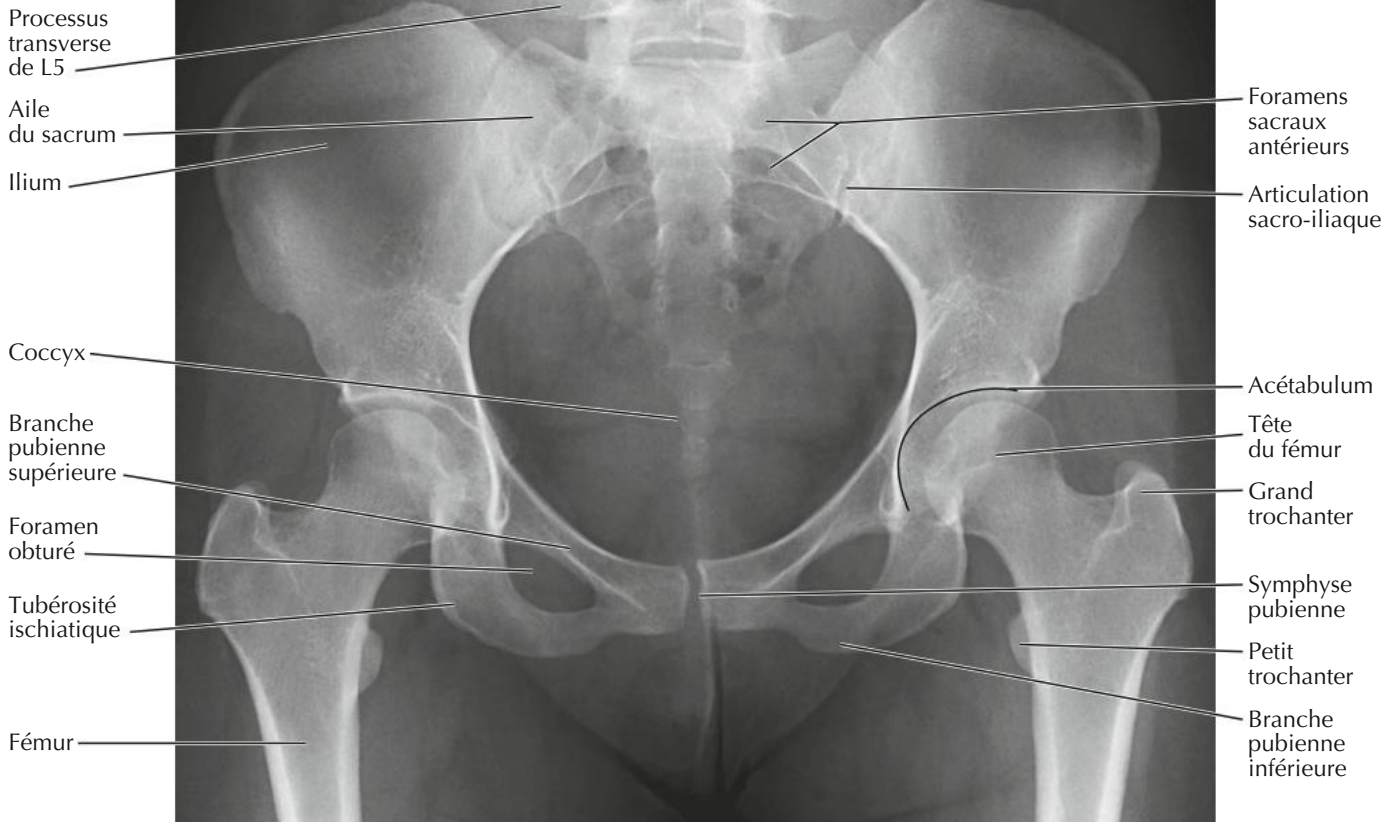
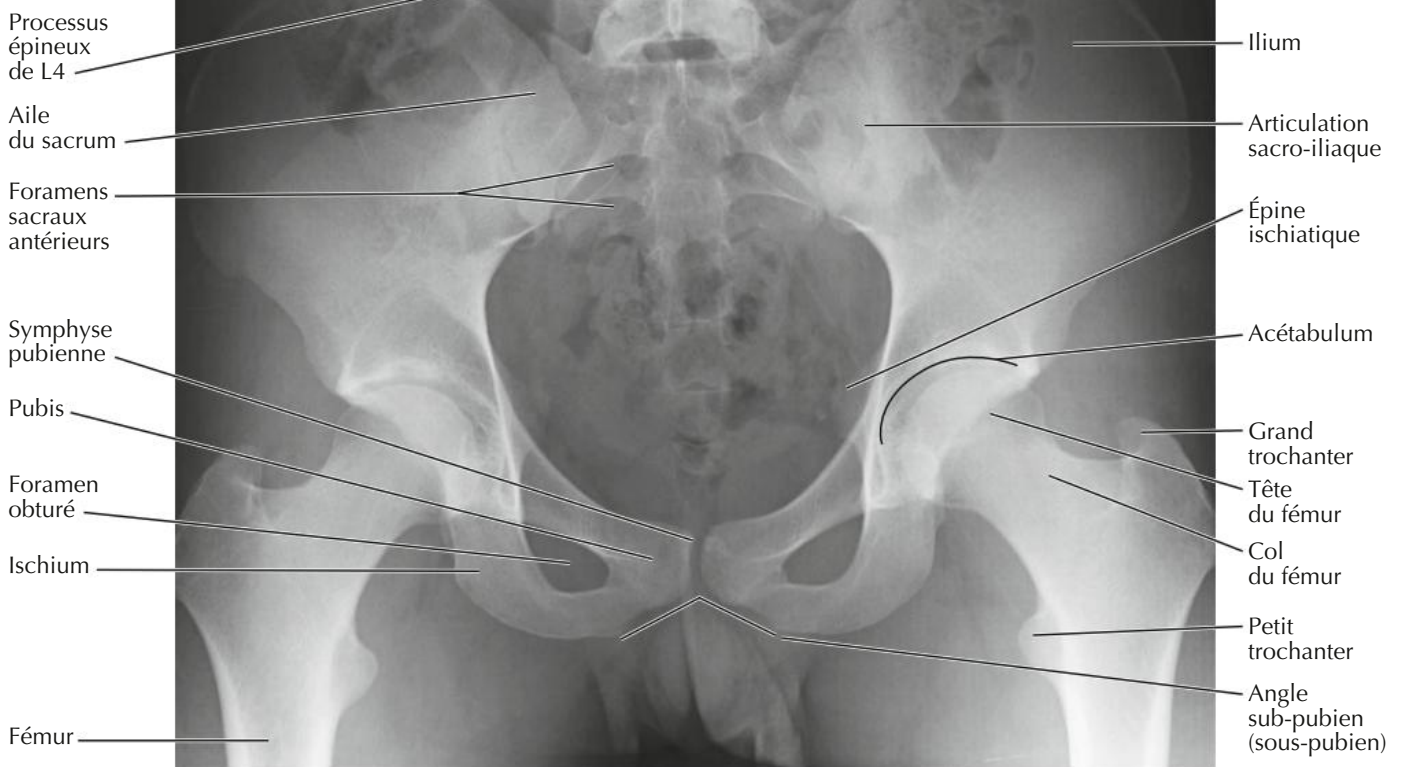
6

Anatomie de surface	333
Os et ligaments	334-338
Plancher et contenu pelviens	339-349
Vessie	350-352
Utérus, vagin et structures de soutien	353-357
Périnée, organes génitaux chez la femme	358-361
Périnée, organes génitaux chez l'homme	362-369
Homologies des organes génitaux	370-371

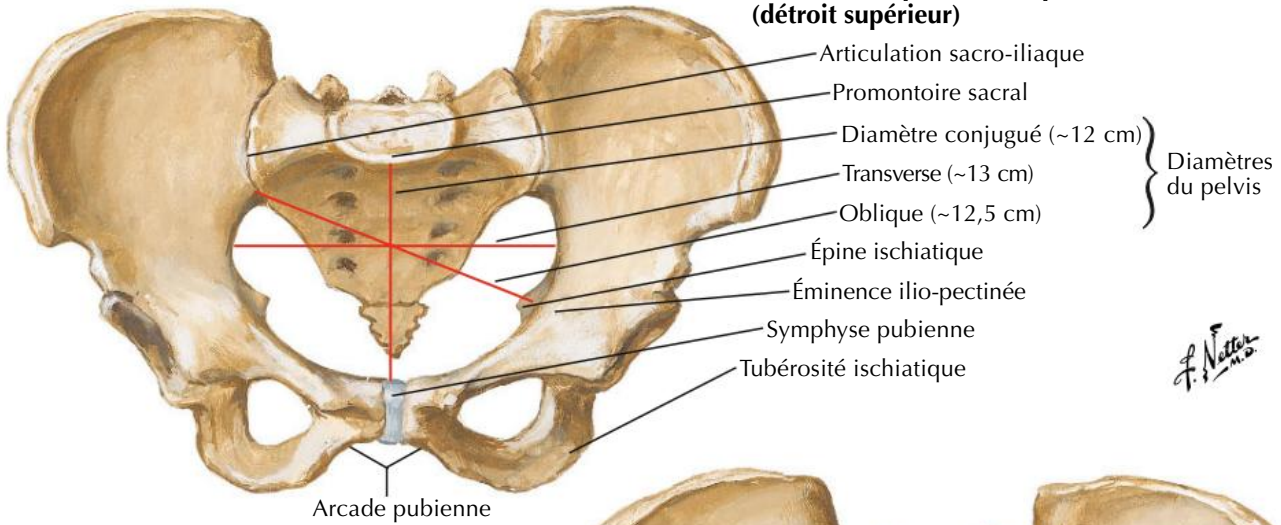
Testicule, épидидyme et conduit déférent	372
Rectum	373-378
Coupes tomодensitométriques	379
Vascularisation	380-390
Innervation	391-399
Coupes transversales anatomiques	400-401
Structures de grande* importance clinique	Tableaux 6.1-6.2
Muscles	Tableaux 6.3-6.4





Femme**Homme**

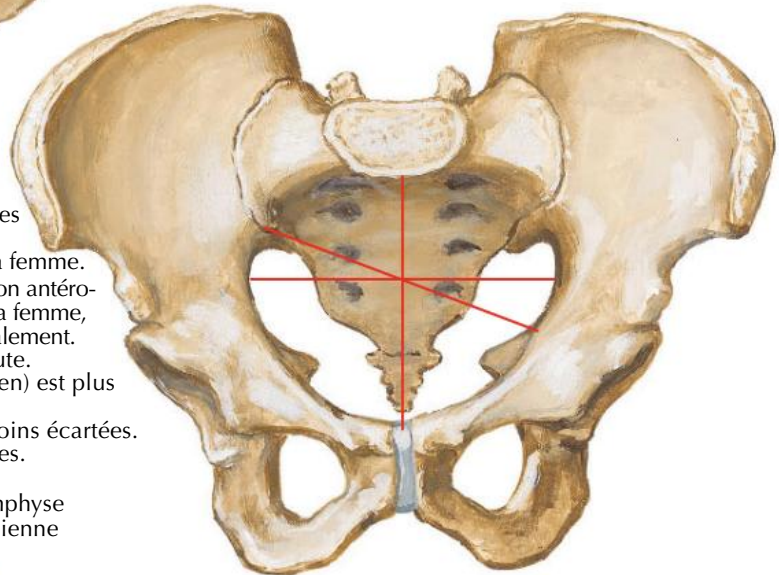
Ouverture supérieure du pelvis féminin (détoit supérieur)



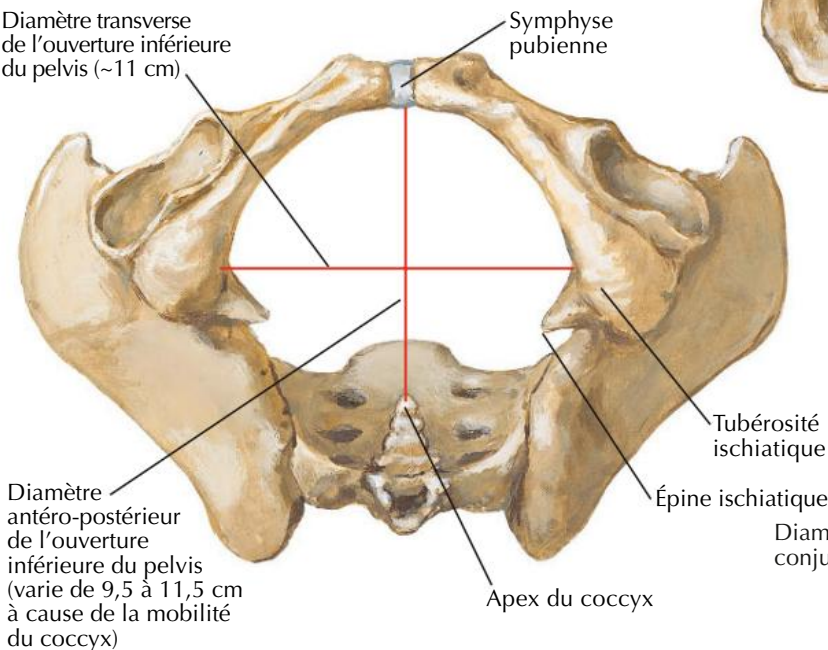
Ouverture supérieure du pelvis masculin (détoit supérieur)

Le diamètre conjugué est le seul diamètre du détoit supérieur du pelvis qui peut être mesuré cliniquement.

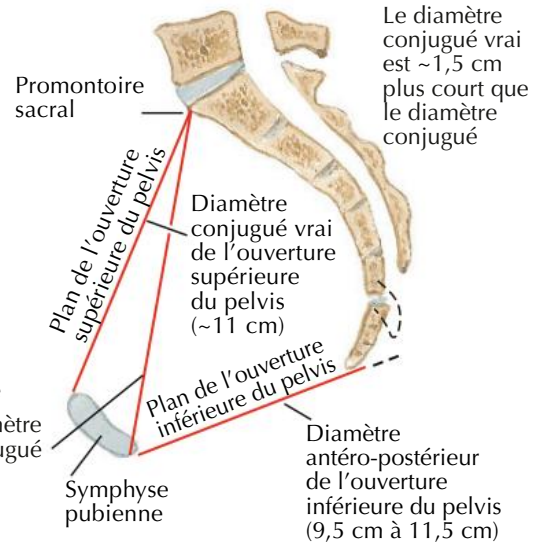
Proportionnellement à la taille, toutes les dimensions masculines sont légèrement inférieures à celles de la femme. L'ouverture supérieure est d'orientation antéro-postérieure plus marquée que chez la femme, où elle tend à être ovale transversalement. La symphyse pubienne est plus haute. L'arcade pubienne (angle sub-pubien) est plus étroite. Les tubérosités ischiatiques sont moins écartées. Les ailes iliaques sont moins évasées.



Diamètre transverse de l'ouverture inférieure du pelvis (~11 cm)



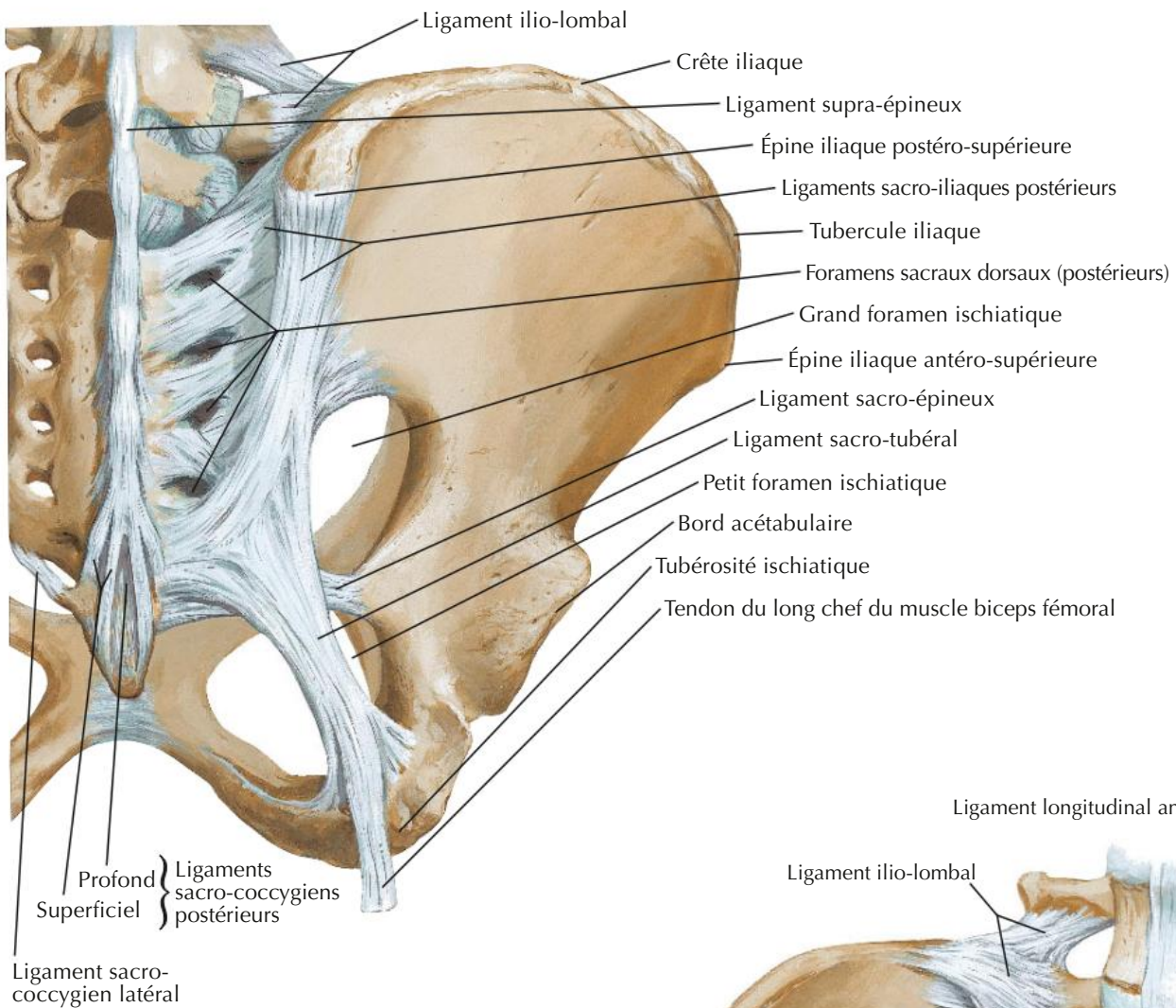
Ouverture inférieure du pelvis féminin (détoit inférieur)



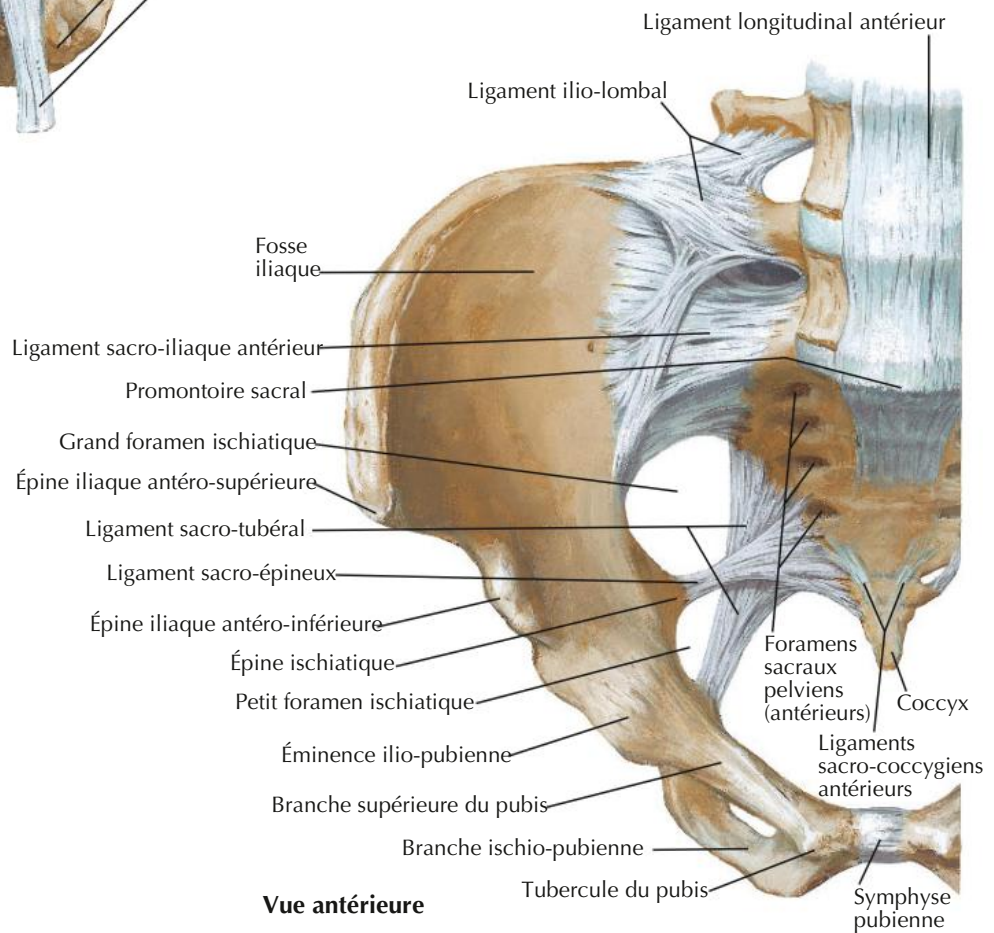
Le diamètre conjugué vrai est ~1,5 cm plus court que le diamètre conjugué.

Le diamètre transverse est la plus grande distance du détoit supérieur du pelvis

Coupe sagittale chez la femme

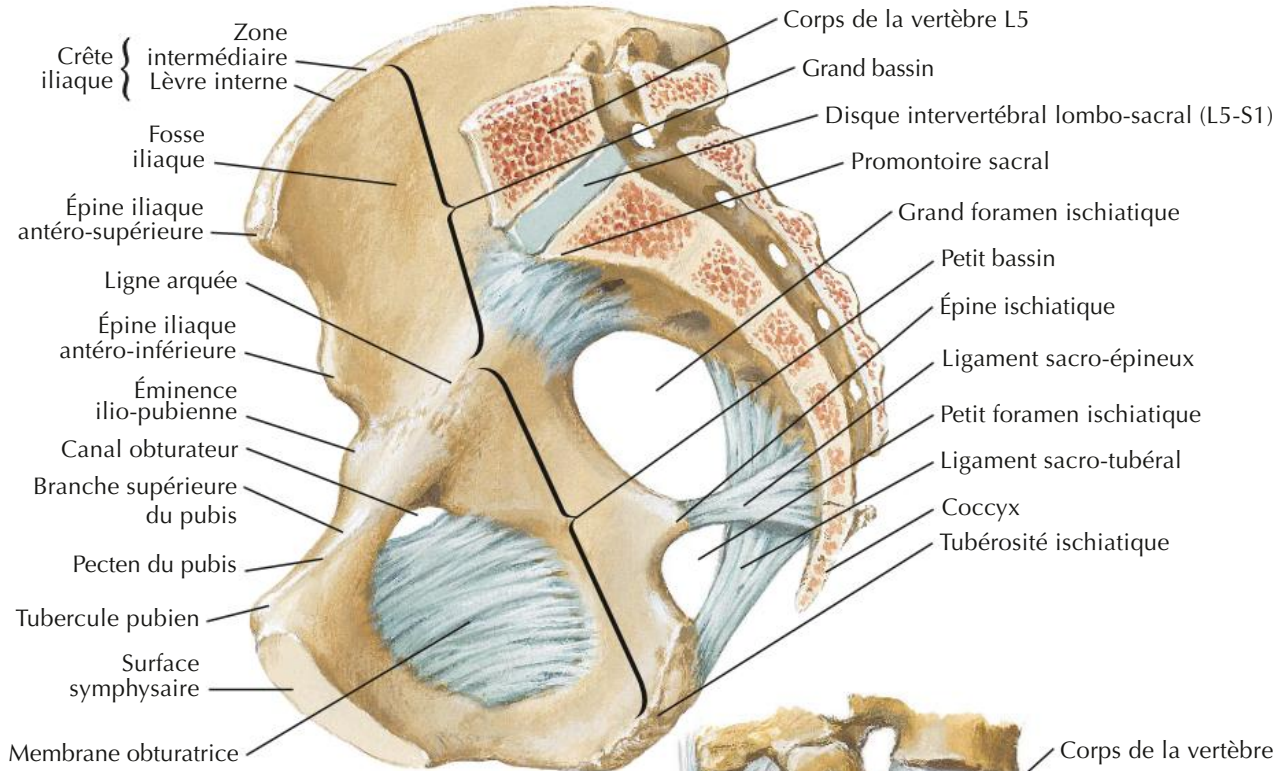


Vue postérieure

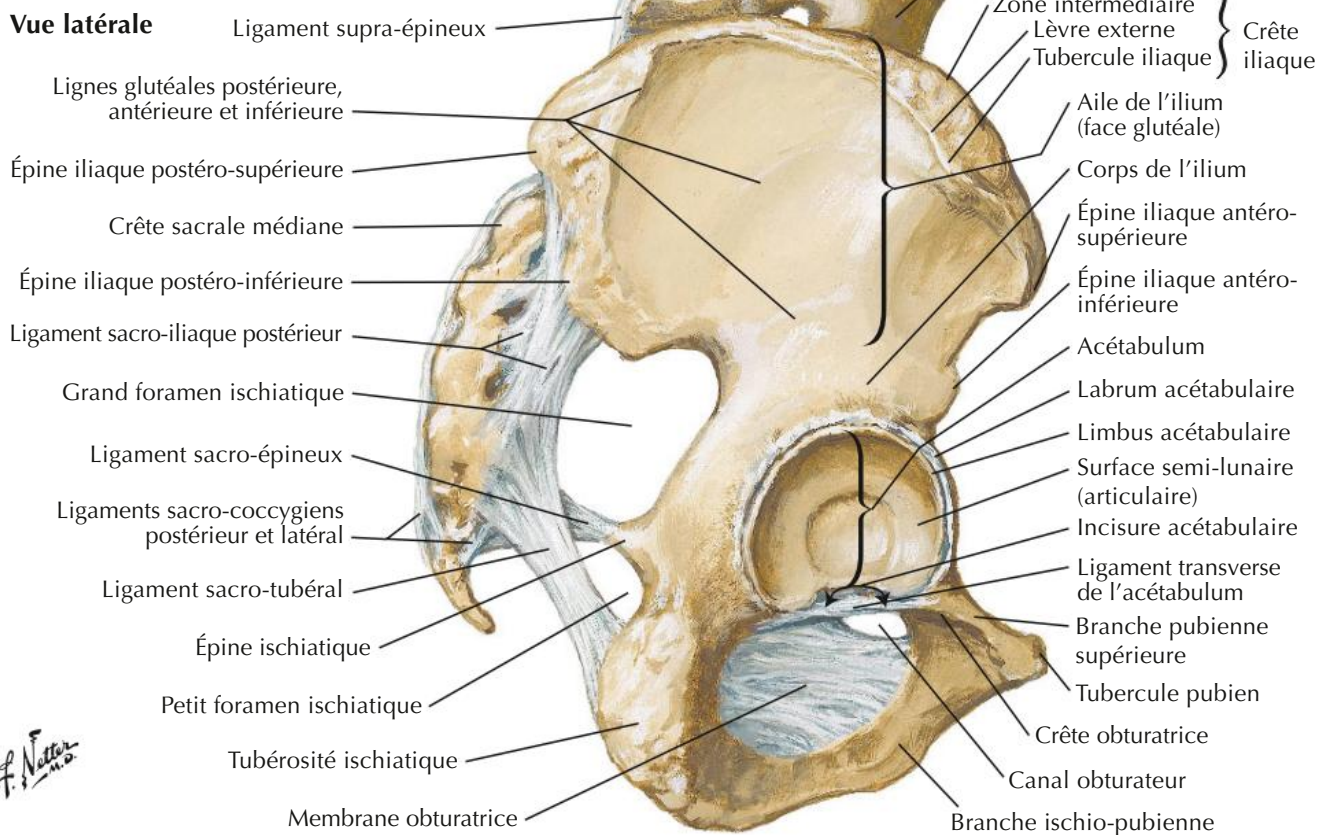


Vue antérieure

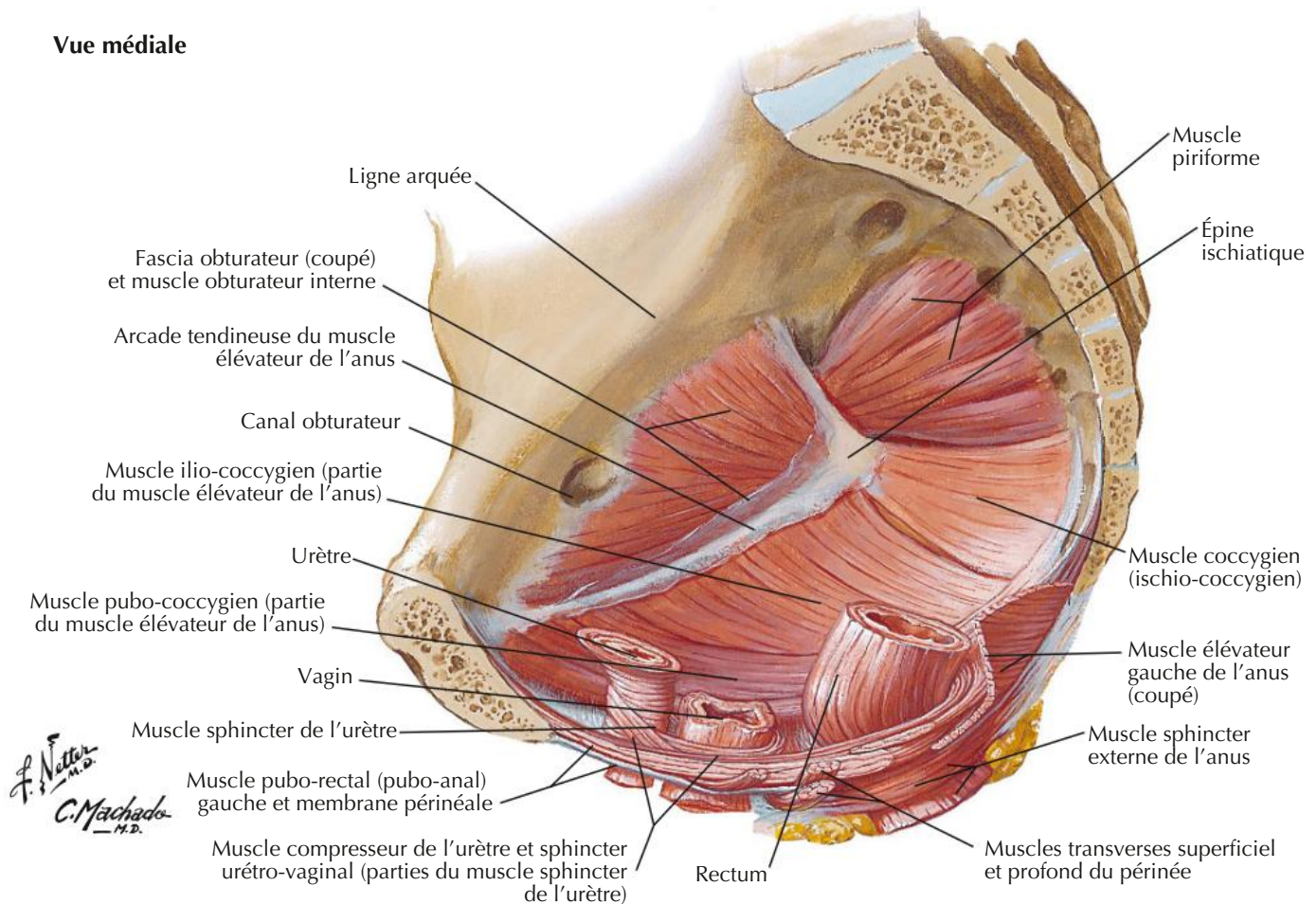
Coupe sagittale médiane



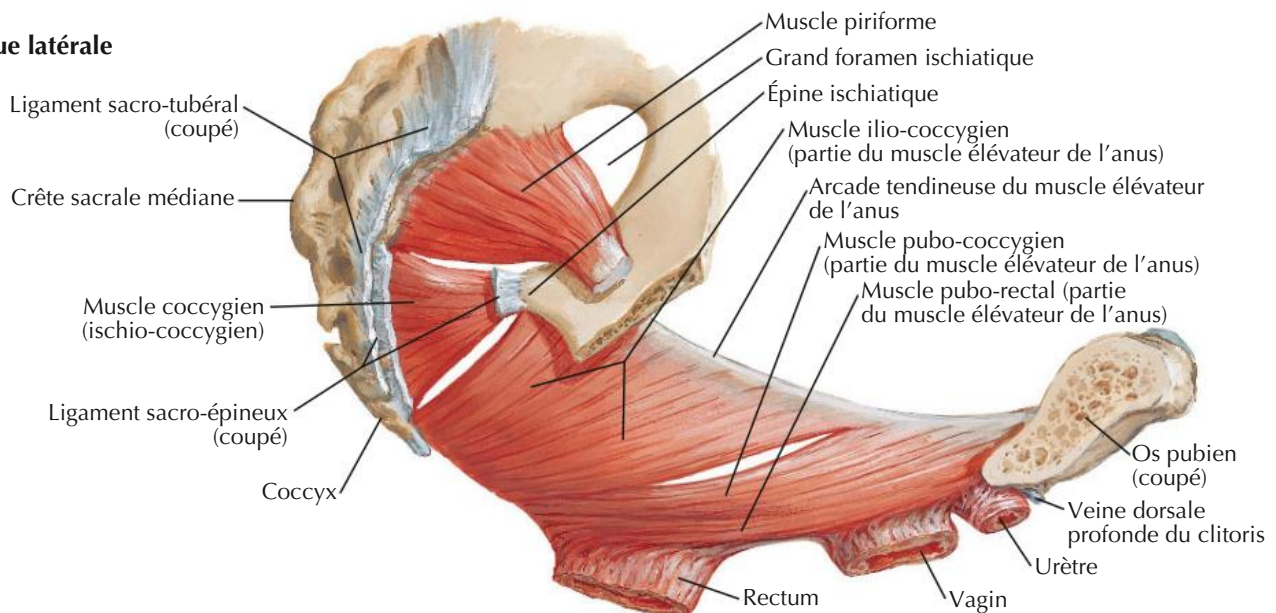
Vue latérale



Vue médiale

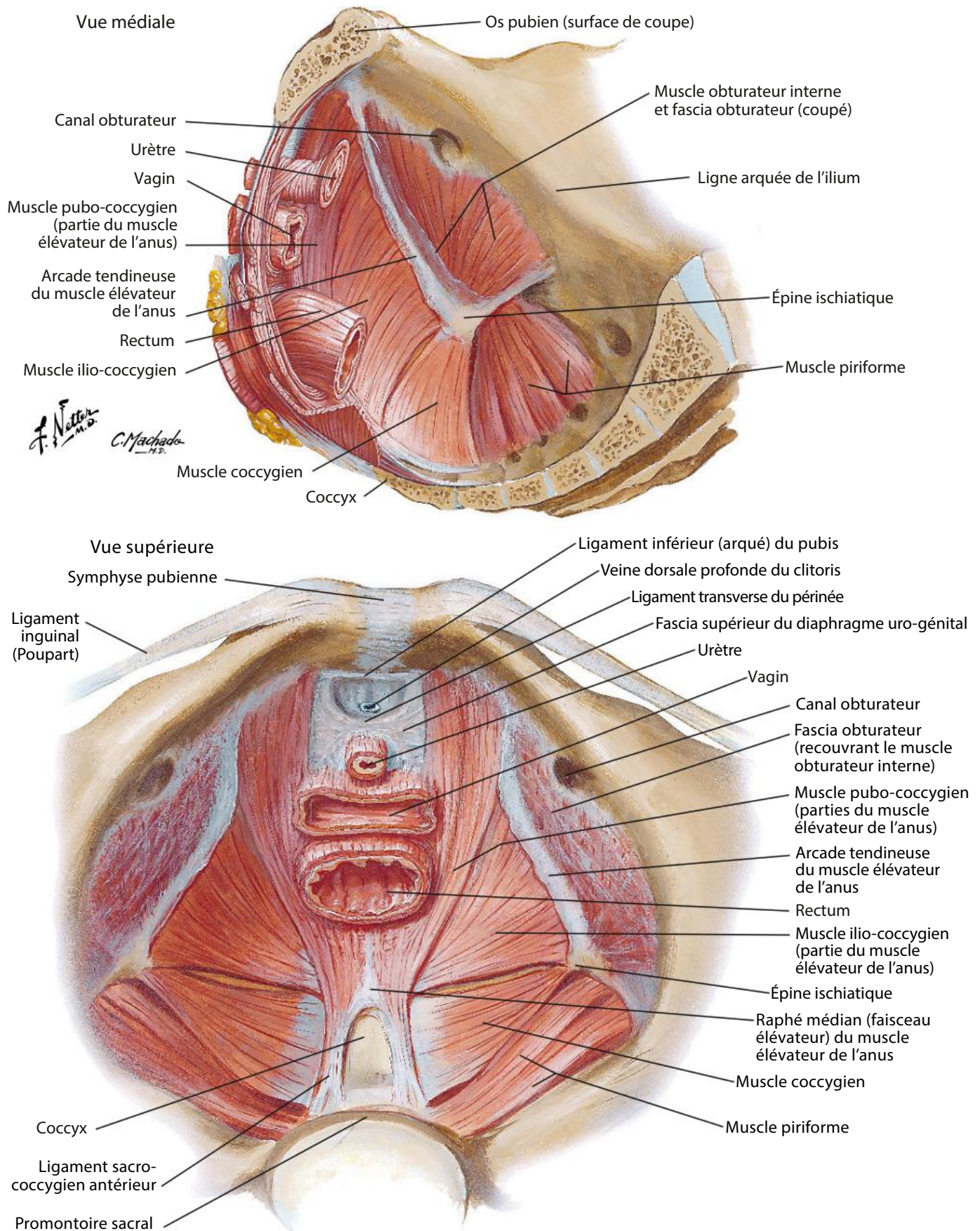


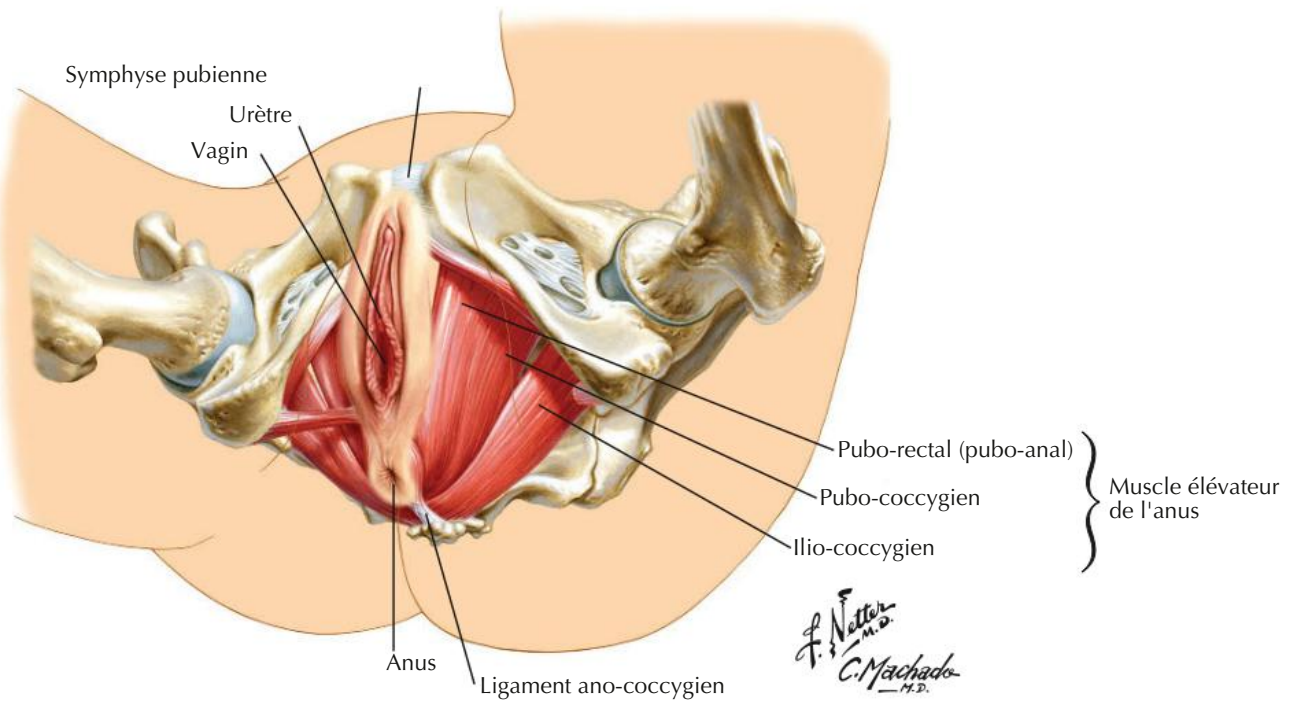
Vue latérale



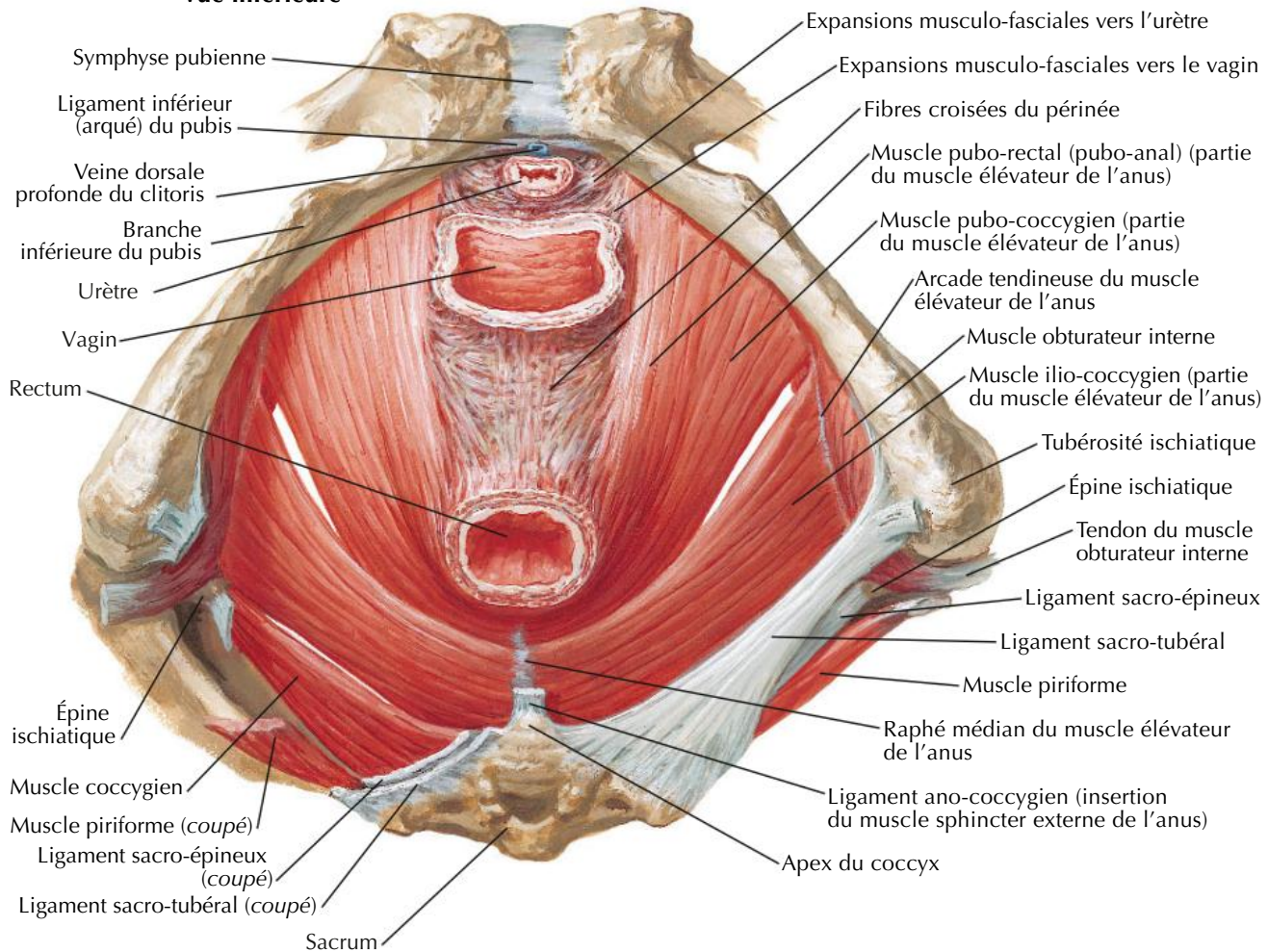
Diaphragme pelvien féminin (suite)

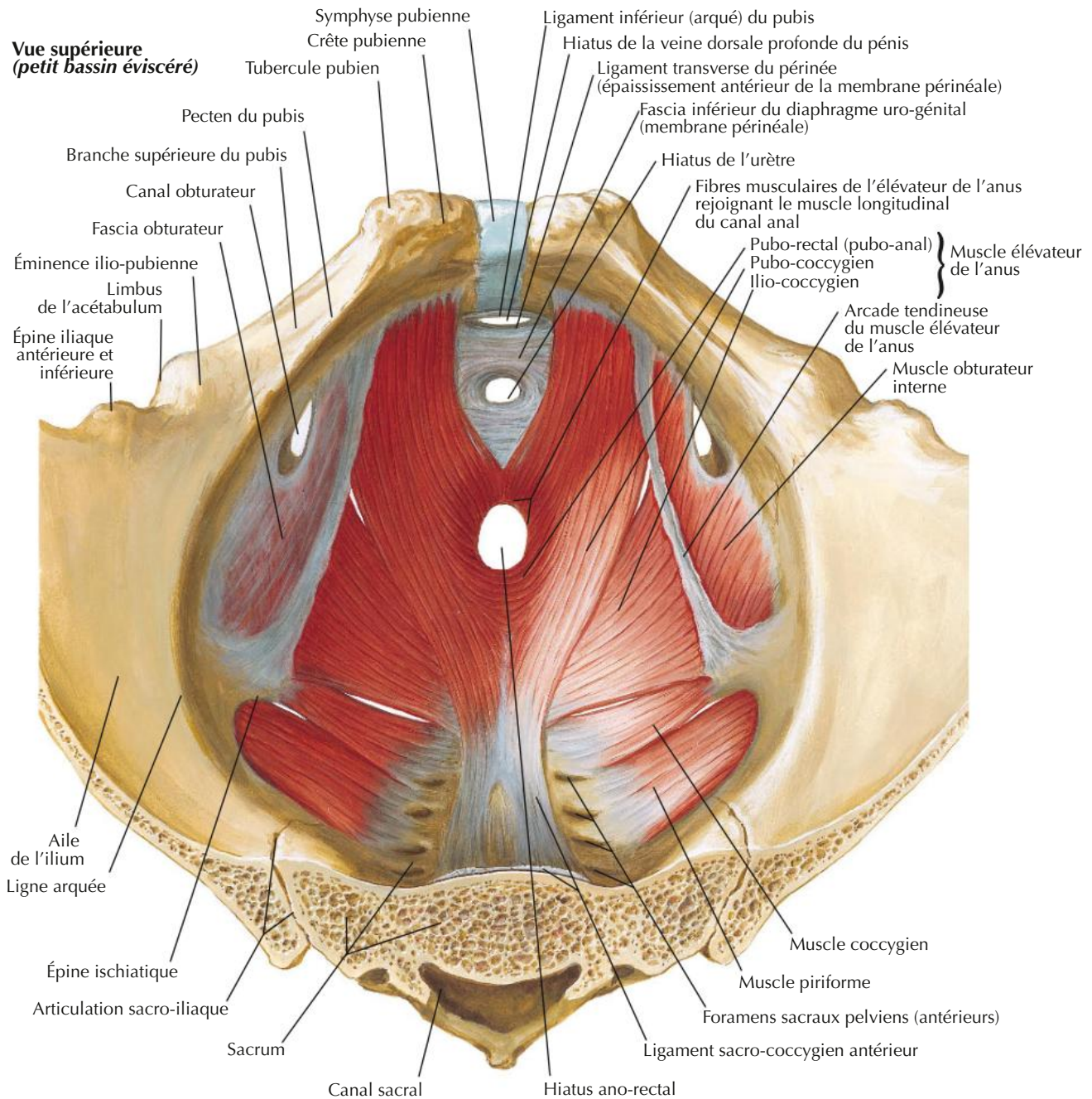
Pour le diaphragme uro-génital, voir Planche 360



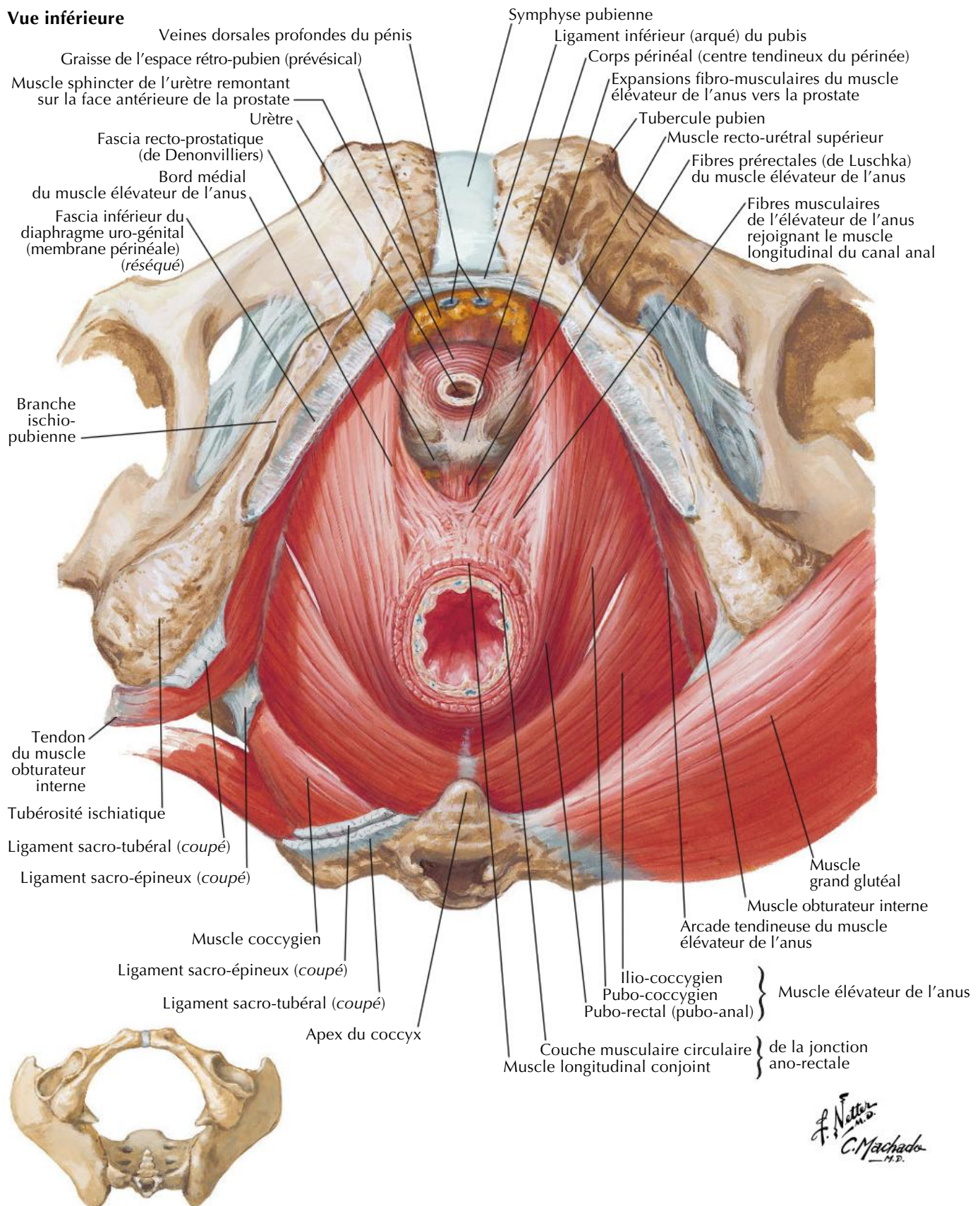


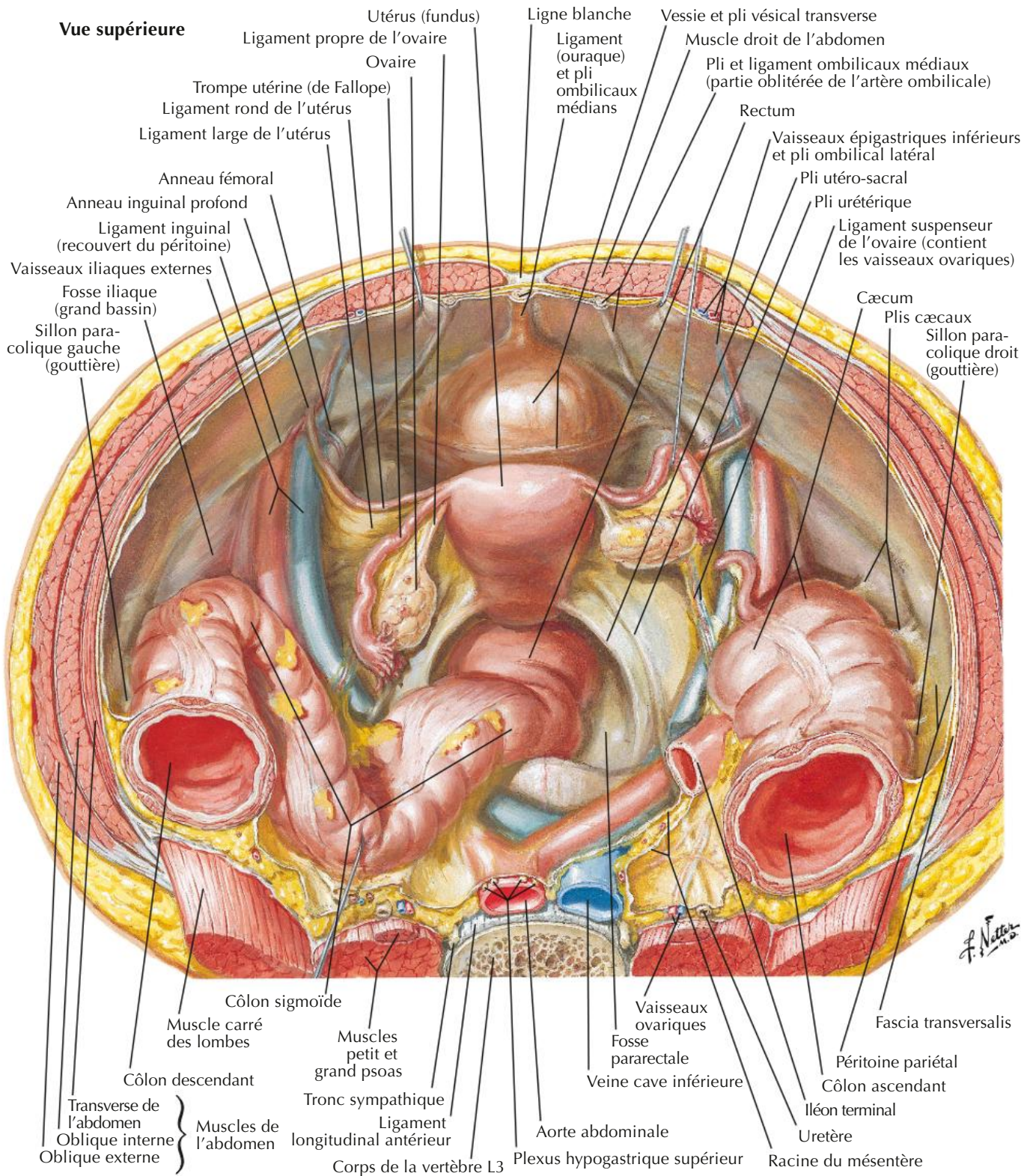
Vue inférieure



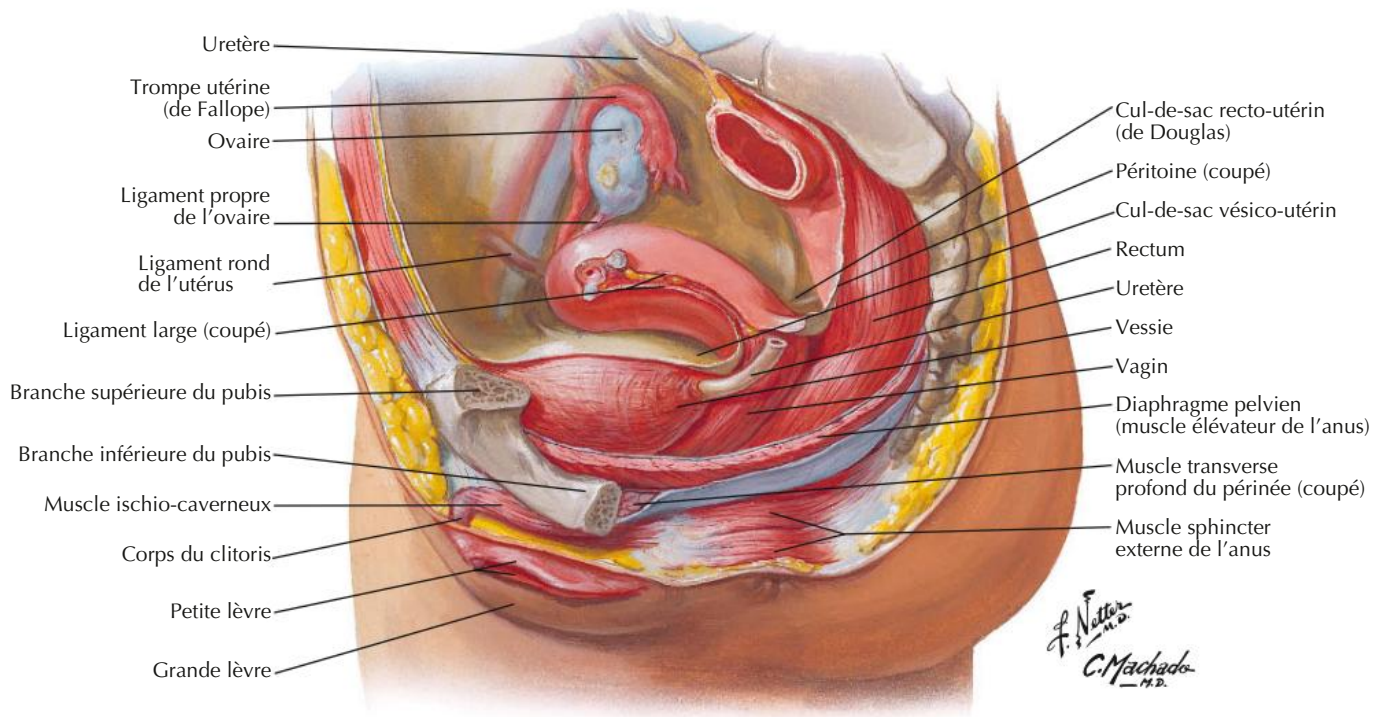


Vue inférieure

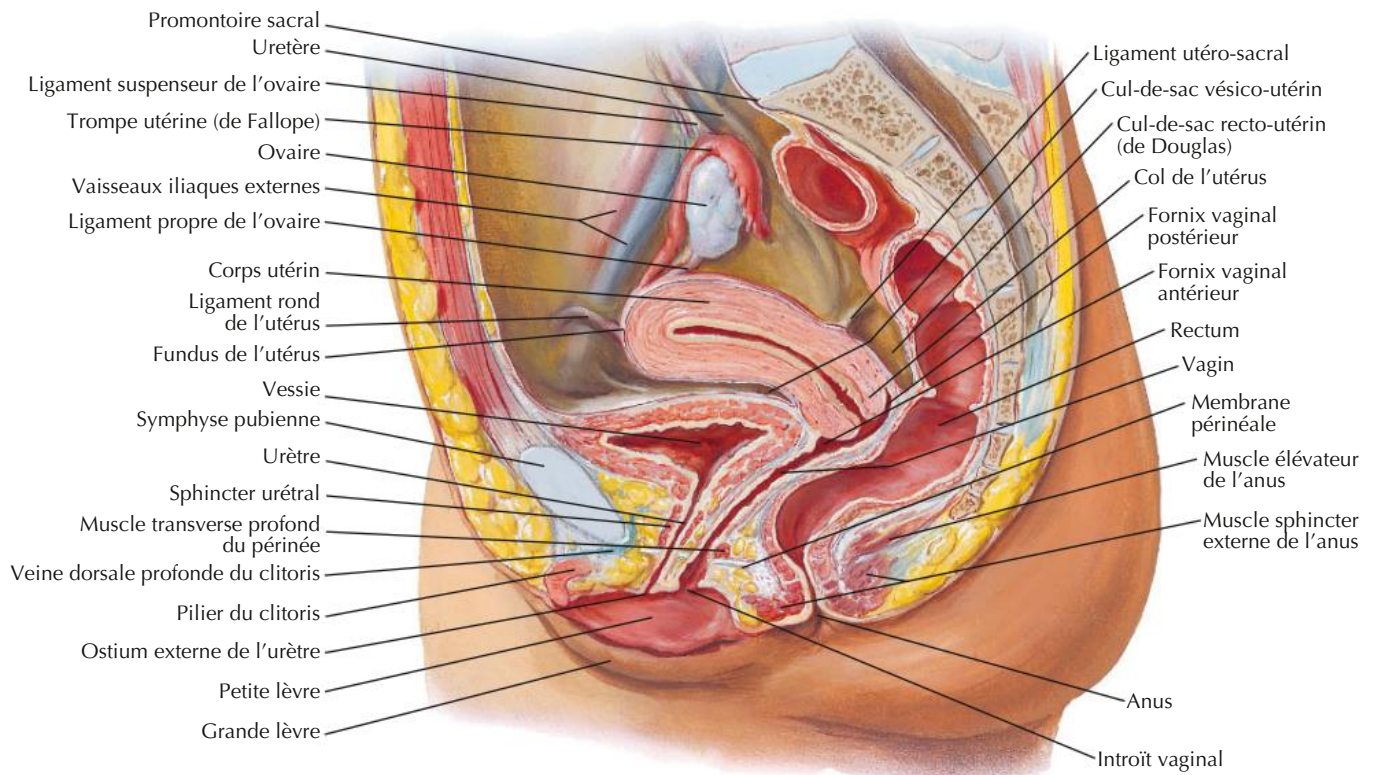




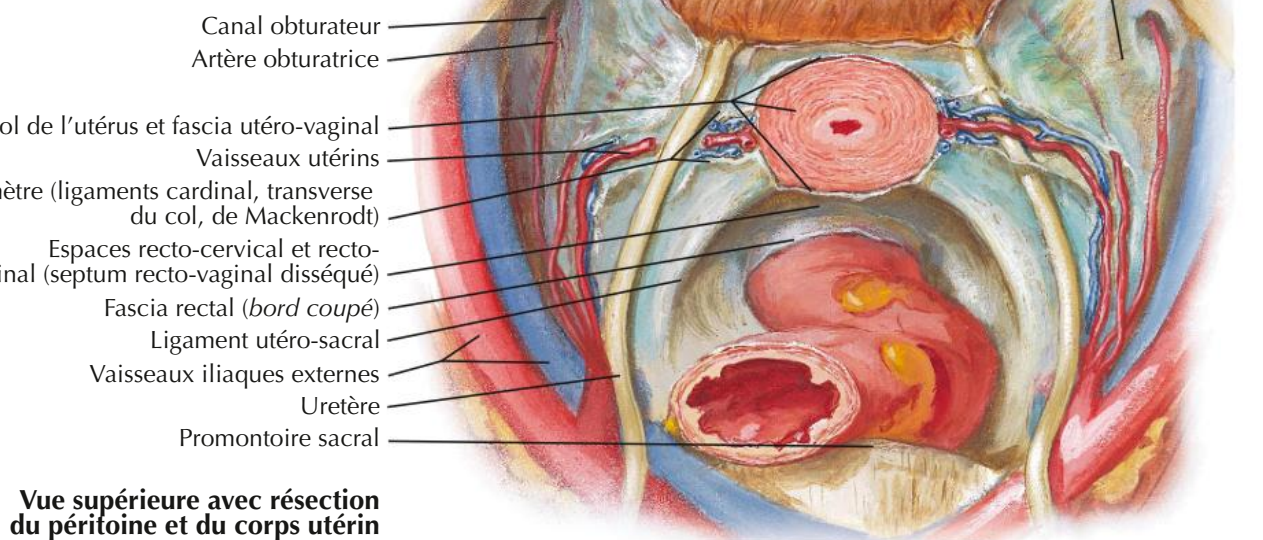
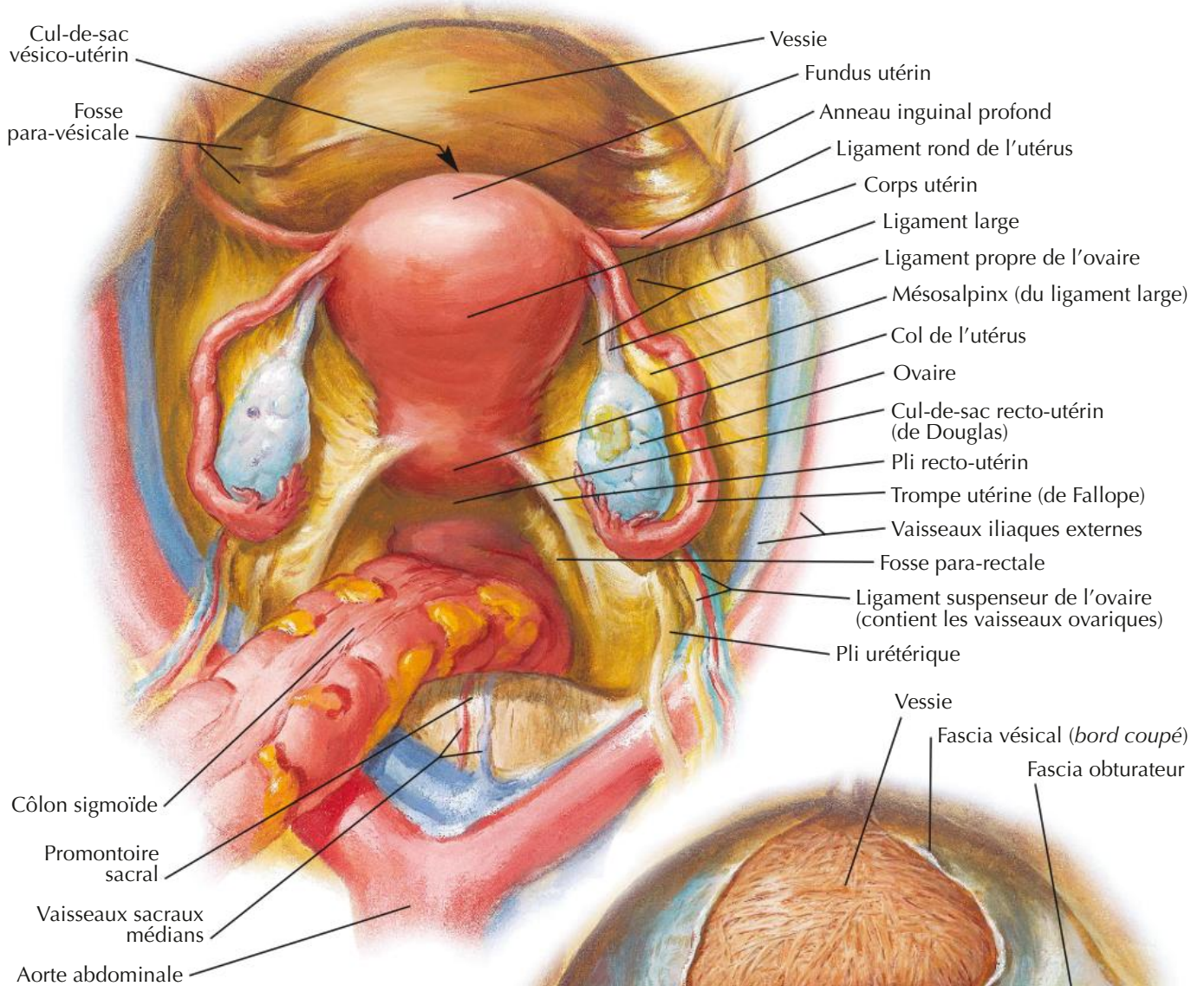
Dissection paramédiane (sagittale)



Coupe sagittale médiane

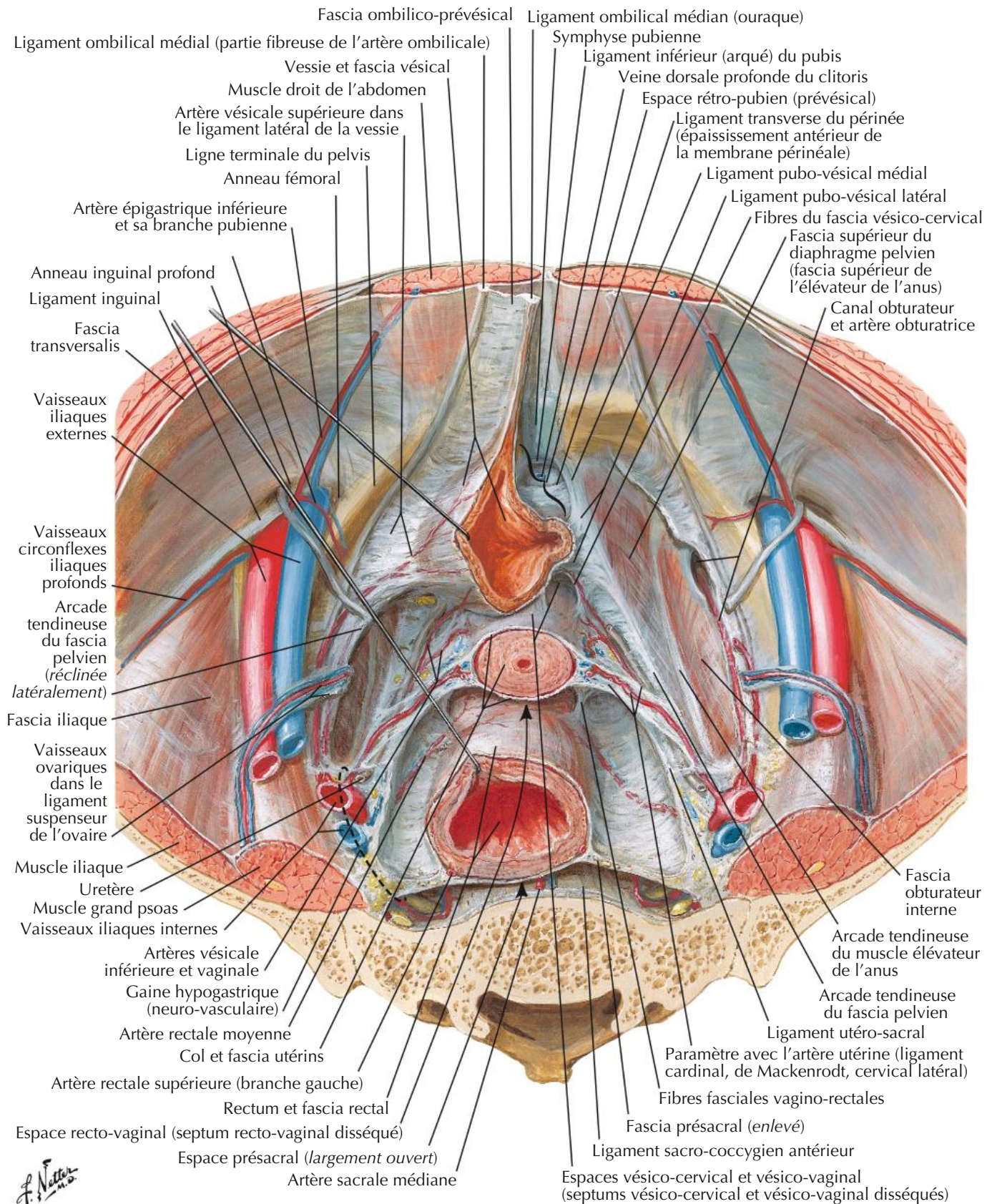


Vue supérieure avec le péritoine intact

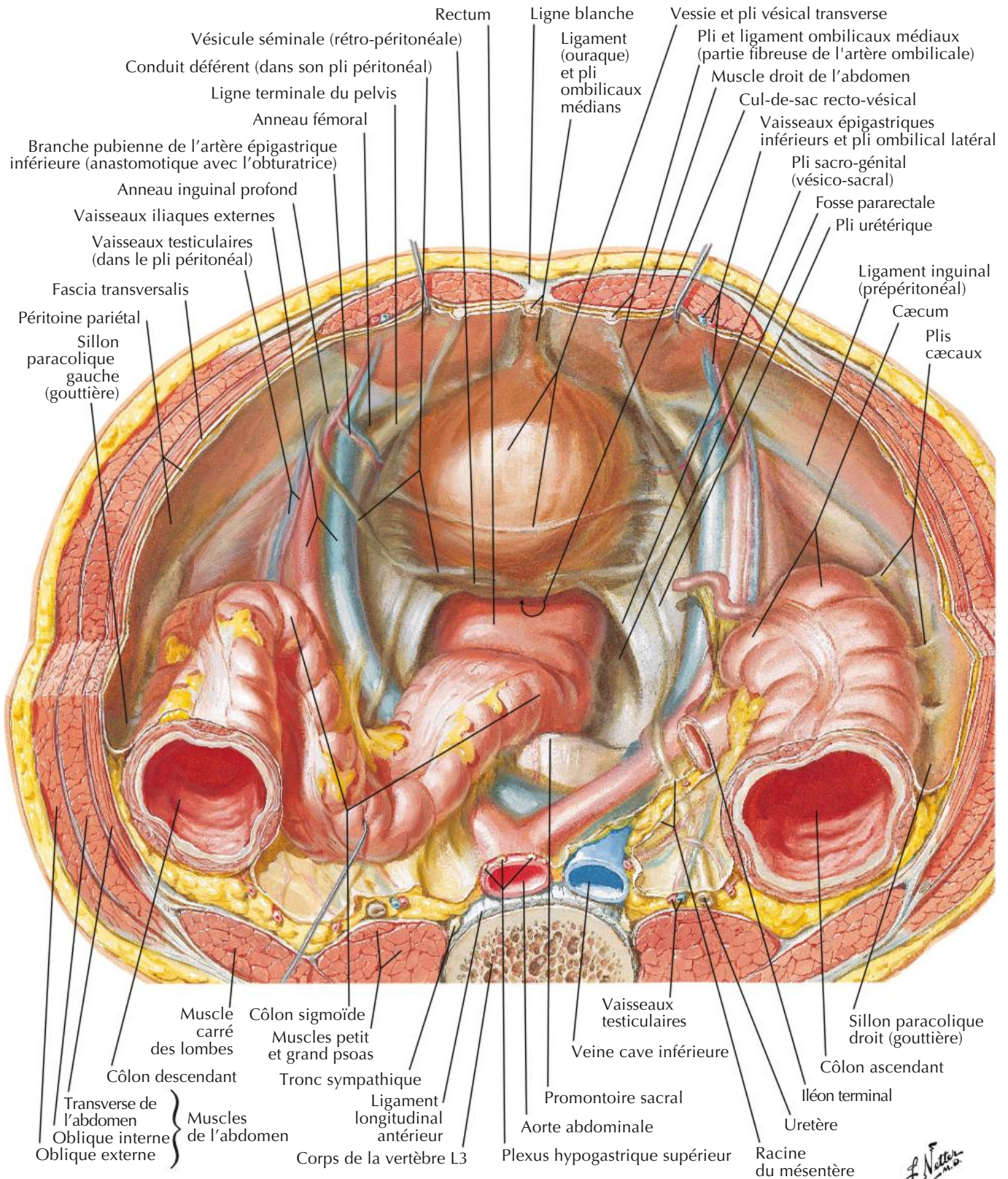


Vue supérieure avec résection du péritoine et du corps utérin

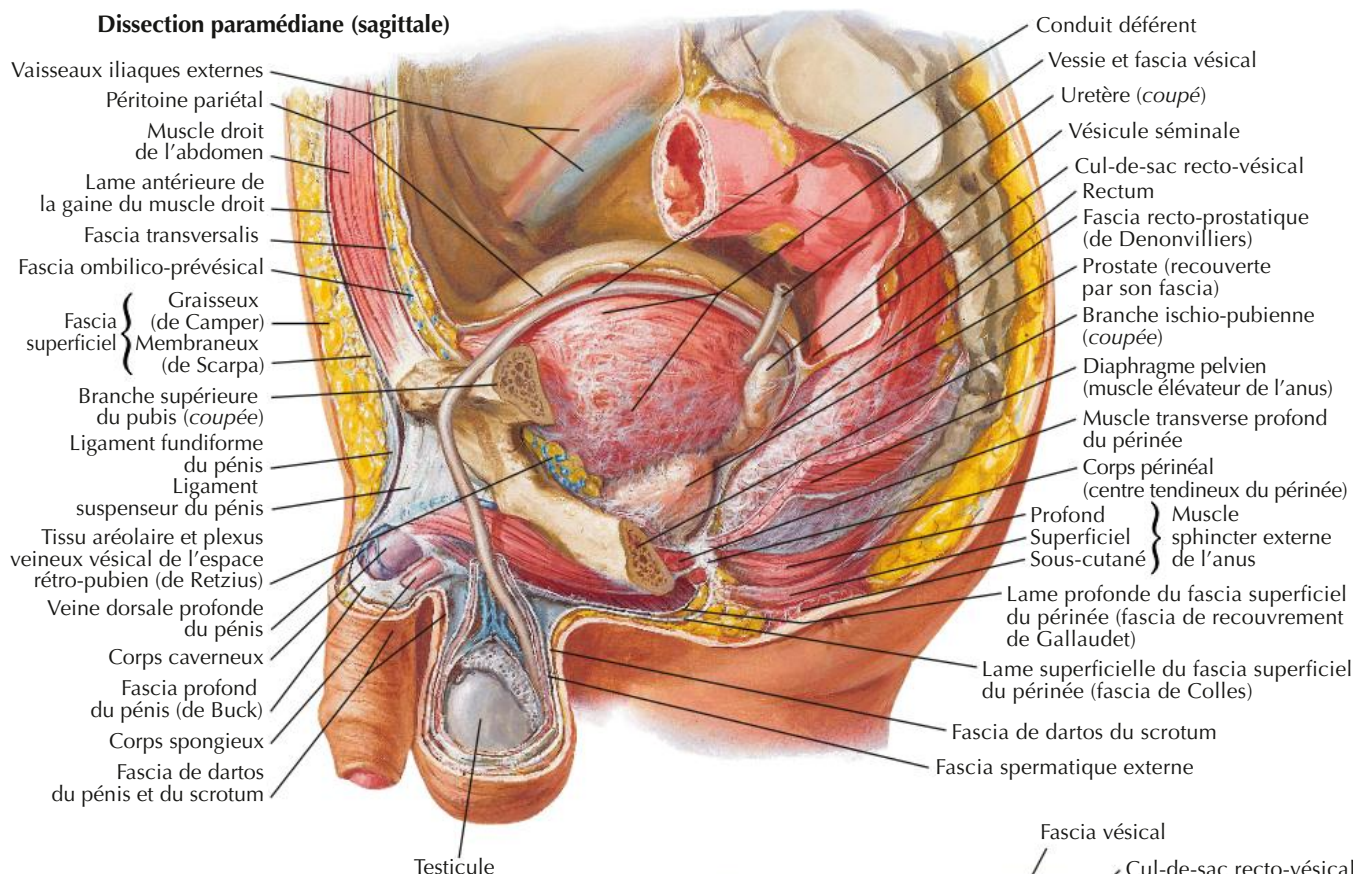
Vue supérieure chez la femme (péritoine et tissu aréolaire lâche enlevés)



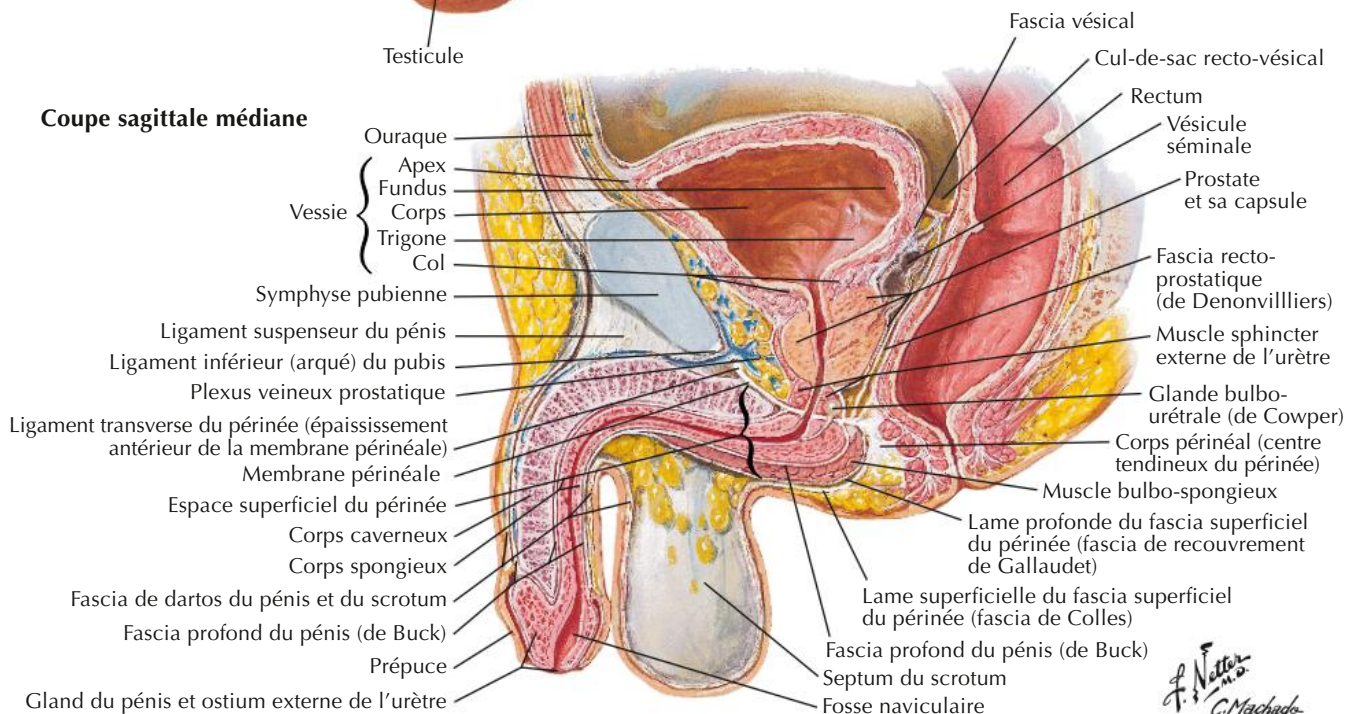
Vue supérieure



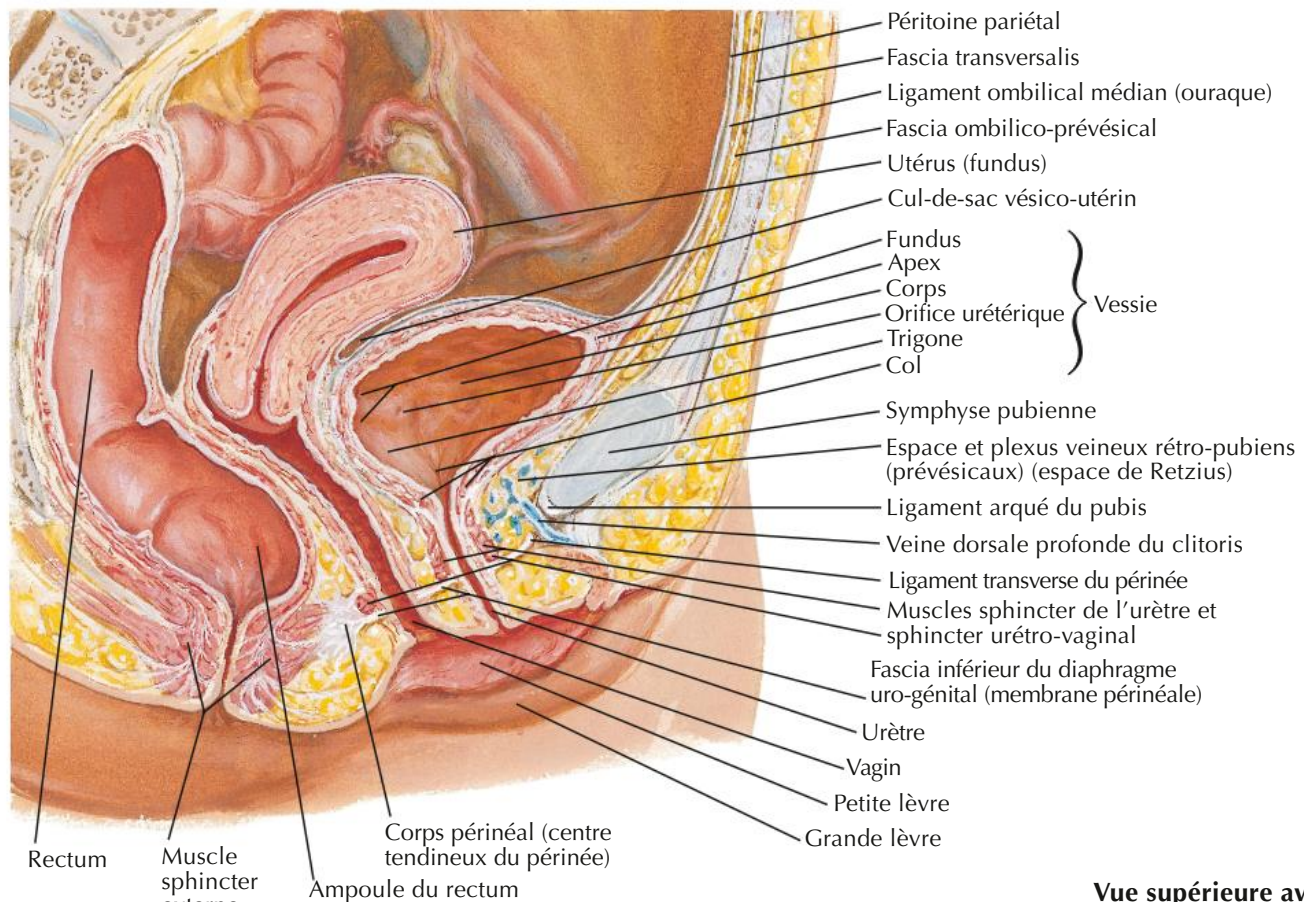
Dissection paramédiane (sagittale)



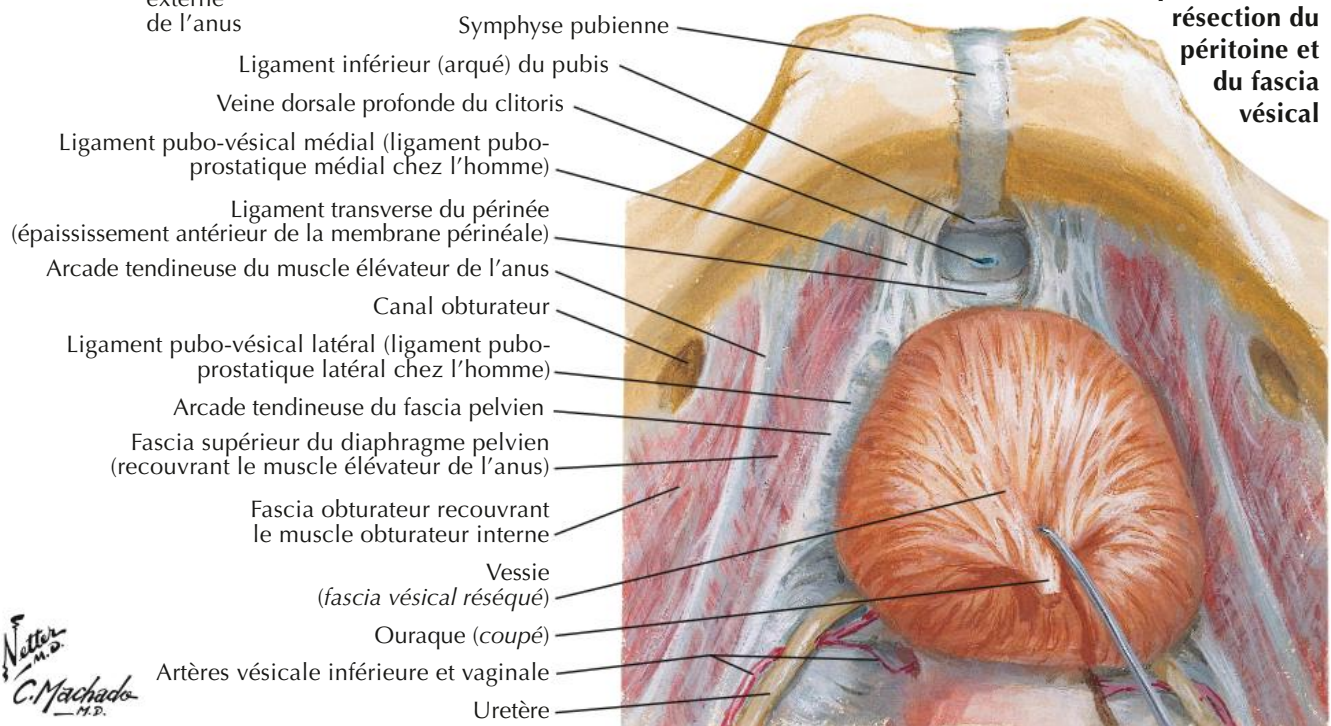
Coupe sagittale médiane



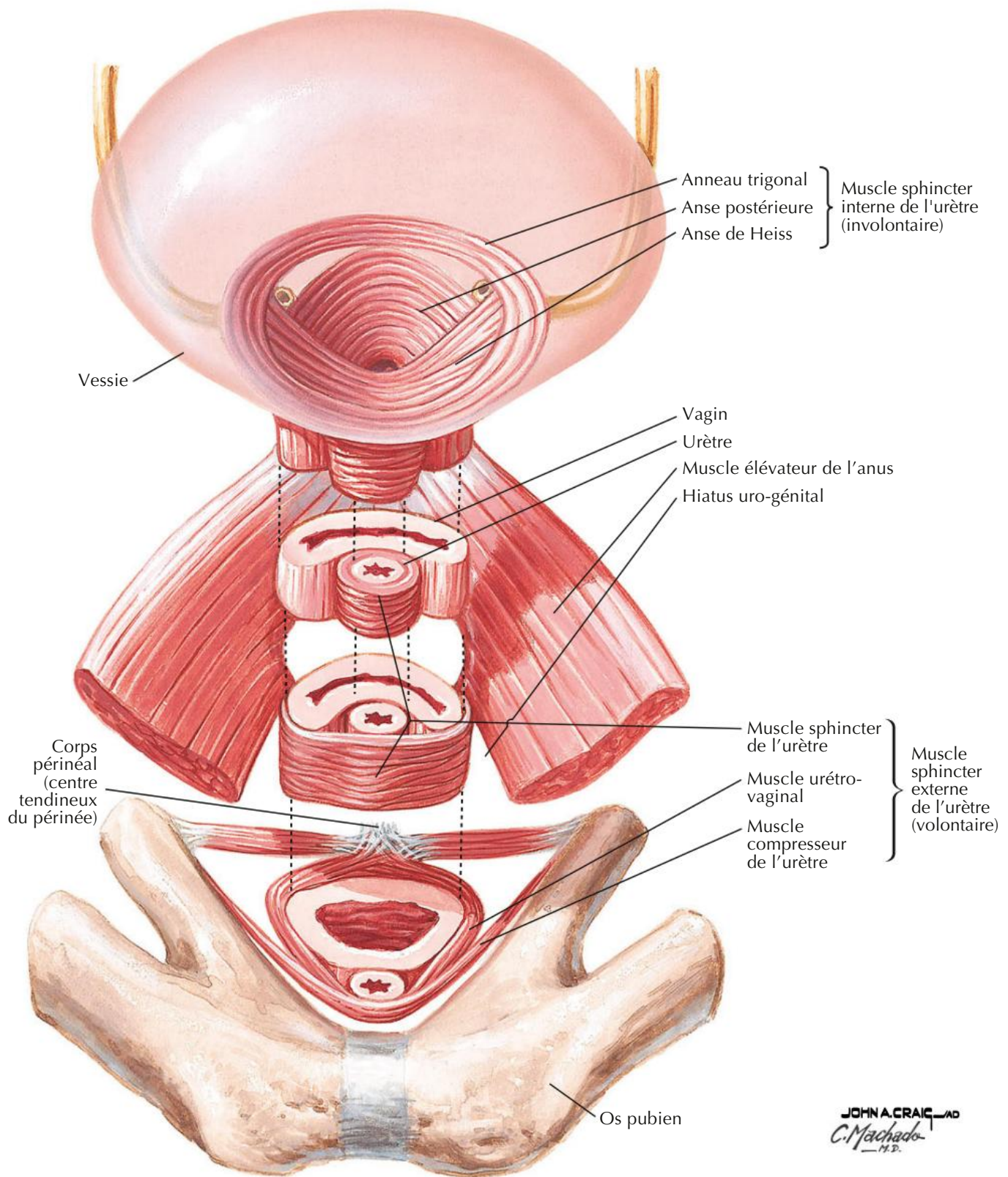
Femme : coupe sagittale médiane

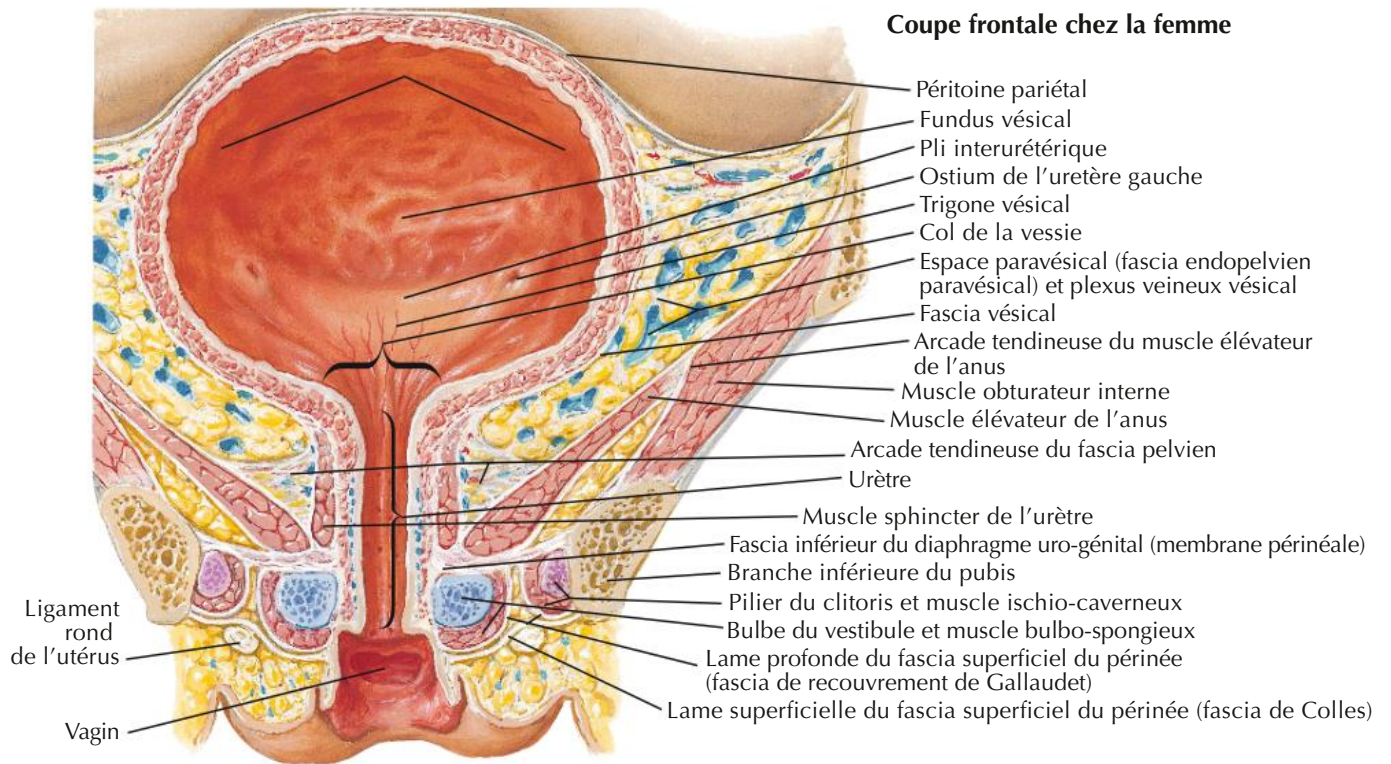


Vue supérieure avec résection du péritoine et du fascia vésical

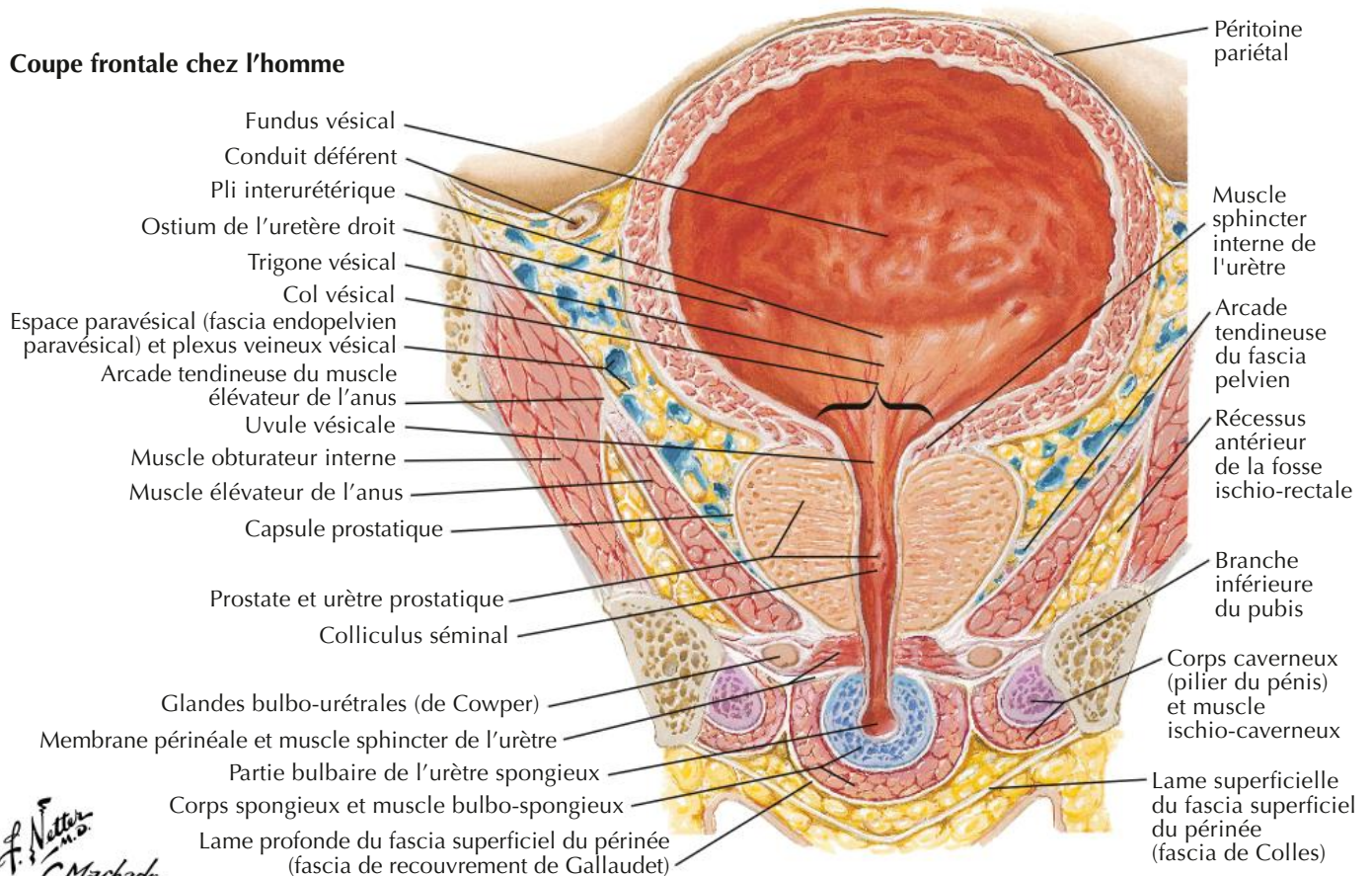


F. Netter M.D.
C. Machado M.D.

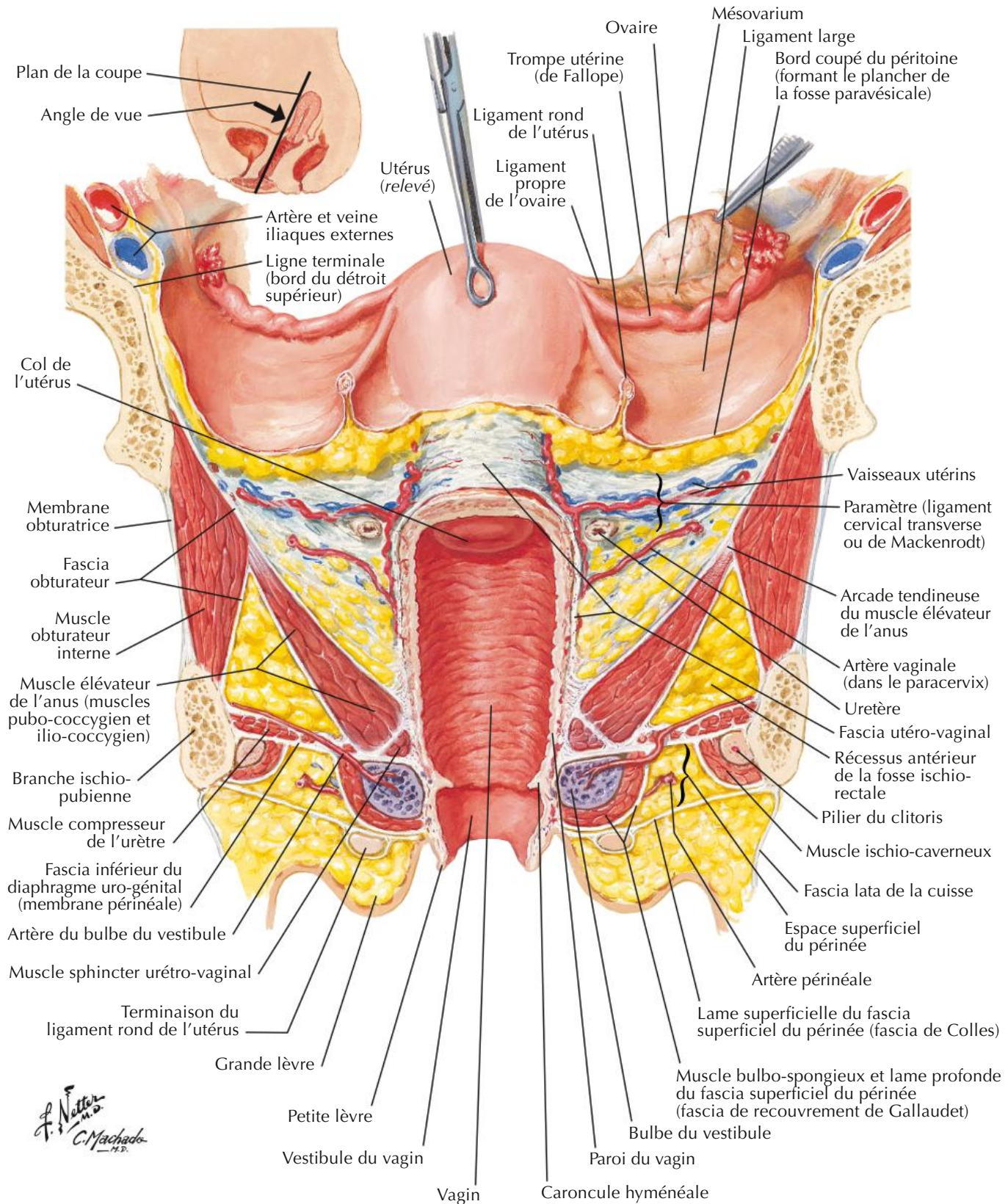




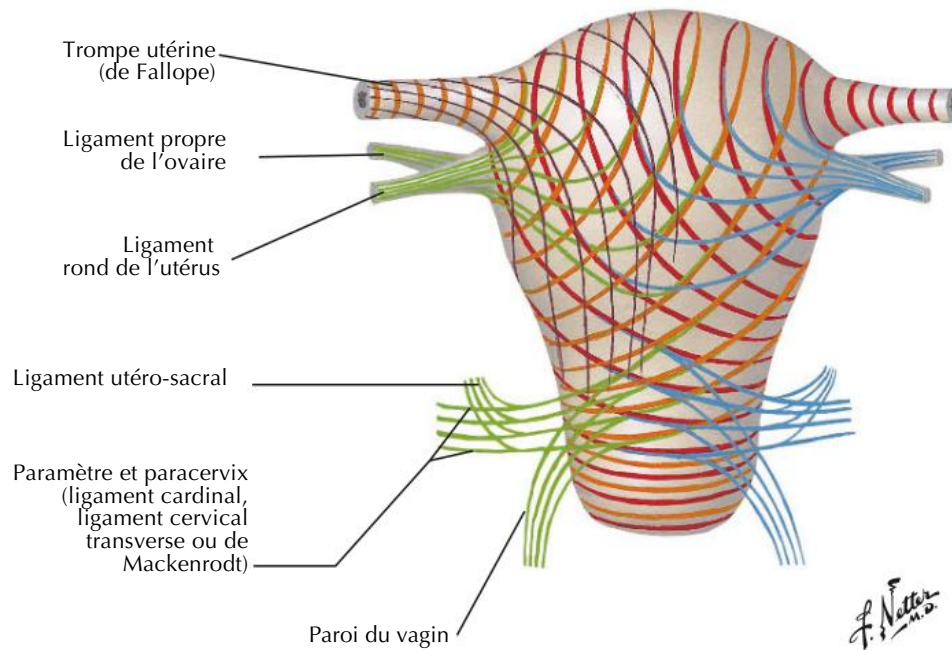
Coupe frontale chez l'homme



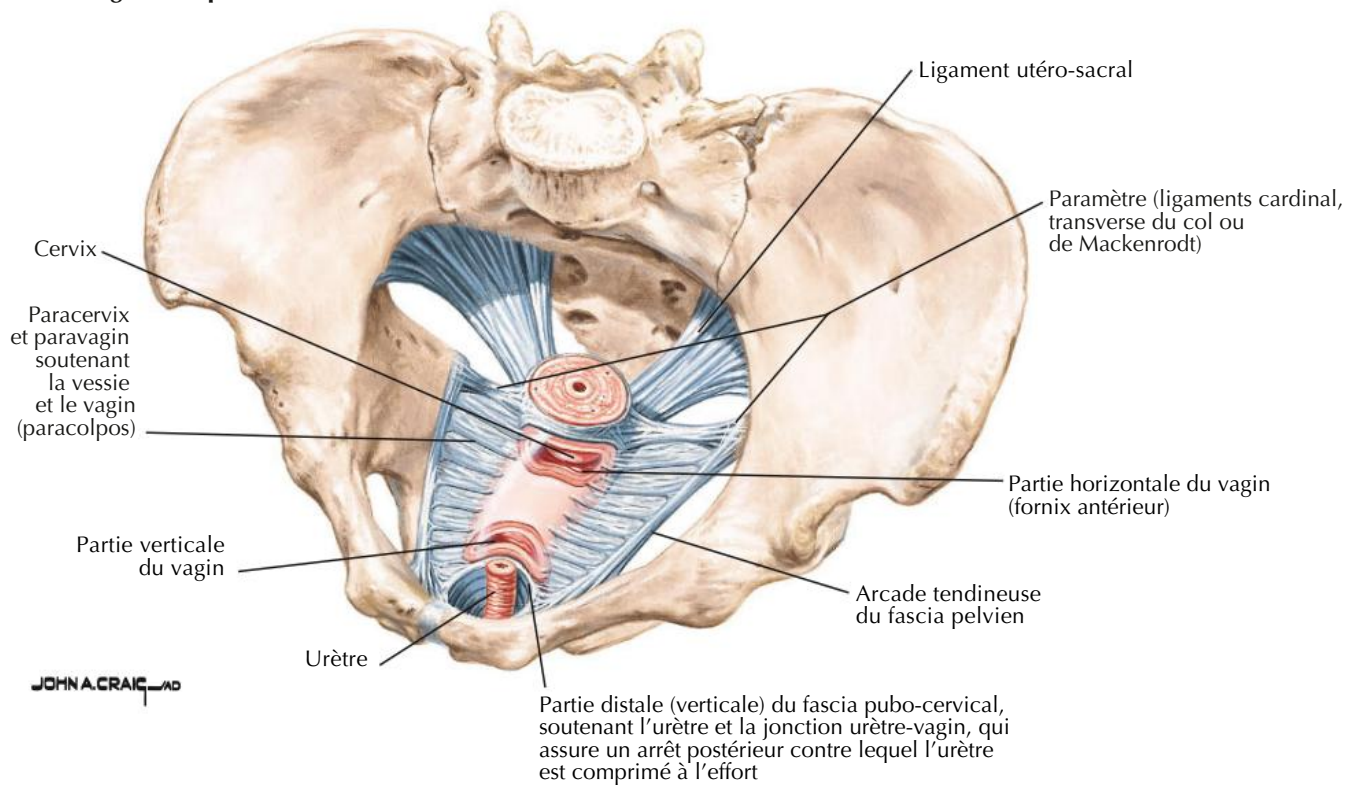
F. Netter M.D.
C. Machado M.D.

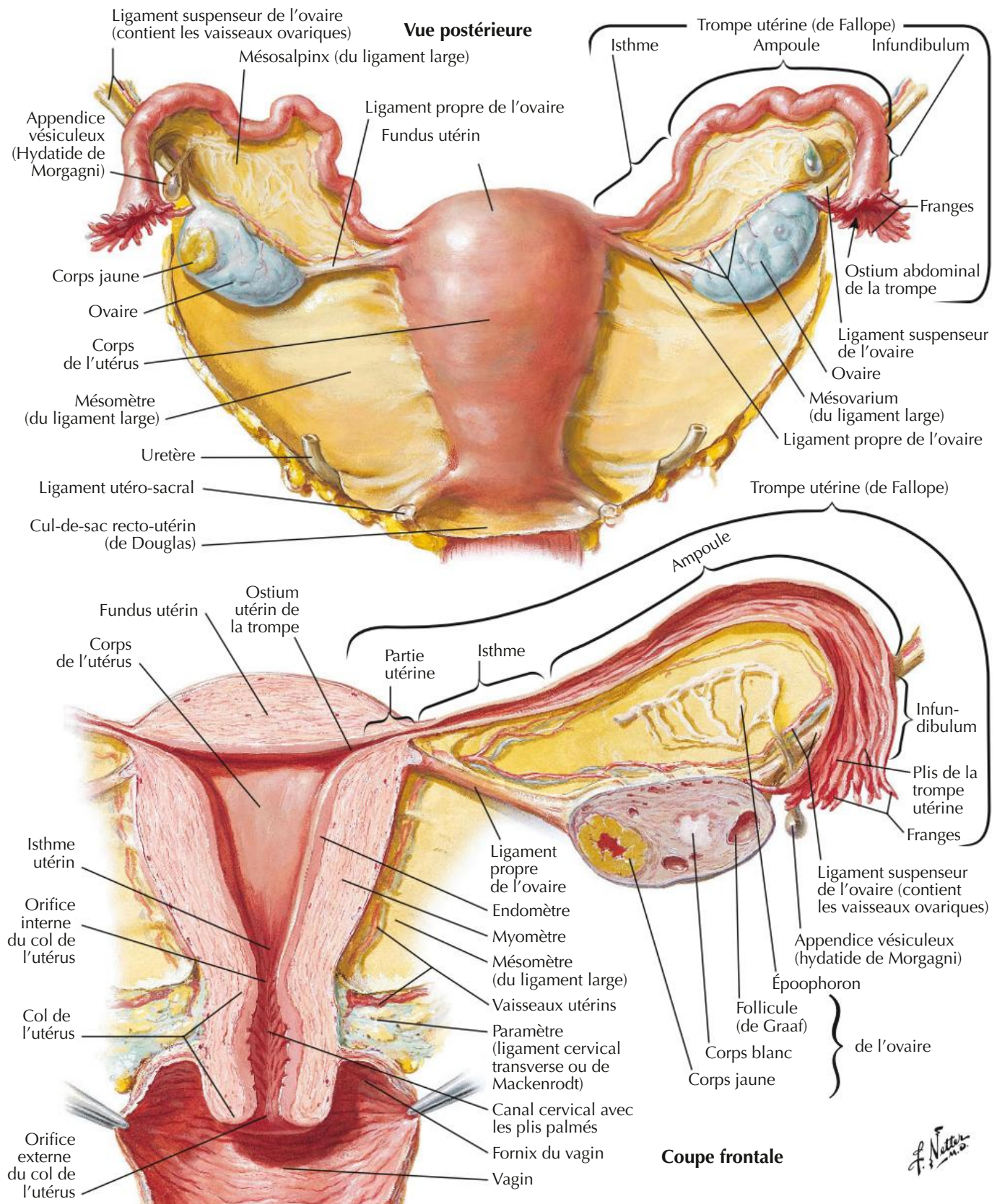


Ligaments de l'utérus

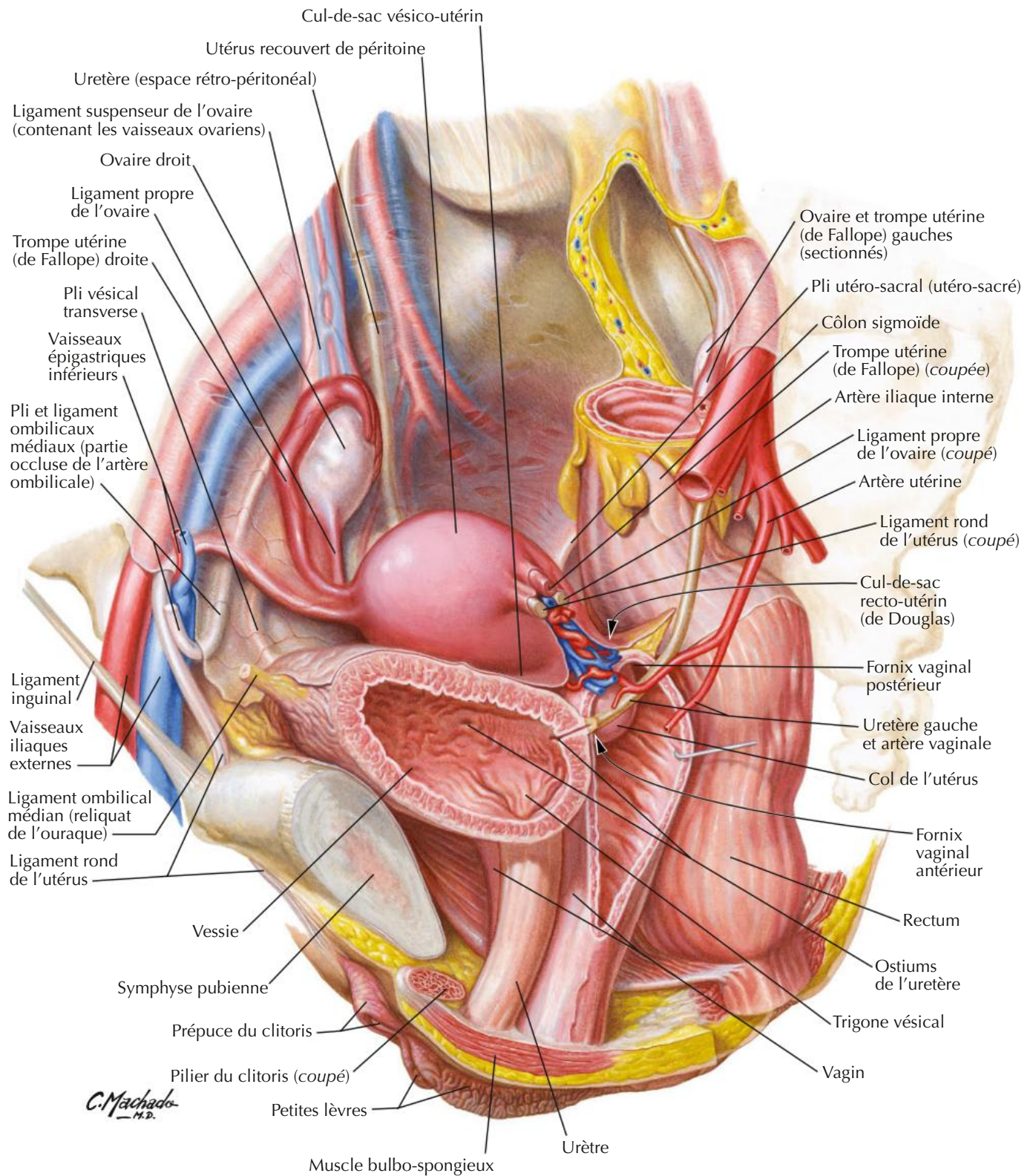


Fascias et ligaments pelviens





Rapports dans le pelvis féminin



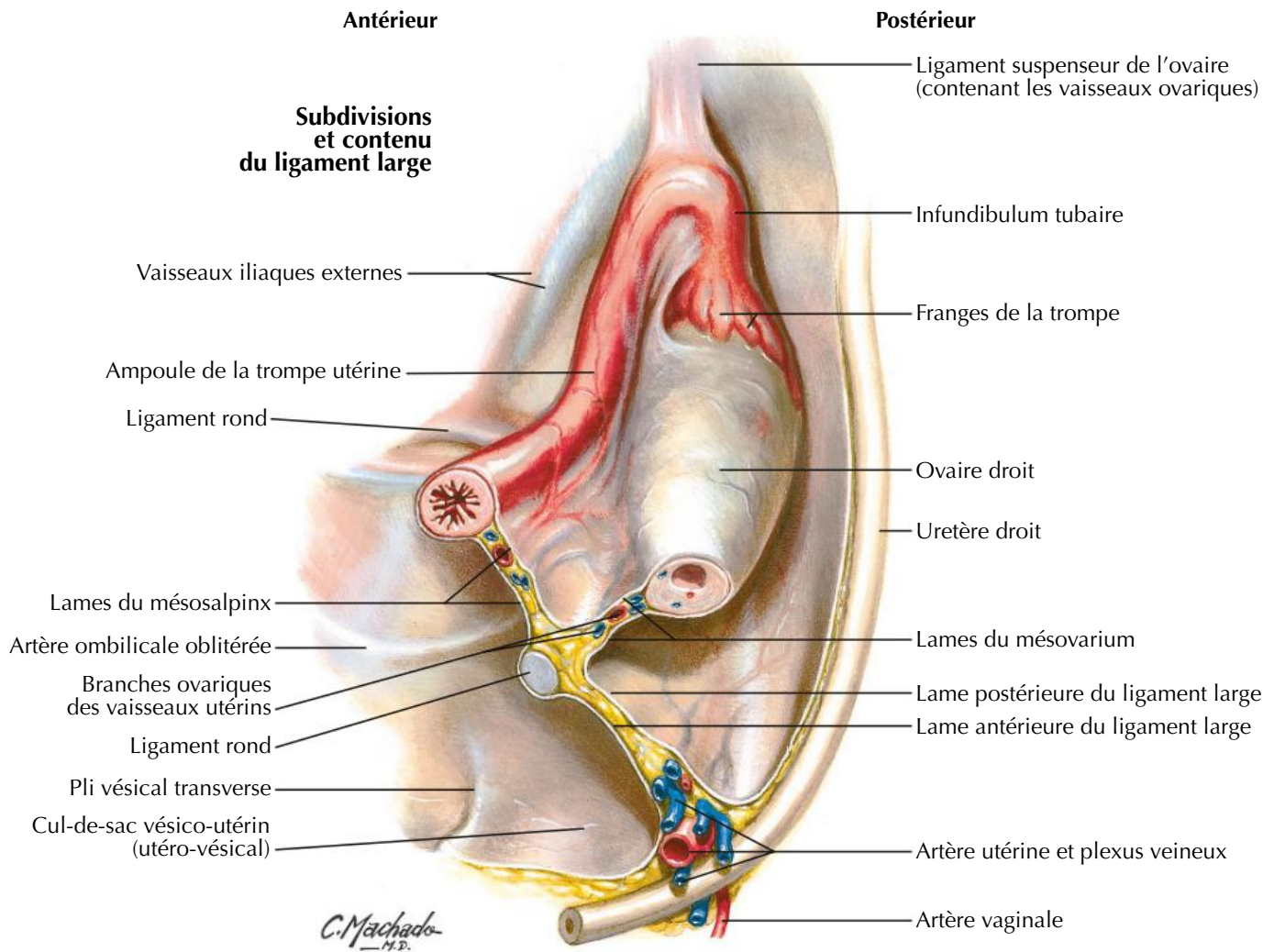
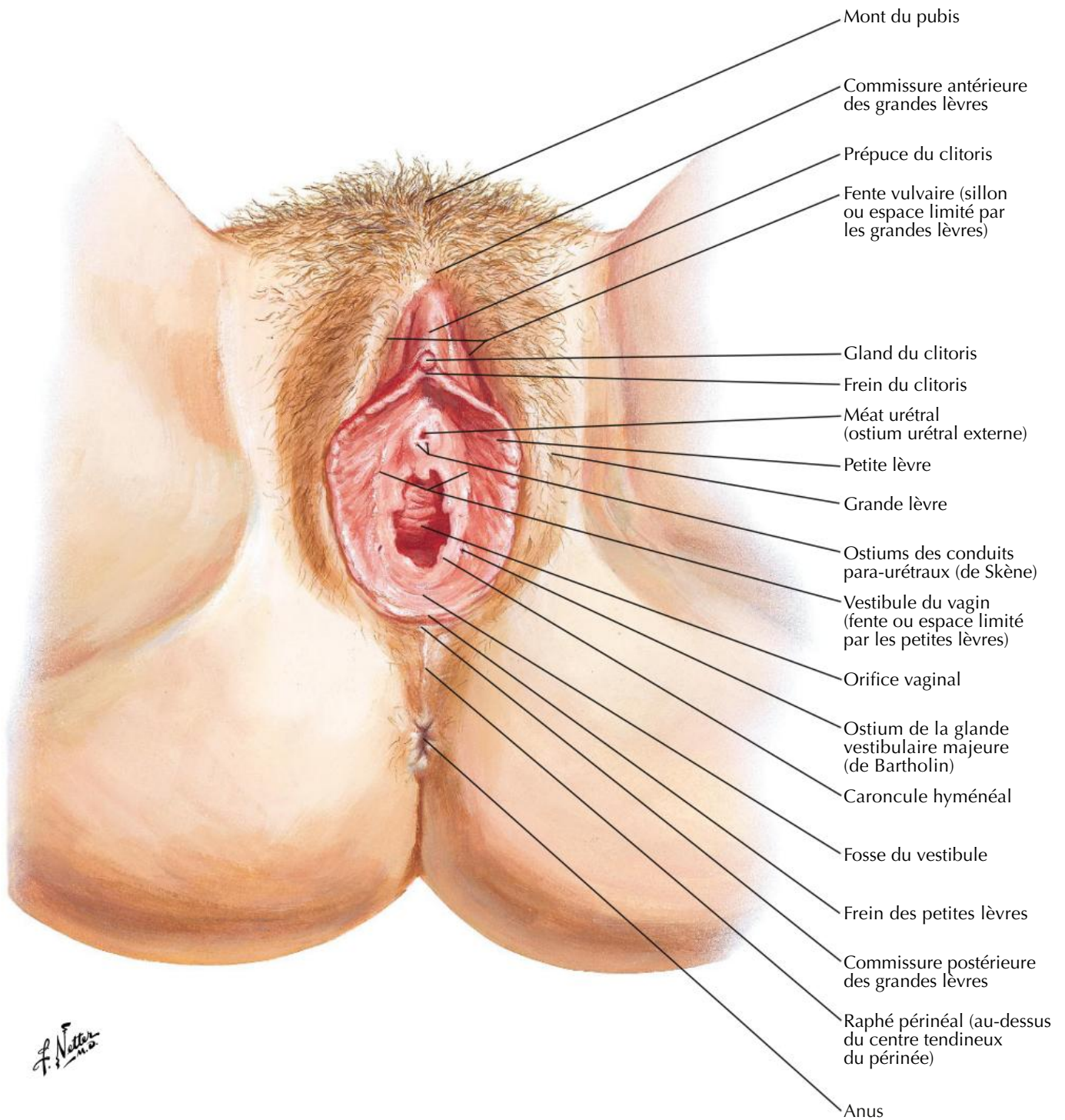


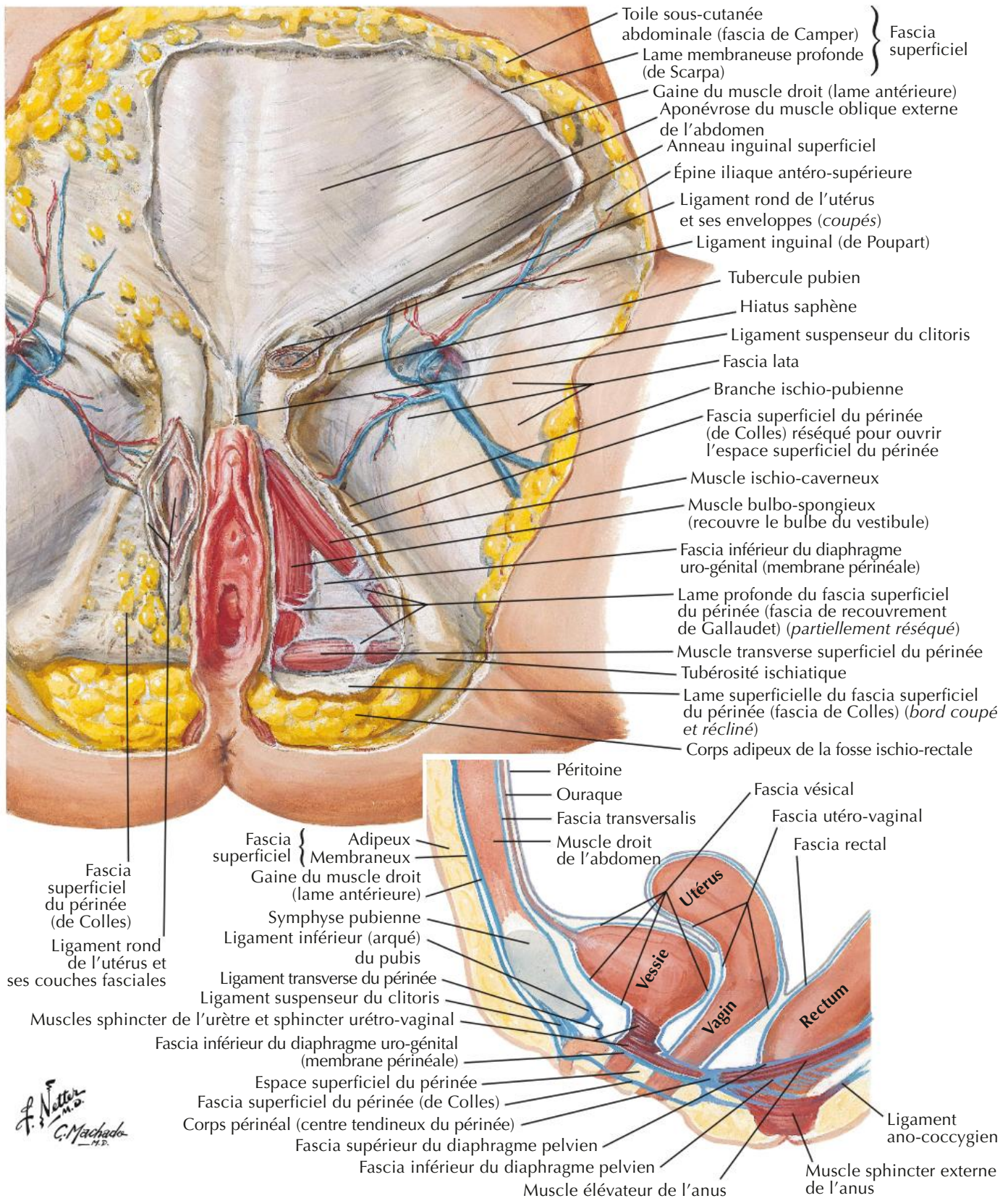
Image fluoroscopique antéro-postérieure obtenue lors d'une hystérosalpingographie



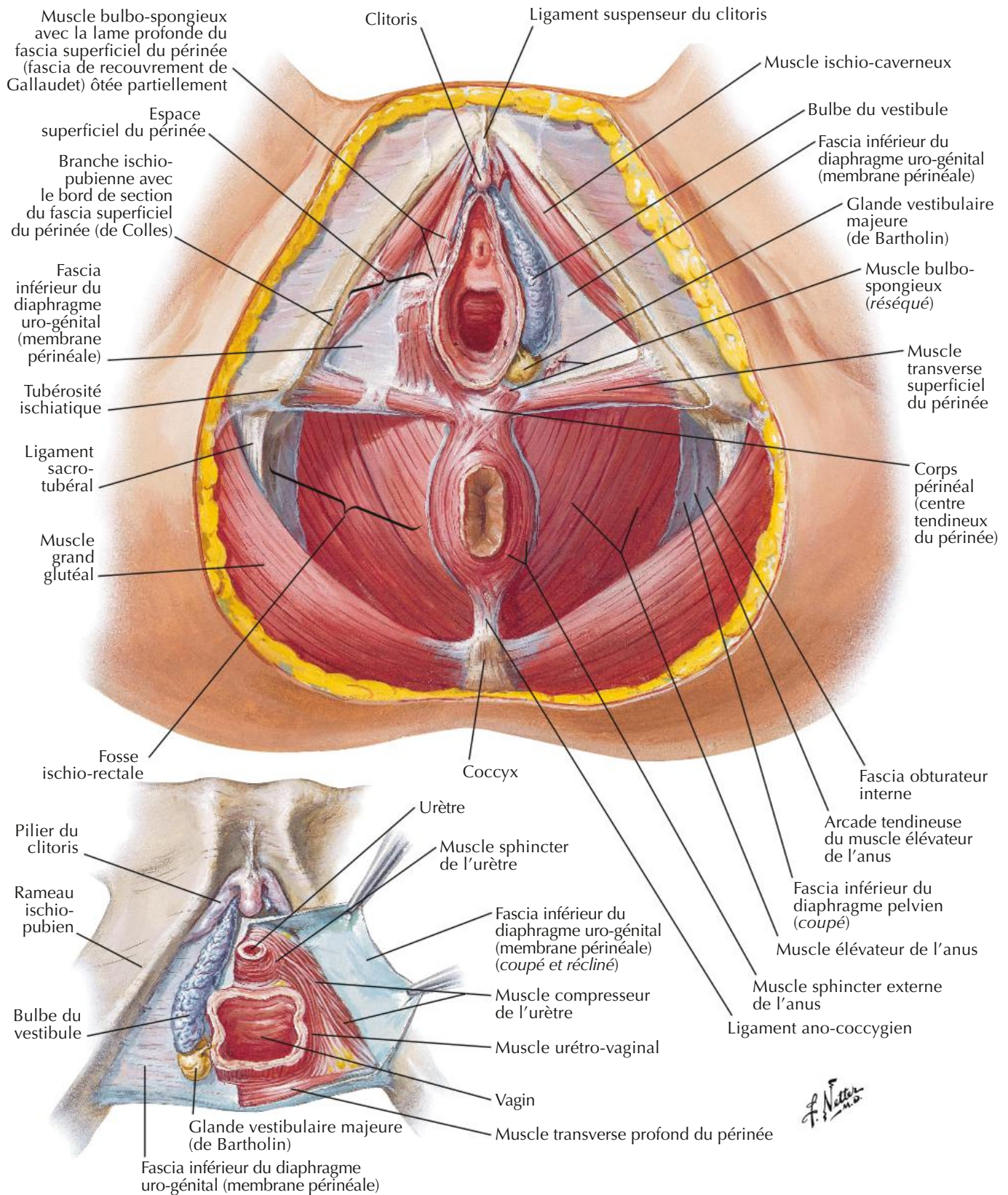
Périnée et organes génitaux externes féminins (vulve)

Voir aussi Planches 386, 389, 395

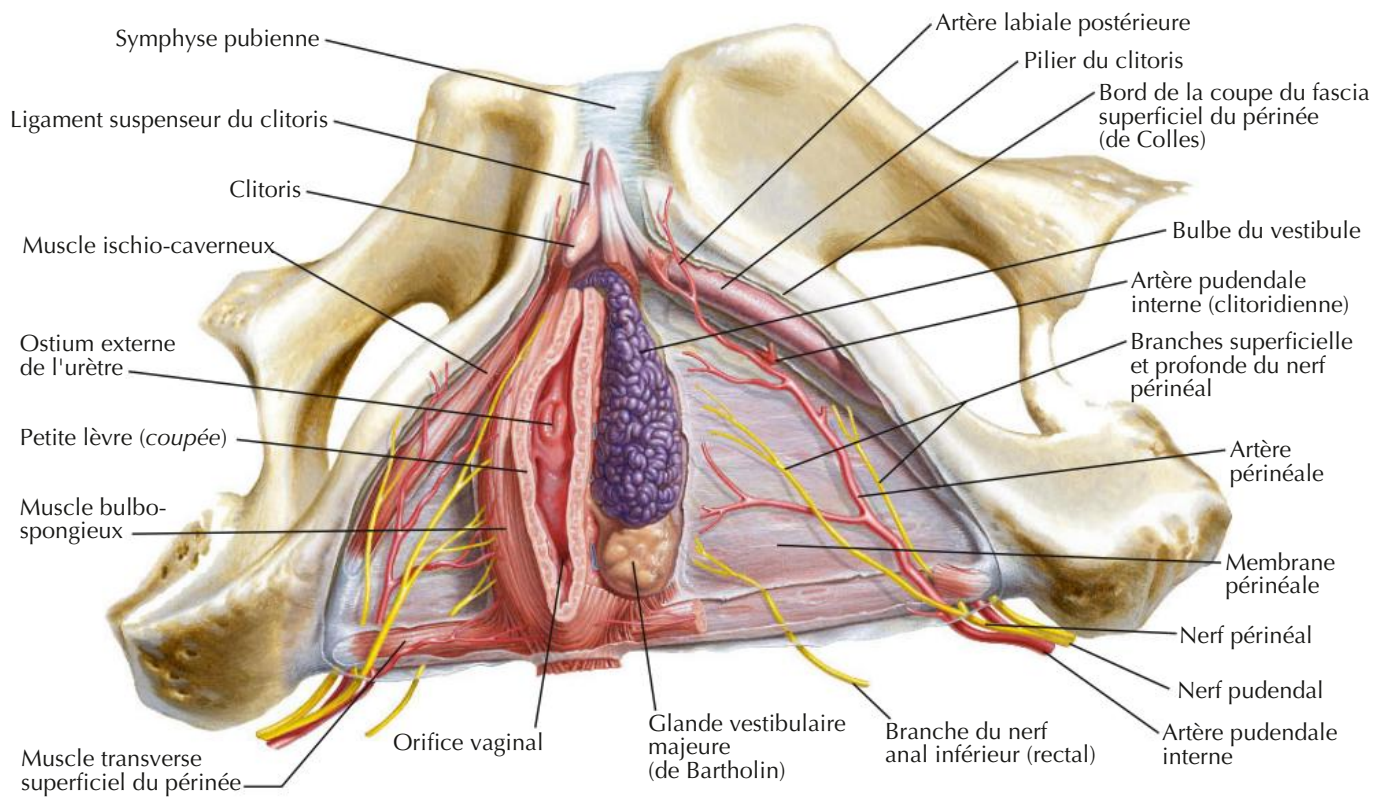




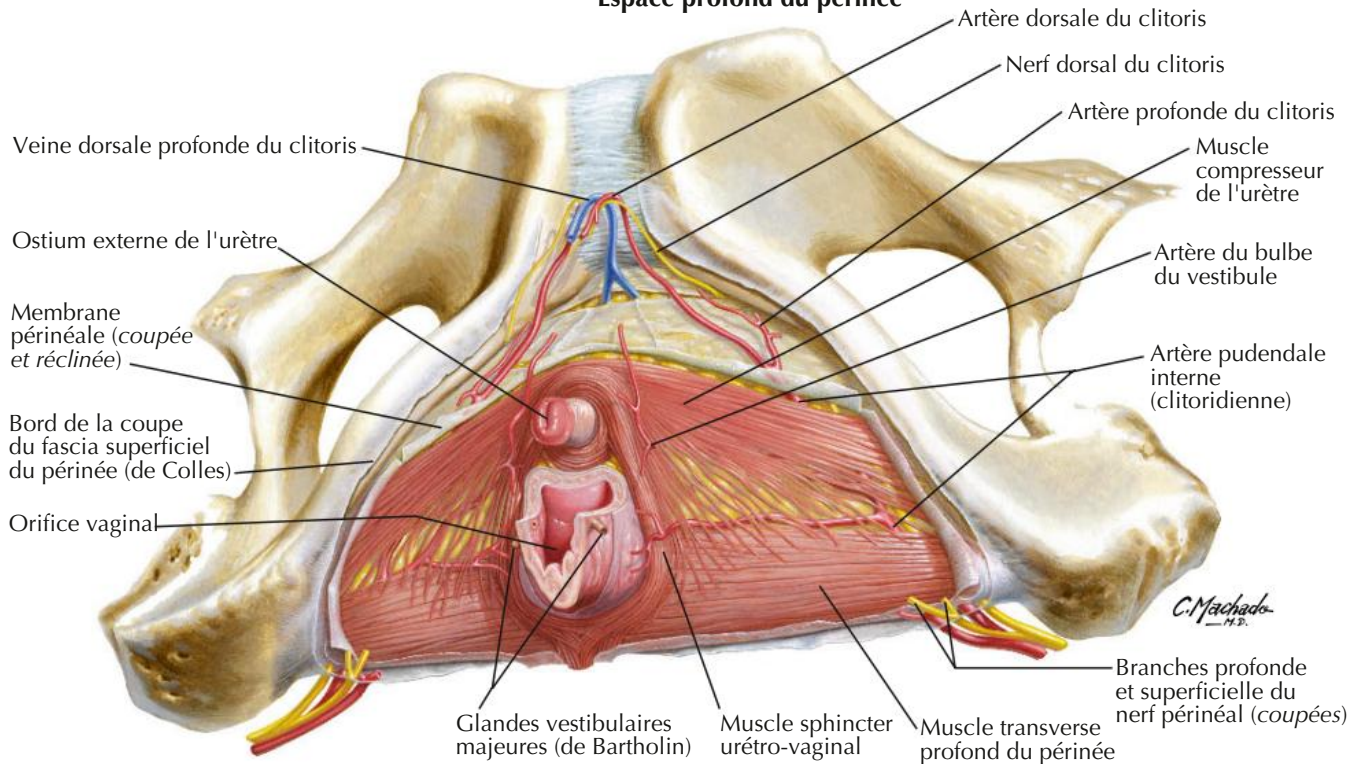
Périnée féminin et diaphragme uro-génital



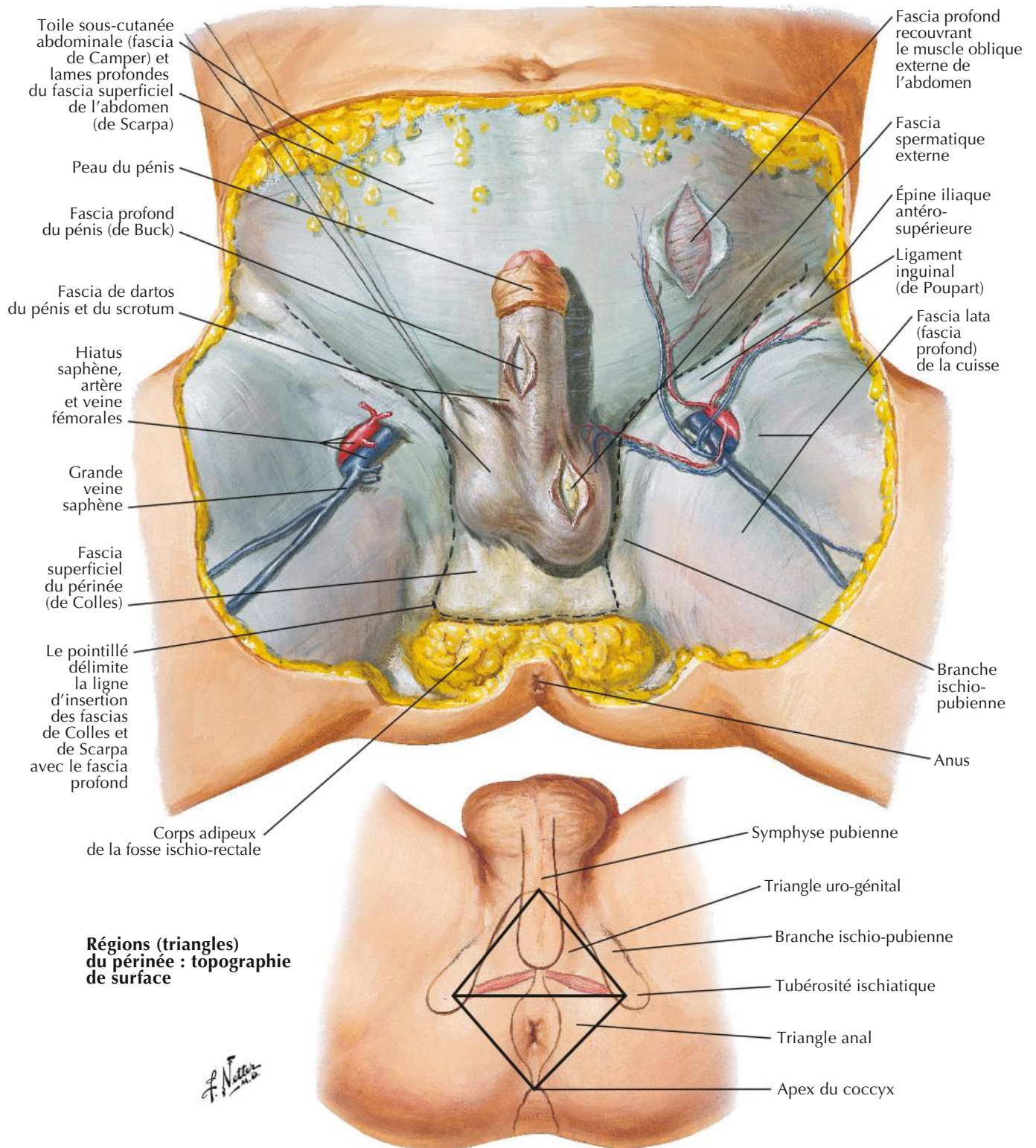
Espace superficiel du périnée

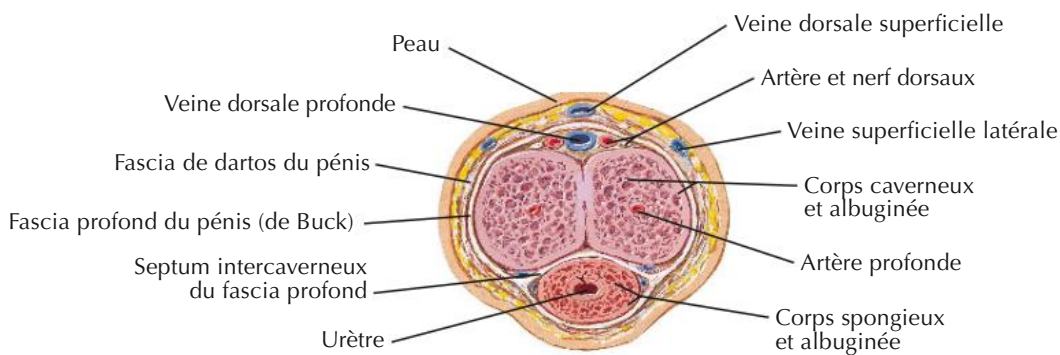
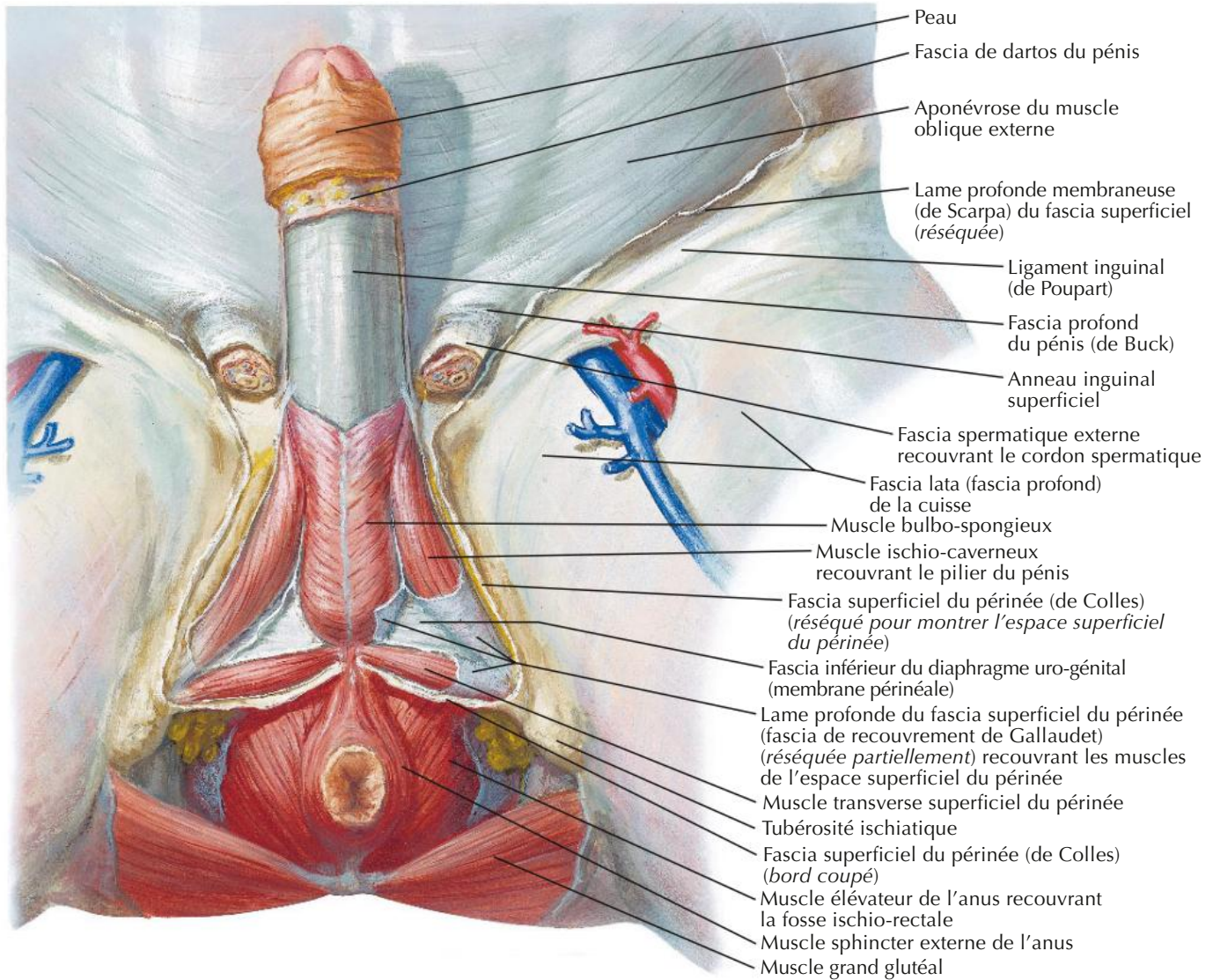


Espace profond du périnée



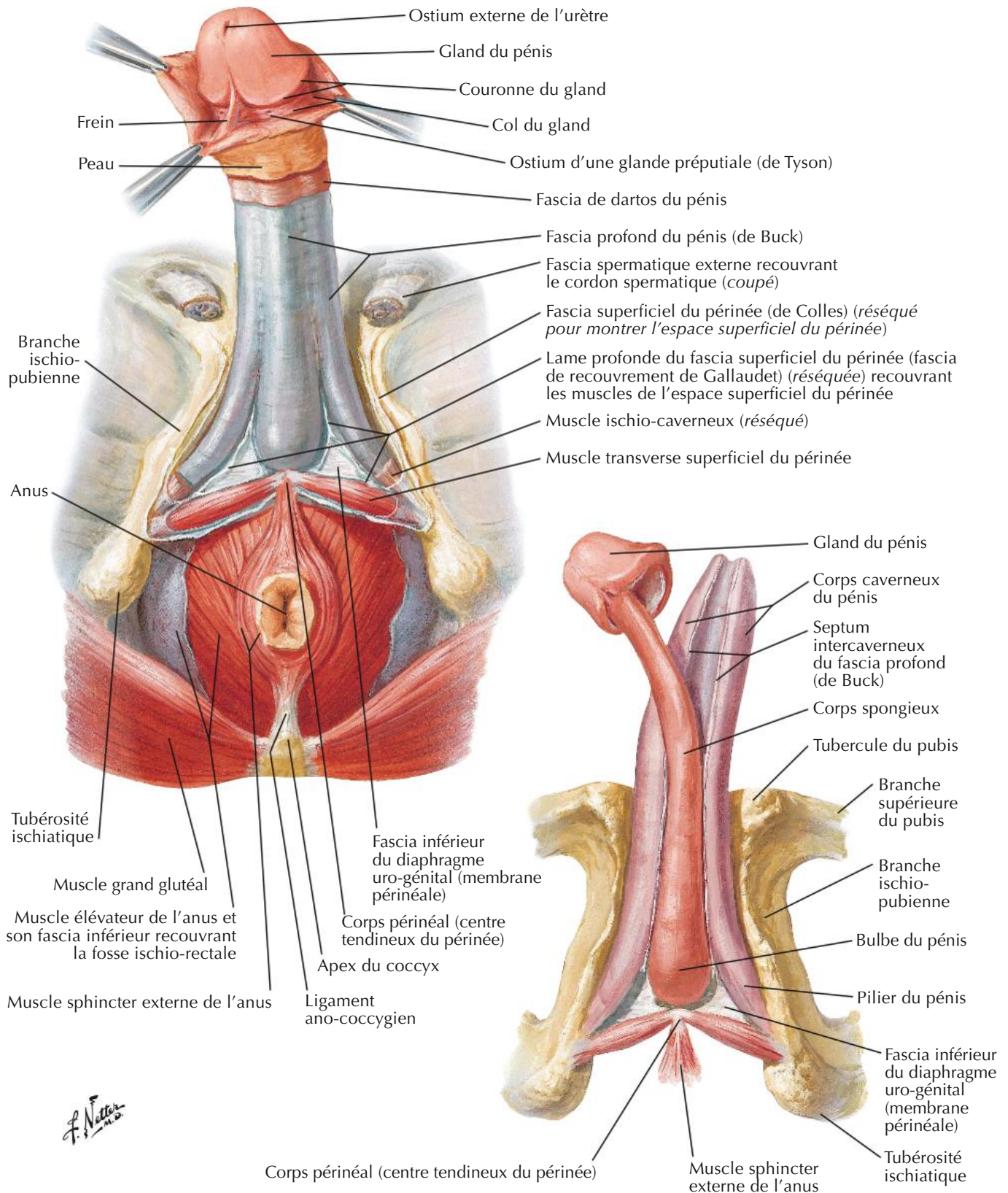
Périnée et organes génitaux externes chez l'homme (dissection superficielle)

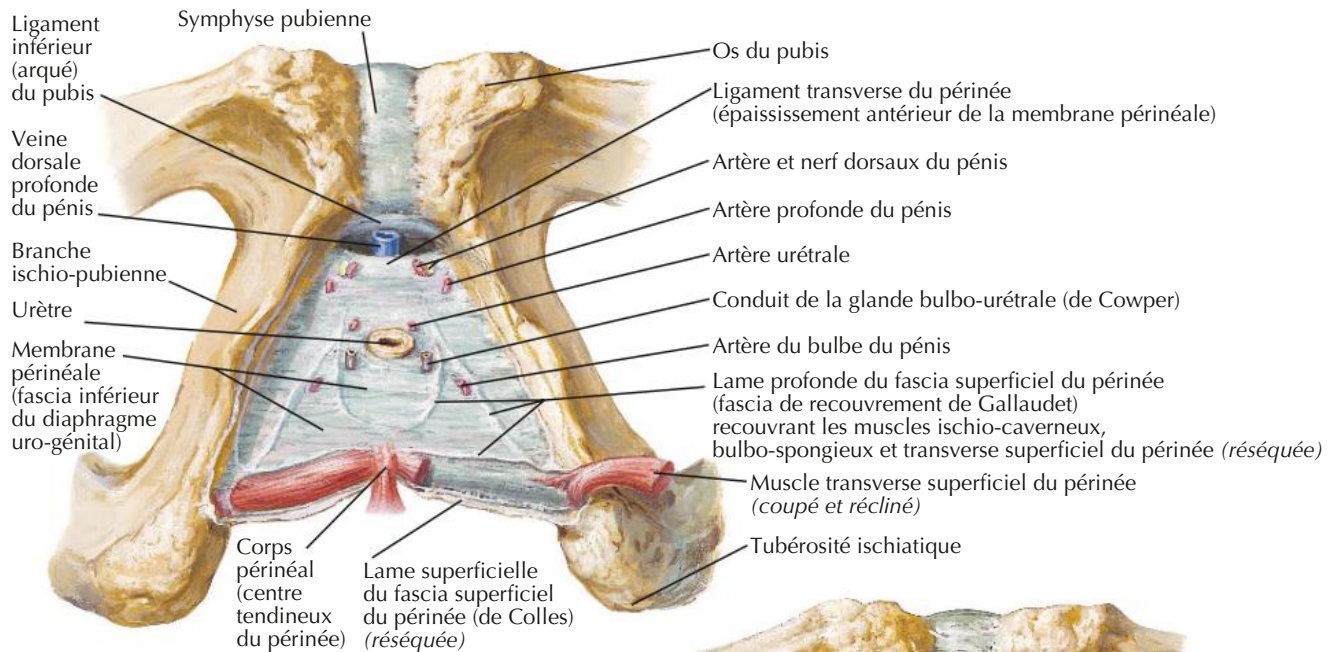




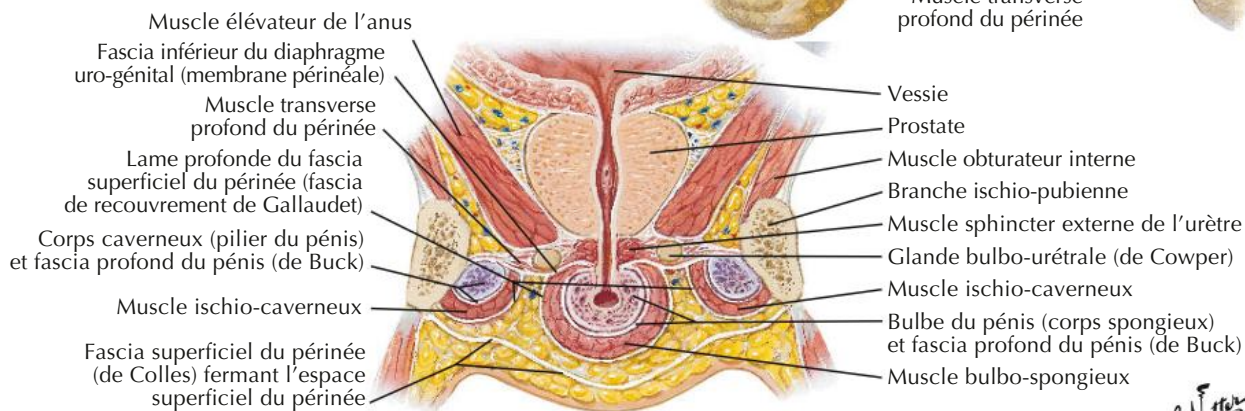
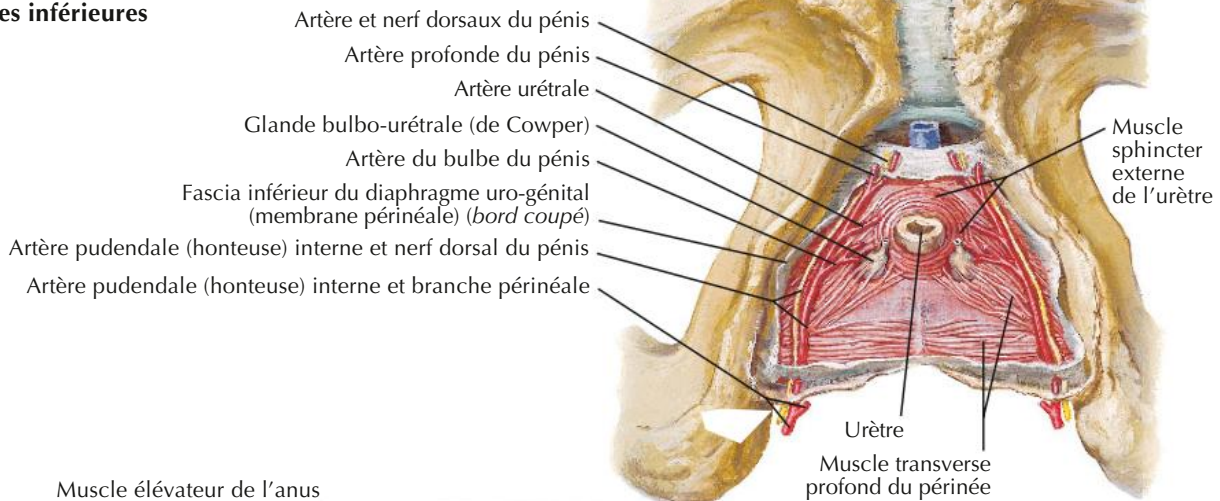
Coupe transversale du corps du pénis

F. Netter M.D.



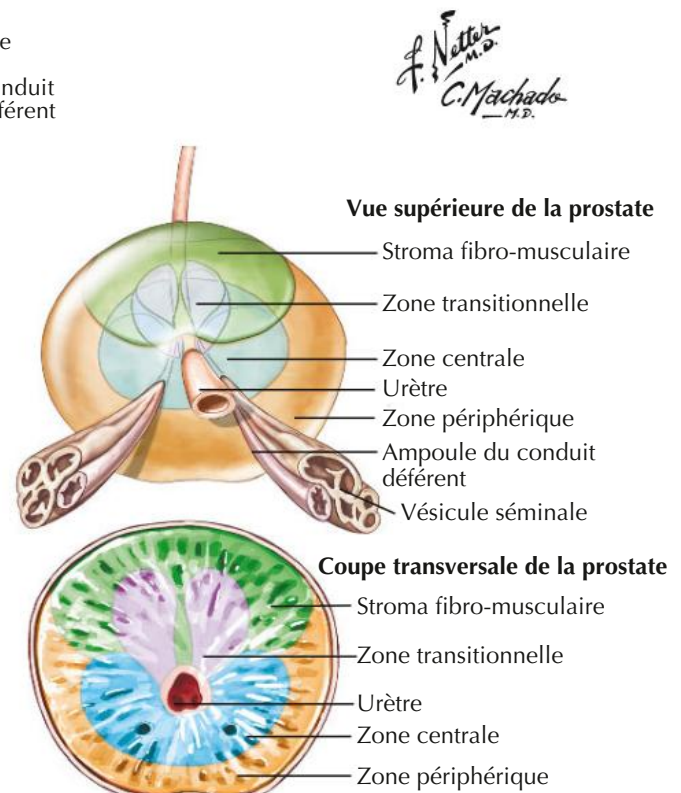
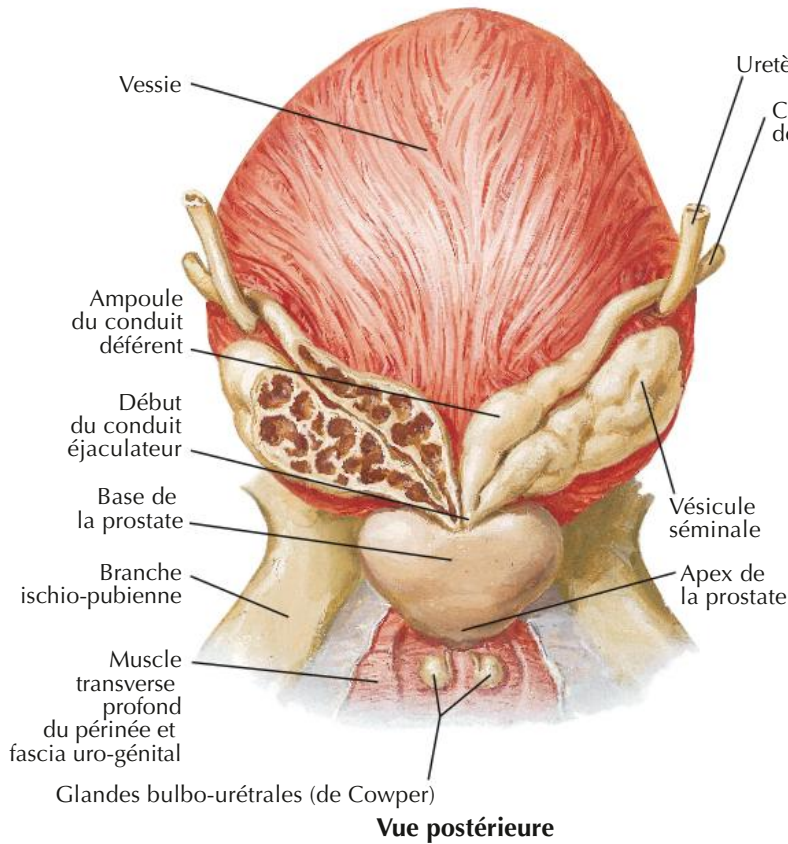
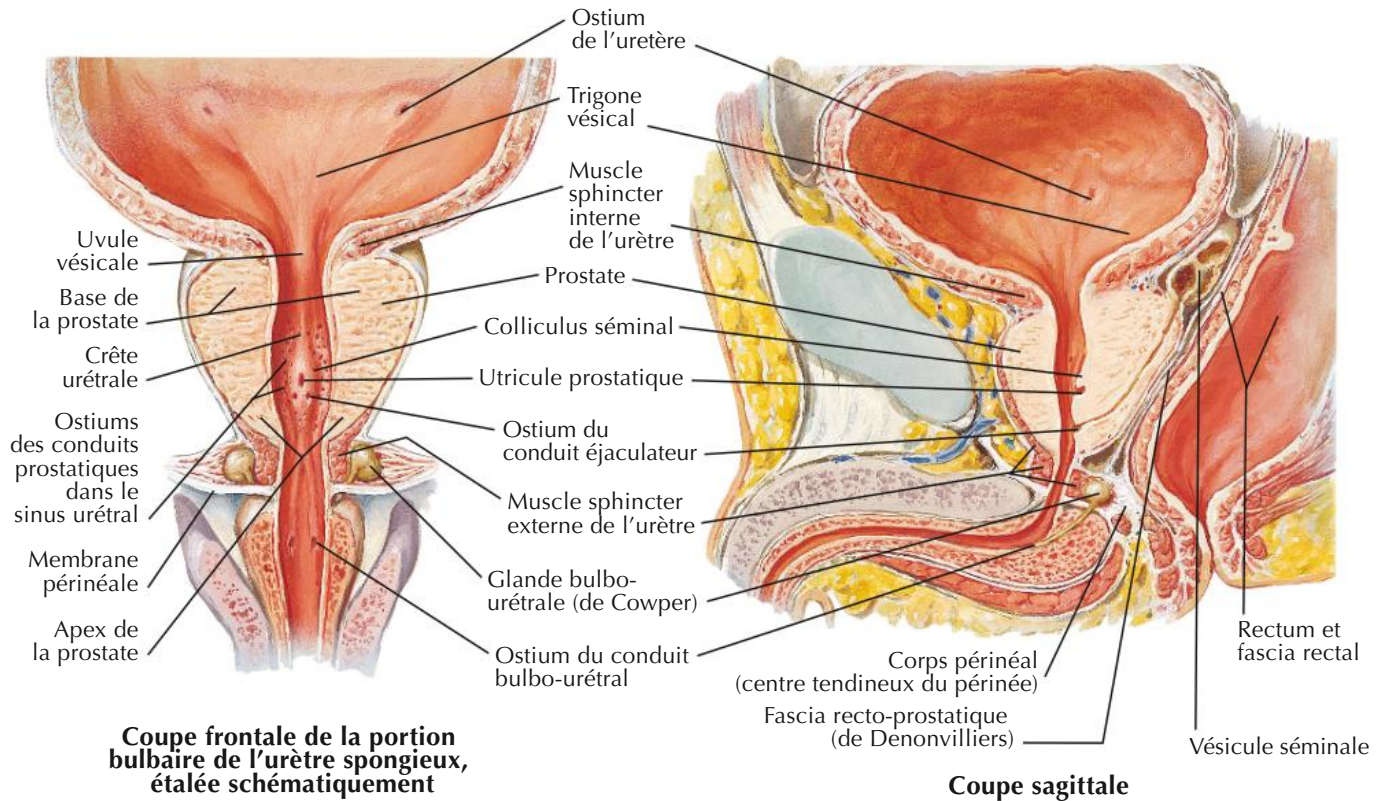


Vues inférieures

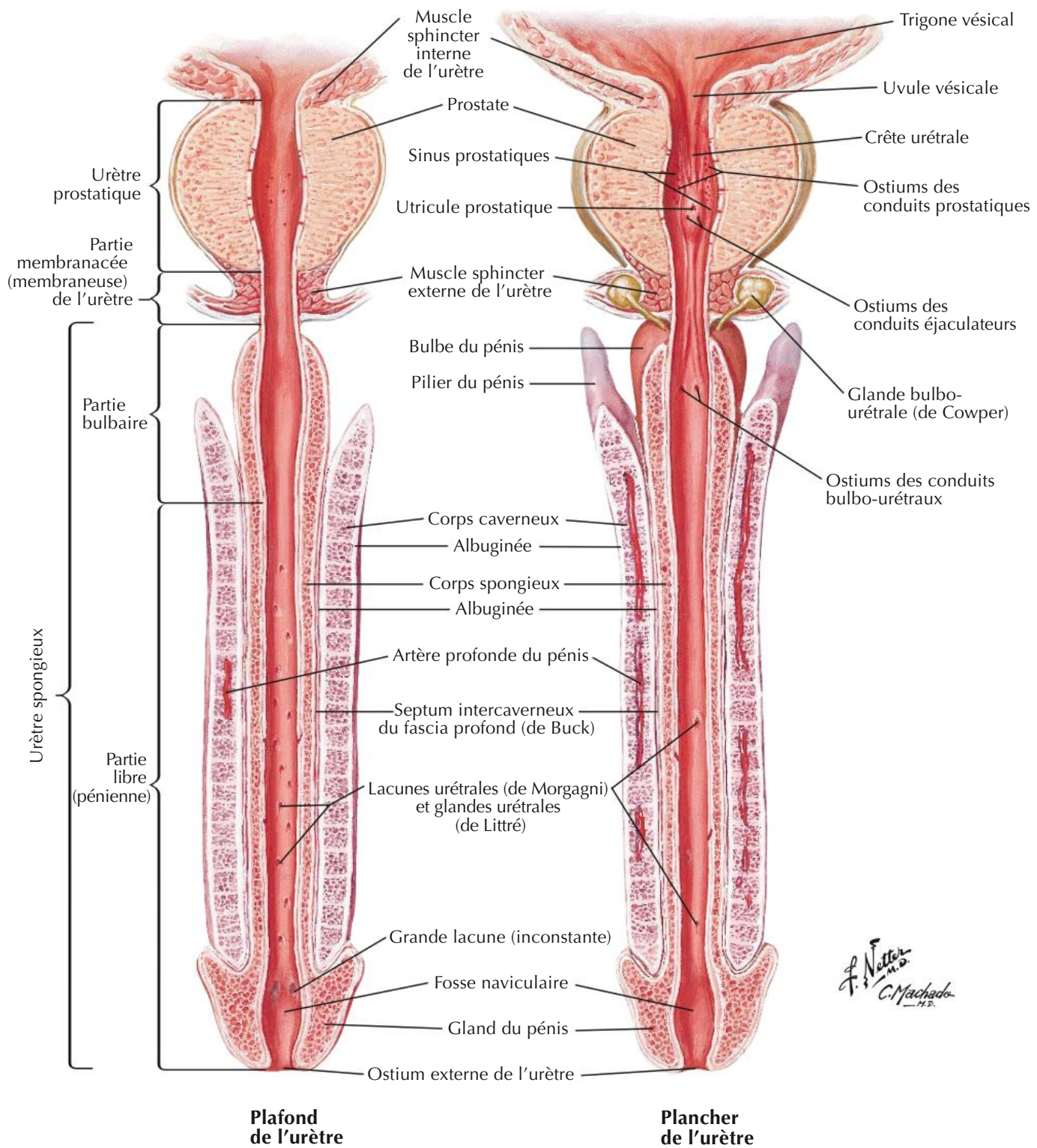


Coupe frontale du périnée et de l'urètre : schéma (vue antérieure)

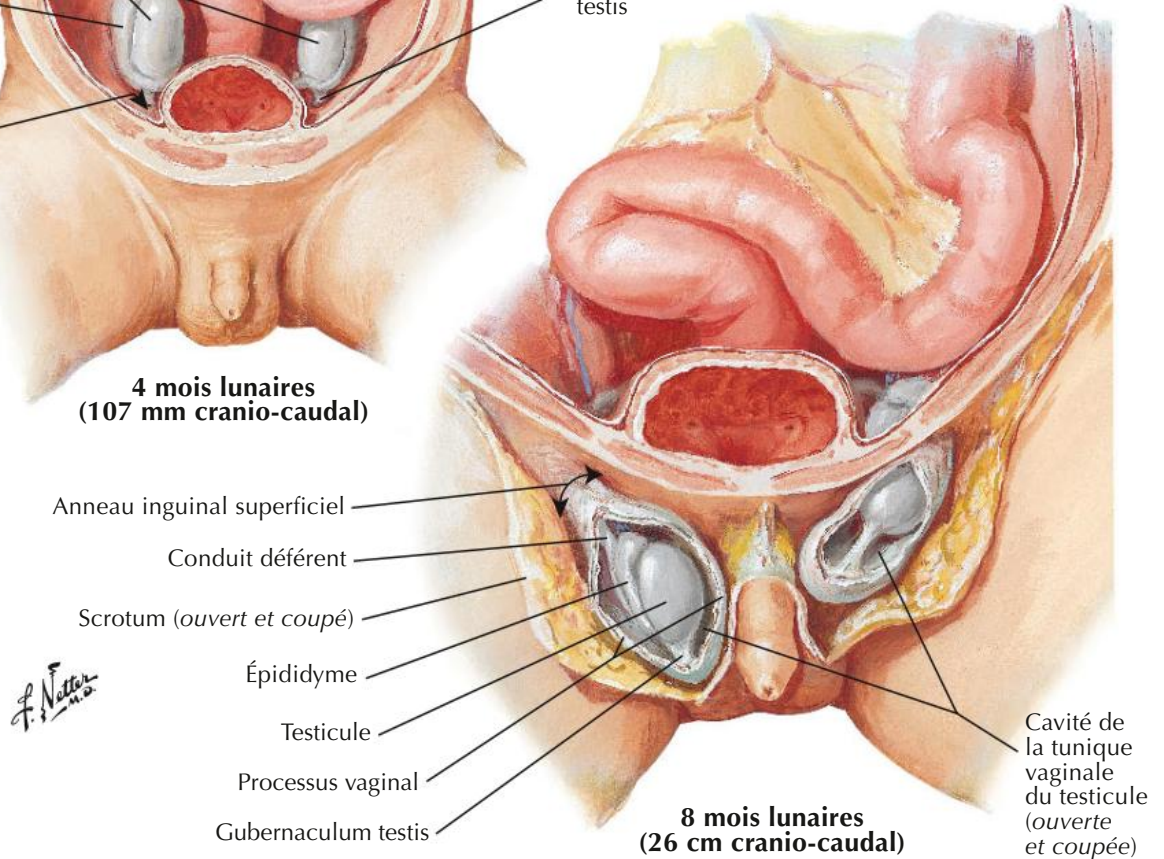
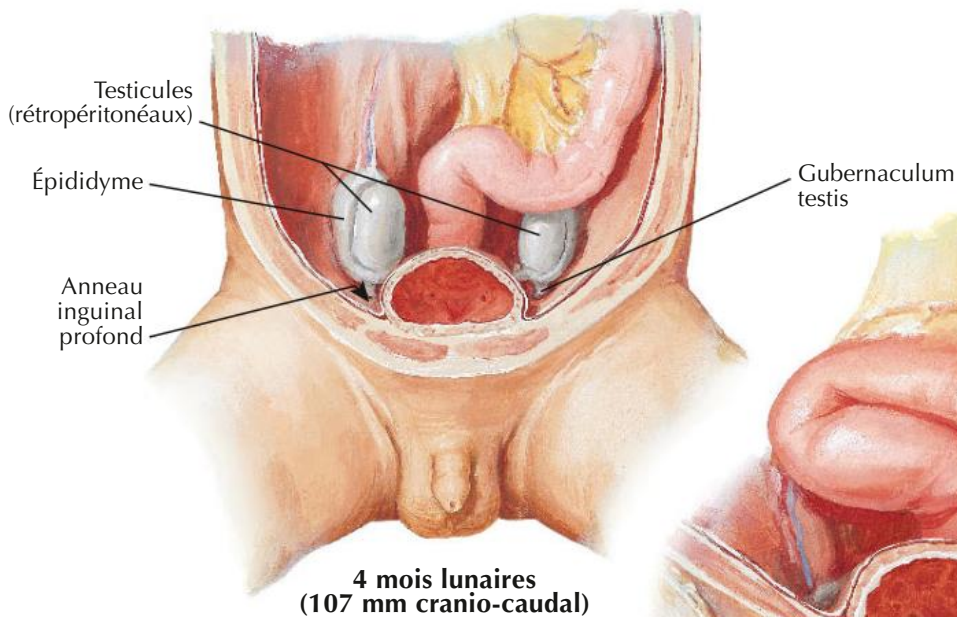
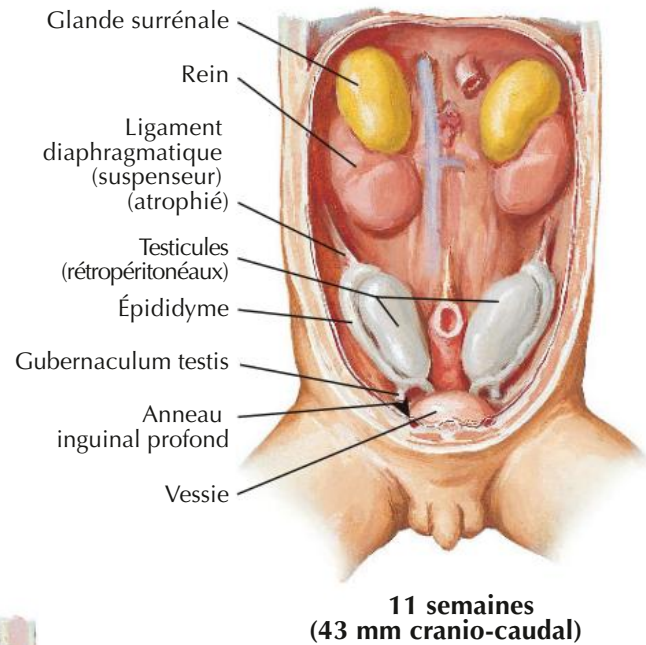
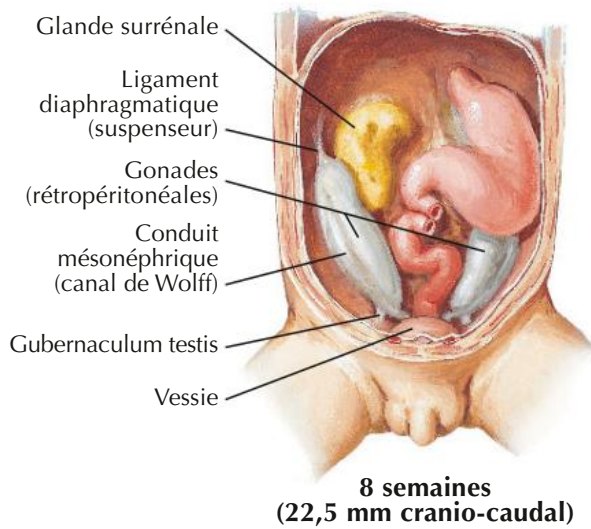
F. Natter
 C. Machado
 M.D.

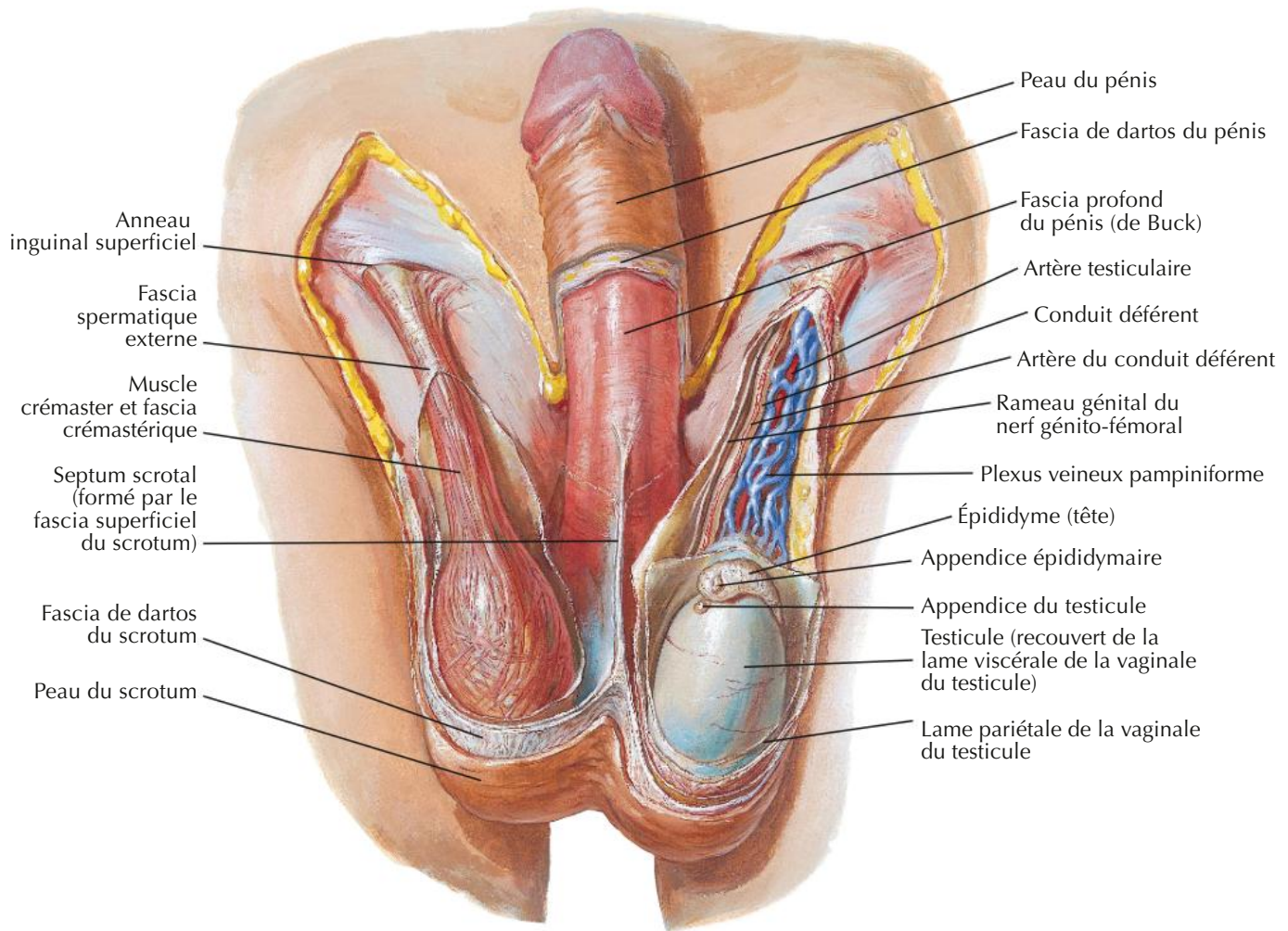


Vue supérieure

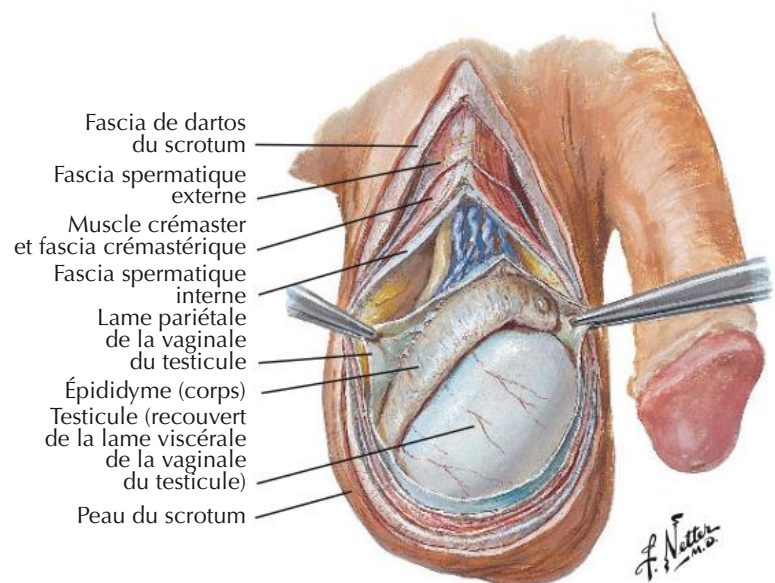
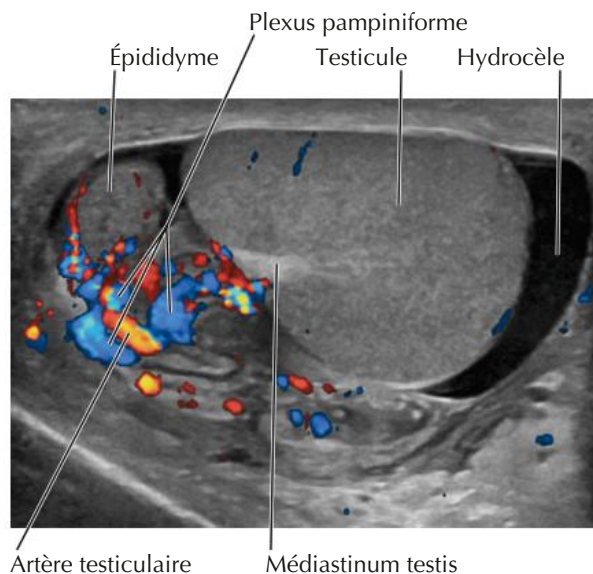


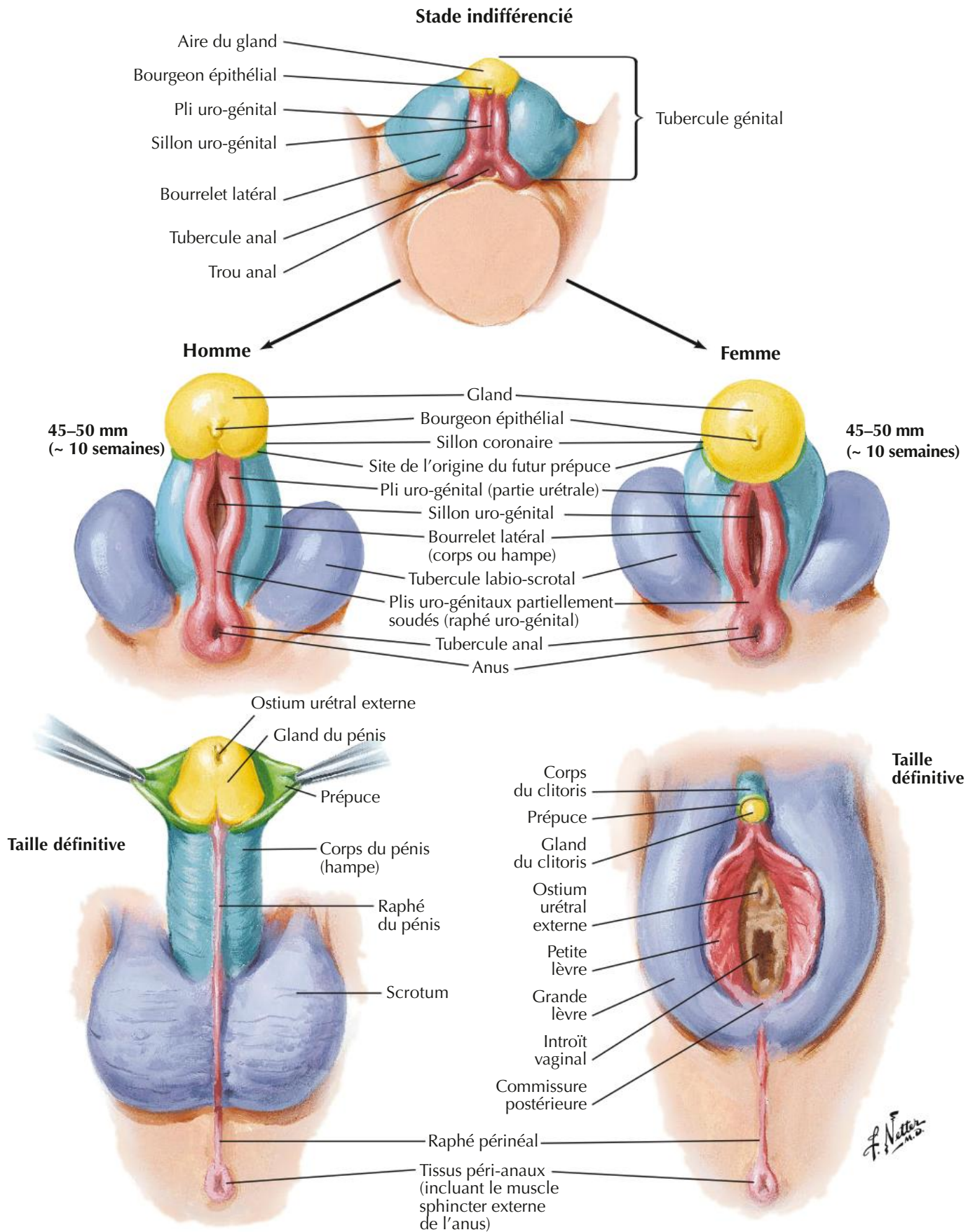
Descente des testicules

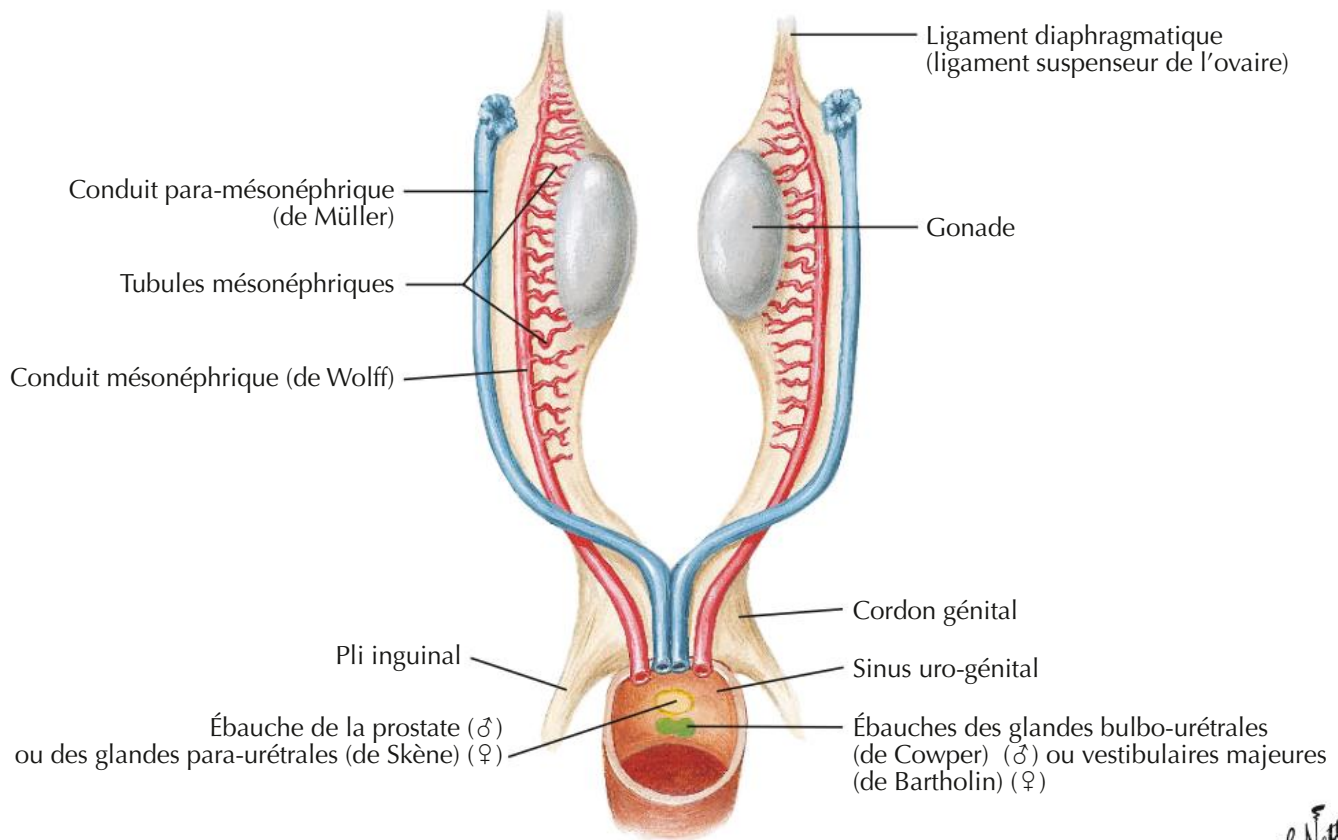




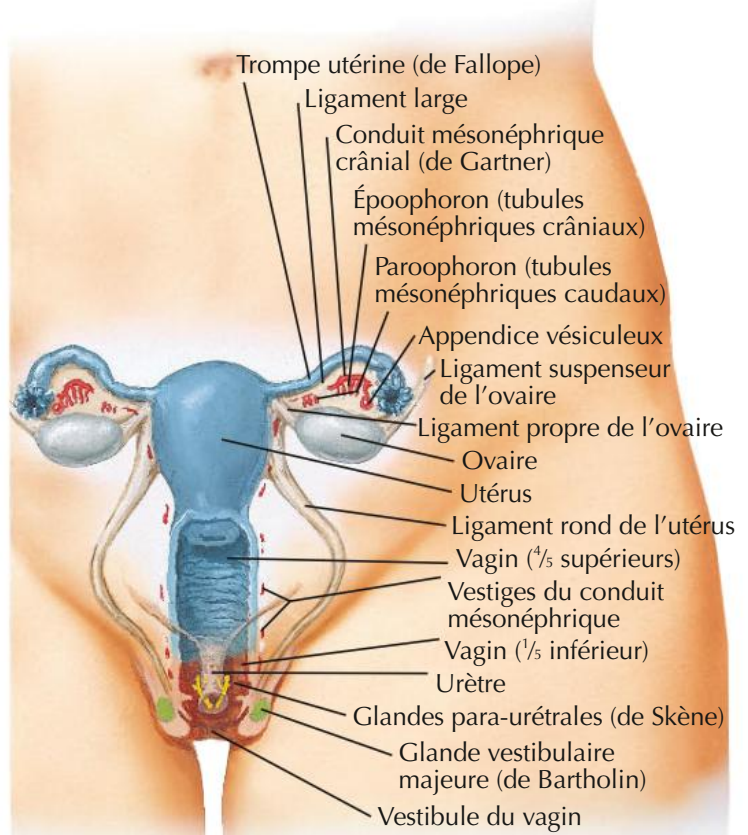
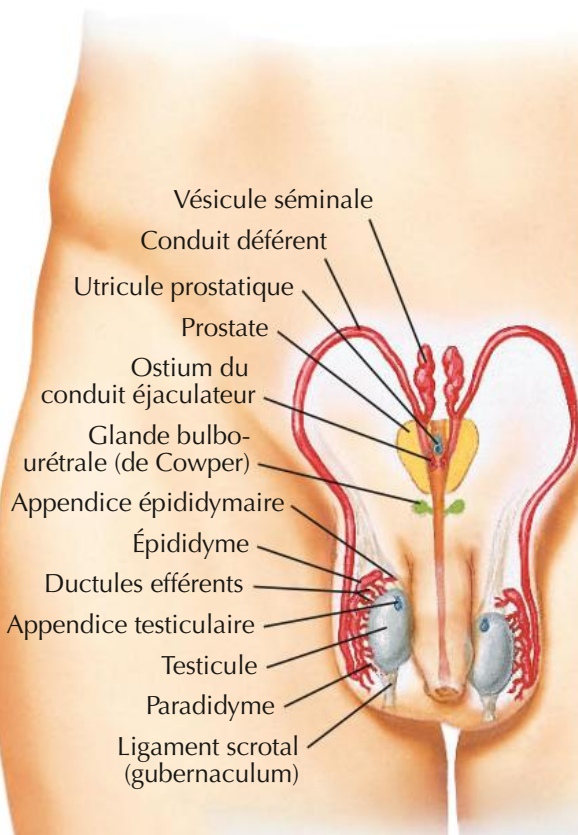
Écho-Doppler couleur : vue transversale du testicule



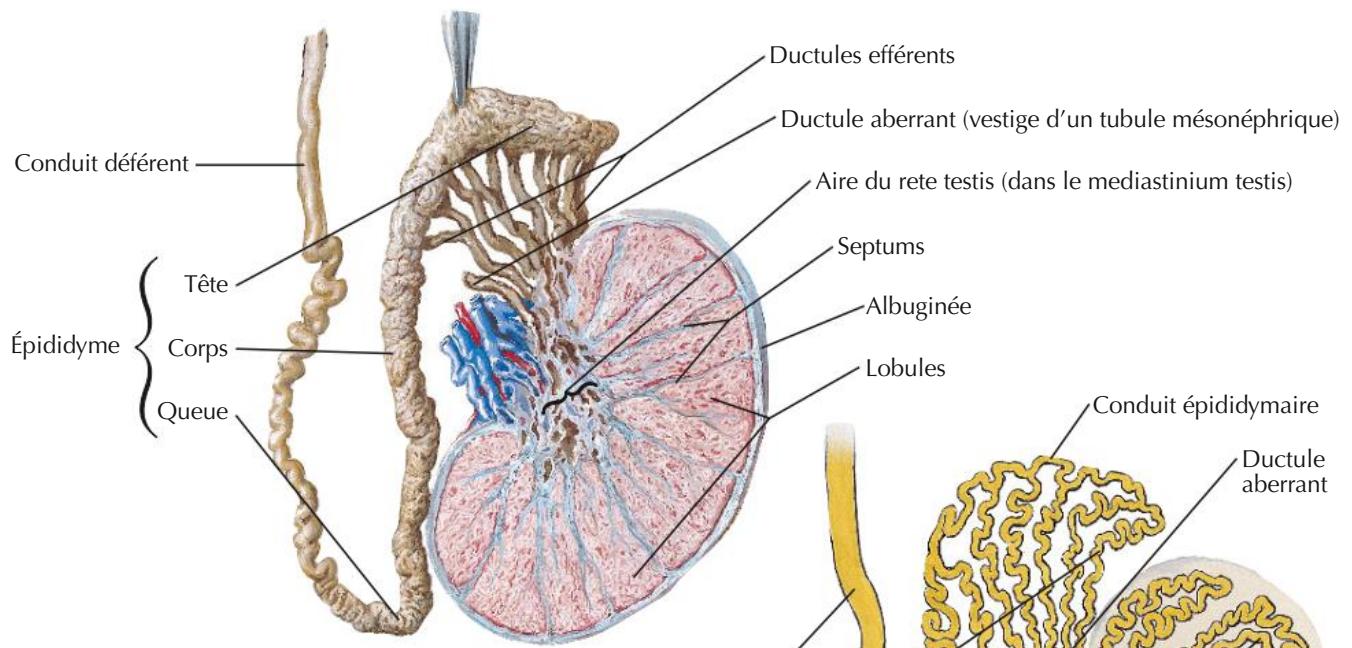




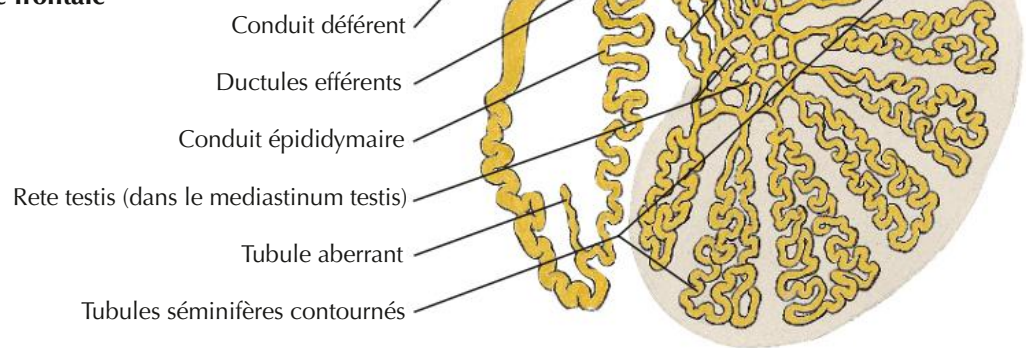
Stade indifférencié
 Homme ← → Femme



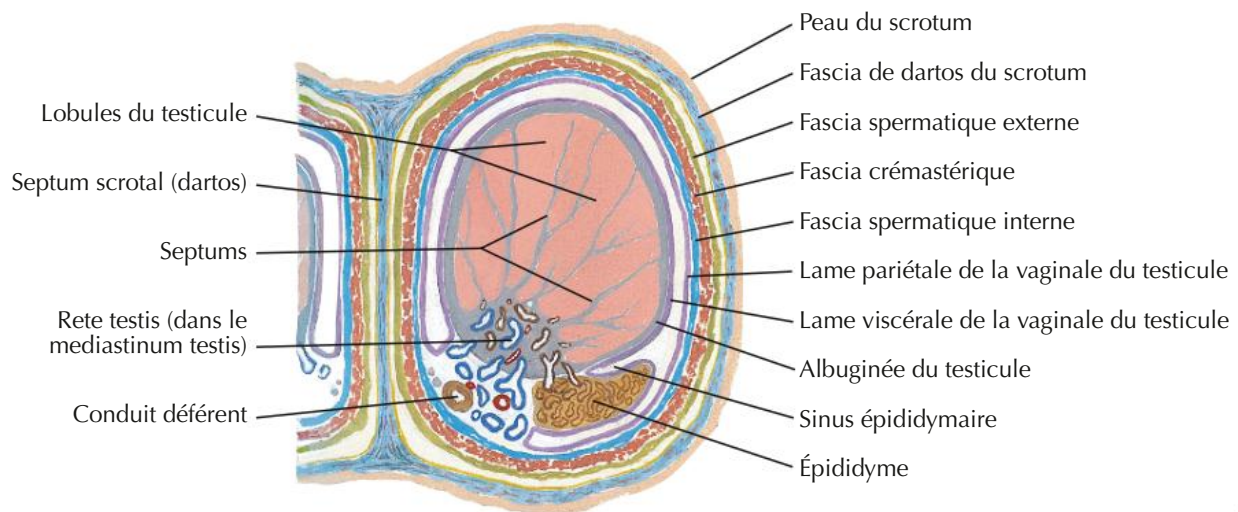
Testicule, épididyme et conduit déférent



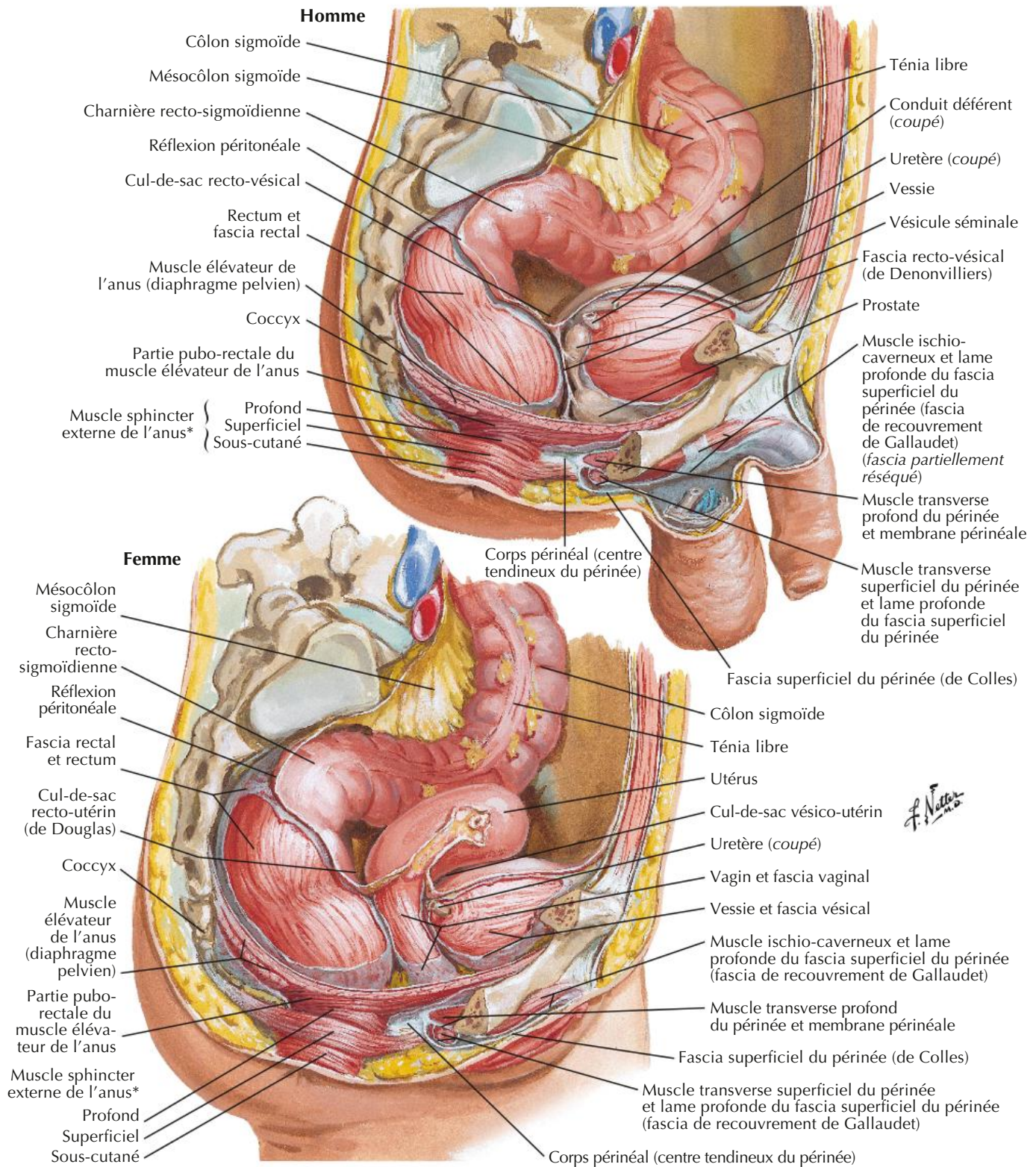
Coupe frontale



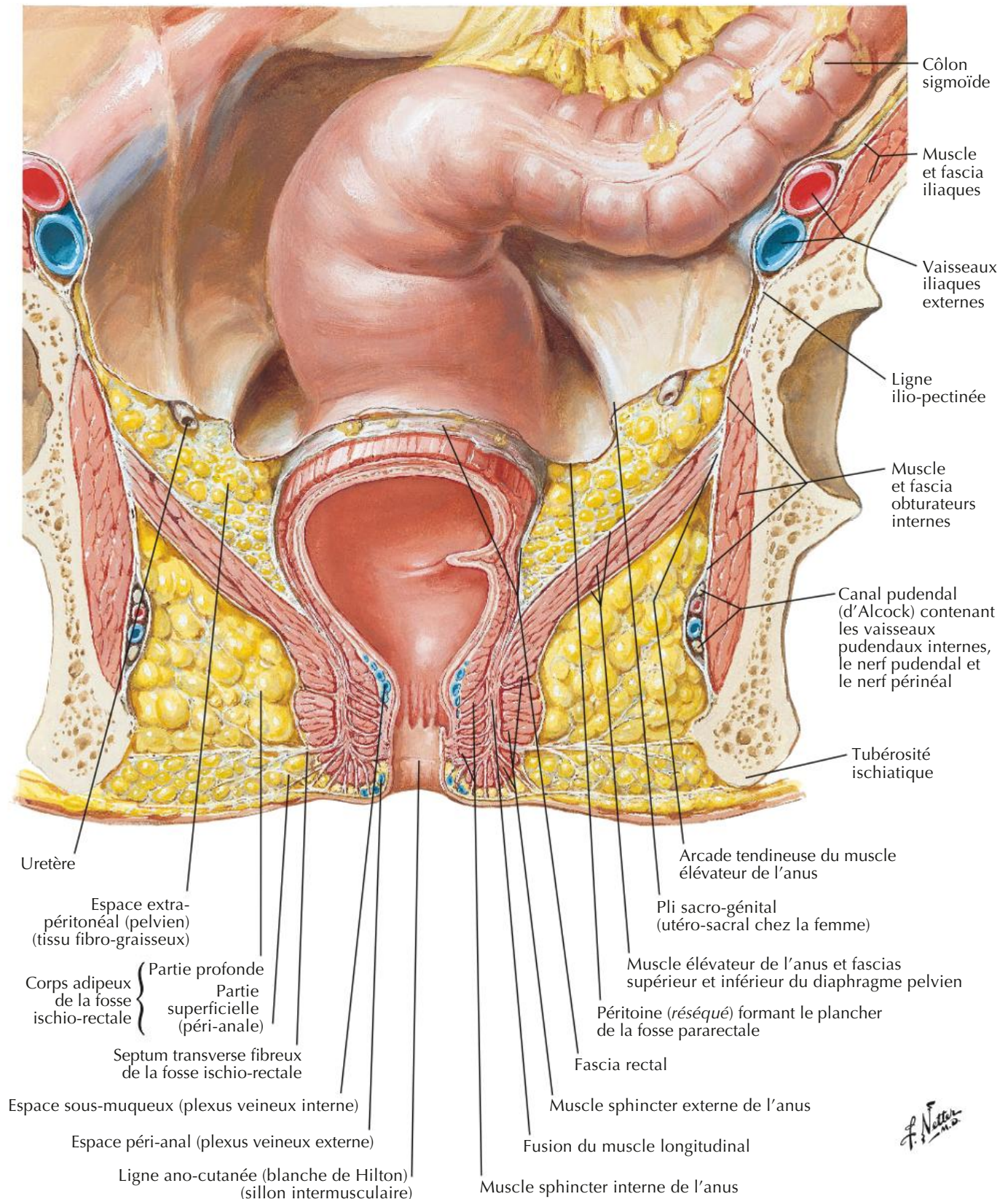
Schéma

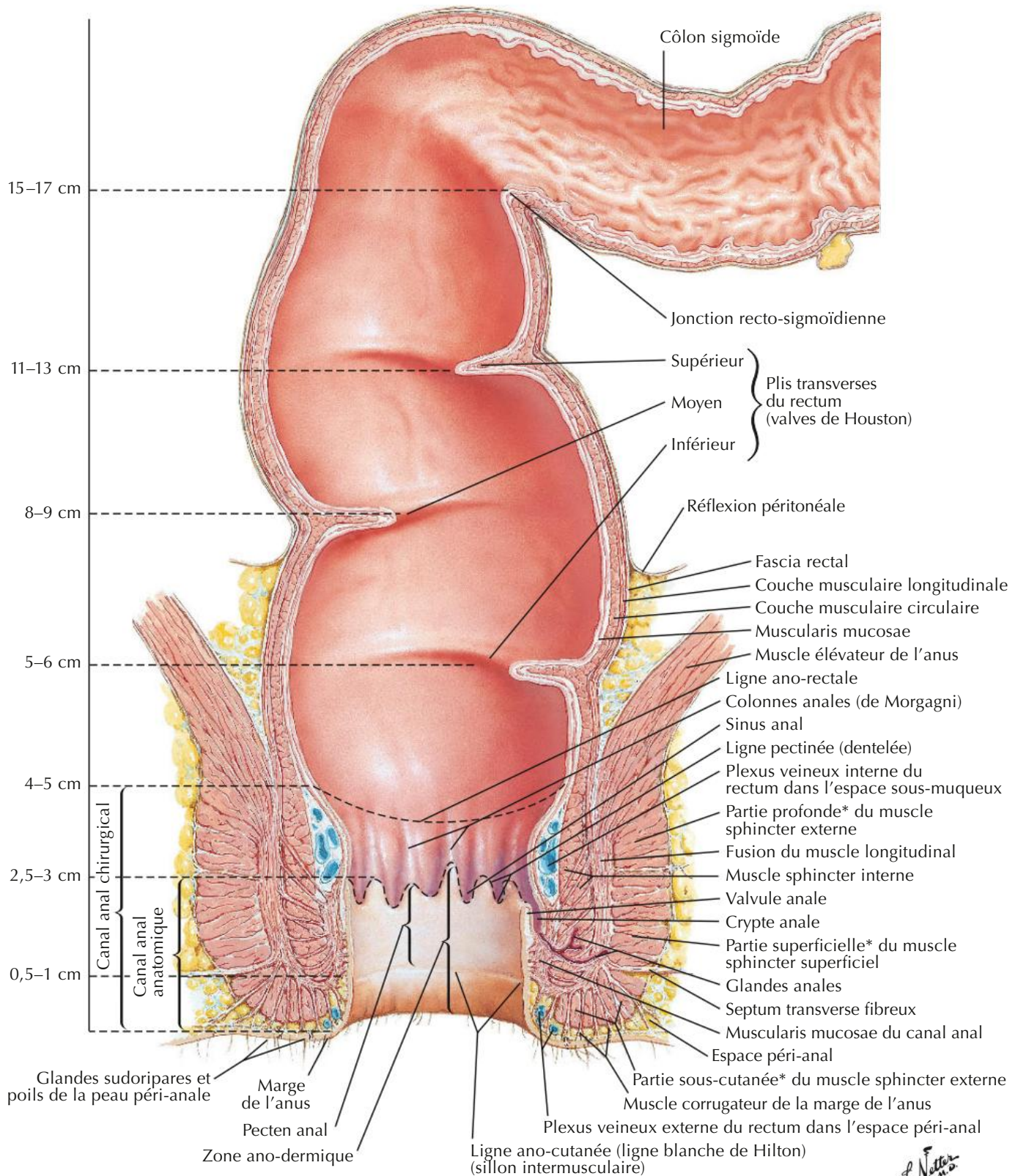


Coupe transversale du scrotum et du testicule

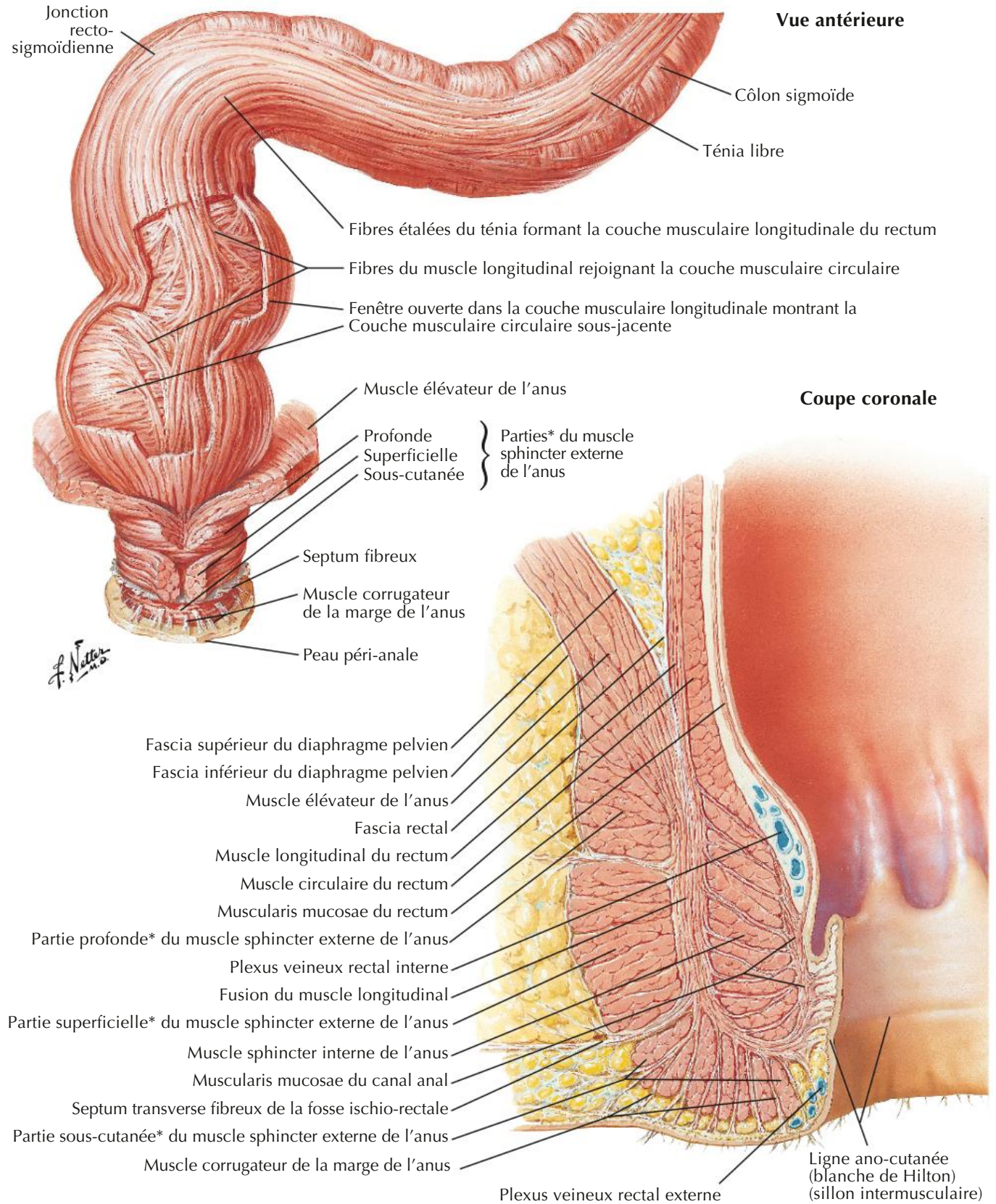


*Parties variables et souvent indistinctes



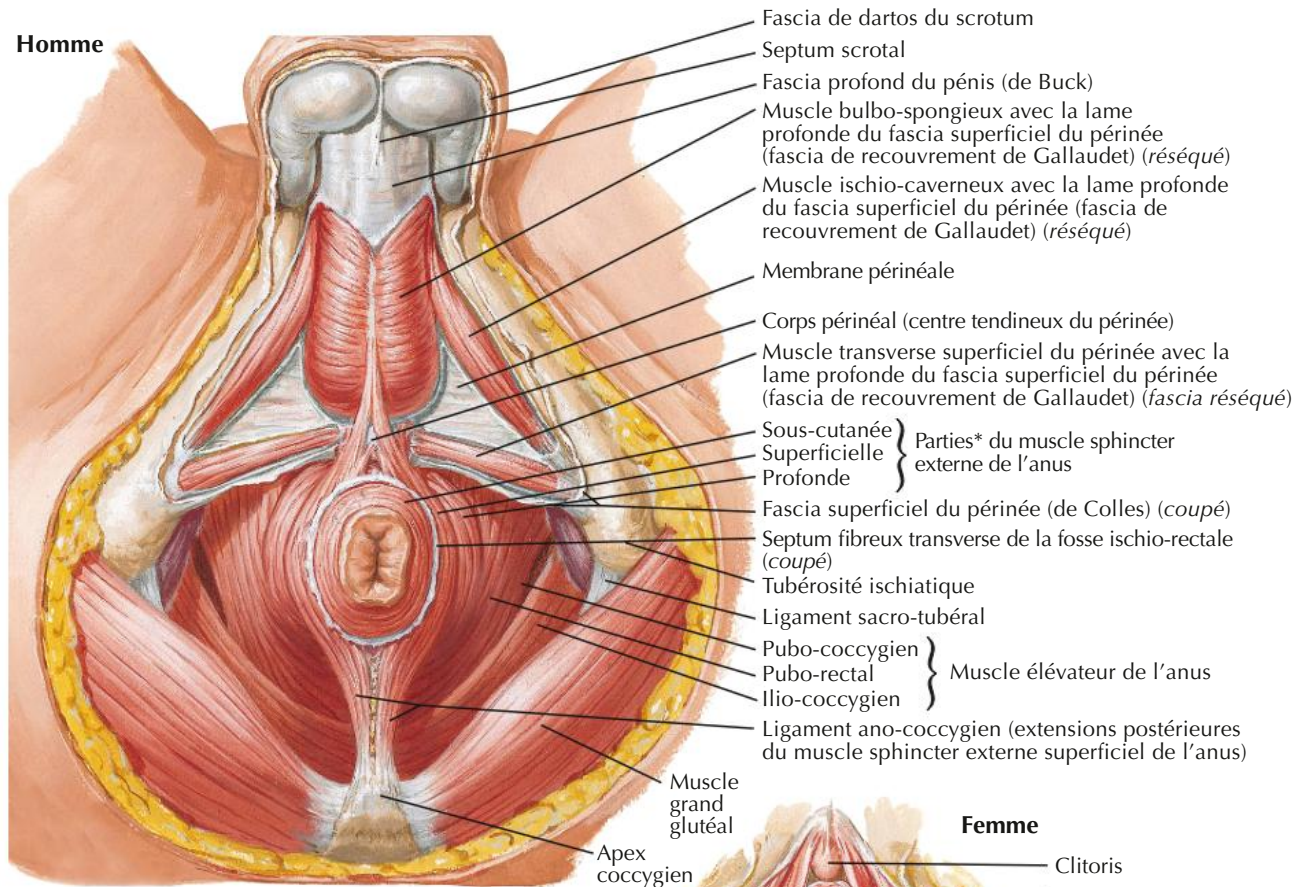


* Parties variables et souvent indistinctes

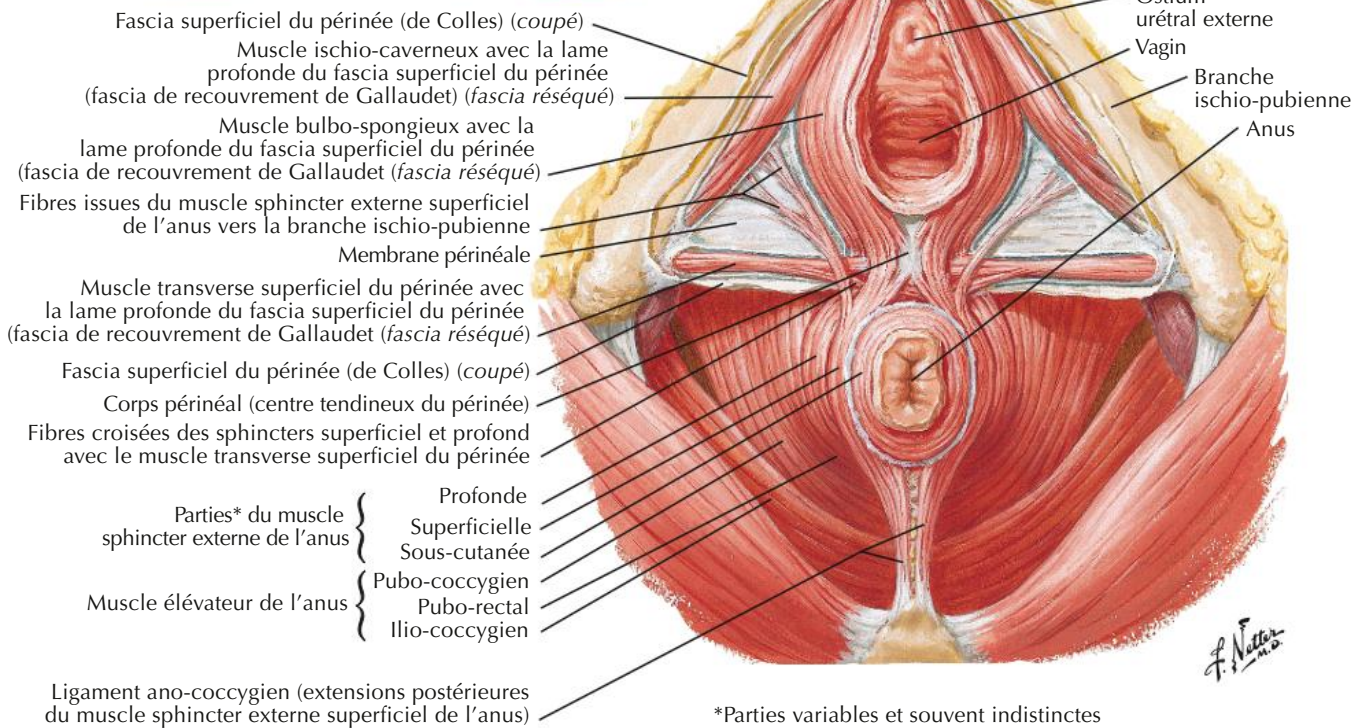


*Parties variables et souvent indistinctes

Homme

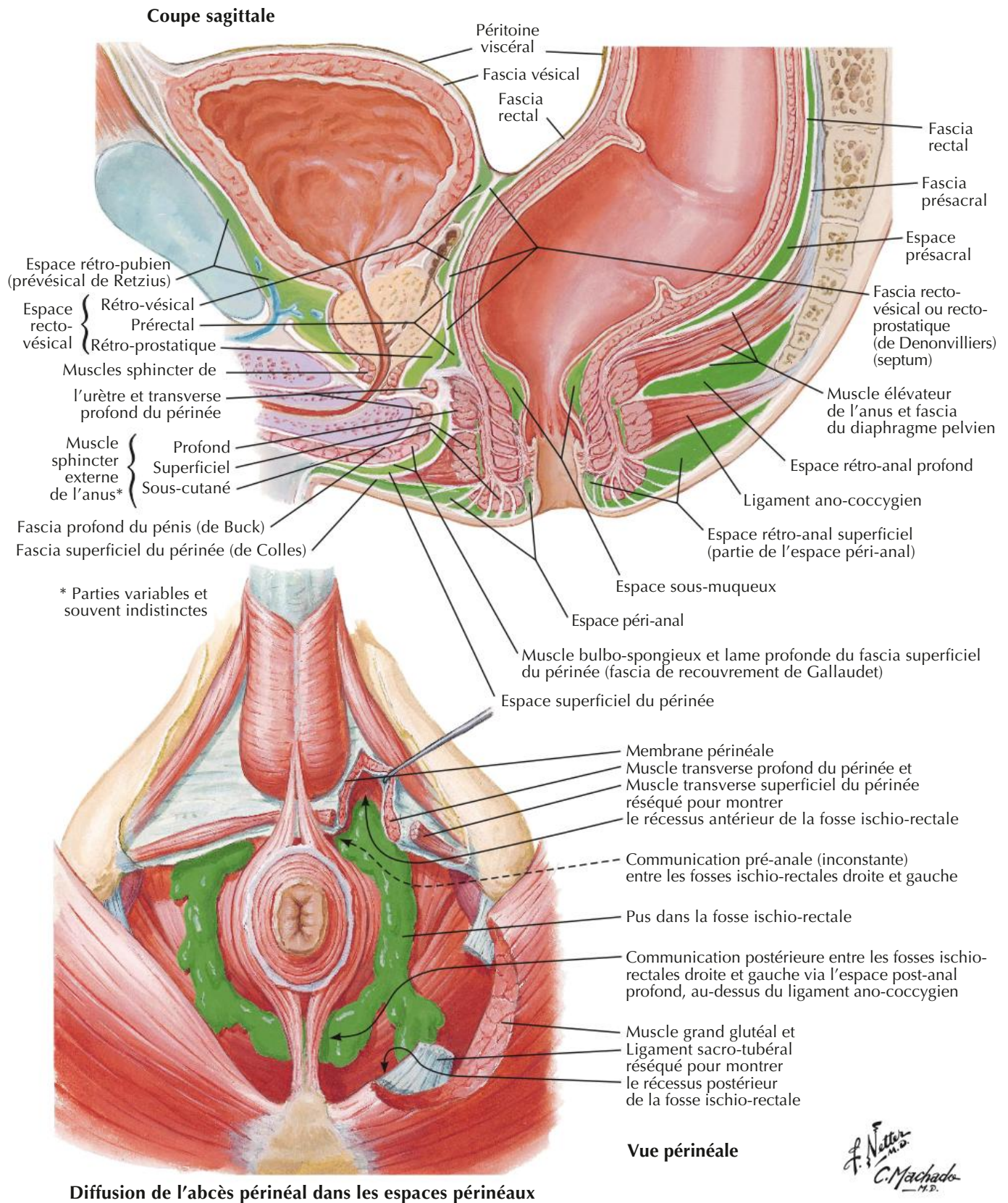


Femme



*Parties variables et souvent indistinctes

Espaces périnéo-pelviens réels et potentiels



**IRM du pelvis féminin
(sans contraste intraveineux)**

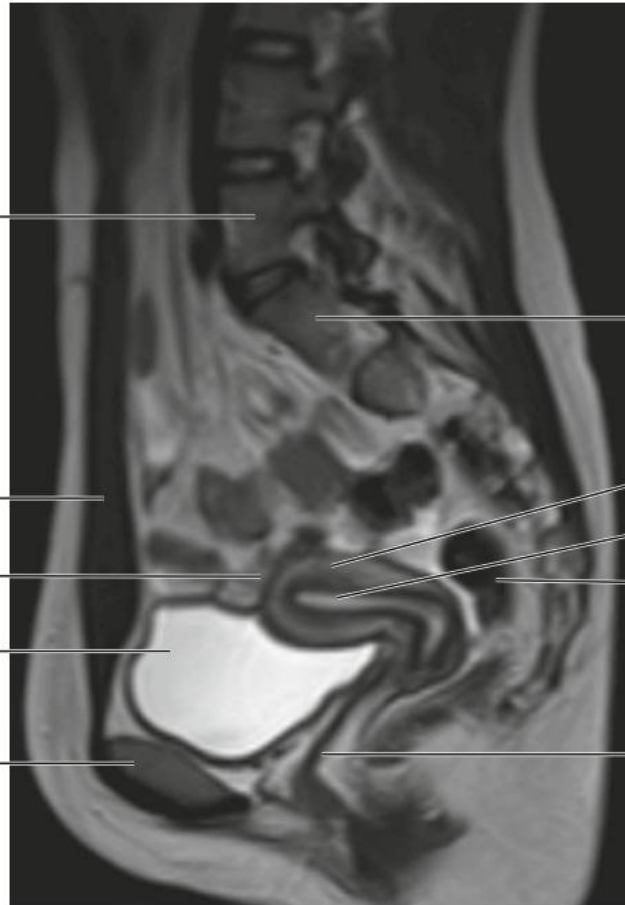
Corps vertébral de L5

Muscle droit de l'abdomen

Fond de l'utérus

Vessie

Os pubien



Corps vertébral de S1

Myomètre de l'utérus

Endomètre de l'utérus

Rectum

Vagin

**IRM du pelvis masculin
(sans contraste intraveineux)**

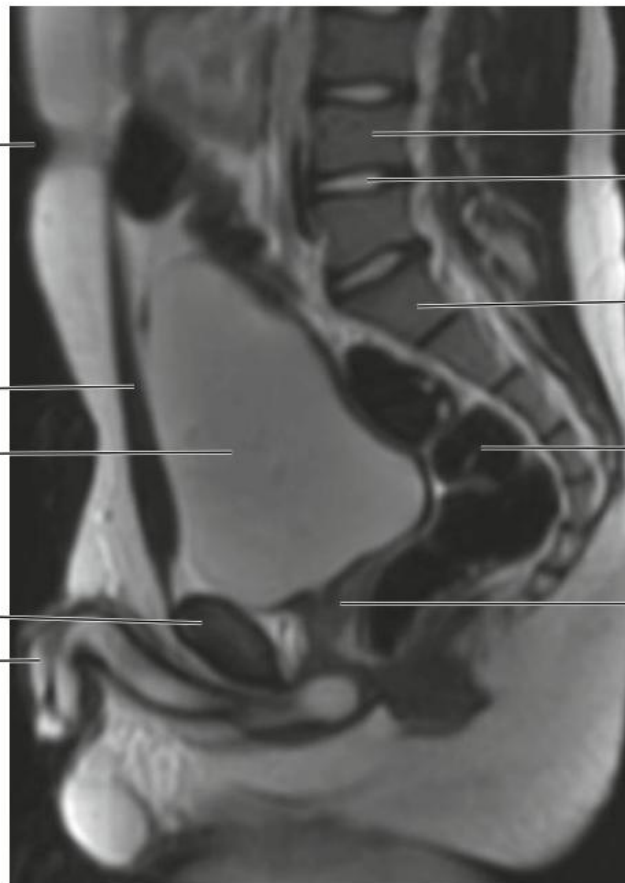
Ombilic

Muscle droit de l'abdomen

Vessie

Os pubien

Pénis



Vertèbre L4

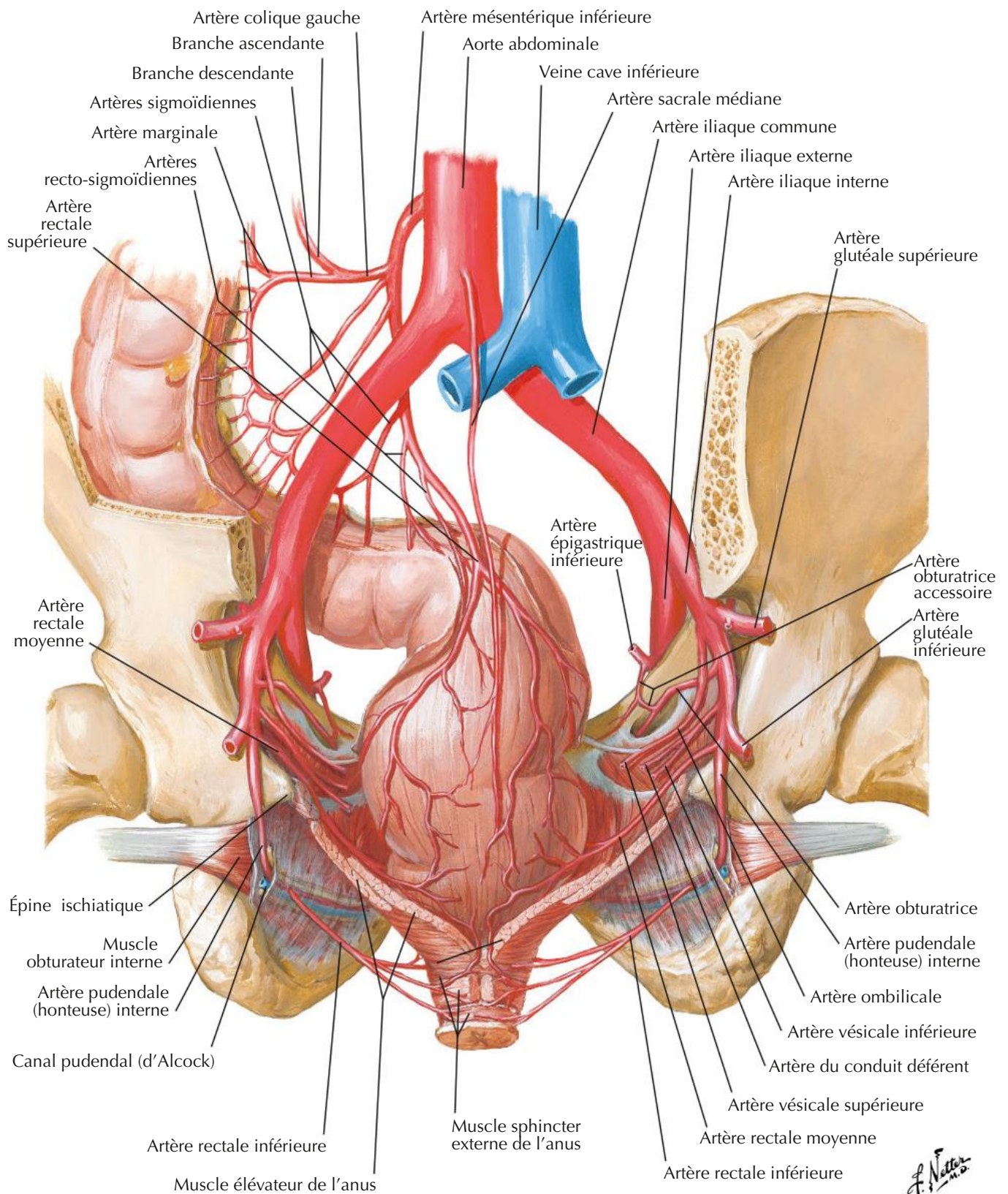
Disque
intervertébral L4/L5

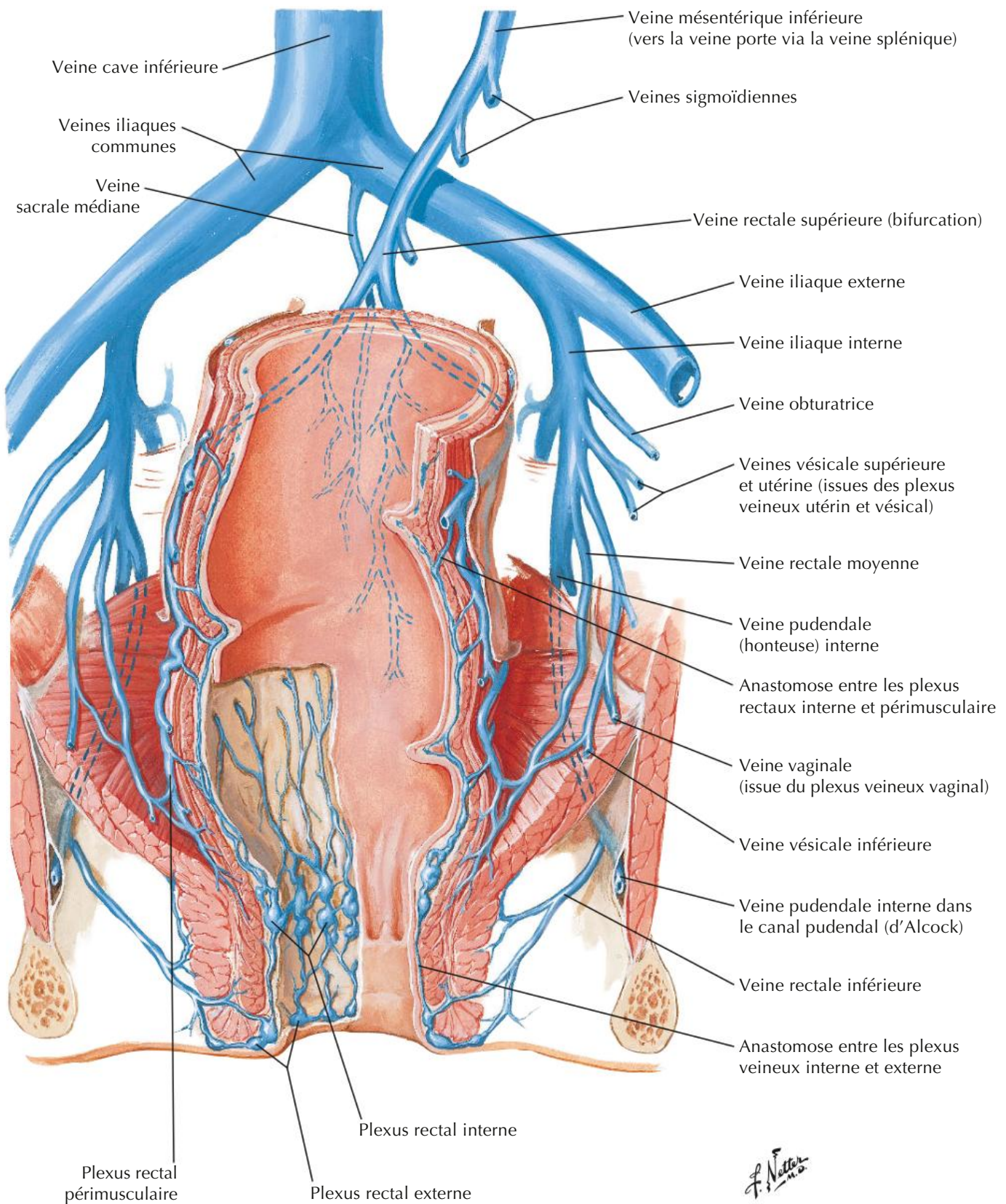
Sacrum (S1)

Rectum

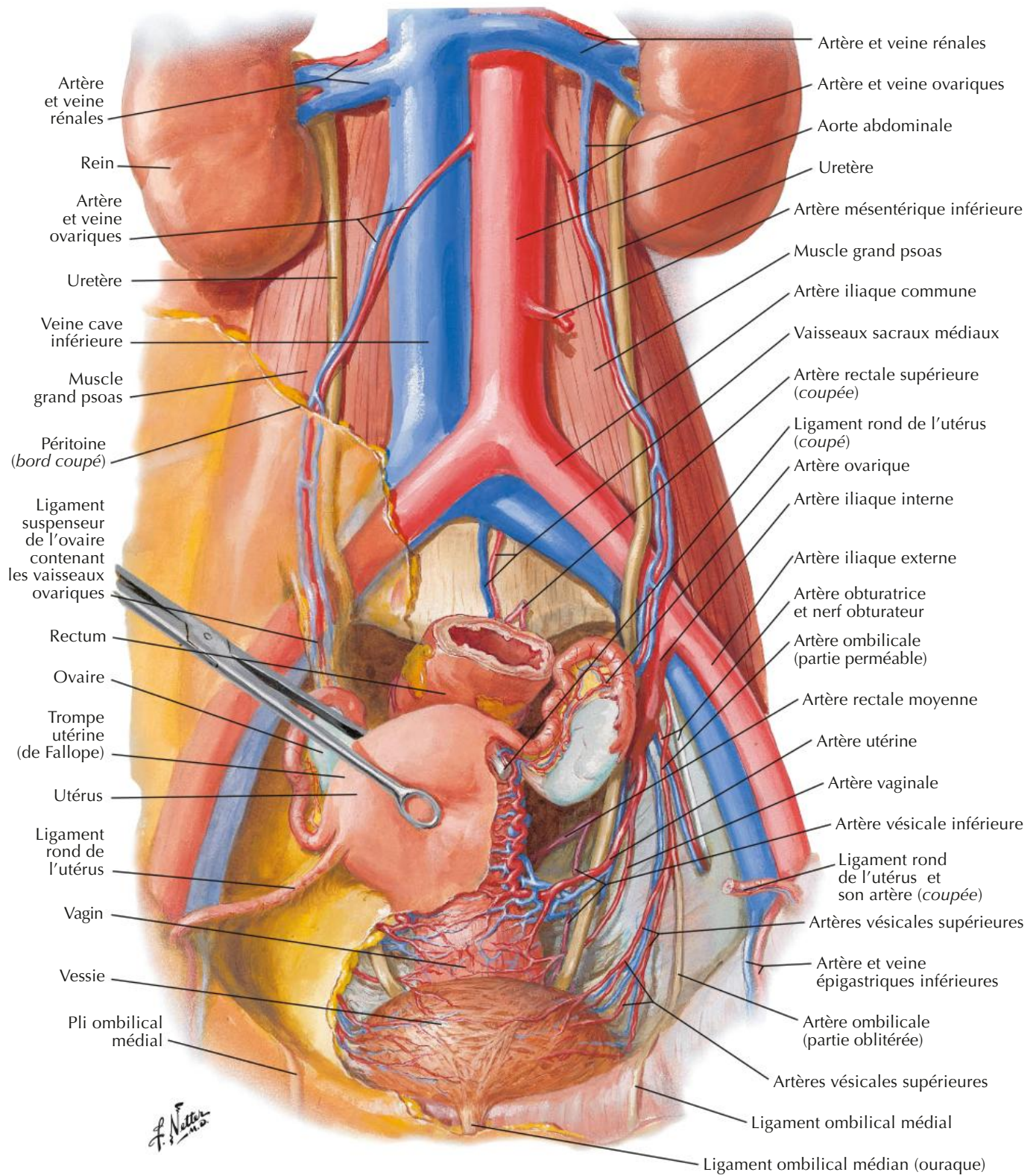
Prostate

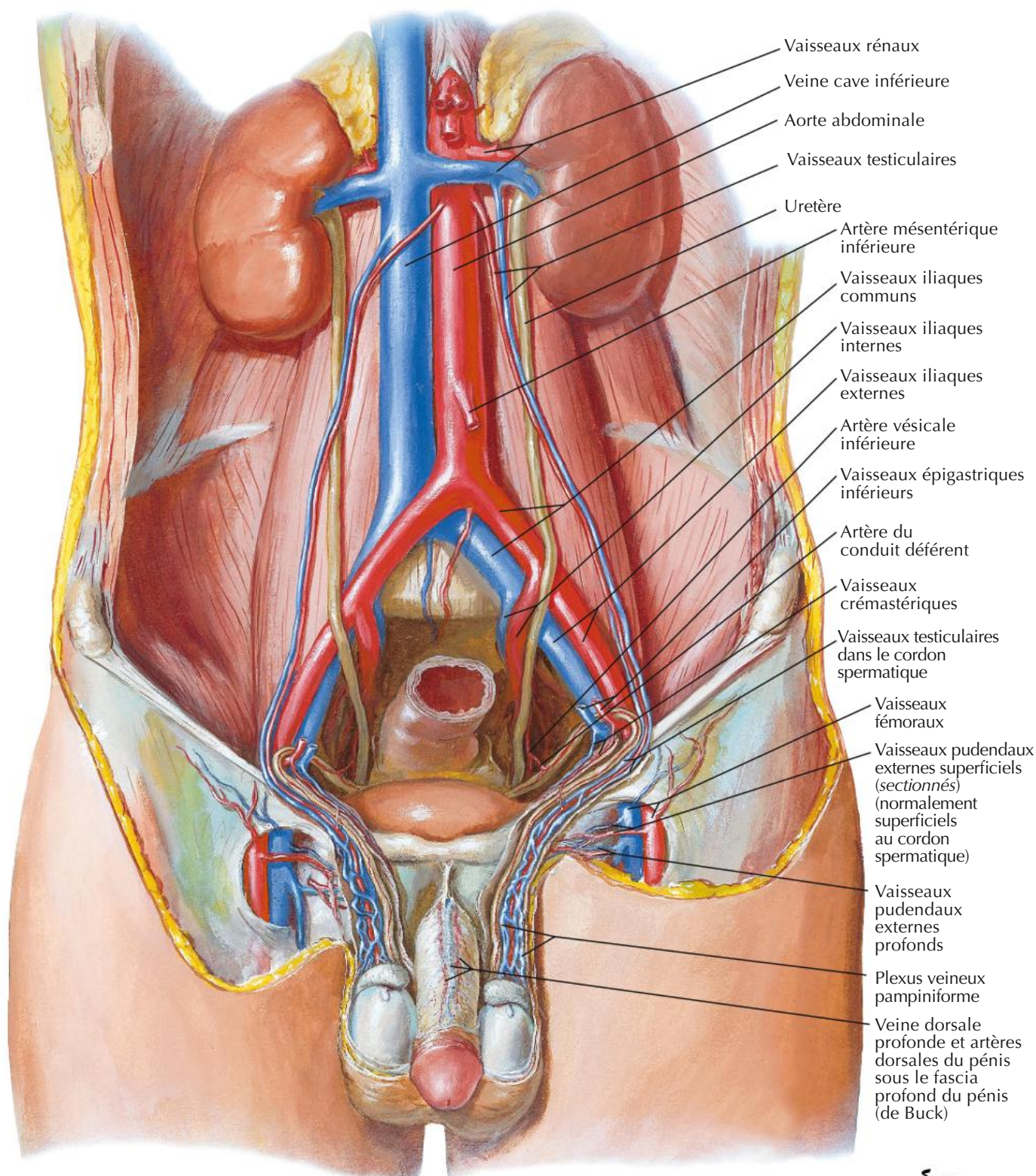
Artères du rectum et du canal anal chez l'homme : vue postérieure





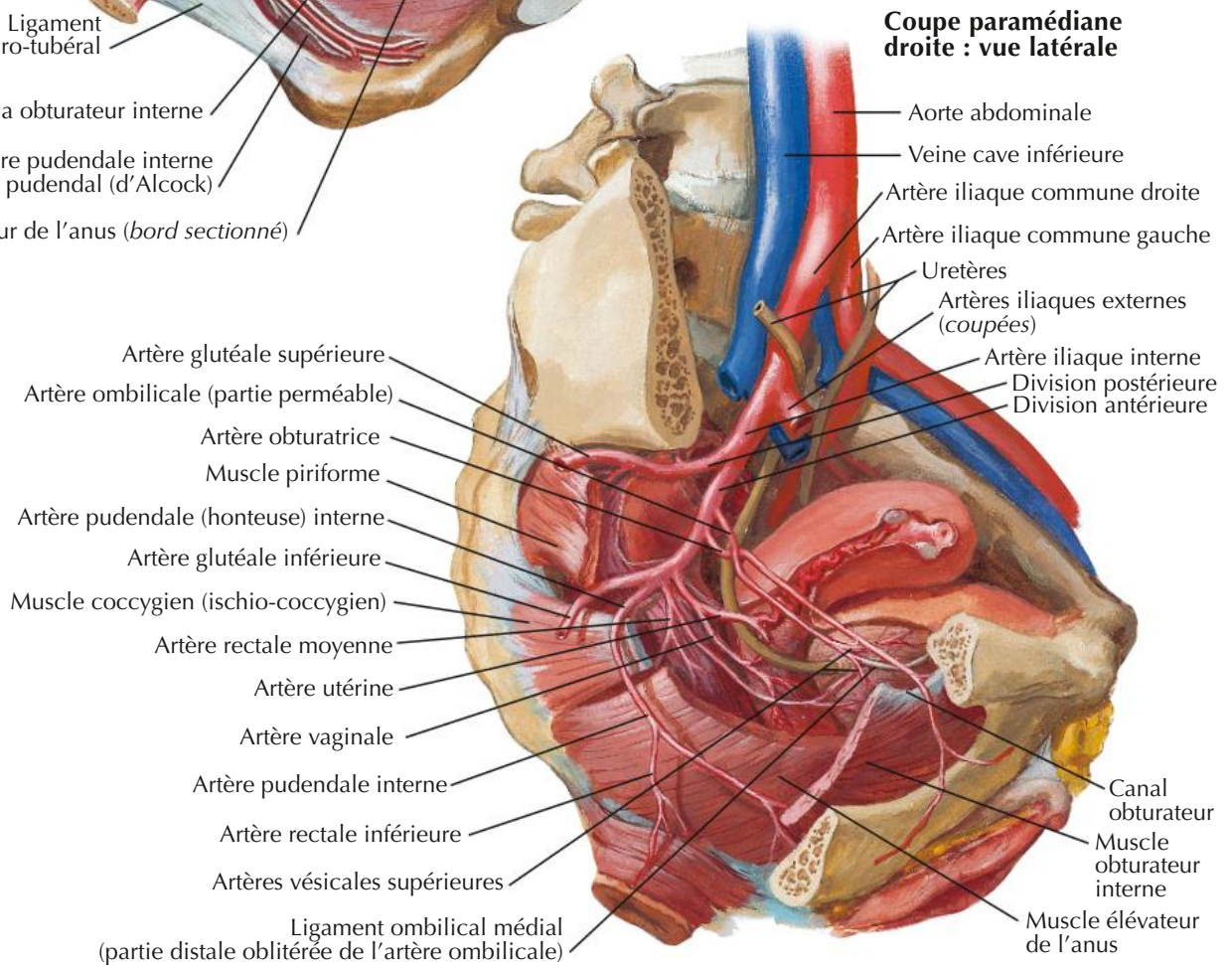
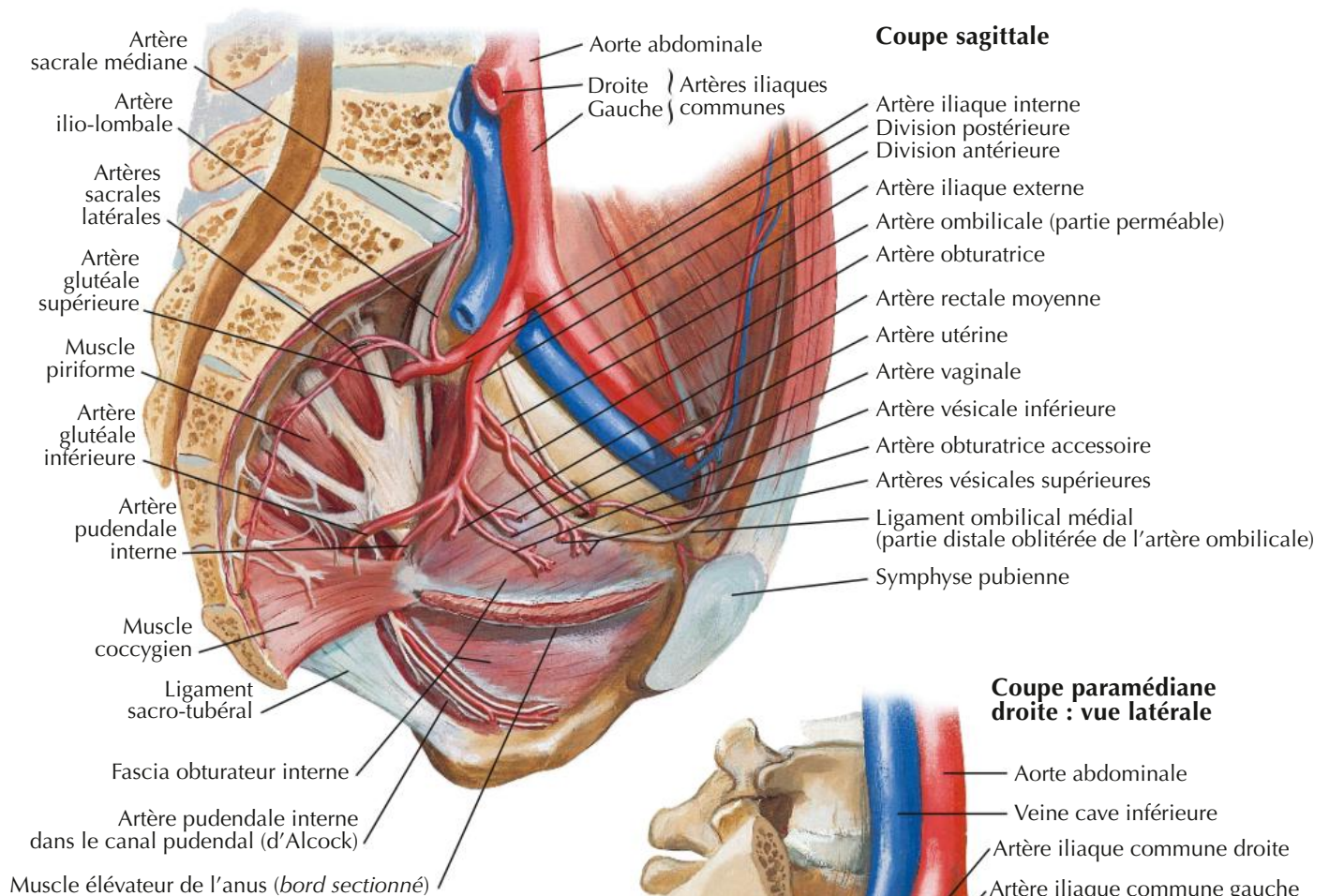
Artères et veines des organes pelviens chez la femme : vue antérieure

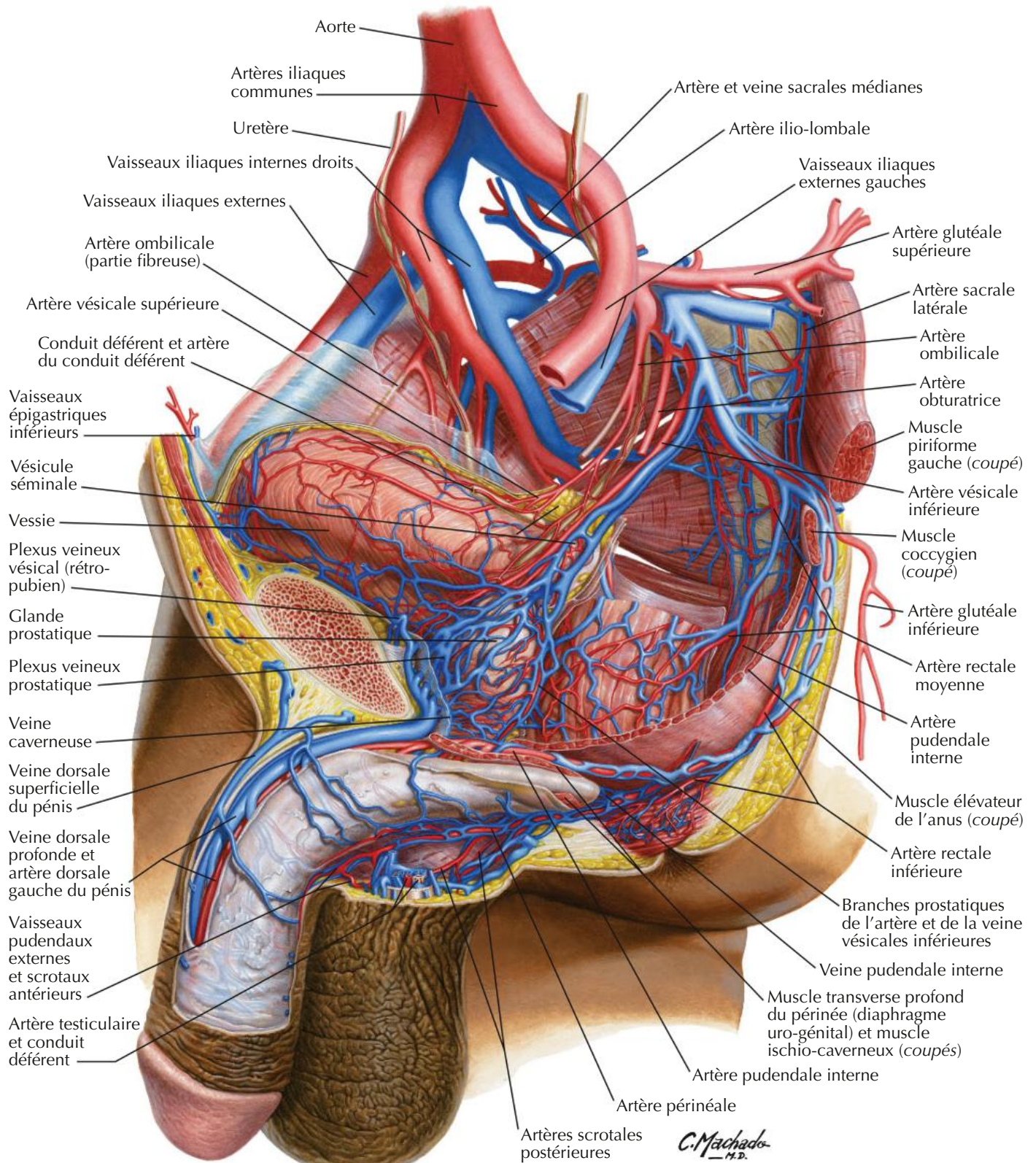




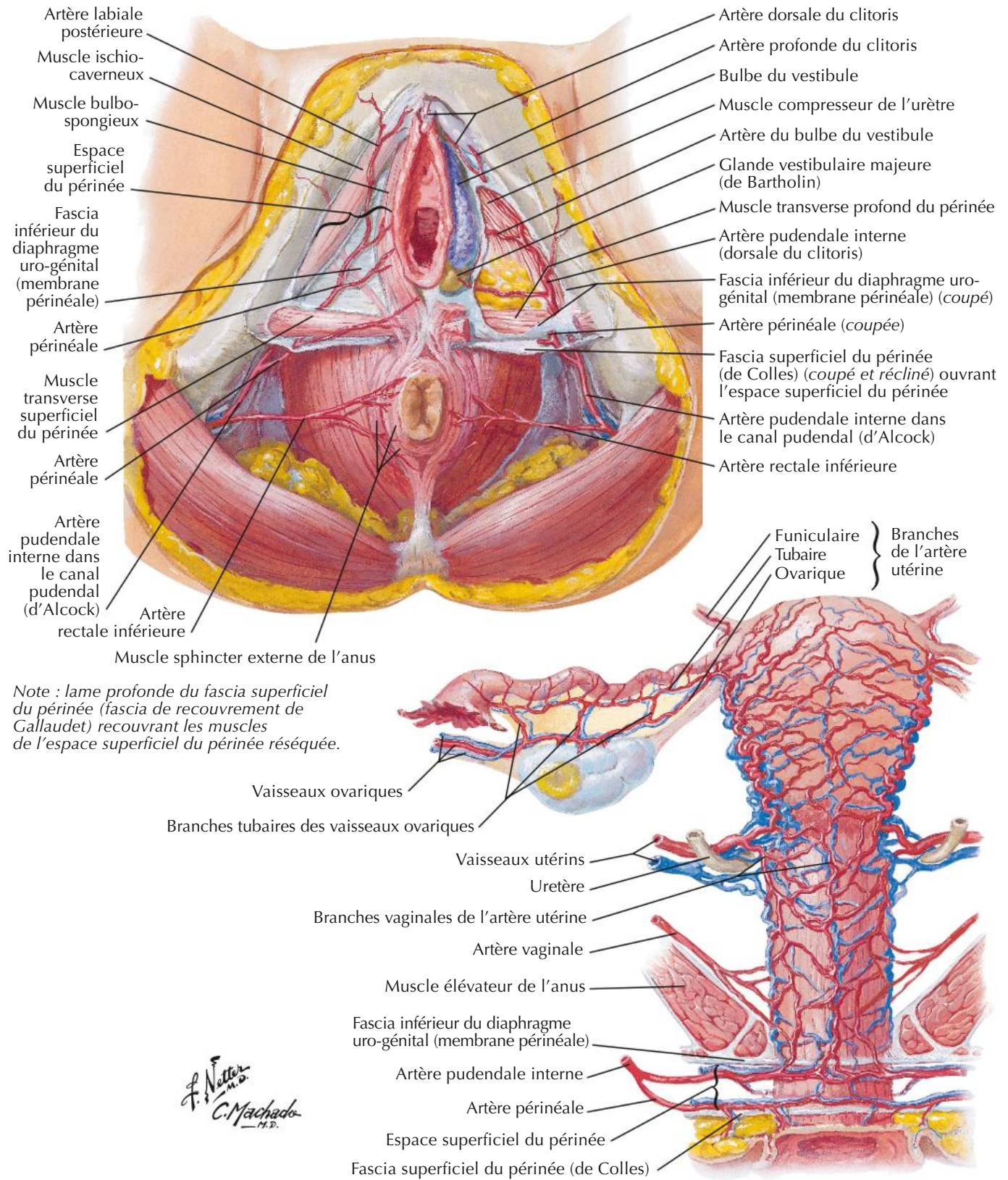
F. Netter M.D.

Artères et veines pelviennes (femme)

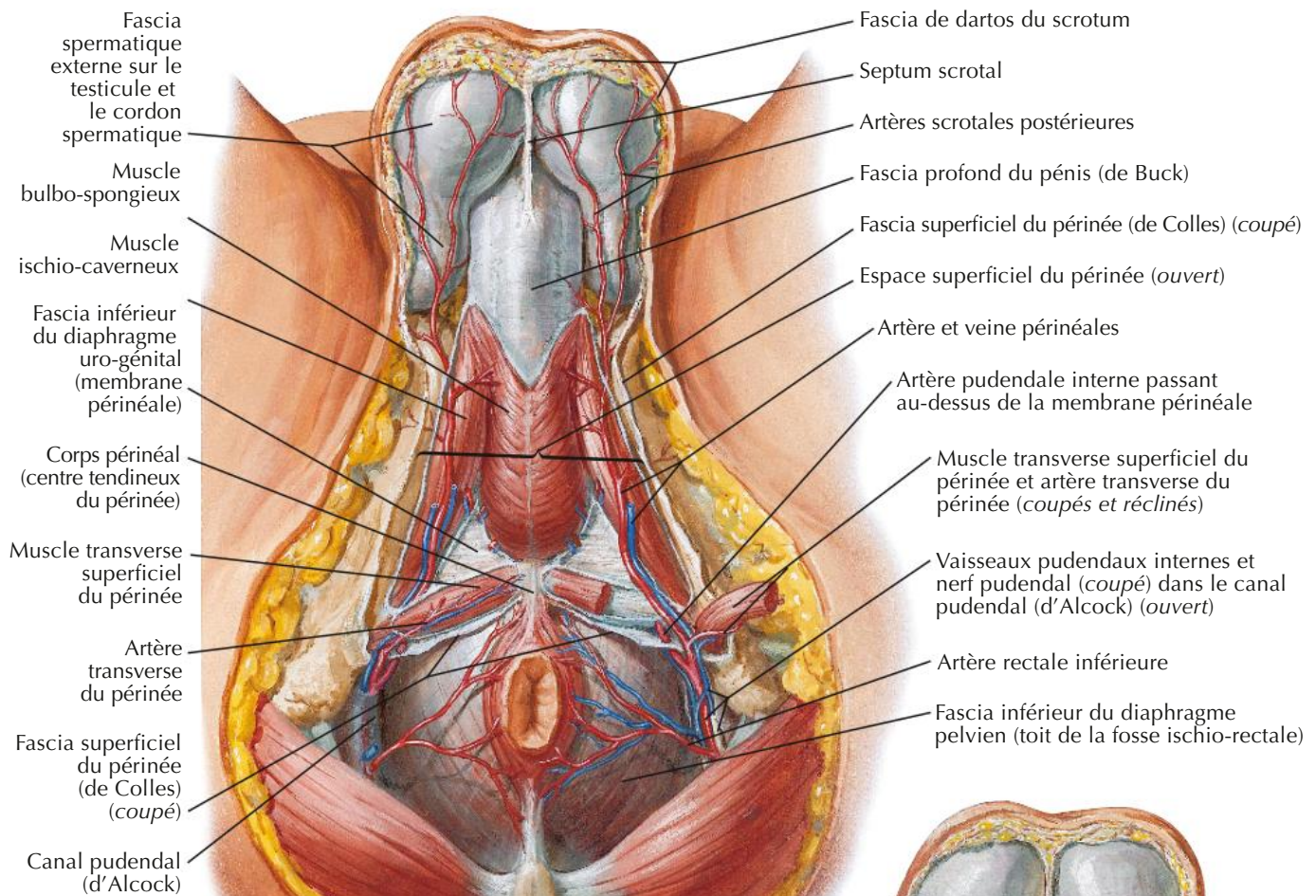




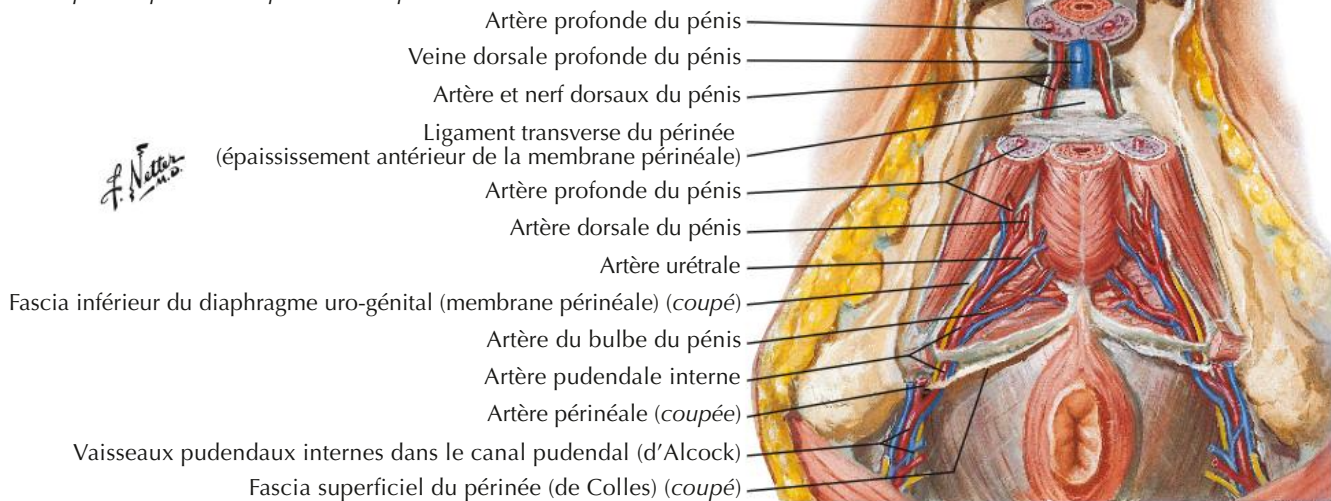
Artères et veines du périnée et de l'utérus



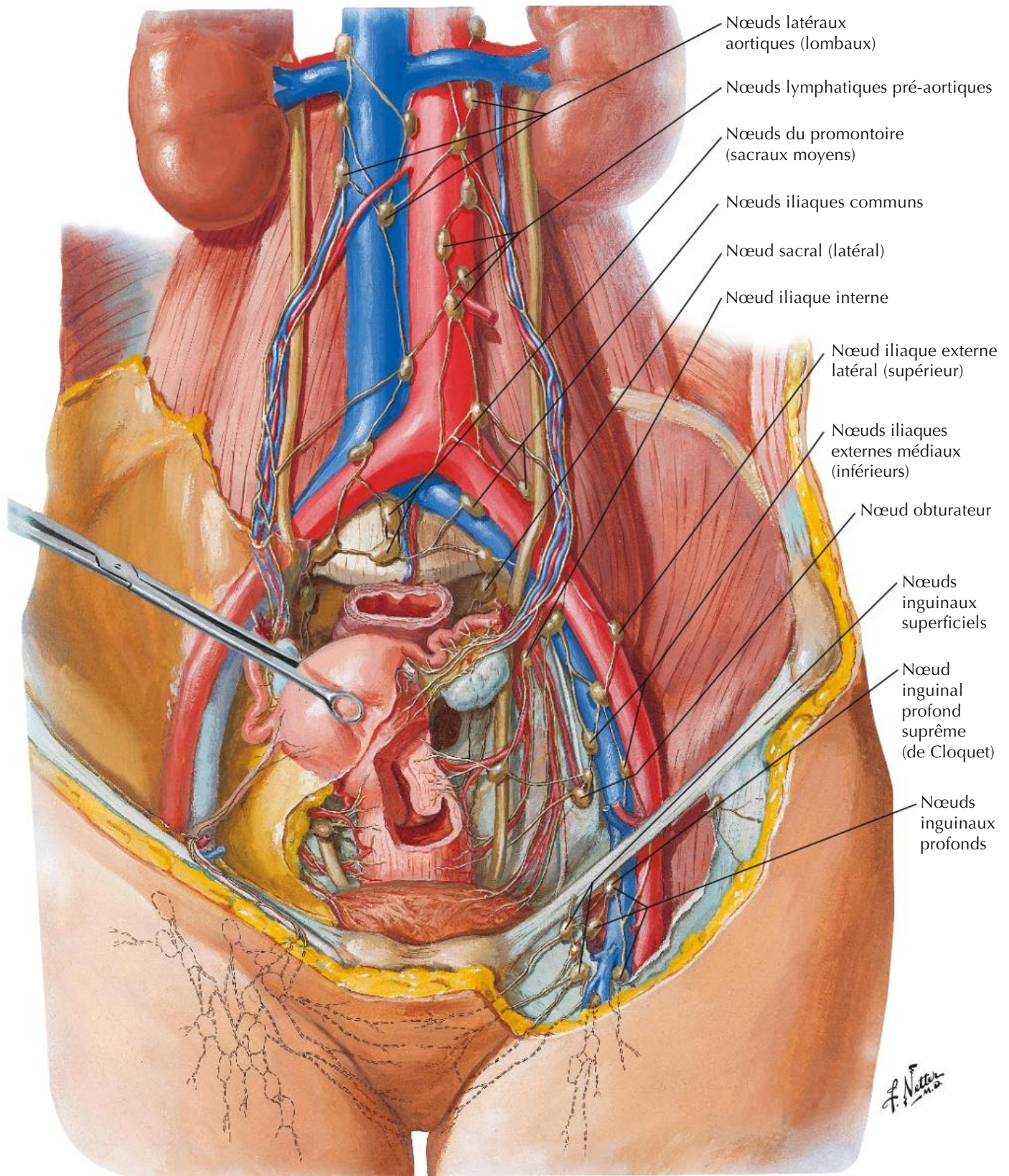
Note : lame profonde du fascia superficiel du périnée (fascia de recouvrement de Gallaudet) recouvrant les muscles de l'espace superficiel du périnée réséquée.

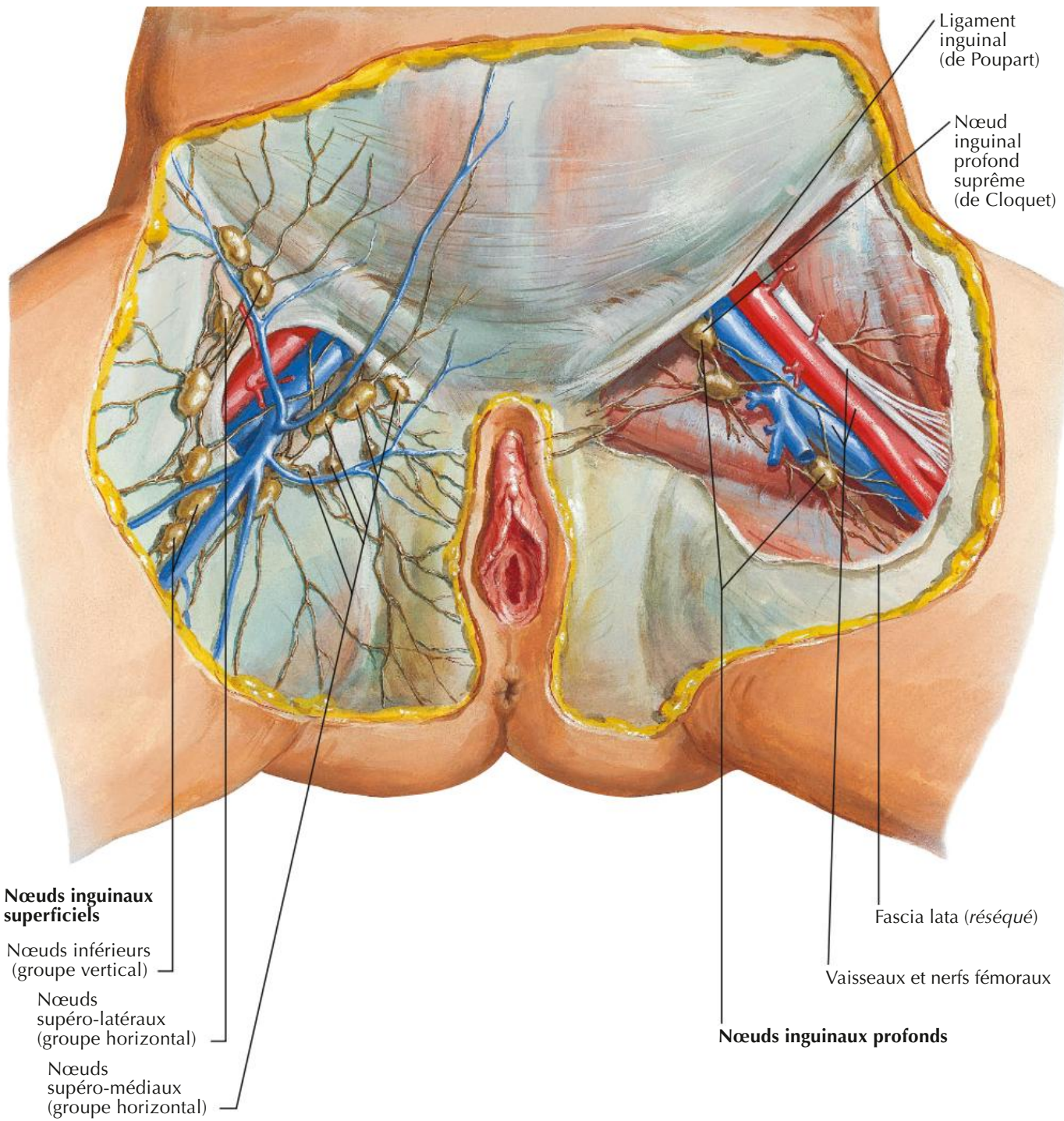


Note : lame profonde du fascia superficiel du périnée (fascia de recouvrement de Gallaudet) recouvrant les muscles de l'espace superficiel du périnée réséquée.



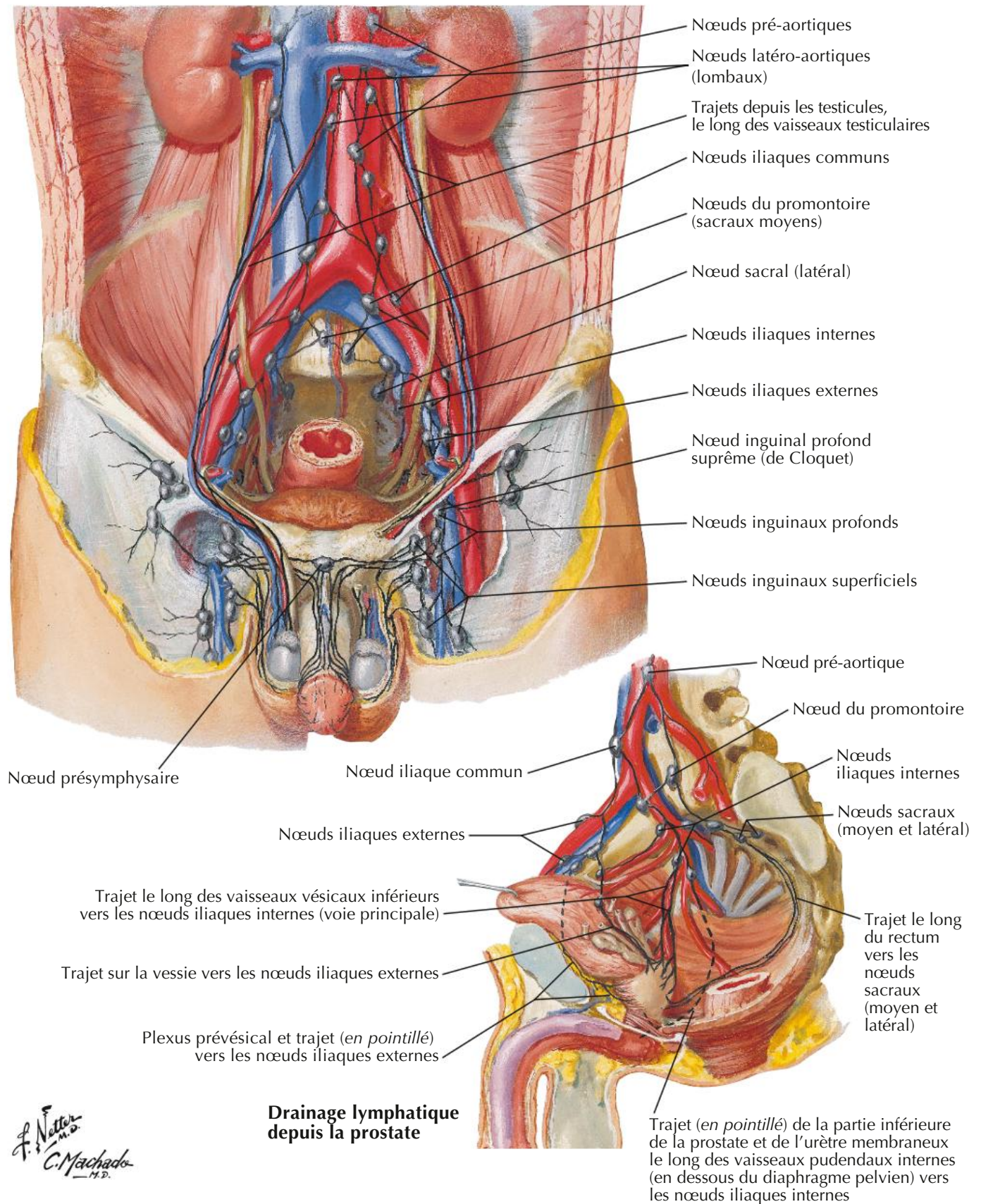
Vaisseaux et nœuds lymphatiques pelviens et des organes génitaux (femme)

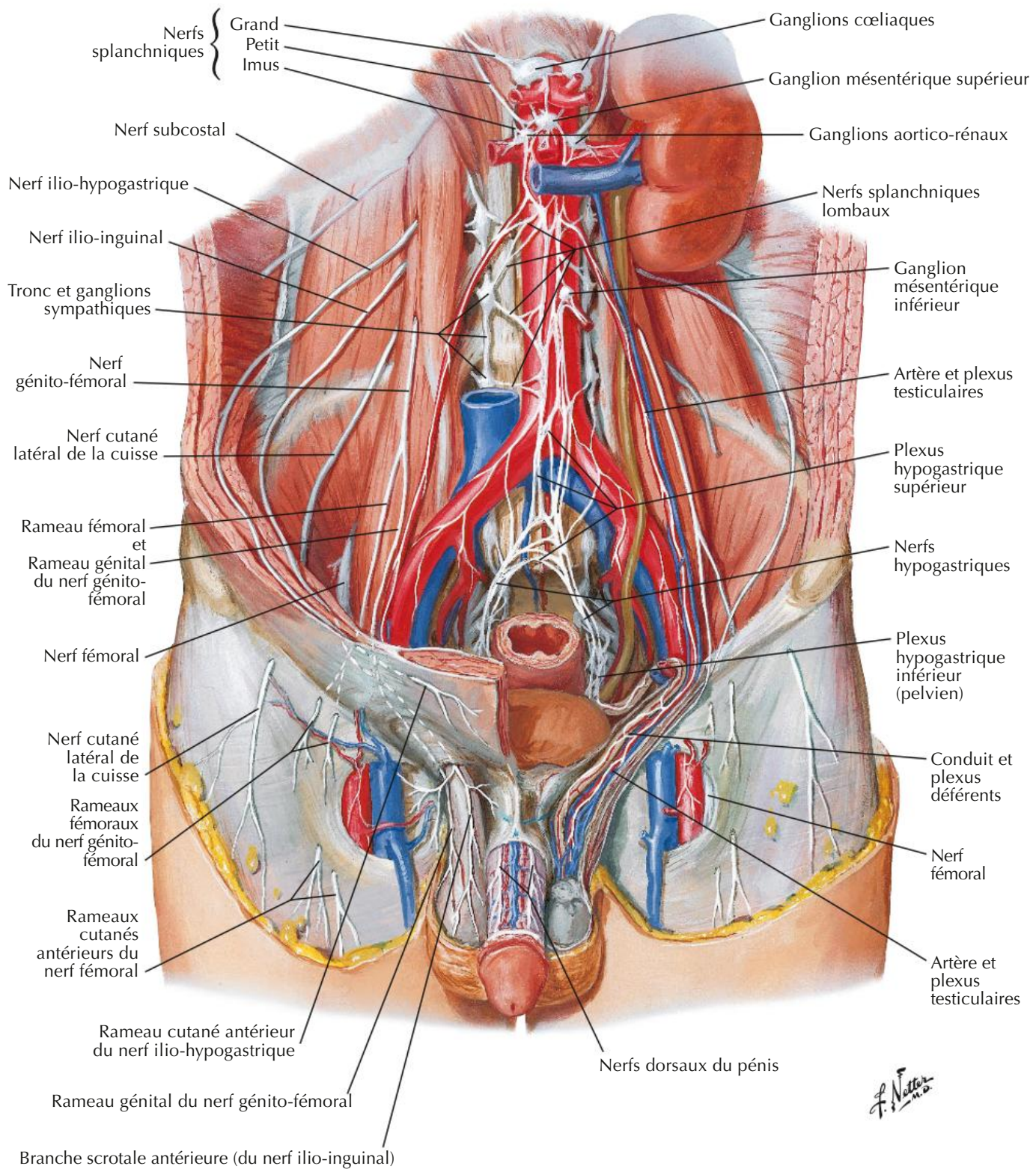


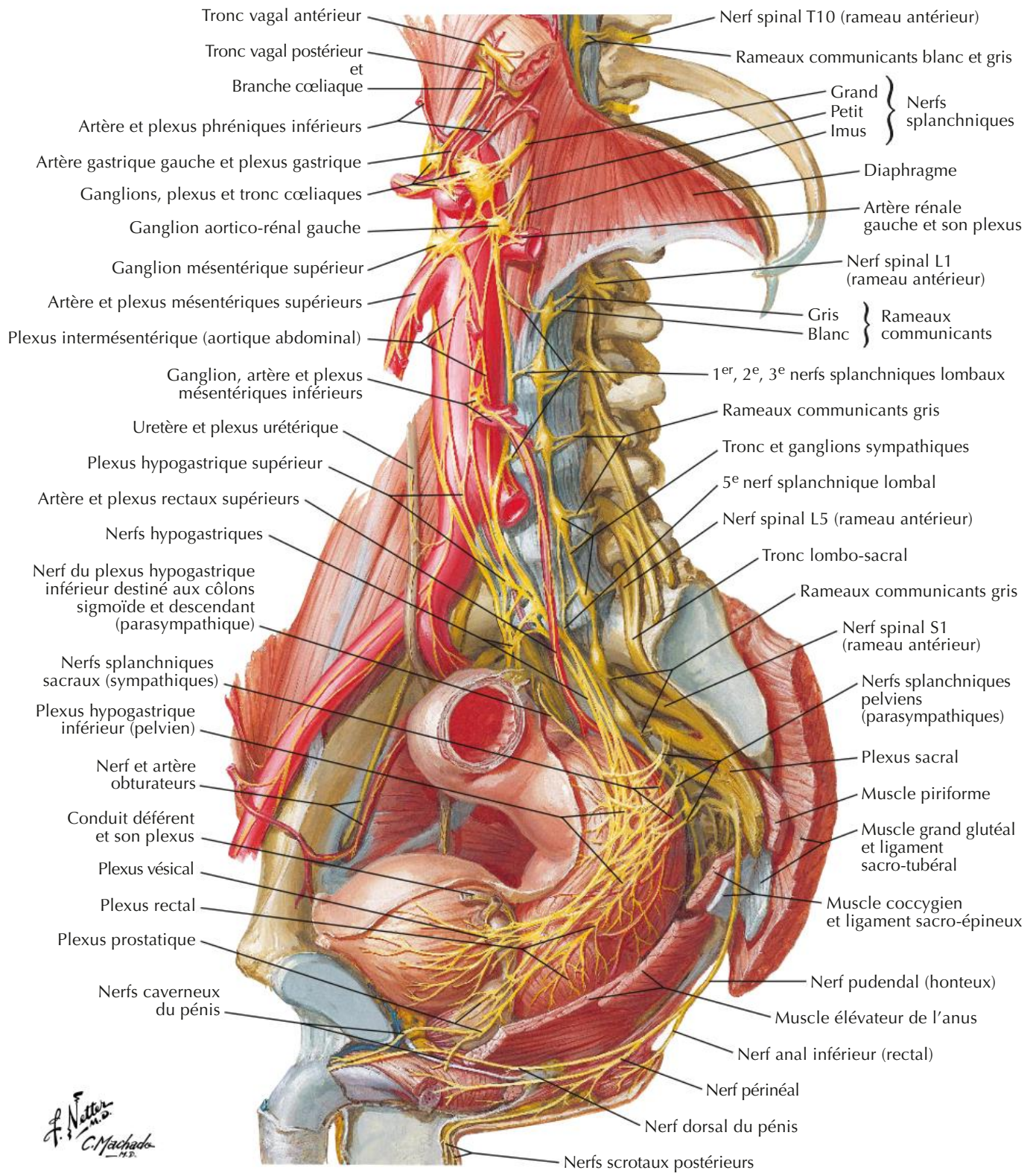


F. Netter

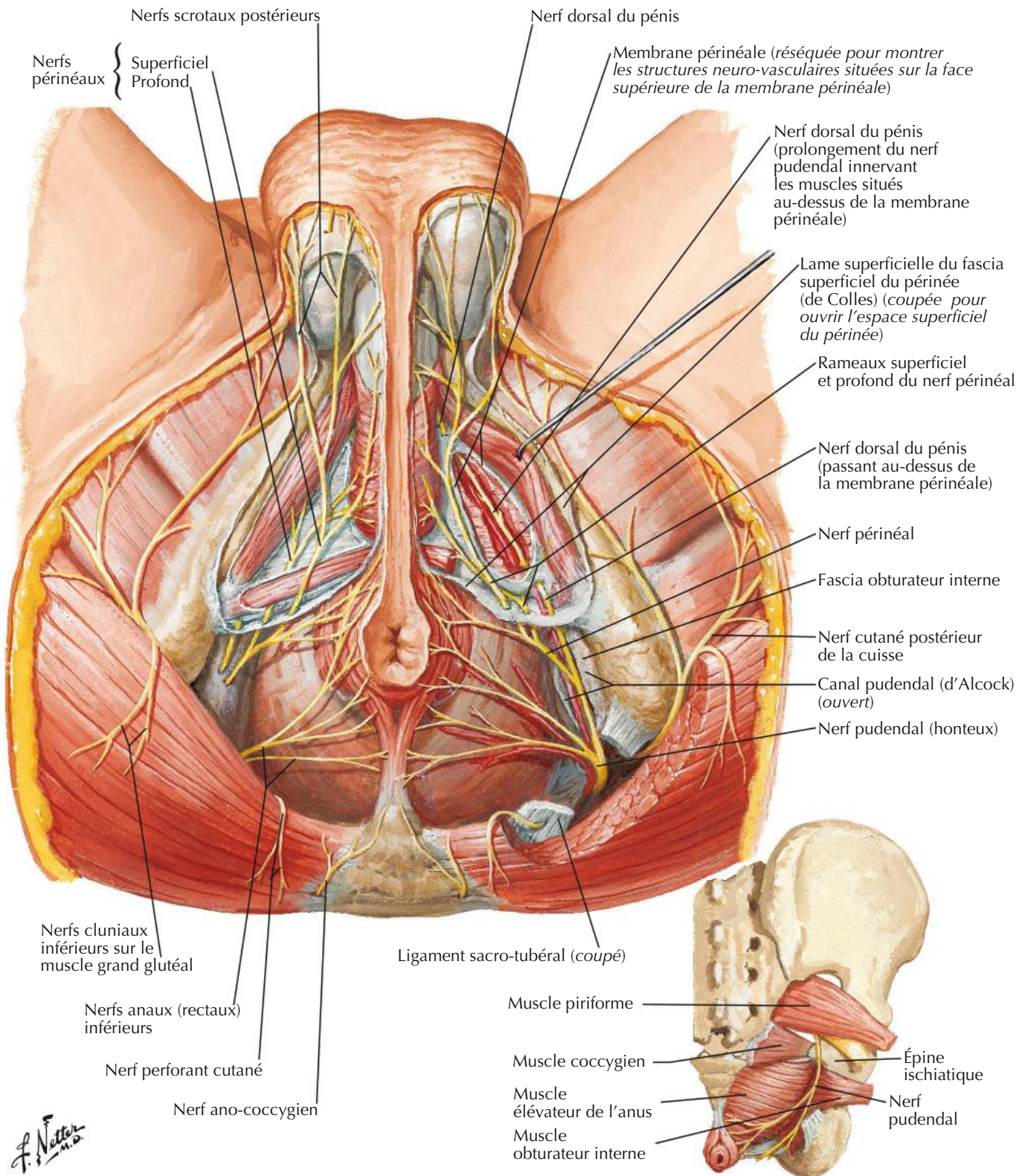
Vaisseaux et nœuds lymphatiques pelviens et des organes génitaux (homme)





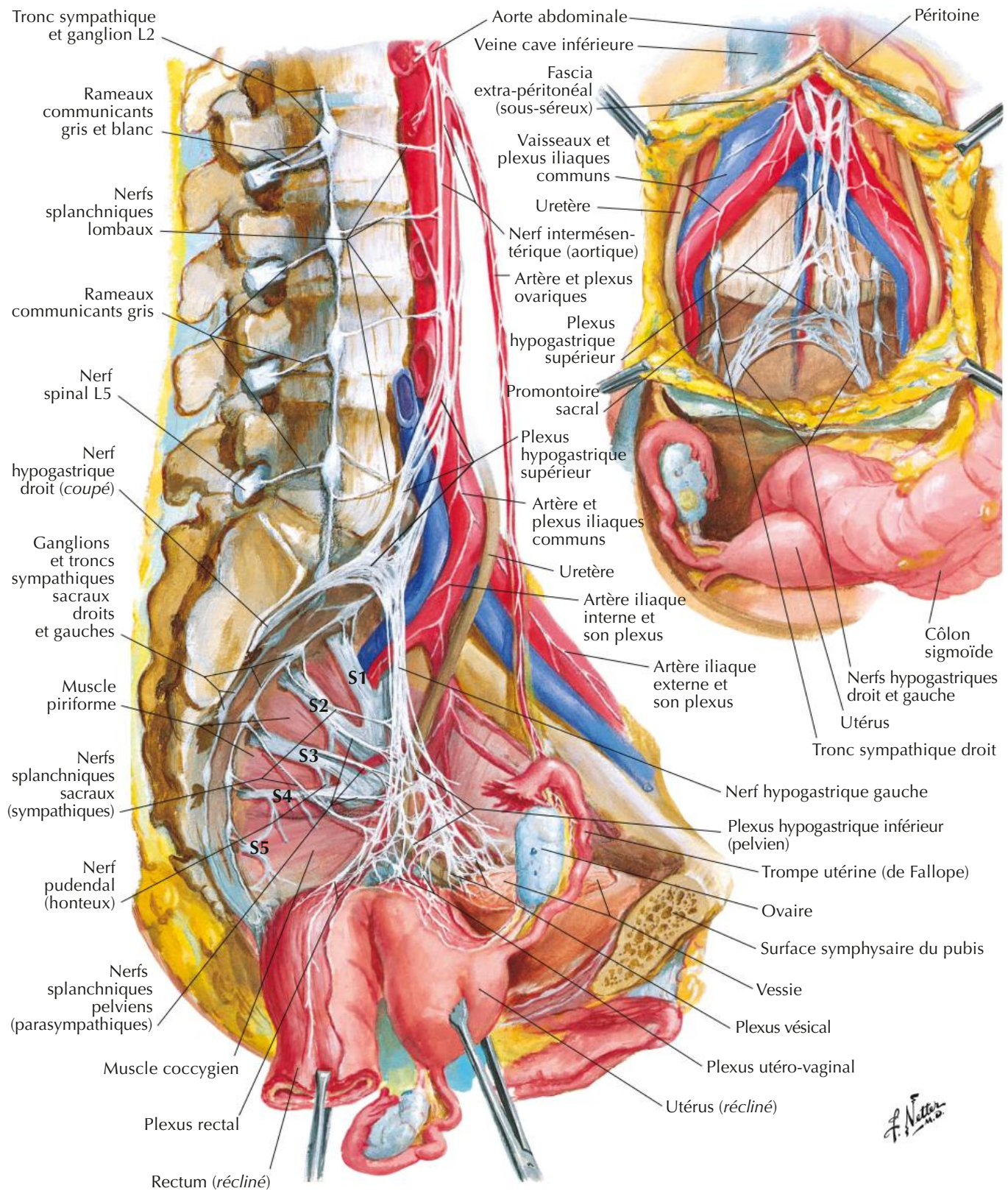


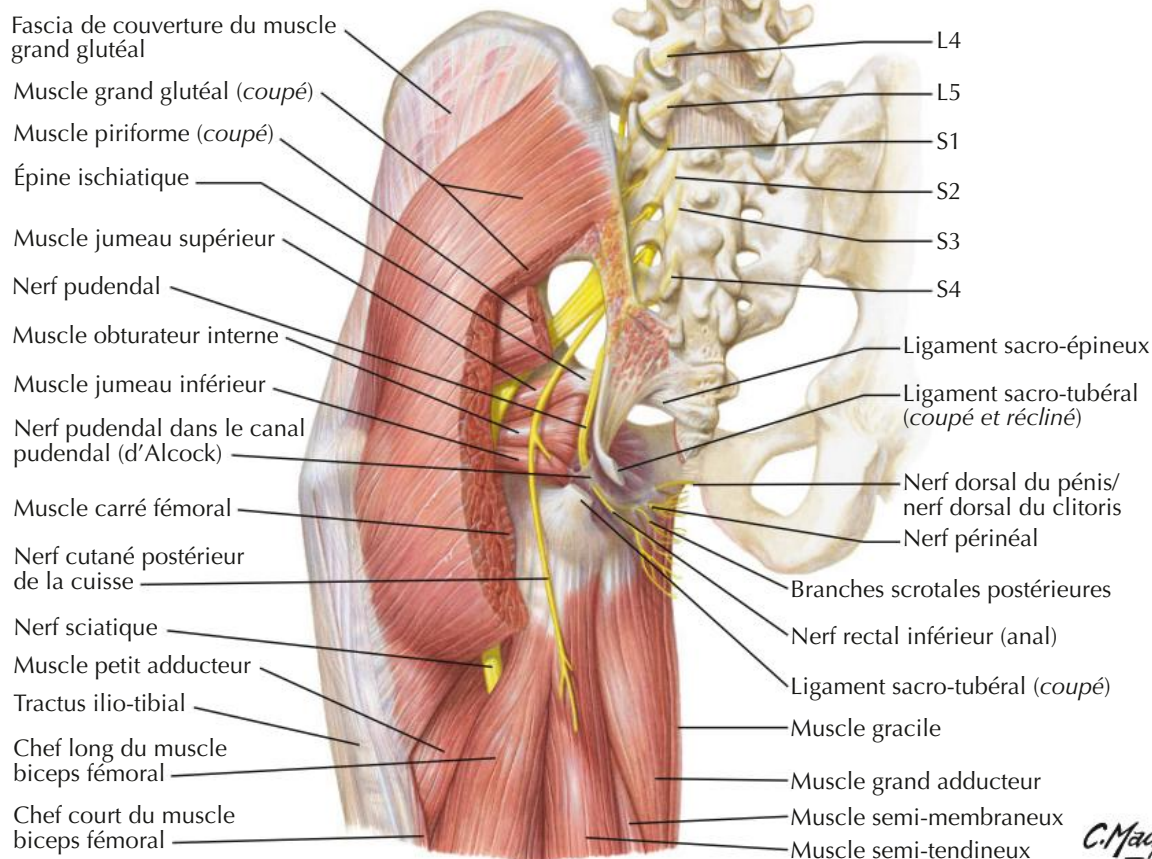
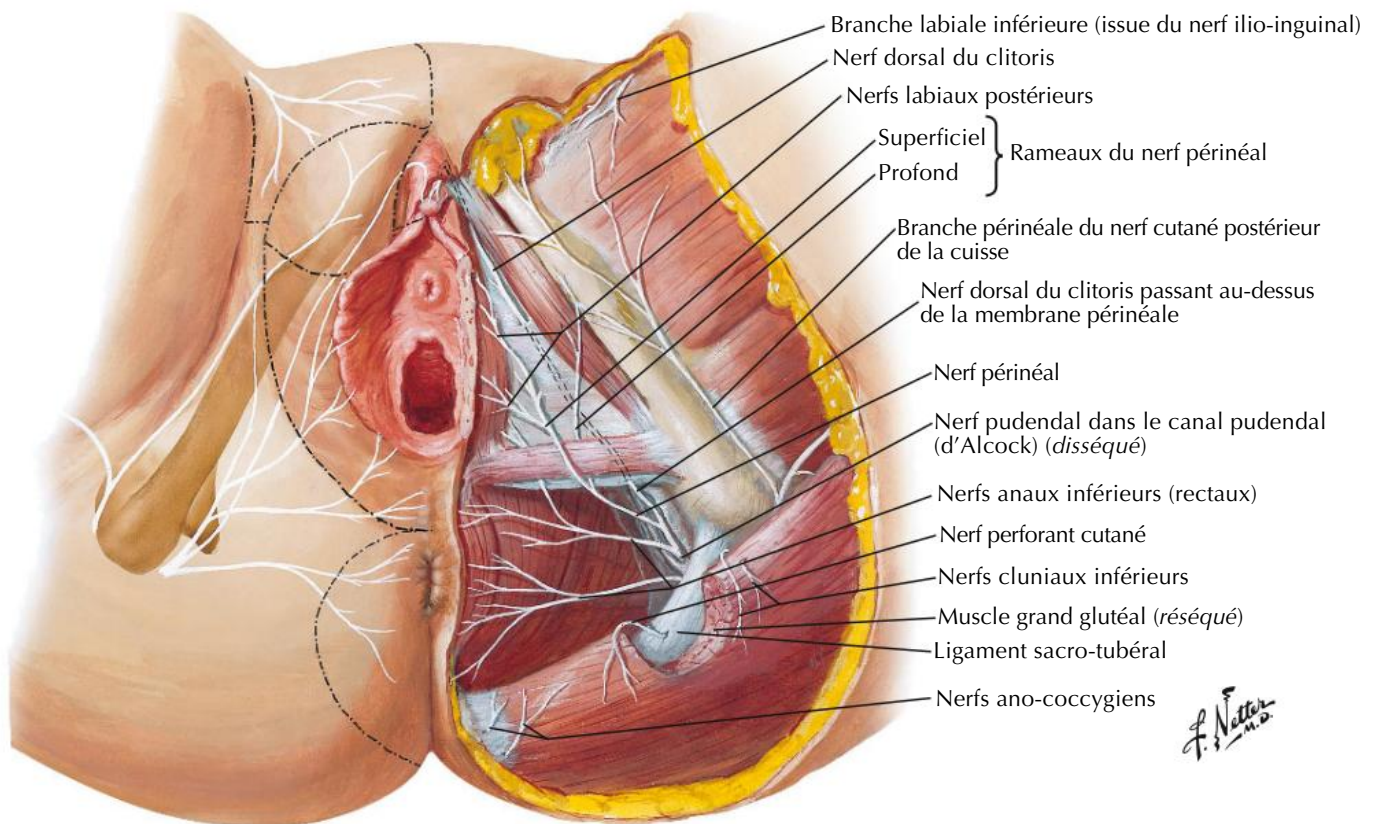
F. Netter M.D.
C. Machado M.D.



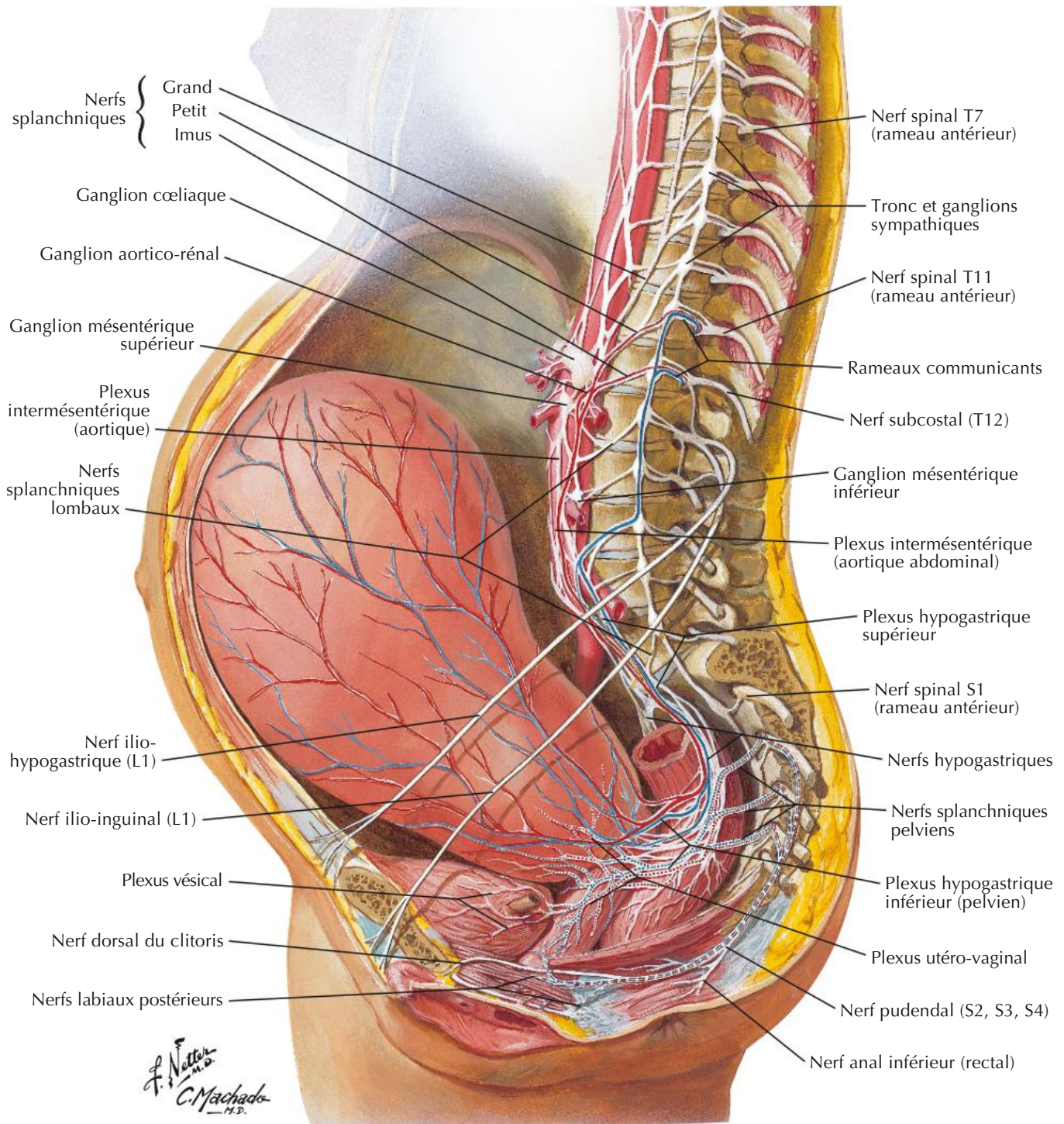
Nerfs des viscères pelviens (femme)

Voir aussi Planche 300





Voies nerveuses durant l'accouchement



— Fibres sensibles du corps et du fundus utérins accompagnant les fibres sympathiques via les plexus hypogastriques vers T11, T12 (L1)

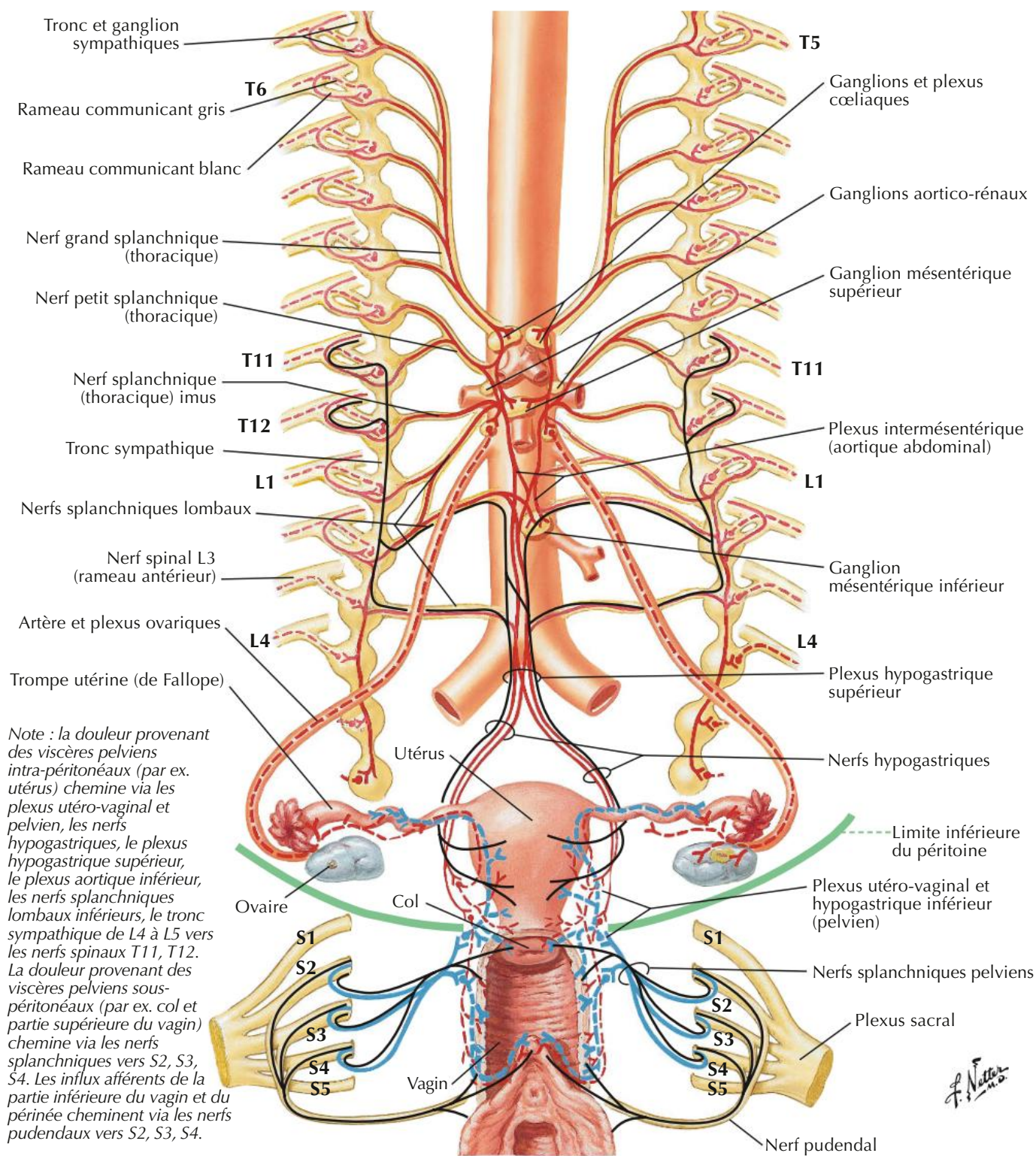
— Fibres motrices vers le corps et le fundus utérins (sympathiques)

..... Fibres sensibles du col et de la partie supérieure du vagin accompagnant les nerfs splanchniques pelviens (parasymphiques) vers S2, S3, S4

..... Fibres motrices vers la partie inférieure du corps utérin, le col et la partie supérieure du vagin (parasymphiques)

--- Fibres sensibles de la partie inférieure du vagin et du périnée accompagnant les fibres somatiques via le nerf pudendal vers S2, S3, S4

--- Fibres motrices vers la partie inférieure du vagin et le périnée via le nerf pudendal (somatiques)

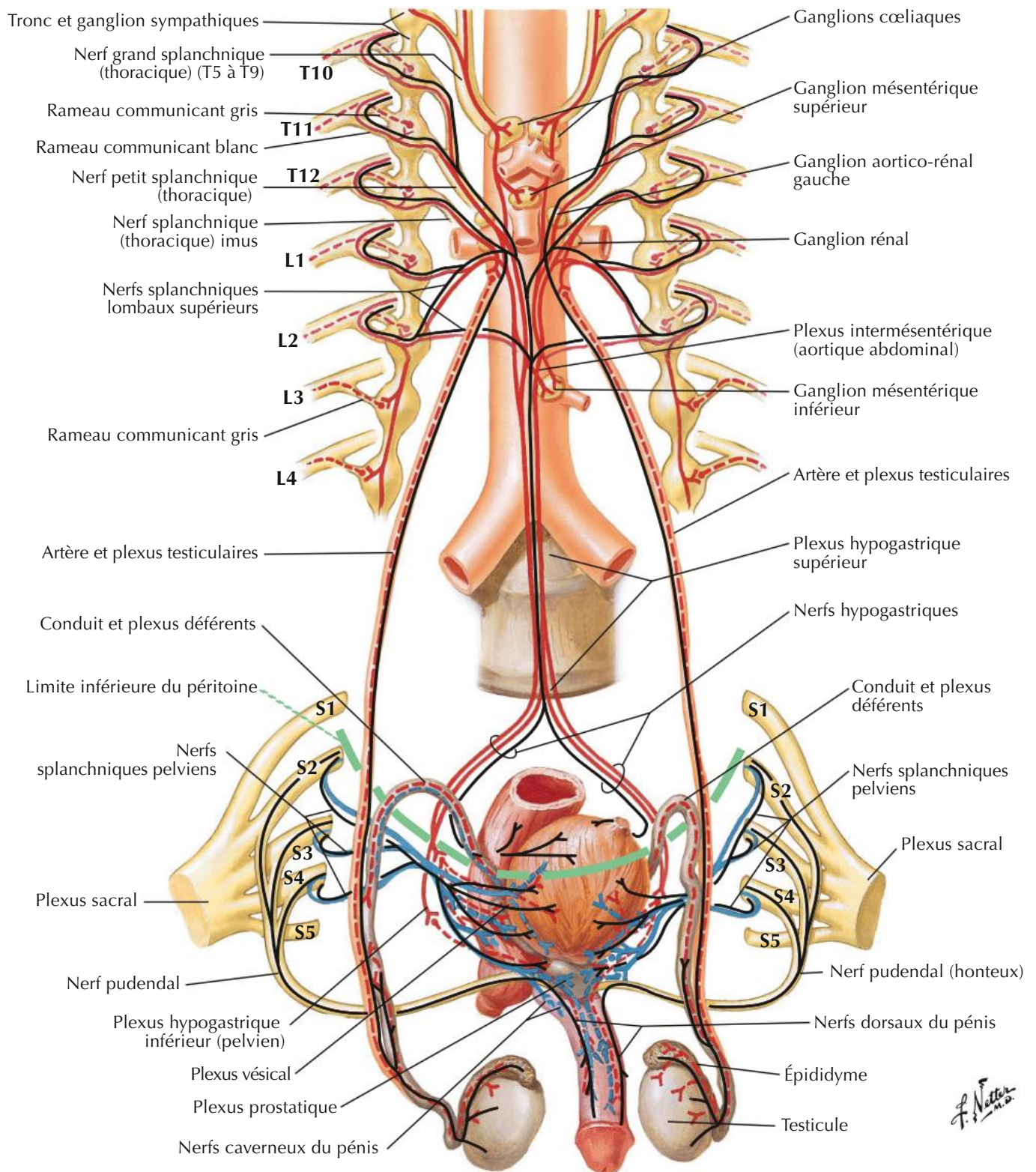


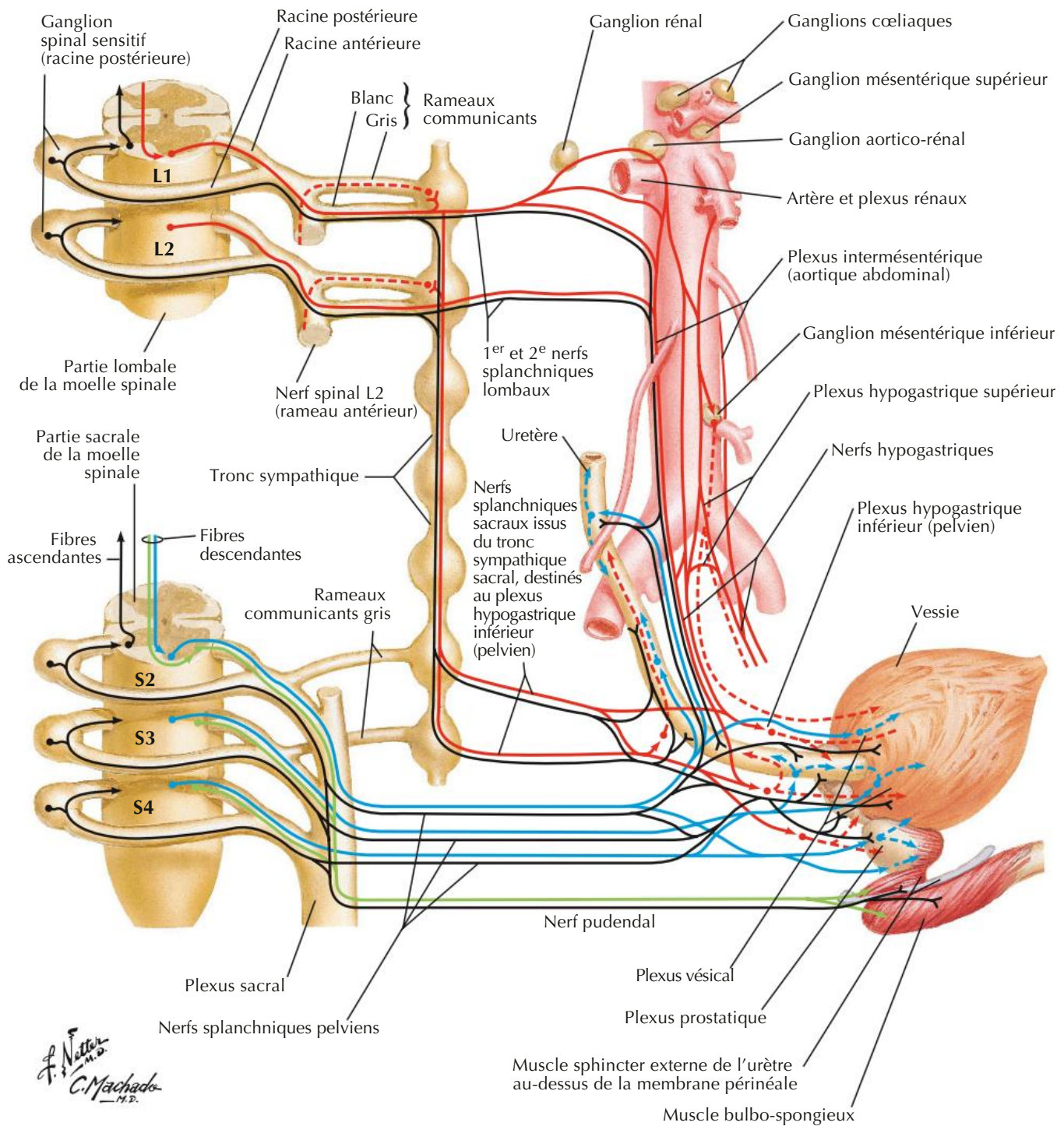
Fibres sympathiques { préganglionnaires ——— postganglionnaires - - - - - }

Fibres parasympathiques { préganglionnaires ——— postganglionnaires - - - - - }

Fibres afférentes ———

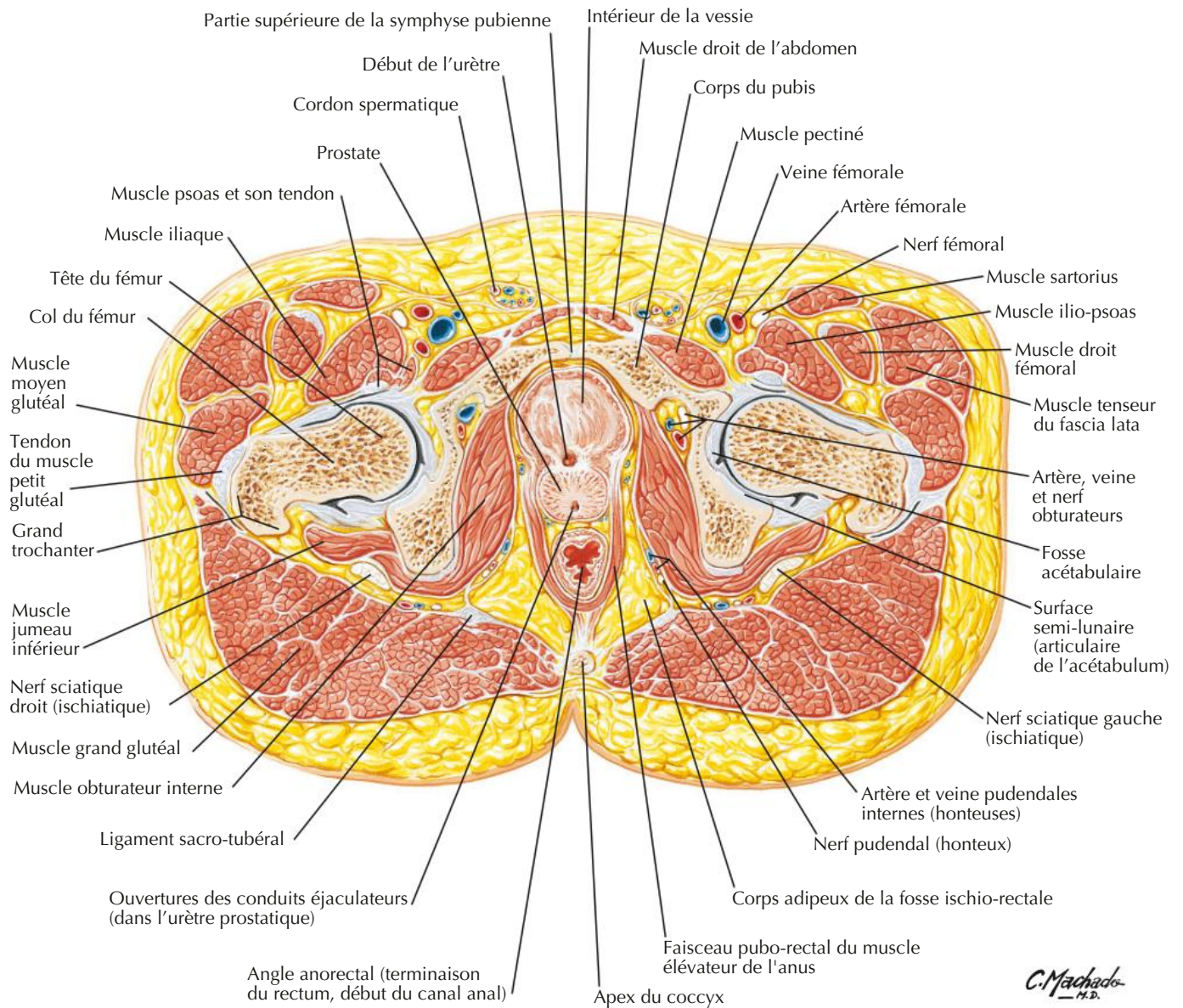
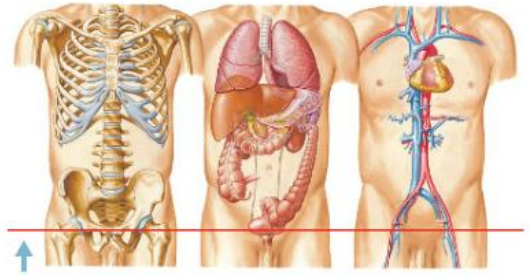
Innervation des organes de la reproduction chez l'homme : schéma



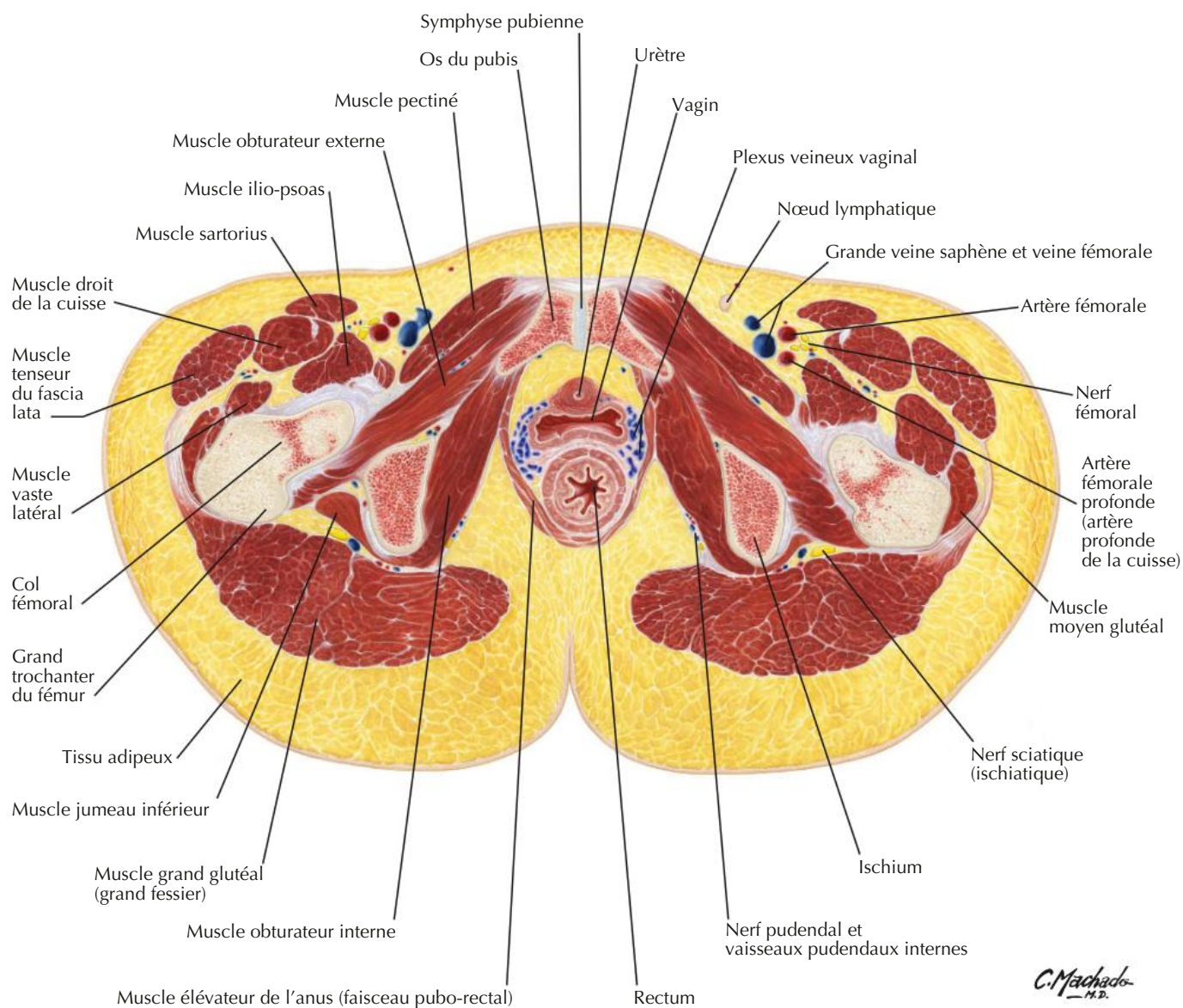
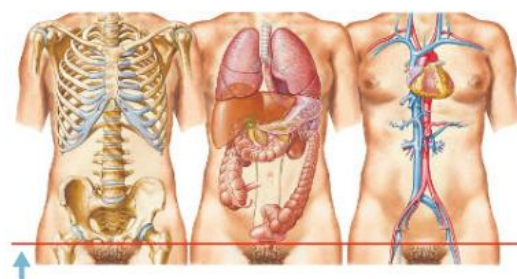


Fibres sympathiques { préganglionnaires ——— postganglionnaires - - - - - }
 Fibres parasympathiques { préganglionnaires ——— postganglionnaires - - - - - }
 Fibres efférentes somatiques ———
 Fibres afférentes ———

Pelvis masculin : coupe transversale de la jonction vésico-prostatique



C. Machado
— M.D.



STRUCTURES ANATOMIQUES	IMPORTANCE CLINIQUE	NUMÉROS DES PLANCHES
SYSTÈME SQUELETTIQUE		
 Symphyse pubienne	Repère palpable utilisé pour réaliser des mesures pelviennes (par ex. diamètre conjugué obstétrical) évaluant l'adéquation du bassin pour permettre l'accouchement ; lors de l'examen pré-natal, utile pour préciser la descente fœtale (rapport tête fœtale-symphyse)	336
Épine ischiatique	Repère palpable utilisé pour estimer le diamètre inter-épineux lors de l'accouchement et pour localiser le nerf pudendal lors d'un bloc nerveux pudendal	336
Tubérosité ischiatique	Repère palpable utilisé pour estimer les possibilités d'accouchement par voie basse (sortie de l'enfant)	336
Branche pubienne supérieure	Souvent fracturée par compression antéro-postérieure du bassin dans un traumatisme par écrasement	338
Épine ischiatique	Les blocs nerveux pudendaux ciblent le nerf pudendal à son entrée dans le petit foramen ischiatique, environ 1 cm dessous et en dedans de l'insertion du ligament sacro-épineux sur l'épine ischiatique	384, 393
SYSTÈME MUSCULAIRE		
 Diaphragme pelvien (muscles élévateur de l'anus et coccygien)	Procure un soutien à l'angle uréthro-vésical, aidant à assurer la continence urinaire ; sa faiblesse ou sa lésion pendant l'accouchement peut entraîner une incontinence urinaire d'effort chez la femme	340, 351
Fascia endopelvien	La faiblesse ou la déchirure des ligaments du fascia endopelvien (par ex. ligaments pubo-vésicaux ou cervicaux transverses) facilite le prolapsus des organes pelviens	350, 353
Corps périnéal (centre tendineux du périnée)	La déchirure du corps périnéal peut entraîner un prolapsus des organes pelviens ou une incontinence	360
SYSTÈME DIGESTIF		
 Rectum	Exploré par le toucher rectal pour dépister des hémorroïdes internes, un fécalome et un cancer rectal ; donne accès au côlon pour la coloscopie	373, 375
Péritoine	Localisation habituelle de la diffusion métastatique du cancer de l'ovaire via le liquide péritonéal de la cavité péritonéale	344, 345
SYSTÈME URINAIRE		
 Vessie	Repère utile pour l'identification des structures pelviennes lors d'une échographie	349, 350
Urètre	Peut être lésé lors de l'hystérectomie en raison de son rapport étroit avec l'artère utérine	346, 347
SYSTÈME DE LA REPRODUCTION		
 Cul-de-sac recto-utérin (de Douglas)	Région examinée en échographie pour détecter la présence de liquide abdominal ou pelvien ; siège classique de la grossesse extra-utérine, on peut y accéder par le fornix vaginal postérieur	345, 346
Utérus	Palpé lors des examens pré-nataux pour évaluer la croissance fœtale et accessible aux touchers pelviens ; examiné en échographie pour dépister des anomalies (par ex. fibromes)	345, 355
Col de l'utérus	L'épithélium de la zone de transition du col de l'utérus est sujet à la dysplasie et à la transformation maligne ; les cellules sont prélevées dans cette région lors du test Pap (frottis cervico-vaginal)	353, 355

STRUCTURES ANATOMIQUES	IMPORTANCE CLINIQUE	NUMÉROS DES PLANCHES
 SYSTÈME DE LA REPRODUCTION–Suite		
Vagin	Le fornix vaginal postérieur donne accès au cul-de-sac recto-utérin de Douglas	345
Prostate	Elle fait l'objet avec le vieillissement d'une hypertrophie bénigne ; le cancer de la prostate est le deuxième cancer le plus fréquent chez l'homme	349, 366
Ovaire	Examiné en échographie pour diagnostiquer des kystes ou pour la collecte des ovocytes	344, 355
Conduits déférents	Liés lors de la vasectomie pour la stérilisation masculine	349, 369
 SYSTÈME NERVEUX		
Nerf pudendal	Le bloc nerveux pudendal est pratiqué pour anesthésier le périnée lors de l'accouchement ou pour des interventions chirurgicales mineures du périnée	395
Nerf rectal intérieur	Anesthésié dans la fosse ischio-rectale pour la résection chirurgicale des hémorroïdes externes	393
Plexus nerveux prostatique/nerfs caverneux	La lésion de ces nerfs lors de procédures chirurgicales (par ex. chirurgie de la prostate) peut entraîner une dysfonction érectile	392
 SYSTÈME CARDIO-VASCULAIRE		
Plexus veineux pampiniforme	Sa dilatation peut être responsable de varicocèle, plus souvent à gauche en raison des différences du drainage des veines gonadiques du côté droit et du côté gauche	369
Artère utérine	Liée ou cautérisée lors de l'hystérectomie ; son embolisation est réalisée pour traiter les fibromes utérins symptomatiques	382, 386
Artères du pénis (profonde, dorsale), corps caverneux	L'inhibition ou la perte de la fonction du muscle vasculaire lisse peut entraîner un dysfonctionnement érectile	387
Veines iliaques internes	Réalisent une anastomose entre le plexus veineux prostatique et le drainage veineux rachidien expliquant la propagation osseuse du cancer de la prostate	385
Veines rectales (supérieure, moyenne et inférieure)	L'hypertension portale peut entraîner une dilatation des veines rectales (hémorroïdes) car des anastomoses porto-systémiques se développent entre les veines rectales	299, 381
 SYSTÈME LYMPHATIQUE		
Nœuds lymphatiques pelviens et para-aortiques (latéro-aortiques, lombaux)	La propagation des cellules cancéreuses de l'ovaire se fait via le drainage veineux vers la veine cave inférieure et les poumons et via les vaisseaux lymphatiques	388
Nœuds lymphatiques para-aortiques et trachéo-bronchiques	Les cellules cancéreuses prostatiques peuvent se propager via les lymphatiques	390
Nœuds lymphatiques pré-aortiques et para-aortiques (latéro-aortiques et lombaux)	Ils reçoivent le drainage lymphatique de l'ovaire, des trompes utérines et du fond utérin chez la femme et des testicules chez l'homme ; les cancers de ces organes peuvent ainsi diffuser au rétropéritoine	388, 390
Nœuds lymphatiques pelviens	Le prélèvement ou le curage de ces ganglions lymphatiques est effectué pour évaluer la propagation des tumeurs malignes gynécologiques	388

* Les sélections ont été fondées en grande partie sur des données cliniques aussi bien que sur les corrélations anatomo-cliniques fréquemment discutées dans les cours d'anatomie macroscopique.

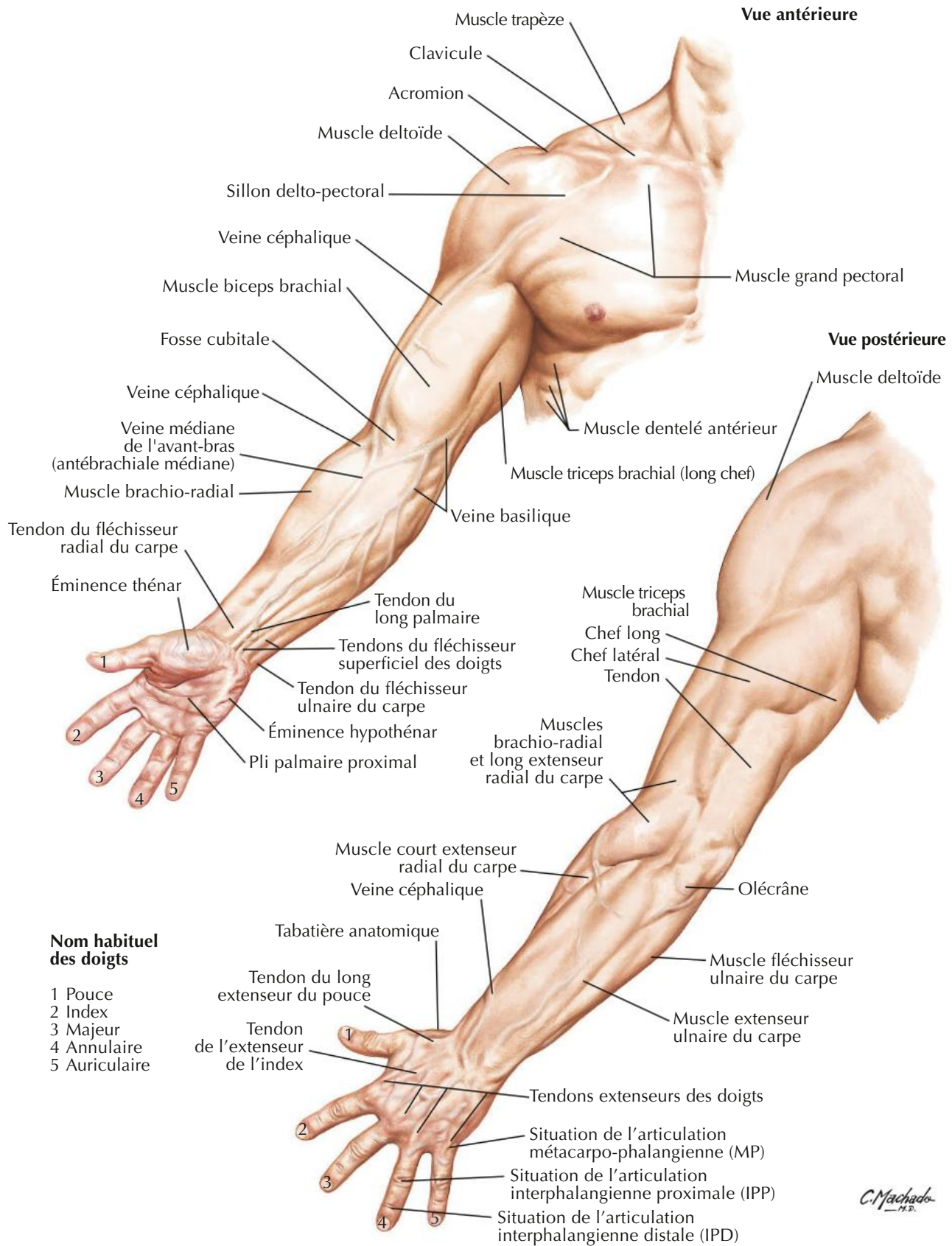
MUSCLE	GROUPE MUSCULAIRE	INSERTION PROXIMALE (ORIGINE)	INSERTION DISTALE (TERMINAISON)	INNERVATION	ACTIONS PRINCIPALES	VASCULARISATION ARTÉRIELLE
Bulbo-spongieux	Muscle du périnée	Homme : raphé médian, bulbe du pénis, corps périnéal Femme : corps périnéal	Homme : membrane périnéale, corps caverneux, bulbe du pénis Femme : dos du clitoris, fascia inférieur du diaphragme uro-génital, bulbe du vestibule, arcade pubienne	Branche profonde du nerf périnéal issu du nerf pudendal	Homme : comprime le bulbe du pénis, maintient le sang dans le corps du pénis pendant l'érection, élimine l'urine de l'urètre en fin de miction et la semence durant l'éjaculation Femme : entraîne une constriction de l'orifice vaginal, contribue à l'excrétion des sécrétions des glandes vestibulaires majeurs, maintient le sang dans le clitoris	Artère pudendale interne et sa branche pour le périnée (artère périnéale)
Coccygien	Muscle du diaphragme pelvien	Épine ischiatique, ligament sacro-épineux	Partie inférieure du sacrum, coccyx	Rameaux ventraux des derniers nerfs spinaux sacraux	Soutient les viscères pelviens, attire le coccyx vers l'avant	Artère glutéale inférieure
Compresseur de l'urètre (femme seulement)	Muscle du périnée	Branche ischio-pubienne	Partie antérieure de l'urètre	Branches périnéales du nerf pudendal	Sphincter de l'urètre	Branche périnéale de l'artère pudendale interne
Crémaster	Muscle du cordon spermatique	Extrémité inférieure du muscle oblique interne et partie moyenne du ligament inguinal	Tubercule pubien, crête pubienne (après avoir encoché le testicule)	Branche génitale du nerf génito-fémoral	Rétracte le testicule	Branche crémastérique de l'artère épigastrique inférieure
Élévateur de l'anus (ilio-coccygien, pubo-coccygien, pubo-rectal)	Muscle du diaphragme pelvien	Corps du pubis, arcade tendineuse du fascia obturateur, épine ischiatique	Corps périnéal, coccyx, raphé ano-coccygien, parois de la prostate ou du vagin, rectum, canal anal	Rameaux ventraux des derniers nerfs sacraux, nerf périnéal	Soutient les viscères pelviens, appartient au diaphragme pelvien	Artère glutéale inférieure, artère pudendale interne et ses branches (artères rectale inférieure et périnéale)
Iliaque	Muscle antérieur de la cuisse	Deux tiers supérieurs de la fosse iliaque, aile du sacrum et ligaments sacro-iliaques antérieurs	Petit trochanter du fémur et diaphyse sous-jacente, tendon du muscle grand psoas	Nerf fémoral	Fléchisseur (et rotateur latéral) de la cuisse au niveau de la hanche, stabilisateur de la hanche, agit avec le grand psoas	Branches iliaques de l'artère ilio-lombale
Ischio-caverneux	Muscle du périnée	Partie inférieure de la face interne de la branche ischio-pubienne, tubérosité ischiatique	Pilier du pénis ou du clitoris	Branche profonde du nerf périnéal issu du nerf pudendal	Maintient le sang dans le corps du pénis et du clitoris pendant l'érection	Artère pudendale interne et sa branche (artère périnéale)
Obturateur interne	Muscle de la région glutéale	Face pelvienne de la membrane obturatrice, os coxaux	Grand trochanter du fémur	Nerf de l'obturateur interne	Rotateur latéral de la cuisse étendue, abducteur de la cuisse fléchie au niveau de la hanche	Artères pudendale interne et obturatrice
Piriforme	Muscle de la région glutéale	Face antérieure des segments vertébraux sacraux 2-4, ligament sacro-tubéreux	Bord supérieur du grand trochanter du fémur	Rameaux ventraux des nerfs spinaux L5, S1, S2	Rotateur latéral de la cuisse étendue, abducteur de la cuisse fléchie	Artère glutéale supérieure, artère glutéale inférieure, artère pudendale interne
Sphincter de l'urètre	Muscle du périnée	Fibres externes issues de la jonction entre la branche inférieure du pubis et la branche de l'ischium ; fibres internes entourant médialement l'urètre membraneux	Homme : raphé médian en avant et en arrière de l'urètre Femme : entoure l'urètre, s'attache sur les côtés du vagin	Branches périnéales du nerf pudendal	Comprime l'urètre à la fin de la miction ; chez la femme, comprime également la partie distale du vagin	Branche périnéale de l'artère pudendale interne
Sphincter externe de l'anus	Muscle du périnée	Sommet du coccyx, ligament ano-coccygien	Les fibres les plus profondes entourent le canal anal, s'attachent en arrière au coccyx en avant au centre tendineux du périnée (corps périnéal)	Branches périnéale et rectale inférieure du nerf pudendal	Ferme l'orifice anal	Artère rectale inférieure et transverse du périnée

Des variations dans les contributions des nerfs spinaux dans l'innervation des muscles, dans la vascularisation artérielle des muscles, dans leurs insertions et leurs actions sont des événements fréquents dans l'anatomie humaine. Ainsi, il peut exister des différences entre les textes de différents ouvrages : considérez que les variations anatomiques sont normales.

MUSCLE	GROUPE MUSCULAIRE	INSERTION PROXIMALE (ORIGINE)	INSERTION DISTALE (TERMINAISON)	INNERVATION	ACTIONS PRINCIPALES	VASCULARISATION ARTÉRIELLE
Sphincter uréthro-vaginal (chez la femme seulement)	Muscle du périnée	Corps périnéal	Se dirige vers l'avant, contourne le vagin et entoure l'urètre	Branches périnéales du nerf pudendal	Sphincter de l'urètre et du vagin	Branche périnéale de l'artère pudendale interne
Transverse profond du périnée	Muscle du périnée	Face interne de la branche inférieure de l'ischium	Homme : raphé tendineux médial et corps périnéal Femme : paroi latérale du vagin	Branches périnéales du nerf pudendal	Stabilise le corps périnéal, soutient la prostate/le vagin	Branche périnéale de l'artère pudendale interne
Transverse superficiel du périnée	Muscle du périnée	Branche de l'ischium et tubérosité ischiatique	Centre tendineux du périnée (corps périnéal)	Branches périnéales du nerf pudendal	Stabilise le centre tendineux du périnée	Branche périnéale de l'artère pudendale interne

MEMBRE SUPÉRIEUR 7

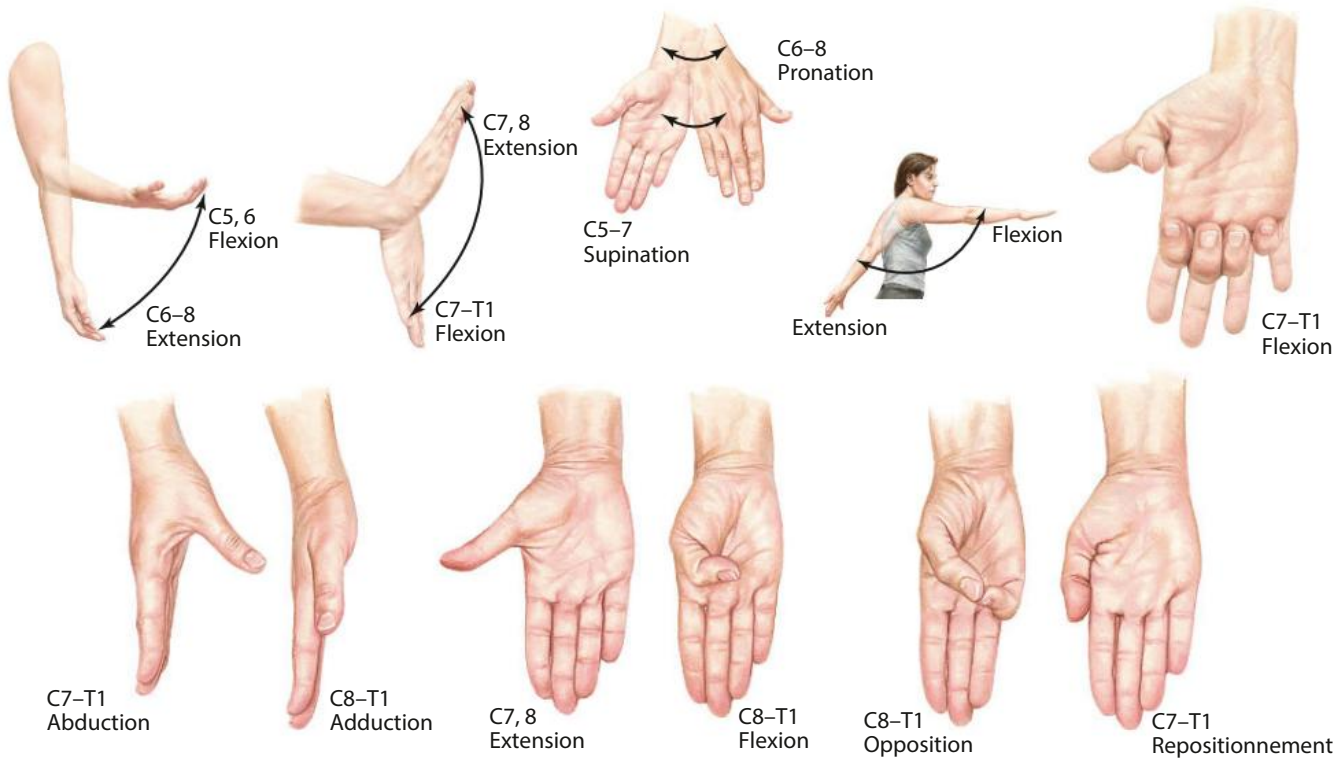
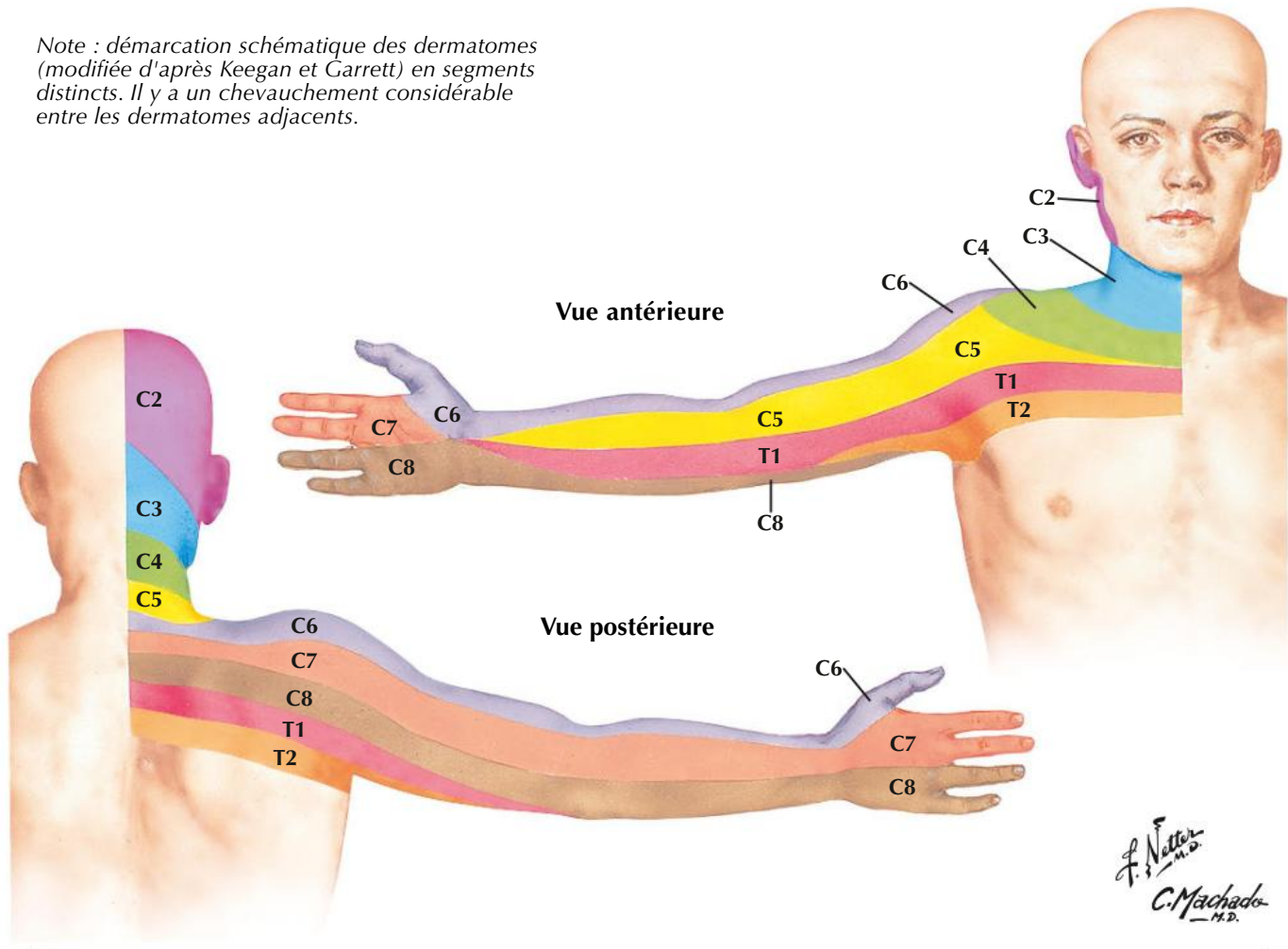
Anatomie de surface	402	Innervation et vascularisation	462-469
Anatomie cutanée	403-407	Imagerie de l'épaule	470
Épaule et aisselle	408-420	Structures de grande*	
Bras	421-425	importance clinique	Tableaux 7.1-7.2
Coude et avant-bras	426-441	Muscles	Tableaux 7.3-7.6
Poignet et main	442-461		

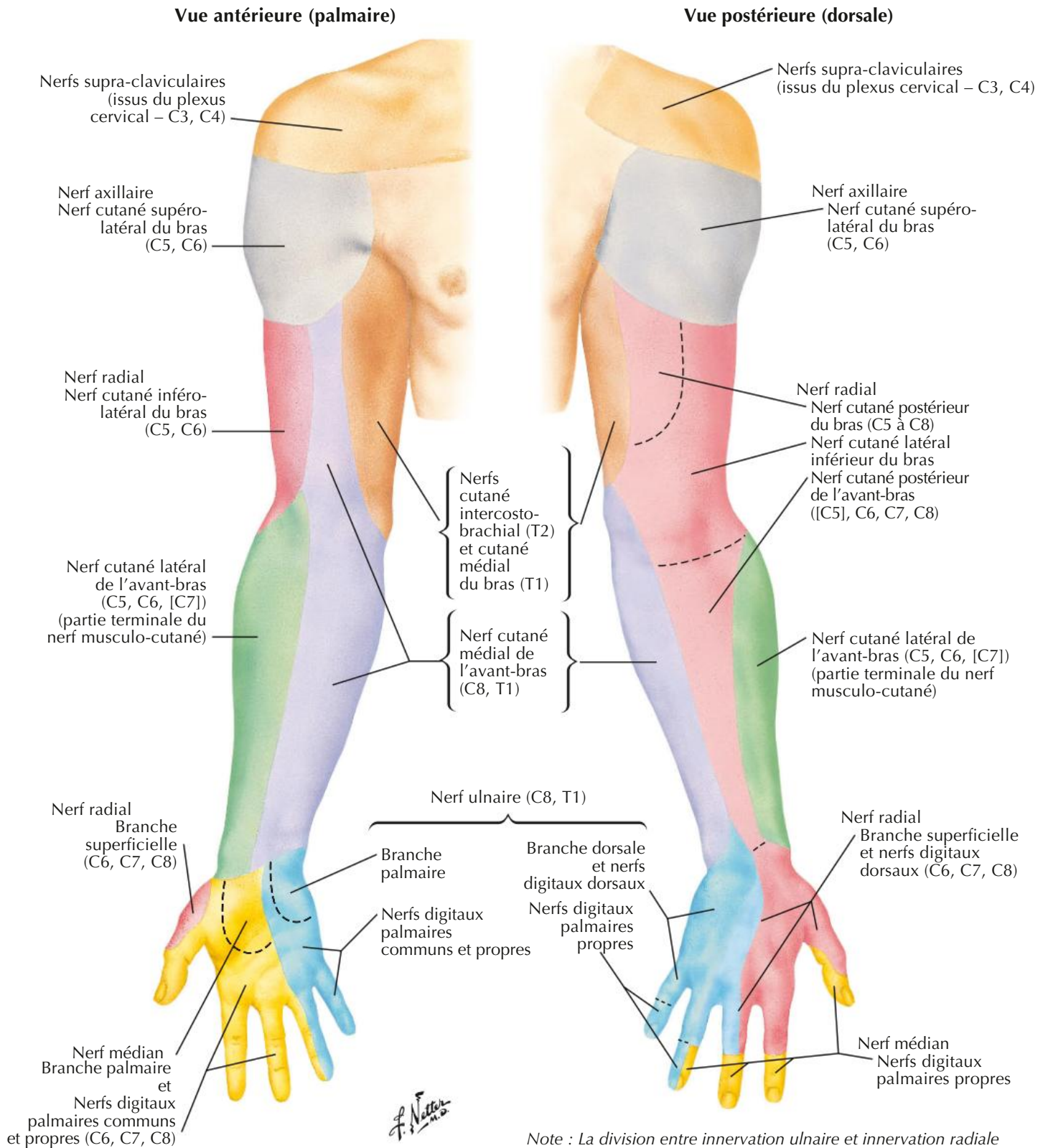


Dermatomes du membre supérieur et fonction nerveuse segmentaire

Voir aussi Planche 171

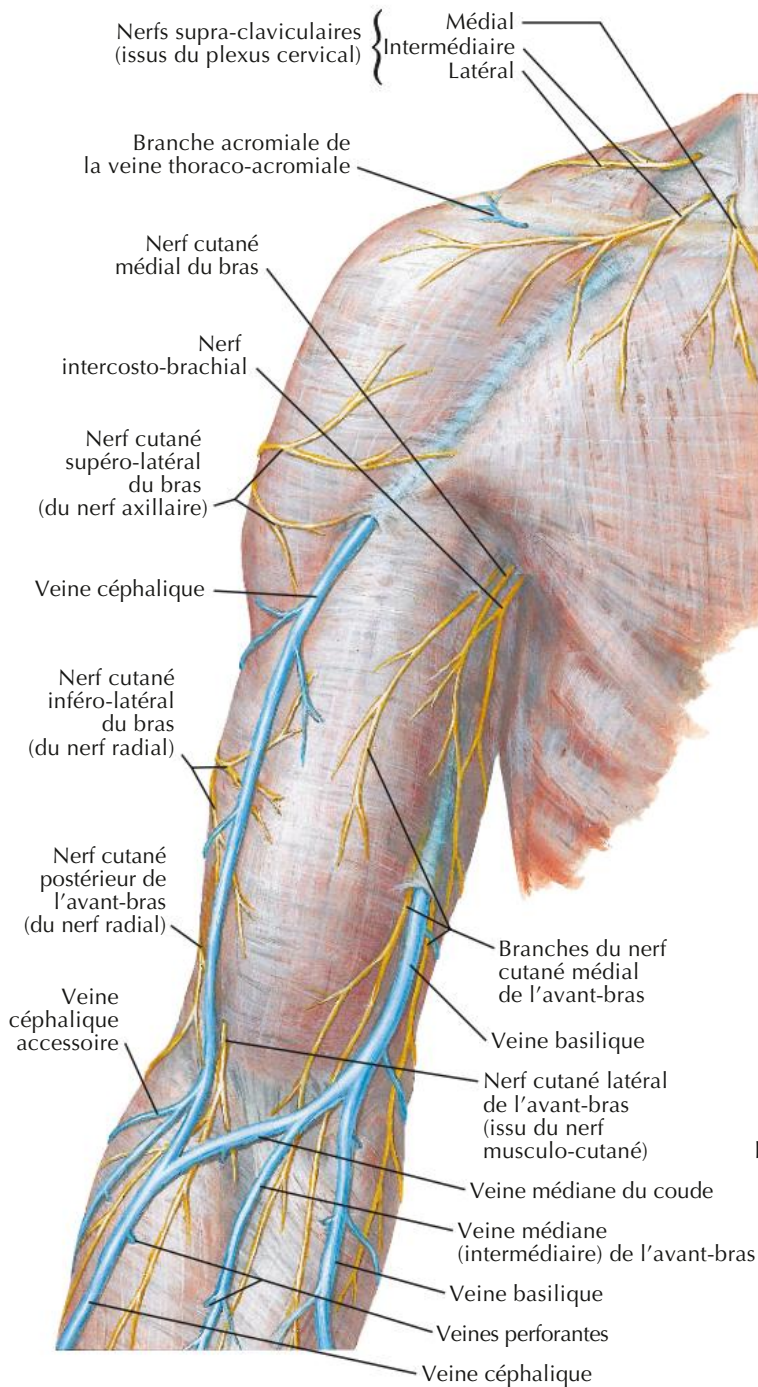
Note : démarcation schématique des dermatomes (modifiée d'après Keegan et Garrett) en segments distincts. Il y a un chevauchement considérable entre les dermatomes adjacents.



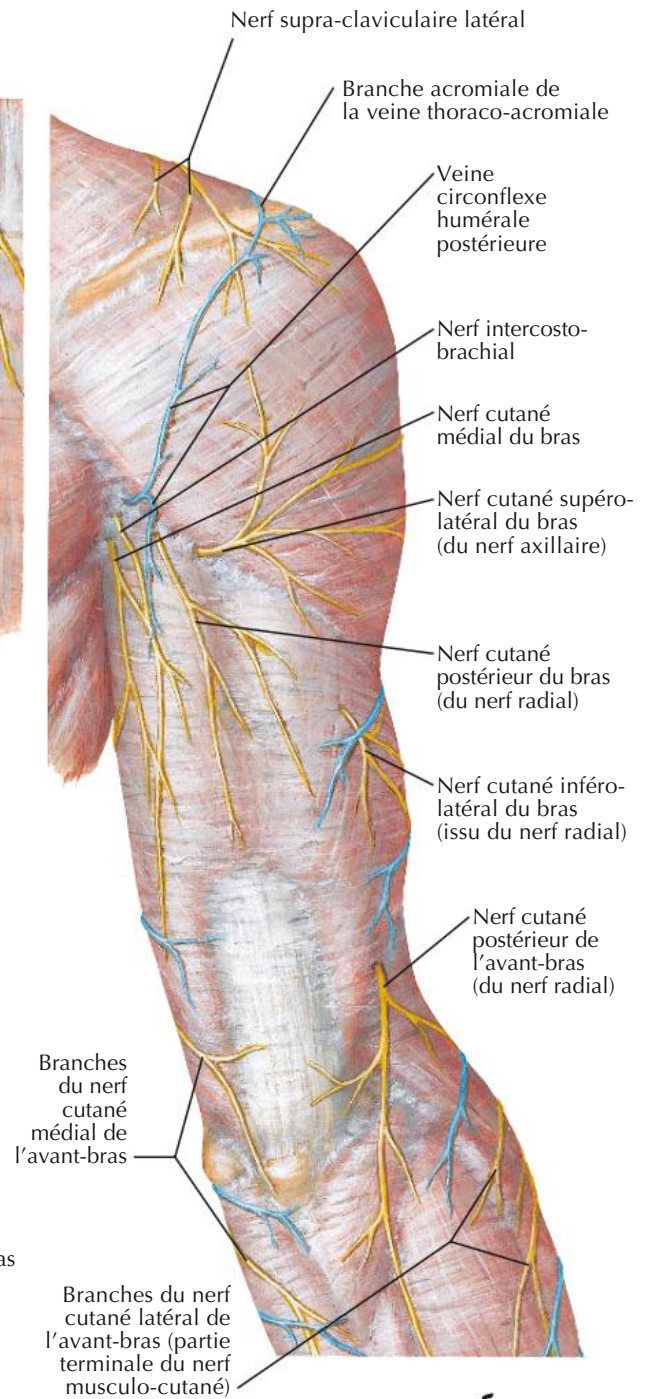


Note : La division entre innervation ulnaire et innervation radiale sur le dos de la main est variable ; elle s'aligne le plus souvent sur le milieu du doigt IV plutôt que sur le doigt III

Vue antérieure

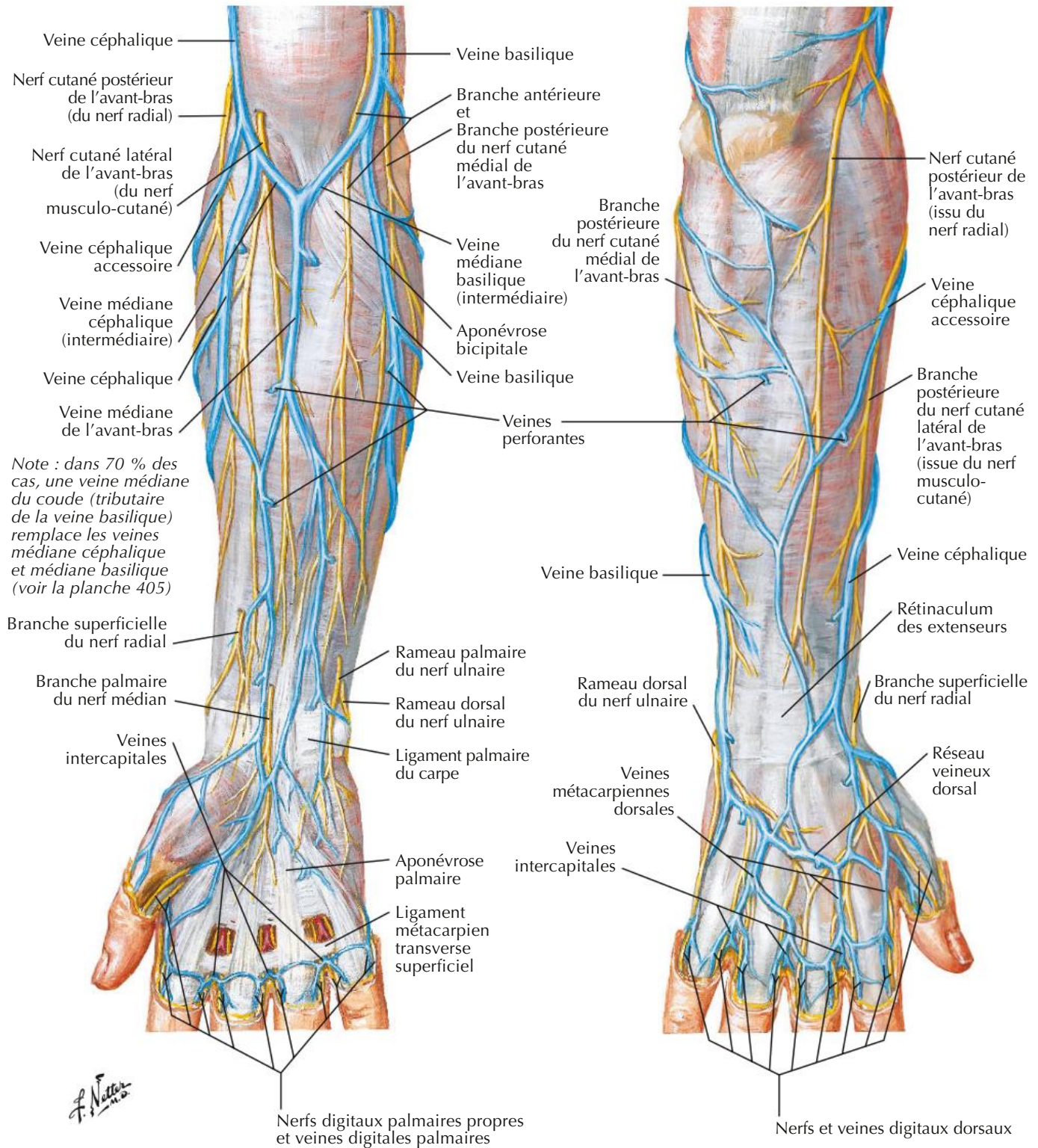


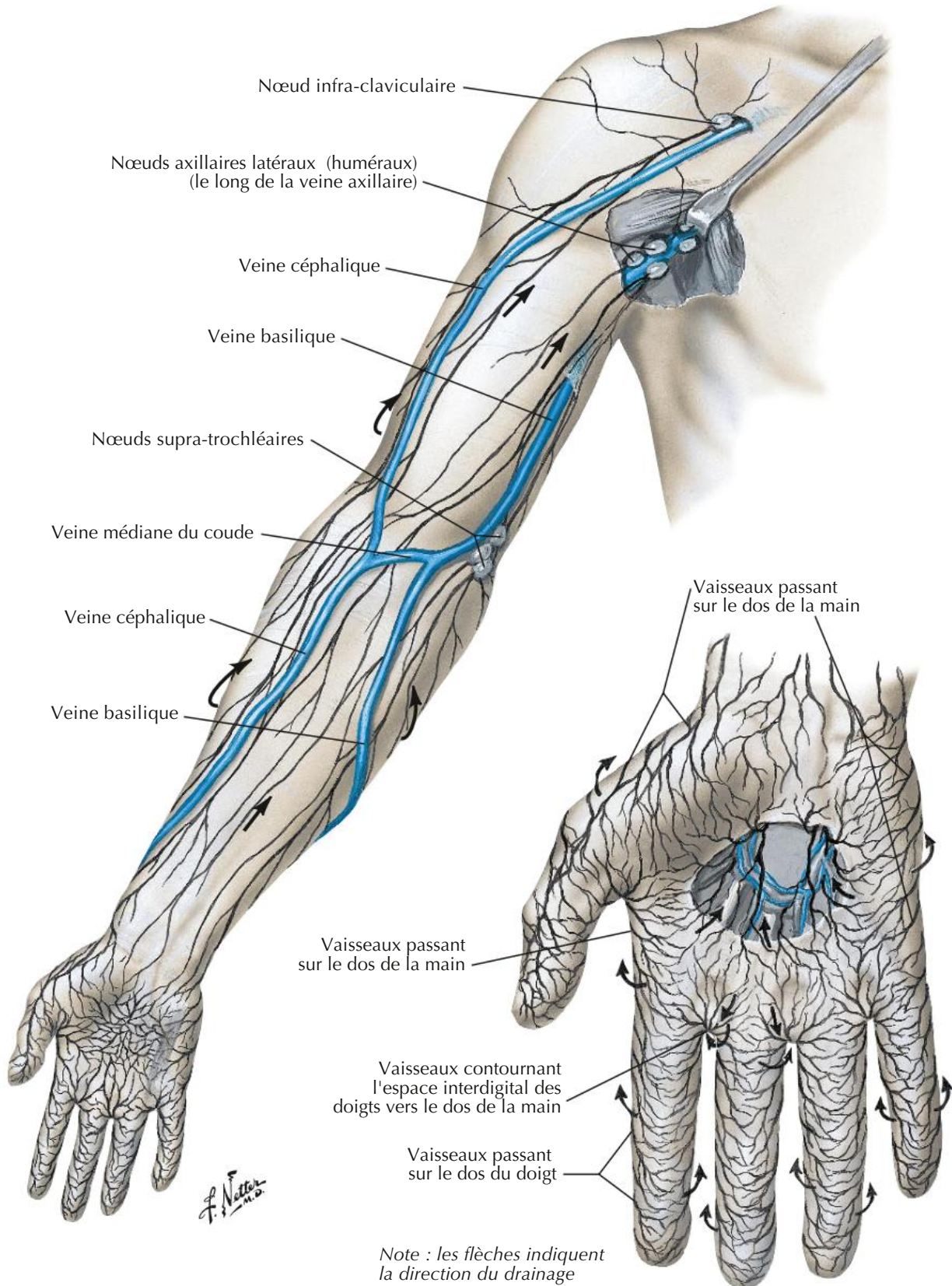
Vue postérieure



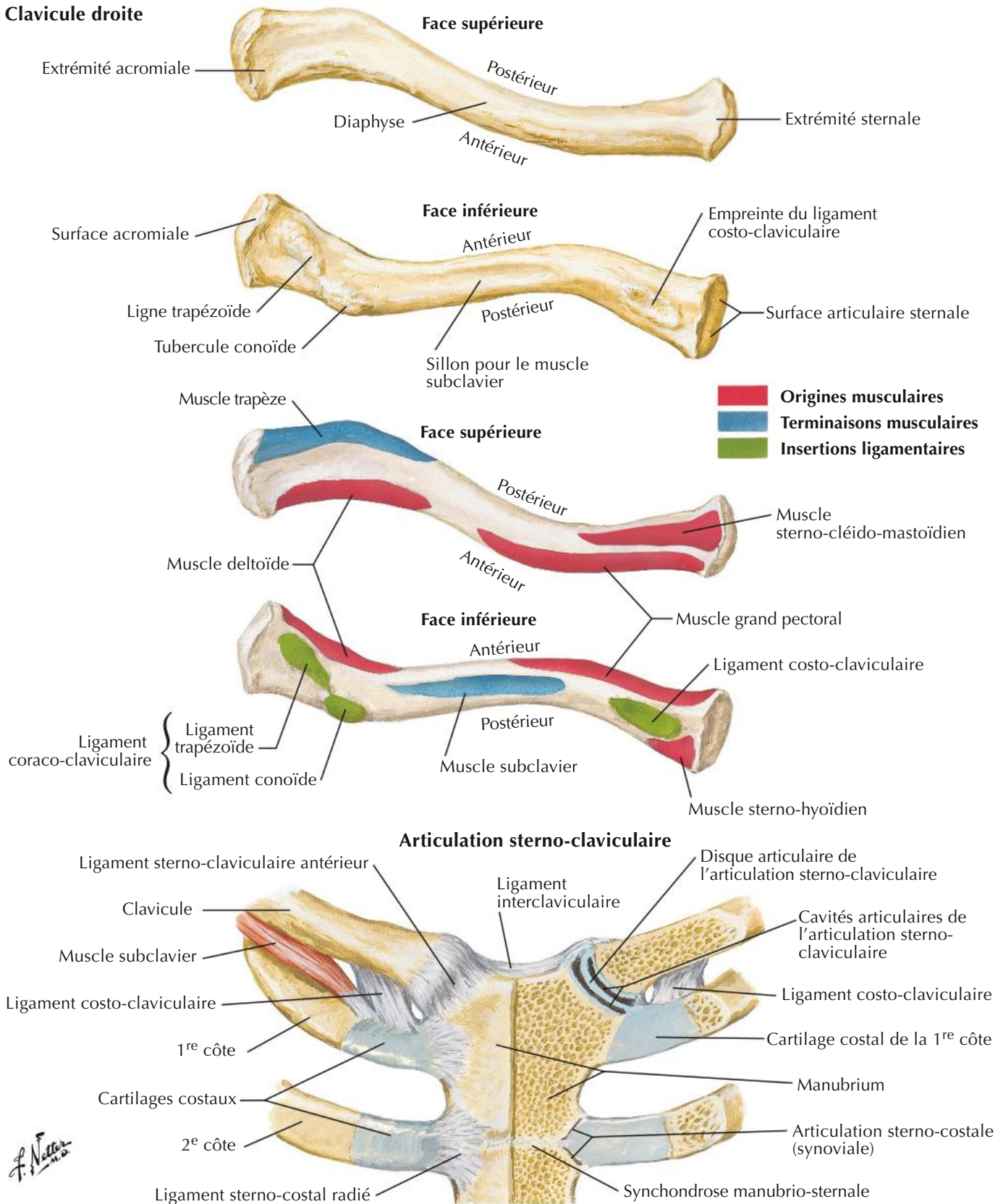
Vue antérieure (palmaire)

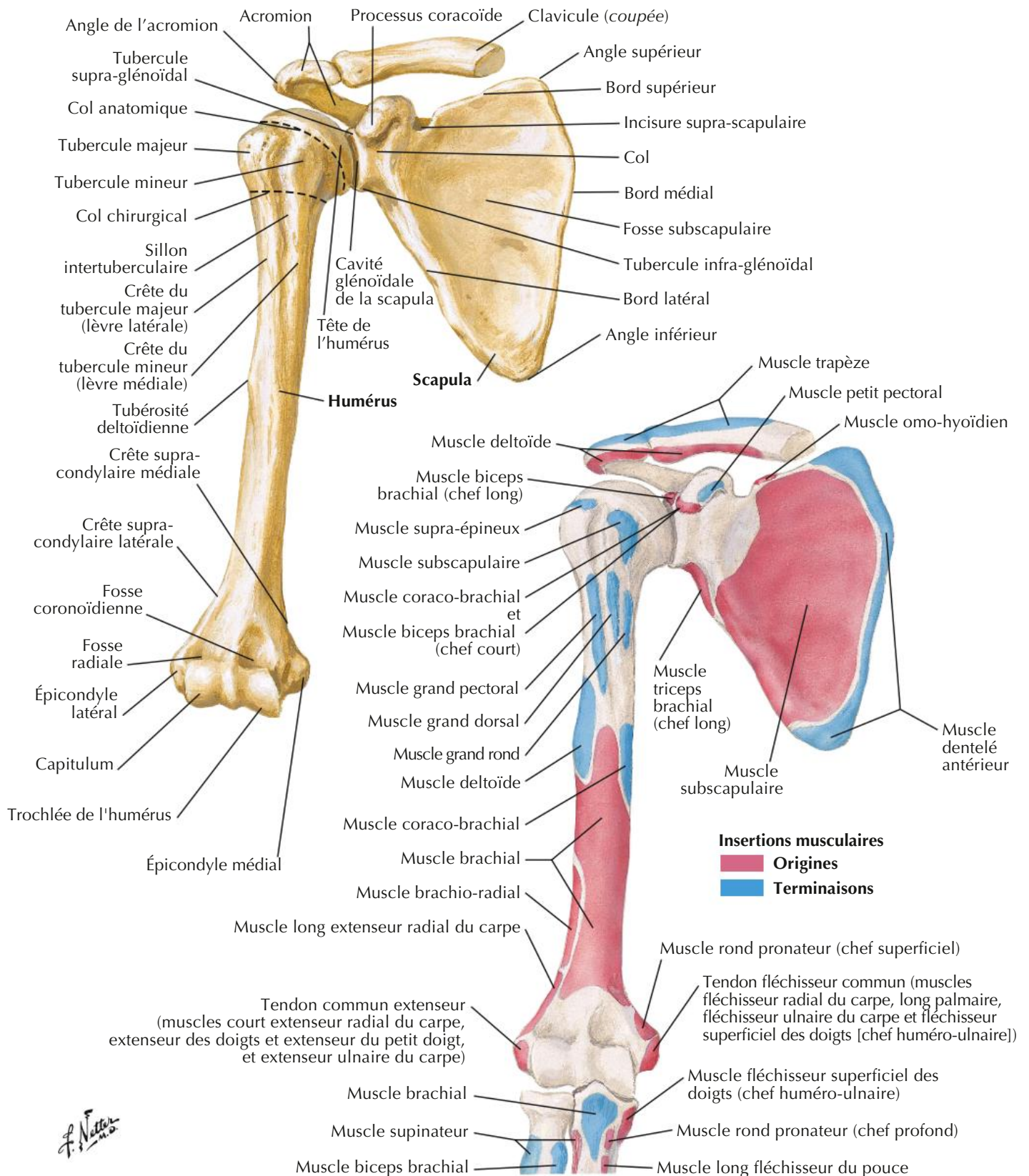
Vue postérieure (dorsale)

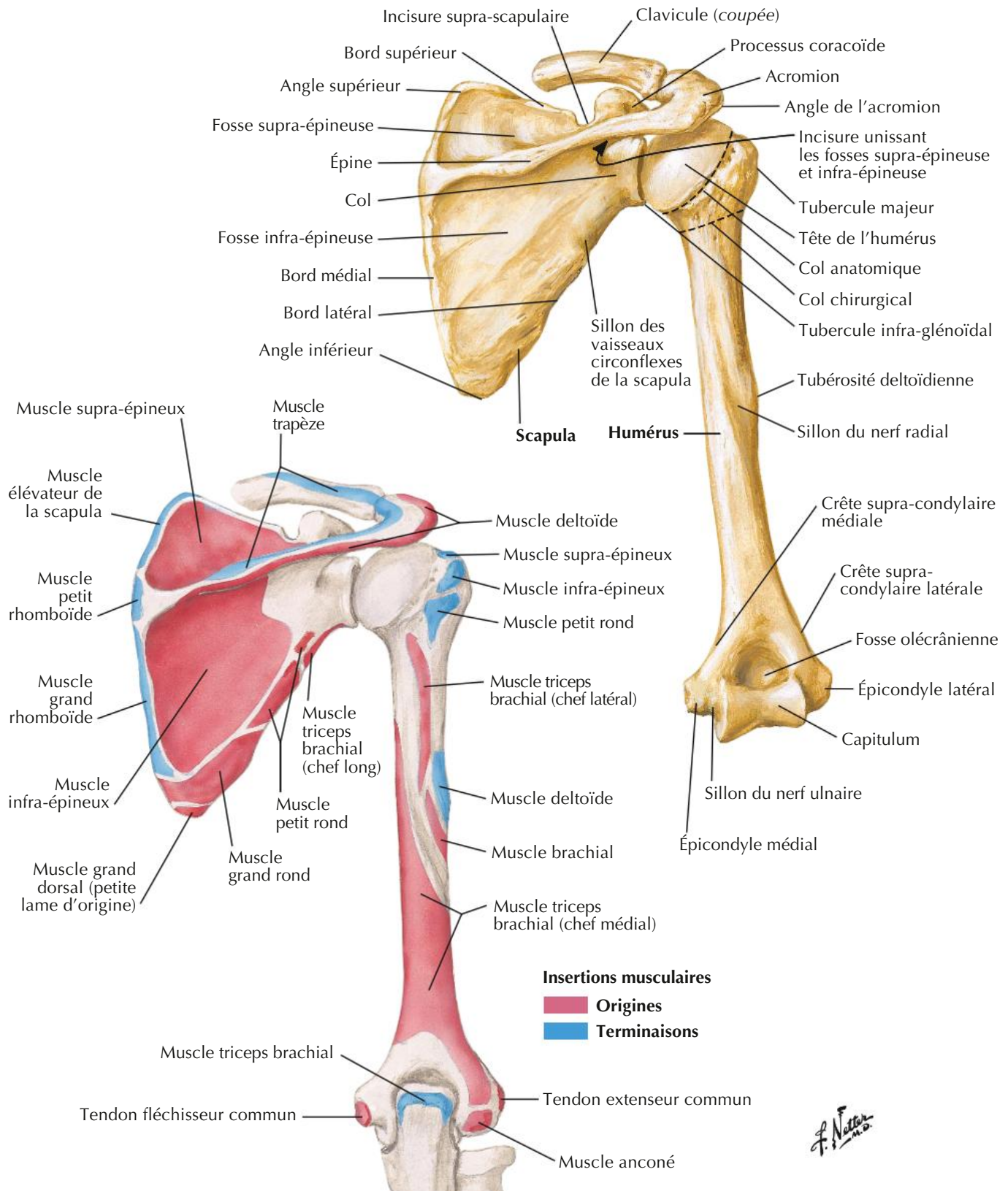




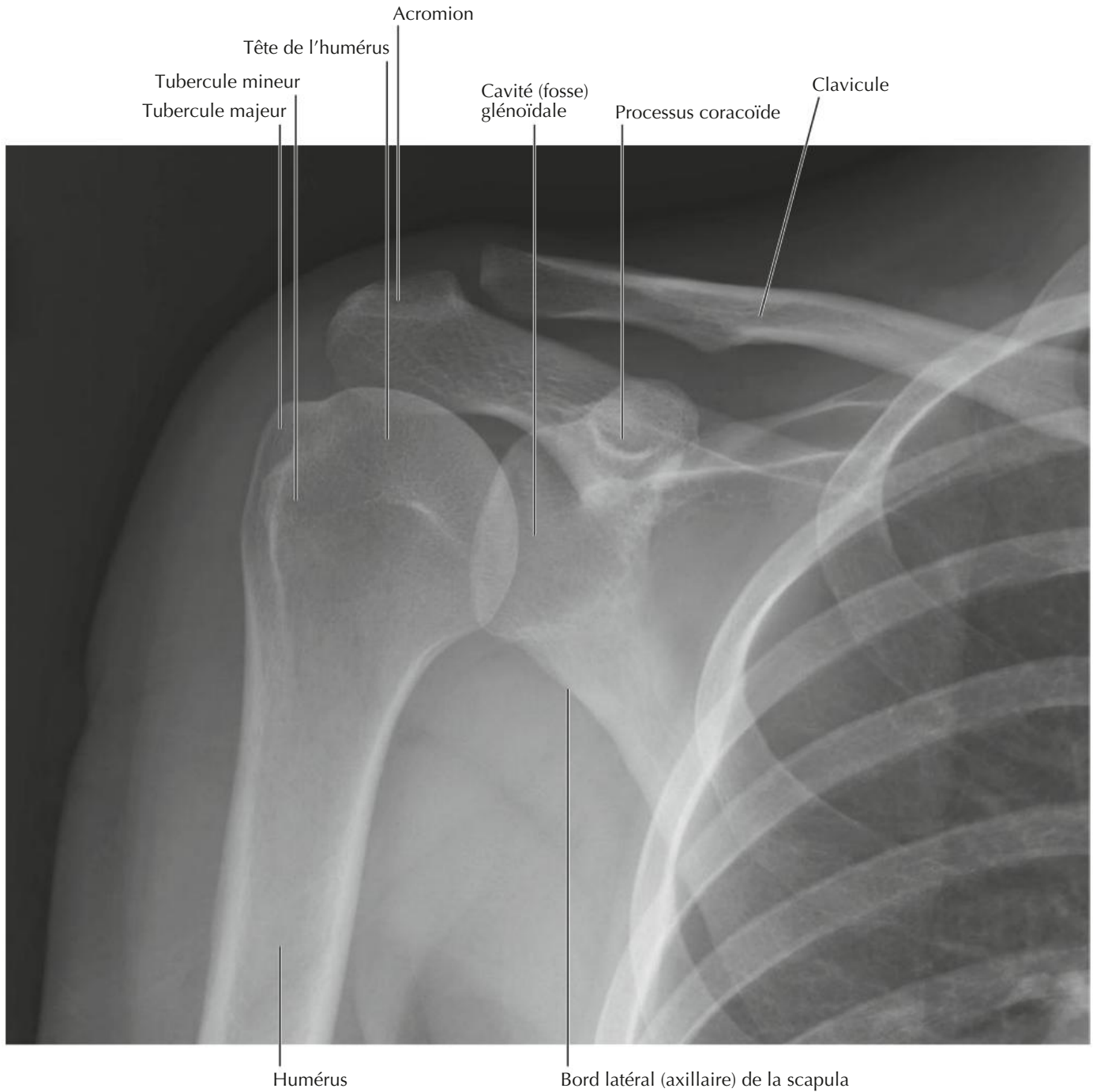
Clavicule droite



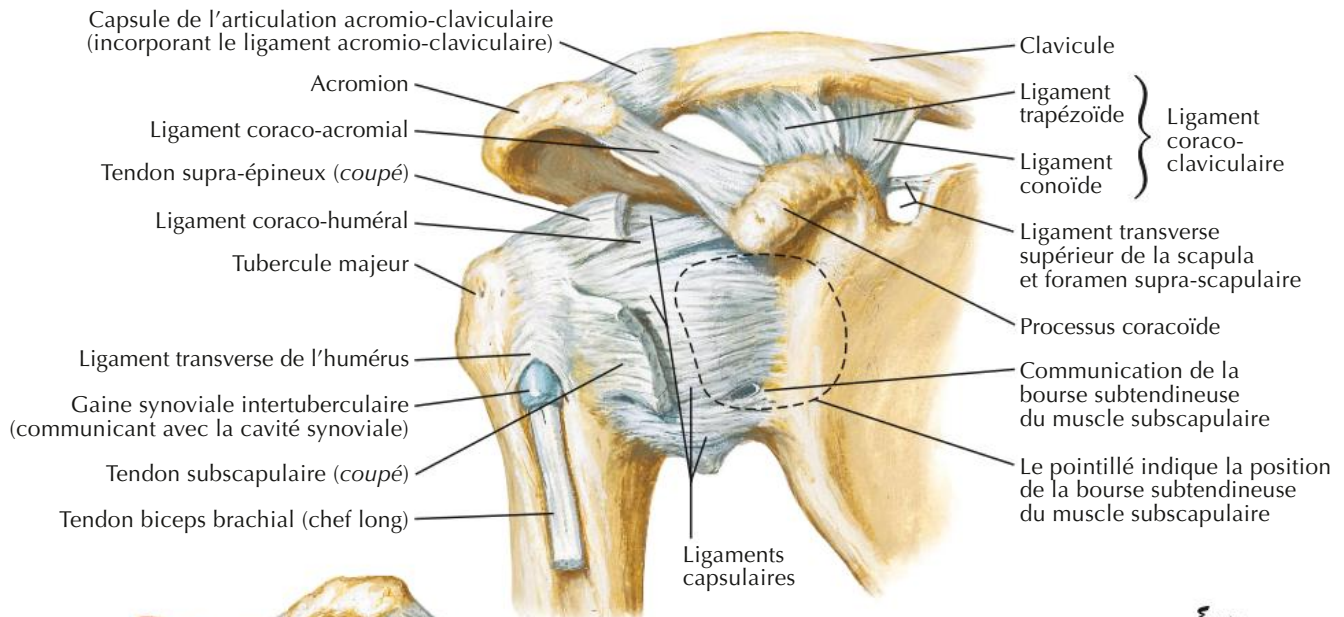




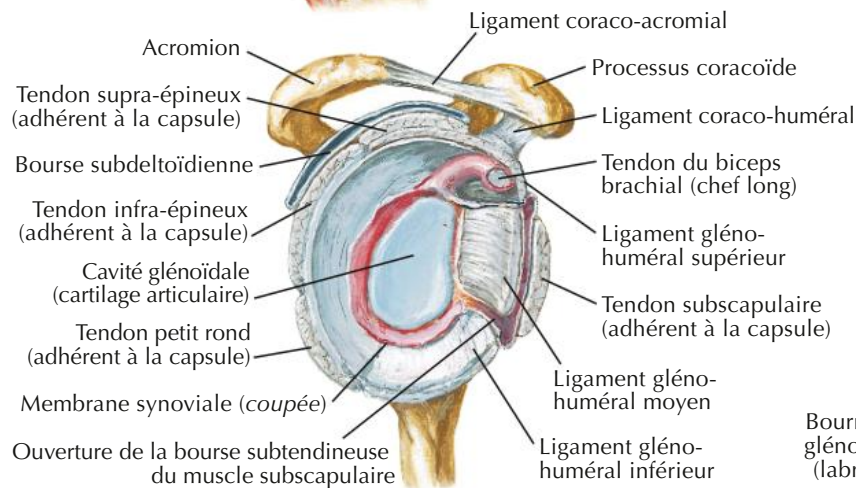
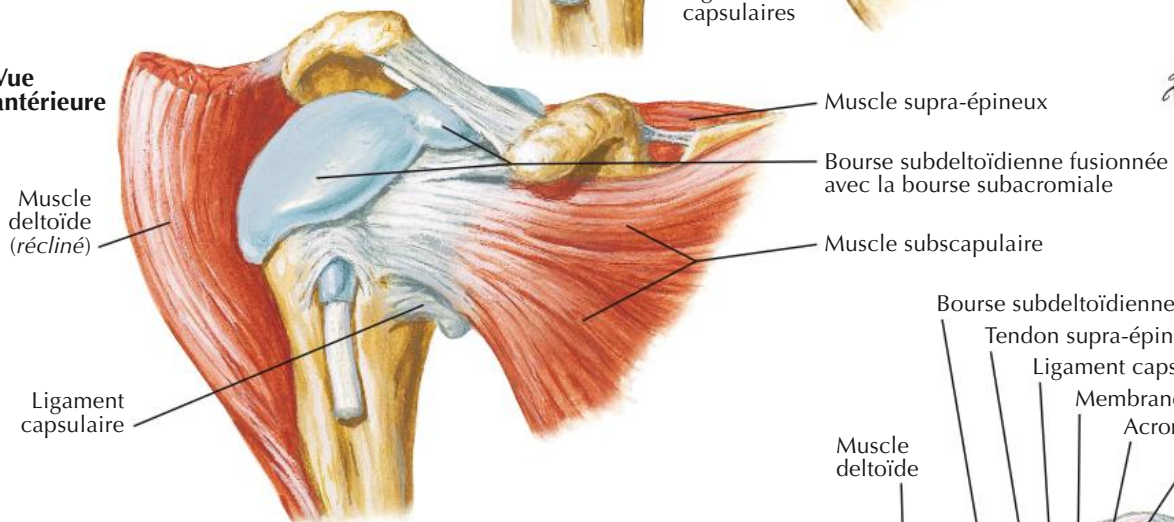
Radiographie antéro-postérieure de l'épaule



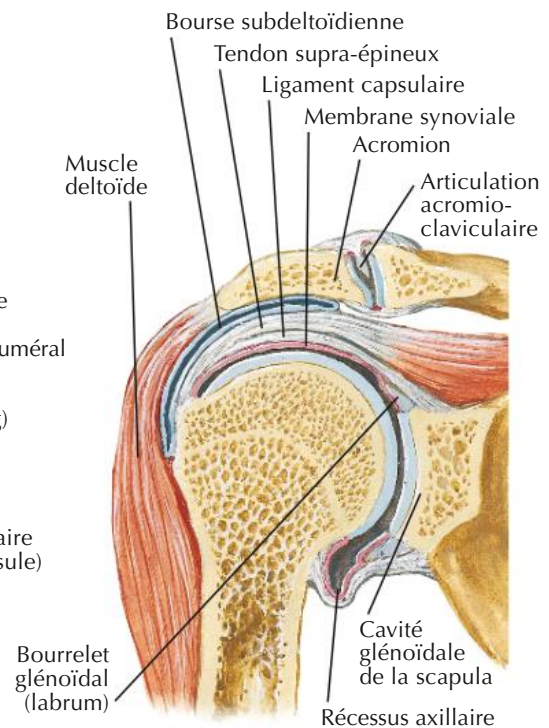
Vue antérieure



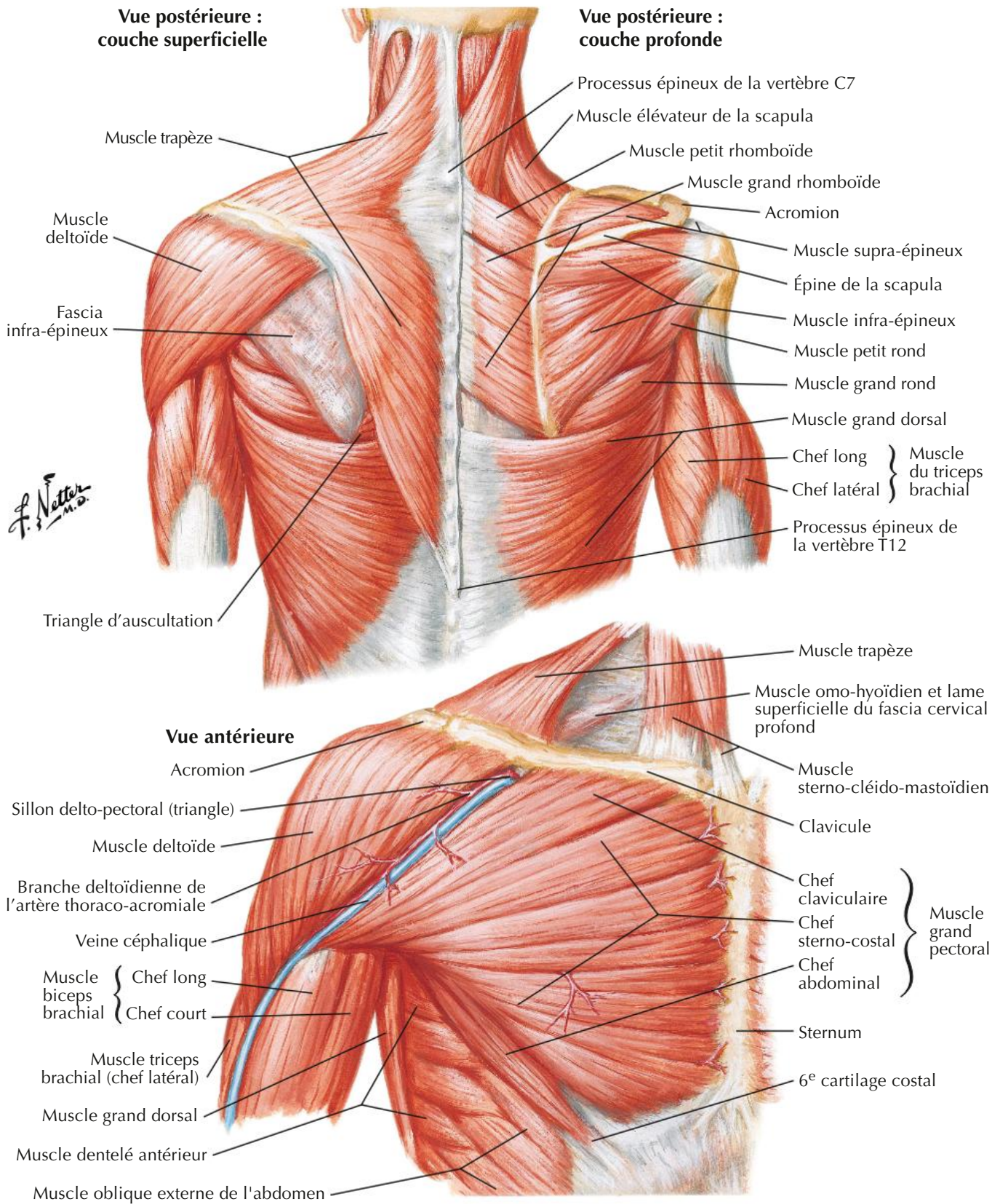
Vue antérieure

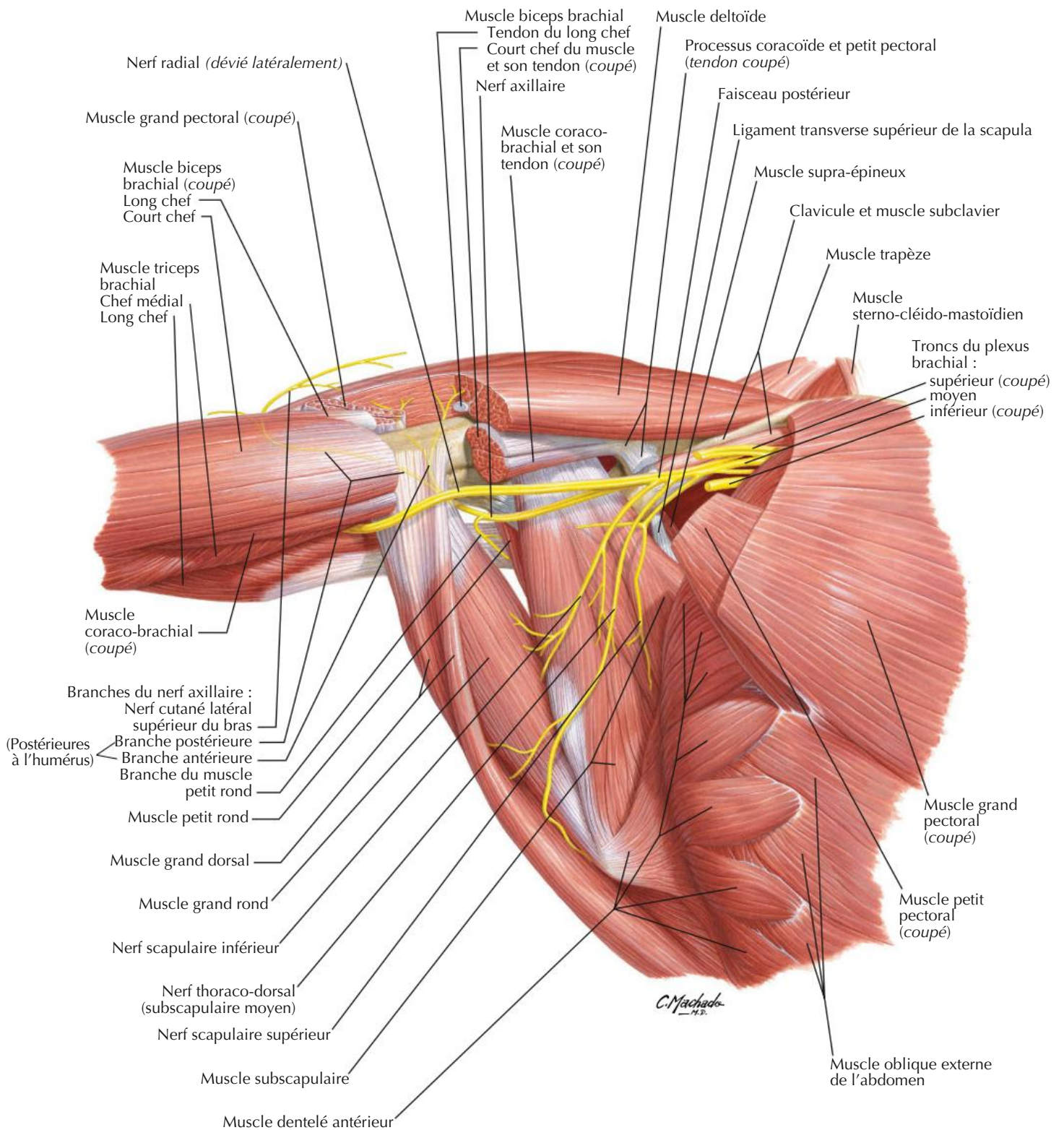


Articulation ouverte : vue latérale



Coupe coronale à travers la ceinture scapulaire

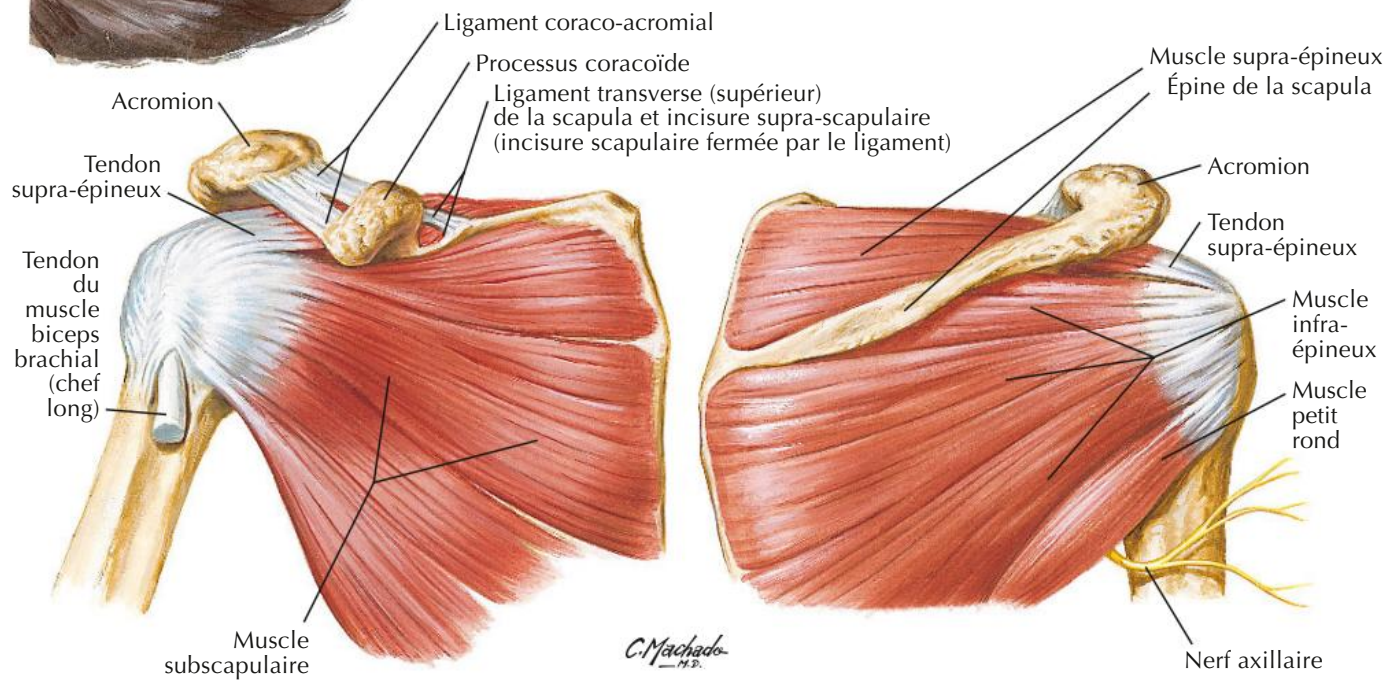
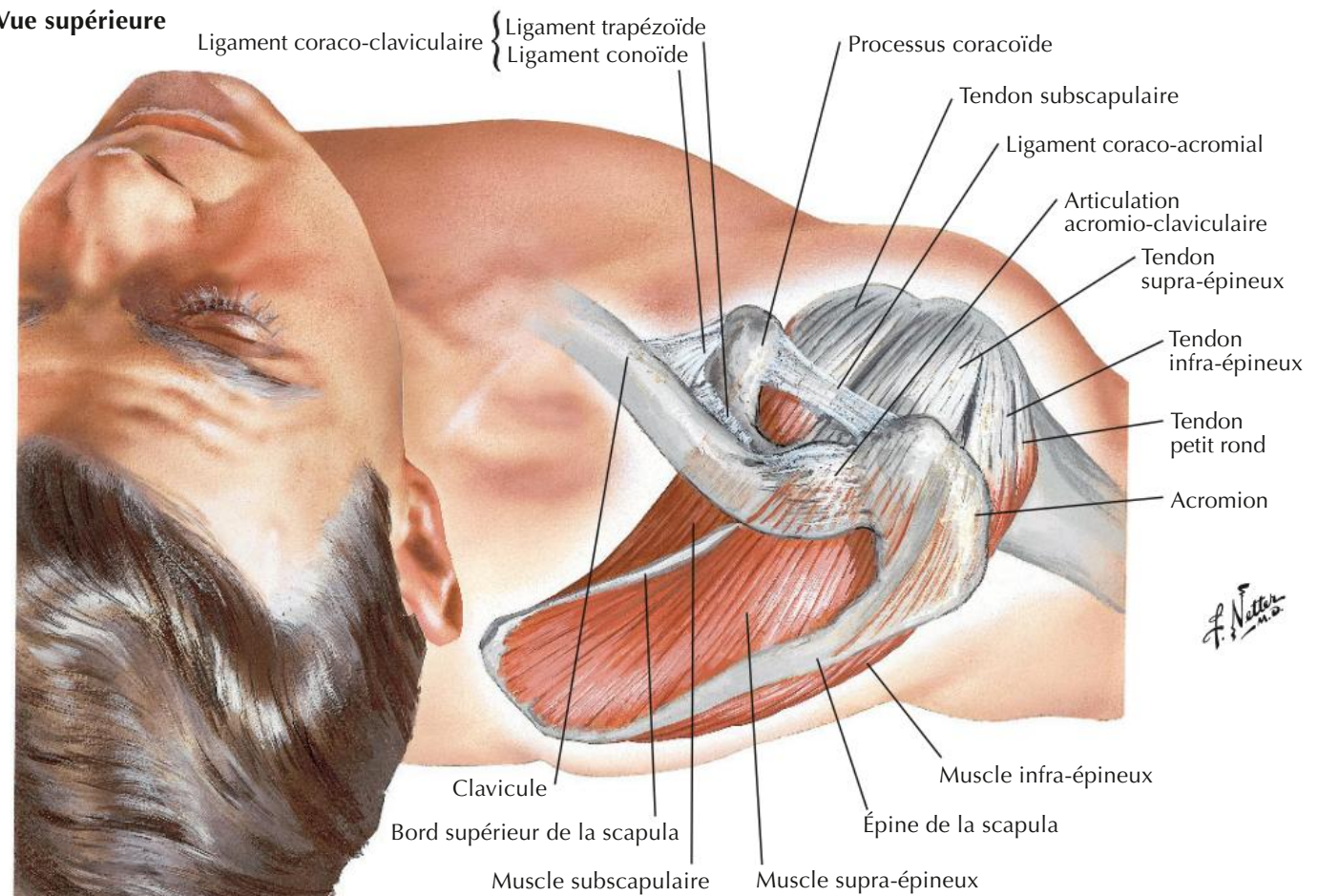




Muscles de la coiffe des rotateurs (compresseurs)

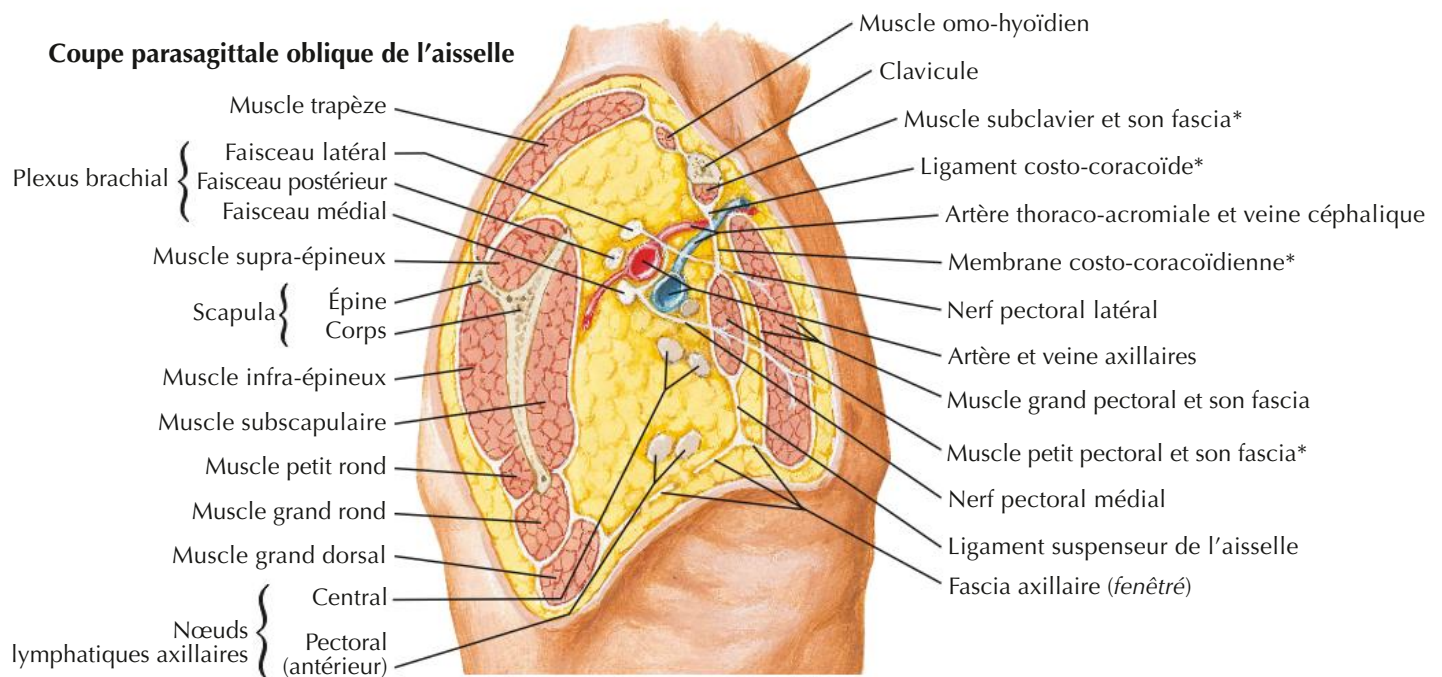
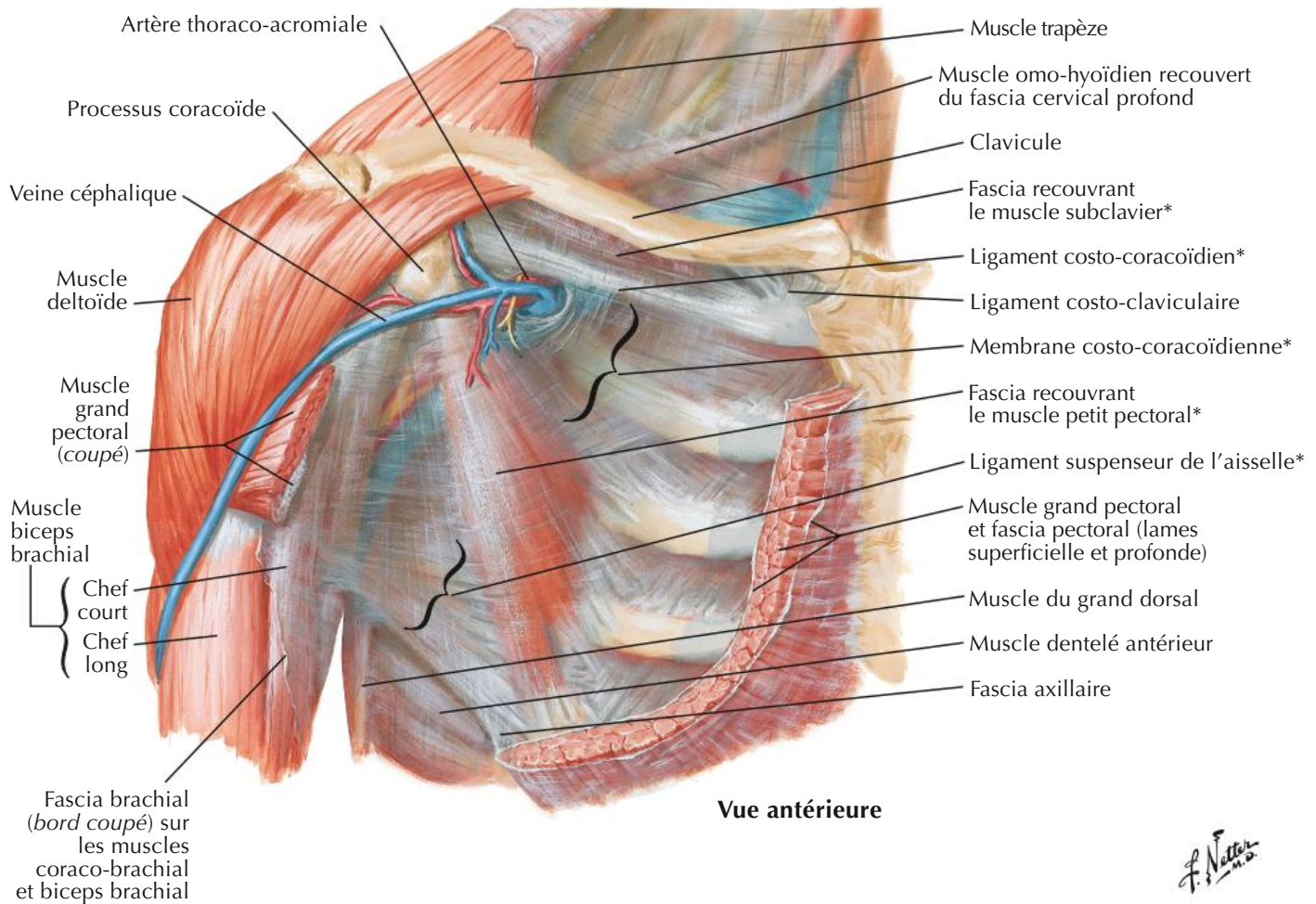
Voir aussi Planches 412, 421, 422

Vue supérieure



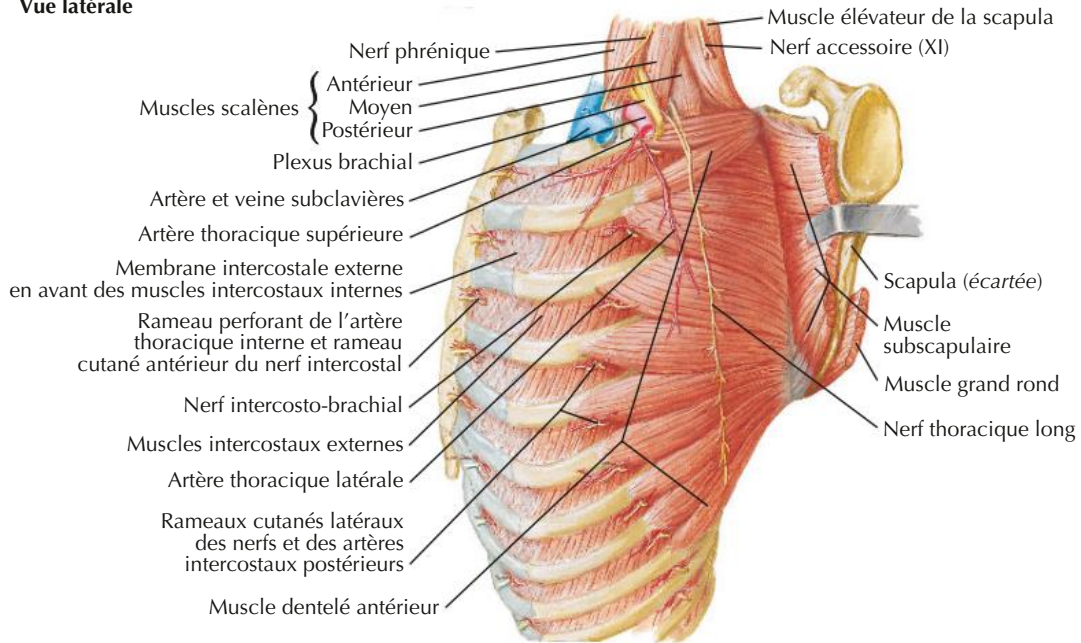
Vue antérieure

Vue postérieure

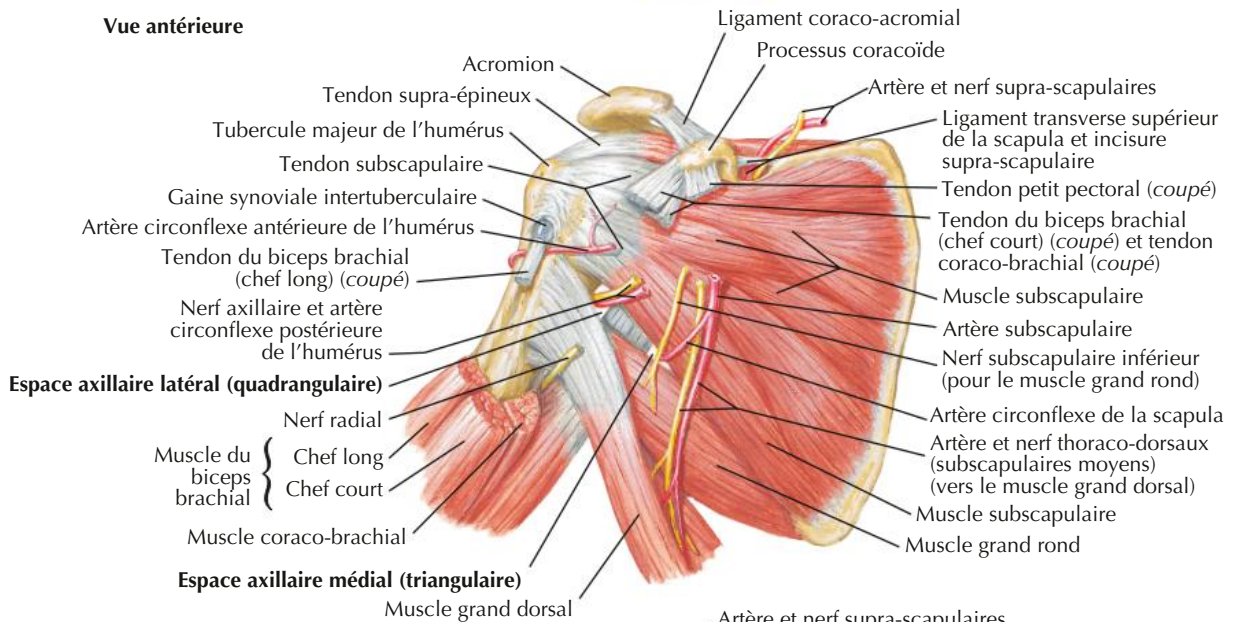


* Parties du fascia clavi-pectoral

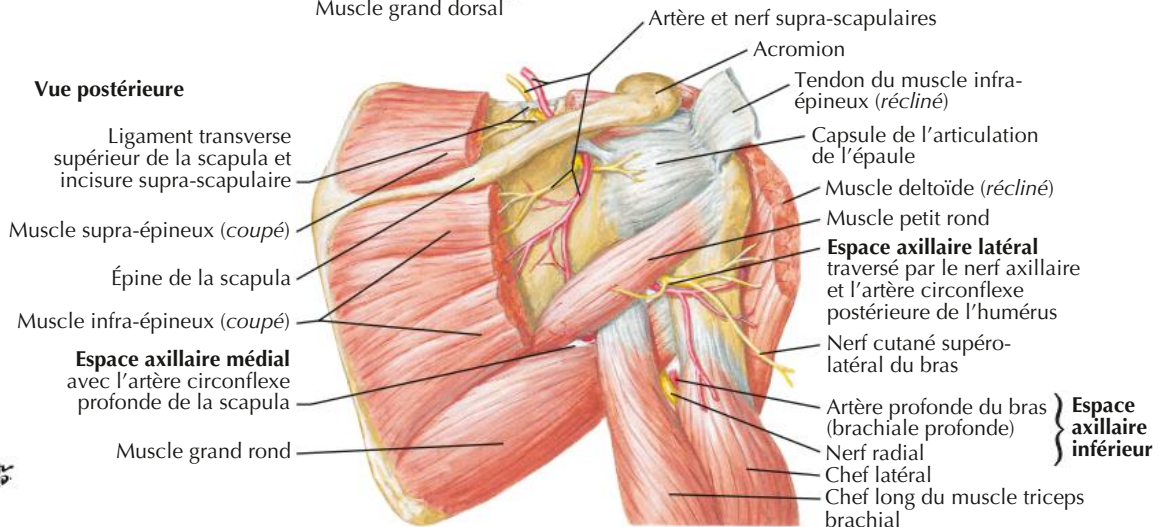
Vue latérale

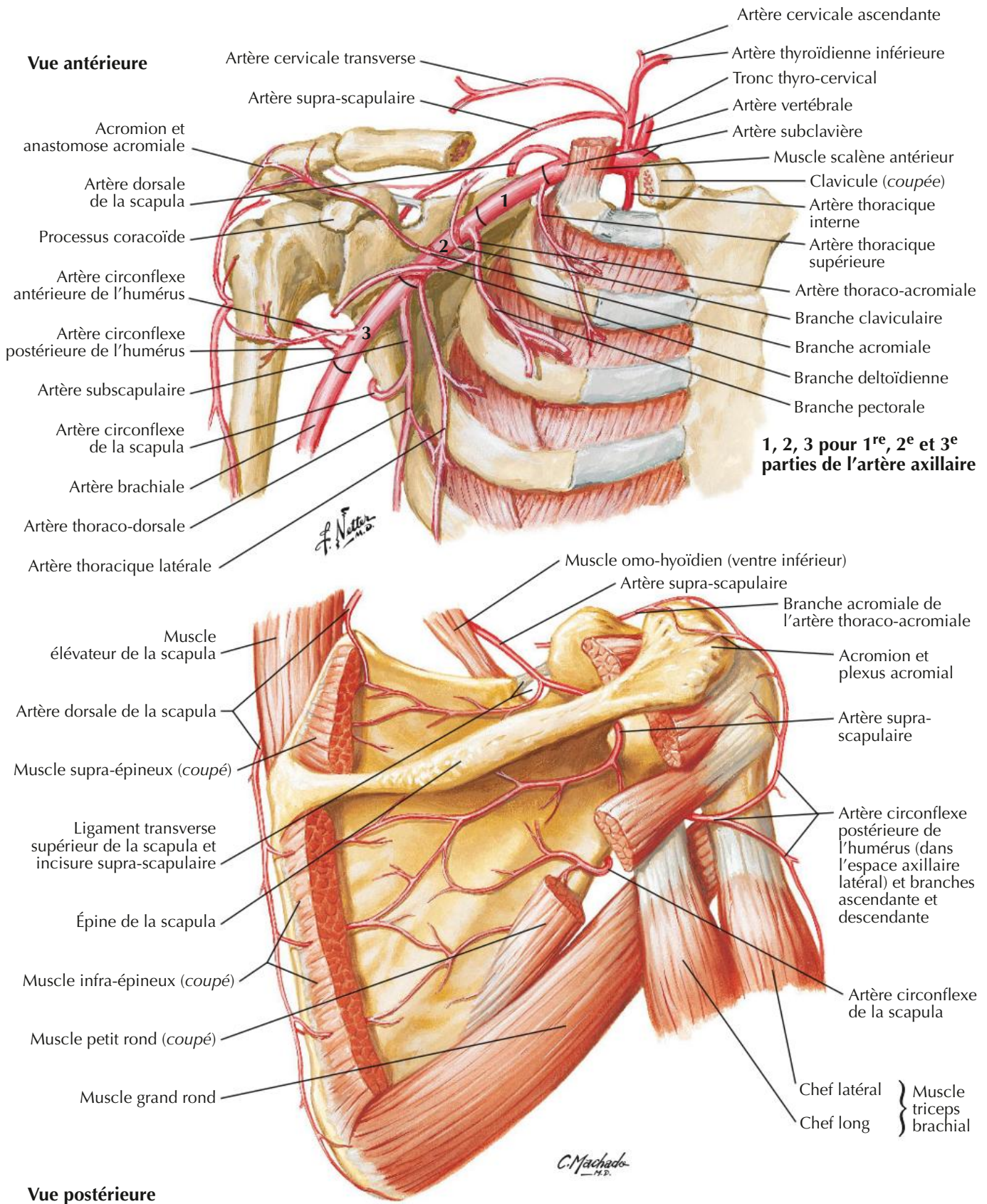


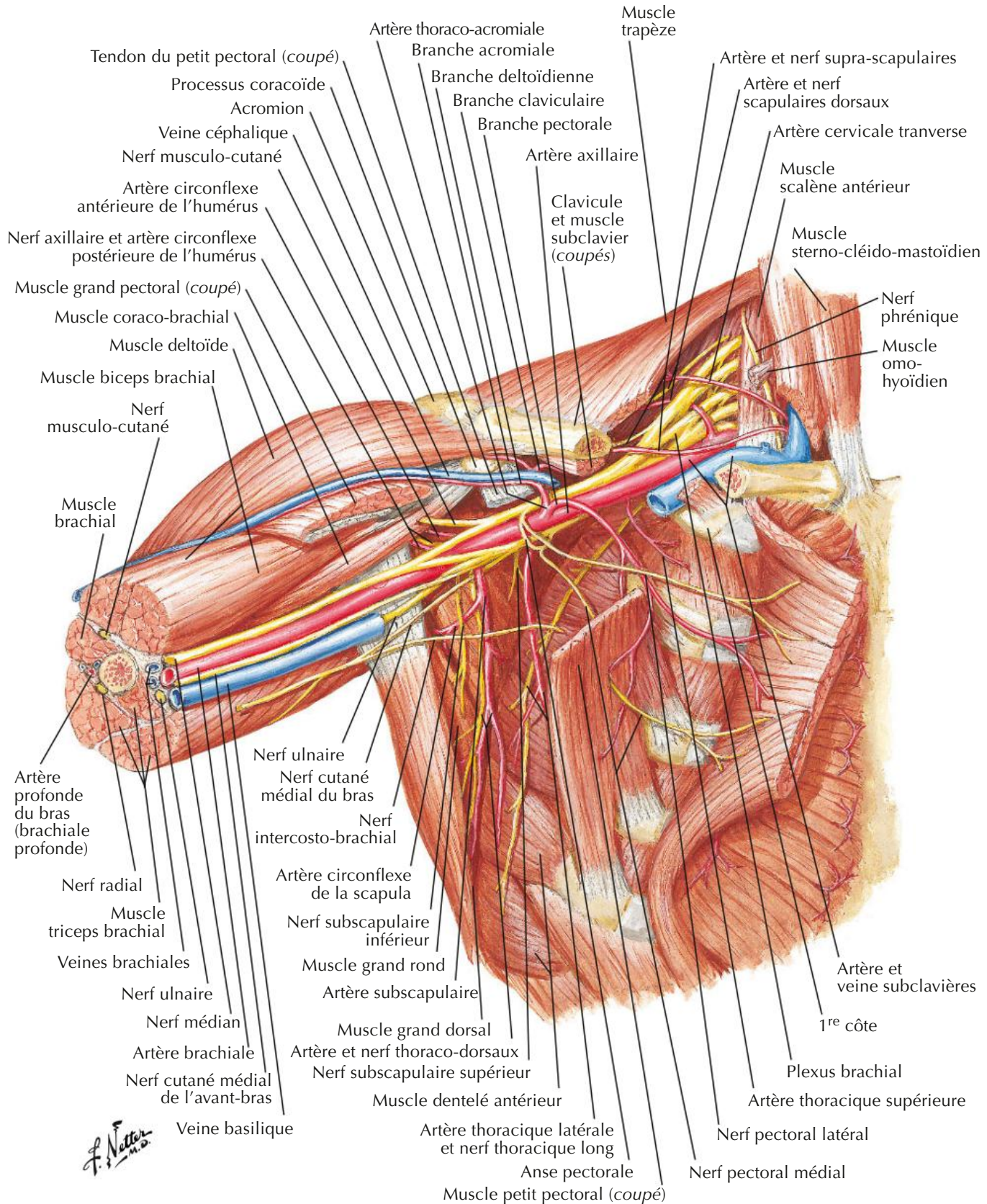
Vue antérieure



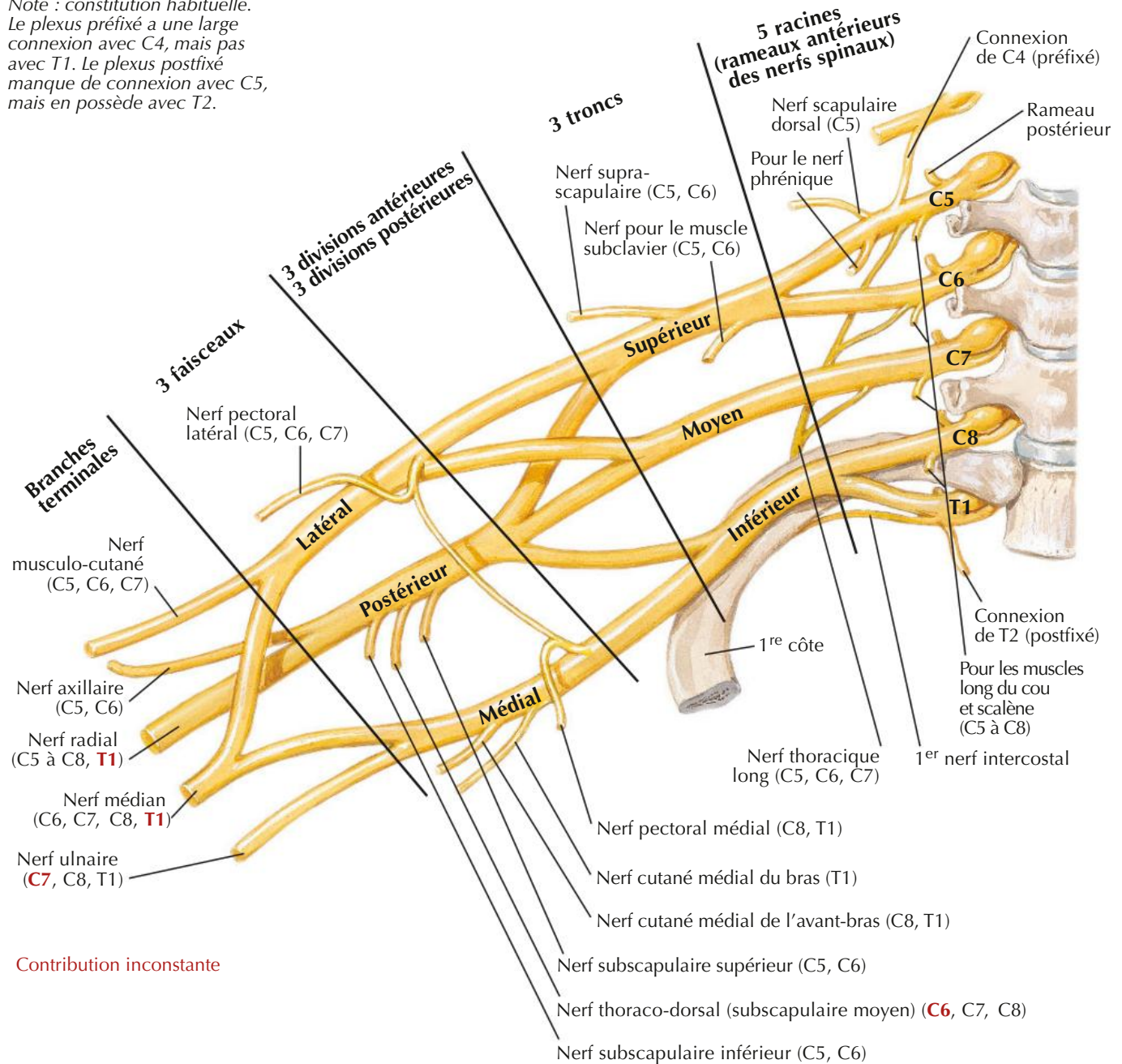
Vue postérieure



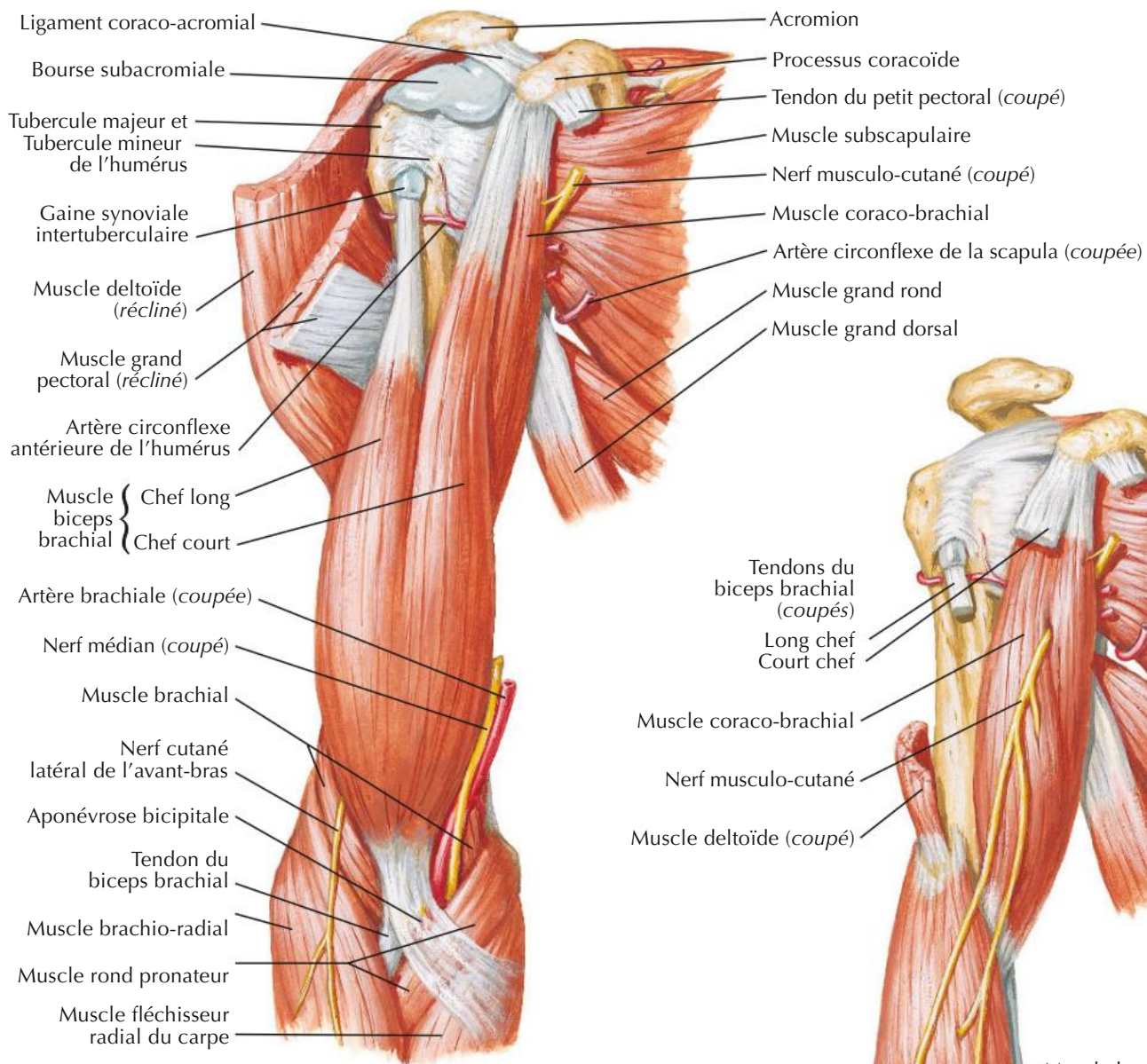




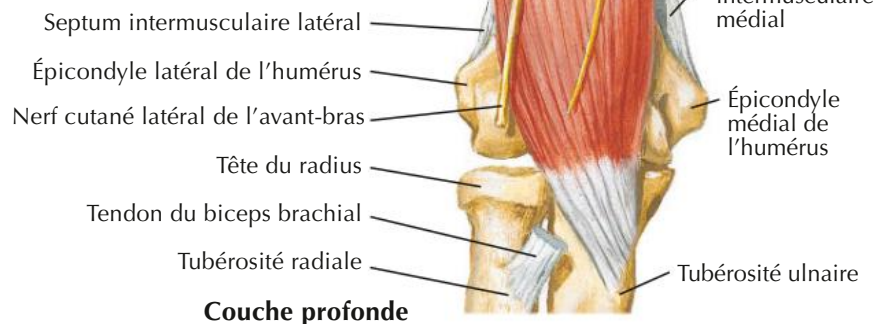
Note : constitution habituelle.
Le plexus préfixé a une large connexion avec C4, mais pas avec T1. Le plexus postfixé manque de connexion avec C5, mais en possède avec T2.



J. Netter M.D.

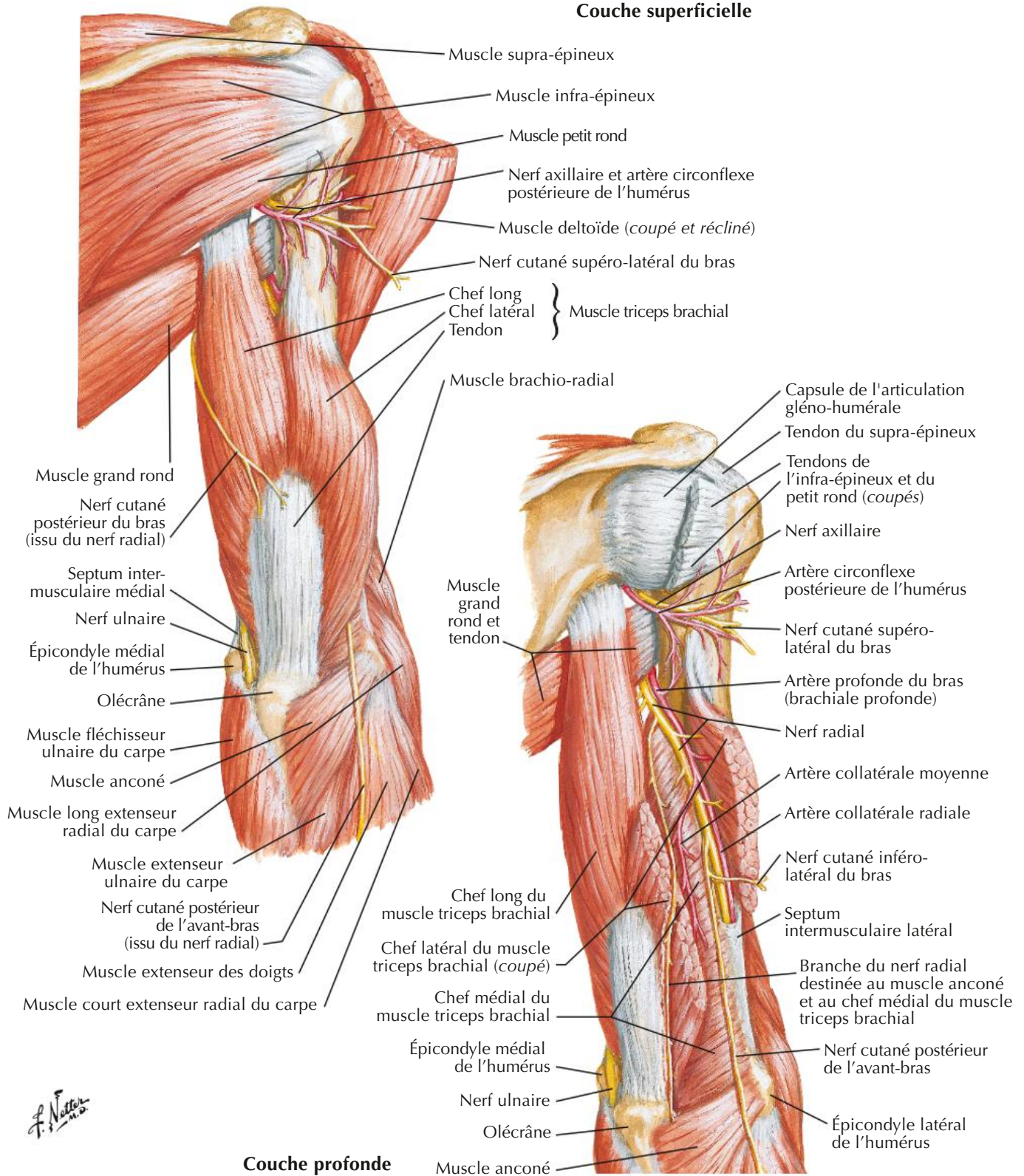


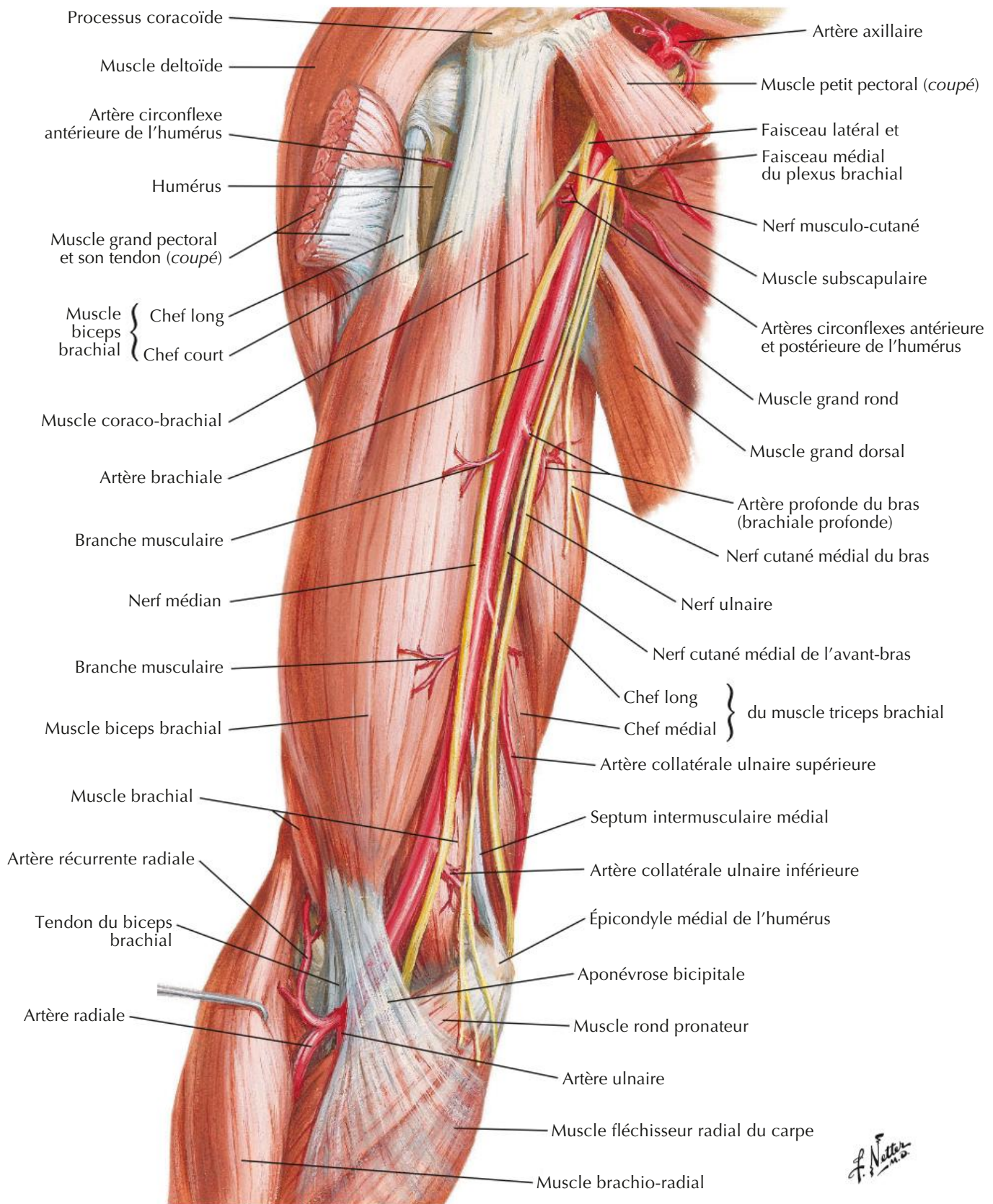
Couche superficielle

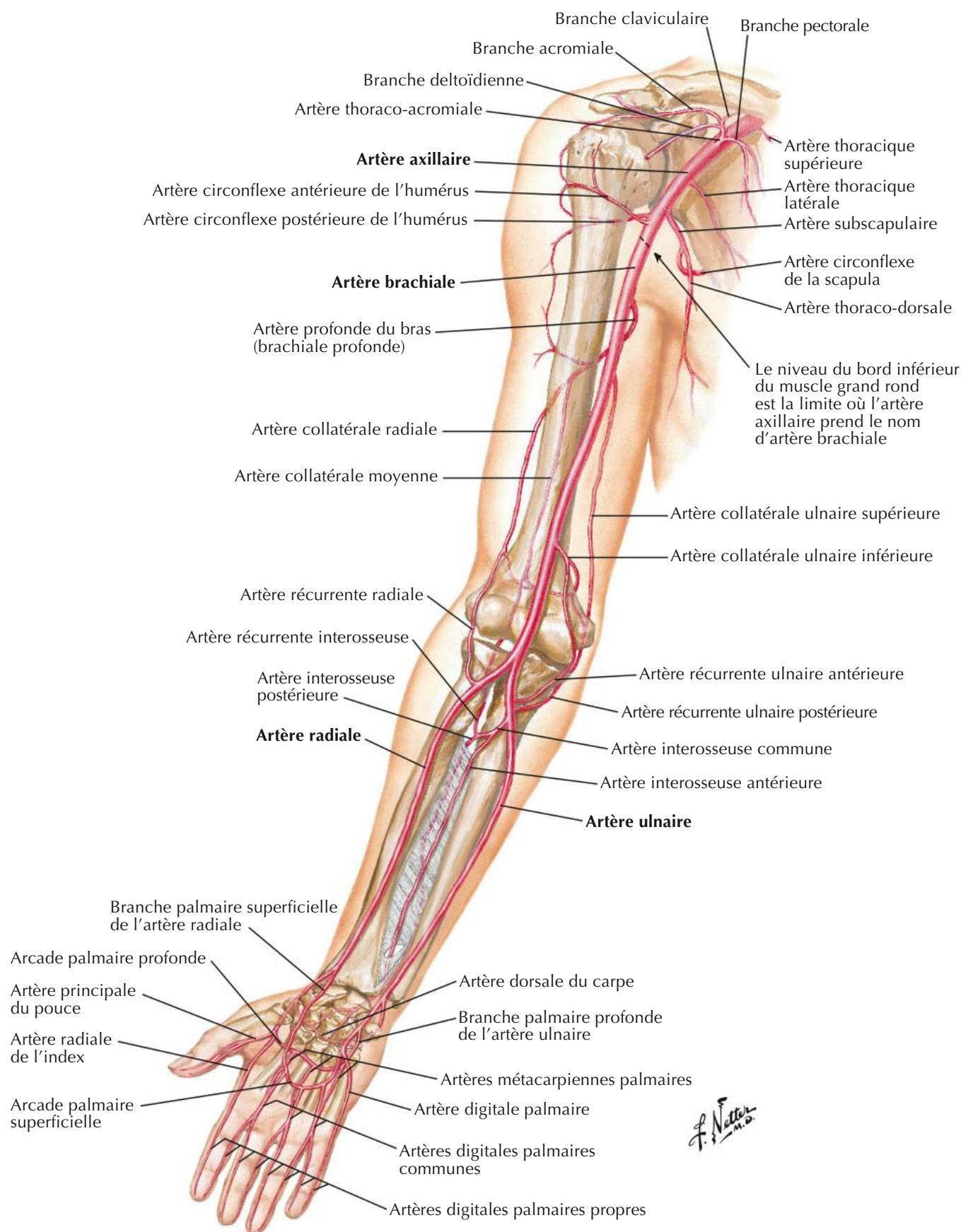


Couche profonde

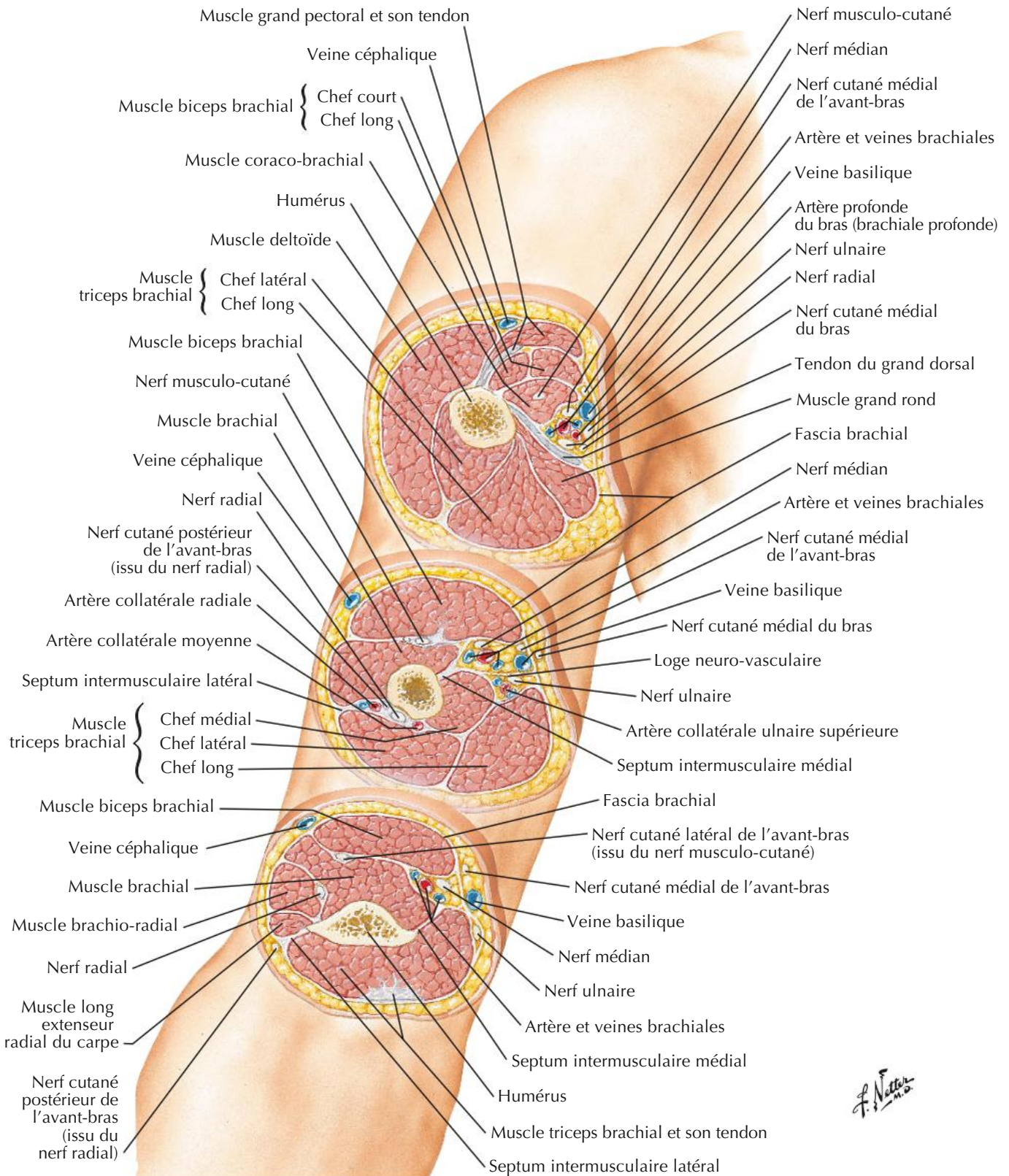
Couche superficielle



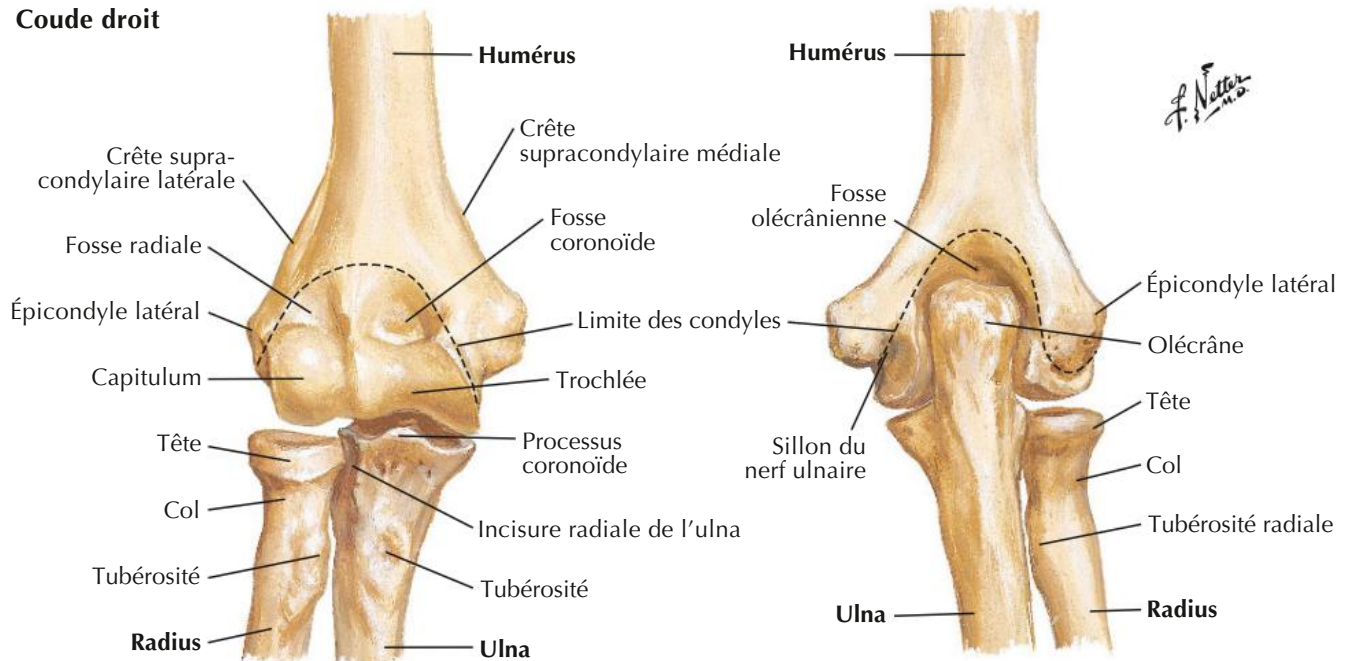




Bras : coupes transversales sériees

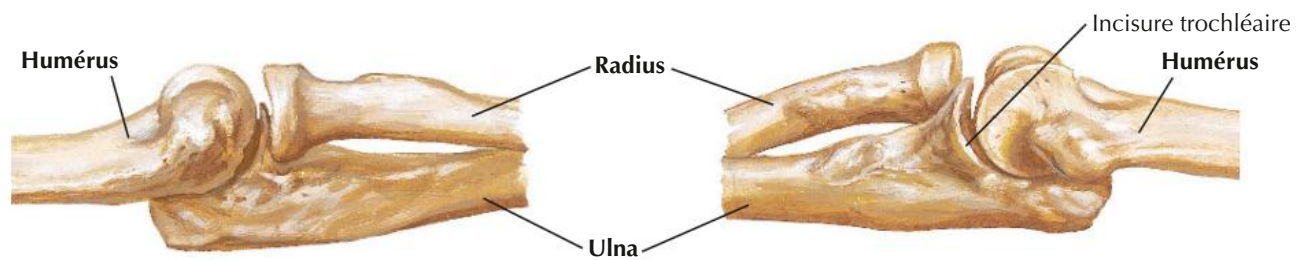


Coude droit



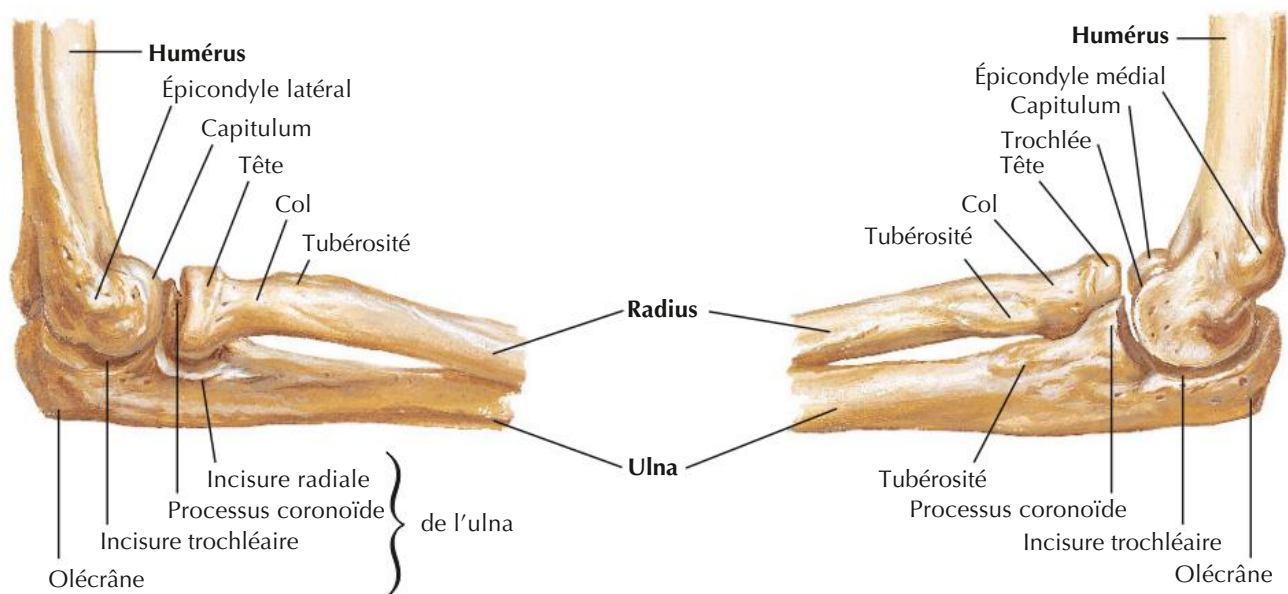
En extension : vue antérieure

En extension : vue postérieure



En extension : vue latérale

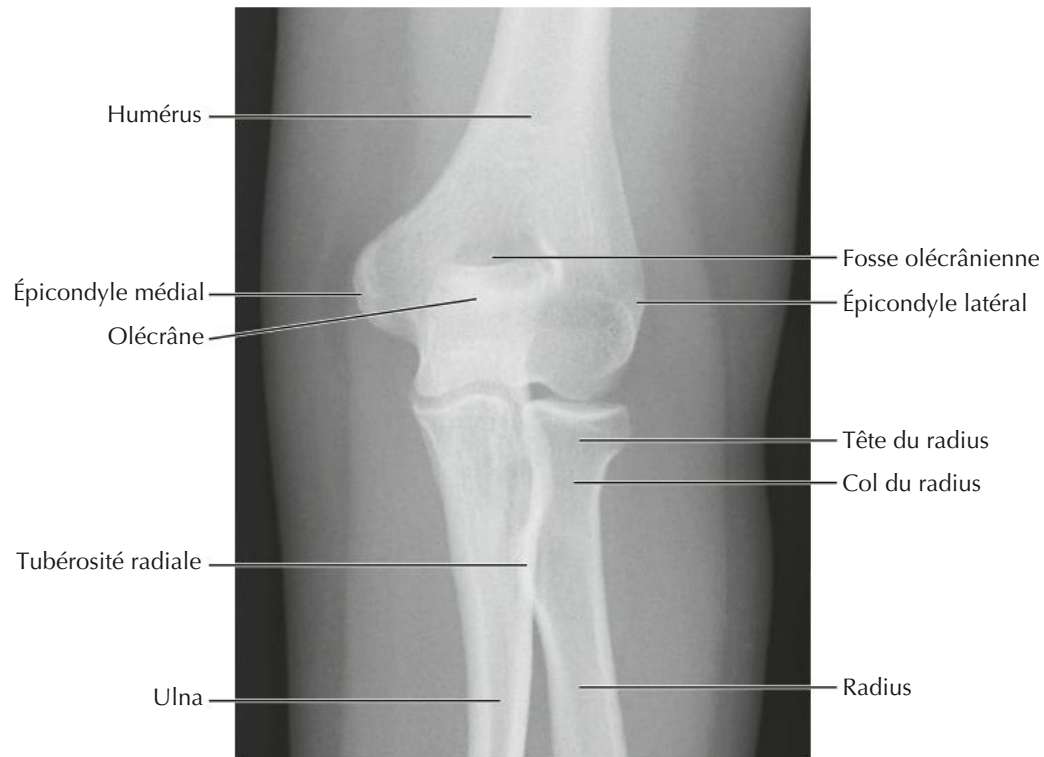
En extension : vue médiale



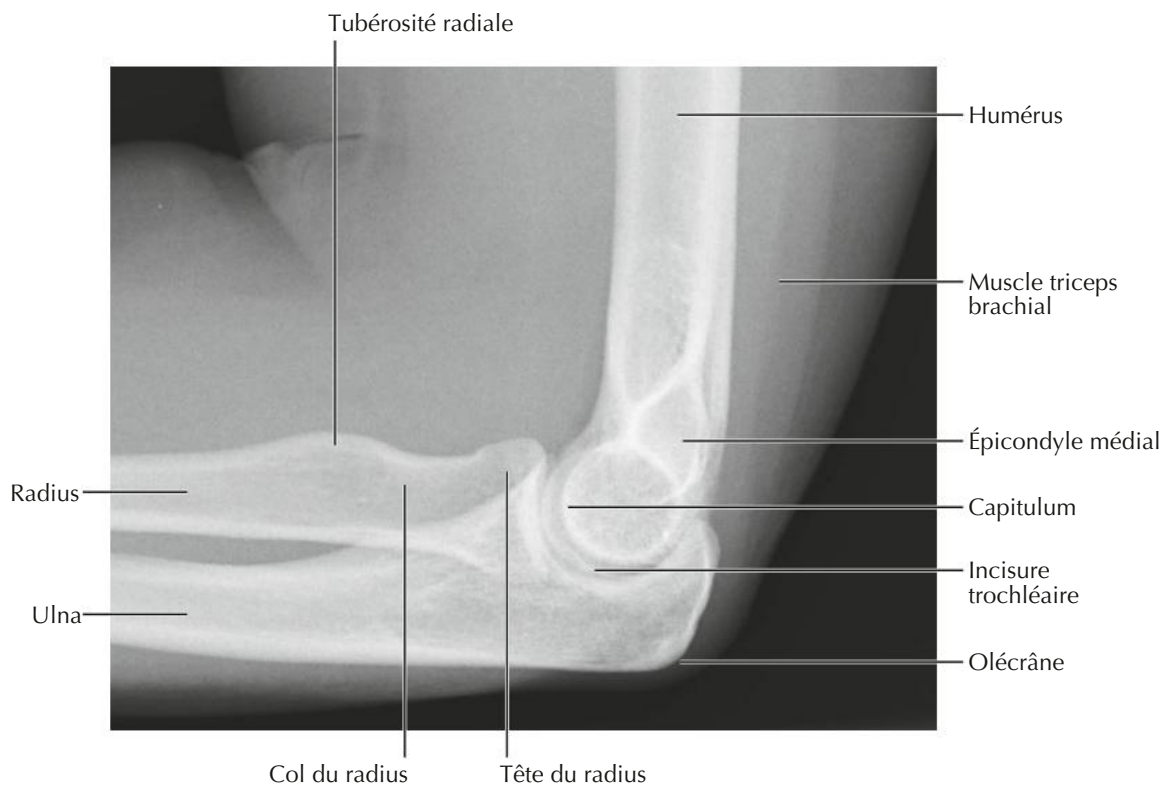
En flexion de 90° : vue latérale

En flexion de 90° : vue médiale

Radiographie de face



Radiographie de profil

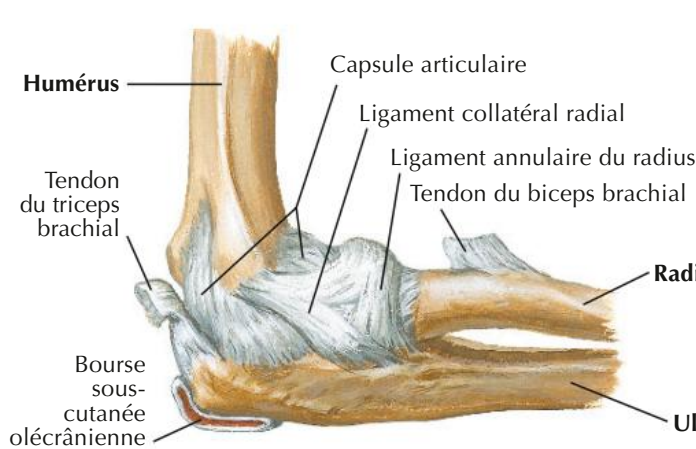


Coude droit

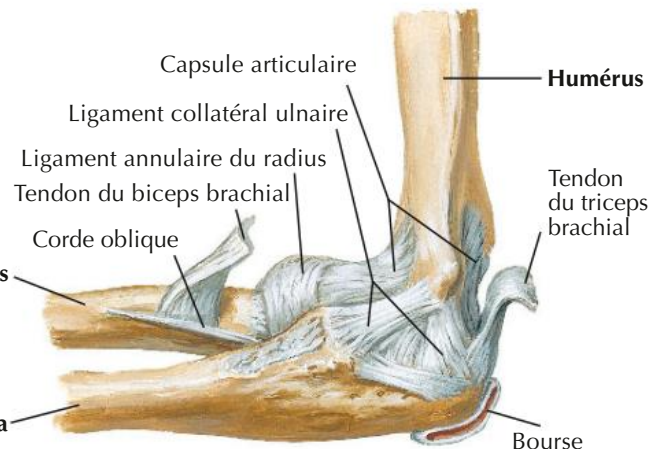
Vue antérieure



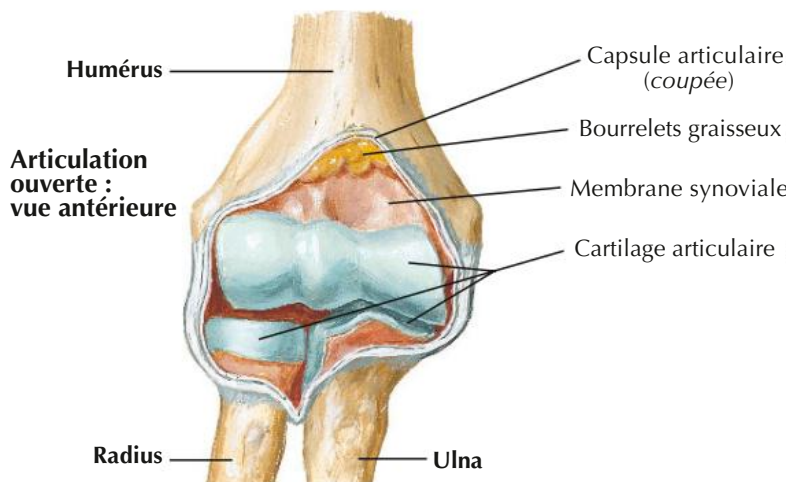
F. Netter M.D.



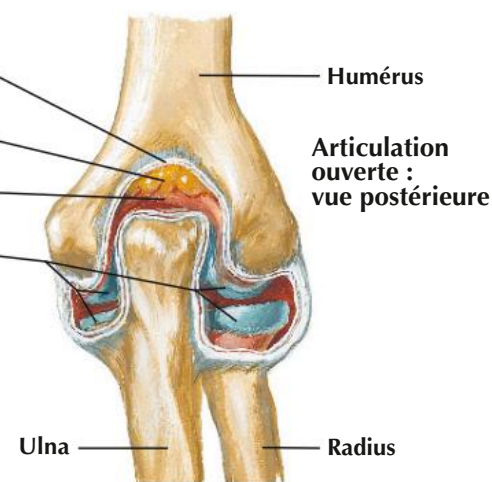
En flexion de 90° : vue latérale



En flexion de 90° : vue médiale

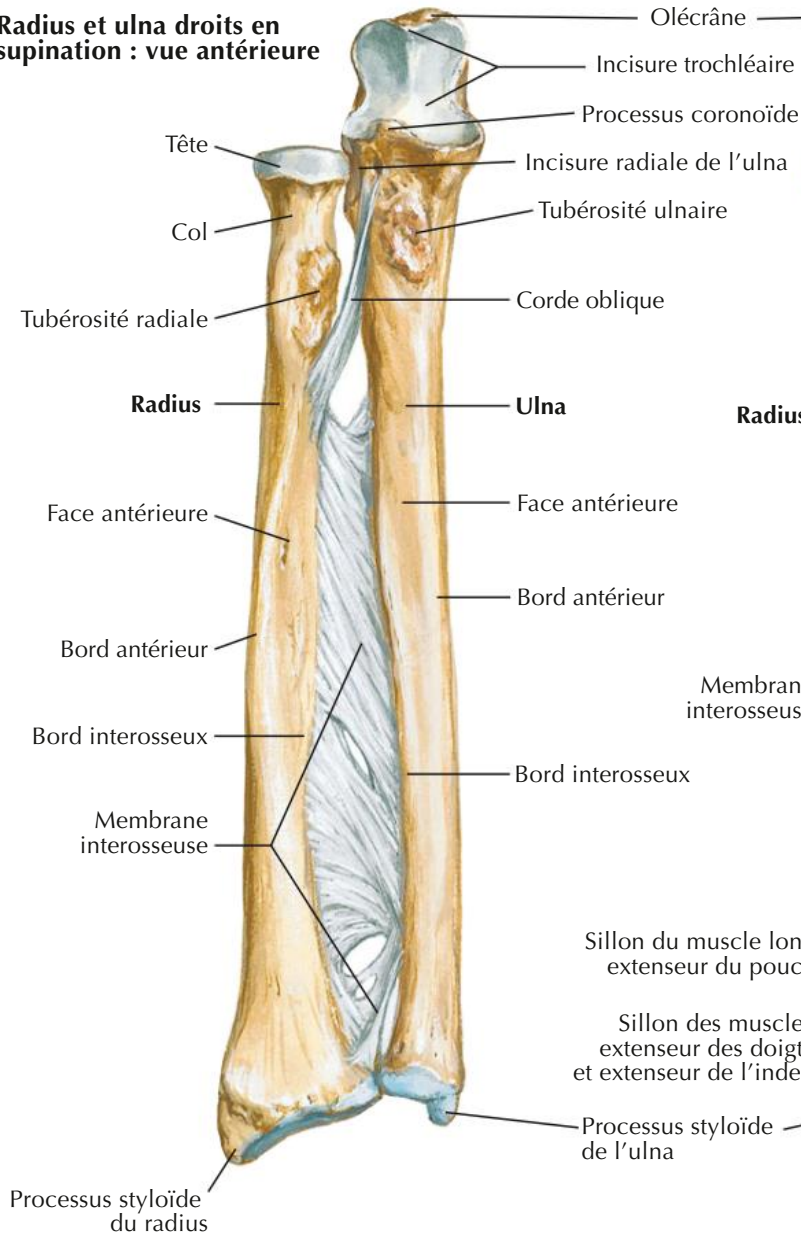


Articulation ouverte : vue antérieure

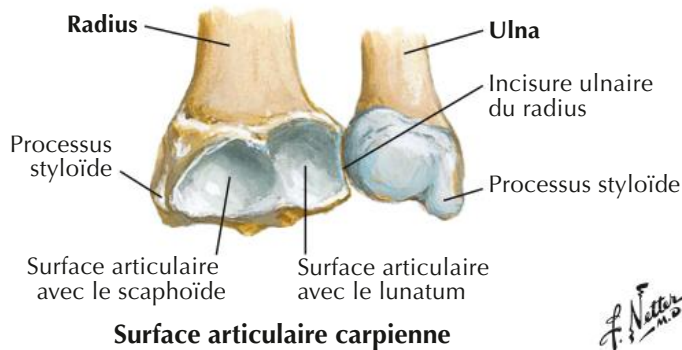
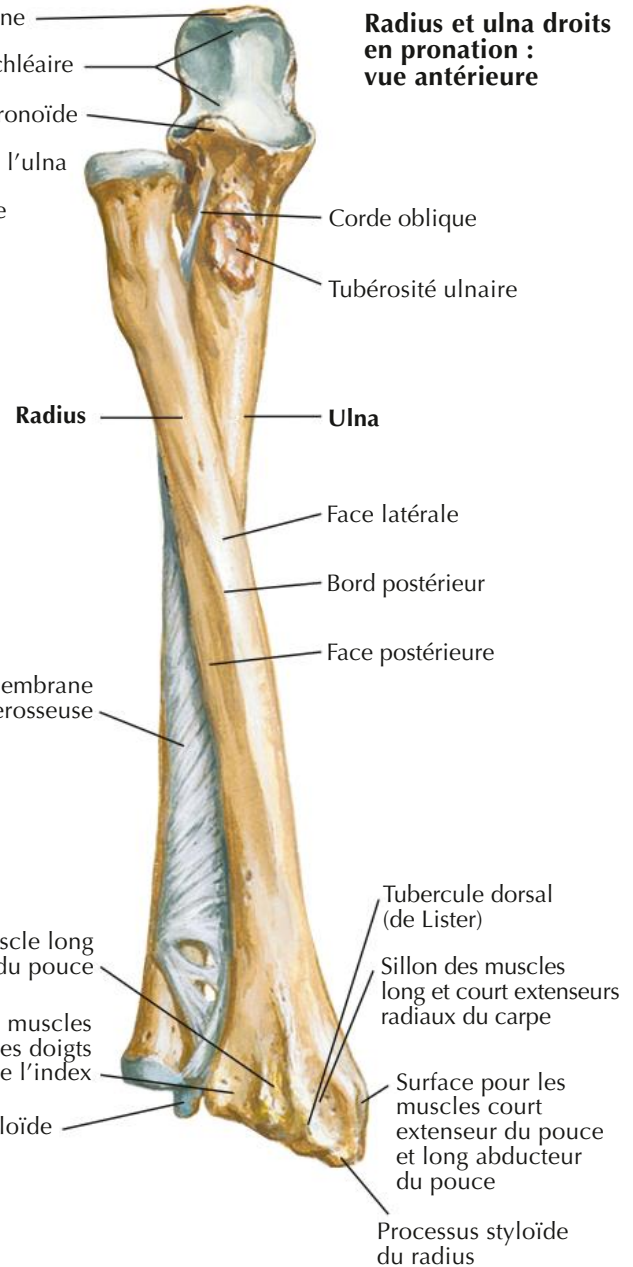


Articulation ouverte : vue postérieure

Radius et ulna droits en supination : vue antérieure



Radius et ulna droits en pronation : vue antérieure

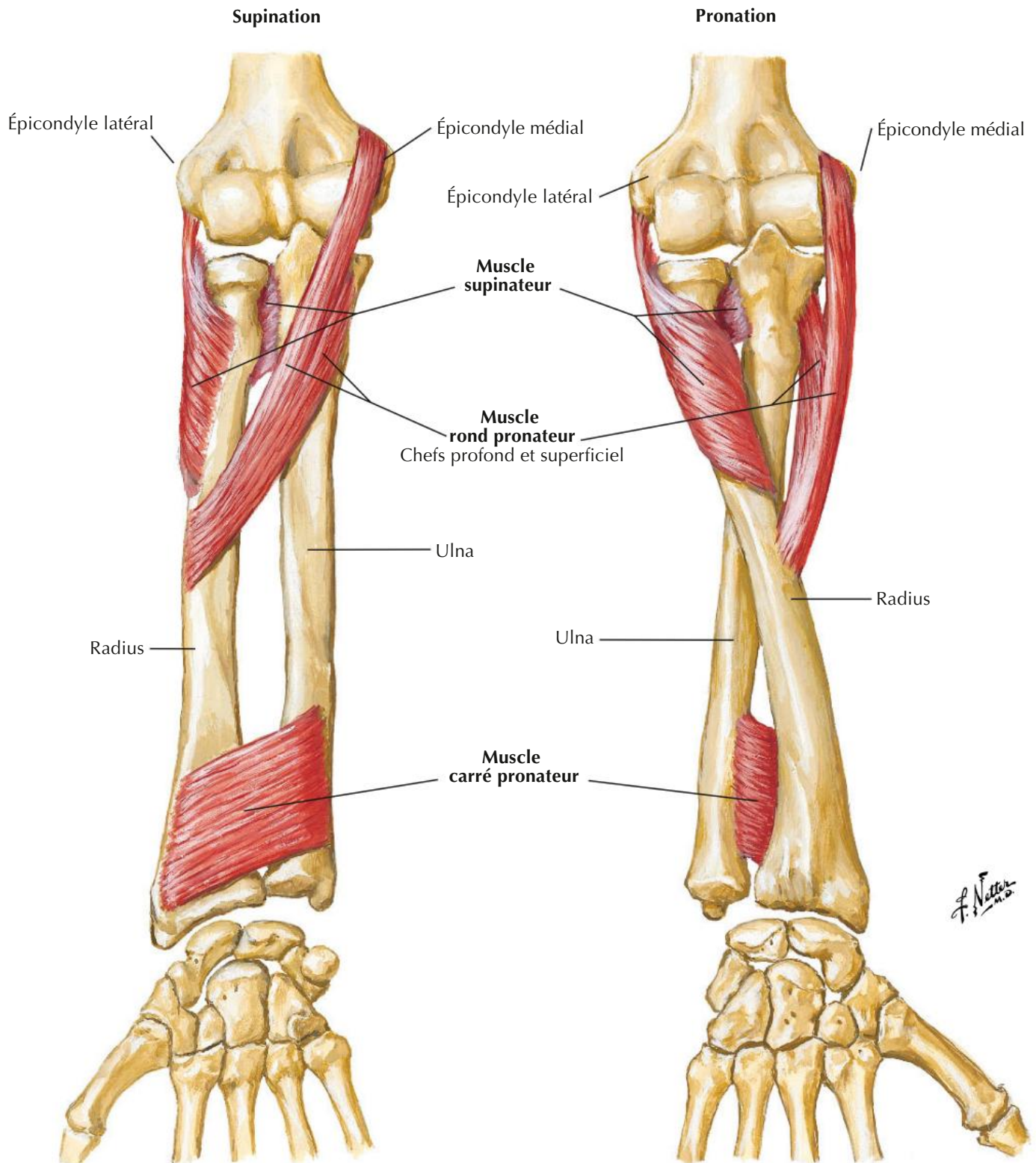


Surface articulaire carpienne



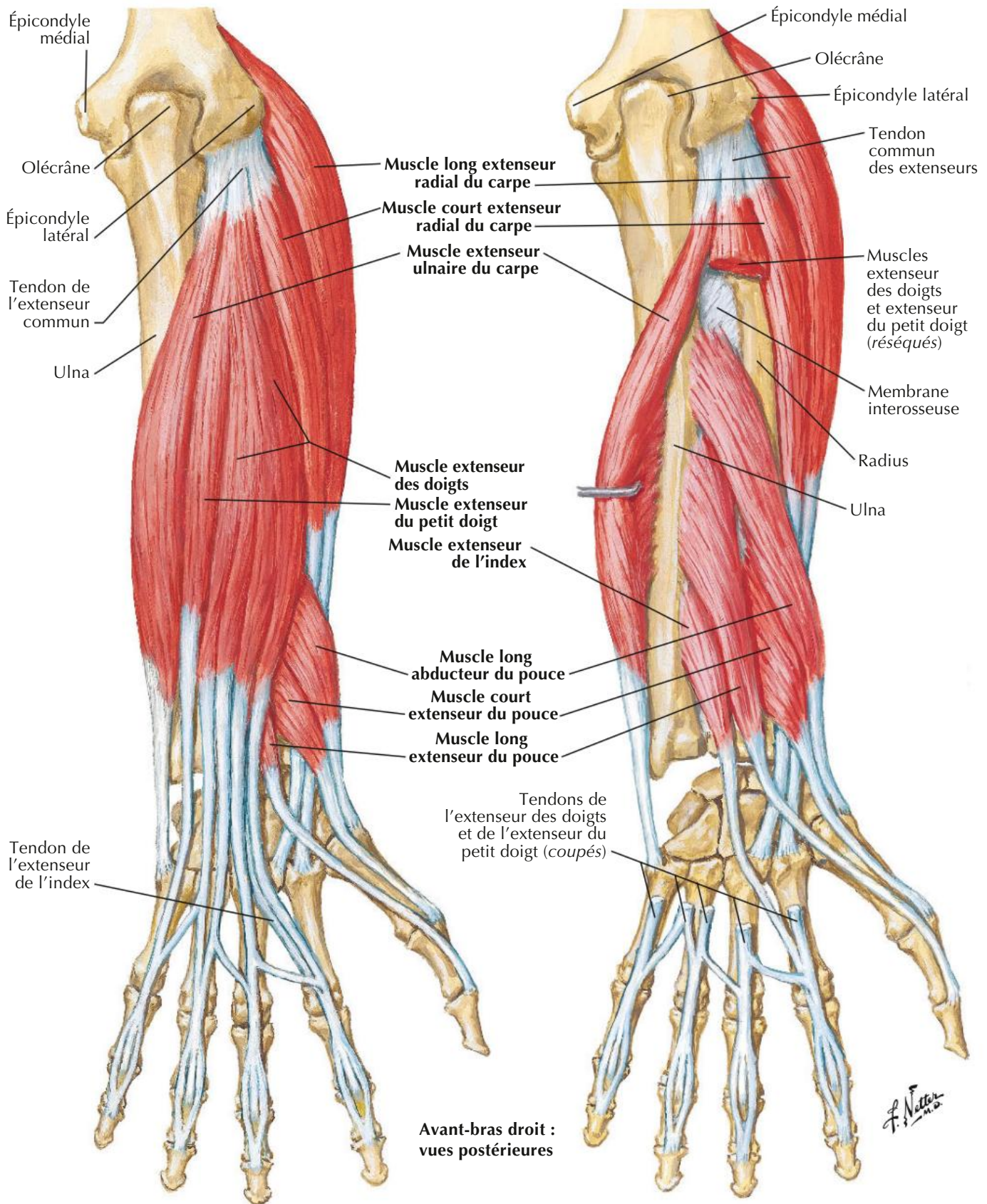
Coupe frontale du radius montrant comment l'épaisseur du cortex osseux de la diaphyse (ou corps) diminue jusqu'à une mince couche recouvrant l'os spongieux de

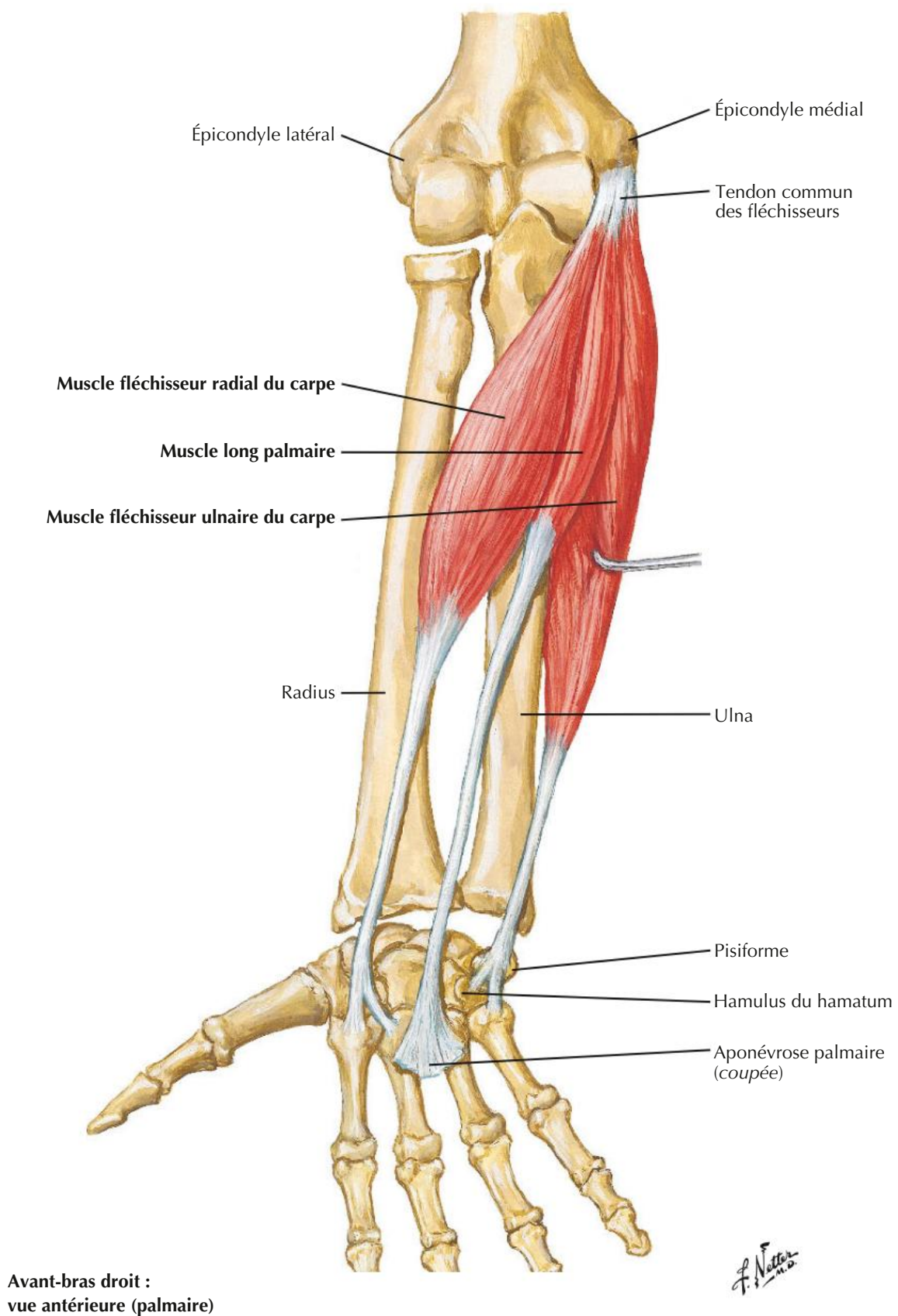
Avant-bras droit : vue antérieure



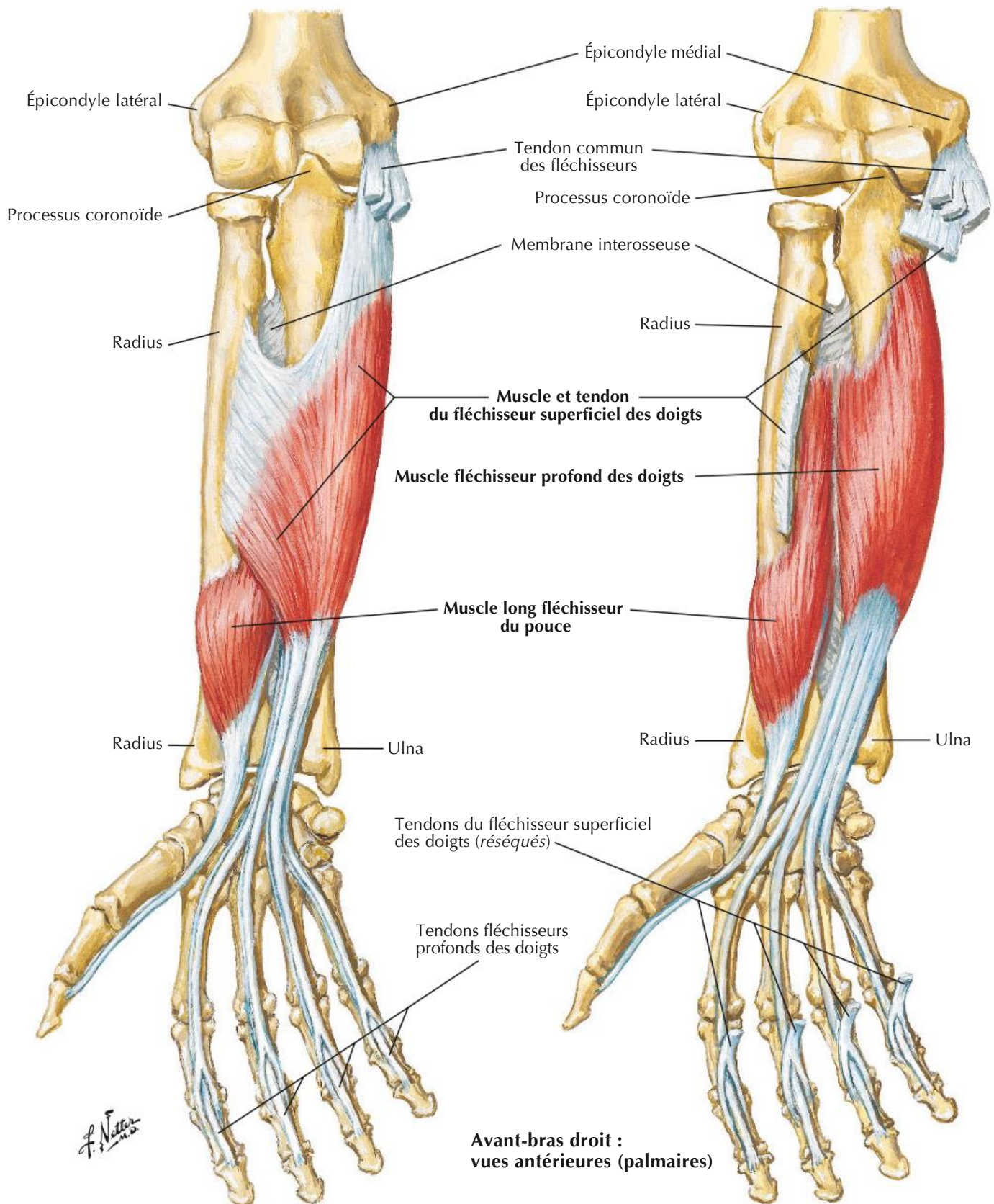
Muscles propres de l'avant-bras : extenseurs du poignet et des doigts

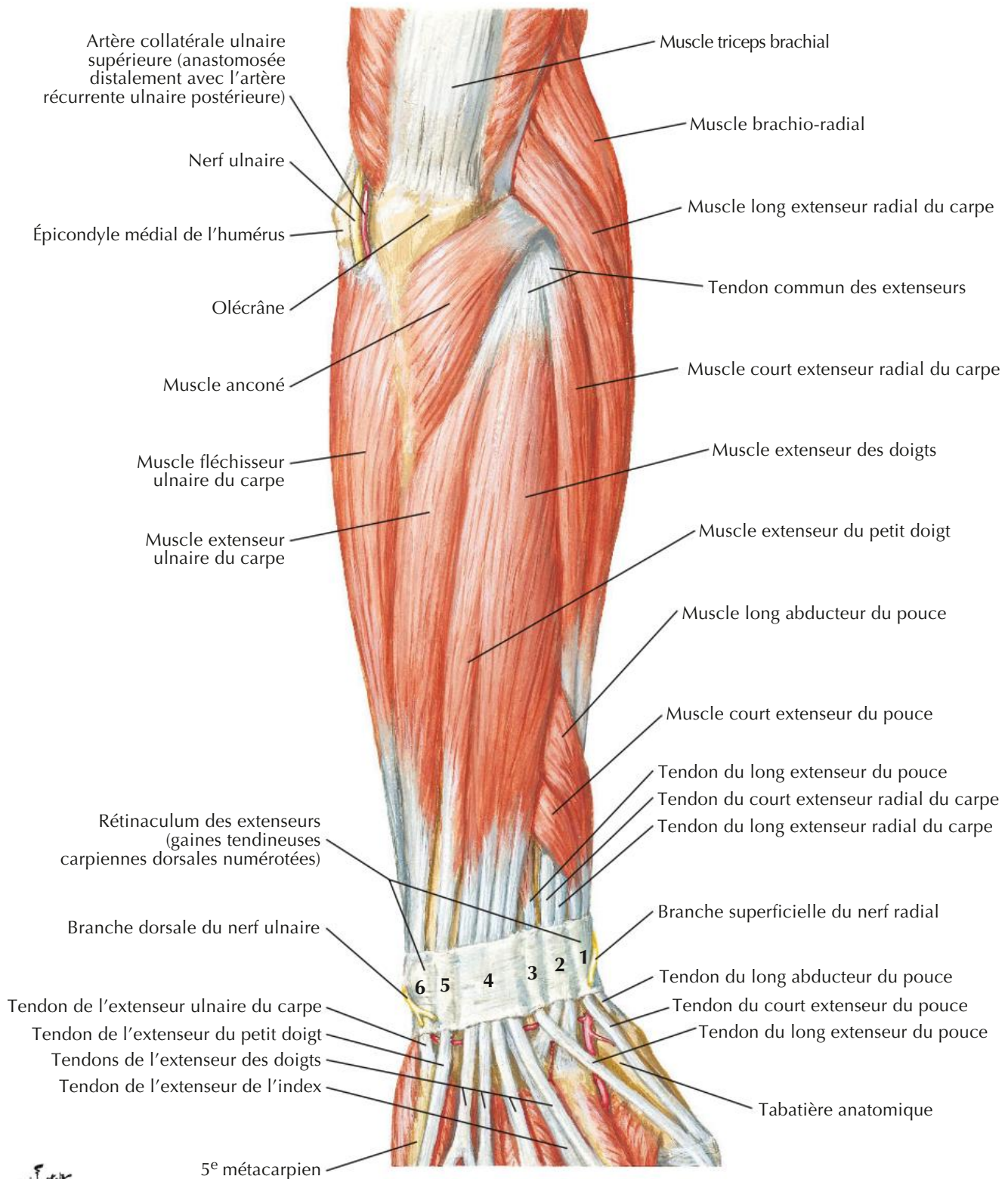
Voir aussi Planche 441





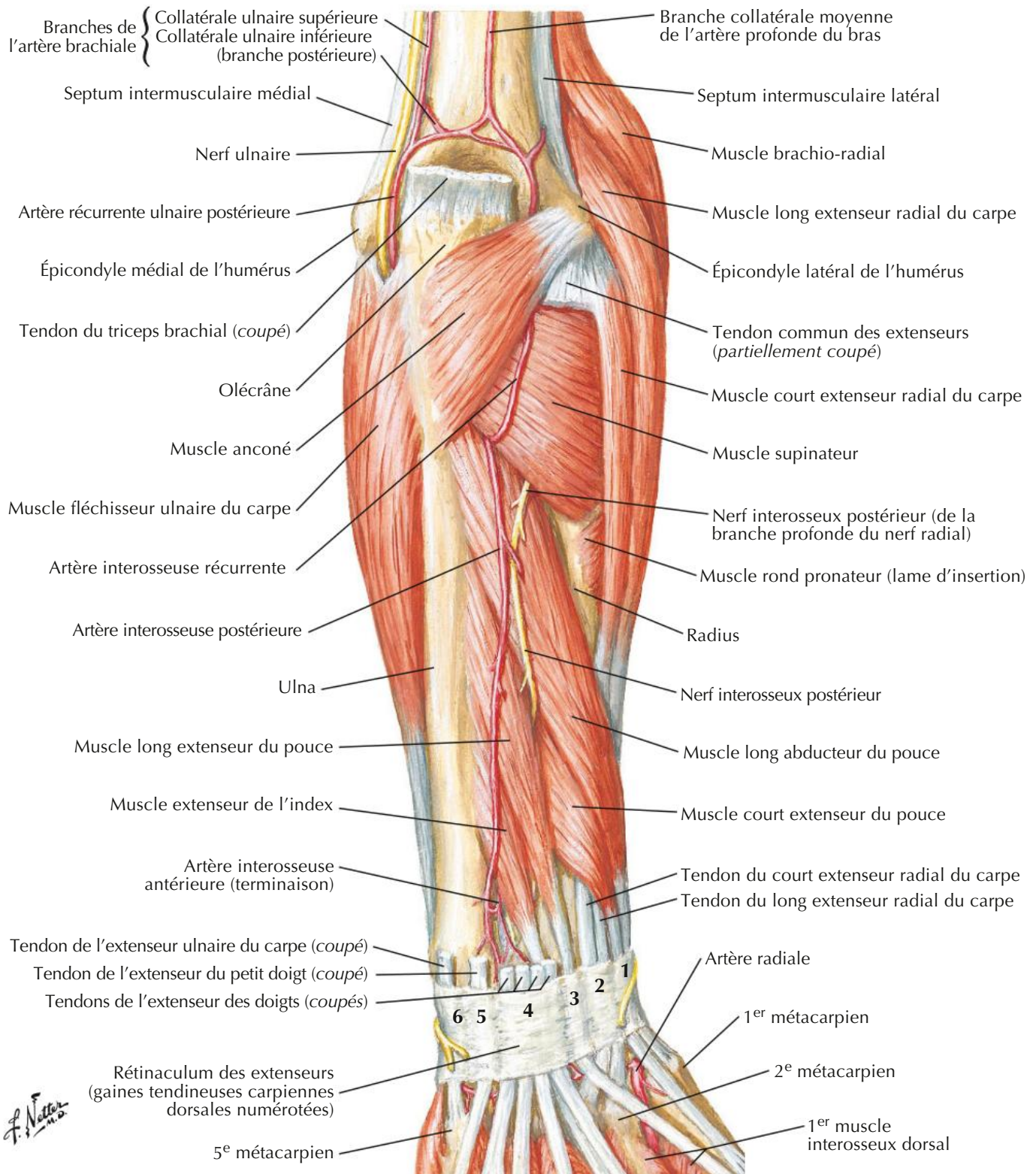
Muscles propres de l'avant-bras : fléchisseurs des doigts

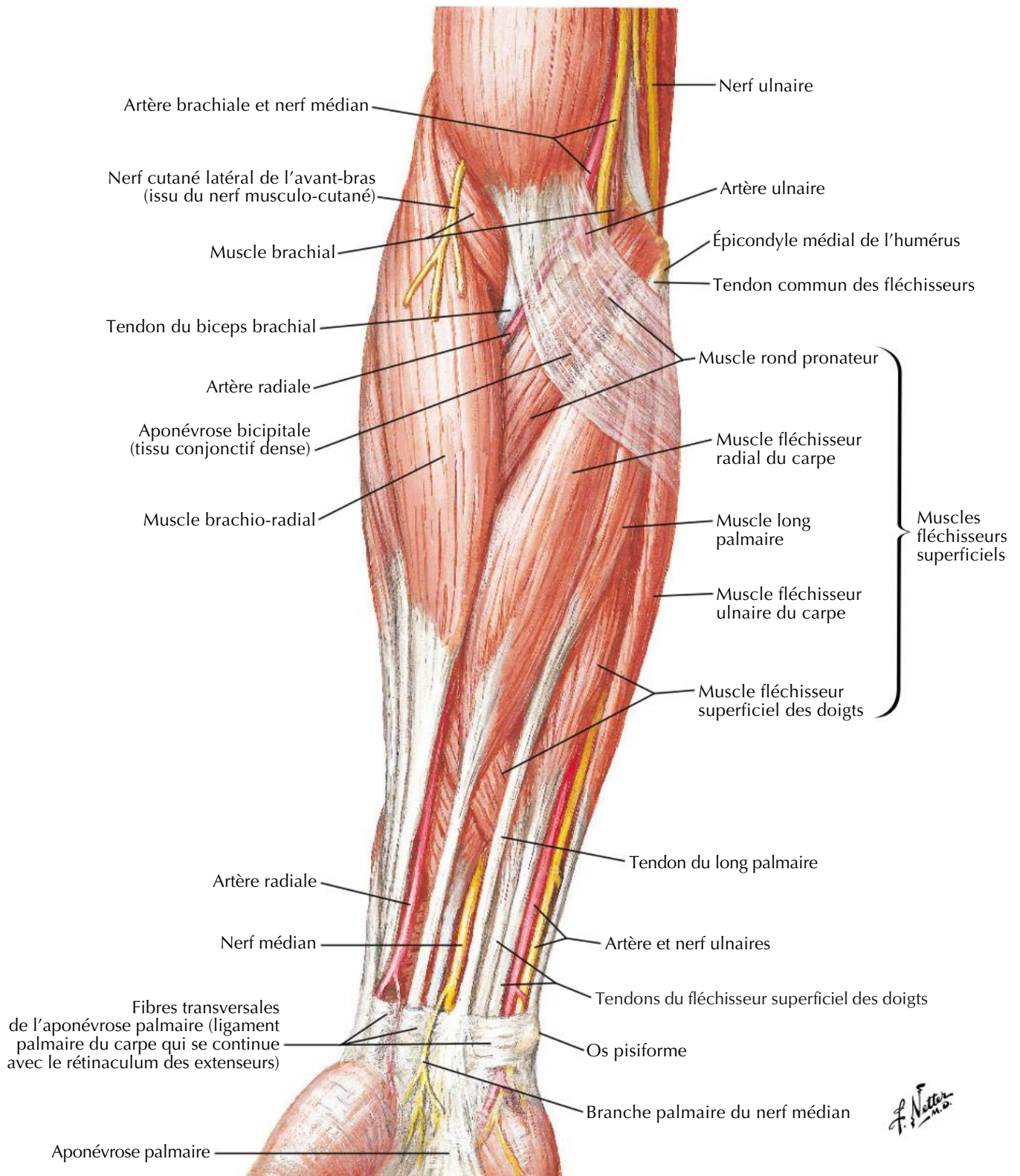




Muscles de l'avant-bras (couche profonde) : vue postérieure

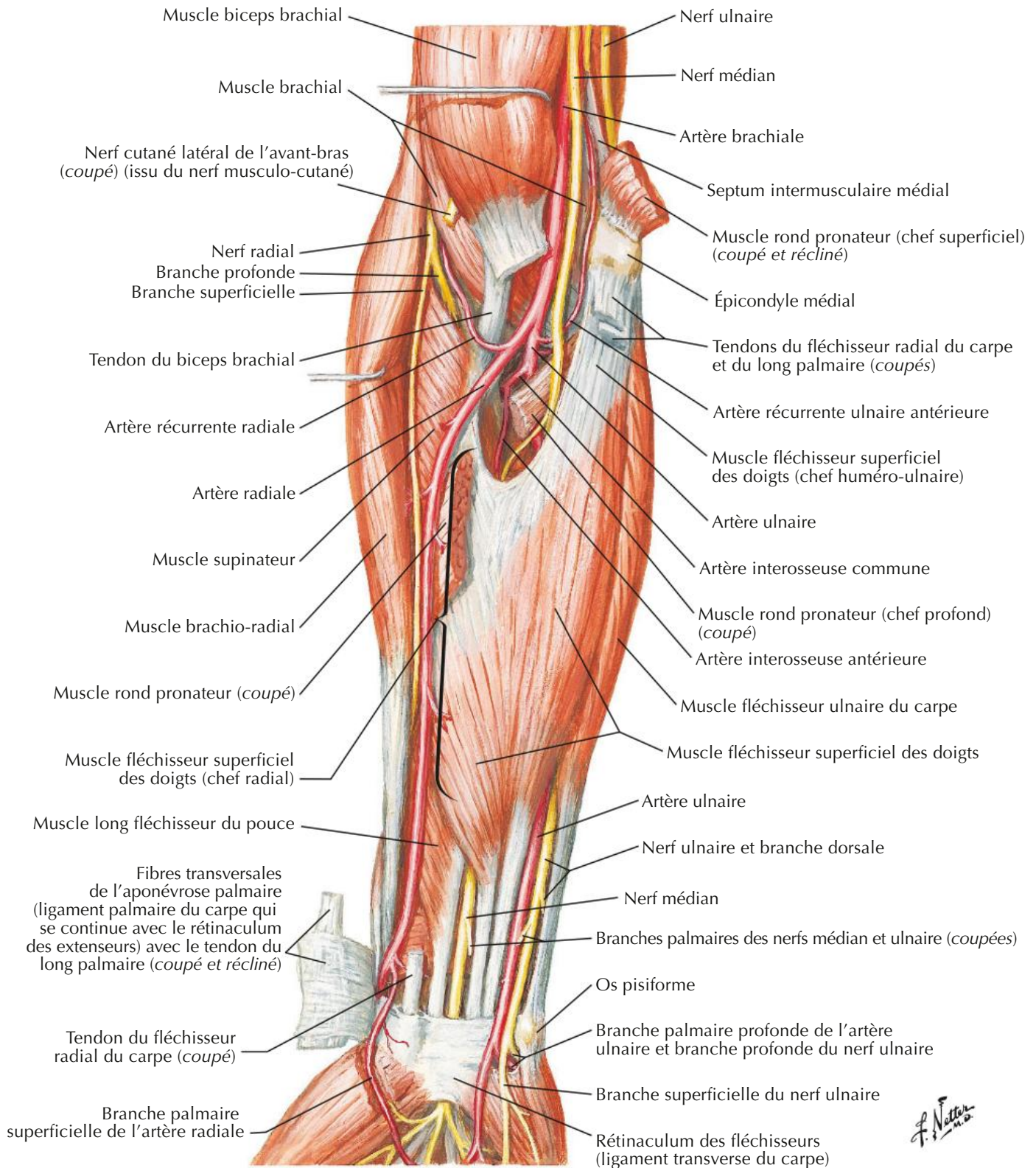
Voir aussi **Planche 460**

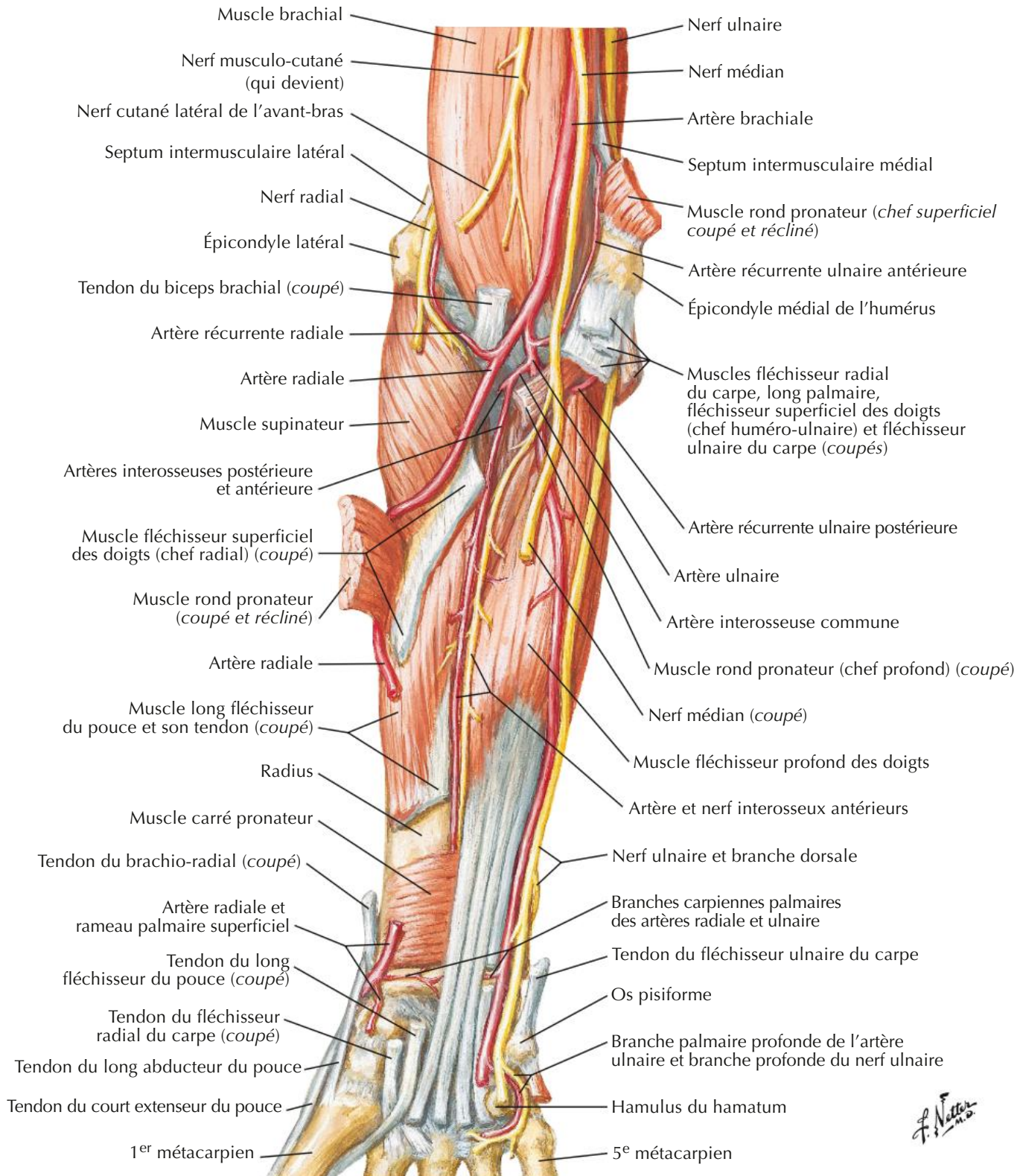




Muscles de l'avant-bras (couche intermédiaire) : vue antérieure

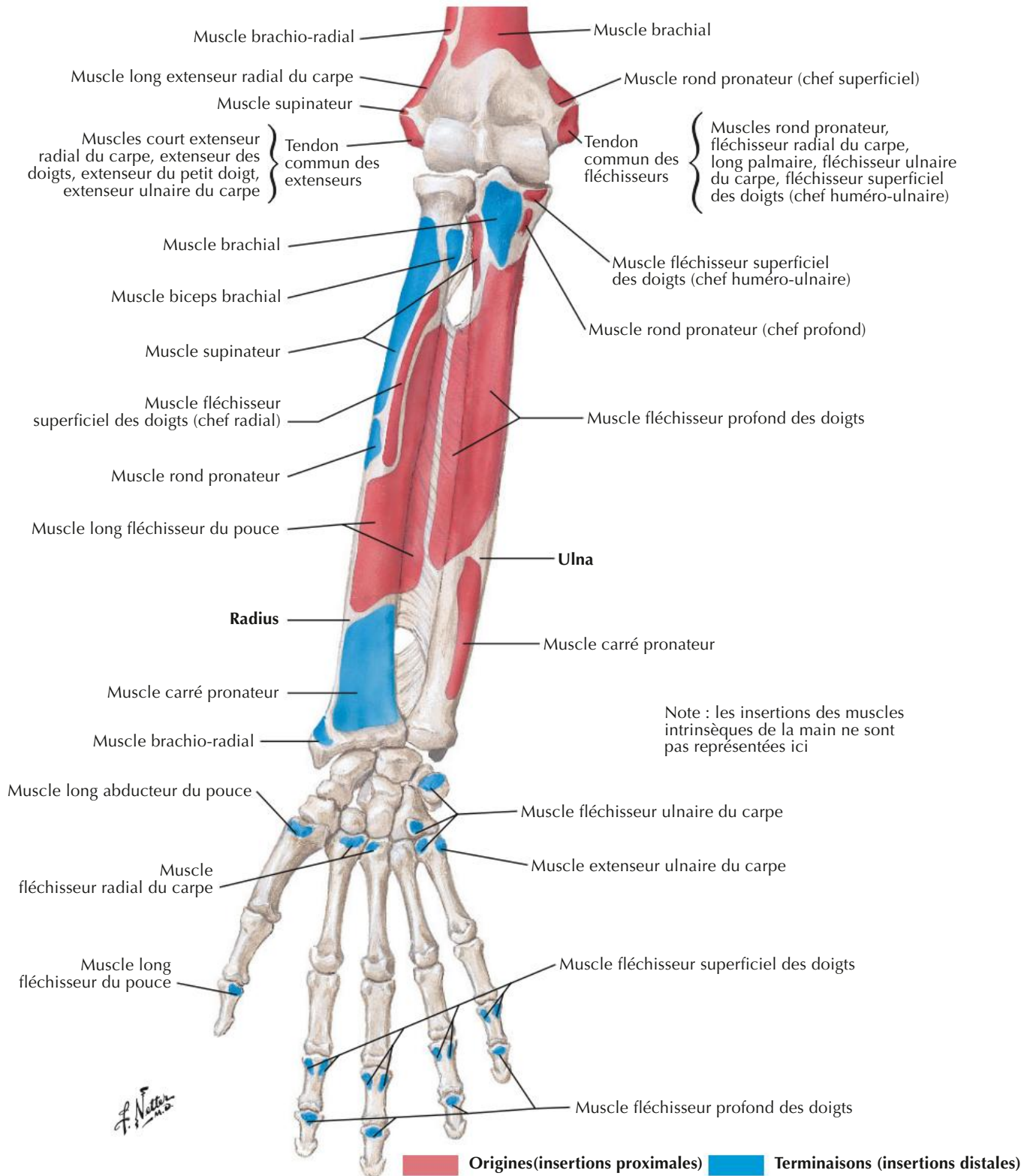
Voir aussi Planches 424, 466



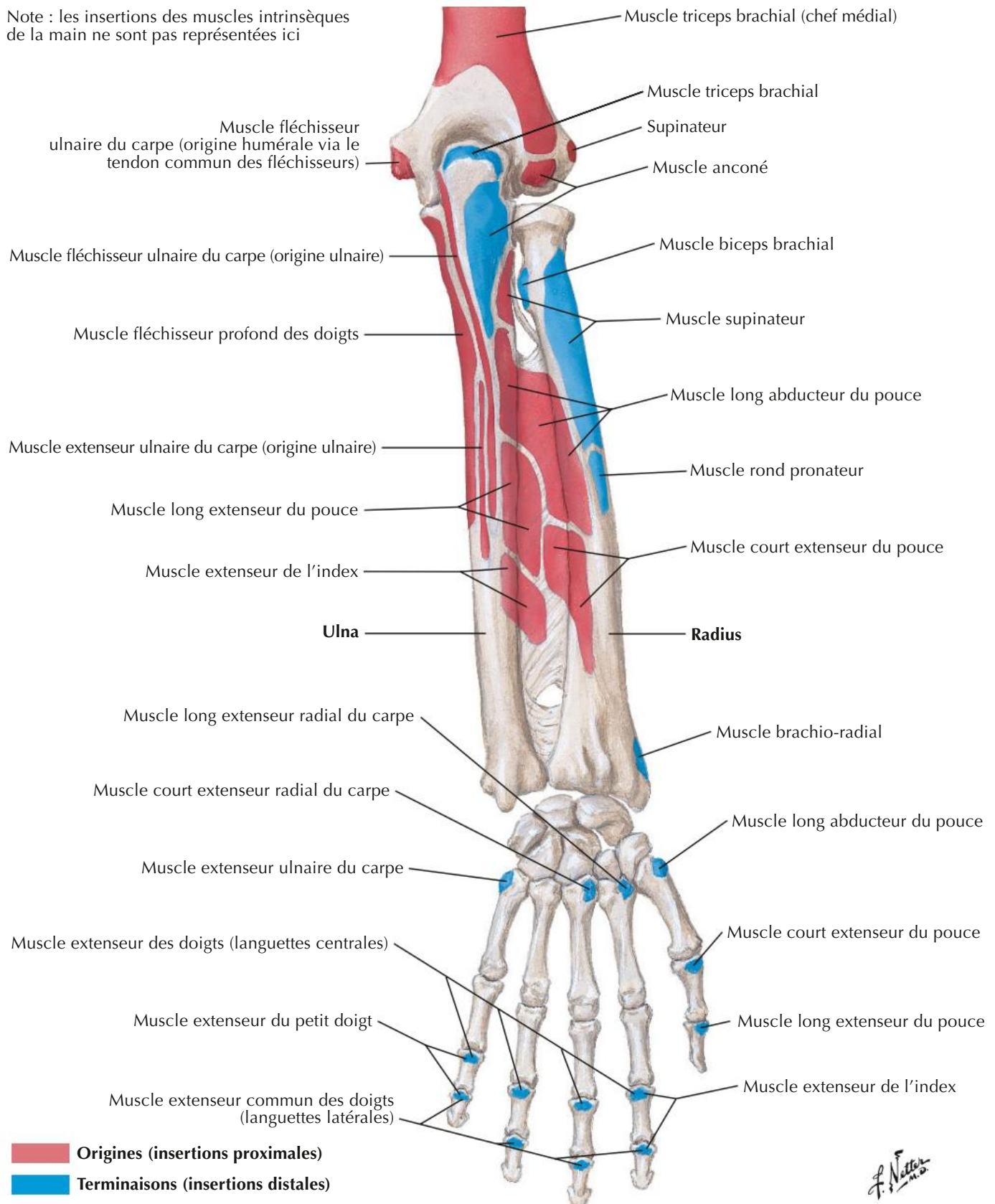


F. Netter M.D.

Insertions des muscles de l'avant-bras : vue antérieure

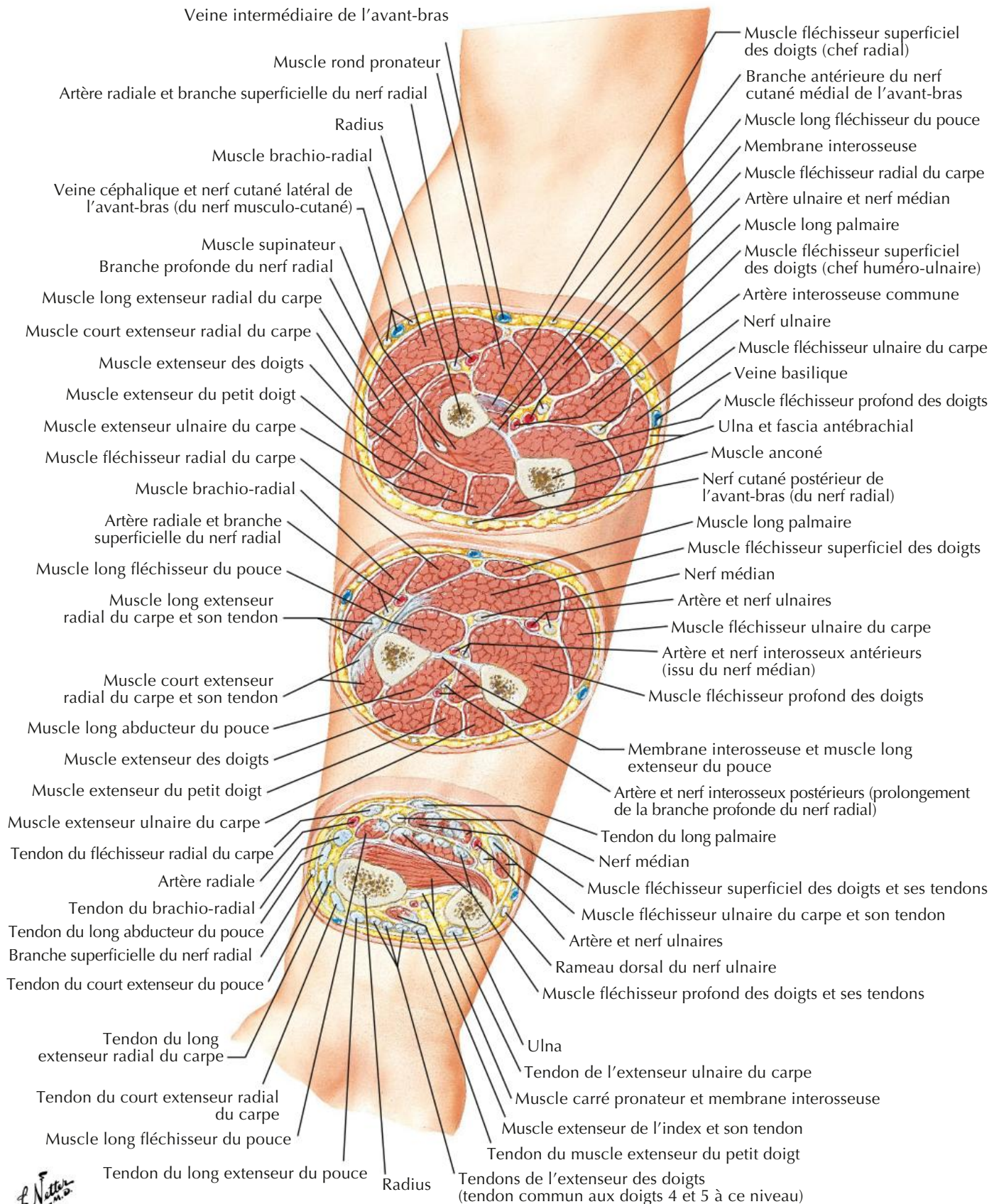


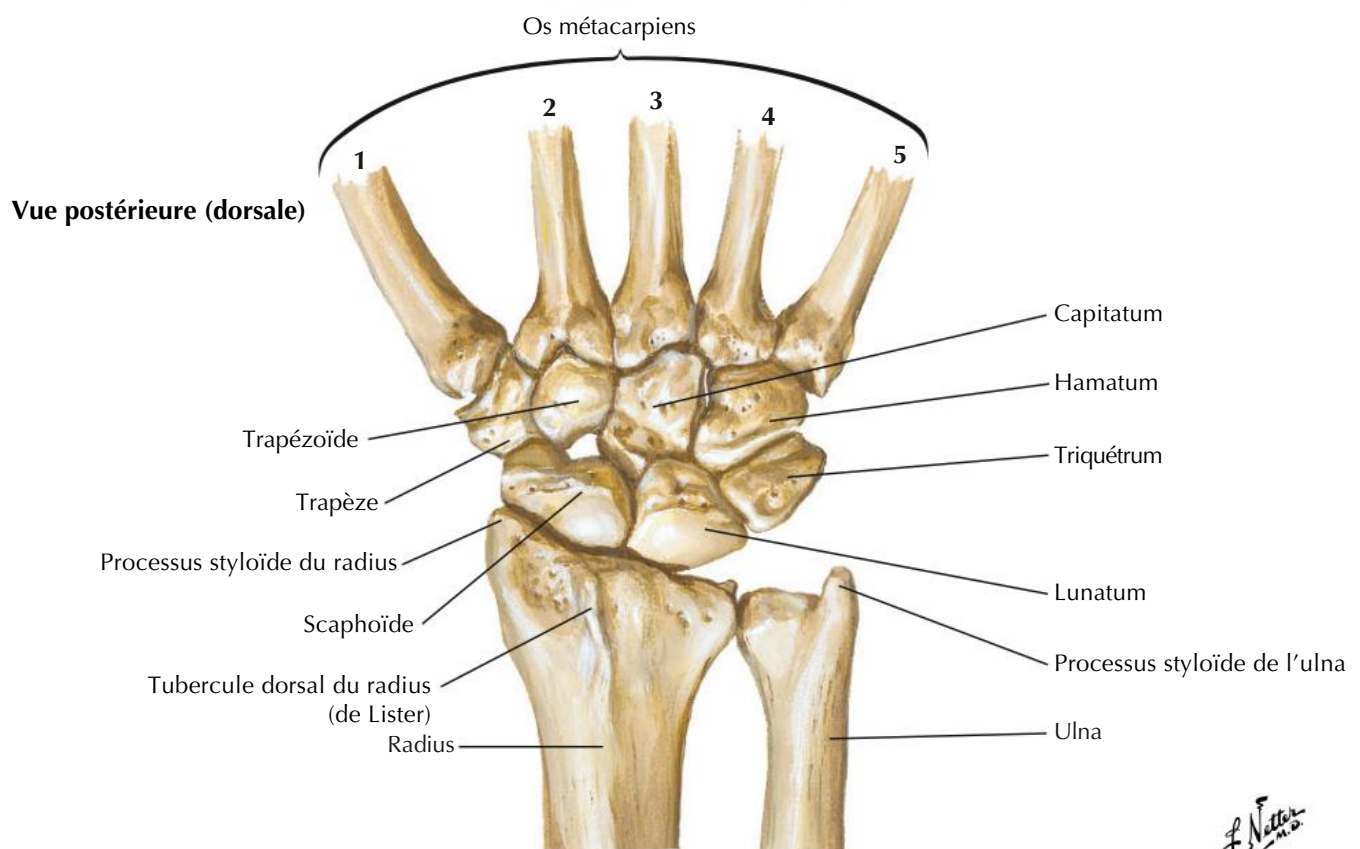
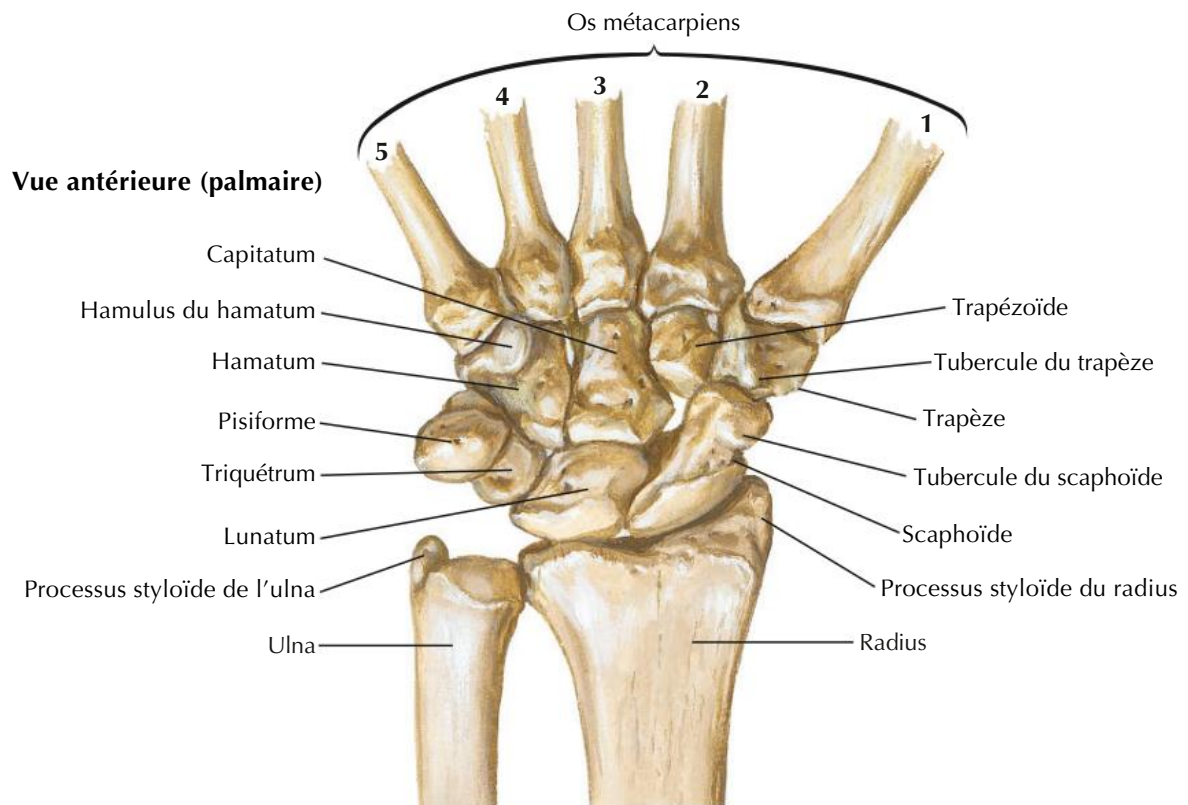
Note : les insertions des muscles intrinsèques de la main ne sont pas représentées ici



F. Netter M.D.

Avant-bras : coupes transversales sériees

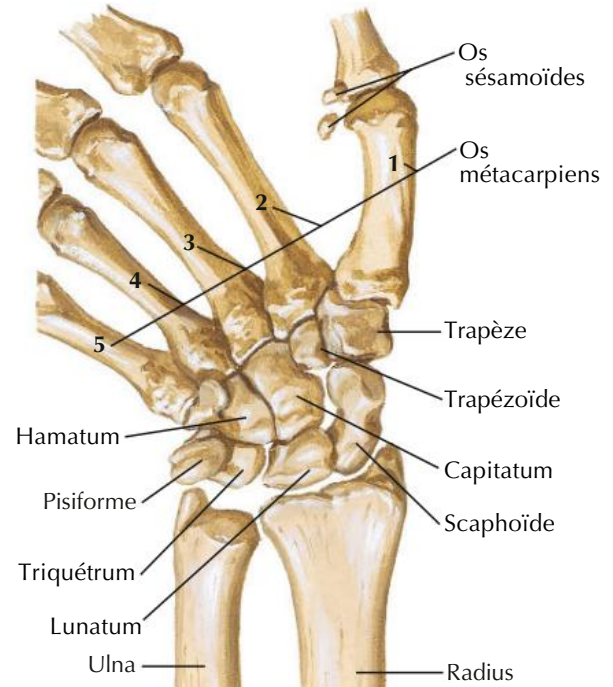




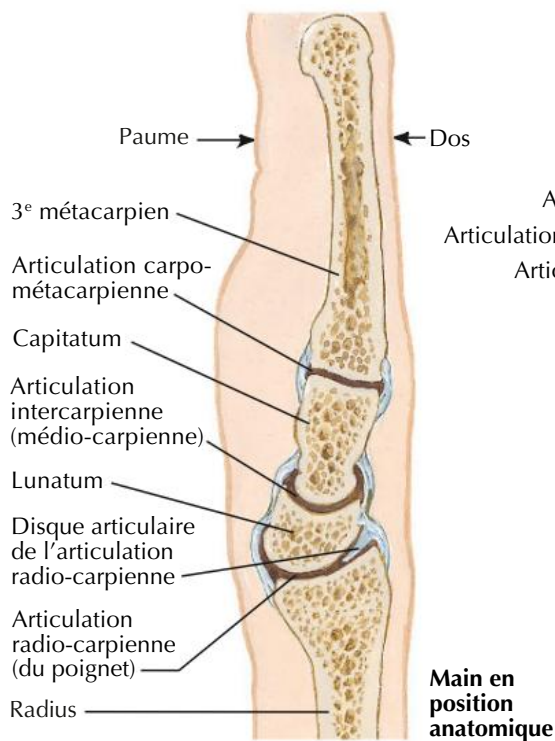
F. Netter



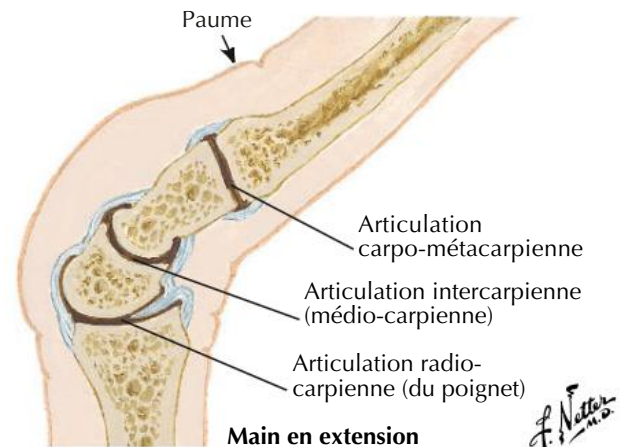
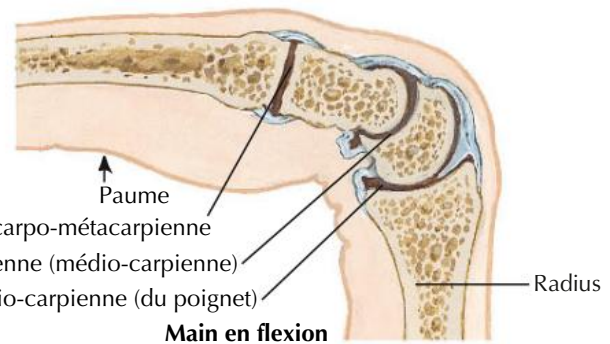
Position des os du carpe avec la main en abduction :
vue antérieure (palmaire)



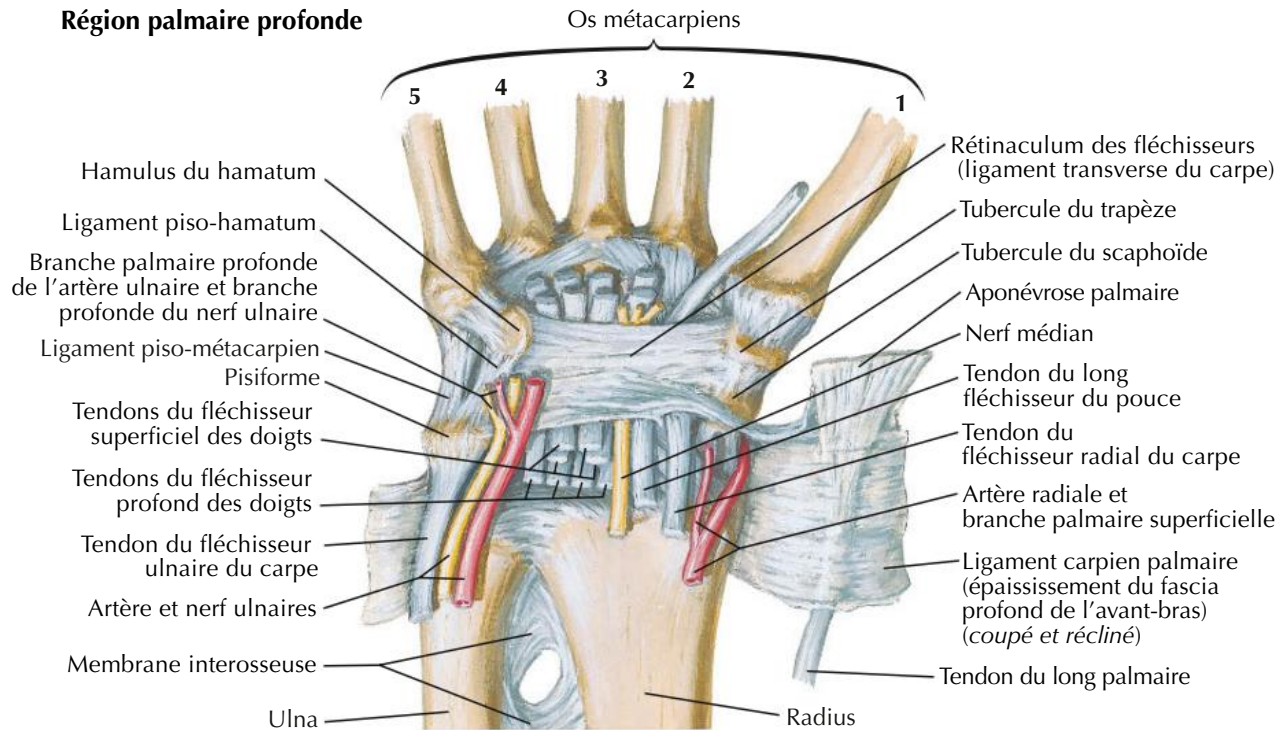
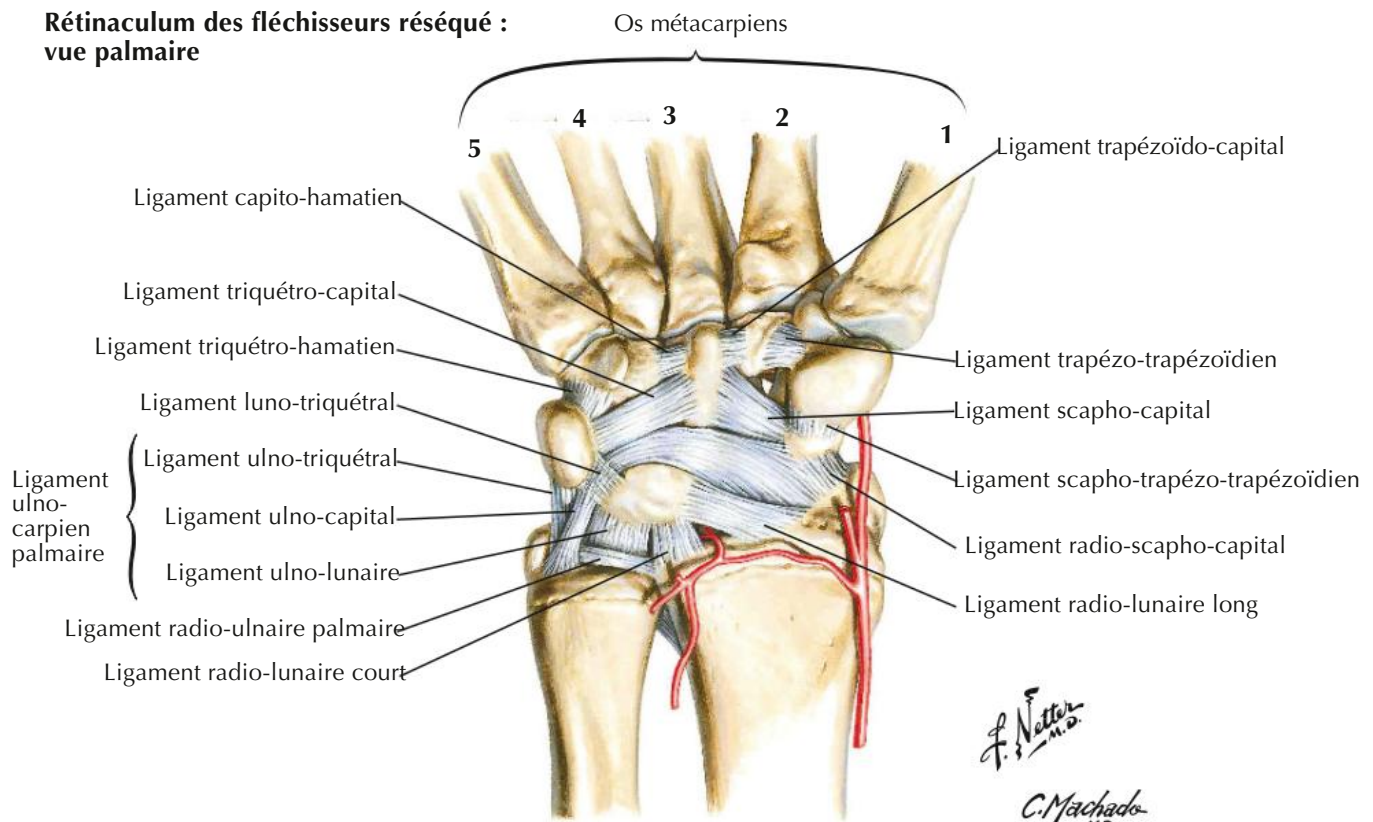
Position des os du carpe avec la main en adduction :
vue antérieure (palmaire)



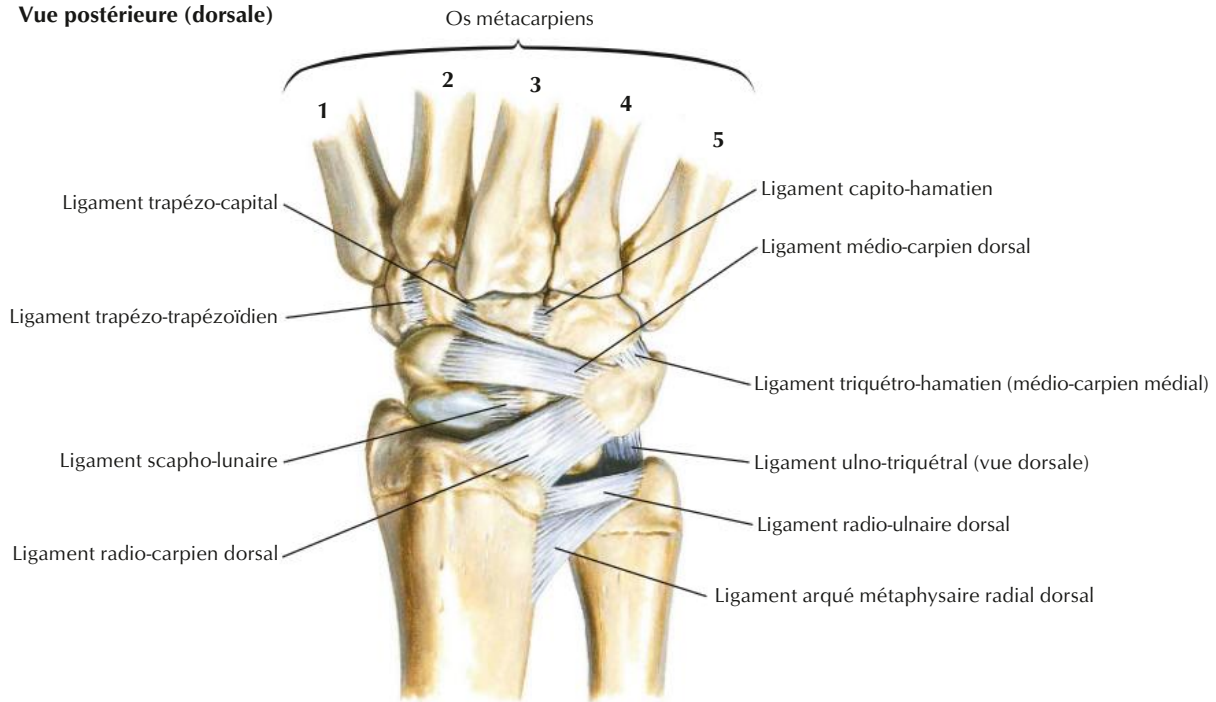
Coupes sagittales à travers
le poignet et le milieu du doigt



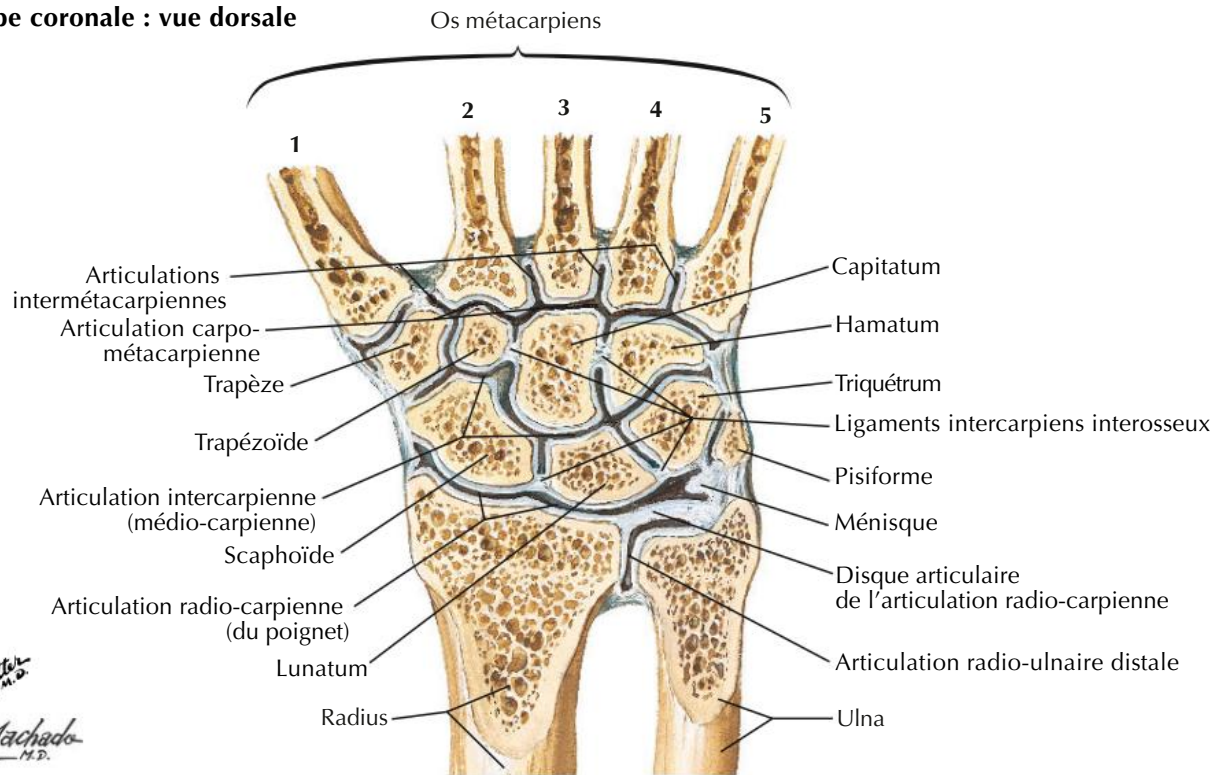
Région palmaire profonde

Rétinaculum des fléchisseurs réséqué :
vue palmaire

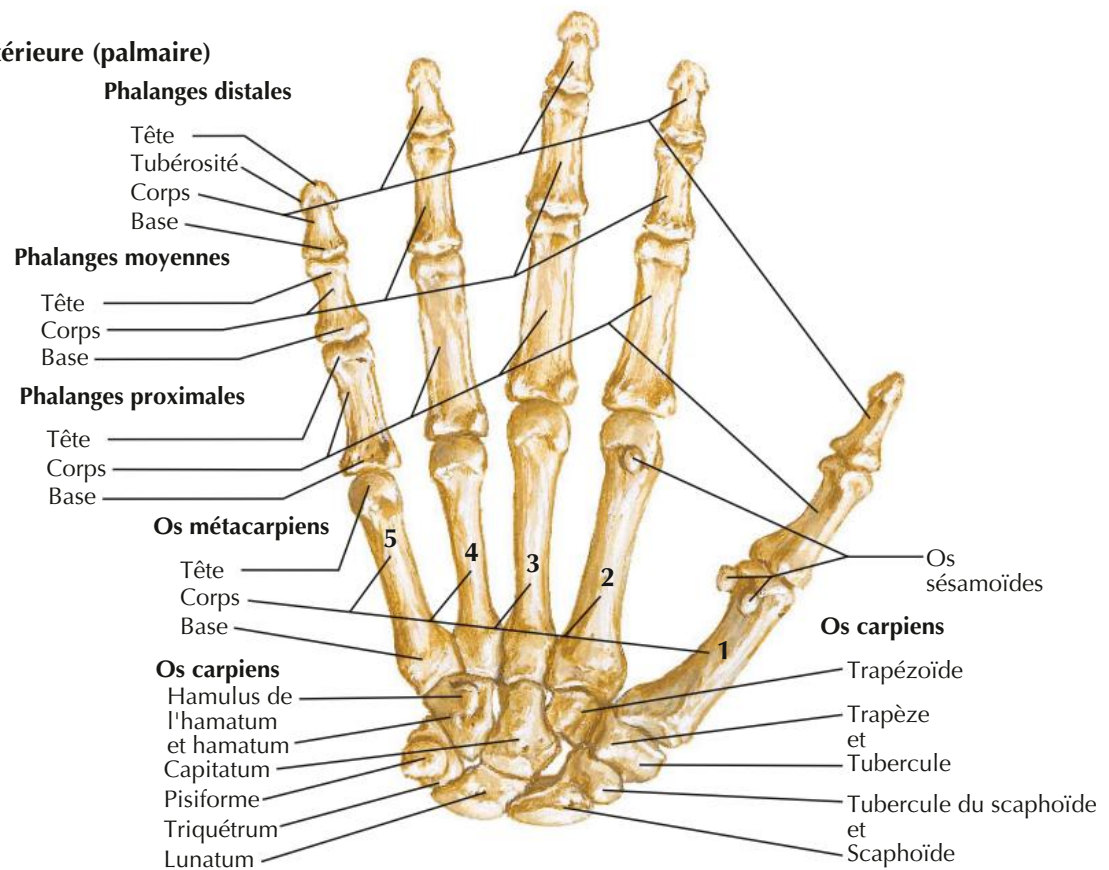
Vue postérieure (dorsale)



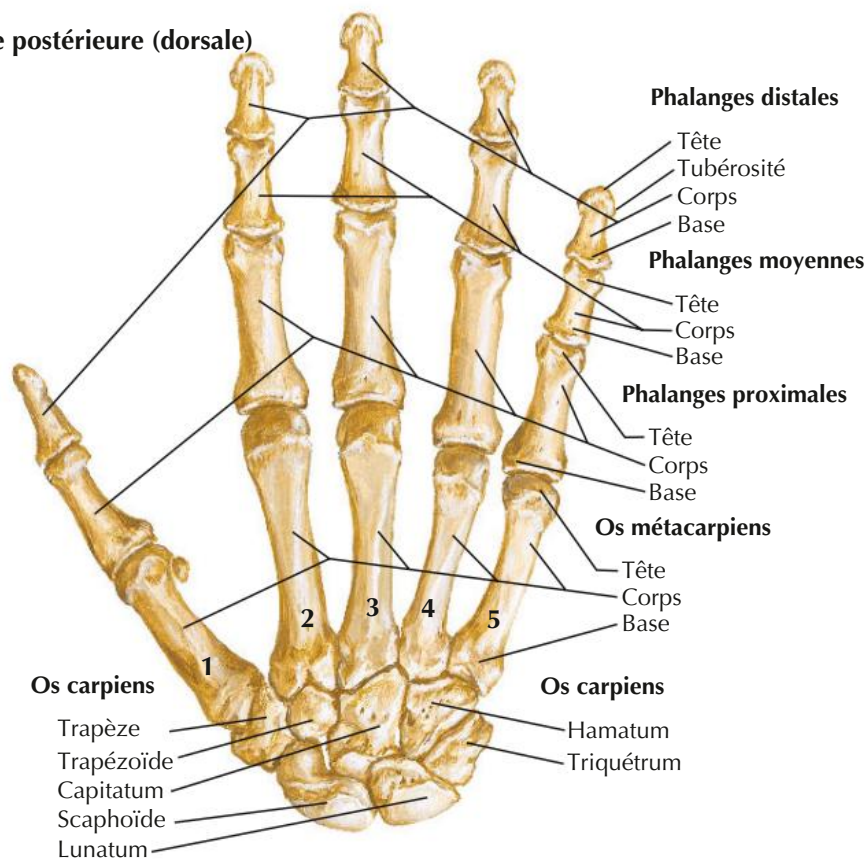
Coupe coronale : vue dorsale



Main droite : vue antérieure (palmaire)

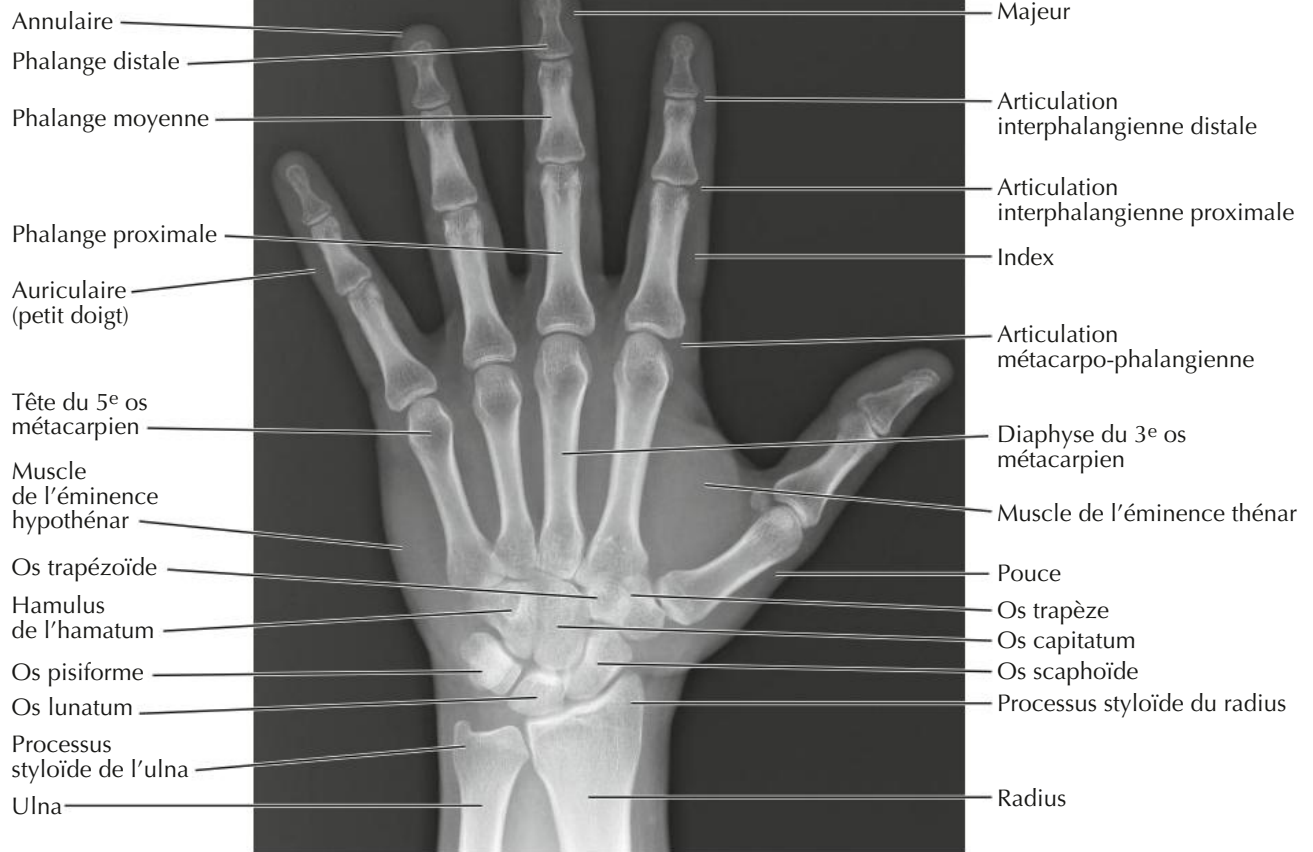


Main droite : vue postérieure (dorsale)



F. Netter M.D.

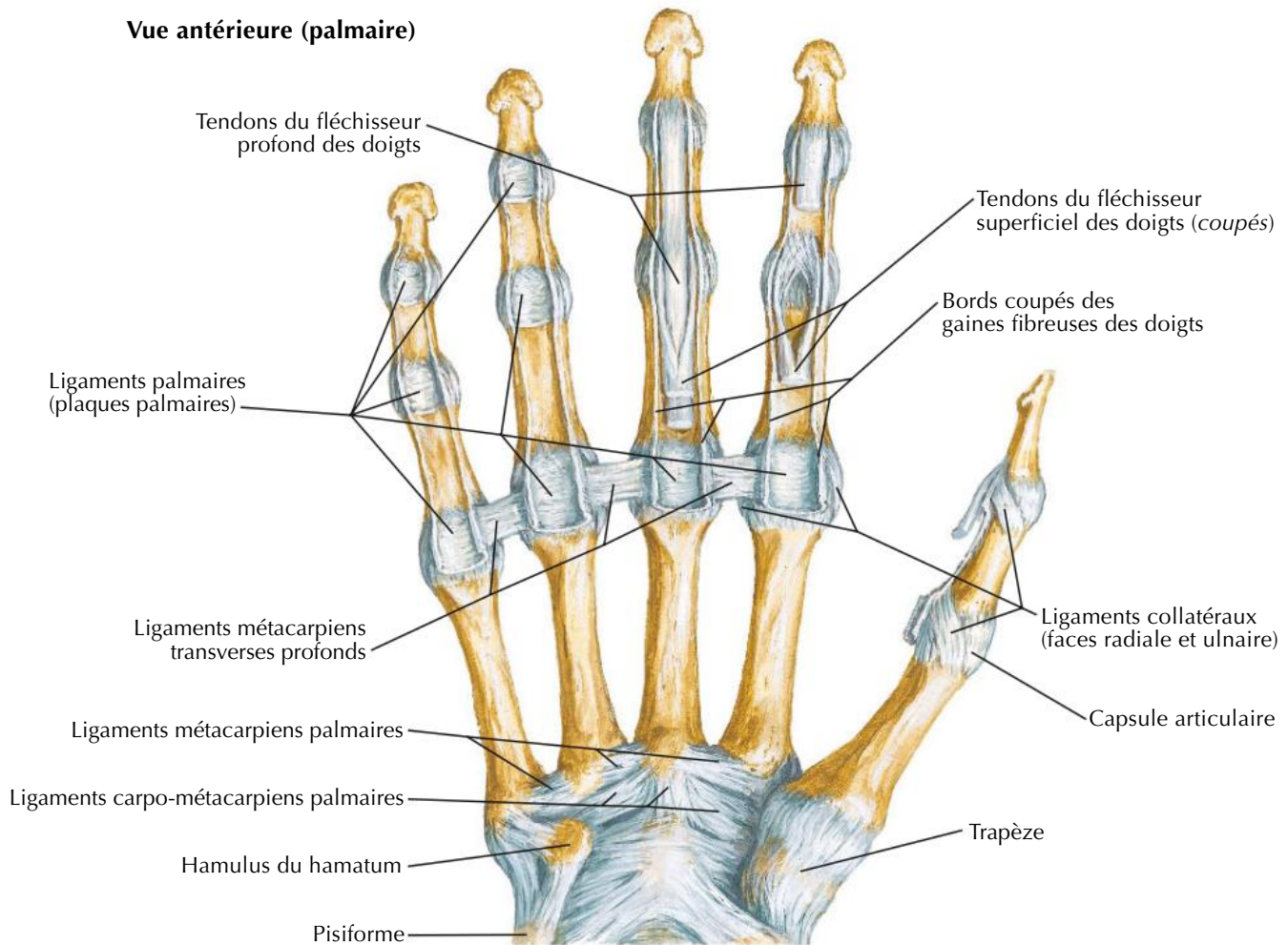
Vue antéro-postérieure



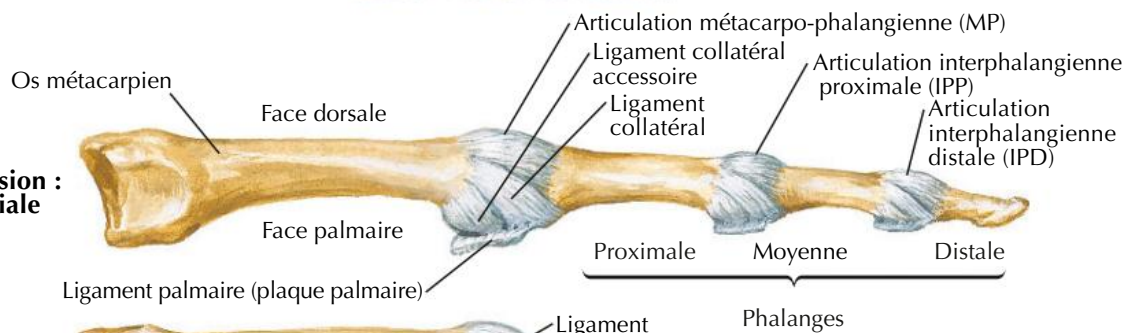
Vue latérale



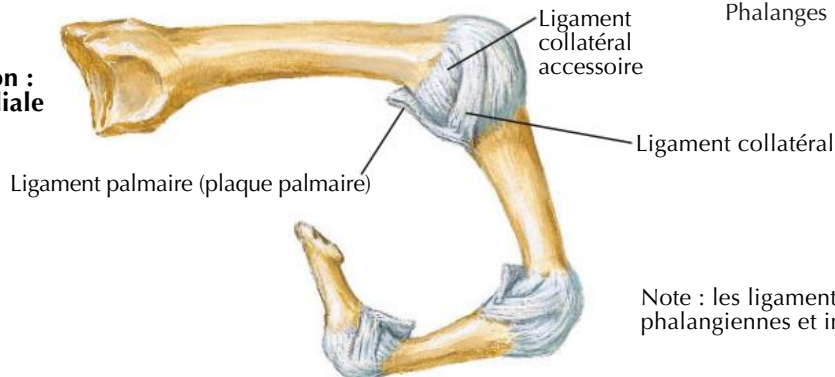
Vue antérieure (palmaire)



En extension : vue médiale



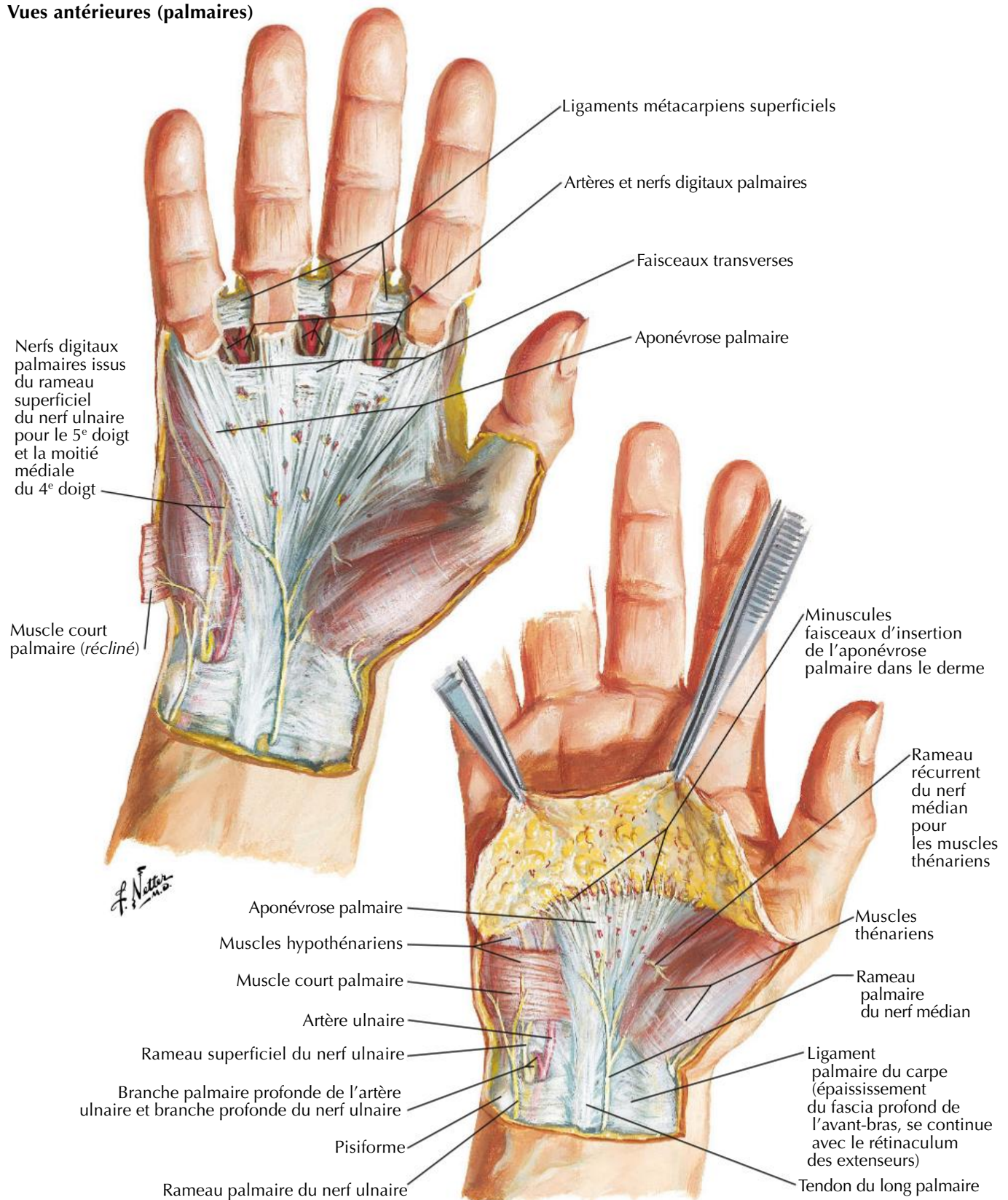
En flexion : vue médiale

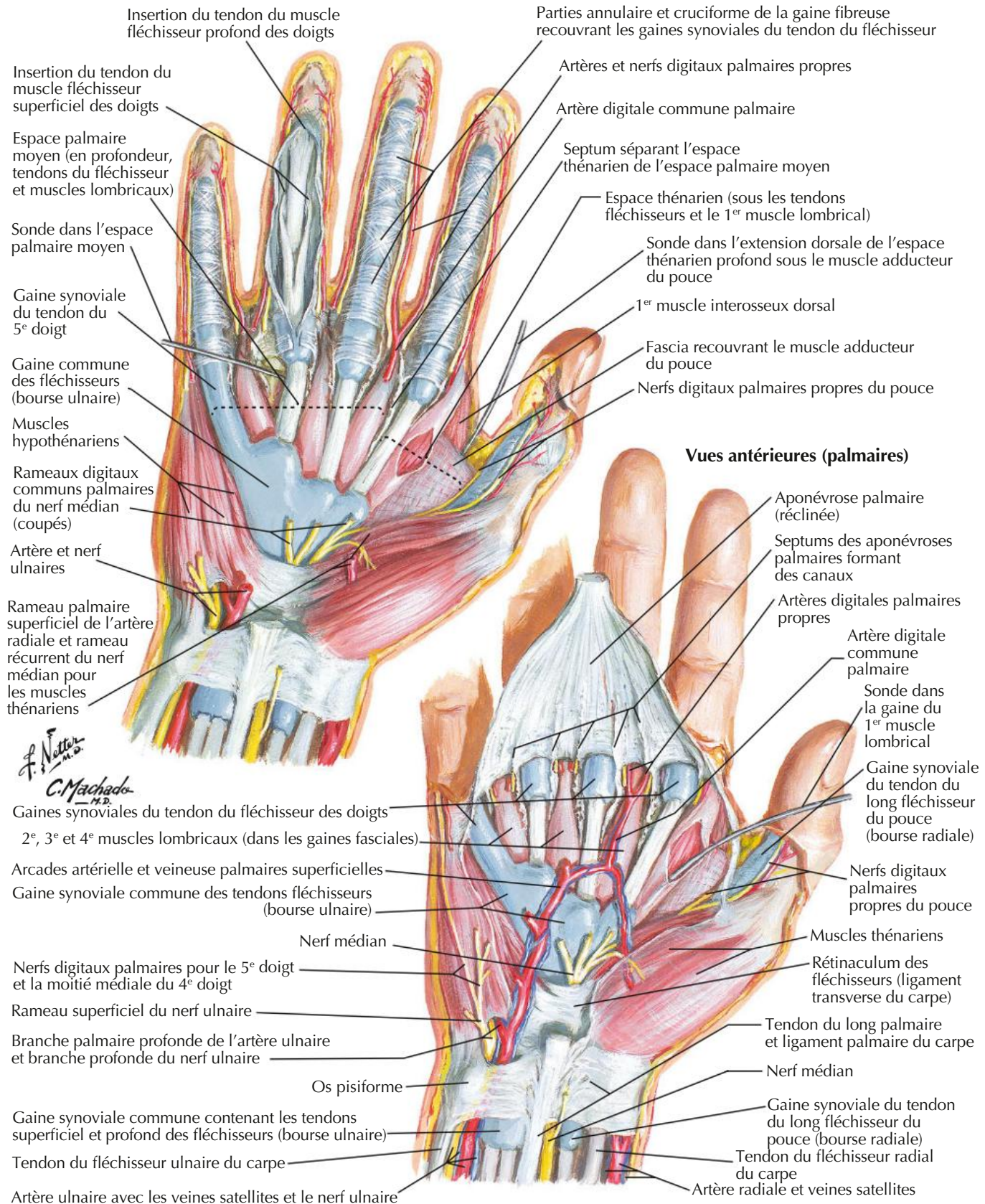


Note : les ligaments des articulations métacarpo-phalangiennes et interphalangiennes sont similaires

F. Netter

Vues antérieures (palmaires)





Variation fréquente

Gaine intermédiaire (communication entre la gaine synoviale commune des fléchisseurs [bourse ulnaire] et la gaine synoviale du tendon du long fléchisseur du pouce [bourse radiale])



Disposition habituelle

Gaines synoviales des tendons des doigts
Muscles lombricaux (dans leur gaine fasciale)
Espace moyen palmaire
Espace thénarien
Gaine synoviale commune des fléchisseurs
Gaine synoviale du tendon du fléchisseur du pouce



Muscles lombricaux : schéma

Tendons du fléchisseur superficiel des doigts (coupés)

Chiasma de Camper

Les tendons lombricaux s'insèrent sur l'aponévrose dorsale des doigts (système extenseur).

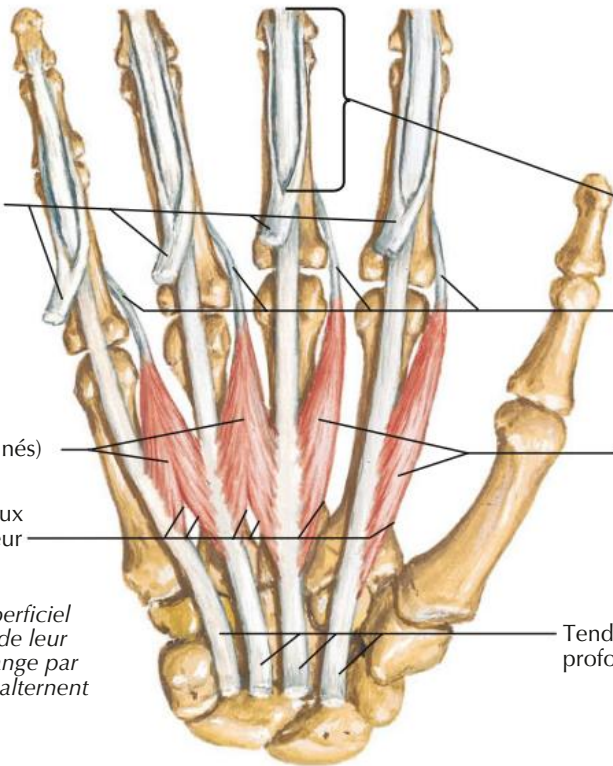
3e et 4e muscles lombricaux (bipennés)

1er et 2e muscles lombricaux (unipennés)

Les tendons lombricaux proximaux naissent des tendons du fléchisseur profond des doigts.

Tendons du fléchisseur profond des doigts

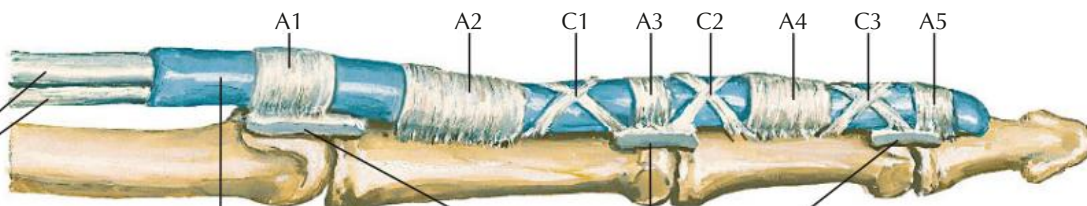
Note : les tendons fléchisseurs superficiel et profond des doigts enveloppés de leur gaine synoviale sont liés à la phalange par les gaines fibreuses des doigts qui alternent les parties annulaires solides (A) et cruciformes plus faibles (C).

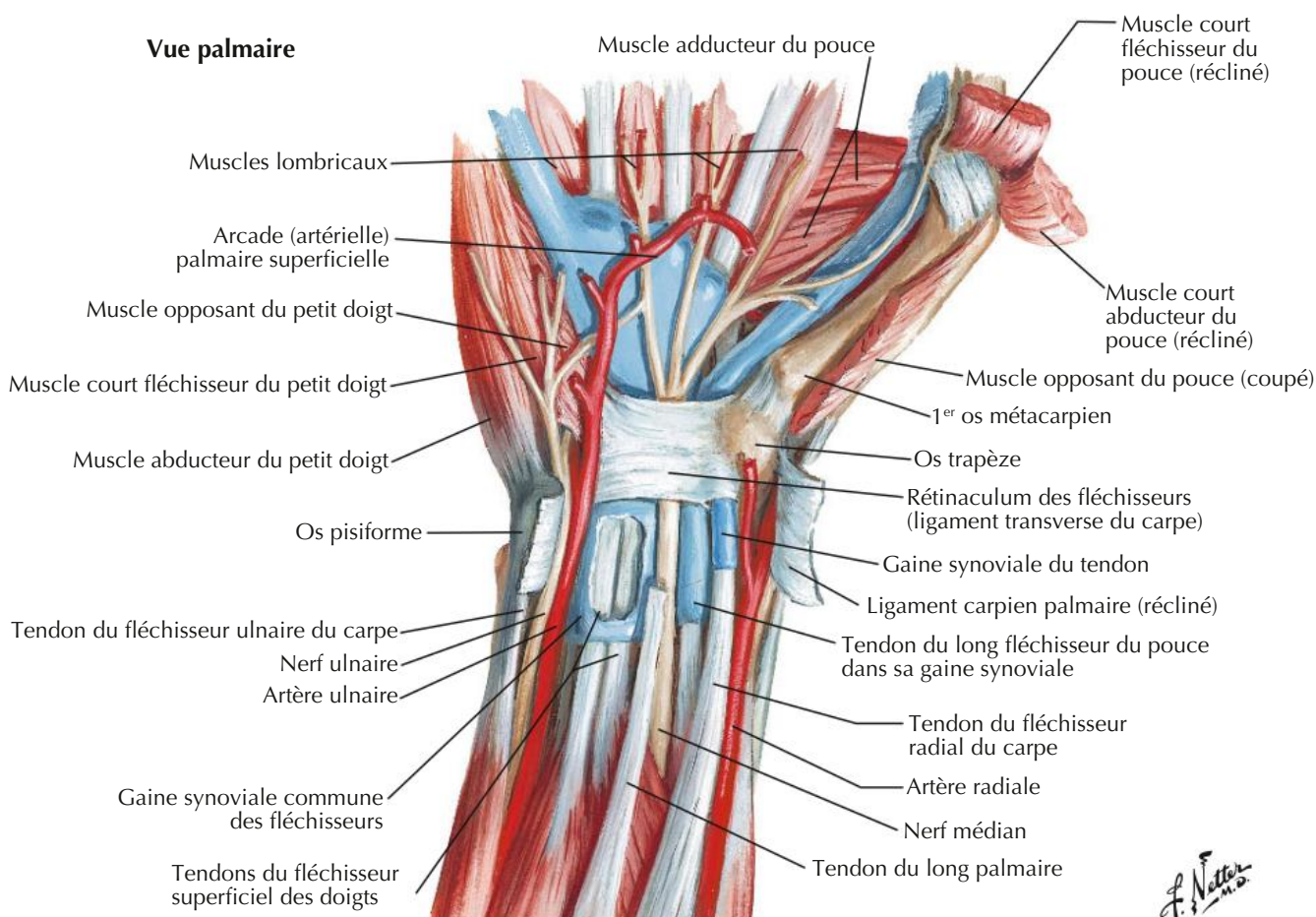


Tendons des muscles fléchisseurs superficiel et profond des doigts

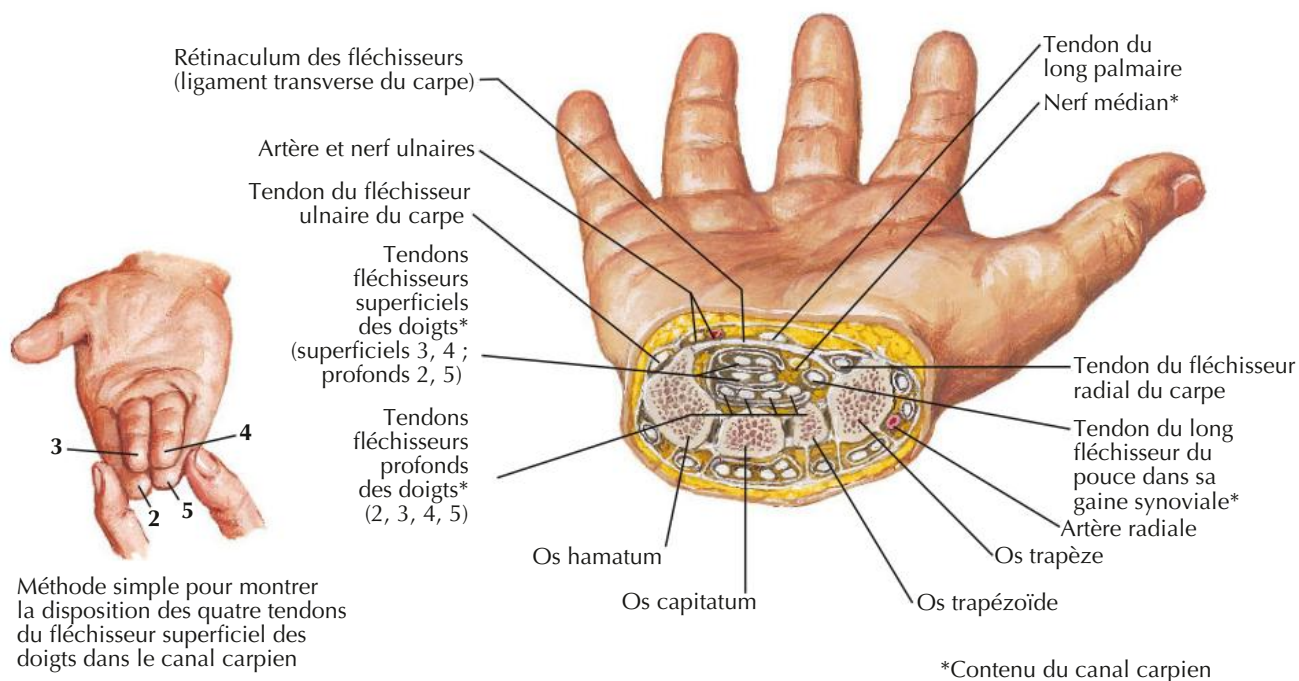
Gaine synoviale d'un tendon

Ligaments palmaires (plaques palmaires)

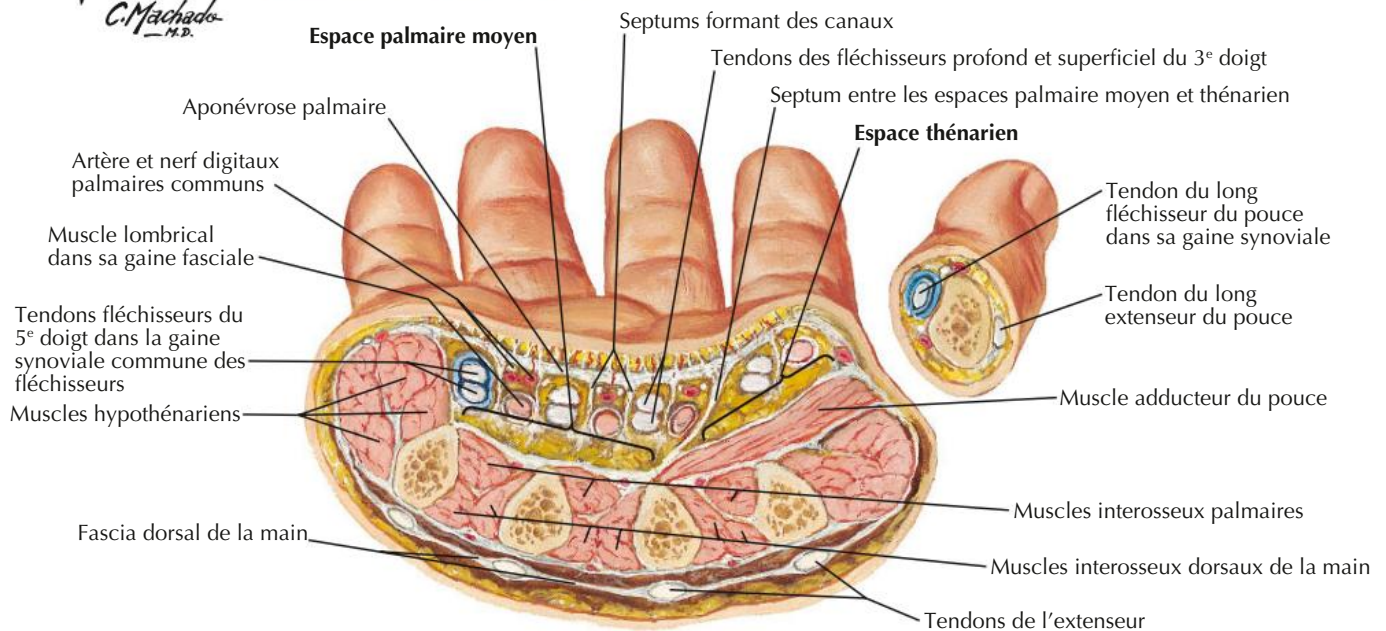
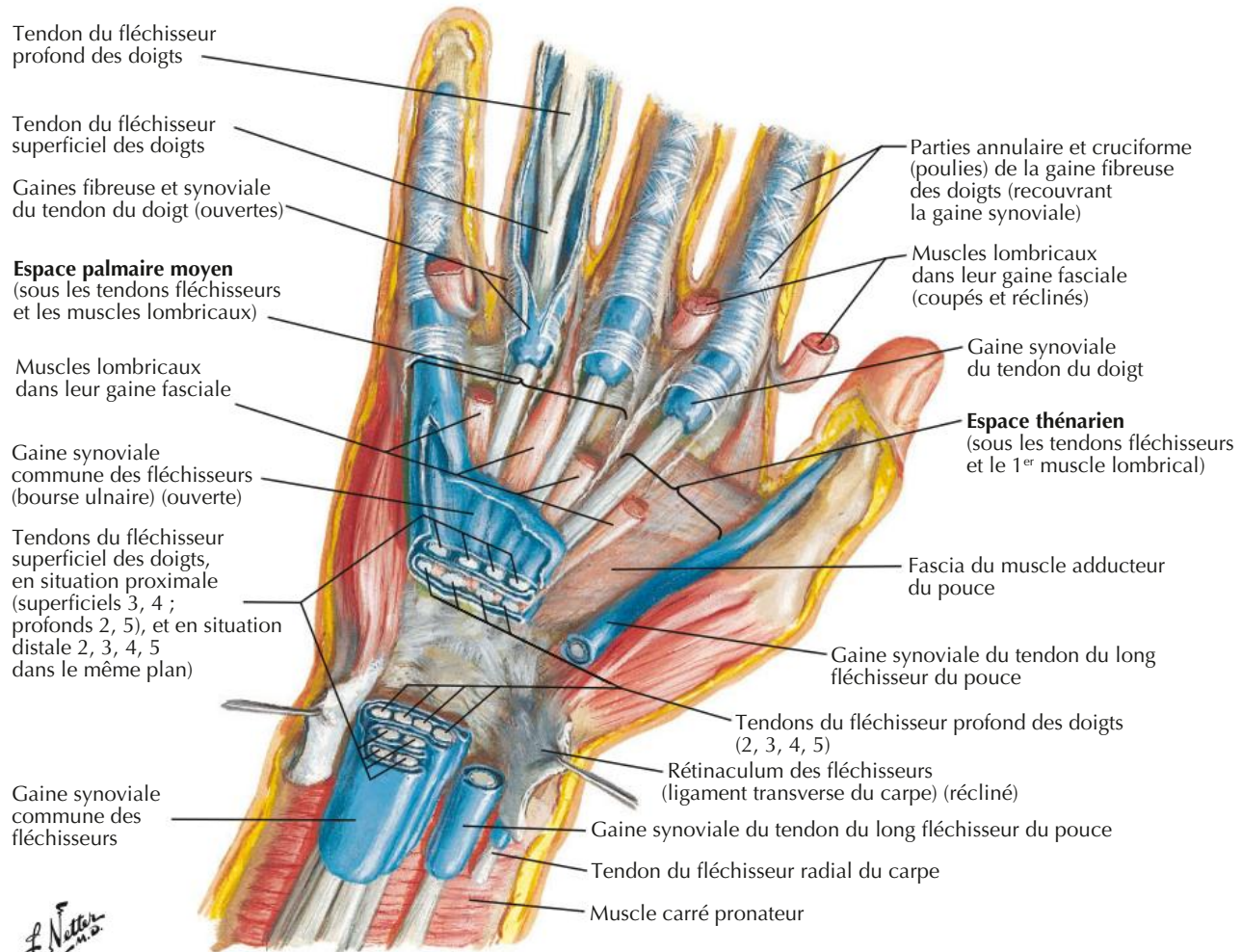


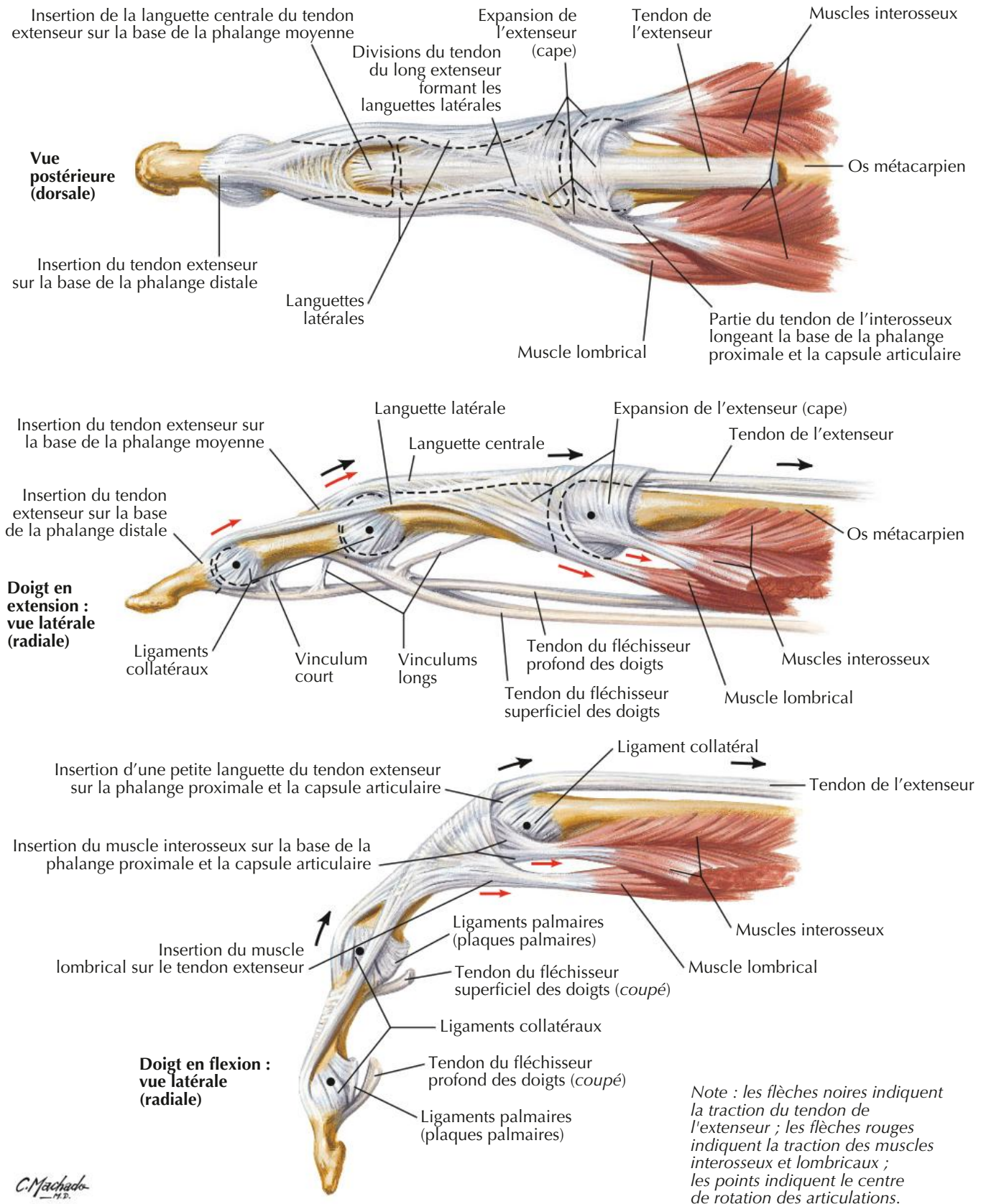


Coupe transversale du poignet montrant le canal carpien

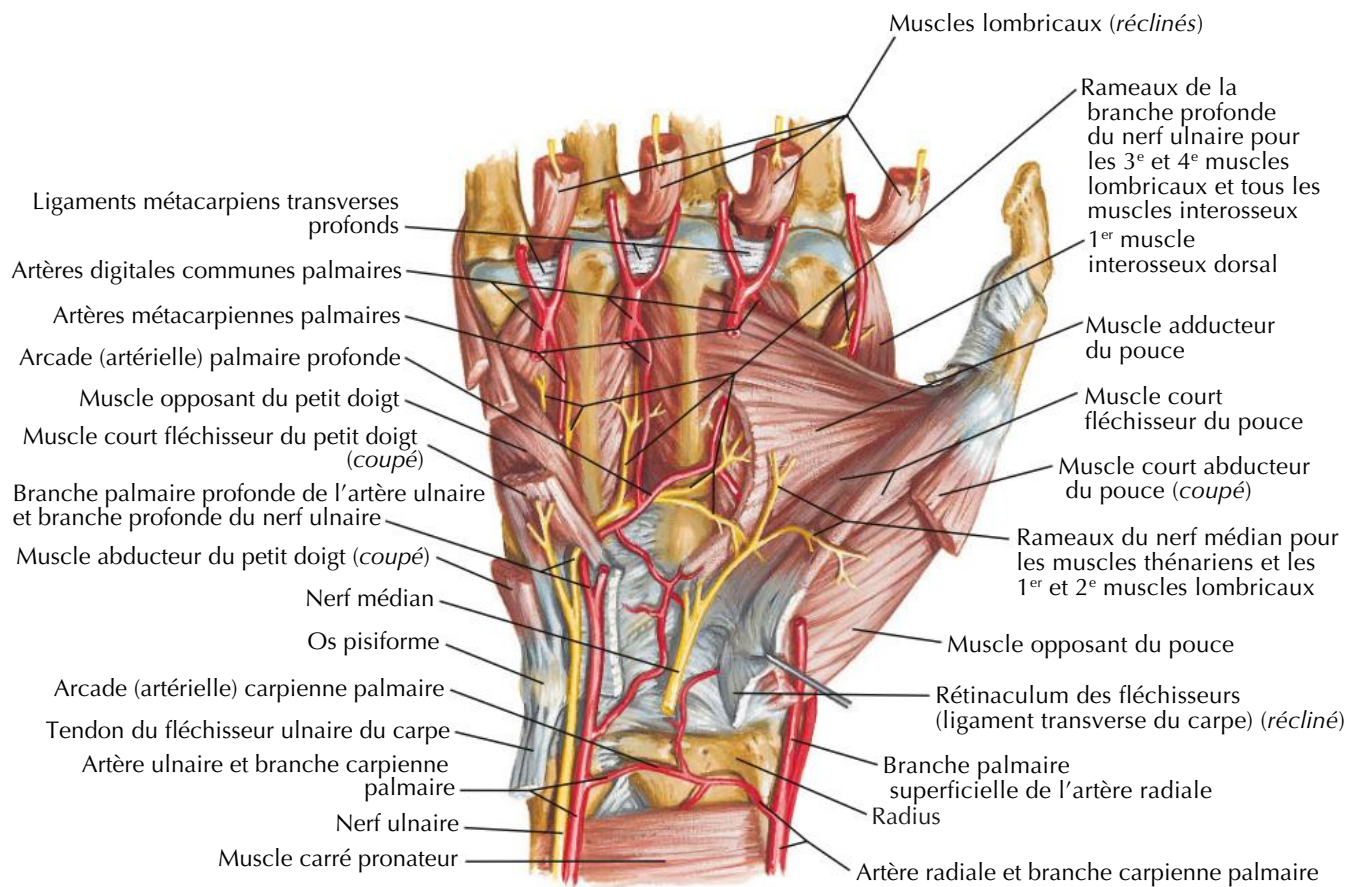


Bourses, espaces et gaines des tendons de la main

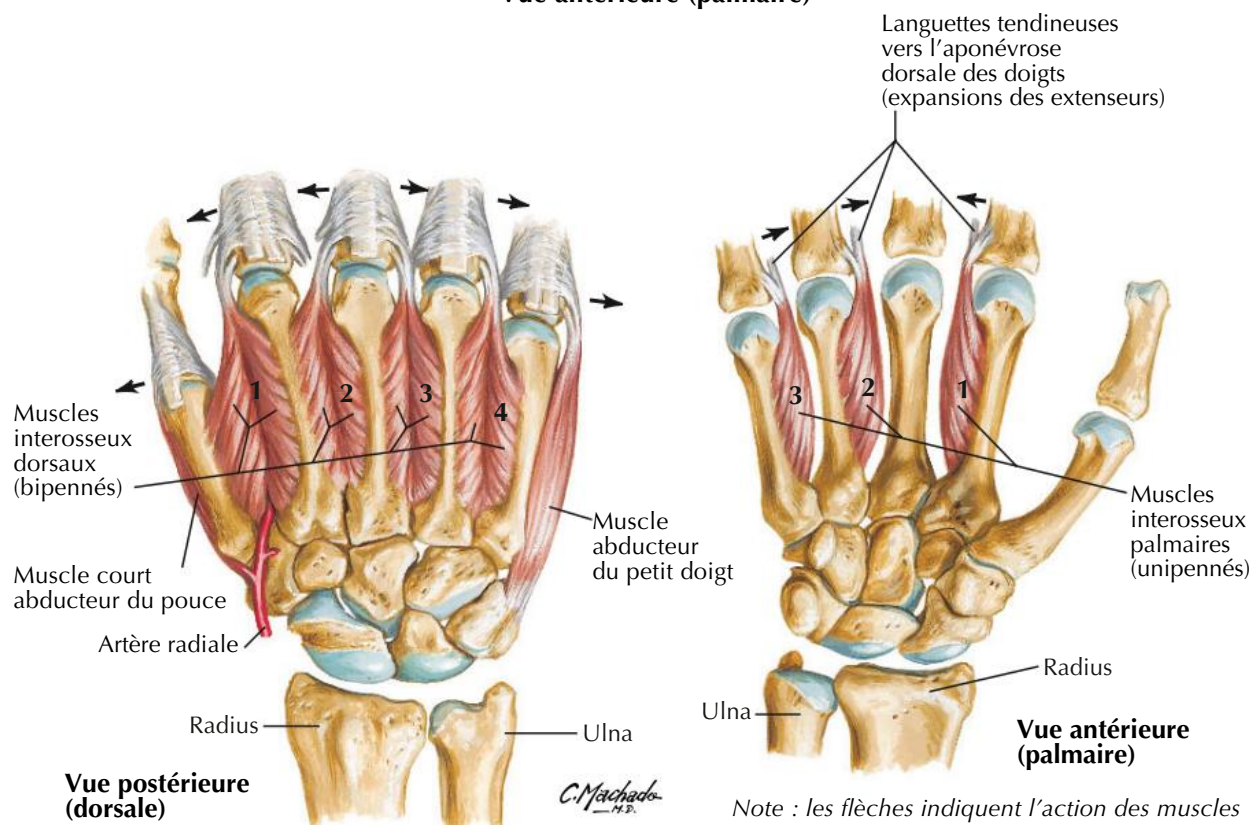


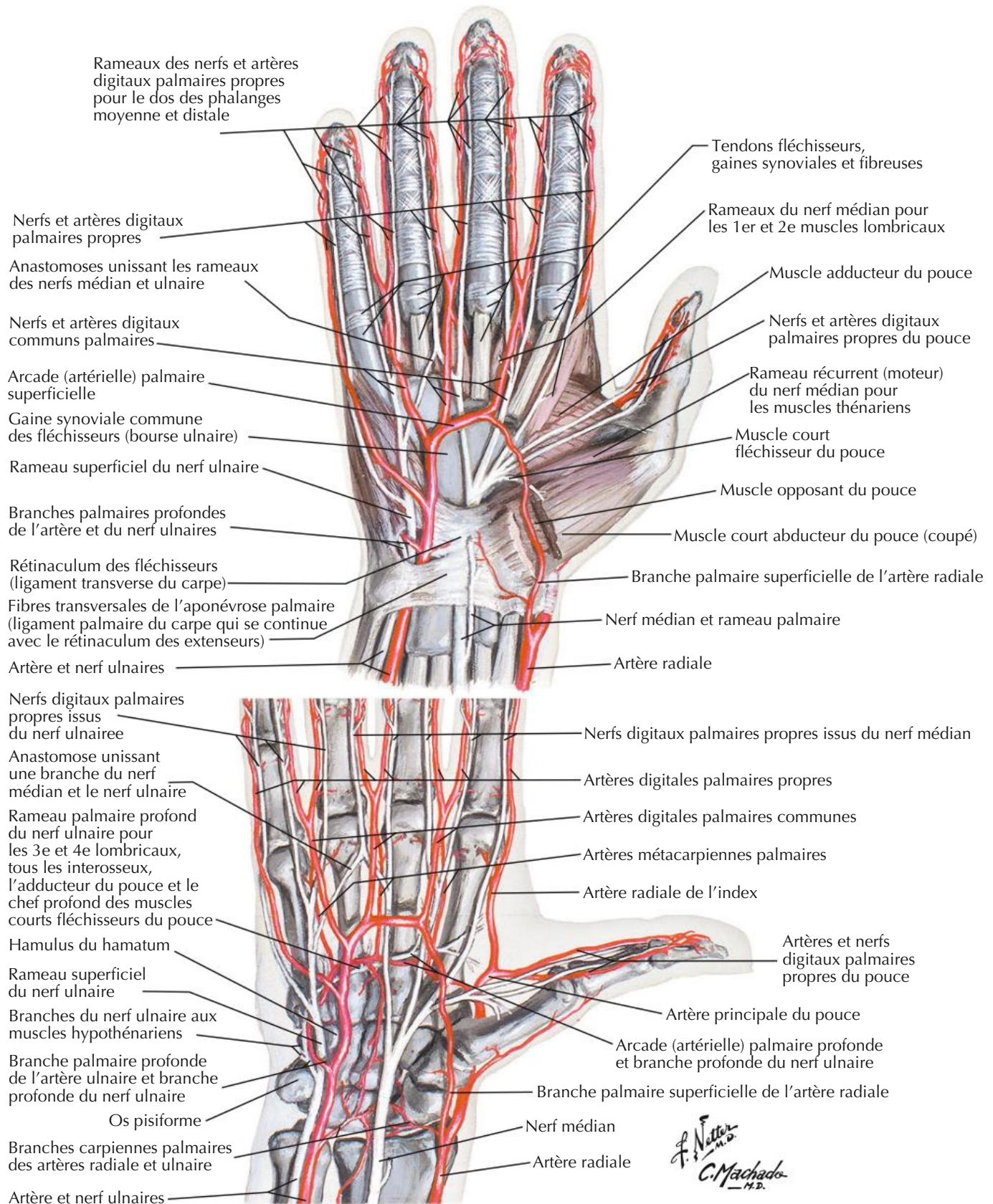


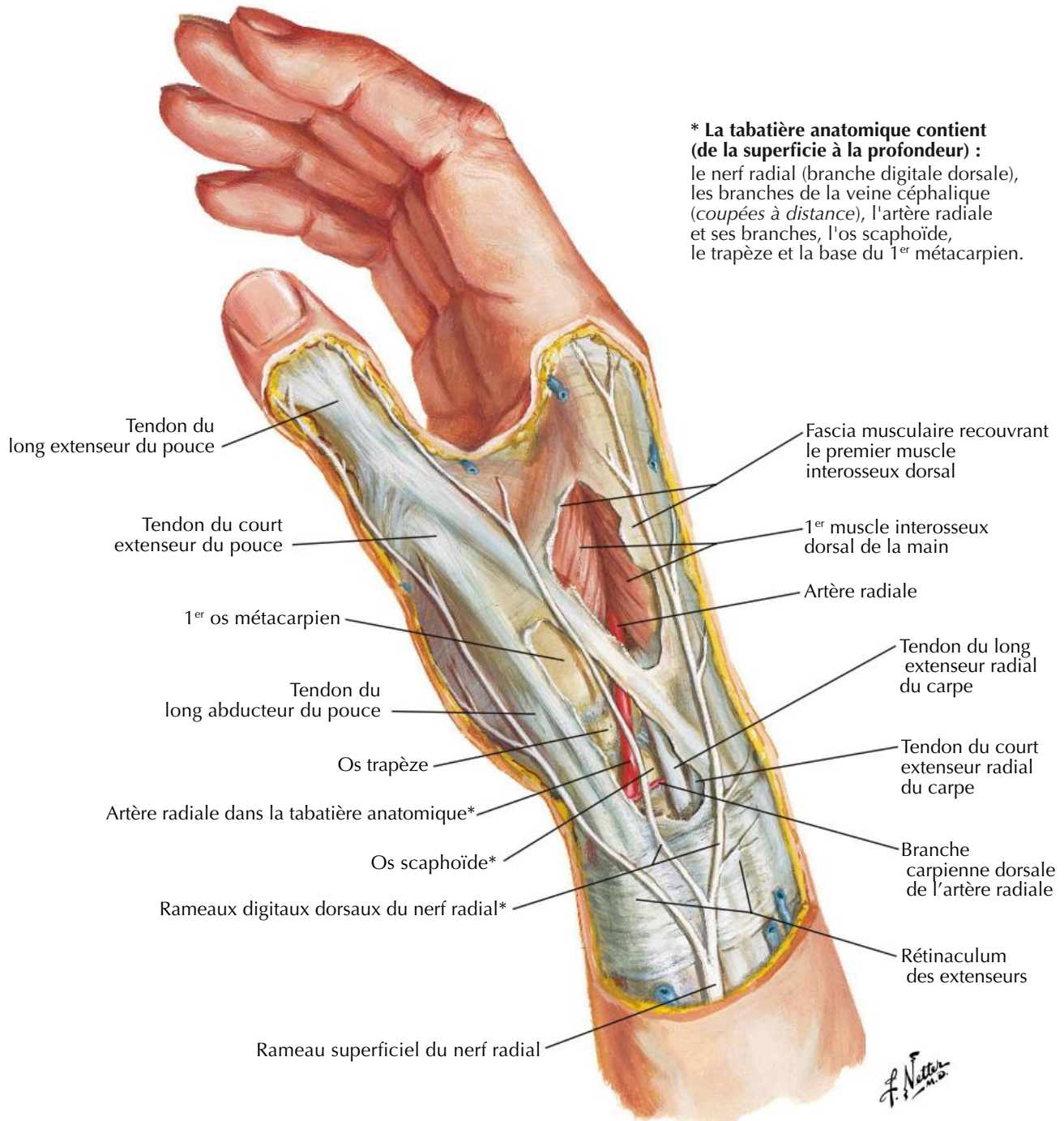
Muscles intrinsèques de la main

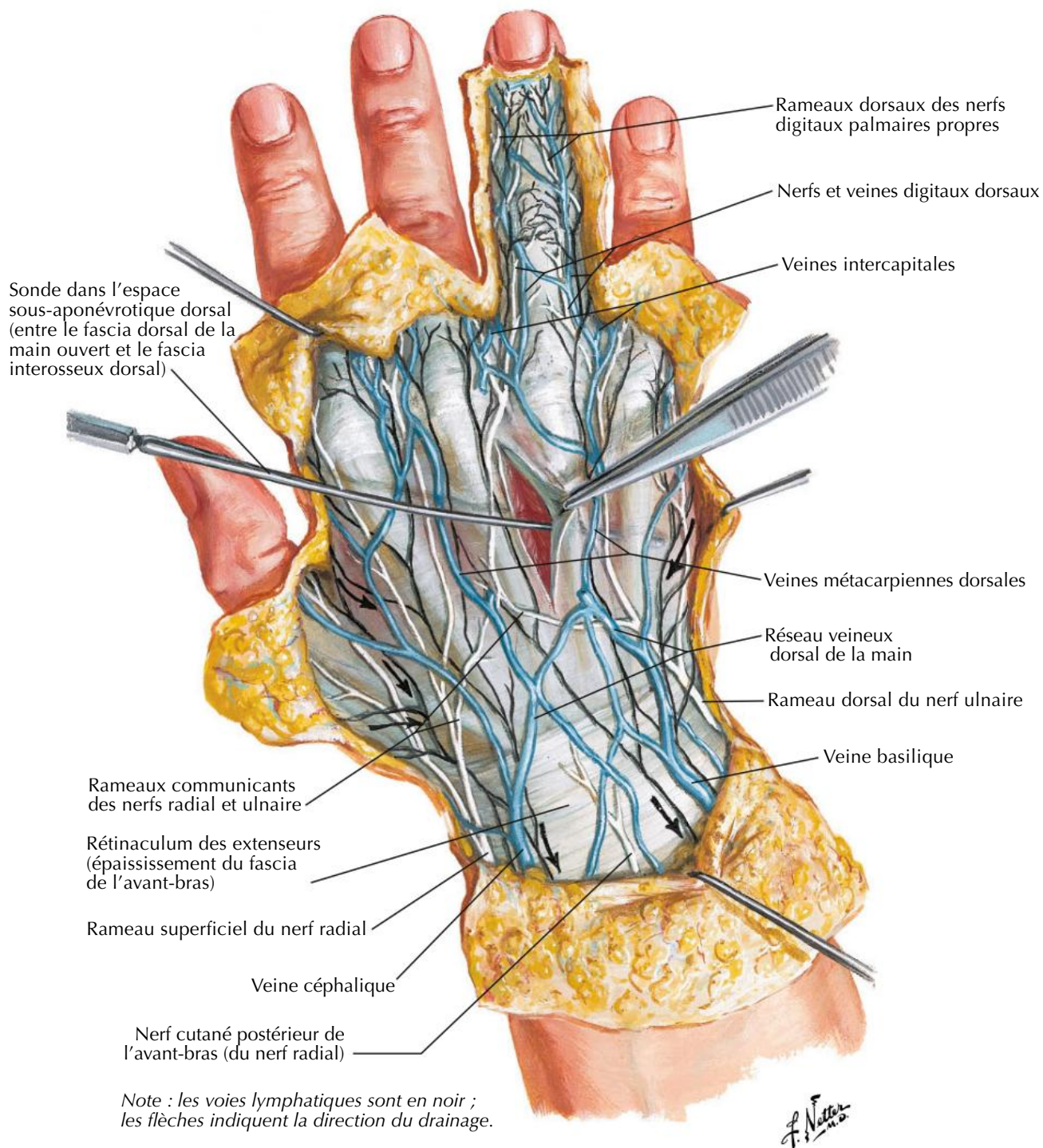


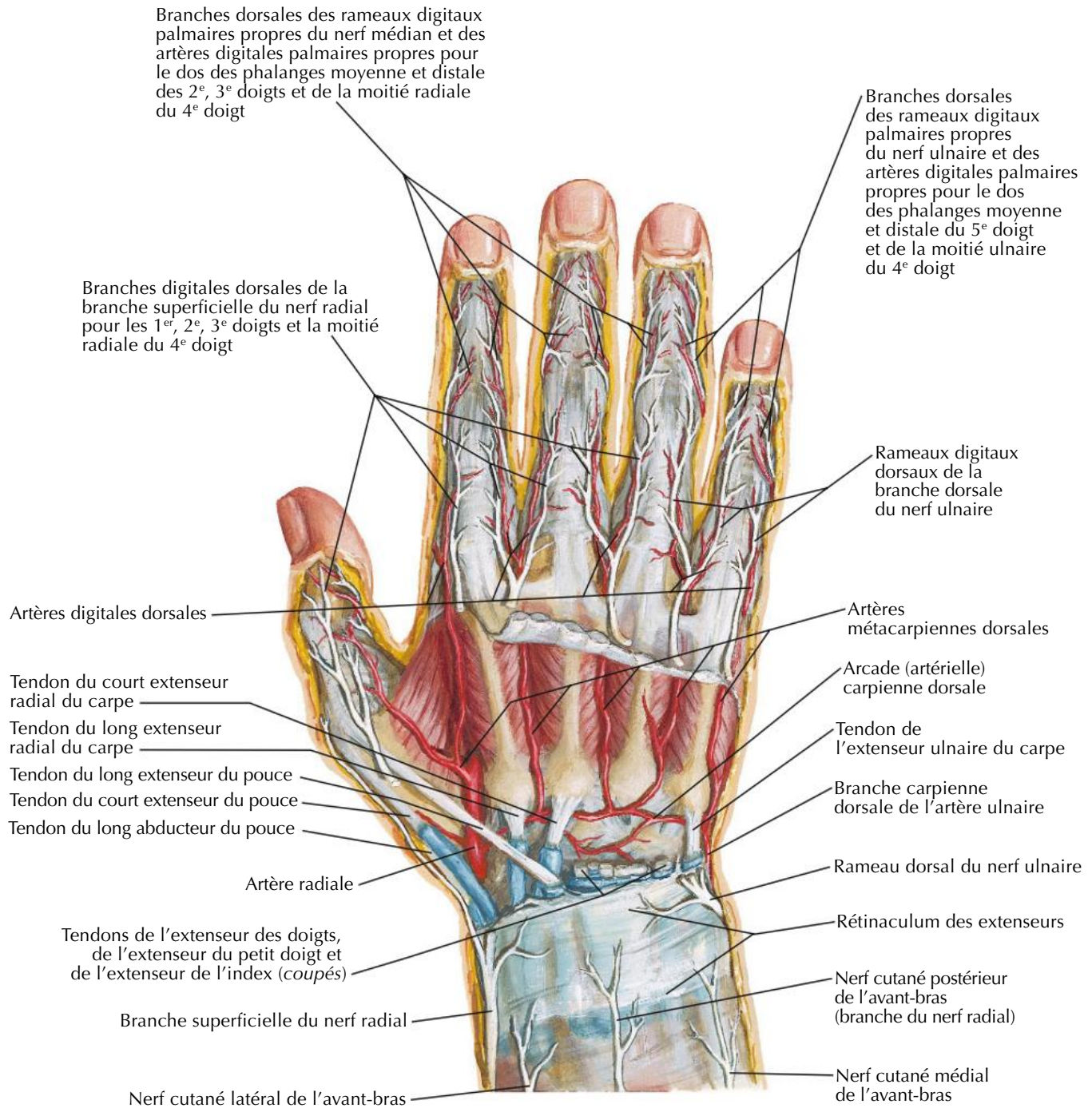
Vue antérieure (palmaire)



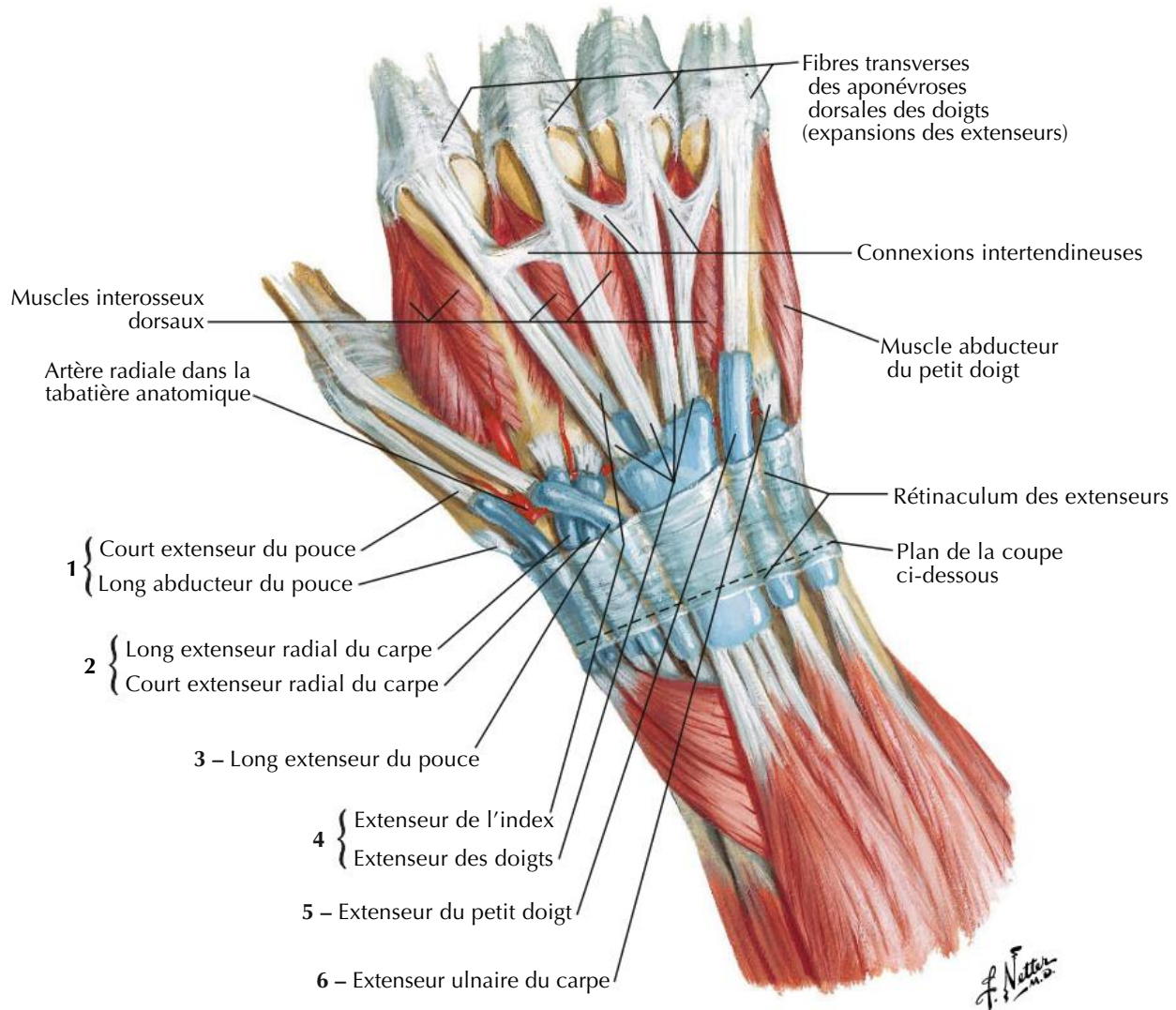




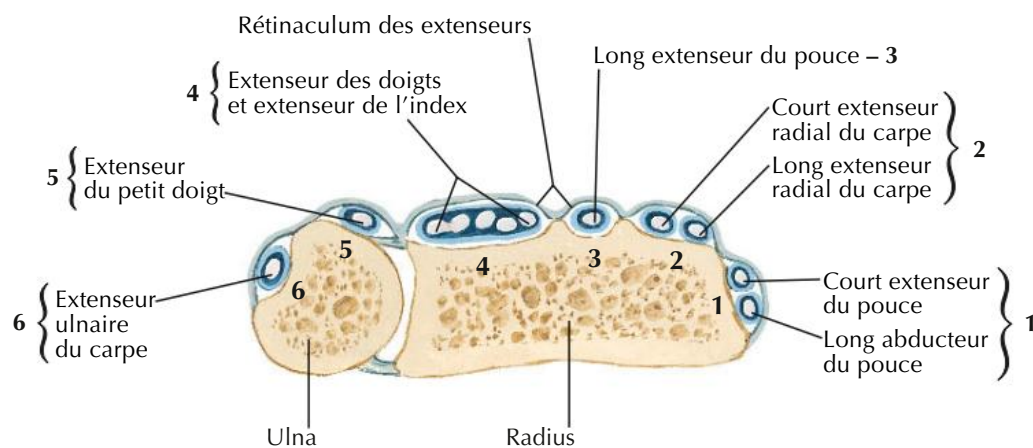


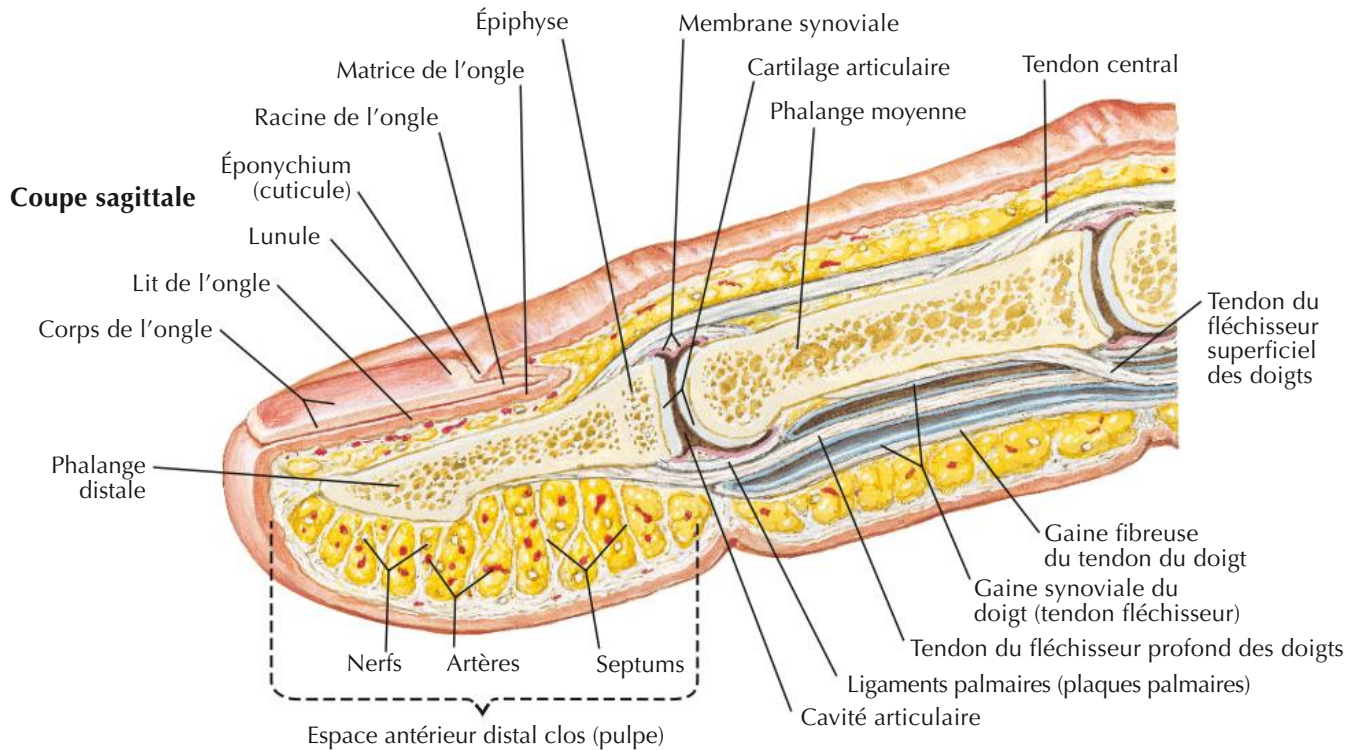


Vue postérieure (dorsale) (les gaines tendineuses carpiennes dorsales sont numérotées)

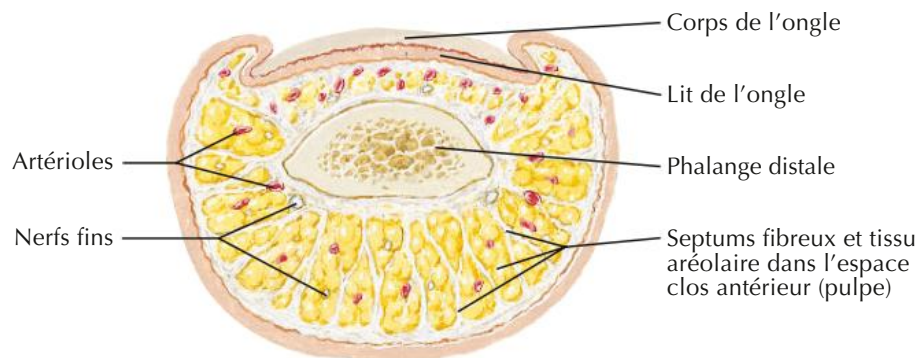


Coupe transversale de la partie la plus distale de l'avant-bras



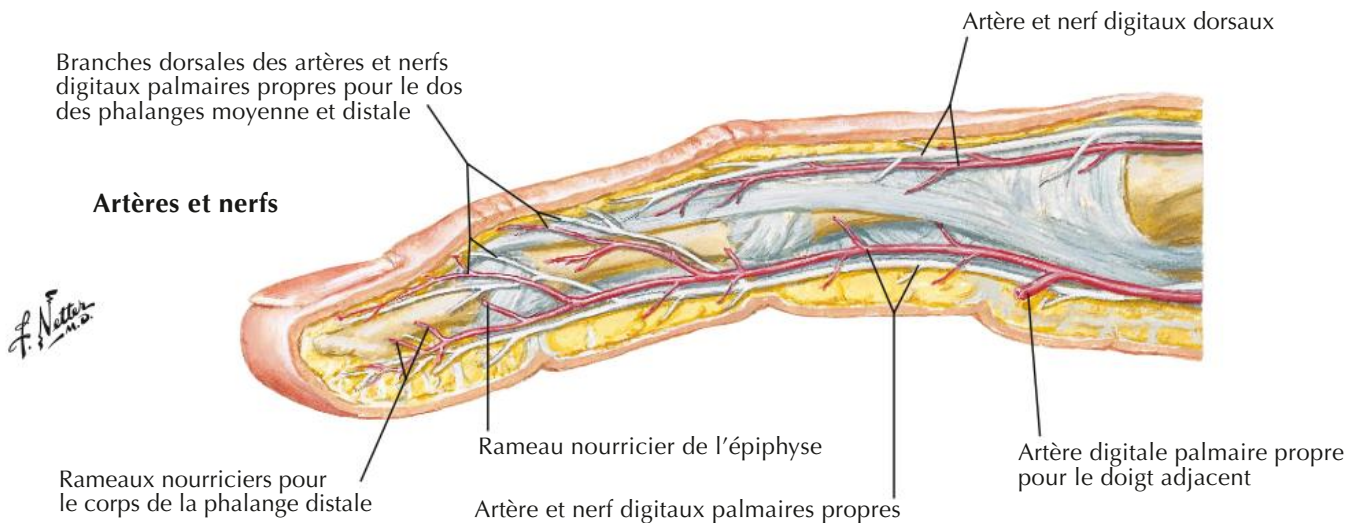


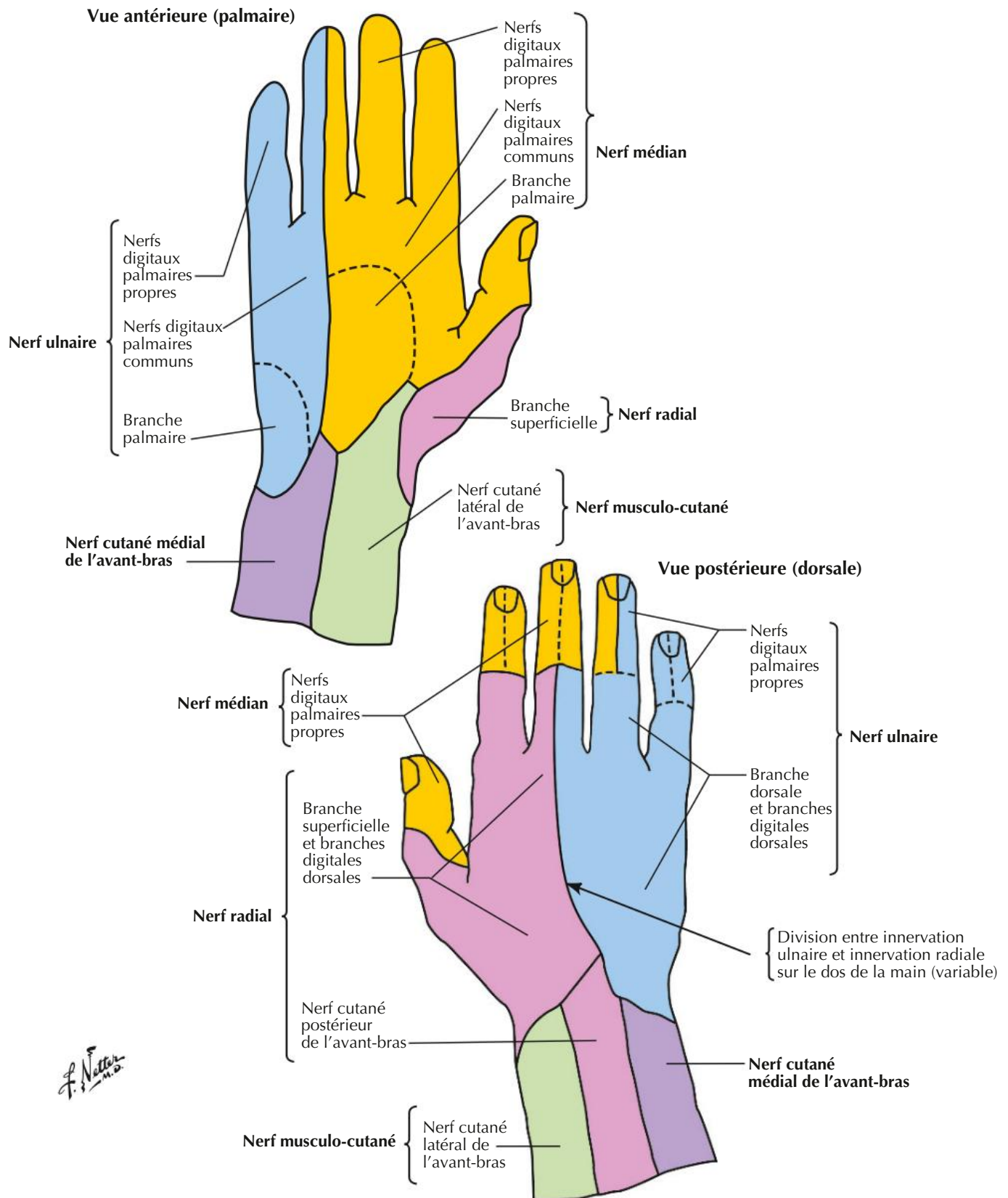
Coupe transversale à travers la phalange distale

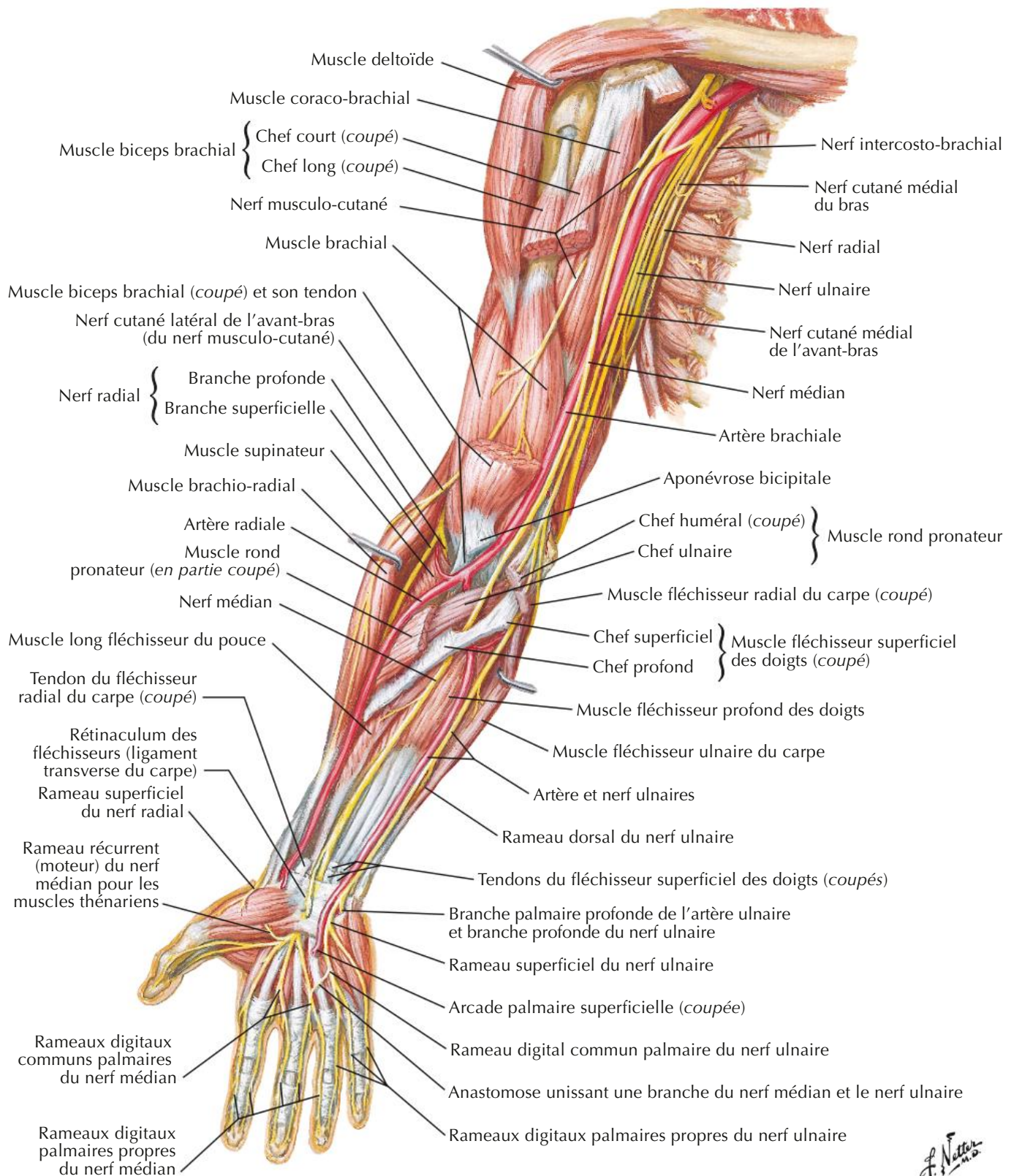


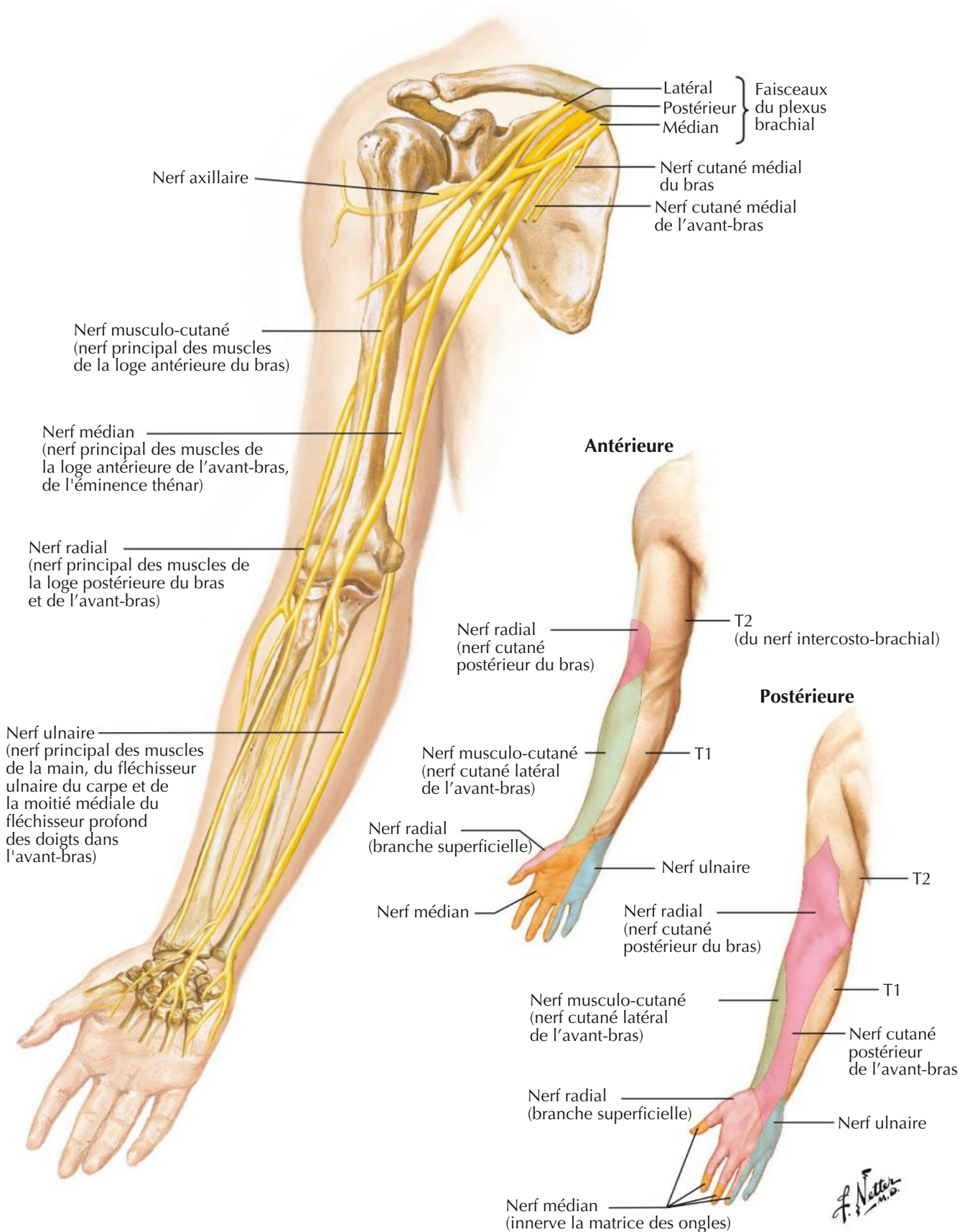
Branches dorsales des artères et nerfs digitaux palmaires propres pour le dos des phalanges moyenne et distale

Artères et nerfs

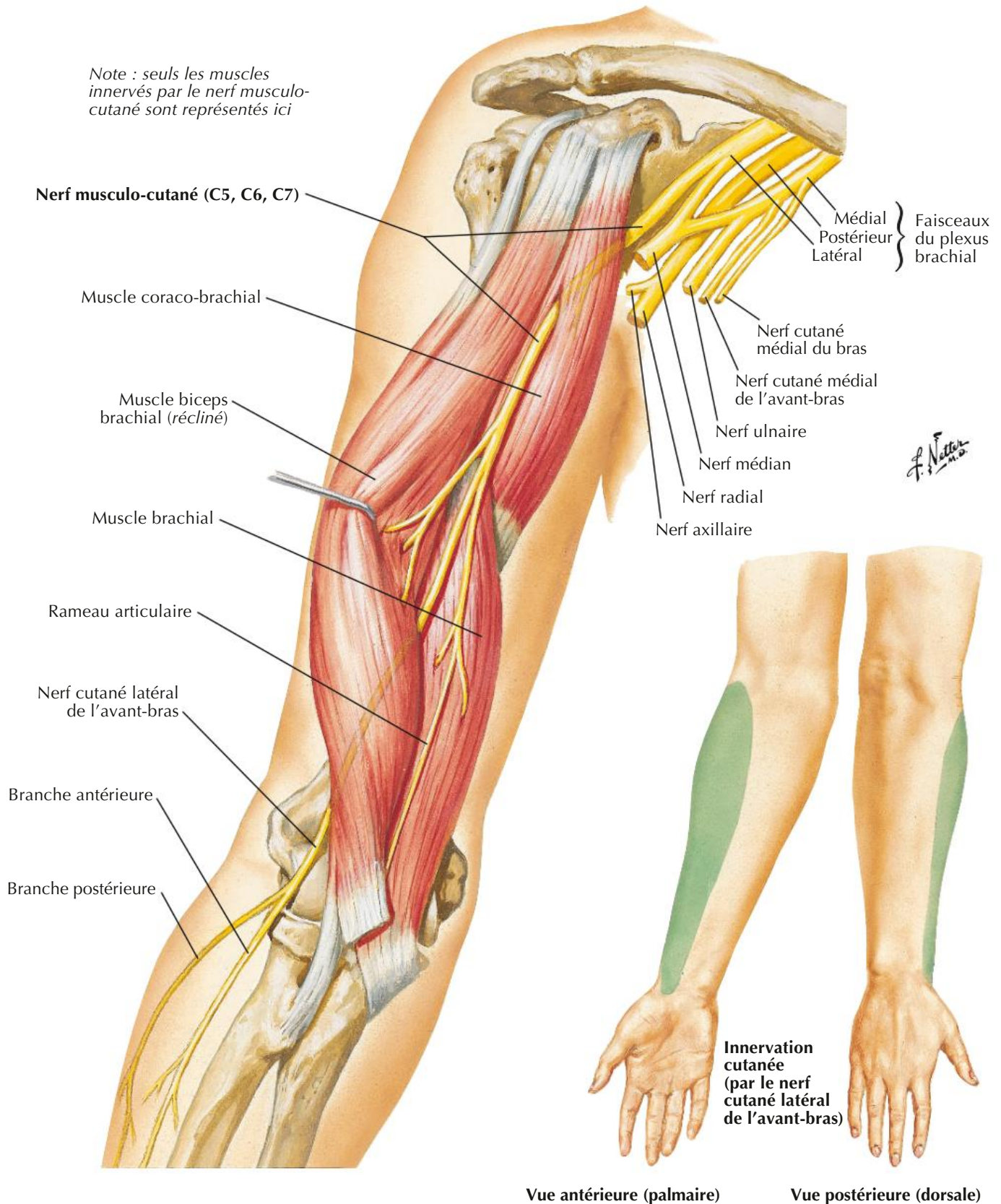






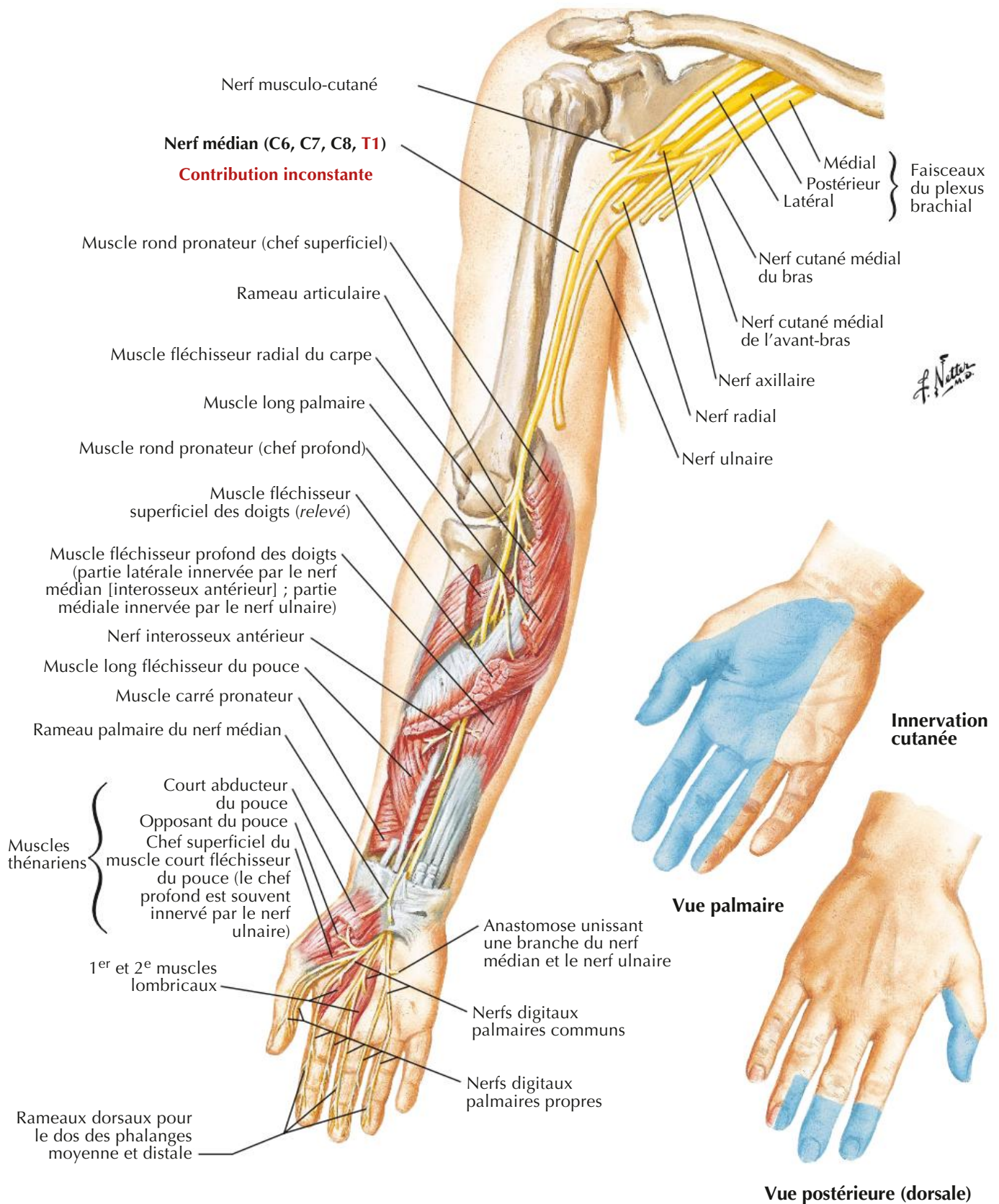


Note : seuls les muscles innervés par le nerf musculo-cutané sont représentés ici

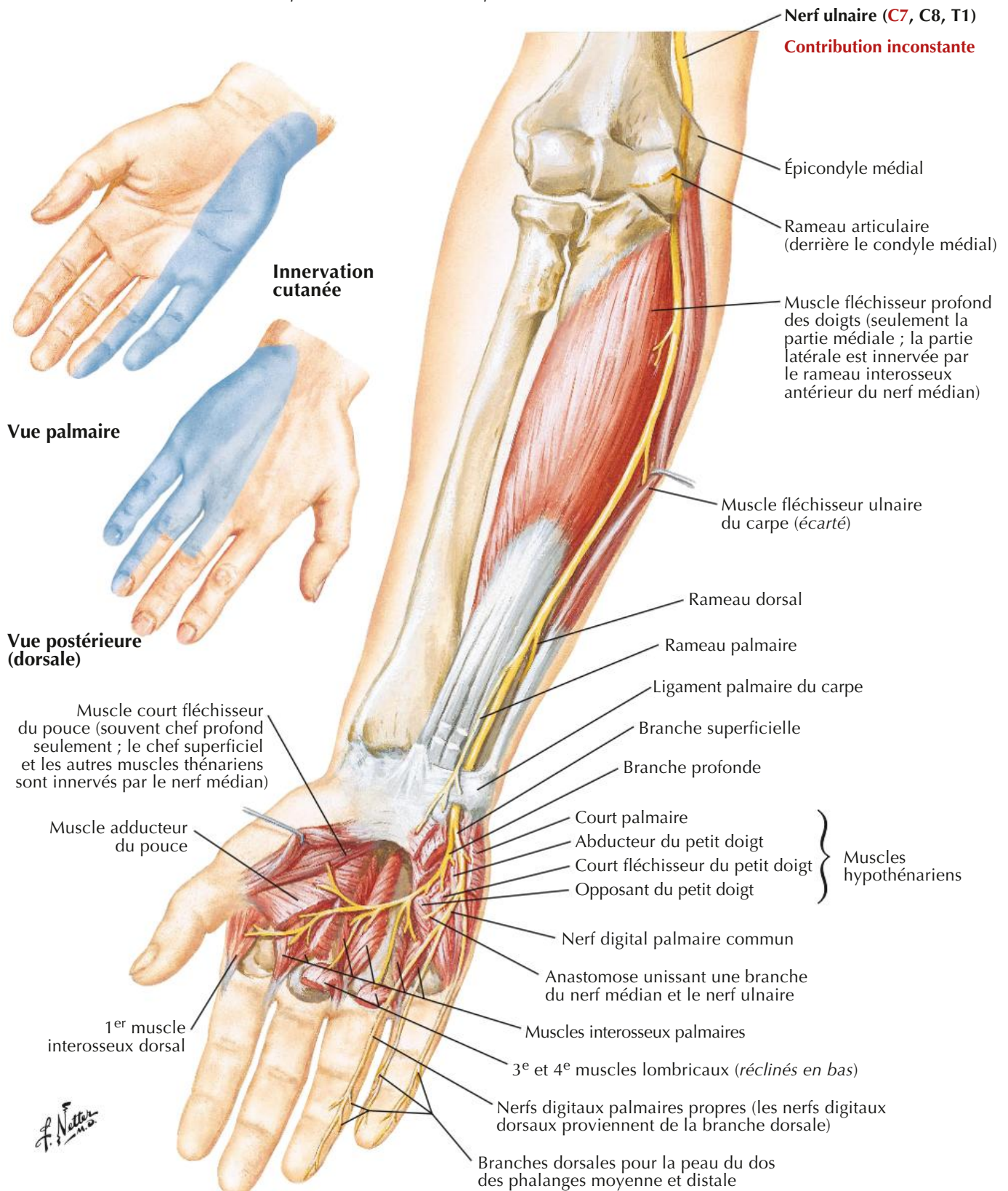


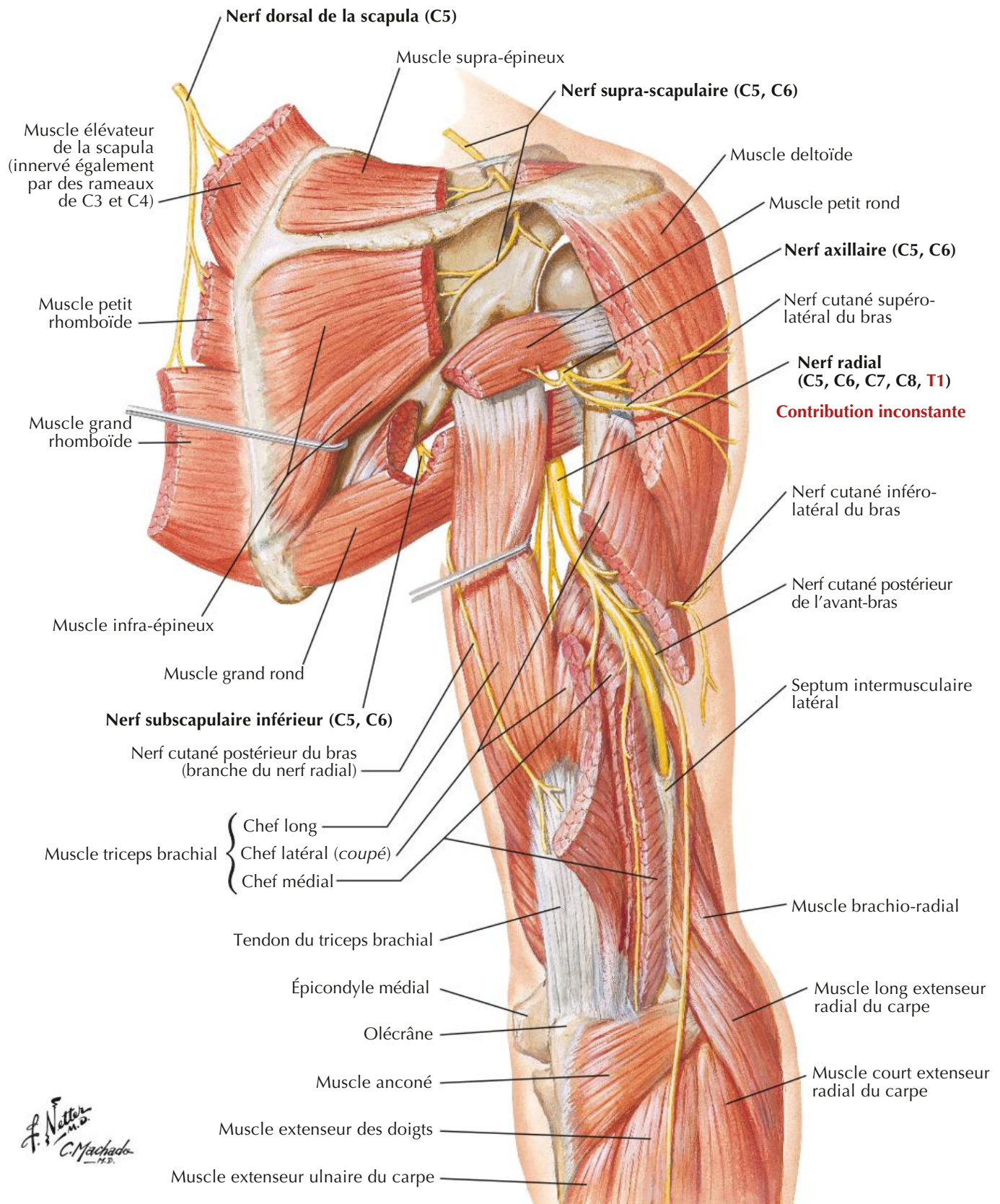
Vue antérieure

Note : seuls les muscles innervés par le nerf médian sont représentés ici.



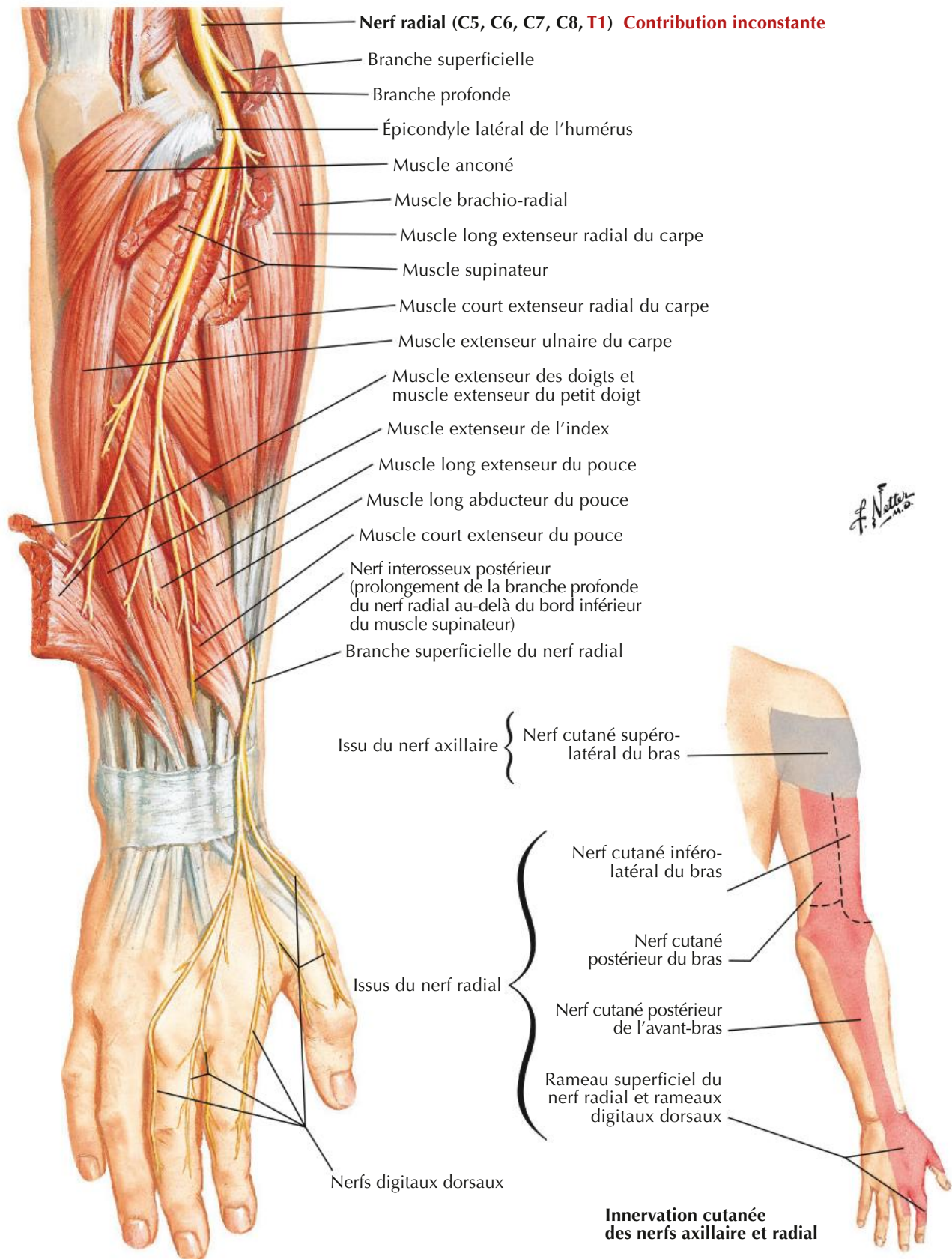
Note : seuls les muscles innervés par le nerf ulnaire sont représentés ici.





Nerf radial à l'avant-bras et à la main

Voir aussi Planches 434, 457

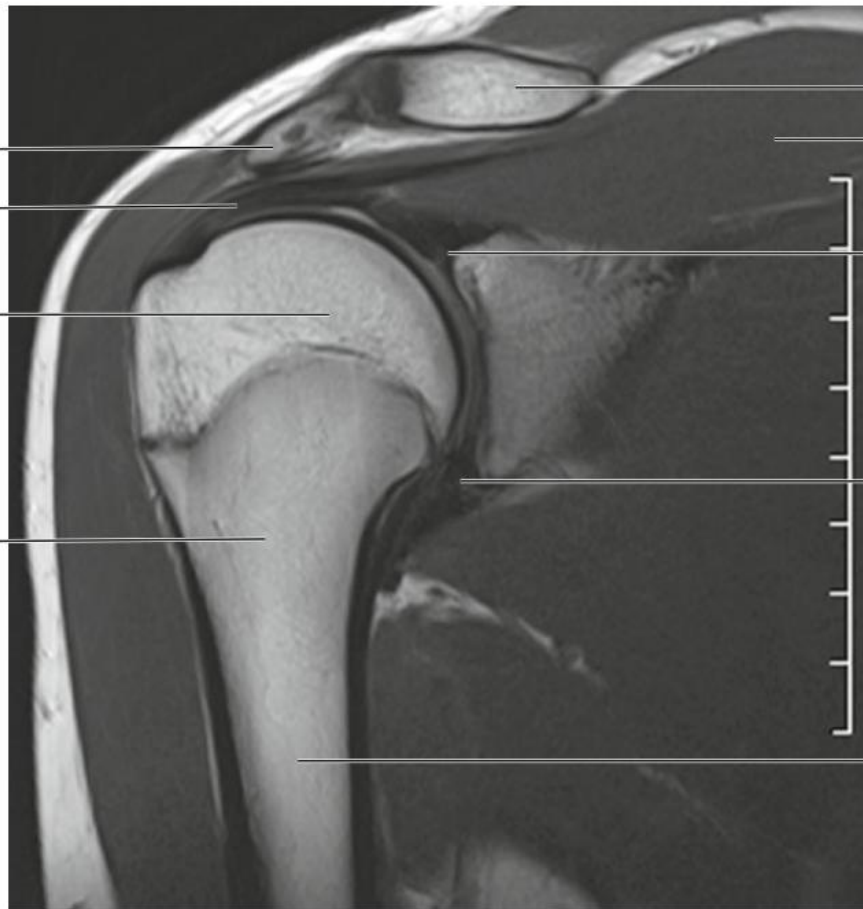


Coupe coronale
d'IRM, séquence
en densité de proton

Acromion
Tendon
du supra-épineux

Tête de l'humérus

Col chirurgical



Clavicule

Muscle
supra-épineux

Labrum
glénoïdal

Labrum
glénoïdal

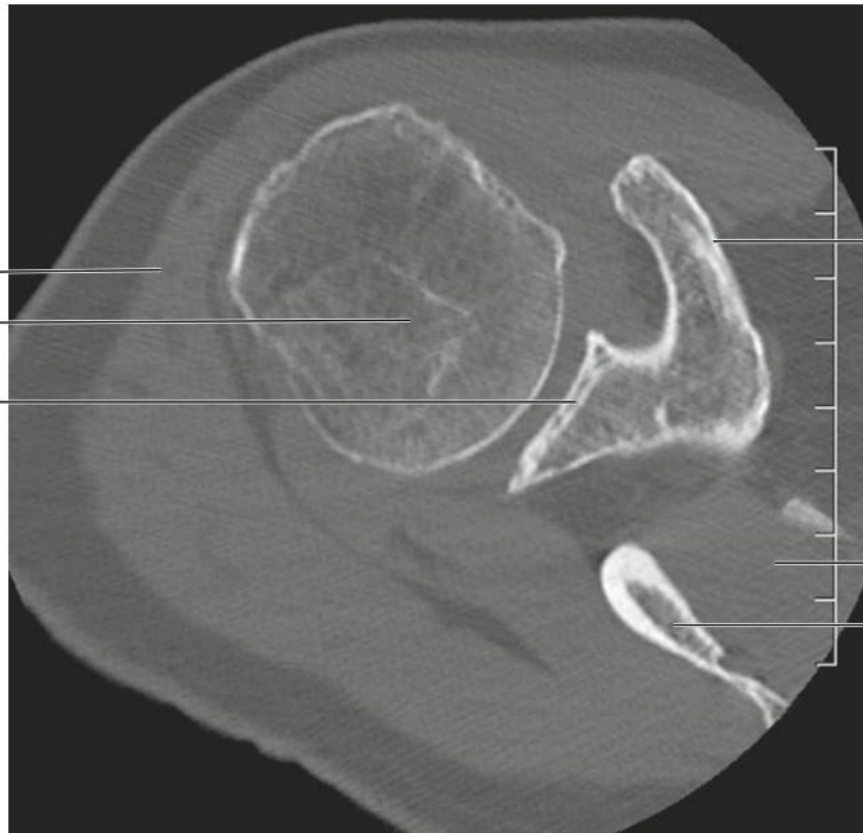
Humérus

Image TDM axiale
de l'articulation
gléno-humérale

Muscle deltoïde

Tête de l'humérus




Fosse (cavité)
glénoïdale





Processus
coracoïde

Muscle
supra-épineux

Épine
de la scapula

STRUCTURES ANATOMIQUES	IMPORTANCE CLINIQUE	NUMÉROS DES PLANCHES
 SYSTÈME SQUELETTIQUE		
Clavicule	La plupart des fractures claviculaires sont la conséquence d'une chute sur un membre supérieur en extension ou d'un traumatisme direct sur le côté externe de l'épaule. Le tiers moyen de la clavicule est le plus souvent fracturé en raison de sa morphologie osseuse changeante, de sa fonction d'entretoise et de ses insertions ligamentaires	408, 409
Humérus	La partie proximale de l'humérus, particulièrement le col chirurgical, est fracturée soit par des chutes de faible énergie chez des personnes âgées, soit par des traumatismes à haute énergie chez les jeunes. Le nerf axillaire est en danger et les artères humérales circonflexes peuvent être lésées. Les fractures de la diaphyse sont également relativement fréquentes et menacent le nerf radial	409-411
Ulna	La situation sous-cutanée de l'olécrâne l'expose aux fractures par traumatisme direct, en particulier lorsque le coude est fléchi ; le processus styloïde ulnaire peut également être fracturé dans les fractures de l'extrémité distale du radius	426, 429
Radius	Les fractures de l'extrémité distale du radius sont les fractures les plus fréquentes des membres supérieurs, typiquement causées par une chute sur la main en extension	429
Scaphoïde	L'os carpien le plus souvent fracturé ; la fracture se produit lors d'une chute sur la main en extension	439, 440, 442
 SYSTÈME MUSCULAIRE		
Muscles de la coiffe des rotateurs (compresseurs)	Les lésions de ce groupe de muscles peuvent se produire de façon traumatique aiguë ou résulter d'une surutilisation chronique entraînant classiquement une douleur de l'épaule et une incapacité	412, 415, 422
Tendon du supra-épineux	Le plus souvent blessé parmi le complexe tendineux des muscles de la coiffe des rotateurs (compresseurs). Souvent déchiré sous l'acromion	415-417, 422
Tendon du biceps brachial	Le tendon du long chef du biceps brachial, proximal, peut se rompre chez les personnes âgées suite à une chute sur le bras en extension ; et en distalité, le tendon du biceps brachial est utilisé dans le réflexe bicipital de flexion du coude afin de tester les nerfs spinaux C5 et C6	421, 423
Chef long du biceps brachial	Dans la rupture du chef long, en fait c'est le tubercule supra-glénoïdal d'insertion qui est arraché et qui se rétracte dans le bras, donnant un renflement du muscle (différent de Popeye) au milieu de l'humérus	421
Muscles postérieurs de l'avant-bras	L'usage répété des muscles s'insérant sur le tendon commun des extenseurs peut endommager leurs tendons (inflammation) et provoquer une douleur de l'épicondyle latéral, présente dans l'épicondylite de type <i>tennis elbow</i>	431
Muscles antérieurs de l'avant-bras	L'usage répété des muscles s'insérant sur le tendon commun des fléchisseurs peut endommager leurs tendons (inflammation) et provoquer une douleur de l'épicondyle médial, présente dans l'épicondylite de type <i>golfer's elbow</i>	432, 433
 SYSTÈME NERVEUX		
Nerf thoracique long	Sa lésion peut engendrer une « omoplate (scapula) ailée » en raison d'une dénervation du muscle dentelé antérieur	417, 419
Nerf axillaire	La proximité osseuse du nerf dans la région médiale de la tête de l'humérus le rend vulnérable aux blessures dans les fractures du col chirurgical de l'humérus ou dans les luxations scapulo-humérales	422

STRUCTURES ANATOMIQUES	IMPORTANCE CLINIQUE	NUMÉROS DES PLANCHES
 SYSTÈME NERVEUX – Suite		
Nerf médian	Sa classique compression dans le syndrome du canal carpien est responsable de douleur et de paresthésie dans les trois doigts latéraux et la moitié latérale du quatrième doigt	450, 466
Branche récurrente du nerf médian	Peut être lésée dans les lacérations superficielles de la paume de la main au niveau de l'éminence thénar	449
Nerf ulnaire	Exposé à la compression ou au traumatisme car vulnérable dans son trajet derrière l'épicondyle médial de l'humérus, et au niveau du poignet dans le canal ulnaire (canal de Guyon)	463, 467
Nerf radial	Exposé à la compression ou au traumatisme car vulnérable dans son trajet au contact de l'humérus dans le sillon inter-tuberculaire (gouttière radiale, par ex. fracture humérale) ; le symptôme habituel est l'« aspect en col de cygne » du poignet et de la main (<i>wrist drop</i> ou chute du poignet) en rapport avec la faiblesse des extenseurs au poignet	468, 469
 SYSTÈME CARDIO-VASCULAIRE		
Veine médiane du coude (cubitale médiane)	Accessible dans la fosse cubitale (pli du coude) pour la ponction veineuse	405
Artères supra-scapulaire, dorsale de la scapula et circonflexe de la scapula	Assurent une circulation collatérale autour de la scapula, permettant au sang d'atteindre la partie distale du membre supérieur si l'artère axillaire est bouchée ou comprimée	418
Artère brachiale	Palpée dans la fosse cubitale (pli du coude) pour s'assurer de l'existence d'un pouls brachial avant de prendre la mesure de la pression artérielle	423, 424
Artère radiale	Palpée dans la région latérale du poignet pour s'assurer de la présence d'un pouls radial	424

* Les sélections ont été fondées en grande partie sur des données cliniques aussi bien que sur les corrélations anatomo-cliniques fréquemment discutées dans les cours d'anatomie macroscopique.

MUSCLE	GROUPE MUSCULAIRE	INSERTION PROXIMALE (ORIGINE)	INSERTION DISTALE (TERMINAISON)	INNERVATION	ACTIONS PRINCIPALES	VASCULARISATION ARTÉRIELLE
Abducteur du petit doigt	Muscle de la main	Os pisiforme et tendon du muscle fléchisseur ulnaire du carpe	Côté médial de la base de la phalange proximale du petit doigt (5 ^e doigt)	Nerf ulnaire (branche profonde)	Abducteur du petit doigt (auriculaire)	Branche palmaire profonde de l'artère ulnaire
Adducteur du pouce	Muscle de la main	Chef oblique : bases du 2 ^e et du 3 ^e métacarpiens, capitatum et os adjacents Chef transverse : face antérieure du 3 ^e métacarpien	Côté médial de la base de la phalange proximale du pouce	Nerf ulnaire (branche profonde)	Adducteur du pouce	Arcade palmaire profonde
Anconé	Muscle du bras	Face postérieure de l'épicondyle latéral de l'humérus	Face latérale de l'olécrâne et bord postérieur de l'extrémité proximale de l'ulna	Nerf radial (C5-T1)	Assiste le triceps brachial dans l'extension de l'avant-bras, abducteur de l'ulna en pronation	Artère brachiale profonde
Biceps brachial	Muscle du bras	Chef long : tubercule supra-glénoidal de l'humérus Chef court : sommet du processus coracoïde de la scapula	Tubérosité radiale, fascia de l'avant-bras via l'aponévrose bicipitale	Nerf musculo-cutané (C5, C6)	Fléchisseur et supinateur de l'avant-bras au niveau du coude	Branches musculaires de l'artère brachiale
Brachial	Muscle du bras	Moitié distale de la face antérieure de l'humérus (antéro-médiale et antéro-latérale)	Processus coronoïde et tubérosité de l'ulna	Nerf musculo-cutané et nerf radial (C7)	Fléchisseur de l'avant-bras au niveau du coude	Artère récurrente radiale, branches musculaires de l'artère brachiale
Brachio-radial	Muscle postérieur de l'avant-bras	Deux tiers proximaux de la crête supracondylaire latérale de l'humérus	Côté latéral de la partie distal du radius (processus styloïde)	Nerf radial	Contribue à la flexion de l'avant-bras lorsque l'avant-bras est en pronation intermédiaire	Artère récurrente radiale
Coraco-brachial	Muscle du bras	Sommet du processus coracoïde de la scapula	Tiers moyen de la face médiale (antéro-médiale) de l'humérus	Nerf musculo-cutané	Fléchisseur et adducteur du bras au niveau de l'épaule	Branches musculaires de l'artère brachiale
Carré pronateur	Muscle antérieur de l'avant-bras	Quart distal de la face antérieure de l'ulna	Quart distal de la face antérieure du radius	Nerf médian (branche interosseuse antérieure)	Pronateur de l'avant-bras	Artère interosseuse antérieure
Court abducteur du pouce	Muscle de la main	Rétinaculum des fléchisseurs, tubercules du scaphoïde et du trapèze	Côté latéral de la base de la phalange proximale du pouce	Nerf médian (branche récurrente)	Abducteur du pouce	Branche palmaire superficielle de l'artère radiale
Court extenseur du pouce	Muscle postérieur de l'avant-bras	Face postérieure du radius et de la membrane interosseuse	Face dorsale de la base de la phalange proximale du pouce	Nerf radial (branche interosseuse postérieure)	Extenseur de la phalange proximale du pouce au niveau de l'articulation carpo-métacarpienne	Artère interosseuse postérieure
Court extenseur radial du carpe	Muscle postérieur de l'avant-bras	Épicondyle latéral de l'humérus	Face dorsale de la base du 3 ^e métacarpien avec une extension vers le 2 ^e métacarpien	Nerf radial (branche profonde)	Extenseur et abducteur de la main au niveau du poignet	Artère radiale, artère récurrente radiale
Court fléchisseur du petit doigt	Muscle de la main	Rétinaculum des fléchisseurs et hamulus de l'os hamatum	Côté médial de la base de la phalange proximale du petit doigt	Nerf ulnaire (branche profonde)	Fléchisseur de la phalange proximale du petit doigt	Branche palmaire profonde de l'artère ulnaire
Court fléchisseur du pouce	Muscle de la main	Rétinaculum des fléchisseurs et tubercule du trapèze	Côté latéral de la base de la phalange proximale du pouce	Nerf médian (branche récurrente)	Fléchisseur de la phalange proximale du pouce	Branche palmaire superficielle de l'artère radiale
Court palmaire	Muscle de la main	Aponévrose palmaire et rétinaculum des fléchisseurs	Peau du bord médial de la main	Branche palmaire superficielle du nerf ulnaire	Majore le creux de la main, contribue à la préhension	Arcade palmaire superficielle
Delhoïde	Muscle de l'épaule	Tiers latéral du bord antérieur de la clavicule, bord latéral de l'acromion, versant inférieur de l'épine de la scapula	Tubérosité deltoïdienne de l'humérus	Nerf axillaire	Partie claviculaire : fléchisseur et rotateur médial du bras Partie acromiale : abducteur du bras après les 15° initiaux induits par le muscle supra-épineux Partie spinale : extenseur et rotateur latéral du bras	Artère circonflexe postérieure de l'humérus, branche deltoïdienne de l'artère thoraco-acromiale

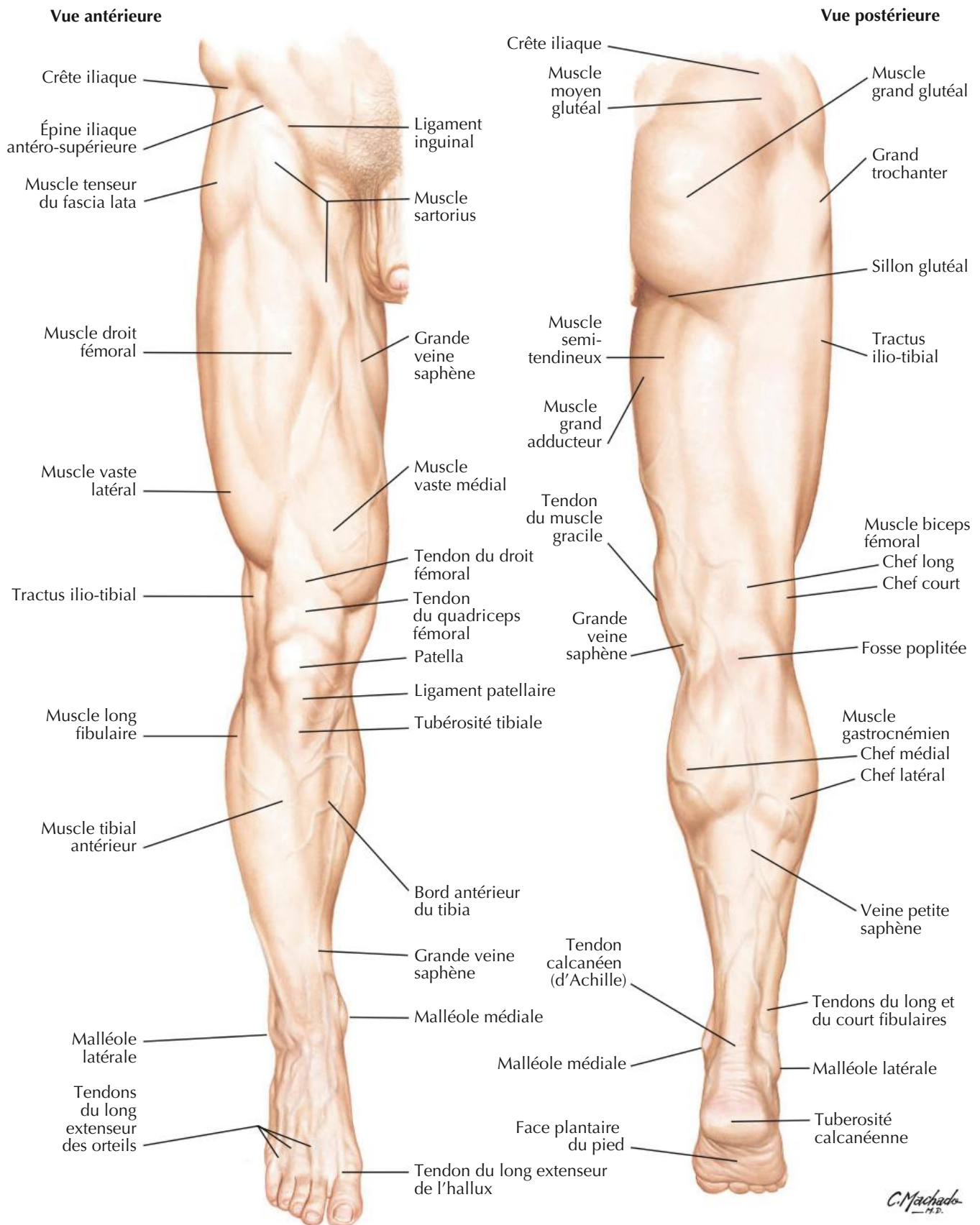
MUSCLE	GROUPE MUSCULAIRE	INSERTION PROXIMALE (ORIGINE)	INSERTION DISTALE (TERMINAISON)	INNERVATION	ACTIONS PRINCIPALES	VASCULARISATION ARTÉRIELLE
Dentelé antérieur	Muscle de l'épaule	Face latérale des 8 à 9 premières côtes	Face costale du bord médial de la scapula	Nerf thoracique long	Entraîne protraction et rotation de la scapula et fixe la scapula contre la paroi thoracique	Artère thoracique latérale
Élévateur de la scapula	Muscle superficiel du dos	Tubercules postérieurs des processus transverses des vertèbres C1-C4	Bord médial de la scapula de son angle supérieur à l'épine	Rameaux ventraux des nerfs spinaux cervicaux C3-C4 et nerf dorsal de la scapula	Élévateur médial de la scapula et rotateur inférieur de la cavité glénoïdale	Artère scapulaire dorsale, artère cervicale transverse, artère cervicale ascendante
Extenseur des doigts	Muscle postérieur de l'avant-bras	Épicondyle latéral de l'humérus	Expansions tendineuses pour les phalanges des quatre doigts médiaux	Nerf radial (branche interosseuse postérieure)	Extenseur des quatre doigts médiaux, contribue à l'extension du poignet	Artère interosseuse postérieure
Extenseur de l'index	Muscle postérieur de l'avant-bras	Face postérieure de l'ulna et de la membrane interosseuse	Tendon du muscle extenseur des doigts destiné au 2 ^e doigt	Nerf radial (branche interosseuse postérieure)	Extenseur du 2 ^e doigt et aide à l'extension de la main et du poignet	Artère interosseuse postérieure
Extenseur du petit doigt	Muscle postérieur de l'avant-bras	Épicondyle latéral de l'humérus	Expansion tendineuse destinée au 5 ^e doigt du muscle extenseur des doigts	Nerf radial (branche interosseuse postérieure)	Extenseur du 5 ^e doigt	Artère interosseuse postérieure
Extenseur ulnaire du carpe	Muscle postérieur de l'avant-bras	Épicondyle latéral de l'humérus et bord postérieur de l'ulna	Face dorsale de la base du 5 ^e métacarpien	Nerf radial (branche interosseuse postérieure)	Extenseur et adducteur de la main au niveau du poignet	Artère interosseuse postérieure
Fléchisseur profond des doigts	Muscle antérieur de l'avant-bras	Faces médiale et antérieure des trois quarts proximaux de l'ulna et membrane interosseuse	Face palmaire de la base des phalanges distales des quatre doigts médiaux	Partie médiale : nerf ulnaire Partie latérale : nerf médian	Fléchisseur des phalanges distales des quatre doigts médiaux, contribue à la flexion de la main au niveau du poignet	Artère interosseuse antérieure, branches musculaires de l'artère ulnaire
Fléchisseur superficiel des doigts	Muscle antérieur de l'avant-bras	Chef huméro-ulnaire : épicondyle médial de l'humérus et, processus coronoïde de l'ulna et ligament collatéral ulnaire Chef radial : moitié supérieure du bord antérieur du radius	Corps des phalanges moyennes des quatre doigts médiaux	Nerf médian	Fléchisseurs des phalanges moyennes et proximales des quatre doigts médiaux, contribue à la flexion de la main au niveau du poignet	Artères ulnaire et radiale
Fléchisseur radial du carpe	Muscle antérieur de l'avant-bras	Épicondyle médial de l'humérus	Base du 2 ^e métacarpien	Nerf médian	Fléchisseur et abducteur de la main au niveau du poignet	Artère radiale
Fléchisseur ulnaire du carpe	Muscle antérieur de l'avant-bras	Chef superficiel : épicondyle médial de l'humérus Chef profond : olécrâne et bord postérieur de l'ulna	Os pisiforme, crochet de l'os hamatum, base du 5 ^e métacarpien	Nerf ulnaire	Fléchisseur et adducteur de la main au niveau du poignet	Artère récurrente ulnaire postérieure
Grand dorsal	Muscle de l'épaule	Processus épineux des vertèbres T7-L5, fascia thoraco-lombaire, crête iliaque, trois dernières côtes	Sillon intertuberculaire de l'humérus	Nerf thoraco-dorsal	Extenseur, adducteur et rotateur médial de l'humérus au niveau de l'épaule	Artère thoraco-dorsale, branches perforantes dorsales des 9 ^e , 10 ^e et 11 ^e artères intercostales postérieures, de l'artère subcostale et des trois premières artères lombales
Grand pectoral	Muscle de la région pectorale/fosse axillaire	Moitié sternale de la clavicule, sternum jusqu'à la 7 ^e côte, cartilage des vraies côtes, aponévrose du muscle oblique externe	Lèvre latérale du sillon intertuberculaire de l'humérus	Nerfs pectoraux médial et latéral	Fléchisseur et adducteur du bras, rotateur médial du bras	Branche pectorale de l'artère thoraco-acromiale, branches perforantes de l'artère thoracique interne
Grand rhomboïde	Muscle superficiel du dos	Processus épineux des vertèbres T2-T5	Bord médial de la scapula en dessous la base de l'épine de la scapula	Nerf scapulaire dorsal	Fixe la scapula sur la paroi thoracique, rétracte et entraîne une rotation médiale de la scapula pour abaisser la cavité glénoïdale	Artère scapulaire dorsale ou branche profonde de l'artère cervicale transverse, branches perforantes dorsales des premières cinq à six artères intercostales postérieures
Grand rond	Muscle de l'épaule	Face postérieure de l'angle inférieur de la scapula	Lèvre médiale du sillon intertuberculaire de l'humérus	Nerf subscapulaire inférieur	Adducteur et rotateur médial du bras	Artère circonflexe de la scapula
Infra-épineux	Muscle de l'épaule	Fosse infra-épineuse de la scapula et fascia profond	Facette moyenne du tubercule majeur de l'humérus	Nerf supra-scapulaire	Rotateur latéral du bras (avec le petit rond)	Artère supra-scapulaire

MUSCLE	GROUPE MUSCULAIRE	INSERTION PROXIMALE (ORIGINE)	INSERTION DISTALE (TERMINAISON)	INNERVATION	ACTIONS PRINCIPALES	VASCULARISATION ARTÉRIELLE
Interosseux dorsaux	Muscle de la main	Faces adjacentes des deux métacarpiens limitant chaque espace interosseux	Base des phalanges proximales, expansion vers les tendons extenseurs des doigts 2 à 4	Nerf ulnaire (branche profonde)	Abducteur des doigts par rapport à l'axe de la main (3 ^e doigt) ; fléchisseur des doigts au niveau de l'articulation métacarpo-phalangienne et extenseur au niveau des articulations interphalangiennes	Arcade palmaire profonde
Interosseux palmaires	Muscle de la main	Côtés des métacarpiens 2, 4 et 5	Base de la phalange proximale avec une expansion vers le tendon extenseur des doigts 2, 4 et 5	Nerf ulnaire (branche profonde)	Adducteur des doigts par rapport à l'axe de la main (3 ^e doigt) ; fléchisseur des doigts au niveau de l'articulation métacarpo-phalangienne et extenseur au niveau des articulations interphalangiennes	Arcade palmaire profonde
Long abducteur du pouce	Muscle postérieur de l'avant-bras	Face postérieure de l'ulna et du radius, membrane interosseuse	Base du 1 ^{er} métacarpien	Nerf radial (branche interosseuse postérieure)	Abducteur et extenseur du pouce au niveau de l'articulation carpo-métacarpienne	Artère interosseuse postérieure
Long extenseur du pouce	Muscle postérieur de l'avant-bras	Face postérieure du tiers moyen de l'ulna et de la membrane interosseuse	Face dorsale de la base de la phalange distale du pouce	Nerf radial (branche interosseuse postérieure)	Extenseur de la phalange distale du pouce au niveau des articulations interphalangienne et métacarpo-phalangienne	Artère interosseuse postérieure
Long extenseur radial du carpe	Muscle postérieur de l'avant-bras	Tiers distal de la crête supra-condylaire latérale de l'humérus	Face dorsale de la base du 2 ^e métacarpien avec une extension vers le 3 ^e métacarpien	Nerf radial	Extenseur et abducteur de la main au niveau du poignet	Artère radiale, artère récurrente radiale
Long fléchisseur du pouce	Muscle antérieur de l'avant-bras	Face antérieure du radius et membrane interosseuse	Face palmaire de la phalange distale du pouce	Nerf médian (branche interosseuse antérieure)	Fléchisseur des phalanges du pouce	Artère interosseuse antérieure
Long palmaire	Muscle antérieur de l'avant-bras	Épicondyle médial de l'humérus	Moitié distale du rétinaculum des fléchisseurs et aponévrose palmaire	Nerf médian	Fléchisseur de la main au niveau du poignet et tenseur du fascia palmaire	Artère récurrente ulnaire postérieure
Opposant du petit doigt	Muscle de la main	Rétinaculum des fléchisseurs et hamulus de l'os hamatum	Face palmaire du 5 ^e métacarpien	Nerf ulnaire (branche profonde)	Attire antérieurement et entraîne une rotation du 5 ^e métacarpien pour faire face au pouce	Branche palmaire profonde de l'artère ulnaire
Opposant du pouce	Muscle de la main	Rétinaculum des fléchisseurs et tubercule du trapèze	Côté latéral du 1 ^{er} métacarpien	Nerf médian (branche récurrente)	Attire antérieurement et entraîne une rotation médiale du 1 ^{er} métacarpien	Branche palmaire superficielle de l'artère radiale
Petit pectoral	Muscle de la région pectorale/fosse axillaire	Versant externe du bord supérieur des côtes 3 à 5	Processus coracoïde de la scapula	Nerf pectoral médial	Abaisse l'angle latéral de la scapula et protracte la scapula	Branche pectorale de l'artère thoraco-acromiale et les branches intercostales de l'artère thoracique latérale
Petit rhomboïde	Muscle superficiel du dos	Ligament nuchal, processus épineux des vertèbres C7 et T1	Bord médial de la scapula en regard de l'épine de la scapula	Nerf scapulaire dorsal	Fixe la scapula sur la paroi thoracique, rétracte et entraîne une rotation médiale de la scapula pour abaisser la cavité glénoïdale	Artère scapulaire dorsale ou branche profonde de l'artère cervicale transverse, branches perforantes dorsales des premières cinq à six artères intercostales postérieures
Petit rond	Muscle de l'épaule	Deux tiers supérieurs du versant postérieur du bord latéral de la scapula	Facette inférieure du tubercule majeur de l'humérus	Nerf axillaire	Rotateur latéral du bras	Artère circonflexe de la scapula

MUSCLE	GROUPE MUSCULAIRE	INSERTION PROXIMALE (ORIGINE)	INSERTION DISTALE (TERMINAISON)	INNERVATION	ACTIONS PRINCIPALES	VASCULARISATION ARTÉRIELLE
Premier et deuxième lombricaux	Muscles de la main	Deux tendons latéraux du muscle fléchisseur profond des doigts	Côtés latéraux des deux expansions tendineuses du muscle extenseur des doigts destinées aux doigts 2 et 3	Branches digitales du nerf médian	Extenseur des doigts au niveau des articulations interphalangiennes et fléchisseur au niveau de l'articulation métacarpo-phalangienne	Arcades palmaires superficielle et profonde
Rond pronateur	Muscle antérieur de l'avant-bras	Deux chefs : épicondyle médial de l'humérus, processus coronoïde de l'ulna	Tiers moyen de la face latérale du radius	Nerf médian	Pronateur de l'avant-bras et contribue à la flexion du coude	Artère récurrente ulnaire antérieure
Subclavier	Muscle de l'épaule	Bord supérieur de la première côte et de son cartilage costal	Face inférieure du tiers moyen de la clavicule	Nerf subclavier	Maintient en place et abaisse la clavicule	Branche claviculaire de l'artère thoraco-acromiale
Subscapulaire	Muscle de l'épaule	Fosse subscapulaire	Tubercule mineur de l'humérus	Nerfs subscapulaires supérieur et inférieur	Rotateur médial et adducteur du bras au niveau de l'épaule, aide à maintenir la tête humérale dans la cavité glénoïdale	Artère subscapulaire, artère thoracique latérale
Supinateur	Muscle postérieur de l'avant-bras	Épicondyle latéral de l'humérus, ligaments collatéral radial et annulaire, fosse supinatrice et crête du muscle supinateur de l'ulna	Faces latérale, postérieure et antérieure du tiers proximal du radius	Nerf radial (branche profonde)	Supinateur de l'avant-bras	Artère récurrente radiale, artère interosseuse postérieure
Supra-épineux	Muscle de l'épaule	Fosse supra-épineuse de la scapula et fascia profond	Facette supérieure du tubercule majeur de l'humérus	Nerf supra-scapulaire	Initie l'abduction du bras, agit avec les autres muscles de la coiffe des rotateurs	Artère supra-scapulaire
Trapèze	Muscle superficiel du dos	Ligne nucale supérieure, protubérance occipitale externe, ligament nuchal, processus épineux des vertèbres C7-T12	Tiers latéral de la clavicule, acromion et épine de la scapula	Nerf accessoire (nerf crânien XI)	Élève (partie supérieure), rétracte et entraîne une rotation de la scapula, les fibres inférieures abaissent la scapula	Artère cervicale transverse, branches perforantes dorsales des artères intercostales postérieures
Triceps brachial	Muscle du bras	Chef long : tubercule infra-glénoïdal de la scapula Chef latéral : moitié supérieure de la face postérieure de l'humérus Chef médial : deux tiers distaux des faces médiale et postérieure de l'humérus	Face postérieure du processus olécrânien de l'ulna	Nerf radial	Extenseur de l'avant-bras au niveau du coude, le chef long est stabilisateur de la tête de l'humérus en abduction et est adducteur au niveau de l'épaule	Branche de l'artère profonde du bras (brachiale profonde)
Troisième et quatrième lombricaux	Muscle de la main	Trois tendons médiaux du fléchisseur profond des doigts	Côté latéral des expansions tendineuses de l'extenseur des doigts destinées au 4 ^e et 5 ^e doigts	Nerf ulnaire (branche profonde)	Extenseur des doigts au niveau des articulations interphalangiennes, fléchisseur au niveau des articulations métacarpo-phalangiennes	Arcades palmaires superficielle et profonde

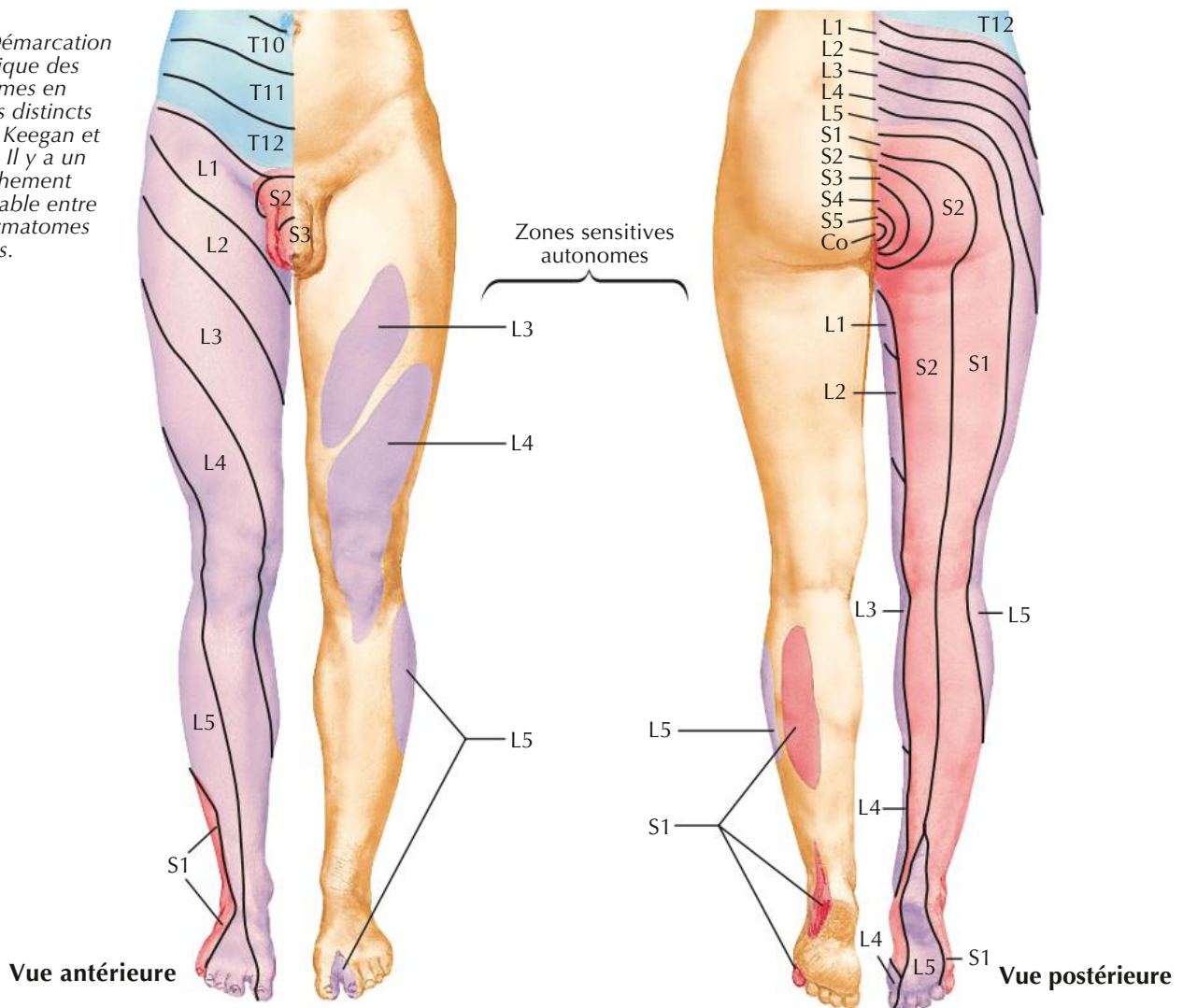
MEMBRE INFÉRIEUR 8

Anatomie de surface	471	Innervation et vascularisation	529-533
Anatomie cutanée	472-475	Imagerie hanche et cheville	534-535
Hanche et cuisse	476-496	Structures de grande*	
Genou	497-503	importance clinique	Tableaux 8.1-8.2
Jambe	504-514	Muscles	Tableaux 8.3-8.6
Cheville et pied	515-528		



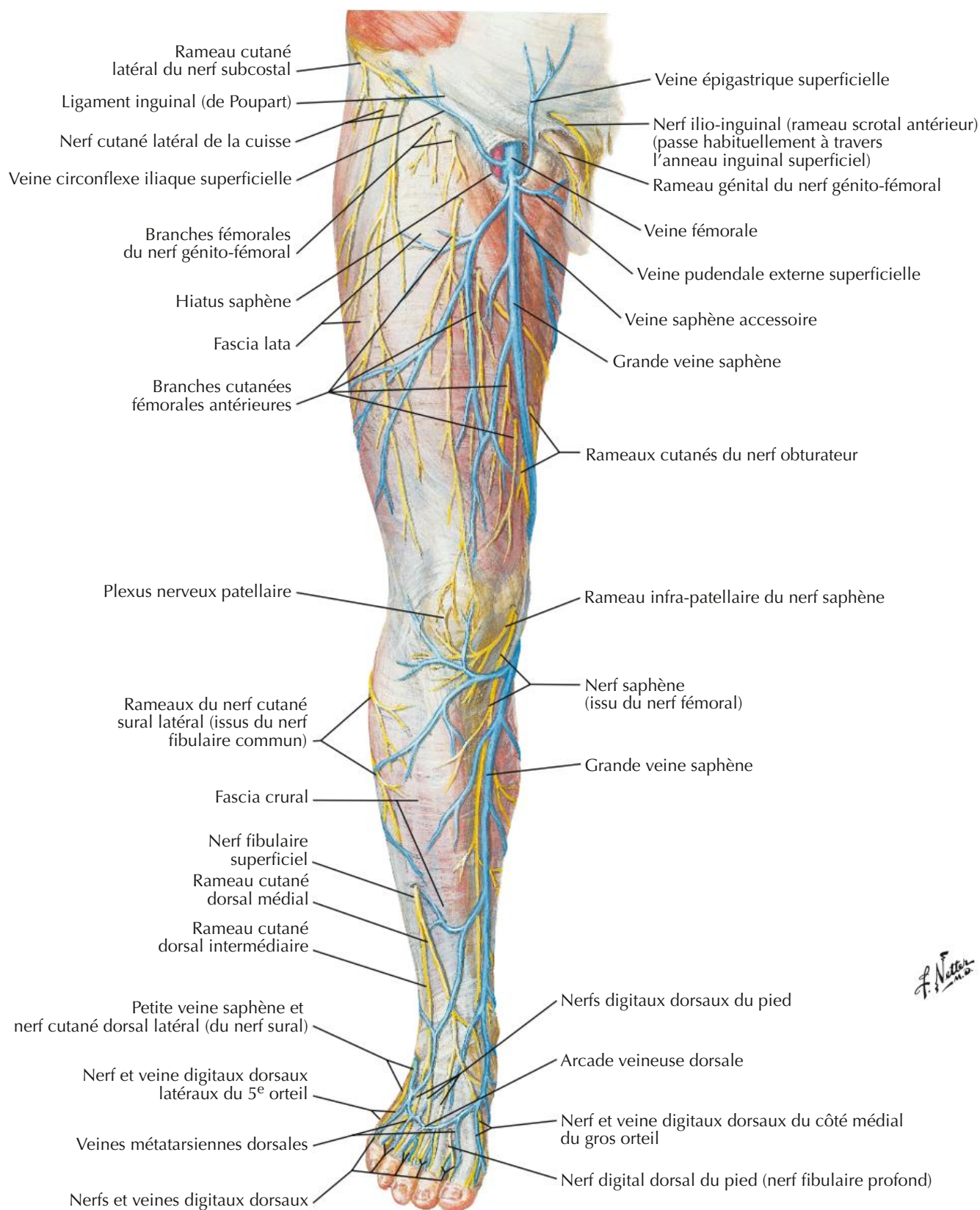
C. Machado
— M.D.

Note : Démarcation schématique des dermatomes en segments distincts (d'après Keegan et Garrett). Il y a un chevauchement considérable entre deux dermatomes adjacents.



Innervation segmentaire des mouvements du membre inférieur

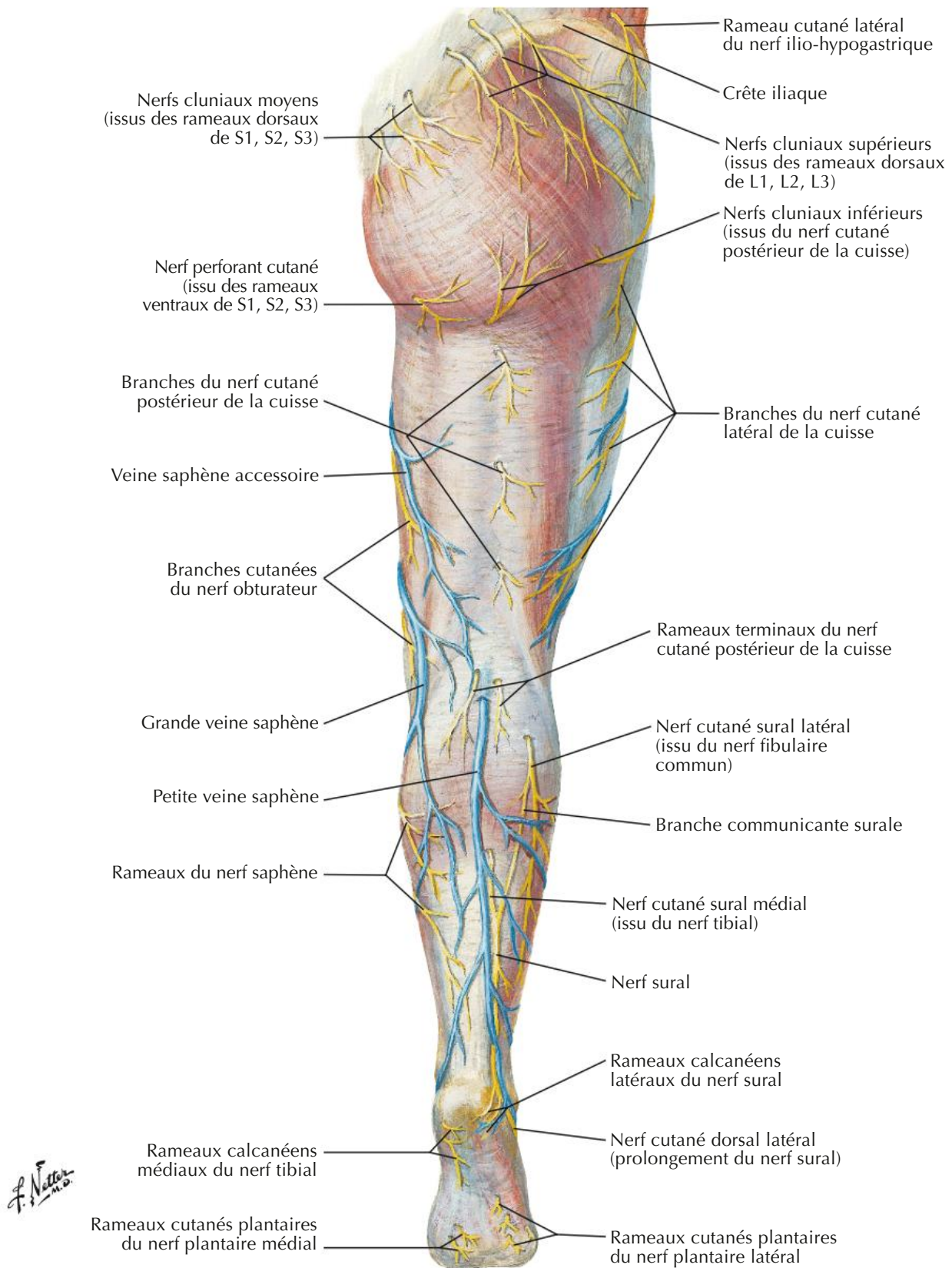


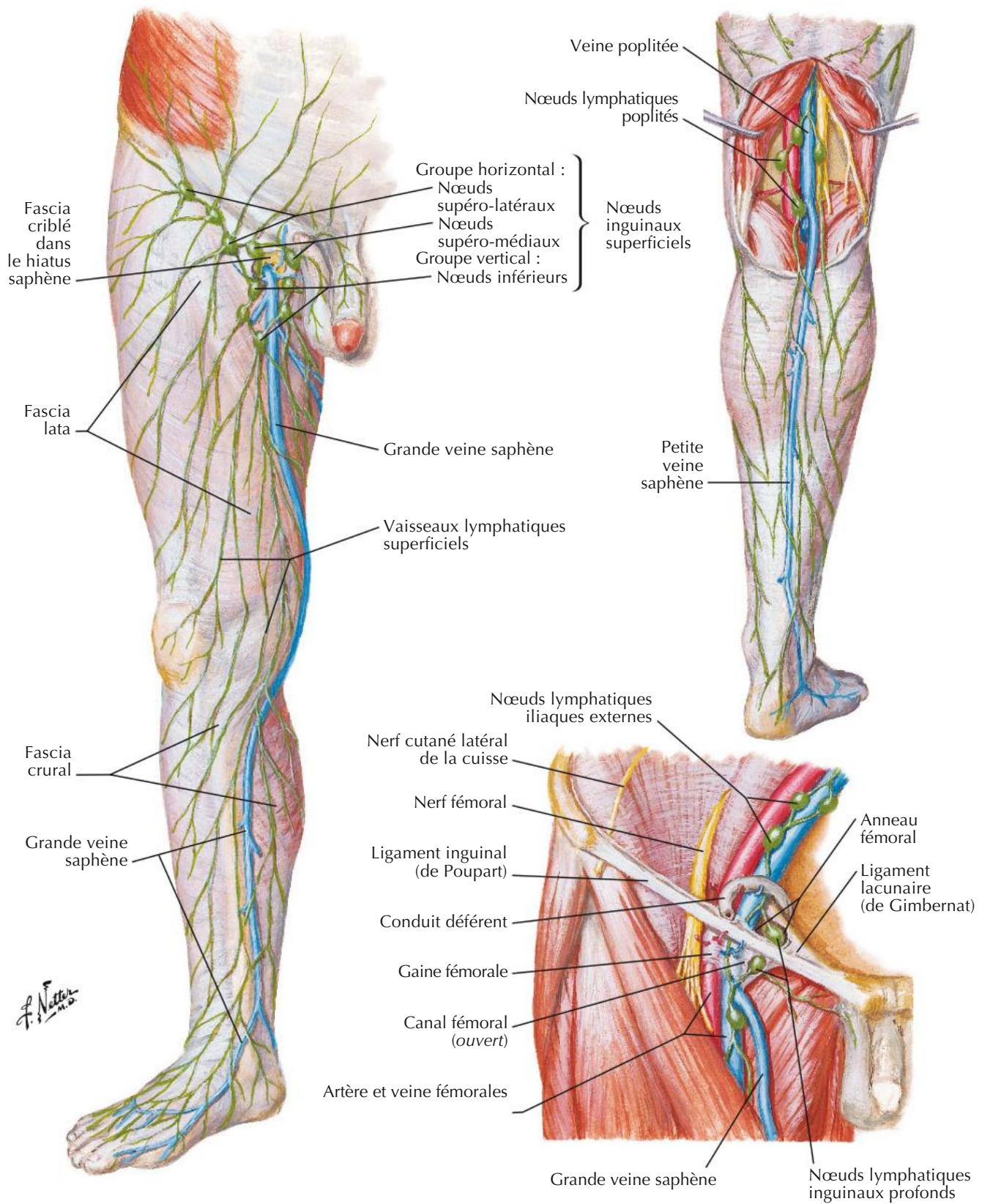


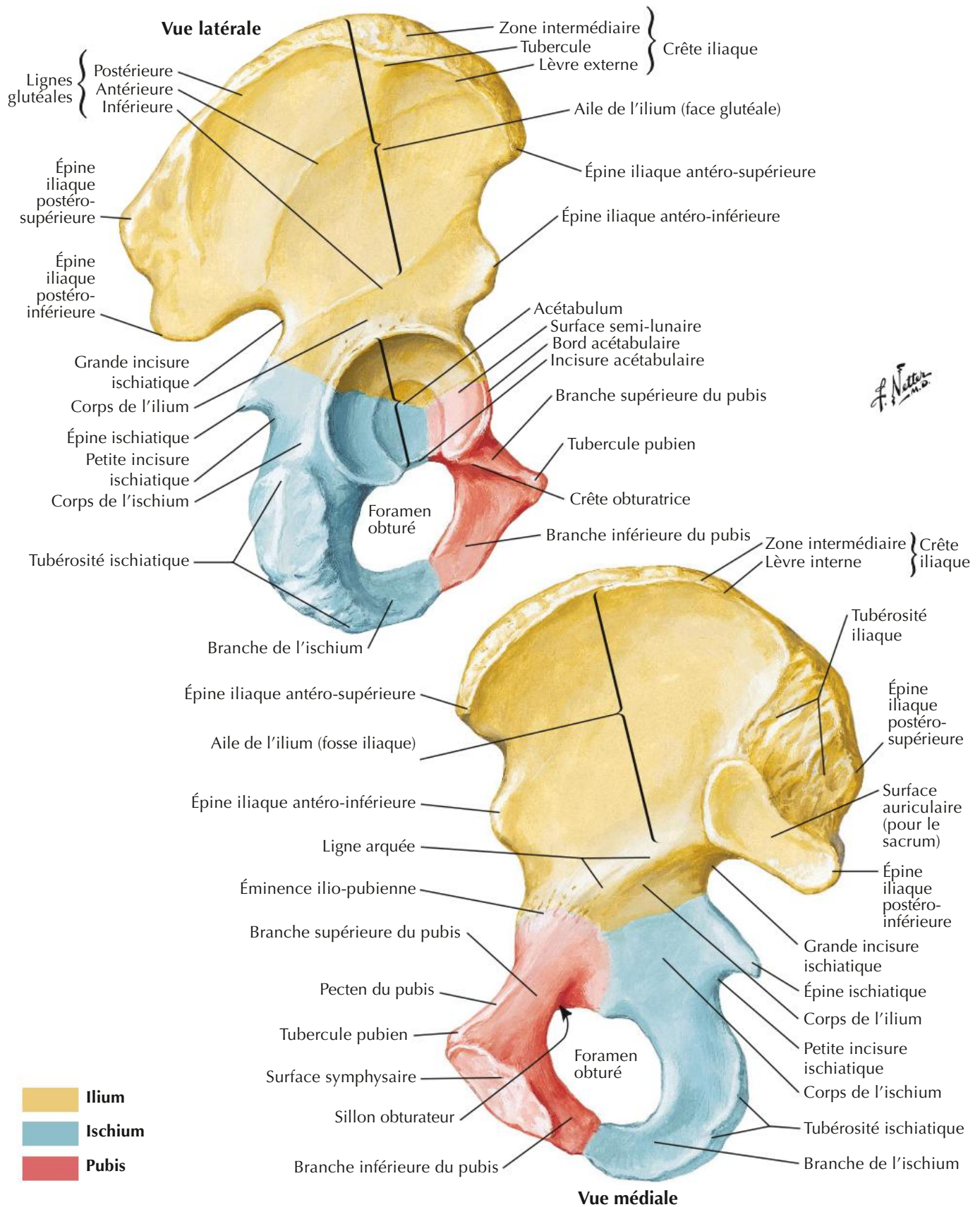
J. Netter M.D.

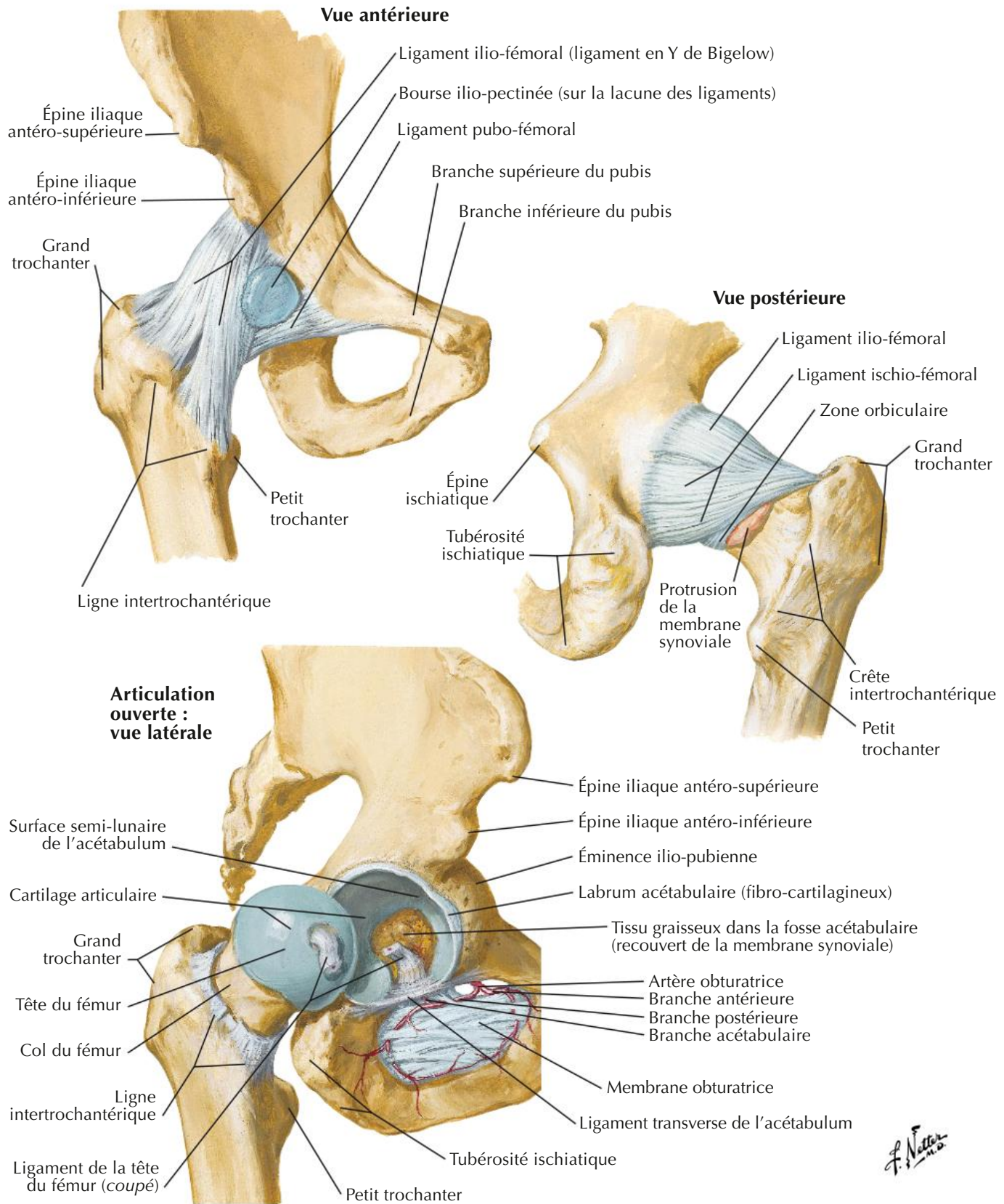
Nerfs et veines superficiels du membre inférieur : vue postérieure

Voir aussi Planches 531, 532

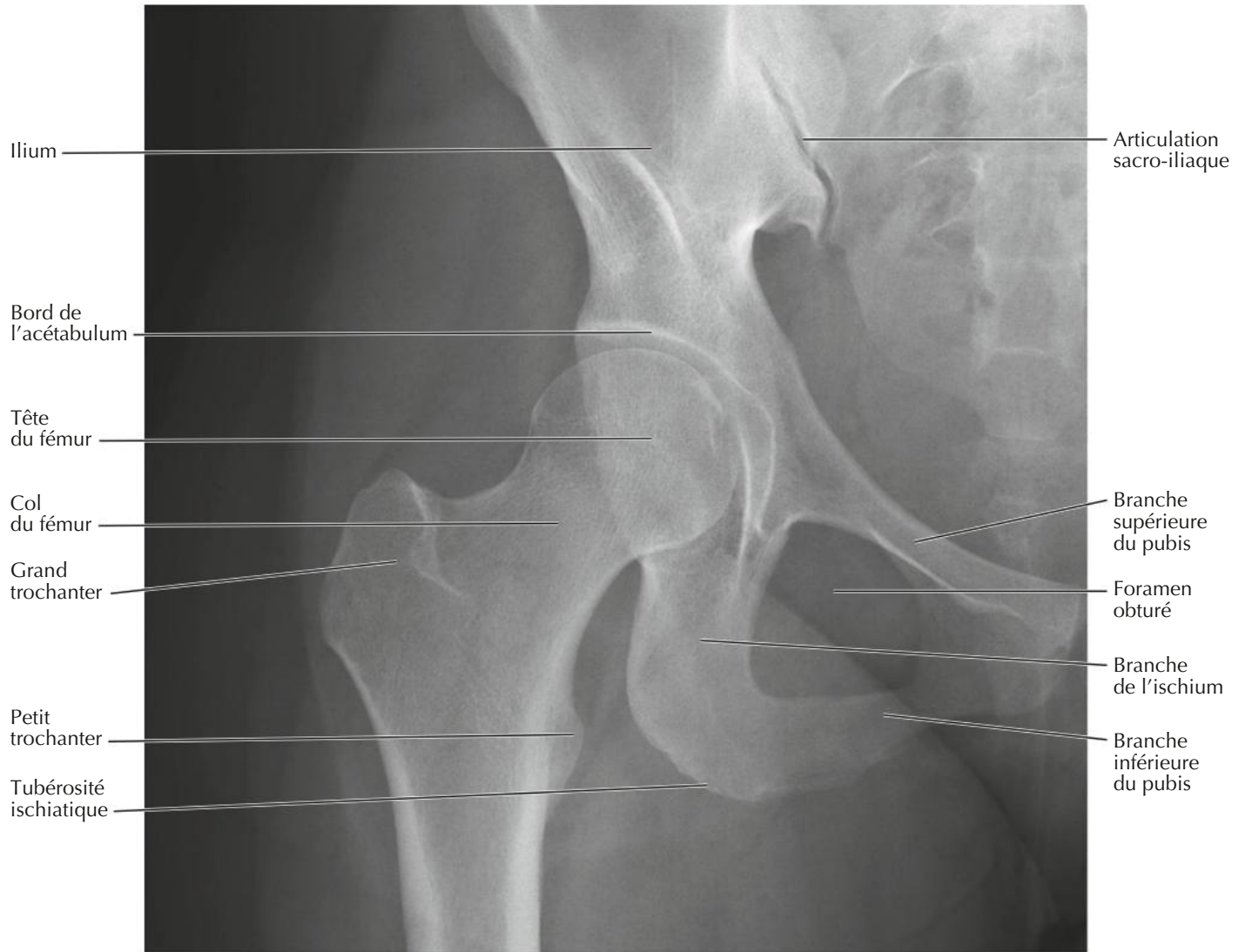


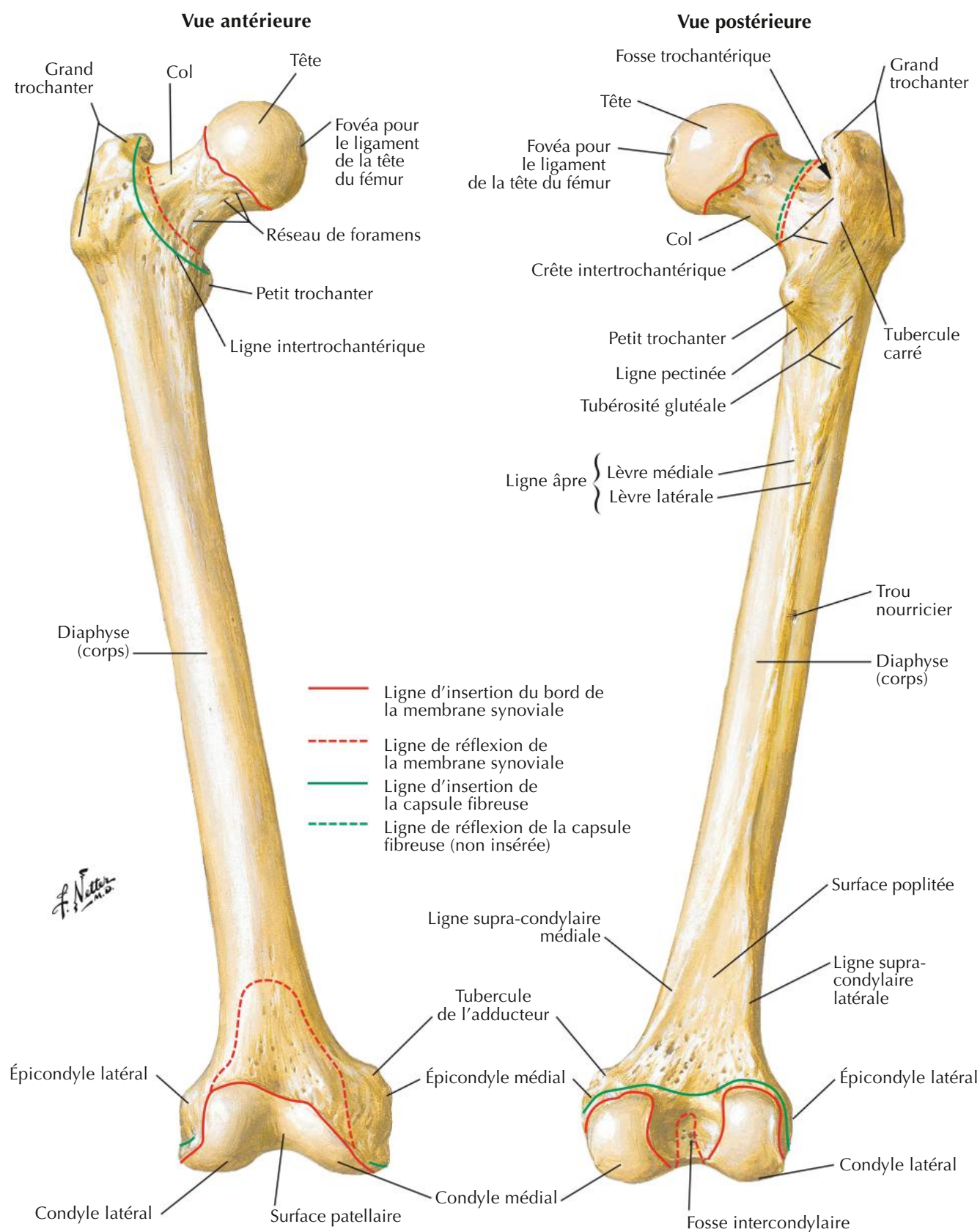


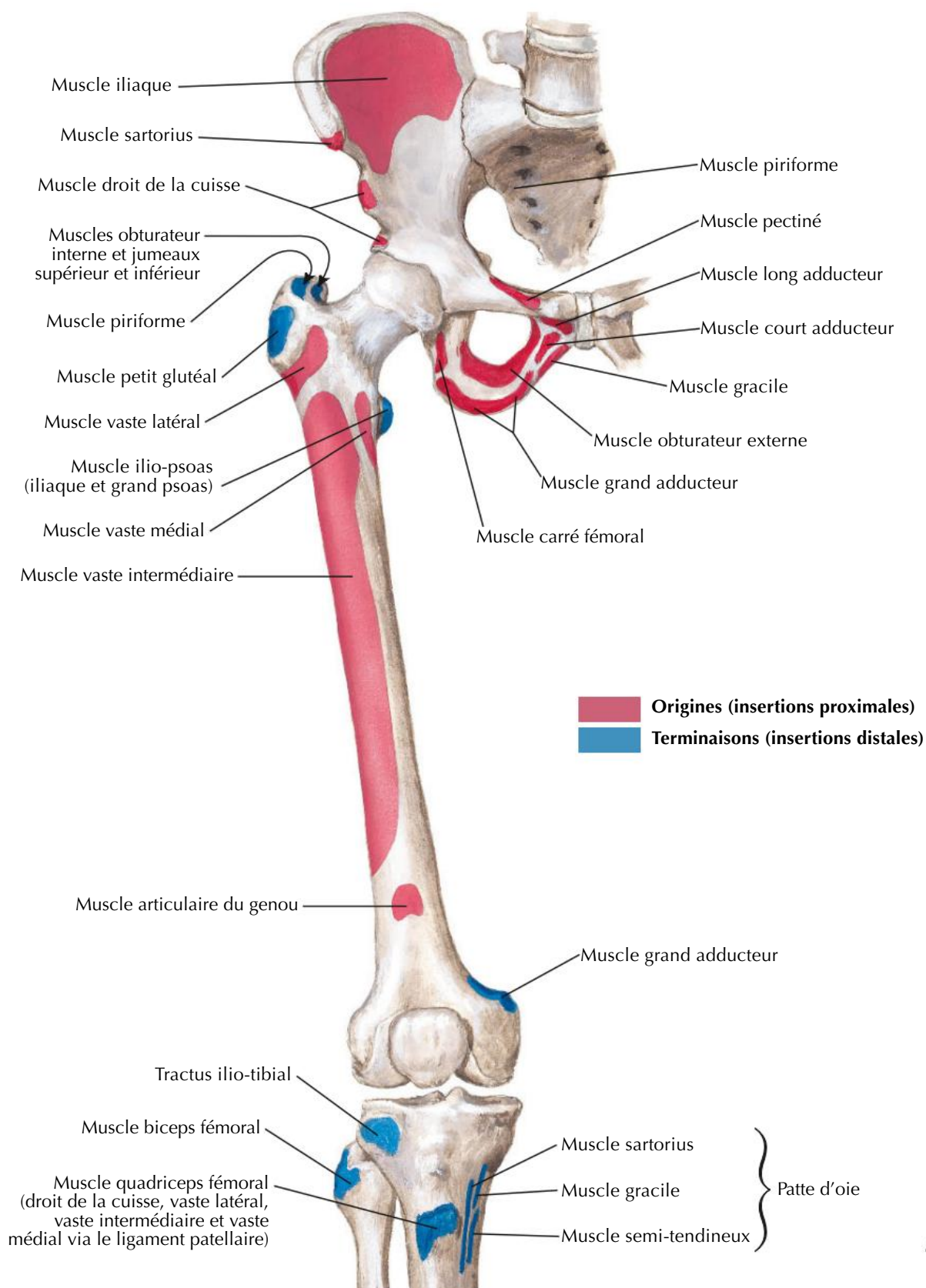


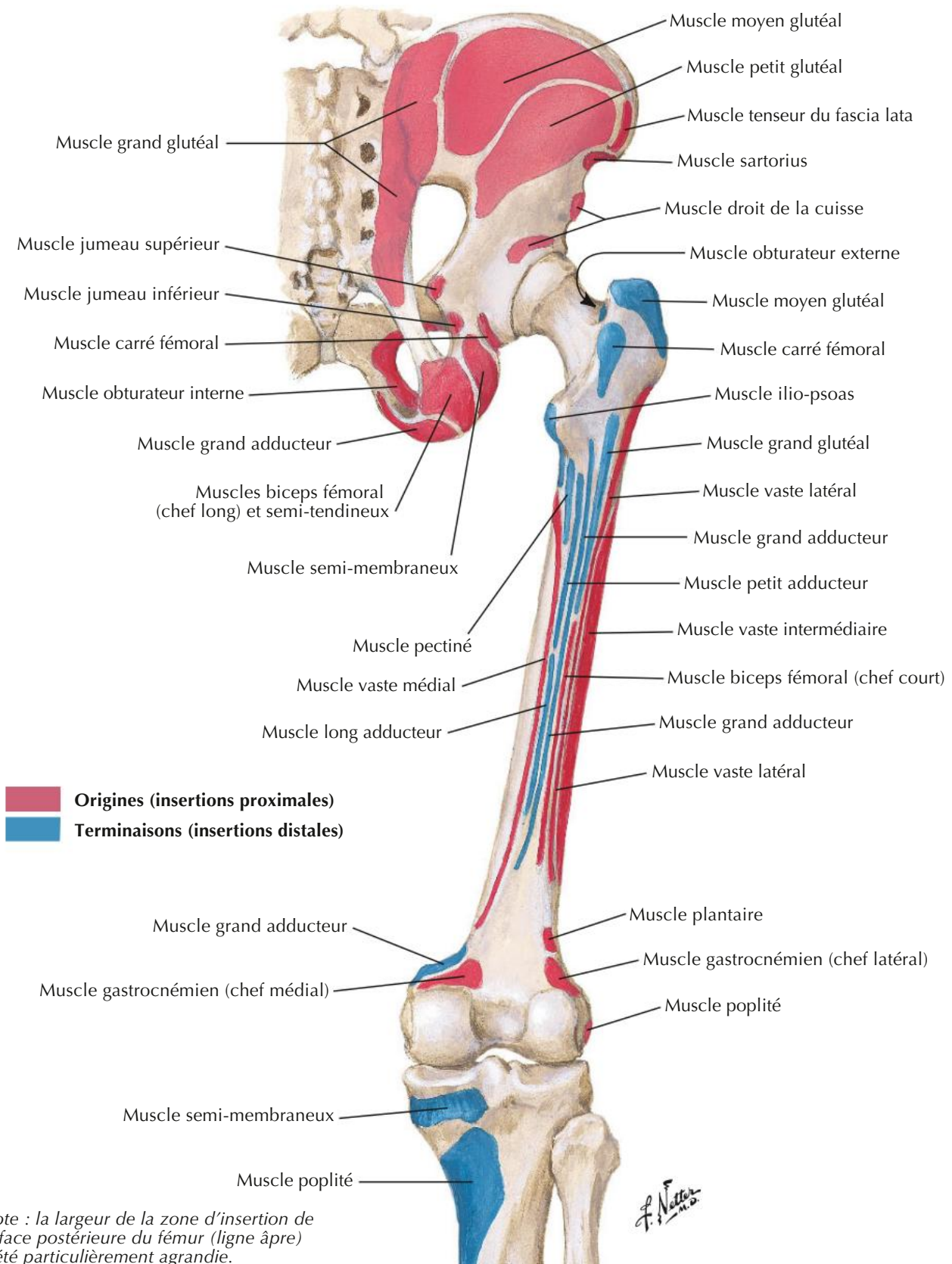


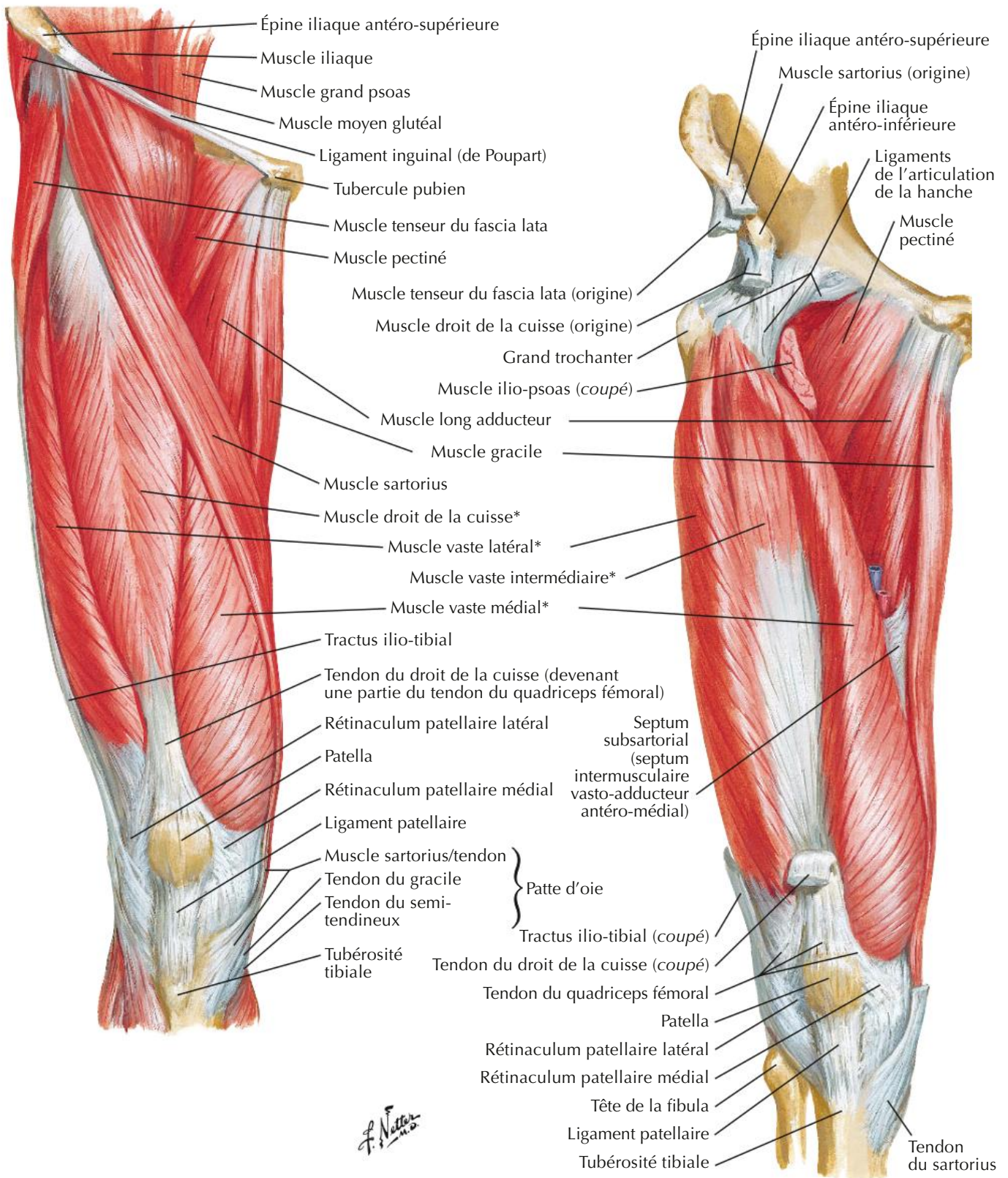
F. Netter M.D.





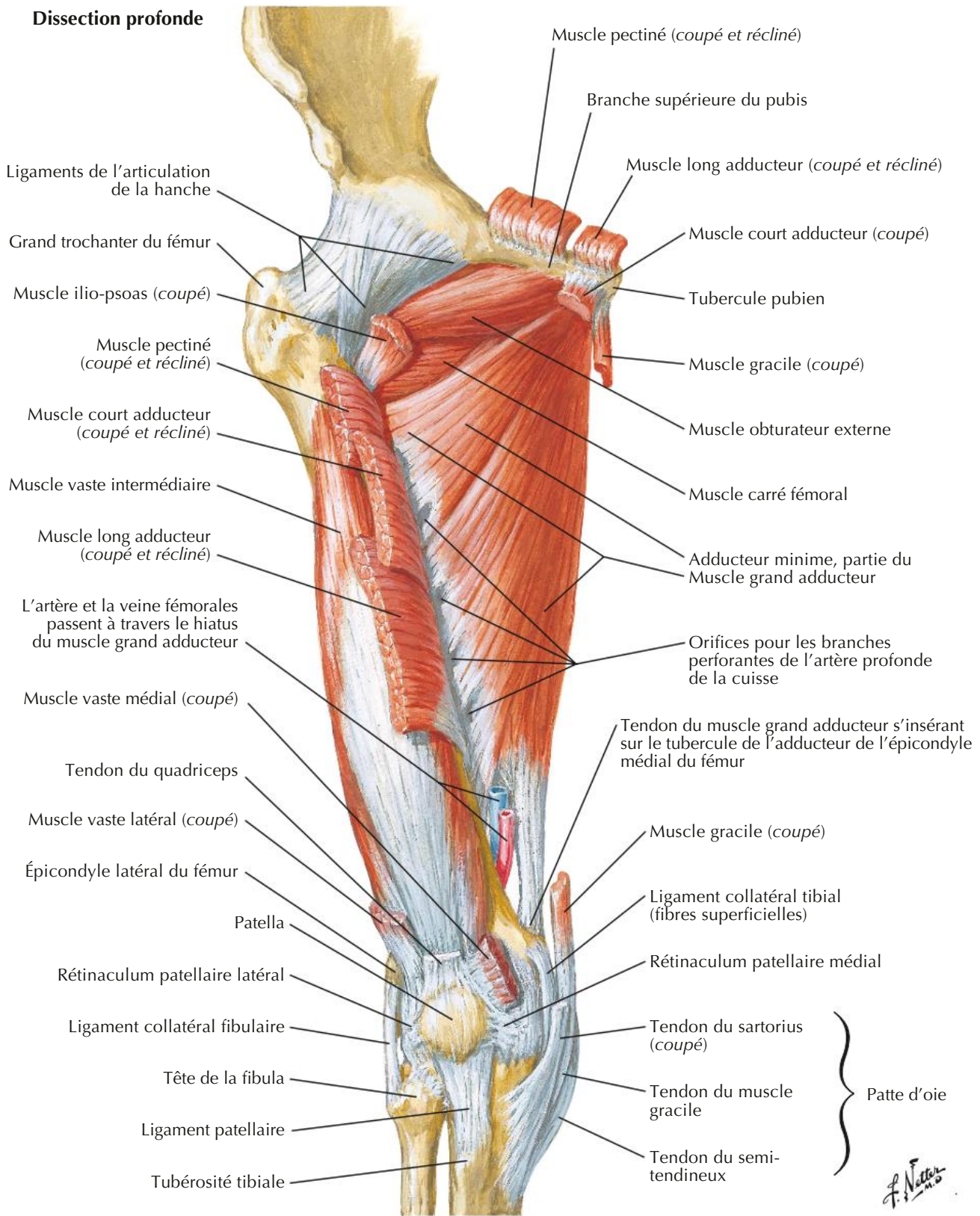


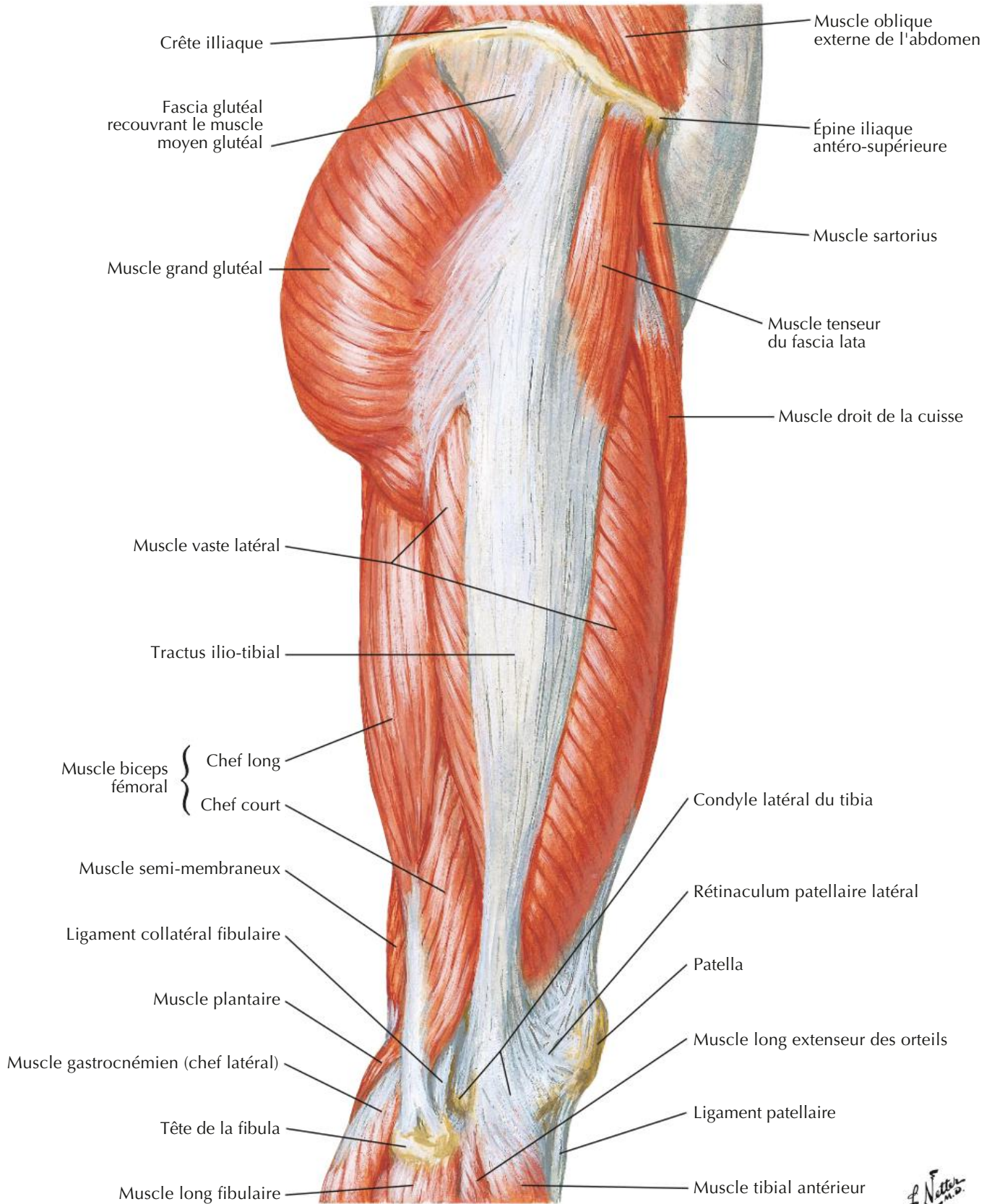




* Muscles du quadriceps fémoral

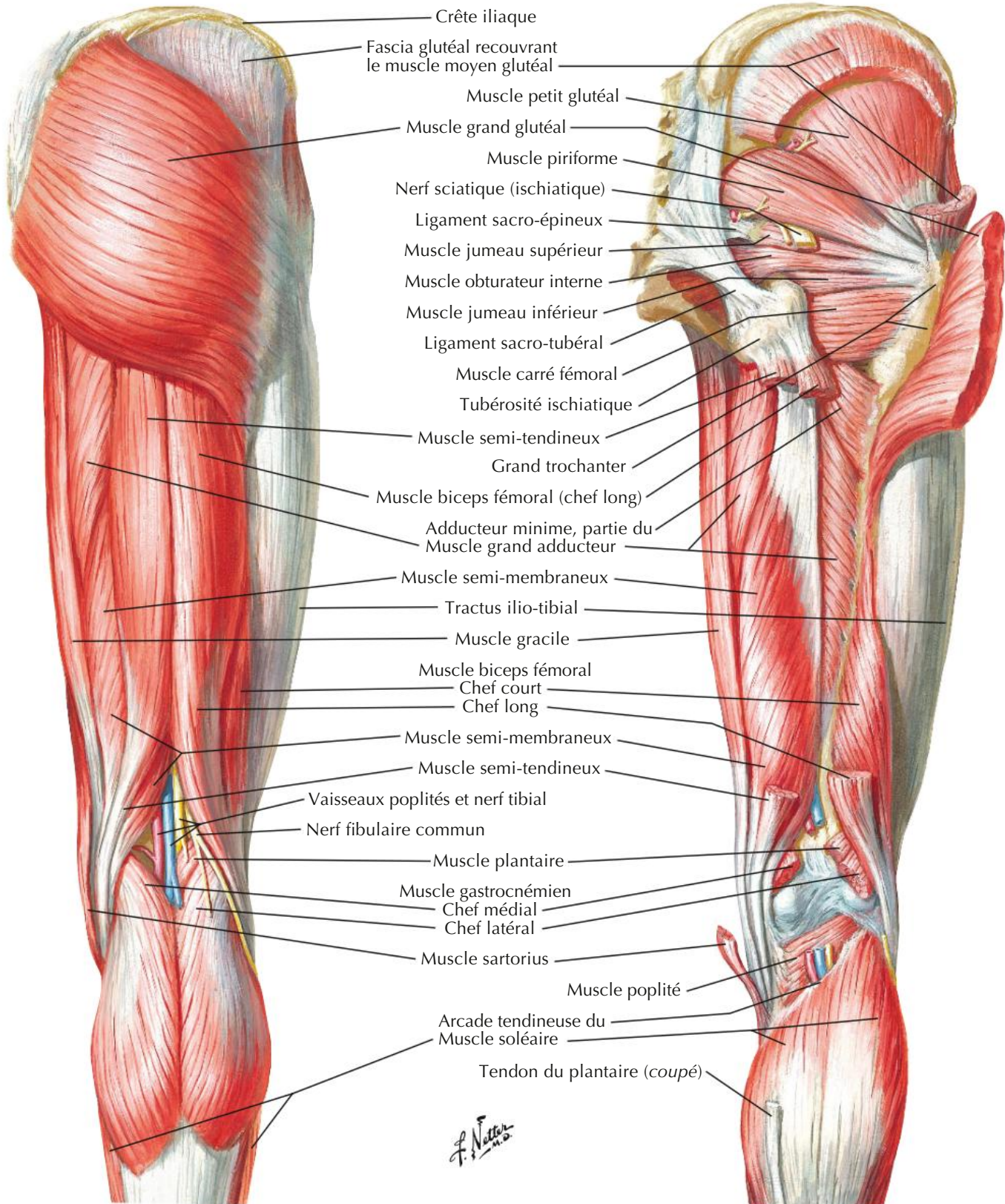
Dissection profonde





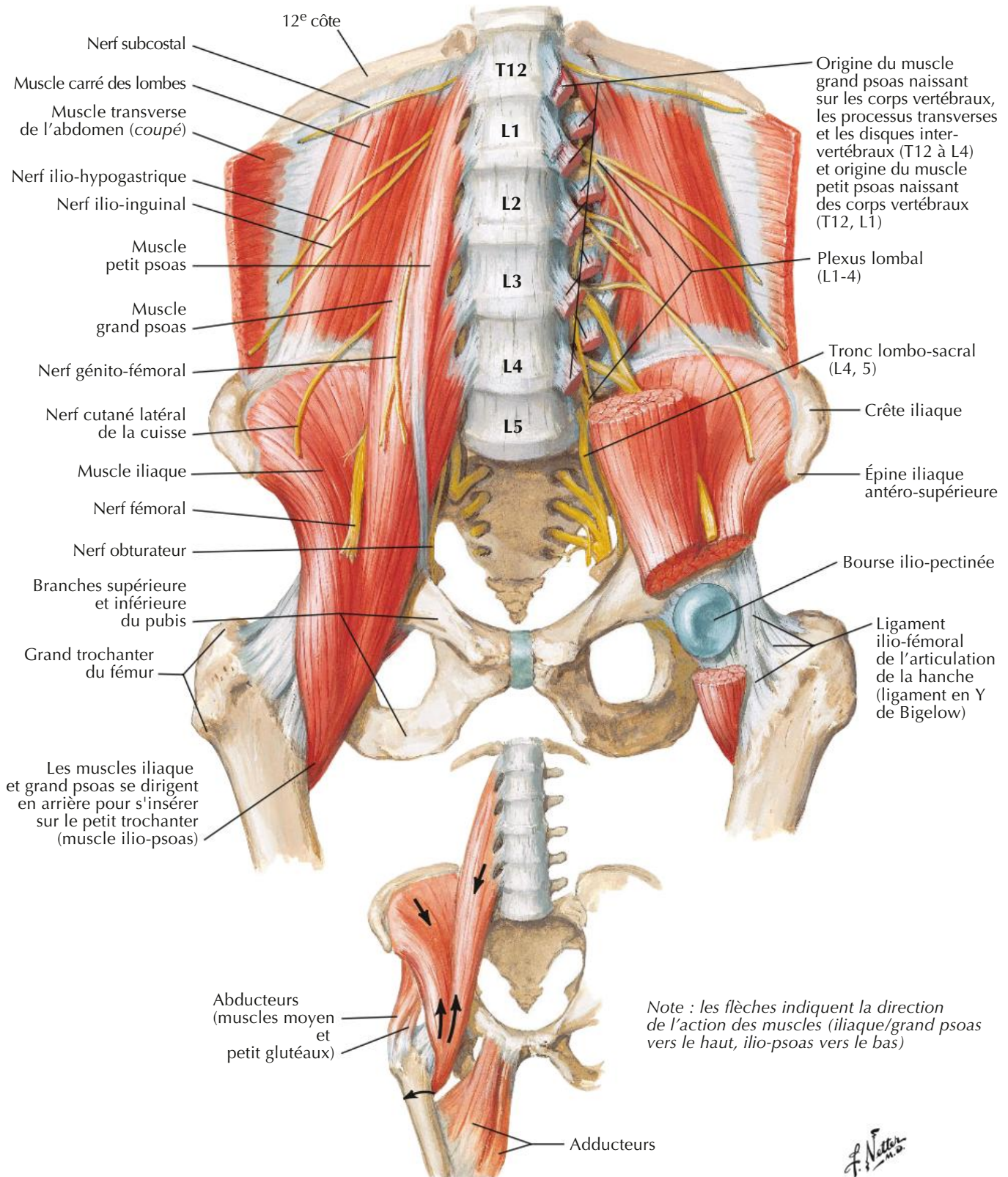
Dissection superficielle

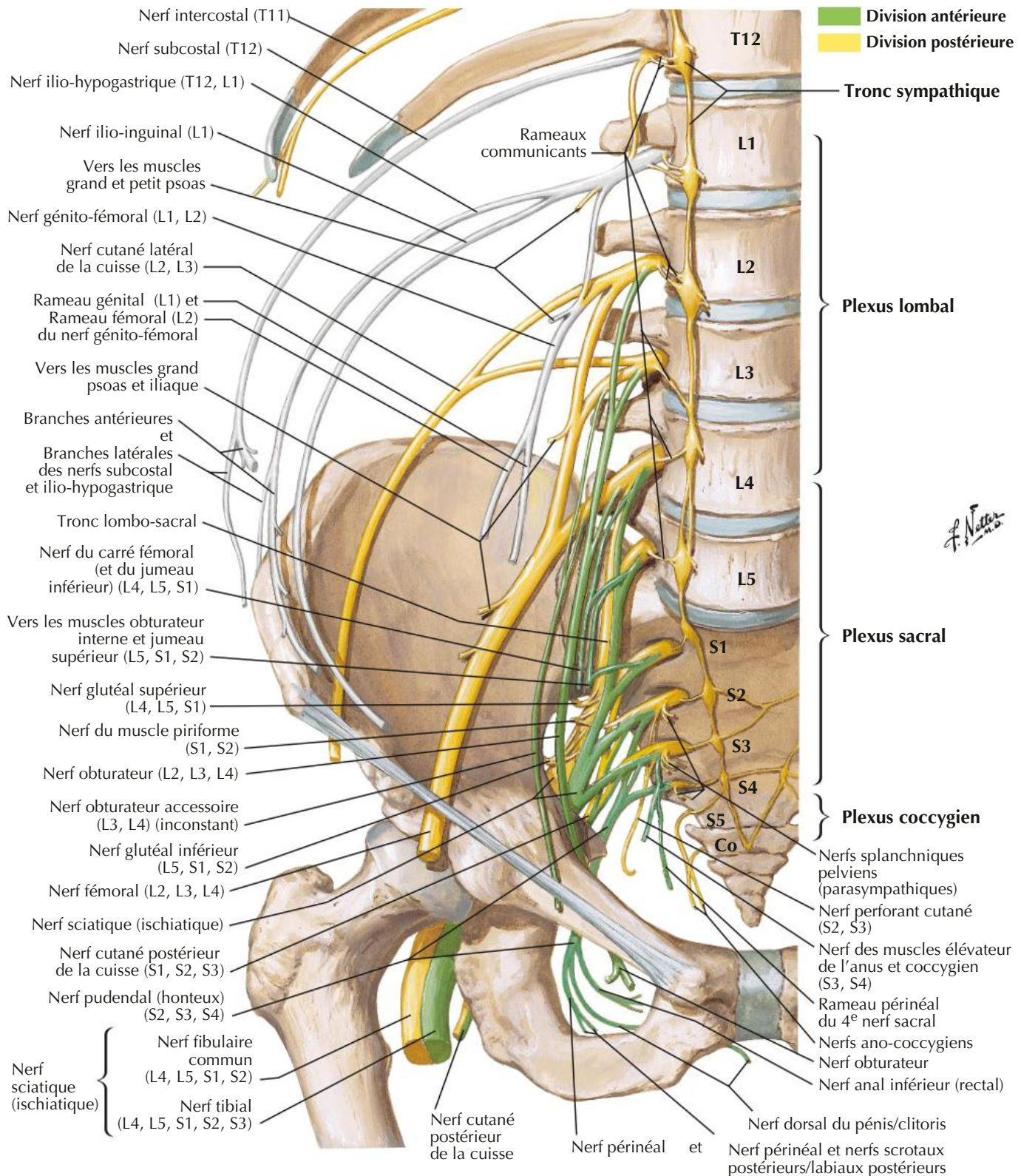
Dissection profonde

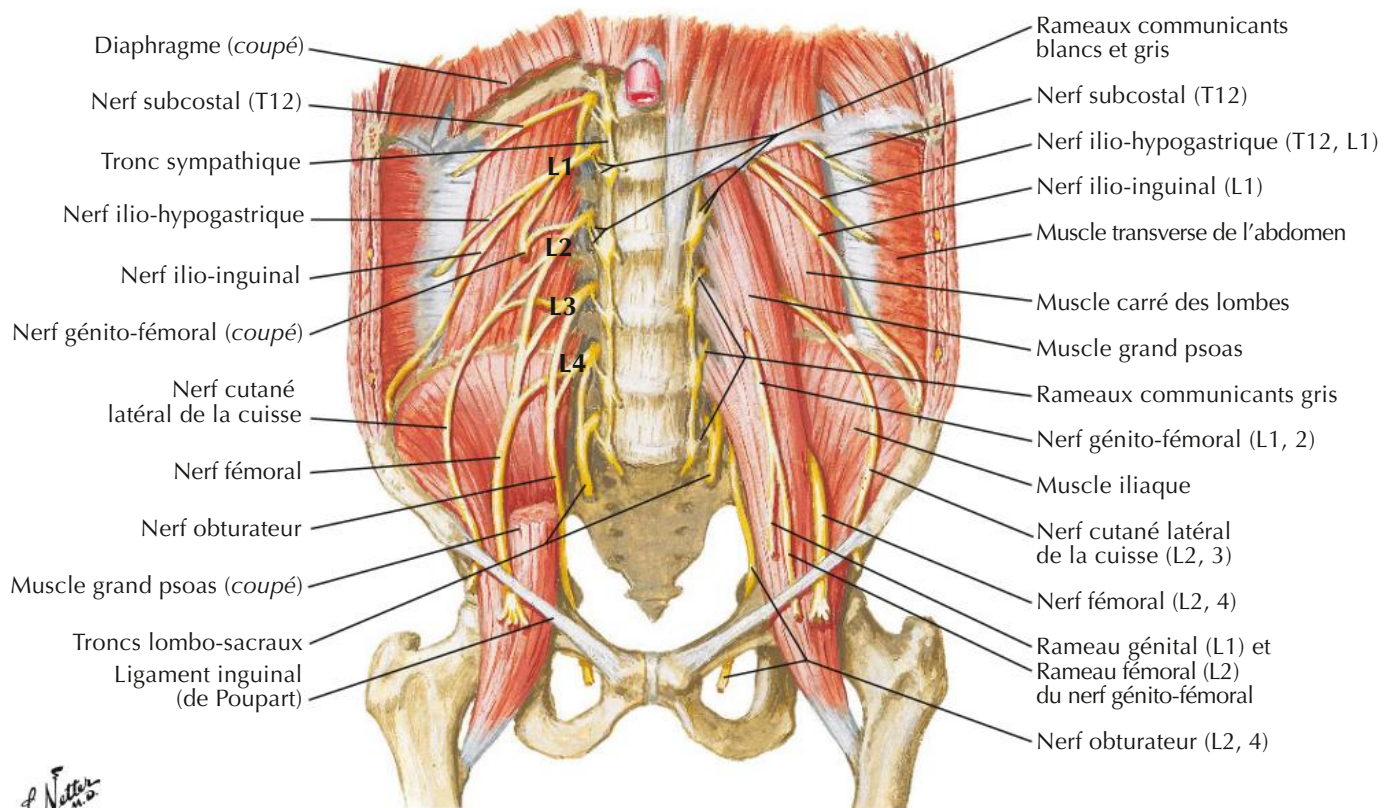
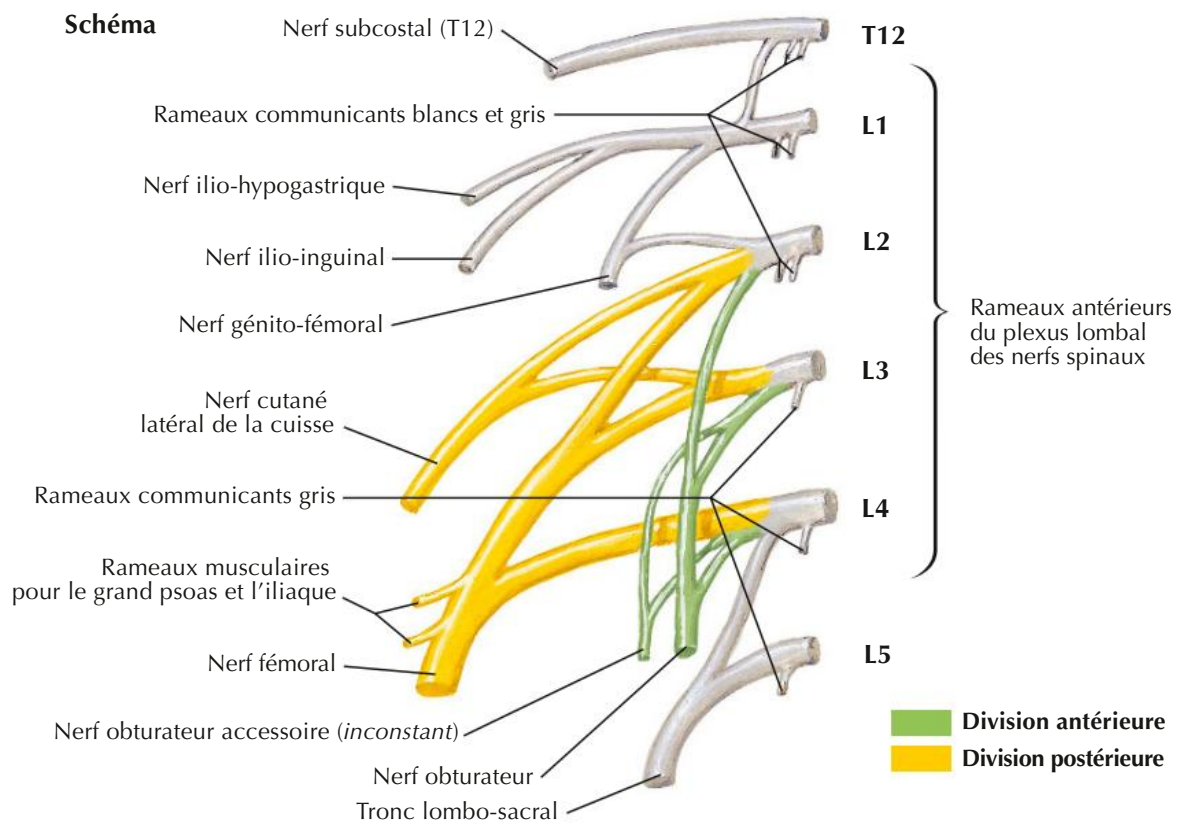


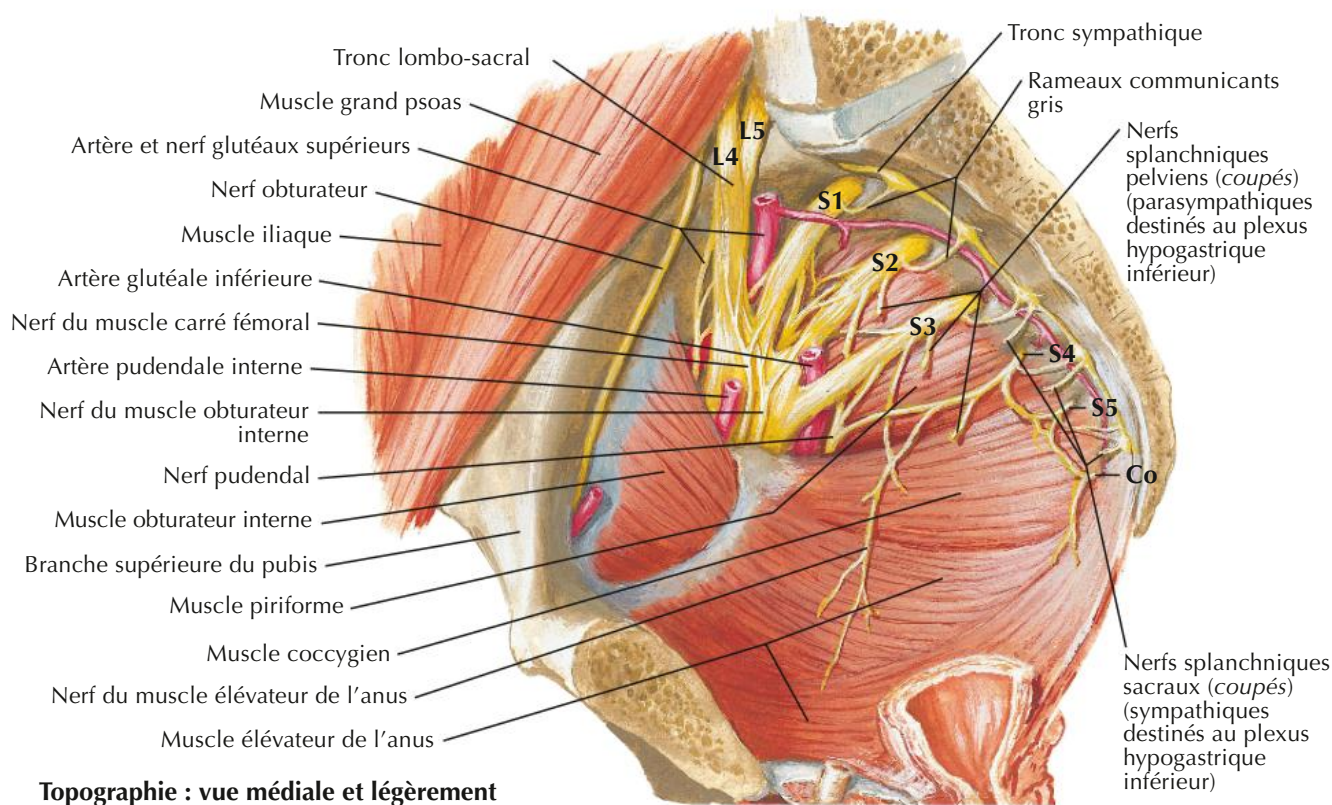
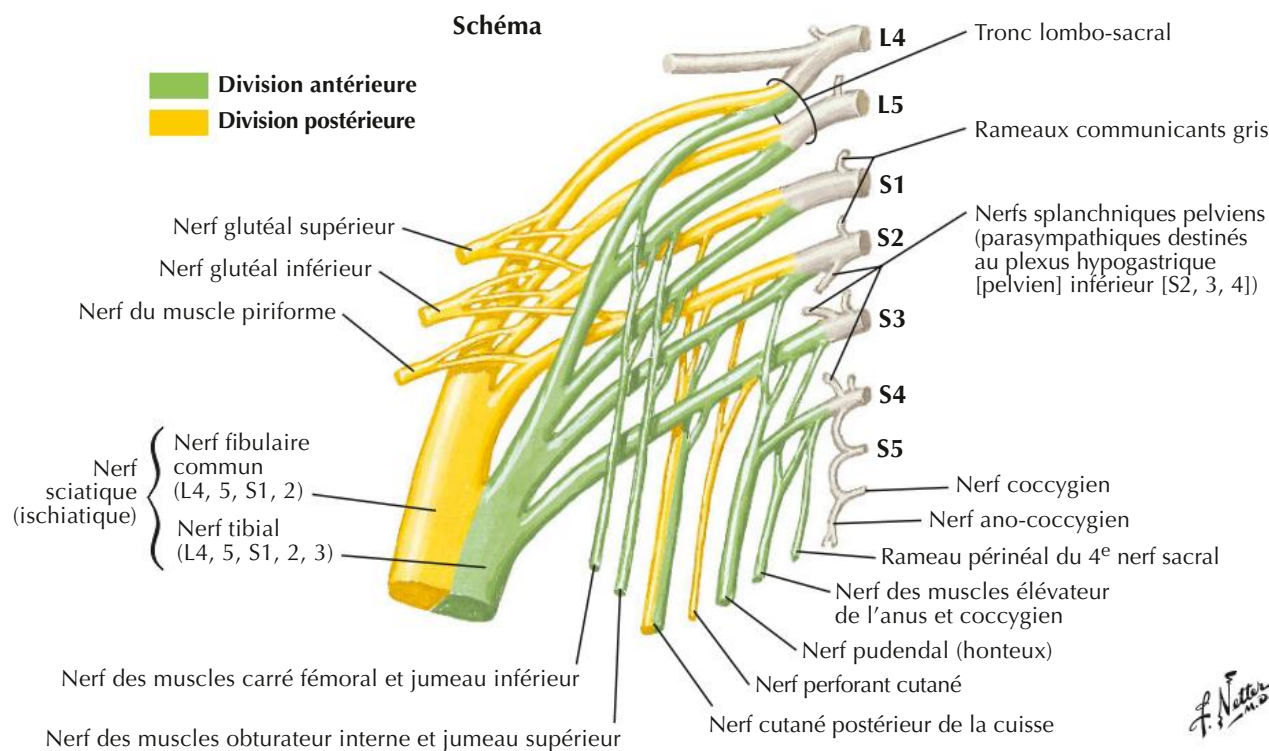
Muscles psoas et iliaque

Voir aussi Planches 265, 269

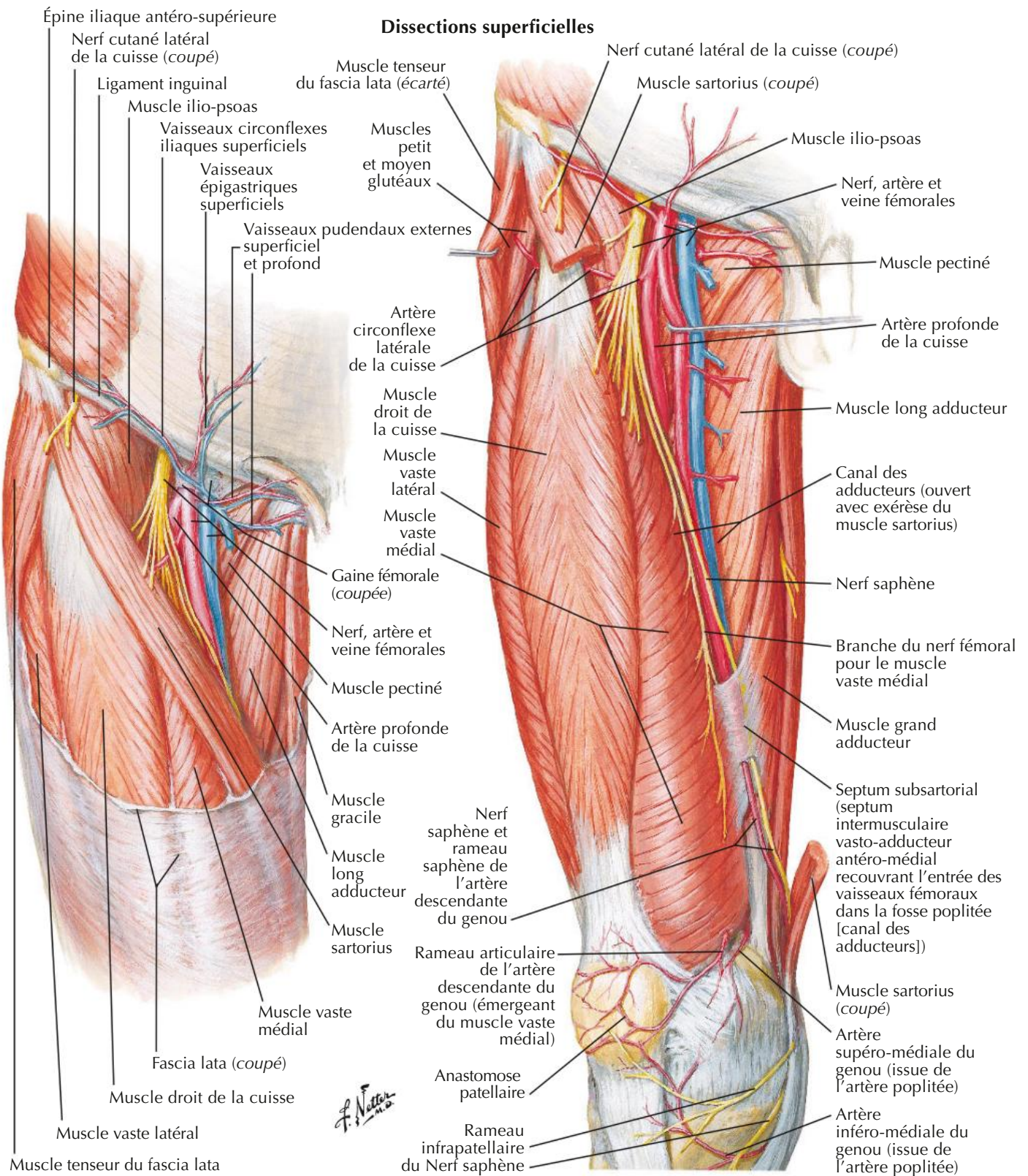




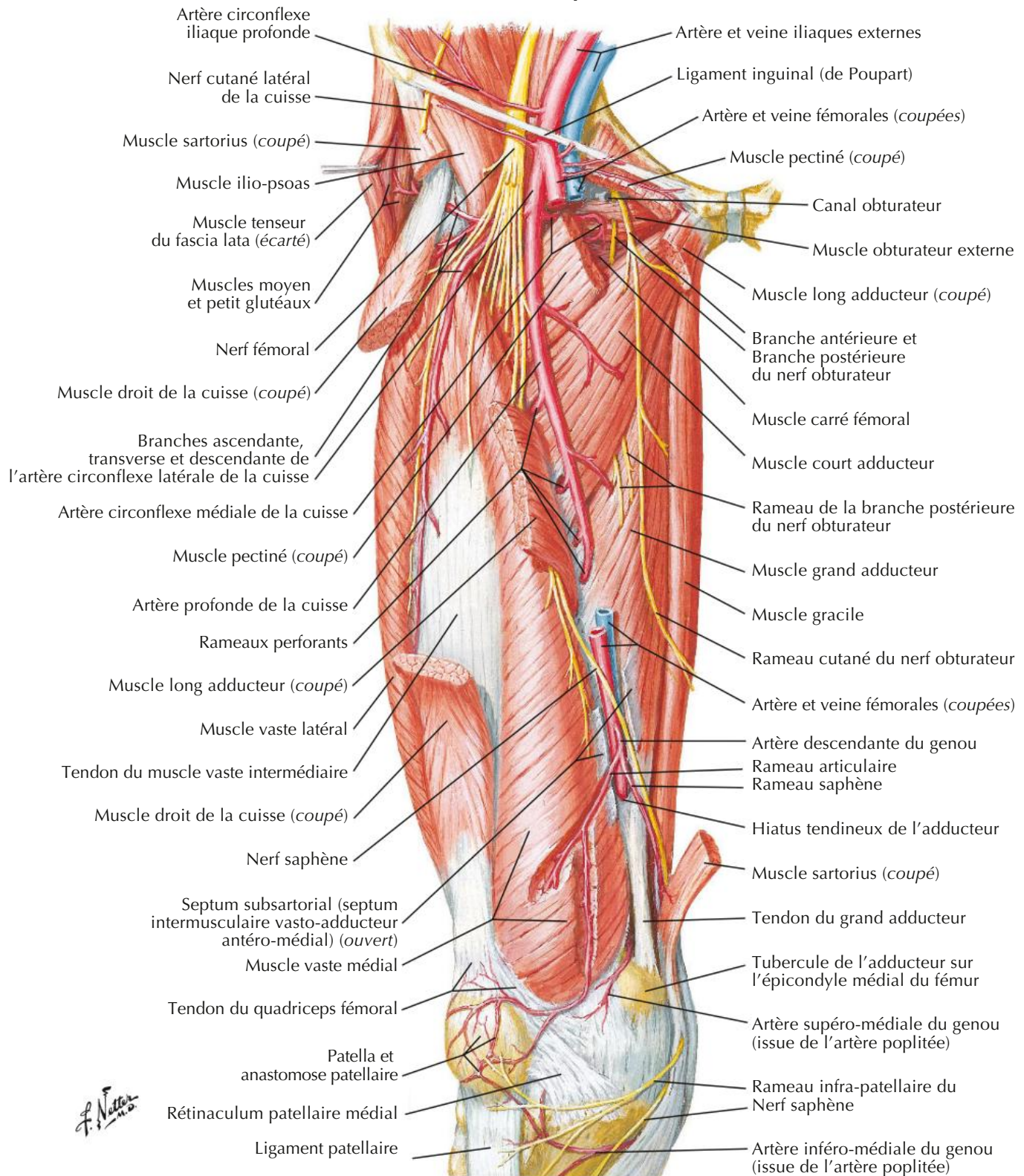




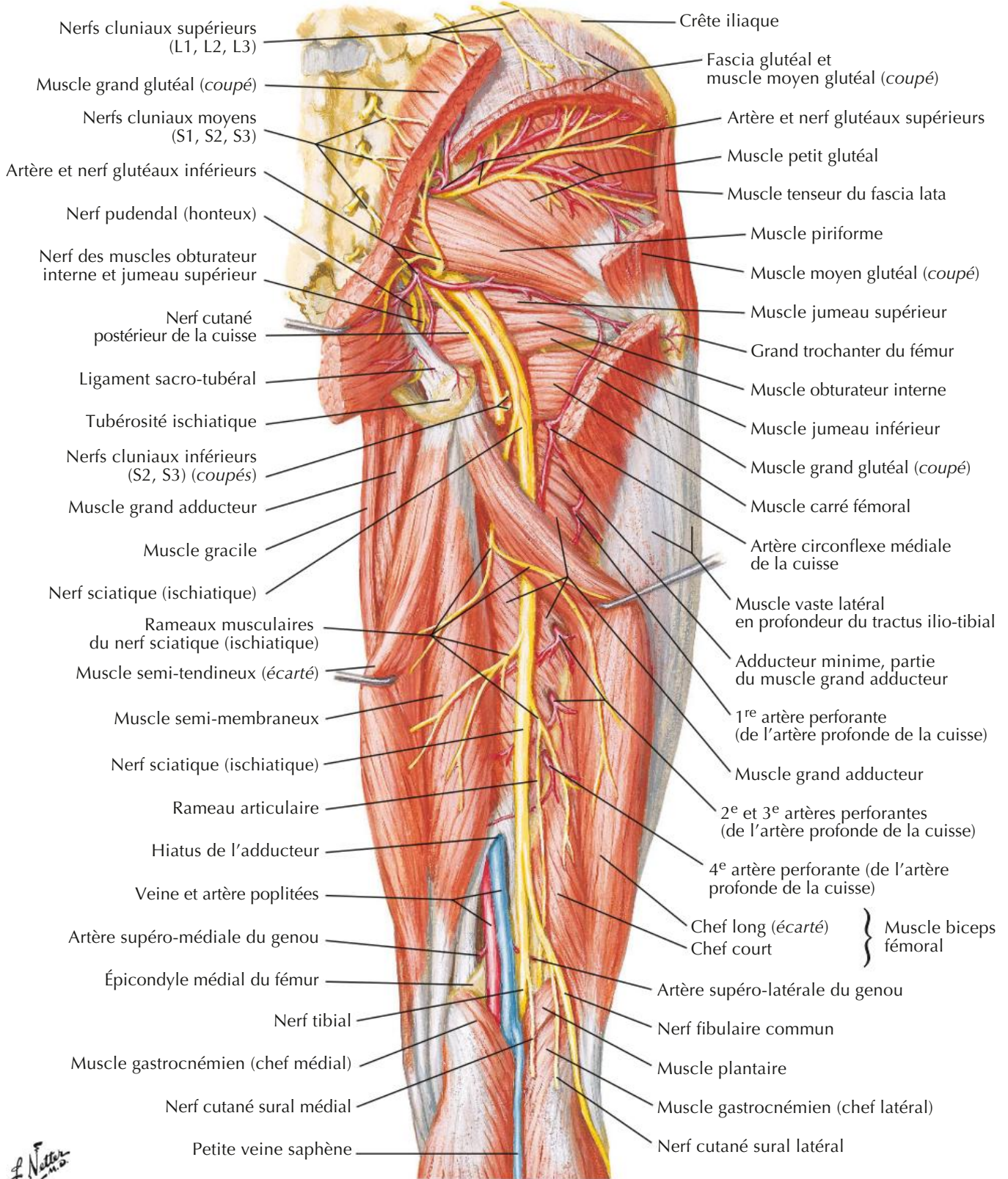
Topographie : vue médiale et légèrement antérieure de l'hémi-section du pelvis

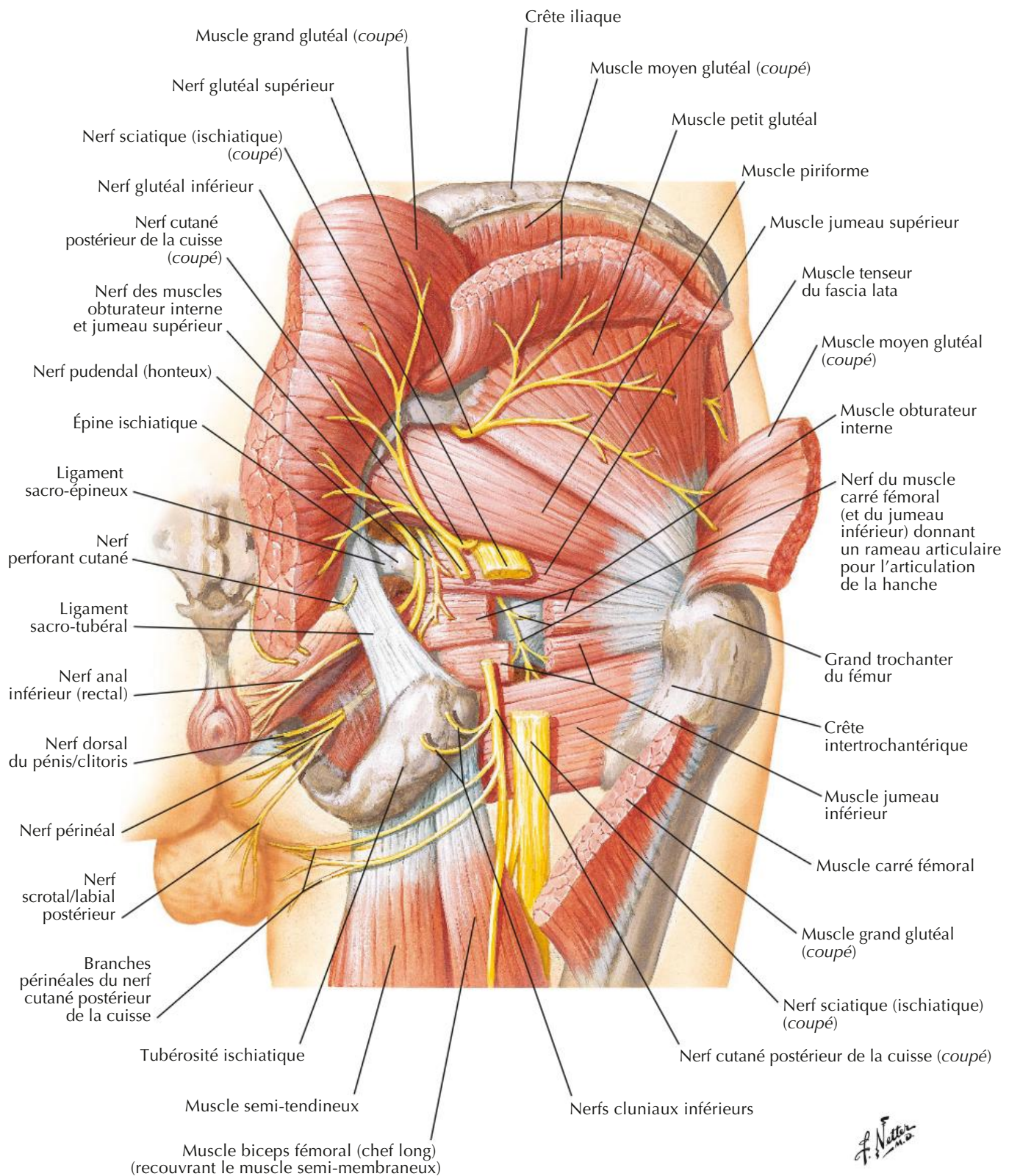


Dissection profonde

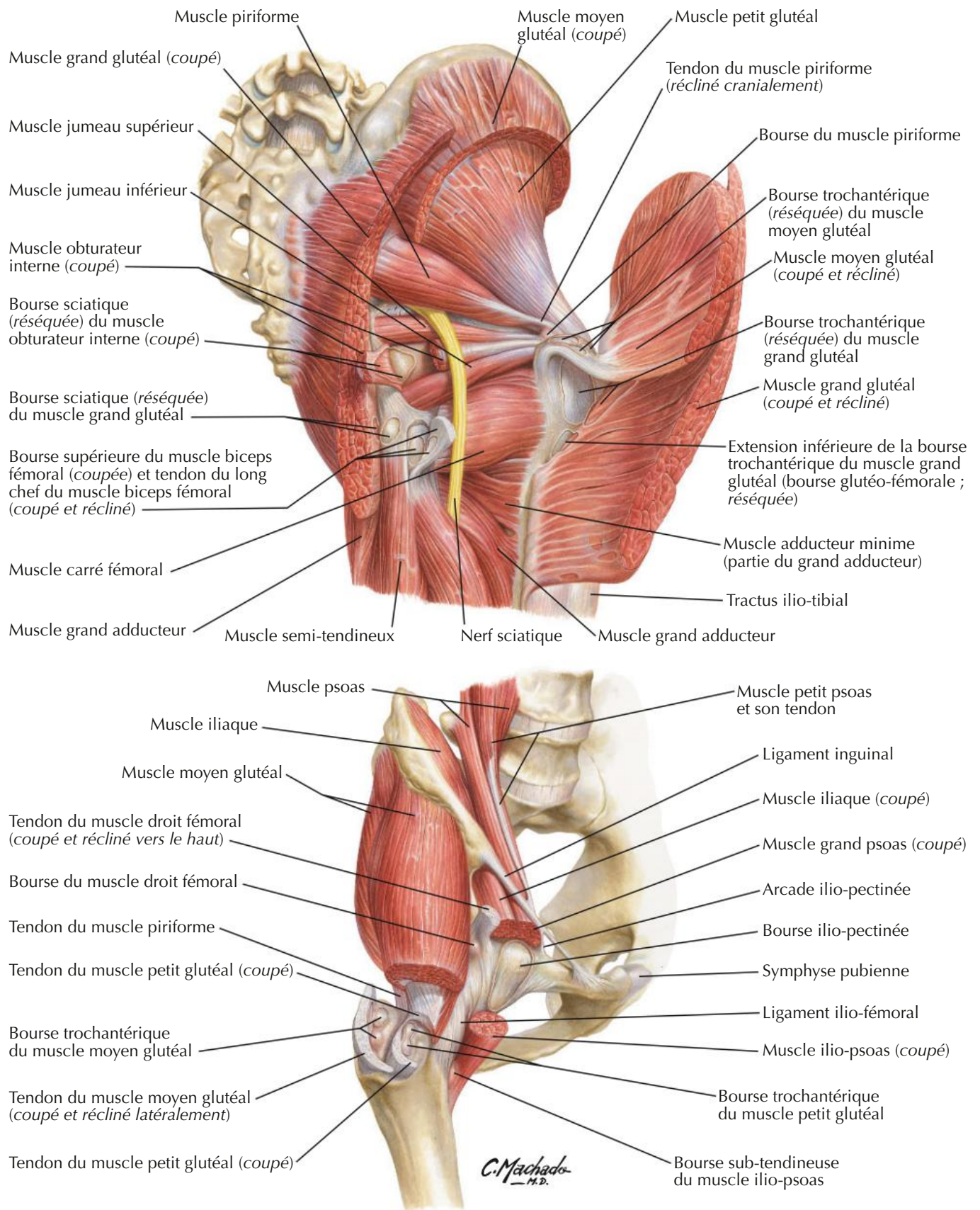


Dissection profonde

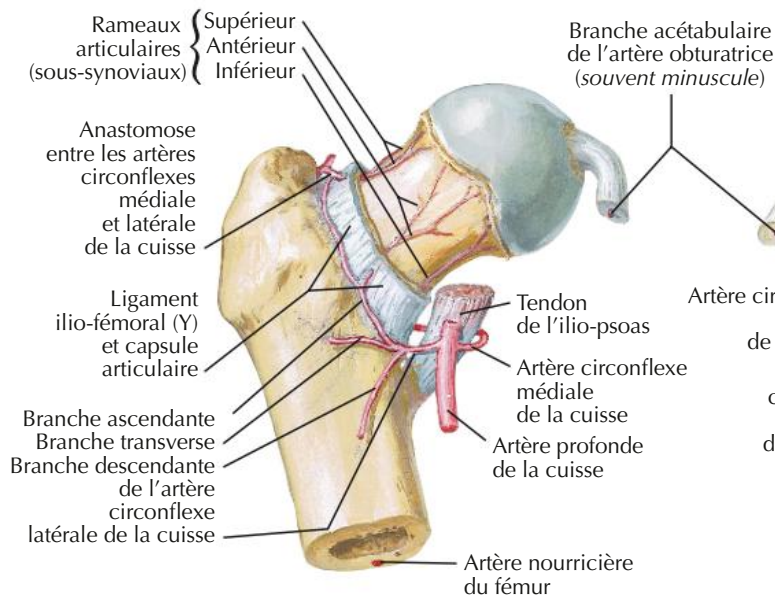




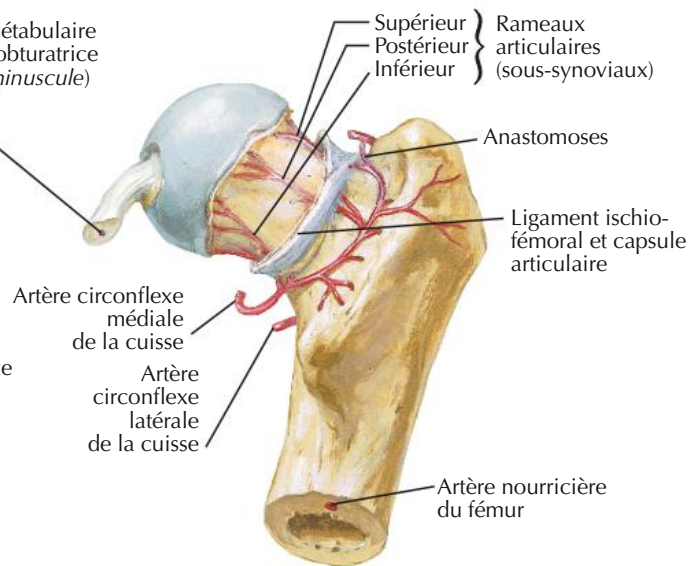
Bourses de la hanche : vues postérieure et antéro-latérale



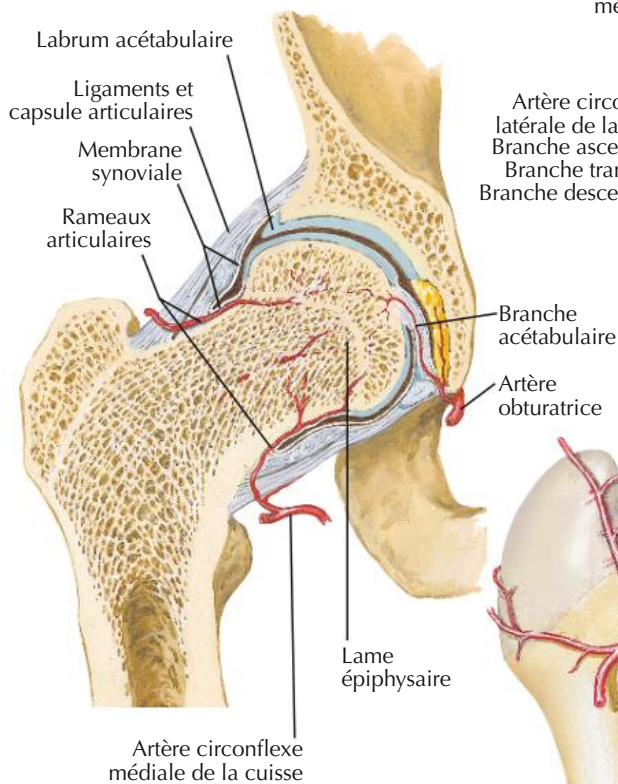
Vue antérieure



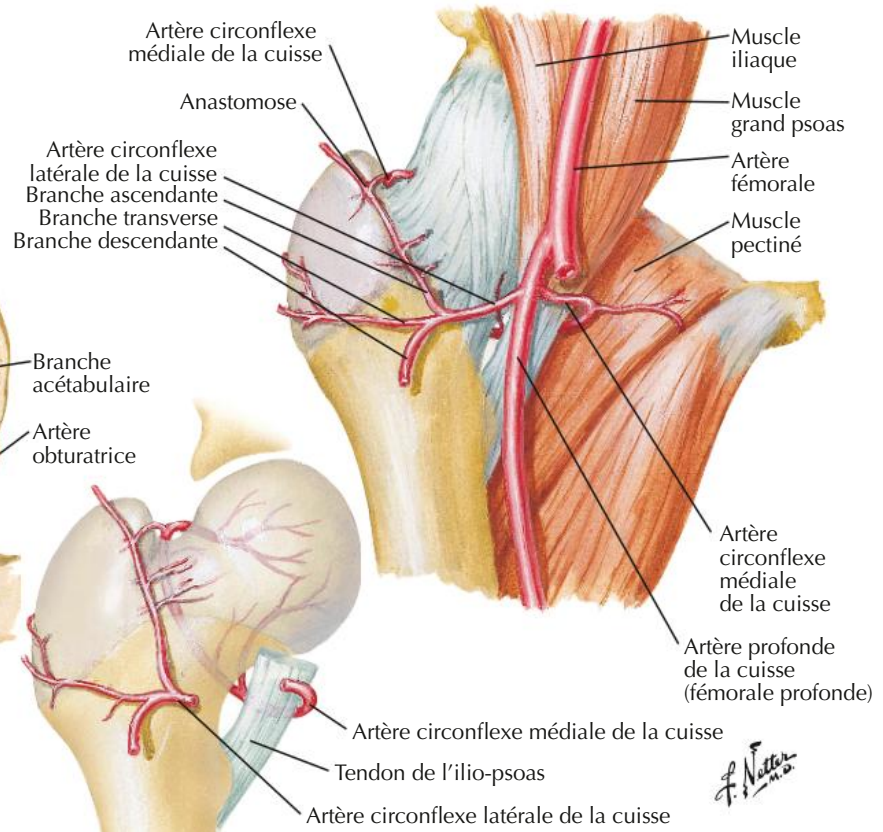
Vue postérieure



Coupe coronale

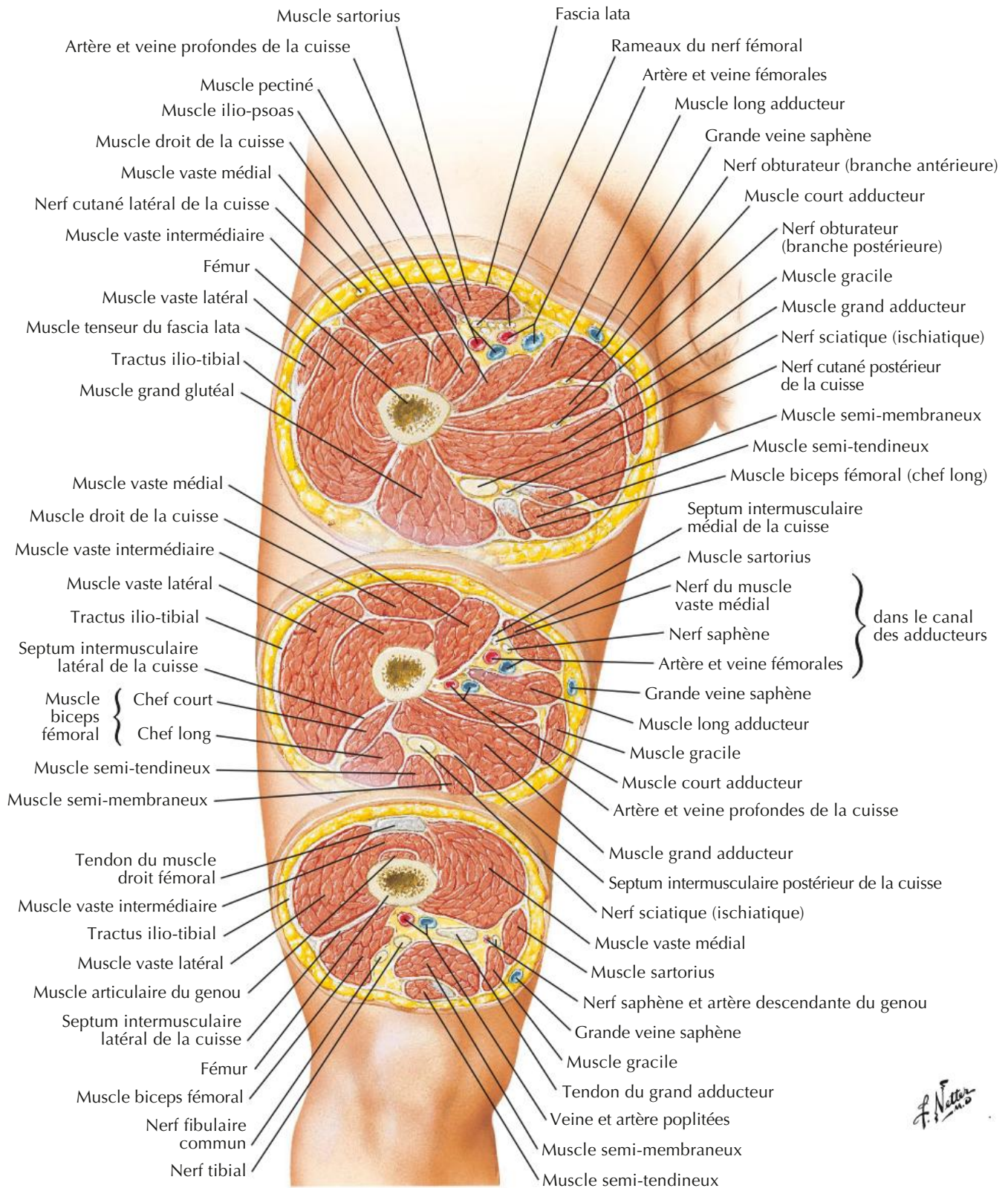


Vue antérieure in situ

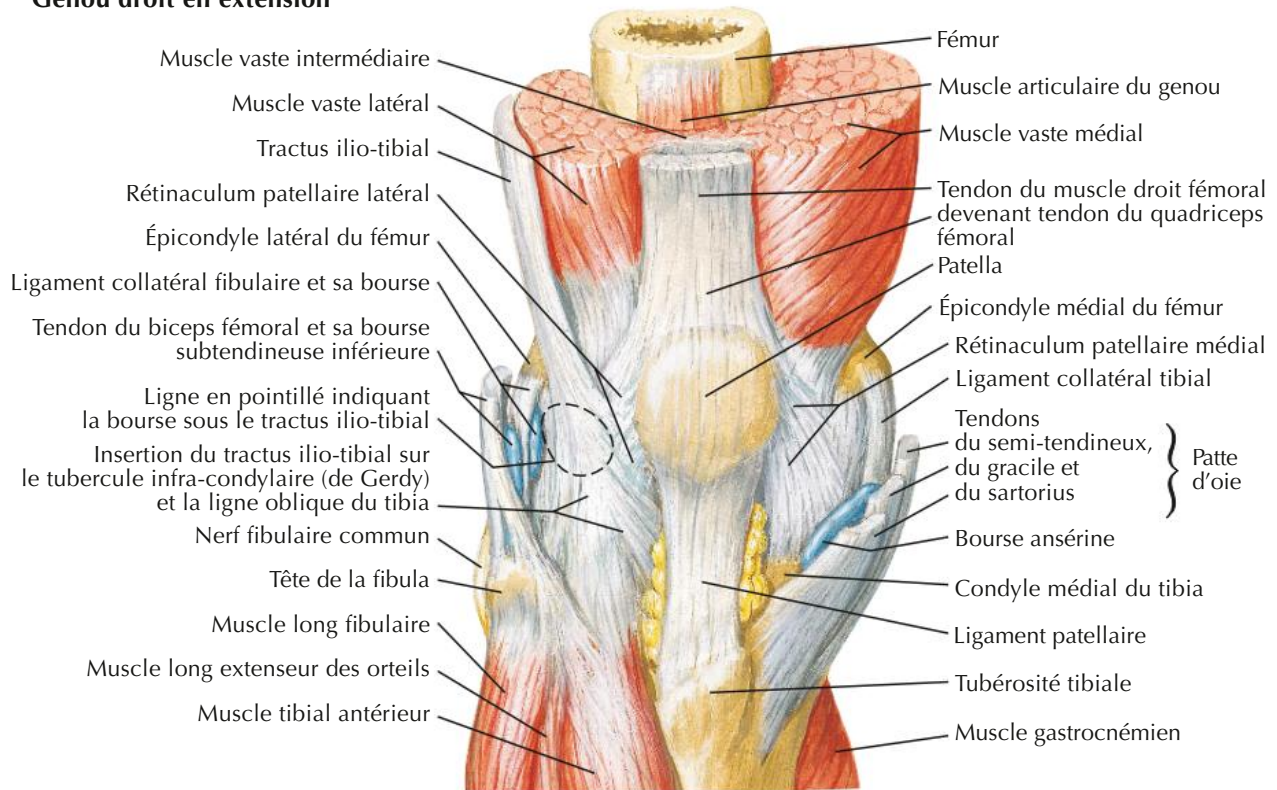


Fémur de l'enfant : vue inférieure

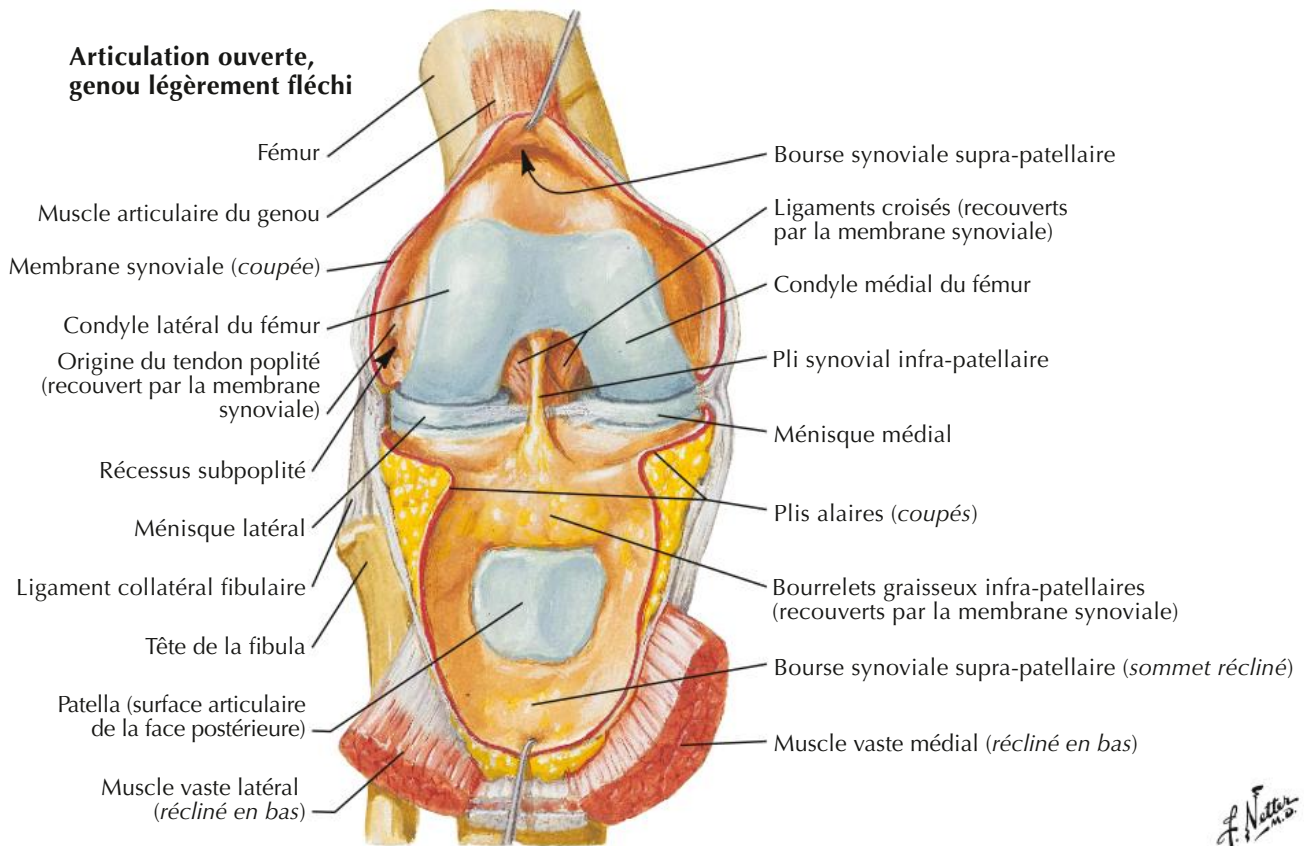
Cuisse : coupes transversales sériees



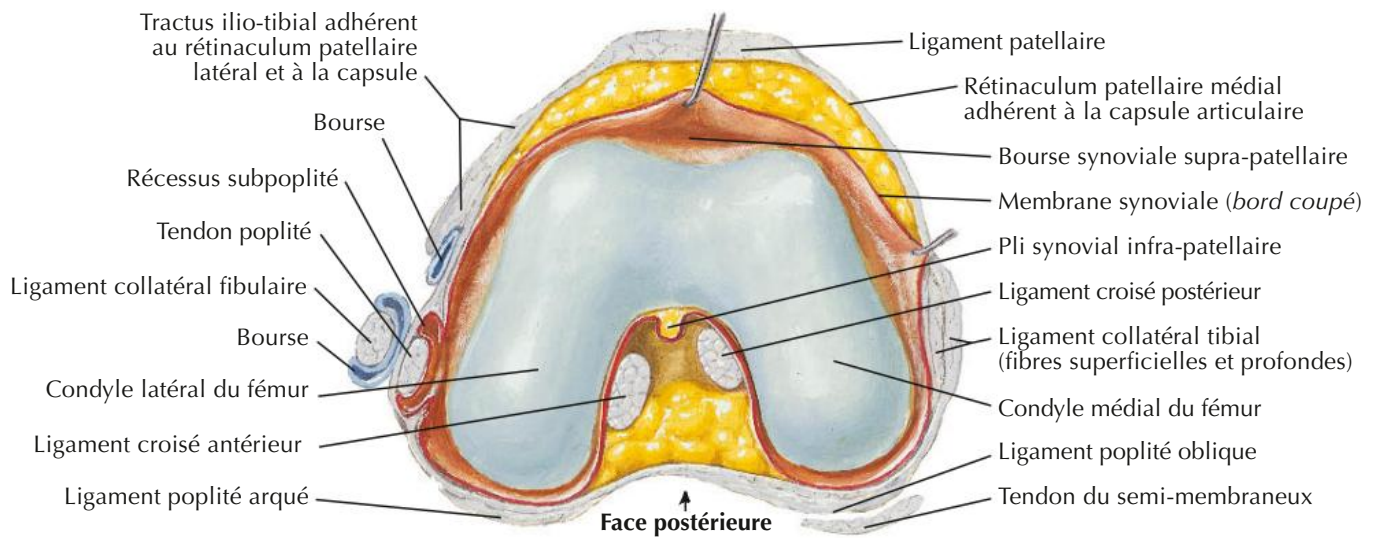
Genou droit en extension



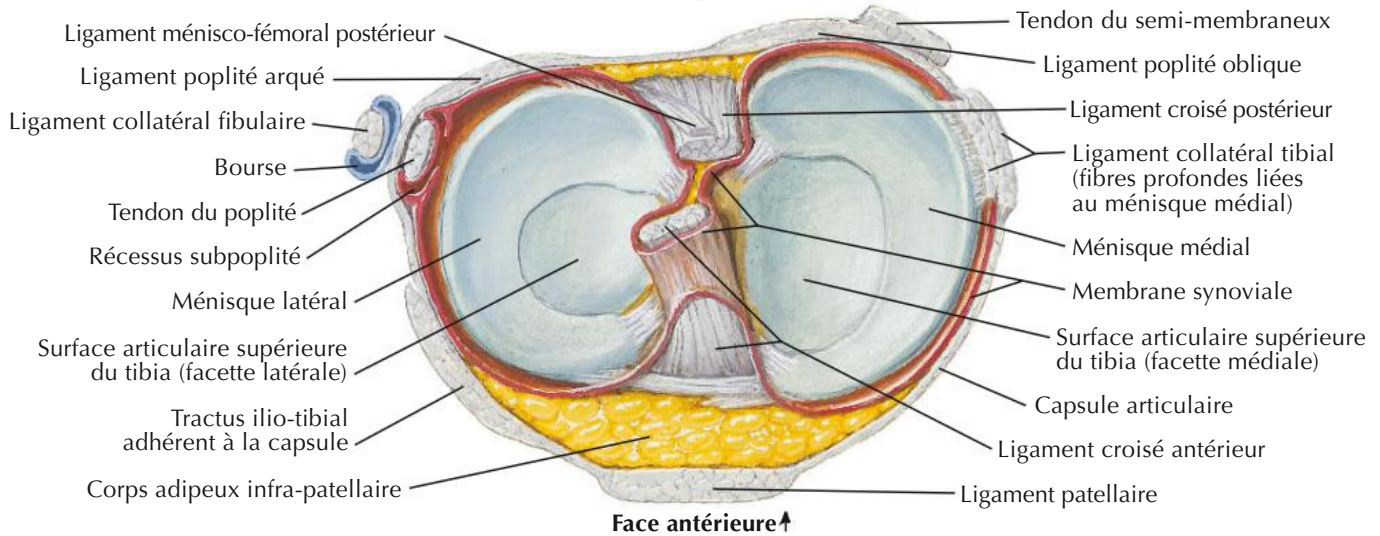
Articulation ouverte, genou légèrement fléchi



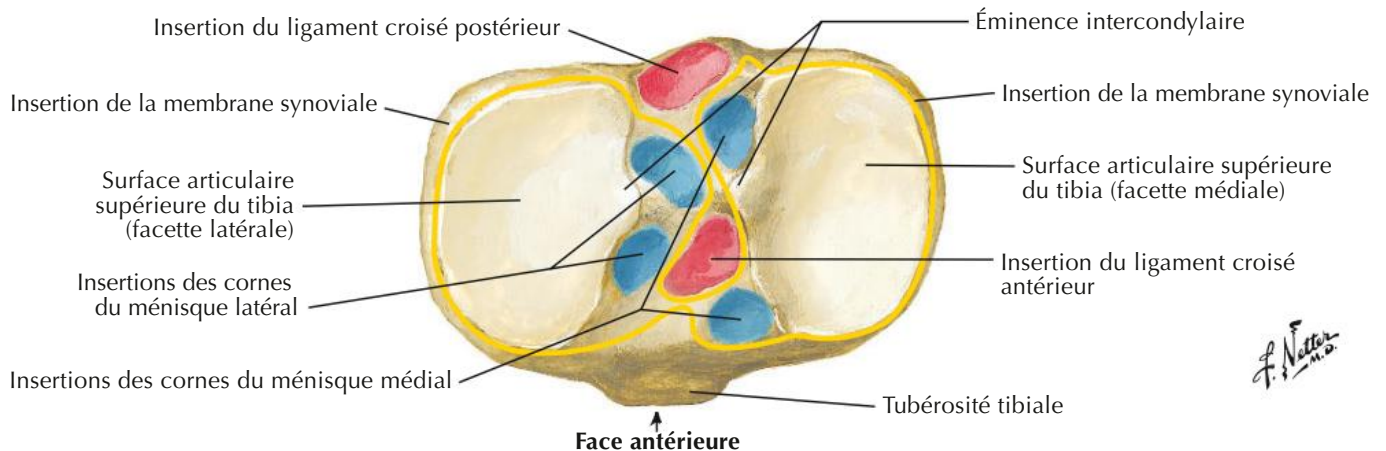
Vue inférieure



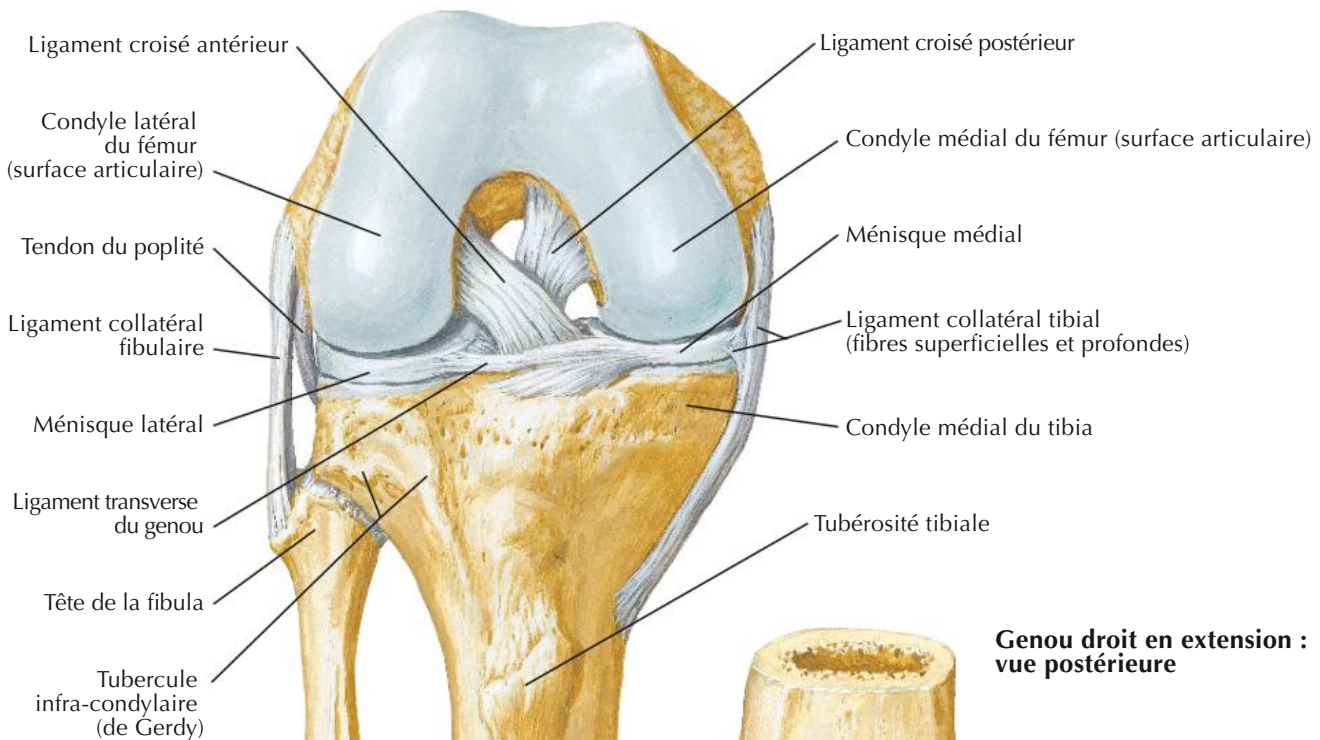
Vue supérieure



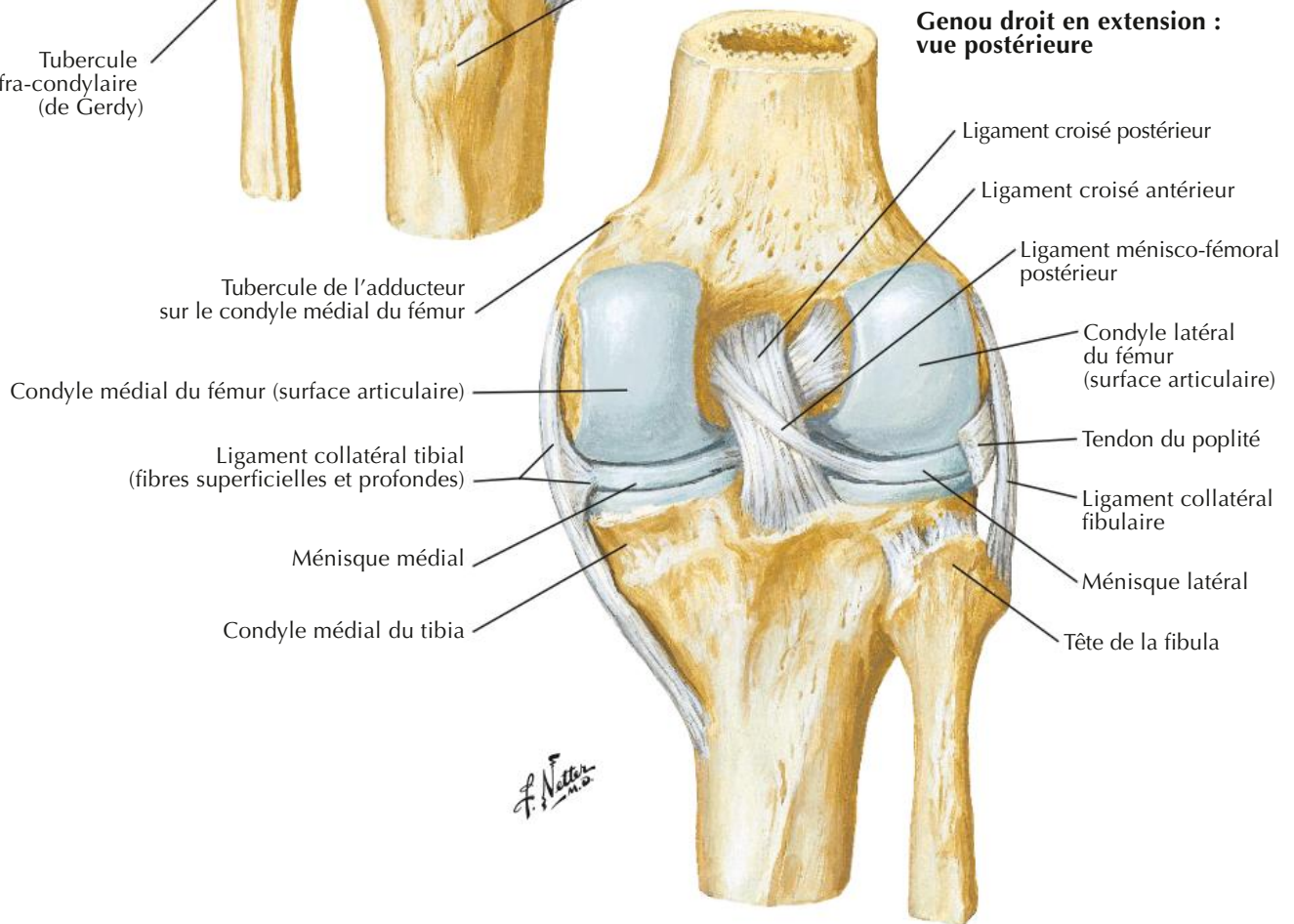
Vue supérieure : après ablation des ligaments et du cartilage

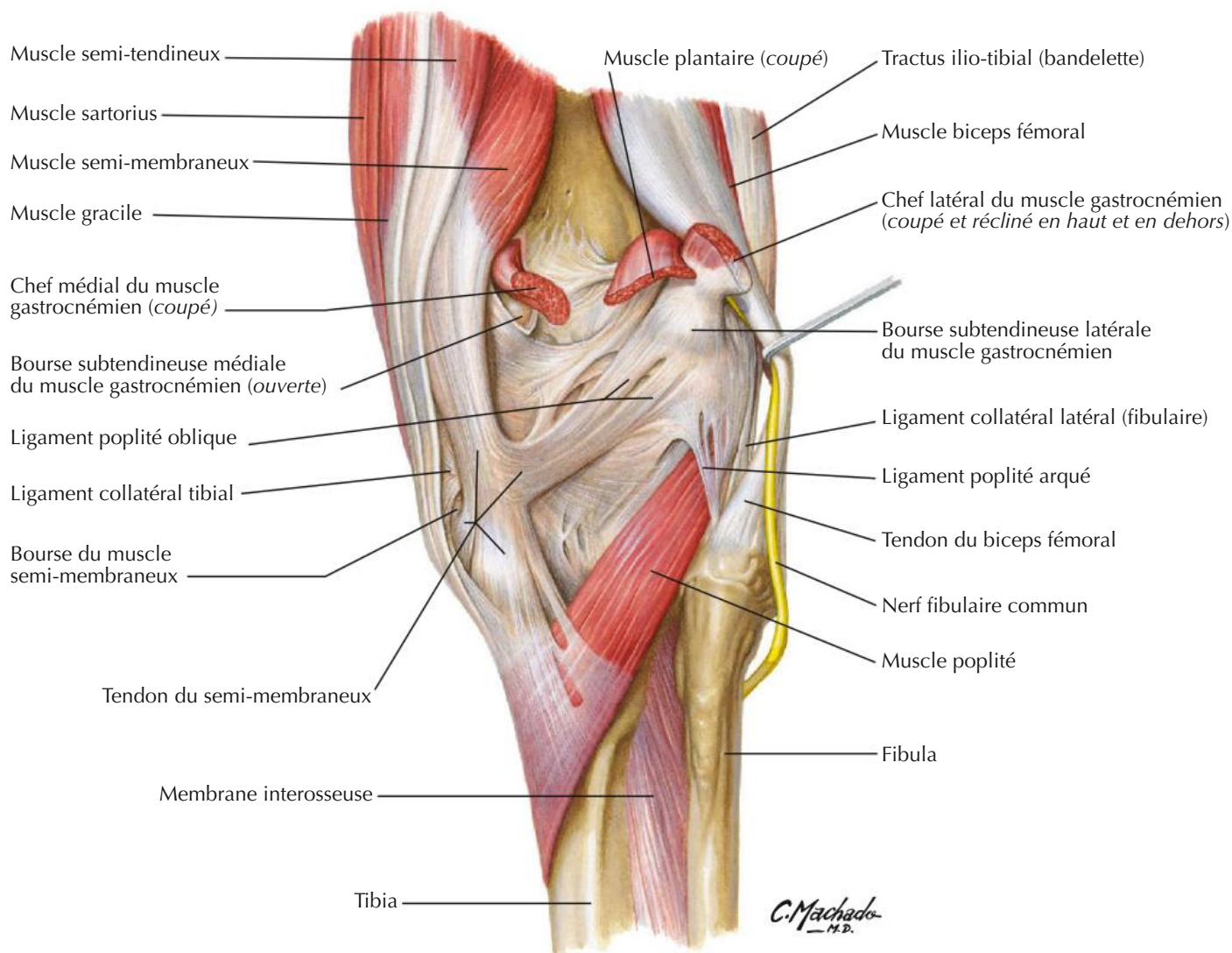
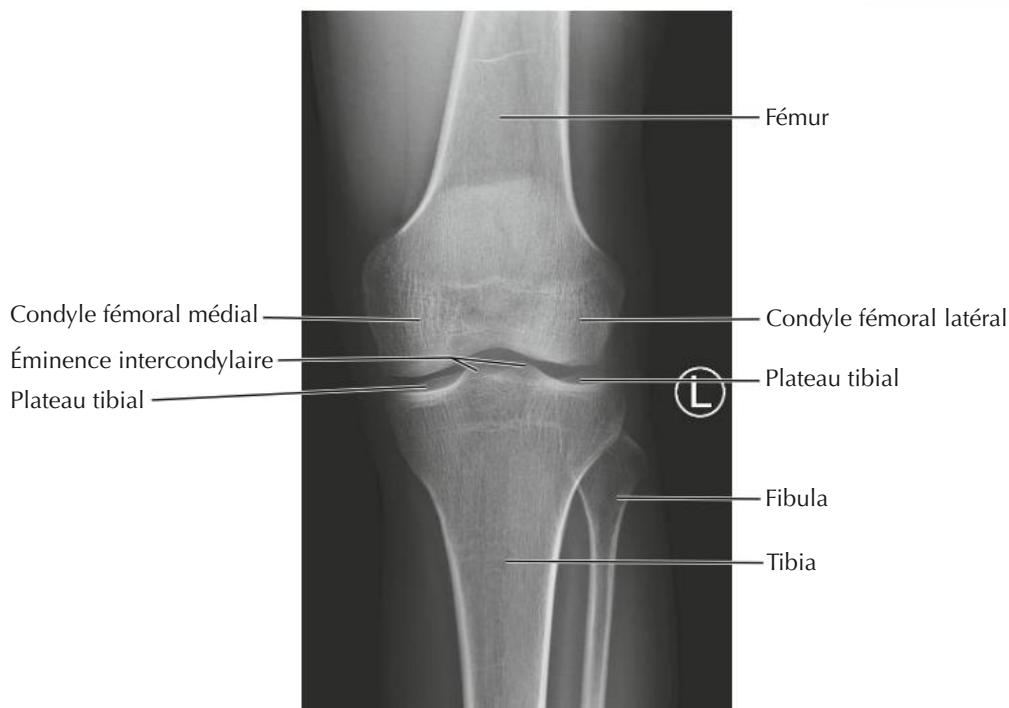


Genou droit en flexion : vue antérieure

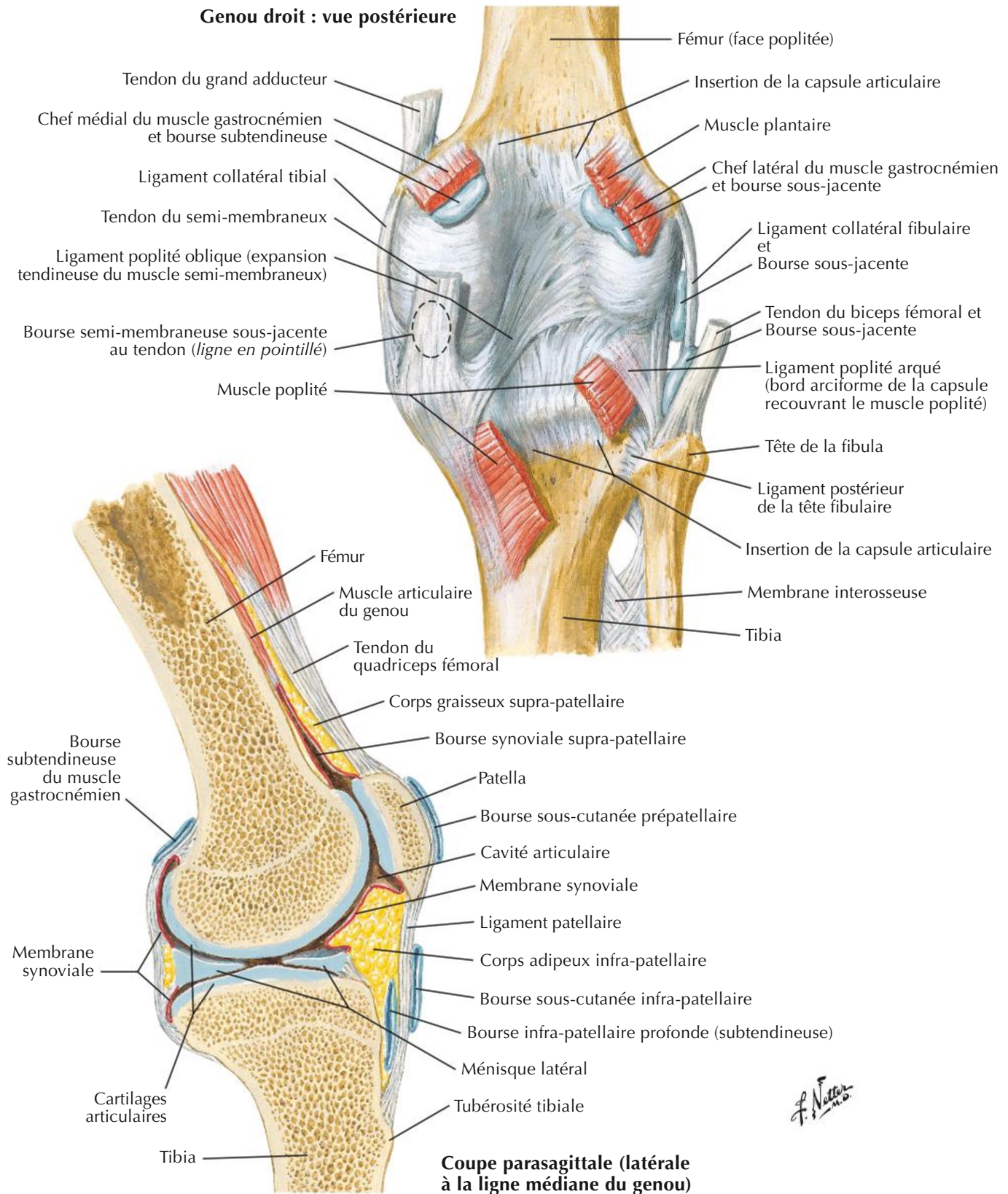


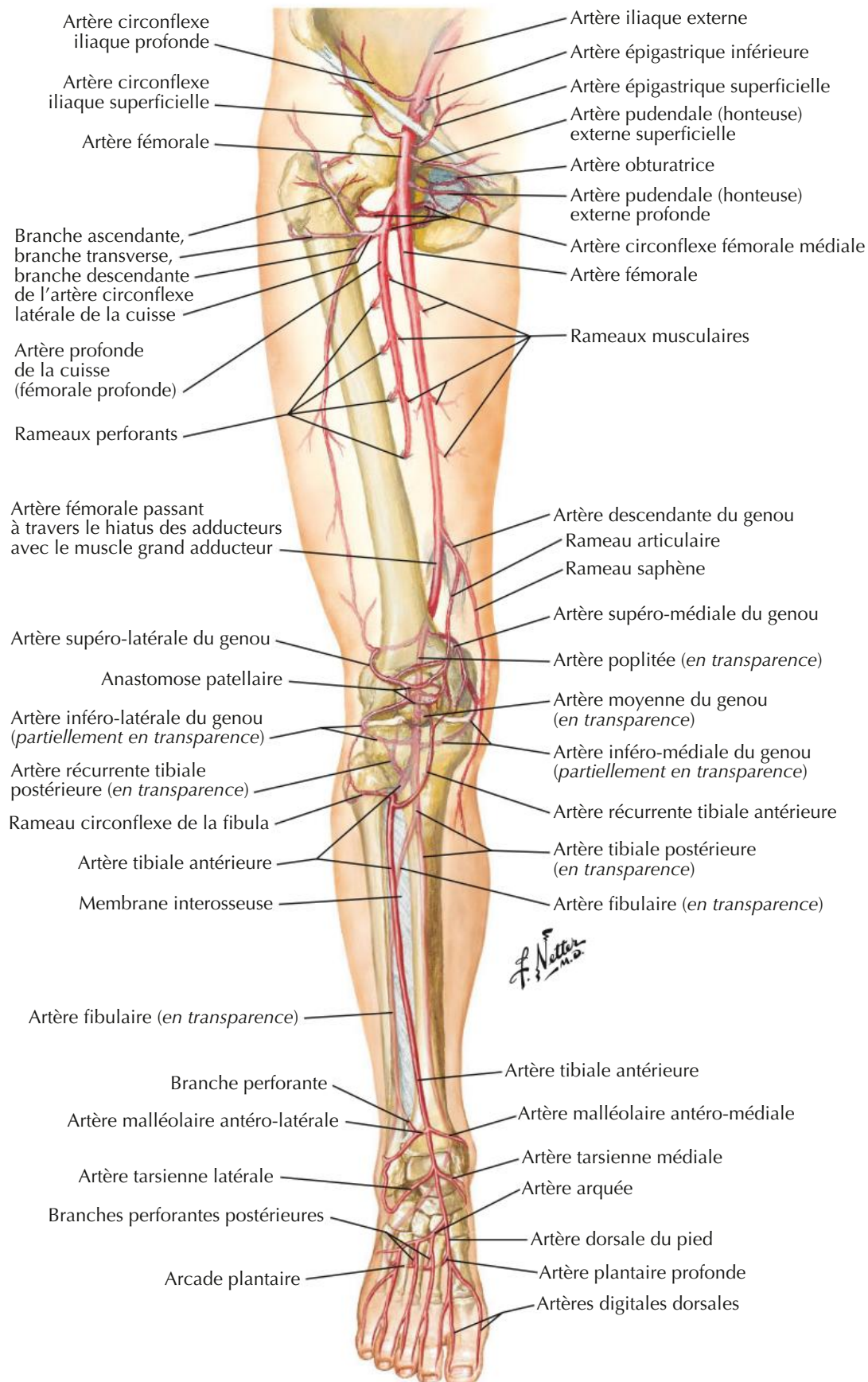
Genou droit en extension : vue postérieure





Genou droit : vue postérieure

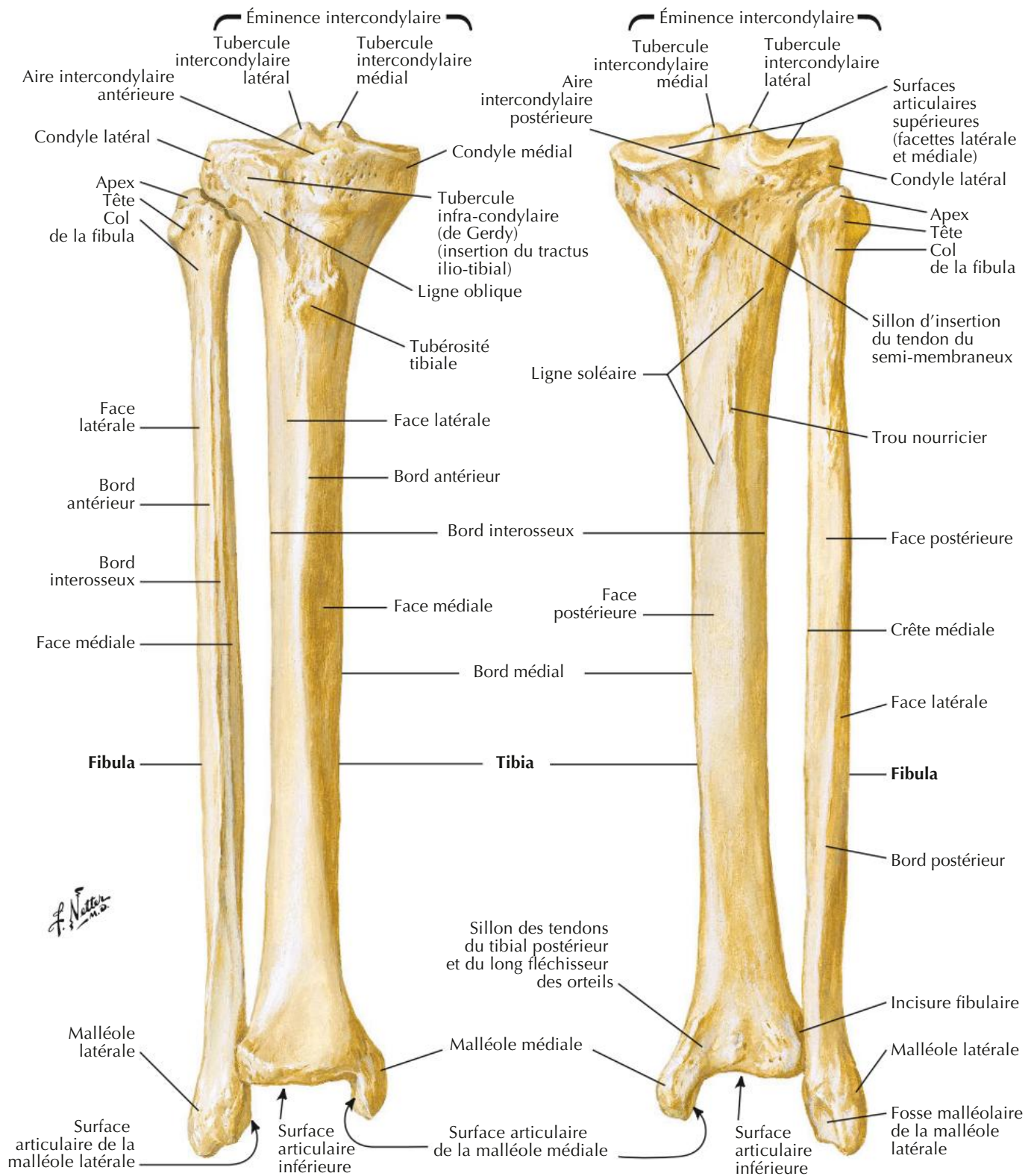




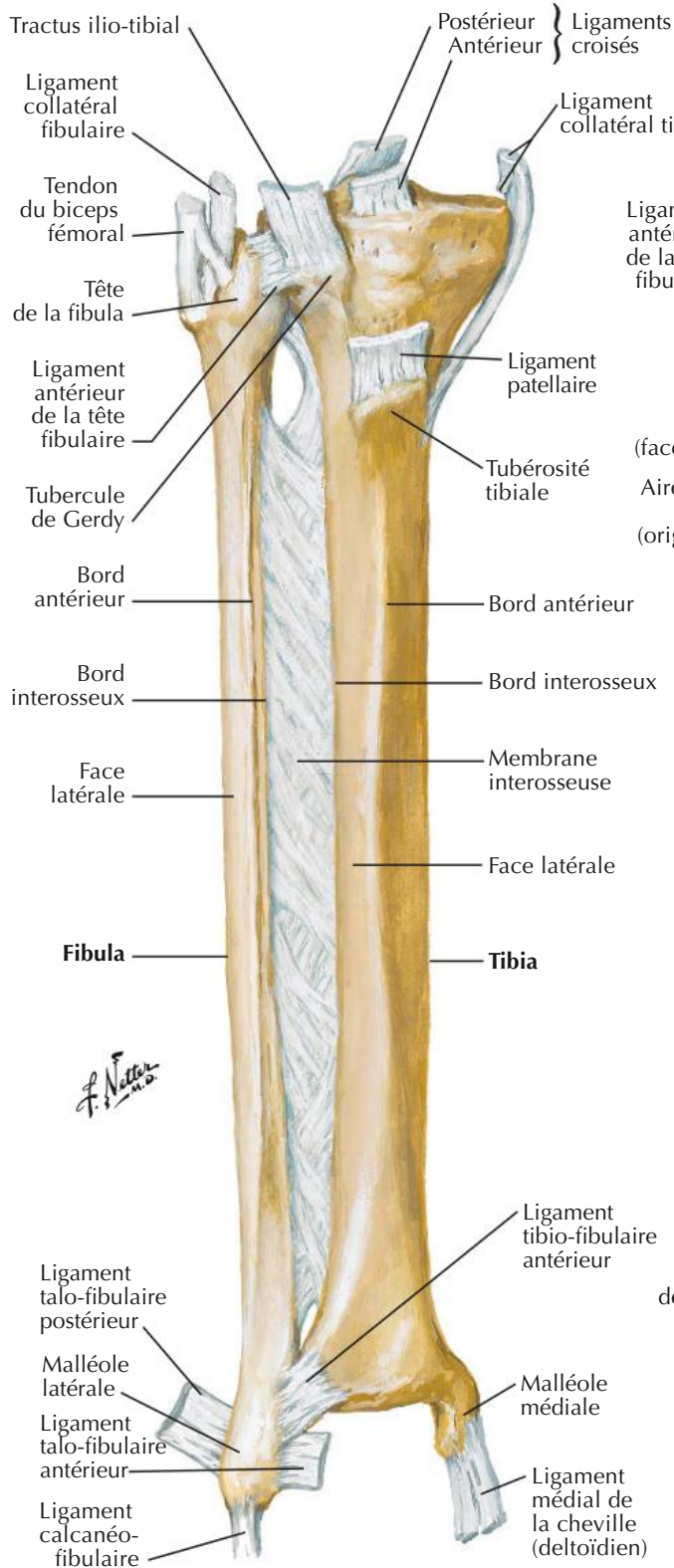
Os de la jambe droite

Vue antérieure

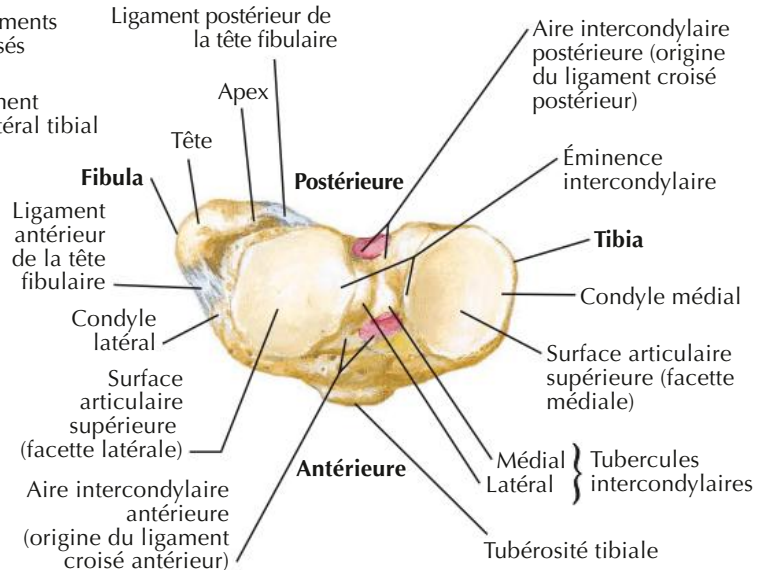
Vue postérieure



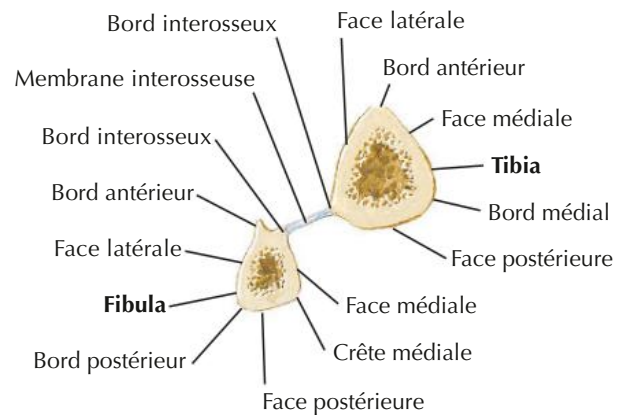
Vue antérieure avec les insertions ligamentaires



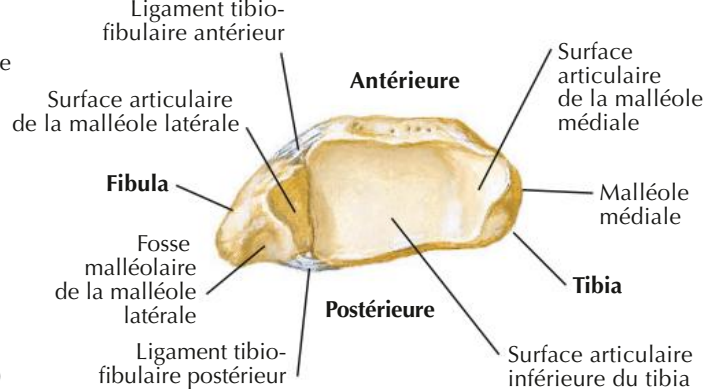
Vue supérieure

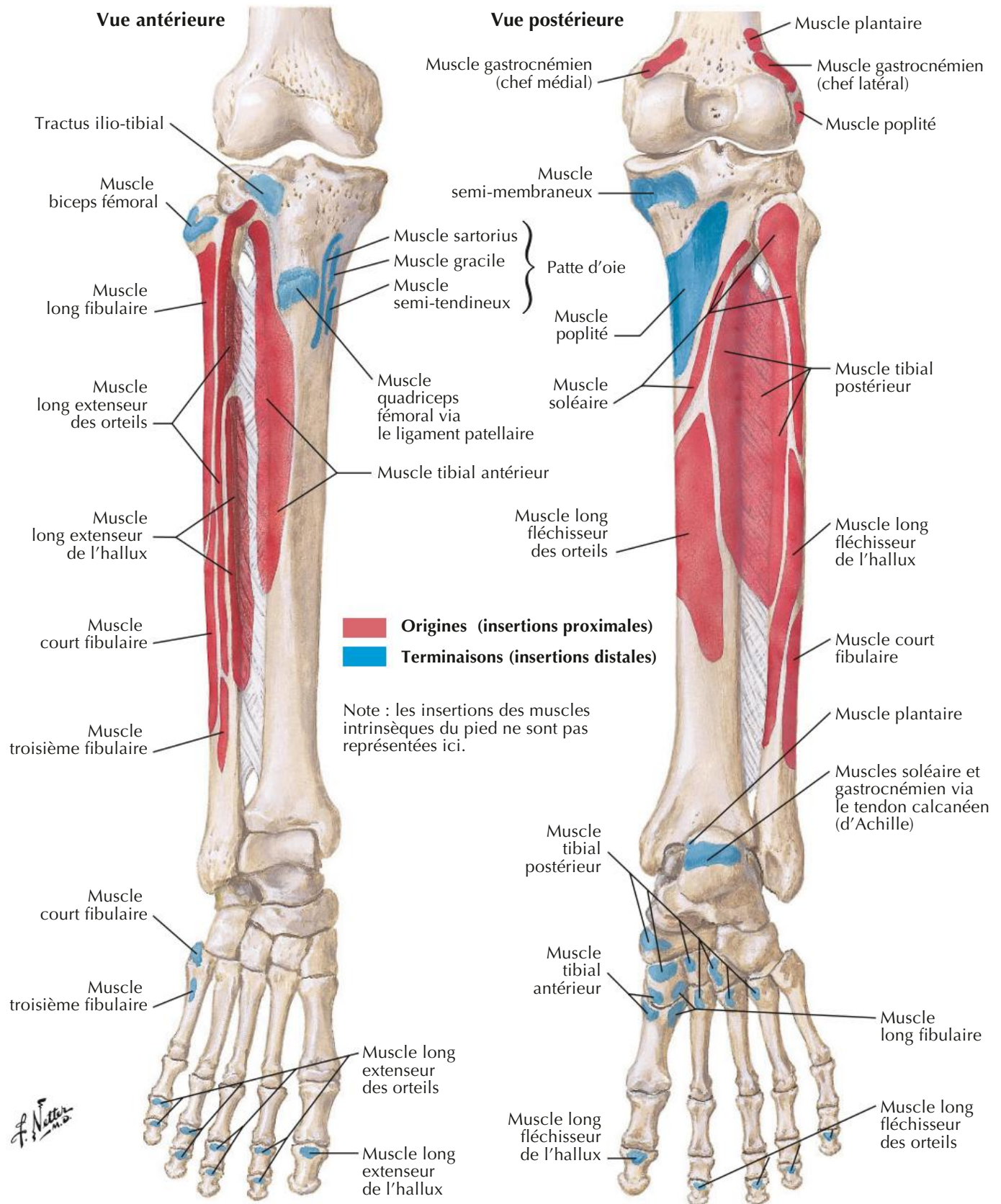


Coupe transversale

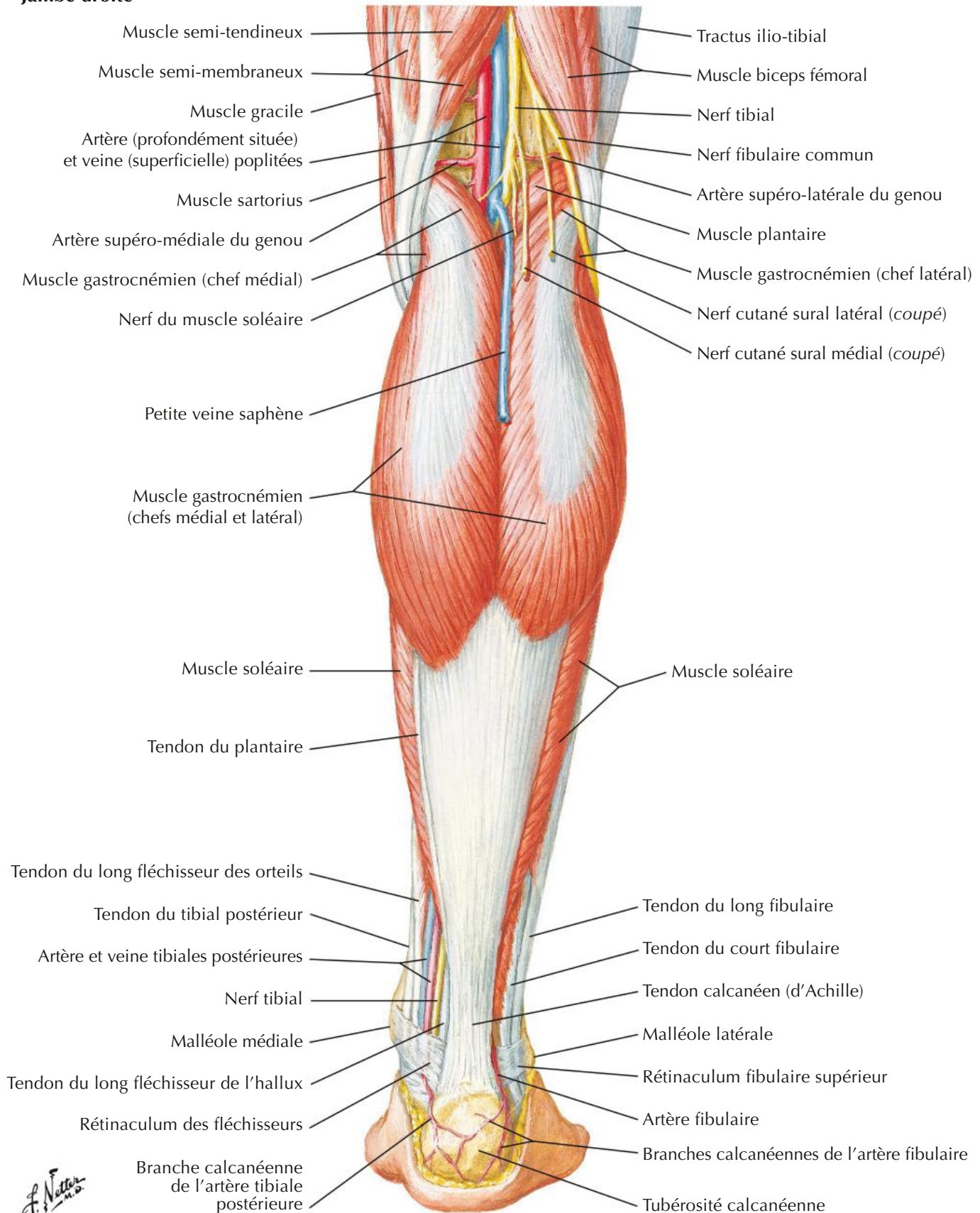


Vue inférieure

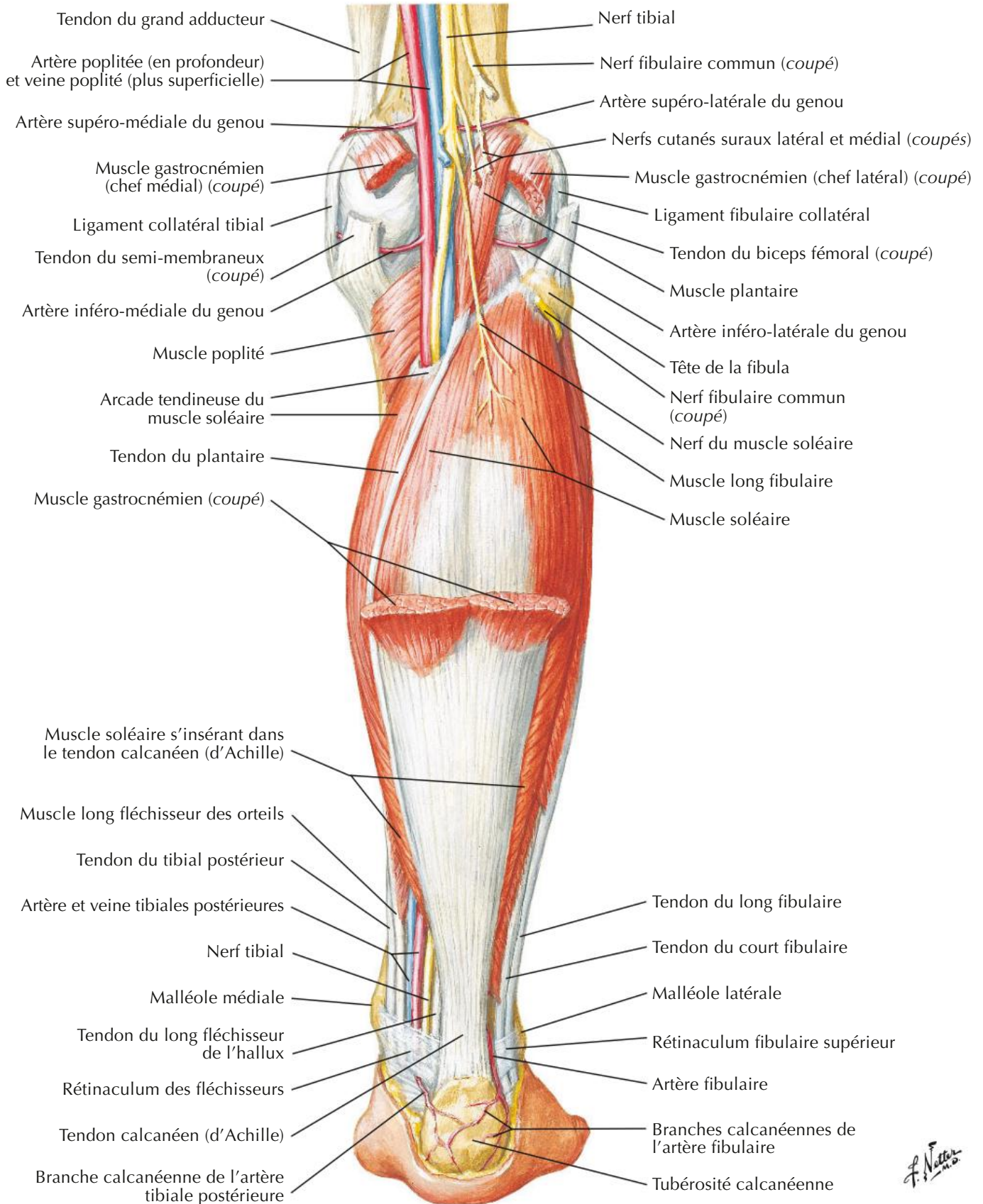




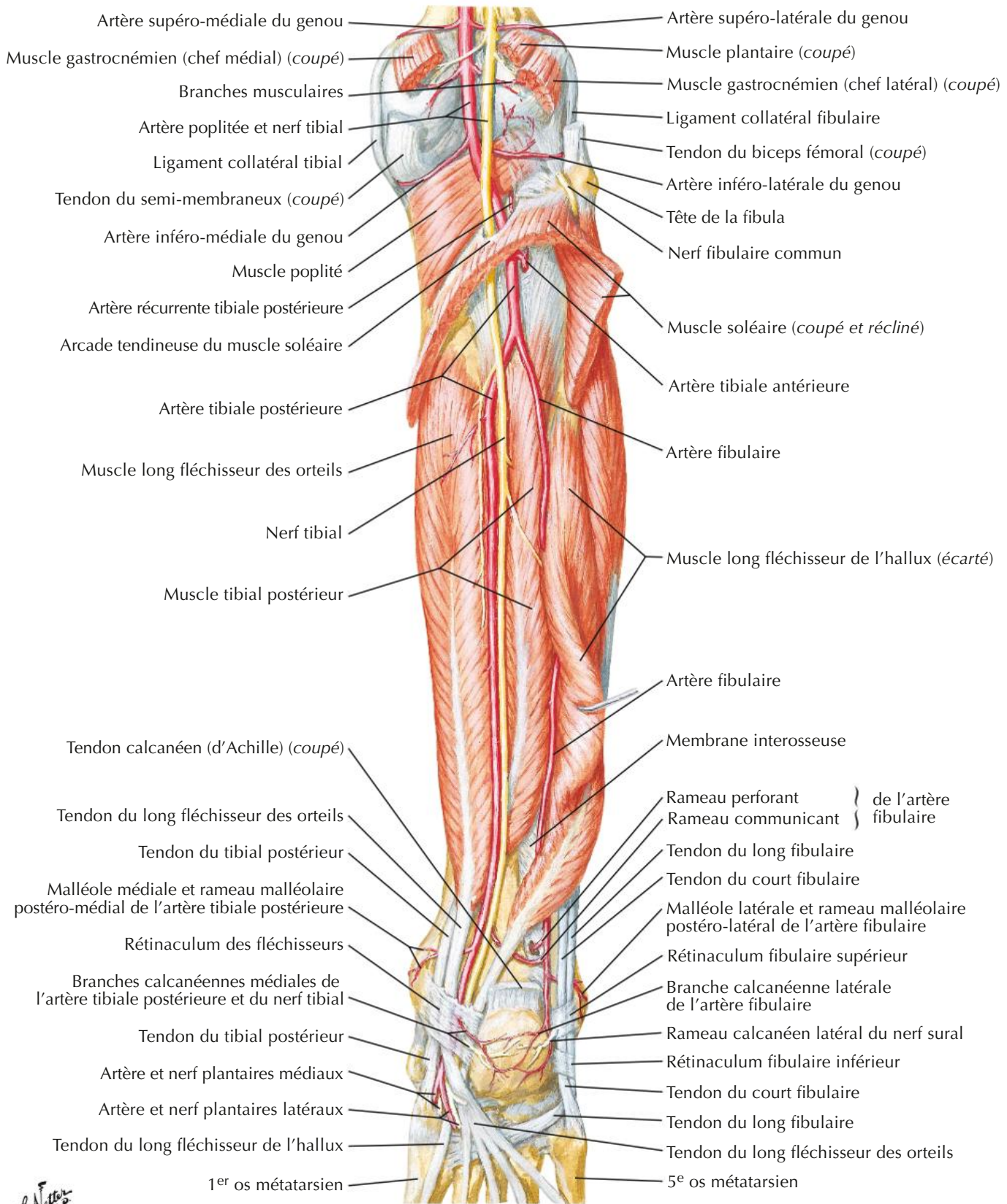
Jambe droite



Jambe droite

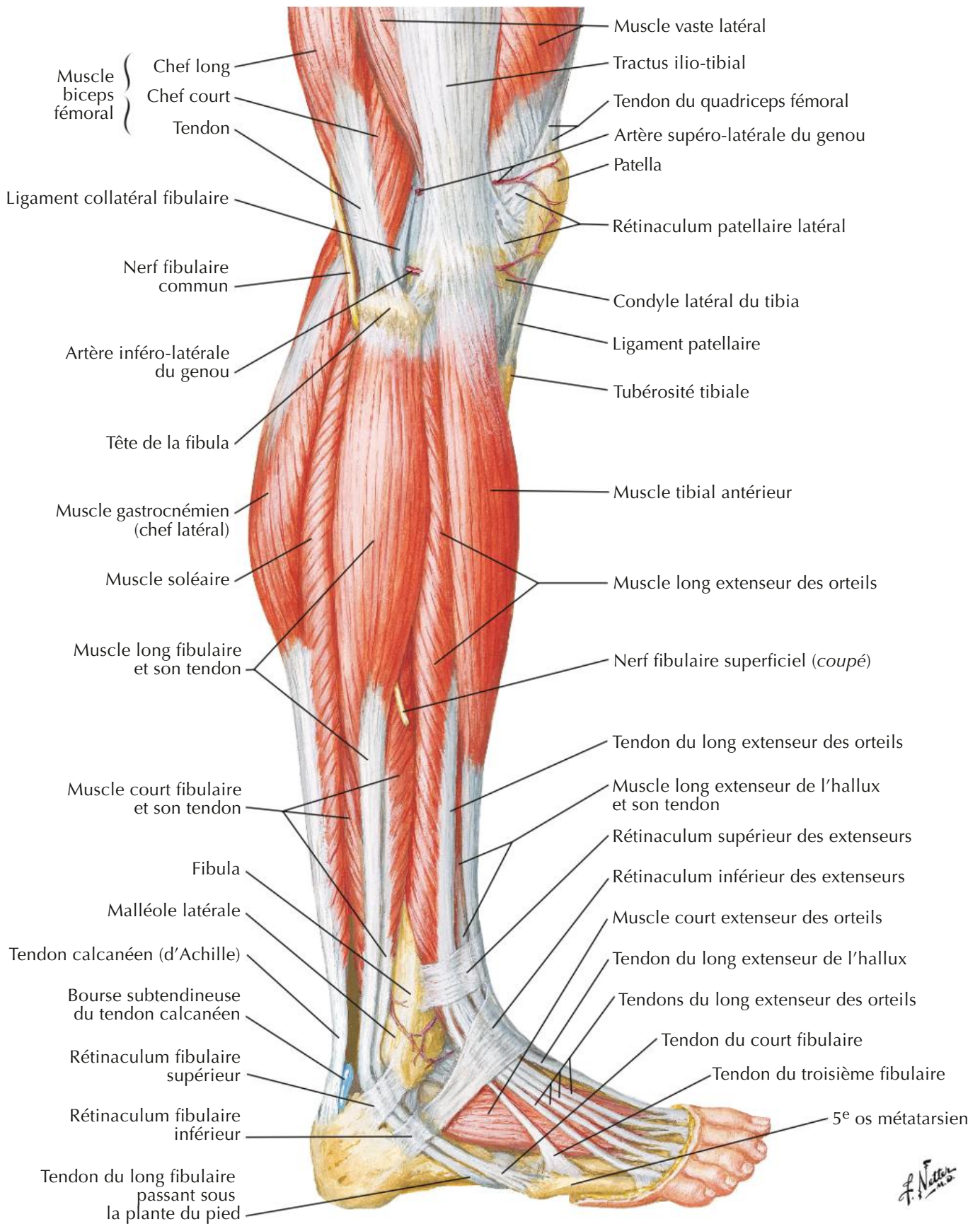


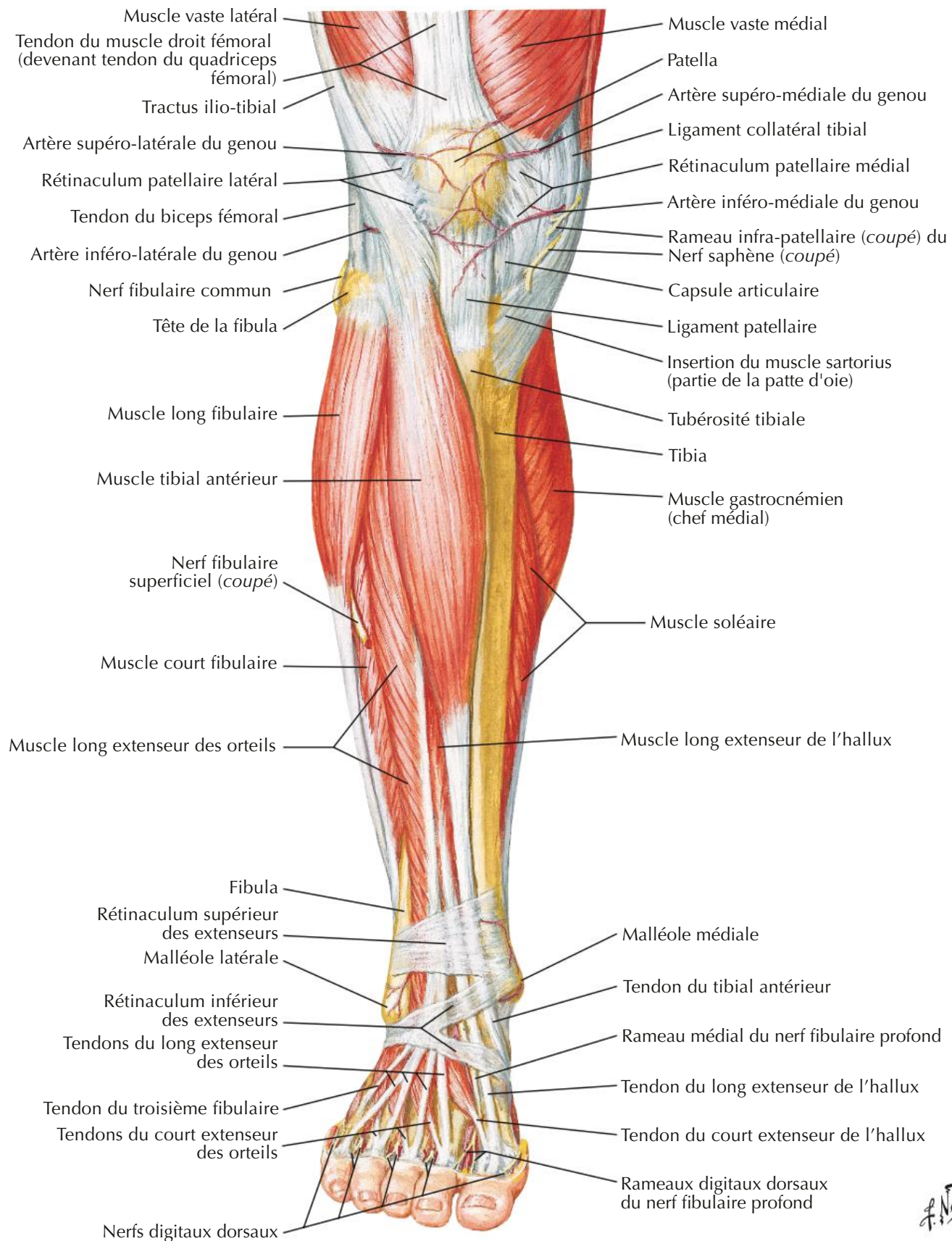
Jambe droite



Muscles de la jambe : vue latérale

Voir aussi Planches 520, 533

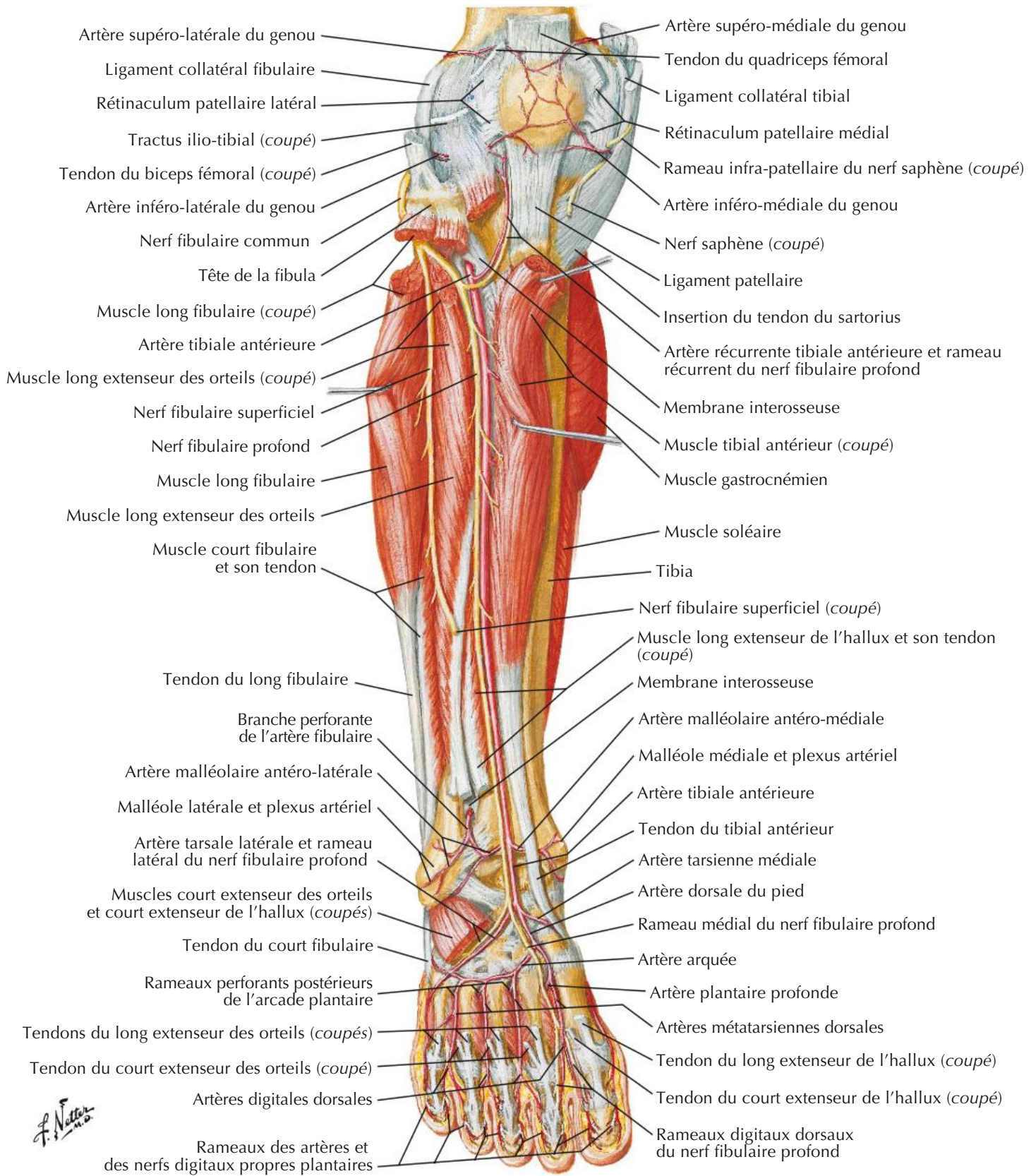


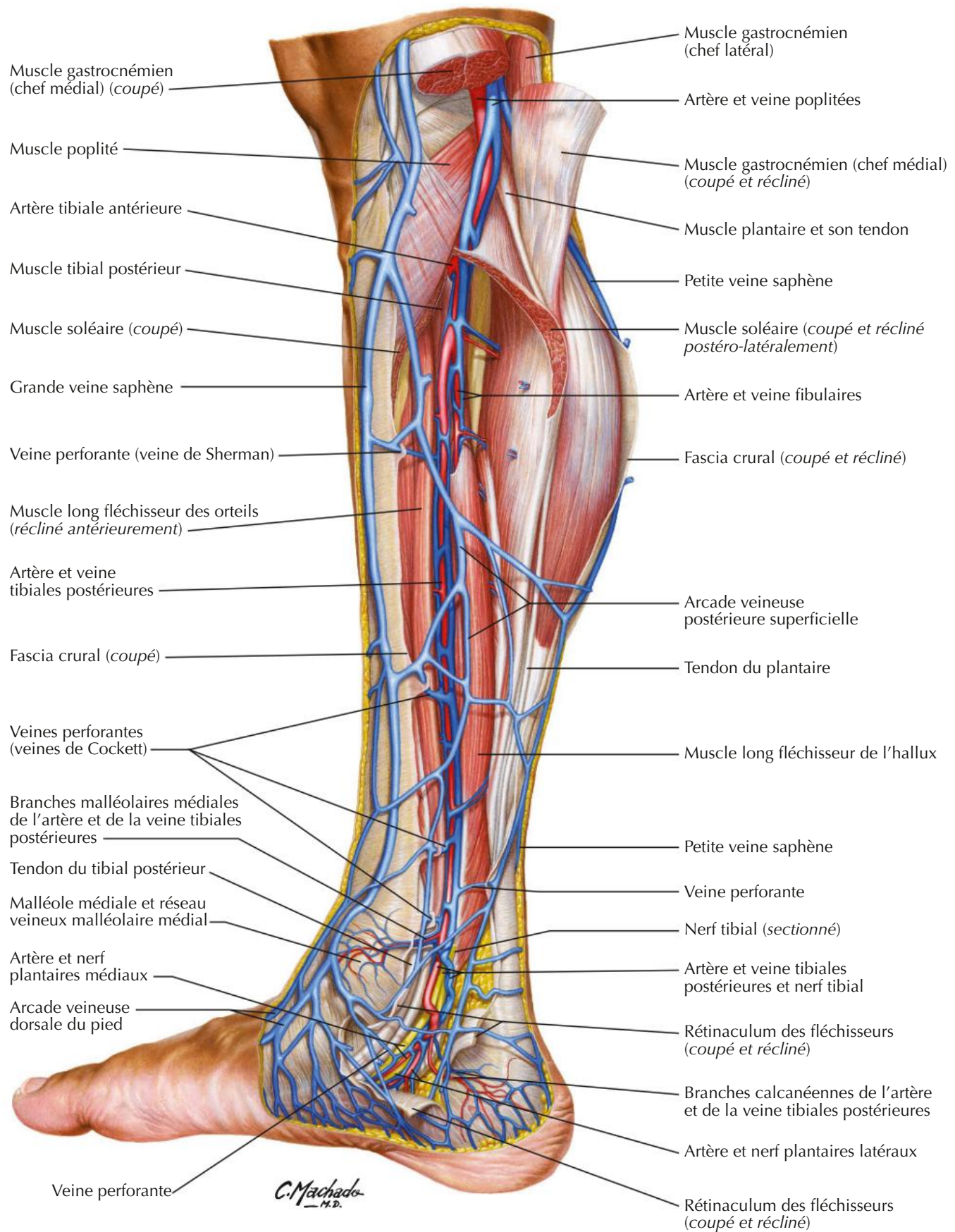


J. Netter M.D.

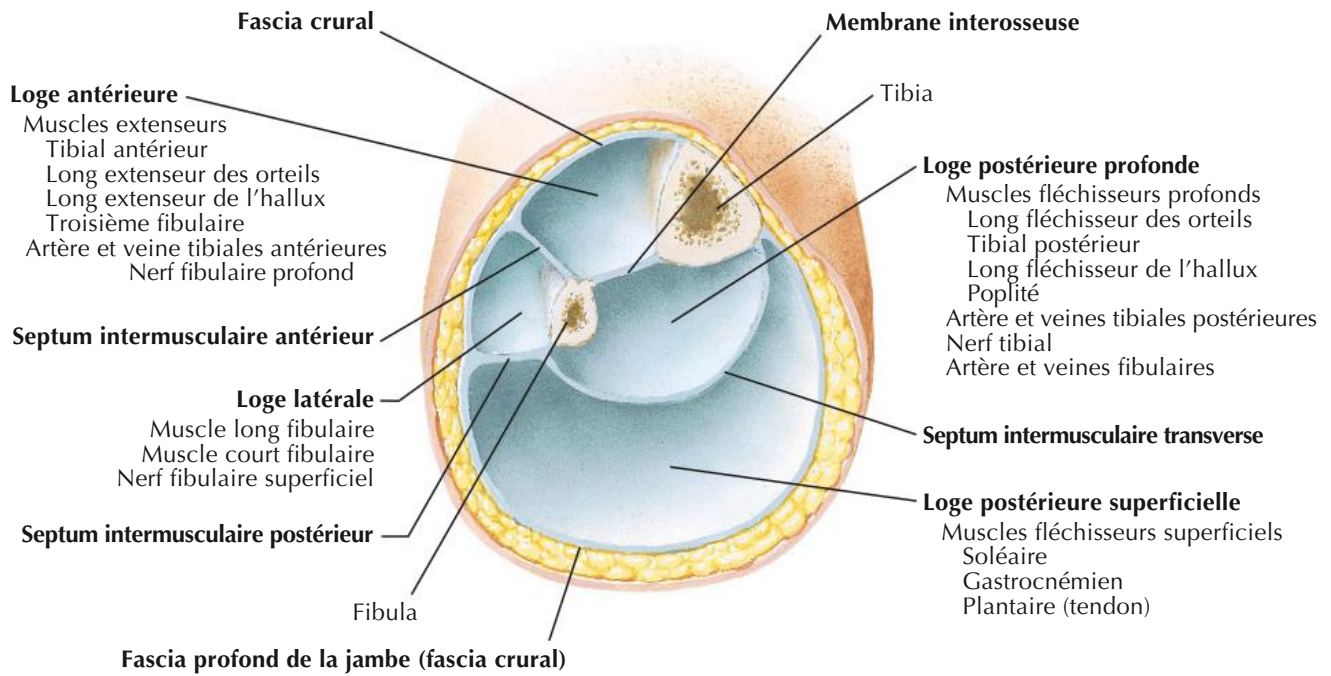
Muscles de la jambe (dissection profonde) : vue antérieure

Voir aussi Planches 521, 533

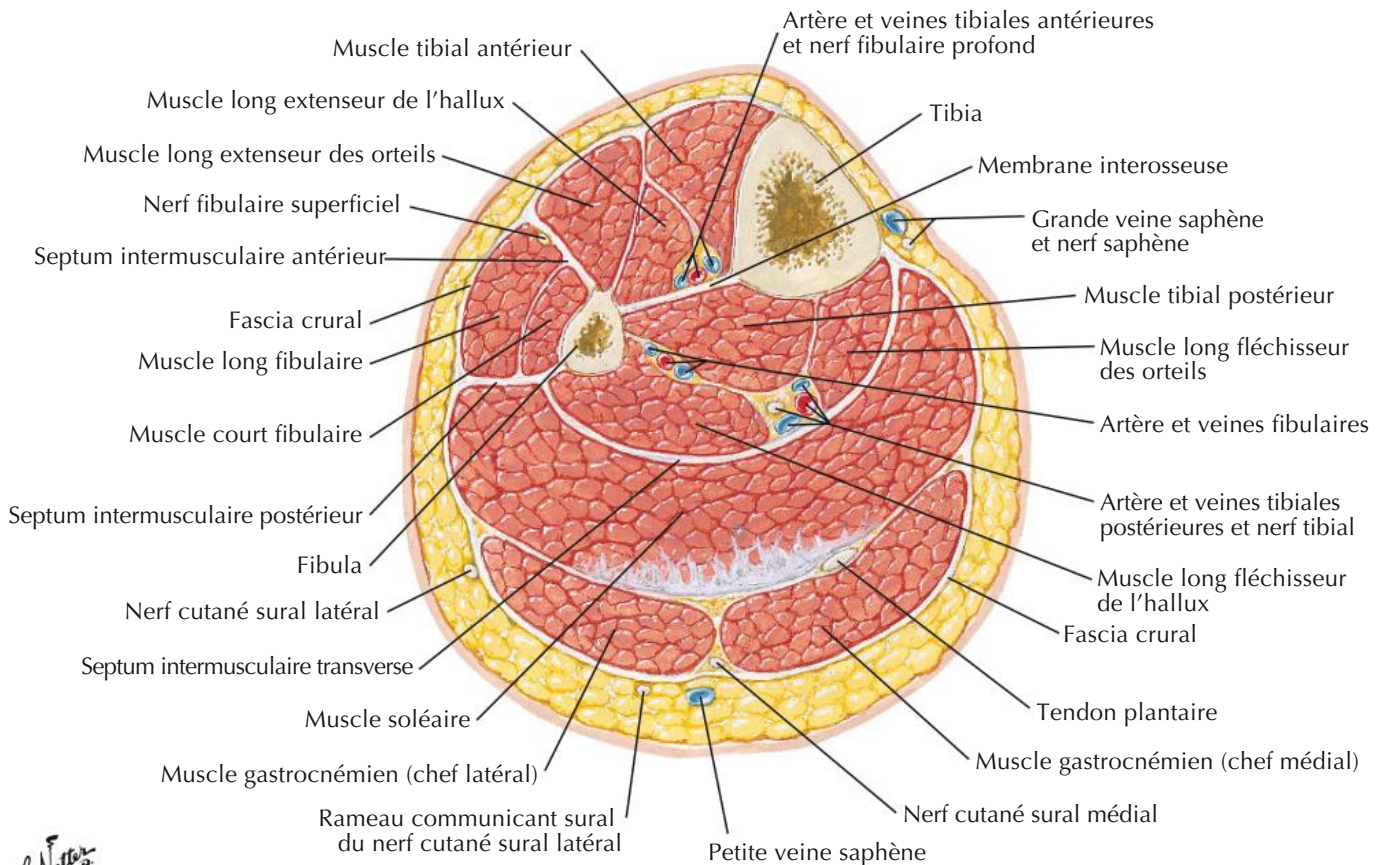




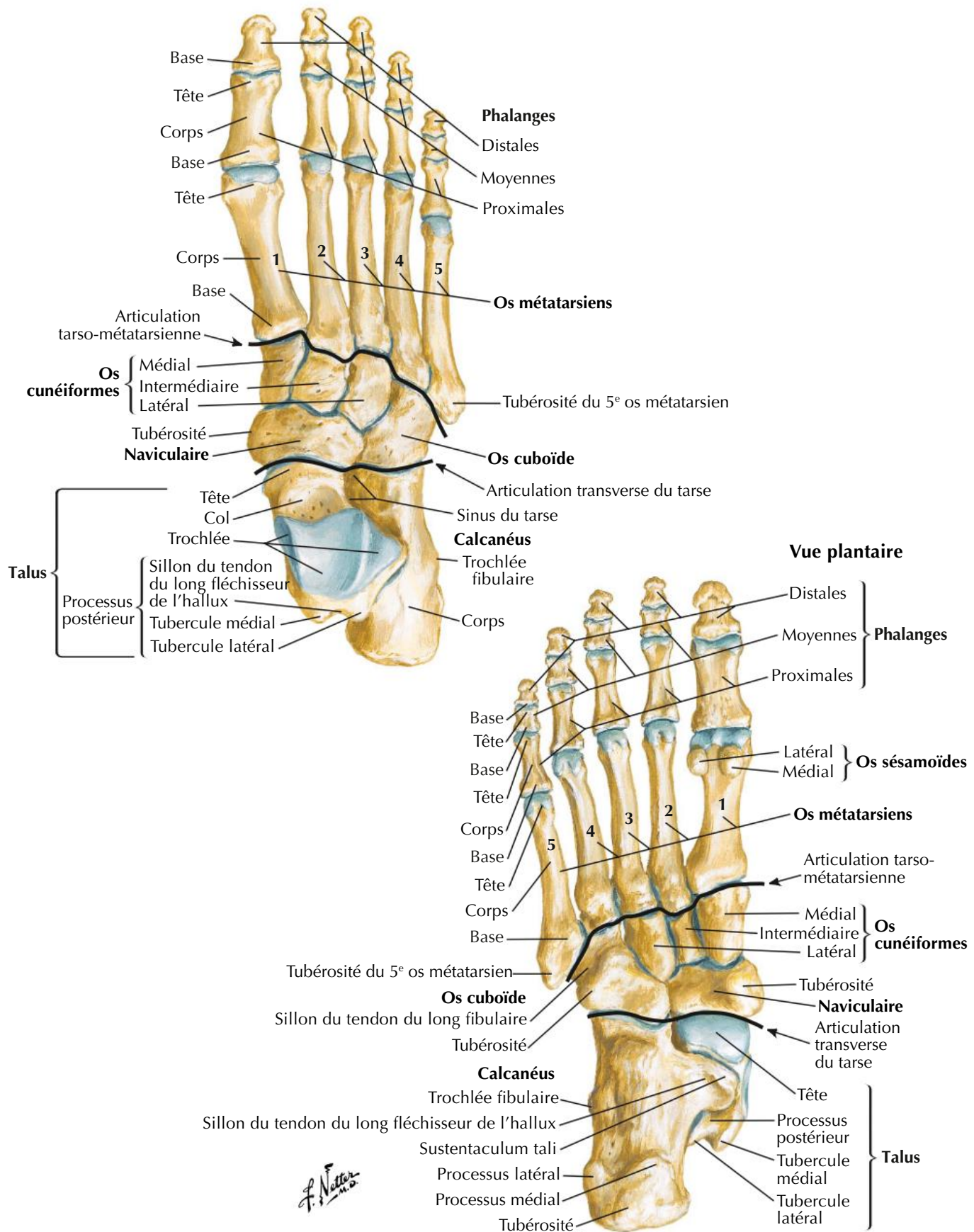
Jambe : coupes transversales et loges fasciales



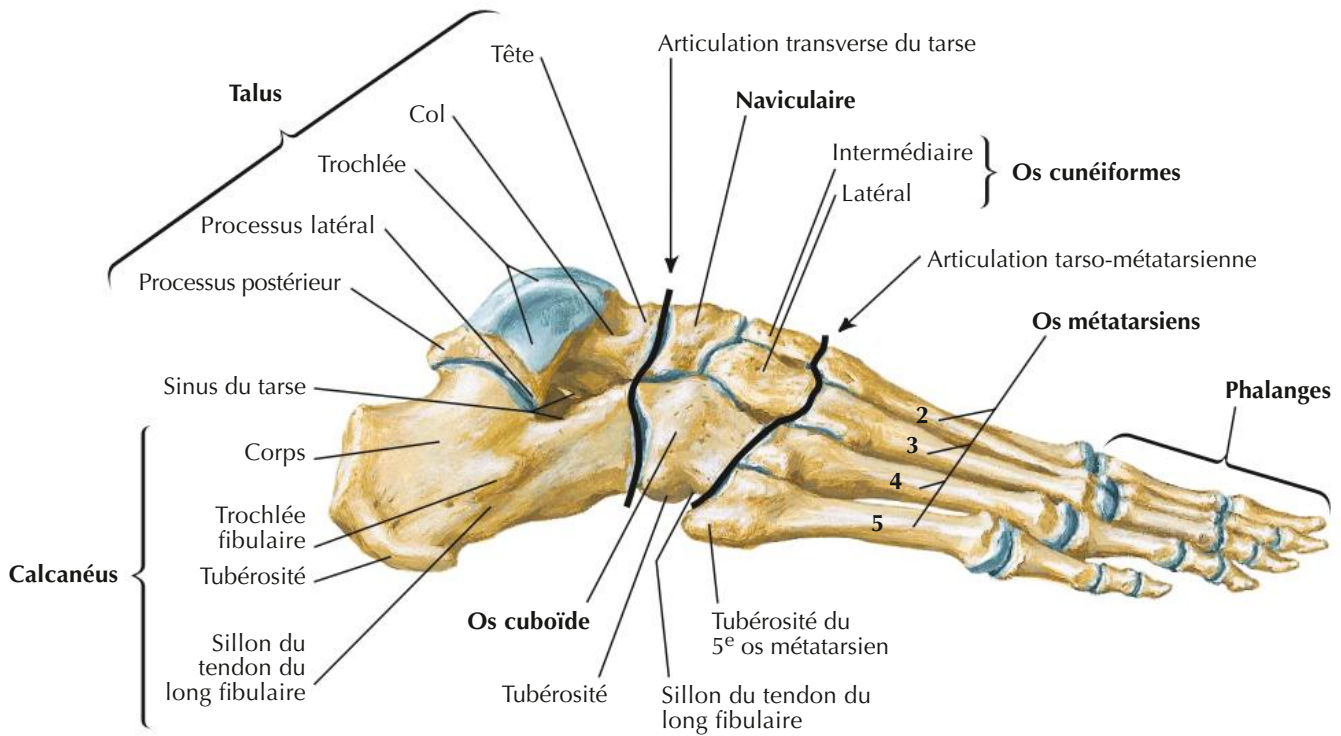
Coupe transversale juste au-dessus du milieu de la jambe gauche



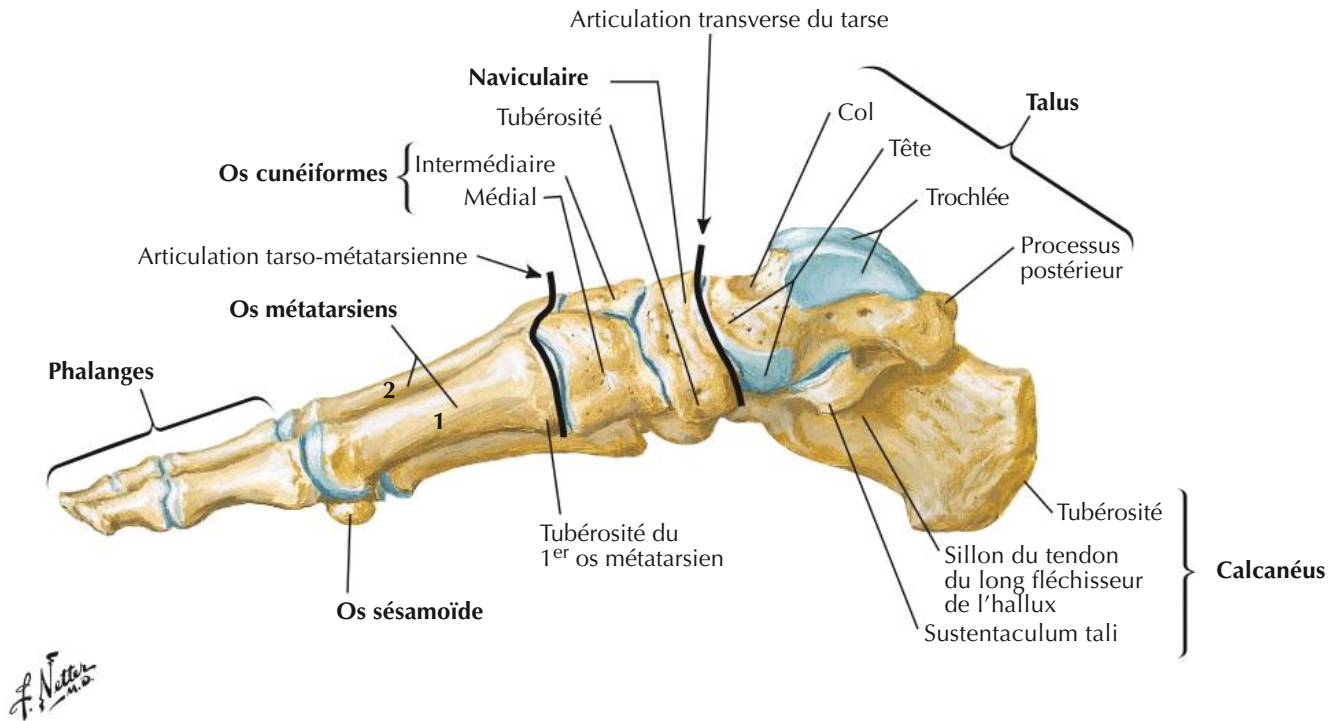
Vue dorsale



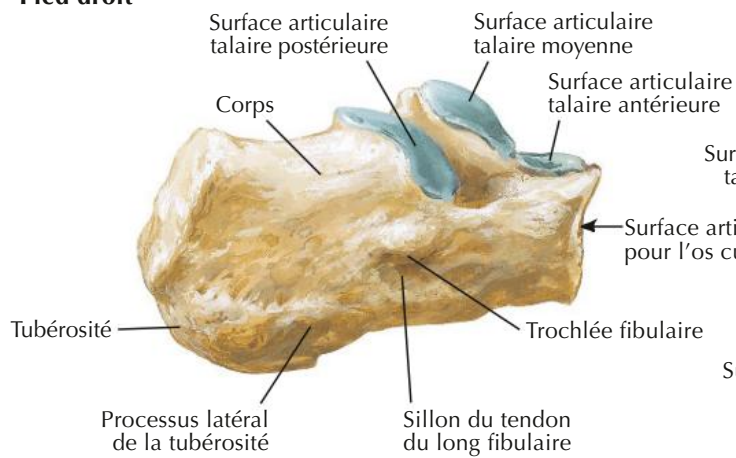
Vue latérale



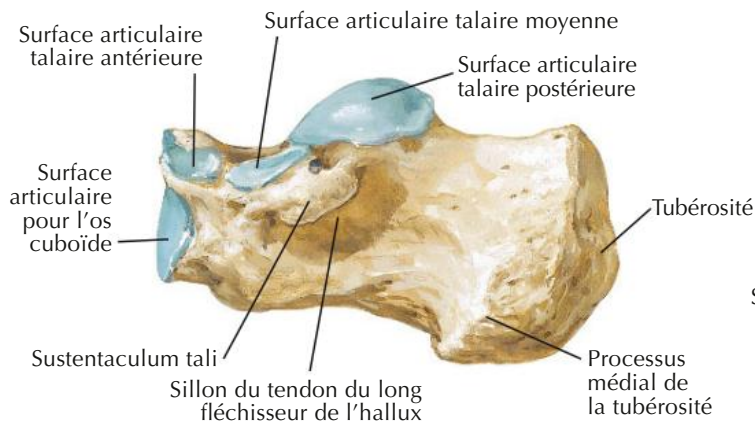
Vue médiale



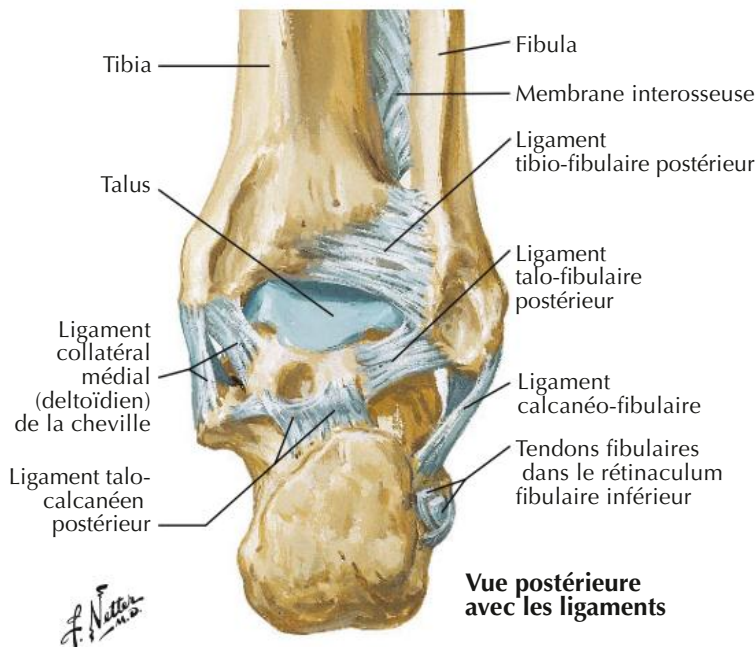
Pied droit



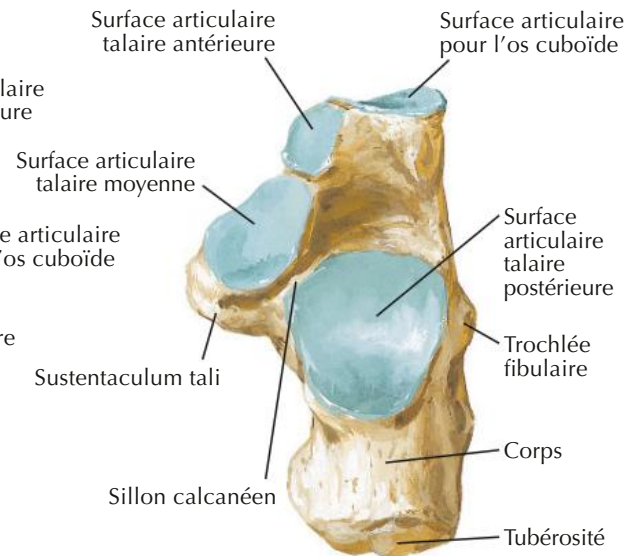
Vue latérale



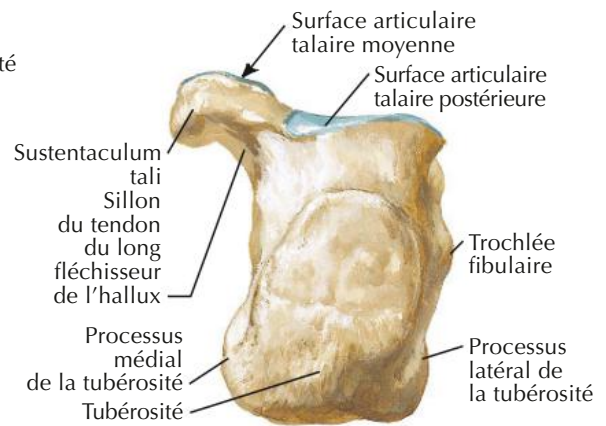
Vue médiale



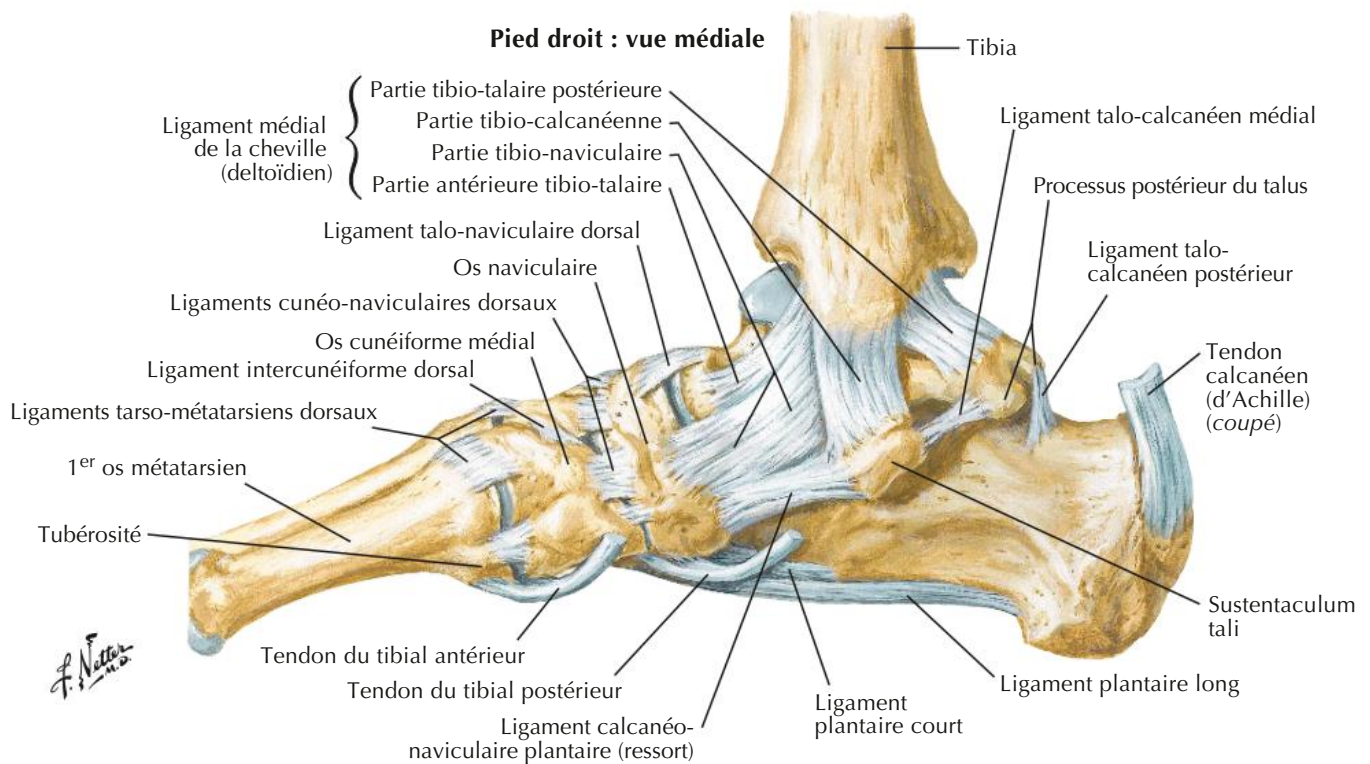
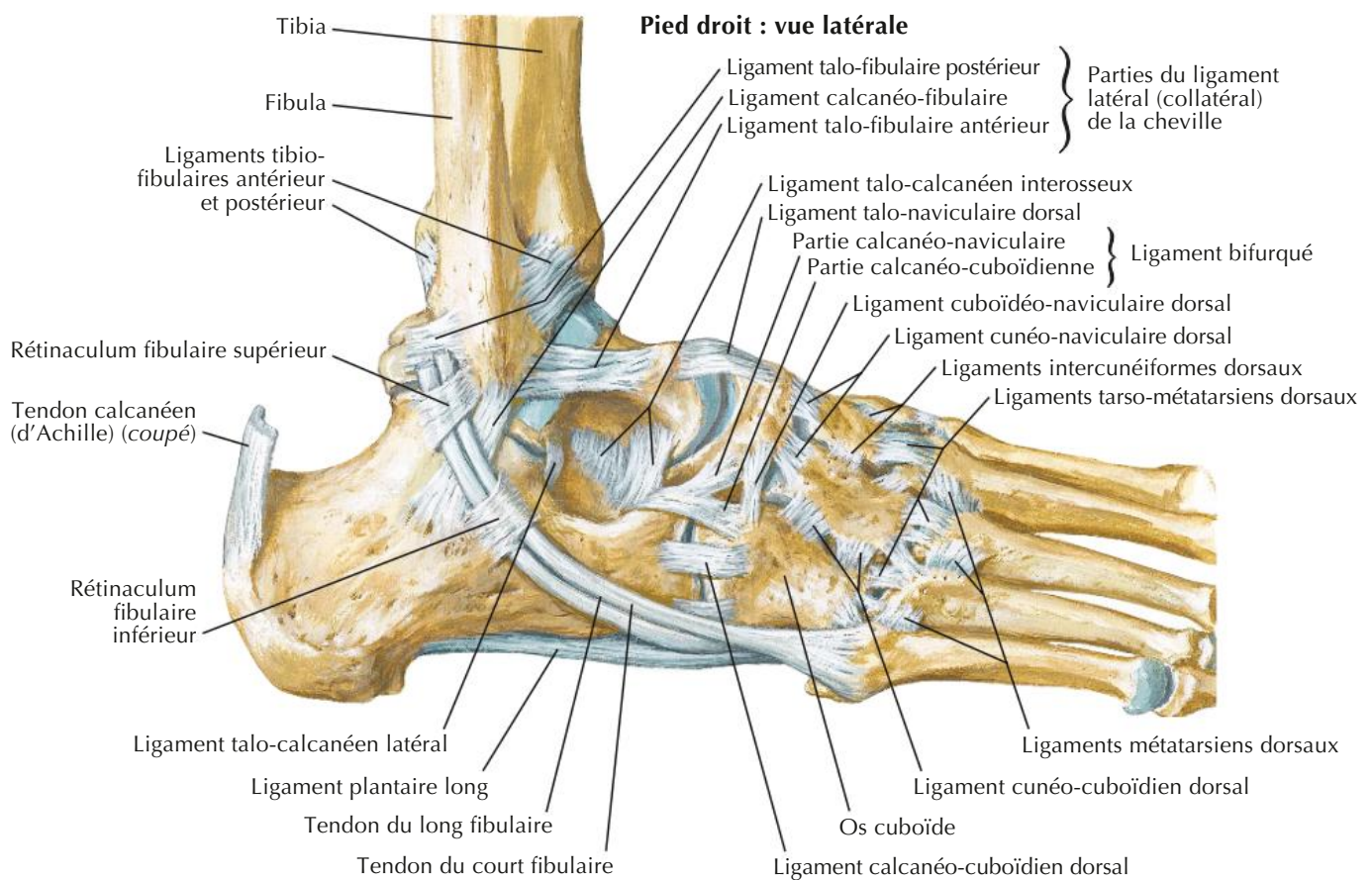
Vue postérieure avec les ligaments

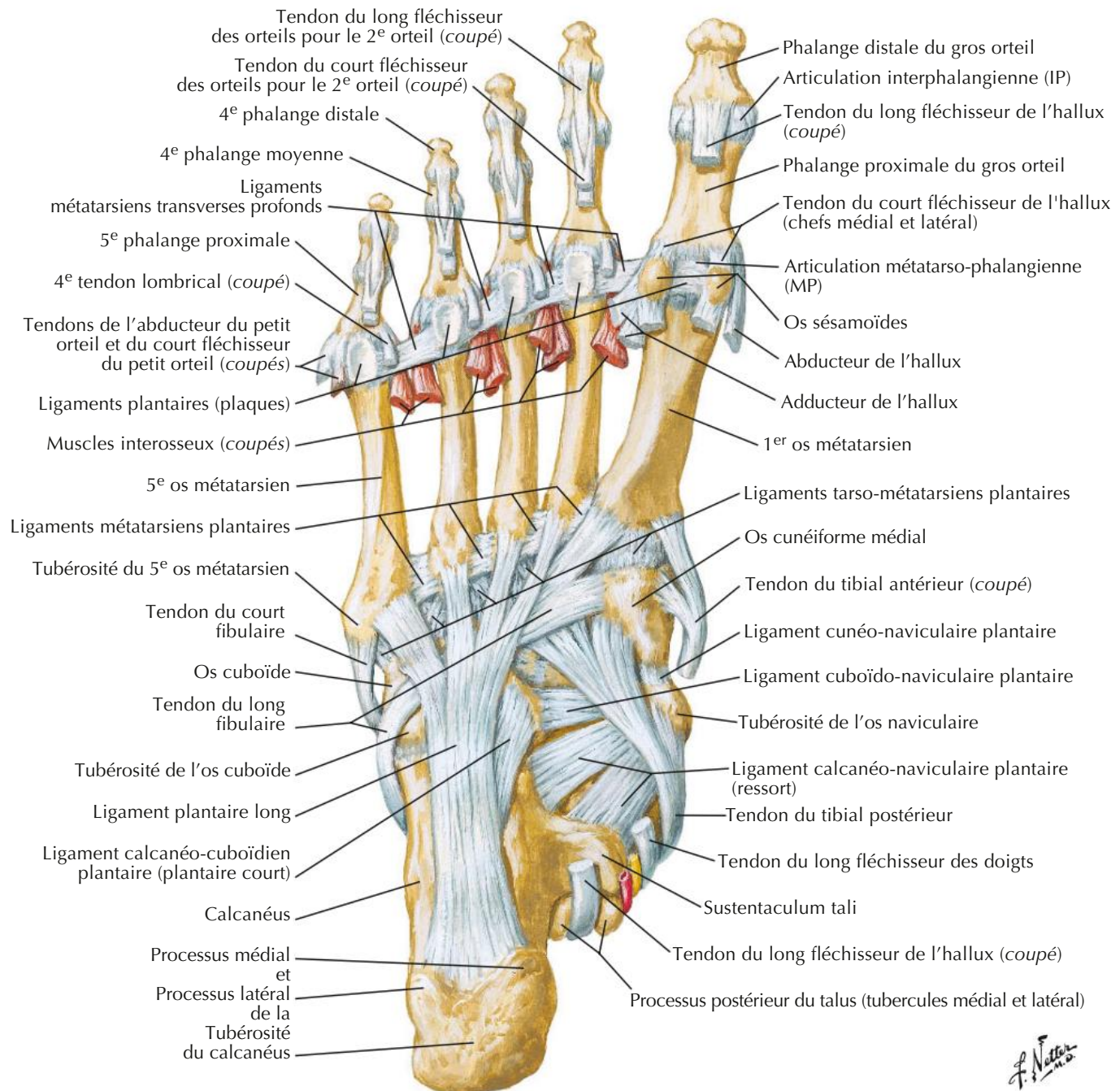


Vue supérieure



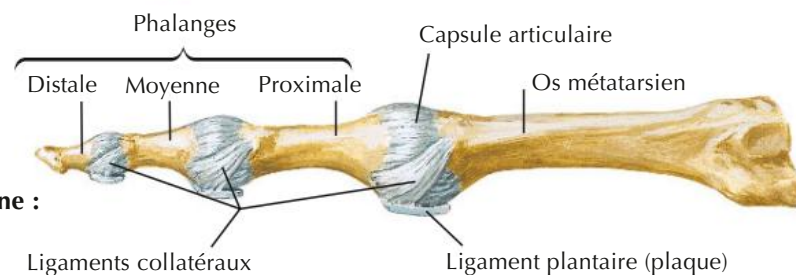
Vue postérieure

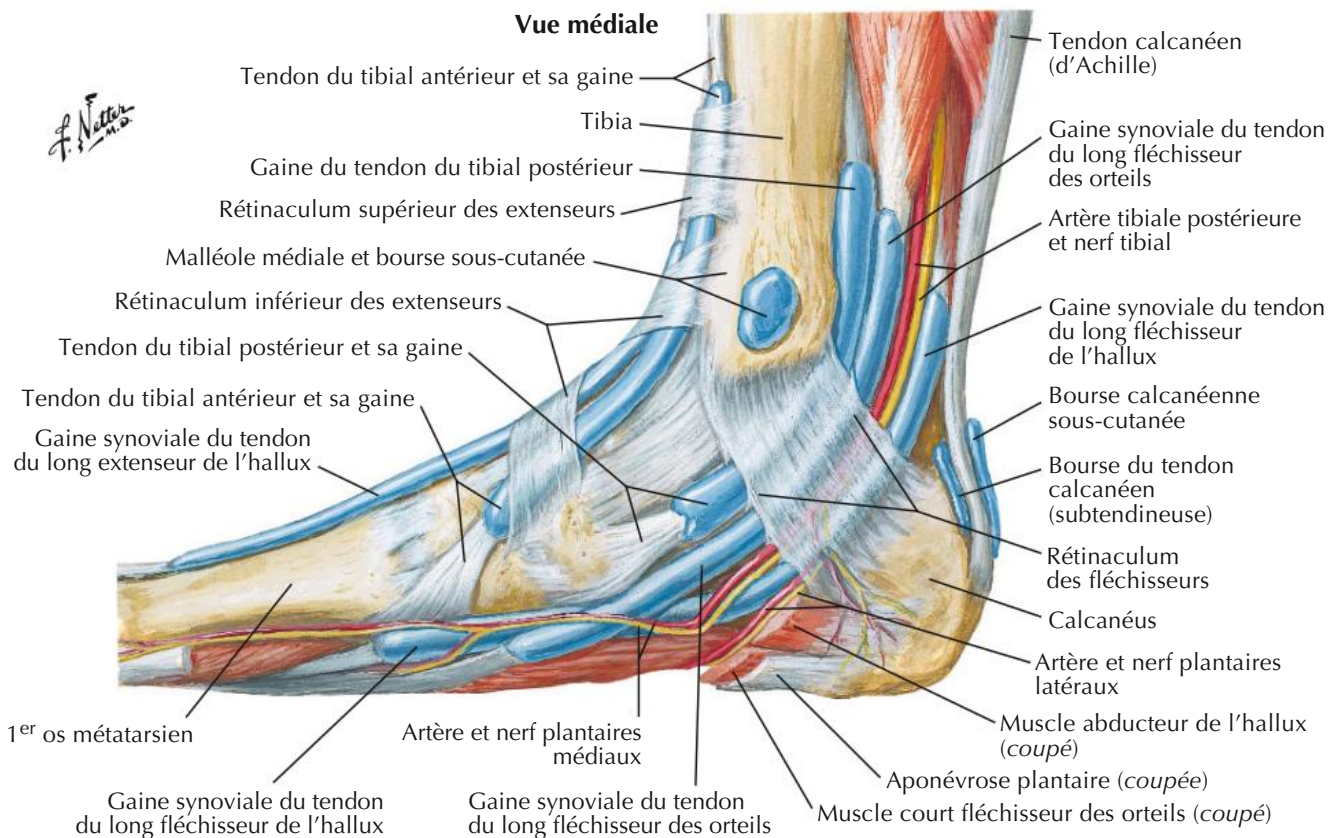
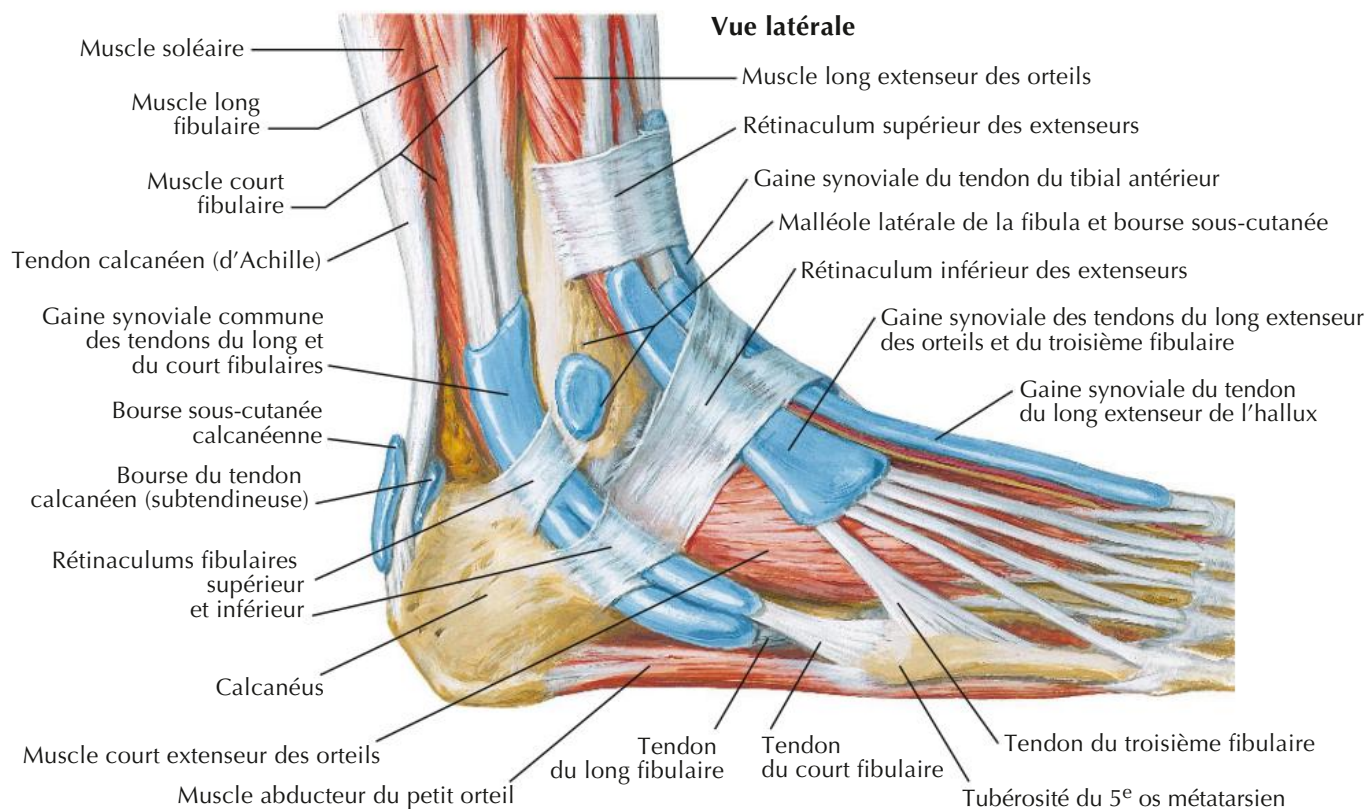


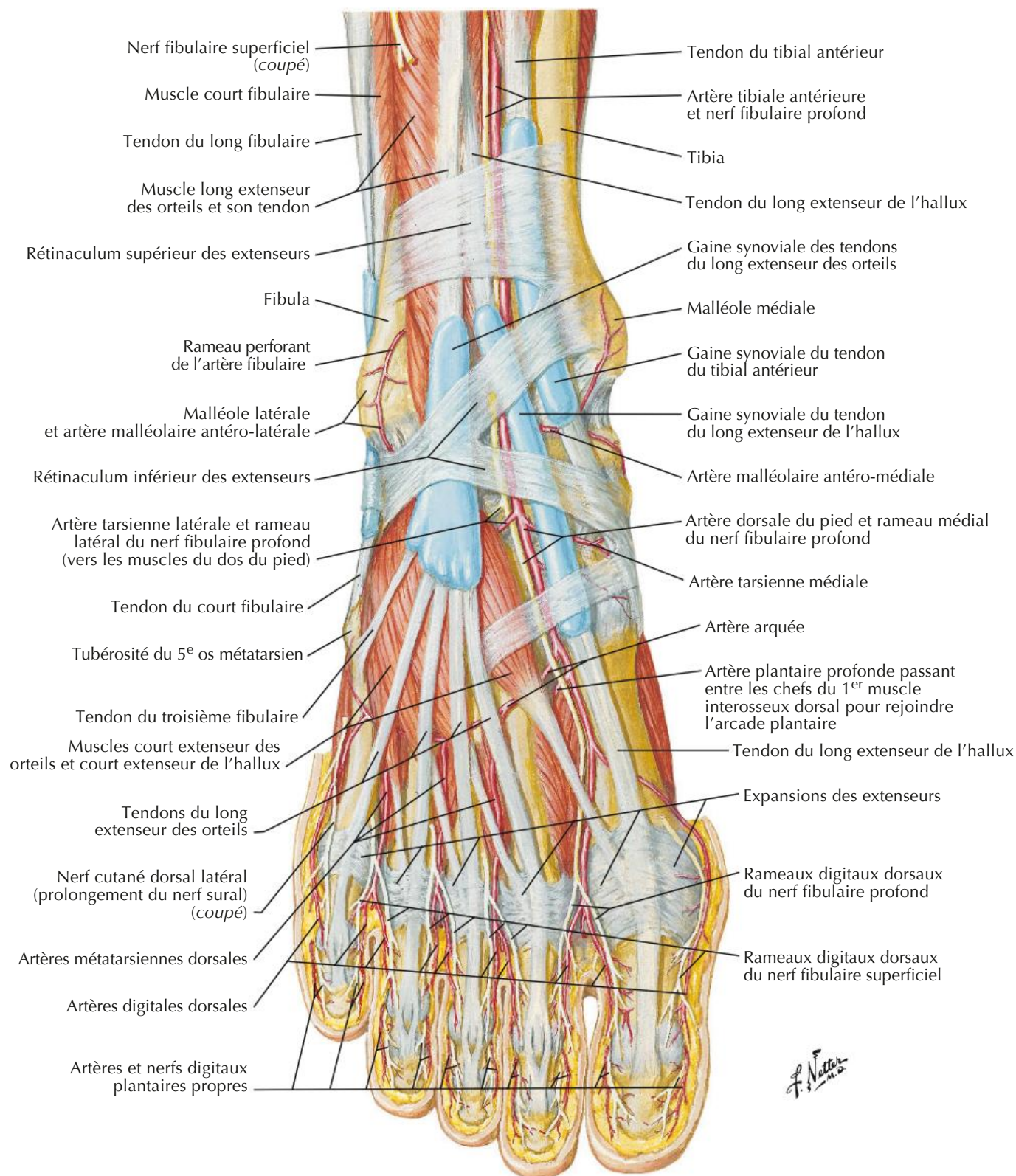


F. Netter M.D.

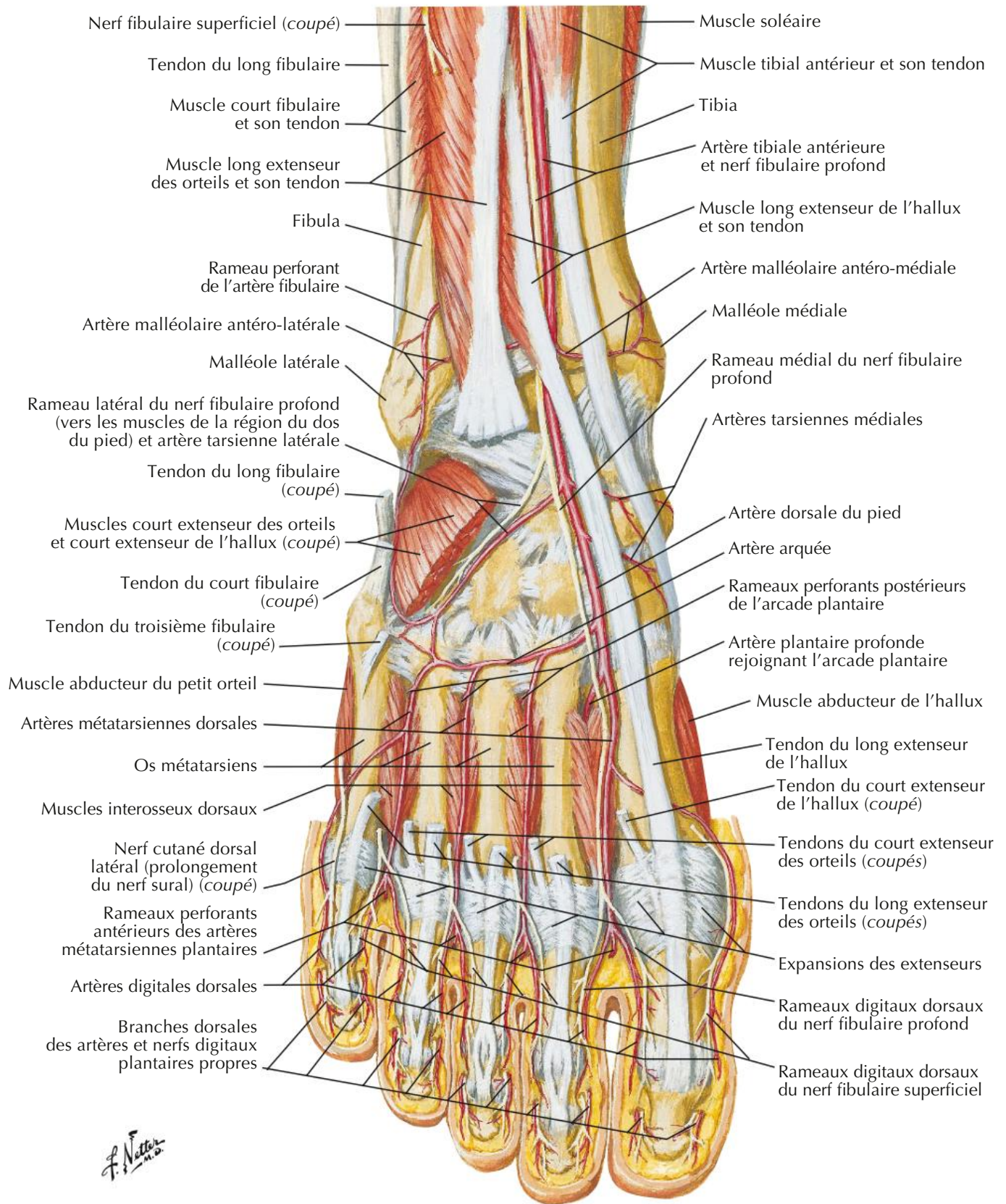
Capsules et ligaments des articulations métatarso-phalangienne et interphalangienne : vue latérale

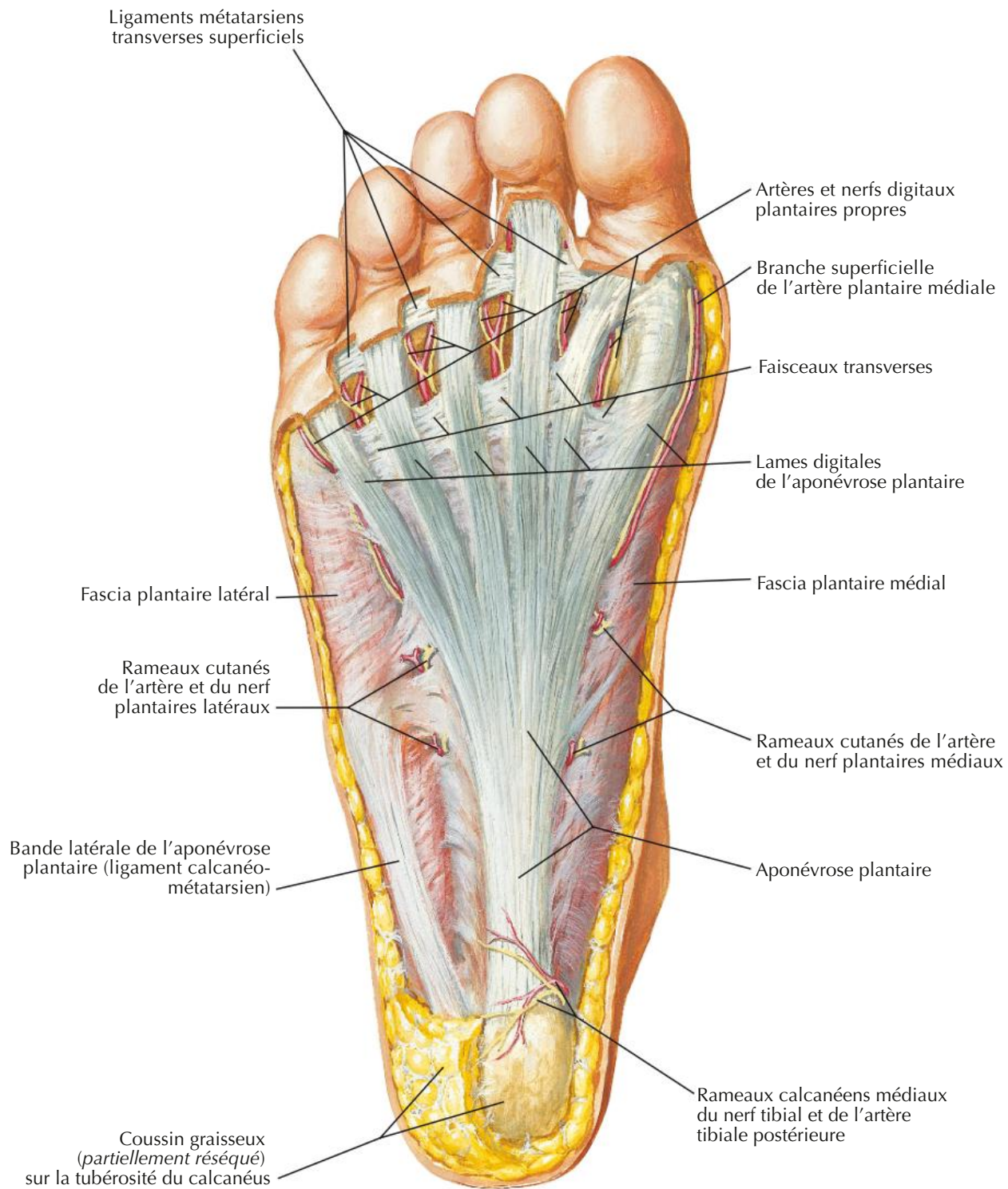




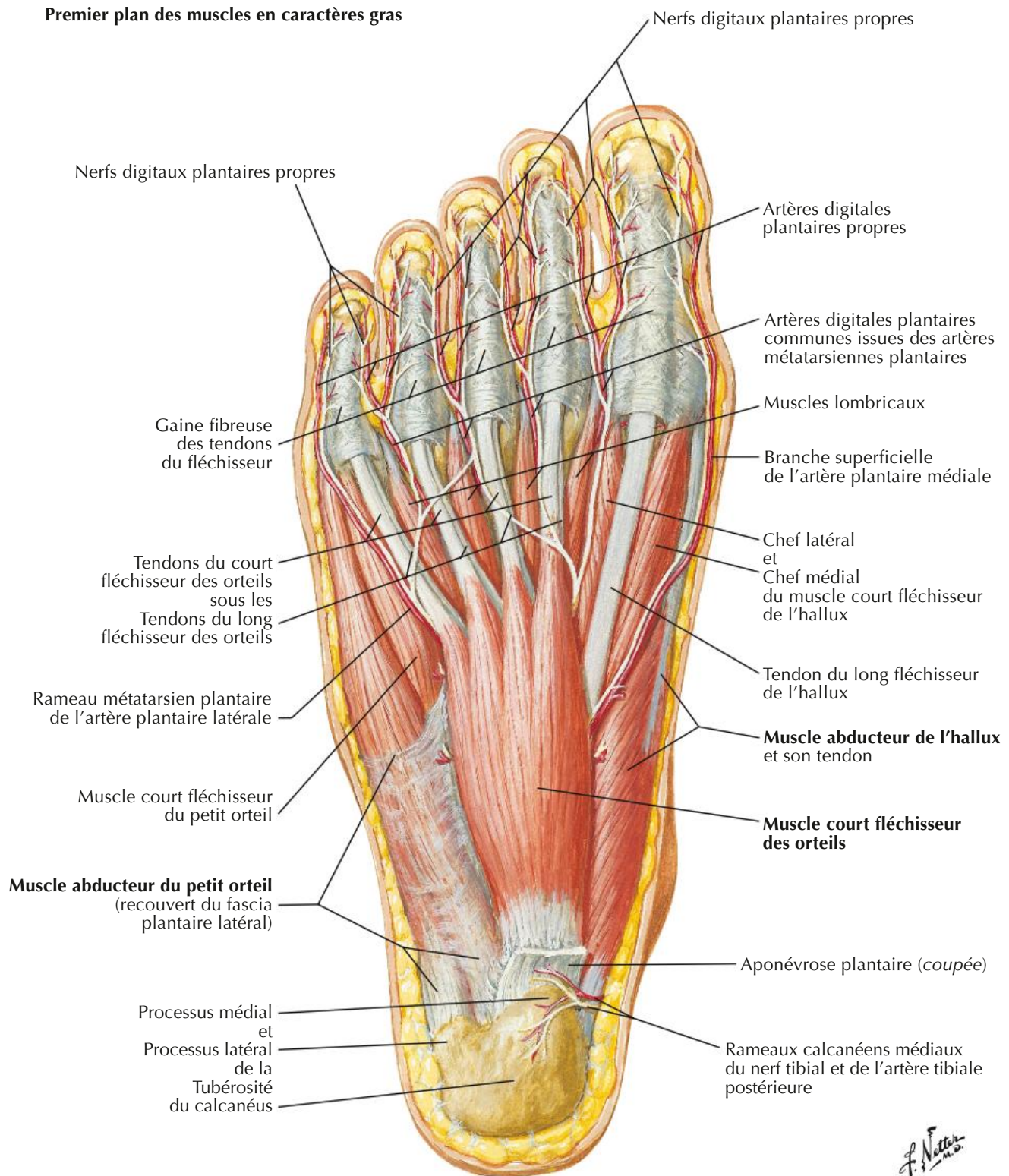


F. Netter M.D.

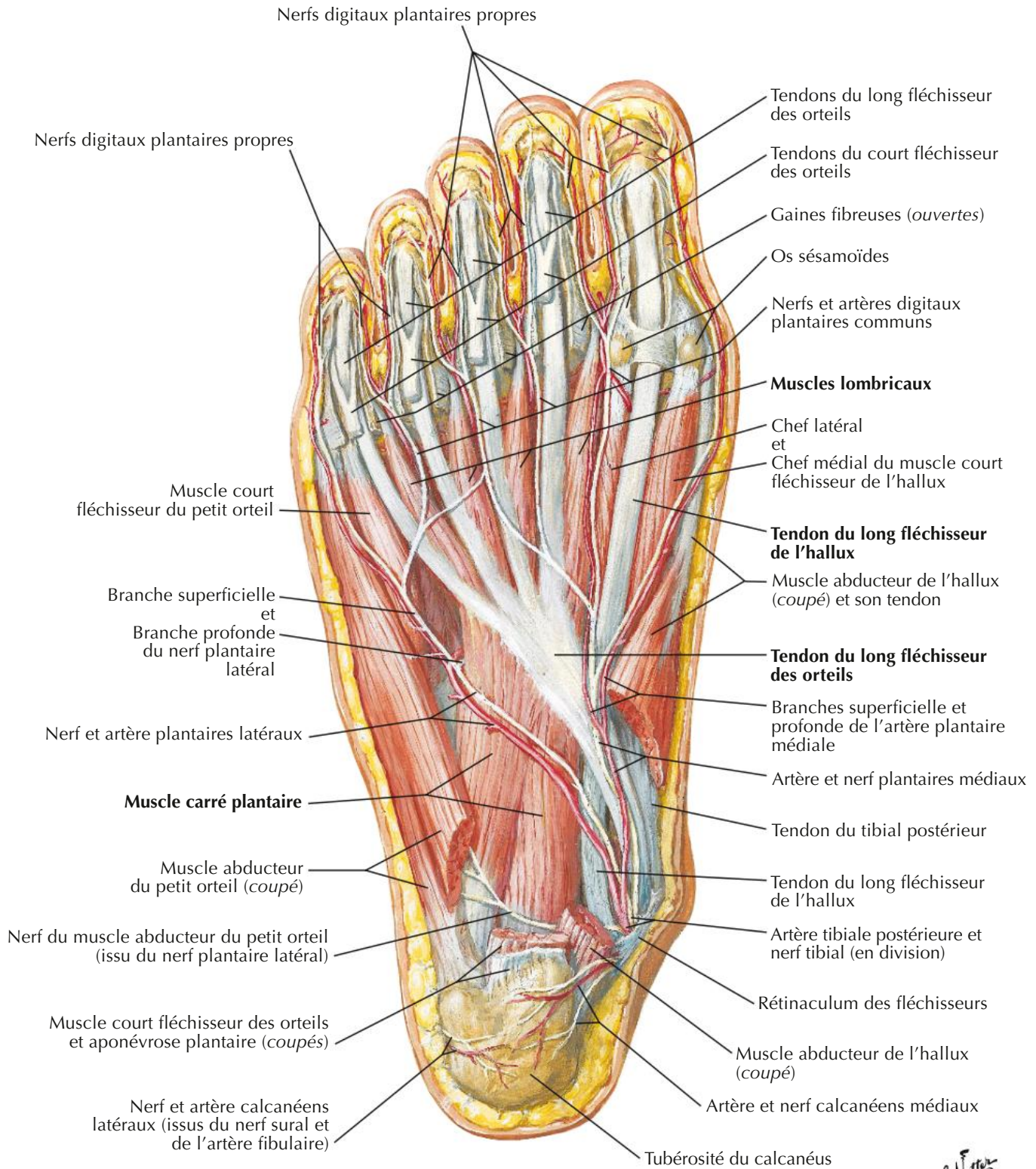




Premier plan des muscles en caractères gras



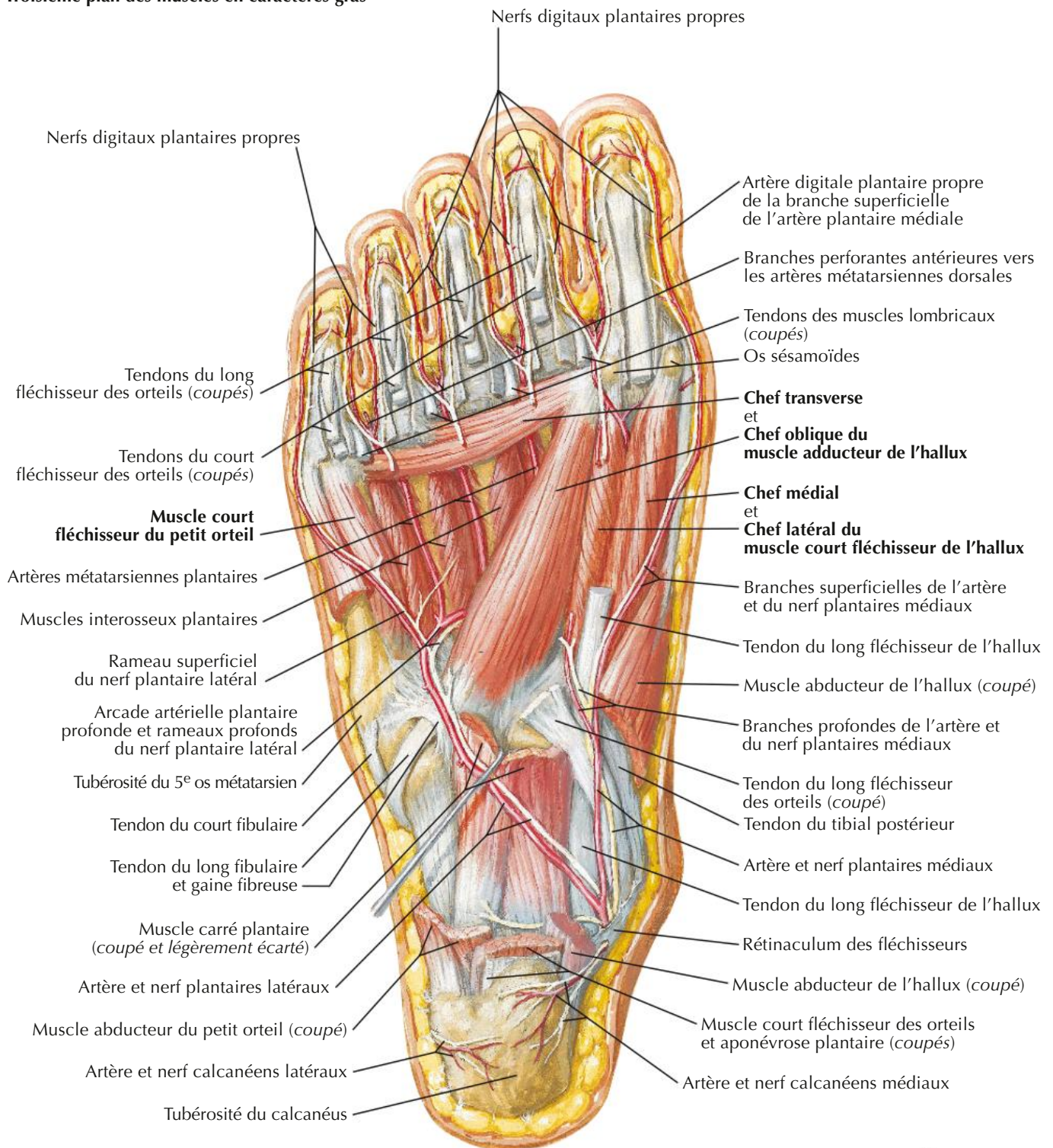
Deuxième plan des tendons et muscles en caractères gras



F. Netter M.D.

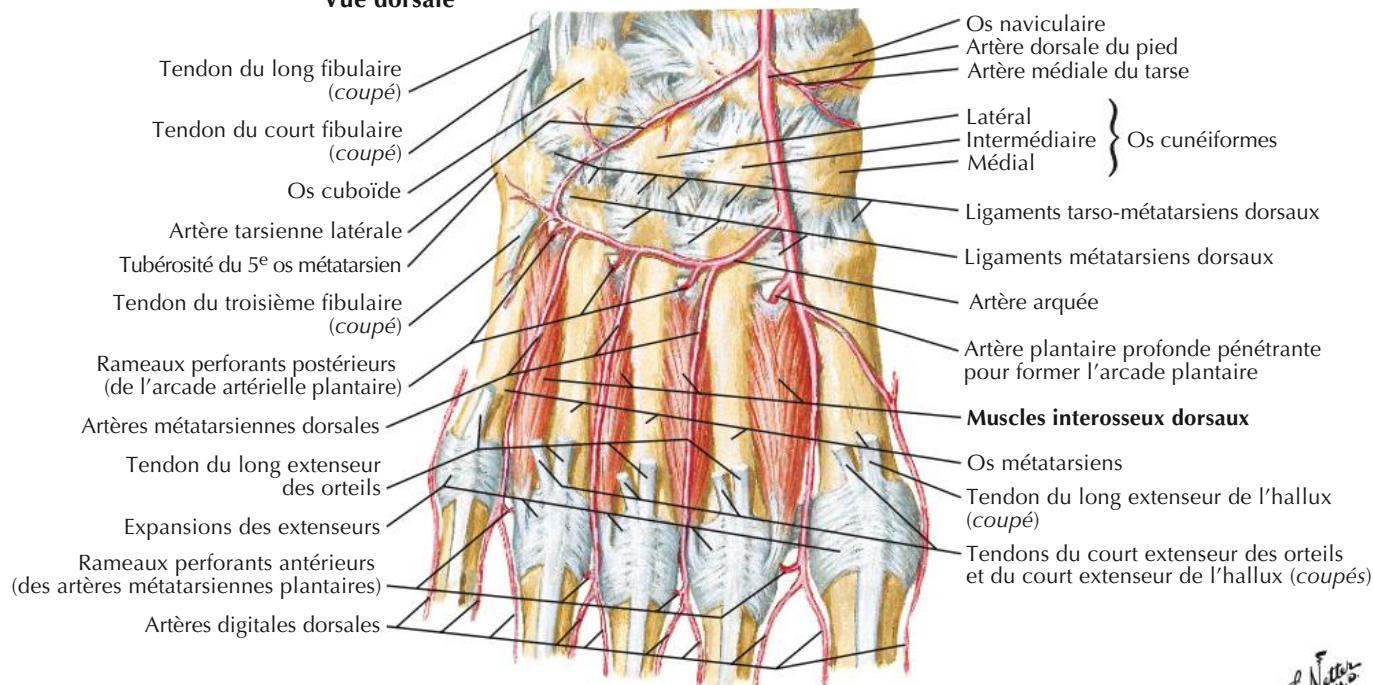
Muscles de la plante du pied : troisième couche

Troisième plan des muscles en caractères gras



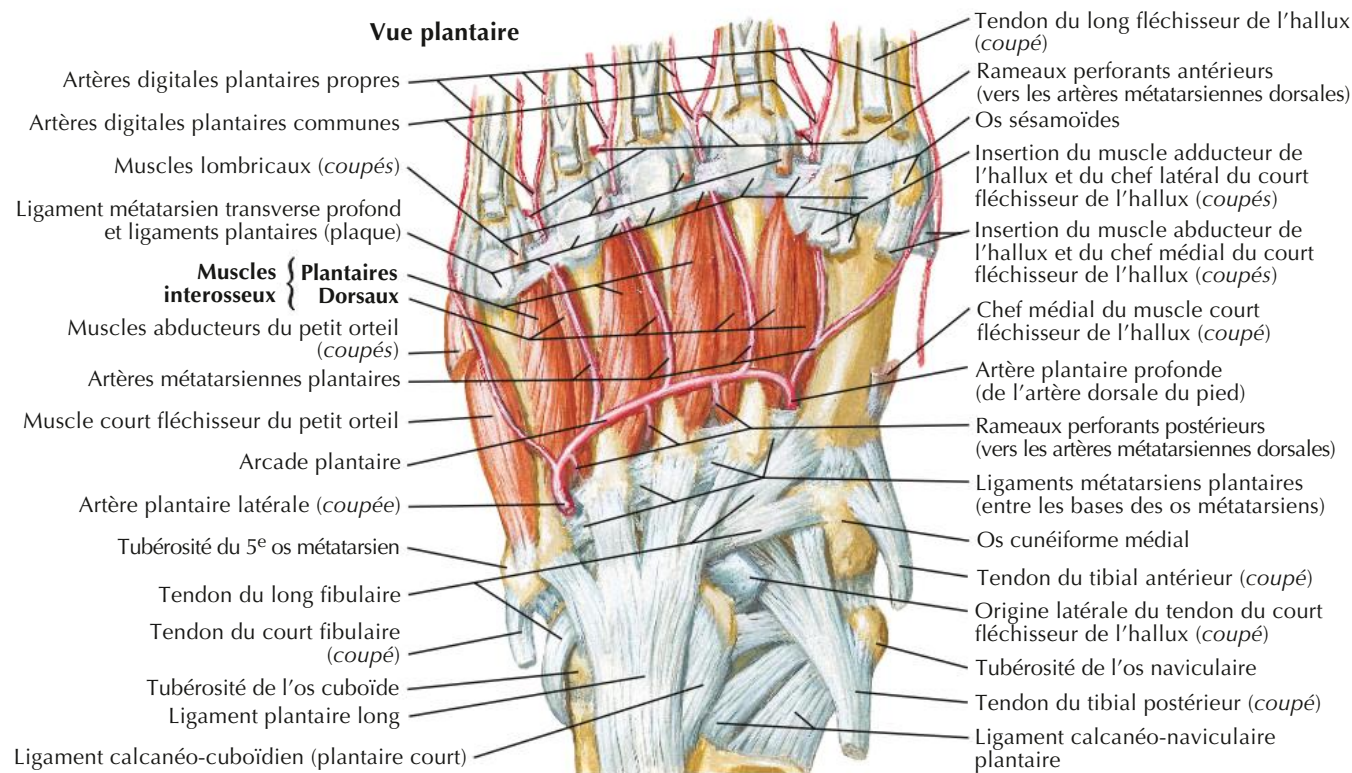
Quatrième plan des muscles en caractères gras

Vue dorsale



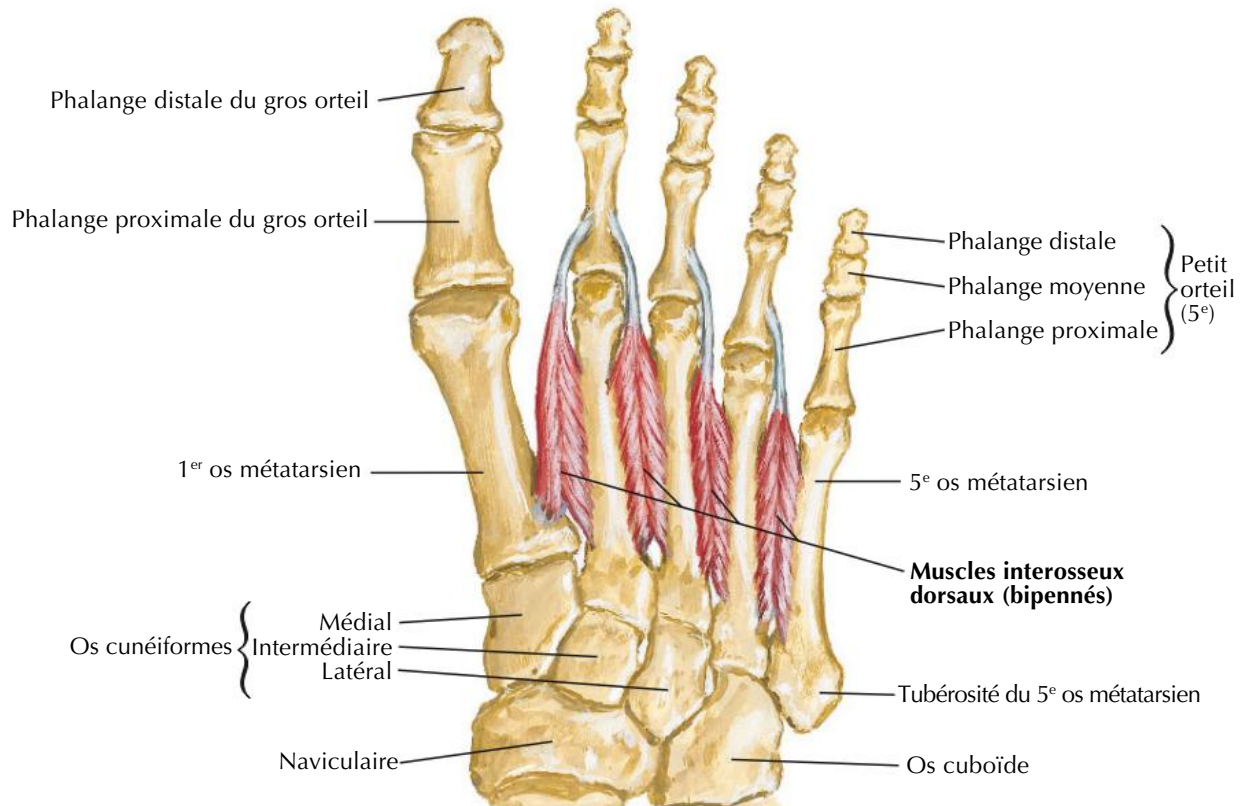
F. Netter

Vue plantaire

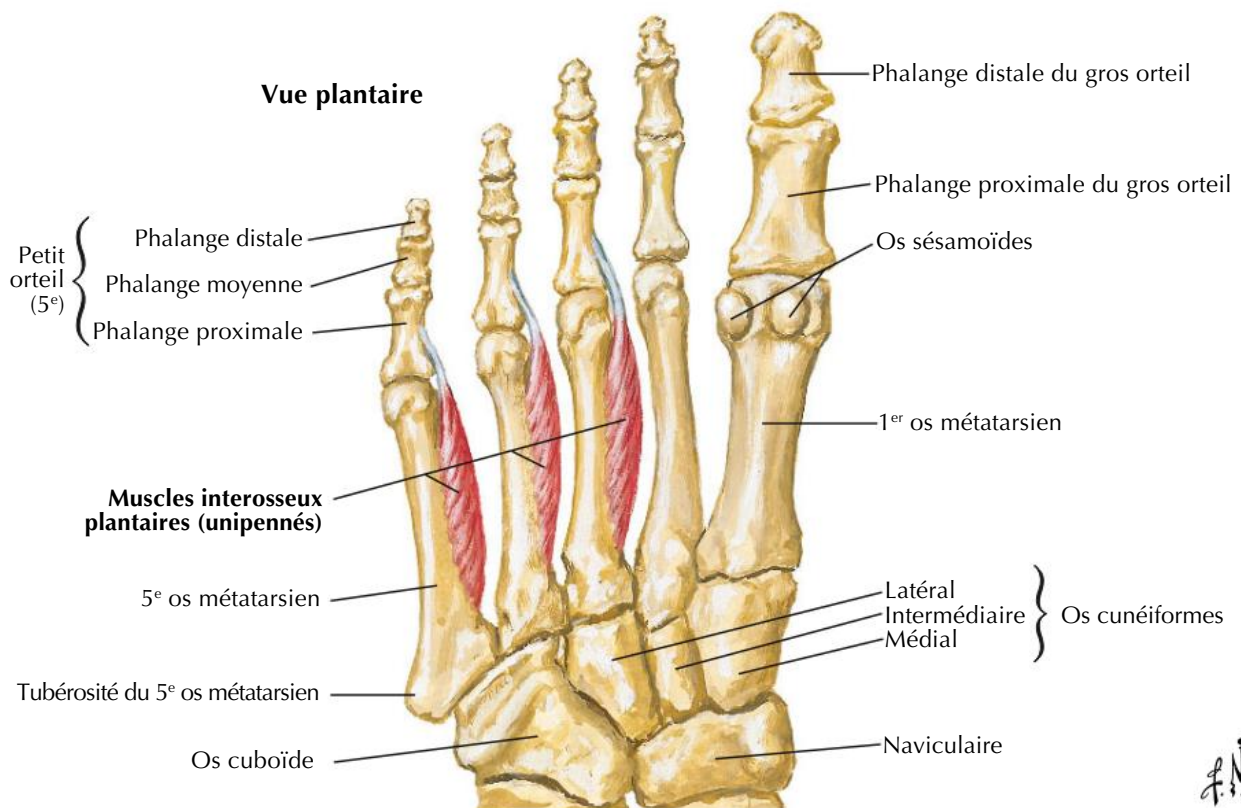


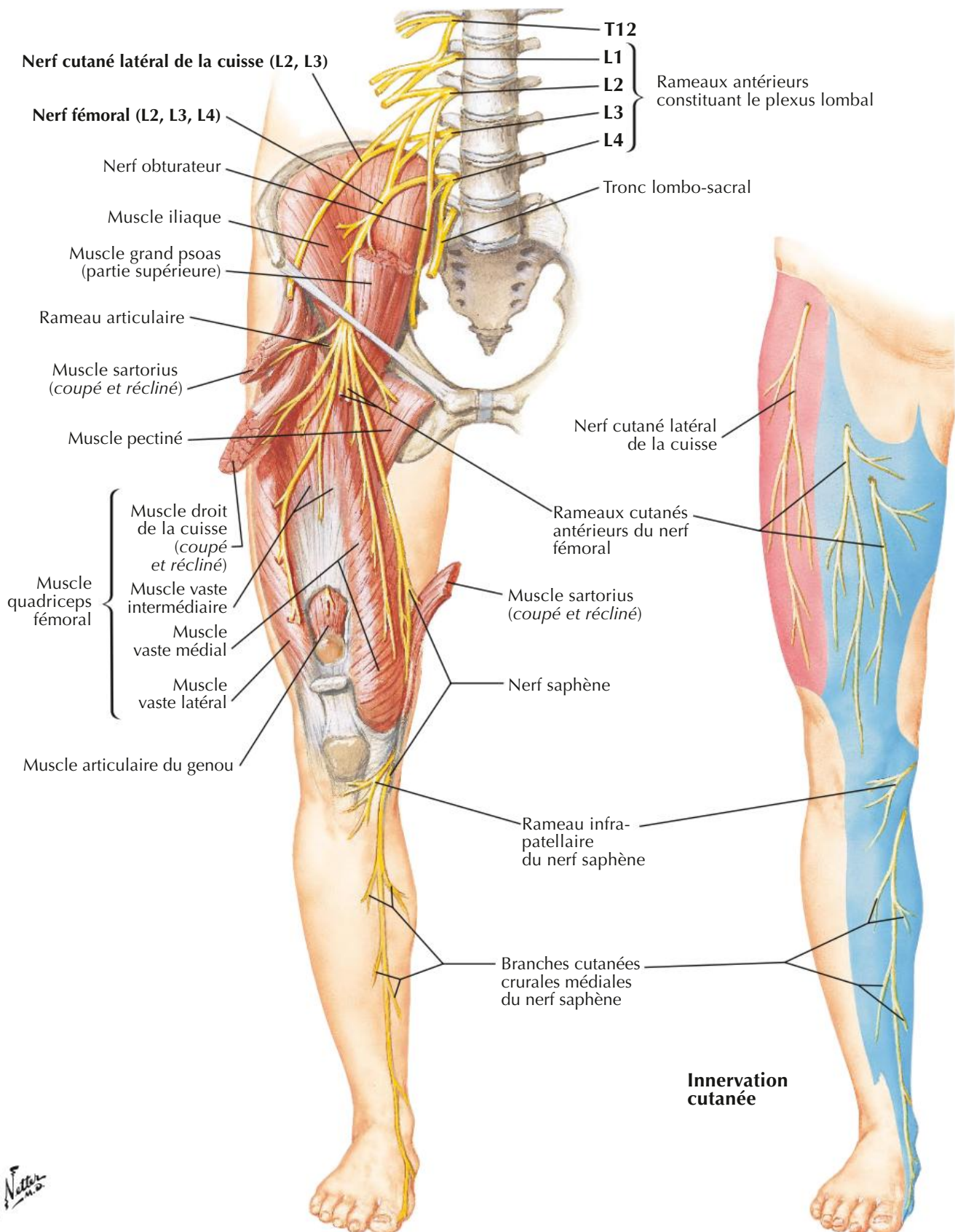
Quatrième plan des muscles en caractères gras

Vue dorsale

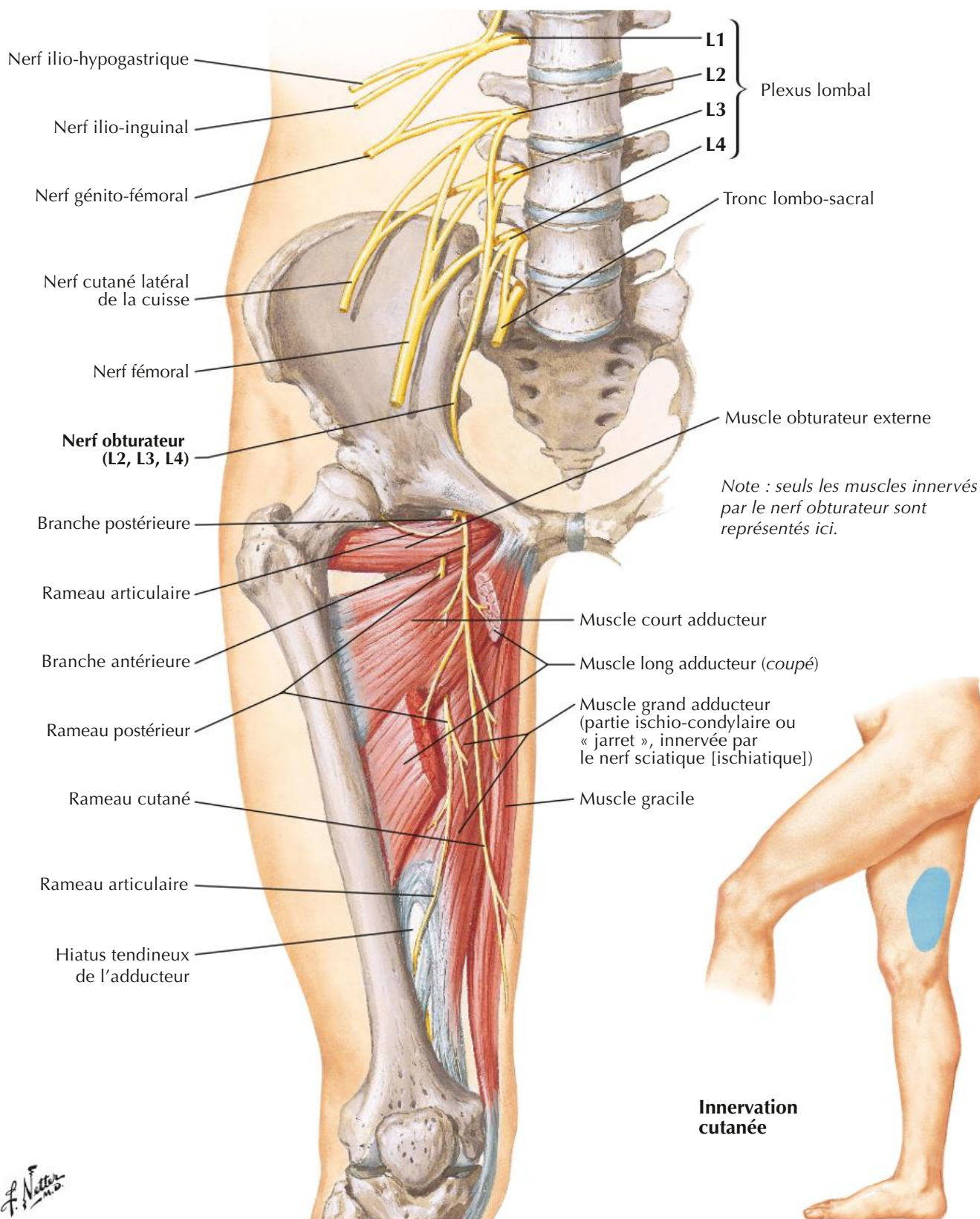


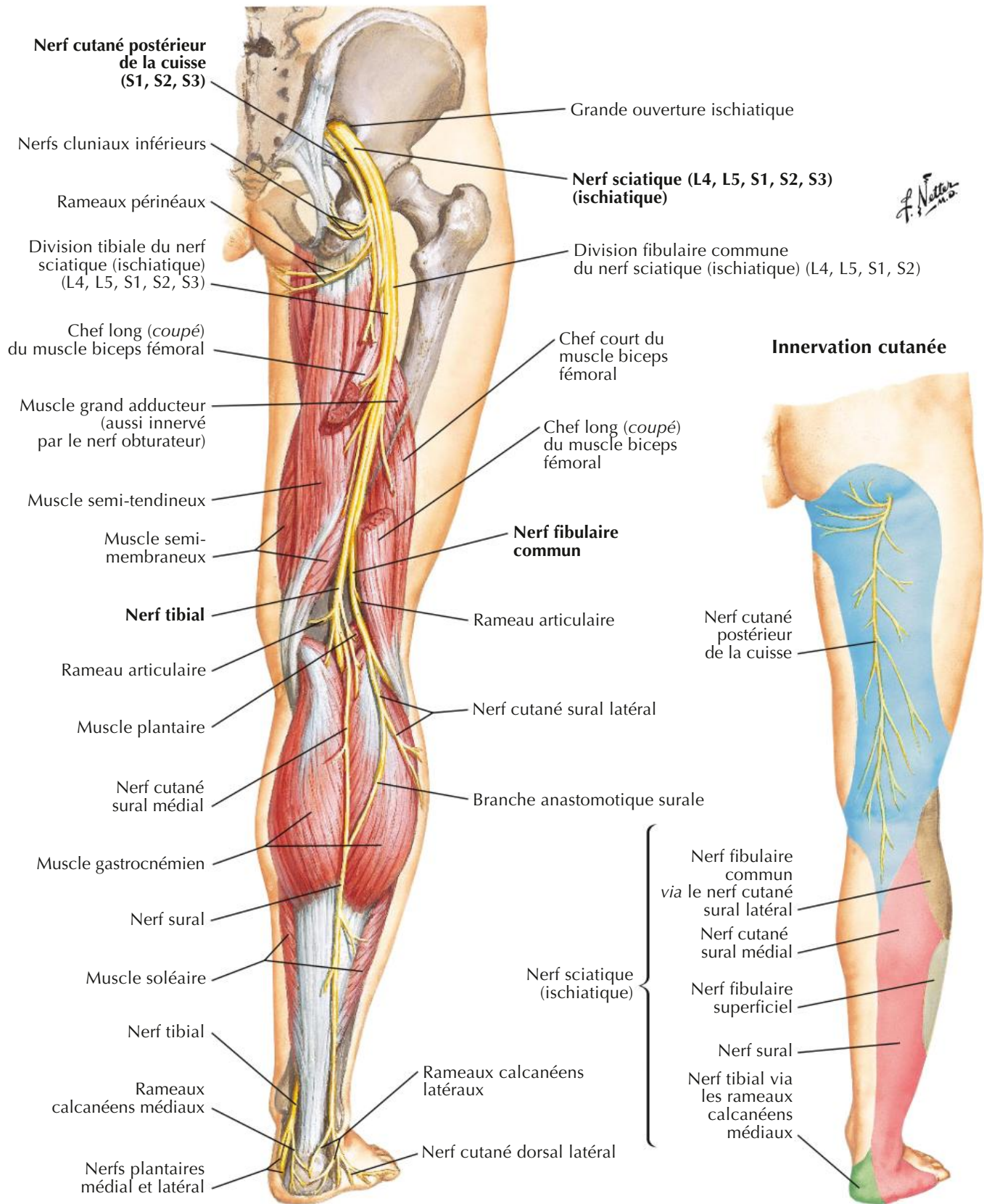
Vue plantaire

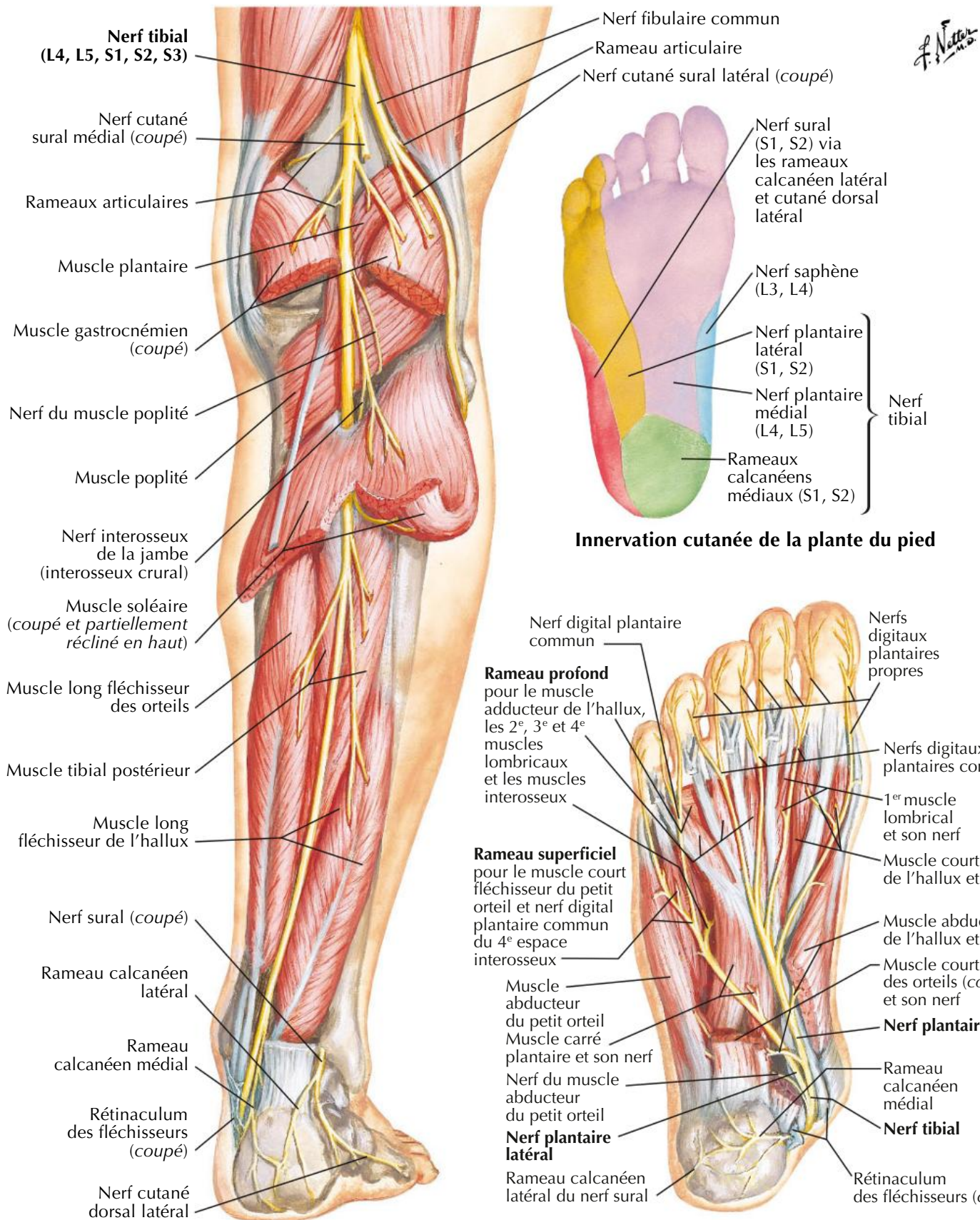


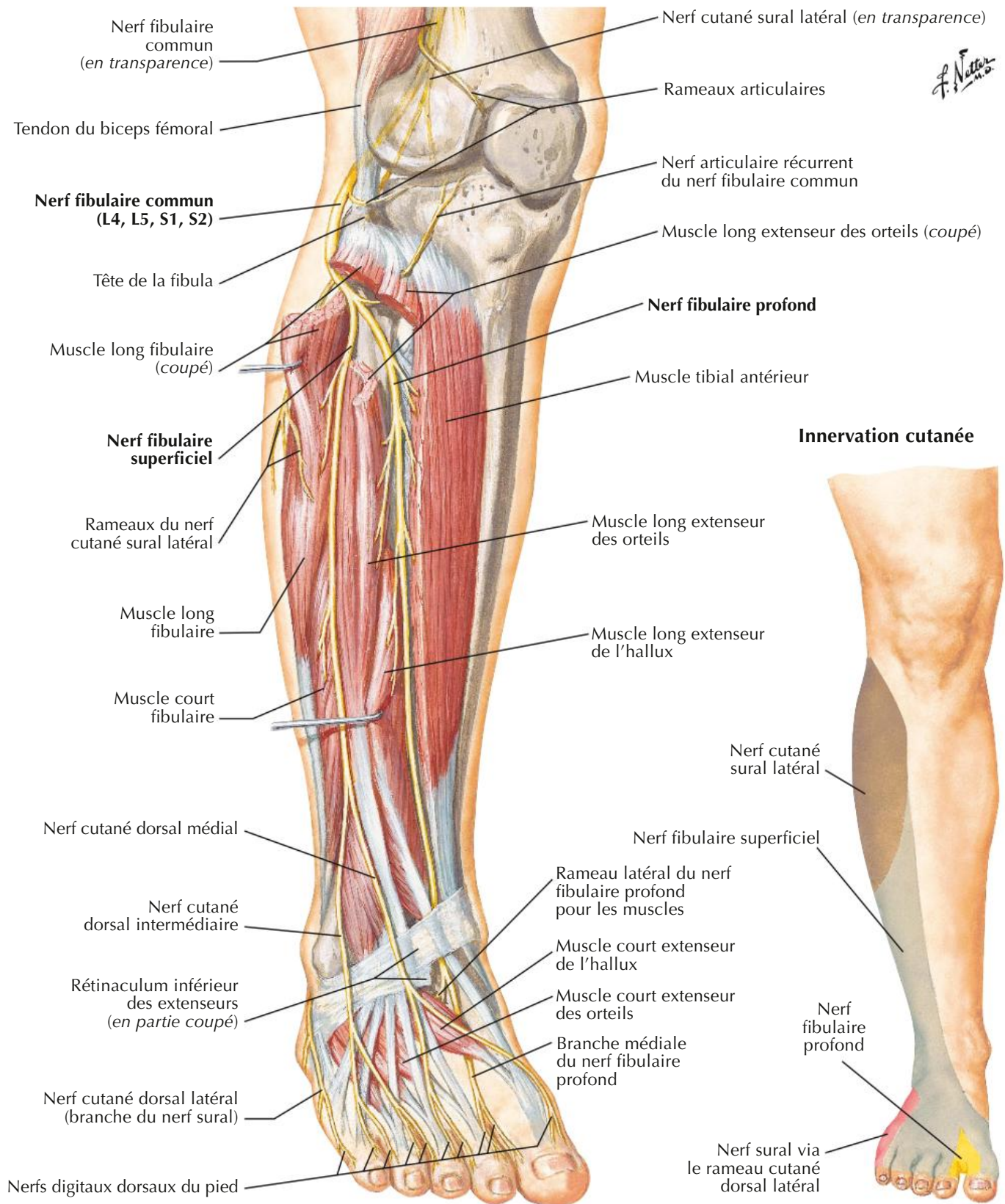


F. Netter M.D.







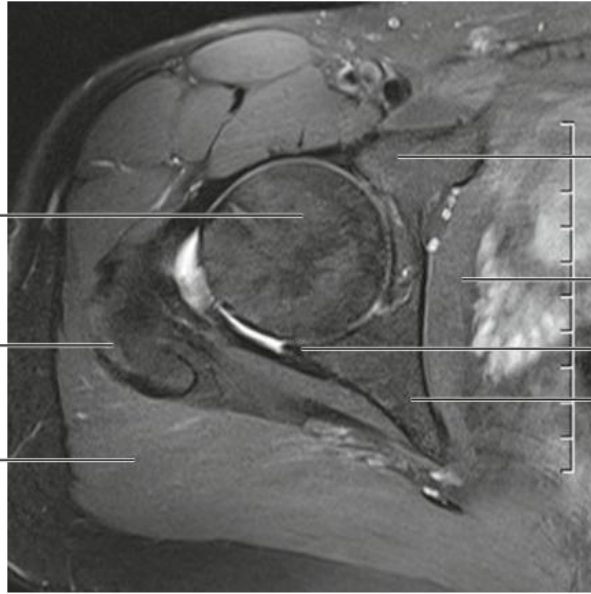


IRM axiale pondérée en T2

Tête du fémur

Grand trochanter

Muscle grand glutéal



Labrum acétabulaire

Muscle obturateur interne

Partie postérieure
du labrum

Labrum acétabulaire

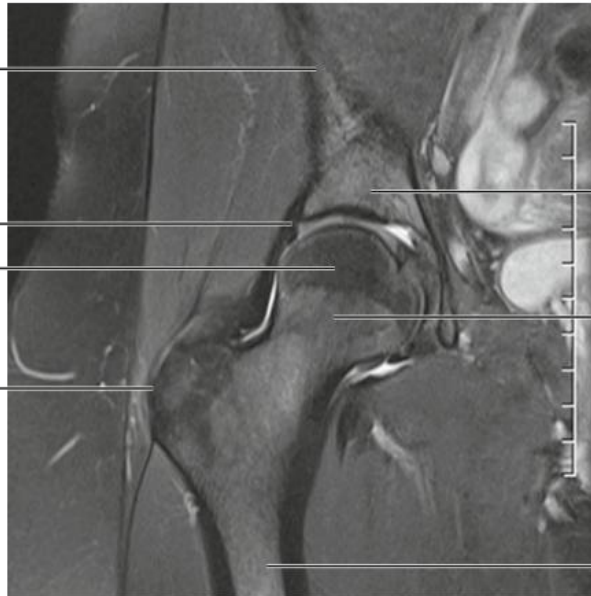
IRM coronale pondérée en T2

Aile de l'ilium

Labrum acétabulaire

Tête du fémur

Grand trochanter



Labrum acétabulaire

Col du fémur

Fémur

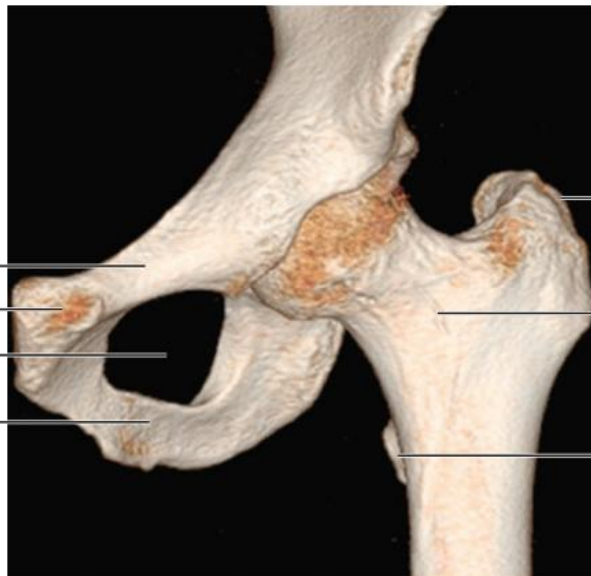
Reconstruction TDM 3D de la hanche

Branche supérieure du pubis

Tubercule pubien

Foramen obturé

Branche inférieure du pubis



Grand trochanter

Col du fémur

Petit trochanter





Vue latérale



Vue antérieure



STRUCTURES ANATOMIQUES IMPORTANCE CLINIQUE		NUMÉROS DES PLANCHES
 SYSTÈME SQUELETTIQUE		
Col du fémur	Localisation classique des fractures chez les personnes âgées ; peut engendrer une nécrose avasculaire de la tête fémorale	478, 479, 495
Diaphyse du fémur	La diaphyse est la localisation fréquente des fractures des traumatismes de haute énergie (accident de véhicule à moteur)	479
Articulation de la hanche	Exposée à une nécrose vasculaire de la tête fémorale lors de luxations ou de fractures	477, 495
Ligament collatéral médial (tibial), ligament croisé antérieur et ménisque médial	« Triade malheureuse » d'un traumatisme latéral de l'articulation du genou en extension responsable d'une déchirure des ligaments collatéral médial et croisé antérieur et du ménisque médial	498, 499, 500
Tibia et fibula	Les fractures de haute énergie de leur diaphyse se produisent en ski lors de chutes en avant à grande vitesse (fracture au-dessus des chaussures de ski)	504
Première articulation métatarso-phalangienne	Un défaut d'alignement articulaire conduisant à l'hallux valgus (oignon) résulte souvent du port de chaussures trop étroites, mais est aussi souvent d'origine génétique	515
Calcanéus	La fracture la plus courante des os du tarse, généralement due à une réception sur le talon après une chute d'une hauteur élevée	517
Articulation de la cheville	La plupart des entorses se produisent en inversion, la plante du pied fléchie, faisant porter les tensions sur les ligaments latéraux de la cheville	518
 SYSTÈME MUSCULAIRE		
Gracile, long adducteur, court adducteur, grand adducteur	Une élévation ou une déchirure importante des muscles adducteurs de la cuisse est courante dans les sports qui nécessitent des sprints répétés ou des changements rapides de direction (par ex. football, hockey)	482, 483
Ligament patellaire	La percussion du ligament patellaire avec un marteau à réflexe induit un réflexe rotulien qui évalue les niveaux médullaires L3 et L4 (innervation du muscle quadriceps fémoral par le nerf fémoral)	482, 498
Tractus ilio-tibial	Fréquemment blessé chez les coureurs à pied à l'endroit où le tractus ilio-tibial frotte l'épicondyle latéral du fémur	484, 497
Semi-tendineux, semi-membraneux et biceps fémoral (chef long)	Une élévation ou une déchirure des muscles ischio-jambiers se produit le plus souvent lors de courses à grande vitesse ou des activités avec pratique de coups de pied	485
Muscle piriforme	La surutilisation du muscle piriforme ou ses variations anatomiques (par ex. muscle piriforme fendu) peuvent engendrer une compression du nerf sciatique	492
Muscles moyen glutéal et petit glutéal (nerf glutéal supérieur)	La paralysie de ces muscles entraîne une bascule pelvienne controlatérale en raison d'un déficit d'abduction de la hanche en position debout monopodale sur le membre atteint (signe ou démarche de Trendelenburg)	493
Tendon calcanéen (d'Achille)	Son inflammation résulte d'un stress répétitif du tendon, souvent en rapport avec des courses sur des surfaces inégales ; un traumatisme extrême peut provoquer la rupture du tendon	507, 508, 518
Tendon calcanéen (d'Achille)	La percussion du tendon calcanéen avec un marteau à réflexe provoque un réflexe calcanéen (achilléen) qui évalue les niveaux médullaires S1 et S2 (innervation des muscles superficiels du mollet par le nerf tibial)	507, 508, 531
Loge antérieure de jambe	Les syndromes de loge à l'exercice (douleurs à mi-tibia) résultent d'un entraînement excessif (gonflement musculaire, périostite ou fracture de stress surviennent en raison d'une compression des compartiments musculaires par des fascias serrés)	514

STRUCTURES ANATOMIQUES IMPORTANCE CLINIQUE		NUMÉROS DES PLANCHES
 SYSTÈME MUSCULAIRE – Suite		
Aponévrose plantaire	Son inflammation résulte d'une augmentation de la tension ou du poids qu'elle supporte ou de sa surutilisation, provoquant une douleur au talon et au pied (fasciite plantaire ; syndrome de l'épine calcanéenne)	523
 SYSTÈME NERVEUX		
Nerf sural	Ce nerf est généralement biopsié pour le diagnostic de neuropathies périphériques et couramment utilisé comme greffon dans la procédure de neurotisation	474, 531
Nerf fibulaire commun	Les lésions de ce nerf par un traumatisme contondant ou une compression sous un plâtre s'accompagnent d'un déficit de la dorsiflexion du pied et un steppage	529, 531, 533
Nerf obturateur	Ce nerf peut faire l'objet d'un bloc nerveux ou d'une neurotomie (dénervation) dans le cas d'une spasticité des muscles adducteurs de cuisse dans la paralysie d'origine cérébrale ; il peut être blessé par des fractures pelviennes ou lors de procédures chirurgicales pelviennes comme la lymphadénectomie	530
Nerf fémoral	Il peut être comprimé par un hématome fémoral et peut être anesthésié pour des procédures du membre inférieur	488, 490, 529
Nerf saphène	Il peut être anesthésié dans le hiatus des adducteurs pour soulager la douleur après une prothèse de genou	473, 490, 529
 SYSTÈME CARDIO-VASCULAIRE		
Veines profondes de la jambe	La thrombose veineuse profonde des veines profondes de la jambe est en rapport avec une stase veineuse, une lésion vasculaire et/ou des troubles de la coagulation qui peuvent conduire à la formation du thrombus et à une embolie	513
Veine grande saphène	Souvent utilisée comme greffon dans le pontage coronarien	473
Veines superficielles	Varices (veines superficielles tortueuses et dilatées anastomosées aux veines profondes par des perforantes dont les valves veineuses sont incompetentes)	473, 513
Artère fémorale dans le triangle fémoral ; artère poplitée dans la fosse poplitée du genou ; artère dorsale du pied au dos du pied ; artère tibiale postérieure dans le tunnel tarsien en arrière de la malléole médiale	Localisation d'un pouls au membre inférieur	490, 503, 508, 513
Les principales artères au membre inférieur (artère fémorale, artère poplitée, artère tibiale et artère fibulaire)	Une artériopathie périphérique due à l'athérosclérose peut survenir dans les principales artères du membre inférieur, entraînant une diminution du flux sanguin ; les patients présentent une claudication (crampe douloureuse à la cuisse ou au mollet), surtout à l'effort	503
 SYSTÈME LYMPHATIQUE		
Nœuds inguinaux superficiels	Les nœuds inguinaux superficiels drainent le membre inférieur, la région fessière, le bas de l'abdomen et le périnée ; ils sont palpables si hypertrophiés	475
Vaisseaux lymphatiques	Lymphœdème (stase du flux lymphatique dans des vaisseaux lymphatiques obstrués par de l'inflammation, une fibrose, une tumeur, un calibre anormalement petit)	475

* Les sélections ont été fondées en grande partie sur des données cliniques aussi bien que sur les corrélations anatomo-cliniques fréquemment discutées dans les cours d'anatomie macroscopique.

MUSCLE	GROUPE MUSCULAIRE	INSERTION PROXIMALE (ORIGINE)	INSERTION DISTALE (TERMINAISON)	INNERVATION	ACTIONS PRINCIPALES	VASCULARISATION ARTÉRIELLE
Abducteur du petit orteil	Muscle du pied	Tubercules médial et latéral de la tubérosité calcanéenne, aponévrose plantaire et septum intermusculaire	Côté latéral de la base de la phalange proximale du 5 ^e (petit) orteil	Nerf plantaire latéral	Abducteur et fléchisseur du 5 ^e orteil	Artère plantaire latérale, artères métatarsienne plantaire et digitale plantaire du 5 ^e orteil
Abducteur de l'hallux	Muscle du pied	Tubercule médial de la tubérosité calcanéenne, rétinaculum des fléchisseurs et aponévrose plantaire	Côté médial de la base de la phalange proximale du 1 ^{er} (gros) orteil	Nerf plantaire médial	Abducteur et fléchisseur du 1 ^{er} orteil	Artères plantaire médiale et 1 ^{re} métatarsienne plantaire
Adducteur de l'hallux	Muscle du pied	Chef oblique : base des métatarsiens du 2 ^e au 4 ^e Chef transverse : ligaments des articulations métatarso-phalangiennes des orteils 3-5	Tendons des deux chefs s'insérant sur le côté latéral de la base de la phalange proximale du 1 ^{er} (gros) orteil	Branche profonde du nerf plantaire latéral	Adducteur du 1 ^{er} orteil, contribue à maintenir l'arcade transverse du pied	Artères plantaires médiale et latérale et arcade plantaire, artères métatarsiennes plantaires
Articulaire du genou	Muscle antérieur de la cuisse	Partie distale de la face antérieure du fémur	Bourse supra-patellaire	Nerf fémoral	Attire vers le haut la bourse supra-patellaire lors de l'extension du genou	Artère fémorale
Biceps fémoral	Muscle postérieur de la cuisse	Chef long : tubérosité ischiatique Chef court : ligne âpre et ligne supra-condylaire latérale du fémur	Côté latéral de la tête de la fibula	Chef long : nerf sciatique (division tibiale) Chef court : nerf sciatique (division fibulaire commune)	Fléchisseur et rotateur latéral de la jambe, extenseur de la cuisse au niveau de la hanche	Branches perforantes de l'artère profonde de la cuisse, artères glutéale inférieure et circonflexe médiale de la cuisse
Carré fémoral	Muscle de la région glutéale	Bord latéral de la tubérosité ischiatique	Tubercule carré de la crête intertrochantérique du fémur	Nerf du carré fémoral	Rotateur latéral de la cuisse au niveau de la hanche	Artère circonflexe médiale de la cuisse
Carré plantaire	Muscle du pied	Bords médial et latéral de la face plantaire du calcaneus	Bord postéro-latéral du tendon du muscle long fléchisseur des orteils	Nerf plantaire latéral	Corrige la traction oblique du tendon du muscle long fléchisseur des orteils et ainsi autorise la flexion des orteils	Artères plantaires médiale et latérale et arcade plantaire profonde
Court adducteur (de la cuisse)	Muscle médial de la cuisse	Corps et branche inférieure du pubis	Ligne pectinée et partie proximale de la ligne âpre du fémur	Nerf obturateur	Adducteur de la cuisse au niveau de la hanche, fléchisseur accessoire de la cuisse	Artères profonde de la cuisse, circonflexe médiale de la cuisse et obturatrice
Court extenseur des orteils et court extenseur de l'hallux	Muscles du pied	Face supéro-latérale du calcaneus, ligament talo-calcaneen latéral, rétinaculum inférieur des extenseurs	Premier tendon sur la face dorsale de la base de la phalange proximale de l'hallux, trois autres tendons sur le côté latéral des tendons du muscle long extenseur des orteils destinés aux orteils 2 à 4	Nerf fibulaire profond	Aide le muscle long extenseur des orteils dans l'extension des quatre orteils médiaux au niveau des articulations métatarso-phalangiennes et interphalangiennes	Artères dorsale du pied, tarsienne latérale, arquée et fibulaire
Court fibulaire	Muscle latéral de la jambe	Deux tiers distaux de la face latérale de la fibula	Face dorsale de la tubérosité du côté latéral de la base du 5 ^e métatarsien	Nerf fibulaire superficiel	Éversion du pied et flexion plantaire accessoire du pied au niveau de la cheville	Artères tibiale antérieure et fibulaire
Court fléchisseur de l'hallux	Muscle du pied	Face plantaire du cuboïde et du cunéiforme latéral	Deux côtés de la base de la phalange proximale du 1 ^{er} orteil	Nerf plantaire médial	Fléchisseur de la phalange proximale du 1 ^{er} orteil	Artère plantaire médiale, première artère métatarsienne plantaire
Court fléchisseur des orteils	Muscle du pied	Tubercule médial de la tubérosité calcanéenne, aponévrose plantaire et septum intermusculaire	Deux côtés des phalanges moyennes des quatre orteils latéraux	Nerf plantaire médial	Fléchisseurs du 2 ^e au 5 ^e orteils	Artères plantaire médiale et latérale et arcade plantaire, artères métatarsiennes plantaires et digitales plantaires
Court fléchisseur du petit orteil	Muscle du pied	Base du 5 ^e métatarsien	Partie latérale de la base de la phalange proximale du 5 ^e orteil	Branche superficielle du nerf plantaire latéral	Fléchisseur de la phalange proximale du 5 ^e orteil	Artère plantaire latérale, artère digitale plantaire du 5 ^e orteil, artère arquée
Droit fémoral (quadriceps)	Muscle antérieur de la cuisse	Épine iliaque antéro-inférieure et l'ilium au-dessus de l'acétabulum	Base de la patella et tubérosité tibiale via le ligament patellaire	Nerf fémoral	Extenseur de la jambe au niveau du genou et fléchisseur de la cuisse au niveau de la hanche	Artère profonde de la cuisse (fémorale profonde) et artère circonflexe latérale de la cuisse

MUSCLE	GROUPE MUSCULAIRE	INSERTION PROXIMALE (ORIGINE)	INSERTION DISTALE (TERMINAISON)	INNERVATION	ACTIONS PRINCIPALES	VASCULARISATION ARTÉRIELLE
Grand adducteur (de la cuisse)	Muscle médial de la cuisse	Faisceaux adducteurs : branche inférieure du pubis, branche de l'ischium Faisceau fléchisseur (apparenté aux ischio-jambiers) : tubérosité ischiatique	Faisceaux adducteurs : tubérosité glutéale, ligne âpre, ligne supra-condyloire médiale du fémur Faisceau fléchisseur (apparenté aux ischio-jambiers) : tubercule de l'adducteur du fémur	Faisceaux adducteurs : nerf obturateur Faisceau fléchisseur (apparenté aux ischio-jambiers) : nerf sciatique (division tibiale)	Faisceaux adducteurs : adducteur et fléchisseur de la cuisse Faisceau fléchisseur (apparenté aux ischio-jambiers) : extenseur de la cuisse	Artère fémorale, artère profonde de la cuisse et artère obturatrice
Grand fessier	Muscle de la région glutéale	Ilium en arrière de la ligne glutéale postérieure, face dorsale du sacrum et du coccyx, ligament sacro-tubéreux	La plupart des fibres se terminent dans le tractus ilio-tibial qui s'insère sur le condyle latéral du tibia ; quelques fibres s'insèrent sur la tubérosité glutéale du fémur	Nerf glutéal inférieur	Extenseur de la cuisse fléchie, contribue à la rotation latérale et l'abduction de la cuisse	Artère glutéale inférieure principalement et artère glutéale supérieure occasionnellement
Gastrocnémien	Muscle postérieur de la jambe	Chef latéral : face latérale du condyle latéral du fémur Chef médial : surface poplitée au-dessus du condyle médial du fémur	Partie postérieure du calcanéus via le tendon calcanéen	Nerf tibial	Fléchisseur plantaire du pied au niveau de l'articulation de la cheville, contribue à la flexion de l'articulation du genou, soulève le talon pendant la marche	Artères poplitée et tibiale postérieure
Gracile	Muscle médial de la cuisse	Corps et branche inférieure du pubis	Partie supérieure de la face médiale du tibia	Nerf obturateur	Adducteur de la cuisse, fléchisseur et rotateur médial de la jambe	Artère profonde de la cuisse (fémorale profonde), artère circonflexe médiale de la cuisse
Grand psoas (ilio-psoas)	Muscle antérieur de la cuisse	Processus transverses des vertèbres lombales, côtés des corps vertébraux de T12-L5, disques intervertébraux correspondants	Petit trochanter du fémur	Rameaux antérieurs des trois premiers nerfs spinaux lombaux	Point fixe supérieur et en synergie avec le muscle iliaque fléchisseur de la hanche ; point fixe inférieur, incline latéralement la colonne vertébrale ; contribue à s'asseoir en fléchissant la colonne lombale sur le bassin ; point fixe inférieur et en synergie avec le muscle iliaque, fléchisseur du tronc	Branches lombales de l'artère ilio-lombale
Iliac (ilio-psoas)	Muscle antérieur de la cuisse	Deux tiers supérieurs de la fosse iliaque, crête iliaque, aile du sacrum, ligaments sacro-iliaques antérieurs	Petit trochanter du fémur et la diaphyse sous-jacente, via le tendon du grand psoas	Nerf fémoral	Fléchisseur de la cuisse au niveau de la hanche, stabilisateur de l'articulation de la hanche, agit avec le muscle grand psoas	Branches iliaques de l'artère ilio-lombale
Interosseux dorsaux (quatre muscles du pied)	Muscle du pied	Faces adjacentes du 1 ^{er} au 5 ^e métatarsien	1 ^{er} : côté médial de la phalange proximale du 2 ^e orteil 2 ^e au 4 ^e : côtés latéraux des phalanges proximales des orteils 2 à 4 Des expansions vers l'appareil extenseur des orteils 2 à 4	Nerf plantaire latéral	Abducteur du 2 ^e au 4 ^e orteil, fléchisseur au niveau des articulations métatarso-phalangiennes et contribue à l'extension au niveau des articulations interphalangiennes	Artère arquée, artères métatarsiennes dorsales et plantaires
Interosseux plantaires (trois muscles)	Muscle du pied	Base et côté médial du 3 ^e au 5 ^e métatarsiens	Partie médiale de la base de la phalange proximale du 3 ^e au 5 ^e orteils	Nerf plantaire latéral	Adducteur des orteils (3 à 5), fléchisseur des phalanges proximales au niveau des articulations métatarso-phalangiennes, extenseurs des phalanges moyennes et distales	Artère plantaire latérale et arcade plantaire, artères métatarsiennes plantaires et digitales plantaires
Jumeau inférieur	Muscle de la région glutéale	Tubérosité ischiatique	Face médiale du grand trochanter du fémur	Nerf du carré fémoral	Rotateur latéral de la cuisse en extension au niveau de la hanche	Artère circonflexe médiale de la cuisse

MUSCLE	GROUPE MUSCULAIRE	INSERTION PROXIMALE (ORIGINE)	INSERTION DISTALE (TERMINAISON)	INNERVATION	ACTIONS PRINCIPALES	VASCULARISATION ARTÉRIELLE
Jumeau supérieur	Muscle de la région glutéale	Face externe de l'épine ischiatique	Face médiale du grand trochanter du fémur	Nerf de l'obturateur interne	Rotateur latéral de la cuisse en extension au niveau de la hanche	Artères glutéale inférieure et pudendale interne
Lombrireaux	Muscle du pied	Tendons du muscle long fléchisseur des orteils	Bord médial des expansions tendineuses dorsales correspondantes du muscle long extenseur des orteils des quatre orteils latéraux	Lombrireaux médial : nerf plantaire médial Trois lombrireaux latéraux : nerf plantaire latéral	Fléchisseur des phalanges proximales au niveau des articulations métatarso-phalangiennes, extenseurs des phalanges moyennes et distales au niveau des articulations interphalangiennes proximales et distales	Artère plantaire latérale et artères métatarsiennes plantaires
Long adducteur (de la cuisse)	Muscle médial de la cuisse	Corps du pubis, en dessous de la crête pubienne	Tiers moyen de la ligne âpre du fémur	Nerf obturateur (division antérieure)	Adducteur de la cuisse au niveau de la hanche	Artères profonde de la cuisse et circonflexe médiale de la cuisse
Long extenseur de l'hallux	Muscle antérieur de la jambe	Partie moyenne de la face antérieure de la fibula et de la membrane interosseuse	Face dorsale de la base de la phalange distale du gros orteil	Nerf fibulaire profond	Extension du gros orteil et flexion dorsale du pied au niveau de la cheville	Artère tibiale antérieure
Long extenseur des orteils	Muscle antérieur de la jambe	Condyle latéral du tibia, trois quarts proximaux de la face antérieure de la membrane interosseuse et de la fibula	Phalanges moyennes et distales des quatre orteils latéraux	Nerf fibulaire profond	Extension des quatre orteils latéraux et flexion dorsale du pied au niveau de la cheville	Artère tibiale antérieure
Long fibulaire	Muscle latéral de la jambe	Tête et deux tiers proximaux de la face latérale de la fibula	Face plantaire de la base du 1 ^{er} métatarsien et du cunéiforme médial	Nerf fibulaire superficiel	Éversion du pied et flexion plantaire accessoire du pied au niveau de la cheville	Artères tibiale antérieure et fibulaire
Long fléchisseur de l'hallux	Muscle postérieur de la jambe	Deux tiers distaux de la face postérieure de la fibula et de la membrane interosseuse	Base de la phalange distale du gros orteil (hallux)	Nerf tibial	Fléchisseur de toutes les articulations du gros orteil et flexion plantaire accessoire du pied au niveau de la cheville	Artère fibulaire
Long fléchisseur des orteils	Muscle postérieur de la jambe	Partie médiale de la face postérieure du tibia sous la ligne soléaire	Face plantaire de la base des phalanges distales des quatre orteils latéraux	Nerf tibial	Fléchisseur des quatre orteils latéraux et fléchisseur plantaire du pied au niveau de la cheville, contribue au maintien des arches longitudinales du pied	Artère tibiale postérieure
Moyen fessier	Muscle de la région glutéale	Face latérale de l'ilium entre les lignes glutéales antérieure et postérieure	Face latérale du grand trochanter du fémur	Nerf glutéal supérieur	Abducteur et rotateur médial de la cuisse au niveau de la hanche ; stabilise le pelvis sur le membre inférieur en appui monopodal	Artère glutéale supérieure
Obturateur externe	Muscle médial de la cuisse	Bords du foramen obturé, membrane obturatrice	Fosse trochantérique du fémur	Nerf obturateur	Rotateur latéral de la cuisse, stabilisateur de la tête du fémur dans l'acétabulum	Artère circonflexe médiale de la cuisse, artère obturatrice
Obturateur interne	Muscle de la région glutéale	Face pelvienne de la membrane obturatrice et os avoisinant	Face médiale du grand trochanter du fémur	Nerf de l'obturateur interne	Rotateur latéral de la cuisse étendue, abducteur de la cuisse fléchie au niveau de la hanche	Artères pudendale interne et obturatrice
Pectiné	Muscle médial de la cuisse	Branche supérieure du pubis	Ligne pectinée du fémur	Nerf fémoral et parfois nerf obturateur	Adducteur et fléchisseur de la cuisse au niveau de la hanche	Artère circonflexe médiale de la cuisse, artère obturatrice
Petit fessier	Muscle de la région glutéale	Face latérale de l'ilium entre les lignes glutéales antérieure et inférieure	Face antérieure du grand trochanter du fémur	Nerf glutéal supérieur	Abducteur et rotateur médial de la cuisse au niveau de la hanche ; stabilise le pelvis sur le membre inférieur en appui monopodal	Tronc principal et branche profonde de l'artère glutéale supérieure

MUSCLE	GROUPE MUSCULAIRE	INSERTION PROXIMALE (ORIGINE)	INSERTION DISTALE (TERMINAISON)	INNERVATION	ACTIONS PRINCIPALES	VASCULARISATION ARTÉRIELLE
Piriforme	Muscle de la région glutéale	Face antérieure du sacrum segments 2-4, ligament sacro-tubéreux	Bord supérieur du grand trochanter du fémur	Rameaux ventraux des nerfs spinaux L5, S1 et S2	Rotateur latéral de la cuisse étendue, abducteur de la cuisse fléchie au niveau de la hanche	Artères glutéales supérieure et inférieure, artère pudendale interne
Plantaire	Muscle postérieur de la jambe	Partie inférieure de la ligne supracondylaire latérale du fémur et ligament poplité oblique	Partie postérieure du calcanéus <i>via</i> le tendon calcanéen	Nerf tibial	Assiste faiblement le muscle gastrocnémien	Artère poplitée
Poplité	Muscle postérieur de la jambe	Face latérale du condyle latéral du fémur et ménisque latéral	Face postérieure du tibia au-dessus de la ligne soléaire	Nerf tibial (L4-S1)	Fléchisseur accessoire du genou et le déverrouille par la rotation du fémur sur le tibia fixé	Artères géniculées inférieures médiale et latérale
Sartorius	Muscle antérieur de la cuisse	Épine iliaque antéro-supérieure et partie supérieure de l'incisure sous-jacente	Partie supérieure de la face médiale du tibia	Nerf fémoral	Abducteur, rotateur latéral et fléchisseur de la cuisse ; fléchisseur de la jambe au niveau du genou	Artère fémorale
Semi-membraneux	Muscle postérieur de la cuisse	Tubérosité ischiatique	Partie postérieure du condyle médial du tibia	Nerf sciatique (division tibiale)	Fléchisseur de la jambe, extenseur de la cuisse	Branches perforantes de l'artère profonde de la cuisse et artère circonflexe médiale de la cuisse
Semi-tendineux	Muscle postérieur de la cuisse	Tubérosité ischiatique	Partie supérieure de la face médiale du tibia	Nerf sciatique (division tibiale)	Fléchisseur de la jambe, extenseur de la cuisse	Branches perforantes de l'artère profonde de la cuisse et artère circonflexe médiale de la cuisse
Soléaire	Muscle postérieur de la jambe	Face postérieure de la tête de la fibula, quart proximal de la face postérieure de la fibula, ligne soléaire du tibia	Partie postérieure du calcanéus <i>via</i> le tendon calcanéen	Nerf tibial	Flexion plantaire du pied au niveau de la cheville, stabilisateur de la jambe sur le pied	Artères poplitée, tibiale postérieure et fibulaire
Tenseur du fascia lata	Muscle de la région glutéale	Épine iliaque antéro-supérieure et partie antérieure de la crête iliaque	Tractus ilio-tibial qui s'insère sur le condyle latéral du tibia	Nerf glutéal supérieur	Abducteur, rotateur médial et fléchisseur de la cuisse au niveau de la hanche ; contribue à maintenir le genou étendu	Branche ascendante de l'artère circonflexe latérale de la cuisse
Tibial antérieur	Muscle antérieur de la jambe	Condyle latéral et moitié proximale de la face latérale du tibia, membrane interosseuse	Faces plantaire et médiale du cunéiforme médial et base du 1 ^{er} métatarsien	Nerf fibulaire profond	Flexion dorsale du pied au niveau de la cheville et inversion du pied	Artère tibiale antérieure
Tibial postérieur	Muscle postérieur de la jambe	Face postérieure du tibia sous la ligne soléaire, membrane interosseuse, moitié proximale de la face postérieure de la fibula	Tubérosité de l'os naviculaire, tous les os cunéiformes, l'os cuboïde et la base du 2 ^e au 4 ^e métatarsien	Nerf tibial	Flexion plantaire du pied au niveau de la cheville et inversion du pied	Artère fibulaire
Troisième fibulaire	Muscle antérieur de la jambe	Tiers distal de la face antérieure de la fibula et de la membrane interosseuse	Dos de la base du 5 ^e métatarsien	Nerf fibulaire profond	Flexion dorsale du pied au niveau de la cheville et contribution à l'éversion du pied	Artère tibiale antérieure
Vaste intermédiaire (quadriceps)	Muscle antérieur de la cuisse	Faces antérieure et latérale de la diaphyse du fémur	Base de la patella et tubérosité tibiale <i>via</i> le ligament patellaire	Nerf fémoral	Extenseur de la jambe au niveau de l'articulation du genou	Artères circonflexe latérale de la cuisse et profonde de la cuisse (fémorale profonde)
Vaste latéral (quadriceps)	Muscle antérieur de la cuisse	Grand trochanter, lèvre latérale de la ligne âpre du fémur	Base de la patella et tubérosité tibiale <i>via</i> le ligament patellaire	Nerf fémoral	Extenseur de la jambe au niveau de l'articulation du genou	Artères circonflexe latérale de la cuisse et profonde de la cuisse (fémorale profonde)
Vaste médial (quadriceps)	Muscle antérieur de la cuisse	Ligne intertrochantérique, lèvre médiale de la ligne âpre du fémur	Base de la patella et tubérosité tibiale <i>via</i> le ligament patellaire	Nerf fémoral	Extenseur de la jambe au niveau de l'articulation du genou	Artère fémorale et artère profonde de la cuisse (fémorale profonde)

RÉFÉRENCES

Planches 15, 43-45, 50-52

Lang J. *Clinical Anatomy of the Nose, Nasal Cavity, and Paranasal Sinuses*. New York: Thieme; 1989.

Planches 26-28

Baccetti T, Franchi L, McNamara J Jr. The cervical vertebral maturation (CVM) method for the assessment of optimal treatment timing in dentofacial orthopedics. *Semin Orthod*. 2005;11:119–129.

Roman PS. Skeletal maturation determined by cervical vertebrae development. *Eur J Orthod*. 2002;24:303–311.

Planche 30

Tubbs RS, Kelly DR, Humphrey ER, et al. The tectorial membrane: anatomical, biomechanical, and histological analysis. *Clin Anat*. 2007;20:382–386.

Planches 31-36, 55, 56, 69, 75, 81

Noden DM, Francis-West P. The differentiation and morphogenesis of craniofacial muscles. *Dev Dyn*. 2006;235:1194–1218.

Planche 34

Feigl G. Fascia and spaces on the neck: myths and reality. *Medicina Fluminensis*. 2015;51(4):430–439.

Jain M, Dhali U. Morphometry of the thyroid and cricoid cartilages in adults. *J Anat Soc India*. 2008;57(2):119–123.

Planches 39, 41, 136-142

Chang KV, Lin CP, Hung CY, et al. Sonographic nerve tracking in the cervical region: a pictorial essay and video demonstration. *Am J Phys Med Rehabil*. 2016;95:862–870.

Tubbs RS, Salter EG, Oakes WJ. Anatomic landmarks for nerves of the neck: a vade mecum for neurosurgeons. *Neurosurgery*. 2005;56(2 suppl):256–260.

Planche 50

de Miranda CMNR, Maranhão CPM, Arraes FMNR, et al. Anatomical variations of paranasal sinuses at multislice computed tomography: what to look for. *Radiol Bras*. 2011;44(4):256–262.

Souza SA, de Souza MMA, Idagawa M, et al. Computed tomography assessment of the ethmoid roof: a relevant region at risk in endoscopic sinus surgery. *Radiol Bras*. 2008;41(3):143–147.

Planche 55

Benninger B, Lee BI. Clinical importance of morphology and nomenclature of distal attachment of temporalis tendon. *J Oral Maxillofac Surg*. 2012;70:557–561.

Planche 58

Alomar X, Medrano J, Cabratosa J, et al. Anatomy of the temporomandibular joint. *Semin Ultrasound CT MRI*. 2007;28(3):170–183.

Campos PSF, Reis FP, Aragão JA. Morphofunctional features of the temporomandibular joint. *Int J*. 2011;29(4):1394–1397.

Cristo JA, Townsend GC. Discal attachments of the human temporomandibular joint. *Aust Dent J*. 2005;50(3):152–160.

Cuccia AM, Caradonna C, Caradonna D, et al. The arterial blood supply of the temporomandibular joint: an anatomical study and clinical implications. *Imaging Sci Dent*. 2013;43(1):37–44.

Langdon JD, Berkovitz BK, Moxham BJ. *Surgical Anatomy of the Infratemporal Fossa*. London: Martin Dunitz; 2005.

Schmolke C. The relationship between the temporomandibular joint capsule, articular disc and jaw muscles. *J Anat*. 1994;184:335–345.

Siéssere S, Vitti M, de Sousa LG, et al. Bilaminar zone: anatomical aspects, irrigation, and innervation. *Braz J Morphol Sci*. 2004;21(4):217–220.

Planches 59, 69

Benninger B, Kloenne J, Horn JL. Clinical anatomy of the lingual nerve and identification with ultrasonography. *Br J Oral Maxillofac Surg*. 2013;51:541–544.

Planche 60

Joo W, Yoshioka F, Funaki T, et al. Microsurgical anatomy of the trigeminal nerve. *Clin Anat*. 2004;27:61–88.

Joo W, Yoshioka F, Funaki T, Rhoton AL Jr. Microsurgical anatomy of the infratemporal fossa. *Clin Anat*. 2013;26:455–469.

Planche 66

Fawcett E, Edin MB. The structure of the inferior maxilla, with special reference to the position of the inferior dental canal. *J Anat Physiol*. 1895;29(Pt 3):355–366.

He P, Truong MK, Adeeb N, et al. Clinical anatomy and surgical significance of the lingual foramina and their canals. *Clin Anat*. 2017;30:194–204.

Iwanaga J. The clinical view for dissection of the lingual nerve with application to minimizing iatrogenic injury. *Clin Anat*. 2017;30:467–469.

Otake I, Kageyama I, Mataga I. Clinical anatomy of the maxillary artery. *Okajimas Folia Anat Jpn*. 2011;87(4):155–164.

Siéssere S. Anatomic variation of cranial parasympathetic ganglia. *Braz Oral Res*. 2008;22(2):101–105.

Planches 67, 73

Benninger B, Andrews K, Carter W. Clinical measurements of hard palate and implications for subepithelial connective tissue grafts with suggestions for palatal nomenclature. *J Oral Maxillofac Surg*. 2012;70:149–153.

Planches 78, 106, 107

Kierner AC, Mayer R, v Kirschhofer K. Do the tensor tympani and tensor veli palatini muscles of man form a functional unit? A histochemical investigation of their putative connections. *Hear Res*. 2002;165:48–52.

Planches 85, 86

Benninger B, Barrett R. A head and neck lymph node classification using an anatomical grid system while maintaining clinical relevance. *J Oral Maxillofac Surg*. 2011;69:2670–2673.

Planches 91-93

Ludlow CL. Central nervous system control of the laryngeal muscles in humans. *Respir Physiol Neurobiol*. 2005;147:205–222.

Planche 98

Cornelius CP, Mayer P, Ehrenfeld M, Metzger MC. The orbits— anatomical features in view of innovative surgical methods. *Facial Plast Surg*. 2014;30:487–508.

Sherman DD, Burkat CN, Lemke BN. Orbital anatomy and its clinical applications. In: Tasman W, Jaeger EA, eds. *Duane's Ophthalmology*. Philadelphia: Lippincott Williams & Wilkins; 2006.

Planches 112-125

Rhoton AL Jr. *Cranial Anatomy and Surgical Approaches*. Schaumburg, IL: Congress of Neurological Surgeons; 2003.

Planches 115, 151

Tubbs RS, Hansasuta A, Loukas M, et al. Branches of the petrous and cavernous segments of the internal carotid artery. *Clin Anat*. 2007;20:596–601.

Planches 127-129, 135

Schrott-Fischer A, Kammen-Jolly K, Scholtz AW, et al. Patterns of GABA-like immunoreactivity in efferent fibers of the human cochlea. *Hear Res*. 2002;174:75–85.

Planches 169, 184

Tubbs RS, Loukas M, Slappey JB, et al. Clinical anatomy of the C1 dorsal root, ganglion, and ramus: a review and anatomical study. *Clin Anat*. 2007;20:624–627.

Planche 171

Forester O. The dermatomes in man. *Brain*. 1933;56:1–39.

Planches 171, 403

Keegan JJ, Garrett FD. The segmental distribution of the cutaneous nerves in the limbs of man. *Anat Rec*. 1948;102:409–437.

Planches 171, 403, 472, 517

Lee MW, McPhee RW, Stringer MD. An evidence-based approach to human dermatomes. *Clin Anat*. 2008;21:363–373.

Planche 177

Bosmia AN, Hogan E, Loukas M, et al. Blood supply to the human spinal cord: part I. Anatomy and hemodynamics. *Clin Anat*. 2015;28:52–64.

Planche 178

Stringer MD, Restieaux M, Fisher AL, Crosado B. The vertebral venous plexuses: the internal veins are muscular and external veins have valves. *Clin Anat*. 2012;25:609–618.

Planches 183, 184

Tubbs RS, Mortazavi MM, Loukas M, et al. Anatomical study of the third occipital nerve and its potential role in occipital headache/neck pain following midline dissections of the craniocervical junction. *J Neurosurg Spine*. 2011;15:71–75.

Vanderhoek MD, Hoang HT, Goff B. Ultrasound-guided greater occipital nerve blocks and pulsed radiofrequency ablation for diagnosis and treatment of occipital neuralgia. *Anesth Pain Med*. 2013;3:256–259.

Planches 188-190

Hassiotou F, Geddes D. Anatomy of the human mammary gland: current status of knowledge. *Clin Anat*. 2013;26:29–48.

Planche 206, 207

Hyde DM, Hamid Q, Irvin CG. Anatomy, pathology, and physiology of the tracheobronchial tree: emphasis on the distal airways. *J Allergy Clin Immunol*. 2009;124(6 suppl):S72–S77.

Planche 209

Ikeda S, Ono Y, Miyazawa S, et al. Flexible broncho-fiberscope. *Otolaryngology (Tokyo)*. 1970;42:855.

Planche 222

Angelini P, Velasco JA, Flamm S. Coronary anomalies: incidence, pathophysiology, and clinical relevance. *Circulation*. 2002;105:2449–2454.

Planches 222, 223

Chiu IS, Anderson RH. Can we better understand the known variations in coronary arterial anatomy? *Ann Thorac Surg*. 2012;94:1751–1760.

Planche 229

James TN. The internodal pathways of the human heart. *Prog Cardiovasc Dis*. 2001;43:495–535.

Planches 229-231

Hildreth V, Anderson RH, Henderson DJ. Autonomic innervation of the developing heart: origins and function. *Clin Anat*. 2009;22:36–46.

Planche 243

Yang HJ, Gill YC, Lee WJ, et al. Anatomy of thoracic splanchnic nerves for surgical resection. *Clin Anat*. 2008;21:171–177.

Planche 286

MacSween RNM, Anthony PP, Scheuer PJ, et al, eds. *Pathology of the Liver*. London: Churchill Livingstone; 2002.

Robinson PJA, Ward J. *MRI of the Liver: A Practical Guide*. Boca Raton, FL: CRC Press; 2006.

Planches 290, 291

Odze RD. *Surgical Pathology of the GI Tract, Liver, Biliary Tract, and Pancreas*. Philadelphia: Saunders; 2004.

Planche 308

Thomas MD. *The Ciba Collection of Medical Illustrations*. Vol. 3 part 2: *Digestive System: Lower Digestive Tract*. Summit, NJ: CIBA; 1970:78.

Planches 324, 349, 366, 378, 396

Stormont TJ, Cahill DR, King BF, Myers RP. Fascias of the male external genitalia and perineum. *Clin Anat*. 1994;7:115–124.

Planches 339, 345, 350, 353, 359, 360

Oelrich TM. The striated urogenital sphincter muscle in the female. *Anat Rec*. 1983;205:223–232.

Plochocki JH, Rodriguez-Sosa JR, Adrian B, et al. A functional and clinical reinterpretation of human perineal neuromuscular anatomy: application to sexual function and continence. *Clin Anat*. 2016;29:1053–1058.

Planches 343, 349

Myers RP, Goellner JR, Cahill DR. Prostate shape, external striated urethral sphincter, and radical prostatectomy: the apical dissection. *J Urol*. 1987;138:543–550.

Planches 343, 349, 365, 366

Oelrich TM. The urethral sphincter muscle in the male. *Am J Anat*. 1980;158:229–246.

Planche 356

Feil P, Sora MC. A 3D reconstruction model of the female pelvic floor by using plastinated cross sections. *Austin J Anat*. 2014;1(5):1022.

Shin DS, Jang HG, Hwang SB, et al. Two-dimensional sectioned images and three-dimensional surface models for learning the anatomy of the female pelvis. *Anat Sci Educ*. 2013;6(5):316–323.

Planche 385

Cahill D, Raychaudhuri B. Pelvic fasciae in urology. *Ann R Coll Surg Engl*. 2008;90:633–637.

Lee SE. A comprehensive review of neuroanatomy of the prostate. *Prostate Int*. 2013;1(4):139–145.

Nathoo N, Caris EC, Wiener JA, Mendel E. History of the vertebral venous plexus and the significant contributions of Breschet and Batson. *Neurosurgery*. 2011;69(5):1007–1014.

Pai MM, Krishnamurthy A, Prabhu LV, et al. Variability in the origin of the obturator artery. *Clinics (Sao Paulo)*. 2009;64(9):897–901.

Stoney RA. The anatomy of the visceral pelvic fascia. *J Anat Physiol*. 1904;38(4):438–447.

Walz J. A critical analysis of the current knowledge of surgical anatomy related to optimization of cancer control and preservation of continence and erection in candidates for radical prosta. *Eur Urol*. 2010;57:179–192.

Planche 472

Keegan JJ. Neurological interpretation of dermatome hypalgesia with herniation of the lumbar intervertebral disc. *J Bone Joint Surg Am*. 1944;26:238–248.

Last RJ. Innervation of the limbs. *J Bone Joint Surg Br*. 1949;31:452–464.

Planche 494

Beck M, Sledge JB, Gautier E, et al. The anatomy and function of the gluteus minimus muscle. *J Bone Joint Surg Br*. 2000;82(3):358–363.

Woodley SJ, Mercer SR, Nicholson HD. Morphology of the bursae associated with the greater trochanter of the femur. *J Bone Joint Surg Am*. 2008;90(2):284–294.

Planche 513

Aragão JA, Reis FP, de Figueiredo LFP, et al. The anatomy of the gastrocnemius veins and trunks in adult human cadavers. *J Vasc Br*. 2004;3(4):297–303.

INDEX

A

Abdomen, 249–332

Anatomie de surface, 249
Clichés axiaux TDM, 326–327
Externe, Muscle oblique, 413–414
Fascia superficiel, 252
Muscle
Droit, 344, 347–349, 359, 379
Transverse, 181, 185
Aponévrose d'origine, 181–182
Nerfs et ganglions autonomes, 300
Quadrant

Inférieur droit (QID), 251
Inférieur gauche (QIG), 251
Supérieur droit (QSD), 251
Supérieur gauche (QSG), 251

Régions et plans, 251
Section transverse, 85–86
Squelette, 250

Abducteur

De l'hallux, 519, 524–525
Muscle, T8.3, 520, 522, 524–526, 532
Insertion, 527
Nerf, 532
Du petit orteil
Muscle, T8.3, T7.3, 452, 455, 460, 467, 520, 522, 524–527, 532
Nerfs, 525
Du pouce
Muscle
Court, T7.3, 452, 455–456, 466
Long, T7.3, 431, 434–435, 439–441, 469

Abduction des membres inférieurs, mouvement, 472

Accouchement, voies nerveuses durant, 396

Acétabulum, 338, 476, 478

Bord, 476
Radiographie, 335
Semi-lunaire (articulaire) surface, 400, 477

Acromion, 36, 194, 402, 409–413, 415, 417–419, 421, 470

De la scapula, 192

Adducteur, T8.3, 526

Canal, 490
De l'hallux, 519
Épicondyle médial du fémur, 491, 500
Hiatus, 491–492, 503
Muscle
Court, T8.3, T8.1, 480–481, 483, 491, 496, 530
De la cuisse, T8.1
De l'hallux
Chef oblique, 526
Chef transverse, 526
Insertion, 527
Rameau profond, 532
Du pouce, T7.3, 452–453, 455–456, 467
Grand, T8.3, T8.1, 395, 471, 480–481, 483, 485, 490–492, 494, 496, 503, 530–531
Adducteur minime, partie du, 483, 485, 492, 494
Tendon, 483, 491, 497, 502, 508
Long, T8.3, T8.1, 400, 480–483, 490–491, 496, 530
Petit, 395
Tubercule, 479

Adduction des membres inférieurs, mouvement, 472

Adhérence interthalamique, 117, 121–122, 125, 157–158

Agger nasi, 43–44

Aile, 17, 166

De l'ilium, 250, 334, 338, 342

Aile (Suite)

Du nez, 8
Tissu fibro-adipeux, 42, 44
Du sacrum, radiographie, 335

Aire

Intercondylaire
Antérieure, 504–505
Postérieure, 504–505
Subcalleuse, 117, 130
Trachéale
Droite, 205
Gauche, 205
Vestibulaire, 125

Aisselles

Paroi postérieure, 414
Vue antérieure, 419

Albuginée, 363, 367, 372

Du testicule, 372

Ampoule, 355

De la trompe utérine, 357
De l'oreille, 109
Antérieure, 108
Latérale, 108
Postérieure, 108
Du conduit déférent, 366
Du rectum, 350
Hépatopancréatique, sphincter de, 309

Anal

Canal, 375
Artères, 380
Muscularis mucosae, 375–376
Veines, 381
Colonnes de Morgagni, 375
Crypte, 375
Glandes, 375
Marge, 375
Muscle sphincter
Externe, T6.3, 283, 306, 339, 345, 349–350, 359–360, 363–364, 373–374, 376–377, 380, 386
Insertion, 341
Profond, 324, 349, 373, 376–378
Sous-cutané, 324, 349, 373, 376–378
Superficiel, 324, 349, 373, 376–378
Interne, 374, 376
Nerf inférieur, 306, 361, 392–393, 395–396, 487, 493
Région, 3
Sinus, 375
Triangle, 362
Trou, 370
Tubercule, 370
Valvule, 375

Anastomose

Acromiale, 418
Entre les artères circonflexes médiale et latérale de la cuisse, 495
Paravertébrale, 177
Patellaire, 490–491, 503
Porto-cave, 299
Prévertébrale, 177

Anatomie de surface

Femme, 2
Homme, 3

Anconé

Muscle, T7.3, 410, 422, 434–435, 440–441, 468–469

Angle

Anorectal, 400
Colique
Droit, hépatique, 270, 272–273, 276, 278, 283, 285, 318
Gauche, splénique, 270, 272–273, 276, 278, 283, 323
Splénique, 282

Angle (Suite)

Duodénal
Inférieur, 279
Supérieur, 279
Duodéno-jéjunal, 185, 271, 278–279, 288, 318, 323
Irido-cornéen, 100–101, 103
Mastoidien, 18
Sternal (de Louis), T4.1
Sub-pubien, radiographie, 335

Anneau

Fémoral, T5.1, 262, 264, 344, 347–348, 475
Fibreux, 164, 168
Graisseux sous-diaphragmatique (espace celluleux hiatal), 239
Inguinal
Pilier latéral, 262
Pilier médial, 262
Profond, T5.1, 254, 256, 262, 344, 346–348, 368
Superficiel, 252, 262–263, 359, 363, 368–369
Tendineux commun (de Zinn), 96–97, 132
Trigonal, 351

Annexes, 355

Anse

Anastomotique
Avec l'artère spinale antérieure, 176
Avec les artères spinales postérieures, 176
De l'iléum, 279
Du jéjunum, 279
Cervicale, 38–41, 139–140
Racine
Inférieure, 39–41, 82, 87, 139–140
Supérieure, 39–41, 82, 87, 139–140
De Heiss, 351
Pectorale, 419
Subclavière, 141, 213, 230–231, 243

Anthélix, 8, 106

Branches, 106

Antitragus, 8, 106

Antre mastoïdien, 107

Anus, 341, 345, 358, 362, 364, 370, 377

Aorte, 33, 149, 177, 197, 200, 211, 217, 220, 223–224, 233 235_236, 244, 309, 323, 325, 327, 385

Abdominale, T5.2, 185, 201, 217, 236, 266, 271, 274, 276, 278, 291, 295, 306, 311, 313, 317, 324, 330–332, 344, 346, 348, 380, 382–384, 394

Ascendante, 149, 219, 221, 224, 227–229, 244, 247

Branche urétérique, 317

Descendante, 149, 244, 247–248

Sillon, 205

Sinus (de Valsalva), 227

Thoracique, 4, 177

Aponévrose

Bicipitale, 406, 421, 423, 436, 463
De l'oblique externe, 359, 363
Épicrânienne, 10, 31, 113, 184
Palatine, 67, 78
Palmaire, 406, 432, 436, 444, 449–450, 453
Pharyngienne, 75, 78, 80
Plantaire, T8.1, 520, 523, 525, 535
Bande latérale, 523
Lames digitales, 523

Appareil lacrymal, 95

Appendice, T5.1, 137, 282

Atrial. Voir *Auricule (appendice atrial)*
Du testicule, 369, 371
Épididymaire, 369, 371
Fibreux, du foie, 284
Omental (épiploïque), 272, 283
Rétro-cæcal fixé, 282

Appendice (Suite)

Vermiforme, 272, 280–281, 283
Ouverture, 281
Vésiculeux, 355, 371

Aqueduc

Cérébral, T2.2, 50, 117–118, 120, 125, 128, 157–158
Imagerie, 160
Du vestibule. *Voir vestibule aqueduc*

Arachnoïde, 111, 113, 120, 174, 177

Arbre trachéo-bronchique, innervation, schéma, 214

Arc

Aortique, 4, 87–88, 149, 202, 210, 214–216, 218–219, 225, 229, 235–237, 240, 246
Nœud et vaisseaux du ligament artériel, 212
Sillon, 205
Palato-glosse, 65, 71–72
Palato-pharyngien, 65, 71–72, 79

Arcade

Carpienne dorsale, 459
Palmaire, 4
Carpienne, 455
Profonde, 424, 455
Superficielle, 424, 450, 452, 456, 463
Veineuse, 5
Palpébrale
Inférieure, 99
Supérieure, 99
Plantaire, 503, 527
Artère plantaire profonde rejoignant l', 522
Artérielle profonde, 526
Rameaux perforants postérieurs, 512
Pubienne, 250, 334
Mesures, 336
Sourcilière, 8
Tendineuse, 81
Du fascia pelvien, 347, 352, 354
Du muscle élévateur de l'anus, 339, 342–343, 347, 350, 352–353, 360, 374
Veineuse
Dorsale, 5, 473
Palmaire superficielle, 450
Postérieure superficielle, 513
Zygomatique, 12–13, 22–23, 55

Aréole, 188

Artère, T7.2, 4, 100–101, 189, 418–419, 421, 424–425, 436–438, 463

Alvéolaire
Inférieure, 47, 57–58, 69, 84
Branche mylo-hyoïdienne, 25, 83
Branche terminale, 57, 83
Rameau lingual, 83
Supérieure, 57
Antérieure, 57, 63
Moyenne, 57, 63
Postérieure, 57, 60, 63, 83
Angulaire, 10, 42, 57, 83, 99, 149
Appendiculaire, 280, 294–295, 305
Arquée, 314, 503, 512, 521, 527
Auriculaire
Antérieure, 10
Postérieure, 10, 41, 57, 60, 83, 107, 112, 147, 149, 184
Profonde, 57–58, 107
Axillaire, 4, 189, 195, 204, 258, 416, 418–419, 423–424
Droite, 199
Gauche, 199
Basilaire, 147, 149–152, 154, 176
Imagerie, 159–160
Brachiale
Branche, 435
Collatérale moyenne, 435
Musculaire, 423
Faisceau
Latéral, 423
Médial, 423

Artère (Suite)

In situ, 423
Pouls, 4
Brachio-céphalique, 217
Bronchique, 211, 234–235
Branche œsophagienne, 211
Droite, 205, 211, 240
Gauche, 205
Inférieure, 211, 240
Supérieure, 211, 240
Buccale, 57, 83
Cœcale, 305
Antérieure, 280, 294–295
Postérieure, 280, 294–295
Calcanéenne
Latérale, 525–526
Médiale, 525–526
Calloso-marginale, 152–153
Carotico-tympanique, 148
Carotide, 41
Commune, T2.2, 10, 33, 38, 40–41, 64, 76, 82–84, 87–89, 136, 139, 141–142, 144–145, 147, 149, 196, 204, 236, 240
Droite, 4, 37, 179, 199, 210, 217
Gauche, 4, 179, 199, 210, 215–218, 221, 245
Externe, 10, 32, 35, 38, 41, 47, 53, 57, 60, 63–64, 68, 70, 76, 82–84, 87–89, 107, 112, 136, 141–142, 145, 147, 149
Droite, 58
Gauche, 58
Schéma, 41
Interne, 10, 41, 49, 56, 60, 62, 64, 76, 82–83, 87–89, 99, 107, 112, 115, 136, 139, 141–145, 147, 149–152
Canal carotidien, 19–20
Dans la partie pétreuse de l'os temporal, 148
Droite, 153
Gauche, 153–154
Imagerie, 159–160
Partie caverneuse, 148
Partie cervicale, 148
Partie pétreuse, 149
Segment caverneux, 115
Tronc méningo-hypophysaire, 112
Pouls, 4
Centrale
Antéro-latérale, 148, 150–152, 154
Antéro-médiale, 151
Postéro-médiale, 151, 154
Cérébelleuse
Inférieure
Antérieure, 147, 149–152, 154, 159, 176
Branche de la tonsille, 154
Postérieure, 147, 149–150, 152, 154, 176
Supérieure, 147, 149–152, 154, 176
Imagerie, 159
Cérébrale, 113
Antérieure, 147–152, 154, 156
Gauche, 153
Imagerie, 159
Rameaux cingulaires, 153
Rameaux frontaux médiaux, 152–153
Temporale, 153
Moyenne, 147–152, 154
Branches, 148
Gauche, 153
Imagerie, 159
Rameaux occipitaux temporaux, 153
Temporale, 152
Postérieure, 147–152, 154
Calcarine, 153–154
Droite, 153
Imagerie, 159
Pariéto-occipitale, 153–154
Temporale, 153–154

Artère (Suite)

Cervicale
Ascendante, 40, 82–83, 87–89, 149, 176, 418
Profonde, 149, 176
Superficielle, 183
Transverse, 39–40, 89, 418–419
Branche superficielle, 183
Choroïdienne
Antérieure, 148, 150–152, 154
Postéro-latérale, 150, 154
Postéro-médiale, 150
Ciliaire
Antérieure, 103–104
Branche récurrente, 104
Postérieure, 99
Courte, 103–104
Longue, 103–104
Colique
Branche
Ascendante, 380
Descendante, 380
Droite, 294–295, 316
Gauche, 266, 294–295, 300, 305, 316, 380
Moyenne, 288, 291, 294–295, 304, 324
Collatérale
Moyenne, 422, 424–425
Radiale, 422, 424–425
Ulnaire
Inférieure, 423, 435
Supérieure, 423, 425, 434–435
Communicante
Antérieure, 147–153
Imagerie, 159
Postérieure, 115, 147–154
Imagerie, 159
Coronaire, 222
Droite, 216, 218, 222–223, 226
Branche du nœud atrioventriculaire (av), 223, 226
Branche du nœud sinu-atrial (sa), 223
Branche interventriculaire inférieure (postérieure) branche descendante postérieure de l'artère coronaire droite), 223, 226
Branche marginale droite (arquée), 223
Branches atriales, 222
Branches septales interventriculaires, 218, 222–223
Ostium, 227
Gauche, 222–223
Branche circonflexe, 222–223, 226
Branche interventriculaire antérieure, 216, 222
Branche marginale gauche, 223
Branches postéro-latérales, 223
Branches septales interventriculaires, 223
Branches ventriculaires postérieures gauches, 222
Ostium, 227
Sillon interventriculaire antérieur, 216
Imagerie, 223
Ostium, 228
Crémastérique, 258, 264
Crico-thyroïdienne, 83, 87
Cystique, T5.2, 287, 290–291
D'Adamkiewicz, 176
De l'intestin grêle, 294
De l'œsophage, 240
De l'orbite, 99
De la cavité nasale, 47
De la fosse crânienne postérieure, 154
De la glande mammaire, 189
De la moelle spinale
Distribution intrinsèque, 177
Schéma, 176
De la rate, 290–291
De la région profonde de la face, 63
De la strie malléolaire, 107

Artère (Suite)

- De la trompe auditive, 107
- De l'encéphale
 - Coupe, 152
 - Vue
 - Frontale, 152
 - Inférieure, 150
 - Latérale, 153
 - Médiale, 153
- De l'estomac, 290
- De l'humérus
 - Circonflexe
 - Antérieure, 417–419, 421, 423–424
 - Postérieure, 417–419, 422–424
- Des organes pelviens
 - chez la femme, 382
 - Chez l'homme, 385
- Des paupières, 99
- Des régions orale et pharyngienne, 83
- Des testicules, 383
- Descendante, 4, 177
- Digitale
 - Dorsale, 459–461, 503, 512, 521, 527
 - Palmaire, 424, 449
 - Commune, 424, 450, 453, 455–456
 - Propre, 450, 456, 459–461
 - Propre, 424
 - Rameaux plantaires, 512
- Dorsale
 - Du carpe, 424
 - Du clitoris, 386
 - Du pénis, 363, 365, 383
 - Du pied, 4, 512, 527
 - Pouls, 4
 - Proximale, T8.2
- Droite, 279, 294–295
 - Du canal anal, 380
 - Du conduit déférent, 380, 383
 - Du cuir chevelu, T2.2
 - Du duodénum, 291, 293
 - Du foie, 290–291
- Du genou
 - Descendante, 491, 503
 - Rameau articulaire, 490
 - Rameau saphène, 490
 - Inféro-médiale, 490–491, 503, 508–509, 511–512
 - Moyenne, 503
 - Supéro-latérale, 492, 503, 507–512
 - Supéro-médiale, 490–492, 503, 507–509, 511–512
- Du gros intestin, 295
- Du ligament rond, 382
- Du nœud sinu-atrial (SA), 229
- Du pancréas, 291, 293
- Du pénis, T6.2
- Du périnée, 386
 - Chez l'homme, 387
- Du pied, dorsale, 503, 521–522
- Du pont, 150–151, 154
 - Et basilaire, 152
- Du rectum, 380
- Du sillon
 - Central, 153
 - Précentral, 153
 - Préfrontal, 153
- Épigastrique
 - Inférieure, 266–268, 317, 347, 380, 382, 503
 - Branches crémastérique, 256, 266
 - Branches pubienne, 256, 266, 348
 - Superficielle, 254, 258, 266, 503
 - Supérieure, 194–197, 215, 258–259
- Épisclérale, 103
- Ethmoïdale
 - Antérieure, 20, 99
 - Rameau méningé antérieur, 112
 - Postérieure, 20, 99, 112
 - Rameaux nasal latéral, 47

Artère (Suite)

- Rameaux nasal septal, 47
- Faciale, 10, 38, 41–42, 49, 53, 57–58, 68, 76, 83–84, 88, 99, 142, 144, 147, 149
 - Pouls, 4
- Rameau tonsillaire, 72
- Transverse, 10, 41–42, 53, 58, 83, 99
- Fémorale, 4, 258, 266, 362, 400–401, 475, 483, 490, 495–496, 503
 - Circonflexe
 - Latérale, 490–491, 495, 503
 - Médiale, 491–492, 495, 503
 - Pouls, 4
 - Profonde de la cuisse, 4, 401
- Rameaux
 - Musculaires, 503
 - Perforants, 503
- Trigone fémoral, T8.2
- Fibulaire, 4, 110–111, 503, 507–509, 513–514
 - Branche calcanéenne, 508
 - Latérale, 509
- Rameau
 - Communicant, 509
 - Malléolaire postéro-latéral, 509
 - Perforant, 503, 509, 512, 521–522
- Frontale, 10
- Fronto-basale
 - Latérale, 150, 153
 - Médiale, 148, 150, 152–153
- Fronto-polaire, 152–153
- Gastrique
 - Droite, 279, 287, 290–291, 301–303
 - Gauche, 240, 273, 290, 300–301, 303, 392
 - Branche œsophagienne, 240, 290
- Gastro-duodénale, 279, 287, 291–293, 303–304, 309
- Gastro-épiplœique. *Voir artère gastro-omental* (*gastro-épiplœique*)
- Gastro-omental (gastro-épiplœique), 273, 290–291
 - Anastomose, 273
 - Gauche, 291
 - Plexus, 301–302
- Glutéale
 - Inférieure, 266, 317, 380, 384–385, 492
 - Supérieure, 266, 317, 380, 384–385, 489, 492
- Hépatique, 287
 - Branche, 286
 - Commune, 273, 275, 279, 287, 290–291, 293–294, 300, 303, 309
 - Droite, 290
 - Gauche, 290–291
 - Intermédiaire, 291
 - Propre, 274, 278–279, 284–285, 288, 290–293, 303, 324, 329
- Hypophysaire
 - Inférieure, 148, 151
 - Supérieure, 148, 151
- Hypothalamique, 151
- Iléale, 294–295
- Iléo-colique, 280, 294, 305, 316
- Iliaque
 - Circonflexe profonde, 491, 503
 - Branche ascendante, 258, 266
 - Circonflexe superficielle, 254, 266, 503
 - Commune, 4, 300, 311, 316–317, 380, 382, 384–385, 394
 - Droite, 384
 - Gauche, 384
 - Externe, 4, 108–109, 266, 300, 311, 316, 353, 380, 382, 384, 394, 491, 503
 - Interne, 4, 266, 293, 295, 300, 311, 316–317, 356, 380, 382, 384, 394
- Ilio-lombale, 266, 317, 384–385
- Inférieure du vermis, 154
- Infra-hyoïdienne, 87
- Infra-orbitaire, 10, 42, 57, 63, 83, 94, 99

Artère (Suite)

- Intercostale, 197, 258
- Antérieure, 196–197
 - Branches collatérales, 196
 - Inférieure, anastomoses, 258
 - Postérieure, 176, 194–195, 197, 234–235, 417
 - Branche cutanée latérale, 189, 197
 - Branche dorsale, 177, 197
 - Branche spinale, 197
 - Droite, 197, 211, 240
 - Suprême, 147, 149
- Interosseuse
 - Antérieure, 424, 435, 437–438, 441
 - Commune, 424, 437–438, 441
 - Postérieure, 424, 435, 438, 441
 - Récurrente, 424, 435
- Interventriculaire antérieure, branche diagonale, 222
- Intestinale, T5.2
- Intra-rénale, 315
- Jéjunale, 294–295
 - Anse anastomotique (arcade), 279, 294
- Labiale
 - Inférieure, 42, 83
 - Postérieure, 361, 386
 - Supérieure, 42, 83
- Labyrinthique, 20, 107, 147, 150–152, 154
- Lacrymale, 99, 149
 - Branche méningée récurrente, 112
- Laryngée
 - Inférieure, 92
 - Supérieure, 41, 80, 83, 87–89, 92, 147
- Linguale, 10, 41, 57–58, 68, 70, 83, 88, 144, 147, 149
 - Dorsale, 70
 - Rameau tonsillaire, 72
 - Profonde, 65
- Lombale, 176, 266
- Malléolaire
 - Antéro-latérale, 503, 512, 521–522
 - Antéro-médiale, 503, 512, 521–522
- Marginale, T5.2, 294–295, 380
 - Droite, 222–223
 - Gauche, 222
- Massétérique, 55–58, 60, 83
- Maxillaire, 25, 41, 47, 55–60, 63, 82–83, 107, 112, 142, 144–145, 147, 149
 - Artère nasale postéro-latérale, 57
 - Partie proximale, 58
- Médullaire segmentaire, T3.1, 149, 176–178
- Méningée, 112
 - Accessoire, 19–20, 57, 60, 112
 - Antérieure, 99
 - Moyenne, T2.3, 20, 25, 56–60, 82–83, 107, 111–113, 115, 142, 147–149
 - Branche accessoire, 107
 - Gauche, 147
 - Rameaux, 113
 - Rameaux frontal et pariétal, 112
 - Postérieure, 20, 148
 - Dans le foramen mastoïdien, 19
- Mésentérique
 - Inférieure, 4, 271, 295, 311, 313, 316–317, 380, 382–383, 392
 - Supérieure, T5.2, 4, 185, 233, 271, 276, 279–280, 291–295, 297, 303–304, 311, 313, 316–317, 324, 327, 331, 392
- Métacarpienne
 - Dorsale, 459, 512, 521–522, 527
 - Branches perforantes antérieures vers, 526
 - Palmaire, 424, 455
- Musculaire, 103–104
- Musculo-phrénique, 195–196, 204, 215, 258
- Mylo-hyoïdienne, 57
- Nasale
 - Externe, 10, 42, 57, 83, 99, 149

Artère (Suite)

Latérale, 42
Nourricière du fémur, 495
Obturatrice, 266, 317, 346–347, 380, 382, 384–385, 392, 400, 477, 495, 503
Accessoire, 380, 384
Branche
Acétabulaire, 477, 495
Antérieure, 477
Postérieure, 477
Occipitale, 10, 41, 76, 83–84, 112, 147, 149, 184
Branche descendante, 41, 184
Médiale, 153
Rameau
Mastoiïdien, 112, 147
Méningé, 10
Sterno-cléïdo-mastoiïdien, 41
Sillon, 17
Œsophagienne, 211
Ombilicale, 233, 256, 317, 380, 382, 384–385
Oblitérée, 357
Gauche, 256
Partie
Distale oblitérée, 384
Oblitérée, 344, 347–348, 384
Perméable, 266
Ophtalmique, T2.2, 20, 57, 64, 99, 143, 147–149, 151, 154
Ovarique. *Voir aussi artère testiculaire*, 382, 394, 397
Palatine
Ascendante, 57, 72, 83
Rameau tonsillaire, 72
Descendante, 63–64, 83
Grande, 47, 57, 63–64, 67
Petite, 47, 57, 63–64, 67, 72
Rameau tonsillaire, 72
Palpébrale
Inféro-latérale, 99
Inféro-médiale, 99
Latérale, 99
Médiale, 99
Supéro-latérale, 99
Supéro-médiale, 99
Pancréatico-duodénale
Antéro-supérieure, 273, 290–291, 293–294, 303
Inférieure, 291, 293–295, 304
Inféro-antérieure, 291, 293, 303
Inféro-postérieure, 291, 293, 303
Supéro-postérieure, 290–291, 293, 303
Pancréatique, 291
Dorsale, 290–291, 294
Grande, 291
Inférieure, 291, 293–294
Paracentrale, 152–153
Pariétale, 10
Antérieure, 152–153
Postérieure, 152–153
Perforante
1^{ère}, 492
2^e, 492
3^e, 492
4^e, 492
Péricalleuse, 152–153
Péricardiaco-phrénique, 196, 210, 215–216, 220, 234–235, 258
Droite, 199
Gauche, 199–200
Périnéale, 353, 361, 385–387
Transverse, 387
Pétreuse superficielle, 107
Pharyngienne, 57, 63
Ascendante, 41, 57, 64, 76, 83, 107, 147, 149
Rameau méningé, 20, 112, 147
Rameau pharyngien, 72

Artère (Suite)

Rameau tonsillaire, 72
Phrénique inférieure, 236, 240, 266, 273, 290, 300–301, 322–323, 392
Gauche, 243
Plantaire
Digitale, 521–523, 527
Commune, 525, 527
Latérale, 509, 513, 520, 525–527
Rameau métatarsien plantaire, 524
Médiale, 509, 513, 520, 523, 525–526
Branche profonde, 525–526
Branche superficielle, 523–526
Métatarsienne, 524, 526–527
Rameaux perforants antérieurs, 522
Profonde, 503, 512, 521, 527
Poplitée, 4, 492, 503, 507–509, 513
Du genou, dans la fosse poplitée, T8.2
Pouls, 4
Précunéaire, 153
Préfrontale, 150, 152
Principale du pouce, 424
Profonde
De la cuisse, 483, 490–491, 495–496, 503
Du bras, 417, 419, 422–425
Du clitoris, 386
Du pénis, 363, 365, 387
Ptérygoïdienne, 57
Latérale, 57
Médiale, 57
Pudendale, 361
Externe
Profonde, 258, 266, 503
Superficielle, 258, 266, 503
Interne, 266, 317, 361, 365, 380, 384–387, 400, 489
Dans le canal pudendal (d'Alcock), 386
Pulmonaire, T4.2, T4.1
Droite, 205, 210, 216, 218, 224–225, 233–234, 244, 247–248
Gauche, 205, 210, 216–217, 225, 233, 235, 244, 247
Radiale, T7.2, 4, 423–424, 435–438, 441, 444, 450, 452, 455–457, 459–460
Branche
Carpienne dorsale, 457
Palmaire superficielle, 424, 437–438, 444, 450, 455–456
De l'index, 424
Pouls, 4
Récurrenente, 423, 437–438
Radiculaire
Antérieure, 176–177
Postérieure, 177
Rectale
Inférieure, 295, 380, 384–387
Moyenne, 266, 295, 316, 347, 380, 382, 384–385
Supérieure, 266, 295, 300, 305–306, 316, 347, 380, 382, 392
Recto-sigmoïdienne, 380
Récurrenente
De Heubner, 150–153
Tibiale
Antérieure, 503, 512
Postérieure, 503, 509
Ulnaire
Antérieure, 424, 437–438
Postérieure, 424, 434–435, 438
Rénale, 4, 317, 321, 382, 399
Droite, 266, 292, 300, 303, 310, 313
Gauche, 266, 292, 305, 323, 392
In situ, 313
Rétinienne, 103
Centrale, 99–100, 103–104
Sacrale
Latérale, 176, 266, 317, 384–385
Branches spinales, 176

Artère (Suite)

Médiane, 266, 293, 295, 317, 347, 380, 384–385
Scapulaire
Circonflexe, T7.2, 417–419, 421, 424
Dorsale, T7.2, 39–40, 179, 418–419
Scrotale postérieure, 385, 387
Sigmoïdienne, 266, 293, 295, 305, 316, 380
Sphéno-palatine, 47, 57, 63, 83
Dans la fosse incisive, 19
Rameau
Nasal postéro-latéral, 47, 63
Septal postérieur, 47, 57
Spinale
Antérieure, 149–150, 152, 154, 176–177
Anses anastomotiques avec l', 176
Postérieure, 150, 152, 176–177
Anses anastomotiques avec l', 176
Droite, 177
Gauche, 154, 177
Splénique, 217, 289–291, 293–294, 300–301, 303, 309–310, 329
Branches spléniques, 290
Striée médiale longue, 148, 150–153
Stylo-mastoiïdienne, 76, 107
Branche
Stapédienne, 107
Tympanique postérieure, 107
Subclavière, 4, 37, 39–40, 76, 82–84, 87, 89, 141, 147, 149, 176, 189,
Droite, 88, 137, 179, 210, 234
Gauche, 88, 179, 210, 217–218, 235, 245
Sillon, 205
Sublinguale, 53, 70
Submentonnaire, 57, 83
Subscapulaire, 417–419, 424
Supra-duodénale, 290–291, 293–294
Supra-hyoïdienne, 70, 83
Supra-orbitaire, 10, 42, 57, 94, 99, 149
Supra-scapulaire, T7.2, 39–40, 87–89, 149, 417–419
Supra-trochléaire, 10, 42, 57, 94, 99, 149
Surrénale
Inférieure, 266, 323
Moyenne, 266, 313, 323
Supérieure, 266, 313, 323
Gauche, 201
Tarsienne
Latérale, 503, 512, 521, 527
Médiale, 503, 512, 521–522, 527
Temporale
Antérieure, 153
Moyenne, 10, 111, 153
Polaire, 153
Postérieure, 153
Profonde, 58, 83, 111
Antérieure, 57, 60
Postérieure, 13, 57, 60
Superficielle, 41–42, 49, 53, 57–58, 60, 63, 76, 82–84, 107, 111–112, 145, 147, 149
Rameau pariétal et frontal, 10, 99, 111
Tentorielle, 115
Testiculaire, 266, 300, 311, 313, 369, 385, 391, 398
Thalamo-striée
Postérieure, 151, 154
Thalamo-tubérale, 151
Thoracique
Inférieure, branche œsophagienne, 240
Interne, 88, 149, 189, 196–197, 204, 210, 215–216, 220, 236, 246–248, 258, 418
Branches intercostales antérieures, 195
Branches perforantes, 189, 194, 196, 417
Droite, 199–200, 234
Gauche, 199–200, 235
Rameaux mammaires latéraux, 189
Latérale, 189, 194–195, 258, 417–419, 424
Supérieure, 195, 417–419, 424

Artère (Suite)

- Thoraco-acromiale, 194–195, 416, 418–419, 424
 - Branche
 - Acromiale, 418–419, 424
 - Claviculaire, 418–419, 424
 - Détoïdienne, 413, 418–419, 424
 - Pectorale, 418–419, 424
- Thoraco-dorsale, 417–419, 424
- Thyroïdienne
 - Inférieure, 40–41, 76, 87–89, 147, 149, 230, 418
 - Supérieure
 - Branche laryngée supérieure, 41
- Tibiale, 514
 - Antérieure, 4, 503, 509, 512–514, 521–522
 - Dans le tunnel tarsien en arrière de la malléole médiale, T8.2
 - Postérieure, 4, 503, 507–509, 513–514, 520, 524–525
 - Branches malléolaires médiales, 513
 - Pouls, 4
 - Rameau malléolaire postéro-médial, 509
 - Rameaux calcanéens médiaux, 523
- Tonsillaire, 57, 83
- Tympanique
 - Antérieure, 57–58, 60, 107, 149
 - Inférieure, 64, 107
 - Supérieure, 60
- Ulnaire, 4, 423, 436–438, 441, 444, 449–450, 452, 456, 463
 - Branche
 - Carpienne dorsale, 459
 - Carpienne palmaire, 438, 455
 - Palmaire profonde, 424, 437, 444, 449–450, 455–456, 463
 - Profonde, 444
 - Pouls, 4
- Urétrale, 365, 387
- Uterine, T6.2, 316–317, 356–357, 382, 384
 - Branches, 386
 - Vaginales, 386
- Ligament cardinal, de Mackenrodt, cervical latéral, 347
- Vaginale, 353, 357, 382, 384, 386
 - Inférieure, 347, 350
- Uréter gauche, 356
- Vertébrale, 19–20, 29, 39–40, 76, 82, 88–89, 141, 149–152, 176, 179, 184, 230, 240, 418
 - Branches méningées, 20
 - Dans le foramen magnum, 19
 - Droite, 147, 179
 - Gauche, 147, 154, 179
 - Partie cervicale, 147
 - Plexus veineux, 179
 - Rameau méningé
 - Antérieur, 112, 147, 154
 - Postérieur, 112, 147, 154
- Vésicale
 - Inférieure, 266, 316, 350, 380, 382–385
 - Branches prostatiques, 385
 - Supérieure, 256, 317, 347, 380, 382, 384–385
- Zygomatofaciaire, 10, 99
- Zygomatofaciale, 10, 99
- Zygomatofaciale, 10

Artérol

- Interlobulaire, 314
- Intra-lobulaire, 286
- Maculaire
 - Inférieure, 103
 - Supérieure, 103
- Nasale de la rétine
 - Inférieure, 103
 - Supérieure, 103
- Peri-portale, 286

Artérol (Suite)

- Portale, 286
- Temporale
 - De la rétine
 - Inférieure, 103
 - Supérieure, 103
 - Inférieure, 103
 - Supérieure, 103
- Articulation**
 - Acromio-claviculaire, 412, 415
 - Capsule, 412
 - Atlanto-axoïdienne
 - Latérale, 29
 - Capsule, 29–30
 - Médiane, 30
 - Atlanto-occipitale, capsule, 29–30
 - Carpo-métacarpienne, 443, 445
 - Chondro-costale, 193
 - Costo-transversaire, 245
 - Crico-thyroïdienne, 90, 93
 - Gléno-humérale, 470
 - Capsule, 422
 - Intercarpienne, 443, 445
 - Interchondrale, 193
 - Intermétacarpienne, 445
 - Interphalangienne proximale (IPP), 402, 447–448
 - Interphalangienne (IP), 519
 - Interphalangienne distale (IPD), 402, 447–448
 - Manubrio-sternale, 193
 - Métacarpo-phalangienne (MP), 448, 519
 - Radio-carpienne, 443, 445
 - Disque articulaire, 443, 445
 - Radio-ulnaire distale, 445
 - Sacro-iliaque, 342, 478
 - Mesures, 336
 - Radiographie, 165, 335
 - Sterno-claviculaire, 202, 245, 408
 - Sterno-costale, 408
 - Vue
 - Antérieure, 193
 - Latérale gauche, 193
 - Postéro-latérale droite, 193
 - Tarso-métatarsienne, 515
 - Temporo-mandibulaire, T2.1, 25, 56
 - Capsule, 58, 60
 - Articulaire, 25
 - Disque articulaire, 55–56
 - Unco-vertébrale, 28
 - Zygapophysaire, 29, 248
 - Capsule, 29–30, 168
- Astérion**, 13
- Atlas (C1)**, 22, 28–30, 169
 - Arc
 - Antérieur, 14, 26, 28, 77
 - Imagerie, 160
 - Postérieur, 26, 184
 - Dent, fossette articulaire pour, 26
 - Foramen vertébral, 26
 - Ligament transversaire, 26, 30
 - Tubercule, 26
 - Masse latérale, 12, 26
 - Processus transversaire, 26, 29, 37, 182
 - Sillon de l'artère vertébrale, 26
 - Surface articulaire supérieure, 26
 - Tubercule
 - Antérieur, 26, 28, 30
 - Postérieur, 26, 181, 182
 - Vue
 - Antérieure, 162
 - Inférieure, 26
 - Latérale gauche, 162
 - Postérieure, 162
 - Supérieure, 26
- Atrium**, 228
 - Droit, 216, 218–221, 227–228, 234, 244, 248
 - Gauche, 217–220, 224–225, 227–228, 244, 248

Atrium (Suite)

- Veine oblique (de Marshall), 218–219, 222, 255
- Auricule (appendice atrial)**, 14, 105, 110
 - Conque, 106
 - Droit, 216, 224, 228
 - Gauche, 56–57, 216, 218–219, 222–223, 225, 228–229
 - Lobule, 106
- Auscultation**
 - Du cœur, 217
- Avant-bras**
 - Coupes transversales sériées, 441
 - Muscles
 - Antérieurs, T7.1
 - Couche
 - Intermédiaire, 437
 - Profonde, 435, 438
 - Superficielle, 434, 436
 - Extenseurs du poignet et des doigts, 431
 - Fléchisseurs
 - Des doigts, 433
 - Du poignet, 432
 - Insertions des, 439–440
 - Postérieurs, T7.1
 - Rotateurs du radius, 430
 - Nerf
 - Cutané, 406
 - Radial, 469
 - Os, 429
 - Partie proximale, artères, 424
 - Veines superficielles, 406
- Axis (C2)**, 22, 28–30, 169
 - Corps, 26, 29
 - Vertébral, imagerie, 160
 - Dent, 12, 14, 26, 28, 77
 - Pédicule, 26
 - Processus
 - Articulaire, 26
 - Épineux, 26, 180, 182
 - Transverse, 26
 - Tubercule postérieur, 37
 - Surface articulaire inférieure de la masse latérale, 26
 - Vue
 - Antérieure, 26, 162
 - Latérale gauche, 162
 - Postérieure, 162
 - Postéro-supérieure, 26
- B**
- Base du crâne**
 - Foramens et canaux
 - Vue inférieure, 19
 - Vue supérieure, 20
 - Nerfs, 64
 - Vaisseaux, 64
 - Vue
 - Inférieure, 17
 - Supérieure, 18
- Bâtonnets**, 131
- Bifurcation**. Voir *tronc pulmonaire*
- Bord**
 - Acétabulaire, 337–338, 342
 - Infra-orbitaire, 8
 - Supra-orbitaire, 12
- Bourgeon épithélial**, 370
- Bourrelet**
 - Glénoïdal (labrum), 412, 470
 - graisseux, 235, 428
 - infra-patellaire, 498–499, 502
 - Latéral, 370
- Bourse**
 - Ansérine, 498
 - Sous les tendons du semi-tendineux, du gracile et du sartorius, 497
 - Calcanéenne, sous-cutanée, 520

Bourse (Suite)

- Ilio-pectinée, 477, 486
- Infra-patellaire
 - Profonde, 502
 - Sous-cutanée, 502
- Omentale, 274, 324
 - Coupe transversale, 274
 - Estomac récliné, 273
 - Récessus supérieur, 284, 324
- Sciatique
 - Du muscle
 - Grand glutéal, 494
 - Obturateur interne, 494
- Semi-membraneuse, 497, 502
- Sous-cutanée, 520
 - Malléole latérale, 520
 - Olécrânienne, 428
 - Prépatellaire, 502
- Subacromiale, 412, 421
- Subdeltoidienne, 412
- Subtendineuse, 502, 520
 - Du muscle subscapulaire, 412
- Synoviale supra-patellaire, 498-499, 502
- Trochantérique
 - Du muscle grand glutéal, 494
 - Extension inférieure, 494
 - Du muscle moyen glutéal, 494

Branche

- Acétabulaire, 495
- Capsulaire perforante, 315
- Cardiaque, 172
- Cervico-faciale, 54
- Coeliaque, 392
- Commune, 109
- Cutanée postérieure, 183
- De l'ischium, 478
- Interventriculaire
 - Antérieure, 223
 - Branches diagonales, 223
 - Inférieure, 223
- Ischio-pubienne, 337-338, 343, 349, 353, 359-360, 362, 364-366, 377
- Musculaire, 509
- Pubienne, T6.1
 - Inférieure, 250, 334, 341, 345, 352, 476-478, 486, 534
 - Supérieure, 250, 334, 337-338, 345, 349, 364, 476-478, 486, 489, 534
 - Radiographie, 335
- Scrotale postérieure, 395
- Septale interventriculaire, 222
- Spinale, 177
- Temporo-faciale, 54
- Tubaire
 - De l'artère utérine, 386
 - Des vaisseaux ovariens, 386
- Urétérique moyenne, 320

Bras

- Artères, 424
- Coupes transversales sériées, 425
- Muscles
 - Vues antérieures, 421
 - Vues postérieures, 422
- Nerf radial, 468

Bregma, 16**Bronches, 173, 208-209**

- Division supérieure, 208
 - Antérieure, 209
 - Apico-postérieure, 209
- Extra-pulmonaire, 208
- Innervation, 172
- Intermédiaire, 205
- Intra-pulmonaire, 208
- Lingulaire, 208-209
 - Inférieure, 209
 - Supérieure, 209

Bronches (Suite)

- Lobaire
 - Inférieure, 208
 - Basale antérieure, 209
 - Basale antéro-médiale, 209
 - Basale latérale, 209
 - Basale médiale, 209
 - Basale postérieure, 209
- Moyenne, 208
 - Latérales, 209
 - Médiale, 209
 - Supérieure, 208
 - Antérieure, 209
 - Apicale, 209
 - Droite, 210
 - Postérieure, 209
- Nomenclature, schéma, 209
- Principale, 208
 - Droite, 208, 211, 217, 220, 234, 236, 244, 247
 - Gauche, 205, 208, 210-211, 220, 235-238, 247
- Bulbe, 46, 50, 118, 130**
 - Duodénal, 277, 279
- Oculaire, 50
 - Chambre postérieure, 101
 - Coupe transversale, 100
 - Imagerie, 160
- Olfactif
 - Controlatéral, 130
- Supérieur, dans la fosse jugulaire, 19
- Bulle ethmoïdale, 43-44**

C**Cæcum, 137, 270, 272, 282-283, 344, 348**

- Pli vasculaire, 280

Calcar avis, 122-123**Calicules gustatifs, 71****Calvaria, 113**

- Vue inférieure, 16
- Vue supérieure, 16

Canal

- Anal, 375
- Carotidien, 17, 19-20
- Condylaire, 17, 20
- Central, 128
 - De la moelle spinale, 120, 125
- De Schlemm, 101, 103-104
- De Wolff, 368, 371
- Facial, 135
 - Proéminence, 106
- Fémoral, 475
 - Nœud lymphatique (de Cloquet), 264
- Hyaloidien, 100
- Hypoglosse, 15, 17, 19-20
- Inguinal, 263-264
- Incisif, 15, 43, 45-46, 48, 77
 - Anastomose dans le, 57
- Lacrymo-nasal, ouverture, 44
- Naso-frontal, ouverture, 44, 51
- Obturateur, 338-340, 342, 346-347, 350, 384, 491
- Optique, 11, 15, 20
- Ptérygoïdien
 - Artère, 57, 63-64, 107, 148
 - Nerf (vidien), 46, 48, 61-62, 64, 107, 133-134, 136, 142, 144, 146
- Pudendal (d'Alcock), 374, 380-381, 387, 393
 - Artère pudendale interne dans le, 384, 386
 - Nerf pudendal dans le, 387
 - Vaisseaux pudendaux internes dans le, 387, 395
- Pylorique, 329
- Sacral, 166, 342
- Semi-circulaire
 - Antérieur, 64, 108-109
 - Plan, 110

Canal (Suite)

- Latéral, 108-110
 - Proéminence, 105
 - Postérieur, 108-109
 - Plan, 110
- Vertébral, 163-164, 326

Canalicule

- Lacrymal, 95
- Mastoidien, 17, 19
- Tympanique inférieur, 17, 19

Canine, 73-74**Capitatum, 442-443, 445-447, 452****Capitulum, 409-410, 426-427****Capsule**

- Articulaire, 428, 448, 497, 499, 511
 - Du pied, 519
 - Ilio-fémorale, 495
 - Insertion, 502
 - Ischio-fémorale, 495
- De tenon, 100
- Externe, 121
 - Imagerie, 160
- Extrême, 121
- Fibreuse, 289
 - Périvasculaire (de Glisson), 285
- Interne, 119, 121, 152
 - Bras antérieur, 121
 - Imagerie, 160
 - Bras postérieur, 121
 - Imagerie, 160
 - Espace pour, 121
 - Genou, 121
 - Imagerie, 160
 - Partie rétro-lenticulaire, 121

Capsule**Carina, 212****Caroncule**

- Hyménéale, 353, 358
- Lacrymale, 95

Cartilage

- Alaire
 - Grand, 42, 44-45, 49
 - Branche latérale, 42, 45
 - Branche médiale, 42
- Articulaire, 428, 460-461, 477
- Aryténoïde, 90
 - Processus musculaire, 90-91
 - Processus vocal, 90-91
- Auriculaire, 49
- Corniculé, 90
- Costal, 191, 193, 202, 250, 328, 408
 - Cinquième, 200
 - Gauche, 220
 - Deuxième, 247
 - Septième, 204
 - Sixième, 413
- Cricoïde, 21-22, 32, 35, 77-78, 81, 87, 90-92, 202, 208, 210, 237-238
 - Arc, 90
 - Face postérieure, 238
 - Lame, 80, 90-91
 - Proéminence de la lame, 79
 - Surface articulaire aryténoïdienne, 90
- Du larynx, 90
- Du septum nasal, 42, 45, 49
 - Processus latéral, 42, 44-45
- Et plateau vertébral, 168
- Nasal accessoire, 42
- Thyroïde, T2.1, 8, 22, 32, 35, 38, 77-78, 80-81, 87, 92, 202, 208, 210, 237-238
 - Corne
 - Inférieure, 90
 - Supérieure, 75, 80-81, 90
 - Lame, 90-91
 - Bord postérieur, 75
 - Ligne oblique, 35
 - Trachéal, 208
 - Triticé, 90

Caudal, termes de rapport, 1

Cavité

- Articulaire, 193, 460–461, 502
 - De l'articulation sternoclaviculaire, 408
- Du septum pellucidum, 111
- Glénoïdale, de l'épaule, 192, 409, 411–412, 470
- Infra-glottique, 92
- Nasale, 52, 95
 - Artères, 47
 - Fibres postsynaptiques, 62
 - Innervation autonome, 62
 - Nerfs, 46, 48
 - Os, 52
 - Paroi
 - Latérale, 43–44, 46
 - Médiale, 45
- Orale, 45, 50, 77
 - Examen, 65
 - Innervation afférente, 66
 - Plancher, 69
 - Voûte, 67
- Pelvienne
 - Produit de contraste dans la, 357
- Péricardique, 220
- Péritonéale, 271–275
- Pleurale, 220
 - Récessus costo-médiastinal, 202–203, 234–235
 - Droit, 200
 - Gauche, 200
- Synoviale, 30
- Tympanique, 62, 105–107, 109, 135–136
- Utérine, produit de contraste, 357

Cellule

- Amacrines, 131
- Bi-polaires, 131
- Ciliée
 - Externe, 109
 - Interne, 109
- Des piliers externe et interne, 109
- Ethmoïdale, 50–51
 - Antérieure, 98
 - Moyenne, ouverture, 43–44
 - Postérieure, ouverture, 44
- Étoilée, 130
- Ganglionnaire, 131
- Horizontale, 131
- Mastoïdienne, 12, 14, 49, 64, 107
- Mitrale, 130
- Olfactive, 130
 - Du bulbe, 130
- périglomérulaire, 130
- Pigmentaire, 131

Centre tendineux, du diaphragme, 200

Cercle artériel du cerveau (de Willis), T2.3, 150–151

Cerveau, 6, 50

- Artères, 147
 - Coupe, 152
 - Schéma, 149
 - Vue
 - Frontale, 152
 - Inférieure, 150
 - Latérale, 153
 - Médiale, 153
- Bord inférieur, 118
- Lobe
 - Frontal, 116
 - Occipital, 116
 - Pariétal, 116
 - Temporal, 116
- Pôle
 - Frontal, 116, 118
 - Occipital, 116, 118
 - Temporal, 116, 118
- Veines
 - Profondes, 156

Cerveau (Suite)

- Sous-épendymaires, 157
- Ventricules, 119
- Vue
 - Inférieure, 118
 - Latérale, 116
 - Médiale, 117
- Cervelet**, 110, 117, 122, 125–126, 157
 - Fissure
 - Horizontale, 126
 - Postéro-latérale, 126
 - Primaire, 126
 - Rétro-tonsillaire, 126
 - Secondaire, 126
 - Flocculus, 124, 126
 - Imagerie, 160
 - Lobe
 - Antérieur, 126
 - Flocculo-nodulaire, 126
 - Postérieur, 126
 - Lobule
 - Digastrique, 126
 - Quadrangulaire, 126
 - Semi-lunaire
 - Inférieur, 126
 - Supérieur, 126
 - Simplex, 126
 - Quatrième ventricule, 126
 - Tonsille cérébelleuse, 126
- Vermis, 125
 - Culmen, 125
 - Déclive, 125
 - Folium, 125
 - Lingula, 125
 - Lobule central, 125
 - Nodule, 125
 - Pyramide, 125
 - Tuber, 125
 - Uvule, 125
- Voile médullaire
 - Inférieur, 126
 - Supérieur, 126

Lobule

- Digastrique, 126
- Quadrangulaire, 126
- Semi-lunaire
 - Inférieur, 126
 - Supérieur, 126
- Simplex, 126
- Quatrième ventricule, 126
- Tonsille cérébelleuse, 126

Vermis, 125

- Culmen, 125
- Déclive, 125
- Folium, 125
- Lingula, 125
- Lobule central, 125
- Nodule, 125
- Pyramide, 125
- Tuber, 125
- Uvule, 125

Voile médullaire

- Inférieur, 126
- Supérieur, 126

Chambre

- Antérieure
 - De l'œil, 94, 100, 102–103
 - Du bulbe, 101
- Postérieure
 - De l'œil, 94, 100, 102–103
 - Du bulbe, 101
- Vitrée, 103

Chef

- Claviculaire, du muscle sterno-cléido-mastoïdien, 8
- Sternal, du muscle sterno-cléido-mastoïdien, 8

Cheville, T8.1

- Gaines tendineuses, 520
- Ligaments, 518
- Radiographie, 535
- Tendons, 518

Chiasma

- De Camper, 451
- Optique, 50, 115, 117–118, 124, 131, 148, 151–152, 156–158
- Imagerie, 160

Choanes, 17, 23, 43, 45, 56, 67, 75, 79

Choroïde, 100, 103

Cils, 94

Circulation sanguine, pré- et post-natale, 233

Citerne

- Cérébello-médullaire, postérieure, 120
- Chiasmatique, 120
- Du chyle, 7, 268, 300, 325
- Interpédonculaire, 120
- Prépontique, 120
- Quadrigéminal, 120

Clastrum, 121

Clavicule, T7.1, 4–5, 8, 31–32, 34–36, 38, 187–188, 191, 193–196, 202–204, 217, 221, 234–235, 245, 402, 408–416, 418–419, 470

Extrémité

- Acromiale, 408
- Sternale, 408

Surface

- Acromiale, 408
- Articulaire sternale, 408
- Tubercule conoïde, 408

Clitoris, 360–361, 377

Artère

- Dorsale, 386
- Profonde, 361, 386
- Branche profonde du nerf périméneal, 361
- Corps, 345, 370
- Frein, 358
- Gland, 358, 370
- Ligament suspenseur, 359–361
- Nerf dorsal, 395–396, 487
- Pilier, 345, 352–353, 356, 360–361
- Prépuce, 356, 358
- Veine dorsale profonde, 339–341, 345, 347, 350, 361

Clivus, 18, 30

Imagerie, 160

Coccyx, 166–167, 169–170, 250, 334, 337–340, 360, 373

- Apex, 341, 343, 362, 364, 377, 400
- Mesures, 336
- Processus transverse, 166

Vue

- Antérieure, 162
- Latérale, 162
- Postérieure, 162

Cochlée, 64, 108, 110

- Aqueduc, 109
- Coupe à travers une spire, 109
- Cupule, 108
- Hélicotréma, 105, 108–109
- Modiolus, 109
- Osseuse, 109
- Rampe
 - Tympanique, 105
 - Vestibulaire, 105

Trajet des sons, 105

Cœur, 137, 173

- Apex, 216, 218, 248
- Auscultation, 217
- Base et face diaphragmatique, 218
- Bord
 - Droit, 202
 - Gauche, 202, 216
 - Inférieur, 216
- Imagerie, 217
- In situ*, 215–233
- Innervation, 172, 231
- Radiographie, 217
- Système de conduction, 229
- Valves du squelette fibreux du cœur, 226–227
- Vue antérieure, 216

Col, T6.1, 354, 397

- De la scapula, 192
- De l'utérus, 345–347, 353, 355–356

Collagène

- Lamelles de l'anneau fibreux, 168

Collicule facial, 125

Colliculus

- Inférieur, 117, 122, 124–125
 - Bras, 122
 - Gauche, 155
- Séminal, 352, 366
- Supérieur, T2.2, 117–118, 122, 124–125, 127, 143, 154
 - Bras, 122
 - Gauche, 155

Collier d'Helvétius, 239

Colon, T5.1

- Aire, 311
- Angle splénique, 282
- Ascendant, 137, 270, 272, 278, 311, 330, 344, 348
- Descendant, 173, 271, 278, 283, 311, 327, 330–331, 344, 348, 392
- Innervation, 172
- Muscle circulaire, 281
- Sigmoïde, 344, 346, 348, 356, 373–376, 392, 394
- Innervation, 172–173, 270, 272, 283, 344, 346, 348, 356, 373–376, 392, 394
- Transverse, 270–272, 274, 278, 283, 287–289, 295, 297, 330–331

Colonne

- Cellulaire intermédio-latérale, 322
- Rénale (de Bertin), 314
- Vertébrale, 162
- Veines, 178–179

Commissure

- Antérieure, 117, 125, 130, 157–158
- Des lèvres, 8
- Des valves semi-lunaires, 227
- Habénulaire, 117, 122, 125
- Postérieure, 117, 122, 125, 370

Complexe olivaire inférieur, 128**Conduit**

- Artériel, 233
- Bilaire, 137, 173, 286
- Communs, 274, 278–279, 284–285, 287, 290–293, 329
- Sphincter, 287
- Extra-hépatiques, 287
- Innervation, 172
- Bulbo-urétral, 366–367
- Cochléaire, 108–110
- Cystique, 284, 287–288, 290–291
- De Gartner, 371
- De Müller, 371
- De Skène
- Ostium, 358
- Déférent, T6.2., 256, 262, 264, 266, 348–349, 352, 366, 368–369, 371–373, 385, 391–392, 398, 475
- Ampoule, 366
- Artères, 266, 369, 380, 383, 385
- Recouverts du péritoine, 263
- Éjaculateur, 366–367, 371
- Dans l'urètre prostatique, 400
- Endolymphatique, 20, 108
- Épididymaire, 372
- Glandulaire, 71
- Hépatique, 287
- Commun, 284, 287, 291
- Droit, 288
- Gauche, 288
- Lactifère, 188
- Lymphatique droit, 7, 191, 212
- Mésonéphrique (de Gartner)
- Crânial, 371
- Vestiges, 371
- Mésonéphrique (de Wolff), 368, 371
- Naso-lacrymal, 95
- Du nouveau-né, 52
- Ouverture, 43, 95
- Pancréatique, 287–288
- Accessoire (de Santorini), 279, 288
- Principal (de Wirsung), 279
- Sphincter, 287
- Para-mésonéphrique (de Müller), 371
- Para-urétral (de Skène), ostiums, 358
- Parotidien, 53–56, 83
- Prostatique, 366–367
- Semi-circulaire
- Antérieur, 108–110
- Ampoule, 135
- Latéral, 108–110

Conduit (Suite)

- Ampoule, 135
- Postérieur, 108–110
- Ampoule, 135
- Submandibulaire (de Wharton), 65, 68–70
- Systèmes de, du foie, 285
- Thoracique, T2.3, 7, 85, 195, 200, 204, 210, 212–213, 215, 220, 235–236, 241–242, 245–248, 268, 300, 324, 328
- Veineux, 233

Condyle

- De la fibula
- Latéral, 505
- Médial, 505
- Du fémur
- Latéral, 479, 498–501
- Médial, 479, 499–501
- Du tibia
- Latéral, 484, 504, 510
- Médial, 498
- Mandibulaire, 14
- Occipital, 15, 17–18, 23, 37, 139
- Surface articulaire supérieure de la masse latérale, 26

Cône, T3.1, 131, 169–170

- Artériel, 216, 224–226
- Élastique, 91–92
- Médullaire
- Radiographie, 165

Confluence des sinus, 110, 114–115, 155–156

- Imagerie, 159

Conjonctive, 104

- Bulbaire, 94, 100–101
- Palpébrale, 94
- Inférieure, 94
- Supérieure, 94

Connexions intertendineuses, 460**Cordages tendineux, 224–225, 227****Corde**

- Du tympan, 59–60, 82, 106–107, 133, 135, 142, 144–145
- Oblique, 429

Cordon

- Génital, 371
- Spermatique, 256, 263, 363–364, 400
- Fascia spermatique externe sur le, 262, 387
- Voies testiculaires, 383

Corne

- Coccygienne, 166
- Occipitale (postérieure), 120
- Postérieure, 174
- Sacrée, 166

Cornée, 94, 100–101, 103–104**Corne nasale**

- Inférieur, 11–12, 15, 23, 43–44, 49, 51, 79, 95
- Processus ethmoïdal, 44
- Variations avec l'âge, 52
- Moyen, 11, 15, 43–44, 51, 95
- Variations avec l'âge, 52
- Supérieur, 43–44

Corps

- Amygdaloïde, 121, 123, 130, 146
- Blanc, 355
- Calleux, 117, 122, 152, 154
- Branche dorsale droite, 154
- Corps, imagerie, 160
- Genou, 117–118, 121, 123, 157
- Imagerie, 160
- Rostrum, 117, 152, 156
- Imagerie, 160
- Sillon, 117
- Splénium, 117–118, 121, 123, 125, 154–157
- Imagerie, 160
- Tronc, 117, 152
- Veine dorsale, 155, 157
- Caverneux, T6.2, 349, 363, 365, 367
- Du pénis, 364
- Ciliaire, 100–103

Corps (Suite)

- Orbiculus ciliaire, 102
- Voies sanguines, 103
- Géniculé
- Latéral, 118, 121–122, 124, 127, 131, 143, 150, 154–156
- Médial, 118, 121–122, 124, 150, 154–156
- Graisseux supra-patellaire, 502
- Jaune, 355
- Mamillaire, 50, 117–119, 123–124, 158
- Imagerie, 160
- Périnéal, T6.1, 343, 349–351, 359–360, 364–366, 373, 377, 387
- Pinéal, 117, 121, 122, 124–125
- Spongieux, 349, 352, 363–364, 367
- Strié, 152
- Vertébral, 168, 177
- Branche dorsale de l'artère intercostale postérieure, 177
- De C2, 37
- De L2, 185
- De S1, 165
- De T12, 165
- Rameau destiné au, 177
- Surface articulaire, 193
- Inférieure, 193
- Supérieure, 193
- Transverse, 193
- Thoracique
- Quatrième vertèbre, 234
- Vitré, 100

Cortex

- Du rein, 314
- Rénal, 278, 330
- Sensitif, 146

Côte, T4.1, 246–247, 274

- Angle, 192–193
- Articulations, 193
- Col, 192–193
- Corps, 192
- Fausse, 192
- Flottante, 192
- Sillon costal, 193
- T1, 22, 28, 37, 87, 169, 192, 198, 202–203, 215, 234–236, 408, 419–420
- Cartilage costal, 245
- Sillon, 205
- T2, 34, 188, 192, 408
- T3, 192, 217
- T4, 192
- T5, 192, 217
- T6, 188, 192
- Vue postérieure, 193
- T7, 163, 192, 248
- T8, 192, 220
- T9, 192
- T10, 192
- T11, 192
- T12, 169, 180, 192, 201, 486
- Radiographie, 165
- Tête, 192–193
- Ligament
- Intra-articulaire, 193
- Radié, 193
- Tubercule, 192–193
- Vrai, 192

Cou, 8–160

- Anatomie de surface, 8
- Fascias, 33
- Muscles
- Infra-hyoïdiens et supra-hyoïdiens, 35
- Vue antérieure, 32, 36
- Nerfs, 39–40, 82
- Autonomes, 141
- Cutanés, 9, 38
- Squelette osseux, 22
- Triangle cervical, 184, 194
- Postérieur, 180

Cou (Suite)

Vaisseaux, 39–40
Et nœuds lymphatiques, 85
Veines superficielles, 38

Couche circulaire, 375–376**Coude**

Ligaments, 428
Os, 426–441
Radiographie, 427
Région
Antérieure, 2
Postérieure, 3

Coupe du thorax, clichés axiaux TDM, 244**Crâne**

Coupe sagittale médiane, 15
Du nouveau-né, 21
Ligne nuchale supérieure, 181, 182
Orientation du labyrinthe, 110
Radiographie
De profil (latérale), 14
Vue
Antéro-postérieure, 12
De water, 12
Vue
Antérieure, 11
Latérale, 13

Crânial, termes de rapport, 1**Crête**

De passavant, 78
Frontale, 16, 18, 45
Iliaque, 161, 167, 180–183, 249–250, 257, 311–312, 333–334, 337–338, 471, 474, 476, 484–486, 492–493
Lèvre
Externe, 250, 334, 338, 476
Interne, 250, 334, 338, 476
Tubercule, 250, 334, 476
Iliaque, 338
Zone intermédiaire, 250, 334, 338, 476
Infra-temporale, 13
Intertrochantérique, 477, 493
Obturatrice, 338, 476
Occipitale
Externe, 17, 23
Interne, 18
Palato-pharyngienne, 78
Pubienne, 262
Sacrale
Intermédiaire, 166
Latérale, 166
Médiane, 166, 339
Supra-condylaire
Latérale, 409–410, 426
Médiale, 409–410, 426
Supra-mastoidienne, 13
Supra-ventriculaire, 224, 228
Terminale, 224, 229
Urétrale, 366–367

Crista galli, 15, 18

Imagerie, 160

Cristallin, 94, 100–103

Axe, 102
Capsule, 100–102
Cortex, 102
Équateur, 102
Noyau, 101–102
Structures de maintien, 102

Crypte, 71**Cuir chevelu, 10**

Artères et veines superficielles, T2.2, 10
Fascia superficiel, 10
Peau, 10

Cuisse

Artères, 490, 492
Coupes transversales sériées, 496
Fascia lata, 353, 359, 362–363
Muscles, 482, 484–485
Insertion, 480–481

Cuisse (Suite)

Nerfs, 490, 492

Cul-de-sac

Recto-utérin (de douglas), T6.1, 345–346, 355–356, 373
Recto-vésical, 324, 348–349, 373
Vésico-utérin, 345–346, 350, 356–357, 373

Cunéus, 117, 118**Cyphose**

Sacrale, 162
Thoracique, 162

D**Dent, 30, 73–74**

Canine, 73–74
Cément, 74
Collet, 74
Couche odontoblastique, 74
Couronne, 74
De l'atlas, 26
De l'axis, 12, 14, 26, 28
Dentine, 74
Émail, 74
Espaces
Interdentaires, 74
Interglobulaires, 74
Foramen apical, 74
Incisive, 73–74
Ligament apical, 30, 77–78
Molaire, 73–74
Os alvéolaire, 74
Permanente, 73–74
Prémolaire, 73–74
Pulpe dentaire, 74
Racine, 51, 74
Surface articulaire postérieure, 30
Tubules dentaires, 74

Dentine, de la dent, 74**Dermatomes, 171**

Démarcation schématique, 171, 472
Du membre supérieur, 403
Territoires, 171

Desmodonte, 74**Détroit supérieur, 353**

Partie sacrale, 166

Diamètre conjugué, 336

Diaphragme, T4.3, T4.1, T5.3, 196, 204, 210, 213, 215, 217, 221, 234, 236–237, 239–241, 255, 258, 265, 267, 273–274, 276, 284, 289, 311–312, 325, 328, 488
Centre tendineux, 201, 235, 265

Coupole

Droite, 202–203
Gauche, 202–203

Face

Abdominale, 201
Thoracique, 200

Hiatus œsophagien, T5.1

Lames d'origine costale, 196

Partie

Costale, 201
Lombale, 201
Sternale, 196, 201

Pelvien, 349

Fascia, 378
Inférieur, 359–360, 364, 374, 376, 387
Supérieur, 347, 350, 359, 374, 376
Féminin, 339–341
Masculin, 342–343
Muscle élévateur de l'anus, 345, 364, 373–374, 378

Pilier, 185

Droit, 201, 236, 271
Gauche, 201, 236, 265, 271
Uro-génital, 385

Diploé, 16**Disque**

Articulaire, 24–25, 60, 193
De l'articulation sternoclaviculaire, 408
Intervertébral, T3.1, 164, 168
Cervical, 28–29
L1-2, coupe transversale, 331
Lombaire, 167
L2-L3, 165
Lombo-sacral, 338
T12-L1, coupe transversale, 330
Intervertébral T8-T9, T8-9, 200
Optique, 103

Distal, termes de rapport, 1**Doigt, 461**

Annulaire, 447
Auriculaire (petit doigt), 447
Extenseurs, 431
Fléchisseurs, 433
Gaine
Fibreuse du tendon, 453, 460–461
Synoviale, 450–451, 453
du tendon du fléchisseur, 450, 461
Index, 447
Majeur, 447
Tendons de l'extenseur, 454, 460

Dos, 161–186, 443

Anatomie de surface, 161
De la main, 3
Du pied, 3, 522
Muscles
Couches
Intermédiaires, 181
Profondes, 182
Superficielles, 180
Nerfs, 183
Région lombale postérieure, 185

Doumeurs pancréatiques rapportées, aires habituelles, 310**Drainage lymphatique**

De la glande mammaire, 191
De la langue, 86
Depuis la prostate, 390
Des poumons, 212
Du pharynx, 86

Ductule

Biliaire
Intra-lobulaire, 286
Péri-portal, 286
Efférent, 371–372
Réunion, 109

Duodénum, T5.1, 137, 271, 274–276, 284–285,

311, 316, 318, 323, 326–327

Artères, 291, 293

In situ, 278

Innervation autonome, 301–303

Muscle

Longitudinal, 278, 287
Suspenseur, 271

Partie

Descendante, 185, 271, 273, 278–279
Horizontale inférieure, 271, 278
Supérieure, 278, 287, 329
Veines, 296

Dure-mère, 45, 106, 109, 111–112, 120, 130, 177, 179**Couche**

Méningée, 113
Périostée, 113
Radiographie, 165
Sinus veineux, T2.3
Coupe sagittale, 114
Vue supérieure, 115
Spinale, 169, 185
Terminaison, 170

E

Email, de la dent, 74

Éminence

Arquée, 18, 105
Collatérale, 122
Hypothénar, 402
Ilio-pubienne, 250, 334, 337–338, 342, 476–477
Intercondyloire, 499, 501, 504–505
Médiale, 125
Pyramidale, 106–107
Thénar, 402

Empreinte

Cardiaque, 205
Colique, 284
Costale, 284
Duodénale, 284
Gastrique, 284, 289
Œsophagienne, 284
Rénale, 284, 289
Surrénale, 284
Trigéminale, 18
Imagerie, 160

Endomètre, de l'utérus, 379

Épaule

Articulation gléno-humérale, 412
Capsule de l'articulation, 417
Dissection, 417
IRM, 470
Muscles, 413
Nerfs, 468
Radiographie de face (antéro-postérieure), 411
TDM (tomodensitométrie), 470

Épicondyle

Du fémur
Latéral, 479, 483, 498
Médial, 479, 492, 497–498

Épicrâne

Épididyme, 368–369, 371–372, 398

Appendice, 369, 371
Corps, 372
Queue, 372
Sinus, 369
Tête, 372

Épiglote, 22, 71–72, 75, 77, 79–80, 89–92, 146, 237

Épine

Iliaque
Antéro-inférieure, 250, 265, 334, 337–338, 342, 476–477
Antéro-supérieure, T5.1, 249–250, 252–253, 262–263, 265, 333–334, 337–338, 359, 362, 471, 476–477, 482, 484, 486, 490
Postéro-inférieure, 167, 476
Postéro-supérieure, 161, 167, 337–338, 476
Ischiatique, T6.1, 167, 250, 265, 334, 337–342, 380, 393, 395, 476–477, 493
Mesures, 336
Radiographie, 335
Mentonnière, 24
Nasale
Antérieure, 11, 13, 15, 42, 45
Postérieure, 17
Osseuse, 27

Épiphyse, 460–461

Rameau nourricier, 460–461

Épithélium gingival, 74

Éponychium, 460–461

Époophoron, 371

Espace

Axillaire
Latéral (quadrangulaire), 417
Médial (triangulaire), 417
Costo-médiastinal, 204
De Morrison, 278
De Retzius, 350
Du périnée

Espace (Suite)

Chez l'homme, 365
Profond, 361
Superficiel, 349, 353, 359–361, 363–364, 386–387

Épidural, tissu graisseux, 177
Épiscléral, 100
Extra-péritonéal, 374
Hépatorenal (de Morrison), 278
Palmaire moyen, 450–451, 453
Parotidien, 41
Péri-anal, 374–375, 378
Péri-choroïdien, 100–101
Périnéo-pelvien, 378
Péri-portal, 286
Péri-sinusoïdal, 286
Porte, lame limitante, 286
Présacral, 347, 378
Prévésical, 349–350
De Retzius, 378
Graisse, 343
Recto-cervical, 346
Recto-vaginal, 346–347
Recto-vésical, 378
Rétro-anal

Profond, 378
Superficiel, 378
Rétro-péritonéal, 356
Rétro-pharyngien, 33–34, 77–78
Rétro-pubien, 324, 347, 349–350
De Retzius, 324, 378
Tissu graisseux dans l', 254, 343

Sous-aponévrotique dorsal, 458
Sous-muqueux, 374–375, 378
Subarachnoïdien, 100, 111, 113, 120, 177
Superficiel du périnée, 378
Supra-sternal (de Burns), 32–34, 77
Thénarien, 450–451, 453
Vésico-cervical, 347
Vésico-vaginal, 347

Estomac, T5.1, 173, 202, 221, 236, 240, 270, 274, 282, 284, 287, 289, 324, 326

Artères, 290

Corps, 276

Couche musculaire
Longitudinale externe, 239
Oblique profonde, 239

Face postérieure, 273

Fundus, 237, 239, 276, 328

Grande courbure, 276

In situ, 276–283

Innervation, 172

Autonome, 301–303

Muqueuse, 277

Partie

Cardiale, 237, 239, 276
Pylorique, 276

Poche à air gastrique, 217

Veines, 296

Ethmoïde, 11, 13, 15, 18, 44–45

Cornet nasal

Moyen, 11, 15, 44
Supérieur, 15, 44
Suprême, 44

Crista galli, 15, 18, 45

Foramen ethmoïdal antérieur, 21

Lame

Criblée, 15, 18, 43–45, 130
Orbitaire, 11, 13, 21
Perpendiculaire, 11, 15, 45

Nouveau-né, 21

Processus unciné, 44, 52

Eustache, trompe. Voir trompe auditive (d'Eustache)

Éversion, mouvements des membres inférieurs, 472

Expansion de l'extenseur (cape), 105–106, 454, 460, 521, 527

Extension, mouvements des membres inférieurs, 472

F

Face

Artères et veines superficielles, 10
Glutéale
Origines de la vascularisation artérielle, 10
Pelvienne, 166
Région profonde
Artères et veines, 63

Faisceau

Cunéiforme, 125
Droit
Branches sous-endocardiques, 229
Fibres de Purkinje, 229
Gauche
Branches sous-endocardiques, 229
Fibres de Purkinje, 229
Gracile, 124–125
Latéral, 125
Longitudinal
Dorsal, 158
Médial, 125–126
Mamillo-thalamique, 117
Minuscule, 449
Postérieur, 414
Transverse, 449, 523

Fascia

Alaire, 33–34
Antébrachial, 441
Axillaire, 416
Brachial, 416, 425
Buccopharyngien (viscéral), 33, 68, 77–78
Cervical, 34, 194
Profond
Lame superficielle, 31–33, 77, 413
Prévertébral, 33
Clavi-pectoral, 194, 416
Crémastérique, 263, 369, 372, 383
Criblé dans le hiatus saphène, 475
Crural, 473, 475, 513–514
De Buck, 364
Du pénis, 349, 362–365, 369, 377–378, 387
Septum intercaverneux, 367
De colles, 352–353, 359–365, 373, 377–378, 386–387, 393
Superficiel, 349
De dartos
Du pénis, 349, 362–364, 369
Du scrotum, 349, 362, 369, 372, 377, 387
De Denonvilliers, 343, 349, 366, 373, 378.
De Gérota. *Voir Fascia rénal (de Gérota)*
De la main, 453
De recouvrement de Gallaudet, 349, 352–353, 359–360, 363–365, 373, 377–378
De Scarpa, 324, 362
Diaphragmatique, 239
Du carré des lombes, 185
Du périnée
Profond, 349, 352–353, 359–360, 363–365, 373, 377–378
Transverse, 366
Superficiel, 349, 352–353, 359–365, 373, 377–378, 386–387, 393
Endopelvien, T6.1, 347
Paravésical, 352
Extra-péritonéal, 254, 263–264, 394
Génio-hyoïdien, 33
Glutéal, 492
Recouvrant le muscle moyen glutéal, 257, 312, 484–485
Iliaque, 264, 347, 374
Inférieur, 349
Du diaphragme pelvien, 359
Infra-épieux, 180, 183, 257, 413

Fascia (Suite)

Interosseux
Dorsal, 453
Palmaire, 453
Lata, 252–253, 389, 473, 475, 490, 496
De la cuisse, 353, 359, 362–363
Lame de Scarpa, 252
Massétérique, 31
Obturateur, 339–340, 342, 346, 353, 360, 384, 393
Et muscle obturateur interne, 350
Interne, 347, 374
Ombilico-prévésical, 256, 262, 347, 349–350
Parotidien, 31
Pectiné, 254
Pectoral, 188, 416
Pelvien, arcade tendineuse, 347, 352
Pharyngo-basilaire, 67, 70, 75, 78, 81, 86, 239
Phrénico-pleural, 239
Plantaire
Latéral, 523
Médial, 523
Présacral, 347, 378
Prétrachéal, 34, 77
Lame viscérale, 208
Prévertébral, 68, 77
Profond
De la main, 457
Du pénis (de Buck), 252–254, 324, 349
Pubo-cervical
Partie
Distale, 354
Horizontale, 354
Rectal, 346–347, 359, 366, 373–376, 378
Recto-prostatique (de Denonvilliers), 324, 343, 349, 366, 373, 378
Rénal (de Gérota), 318, 323, 331
Coupe transversale, 318
Lame
Antérieure, 318
Postérieure, 318
Rétro-prostatique, 378
Spermatique
Externe, 253–254, 260, 262, 349, 362–364, 369, 372
Sur le testicule, 387
Interne, 254, 369, 372
Origine, 263
Sur le cordon spermatique, 264, 387
Subclavier, 416
Superficiel, 33, 255, 349, 359
Couche
Graisseuse, 324
Membraneuse, 324
Du cuir chevelu, 10
Du pénis, 252–253
Lames profondes, 362
Membraneuse, 363
Toile sous-cutanée abdominale (fascia de camper), 359, 362
Supérieur
De l'élévateur de l'anus, 347
Du diaphragme pelvien, 350, 359
Temporal, 31, 34, 55, 59
Lame
Profonde, 55
Superficielle, 55
Thoraco-lombal, 180, 182–183, 185, 257, 312
Lame
Antérieure, 182, 185
Moyenne, 185
Postérieure, 182, 185
Transversalis, 185, 254–256, 262–264, 266, 324, 344, 347–348, 350, 359
Utérin, 347
Utéro-vaginal, 346, 353, 359
Vaginal, 373
Vésical, 346–347, 349, 352, 359, 373, 378

Fausses côtes, 192**Faux**

Du cerveau, 45, 50, 113–115, 155
Inguinale, 253–254, 256, 262–263

Femme, vue antérieure, 2**Fémur, 479, 496, 498, 501–502, 534**

Artère nourricière du, 495
Col, T8.1, 400–401, 477–479, 534
Artères, 495
Condyle
Latéral, 479, 498–501
Médial, 479, 499–501
Crête intertrochantérique, 479
Diaphyse (corps), 479
Épicondyle
Latéral, 479, 483, 498
Médial, 479, 492, 497–498
Fosse
Intercondylaire, 479
Trotchantérique, 479
Ligne
Âpre, 479
Intertrochantérique, 479
Pectinée, 479
Supra-condylaire
Latérale, 479
Médiale, 479
Radiographie, 335
Réseau de forams, 479
Surface poplitée, 479
Tête, 400, 477–479, 534
Artères, 495
Fovéa pour le ligament, 479
Ligament, 477
Radiographie, 335
Trochanter
Grand, 161, 334, 401, 471, 477–479, 483, 485–486, 492–493, 534
Petit, 265, 334, 477–479, 534
Radiographie, 335
Trou nourricier, 479
Tubercule
Carré, 479
De l'adducteur, 479
Tubérosité gluteale, 479

Fosse

Intercondylaire, 479
Trotchantérique, 479

Ligne

Âpre, 479
Intertrochantérique, 479

Pectinée, 479**Supra-condylaire**

Latérale, 479
Médiale, 479

Radiographie, 335**Réseau de forams, 479****Surface poplitée, 479****Tête, 400, 477–479, 534**

Artères, 495
Fovéa pour le ligament, 479
Ligament, 477

Radiographie, 335**Trochanter**

Grand, 161, 334, 401, 471, 477–479, 483, 485–486, 492–493, 534

Petit, 265, 334, 477–479, 534

Radiographie, 335**Trou nourricier, 479****Tubercule**

Carré, 479
De l'adducteur, 479

Tubérosité gluteale, 479**Fenêtre**

Cochléaire (ronde), 21, 105, 108
Fosse, 106

Vestibulaire (ovale), 21, 108**Fente****Intergluteale, 161****Nasale, 20****Vulvaire, 358****Fesse****Nerfs, 493****Fibre****Afférente, 309**

Arbre trachéo-bronchique, 214
Des organes de la reproduction, 397

Homme, 398

Reins et partie supérieure des uretères, 321

Uretère inférieur, 399**Vessie, 399**

Voies réflexes autonomes, 307

Ascendante, 321, 399**Croisée du périnée, 341****De conduction de Purkinje, 229****De soutien, 287****Descendante, 321, 399****Du fascia vésico-cervical, 347****Fasciale vagino-rectale, 347****Intercrurale, 252, 262–263****Méridienne, 101****Nerveuse, 109****Oblique, 497****Parallèle, 497****Parasympathique, 309**

De l'arbre trachéo-bronchique, 214

Fibre (Suite)

De l'uretère inférieur, 399

De la vessie, 399

Des organes de la reproduction

Chez la femme, 397

Chez l'homme, 398

Des reins et de la partie supérieure des

uretères, 321

Voies réflexes autonomes, 307

Postganglionnaire

De l'uretère inférieur, 399

De la vessie, 399

Des organes de la reproduction

Chez la femme, 397

Chez l'homme, 398

Préganglionnaire

De l'uretère inférieur, 399

De la vessie, 399

Des organes de la reproduction

Chez la femme, 397

Chez l'homme, 398

Récurrente, 130**Superficielle****Supra-optique, 158****Sympathique, 307**

Autour de l'artère rénale, T5.2

De l'arbre trachéo-bronchique, 214

De l'uretère inférieur, 399

De la vessie, 399

Des organes de la reproduction

Chez la femme, 397

Chez l'homme, 398

Des reins et de la partie supérieure des

uretères, 321

Postganglionnaire, 232

Voies réflexes autonomes, 307

Vagale, 137**Zonulaire, 100–103**

Équatoriale, 102

Post-équatoriale, 102

Pré-équatoriale, 102

Fibula, T8.1, 501, 504–505, 510–511, 514,

517–518, 521–522, 535

Apex, 504**Bord**

Antérieur, 504–505

Interosseux, 504–505

Branches calcanéennes, 507

Col, 504**Condyle**

Latéral, 505

Médial, 505

Crête médiale, 504

Face

Latérale, 504–505

Médiale, 504

Incisure fibulaire, 504

Ligne

Oblique, 504

Soléaire, 504

Malléole latérale, 504, 520–522

Surface articulaire inférieure, 504

Tête, 482–484, 498, 500, 502, 504–505,

508–512, 533

Ligament, 505

Postérieur, 502

Trou nourricier, 504

Filum terminal

Externe, partie durale, 169–170

Interne, partie piaie, 169–170, 177

Fissure

Du cerveau, longitudinale, 118, 154, 156

Imagerie, 160

Horizontale, du poumon droit, 205

Oblique du poumon, 204

Droit, 205

Gauche, 205

Fissure (Suite)

- Orbitaire
 - Inférieure, 11, 13, 23
 - Supérieure, 11–12, 20
- Péto-squameuse, 21
- Péto-tympanique, 17, 19
- Ptérygo-maxillaire, 13

Flexion

- Dorsale, mouvements des membres inférieurs, 472
- Mouvements du membre inférieur, 472
- Plantaire des membres inférieurs, mouvement, 472

Foie, T5.1, 56–57, 137, 173, 202–203, 217, 221, 233, 241, 273, 278, 287, 318, 324, 326, 328–329

- Aéra nuda, 311
- Appendice fibreux, 284
- Artères, 290–291
- Bord inférieur, 276
- Faces et loge, 284
- Innervation, 172
 - Autonome, 309
- Ligament
 - Coronaire, 275
 - Falciforme, 258
 - Rond, 256, 284, 299
- Lobe
 - Carré, 276, 284
 - Caudé, 273, 276, 284–285
 - Droit, 270, 276, 285
 - Gauche, 270, 276, 285
- Loge, 284
- Structure, 286
- Systèmes vasculaire, 285
- Voies de drainage vers, 190

Follicules lymphatiques, 71**Fontanelle**

- Antérieure, 21
- Mastoïdienne, 21
- Postérieure, 21
- Sphénoïdale du nouveau-né, 21

Foramen

- Alvéolaire, 13
- Cæcum, 18, 20, 71, 77
- Coupe transversale à travers les premiers foramens sacraux, 166
- De la veine cave, 201, 265
- De Luschka, 119–120
- De Magendie, 119, 120, 125, 128
- Déchiré, 17, 19–20
 - Branche récurrente, 148
- Épineux, 17, 19–20, 23, 59
 - Branche, 148
- Ethmoïdal
 - Antérieur, 20
 - Postérieur, 20
- Grand palatin, 19, 44, 47, 67, 73
- Infra-orbitaire, 11–13, 42
 - Du nouveau-né, 21
- Interventriculaire (de Monro), 117, 119–120, 125, 156–157
 - Gauche, 117
- Imagerie, 160
- Intervertébral, T3.1, T3.2, 28, 164, 166–168, 186
- Ischiatique
 - Grand, 167, 337–339, 531
 - Petit, 167, 337–338
- Jugulaire, 15, 20, 115, 136–138
- Magnum, 15, 19–20, 23, 138
- Mandibulaire, 24, 69
- Mastoïdien, 17, 19–20, 23
- Mentonier, 11, 13, 24
- Neural, T3.1, T3.2, 28, 164, 166–168, 186
- Obturé, 250, 334, 476, 478, 534
 - Radiographie, 335
- Omental, 273–274, 276, 285, 324

Foramen (Suite)

- Ovale, 13, 17, 19–20, 23, 56, 59–60, 233
 - Branche, 148
 - Valvule, 225
 - Pariétal, 16
 - Petit palatin, 19, 44, 47, 67, 73
 - Rond, 12, 20, 61
 - Branche, 148
 - Sacral
 - Antérieur, 166, 337, 342
 - Radiographie, 335
 - Pelvien (antérieur), 342
 - Postérieur, 166, 337
 - Sphéno-palatin, 13, 15, 23, 44, 47–48, 57
 - Stylo-mastoidien, 17, 19, 134, 136
 - Supra-scapulaire, 412, 415, 417–418
 - Transversaire, 26
 - Cloisonné, 27
 - Épine osseuse divisant le, 27
 - Veineux du sphénoïde (de Vésale), 20
 - Vertébral, T3.1
 - Cervical, 26–27
 - Lombal, 164
 - Thoracique, 163
 - Zygomatico-facial, 11, 13, 21
- Fornix**, 117, 123, 158
- Antérieur, 354
 - Colonne, 117, 121–123, 154, 156
 - Commissure, 123
 - Conjonctival
 - Inférieur, 94
 - Supérieur, 94
 - Corps, 117, 123, 125
 - Pilier, 117, 121, 123
 - Vaginal
 - Antérieur, 345, 356
 - Postérieur, 345, 356

Fosse

- Acétabulaire, 400
 - Tissu graisseux, 477
- Aillaire, 245–247
- Condylaie, 17
- Coronoïdienne, 409, 426
- Crânienne
 - Antérieure, 18
 - Moyenne, 18
 - Postérieure, 18
 - Artères, 154
 - Veines, 155
- Cubitale, 402
- Digastrique, 24
- Duodénale
 - Inférieure, 271
 - Supérieure, 271
- Du vestibule, 358
- Hypophysaire, du nouveau-né, 52
- Illaie, 337–338, 344
- Incisive, 17, 19, 23, 67, 73
- Infra-claviculaire, 2
- Infra-épineuse, 410
 - De la scapula, 192
- Infra-temporale, 13, 23
 - Vue supérieure, 60
- Intercondylaie, 479
- interpédonculaire, 50
- Ischio-rectale, 360, 374
 - Corps adipeux, 359, 362, 374, 400
 - Muscle élévateur de l'anus recouvrant la, 363
 - Récessus antérieur, 256, 352–353
 - Septum transverse fibreux, 374, 376–377
- Jugulaire, 17, 19
- Mandibulaire, 13, 17, 21, 25
- Naviculaire, 349, 367
- Olécrânienne, 410, 426–427
- Ovale, 221, 224, 233
 - Limbe, 224
- Paraduodénale, 271

Fosse (Suite)

- Para-rectale, 344, 346, 348, 374
- Para-vésicale, 346
- Poplitée, 3, 471
- Ptérygoïdienne, 23
- Ptérygo-palatine, 13, 23, 51
- Radiale, 409, 426
- Scaphoïde, 106
- Sublinguale, 24
- Submandibulaire, 24
- Subscapulaire, 409
 - De la scapula, 192
- Supra-épineuse, 410
 - De la scapula, 192
- Supra-tonsillaire, 72
- Supra-vésicale, 256
- Temporale, 13, 22
- Triangulaire, 106
- Trochantérique, 479

Fossette

- Costale, 163
 - Inférieure, 163, 193
 - Supérieure, 163, 193
 - Transverse, 163, 193
- Granulaire, 16, 111, 113
- Ptérygoïdienne, 24

Fovéa

- Centralis, 103
- Inférieure, 125
- Supérieure, 125

Franges, 355

- De la trompe utérine, 357

Frein, 281

- De la langue, 53, 65
- De la lèvre
 - Inférieure, 65
 - Supérieure, 65
- Des petites lèvres, 358
- Du clitoris, 358
- Du pénis, 364

Fundus

- De la vessie, 349–350, 352
- De l'estomac, 237, 239, 276, 328
- De l'utérus, 345, 355, 379

G

Gaine, 254, 256, 264, 490

- Carotidienne, 32–33
- Des tendons, 452
 - De la cheville, 520
 - De la main, 453
 - Du doigt, 450–451, 453
- Du muscle droit de l'abdomen, 252–253, 359
 - Couche postérieure, 254–255, 258, 260, 262
- Coupes transversales, 255
- Lame antérieure, 194, 253–255, 260, 262, 349
- Fasciale œsophagienne, 239
- Fémorale
 - Veine fémorale dans la, 253, 264
- Fibreuse, 525–526
- Fibreuses des doigts, 448
- Hypogastrique (neuro-vasculaire), 347
- Neuro-vasculaire, 347
- Synoviale commune, 450–453, 456
- Synoviale intertuberculaire, 412, 417, 421

Ganglion, 243

- Aortico-rénal, 172, 269, 303–304, 306, 320–322, 391, 396–397, 399
- Droit, 300, 305
- Gauche, 299, 305, 392, 398
- Cervical
 - Moyen, 39–40, 76, 139, 141, 230–231, 243
 - Supérieur, 62, 64, 76, 136, 139, 141–145, 172, 230–231, 243
- Cœliaque, T5.2, 172–173, 300–301, 303–306, 309–310, 320–322, 391–392, 396–399

Ganglion (Suite)

Cervico-thoracique (stellaire), 141, 213, 230–231, 243
 Ciliaire, 61, 64, 97–98, 132–133, 142–143, 173
 Branche, 132–133, 143
 Racine
 Oculo-motrice, 143
 Parasympathique, 97, 132, 142–143
 Sensitive, 97, 142
 Schéma, 143
 Du nerf trijumeau, 142
 Géniculé, 59–60, 62, 107, 110, 134–136, 146
 Inférieur, 136, 145
 Lombal, premier, 172
 Mésentérique
 Cœliaque, 269
 Inférieur, 172, 300, 305, 320, 391–392, 396–399
 Supérieur, 172–173, 269, 300, 303, 305, 320–321, 391–392, 396, 398–399
 Otique, 25, 56, 59–60, 107, 133–134, 136, 142, 144–146, 173
 Schéma, 145
 Phrénique, 201
 Ptérygo-palatin, 46, 48, 61–64, 82, 132–134, 136, 142, 144, 146, 173
 Branche nasales latérales supéro-postérieures, 46, 142
 Branches vers le, 61
 Rameau pharyngien, 46
 Schéma, 144
 Rénal, 320–322, 398–399
 Sacral, premier, 172
 Spinal, 399
 Racine postérieure, 135, 174, 177, 186, 197, 303, 306, 309–310, 321
 Spiral (de corti), 109
 Stellaire, 213, 230–231, 243
 Submandibulaire, 53, 59, 70, 82, 133–134, 142, 144, 173
 Schéma, 144
 Supérieur, 136
 Sympathique, 186, 197, 391–392, 396–398
 Cervical, 232
 Supérieur, 68
 Lombal
 Inférieur, 232
 Supérieur, 232
 Sacral
 Droit, 394
 Gauche, 394
 Thoracique, 231
 Inférieur, 232
 Supérieur, 232
 Thoracique sympathique
 1^{er}, 172
 2^e, 231
 3^e, 230, 243
 4^e, 230
 6^e, 213
 Trigéminal, 59, 61, 66, 97–98, 115, 128, 143–146
 Vertébral, 141, 230–231, 243
 Vestibulaire (de Scarpa), 108, 135

Gencive, lamina propria, 74**Genou, 497–503**

Bourse, 499
 Capsule articulaire, 497
 Ligament transverse, 500
 Radiographie, 501
 Région
 Antérieure, 2
 Postérieure, 3

Glabelle, 8, 11, 13**Gland**

Du clitoris, 370
 Du pénis, 333, 364, 367, 370
 Col, 364

Gland (Suite)

Couronne, 364

Glande

Aréolaires (de Montgomery), 188
 Bulbo-urétrale (de Cowper), 256, 324, 349, 352, 365–367, 371
 Conduit, 365
 Ébauches, 371
 De Bartholin, 360–361, 371, 386
 Ébauches, 371
 Ostium, 358
 De la peau
 Innervation, 172
 De Skène, 371
 Ébauche, 371
 De Von Ebner, 71
 Intestinale, 308
 Lacrymale, 50, 97–99, 144, 173
 Ductules excréteurs, 95
 Innervation, 172
 Partie
 Orbitaire, 95
 Palpébrale, 95
 Linguale, 71
 Mammaire, T4.1
 Artères, 189
 Coupe sagittale, 188
 Dissection antéro-latérale, 188
 Nœuds lymphatiques, 7, 190
 Vaisseaux lymphatiques, 190
 Muqueuse, 71
 Innervation, 173
 Palatine, 67, 72, 77
 Parathyroïde, 76, 89
 Inférieure, 88–89
 Supérieure, 88–89
 Para-urétrale (de Skène), 371
 Ébauches, 371
 Parotide, T2.1, 32, 36, 38, 49, 53–54, 60, 68, 79, 105, 136, 145, 173
 Accessoire, 53
 Innervation, 172
 Pituitaire, 115, 117–118, 158
 Imagerie, 160
 Préputiale (de Tyson), 364
 Salivaire, 53, 68
 Linguale, 65
 Molaire, 67
 Sublinguale, 68
 Submandibulaire, 68
 Sébacée, 94
 Sublinguale, 50, 53, 59, 65, 69, 134, 144, 172
 Innervation, 173
 Submandibulaire, 8, 32, 34, 36, 38, 53, 59, 69, 79, 83–84, 134, 144, 172
 Innervation, 173
 Sudoripare, poils de la peau péri-anale, 375
 Surrénale, 278, 284, 288, 311–324, 368
 Artères, 323
 Coupe transversale, 323
 Droite, 203, 275, 311, 322
 Gauche, 203, 273, 311, 330
 Innervation, 172
 Nerfs autonomes, 322
 Veines, 323
 Tarsale, 94
 Ostiums, 94
 Thyroïde, T2.2, 33, 35, 38, 40, 76–77, 84, 89, 92, 202, 204, 210, 221
 Capsule fibreuse, 89
 Isthme, 87
 Lobe
 Droite, 87–89
 Gauche, 87, 89
 Pyramidal, 87
 Vue
 Antérieure, 87
 Postérieure, 88

Glande (Suite)

Urétrale (de littré), 367
 Vestibulaire majeure, 360–361, 371, 386
 Ébauches, 371
 Ostium, 358

Glomérule, 130**Glomus carotidien, 41, 136, 141, 147, 214****Gonades, 371**

Rétropéritonéales, 368

Gosier, 72**Graisse**

Épidurale, radiographie, 165
 Pararénale, 185
 Périrénale, 185
 Rétro-bulbaire, 50
 Sous-cutanée, radiographie, 165

Grand omentum, 270, 272, 283, 285**Grande lacune, 367****Granulations arachnoïdiennes, 111–113, 120****Gros intestin, 283**

Artères, 295
 Innervation autonome, 305
 Veines, 298

Gubernaculum testis, 368, 371**Gyrus**

Angulaire, 116
 Artère, 152–153
 Dentatus, 117, 119, 122–123, 130
 Droit, 118
 Du cingulum, 117
 Isthme, 117–118
 Frontal
 Inférieur
 Partie operculaire, 116
 Partie orbitaire, 116
 Partie triangulaire, 116
 Médial, 117
 Moyen, 116
 Supérieur, 116
 Lingual, 117
 Occipito-temporal
 Latéral, 117–118
 Médial, 117–118
 Orbitaire, 118
 Parahippocampal, 117–119, 130
 Paraterminal, 117
 Post-central, 116
 Précentral, 116
 Supramarginal, 116
 Temporal
 Inférieur, 116, 118
 Moyen, 116
 Supérieur, 116

H**Habénula, 121****Hamatum, 442–443, 445–446, 452****Hamulus**

Du hamatum, 432, 438, 442, 444, 446–448
 Ptérygoidien, 13, 15, 23, 56, 59, 67, 72, 78
 Du nouveau-né, 52

Hanche

Arthrographie, 534
 Articulation, T8.1, 477
 Ligament, 483
 Ilio-fémoral, 486
 Radiographie antéro-postérieure, 478
 Bourses, 494
 IRM, 534
 Muscles, 484–485
 Insertions, 480–481
 Nerfs, 493
 Radiographie, 534

Haustration, 280, 283**Helicotréma, de la cochlée, 105, 108–109****Hélix, 8, 106**

Branche, 106

Hémi-diaphragme, T4.1
Hémisphère cérébral, 113

Hiatus

Anorectal, 342
Aortique, 201
Œsophagien, 201
Sacral, T3.1, 166
Saphène, 253, 259, 359, 362, 473
Fascia criblé recouvrant le, 259, 475
Semi-lunaire, 51
Du nouveau-né, 52
Uro-génital, 351

Hile, 205, 289

Hippocampe, 119, 122–123

Alvéus, 123
Fimbria, 117, 119, 121–123, 130
Pied, 122–123

Humérus, T7.1, 4–5, 217, 409, 411, 423, 425–428

Capitulum, 409

Col
Anatomique, 409–410
Chirurgical, 409–410, 470

Corps, 247

Crête supracondylaire

Latérale, 409–410

Médiale, 409–410

Diaphyse, 246

Droit, col chirurgical, 245

Épicondyle

Latéral, 409–410, 421–422, 426–428, 430–433, 435, 438, 469

Médial, 409–410, 421–423, 426–428, 430–438, 467–468

Fosse

Coronoïdienne, 409

Radiale, 409

Gauche

Diaphyse, 245

Tête, 217

Sillon intertuberculaire, 409

Tête, 409–411, 470

Trochlée, 409

Tubercule majeur, 409–412, 417, 421

Crête, 409

Vues

Antérieures, 409

Postérieures, 410

Hydatide de Morgagni, 355

Hydrocèle, 369

Hypochondre

Région

Antérieure, 2

Droit, 251

Gauche, 251

Postérieure, 3

Hypophyse, 115, 117–118, 158

Dans la selle turcique, 43

Fente, 158

Imagerie, 160

Lobe

Antérieur (adéno-hypophyse), 151, 158

Postérieur (adéno-hypophyse), 151, 158

Hypothalamus, 119, 158

Principaux noyaux, 158

Arqué (infundibulaire), 158

Dorso-médial, 158

Mamillaire, 158

Paraventriculaire, 158

Postérieur, 158

Supra-optique, 158

Ventro-médial, 158

I

Ilium, 270, 279, 283, 297, 331

Muscleuse circulaire, 279

Partie terminale, 272, 280–281, 344, 348

Ilium, 476, 478

Aile, 250, 334, 338, 342, 476, 534

Corps, 338, 476

Ligne arquée, 340

Radiographie, 165, 335

Imagerie crânienne (ARM et VRM), 159–160

Incisive, dent, 73–74

Incisure

Acétabulaire, 338, 476

Cardiaque, 239, 276

Du poumon gauche, 202, 205

Cérébelleuse

Antérieure, 126

Postérieure, 126

Inter-aryténoïdienne, 79

Intertragique, 106

Ischiatique

Grande, 250, 334, 476

Petite, 250, 334, 476

Jugulaire, 8, 32, 187, 202

Du sternum, 192

Mandibulaire, 13, 22, 24

Pré-occipitale, 116

Scapulaire du bord supérieur (supra-scapulaire)
de la scapula, 192

Splénique, 289

Supra-orbitaire, 8, 11, 13

Du nouveau-né, 21

Supra-scapulaire, 409–410, 417

Thyroïdienne supérieure, 90

Trochléaire, 426–427, 429

Vertébrale

Inférieure, 163–164

Supérieure, 163–164

Incus, 60, 105–106, 109, 135

Branche courte, 106

Processus lenticulaire, 106

Inférieur, termes de rapport, 1

Infundibulum, 124, 158, 355

Tubaire, 357

Inion, 13–15, 17, 23

Insula (de Reil), 116, 121, 152

Gyrus

Court, 116

Long, 116

Limen, 116

Sillon

Central, 116

Circulaire, 116

Intersection tendineuse, 187, 249, 253–254, 333

Intestin

Grêle, 137, 270, 282, 324

Aire, 311

Artères, 294

Innervation autonome, 304

Muscleuse et muscleuse, 279

Veines, 297

Intestin. *Voir aussi gros intestin, intestin grêle*, 173, 233

Formations lymphoïdes, 7

Innervation autonome, 306

Plexus entériques, 308

Rapports mésentériques, 271

Supérieur, 172

Introît vaginal, 345, 358, 361, 370

Inversion, mouvements du membre inférieur, 472

Iris, 94, 100, 102–103

Artères et veines, 104

Grand cercle artériel, 101, 103–104

Petit cercle artériel, 101, 103–104

Plis, 101

Ischium. *Voir tubérosité ischiatique*

Isthme, 355

De l'utérus, 355

J

Jambe

Artères, 513

Loge antérieure, T8.1

Muscles, 507–512

Insertions des, 506

Région

Antérieure, 2

Postérieure, 3

Veines profondes, T8.2

Jéjunum, 270–271, 278–279, 297, 327, 330–331

Muscleuse

Circulaire, 279

Longitudinale, 279

Sous-muscleuse, 279

Jonction

Anorectale, 343

Cornéo-sclérale, 94

Manubrio-sternale, 247

Muscleuse gastro-œsophagienne, 239, 277

Œsogastrique, T5.1

Pharyngo-œsophagienne, 80

Recto-sigmoïdienne, 283, 373, 375–376

Urétéro-pelvienne, 331

Urètre-vagin, fascia pubo-cervical., 354

Vésico-prostatique, 400

Jugum, 18

L

Labrum

Acétabulaire, 338, 477, 495

Antérieur, 534

Postérieur, 534

Supérieur, 534

Antérieur, 534

Postérieur, 534

Labyrinthe

Membraneux, 108–109

Osseux, 108–109

Lacune

Urétrale (de Morgagni), 367

Veineuse (de Trolard), 111–112

Lambda, 16

Lame, T3.1, 164, 167–168

Criblée, 15, 18, 46

Foramen, 20

De Camper, 252, 324, 359

Du fascia superficiel, 362

De L1, 165

De Scarpa, 359

Du fascia superficiel, 362–363

Du ligament large

Antérieure, 357

Postérieure, 357

Du mésosalpinx, 357

Du mésovarium, 357

Épiphyse, 495

Horizontale, de l'os palatin, 11, 17, 23, 43–45, 67, 73

Lombaire, 167

Médullaire

Externe, 122

Interne, 122

Membraneuse profonde, 359

Orbitaire, du nouveau-né, 21

Perpendiculaire, 11, 15

Prétrachéale (partie viscérale) du fascia
cervical, 33

Ptérygoïdienne

Latérale, 22–23, 49, 56, 81

Médiale, 23, 56, 67, 72, 78

Droite, 64

Hamulus, 22

Spirale

Hamulus, 108

Osseuse, 108–109

Lame *(Suite)*

Tectale, 117, 125
Terminale, 117–118, 125, 158
Thoracique, 163

Lamina affixa, 122

Langue, 45, 53, 68, 70–72

Apex, 71
Corps, 50, 71, 77
Dos, 71
Drainage lymphatique, 86
Frein, 53, 65
Imagerie, 160
Muscle
Intrinsèque, 71, 139
Inférieur longitudinal, 139
Supérieur longitudinal, 139
Transverse et vertical, 139
Longitudinal
Inférieur, 68
Supérieur, 68
Transverse, T2.9, 68
Vertical, T2.9, 68
Racine, 71, 75, 77, 79–80, 91
Vaisseaux et nœuds lymphatiques, 86

Laryngopharynx, 77, 79

Larynx, 146, 173, 214

Cartilages, 90
Coupe coronale, 92
Entrée (aditus), 77, 79–80
Innervation, 172
Muscles intrinsèques, 91
Action, 93
Nerfs, 92

Latéral, termes de rapport, 1

Lèvre

Commissure, 8
Grande, 345, 350, 353, 358, 370
Commissure antérieure, 358
Commissure postérieure, 358
Inférieure
Frein, 65
Petite, 345, 350, 353, 356, 358, 361, 370
Frein, 358
Philtrum, 8
Supérieure
Frein, 65
Tubercule, 8, 65

Ligament

Acromio-claviculaire, 412
Alaire, 30
Annulaire, 208
Ano-coccygien, 364, 378
Apical de la dent, 30, 77–78
Arqué
Du pubis, 359, 365
Inférieur, 341
Latéral, 201, 265
Médial, 201, 265
Métaphysaire radial dorsal, 445
Poplité, 499
Artériel, 210, 216, 225, 233, 235
Arc aortique, nœud du, 212
Atlanto-axoïdien, 30
Atlanto-occipitale, antérieure, 30
Bifurqué, 518
Calcanéo-cuboïdien
Dorsal, 518, 527
Plantaire, 519
Calcanéo-fibulaire, 505, 517
Calcanéo-naviculaire, 518
Calcanéo-naviculaire plantaire, 518, 527
Capito-hamatien, 444–445
Capsulaires, 412
Cardinal (de Mackenrodt), 346, 353–354
Avec l'artère utérine, 347
Carpo-métacarpiens palmaires, 448
Collatéral, 448, 454
Accessoire, 448

Ligament *(Suite)*

De la cheville, médial, 505
Du pied, 519
Fibulaire, 483–484, 497–502, 505, 508–510, 512
Médial, T8.1
Radial, 428
Tibial, 483, 497–502, 505, 508–509, 511, 512
Ulnaire, 428
Conoïde, 408, 412, 415
Coraco-acromial, 412, 415, 417, 421
Coraco-claviculaire, 408, 412, 415
Coraco-huméral, 412
Coronaire
Du foie, 275, 284, 324
Portion hépato-rénale, 284
Costo-claviculaire, 193, 408, 416
Costo-coracoïdien, 416
Costo-transversaire, 193
Latéral, 193
Supérieur, 193
Costo-xiphoïdien, 193
Cranio-vertébral
Externe, 29
Interne, 30
Crico-thyroïdien, 87
Latéral, 90
Médian, 35, 78, 81, 87, 90, 208
Croisé, 30, 498, 505
Antérieur, T8.1, 499–500
Postérieur, 499–500
Cuboïdo-naviculaire
Dorsal, 518
Plantaire, 519
Cunéo-cuboïdien dorsal, 518
Cunéo-naviculaire
Dorsal, 518
Plantaire, 519
De Cooper, 188, 253–254, 256, 262, 264–265
De Gimbernath, 253–254, 256, 262, 264–265
De l'acétabulum, transverse, 338, 477
De la cheville, 518
De la scapula transverse, 412
Supérieur, 414–415, 417–418
Doltoïdien, 448, 454
De l'humérus, transverse, 412
De l'utérus
Fascia, 354
Rond, 344–346, 352–354, 356, 359, 371, 382
De Mackenrodt, 346, 353–354
Paramètre avec l'artère utérine, 347
De Poupart, T5.1, 249, 252–254, 262–265, 333, 340, 356, 359, 362–363, 389, 471, 473, 475, 482, 488, 491
De Treitz, 271
Dentelé, 174, 177
Du coude, 428
Du périnée, transverse, 340, 342, 347, 349–350, 359, 365, 387
Du pied, 519
Du poignet, 444–445
En y de Bigelow, 477, 495
Falciforme, 255–256, 270, 276, 284, 299, 327
Fundiforme, 252
Du pénis, 262, 349
Gastro-colique, 273
Lames antérieures et postérieures, 273
Gastro-liénal, 273–274
Gastro-phrénique, 273
Gastro-splénique (gastro-liénal), 273–274
Gléno-huméral
Inférieur, 412
Moyen, 412
Supérieur, 412
Glosso-épiglottique médian, 91
Hépatoduodénal, 273, 276, 279, 329

Ligament *(Suite)*

Hépatogastrique, 276, 285
Hyo-épiglottique, 77, 90
Ilio-fémoral
De l'articulation de la hanche, 486
Ilio-fémoral (ligament en y de Bigelow), 477, 495
Ilio-lombal, 167, 312, 337
Inférieur (arqué) du pubis, 250, 334, 340–343, 347, 349–350, 359, 365
Inguinal (de Poupart), T5.1, 249, 252–254, 262–265, 333, 340, 356, 359, 362–363, 389, 471, 473, 475, 482, 488, 491
Intercarpien interosseux, 445
Intercartilagineux, 208
Interclaviculaire, 193
Intercunéiforme dorsal, 518
Interépineux, 167–168
Interfovolaire, 256
Interphalangien, 448
Intertransversaire, 193
Intra-articulaire
De la tête costale, 193
Sterno-costal, 193
Ischio-fémoral, 477, 495
Jaune, 29, 167–168
Radiologie, 165
Lacunaire (de Gimbernath), 253–254, 256, 262, 264–265
Large, 344–346, 353, 371
Lame antérieure et postérieure, 357
Latéral
De l'articulation temporo-mandibulaire, 25
De la cheville, 518
Lombo-costal, 312
Longitudinal
Antérieur, 29, 77–78, 167–168, 185, 193, 337, 344, 348
Postérieur, 30, 167–168
Luno-triquétral, 444
Médial de la cheville, 518
Médio-carpien dorsal, 445
Ménisco-fémoral postérieur, 499–500
Métacarpien
Palmaire, 448
Transverse
Profond, 448, 455
Superficiel, 406, 449
Métacarpo-phalangien, 448
Métatarsien
Dorsal, 518, 527
Plantaire, 527
Transverse
Superficiel, 523
Transverse
Profond, 519, 527
Nucal, 29, 161
Ombilical
Médial, 233, 254–256, 262–264, 266, 316–317, 344, 347–348, 356, 382, 384
Médian, 255–256, 264, 324, 344, 347–348, 350, 356, 382
Palmaire, 448, 451, 454, 460–461
Du carpe, 406, 436–437, 444, 449–450, 452, 456, 467
Palpébral, 94
Patellaire, T8.1, 471, 482–484, 491, 497–499, 502, 505, 510–512
Pectiné, 101
De Cooper, 188, 253–254, 256, 262, 264–265
Pelvien, 357
Phrénico-colique, 273
Piso-hamatum, 444
Piso-métacarpien, 444
Plantaire, 519, 527
Court, 518
Du pied, 519

Ligament (Suite)

Long, 518, 527
 Métatarsien, 519
 Poplité
 Arqué, 499, 501–502
 Oblique, 499, 501, 502
 Pubo-fémoral, 477
 Pubo-vésical
 Latéral, 347
 Médial, 350
 Pulmonaire, 205, 212, 234–235
 Radié
 De la tête costale, 193
 Sterno-costal, 193, 408
 Radio-carpien
 Dorsal, 445
 Radio-lunaire
 Court, 444
 Long, 444
 Palmaire, 444
 Radio-scapo-capital, 444
 Radio-ulnaire dorsal, 445
 Rond, 357
 Artère, 382
 De l'utérus, 344–346, 352–354, 356, 359, 371, 382
 Du foie, 233, 256, 276, 284–285, 299
 Fissure, 284
 Sacro-coccygiens
 Antérieur, 337, 340, 342, 347
 Latéral, 167, 337–338
 Postérieur, 167, 337–338
 Sacro-épineux, 167, 337–339, 341, 343, 392, 395, 485, 493
 Sacro-iliaque
 Antérieur, 337
 Postérieur, 167, 337–338
 Sacro-tubéral, 167, 337–339, 341, 343, 360, 377, 384, 392–393, 395, 400, 485, 492–493
 Scaplo-capital, 444
 Scaplo-lunaire, 445
 Scaplo-trapézo-trapézoïdien, 444
 Scrotal, 371
 Sphéno-mandibulaire, 25, 56–58, 60
 Spiral, 109
 Spléno-rénal, 273, 289
 Sterno-claviculaire antérieur, 408
 Stylo-hyoïdien, 22, 70, 72, 78, 81
 Stylo-mandibulaire, 22, 25, 60
 Supra-épineux, 29, 167–168, 185, 337–338
 Radiographie, 165
 Suspenseur, 368, 371
 De l'aisselle, 416
 De l'ovaire, 345–346, 355–357, 371, 382
 Du clitoris, 359, 361
 Du pénis, 253, 349
 Du rein, 188
 Talo-calcanéen, 517
 Latéral, 518
 Médial, 518
 Postérieur, 517–518
 Talo-fibulaire
 Antérieur, 505, 518
 Postérieur, 505, 517–518
 Talo-naviculaire dorsal, 518
 Tarso-métatarsien
 Dorsal, 518, 527
 Plantaire, 519
 Thyro-épiglottique, 90
 Tibio-fibulaire
 Antérieur, 505, 518
 Postérieur, 517–518
 Transverse de l'atlas, 30
 Trapézoïde, 408, 412, 415
 Trapézoïdo-capital, 444–445
 Trapézo-trapézoïdien, 444–445
 Triangulaire

Ligament (Suite)

Droite, 275, 283–284
 Gauche, 284
 Triquéro-capital, 444
 Triquéro-hamarien, 444–445
 Ulna-capital, 444
 Ulna-carpien palmaire, 444
 Ulna-lunaire, 444
 Ulna-triquétral, 444–445
 Utéro-sacral, 345–347, 354–355
 Veineux, 233
 Fissure, 284
 Vertébral
 Région
 Lombale, 168
 Lombo-sacrale, 167
 Vocal, 90–91
Ligne
 Anorectale, 375
 Arquée, 250, 254, 256, 258, 262, 334, 338–339, 342, 476
 De l'ilium, 340
 Blanche, T5.1, 187, 194, 249, 252–255, 261–262, 333, 344, 348
 De Schwalbe, 101
 Dentelée, 375
 Glutéale, 476
 Antérieure, 338, 476
 Inférieure, 338, 476
 Postérieure, 338, 476
 Ilio-pectinée, 374
 Intertrochantérique, 477
 Mylo-hyoïdienne, 24
 Nucale
 Inférieure, 17, 23
 Supérieure, 17, 23, 180
 Oblique, 24, 90
 Pectinée (dentelée), 375
 Semi-lunaire, 249, 333
 Temporale
 Inférieure, 13
 Supérieure, 13
 Terminale, 166, 353
 Du pelvis, 347–348
 Translucide, 101
 Transverse, 166

Limén nasal, 43**Lingula**, 24, 69, 126, 205**Liquide cérébro-spinal**

Circulation, 120
 Radiographie, 165

Lobe

Nerveux, 158
 Piriforme, 130
 Temporal, 50, 124, 152
 Imagerie, 160

Lobule, 8, 372

Mammaire, 188
 Paracentral, 117
 Pariétal supérieur, 116

Locus céruléus, 125**Loge neuro-vasculaire**, 425**Lordose**

Cervicale, 162
 Lombale, 162

Lumière intestinale, 308**Lunatum**, 442–443, 445–447

Surface articulaire, 429

Lunule, 227, 460–461**Lymphatiques abdominaux et pelviens**, 325**M****Macula**, 103**Main**

Artères, 456, 459
 Bourses, 453

Main (Suite)

Dissection superficielle
 Palmaire, 449
 Dissection superficielle
 Radiale, 457
 Dos de la, 3
 Espaces, 453
 Fascia dorsal, 453
 Gaines des tendons, 453
 Innervation cutanée, 462
 Muscles intrinsèques, 455
 Nerf, 456, 459
 Cutané, 406
 Radial, 469
 Os, 446
 Radiographies, 447
 Veines superficielles, 406

Maladie biliaire, aires habituelles des douleurs rapportées, 309**Malléole**

Latérale, 471, 505, 507–512, 521–522
 Médiale, 471, 505, 507, 509, 511–513, 520–522

Malléus, 60, 106, 109**Ligament**

Antérieur, 106
 Supérieur, 106
 Manche, 106–107
 Processus latéral, 106
 Tête, 105–106, 135

Mamelon, 187–188, 333**Mandibule**, 11–13, 22, 24, 33, 77

Angle, 8, 12, 22, 24, 76, 79
 Base, 24
 Branche, 11–13, 22, 24, 36, 68
 Col, 24, 49
 Condyle, 12, 14
 Corps, 11–13, 22, 24, 36, 50
 De vieillard, 24
 Épines mentonnières, 24
 Foramen
 Mandibulaire, 24
 Mentonnier, 11, 13, 24
 Fosse
 Sublinguale, 24
 Submandibulaire, 24
 Fossette ptérygoidienne, 24
 Incisure, 13

Ligne

Mylo-hyoïdienne, 24
 Oblique, 13, 24, 81
 Partie alvéolaire, 24
 Processus
 Condylaire, 22, 24
 Tête, 13
 Coronoïde, 13–14, 22, 24, 49
 Protubérance mentonnière, 8, 11, 24
 Sillon mylo-hyoïdien, 24
 Tête, 24
 Trigone (fosse) rétomolaire, 24
 Tubercule mentonnier, 11, 24

Manubrium, 245–246, 408

Sternal, 32–34, 36, 77, 192, 196, 204

Mastication, muscles de la, T2.1, 55–56**Maxillaire**, 11, 13, 15, 17, 44–45, 49

Canal incisif, 15, 44–45
 Crête nasale, 45
 Du nouveau-né, 21, 52
 Épine nasale antérieure, 11, 13, 15, 42, 44–45
 Face
 Infra-temporale, 13
 Nasale, 15
 Orbitaire, 11
 Foramen infra-orbitaire, 11, 13
 Fosse incisive, 17
 Processus
 Alvéolaire, 11, 13, 15, 23, 44, 50
 Frontal, 11, 13, 42, 44, 94

Maxillaire (Suite)

- Palatin, 15, 17, 23, 43–45, 50, 67, 73
- Zygomatique, 11, 17
- Suture intermaxillaire, 17
- Tubérosité, 13, 23

Méat

- Acoustique
 - Externe, 13, 17, 22, 105–106, 109
 - Interne, 15, 20, 105, 134–135
- Nasal
 - Inférieur, 43, 50, 95
 - Moyen, 50
 - Atrium, 43
 - Ouverture, 51
 - Supérieur, 43, 52
 - Suprême, bord inférieur, 52

Médial, termes de rapport, 1

Médiastin

- Antérieur, zone pulmonaire, 205
- Coupe transversale, 220
- Antérieur, 200
- Vue latérale
 - Droite, 234
 - Gauche, 235

Mediastinum testis, 369, 372

Membrane

- Atlanto-occipitale
 - Antérieure, 29, 77–78
 - Postérieure, 29
- Basilaire, 109
- Costo-coracoïdienne, 416
- De Descemet, 101
- De Reissner, 109
- De Sibson, 234–235
- Fibro-élastique, de l'œsophage, 238
- Intercostale
 - Externe, 186, 197, 417
 - Interne, 186, 197
- Interosseuse, 429, 431, 433, 441, 444, 501–503, 509, 512, 514, 517
- Obturatrice, 338, 353, 477
- Périnéale, 256, 265, 324, 339, 343, 345, 349–350, 352–353, 359–361, 363–366, 373, 377, 386–387, 393, 395, 399
- Épaississement antérieur, 350, 365
- Supra-pleurale (de Sibson), 234–235
- Synoviale, 412, 428, 460–461, 498–499, 502
- Insertion, 499
- Protrusion, 477
- Tectoriale, 30, 109
- Partie profonde, 30
- Thyro-hyôïdienne, 35, 75, 77–78, 80–81, 87, 89–90, 92
- Tympanique, 59, 105–107, 109
- Vestibulaire (de Reissner), 109

Membre

- Inférieur, 471–535
- Anatomie de surface, 471
- Artères, T8.2
- Lymphatiques, 7
- Nerfs et veines, 473–475
- Supérieur, 402–470
- Anatomie de surface, 402
- Artères, 463
- Dermatomes, 403
- Innervation cutanée, 404
- Nerfs, 463–464
- Cutanés, 405
- Système lymphatique, 7
- Vaisseaux et nœuds lymphatiques, 407
- Veines superficielles, 405

Méninges, T3.1, 20, 111, 113

- Artères, 147
- Racines nerveuses spinales, 174

Ménisque, 445

- Latéral, 498–500, 502
- Médial, T8.1, 498–499

Mésencéphale, imagerie, 160

Mésentère, 185, 271, 279, 308

- Racine, 288, 316, 344, 348

Méso-appendice, 280, 304

Mésocolon

- Sigmoïde, 272, 283, 294–295, 310, 316, 373
- Transverse, 270–271, 273–274, 278, 283, 297
- Insertion, 275

Mésomètre, 355

Mésosalpinx, 346, 355

- Lames, 357

Mésovarium, 353, 355

- Lames, 357

Métacarpien, 442–446, 448, 454

- 1^{er}, 435, 438, 442–447, 452, 457
- 2^e, 435
- 3^e, 442–447
- 4^e, 442–446
- 5^e, 434–435, 438, 442–447

Modiolus, 31

Moelle

- Allongée, 20, 49, 62, 117, 125, 135, 145–146, 173, 306, 321
- Dans le foramen magnum, 19
- Imagerie, 160
- Osseuse, 7
- Spinale, 6, 62, 169, 245–246
- Artères
 - Distribution intrinsèque, 177
 - Schéma, 176
- Canal central, 120, 125
- Corne latérale, 174
- Imagerie, 160
- Partie
 - Lombale, 399
 - Sacrée, 399
 - Thoracique, 143–145, 214
- Pie-mère recouvrant la, 174
- Rameaux
 - Antérieurs, 169
 - Centraux (fissuraux) vascularisant le côté gauche, 177
- Segments, 321
- Spinale thoracolumbale, 306
- Substance
 - Blanche, 174
 - Grise, 174
- Terminaison, 170
- Thoracique, 214
- Thoraco-lombale, 306
- Tractus descendant dans la, 214
- Veines, 178

Molaire, dent, 73–74

- Variations avec l'âge, 52

Mont du pubis, 358

Muqueuse

- De l'intestin, 308
- De l'œsophage, 80, 239
- De l'iléum, 279
- Du jéjunum, 279
- Olfactive, 130
- Topographie, 46

Muscle, T2.4, T7.3, T7.1, 35, 81, 87, 91–92, 137, 187, 402, 409, 413–414, 416, 419, 421, 423, 425, 439–440, 463, 465

- Abaisseur de l'angle de la bouche, T2.4, 31, 55, 134
- Abaisseur de la lèvre inférieure, T2.4, 31, 55, 134
- Abaisseur du septum nasal, T2.4., 31, 42, 134
- Arrecteurs du poil, 172
- Innervation, 172
- Articulaire du genou, T8.3, 480, 498, 502, 529
- Aryténoïdien
 - Oblique, T2.9, 75, 80, 91–92
 - Action, 93
 - Partie ary-épiglottique, 91–92
- Transverse, T2.9, 75, 77, 80, 91–92
- Action, 93

Muscle (Suite)

Auriculaire

- Antérieur, T2.4, 31
- Postérieur, T2.4, 31
- Supérieur, T2.4, 31
- Biceps brachial
 - Chef long, 245
 - Tendon du, 246–247
- Biceps fémoral, T8.3, T8.1, 471, 480–481, 484–485, 492–493, 496–497, 501, 506–507, 510
- Bourse supérieure, 494
- Chef court, 395, 471, 510, 531
- Chef long, 395, 471, 510, 531
- Tendon du, 494
- Brachial, T7.3, 409–410, 419, 421, 423, 425, 436, 438–439, 463, 465
- Brachio-radial, T7.3, 402, 409, 421–423, 425, 434–437, 439–441, 463, 468–469
- Buccinateur, T2.4, 31, 34, 50, 53, 55–56, 59, 67–68, 78, 81, 83, 134
- Bulbo-spongieux, T6.3, 324, 349, 352–353, 356, 359–361, 363, 365, 377–378, 386–387, 399
- Carré
 - Des lombes, T5.3, 182, 185, 201, 265–267, 269, 311–312, 344, 348, 486, 488
 - Fémoral, T8.5, 395, 480–481, 483, 485, 491–494
 - Nerf, 487, 489, 493
 - Plantaire, T8.5, 525–526, 532
 - Pronateur, T7.5, 430, 438–439, 441, 453, 455, 466
- Ciliaire, T2.4, 100, 132, 143
- Fibres
 - Circulaires, 101
 - Méridiennes, 101
- Coccygien, T6.1, T6.3, 265, 339–343, 384–385, 392–394
- Nerf, 487, 489
- Compresseur de l'urètre, T6.3, 339, 351, 360–361, 386
- Constricteur du pharynx, 77, 92
- Inférieur, T2.5, 36, 75, 78, 80–81, 88–89, 92, 137, 237–238
- Partie crico-pharyngienne, 80, 237–238
- Moyen, T2.6, 36, 70, 72, 75, 78, 80–81, 88, 137
- Supérieur, T2.8, 56–57, 67–68, 70, 72, 75, 78, 80–81, 83, 88, 137
- Partie glosso-pharyngienne, 70, 78
- Coraco-brachial, T7.3, 246–247, 409, 414, 417, 419, 421, 423, 425, 463, 465
- Corrugateur
 - De la marge de l'anus, 375–376
 - Du sourcil, T2.4., 31, 42, 134
- Crémaster, T6.3, 254, 260, 263, 369
- Origine
 - Latérale, 253
 - Médiale, 253, 262
- Crico-aryténoïdien
 - Latéral, T2.5, 91–92
 - Action, 93
 - Postérieur, T2.7, 75, 80, 91–92
 - Action, 93
- Crico-pharyngien, 34, 75, 78, 81, 88–89, 92
- Crico-thyroïdien
 - Partie oblique, 91
- De la coiffe des rotateurs, T7.1, 415
- De l'abdomen, 344, 348
- De l'éminence
 - Hypothenar, 447, 449–450, 453, 467
 - Thénar, 447, 449–450, 466
- De l'expression du visage (mimique), T2.1, 31, 68
- De l'œsophage, 77, 208
- Couche circulaire, 75, 78, 80, 239

Muscle (Suite)

Longitudinal, 75, 78, 80, 88, 239
 Insertion cricoïdienne, 75, 78
 De la face, T2.1, 31, 68, 134
 De la hanche, 484-485
 De la mastication, T2.1, 55-56
 De la plante du pied, 524-526
 Deuxième couche, 525-526
 De l'abdomen oblique externe, 344, 348
 De l'avant-bras
 Antérieur, T7.1
 Couche
 Intermédiaire, 437
 Profonde, 435, 438
 Superficielle, 434, 436
 Extenseurs du poignet et des doigts, 431
 Fléchisseurs
 Des doigts, 433
 Du poignet, 432
 Insertions, 439-440
 Postérieur, T7.1
 Rotateurs du radius, 430
 De Müller, T2.1, 94
 Deltoïde, T7.3, 32, 36, 161, 180, 183, 187, 221, 245-247, 402, 408-410, 413-414, 416-417, 419, 421-423, 425, 463, 468, 470
 Dentelé
 Antérieur, T4.3, T7.5, 180, 186-188, 197, 221, 245-249, 252-253, 257, 260-261, 333, 402, 409, 413-414, 416-417, 419
 Digitations, 194-195
 Postérieur, T4.3
 Postéro-inférieur, T3.3, T4.3, 180-181, 185, 257, 312
 Postéro-supérieur, T3.3, T4.3, 180-181
 Digastrique, T2.4, 75
 Incisure mastoïdienne, 17
 Tendon intermédiaire, 70
 Transparence, 41
 Ventre
 Antérieur, 34-36, 38, 41, 50, 53, 59, 69, 81
 Postérieur, 32, 35-36, 41, 53, 57, 59, 68-70, 75, 81, 86, 134
 Dilatateur de la pupille, T2.1, T2.4, 101, 132, 143
 Droit
 Inférieur, 96, 98, 132
 Branche, 97
 Latéral, 50, 96-98
 Tendon, 100
 Médial, 50, 96-98, 132
 Branche, 97
 Tendon, 100
 Supérieur, T2.8, 96-98, 132
 Tendon, 104
 Droit de l'abdomen, T5.3, 187, 194-195, 197, 249, 253-256, 258, 261-262, 324, 333, 344, 347-349, 359, 379
 Droit de la tête
 Antérieur, T2.7, 37, 49, 86
 Latéral, T2.7, 37
 Postérieur
 Grand, T3.2, 181-182, 184
 Petit, T3.3, 181-182, 184
 Du bras
 Vues antérieures, 421
 Vues postérieures, 422
 Du bulbe de l'œil, T2.1
 Du cou
 Cervicaux antérieurs et latéraux, 37
 Infra-hyoldiens et supra-hyoldiens, 35
 Profond, 33
 Vue
 Antérieure, 32
 Latérale, 36
 Du dos

Muscle (Suite)

Couches
 Intermédiaires, 181
 Profondes, 182
 Superficielles, 180
 Du dos du pied, 521
 Du grand dorsal, T7.4, T3.2, 161, 180, 183, 185-187, 194, 248, 252-253, 257, 260-261, 312, 328, 409-410, 413-414, 416-417, 419, 421, 423
 Digitations de l'origine costale, 257
 Du périnée
 Profond, 340, 373
 Transverse
 Profond, 339, 345, 349, 360-361, 365-366, 378, 385-386
 Superficiel, T6.4, 339, 359-361, 363-365, 373, 377-378, 386-387
 Du pharynx
 Vue
 Latérale, 81
 Médiale, 78
 Postérieure, 75
 Élévateur
 De l'angle de la bouche, T2.5, 55, 134
 De la lèvre supérieure, T2.5, 31, 55, 134
 et de l'aile du nez, T2.5, 31, 55, 134
 De la paupière supérieure, T2.1, T2.5, 94, 96-98, 132
 De la scapula, T7.4, 32-33, 36, 39, 180, 183, 410, 413, 417-418, 468
 De l'anus, T6.1, T6.3, 256, 265, 283, 299, 306, 324, 340-341, 345, 351-353, 359-360, 365, 375-376, 380, 384-386, 392-393, 489
 Arcade tendineuse, 265, 339-343, 347, 350, 352-353, 360, 374
 Bord médial, 343
 Diaphragme pelvien, 345, 349, 364, 373-374, 378
 Expansions fibro-musculaires, 343
 Fibres musculaires, 342-343
 Fibres prérectales, 343
 Gauche, 339
 Ilio-coccygien, 341-343, 377
 Nerfs, 487, 489
 Pubo-coccygien, 341-343, 377
 Pubo-rectal (pubo-anal), 341, 377, 400-401
 Raphé médian (faisceau élévateur), 340-341
 Recouvrant la fosse ischio-rectale, 363
 Des côtes, T4.3, 182
 Court, 182
 Long, 182
 Du voile du palais, T2.1, T2.5, 49, 56, 67, 72, 75, 78, 81, 137
 Fibres décussées, 67
 Épineux, 181
 Du cou, 181
 Du thorax, 181
 Érecteur du rachis, T3.2., 161, 180, 182, 186, 197, 245, 261, 312
 Extenseur
 De l'hallux
 Court, T8.3, 512, 521, 533
 Long, T8.3, 506, 510-512, 514, 522, 533
 De l'index, T7.4, 431, 435, 440-441, 469
 Des doigts, T7.4, 422, 431, 434, 439-441, 468-469
 Des orteils
 Court, T8.3, 510, 512, 520, 527, 533
 Long, T8.3, 484, 498, 506, 510-512, 514, 520, 533
 Du petit doigt, T7.4, 431, 434, 439-441, 469
 Du pouce
 Court, T7.4, 431, 434-435, 440, 469
 Long, T7.4, 431, 435, 440-441, 469

Muscle (Suite)

Radial du carpe, T7.3, 402, 409, 422, 425, 431, 434-435, 439-441, 468-469
 Ulnaire du carpe, T7.3, 402, 422, 431, 434, 439-441, 468-469
 Extrinsèque de l'œil, 96
 Innervation, 96
 Fibulaire
 Court, T8.4, 506, 510-512, 514, 520, 522, 533
 Long, T8.4, 471, 484, 497-498, 506, 508, 510-512, 514, 520, 533
 Troisième, T8.4, 506, 514
 Fléchisseur
 Court
 De l'hallux, T8.4, 524-525, 532
 De l'hallux, chef latéral, 525-527
 De l'hallux, chef médial, 525-527
 De l'hallux, origine médiale, 527
 Des orteils, T8.4, 520, 524-525
 Du petit doigt, T7.4, T8.4, 452, 467, 524-527, 532
 Du pouce, T7.4, 452, 455-456, 466-467
 Long
 De l'hallux, T8.4, 506, 509, 513-514, 532
 Des orteils, T8.4, 506, 509, 513-514, 532
 Du pouce, T7.4, 409, 433, 437-439, 441, 450, 453, 463, 466
 Profond
 Des doigts, T7.4, 433, 438-441, 463, 466-467
 Radial du carpe, T7.4, 421, 423, 432, 436, 438-439, 441, 463, 466
 Superficiel, 436, 514
 Des doigts, T7.4, 409, 433, 436-439, 441, 463, 466
 Ulnaire du carpe, T7.4, 402, 422, 432, 434-437, 439-441, 463, 467
 Gastrocnémien, T8.4, 471, 481, 484-485, 492, 497-498, 506-514, 531-532
 Bourse subtendineuse latérale, 501
 Bourse subtendineuse médiale, 501
 Chef latéral, 471, 501-502
 Chef médial, 471, 501-502
 Génio-glosse, T2.1, T2.4, 45, 50, 68, 70, 77, 139
 Génio-hyoldien, T2.5, 33, 50, 69-70, 77-78, 139-140
 Glutéal
 Grand, T8.4., 161, 180, 183, 257, 312, 343, 360, 363-364, 377, 392-393, 395, 400-401, 471, 481, 484-485, 492-494, 496, 534
 Bourse sciatique, 494
 Bourse trochantérique, 494
 Bourse trochantérique, extension inférieure, 494
 Moyen, T8.1, T8.4, 161, 395, 400-401, 471, 481-482, 486, 490-494
 Bourse trochantérique, 494
 Fascia glutéal recouvrant le, 484-485
 Petit, T8.4, 400, 480-481, 485, 490-494
 Gracile, T8.1, T8.4, 395, 480, 482-483, 485, 490-492, 496-498, 501, 507, 530
 Grand rond, T7.6, 161, 180, 183, 186, 246-247, 409-410, 413-414, 416-419, 421-423, 425, 468
 Hyo-glosse, T2.5, 34-36, 41, 68-70, 72, 78, 81, 139
 Iliaque, T8.4, T5.3, T6.3, 262, 265, 311, 347, 374, 400, 480, 482, 486, 488-489, 495, 529
 Nerfs, 487
 Rameaux musculaires pour, 488
 Ilio-coccygien, T6.3, 339-343, 353, 377
 Ilio-costal, 181
 Des lombes, 181
 Du cou, 181

Muscle (Suite)

Du thorax, 181
 Ilio-psoas, 256, 400–401, 480–481, 483, 490–491, 496
 Infra-épineux, T7.4, 161, 186, 197, 245–247, 410, 413, 415–418, 422, 468
 Infra-hyoidien, 32–33
 Intercostal, 188, 204, 221, 245–247, 258
 Externe, T4.3, 182, 186, 194–195, 197, 253, 258, 261, 417
 Membrane intercostale interne recouvrant les, 197, 234–235
 Interne, T4.3, 186, 194–197, 258, 261, 417
 Intime, T4.3, 196–197, 234–235, 258, 261
 Interépineux, T3.2
 Des lombes, 182
 Du cou, 182
 Interosseux, 454, 519, 527
 Dorsal, T7.4, T8.3, 453, 455, 460, 522, 527–528
 Premier, 435, 450, 455, 457, 467
 Palmaire, T7.4, 453, 455, 467
 Plantaire, T8.5, 526
 Intertransversaire, T3.2
 Latéral des lombes, 182
 Intrinsic
 De la langue, 71
 Du dos, T3.1
 Du larynx, 91
 Action, 93
 Ischio-caverneux, T6.3, 345, 352–353, 359–361, 363–365, 373, 377, 386–387
 Jumeau
 Inférieur, T8.4, 395, 400–401, 480–481, 485, 492–494
 Nerf, 487, 489
 Supérieur, T8.5, T8.6, 395, 480–481, 485, 492–494
 Nerf, 487, 489, 492
 Lombrical, T8.5, T7.4, 105–106, 450–455, 466–467, 524–525, 527
 Tendon, 526
 Long
 De la tête, T2.6, 36–37, 49, 68
 Du cou, T2.6, 33, 37, 236
 Innervation, 420
 Palmaire, 438
 Longissimus, 181
 De la tête, 181, 184
 Du cou, 181
 Du thorax, 181
 Longitudinal, 375
 Conjoint, 343, 376
 De la langue
 Inférieur, T2.5, 70
 Supérieur, T2.8
 Du pharynx, 75, 78, 80
 Fusion, 374–376
 Masse latérale, 238
 Masséter, T2.6, 32, 36, 49, 53, 55, 60, 68
 Insertion, 55
 Partie
 Profonde, 55
 Superficielle, 55
 Mentonnier, T2.6, 31, 55, 134
 Multifide, T3.2, 185
 Du thorax, 182
 Multifide
 Des lombes, 182
 Mylo-hyoidien, T2.6, 32, 34–36, 38, 41, 50, 53, 59, 68–70, 77–78, 81
 Nerf, 56, 59, 68–69, 82, 133
 Nasal, T2.6, 31, 134
 Partie
 Alaire, 31, 42
 Transverse, 31, 42

Muscle (Suite)

Oblique
 De l'abdomen, 180–181, 183, 185, 187–188, 194, 197, 333, 359, 362–363
 De l'abdomen, externe, 484
 Aponévrose, 253–255, 260, 262, 264, 312
 Partie aponévrotique, 252
 Partie musculaire, 252
 De l'abdomen, interne, 185, 344, 348
 Aponévrose, 254–255, 260
 Aponévrose d'origine, 185
 Dans le triangle lombal (de petit), 180
 De la tête
 Inférieur, T3.2, 181–182, 184
 Supérieur, T3.2, 181–182, 184
 Externe, T5.3, 249, 252–258, 260–263, 265, 312, 330
 Inférieur, T2.5, 96, 98, 132
 Tendon, 98
 Interne, T5.3, 253–258, 260, 262–263, 265
 Supérieur, T2.8, 96–98, 132
 Obturateur
 externe, T8.5, 401, 480–481, 483, 491, 530
 Interne, T8.5, T6.3, 256, 265, 339–343, 350, 352–353, 365, 374, 380, 384, 393, 395, 400–401, 480–481, 485, 489, 492–494, 534
 Bourse sciatique, 494
 Nerf, 487, 489, 492–493
 Occipito-frontal
 Ventre
 Frontal, T2.4, 31, 42, 98, 134
 Occipital, 31, 134, 184
 Œsophagien
 Circulaire, 239
 Longitudinal, 239
 Omohyoïdien, T2.7, 33, 35, 38, 69, 194, 204, 409, 413, 416, 419
 En transparence, 41
 Ventre
 Inférieur, 8, 35–36, 39, 139–140
 Supérieur, 32, 35–36, 38, 139–140
 Opposant
 Du petit doigt, T7.5, 452, 455, 467
 Du pouce, T7.5, 452, 455–456, 466
 Orbiculaire
 De l'œil, T2.7, 31, 134
 Partie orbitaire, 31
 Partie palpébrale, 31, 94
 De la bouche, 31, 42, 55, 68, 134
 Palato-glosse, T2.7, 67, 70–72, 137
 Palato-pharyngien, T2.7, 67, 70–72, 75, 78, 80, 137
 Palmaire
 Court, T7.5, 449, 467
 Long, T7.5, 432, 436, 439, 441, 466
 Papillaire, 220, 248
 Antérieur, 224–225, 227, 229
 Droit, 228
 Gauche, 228
 Inférieur, 224–225, 227
 Postérieur
 Droit, 228
 Gauche, 228
 Septal, 224, 227–228
 Pectiné, T8.5, 224, 400–401, 480–483, 490–491, 495–496, 529
 Pectoral
 Grand, T4.3, T7.5, 32, 36, 38, 187–188, 191, 194–195, 197, 204, 220–221, 244–249, 252–254, 402, 408–409, 414, 416, 419, 421, 423, 425
 Chef abdominal, 413
 Chef claviculaire, 187, 413
 Chef sternal, 187
 Chef sterno-costal, 413
 Recouvert du fascia pectoral, 188

Muscle (Suite)

Petit, T4.3, T7.5, 194–195, 204, 221, 245–247, 409, 414, 416, 419, 423
 Petit rond, T7.6, 180, 183, 197, 245–246, 410, 412–418, 422, 468
 Pétro-pharyngien, 75
 Piriforme, T8.1, T8.5, T6.3, 265, 339–342, 384, 392–395, 480, 485, 489, 492–494
 Bourse, 494
 Gauche, 385
 Nerf, 487, 489
 Tendon, 494
 Plantaire, T8.5, 481, 484–485, 492, 497, 501–502, 506–509, 513, 531–532
 Poplitée, T8.5, 481, 485, 501–502, 506, 508–509, 513–514, 532
 Nerf, 532
 Procérus, T2.7, 31, 42, 134
 Psoas, 400, 486, 495
 Grand, T5.3, 185, 201, 262, 265–267, 269, 278, 311–312, 344, 347–348, 382, 482, 486, 488–489, 529
 Nerfs, 487
 Petit, T5.3, 265, 344, 348, 486
 Nerfs, 487
 Rameaux musculaires, 488
 Ptérygoïdien
 Latéral, 24–25, 49, 55–59
 Chef inférieur, 34, 60
 Chef supérieur, 60
 Nerf, 82, 133
 Médial, T2.6, 49, 56–57, 59–60, 67–68, 75, 82
 Nerf, 133
 Pubo-coccygien, T6.3, 339–341, 343, 353, 377
 Pubo-rectal (pubo-anal), T6.3, 324, 341–343, 373, 377
 Gauche, 339
 Pyramidal, T5.3, 253, 263
 Quadriceps fémoral, 480, 529
 Recto-coccygien, 265
 Recto-urétral supérieur, 343
 Rhomboïde, 246
 Grand, T3.3, T7.5, 180, 183, 186, 197, 245, 247, 257, 410, 413, 468
 Petit, T3.3, T7.5, 180, 183, 410, 413, 468
 Risorius, T2.7, 31
 Rond pronateur, T7.5, 409, 421, 423, 430, 435–441, 463, 466
 Rotateur, T3.3
 Du cou, 182
 Court, 182
 Long, 182
 Du thorax, 182
 Court, 182
 Long, 182
 Salpingo-pharyngien, T2.7, 72, 75, 78, 137
 Sartorius, T8.5, 400–401, 471, 480–482, 484–485, 490–491, 496–497, 501, 507, 529
 Insertion du, 511
 Scalène, 32, 35–37, 417
 Antérieur, T2.7, 33, 36–40, 46–47, 82–84, 87, 195–196, 199, 204, 210, 215, 221, 234–236, 417–419
 Innervation, 420
 Moyen, T2.7, 33, 36–37, 39, 46–47, 82–84, 195, 417
 Postérieur, T2.7, 33, 36–37, 46–47, 195, 236, 417
 Semi-épineux, T3.3
 De la tête, 180–182, 184
 Du cou, 182, 184
 Du thorax, 182
 Semi-membraneux, 501
 Bourse, T8.1, T8.5, 395, 481, 484–485, 492, 496–497, 501, 506–507, 531

Muscle (Suite)

Semi-tendineux, T8.1, 395, 471, 480–481, 485, 492–494, 496–498, 501, 507, 531
Tendon, 497
Soléaire, 497, 506–514, 520, 522, 531–532
Arcade tendineuse, 485, 508–509
Nerf, 507–508
S'insérant dans le tendon calcanéen, 508
Sphincter
De la pupille, T2.1, T2.8, 101, 132, 143
Externe
Partie profonde, 375
Partie sous-cutanée, 375
Partie superficielle, 375
Interne, 375
Sphincter de l'urètre
Externe, 256, 349, 351, 365–367, 399
Interne, 351–352, 367
Anneau trigonal, 351
Anse de Heiss, 351
Anse postérieure, 351
Sphincter uréthro-vaginal, T6.4, 350–351, 353
Splénus
De la tête, T3.3, 36, 180, 184
Du cou, T3.3, 180–181, 184
Stapédien, T2.8, 107
Nerf, 134
Tendon, 106
Sternal, 194
Sterno-cléido-mastoïdien, T2.1, T2.8, 32–33, 36, 38–39, 41, 53, 68, 86, 138, 140, 180, 184, 187, 194, 204, 408, 413–414, 419
Chef
Claviculaire, 8, 32, 36, 187
Sternal, 8, 32, 36, 187
Sterno-hyoïdien, T2.8, 32–33, 35–36, 38, 69, 139, 194, 196, 204, 408
Sterno-thyroïdien, T2.8, 32–33, 35–36, 38, 92, 139–140, 194, 196, 204
Stylo-glosse, T2.8, 49, 57, 68, 70, 78, 81, 139
Stylo-hyoïdien, T2.8, 32, 35–36, 41, 49, 53, 57, 59, 68–70, 75, 81, 134
Stylo-pharyngien, T2.8, 68, 70, 72, 75–76, 78, 80–81, 136–137
Subclavier, T7.5, T2.8, 188, 195, 221, 234–235, 408, 414, 416, 419
Fascia recouvrant le, 416
Sillon pour le, 408
Subcostal, T4.3, 261
Subscapulaire, T7.6, 186, 197, 245–247, 409, 412, 414–417, 421, 423
Supinateur, T7.6, 409, 430, 435, 437–441, 463, 469
Supra-épineux, T7.6, 180, 183, 409–410, 412–418, 422, 468, 470
Tarsal supérieur (de Müller), T2.1, 94
Temporal, T2.9, 34, 50, 55, 59–60, 111, 113
Tenseur
Du fascia lata, 400–401, 471, 481–482, 484, 490–493, 496
Tenseur
Du tympan, T2.9, 59, 106–107
Nerf, 133
Du voile du palais, T2.9, 56, 59, 67, 72, 78, 81, 106
Nerf, 60, 133
Tendon, 67, 78
Thyro-aryténoïdien, T2.9, 91–92
Action, 93
Partie thyro-épiglottique, 91–92
Thyro-hyoïdien, T2.9, 32, 35–36, 38, 69, 92, 139–140
Nerf, 41, 82, 140
Tibial
Antérieur, 471, 484, 497–498, 506, 510–512, 514, 522, 533
Postérieur, 506, 509, 513–514, 532
Trachéal, 208

Muscle (Suite)

Transversaire épineux, 245
Transverse
De l'abdomen, T5.3, 181, 195–196, 254, 256, 258–259, 261–262, 265, 269, 283, 311–312, 344, 348, 486, 488
Aponévrose, 255, 258
Aponévrose d'origine, 181, 185
Du thorax, T4.3, 186, 195–197, 220
Trapèze, T3.3, T2.1, T3.1, T7.6, 8, 32–36, 38, 138, 161, 180, 183–184, 186, 194–195, 197, 245–248, 257, 402, 408–410, 413–414, 416, 419
Triceps brachial, T7.6, 161, 187, 402, 409–410, 413–414, 418–419, 422–423, 425, 427, 440, 468
Chef
Latéral, 161, 246–247, 402, 413
Long, 161, 245–247, 402, 410, 413
Tendon, 161, 402
Uvulaire, T2.1, T2.9, 67
Vasculaire lisse, innervation, 172
Vaste
Intermédiaire, 480–483, 498, 529
Latéral, 401, 471, 480–484, 490–491, 496–498, 510–511, 529.
En profondeur du tractus ilio-tibial, 492
Médial, 471, 480–483, 490–491, 496–498, 511, 529
Nerfs, 490
Vocal, T2.9, 91–92
Action, 93
Zygomatique
Grand, T2.9, 31, 55, 134
Petit, T2.9, 31, 55, 134
Action, 93
Partie droite, 91
Muscularis mucosae, 308, 375
Du canal anal, 375–376
Du rectum, 376
Muscleuse anorectale, 376
Myomètre de l'utérus, 379

N

Narines, 8
Nasion, 11
Nasopharynx, 77, 79, 105, 115
Voies, 43
NC I. Voir nerfs olfactifs (NC I)
NC II. Voir nerf optique (NC II)
NC III. Voir oculo-moteur (NC III)
NC IV. Voir nerf trochléaire (NC IV)
NC IX. Voir nerf glosso-pharyngien (NC IX)
NC V. Voir nerf trijumeau (NC V)
NC VI. Voir nerf abducens (NC VI)
NC VII. Voir nerf facial (NC VII)
NC VIII. Voir nerf vestibulo-cochléaire (NC VIII)
NC X. Voir nerf vague (NC X)
NC XI. Voir nerf accessoire (NC XI)
NC XII. Voir nerf hypoglosse (NC XII)

Nerf

Abducens (NC VI), T2.2, 60, 64, 96–98, 115, 124, 128
Distribution motrice et sensitive de, 129
Fissure orbitaire supérieure, 20
Schéma, 132
Accessoire (NC XI), T2.2, 39–41, 49, 64, 76, 82, 85–86, 115, 124, 127–128, 138, 140, 183, 417
Dans le foramen jugulaire, 20
Distribution motrice et sensitive, 129
Fosse jugulaire, 19
Racine crâniale, 138
Racines spinales, 20, 138
Dans le foramen magnum, 19
Schéma, 138

Nerf (Suite)

Alvéolaire
Inférieur, 25, 56–57, 59–60, 66, 69, 82, 133, 142, 145
Supérieur
Infra-orbitaire, 60
Moyen, 66
Postérieur, 60
Rameaux dentaires, 63
Rameaux gingivaux, 63
Anal inférieur, T6.2, 361, 392–393, 395–396
Ano-coccygiens, 393, 395, 487, 489
Articulaire récurrent du nerf fibulaire commun, 533
Auriculaire
Grand, 9, 38–40, 140, 183
Postérieur, 54, 59, 134
Rameau occipital, 134
Auriculo-temporal, 9, 25, 53, 56–57, 59–60, 82–83, 133, 136, 145
Racines, 60
Autonome. *Voir aussi système nerveux autonome*
De la tête, 142
Du cou, 141
Du thorax, 213
Aillaire, T7.1, 404, 414, 417, 419–420, 422, 464–466, 468–469
Branches, 414
Nerf cutané latéral supérieur du bras, 183, 404
Buccal, 9, 57, 59–60, 66, 68, 82, 133
Calcanéen
Latéral, 525–526
Médial, 525–526
Cardiaque
Cervical, 213, 232
Inférieur, 141, 231
Moyen, 141, 230–231
Supérieur, 76, 83, 141, 230–231
Sympathique cervical supérieur, 142
Thoracique, 199
Carotico-tympanique, 134
Carotidien
Externe, 172
Interne, 62, 64, 141–142, 144, 172, 232
Carré plantaire, 532
Caverneux, T6.2, 132
Du pénis, 392, 398
Cervical
Transverse, 9, 38–40, 140
Ciliaire
Court, 61, 97–98, 132–133, 142–143
Long, 61, 97–98, 132–133, 142–143
Clunial
Inférieur, 183, 393, 395, 474, 492–493, 531
Moyen, 183, 474, 492
Supérieur, 183, 257, 474, 492
Coccygien, 169–170, 489
Cochléaire, 105, 108–110, 135
Crânien
Distribution motrice et sensitive, 129
Noyaux, dans le tronc cérébral, 127–128
Cutané
De la cuisse
Antérieur, 529
Latéral, 260, 264, 269, 311, 391, 473–475, 486–488, 490–491, 496, 529–530
Postérieur, 169, 183, 393, 395, 474, 487, 489, 492–493, 496, 531
postérieur, branche périnéale, 395
De la tête, 9
De l'avant-bras
Latéral, 404–406, 421, 425, 436, 438, 441, 459, 462–465
Médial, 404–405, 419–420, 423, 425, 441, 459, 462–466
Postérieur, 404–406, 422, 425, 441, 458–459, 462, 464, 468–469

Nerf (Suite)

Dorsal
Intermédiaire, 533
Latéral, 473–474, 521, 531–533
Médial, 533

Du bras
Inférieur latéral, 405, 422, 468–469
Latéral supérieur, 183, 405, 414, 417, 422, 468–469
Postérieur, 405, 422, 464, 468–469
Médial, 259, 405, 419–420, 423, 425, 463–466

Du cou, 9, 38
Perforant, 393, 395, 474, 487, 489, 493

Sural
Latéral, 473–474, 492, 507–508, 514, 531–533
Médial, 474, 492, 507–508, 514, 531–532

De l'œsophage, 243

De l'orbite, 97

De la base du crâne, 64

De la cavité nasale, 46, 48

De la fesse, 493

De la hanche, 493

De la paroi abdominale
Antérieure, 260
Postérieure, 269

De la région profonde de la face, 63

De la tête, 82

Régions, 82

Des organes génitaux externes
Chez la femme, 395
Chez l'homme, 391

Digital
Dorsal, 406, 458, 460–461, 473, 511
Du pied, 533
Latéral, 473
Palmaire, 406, 449–450
Commun, 456, 466–467
Propre, 450, 456, 458–460, 466–467
Propres plantaires, rameaux, 512

Dorsal
Du clitoris, 395
Du pénis, 363, 365, 387, 391–393, 395, 398

Du cou, 39–40
Régions, 39–40, 82

Du dos, 183

Du larynx, 92

Du muscle court fléchisseur de l'hallux, 532

Du muscle court fléchisseur des orteils, 532

Du périnée
Chez la femme, 395
Chez l'homme, 393

Du sinus carotidien (de Hering) (NC IX), 136, 141–142

Ethmoïdal
Antérieur, 20, 61, 97–98, 132–133
Rameau nasal externe, 9, 46, 48, 61
Rameau nasal latéral interne, 46
Rameaux nasaux interne et médial, 46, 98
Postérieur, 20, 61, 97–98, 132–133

Facial (NC VII), T2.2, 20, 41, 49, 57, 59–60, 62, 64, 66, 68, 76, 82, 105, 107, 110, 115, 124, 128, 133–134, 142, 145–146

Anastomose, 136

Branche, 53–54, 173
Buccale, 54
Cervicale, 54
Destinée au digastrique, 54
Destinée au stylohyoïdien, 54
Latérale nasale, 47
Marginale de la mandibule, 38, 54
Temporale, 54
Zygomatique, 54

Distribution, 129

Foramen stylo-mastoidien, 19

Ganglion géniculé, 127, 142

Genou du, 128

Nerf (Suite)

Nerf intermédiaire, 144

Corde du tympan, 19

Noyau moteur, 134

Proprement dit, 54

Racine motrice, 135

Schéma, 134

Fémoral, 169, 256, 262, 264, 269, 389, 391, 400–401, 475, 486–488, 490–491, 529–530

Branches, 496

Rameaux
Cutanés antérieurs, 391, 473
Terminaux. *Voir Nerf saphène*

Fibulaire
Commun, T8.2, 485, 487, 489, 492, 497–498, 501, 507–512, 531–533
Branche communicante surale, 474
Profond, 512, 514, 521–522, 533
Rameau latéral, 521–522, 533
Rameau médial, 511–512, 521–522, 533
Rameau récurrent, 512
Rameaux digitaux dorsaux, 511–512, 521–522
Superficiel, 473, 510–512, 514, 521–522, 531, 533
Rameau cutané dorsal intermédiaire, 473
Rameau cutané dorsal médial, 473
Rameaux digitaux dorsaux, 521–522

Frontal, 61, 97–98, 132–133, 142

Génito-fémoral, T5.2, 264, 269, 311, 316, 391, 486–488, 530

Branches fémorales, 260, 264, 269, 391, 473, 487

Rameau génital, 260, 262, 264, 269, 369, 391, 473, 487

Glossopharyngien (NC IX), 40–41, 49, 64, 66, 72, 76, 83, 115, 124, 127–128, 134, 137, 141–142, 144–146, 214

Branche linguale, 146

Dans la fosse jugulaire, 19

Dans le foramen jugulaire, 20

Distribution, 129

Ganglion inférieur, 64, 146

Nerf du sinus carotidien, 41

Rameau, 173

Tympanique, 19

Schéma, 136

Glutéal
Inférieur, 169, 487, 489, 492–493
Supérieur, 169, 487, 489, 492–493

Grand auriculaire, 184

Grand splanchnique, 201, 213, 234–235
Droit, 200, 243
Gauche, 200, 220, 243

Hypogastrique, 305, 320–321, 391–392, 396–399
Droit, 394
Gauche, 394

Hypoglosse (NC XII), 39–41, 49, 59, 64, 68, 76, 82–84, 86, 115, 124, 128, 139–140

Dans le canal hypoglosse, 19–20

Distribution, 129

Noyau, 127–128, 139

Rameau méningé, 139

Schéma, 139

Veine satellite, 70, 84

Ilio-hypogastrique, T5.2, 169, 183, 269, 311–312, 391, 396, 486–488, 530

Branches antérieures, 487

Rameau cutané
Antérieur, 260, 269, 391
Latéral, 257, 260, 474, 487

Ilio-inguinal, T5.2, 169, 260, 263, 269, 311, 391, 396, 486–488, 530

Branche labiale inférieure, 395

Rameaux scrotaux antérieurs, 260, 269, 391, 473

Nerf (Suite)

Infra-orbitaire, 9, 42, 61–64, 66, 82, 94, 98, 132–133

Rameaux
Alvéolaires supérieurs, 133
Nasaux internes, 48

Infra-trochléaire, 9, 42, 61, 97, 133

Droit, 98

Gauche, 98

Intercostal, T5.2, T4.1, 169, 188, 195–197, 232, 234–235, 487
1^{er}, 231
3^e, 243
6^e, 213
8^e, 213

Branches collatérales, 196

Branches cutanées
Latérales, 183, 197
Postérieures, 183

Inférieur, 199

Rameau antérieur, 186

Rameaux cutanés
Antérieurs, 194, 196–197, 417
Latéraux, 194–195, 197, 417

Intercostobrachial, 195, 260, 404–405, 417, 419, 463

Intermédiaire (de Wrisberg), 115, 134, 142, 146

Racine motrice, 135

Interosseux
Antérieur, 438, 441, 466
Crural, 532
Postérieur, 435, 441, 469

Jugulaire, 141

Labial postérieur, 395–396

Lacrymal, 61, 63, 97–98, 132–133, 142

Rameau palpébral, 9, 61

Laryngé
Récurrent, T2.2, 33, 40, 76, 82, 92, 141, 236, 243
Droit, 34, 80, 87–89, 92, 137, 230, 243
Gauche, 87–89, 137, 199, 210, 213–214, 216, 230, 235–236, 243, 245–246
Supérieur, 76, 137, 141–142, 146, 214, 243
Rameau externe, 82, 87–89, 92, 137
Rameau interne, 75, 78, 80, 82, 87–89, 92, 137, 146

Lingual, 25, 53, 56–57, 59, 65–66, 68–70, 82, 133–134, 142, 144–146

Lombal spinal, 185

L1, 164–165, 169
Dermatomes, 171
Rameau antérieur, 392
Rapports vertébraux, 170
Vue antérieure, 162
Vue latérale gauche, 162
Vue postérieure, 162

L2, 164
Dermatomes, 171
Ganglion, 394
Rameau antérieur, 167, 399
Rapports vertébraux, 170
Vue supérieure, 164

L3, 164
Dermatomes, 171
Rameau antérieur, 397
Rapports vertébraux, 170
Vue postérieure, 164
Vue supérieure, 164

L4, 164, 167
Dermatomes, 171
Rapports vertébraux, 170
Vue postérieure, 164

L5, 164, 169, 394
Corps de la vertèbre, 167
Dermatomes, 171
Rameau antérieur, 392
Rapports vertébraux, 170

Nerf (Suite)

Vue antérieure, 162
 Vue latérale gauche, 162
 Vue postérieure, 162
 Renflement, 170
 Mandibulaire, 9, 19–20, 25, 59–60, 66, 82, 97–98, 115, 132–133, 136, 142, 144–146
 Branche auriculaire, 133
 Division
 Antérieure, 59
 Postérieure, 59
 Racine
 Motrice, 59
 Sensitive, 59
 Rameau
 Méningé, 19–20, 59, 97, 133
 Parotidien, 133
 Temporal superficiel, 133
 Massétérique, 55–57, 59–60, 82, 133
 Maxillaire, 9, 20, 46, 59–61, 63–64, 66, 82, 97–98, 115, 132–133, 142, 144–146
 Branche
 Zygomatico-faciale, 133
 Zygomatico-temporale, 133
 Rameau
 Méningé, 97, 133
 Nasal du nerf alvéolaire supéro-antérieur, 48
 Nasal latéral supéro-postérieur, 48
 Médian, T7.1, 404, 419–421, 423, 425, 436–438, 441, 444, 450, 452, 455–456, 462–466
 Anastomoses, 456
 Branche palmaire, 404, 406, 436–437, 449, 456, 462, 466
 Digital palmaire
 Commun, 463
 Propre, 462–463
 Rameau, 455–456
 Articulaire, 466
 Mentonnier, 9, 59, 66, 82, 133
 Musculo-cutané, 419–421, 423, 425, 438, 462–466
 Branche
 Antérieure, 465
 Postérieure, 465
 Partie terminale, 404
 Rameau articulaire, 465
 Mylo-hyoïdien, 25, 57
 Nasal
 Externe, 42
 Postérieur, 144
 Naso-ciliaire, 61, 97–98, 132–133, 142–143
 Naso-palatin, 46, 48, 62–63, 66
 Dans la fosse incisive, 19
 Sillon, 45
 Obturateur, T8.2, 256, 264, 269, 382, 392, 400, 486–488, 496, 529–530
 Accessoire, 269, 487–488
 Branche
 Antérieure, 491, 530
 Postérieure, 491, 530
 Hiatus tendineux de l'adducteur, 530
 Rameau
 Articulaire, 530
 Cutané, 473–474, 491, 530
 Occipital
 Grand, 9, 140, 183–184
 Petit, 9, 39–40, 140, 183–184
 Troisième, 9, 183–184
 Oculomoteur (NC III), T2.2, 60, 96–98, 115, 124, 127–128, 142, 155
 Branche
 Inférieure, 97, 132
 Supérieure, 97, 132
 Dans la fissure orbitaire supérieure, 20
 Distribution motrice et sensitive, 129

Nerf (Suite)

Innervation, 173
 Schéma, 132
 Olfactif (NC I), T2.2, 20, 46, 48
 Distribution motrice et sensitive, 129
 Fibres, 130
 Schéma, 130
 Ophtalmique, 9, 59–61, 64, 66, 97–98, 115, 132, 142–146
 Nerf
 Frontal, 20
 Lacrymal, 20
 Naso-ciliaire, 20
 Rameau tentorial (méningé), 97, 133
 Optique (NC II), 20, 50, 64, 96–98, 100, 103, 115, 117–118, 143, 154–155
 Distribution motrice et sensitive, 129
 Droit, 148
 Gaine méningée, 97, 100, 104
 Gauche, 148
 Schéma, 131
 Vaisseaux de la tunique interne, 104
 Palatin, 46, 144
 Descendant, 144
 Grand, 46, 48, 62–64, 67, 82, 133, 142, 144
 Dans le foramen petit palatin, 19
 Rameaux nasaux latéraux postéro-inférieurs, 46, 48, 142
 Petit, 46, 48, 62–64, 67, 82, 133, 142, 144
 Dans le foramen grand palatin, 19
 Pectoral
 Latéral, 194, 416, 419–420
 Médial, 194, 419–420
 Perforant, cutané, 393, 395
 Périnéal, 361, 374, 392–393, 395, 487, 493
 Branche
 Profonde, 361, 393, 395
 Superficielle, 361, 393, 395
 Profond, 393
 Superficiel, 393
 Pétreux
 Grand, 19–20, 60, 62, 64, 97, 136, 142, 144
 Dans le foramen déchiré, 19
 Hiatus, 20
 Issu du nerf intermédiaire, 134
 Sillon, 18, 110
 Petit, 19–20, 59–60, 97, 106, 133–134, 136, 145
 Hiatus, 20
 Sillon, 18
 Profond, 46, 62, 134, 136, 142, 144
 Pharyngien, 144
 Phrénique, T4.1, 33, 37–40, 82–83, 87, 141, 195–196, 199, 204, 210, 215–216, 220, 230, 234–236, 299, 417, 419–420
 Branche
 Péricardique, 199
 Phrénico-abdominale, 199
 Droit, 199–201, 219, 246, 322
 Gauche, 199–201, 219, 235
 Rameaux antérieurs, 201
 Plantaire
 Digital
 Commun, 525, 532
 Propre, 532
 Latéral, 513, 520, 525–526, 531–532
 Branche profonde, 525–526
 Branche superficielle, 525–526
 Rameaux cutanés plantaires, 474
 Médial, 509, 513, 520, 523, 525–526, 531–532
 Branche profonde, 526
 Branche superficielle, 526
 Rameaux cutanés plantaires, 474
 Pterygoidien médial, 56
 Pudendal, T6.2, 169, 269, 306, 361, 374, 392–400, 487, 489, 492–493

Nerf (Suite)

Dans le canal pudendal, 395
 Interne, 401
 Radial, T7.1, 404, 414, 417, 419–420, 422, 425, 437–438, 462–466, 468–469
 Branche
 Profonde, 437, 441, 463, 469
 Branche
 Superficielle, 404, 406, 434, 437, 441, 458–459, 462–464, 469
 Nerf
 Digital dorsal, 404
 Inférolatéral du bras, 404
 Postérieur du bras, 404
 Rameaux
 Communicants, 458
 Digitaux dorsaux, 457, 462, 469
 Sacral, rameau périnéal, 487, 489
 Saphène, 473, 490–492, 512, 514, 529, 532
 Branches cutanées crurales médiales, 529
 Rameau, 474
 Infra-patellaire, 473, 490–491, 511–512, 529
 Scapulaire, 419
 Dorsal, 420, 468
 Inférieur, 419
 Sciatique, 169, 395, 401, 485, 487, 489, 492–494, 496, 531
 Division tibiale, 531
 Droit, 400
 Gauche, 400
 Rameaux musculaires, 492
 Scrotal postérieur, 392–393, 493
 Spinal, 174, 177, 186, 232
 C8, 169
 L5, rameau postérieur, 167
 Origine, 175
 Coupes transversales, 175
 Racine
 Antérieure, 174, 303
 Postérieure, 174
 Rapports vertébraux, 170
 S1, 170
 S2, 170
 S3, 170
 S4, 170
 S5, 170
 Rameau
 Antérieur, 174, 261
 Méningé, 261
 Postérieur, 174
 S1, 169
 Corps vertébral, 379
 Dermatomes, 171
 Rameau antérieur, 392, 396
 S2, dermatomes, 171
 S3, dermatomes, 171
 S4, dermatomes, 171
 S5, 169
 Dermatomes, 171
 T1, 143–145, 169
 Dermatomes, 171
 Rapports vertébraux, 170
 T2, 144–145
 Dermatomes, 171
 Rapports vertébraux, 170
 T3
 Dermatomes, 171
 Rapports vertébraux, 170
 T4
 Dermatomes, 171
 Rapports vertébraux, 170
 T5
 Dermatomes, 171
 Rapports vertébraux, 170
 T6
 Dermatomes, 171
 Rapports vertébraux, 170

Nerf (Suite)

- T7
 - Dermatomes, 171
 - Filets radiculaires postérieur, 169
 - Rameau antérieur, 396
 - Rapports vertébraux, 170
- T8
 - Dermatomes, 171
 - Filets radiculaires postérieur, 169
 - Rapports vertébraux, 170
- T9
 - Dermatomes, 171
 - Rapports vertébraux, 170
- T10
 - Dermatomes, 171
 - Rameau antérieur, 392
 - Rapports vertébraux, 170
- T11
 - Dermatomes, 171
 - Rameau antérieur, 396
 - Rapports vertébraux, 170
- T12, 169
 - Dermatomes, 171
 - Rapports vertébraux, 170
- Thoracique type, 186
- Spinal cervical, 33
 - C1, 82, 138, 169–170
 - Radicelles antérieures, 124
 - Radicelles postérieures, 124
 - Relation vertébrale, 182
 - C2, 82, 138, 170
 - Dermatome, 171
 - Rameau antérieur, 39
 - Relation vertébrale, 182
 - C3, 138, 170
 - Dermatome, 171
 - Rameau antérieur, 39
 - C4, 82, 138, 170
 - Dermatome, 171
 - Relation vertébrale, 184
 - C5, 170
 - Dermatome, 171
 - Rameau antérieur, 39
 - Relation vertébrale, 184
 - C6, 170
 - Dermatome, 171
 - Relation vertébrale, 184
 - C7, 170
 - C8, 169–170
 - Rameaux postérieurs, 9
 - Renflement, 170
 - Sillon, 27–28
- Splanchnique, 305, 396
 - Grand, 172, 391, 396
 - Thoracique, 300–301, 303–304, 309–310, 320, 322
 - Imus, 172, 213, 391, 396
 - Lombal, 172, 306, 320, 322, 391–392, 394, 396–397, 399
 - 1^{er}, 321–322
 - 5^e, 392
 - Supérieur, 398
 - Pelvien, 173, 305–306, 321, 392, 394, 396–399, 487, 489
 - Petit, 172, 391, 396
 - Thoracique, 201, 213, 300–301, 303–304, 320–322
 - Sacral, 172, 306, 320, 392, 394, 399, 489
 - Sympathique, T5.2
 - Thoracique, 232, 392
 - Grand, 261, 269, 305, 397–398
 - Imus, 398
 - Petit, 261, 269, 397–398
 - Subcostal, T5.2, 169, 269, 311–312, 391, 396, 486–488
 - Branches
 - Antérieures, 487
 - Latérales, 487

Nerf (Suite)

- Rameau cutané
 - Antérieur, 260
 - Latéral, 257, 269, 473
- Sublingual, 59
- Suboccipital, 29, 184
- Subscapulaire, 414
 - Inférieur, 417, 420, 468
 - Supérieur, 419–420
- Supra-claviculaire, 9, 38–40, 140, 404–405
 - Intermédiaire, 404–405
 - Latéral, 404–405
 - Médial, 404–405
- Supra-orbitaire, 9, 42, 61, 94, 133
 - Gauche, 98
- Rameau
 - Latéral, 97–98
 - Médial, 97–98
- Supra-scapulaire, 417, 419–420, 468
- Supra-trochléaire, 9, 42, 61, 94, 97–98, 133
- Sural, T8.2, 474, 531–533
 - Rameau calcanéen latéral, 474, 509
- Sympathique, 214
- Temporal profond, 82, 133
 - Antérieur, 57, 59–60
 - Postérieur, 57, 59–60
- Thoracique
 - Long, T7.1, T4.1, 189, 194–195, 260, 417
 - Rameau postérieur, 197
- Thoraco-abdominal, 261
 - Branches
 - Collatérale, 261
 - Cutanée, 194
 - Latérale, 261
 - Médiale, 261
- Racine
 - Antérieure, 261
 - Postérieure, 261
- Rameau
 - Communicant, 261
 - Cutané antérieur, 261
 - Cutané latéral, 261
 - Méningé, 261
 - Postérieur, 261
- Thoraco-dorsal, 414, 417, 419–420
- Tibial, 485, 487, 489, 492, 507–509, 513–514, 531–532
 - Postérieure, 520, 525
- Rameau
 - Articulaire, 531–532
 - Calcanéen latéral, 532
 - Calcanéen médial, 474, 523, 531–532
- Trijumeau (NC V), T2.2, 60–61, 64, 66,
 - Distribution motrice et sensitive, 129
- Ganglion, 133, 142
- Imagerie, 160
- Nerf
 - Mandibulaire (NC V3), 9
 - Maxillaire (NC V2), 9
 - Ophtalmique (NC V1), 9
- Noyau
 - Mésencéphalique, 128, 146
 - Moteur, 127–128, 146
 - Sensitif principal, 127–128, 133
 - Spinal, 137
- Racine
 - Motrice, 142
 - Sensitive, 142
- Schéma, 133
- Trochléaire (NC IV), T2.2, 60, 64, 96–98, 115, 124–125, 127–128, 155
 - Dans la fissure orbitaire supérieure, 20
 - Distribution motrice et sensitive, 129
 - Schéma, 132
- Tympanique, 64, 106, 134, 136, 145
 - Inférieur, 107

Nerf (Suite)

- Ulnaire, T7.1, 404, 419–420, 422–423, 425, 434–438, 441, 444, 450, 452, 455–456, 459, 462–467
- Branches
 - Dorsale, 404, 406, 434, 437–438, 441, 458–459, 463, 467
 - Palmaire, 404, 406, 437, 449, 462, 467
 - Profonde, 437–438, 449–450, 455–456, 463, 467
 - Superficielle, 437, 449–450, 456, 463, 467
- Rameau
 - Articulaire, 467
 - Communicant, 458
 - Digital commun palmaire, 463
- Sillon, 410, 426
- Vague (NC X), 33, 39–41, 40–41, 49, 64, 66, 76, 83, 87–89, 115, 124, 127–128, 136, 138, 141–142, 146, 173, 210, 213–215, 231, 236, 243, 306, 321
- Branches
 - Auriculaire, 9, 19, 137
 - Auriculaire, anastomose, 136
 - Laryngée récurrente, T4.1
 - Laryngopharyngienne, 141
 - Pharyngée, 76, 136–137, 141–142, 243
- Dans la fosse jugulaire, 19
- Dans le foramen jugulaire, 20
- Distribution motrice et sensitive, 129
- Droit, 88, 199, 210, 216, 230, 234, 243, 245
- Ganglion
 - Inférieur, 64, 76, 137–139, 146, 243
 - Supérieur, 76, 137–138, 243
- Gauche, 88, 199, 210, 216, 230, 235, 245–246
- Noyau dorsal, 127, 137
 - Postérieur, 128, 231, 306, 321
- Rameau
 - Cardiaque cervical antérieur, 137, 230
 - Cardiaque cervical supérieur, 137, 141–142, 230
 - Cardiaque thoracique, 137, 230–231
 - Méningé, 137
- Schéma, 137
- Vestibulaire, 105, 108, 110, 135
- Partie
 - Inférieure, 108, 110, 135
 - Supérieure, 108, 110, 135
- Vestibulo-cochléaire (NC VIII), 20, 60, 76, 105, 108, 110, 124, 127–128, 142
 - Distribution motrice et sensitive, 129
 - Schéma, 135
- Zygomatofacial, 9, 61, 63, 98
- Zygomatofacial-temporal, 9, 61, 63, 98
- Zygomatique, 61, 63, 98, 132–133
 - Rameau
 - Zygomatofacial, 82
 - Zygomatofacial-temporal, 82

Nez, 42

- Aile, 8
- Coupe transversale, 49
- Innervation, 173

Nodule lymphatique, 279

- Agrégé, 279
- Solitaire, 279

Nœud, 7, 416

- Atrio-ventriculaire (av), 229
- Axillaire apical (subclavier), 190–191
- Cœliaques, 242, 268
- De Cloquet ou de Rosenmüller, 268
- Du promontoire, 319, 388, 390
- Épigastrique inférieur, 268
- Facial naso-labial, 85
 - Buccinateur, 85
- Gastrique, gauche, 242
- Iliques communs, 268, 319
- Inférieur, 389
- Infra-claviculaire, 407

Nœud (Suite)

Infra-mammaire, 191
 Inguinal
 Profond, 268, 388–390
 Profond suprême (de Cloquet), 388–390
 Superficiel, T8.2, 268, 388–390, 475
 Inférieur, 475
 Supéro-latéral, 475
 Supéro-médial, 475
 Intercostal, 242
 Intra-pulmonaire, 212
 Jugulo-digastrique, 85–86
 Jugulo-omo-hyoïdien, 85–86
 Latéral aortique, 388
 Lombal, 268
 Lymphatique
 Interpectoraux (de Rotter), 190–191
 Lymphatique cervical, 7
 Antérieur, 85
 Profond
 Inférolatéral, 85
 Latéral, 86
 Superficiel
 Latéral, 85
 Lymphatique cervical inférieur profond, 212, 242
 Lymphatique inguinal, 7
 Profond, 475
 Lymphatiques axillaires
 Antérieurs, 190
 Apicaux, 190–191
 Centraux, 190–191, 416
 Latéraux, 190–191, 407
 Pectoraux, 416
 Postérieurs, 190–191
 Lymphatiques centraux, 190
 Mandibulaire, 85
 Mastoïdien, 85
 Médiastinal
 Postérieur, 242
 Voie de drainage, 190
 Mésentérique
 Inférieur, 266, 268
 Supérieur, 268
 Obturateur, 388
 Occipital, 85
 Paratrachéal, 242
 Droit, 212
 Gauche, 212
 Pariétal postérieur, 242
 Parotidien, 85
 Phrénique
 Inférieur, 268
 Voies de drainage vers, 190
 Supérieur, 242
 Pré-aortique, 390
 Présymphysaire, 390
 Prétrachéal, 87
 Pulmonaire (intra-pulmonaire), 212
 Rétro-pharyngien, 86
 Sacral
 Latéral, 268, 388, 390
 Moyen, 268, 319, 388, 390
 Sinu-atrial (SA), 229
 Submandibulaire, 85–86
 Submentonnier, 85–86
 Supéro-latéral, 389
 Supéro-médial, 389
 Supra-claviculaire, 85
 Supra-trochléaire, 407
 Thyroïdien, 85
 Trachéo-bronchique, 268
 Inférieur, 212, 242, 247
 Inférieur de la carina, 212
 Supérieur, 242, 246
 Droit, 212
 Gauche, 212

Nœud (Suite)

Vésical
 Latéral, 319
 Prévésical, 319
Nœud lymphatique, 401
 Axillaire, 7
 Broncho-pulmonaire (hilaire), 193, 205, 234–235
 Cervical, 7
 Intérieur profond, 212
 De la glande mammaire, 7, 190
 De la langue, 86
 De la tête, 85
 De l'humérus, 190–191
 De l'œsophage, 242
 De Rotter, 190–191
 Des organes génitaux
 Chez la femme, 388
 Chez l'homme, 390
 Des poumons, 212
 Du canal fémoral, 264
 Du cou, 85
 Du pharynx, 86
 Hilaire, 193, 205, 234–235
 Iliaque, 7
 Commun, 268, 388, 390
 Externe, 268, 319, 390, 475
 Inférieur, 388
 Supérieur, 388
 Interne, 268, 319, 388, 390
 Inguinal, 7
 Interpectoral, 190–191
 Lombal, 7, 268
 Latéral, 388
 Médiastinal, 7, 245
 Para-aortique, T6.2
 Parasternal, 190–191
 Parotidien, superficiel, 85
 Pelvien, T6.2
 Chez la femme, 388–389
 Chez l'homme, 390
 Poplité, 475
 Pré-aortique, T6.2, 388
 Subdiaphragmatique, voies de drainage vers
 le, 190
 Submandibulaire, 68
 Subscapulaire, 190–191
 Trachéo-bronchique, T6.2
 Viscéral, 268

Nouveau-né, crâne, 21**Noyau**

Abducens, 127–128, 132
 Ambigu, 127–128, 136–138
 Arqué, 158
 Basal, 121
 Caudé, 121
 Corps, 119, 121
 Queue, 119, 121, 123
 Tête, 121–123, 154, 156
 Imagerie, 160
 Veine
 Antérieure, 156–157
 Postérieure, 156
 Terminale postérieure, 157
 Transverse, 156–157
 Cérébelleux, 126
 Denté, 126
 Emboliforme, 126
 Fastigial, 126
 Globuleux, 126
 Cochléaire
 Antérieur, 135
 Postérieur, 135
 Denté du cervelet, 125
 Du nerf accessoire, 127–128
 Facial, 127–128

Noyau (Suite)

Hypothalamique
 Paraventriculaire, 158
 Supra-optique, 158
 Hypothalamique
 Latéral, 146
 Intra-laminaire, 122
 Latéral du tractus olfactif, 130
 Lentiforme, 121
 Globus pallidus, 119, 121
 Putamen, 119, 121
 Imagerie, 160
 Médian, 122
 Mésencéphalique, du nerf trijumeau, 133, 146
 Moteur, 133
 Du nerf trijumeau, 146
 Oculo-moteur, 127–128, 132
 Oculo-moteur accessoire, 127–128, 132, 143
 Olfactif antérieur, 130
 Parabrachial, 146
 Pulpeux, 28, 164, 168
 Réticulaire, 122
 Rouge, 118, 127–128
 Salivaire
 Inférieur, 127–128, 136, 145
 Supérieur, 62, 127–128, 134, 144
 Spinal, 133
 Trochléaire, 127–128, 132
 Vestibulaire, 127–128
 Inférieur, 135
 Latéral, 135
 Médial, 135
 Supérieur, 135

O**Obex**, 125**Œil**, 173

Chambre
 Antérieure, 94, 100, 102–103
 Postérieure, 94, 100, 102–103
 Innervation, 172
 Intrinsèque, 103
 Muscles, T2.1
 Extrinsèques, 96, 103
 Innervation, 96
 Vascularisation, 104
Œsophage, 33–34, 76–77, 79, 81, 89, 91, 137, 200, 210–211, 220–221, 234–235, 237, 241, 243–248, 265, 267–268, 271, 305, 311, 324
 Aire lisse sur la face ventrale, 238
 Artères, 240
 Branche récurrente, 201, 266
In situ, 236
 Innervation autonome, 303
 Muscle, 238
 Longitudinal, 277
 Nerfs, 243
 Partie
 Abdominale, 236–237, 240, 276
 Cervicale, 236, 240
 Thoracique, 236, 240
 Sillon œsophagien
 Droite, 205
 gauche, 205
 Sous-muqueuse, 80
 Surface œsophagienne
 Droite, 205
 gauche, 205
 Topographie et rétrécissements, 237
 Vaisseaux et nœuds lymphatiques, 242
 Veines, 241
Olive, 124
Ombilic, T5.1, 249, 256, 299, 333, 379
 De l'oreille, T5.1, 249, 256, 299, 333, 379

Omentum

- Grand, 270, 272, 283, 285, 331
- Petit, 285, 324
 - Bord libre droit, 278
 - Lame
 - Antérieure, 287–288, 301
 - Postérieure, 301
 - Lobe caudé vu à travers, 285

Ongle

- Corps, 461
- Lit, 461
- Matrice, 461
- Racine, 461

Opércule

- Pariétal, 116
- Temporal, 116

Ora serrata, 100, 102–103

Orbite, T2.1, 51

- Artères, 99
- Droite, vue frontale, 11
- Face, 11
- Nerfs, 97
- Paroi médiale, 50
- Variations avec l'âge, 52
- Veines, 99
- Vue
 - Antérieure, 98
 - Postérieure, 98

Oreille

- Ampoule, 108–109
- Externe, 106
- Labyrinthe osseux et labyrinthe membraneux, 108–109
- Trajet des sons perçus dans la cochlée, 105
- Vestibule, 108–109

Organe voméronasal, 43

Organes de la reproduction, innervation

- Chez la femme, 397
- Chez l'homme, 398

Organes génitaux

- Externes, 173, 358, 362–363
 - Chez la femme, 395
 - Chez l'homme, 391
- Homologies, 370
- Innervation, 172
- Nerfs, 391
 - Chez la femme, 395
 - Chez l'homme, 391
- Internes, homologies, 371
- Nœuds lymphatiques
 - Chez la femme, 388
 - Chez l'homme, 390
- Vaisseaux lymphatiques
 - Chez la femme, 388
 - Chez l'homme, 390

Orifice

- Du cardia, 277
- Du col de l'utérus
 - Externe, 355, 357
 - Interne, 355
- Iléal, 283
- Pylorique, 279
- Urétral externe, 333, 345, 358, 361, 364, 367, 370, 377

Oropharynx, 72, 77, 79, 237

Orteil

- Nerf et veine digitaux dorsaux du cinquième, 473
- Phalanges distales, 519, 528

Os, T8.1., 515–516, 519, 535

- Calcanéus
 - Tubérosité, 519, 525–526
- Coxal, 476
- Cuboïde, 515–516, 518, 527–528, 535
 - Surface articulaire pour, 517
 - Tubérosité, 519, 527
- Cunéiforme, 515–516, 527–528
 - Médial, 518, 527

Os (Suite)

- De la cavité nasale, 52
 - Du carpe, 442–461
 - Du pied, 515
 - Du thorax, 192
 - Frontal, 8, 11, 13–18, 42, 44–45, 94–95
 - Crête frontale, 18
 - Du nouveau-né, 21
 - Épine nasale, 44–45
 - Face orbitaire, 11
 - Foramen cæcum, 18
 - Glabelle, 11, 13
 - Incisure supraorbitaire, 11, 13, 21
 - Partie
 - Orbitaire, face supérieure, 18
 - Squameuse, 21, 44–45
 - Sinus
 - Frontal, 15, 44–45
 - Sagittal supérieur, sillon, 18
 - Vaisseaux méningés antérieurs, sillon, 18
 - Hyoïde, 22, 32, 35–36, 38, 41, 53, 68, 70, 75, 77–78, 81, 87, 89–90, 92
 - Corps, 22, 69
 - Grande corne, 22, 69, 81
 - Apex, 88
 - Petite corne, 22, 69
 - Lacrymal, 11, 13, 44, 50
 - Du nouveau-né, 21, 52
 - Maxillaire. *Voir maxillaire*
 - Métatarsien, 515–516, 519, 527
 - Cinquième, 509–510, 528
 - Tubérosité, 526–528
 - Premier, 509, 518, 528
 - Tubérosité, 520
 - Nasal, 8, 11–13, 15, 42, 44–45, 50
 - Du nouveau-né, 21, 52
 - Naviculaire, 515–516, 518, 527, 535
 - Tubérosité, 519, 522, 527
 - Occipital, 13–18, 29, 169–170
 - Canal
 - Et fosse condyliques, 17
 - Hypoglosse, 15, 17
 - Clivus, 18
 - Condyle, 18
 - Crête occipitale
 - Externe, 17
 - Interne, 18
 - Du nouveau-né, 21
 - Foramen
 - Jugulaire, 15
 - Magnum, 15, 17
 - Ligne nuchale
 - Inférieure, 17
 - Supérieure, 17
 - Partie basilaire, 15, 17–18, 29, 37, 43–45, 67, 72, 75, 78–79
 - Processus jugulaire, 37
 - Protubérance occipitale
 - Externe, 15, 17
 - Interne, 18
 - Sillon du sinus
 - Occipital, 18
 - Pétreux inférieur, 15, 18
 - Sagittal supérieur, 18
 - Transverse, 15, 18
 - Tubercule pharyngien, 17, 77
 - Vaisseaux méningés postérieurs, sillon, 18
- Palatin, 15, 17, 44
 - Crête nasale, 45
 - Du nouveau-né, 21, 52
 - Épine nasale postérieure, 17, 44–45
- Foramen
 - Grand palatin, 17, 45
 - Petit palatin, 17, 45
- Lame
 - Horizontale, 15, 17, 23, 43–45, 67, 73
 - Perpendiculaire, 15, 44–45

Os (Suite)

- Processus
 - Orbitaire, 11, 44
 - Pyramidal, 17, 21, 23
 - Sphénoïde, 44
- Pariétal, 11, 13–18
 - Angle mastoïdien, 18
 - Du nouveau-né, 21
 - Sillon des vaisseaux méningés moyens (rameaux pariétaux), 18
 - Tubérosité, 21
- Pisiforme, 432, 436–438, 442–450, 452, 455
- Pubien, 324, 339–340, 351, 365, 379, 401
- Scaphoïde, T7.1, 442–443, 445–447, 457
 - Surface articulaire, 429
- Sésamoïde, 443, 446, 515–516, 525–528
 - Du pied, 519
- Sinus paranasaux, 52
- Sphénoïde. *Voir sphénoïde*
- Sutural (wormien), 13, 16
- Temporal, 11, 13, 15, 17–18, 22
 - Aqueduc du vestibule, ouverture, 15
 - Artère
 - Occipitale, sillon, 17, 18
 - Temporale moyenne, sillon, 13
 - Artère carotide interne dans la partie pétreuse, 148
- Astérion, 13
- Canal carotidien, 17
- Canalicule
 - Mastoïdien, 17
 - Tympanique inférieur, 17
- Crête supramastoïdienne, 13
- Du nouveau-né, 21
- Éminence arquée, 18
- Empreinte trigéminal, 18
- Fissure
 - Péto-squameuse, 21
 - Péto-tympanique, 17
- Foramen
 - Cochléaire (rond), 21
 - Mastoïdien, 17
 - Stylo-mastoïdien, 17
 - Vestibulaire (ovale), 21
- Fosse
 - Jugulaire, 17
 - Mandibulaire, 13, 17, 21
- Incisure mastoïdienne, 17
- Méat acoustique
 - Externe, 13, 17
 - Interne, 15
- Nerf
 - Grand pétreux, sillon, 18
 - Petit pétreux, sillon, 18
- Partie
 - Pétreuse, 12, 15, 17–18, 21, 110
 - Squameuse, 13, 15, 18, 21
 - Tympanique, 21
- Processus
 - Mastoïde, 13, 17
 - Styloïde, 13, 17, 21
 - Zygomatique, 13, 17, 21, 58
- Protubérance occipitale externe, 13
- Sinus
 - Pétreux supérieur, sillon, 15, 18
 - Sigmoïde, sillon, 15
- Suture lambdoïde, 13
- Tubercule articulaire, 13, 17
- Wormien, 13, 16
- Zygomatique, 8, 11–13, 17, 50, 94
 - Du nouveau-né, 21
 - Face orbitaire, 11
 - Foramen zygomatoco-facial, 11, 13, 21
- Processus
 - Frontal, 11
 - Temporal, 11, 13

Osselets de l'ouïe, T2.1

Ostium

- Abdominal, 355
- Utérin de la trompe, 355

Ouraque, 344, 349, 359, 382

- Médian, 350
- Reliquat, 356

Ouverture

- Latérale, 119-120
- Médiane du quatrième ventricule, 119, 120, 125, 128

Ovaires, T6.2, 316, 344–346, 353, 355, 371, 382, 394, 397

- Corps
 - Blanc, 355
 - Jaune, 355
- Droite, 356–357
- Follicule (de Graaf), 355
- Gauche, 356
- Ligament, 344, 356, 371
 - Propre, 345–346, 353–355
- Suspenseur, 344–347, 355–357, 371, 382

P

Palais

- Dur, 72, 77
 - Imagerie, 160
- Fibres postsynaptiques, 62
- Innervation, 173
- Mou, 43, 45, 65, 72, 77, 79
 - Imagerie, 160
 - Muscles, 78
- Uvule, 65, 72, 75, 79
- Variations avec l'âge, 52

Pancréas, T5.1, 137, 173, 185, 274, 276, 323–324, 329

- Corps, 273, 276, 288

In situ, 288

- Innervation, 172
 - Autonome, 310
- Queue, 273, 289, 291
- Tête, 273, 276, 278–279, 287, 327
 - Artères, 293

Papille, 74

- Apex kératinisé, 71
- Circumvallée, 71, 146
- Duodénale
 - Majeure, 287
 - Mineure, 279, 287
- Filiforme, 71
- Foliée, 71, 146
- Fungiforme, 71, 146
- Iléale, 281
- Incisive, 67
- Lacrymale
 - Inférieure, 94–95
 - Supérieure, 94–95

Paradidyme, 371

Paroi

- Abdominale
 - Antérieure, 266–267, 317
 - Anastomoses artérielles, T5.2
 - Anastomoses veineuses, T5.2
 - Artères, 258
 - Dissection intermédiaire, 253
 - Dissection profonde, 254
 - Dissection superficielle, 252
 - Nerfs, 260
 - Veines, 259
 - Vue interne, 256
- Coupe sagittale paramédiane, 324
- Postérieure
 - Artères, 266
 - Nerfs, 269
 - Péritoine, 275
 - Vaisseaux et nœuds lymphatiques, 268
 - Veines, 267
 - Vue interne, 265

Paroi (*Suite*)

- Postéro-latérale, 257
- Thoracique
 - Antérieure, 194–195
 - Vue interne, 196
 - Interne, veines, 198
- Trachéale
 - Antérieure, 208
 - Postérieure, 208
 - Muqueuse, 208

Paroophoron, 371

Partie

- Distale, 158
- Flaccide, 106
- Interarticulaire, 164
- Intermédiaire, 158
- Musculaire de la lame prétrachéale du fascia cervical, 33
- Tendue, 106
- Tubérale, 158

Patella, 471, 482–484, 491, 497–498, 502, 510–511

Patte d'oie, 480, 482–483, 497–498

Paume, 443

Paupières, 94

- Artères et veines, 99

Peau, 31, 33, 113

- Du cuir chevelu, 10
- Péri-anale, 376
 - Glandes sudoripares, 375
- Radiographie, 165

Pecten

- Anal, 375
- Du pubis, 250, 334, 338, 476

Pédicule, 163, 167–168

- Cervical, 27
- De L4, 165
- Lombal, 164
- Thoracique, 163

Pédoncule

- Cérébelleux, 125
- Inférieur, 124–126, 135
- Moyen, 124–126
 - Imagerie, 160
- Supérieur, 124–126
 - Décussation, 126
- Cérébral, 50, 117, 118, 124-126, 150

Pelvis, 333–401

- Anatomie de surface, 333
- Arcade tendineuse du fascia, 354
- Coupes IRM sagittale pondérée en T2, 379
- Fémnin
 - Artères, 382–383
 - Contenu, 344
 - Diaphragme, 339–341
 - Mesures, 336
 - Nœuds lymphatiques, 388
 - Radiographie, 335
 - Rapports dans le, 356
 - Urètre, 401
 - Vagin, 401
 - Vaisseaux lymphatiques, 388
 - Veines, 382
 - Viscères, 345
- Grand bassin, 338
- Ligaments, 357
- Ligne terminale, 347–348
- Masculin
 - Artères, 385
 - Contenu, 348
 - Coupe transversale de la jonction vésico-prostatique, 400
 - Diaphragme, 342–343
 - Mesures, 336
 - Nœuds lymphatiques, 390
 - Radiographie, 335
 - Vaisseaux lymphatiques, 390
 - Veines, 385

Pelvis (*Suite*)

- Viscères, 349
- Os et ligaments, 337–338
- Ossature, 334
- Ouverture inférieure, mesures, 336
- Petit bassin, 338

Pénis, 364, 379

- Artère, T6.2
 - Dorsale, 363, 365, 383, 387
 - Gauche, 385
 - Profonde, 363, 365, 367, 387
- Bulbe, 364–365, 367
 - Artère, 365, 387
- Corps, 333, 370
- Corps caverneux, 364–365
- Fascia
 - De dartos, 349, 362–364, 369
 - Profond (de Buck), 252–254, 324, 349, 362–365, 369, 377–378, 387
- Gland, 333, 349, 364, 370
 - Col, 364
 - Couronne, 364
- Ligament
 - Fundiforme, 262, 349
 - Suspenseur, 253, 349
- Nerf
 - Caverneux, 392, 398
 - Dorsal, 363, 365, 387, 391–393, 395, 398, 487, 493
- Peau, 362–364, 369
- pilier, 352, 363–364, 367
- Raphé, 370
- Veine dorsale
 - Profonde, 342–343, 349, 363, 365, 383, 385
 - Superficielle, 252–254, 259, 333, 363, 385

Péricarde, T4.2, T4.1, 33, 200, 210, 215–216, 219, 236

- Centre tendineux, 200
- Fibreux, 204, 219, 235

Partie

- Diaphragmatique, 219
- Sterno-costale, 219
- Surface dénudée, 202

Périnée, 333–401

- Anatomie de surface, 333
- Artères, 386
- Fémnin, 345, 358, 360
 - Dissection superficielle, 359
- Nerfs, 395
- Nœuds lymphatiques, 389
- Vaisseaux lymphatiques, 389
- Fibres croisées, 341
- Masculin, 348, 362–363
 - Artères, 387
 - Nerfs, 393
 - Veines, 387
- Veines, 386

Péritoine

- Fosse paravésicale, 353
- Limite inférieure, 397–398
- Pariétal, 264, 272, 274–275, 309, 324, 332, 348–350, 352
- Utérus recouvert de, 356
- Viscéral, 274, 279, 378

Phalange

- Distale, rameaux nourriciers pour le corps de la, 461
- Main, 448
 - Distale, 446–448, 460–461, 466
 - Moyenne, 446–448, 460–461
 - Proximale, 446–448
- Pied, 516
 - Distale, 515, 519
 - Moyenne, 515, 519
 - Proximale, 515, 519

Pharynx

- Drainage lymphatique, 86
- Innervation afférente, 66

Pharynx (Suite)

- Muscles
 - Ouvert partiellement, vue postérieure, 75
- Vue
 - Latérale, 81
 - Médiale, 78
- Ouvert, vue postérieure, 79
- Paroi postérieure, 65
- Vaisseaux et nœuds lymphatiques, 86
- Vue
 - Médiale, 77
 - Postérieure, 76, 88
- Zone de fibres musculaires éparses, 80–81, 88

Philtrum, 8, 65

Pied

- Arcade veineuse dorsale, 513
- Artères, 473-474, 513, 527
- Dos du, 3, 522
 - Muscles, 521
- Face plantaire, 471
- Ligaments, 519
- Muscle
 - De la plante : deuxième couche, 525-526
 - Interosseux, 527–528
- Nerfs, 473-474, 513, 532-533
 - Digital dorsal, 473
- Os, 515
- Tendons, 519
 - Du long fibulaire passant sous la plante, 510

Pie-mère, 111, 113, 177

- Recouvrant la moelle spinale, 174

Piliers du diaphragme, 185

Plan

- Antérieur, 1
- Coronal, 1
- Dorsal, 1
- Du corps humain et termes de rapport, 1
- Interépineux, 251
- Intertuberculaire, 251
- Postérieur, 1
- Sagittal, 1
- Subcostal, 251
- Transpylorique, 251
- Transversal, 1
- Ventral, 1

Plancher pelvien, 339-349

Plaques de Peyer, (nodules lymphatiques agrégés), 279

Plateau tibial, 501

Platysma, T2.7, 31–33, 38, 134

Plèvre, 205

Plèvre pariétale, 3

- Cervicale, T4.1, 87, 202–203, 234
- Costale
 - Bord
 - Droit, 203
 - Gauche, 203
- Partie
 - Costale, 199–200, 204, 210, 215, 235-236
 - Diaphragmatique, 199–200, 204, 210, 215, 236
 - Médiastinale, 199–200, 204, 210, 215–216, 219–220, 235–236

Plexus, 301, 304–305, 321, 392, 397

- Acromial, 418
- Aortique
 - Abdominal, 303, 392, 394, 396–399.
 - Thoracique, 213
- Brachial, 8, 36, 38–40, 82, 169, 189, 195, 199, 204, 210, 215, 232, 234–236, 416–417, 419
- Branches terminales, 420
- Divisions
 - Antérieures, 420
 - Postérieures, 420

Plexus (Suite)

- Faisceau
 - Latéral, 221, 416, 420, 464–466
 - Médial, 416, 420, 464–466
 - Postérieur, 416, 420, 464–466
- Racines, 420
- Schéma, 420
- Tronc, 37, 414
 - Inférieur, 414, 420
 - Moyen, 414, 420
 - Supérieur, 414, 420
- Cardiaque, 39–40, 137, 213, 230–231, 243
- Carotidien, 107, 142
 - Commune, 141–142
 - Externe, 141–142, 144
 - Interne, 19, 20, 97, 134, 142–143, 172
- Cervical, T2.2, 169, 183
 - Branches, 9
 - Schéma, 40, 140
- Choroïde, 122–123, 125
 - Du troisième ventricule, 117
- Coccygien, 487, 489
- Cœliaque
 - Tronc vagal postérieur, 243
- De la pie-mère
 - Artériel, 177
- Dentaire inférieur, 133
- Gastrique, 392
- Gastro-duodénal, 304
- Hépatique, 137, 301–302, 304
- Hypogastrique, 392
 - Inférieur, 39–40, 172, 306, 320–321, 391–392, 394, 396–399
 - Supérieur, 172, 299, 305–306, 320, 344, 348, 392, 394, 396–399
 - Utéro-vaginal, 397
- Iléo-colique, 305
- Iliaque
 - Commun, 394
 - Externe, 394
 - Interne, 394
- Intermésentérique (aortique abdominal), 269, 300, 304–305, 321, 392, 394, 396–399
- Intramusculaire circulaire, 308
- Lombal, 169, 486, 488, 529–530
 - Rameaux antérieurs, 488
- Lymphatique sous-pleural, 212
- Mésentérique, supérieur, 392
- Myentérique (d'Auerbach), 308
- Nerveux patellaire, 473
- Nerveux sous-séreux, 308
- Œsophagien, T5.2, 39–40, 137, 210, 213, 220, 234–236, 241, 243, 299, 303
 - Rameau sympathique, 213
- Ovarique, 394, 397
- Pampiniforme (veineux), T6.2, 259, 369
- Pelvien
 - Inférieur, 391–392, 394, 396–399
 - Supérieur, 391
 - Utéro-vaginal, 397
- Périglandulaire, 308
- Périmusculaire, 381
- Pharyngien, 136–137, 141–142
- Phrénique, 300–301, 322
- Pial, 176
 - Rameaux périphériques provenant du, 177
- Prévésical, 390
- Prostatique, T6.2, 320, 392, 398–399
- Ptérygoïdien, 60, 84, 99
- Pulmonaire, 39–40, 137, 214, 243
 - Antérieur, 213
 - Postérieur, 213
- Rectal, 305, 320, 322, 392, 394
 - Externe, 381
 - Interne, 381
- Périmusculaire, 381
- Supérieur, 392
- Rénal, 320–322, 399

Plexus (Suite)

- Sacral, 169, 269, 321, 392, 397–399, 487, 489
- Sous-muqueux (de Meissner), 308
- Subcapsulaire, 319
- Surrénal
 - Droite, 300
 - Gauche, 305
- Testiculaire, 391, 398
- Tympanique, 107, 134, 136, 143, 145
- Urétrique, 392
- Utéro-vaginal, 394, 396
- Veineux
 - De la pie-mère, 178
 - Ptérygoïdien, T2.2
- Veineux, 64, 350, 357, 369
 - Aréolaire, 259
 - Basilaire, 114–115
 - Dans le foramen magnum, 19
 - De l'artère vertébrale, 179
 - Externe, 374, 381
 - Du rectum, 375–376
 - Interne, 374
 - Du rectum, 375–376
 - Pampiniforme, T6.2, 383
 - Pharyngien, 76
 - Prostatique, 349, 385
 - Rectal, 267
 - Externe, 298, 376
 - Externe, dans l'espace péri-anal, 375
 - Interne, 375–376
 - Péri-musculaire, 298, 381
 - Utéro-vaginal, 267
 - Vaginal, 401
 - Vésical de l'espace rétro-pubien (de Retzius), 349, 352, 385
- Vertébral, T3.1
 - Antérieur externe, 179
 - Antérieur interne, 178-179
 - De Batson, 114
 - Externe, 178
 - Interne, 175, 178
 - Vésical, 267, 385
- Vésical, 305, 320, 392, 394, 396, 398–399
- Vertébral, 141

Pli

- Alaire, 498
- Ary-épiglottique, 75, 79, 91
- Avasculaire de Treves, 280
- Axillaire
 - Antérieur, 187
 - Postérieur, 187
- Cœcaux, 280, 344, 348
- Circulaire (valves de Kerckring), 279, 287
- Duodéno-jéjunale, 271
- Duodéno-mésocolique, 271, 278
- Frangé, 65
- Gastrique (rides), 239, 277, 328
- Glosso-épiglottique
 - Latéral, 71
 - Médian, 71
- Iléo-cœcal (pli avasculaire de Treves), 280
- Inguinal, 371
- Interurétrique, 352
- Longitudinal, 287
- Malléaire
 - Antérieur, 106
 - Postérieur, 106
- Ombilical
 - Latéral, 344, 348
 - Droit, 256
 - Médial, 344, 348, 356, 382
 - Droit, 256
 - Médian, 344, 348
- Palatin transverse, 67
- Palmaire proximal, 402
- Pharyngo-épiglottique, 75, 80
 - Expansion musculaire, 78
- Recto-utérin, 346

Pli (*Suite*)

Sacro-génital (vésico-sacral), 348, 374
Salpingo-pharyngien, 72, 79
Semi-lunaire, 72, 94-95, 283
Synovial infra-patellaire, 498-499
Triangulaire, 72
Urétrique, 344, 346, 348
Uro-génital, 370
Utéro-sacral, 316, 344
 Utéro-sacré, 356
Ventriculaire, 91
Vésical transverse, 256, 344, 348, 356-357
Vésico-sacral, 348
Vestibulaire, 92
Vocal, 77, 91-92

Poche

A air gastrique, 217
De Rathke, reliquat vestigial du sacculé hypophysaire, 52

Poignet

Artères, 452, 459
Dissection
 Dorsale superficielle, 458
 Palmaire
 Profonde, 450
 Superficielle, 449
 Superficielle, 457
Extenseurs, 431
Fléchisseurs, 432
Innervation cutanée, 462
Ligaments, 444-445
Mouvements, 443
Nerfs, 452, 459
Os, 446
Radiographies, 447
Tendons
 Fléchisseurs, 452
 Extenseurs, 460

Point

De Mcburney, 282
Lacrymal
 Inférieur, 94-95
 Supérieur, 94-95

Pôle du cerveau

Frontal, 116, 118
Occipital, 116, 118
Temporal, 116, 118

Pont, 117, 124-125, 145-146

Imagerie, 160

Porte

Acoustique interne, 110
Du foie, 284

Pouce, 447

Pouls, 4

De l'artère
 Brachiale, 4
 Carotide, 4
 Dorsale du pied, 4
 Faciale, 4
 Fémorale, 4
 Poplitée, 4
 Radiale, 4
 Tibiale postérieure, 4
 Ulnaire, 4

Poumon, 173, 177, 188

Apex, T4.1, 202, 217
Droit, 205, 215, 220-221, 245-247
 Aire trachéale, 205
 Apex, 205
 Bord
 Antérieur, 205
 Inférieur, 202
 Empreinte cardiaque, 205
 Face diaphragmatique, 205
 Fissure
 Horizontale, 202-205
 Oblique, 202, 205
 Hile, 216

Poumon (*Suite*)

Lobe
 Inférieur, 204-205
 Moyen, 204-205
 Supérieur, 204-205
 Racine, 199
 Segments broncho-pulmonaires, 206-207
 Surface œsophagienne, 205
 Vaisseaux et nœuds lymphatiques, 212
Gauche, 205, 215, 219-221, 244-247
 Aire trachéale, 205
 Apex, 203, 205
 Bord
 Antérieur, 205
 Inférieur, 202-203
 Empreinte cardiaque, 205
 Face diaphragmatique, 205
 Fissure oblique, 202-203, 205, 246
 Hile, 216
 Incisure cardiaque, 202, 204
 Lobe
 Inférieur, 204-205
 Supérieur, 204-205
 Racine, 199
 Segments broncho-pulmonaires, 206-207
 Surface œsophagienne, 205
 Vaisseaux et nœuds lymphatiques, 212
In situ, vue antérieure, 204
Innervation, 172
Nœuds lymphatiques, 212
Topographie, vue
 Antérieure, 202
 Postérieures, 203
Vaisseaux lymphatiques, 212
Voies de drainage lymphatique, 212
Vues médiales, 205
Précunéus, 117
Prémolaire, dent, 73-74
Prépuce, 349, 370
Procès ciliaires, 100-102
Processus, 194-195, 409-412, 414-419, 421, 423, 470
 Accessoire, 164
 Alvéolaire
 Du maxillaire, 11, 13, 15, 23, 44, 50
 Articulaire
 Cervical
 Inférieur, 26-28
 Supérieur, 27-28
 Inférieur, 163-164
 De L2, 165
 Lombal
 Inférieur, 164, 167-168
 Supérieur, 164, 167-168
 Sacral, supérieur, 166
 Supérieur, 164, 167
 De L2, 165
 Surfaces, 166
 Thoracique
 Inférieur, 163
 Supérieur, 163
 Axillaire (de Spence), 189
 Bifide, 27
 Clinoïde
 Antérieur, 14-15, 18, 98
 Postérieur, 18
 Condylaire
 De la mandibule, 24
 Tête, 13
 Coracoïde
 De la scapula, 192
 Coronoïde, 60, 429, 433
 De la mandibule, 13-14, 24
 Épineux, T3.1, 163-164, 167-168
 Cervical, 27, 29
 De C7, T3.1, 181-182
 De L1, 165, 185
 De L2, radiographie, 165

Processus (*Suite*)

De L3, 164
De T12, 161, 180-181, 183
Thoracique, 163
Mamillaire, 164
Mastoïde, 12-13, 17, 22-23, 32, 36-37, 69-70, 182
Orbitaire de l'os palatin, 11
Palatin, 15, 23
Ptérygoïde, 17, 23
 Fosse
 Ptérygoïdienne, 17
 Scaphoïde, 17
 Hamulus, 13, 17, 23
 Lame
 Latérale, 13, 15, 17, 23
 Médiale, 15, 17, 23
 Médiale, du nouveau-né, 52
Pyramidal, 17, 21, 23
Styloïde, 13, 17, 21-23, 25, 36-37, 41, 49, 69-70, 75, 79, 81, 107
 De l'ulna, 442
 Du radius, 442
Transverse, 163-164, 167-168, 185, 193
 Cervical, 26, 29
 Coccyx, 166
 Lombal, 164, 167, 334
 L1, 165
 Thoracique type, 163
Unciné, 43-44, 51
Vaginal, 368
Xiphoïde, 193, 196, 202, 204, 249-250, 252, 328
 Du sternum, 187, 194
 Symphyse pubienne, T5.1
Zygomatique, de l'os
 Maxillaire, 11, 17
 Temporal, 13, 17, 21

Proéminence

Laryngée, 90
Œsophagienne, 219

Promontoire, 105, 166

Sacral, 250, 334, 337-338, 340, 345-346, 348, 394
Mesures, 336

Prostate, T6.1, 173, 256, 349, 352, 365-367,

371, 373, 379, 385, 400
Apex, 366
Base, 366
Capsule, 352
Drainage lymphatique depuis la, 390
Ébauche, 371
Innervation, 172
Zone
 Centrale, 366
 Périphérique, 366
 Transitionnelle, 366

Protubérance

Mentonnière, 8, 11, 24
Occipitale
 Externe, 13-15, 17, 23, 161
 Interne, 18

Proximal, termes de rapport, 1

Ptériion, T2.1, 13

Pubis, 476

Branche, 347
 Supérieure, 342, 483
Corps, 400
Radiographie, 335
Surface symphysaire, 394

Pulpe

Blanche splénique, 289
Rouge splénique, 289

Pulpe dentaire, 74

Pulvinar, 118, 121-122, 124-125, 150, 154, 156
Droit, 155
Gauche, 155

Pupille, 94
Pylore, 276, 278, 329
Pyramide, 124
Décussation, 124–125

Q

Queue

De cheval, T3.1, 169–170, 185
Racines antérieures formant, 175
Racines postérieures formant, 175
Radiographie, 165
Infundibulaire, 158

R

Rachis

Lombaire
IRM sagittale en pondération T2, 165
Thoraco-lombaire
Radiographie antéro-postérieure, 165

Racine

Antérieure, 177
Filets, 174
Ganglion, 399
Crâniale, 137
Postérieure, 144

Radiation

Optique, 131

Radius

T7.1, 426–433, 435, 438–445, 447, 455, 460
Bord
Antérieur, 429
Interosseux, 429
Postérieur, 429
Col, 426–427, 429
Face
Antérieure, 429
Latérale, 429
Postérieure, 429
Ligament annulaire, 428
Processus styloïde, 429, 447
Rotateurs, 430
Surface articulaire, 447
Tête, 421, 426–427, 429
Tubérosité, 426

Rameau

Antérieur, 177
Articulaire, 492, 495, 529
Cardiaque thoracique, 213, 231, 243
Circonflexe de la fibula, 503
Communicant, 396, 487
Blanc, 141, 143–145, 172, 174, 186, 197, 213, 231–232, 234–235, 243, 269, 300, 303, 306, 321, 392, 394, 397–399, 488
Gris, 141, 143–145, 172, 174, 177, 197, 213, 231–232, 234–235, 243, 269, 300, 303, 320–321, 392,
Dorsal, spinal, 174
Perforant, 491
Antérieur, 527
Postérieur, 527
Sous-synovial, 495
Tonsillaire, 57

Rampe

Tympanique, 108–109
Vestibulaire, 109

Raphé

Du palais, 67
Médian, du muscle élévateur de l'anus, 341
Périnéal, 358, 370
Ptérygo-mandibulaire
Mandibulaire, 22, 56–57, 67–68, 72, 78, 81
Uro-génital, 370

Rate, T5.2, 202–203, 217, 273–274, 285, 289, 323, 326–327, 330
Aire, 311

Rate (Suite)

Bord
Inférieur, 289
Supérieur, 289
Extrémité
Antérieure, 289
Postérieure, 289
In situ, 289

Récepteurs

De la toux, 214
D'elongation (réflexe de Hering-Breuer), 214
D'irritation, 214

Récessus

Cochléaire, 108
Costo-diaphragmatique, 204, 221
droit, 217
Elliptique, 108
Épitympanique, 105–106
Iléo-cæcal
Inférieur, 280
Supérieur, 280
Infundibulaire, 119
Intersigmoïdien, 272, 316
Latéral, 125
Gauche, 119
Pariéto-mésentérique, 271
Pharyngien, 43, 49, 72, 79
Pinéal, 119
Piriforme, 79, 91
Rétro-cæcal, 272, 280
Sphéno-ethmoïdal, 43–44
Sphérique, 108
Subpoplitée, 498–499
Supra-optique, 117
Supra-pinéal, 119

Rectum, T6.1, 173, 265, 272, 283, 311, 324, 339–341, 344–345, 347–350, 356, 359, 366, 373, 379, 382, 394, 401
Ampoule, 350
Artères, 380
Couche musculaire
Circulaire, 376
Longitudinale, 376

In situ

Femme, 373
Homme, 373
Innervation, 172
Muscularis mucosae, 376
Plis transverses, 375
Radiographie, 165
Veines, 381

Réflexe de Hering-Breuer, 214

Réflexion

Péricardique, 218, 224–225
Péritonéale, 373, 375
Pleurale, T4.1, 202–204

Région

inguinale, 2
Dissections, 262
Droite, 251
Gauche, 251
Antébrachiale
Antérieure, 2
Postérieure, 2–3
Axillaire, 2
Brachiale
Antérieure, 2
Postérieure, 2–3
Cervicale
Antérieure, 2
Latérale, 2
Postérieure, 3
Deltoïde, 2, 3
Épigastrique, 251
Fémorale
Antérieure, 2
Postérieure, 3

Région (Suite)

Frontale, 2
Glutéale (fessière), 3
Hypogastrique, 2, 251
Iléo-cæcale, 279–281, 304
Infra-mammaire, 2
Infra-scapulaire, 3
Latérale droite et gauche (flanc), 251
Lombaire
Antérieure, 2
Postérieure, 3
Lombo-sacrée, ligaments vertébraux, 167
Mammaire, 2
Mentonnière, 2
Nasale, 2
Occipitale, 3
Ombilicale, 2, 251
Orale, 2
Artères, 83
Veines, 84
Orbitaire, 2
Palmaire, 2
Pectorale
Antérieure, 2
Latérale, 3
Périnéale, 2
Pharyngienne
Artères, 83
Veines, 84
Préternale, 2
Pylorique, 277
Sacrée (sacrée), 3
Scapulaire, 3
Scapulo-thoracique, dissection, 417
Sterno-cléido-mastoïdienne, 3
Antérieure, 2
Supra-scapulaire, 3
Temporale, 3
Antérieure, 2
Thoracique latérale, 2
Vertébrale, 3

Rein, T5.1, 173, 185, 233, 273, 278, 285, 368, 382

Bord

Latéral, 314
Médial, 314
Calices rénaux
Majeurs, 314
Mineurs, 314
Capsule du rein, 314

Colonne rénale (de Bertin), 314
Droit, 203, 274–276, 284, 310–311, 316, 318, 323, 326–327
Vue sagittale, 278

Extrémité

Inférieure, 314
Supérieure, 314
Gauche, 203, 274, 289, 316, 323

In situ

Extrémité supérieure, 314
Vue
Antérieure, 311
Postérieure, 312

Innervation, 172

Autonome, 321
Médullaire rénale (pyramides rénales), 314, 330
Nerfs autonomes, 320
Pole, 278
Sinus rénal, 314
Structure macroscopique, 314
Vaisseaux et nœuds lymphatiques, 319

Réseau

Artériel marginal, 107
Veineux dorsal, 406

Rétinaculum

Des extenseurs, 406, 434–435, 457–460
Inférieur, 510–511, 520, 533

Supérieur, 510–511, 520

Des fléchisseurs, 437, 444, 450, 452–453,
455–456, 463, 507–509, 513, 520,
525–526, 532

Fibulaire

Inférieur, 509–510, 518, 520

Tendons fibulaires dans, 517

Supérieur, 507–510, 518, 520

Patellaire

Latéral, 482, 484, 497–498, 510–512

Médial, 482–483, 491, 497–499, 511–512

Rétine

Partie

Ciliaire, 100–101

Optique, 100, 102

Structure, 131

Rétrécissement

Diaphragmatique, 237

Pharyngo-œsophagien, 237

Thoracique, 237

Retzius, espace rétro-pubien de, 254

Rides, 277

Rotation des membres inférieurs, mouvement, 472

S

Sac

Dural, terminaison, 165

Endo-lymphatique, 109

Lacrymal, 94–95

Fosse, 11, 13

Péricardique, 219

Saccule, 108–109, 135

Sacrum, 161–162, 166–167, 169–170, 250, 334, 341–342, 379

Ailes, radiographie, 335

Apex, 166

Artères, 176

Base, 166

Radiographie, 165

Surface

Articulaire, 164

Auriculaire, 167, 476

Scapula, 186, 197, 217, 245–247, 409, 416–417

Acromion, 192

Anastomoses, 418

Angle

De l'acromion, 409–410

Inférieur, 161, 248, 409–410

Supérieur, 409–410

Bord

Latéral, 409–411

Médial, 161, 409–410

Supérieur, 409–410, 415

Cavité glénoïdale, 192, 409, 411–412

Col, 192, 409–410

Corps, 416

Épine, 161, 180, 183, 192, 203, 217, 410, 413,
415–418, 470

Fosse

Infra-épineuse, 192

Subscapulaire, 192

Supra-épineuse, 192

Incisure scapulaire du bord supérieur

(supra-scapulaire), 192

Processus coracoïde, 192, 217, 409–411

Tubercule infra-glénoïdal, 409–410

Vues

Antérieures, 409

Postérieures, 410

Sclère, 94, 100–103

Crête, 100–101

Lame criblée, 100

Sinus veineux, 100–101, 103–104

Scrotum, 333, 368–370

Fascia

De dartos, 349, 362, 369, 372, 377, 387

Superficiel, 253–254

Peau, 369, 372

Septum, 349, 369, 372, 377, 387

Segments

Broncho-pulmonaires, 206–207

Antérieur, 206–207

Apical, 206–207

Apicopostérieur, 206–207

Basal

Antérieur, 206–207

Antéromédial, 206–207

Latéral, 206–207

Médial, 206–207

Postérieur, 206–207

Latéral, 206–207

Lingulaire

Inférieur, 206–207

Supérieur, 206–207

Médial, 206–207

Postérieur, 206–207

Supérieur, 206–207

Rénaux, 315

Sein, 217

Drainage lymphatique, 191

Ligaments (rétinaculum) suspenseurs, 188

Voie de drainage se dirigeant ou provenant du,
190

Selle turcique, 14–15, 18, 45, 77

Dos de la selle, 18

Fosse hypophysaire, 18

Hypophyse dans la, 43

Processus clinioïde postérieur, 18

Tubercule de la selle, 18

Septum, 372

Fibreux, 376

Transverse, 375

De la fosse ischio-rectale, 374, 376–377

Intervalvéolaire, 24

Interatrial, 224, 248

Intercaverneux du fascia profond, 363–364,
367

Intermusculaire

Antérieur, 514

Latéral, 421–422, 425, 435, 438, 468

Médial, 421–422, 425, 435, 437–438

Postérieur, 514

Transverse, 514

Interventriculaire, 228, 248

Partie

Membraneuse, 224

Musculaire, 224–225, 227–229

Membraneux, 225–229

Partie

Atrio-ventriculaire, 220, 224–229

Interventriculaire, 220, 225–229

Nasal, 12, 23, 45–48, 50, 77, 79

Charnière schématique, 47–48

Variations avec l'âge, 52

Orbitaire, 94

Pellucidum, 117, 121–122, 152, 154, 156, 158

Veines, 156–157

Postérieures, 157

Saillant, 43

Scrotal, 387

Subsartorial, 482, 491

Recouvrant l'entrée des vaisseaux fémoraux

dans la fosse poplitée, 490

Séreuse (péritoine viscéral), 279, 289

Sillon

Calcanéen, 517

Calcarin, 116–118, 122, 131

Carotidien, 18

Central

De l'insula, 116

De Rolando, 116–117

Collatéral, 117–118

Coronaire, 216, 218, 370

Costal, 193

De l'hippocampe, 123

De la langue, 71

Delto-pectoral, 402, 413

Du cingulum, 117

Du corps calleux, 117

Du nerf radial, 410

Frontal

Inférieur, 116

Supérieur, 116

Gingival, 74

Glutéal, 161, 471

Hypothalamique, 117, 125, 158

Infra-orbitaire, 11

Intermusculaire, 374–376

Intertuberculaire, 409

Interventriculaire

Antérieur, 248

Inférieur, 218–219

Intra-pariétal, 116

Latéral (de Sylvius), 116, 118

Rameau

Antérieur, 116

Ascendant, 116

Postérieur, 116

Lunaire, 116

Marginal, 117

Médian, 71, 125

Médian postérieur, 125

Mylo-hyoïdien, 24

Nasolabial, 8

Obturateur, 476

Occipital transverse, 116

Occipito-temporal, 117–118

Olfactif, 118

Orbitaire, 118

Paracentral, 117

Paracolique

Droit, 272, 280, 344, 348

Gauche, 272, 344, 348

Pariéto-occipital, 116–117

Post-central, 116

Précentral, 116

Préchiasmatique, 18

Rhinal, 117–118

Temporal

Inférieur, 116, 118

Supérieur, 116

Terminal, 71, 125

Trachéo-œsophagien, 81

Uro-génital, 370

Sinus

Carotidien, T2.3, 136, 141, 147, 214

Caverneux, 99, 115, 147, 151

Fistule, T2.3

Confluent des, 110, 114–115, 155–156

Coronaire, 218–220, 222, 225, 248

Ostium, 221, 224, 227

Valvule (de Thébésius), 224

Droit, 110, 114–115, 117, 120, 155–157

Imagerie, 159

Du péricarde

Oblique, 219–220, 248

Transverse, 216, 219, 224–225

Frontal, 12, 14, 43–45, 50–51, 77

Développement, 52

Ethmoidal, 12

Sinus (Suite)

- Intercaverneux
 - Antérieur, 114–115
 - Postérieur, 114–115
- Lactifère, 188
- Maxillaire, 12, 14, 49–51, 62, 64, 96
 - Coupe transversale, 49
 - Fibres postsynaptiques, 62
 - Ouverture, 43–44, 50–51
 - Paroi, 63
 - Récessus, 50
 - Variations avec l'âge, 52
- Occipital, 114
 - Sillon, 18
- Paranasal, 21–22
 - Coupe
 - Coronale, 50
 - Transversale, 50
 - Innervation, 173
 - Os, 52
 - Variations avec l'âge, 52
 - Vues parasagittales, 51
- Pétreux
 - Inférieur, 20, 114–115
 - Sillon, 15, 18
 - Supérieur, 64, 110, 114–115
 - Sillon, 15, 18
- Prostatique, 367
- Transverse, 110, 114–115, 156
 - Gauche, 155
 - Imagerie, 159
 - Sillon, 15, 18
- Sagittal
 - Inférieur, 111, 114–115, 155–157
 - Supérieur, 111–115, 117, 120, 155–156
 - Imagerie, 159
 - Sillon, 16, 18
 - Veine émissaire, 20
- Sigmoïde, 64, 76, 110, 114–115
 - Dans le foramen jugulaire, 20
 - Imagerie, 159
 - Sillon, 15, 18
- Sphénoïdal, 14–15, 43, 45, 50–51, 64, 72, 77, 98, 115, 148
 - Imagerie, 160
 - Ouverture, 43–44, 51
- Sphéno-pariétal, 114–115
- Uro-génital
 - Génital, 371
- Sinusoides**, 285–286
- Sonde dans la gaine du 1er muscle lombrical**, 450
- Sous-muqueuse**
 - De l'iléum, 279
 - De l'intestin, 308
 - Du jéjunum, 279
 - Œsophagienne, 239
- Sphénoïde**, 11, 13, 15, 17–18, 22, 44–45, 49
 - Canal optique, 15
 - Clivus, 18
 - Corps, 15, 18, 45
 - Jugum, 18
 - Crête, 45
 - Infra-temporale, 13
 - Du nouveau-né, 21, 52
 - Épine, 17, 23
 - Face orbitaire, 11
 - Foramen
 - Épineux, 17
 - Ovale, 17
 - Fosse
 - Ptérygoïdienne, 17
 - Scaphoïde, 17
 - Grande aile, 11, 13–15, 17–18, 21
 - Petite aile, 11–12, 15, 18
 - Processus
 - Clinoïde antérieur, 15, 18

Sphénoïde (Suite)

- Processus
 - Ptérygoïde, 17, 23, 44
 - Hamulus ptérygoïdien, 13, 15, 17, 23, 44
 - Lame latérale, 13, 15, 17, 21, 23, 44–45
 - Lame médiale, 13, 15, 17, 21, 23, 44–45
- Selle turque, 15, 18
 - Dos de la selle, 18
 - Fosse hypophysaire, 18
 - Processus clinéoïde postérieur, 18
 - Tubercule de la selle, 18
- Sillon
 - Carotidien, 18
 - Des vaisseaux méningés moyens, 18
 - Préchiasmatique, 18
 - Sphénoïdal, 15, 44–45
- Sphincter**
 - Urétral, 345, 350, 359, 378
 - Muscle, T6.4, 339, 343, 351–352, 360
 - Uréthro-vaginal
 - Muscles, T6.4, 350, 353, 359–361
 - Urinaire féminin, 351
- Stapès**, 106–107
 - Base, 106
 - Branches, 105
- Sternum**, 186, 197, 200, 217, 220, 244, 413
 - Angle (de Louis), 192
 - Corps, 187, 192, 194, 196, 198, 248–250
 - Incisure jugulaire, 192
 - Manubrium, 32–34, 36, 77, 196, 204
 - Processus xiphoïde, 187, 192, 194
- Strie**
 - Malléolaire, artères, 107
 - Médullaire, 125
 - Du thalamus, 117
 - Olfactive
 - Latérale, 130
 - Médiale, 130
 - Terminale, 119, 122–123
- Stroma**
 - Fibro-musculaire, 366
 - Stroma intermusculaire, 308
- Substance**
 - Blanche
 - Des nerfs spinaux, 174
 - Imagerie, 160
 - Grise
 - Corne latérale, 174, 322
 - De la moelle spinale, 174
 - Du nerf spinal, 174
 - Imagerie, 160
 - Noire, 118, 128
 - Perforée
 - Antérieure, 118, 124, 130
 - Postérieure, 118
- Sulcus limitans**, 125
- Supérieur, termes de rapport**, 1
- Surface**
 - Articulaire
 - Avec le sacrum, 164
 - Carpienne, 429
 - Cervicale, 26
 - Inférieure, 27
 - Supérieure, 26
 - De la dent, postérieure, 30
 - Inférieure, 168
 - Pour le corps vertébral, 193
 - Inférieure, 193
 - Supérieure, 193
 - Transverse, 193
 - Supérieure, 505
 - Talaire, 517
 - Thoracique supérieure, 163
 - Thyroïdienne, 91–92
 - Auriculaire, 166
 - Du sacrum, 167, 476

Surface (Suite)

- Semi-lunaire, 476
 - Articulaire, 338
 - Symphysaire, 338, 476
 - Sustentaculum tali**, 516–517
 - Suture**
 - Coronale, 11–16, 21
 - Frontale (métopique), 21
 - Intermaxillaire, 17, 42
 - Lambdoïde, 12, 14–16, 21
 - Métopique, 21
 - Occipitomastoïdienne, 23
 - Palato-maxillaire, 17
 - Sagittale, 12, 16, 21
 - Squameuse, 21
 - Zygomatiko-frontale, 12
 - Symphyse pubienne**, T6.1, 249–250, 262, 265, 333–334, 337, 340–341, 343, 345, 347, 349–350, 356, 359, 361–362, 365, 384, 401
 - Mesures, 336
 - Partie supérieure, 400
 - Radiographie, 335
 - Synchondrose**
 - Manubrio-sternale, 408
 - Sphéno-occipitale, 77
 - Xiphosternale, 221, 239, 328–332
 - Coupe transversale, 328–332
 - Système**
 - Cardio-vasculaire, T6.2, T3.1, T5.2, 41–42
 - De la reproduction, T6.1
 - Digestif, T6.1, T5.1
 - Endocrinien, T4.1, T5.1
 - Lymphatique, T6.2, T4.2, T5.2, T4.1, 7
 - Musculaire, T3.1, T6.1, T4.1, T5.1
 - Nerveux, T6.2, T3.1, T5.2, T4.1
 - Central (SNC), 6
 - Organisation générale, 6
 - Parasympathique, schéma, 173
 - Périphérique, 6
 - Sympathique, schéma, 172
 - Respiratoire, T4.1
 - Squelettique, T3.1, T6.1, T4.1, T5.1
 - Tégumentaire, T5.1
 - Urinaire, T6.1, T5.1
- ## **T**
- Tabatière anatomique**, 402, 434
 - Talon**, 2
 - Talus**, 515–517, 535
 - Processus postérieur, 519
 - Tarse**
 - Inférieur, 94
 - Supérieur, 94, 96
 - Tegmen tympani**, 105–106
 - Tendon**, 68
 - Biceps
 - Brachial, T7.1, 412, 415, 417, 421, 423, 428, 436–438
 - Fémoral, 497–498, 501–502, 505, 508–512, 533
 - Brachio-radial, 438, 441
 - Calcanéen, T8.1, 471, 507–510, 518, 520, 535
 - Muscle soléaire s'insérant dans, 508
 - Commun
 - Des extenseurs, 409–410, 431, 434–435, 439
 - Des fléchisseurs, 409–410, 432–433, 436, 439
 - Conjoint, 262–263
 - Coraco-brachial, 414, 417
 - Crico-œsophagien, 80
 - D'Achille. *Voir aussi tendon calcanéen*, 518
 - De l'abducteur du petit orteil, 519
 - De l'extenseur
 - Du petit doigt, 434–435, 441, 459–460
 - Ulnaire du carpe, 434–435, 441, 459–460
 - De la cheville, 518

Tendon (Suite)

De l'extenseur, 453–454
De l'hallux
Court, 511–512, 522, 527
Long, 471, 510–512, 521, 527
Long, gaine synoviale, 520
De l'index, 105–106, 402, 431, 434, 441, 459–460
Des doigts, 105–106, 402, 434–435, 441, 459–460
Des orteils
Court, 511–512, 522
Long, 471, 510–512, 521, 527
Long, gaine synoviale, 521
Du pouce
Court, 434, 438, 441, 457, 459–460
Long, 402, 434, 441, 453, 457, 459–460
Long, 454
Radial du carpe
Court, 434–435, 441, 457, 459–460
Long, 434–435, 441, 457, 459–460
De l'ilio-psoas, 495
Du droit fémoral, 471, 482–483, 498, 511
Du fibulaire
Court, 507–510, 512, 522, 526–527
Gaine synoviale, 520
Long, 507–510, 512, 522, 526–527
Gaine synoviale commune, 520
Passant sous la plante du pied, 510
Troisième, 510–511, 520, 522, 527
Du fléchisseur, 453, 456
Court
De l'hallux, origine latérale, 527
Des orteils, 519, 524–526
Du petit orteil, 519
Du poignet, 452
Gaine, 450
Fibreuse, 524
Long
De l'hallux, 507–509, 524–527
De l'hallux, gaine synoviale, 520
De l'hallux, sillon, 517
De l'hallux, vue plantaire, 519
Des orteils, 507–509, 519, 524–526
Des orteils, gaine tendineuse, 520
Du pouce, 105–106, 438, 444, 452–453
Profond
Des doigts, 105–106, 433, 441, 444, 448, 450–454, 460–461
Radial du carpe, 402, 437–438, 441, 444, 450, 452–453, 463
Superficiel, 453
Des doigts, 105–106, 402, 433, 436, 441, 444, 448, 450–454, 460–461, 463
Ulnaire du carpe, 402, 438, 441, 444, 450, 452, 455
Du long abducteur du pouce, 434, 438, 441, 457, 459–460
Du long fibulaire, 471, 512, 515–519, 527
Du long palmaire, 402, 436–437, 441, 444, 449–450, 452
Du muscle, 246–247, 423, 425
Gracile, 471, 482–483
Grand dorsal
Gauche, 246
Grand pectoral, 423, 425
Obturbateur interne, 341, 343
Petit pectoral, 414, 417, 419, 421
Psoas, 400
Petit, 265
Semi-tendineux, 482–483
Temporal, 53
Tenseur
Du tympan, 107
Du voile du palais, 67, 72
Triceps brachial, 425, 428, 434–435, 468
Vaste intermédiaire, 491

Tendon (Suite)

Du pied, 519
Du plantaire, 485, 507–508, 513–514
Du quadriceps fémoral, 471, 482, 491, 497–498, 502, 510, 512
Du sartorius, 482–483, 497–498
Insertion du, 512
Du tibial
Antérieur, 511–512, 522, 527
Gaine synoviale, 521
Postérieur, 507–509, 513, 518, 525–527
Grand rond, 422
Infra-épineux, 412, 415, 417, 422
Intermédiaire du muscle digastrique
Arcade fibreuse, 32, 35, 69–70
Lombical, 451, 519
Poplitée, 499–500
Origine, 498
Profond des fléchisseurs, 450
Semi-membraneux, 497, 499, 501–502, 508–509
Sillon d'insertion, 504
Subscapulaire, 412, 415, 417
Supra-épineux, T7.1, 412, 415, 417, 422, 470

Ténia

Fibres étalées, 376
Libre, 272, 280–281, 283, 373, 376
Mésocolique, 280, 283
Omental, 280, 283

Tente du cervelet, 97, 114–115, 155–156

Testicule, 324, 349, 368–369, 371–372, 390, 398

Albuginée, 372
Appendice, 371
Artères, 383
Descente, 368
Fascia spermatique externe sur, 387
Lobules, 372
Médiastinum testis, 369, 372
Rete, 372
Vaginale, 369
Lame
Pariétale, 372
Viscérale, 372
Veines, 383

Tête, 8–160

Anatomie de surface, 8
Nerfs, 82
Autonomes, 142
Cutanés, 9
Squelette osseux, 22
Vaisseaux et nœuds lymphatiques, 85

Tête osseuse. Voir crâne

Thalamus, 119, 121–125, 156, 158, 303

Corps géniculés, 154
Gauche, 155
Imagerie, 160
Noyau ventral postéro-médial, 146
Pulvinar, 150, 154, 156
Strie médullaire, 117, 122

Thorax, 187–248

Anatomie de surface, 187
Coupe transversale
Au niveau T3, 245–248
Au niveau T3–T4, 246
Au niveau T4–T5, 247
Au niveau T7, 248
Nerfs, 230
Autonomes, 213
Os de la cage thoracique, 192
Section coronale du cœur et de l'aorte ascendante, 221

Thymus, 7, 205, 215, 234–235, 244, 246

Tibia, T8.1, 501–502, 504–505, 511–512, 514,

517–518, 520, 522, 535
Bord antérieur, 471
Condyle
Latéral, 484, 510
Médial, 498

Tibia (Suite)

Malléole médiale, 520, 522
Surface articulaire supérieure, 499

Tissu

Adipeux, 188, 401
Aréolaire, 185, 349
Lâche, 113
Conjonctif, 113
Fibro-grasieux, 374
Péri-anal, 370

Toit (tectum)

Imagerie, 160

Tonsille, 7, 125

Linguale, 71–72, 77
Palatine, 65, 67–68, 71–72, 77, 79
Pharyngienne, 43, 45, 72, 75, 77, 79
Imagerie, 160

Trabécule

Apicale, 224
Et espaces de l'angle irido-cornéen (de Fontana), 101
Fibreuse, 158
Septo-marginale, 224, 228–229
Splénique, 289

Trachée, 22, 33, 35, 77–79, 81, 87–91, 137, 173, 202, 204, 208, 210–211, 215, 217, 221, 234, 236–238, 240, 245–246

Artériole, 208
Coupe transversale, 208
Épithélium, 208
Fibres élastiques, 208
Gaine conjonctive, 208
Glande, 208
Innervation, 172
Nerfs, 208
Vaisseaux lymphatiques, 208

Tractus

Hypothalamo-hypophysaire, 158
Ilio-tibial, T8.1, 262, 344, 347–348, 395, 471, 480, 482, 484–485, 496–499, 501, 505–507, 510–512
Bourse sous-jacente, 497–498
Muscle vaste latéral en profondeur, 492
Sur le tubercule infra-condylaire (de Gerdy), 498
Mamillothalamique (de Vicq d'Azyr), 158
Olfactif, 46, 117–118, 124, 130
Optique, 50, 118–119, 123–124, 131, 150, 155
Solitaire, noyau du, 128, 134, 136–137, 146, 231, 321
Spinal, 133, 137
Tecto-spinal, 143
Tubéro-hypophysaire, 158

Tragus, 8, 106

Trapèze, 442–448, 452, 457

Trapézoïde, 442–443, 445–447, 452

Triade porte hépatique, 285, 288, 329

Triangle

Anal, 362
D'auscultation, 161, 257, 413
De Calot, 287, 291
Delto-pectoral, 413
Hépatocystique (de Calot), 287, 291
Inguinal, T5.1, 256, 262
Fascia transversalis dans le, 262
Lombal (de Petit), 161, 180, 257
Muscle oblique de l'abdomen dans le, 180
Lombo-costal, 201
Lumineux, 106
Sterno-costal, 196
Suboccipital, 184
Uro-génital, 362

Trigone

Collatéral, 122
D'Hesselbach, T5.1, 256, 262
Fibreux
Droit, 226
Gauche, 226

Trigone (Suite)

Habénulaire, 122
Hypoglossal, 125
Inguinal (d'Hesselbach), T5.1, 256, 262
Olfactif, 130
Rétromolaire, 24
Vagal, 125

Triquétrum, 442–443, 445–447

Trochanter

Grand, 161, 250, 334, 400–401, 477–478, 483, 485–486, 492–493, 534
Radiographie, 335
Petit, 250, 334, 477–478, 534
Radiographie, 335

Trochlée, 96, 409, 426

Trompe

Auditive (d'Eustache), 27–29, 43, 45, 72, 79, 105–107, 109, 137
Ostium pharyngien, 43, 72, 77, 79
Partie cartilagineuse, 49, 56, 67, 72, 75, 78
Sillon, 17
Utérine (de Fallope), 344–346, 353–356, 371, 382, 394, 397
Ampoule, 357
Droite, 356
Franges, 357
Gauche, 356
Infundibulum, 357
Plis, 355
Produit de contraste, 357

Tronc, 4, 201, 233, 236, 240, 266, 271, 288, 292–293, 303, 310, 324, 392
Atrio-ventriculaire (AV) (de His), 229
Brachio-céphalique, 40, 87–89, 147, 149, 196, 199, 210, 215–216, 218, 221, 236, 240, 245
Cérébral, 124
Noyaux des nerfs crâniens, 127–128
Coeliaque
Artériographie, 292
Costo-cervical, 40, 147, 149, 179
Du nerf spinal, 261, 276
Intestinal, 268
Jugulaire, 85
Lombal
Droit, 268
Gauche, 268
Lombo-sacral, 269, 320, 392, 486–489, 529–530
Lymphatique
Broncho-médiastinal, 212
Jugulaire, 212
Lombal, 319
Subclavier, 212
Méningo-hypophysaire, 148
Artère méningée tentorielle, 148
Pulmonaire, 210, 216–217, 219, 221, 224, 228–229, 233, 244, 247
Flux vers le, 228
Subclavier, 85
Droit, 268
Sympathique, 33, 49, 62, 76, 83, 136, 142, 144–145, 197, 201, 213–214, 234–235, 243, 261, 265, 269, 299–300, 309, 320, 322, 344, 348, 391–392, 394, 396–399, 488–489
Cervical, 243
Droit, 200, 310, 322, 394
Et ganglions, 320
Gauche, 200, 220, 310, 322
Sacral, 305, 399
Droit, 394
Gauche, 394
Thoracique, premier ganglion, 143
Thyro-cervical, 39–41, 76, 82–83, 87–89, 147, 149, 236, 240, 418
Droite, 179
Gauche, 179

Tronc (Suite)

Vagal, 265
Antérieur, 137, 213, 236, 243, 300–301, 304–305, 309–310, 320, 322, 392
Branche hépatique, 137
Rameaux gastriques, 137
Postérieur, 243, 300–301, 304–305, 309–310, 320, 392

Trou nourricier, du fémur, 479

Tuber cinéreum, 117–118, 124
Éminence médiane, 158

Tubercule

Anal, 370
Antérieur, 122
Articulaire, 13, 17, 25, 56
Auriculaire (de Darwin), 106
Carotidien (de Chassaignac), 28
Carré, 479
Conoïde, 408
Corniculé, 75, 79, 91
Cunéiforme, 75, 79, 91, 124–125
De Gerdy, 484, 500, 504–505
Tractus ilio-tibial, 498
De Lister, 429
Dorsal du radius, 442
Génital, 370
Gracile, 124–125
Iliac, 337
Infra-glénoïdal, 409–410
Intercondylaire, 504
Labio-scrotal, 370
Mentonner, 24
Olfactif, 130
Petit, 409, 411–412, 421
Crête, 409
Pharyngien, 17, 29, 45, 72, 75, 78
Pubien, 249–250, 253–254, 262, 265, 333–334, 337–338, 343, 359, 364, 476, 482–483, 534
Supra-glénoïdal, 409
Trigéminal, 125
Tubérosité, 517
Calcanéenne, 471, 507–508
Deltoïdienne, 409–410
Iliac, 250, 334, 476
Ischiatique, T6.1, 167, 250, 334, 337–338, 341, 343, 359–360, 362–365, 374, 377, 401, 476–478, 485, 492–493
Mesures, 336
Radiographie, 335
Radiale, 421, 427
Sacrale, 166
Tibiale, 482–483, 497–500, 502, 504–505, 510–511
Ulnaire, 421, 429

Tubule

Aberrant, 372
Mésonéphrique, 371
Séminifère contourné, 372

Tunique vaginale

Cavité, 368
Du testicule, 324, 369, 372
Lame
Pariétale, 369
Viscérale, 369

U

Ulna, T7.1, 4–5, 426–433, 435, 439–445, 447, 455, 460
Bord
Antérieur, 429
Interosseux, 429
Face antérieure, 429
Incisure radiale, 426, 429
Olécrâne, 402, 422, 426–427, 429, 431, 434–435, 468

Ulna (Suite)

Processus
coronoïde, 426
Styloïde, 429, 447
Tubérosité, 426

Uncus, 28, 117–118, 130

Cervical, 27

Droit

Surface articulaire, 27

Gauche

Surface articulaire, 27

Uretère, T6.1, 256, 264, 267, 272, 299, 311, 314, 316, 344–350, 353, 355, 366, 373–374, 382–386, 392, 394, 399

Artères, 317

Dans l'abdomen et le pelvis, 316

Droit, 316, 357

Ostium, 352

Espace rétro-péritonéal, 356

Gauche, 316

Et artère vaginale, 356

Ostium, 352

Inférieure, innervation, 399

Nerfs autonomes, 320

Ostium, 356, 366

Urètre, 89–90, 265, 339–341, 343, 345, 350–352, 354, 356, 360, 363, 365–367, 371, 401

Corps spongieux

Partie libre, 367

Début, 400

Expansions musculo-fasciales, 341

Fascia pubo-cervical, 354

Hiatus, 342

Muscle

Compresseur, T6.3, 353, 360–361, 386

Sphincter, T6.4, 360

Ostium externe, 349

Partie membranacée, 367

Pelvis féminin, 401

Plafond, 367

Plancher, 367

Prostatique, 352, 367, 400

Spongieux

Partie

Bulbaire, 352, 367

Libre (pénienne), 367

Utérus, T6.1, 353, 355, 359, 371, 373, 394, 397

Artères, 386

Col, 345–347, 353, 355–356

Corps, 345–346, 355

Endomètre, 379

Fascia et ligaments, 354

Fundus, 344–346, 350, 355, 379

Isthme, 355

Ligament rond, 267, 344–346, 352–354, 356, 359, 371, 382

Myomètre, 379

Orifice externe du col, 357

Recouvert de péritoine, 356

Structures de soutien, 353

Veines, 386

Utricule, 108–109, 135

Prostatique, 366–367, 371

Uvule

Du vermis, 125

Palatine, 65, 72, 75, 79

Vésicale, 366–367

V

Vagin, T6.1, 339–341, 345, 350–353, 356, 359–360, 371, 373, 377, 379, 382, 397, 401
Expansions musculo-fasciales, 341
Fascia pubo-cervical, 354
Paroi, 353–354

Vagin (Suite)

- Partie
 - Distale (verticale), 354
 - Horizontale, 354
- Structures de soutien, 353
- Vestibule, 353, 358, 371

Vaisseau

- Crémastérique, 263, 383
- Du cou, 39–40
- Du médiastin supérieur, gros, 210
- Épigastrique
 - Circonflexe superficiel, 490
 - Inférieur, 254, 256, 262, 264, 344, 348, 356, 383, 385
 - Rameaux pubiens, 262
 - Superficiel, 252, 254
- Fémoral, 383, 389
- Lacune vasculaire, 265
- Fibres vasculaires directes, 232
- Gastro-épiploïque, 275, 289
- Gastro-omental (gastro-épiploïques), 275, 289
- Droits, 296, 298
- Gauches, 296
- Iliaque
 - Circonflexe
 - Profond, 256, 264, 347
 - Superficiel, 252, 490
 - Commun, 272, 383, 394
 - Externe, 256, 262, 264, 280, 344–349, 356–357, 374, 383, 385
 - Gauche, 385
 - Recouverts du péritoine, 263
 - Interne, 347, 383
 - Droit, 385
- Méningé
 - Antérieur, sillon, 18
 - Moyen, 19
 - Sillon, 18
 - Sillons des branches, 15–16
 - Postérieur, sillon, 18
- Naso-palatin, sillon, 45
- Obturateur, 256
- Accessoire, 262, 264
- Ovarique, 316, 344, 347, 386
- Branches tubaires, 386
- Palatin
 - Grand, 19
 - Petit, 19
- Péricardiaco-phrénique, 219
- Poplitée, 485
- Pudendal
 - Externe, 385
 - Profond, 383, 490
 - Superficiel, 252, 254, 267, 383
 - Interne, 374, 401
 - Superficiel, 490
- Rénal, 383
- Sacral médian, 346, 382
- Sanguin, innervation, 232
- Scrotal antérieur, 385
- Testiculaire, 256, 262, 264, 298, 311, 313, 316, 348, 383, 390
- Dans le cordon spermatique, 383
- Recouverts du péritoine, 263
- Utérin, 346, 353, 386
- Branches ovariennes, 357
- Vésical, inférieur, 390

Vaisseau lymphatique, T8.2, 286

- De la glande mammaire, 190
- De la langue, 86
- De la tête, 85
- De l'œsophage, 242
- Des organes génitaux
 - Chez la femme, 388
 - Chez l'homme, 390
- Des poumons, 212
- Du cortex rénal, 319

Vaisseau lymphatique (Suite)

- Du cou, 85
- Du pharynx, 86
- Interlobulaire, 212
- Longeant les artères, 319
- Arquées, 319
- Radiées (interlobulaires), 319
- Médullaire, 319
- Pelvien
 - Chez la femme, 388–389
 - Chez l'homme, 390
- Superficiel, 475

Vallécule, 71–72**Valve**

- Aortique, 221, 225–229
- Cuspide semi-lunaire
 - Droite, 225–229
 - Gauche, 225–229
 - Postérieure, 225–229
- Atrioventriculaire
 - Aortique, T4.2, 4.1, 221, 225–229
 - Droite, 220–221, 224, 226–228
 - Anneau fibreux droit, 226, 229
 - Cuspide antérieure, 224, 226–228
 - Cuspide postérieure, 224, 226–228
 - Cuspide septale, 224, 226–228
 - Orifice, 248
 - Gauche (mitrale), 220–221, 225–229, 248
 - Anneau fibreux gauche, 226
 - Cuspide antérieure, 225–228
 - Cuspide postérieure, 225–228
 - Tricuspidale, 220–221, 224, 226–228
- De Houston, 375
- De Kerckring, 279, 287
- Du tronc pulmonaire, 224, 229
- Cuspide semi-lunaire
 - Antérieure, 224, 226
 - Droite, 224, 226
 - Gauche, 224, 226
- Iléo-cæcale, 281
- Mitral, 220–221, 225–229, 248
- Tricuspidale, 220–221, 224, 226–228

Veine

- Alvéolaire
 - Inférieure, 84
 - Supéro-postérieure, 84
- Anastomotique, T2.2, 111, 113–114, 120
- Imagerie, 159
- Inférieure (de Labbé), 113, 156
- Supérieure (de Trolard), 113
- Angulaire, 10, 84, 99
- Antébrachiale médiane, 402, 405–406, 441
- Appendiculaire, 298–299
- Auriculaire postérieure, 10, 39, 84
- Axillaire, 5, 195, 204, 259, 407, 416
- Anastomoses avec les veines intercostales, 259
- Droite, 217
- Azygos, 198, 200, 210–211, 213, 220, 234, 241, 247–248, 328
- Arc, 236
- Sillon, 205
- Basale (de Rosenthal), 155–157
- Basilique, 5, 402, 405–407, 419, 425, 441, 458
- Basi-vertébrale, 178
- Brachiale, 5, 419, 425
- Brachio-céphalique, 5, 87, 196, 212
- Droite, 88, 179, 198, 210, 215–217, 234, 237, 241, 245
- Gauche, 84, 88, 179, 198, 210, 215–216, 221, 234–236, 241, 245
- Sillon, 205
- Bronchique, 211
- Droite, 211
- Gauche, 211
- Cæcale
 - Antérieure, 299
 - Postérieure, 298–299

Veine (Suite)

- Cardiaque
 - Antérieure, 222
 - Grande, 222
 - Moyenne, 218, 222
 - Petite, 222
- Cave
 - Inférieure, 5, 185, 200, 210, 213, 217–219, 221, 225, 229, 233–234, 236, 241, 267, 273–276, 278, 284, 288, 293, 296, 311–313, 323, 326–332, 344, 347–348, 381–384, 394
 - Ostium, 227
 - Sillon, 205, 284
 - Valvule, 224
 - Supérieure, 5, 87–88, 198–199, 210, 215–221, 224, 228–229, 233–234, 241, 244, 246–248, 325
 - Sillon, 205
- Caverneuse, 385
- Centrale, 285–286
- Antérieure, 178
- Postérieure, 178
- Céphalique, 187, 194–195, 221, 259, 402, 405–407, 413, 416, 419, 425, 441, 458
- Accessoire, 405–406
- Médiane, 406
- Cérébelleuse
 - Précentrale, 155
 - Supérieure, 155
- Cérébrale
 - Antérieure, 155–157
 - Grande (de Gallen), 114–115, 117, 125, 155–157
 - Imagerie, 159
 - Inférieure, 113, 115
 - Interne, 117, 122, 155–157
 - Droite, 157
 - Gauche, 157
 - Imagerie, 159
- Moyenne
 - Profonde, 111, 155–157
 - Superficielle, 111, 113, 115, 156
 - Superficielle, 113
 - Supérieure, 113
 - Ouverture, 112
- Cervicale profonde
 - Droite, 179
 - Gauche, 179
- Choroïdienne supérieure, 156–157
- Ciliaire
 - Antérieure, 101, 103–104
- Circonflexe iliaque superficielle, 249
- Colique, 297
- Droite, 298–299
- Gauche, 298–299
- Moyenne, 298–299
- Communicante, 38, 179
- De Cockett, 405–406, 513
- De l'avant-bras, 406
- De l'estomac, 296
- De l'intestin grêle, 297
- De l'œsophage, 241
- De l'utérus, 386
- De la colonne vertébrale, 178
- De la face, 10
- De la fosse crânienne postérieure, 155
- De la jambe, T8.2
- De la moelle spinale, 178
- De la paroi
 - Abdominale
 - Antérieure, 259
 - Postérieure, 267
 - Thoracique interne, 198
- De la rate, 296
- De l'iris, 104
- De l'uncus, 156

Veine (Suite)

Des paupières, 99
Des régions orale et pharyngienne, 84
Des testicules, 383
Digitale
Dorsale, 406, 473
Palmaire, 5, 406
Dorsale, 458
Diploïque, 111, 113
Frontale, 111
Occipitale, 111
Temporale
Antérieure, 111
Postérieure, 111
Dorsale
Profonde
Du clitoris, 339–341, 345, 347, 350, 361
Du pénis, 342–343, 349, 365, 383, 385, 387
Superficielle du pénis, 333, 363, 385
Droite, 297
Du canal anal, 381
Du cœur, grande, 222
Du coude, médiane, T7.2, 405, 407
Du cuir chevelu, 10
Du duodénum, 296
Du gros intestin, 298
Du pancréas, 296
Du périnée, 387
Du rectum, 381
Du vermis
Inférieure, 155
Supérieure, 155, 157
Émissaire, 20, 111, 113
Condylaire, 179
Mastoldienne, 10, 111, 179
Dans le foramen mastoïdien, 19
Occipitale, 111
Pariétale, 10, 111
Épigastrique
Inférieure, 259, 267, 382
Superficielle, 249, 259, 267, 333, 473
Supérieure, 196, 198
Épiscclérale, 103–104
Segment, 104
Ethmoïdale
Antérieure, 20
Postérieure, 20
Faciale, 10, 38–39, 49, 53, 68, 70, 84, 99
Commune, 10, 39
Profonde, 10, 84, 99
Transverse, 10, 84
Fémorale, 259, 263, 267, 362, 400, 473, 475, 483, 490, 496
Dans la gaine fémorale, 253, 264
Grande, 401
Profonde de la cuisse, 5
Fibulaire, 513–514
Frontale, 10
Gastrique
Courte, 241, 296, 299
Droite, 241, 296–297, 299
Gauche, 241, 296–298
Branches œsophagiennes, 241
Gastro-omental
Droite, 241
Gauche, 241
Glutéale
Inférieure, 267
Supérieure, 267, 298
Hémi-azygos, 198, 200, 220
Accessoire, 198, 211, 235, 241, 247
Hépatique, 236, 241, 267, 284–285, 296
Humérale, circonflexe postérieure, 405
Hypophysaire efférente, 151
Iléale, 297, 298
Iléo-colique, 297–299

Veine (Suite)

Iliaque
Circonflexe
Profonde, 267
Superficielle, 259, 267, 333, 473
Commune, 5, 267, 381
Externe, 5, 267, 353, 381, 491
Interne, T6.2, 5, 267, 381
Ilio-lombale, 267
Inférieures des hémisphères cérébelleux, 155
Infra-orbitaire, 10, 84
Intercapitale, 406, 458
Intercostale, 5
Antérieure, 196, 198
Branches collatérales, 196
Postérieure, 198, 234–235
Droite, 241
Supérieure
Droite, 198, 234, 241
Gauche, 235, 241
Intervertébrale, 178
Intra-culminale, 155
Jéjunale, 297
Jugulaire
Antérieure, 38, 87
Terminaison, 84
Externe, T2.2, 5, 8, 10, 38–39, 53, 84, 87, 204, 210, 215, 241
Interne, 5, 10, 32–33, 35, 37–38, 40–41, 49, 53, 64, 70, 76, 84, 86–89, 105, 107, 110, 139, 191, 195–196, 204, 212, 215, 236, 241
Bulbe inférieur, 88, 179
Bulbe supérieur, 179
Dans la fosse jugulaire, 19
Droite, T2.2, 210, 217
Gauche, 179, 216, 221
Imagerie, 159
Labiale
Inférieure, 84
Supérieure, 84
Laryngée supérieure, 80, 84
Latérale directe, 156–157
Linguale, 10, 70, 84
Dorsale, 70
Profonde, 65
Lombale
Ascendante, 267
Droite, 267
Maxillaire, 84, 99
Médullaire antéro-médiane, 155
Méningée, moyenne, 20, 111, 113
Mentonnière, 84
Mésencéphalique
Latérale, 155
Postérieure, 155, 157
Mésentérique
Inférieure, 241, 271, 288, 298–299, 381
Supérieure, 241, 278–279, 294, 296–299, 318, 330
Métacarpienne, dorsale, 406, 458, 473
Musculaire, 103
Musculo-phrénique, 195–196, 259
Nasale, externe, 10, 84, 99
Naso-frontale, 10, 84, 99
Obturatrice, 267, 298, 381, 400
Occipitale, 10, 84
Interne, 157
Ombilicale, T5.2, 233
Omentale, 241
Ophtalmique
Inférieure, 99, 104
Supérieure, 20, 84, 99, 104, 115
Ovarique
Testiculaire, 267, 382
Palatine, 84
Externe, 84

Veine (Suite)

Pancréatico-duodénale
Antérieure, 296, 298–299
Postérieure, 296, 298–299
Supérieure, 296, 298–299
Pancréatique, 296, 298
Grande, 296
Para-ombilicale, T5.2, 299
Affluents, 259
Dans le ligament rond du foie, 259
Pelvienne
Chez la femme, 382
Chez l'homme, 385
Perforante, 405–406, 513
Antérieur, 198
Péricardio-phrénique, 196, 210, 215–216, 220, 234–235
Droite, 200
Gauche, 200
Pétreuse, 115, 155
Phrénique inférieure, 267, 311
Gauche, 241
Pontique
Latérale, 155
Ponto-mésencéphalique antérieure, 155
Poplitée, 5, 475, 492, 507–508, 513
Porte, 329
Branche, 286
Hépatique, T5.2, 221, 233, 241, 274, 276, 278–279, 284, 287–288, 296–299, 324, 326
Affluents, 299
Préculminale, 155
Prépylorique, 296, 298
Profonde de la cuisse, 496
Pubienne, 267
Pudendale
Externe, 259
Superficielle, 473
Interne, 298, 381, 385, 400
Pulmonaire, 217
Droite, 210, 219, 225, 229, 233–234, 244
Gauche, 210, 218–219, 225, 228, 233, 235
Inférieure
Droite, 205, 218, 220, 224
Gauche, 205, 218, 220
Supérieure
Droite, 205, 216, 218, 224, 228
Gauche, 205, 216, 218, 225
Radiale, 5
Radiculaire, 178
Segmentaire
Antérieure, 178
Postérieure, 178
Rectale, T6.2
Inférieure, 298–299, 381
Moyenne, 267, 298–299, 381
Supérieure, T5.2, 298–299, 381
Rénale, 5, 317, 324, 382
Droite, 241, 267, 310, 313
Gauche, 241, 267, 323, 327
In situ, 313
Rétinienne, 103
Centrale, 100, 103–104
Rétro-mandibulaire, 10, 38–39, 49, 53, 68, 70, 84, 99
Branche
Antérieure, 39
Postérieure, 39
Rétro-tonsillaire supérieure, 155
Sacrale
Latérale, 267
Médiane, 298, 381, 385
Saphène, T8.2
Accessoire, 473–474
Grande, 5, 252–253, 259, 267, 362, 471, 473–475, 513–514
Petite, 471, 473–475, 507, 513–514

Veine (Suite)

Satellite, 450
Scrotale antérieure, 259
Sigmoïdienne, 298–299, 381
Spinale
 Antérieure, 155, 178
 Postérieure, 155, 178
Splénique, 241, 274, 294, 296–299, 323–324, 326
Subclavière, T2.2, 5, 37, 39–40, 84, 87, 195–196, 204, 212, 215–216, 236, 241, 259, 417, 419
 Droite, 88, 179, 210, 234
 Gauche, 88, 179, 210, 235
Subcostale, 267
Sublinguale, 53, 70
Sublobulaire, 285–286
Submentonnaire, 38, 84
Superficielle, T8.2
 De l'avant-bras, 406
 Du cou, 38
 Latérale, du pénis, 363
Supra-orbitaire, 10, 84, 99
Supra-trochléaire, 10, 84
Surrénale, 323
 Gauche, 241, 267, 313
 Inférieure droite, 267
Temporale
 Moyenne, 10, 111
 Profonde, 111
 Superficielle, 53, 60, 84, 111
 Affluent, 113
 Rameau frontal, 10
 Rameau pariétal et frontal, 10, 111
Thalamique supérieure, 157
Thalamo-striée
 Inférieure, 155, 157
 Supérieure, 119, 122, 156–157
Thoracique
 Interne, 88, 195–196, 198, 204, 216, 220, 246–248, 259
 Droite, 200
 Gauche, 200
 Rameaux perforants, 196, 259
 Latérale, 259
 Rameaux perforants, 197
Thoraco-acromiale, branche acromiale, 405
Thoraco-épigastrique, 252, 259
Thyroïde
 Inférieure, 38, 84, 87–89, 204, 215
 Interne, 241
 Moyenne, 38, 84, 87, 89
 Supérieure, 38, 84, 87, 89, 92
Tibiale, 507, 514
 Antérieure, 5, 514
 Postérieure, 5, 507, 509, 513–514
 Branches malléolaires médiales, 513
Transverse du pont, 155
Ulnaire, 5
Utérine, 267
 Supérieure, 381
Vaginale, 381
Ventriculaire
 Hippocampale, 157
 Inférieure, 157
Vertébrale, 241
 Accessoire, 179
 Antérieure, 179
 Droite, 179
 Gauche, 179
Vésicale
 Inférieure, 381
 Branches prostatiques, 385
 Supérieure, 267, 381
Vorticineuse, 99, 103–104
 Branches
 Affluentes postérieures, 104
 Antérieures, 104

Veine (Suite)

Bulbe, 104
Zygomatico-faciale, 10
Zygomatico-temporale, 10

Veinule

Maculaire
 Inférieure, 103
 Supérieure, 103
Nasale de la rétine
 Inférieure, 103
 Supérieure, 103
Temporale
 Inférieure, 103
 Supérieure, 103

Ventricule

Cardiaque, 228
 Droit, 216–221, 228, 244, 248
 Gauche, 216, 218–221, 223–225, 228, 244, 248
 Branches pour la face dorsale, 223
 Veine postérieure, 222
Du cerveau, 119, 125
 Latéral, 117, 121, 123, 150, 157
 Corne frontale (antérieure), 119, 160
 Corne occipitale (postérieure), 119, 121–123, 154, 157, 160
 Corne temporale (inférieure), 119, 122, 157
 Partie centrale, 119
 Plexus choroïde, 119–121, 150, 154, 156
 Veine latérale, 157
 Veine médiale, 157
Quatrième, 117, 125, 157
 Artère choroïdienne, 154
 Fosse rhomboïde, 124
 Imagerie, 160
 Ouvertures médiane et latérale, 157
 Plexus choroïde, 120, 125
 Projection, 154
 Ténia, 125
 Veine du récessus latéral, 155
Troisième, 117, 121–122, 125, 157
 Imagerie, 160
 Plexus choroïde, 119–120
 Récessus infundibulaire, 50
 Toile choroïdienne, 119, 122, 156
Vermis, 50, 126
 Partie
 Inférieure
 Nodule (X), 126
 Pyramide (VIII), 126
 Tuber (VII B), 126
 Uvule (IX), 126
 Supérieure
 Culmen (IV & V), 126
 Déclive (VI), 126
 Folium (VII A), 126
 Lobule central (II & III), 126

Vertèbre

Lame, 244
Pédicule, 244
Radiographie, 165

Vertèbre cervicale, T2.1, 27–28, 162, 217

Anneau fibreux, 28
Artères, 176
Articulations uncovertébrales, 28
C3, 22, 26
 Corps vertébral, 27
 Foramen
 Transverse, 27
 Vertébral, 27
 Lame costale, 27
 Lamina, 27
 Pédicule, 27
 Processus
 Articulaire inférieur, 27–28
 Articulaire supérieur, 28

Vertèbre cervicale (Suite)

Bifide, 27
Transverse, 27
Surface articulaire inférieure, 26–27
Tubercule, 37
Vue inférieure, 27
C4, 26–27
 Corps vertébral, 27
 Foramen transverse, 27
 Lamina, 27
 Processus
 Articulaire inférieur, 27
 Épineux, 27
 Et facette articulaires supérieurs, 27
 Transverse, 27
 Sillon du nerf spinal, 27
 Surface articulaire, 27
 De l'uncus, 27
 Inférieure, 27
 Uncus droit, 27
 Vue
 Antérieure, 27
 Supérieure, 27

C6

Processus transverse, 147
Tubercule antérieur, 29

C7, 22, 27, 169

Corps vertébral, 27
Foramen
 Transversaire cloisonné, 27
 Vertébral, 27
Lame costale, 27
Lamina, 27
Pédicule, 27
Processus
 Articulaire inférieur, 27
 Épineux, 27, 29, 161, 180, 413
 Et facette articulaires supérieurs, 27
 Transverse, 27
 Sillon du nerf spinal, 27
 Surface articulaire, 27
 Tubercule postérieur, 37
 Uncus droit, 27
 Vue
 Antérieure, 27, 162
 Latérale, 162
 Postérieure, 162
 Supérieure, 27
Corps, 27–28
Disque intervertébral, 28
Foramen transverse, 28
Noyau pulpeux, 28
Processus transverse, 28
Supérieure, 26
Uncus, 28

Vertèbre lombale, 162, 164, 176

Corps vertébral, 164
Coupe transversale, 177
L1
 Corps, 167
 Processus transverse, 201
 Rapports vertébraux des racines des nerfs spinaux, 170
L2, rapports vertébraux des racines des nerfs spinaux
 Spinaux, 170
L3
 Corps, 344, 348
 Rapports vertébraux des racines des nerfs spinaux, 170
L4, 379
 Corps, 338
 Disque intervertébral, 379
 Radiographie, 335
 Rapports vertébraux des racines des nerfs spinaux, 170

Vertèbre lombale (Suite)

- L5, T3.1
 - Corps, 338, 379
 - Disque intervertébral, 379
 - Radiographie, 335
 - Rapports vertébraux des racines des nerfs spinaux, 170
- Processus transverse, 250, 334
- Vue latérale gauche, 164

Vertèbre thoracique, 162-163, 176

- L1, corps, 167
- Rapports vertébraux des racines des nerfs spinaux, 170
- T1, 22, 29
 - Vue
 - Antérieure, 162
 - Latérale, 162
 - Postérieure, 162
- T6
 - Vue
 - Latérale, 163
 - Supérieure, 163
- T7
 - Vue postérieure, 163
- T8, 220
 - Vue postérieure, 163
- T9, 165
 - Vue postérieure, 163
- T12, 217
 - Processus épineux, 413
 - Vue
 - Latérale, 162–163
 - Postérieure, 162

Vésicule

- Biliaire, T5.1 137, 173, 202, 270, 273, 276, 282, 284, 287–288, 291, 327, 329
 - Innervation, 172
 - Séminale, 256, 348–349, 366, 371, 373, 385
- Vessie**, T6.1, 165, 173, 256, 263, 270, 282, 305, 311, 324, 344–351, 356, 359, 365–366, 368, 373, 379, 382, 385, 394, 399
 - Apex, 349–350
 - Chez la femme, 352
 - Chez l'homme, 352
 - Col, 349–350, 352
 - Corps, 349–350
 - Fascia
 - Pubo-cervical, 354
 - Vésical réséqué, 350
 - Fundus, 349–350
 - Vésical, 352
 - Innervation, 172, 399
 - Intérieur, 400
 - Ligament latéral, 347
 - Nerfs autonomes, 320
 - Orientation et soutienement, 350
 - Orifice urétérique, 350
 - Trigone, 349–350, 366–367
 - Vésical, 352, 356
 - Uvule vésicale, 352, 366–367
- Vestibule**, 92, 105
 - Aqueduc
 - Ouverture, 15, 20, 110
 - Interne, 108
 - Bulbe, 352, 359–361, 386
 - Artère, 353, 361, 386
 - De l'oreille, 108–109

Vestibulee (Suite)

- Du vagin, 353, 358, 371
- Fosse, 358
- Nasal, 43–45, 49

Vinculum

- Court, 454
- Long, 454

Viscères

- Abdominaux, 270
- Pelviens
 - Féminin, 345–346
 - Nerfs, 394
- Masculin, 349
- Nerfs, 392

Voies

- Aérifères intra-pulmonaires, 209
- Gustatives, schéma, 146
- Réflexes autonomes, 307

Voile médullaire

- Inférieur, 117, 125
- Supérieur, 117, 124–125

Vomer, 11, 15, 17, 45, 49**Vraies côtes, 192****Vulve, 358****Z****Zone**

- Anodermique, 375
- Cardiale, 277
- De fibres musculaires éparées, 238
- Gastrique, 277
- Orbiculaire, 477